ANNALEN

der

SCHWEIZERISCHEN METEOROLOGISCHEN ZENTRALANSTALT

1951

Achtundachtzigster Jahrgang

City-Druck AG, Zürich 1
St. Peterstraße 10
1952

C/ di
AO

Inhalt

Vorwort . . . . . Pag. III
Verzeichnis der schweizerischen meteorologischen Literatur im Jahre 1951 . . . . . » IV
Legende zu «Tägliche Beobachtungen» . . . . . » VI

Tägliche Beobachtungen

der Stationen: Bern, Neuchâtel, Altdorf, Genève, Zürich, Chasseron, Bever, Sion, Lugano, Basel, Säntis und St. Gotthard nebst ergänzenden Witterungsnotizen . . . . . Pag. 1—76
Jungfraujoch: Tägliche Lufttemperaturen . . . . . » 77
Tägliche Maxima und Minima und stündliche Monatsmittel der Lufttemperatur von Zürich und Säntis . . . . . » 78—79
Temperaturextreme von 7 Normal-Stationen . . . . . » 80—83
Übersichten Zürich-Physikgebäude . . . . . » 84

Monats- und Jahres-Uebersichten der meteorologischen Beobachtungen sämtlicher Stationen . . . . . » 85 – 132

Pag.
Aarau . . . . . 102 u. 103
Adelboden 127
Airolo 131
Allerheiligenberg . . . 126
Altdorf . . . . . 96 u. 97
Altstätten . . . . . 90 u. 91
Andermatt 125
Arosa . . . . . 114 u. 115
Auen (Linthal) . . . 92 u. 93

Baden . . . . . 86 u. 87
Basel (Binningen) . . . 98 u. 99
Beatenberg . . . . . 106 u. 107
Bellinzona . . . . . 120 u. 121
Bern . . . . . 104 u. 105
Bever . . . . . 116 u. 117
Beznau . . . . . 102 u. 103
Bosco-Gurin . . . . . 118 u. 119
Braggio . . . . . 118 u. 119
Braunwald (ob Linthal) . 123
Brévine, la 125
Brè Monte (ob Lugano) 132
Buffalora (Ofenpass) . 116 u. 117

Cernier 125
Chasseron . . . . . 100 u. 101
Château d'Oex 128
Chaumont . . . . . 100 u. 101
Chaux-de-Fonds, la . . 98 u. 99
Chur . . . . . 112 u. 113
Comprovasco 132

Davos-Platz . . . . . 114 u. 115
Disentis . . . . . 112 u. 113

Pag.
Ebnat 122
Einsiedeln . . . . . 94 u. 95
Elm . . . . . 92 u. 93
Engelberg . . . . . 96 u. 97

Fescoggia 132
Frauenfeld . . . . . 86 u. 87
Fribourg . . . . . 104 u. 105

Genève . . . . . 108 u. 109
Glarus . . . . . 92 u. 93
Göschenen . . . . . 96 u. 97
Grächen 129
Grimmialp 128
Grimsel . . . . . 108 u. 109
Grono 131
Gurtnellen 125
Guttannen . . . . . 106 u. 107

Haidenhaus . . . . . 88 u. 89
Hallau . . . . . 102 u. 103
Heiden . . . . . 88 u. 89
Heiligenschwendi . . . 127

Interlaken . . . . . 106 u. 107
Jungfraujoch . . . . 108 u. 109

Kreuzlingen . . . . . 88 u. 89

Langenbruck . . . . 102 u. 103
Langnau i. E. . . . . 104 u. 105
Lausanne (Champ de l'air) 108 u. 109
Leukerbad 129
Leysin . . . . . 110 u. 111

Pag.
Locarno-Monti . . . 120 u. 121
Locarno-Muralto . . 120 u. 121
Lohn . . . . . 104 u. 105
Lugano . . . . . 120 u. 121
Lungern 124
Luzern . . . . . 94 u. 95

Marsens 128
Meiringen . . . . . 106 u. 107
Mezzana 132
Montana . . . . . 112 u. 113
Montreux-Clarens . . 110 u. 111
Muri (Aargau) 122

Neuchâtel . . . . . 100 u. 101

Oberiberg . . . . . 92 u. 93
Olten 126

Pilatus-Kulm . . . . 94 u. 95
Platta (Medels) . . . 114 u. 115
Porrentruy . . . . . 98 u. 99

Ragaz, Bad . . . . . 90 u. 91
Reckingen . . . . . 112 u. 113
Rheinfelden 126
Rigi-Staffel . . . . . 94 u. 95
Rochers de Naye . . . 129
Romont 128
Rorschach (Mariaberg) . 122

Saas-Fee 130
Säntis . . . . . 90 u. 91
Sargans . . . . . 90 u. 91

Pag.
Sarnen . . . . . 96 u. 97
Scarl (Unterengadin) . . 131
Schaffhausen 127
Schiers 130
Schuls . . . . . 116 u. 117
Schwäbrig (bei Gais) . 122
Seewis 130
Sils-Maria 131
Sion . . . . . 110 u. 111
Soleil Mont (ob St-Imier) 126
Solothurn . . . . . 100 u. 101
Splügen (Dorf) . . . 118 u. 119
St. Bernhard . . . . 110 u. 111
St. Gallen . . . . . 88 u. 89
St. Gotthard . . . . . 98 u. 99
St. Moritz . . . . . 116 u. 117

Thun 12
Tschiertschen 13

Vättis 12
Vicosoprano . . . . 118 u. 11

Walchwil 12
Wald-Faltigberg . . . 12
Wallenstadtberg (Knoblisbühl) 12
Weggis 12
Weissfluhjoch . . . . 114 u. 11
Werthenstein 13
Winterthur . . . . . 86 u. 8

Zermatt 1
Zürich . . . . . 86 u.

Anhang: Ergänzende Beobachtungen und Abhandlungen.

Nr. 1. M. Grütter. Übersicht über den Witterungsverlauf in der Schweiz im Jahre 1951.
Nr. 2. J. Rieker. Liste des chutes de grêle en Suisse pendant l'année 1951.
Nr. 3. Ergebnisse der Niederschlagsmessungen im Jahre 1951.
Ergebnisse der im Alpengebiet aufgestellten Totalisatoren für das hydrologische Jahr 1950/51.
Nr. 4. Ergebnisse der Registrierungen der Sonnenscheinautographen im Jahre 1951.
Nr. 5. E. Wanner. Jahresbericht des Erdbebendienstes 1951.
Nr. 6. Aerologische Station Payerne. Radiosondierungen 1951.
P. Ackermann. Radiosondierungen in Gruyère (Kt. Freiburg) und Lutry bei Lausanne.
Nr. 7. Verdunstung in Millimeter Wasserhöhe.
P. Ackermann. Klima der freien Atmosphäre.
M. Schüepp. Bestimmung der möglichen Sonnenscheindauer mit dem Wild-Theodoliten T12.
B. Primault. Un nouveau réducteur barométrique.

Vorwort

Im Netz der meteorologischen Stationen brachte das Jahr 1951 zwei Änderungen: Der Posten in Champéry mußte aufgegeben werden. Neu hinzu kommt die bisherige Regenmeßstation Rougemont (Beobachter: V. Saugy). Den weiteren Abgängen von Burg (Aargau) und Gersau bei den Regenmeßstationen stehen folgende Neugründungen gegenüber: Balsthal konnte nach einjährigem Unterbruch wieder besetzt werden (Beobachter: E. Müller, Gemeindeammann). Zwei weitere neue Stationen betreffen ebenfalls Orte, die bereits früher in unseren Registern standen: Oberwald im Goms (Beobachter: V. Bacher, Pfarrer) und Le Pont, Vallée de Joux (Beobachter: Ch. D. Mochat).

Die Gesamtzahl der Beobachtungsstationen war somit Ende 1951 dieselbe wie zu Anfang:

Meteorologische Stationen	124
Regenmeßstationen	295

Beobachterwechsel (* mit Stationsverlegung, † Todesfälle)

Station:	bisher:	neu:
*Château-d'Oex II	R. Perret	E. Jaccard
*Meiringen	A. Michel †	Frau E. Michel
*Muri	J. Strebel	E. Hunzinger
Nollen	J. Sager	B. Näf
*Schiers	Frl. R. Baumann	Chr. Lötscher
Schleitheim	G. Neck	H. Wanner
Schwarzenegg	E. Moser	F. Liechti
*Splügen	Frau M. Schwarz †	J. Engi

Zürich, im Dezember 1952

Der Direktor der
Schweizerischen Meteorologischen Zentralanstalt:
Jean Lugeon.

Eidgenössische Meteorologische Kommission 1951

Prof. Dr. Ch. Borel, Gymnasium, La Chaux-de-Fonds, Präsident
Prof. Dr. A. Kreis, Kantonsschule, Chur, Vizepräsident
Prof. Dr. W. Jost, Gymnasium, Bern
Prof. Dr. Fr. Gaßmann, ETH, Zürich
Dr. Gottfried von Meiß, technischer Berater der Swissair, Zürich
Dr. Max Bider, Astronomisch-Meteorologische Anstalt, Basel
Prof. Dr. S. Bays, Universität, Fribourg

Verzeichnis der 1951 erschienenen oder sich auf dieses Jahr beziehenden schweizerischen meteorologischen und seismologischen Literatur

Abkürzungen: NG = Naturforschende Gesellschaft. — SNG = Schweizerische Naturforschende Gesellschaft. — SHSN = Société Helvétique des Sciences Naturelles.

Dieses Verzeichnis führt, um Raum zu sparen, die im vorliegenden Bande publizierten Arbeiten nicht nochmals auf

(s. Inhaltsverzeichnis S. II)

a) *Meteorologie und Glaziologie*

Annalen der Schweizerischen Meteorologischen Zentralanstalt 88, 1951.

Ergebnisse der täglichen Niederschlagsmessungen auf den meteorologischen und Regenmeß-Stationen der Schweiz im Jahre 1951.

Meteorologische Monatsberichte: Januar — Dezember 1951.

Täglicher Wetterbericht der Schweizerischen Meteorologischen Zentralanstalt 70, 1951.

Eidg. Institut für Schnee- und Lawinenforschung: Schnee und Lawinen in den Wintern 1936/37 bis 1945/46. — (1.—10. Winterbericht, 84 S., Davos 1951.)

Eidg. Institut für Schnee- und Lawinenforschung: Schnee und Lawinen im Winter 1949/50. — (14. Winterbericht, 92 S., Davos 1951.)

Observatoire de Genève: Résumés météorologiques 1951. — (Arch. des Sc., vol. 4, Genève 1951.)

Observatoire de Lausanne (Champ de l'Air): Résumés mensuels pour 1951, publ. par le Service météorologique cantonal vaudois.

Observatoire de Neuchâtel: Observations météorolgiques faites en 1950. — (Bull. Soc. Neuch. Sc. Nat. 1951.)

Ackermann, P.: s. Lugeon, J.

Ambrosetti, F.; Thams, J. C.: Il problema del gelo e l'agricoltura. — (L'Agricoltore Ticinese, 7 aprile, Lugano 1951.)

Ambrosetti, Fl.; Zenone, E.: Sulle alluvioni dell'agosto e le innondazioni del novembre 1951. — (L'Agricoltore ticinese, 26 aprile e 3 maggio, Lugano 1952.)

Ambühl, E.: Die Sonnenscheindauer von Bern von 1901 bis 1950. — (Schweiz. Bauzeitung, Jg. 69/48, S. 673—677, Zürich 1951.)

Bider, M.: Bemerkungen zum Quotienten Niederschlagsmenge: Sättigungsdefizit als Dürremaß. — (Verh. SNG 1951, S. 120 bis 121.)

Bider, M.: Geschichte der meteorologischen und klimatischen Forschung im Baselbiet 1900—1949. — (Tätigkeitsber. NG Baselland, 18, 1948/49, S. 56—63, Liestal 1950.)

Bider, M.; Thams, J. C.: Das Niederschlagsregime nord- und südwärts der Alpen auf Grund zehnjähriger Pluviographenregistrierungen. — (Archiv Met. Geoph. Biokl., B. III, S. 123—148, Wien 1951.)

Bider, M.; Thams, J. C.: Über die Gewitterwahrscheinlichkeit als Funktion des Dampfdruckes. — (Archiv Met. Geoph. Biokl., A, III/5, S. 402—407, Wien 1951.)

Bois, Ch.: Famines et sécheresses en Algérie. — (Revue pour l'Etude des Calamités, XII/28—29, pp. 47—62, Genève 1951.)

Bouët, M.: La dyssymétrie des régimes pluviaux au nord et au sud des Alpes suisses. — (Geof. pura e appl., IXX/1—2, 7 pp., Milano 1951.)

Bouët, M.: Le fœhn en Valais. — (Bull. de la Murithienne, 68, pp. 54—74, Sion 1951.)

Bouët, M.: Lokalwinde in der Westschweiz. — (Leben und Umwelt, VII/4, S. 91—95, Aarau 1951.)

Bouët, M.: La vaudaire d'orage du 11 juin 1950. — (Bull. Soc. Vaud. Sc. Nat., vol. 65/278, 8 pp., Lausanne 1951.)

Brunner-Hagger, W.: Endphase des Phänomens der blauen Sonne, 27. September 1950. — (Verh. SNG 1951, S. 119—120.)

Brunner-Hagger, W.: Zürcher Niederschläge 1950/51 und Sonnentätigkeit. — (Verh. SNG 1951, S. 118—119.)

Burger, H.: Waldklimafragen. IV. Mitteilung: Meteorologische Beobachtungen im Brandiswald. — (Mitt. d. Schweiz. Anstalt f. d. forstl. Versuchswesen, 27, S. 19—73, Zürich 1951.)

Courvoisier, P.: Die Bedeutung von Schwankungen des Luftdruckes und des elektrischen Feldes für die Erklärung der Wetterfühligkeit. — (Medizin-Meteorolog. Hefte, 5, S. 20—22, Hamburg 1951.)

Courvoisier, P.: Die Schwankungen des elektrischen Feldes in der Atmosphäre und ihre Bedeutung für die Meteoropathologie. — (Experientia, VII/7, S. 241—254, Basel 1951.)

Courvoisier, P.: s. auch Mörikofer, W.

Dessauer, F.; Graffunder, W.; Schaffhauser, J.: Über atmosphärische Pulsationen. — (Archiv Met. Geoph. Biokl., A, III/5, S. 453—463, Wien 1951.)

Drotschmann, H.: Das heiztechnische Klima der Schweiz im Winter 1950/51. — (Schweiz. Bl. f. Heizg. u. Lüftg., XVIII/3, S. 57—69, Zürich 1951.)

Eidg. Inspektion für Forstwesen, Jagd und Fischerei: Der Lawinenwinter 1950/51. — (Veröffentl. über Verbauung, 6, 157 S., Bern 1951.)

Gallay, R.; Staehelin, M.; Jenny, J.: La défense des cultures arboricoles contre le gel à l'aide de chaufferettes californiennes et d'appareils «Frostguard». — (Rapport d'activité des Stations féd. d'essais viticoles ... 1950, pp. 903—908, Berne 1951.)

Gensler, G. A.: Verschwinden unsere Gletscher? — (Leben und Umwelt, VII/7, S. 145—148, Aarau 1951.)

Gockel, P.: Das meteorologische Jahr 1950 (in Freiburg). — (Bull. Soc. Frib. Sc. Nat., 40, pp. 165—167, Fribourg 1951.)

Götz, F. W. P.: Optics of the turbid atmosphere. — (Internat. Union of Geodesy and Geophysics, Assoc. of Met., Transactions, Oslo 1928, 2, pp. 89—93, 1950.)

Götz, F. W. P.: Ozone in the atmosphere. (Malone, T. F. Compendium of Meteorology, pp. 276—291, Boston, Mass. 1951.)

Götz, F. W. P. Nicolet, M.: Sur des observations à la limite ultraviolette du spectre du ciel nocturne. — (Journal of Geophysical Research, 56/4, pp. 577—582, Baltimore 1951.)

Götz, F. W. P.; Volz, F. Aroser Messungen des Ozongehalts der unteren Troposphäre und sein Jahresgang. — (Zeitschrift f. Naturforschung, VIa/11, S. 634—639, Tübingen 1951.)

Graffunder, W.: s. Dessauer, F.

Guyot, E.: Le nouveau pluviographe de l'Observatoire de Neuchâtel. (Bull. Soc. Neuchât. Sc. Nat., 74, pp. 83—88, Neuchâtel 1951.)

Haefeli, R.; Kasser, P.: Observations in the firn and ablation regions of the Great Aletsch Glacier. — (Proc.-verb. des séances de l'Assoc. Gén. d'Oslo ... 1948 de l'UGGI, pp. 306—322, Louvain s. d.)

Hoeck, E.; Thams, J. C.: Zum Problem der Niederschlagsmessung. — Geof. pura e appl., IXX/3—4, 7 pp., Milano 1951.)

Jaggi, M.: Farbphotographien zwei sich berührender Halos in Cuba. — (Verh. SNG 1951, S. 120.)

Jenal, C.: Die Ursachen der Eiszeit. — (Leben und Umwelt, VII/11, S. 255—260 u. VII/12, S. 265—267, Aarau 1951.)

Jenny, J.: s. Gallay, R.

Jenny-Suter, J.: Über das Klima des Kantons Glarus. — (Mitt. Nat. Ges. des Kt. Glarus, VIII, 62 S., Glarus 1951.)

Israël, H.; Keller, A.: Raumklimatische Nebeluntersuchungen in einem Inhalatorium von Solbad Rheinfelden/Schweiz. — (Annalen Schweiz. Ges. f. Balneologie u. Klimatologie, 41, S. 57 bis 65, Genf 1951.)

Jucker, W.: Wege zu Rekordleistungen im Segelflug. Folgerungen aus Wellenflügen in der Schweiz. — (Organisation sc. et techn. internat. du vol à voile, 1, pp. 17—22, 1951.)

Kasser, P.: s. Haefeli, R.

Keller, A.: s. Israël, H.

Kuhn, W.: Altes und Neues von der Schweizerischen Meteorologischen Zentralanstalt. — (Schweiz. Landw. Monatshefte, 3, S. 91—96, Bern 1951.)

Kuhn, W.: Der Firnzuwachs pro 1950/51 in einigen schweizerischen Firngebieten. 38. Bericht. — Vierteljahresschrift NG Zürich, 96, S. 257—261, Zürich 1951.)

Kuhn, W.: Worauf gründet sich eine Wetterprognose? — (Der Bund, Nr. 276, 17. Juni, Bern 1951.)

Lugeon, J.: Ackermann, P.: Bestimmung der Temperaturfalschmessungen von Radiosondenaufstiegen infolge Trainageeffektes. (Archiv Met. Geophys. Biokl., A, IV, S. 338—342, Wien 1951.)

Meierhofer, W.: Wellenaufwind über Korsika. — (Schweizer Aero-Revue, XXVI/7, S. 311, Bern 1951.)

Melcher, D.: Experimentelle Untersuchung von Vereisungserscheinungen. — (Zeitschr. f. angew. Math. u. Phys., II/6, S. 421 bis 443, Basel 1951.)

Mercanton, P.-L.: Examen de quelques formules pour la prédétermination de l'épaisseur du glacier à l'occasion de sondages recents. — (Geof. pura e appl., XVIII, pp. 170—174, Milano 1950.)

Mercanton, P.-L.: Les recherches de technique pluviométrique de la Station Centrale Suisse de Météorologie. — (Proc.-verb. des séances de l'Assoc. de Mét., UGGI, 8e Ass. Gén., Oslo 1948, 5 pp., Uccle 1950.)

Mercanton, P.-L.; Renaud, A.: Les variations des glaciers des Alpes Suisses, 71e rapport. — (Les Alpes, 11, 10 pp., Berne 1951.)

Mörikofer, W.: Zur Problematik der Wetterfühligkeit. — (Medizin-Meteorolog. Hefte, 5, S. 18—20, Hamburg 1951.)

Mörikofer, W.; Courvoisier, P.: Report on Davos studies on standard pyrhelimetry. — (Proc.-verb. de l'Assoc. de Météorologie, UGGI, 8e Ass. Gén., Oslo 1948, pp. 216—226, Uccle s. d.)

Mörikofer, W.; Schüepp, W.: Aktinometrische Untersuchungen während des Internationalen Polarjahres 1932/1933 auf dem Jungfraujoch, 3471 m. — (Archiv Met. Geoph. Biokl., B, II/5, S. 397—426, Wien 1951.)

Montandon, F.: L'ouragan du 25 novembre 1950, dans l'est des Etats-Unis. — (Revue pour l'Etude des Calamités, XII/28—29, pp. 74—75, Genève 1951.)

Müller, H.: Die internationalen Radiosonde-Vergleichsaufstiege in Payerne, Schweiz, vom 8. bis 30. V. 1950. — (Mitt. Deutscher Wetterdienst, US-Zone, 12, 11 S., Bad Kissingen 1951.)

Nicolet, M.: s. Götz, F. W. P.

Oechslin, M.: Niederschlagsverhältnisse in Altorf und die Witterung im Urner Reußtal im Jahre 1951. — (Gotthard-Post, Febr., 3 S., Altdorf 1952.)

Olsson, H.; Schüepp, W.: Die atmosphärische Trübung in Spitzbergen. — (Geografiska Annaler 1950/3—4, S. 210—219, Stockholm 1951.)

Organisation Météorologique Internationale: Valeurs de quelques fonctions et constantes physiques utilisées en météorologie. — Définition et spécifications de la vapeur d'eau dans l'atmosphère. — (Publ. OMI, 79, 92 pp., Lausanne 1951.)

Primault, B.: Les averses orageuses et leurs répercussions sur la température du sol. — (Sillon Romand, 3 août, Lausanne 1951.)

Primault, B.: Des cartes en altitude et de leur influence sur le calcul des temps de vol. — (La Météorologie, oct. à déc., pp. 251—258, Paris 1951.)

Primault, B.: Les coiffes anti-gel et leurs répercussions sur le développement des ceps. — (Geof. pura e appl., XX, pp. 186 à 196, Milano 1951.)

Quervain, M. de: Die Festigkeitseigenschaften der Schneedecke und ihre Messung. — (Geof. pura e appl., XVIII, pp. 179—191, Milano 1950.)

Quervain, M. de: Zur Entstehung der Lawinen. — (Leben und Umwelt, VII/6, S. 121—131, Aarau 1951.)

Quervain, M. de: Zur Verdunstung der Schneedecke. — (Archiv Met. Geophys. Biokl., B, III, S. 47—64, Wien 1951.)

Quervain, M. de; Zingg, Th.: Die außergewöhnlichen Schneefälle vom Januar und Februar 1951 in den Schweizer Alpen und ihre Folgen. — (Wasser- u. Energiewirtschaft, Jhg. 43/12, S. 205—219, Zürich 1951.)

Rapp, K.: Die Farben der Himmelserscheinungen und ihr innerer Zusammenhang. — (Orion, 32, S. 274—294, Belp 1951.)

Renaud, A.: s. Mercanton, P.-L.

Riggenbach, E.: Wo stellt die Natur ihre Rekorde auf? — (Leben und Umwelt, VII/1, S. 264, Aarau 1951.)

Sänger, R.: Bemerkungen über die Wetterbeeinflussungsversuche in den USA und Demonstration eines Films über «Project Cirrus». — (Verh. SNG 1951, S. 122—123.)

Schaffhauser, J.: s. Dessauer, F.

Schmid, F.: Sechzig Jahre Zodiakallichtforschung. — (Verh. SNG 1951, S. 110—111.)

Schüepp, M.: Entwicklungsstadien der steuernden Hochdruckgebiete in den gemäßigten Breiten. — (Verh. SNG 1951, S. 122.)

Schüepp, M.: Der Lebenslauf einer Gewitterwolke. — (Leben und Umwelt, VII/10, S. 231—236, Aarau 1951.)

Schüepp, W.: Comparaison entre les héliographes Campbell-Stokes et Marvin. — (Météo-Congo, I/1, pp. 5—15, Léopoldville 1951.)

Schüepp, W.: Enregistrement séparé des composantes du rayonnement solaire. — (Météo-Congo, I/5, oc. 1—8, Léopoldville 1951.)

Schüepp, W.: s. auch Mörikofer, W.

Schüepp, W.: s. auch Olsson, H.

Staehelin, M.: s. Gallay, R.

Thams, J. C.: Eine interessante mikroklimatische Beobachtung. — (Leben und Umwelt, VIII/1, S. 8—13, Aarau 1951.)

Thams, J. C.: Hitze und Schwüle einer italienischen Großstadt. — (Vierteljahrsschrift NG Zürich, 96, S. 240—252, 1951.)

Thams, J. C.; Wieland, W.: Die Wirbelbildung im kleinen Scholz'schen Kondensationskernzähler. — (Wissenschaftl. Mitt., Eidg. Kommission z. Studium d. Hagelbildung u. d. Hagelabwehr, 2, 20 S., Zürich 1951.)

Thams, J. C.: s. auch Ambrosetti, Fl.

Thams, J. C.: s. auch Bider, M.

Thams, J. C.: s. auch Hoeck, E.

Urfer, A.: Neuchâtel — Genève en planeur! — (Schweizer Aero-Revue, XXVI/10, S. 426—429, Bern 1951.)

Uttinger, H.: Zur Höhenabhängigkeit der Niederschlagsmenge in den Alpen. — (Archiv Met. Geophys. Biokl., B, II/4, S. 360—382, Wien 1951.)

Verzar, F.: Dauer-Akklimatisation an große Höhen. — (Bull. d. Schweiz. Akademie d. Med. Wissenschaft, VII/1, S. 26—38, Basel 1951.)

Volz, F.: s. Götz, F. W. P.

Wieland, W.: s. Thams, J. C.

Wüsthoff, P.: Téléscripteur de météorologie. — (Interavia, VI/4, pp. 211—212, Genève 1951.)

Zenone, E.: Der Föhn im Tessin. — (Schweizer Aero-Revue, XXVI/4, S. 140—142, Bern 1951.)

Zenone, E.: s. auch Ambrosetti, Fl.

Zingg, Th.: Beitrag zur Kenntnis des Schmelzwasserabflusses der Schneedecke. — (Schnee u. Lawinen in d. Schweizer Alpen, 14. Bericht d. Eidg. Inst. f. Schnee- u. Lawinenforschung, S. 86—90, Davos 1951.)

Zingg, Th.: Beziehungen zwischen Temperatur und Schmelzwassermenge und ihre Anwendung auf die Gletscherschwankungen. — (Verh. SNG 1951, S. 117—118.)

Zingg, Th.: Die maximalen Schneelasten und ihre Abhängigkeit von der Meereshöhe. — (Schweiz. Bauzeitung, Jg. 69/45, 1 S., Zürich 1951.)

Zingg, Th.: Die Wetter- und Schneeverhältnisse des Winters 1950/51 in den Schweizer Alpen. — (Veröffentl. über Verbauung, 6, S. 33—54, Bern, Eidg. Inspektion f. Forstwesen . . ., 1951.)

Zingg, Th.: s. auch Quervain, M. de.

b) *Seismologie und Erdmagnetismus*

Gaßmann, F.: Über die Elastizität poröser Medien. — (Mitt. aus dem Inst. für Geophysik, 17, 23 S., Zürich 1951.)

Gaßmann, F.: Über mechanische Empfänger von Seismographen und Schwingungsmessern. — (Mitt. aus dem Inst. f. Geophysik, 19, 15 S., Zürich 1951.)

Montandon, F.: Les racines helvétiques dans le bassin du Rhône valaisan. Orientation et inclination des couches. — (Globe, 90, 12 pp. Genève 1951.)

Rothé, J.-P.: Tableau de la séismicité du globe pendant les années 1947—1948. Chronique séismologique. — (Revue pour l'Etude des Calamités, XII, nos 28—29, pp. 19—46, Genève 1951.)

Süßtrunk, A.: Sondage du glacier par la méthode sismique. Subsurface glacier investigations: seismic soudings. — La Houille blanche, no spéc. A, pp. 309—317, Grenoble 1951.)

Wanner, E.: Zur Statistik der Erdbebenschwärme. — (Archiv Met. Geophys. Biokl., A, IV, S. 436—448, Wien.)

Weber, M.: Eine neue Erschütterungsmeßapparatur und ihre Anwendung. — (Mitt. aus dem Inst. f. Geophysik, 18, 28 S., Zürich 1951.)

Tägliche Beobachtungen

der Stationen:

Bern, Neuchâtel, Altdorf, Genève, Zürich, Chasseron, Bever, Sion, Lugano, Basel, Säntis und St. Gotthard

im Jahre 1951

Für die Bezeichnung der Hydrometeore und anderer Phänomene werden folgende international vereinbarte Symbole (Wien 1873, Warschau 1935) verwendet:

● = Regen	⋉ = Gewitter	⥂ = starker Wind
❟ = Nebelregen	≺ = Wetterleuchten	⥂ = Sturm
✱ = Schnee	T = Donner	⦶ = Sonnenhof
⟵ = Eisnadeln	≡ = Nebel	Ѡ = Mondhof
▽̇ = Regenschauer	⌂ = Tau	⊕ = Sonnenring (Halo)
▽ = Schneeschauer	⊔ = Reif	Ѡ = Mondring (Halo)
▽ = Regen- und Schneeschauer	V = Rauhreif	⌒ = Regenbogen
△ = Graupeln, Riesel	∾ = Glatteis	⩞ = Nordlicht
▲ = Hagel	⟴ = Schneetreiben	⊠ = Schneedecke

Das Zeichen * kennzeichnet interpolierte Daten. Die Windstärken sind in der sechsteiligen (halben) Beaufortskala ausgedrückt. Die Tages- und Monatsmittel der Temperatur werden in diesem Abschnitt aus den drei Terminbeobachtungen nach der Formel $M = \frac{1}{3}\,(7.30 + 13.30 + 21.30)$ berechnet. Im Abschnitt der Monats- und Jahresübersichten wird dagegen die Formel $M = \frac{1}{4}\,(7.30 + 13.30 + 2 \cdot 21.30)$ verwendet.

In der Spalte «Witterung» bedeuten die Abkürzungen: fl = Flocken, tr = Tropfen. Gewitter werden mit dem Symbol ⋉ oder, wenn vom Beobachter ausdrücklich als Ferngewitter gemeldet, mit (⋉) ohne jede Zeitangabe bezeichnet. Die näheren Angaben sind den «Ergänzenden Witterungsnotizen» auf Seite 73 ff zu entnehmen. Das Gleiche gilt auch für die Symbole Donner T und Ferndonner (T).

Die Intensität der einzelnen Erscheinungen wird durch eine dem Symbol als Exponent beigefügte ^{0} als schwach und ^{2} als stark bezeichnet. Das Zeichen ⊠ bedeutet, daß mehr als die Hälfte der Bodenfläche in der Umgebung der Station an dem betreffenden Tage mit Schnee bedeckt war.

Alle Zeitangaben beziehen sich auf *mitteleuropäische Zeit. Vom Jahrgang 1918 an ist die 24-Stundenzählung* durchgeführt. Außerdem werden folgende Abkürzungen verwendet: a (ante meridiem) = vormittags, p (post meridiem) = nachmittags, n = nachts, fr = früh, mtg = mittags, abd = abends, ztw = zeitweise, mU = mit Unterbrechungen. Die römischen Ziffern geben an, daß das betreffende Phänomen um die Zeit des ersten (I), bzw. zweiten (II) oder dritten (III) Beobachtungstermins beobachtet worden ist, die arabischen Zahlen bedeuten die bürgerlichen Zeitstunden.

λ bezeichnet die geographische Länge in Graden von Greenwich, β die geographische Breite, H_b die Höhe des Stationsbarometers über dem Meer in Metern, H die Höhe der Station (des Regenmessers) über der Meeresfläche, G ist die Korrektion, welche an den Luftdruckdaten für deren Reduktion auf die Normalschwere (45° Breite und das Meeresniveau) noch anzubringen ist, h_r die Höhe des oberen Randes des Regenmessers über dem Erdboden. Die Stationen, bei denen die Höhe (des Barometergefäßes) bis auf den Dezimeter angegeben ist, sind an das schweizerische Präzisionsnivellement angeschlossen. Alle Höhen sind auf Pierre du Niton 373.6 m (neuer Wert) bezogen.

Die Schwerekorrektionen (G) sind vom Jahrgang 1936 an auf Grund neuer Berechnungen von Herrn Professor Niethammer, Basel, eingesetzt worden.

Auf dem Chasseron erfolgten die Abendbeobachtungen bis zum 30. Juni um 20.30 Uhr, vom 1. Juli an um 21.30 Uhr.

ERRATA

1943—1950

Seite 77. (1945—47 S. 84) *Jungfraujoch*, Lufttemperaturen: Der Abendtermin ist stets 21^{30}. Er war nur während der Jahre 1941 und 1942 vom Mai bis September auf 20^{30} MEZ vorverlegt wegen der damals eingeführten Sommerzeit.

1950

Seite II. *Inhaltsverzeichnis:* Baden pag. 86 u. 87 (nicht 106 u. 107).

Seite 109. *Genève u. Lausanne:* Die Beobachter sind vertauscht.

Seite 112. *Chur:* Luftdruck, Mittel im November 704.8 (nicht 710.3), Jahr 706.8 (nicht 707.3).

1951

Seite 9. *Zürich:* Rel. Feuchtigkeit um 21^{30} h: *26.* 78, *27.* 80, *28.* 76, Mittel 84 (nicht 67, 70, 59 u. 82).

Seite 18. *St. Gotthard:* Niederschlag am 31. 1.9 (nicht 0.9), die Summe ist richtig.

Seite 110. *Montreux:* Jahresmaximum der Temperatur: 27.5 im VI (nicht VII).

$\lambda = 7°\,26'$, $\beta = 46°\,57'$,
$H_b = 572.2$ m, $G = 0.00$ mm.

Bern

Januar 1951
Beobachter: *Meteorol. Observatorium.*

Tag	Lufttemperatur 7³⁰	13³⁰	21³⁰	Mittel	Abweich. vom Normalst	Luftdruck 7³⁰	13³⁰	21³⁰	Relative Feuchtigkeit 7³⁰	13³⁰	21³⁰	Windrichtung und Stärke 7³⁰	13³⁰	21³⁰	Bewölkung 7³⁰	13³⁰	21³⁰	Niederschlag	Witterung
1	-4.0	1.4	1.6	-0.3	1.3	702.1	699.9	700.2	92	74	87	SE 1	SE 1	SSW 0	9	9	10	.	
2	-2.7	0.5	0.9	-0.4	1.2	694.9	**693.1**	696.1	98	89	89	ENE 0	NE 0	SE 0	9	10	10*	9.8	✳ $13^1/_2$–24
3	0.2	1.5	-4.5	-0.9	0.7	701.0	704.5	710.1	92	75	94	W 0	**W** 0	**S** 1	8	10	6	.	
4	**-7.5**	-2.2	-4.1	-4.6	-2.9	713.6	714.0	714.6	93	82	92	W 0	SSW 0	**S** 0	9	2	0	.	
5	-4.6	1.6	-2.0	-1.7	0.0	714.5	713.3	713.3	96	78	96	S 0	SE 0	S 0	2	5	0	.	
6	-4.9	1.4	-2.6	-2.0	-0.3	712.0	711.0	711.1	96	78	96	**S** 0	SSE 0	SSW 0	4	8	0	.	⌴ |
7	-4.1	4.9	1.6	0.8	2.6	711.1	711.6	714.1	100	89	100	S 1	WSW 2	N 0	9≡	10	1	2.4	✳ ● $9^3/_4$–$11^1/_4$, *)
8	-1.5	3.8	-2.2	0.0	1.8	713.4	711.5	711.3	**98**	81	100	E 0	NE 0	W 0	9	7	10≡	.	≡ 9-n, ∾ ⌴ |
9	-3.2	4.1	-1.3	-0.1	1.7	710.7	713.2	712.8	98	90	98	SSW 0	N 0	E 0	5	9	10≡	1.8	✳ $9^3/_4$–$10^1/_2$, ● $10^1/_2$–$11^3/_4$, *)
10	-7.0	-1.5	-3.3	-3.9	-2.1	711.7	711.8	713.3	97	82	95	**S** 0	SSE 0	SSW 0	1	9	0	.	≡ $18^1/_2$, ∾ ⌴ |
11	-6.0	2.3	-0.8	-1.5	0.3	711.4	707.9	704.4	97	**65**	83	SW 0	NE 0	S 1	1	8	0	.	∾ ⌴ |
12	-0.5	1.2	1.0	0.6	2.4	701.5	701.0	700.4	82	98	98	**S** 1	**W** 1	SSW 0	9	10*●	10*●	5.9	● 11–$12^3/_4$, *)
13	0.9	3.8	2.7	2.5	4.3	701.3	702.2	705.4	98	79	84	SSE 0	WSW 1	W 1	10	7	6	0.1	✳ ● $5^3/_4$–$7^1/_4$, ● 21–$21^1/_4$, ∾ ||
14	-0.5	3.4	-2.0	0.3	2.1	709.6	709.8	711.5	96	68	89	**W** 1	SSE 1	SSW 1	1	3	0	0.2	∾ |
15	-3.1	1.8	2.0	0.2	2.0	708.9	705.1	714.2	88	97	74	SSE 1	S 0	W 1	10●△	10●	9	**13.5**	△● 7-8, ● 8-19, *)
16	-2.3	1.2	-1.2	-0.8	1.0	719.4	721.5	**724.0**	96	77	92	WSW 1	SSW 1	SE 1	4	10	0	0.0	✳ $10^3/_4$–$12^1/_2$, ✳fl $15^1/_4$–17,*)
17	-2.8	0.9	1.1	-0.3	1.4	721.7	719.7	716.0	86	68	93	S 0	NW 0	ESE 1	10	10	10	5.8	△ 15 $15^1/_4$, ●✳ $15^1/_4$–$15^1/_2$,*)
18	5.1	5.4	3.1	4.5	6.2	711.4	709.4	707.6	88	75	92	WSW 3	WNW 4	WSW 2	10●	10	10●	12.9	● 0–$11^3/_4$ mU, $15^1/_4$ 21, ∾ |
19	2.1	3.1	1.1	2.1	3.8	712.1	714.4	715.1	90	71	94	**W** 1	**W** 2	WSW 2	10	10	10*	9.2	● $2^1/_2$–$4^3/_4$, ●✳ $8^3/_4$–$10^3/_4$mU*)
20	4.2	6.1	6.7	5.7	7.3	711.6	711.5	714.0	90	86	77	WSW 3	**WSW** 3	WSW 1	10●	10●	10	4.0	✳ 0–$2^1/_4$, *)
21	4.6	**7.2**	3.7	5.2	6.8	715.4	716.5	717.6	91	72	91	W 1	**W** 1	SSW 1	10	6	10	.	△ III
22	0.4	5.2	2.2	2.6	4.2	716.2	714.9	713.8	100	84	91	SW 1	SE 0	SSW 0	9≡	10	8	.	≡ n-a, ⌴ |, ☿ $18^1/_2$–$21^1/_2$
23	1.6	4.3	3.9	3.3	4.8	712.5	711.0	711.2	96	89	92	SSE 1	E 0	NE 0	9≡	10	10	.	≡ n-a, △ |
24	1.5	4.7	2.6	2.9	4.4	710.4	709.5	708.8	98	78	88	E 1	NNE 1	NE 1	9≡	10	10	.	≡ n-a
25	1.5	1.8	1.9	1.7	3.1	705.8	706.5	707.6	94	90	92	ENE 1	WSW 2	W 0	9	10	10	.	
26	-0.8	1.1	0.0	0.1	1.5	706.5	706.0	706.1	100	90	100	**W** 1	WNW 0	**W** 0	10≡	10	10≡	.	≡ n-a, $18^1/_2$-n
27	-0.6	0.9	0.5	0.3	1.6	704.6	702.1	698.4	93	82	95	SSW 1	E 1	NNE 1	9	10	10	.	
28	-0.2	1.2	1.0	0.7	2.0	697.2	698.9	702.9	86	82	84	ENE 1	E 0	NE 1	10	10	10	.	
29	0.1	1.3	0.6	0.7	1.9	706.3	707.5	709.4	98	86	91	NE 1	NNE 1	NE 1	10●	10	10	0.0	●tr 5–8
30	0.8	1.2	1.0	1.0	2.1	709.0	708.6	707.9	89	90	92	ENE 2	NE 1	NNE 1	10	10	10	0.8	● 8–$8^3/_4$, ✳ $8^3/_4$–$10^1/_2$,
31	1.0	1.9	1.2	1.4	2.5	707.0	707.8	710.3	94	88	88	E 0	NE 0	NE 1	10	10	10	.	[●tr 14, $17^3/_4$
																		Summe	
Mittel	-1.0	2.4	0.5	0.6	—	709.2	708.9	709.8	94	82	91				7.9	8.8	7.1	66.4	

$\lambda = 6°\,57'$, $\beta = 47°\,0'$,
$H_b = 487.3$ m, $G = 0.02$ mm.

Neuchâtel

Januar 1951
Beobachter: *Observatorium.*

1	1.6	4.6	2.1	2.8	3.3	709.2	706.8	707.4	89	71	95	SW 2	SW 3	SW 2	10●	10	10●	6.4	● $7^1/_4$–$11^1/_2$, $16^1/_4$–$21^1/_4$
2	0.2	0.2	1.1	0.5	1.0	701.8	**700.1**	703.2	96	96	96	NE 1	**S** 0	W 0	10	10*	10	15.0	✳ $11^1/_2$–$19^3/_4$ [☔ a-20
3	0.0	2.5	-2.8	-0.1	0.5	708.4	711.8	717.9	61	**54**	90	**W** 1	W 1	NE 0	10	9	0	.	
4	**-5.7**	-1.6	-2.7	-3.3	-2.7	721.6	721.9	722.8	95	96	96	NE 0	W 0	W 0	10	8	10	.	
5	-2.9	1.7	-1.5	-0.9	-0.3	721.4	721.3	721.2	96	82	96	W 0	SW 0	**SW** 0	7	4	6	.	
6	-2.5	0.0	-1.6	-1.4	-0.7	719.9	718.9	718.8	96	97	96	SW 0	SE 0	E 0	10≡	10≡	10≡	.	≡ n-abd
7	3.1	4.8	3.0	3.6	4.3	718.6	719.5	721.7	82	75	82	W 2	W 3	**SW** 1	5	10	0	0.9	● $1.^1/_2$–$12^1/_2$, 14–$14^1/_2$,
8	-1.8	0.1	0.2	-0.5	0.2	721.3	719.5	719.2	96	95	96	E 0	SW 0	SW 0	10≡	10≡	10	.	✳ n-p [☔ a-$18^1/_4$
9	0.4	4.0	-0.9	1.2	1.9	718.5	721.0	720.6	89	83	92	SW 2	SW 1	NW 0	10	9	0	0.2	● $12^3/_4$
10	-2.6	-1.2	-1.4	-1.7	-1.0	719.7	719.7	721.2	96	96	96	NW 0	NE 0	**SW** 0	10	10	10	.	
11	-1.4	0.7	1.9	0.4	1.1	719.1	715.4	711.5	96	96	91	**SW** 0	SW 0	W 0	10≡	10	8	.	≡ n-13, ☔ $14^1/_2$–16
12	3.0	1.8	1.1	2.0	2.7	708.2	708.2	707.6	87	96	96	SW 0	W 2	SW 0	10	10●	10	9.1	● $9^3/_4$–$15^3/_4$, $18^3/_4$–21
13	1.6	4.4	1.9	2.6	3.3	708.6	709.4	713.0	95	73	87	W 1	SW 2	W 1	10	9	8	1.0	● $4^3/_4$–$5^1/_4$, $18^1/_2$–$20^1/_2$
14	0.3	4.1	-0.9	1.2	1.9	717.5	718.0	719.5	91	78	96	W 0	S 1	SW 0	0	6	0	0.9	● n (14./15.)
15	0.8	4.9	3.3	3.0	3.6	716.4	712.6	721.5	87	97	58	W 2	SW 3	W 2	10●	10●	10	**17.0**	● $6^1/_2$–$18^1/_2$, $21^3/_4$–$22^1/_4$,
16	0.9	2.2	-0.8	0.8	1.4	727.2	729.3	**731.8**	56	60	81	W 2	W 1	NW 0	8	9	0	.	[☔ 16-19
17	-2.2	1.0	2.9	0.6	1.2	729.9	727.4	724.0	90	71	76	NE 0	SW 0	W 2	10	10	10●	4.1	● $17^1/_2$–18, $21^1/_2$–24
18	5.0	4.1	3.4	4.2	4.8	719.5	717.7	714.5	95	90	97	SW 3	SW 4	SW 1	10●	10●	10●	15.9	● 0–24, ☔ n-19
19	2.8	3.5	1.4	2.6	3.1	719.8	722.6	723.2	86	65	96	SW 1	W 3	SW 3	10	10	10●	13.5	● 0–$4^1/_2$, 18–24
20	2.9	5.0	6.0	4.6	5.1	720.4	720.0	721.6	97	94	85	SW 2	W 3	W 2	10●	10●	10	5.4	● 0–$17^1/_2$, $22^1/_2$–24
21	5.0	**9.2**	4.9	6.4	6.9	723.1	724.2	725.3	81	69	86	W 1	SW 1	N 0	10	7	10	.	
22	1.7	4.4	2.0	2.9	3.3	724.1	722.8	721.5	98	90	93	N 0	NW 0	W 0	10	10	8	.	☿ 19
23	2.2	4.4	4.4	3.7	4.1	720.1	718.8	718.9	98	86	84	NE 0	NE 1	NE 1	10≡	10	10	.	≡ n-10
24	3.3	4.5	2.8	3.5	3.8	718.0	717.3	716.7	83	76	83	NE 2	NE 2	NE 2	10	10	10	.	
25	1.6	2.6	1.3	1.8	2.1	713.3	714.0	715.3	89	85	93	NE 1	SW 0	NW 0	10	10	10	.	
26	0.6	1.7	0.4	0.9	1.1	714.1	713.7	713.6	93	91	92	NW 0	W 1	W 0	10	10	10	.	
27	-0.1	0.8	0.2	0.3	0.5	711.8	709.1	705.7	87	85	89	**W** 0	W 0	NE 0	10	10	10	.	
28	0.2	1.6	1.5	1.1	1.2	704.5	706.5	710.5	89	86	75	E 1	E 0	NE 1	10	10	10	.	
29	0.8	1.2	1.2	1.1	1.2	713.9	715.3	717.1	87	85	84	N 0	NE 1	NE 1	10	10	10	.	
30	1.2	2.1	1.4	1.6	1.6	716.5	716.2	715.7	82	81	85	NE 0	E 1	NE 0	10	10	10	0.0	✳fl $9^3/_4$–$10^1/_4$
31	0.8	2.7	1.8	1.8	1.8	714.4	715.5	718.2	89	72	64	NE 0	E 1	N 0	10	10	10	.	
																		Summe	
Mittel	0.7	2.6	1.2	1.5	—	716.8	716.6	717.4	89	83	88				9.4	9.4	8.1	89.4	

Bern: *) **7.** ● $11^1/_4$–$13^1/_4$ $15^1/_2$–16, ≡ a, ⌴ ∾ \| **9.** ≡ p-n, ∾ ⌴ \| **12.** ● ✳ $12^3/_4$–16, $20^3/_4$–$22^1/_4$, ≡ $18^1/_2$ **15.** ✳ $23^1/_4$–24, ∾ \| **16.** ∾ **17.** ● $17^1/_4$–24 mU, ⌴ ∾ \| **19.** ✳ 16–24 **20.** $2^1/_4$–$14^1/_2$, $16^1/_2$–17, $21^1/_2$–01, ∾ \|

Januar 1951
Beobachter: *Frl. H. Nager.*

Altdorf

$\lambda = 8° 39'$, $\beta = 46° 53'$,
$H_b = 456.3$ m, $G = -0.05$ mm.

Tag	Lufttemperatur 7³⁰	13³⁰	21³⁰	Mittel	Abweich. vom Normalst	Luftdruck 7³⁰	13³⁰	21³⁰	Relative Feuchtigkeit 7³⁰	13³⁰	21³⁰	Windrichtung und Stärke 7³⁰	13³⁰	21³⁰	Bewölkung 7³⁰	13³⁰	21³⁰	Niederschlag	Witterung
1	−2.7	7 2	4.9	3.1	2.9	711.7	708.9	710.1	82	28	31	SE o	SE 2	SE 2	10	10	7	.	
2	6.6	7.9	2.6	5.7	5.5	704.8	702.0	705.9	30	29	81	SE 3	S 3	NW o	8	10	10	8.3	✳ n (2./3.)
3	1.3	1.5	0.4	1.1	1.0	710.7	714.8	721.0	100	98	100	W o	NW o	NW o	10*	10*	10	2.4	✳ n-p
4	0.3	3.0	0.0	1.1	1.0	724.2	723.3	725.1	100	80	97	SE o	E o	NW o	10	8	10	.	
5	0.1	0.9	−0.8	0.1	0.0	724.2	723.5	723.7	100	100	100	E o	E o	E o	7	5	6	.	
6	−1.2	0.1	−2.0	−1.0	−1.1	722.2	722.3	721.2	100	100	100	E o	NE o	E o	10≡	6≡	10≡	.	≡ n-n
7	−2.6	3.0	1.5	0.6	0.5	722.1	722.8	724.5	100	91	100	E o	E o	E o	0	10	8	0.7	● a-p mU
8	−0.1	3.6	−0.8	0.9	0.8	724.1	721.7	721.7	100	63	83	W o	SW o	W o	10	5	5	.	
9	−1.5	2.4	−1.7	−0.3	−0.4	720.3	723.4	723.5	95	76	98	NW o	E o	E o	8	8	6	.	
10	−3.0	1.9	−1.0	−0.7	−0.8	722.2	721.2	723.6	95	76	98	E o	NW 1	E o	10	4	7	.	
11	−2.6	5.3	9.3	4.0	3.9	721.1	717.2	714.0	100	60	33	NE o	NW 1	S 3	10	4	5	.	
12	10 4	8.9	2.4	7.2	7.0	710.3	708.7	710.2	32	40	100	SE 2	W o	W o	7	10	10	5.0	● 16-n
13	2.2	5.2	1.8	3.1	2.9	711.2	711.9	715.6	100	55	75	NW o	N o	W o	10	4	10	0.2	✳ n (13./14.)
14	0.1	4.3	0.4	1.6	1 4	720.1	719.8	721.9	99	53	68	SE o	SE o	SE o	8	0	0	.	
15	−0.8	2.4	4.8	2.1	1.9	719.3	714.6	723.3	75	80	58	W o	E o	NW 2	8	10●	10●	17.9	● a-n, ✳ n (15./16.)
16	1.8	2.0	1.2	1.7	1.5	728.8	730.8	734.4	57	87	85	NW 1	NE 1	NE o	10	10	10	.	
17	−0.6	2.5	1.5	1.1	0.9	732.1	729.7	725.7	81	64	100	E o	E o	E o	10	10	10●	13.5	● 16½-n
18	2.3	3.7	1.0	2.3	2.0	721.1	717.9	716.2	100	100	70	NW o	NE o	NW 2	10●	10●	10●	25.4	● n-n mU
19	3.8	5.3	2.3	3.8	3.5	722.1	722.5	725.0	78	46	95	NE 1	NE 1	SE o	10●	10	10	34 1	● n-a, p-abd mU, ✳ abd n
20	1.0	8.3	3.6	4.3	4.0	721.2	720.2	722.6	100	100	100	SE o	SE o	SE o	10*	10●	10	22.9	✳ n-a, ● a-p
21	3.5	4.9	3.8	4.1	3.8	725.7	727.0	728.1	100	100	100	NW o	NW 1	NW o	10	10●	10●	3.1	● p-n
22	2.8	5.9	3.8	4.2	3.8	726.4	724.9	724.0	100	90	100	NW o	NW o	NW o	10	6	10	.	≡ 9-10
23	2.8	6.1	2.7	3.9	3.5	723 1	721.2	721.0	98	78	99	SE o	NW 2	NW o	10	8	10	.	
24	2.0	5.4	2.8	3.4	3.0	721.4	719.5	718 8	96	73	95	NW o	NW 1	E o	10	8	9	.	
25	1.7	4.3	2.7	2.9	2.4	715.7	715.5	717.5	100	85	97	NE o	NW 1	SE o	10	10	10	.	
26	0.4	1.4	1.4	1.1	0.6	716.2	715.6	716.2	100	84	100	SE o	NW o	NW o	4	2	10	.	
27	−0.5	1.4	0.8	0.6	0.0	714.0	711.4	708.1	100	80	88	NW o	E o	E o	10	10	10	.	
28	0.8	2.6	2.1	1.8	1.2	706.9	708.6	713.1	90	77	95	E o	E o	E o	10	10	10	.	
29	1.6	2.7	1.9	2.1	1.4	716.5	717.9	719.4	99	85	94	N o	NW o	E o	10	10	10	.	
30	1.5	3.8	2.4	2.6	1.9	718.9	718.0	718 1	97	75	95	NW o	NW 2	E o	10	10	10	.	
31	1.4	3.3	2.1	2.3	1.5	717.4	717.9	720.0	76	62	85	E o	E o	E o	10	10	10	0.0	●tr p
																		Summe	
Mittel	1.1	3.9	1.9	2.3	—	719.2	718.5	719.9	90	75	88				9.0	8.3	8.8	133.5	

Januar 1951
Beobachter: *Observatorium.*

Genève

$\lambda = 6° 9'$, $\beta = 46° 12'$,
$H_b = 405.0$ m, $G = -0.03$ mm.

1	4.2	4.8	2.8	3.9	3.6	716.9	715.5	714.9	77	70	86	SSW o	SE o	SE o	10●	10●	10●	0.8	● n-n
2	4.8	1.0	2.2	2.7	2.4	714 0	713.5	711.4	64	96	93	E o	SE o	E o	10●	10	9	8.5	● n-a, ● ✳ p
3	0.6	3.0	−3.0	0.2	−0.1	714 4	718.9	724.7	88	66	87	SE o	E o	NE o	10	7	4	.	
4	−5.0	1.5	−1.0	−1.5	−1.7	729.7	730.1	730.6	90	73	84	E o	ESE o	ESE o	0	4	9	.	
5	−4.0	2.0	−0.5	−0.8	−1.0	729.8	730.3	729.6	95	73	94	E o	ENE o	E o	1	0	0	.	
6	−3.3	3.2	2.0	0.6	0.4	727.5	726.6	726.8	94	72	82	E o	SE o	E o	1	3	9	.	
7	3.0	5 6	1.8	3.5	3.3	727.0	727.7	729.3	66	61	95	E o	ESE o	E o	4	8	9	.	
8	−0.8	0.4	−2.0	−0.8	−1.0	728.5	727.2	727.3	100	100	100	S o	E o	E o	10≡	10	10≡	.	≡ n-a, p-n
9	1.0	4.8	1.0	2.3	2.1	728 4	728 2	727.5	100	70	88	WSW 1	WSW 1	E o	10	10	10	.	
10	−0.6	1.2	−1.0	−0.1	−0.3	727.3	726.9	728.7	96	86	94	E o	E o	ESE o	10	10	3	.	
11	0.5	10.2	8.0	6.2	6.0	727.0	722.3	718.7	90	58	67	ESE o	SW 1	W 1	6	4	10	0.1	● n (11./12.)
12	5.4	3.5	2.0	3.6	3.4	716.6	716.3	716 2	72	91	96	SW o	SW o	SSW o	10●	10●	10	10.0	● n-p
13	3.0	7.0	3.0	4.3	4.1	716.7	718.1	722.1	83	64	90	SW o	ESE o	ESE 1	4	8	7	0.0	● n (13./14.)
14	0.8	4.6	−0.8	1.5	1.3	723.2	724.1	726.8	96	71	92	E o	ESE 1	ESE o	2	3	0	.	
15	2.2	9.0	2.8	4.7	4.4	724.2	721.4	731.3	89	86	83	S 1	SE 1	NNE 1	10●	10●	10●	1.2	● n-p mU, ● ✳ p-n
16	1.0	3.5	1.2	1.9	1.6	736.9	736.9	738.7	81	58	75	NNE 1	ENE 1	ENE o	3	7	0	.	
17	−3.2	3.5	4.2	1.5	1.2	737.7	736.8	733.6	82	62	74	S 1	SW 1	S 1	10	10	10●	14.5	● a, 19-n
18	8.0	7.2	6.0	7.1	6.8	730.4	727.1	725 2	97	83	88	ESE 1	S 1	E o	10	10	10	4.5	● p mU
19	3.8	5.2	1.8	3.6	3.2	729.1	731.8	732.2	95	66	94	WNW 1	SSE o	E o	5	10	10	6.0	● n (19/20)
20	4.0	6.2	4.5	4.9	4.5	732.1	731.9	732.1	97	92	79	E o	ESE o	E o	10	10	10	1.5	● p, n (20/21.)
21	4.0	7.5	5.0	5.5	5.1	732.0	731.6	732.0	87	81	84	SSW 1	ESE o	E o	6	2	9	.	
22	4.0	6.2	2.3	4.2	3.7	731.6	729 2	728 9	100	94	93	E o	E o	E o	5	7	8	.	
23	5.4	6.0	5.4	5.6	5.1	726.8	725.0	725.6	81	86	84	WSW o	NE 2	ENE 1	10	10	10	.	
24	5.0	6.0	4.2	5.1	4.5	724.1	723.7	723.2	87	70	83	E o	ENE 1	NE 2	10	9	10	.	
25	3.5	5.0	3.4	4.0	3.4	722.0	720.9	722.5	73	76	90	E o	ENE o	ENE o	10	10	10	.	
26	2.1	3.0	1.8	2.3	1.6	721.4	720.9	721.2	93	95	89	E o	ENE 1	E o	10	10	10	.	
27	0.2	1 7	2.0	1.3	0.6	719.1	718.6	712.2	96	89	82	E o	ENE 1	ENE 1	10	10	10	.	
28	1.2	2.0	3.3	2.2	1.4	711 2	714.5	717.7	88	82	70	E o	ENE 1	E o	10	7	10	.	
29	2.8	3.2	3.0	3.0	2.2	721.8	722.6	723 9	78	72	74	NNE 1	NNE 2	NNE 2	10	10	10	.	
30	2.8	3.2	2.5	2.8	1.9	723.8	723.1	722.0	78	80	88	NNE 1	NNE 1	E o	10	10	10	0.1	● p mU
31	2.0	4.2	3.4	3.2	2.2	723.0	722.8	725.5	82	65	71	E o	ENE 1	NNE 1	10	10	10	.	
Mittel	1.9	4.4	2.3	2.9	—	725.0	724.7	725.3	87	77	85				7.6	8.0	8.3	47.2	

$\lambda = 8°\ 34'$, $\beta = 47°\ 23'$,
$H_b = 569.4$ m, $G = 0.03$ mm

Zürich

Januar 1951
Beobachter: *Meteorol. Zentralanstalt.*

Tag	Lufttemperatur					Luftdruck			Relative Feuchtigkeit			Windrichtung und Stärke			Bewölkung			Niederschlag	Witterung
	7^{30}	13^{30}	21^{30}	Mittel	Abweich. vom Normalst	7^{30}	13^{30}	21^{30}	7^{30}	13^{30}	21^{30}	7^{30}	13^{30}	21^{30}	7^{30}	13^{30}	21^{30}		
1	-2.7	1.9	0.7	0.0	1.6	702.3	700.5	700.7	81	57	82	SSW 1	WSW 1	WSW 1	10	10	10	0.0	●tr p, ☄ 17-18
2	-2.2	0.4	0.6	-0.4	1.2	695.1	**692.3**	696.5	96	83	96	NE 1	NW 1	SW 1	9	10	10	3.6	✳ n (2./3.), ⌙ |
3	-0.3	1.1	-1.5	-0.2	1.4	701.2	704.7	710.2	84	66	92	WNW 1	WSW 1	S 1	10	10	10	0.0	✳ fl p
4	-2.0	2.8	0.8	0.5	2.2	713.6	713.6	714.5	97	66	85	S 1	WSW 1	S 1	10	1	9	0.0	☽ a, ≡ $10^1/_2$-13
5	-1.9	7.3	-0.2	1.7	3.4	714.3	713.6	713.4	94	54	90	SSW 0	SW 1	SE 1	6	6	0	0.0	●tr a
6	-1.5	4.3	1.8	1.5	3.2	712.1	711.4	711.0	93	63	66	ENE 1	SSW 1	SSE 1	8	7	0	0.0	●tr a, ⌙ |
7	5.1	4.9	3.0	4.3	6.0	711.1	711.5	714.0	65	81	76	SW 2	**SW 3**	SW 2	6	10	1	1.8	● $11^3/_4$-13, 13-16 mU, ☄ 7-15
8	-0.1	6.7	-0.7	2.0	3.8	713.7	712.3	711.6	93	62	95	SSW 1	**SW 1**	ESE 1	6	4	0	0.0	●tr a, ⌙ |
9	-0.6	3.4	-1.5	0.4	2.2	710.6	713.6	713.5	91	82	99	S 1	SW 2	SSW 1	9	10	0	0.2	●tr a, ⌙ |
10	-3.4	-2.8	**-4.1**	-3.4	-1.6	712.4	712.4	713.1	99	96	99	NNE 1	WSW 1	E 1	10	10	0	0.1	☽ a, ≡ 3-$8^1/_2$ mU, ⌙ |
11	-3.6	**7.5**	1.5	1.8	0.0	711.2	708.4	704.2	92	**53**	62	W 1	S 1	ESE 1	2	7	0	.	⌙ |
12	1.8	3.1	1.0	2.0	3.8	701.4	700.8	700.6	71	85	100	ESE 1	W 1	S 1	9	10	10	5.5	● ✳ $10^1/_4$-$18^3/_4$, ✳ 21-$21^1/_4$, 23-24
13	1.1	3.1	2.7	2.3	4.1	701.3	702.3	705.4	91	78	79	SSW 1	SSW 1	SSW 1	10	5	10	0.8	✳ $0^1/_2$-$0^3/_4$, n (13./14.)
14	0.4	5.7	-0.5	1.9	3.7	709.7	710.2	711.8	87	57	85	SSW 1	SSW 1	SSE 1	1	1	0	.	
15	-0.4	1.6	1.5	0.9	2.7	708.4	704.7	713.5	70	94	76	SSW 1	SSW 1	W 1	10	10●	6	**19.5**	● 8-19 mU, ✳ 22-$2^1/_4$, ☄ 14-20, [☄ 15, ⌙ |
16	-0.8	-0.2	-0.1	-0.4	1.4	719.5	721.0	**724.1**	79	77	76	WNW 1	WSW 2	SSW 1	10	10*	8	0.0	✳ fl a-p
17	-2.0	-0.4	3.6	0.4	2.1	721.7	719.4	715.0	96	82	70	SSE 1	SSW 1	WSW 2	10	10*	10●	7.9	✳ $1^3/_4$-14, $17^1/_2$-$20^1/_4$, *)
18	5.2	5.0	3.0	4.4	6.1	710.8	708.4	706.9	87	73	94	WSW 3	WSW 4	WSW 2	10●	10	10●	14.7	● $6^3/_4$-$11^1/_4$ mU, $16^1/_4$-22 mU,*)
19	1.0	2.5	0.5	1.3	3.0	711.4	713.4	714.1	95	73	95	WSW 1	WSW 2	SW 2	10	10	10*	8.5	● 3-$5^1/_4$, ✳ $20^3/_4$-n mU. ☄ 13-n
20	3.1	5.0	5.8	4.6	6.3	710.7	711.1	712.7	92	90	82	WSW 2	SW 3	WSW 3	10●	10●	10	4.3	● n-$3^1/_2$, $13^1/_4$-14, $23^1/_2$-24, ☄ n-5
21	4.5	5.4	4.3	4.7	6.4	715.1	716.6	718.1	85	81	97	SW 1	WSW 1	S 1	10●	10	10●	1.8	● $1^1/_2$-$3^1/_2$, $22^1/_4$-n, ●tr n-n
22	3.4	5.5	4.4	4.4	6.0	716.5	715.2	714.1	99	86	82	SSW 0	E 1	SSW 1	10	10	9	0.0	● n-1, $7^1/_2$-8
23	3.3	4.5	3.5	3.8	5.4	713.0	712.2	712.0	92	84	90	S 0	S 0	ENE 1	10	10	10	.	
24	2.3	3.1	1.5	2.3	3.9	711.8	710.8	709.9	92	80	90	NE 1	NE 1	NNE 2	10	10	10	.	
25	0.2	1.0	1.5	0.9	2.5	707.1	706.2	707.9	95	90	90	NE 2	WNW 1	SW 1	10	10	10●	1.3	● $21^1/_2$-$23^1/_2$, ⌙ |
26	0.1	1.9	0.6	0.9	2.5	706.8	706.5	706.4	99	99	100	W 1	SSW 1	WSW 1	9	10≡	10≡	0.0	☽ p, ≡ $7^3/_4$-n, ⌙ |
27	-1.3	-1.4	-1.3	-1.3	0.2	704.8	702.7	698.6	99	88	95	WSW 1	SSW 1	N 1	10	10	10	.	≡ n-$7^1/_4$
28	-0.4	0.9	0.2	0.2	1.7	697.5	699.3	703.4	93	82	88	NNE 1	N 1	ENE 1	10	10	10	0.1	☽ a
29	-0.3	0.4	0.3	0.1	1.6	707.1	708.4	710.1	90	91	89	ENE 1	WNW 1	NNE 1	10	10☽	10☽	0.4	☽ n-n mU
30	0.0	1.5	0.4	0.6	2.0	709.8	709.2	708.8	96	87	90	NNW 1	NE 1	NNE 1	10☽	10	10	0.1	☽ n-a, ✳ fl p
31	0.3	1.1	0.5	0.6	2.0	707.6	708.4	710.1	91	82	85	NNE 1	ENE 1	N 1	10	10	10	0.1	✳ n (31./1.)
																		Summe	
Mittel	0.3	2.8	1.1	1.4	—	709.3	709.1	709.9	90	78	87				8.9	8.7	7.2	70.7	

*) **17.** ● 21-23, ☄ 19-n, ⌙ \| **18.** ☄ p-21. ☄ $11^1/_2$

$\lambda = 6°\ 32'$, $\beta = 46°\ 51'$
$H_b = 1589$ m, $G = -0{,}13$ mm

Chasseron

Januar 1951
Beobachter: *R. Colomb*

1	-5.4	-4.1	-4.4	-4.6	—	617.3	615.4	615.8	100	100	100	SSW 3	SSW 4	S 3	10*≡	10*≡	10*≡	6.7	✳ n-n, ≡ n-n, ☄ n-n
2	-4.1	-3.7	-5.1	-4.3	—	610.7	**609.5**	612.0	64	99	99	SSE 3	SW 3	W 3	10	10*≡	10*≡	5.3	✳ $8^1/_2$-n, ≡ $8^1/_4$-n, ☄ n-n
3	-5.0	-6.9	-8.4	-6.8	—	615.3	619.1	623.8	100	98	94	WNW 3	WNW 2	NNW 2	10≡	9	5	.	≡ n-$9^1/_4$, ☄ n-a
4	-8.8	-4.6	0.8	-4.2	—	626.8	627.8	629.2	90	50	95	ENE 2	SW 2	SSW 3	4	4	9	.	☄ p-n
5	1.8	4.2	4.0	3.3	—	629.6	629.2	629.5	80	49	42	SW 3	SSW 3	SSW 4	4	5	4	.	☄ n-n
6	5.7	**7.2**	3.7	5.5	—	628.0	627.8	627.4	31	**28**	35	S 3	SSW 3	SSW 4	4	6	5	.	☄ n-n
7	-0.8	-1.7	-3.6	-2.0	—	626.5	627.4	628.8	96	100	100	WSW 4	W 4	WNW 3	6	10*	7	5.4	✳ $9^3/_4$-15, ≡ $8^3/_4$-n mU,
8	-5.2	-1.4	-4.0	-3.5	—	628.4	627.1	626.2	92	80	80	WNW 1	ESE 1	SSE 3	1	4	3	.	☄ p-n [☄ n-n
9	-2.8	-3.0	-2.3	-2.7	—	625.3	628.2	627.6	80	100	45	SW 4	WSW 2	ESE 2	10	7≡	1	0.6	✳ $8^1/_4$-$11^1/_4$, ≡ 8-13 mU,
10	-1.2	1.4	0.3	0.2	—	626.5	627.2	628.3	38	37	52	ESE 3	WNW 2	SW 3	3	5	10	.	☄ a, p [☄ n-a
11	-0.1	1.2	2.0	1.0	—	626.8	624.1	620.3	82	83	60	SSW 3	SSE 3	SSW 4	3	9	9	0.5	✳ n (11./12.), ☄ n-n
12	-1.9	-4.0	-4.4	-3.4	—	616.9	616.4	616.2	99	100	100	S 4	W 3	SW 2	10*≡	10*≡	10*≡	9.4	✳ $5^3/_4$-n, ≡ $5^3/_4$-n, ☄ n-p
13	-5.0	-4.7	-5.8	-5.2	—	616.6	617.7	620.2	100	90	100	WSW 3	SW 2	WNW 3	10≡	9	9	3.2	✳ n (13./14.), ≡ n-$9^3/_4$, $17^1/_4$-n
14	-6.6	-2.7	-5.4	-4.9	—	624.3	625.1	626.4	95	70	65	SW 2	SSW 1	SSW 2	1	3	1	1.3	● n (14./15.) [mU, ☄ a, p
15	0.2	1.2	-5.8	-1.5	—	624.1	621.1	627.5	99	100	100	SW 4	WSW 4	WNW 4	10●≡	10≡	10≡	**27.1**	● $6^3/_4$-n mU, ≡ n-n, ☄ n-n
16	-8.2	-6.6	-7.7	-7.5	—	631.5	634.1	**636.4**	100	100	100	WNW 4	WNW 2	WNW 1	10≡	10≡	7	.	≡ n-$19^3/_4$, ☄ n-a
17	-4.8	-2.4	-1.0	-2.7	—	634.9	633.3	631.2	52	55	100	S 1	W 3	W 4	9	9	10●≡	13.0	● $16^3/_4$-n, ≡ $16^3/_4$-n, ☄ a-n
18	-1.3	-2.6	-2.1	-2.0	—	627.5	625.2	621.8	100	100	100	W 4	W 5	WNW 5	10●≡	10*≡	10*≡	11.5	● ✳ n-$7^1/_2$, ✳ $7^1/_2$-$14^1/_2$, *)
19	-5.0	-5.9	-5.1	-5.3	—	626.3	628.9	629.1	100	100	100	WNW 4	WNW 4	W 4	10●≡	10*≡	10*≡	10.7	✳ n-$9^3/_4$, $16^3/_4$-n, ≡ n-n*
20	-0.2	-0.2	-1.0	-0.5	—	627.4	627.4	629.1	100	100	100	W 4	WNW 4	WNW 3	10*●≡	10*●≡	10≡	14.0	✳ ● n-$19^1/_4$, ≡ n-n, ☄ n-n
21	-2.0	-0.4	-2.3	-1.6	—	630.5	631.7	632.6	100	100	98	NW 2	NW 2	N 1	10≡	10≡	10	.	≡ n-$17^1/_2$, $19^3/_4$-$21^1/_4$
22	0.9	2.4	2.0	1.8	—	631.4	630.5	629.6	75	76	73	WSW 1	SSW 2	SW 3	1	7	6	.	☄ p-n
23	-1.8	-0.1	-2.0	-1.3	—	627.7	626.5	626.5	98	100	100	**SW 2**	WNW 1	ESE 2	10≡	10≡	10≡	.	≡ n-n
24	-2.6	1.1	-0.1	-0.5	—	625.4	625.8	624.7	85	65	67	ESE 3	SE 2	ESE 2	9	9	7	.	☄ fr
25	1.2	-0.6	-2.8	-0.7	—	622.8	622.0	622.8	66	74	84	ESE 2	SW 3	W 3	7	9	9	.	☄ a-n
26	-2.9	-0.6	-3.0	-2.2	—	622.1	621.8	621.5	73	62	79	W 2	NE 1	ENE 2	7	3	3	.	
27	-4.6	-2.9	-4.2	-3.9	—	619.3	617.1	614.0	100	74	76	W 2	SW 1	W 2	10≡	9	4	.	≡ $6^3/_4$-$8^1/_4$
28	-3.9	-0.6	-7.1	-3.9	—	612.6	614.9	617.4	67	57	98	NNE 3	SE 1	E 2	1	3	10≡	.	≡ $20^1/_4$-n, ☄ a
29	-7.4	-6.2	-7.0	-6.9	—	620.5	621.8	623.4	99	100	100	NNE 2	NNE 2	NNE 2	10≡	10≡	10≡	.	≡ n-n
30	-7.2	-6.0	-6.7	-6.6	—	623.2	623.0	622.6	100	100	100	N 1	NNE 1	NE 1	10≡	10≡	10≡	.	≡ n-n
31	-6.8	-5.2	-7.2	-6.4	—	621.5	622.5	624.4	100	100	100	NNE 1	NNW 1	NNW 1	10≡	10≡	10≡	.	≡ n-n
																		Summe	
Mittel	-3.1	-1.9	-3.1	-2.7	—	624.1	624.2	624.7	86	82	85				7.4	8.1	7.7	108.7	

*) **18.** $17^1/_4$-n, ≡ n-n, ☄ n-a, ☄ a-n **19.** ☄ n-n

Januar 1951
Beobachter: *B. Minsch und C. Clavuot*

Bever

$\lambda = 9° 53'$, $\beta = 46° 33'$,
$H_b = 1711.8$ m, $G = -0.23$ mm

Tag	Lufttemperatur					Luftdruck			Relative Feuchtigkeit			Windrichtung und Stärke			Bewölkung			Niederschlag	Witterung
	7^{30}	13^{30}	21^{30}	Mittel	Abweich. vom Normalst	7^{30}	13^{30}	21^{30}	7^{30}	13^{30}	21^{30}	7^{30}	13^{30}	21^{30}	7^{30}	13^{30}	21^{30}		
1	-18.4	-7.6	-10.6	-12.2	-2.6	611.7	609.6	611.2	86	68	90	SW 0	SW 0	S 0	7	10	10*	8.2	✳ 20-n, ⌙ |
2	-15.1	-3.9	-5.4	-8.1	1.5	607.1	605.8	**605.2**	92	83	99	SW 0	SW 0	NE 0	6	10*	10*	11.6	✳ a-n mU, ⌙ |
3	-5.0	-4.2	-6.0	-5.1	4.6	606.6	608.5	614.[illegible]	98	92	92	NE 0	NE 0	NE 0	10*	10*	10	11.9	✳ n-18
4	-6.8	-3.6	-10.4	-6.9	2.8	618.7	619.8	621.3	96	82	96	SE 0	E 0	S 0	10	9	4	.	
5	-12.9	-10.6	-9.8	-11.1	-1.4	622.7	622.1	622.7	98	81	97	SW 0	SW 0	SW 0	0	5	7	.	⌙ |
6	-13.0	-3.4	-10.8	-9.1	0.7	621.2	621.1	621.2	96	80	98	SW 0	SW 0	SW 0	3	1	1	.	⌙ |
7	-5.4	-0.8	-10.8	-5.7	4.1	618.9	618.0	620.6	95	68	90	SW 2	SW 1	SW 0	3	1	1	.	
8	-18.0	-8.7	-15.0	-13.9	-4.1	620.5	618.9	620.0	91	76	82	SW 0	SW 0	SW 0	1	1	0	.	⌙ |
9	-10.1	-2.6	-16.2	-9.6	0.2	618.7	618.4	622.0	93	63	83	SW 0	**SW** 0	SW 0	10	10	0	.	
10	**-21.2**	-7.8	-13.9	-14.3	-4.4	621.6	621.0	622.4	89	72	90	SW 0	SW 0	SW 0	1	0	0	.	⌙ |
11	-16.6	-3.8	-5.4	-8.6	1.3	620.8	619.5	616.5	96	80	77	SW 0	SW 0	SW 0	2	2	7	4.8	
12	-3.0	-1.3	-2.2	-2.2	7.7	612.1	609.6	607.1	100	94	99	SW 0	**SW** 0	SW 0	10*	10*	10*	22.4	✳ 6-n mU
13	-4.0	-0.4	-13.4	-5.9	4.0	606.9	608.8	612.0	81	58	94	NE 0	NE 0	SW 0	9	6	1	.	⌙ III
14	-10.2	-9.2	-19.4	-12.9	-3.1	615.0	616.1	619.0	91	77	86	SW 0	SW 0	SW 0	7	0	0	.	≡ 18-n mU, ⌙ I, III
15	-18.9	-2.3	-4.8	-8.7	1.1	617.0	614.2	614.6	90	55	99	SW 0	SW 1	NE 1	1	8	10*	12.4	✳ 19-n
16	-7.8	-5.2	-7.6	-6.9	2.9	620.0	622.5	625.2	61	**53**	75	NE 1	N 2	E 0	8	10	10*	4.8	✳ 16½-n, ↙ ⫩ a-p
17	-17.6	-13.0	-6.9	-12.5	2.7	**626.1**	623.9	621.0	89	68	94	SW 0	SW 0	SE 0	1	10*	10	3.2	✳ 13-15, ⌙ I
18	-0.4	2.4	-2.8	-0.3	9.4	617.4	613.7	611.9	77	81	100	E 0	SW 0	SW 2	10	10*	10*	11.8	✳ 13½-n, ↙ ⫩ 15-n
19	-5.2	-2.9	-6.2	-4.8	4.9	614.2	615.8	618.2	94	60	85	NE 1	E 1	S 1	10*	10	10*	18.9	✳ n-9, 19½-n
20	-5.2	-0.8	-0.3	-2.1	7.6	615.2	615.1	616.3	98	100	95	S 0	SW 1	W 1	10*	10*	10*	**33.4**	✳ n-n, ↙ ⫩ abd
21	-1.3	**3.3**	-0.2	0.6	10.2	619.2	620.3	621.1	84	57	81	NE 1	**NE** 0	NE 0	10*	9	9	25.4	✳ n-mtg
22	-3.5	0.4	-5.4	-2.8	6.8	623.1	622.1	622.4	96	69	93	SW 0	SE 0	**SW** 0	10	5	5	.	☂ III
23	-6.3	-0.4	-3.2	-3.3	6.2	620.4	619.5	619.0	93	68	84	SW 0	SW 0	SW 0	10	10	9	.	
24	-0.4	1.8	-4.2	-0.9	8.5	619.3	618.5	618.5	69	64	94	SW 0	SW 0	SW 0	8	8	8	16.2	
25	-3.8	0.2	-2.5	-2.0	7.4	616.6	614.4	615.3	100	98	97	NW 1	NE 1	SW 0	10*	10*	8		✳ 6½-16
26	-16.3	-7.9	-16.1	-13.4	-4.1	614.5	612.6	612.8	94	68	90	SW 0	SW 0	SW 0	5	6	5	.	⌙ |
27	-18.2	-8.6	-12.1	-13.0	-3.8	611.4	609.7	607.7	92	76	90	S 0	S 0	SW 0	4	1	2	1.2	⌙ |
28	-7.2	-2.3	-11.3	-6.9	2.3	606.8	607.4	609.5	87	72	90	W 0	S 0	NW 0	10	8	0	0.0	✳ fr-9
29	-13.5	-2.5	-6.0	-7.3	1.8	611.5	611.9	613.2	93	72	98	W 0	SW 0	SW 0	8	9	9	.	⌙ |
30	-6.6	-3.6	-14.6	-8.3	0.7	613.6	614.3	614.3	90	70	89	NE 1	NE 1	SW 0	9	5	2	.	
31	-16.8	-5.6	-11.2	-11.2	-2.3	613.5	612.4	614.3	94	71	82	SW 0	SW 0	SE 0	8	1	0	.	⌙ |
																		Summe	
Mittel	-10.0	-3.7	-8.5	-7.4	—	616.2	615.7	616.5	90	73	91				6.8	6.6	5.7	186.2	

Januar 1951
Beobachter: *Couvent des Capucins.*

Sion

$\lambda = 7° 21'$, $\beta = 46° 14'$,
$H_b = 548.6$ m, $G = -0.11$ mm.

1	-2.0	2.9	1.7	0.9	1.7	707.2	704.9	704.6	70	48	55	WSW 0	**WSW** 0	NNE 0	8	8	10	.	
2	-1.0	2.6	0.7	0.8	1.7	700.8	**698.1**	699.5	59	51	100	E 0	NNW 1	NNW 0	10	10	10	0.3	✳ 14½-18
3	-0.2	2.9	-0.8	0.6	1.5	702.8	706.1	712.2	100	65	78	NNW 0	WNW 1	**WSW** 0	10	10	9	0.0	✳fl 11-12
4	-1.7	1.3	-1.1	-0.5	0.4	715.6	716.3	717.7	85	61	78	W 0	W 0	W 0	9	1	4	.	
5	-2.0	2.6	1.3	0.6	1.6	717.8	716.5	716.3	89	64	77	WNW 0	WNW 0	WNW 0	2	6	0	.	
6	0.0	5.6	1.9	2.5	3.5	715.1	713.9	714.1	74	53	70	WNW 1	WNW 0	W 0	4	4	1	.	
7	-1.7	3.7	2.3	1.4	2.4	714.9	714.9	716.5	90	67	83	NW 1	N 1	N 0	3	8	9	.	
8	2.2	4.2	-0.7	1.9	2.9	716.2	714.6	714.7	80	59	96	N 1	N 1	WSW 0	9	0	0	.	
9	-0.9	3.4	0.1	0.9	1.9	714.5	715.7	716.5	73	58	63	**WSW** 1	**WSW** 1	N 1	7	4	0	.	
10	-3.4	4.7	4.7	2.0	3.0	715.5	714.7	716.5	62	40	45	NNE 1	NNE 1	NNE 2	0	6	9	.	
11	-1.1	4.4	3.5	2.3	3.3	715.0	713.0	710.4	68	48	53	N 1	N 0	NW 2	0	4	2	.	
12	2.7	5.5	1.4	3.2	4.2	705.6	702.7	703.1	57	70	100	NNW 1	WSW 4	WNW 0	8	10	10●	2.3	● 15½-n
13	0.9	3.5	1.5	2.0	3.0	704.6	705.5	708.4	100	75	93	WSW 0	WSW 0	WSW 0	10	9	6	.	
14	0.3	3.6	-0.5	1.1	2.0	712.9	712.5	714.9	80	55	69	W 1	NE 1	SW 0	0	4	0	.	
15	-2.3	0.1	5.6	1.1	2.0	713.7	711.4	714.6	67	100	**35**	NNW 1	**NW** 4	W 3	10	10*	8	9.7	✳ 8½-p, ↙ a-p
16	-1.5	2.7	-2.0	-0.3	0.6	720.0	722.4	**725.6**	74	52	64	W 0	**WSW** 3	NW 0	3	5	0	.	
17	**-4.3**	0.5	-0.5	-1.4	-0.6	724.8	721.9	720.0	75	56	90	N 1	N 1	NNW 0	9	10	10●	5.0	● 16½-n
18	0.4	3.8	3.7	2.6	3.4	716.0	713.6	710.2	100	100	96	**WSW** 1	WSW 0	WSW 0	10●	10●	10●	20.5	● n-n
19	4.7	6.0	1.0	3.9	4.6	713.2	715.1	718.5	60	42	100	**WSW** 1	WSW 2	WSW 0	10	10	10*	**20.7**	✳ 20½-n
20	1.8	5.5	4.3	3.9	4.6	714.5	714.3	716.8	100	93	94	**WSW** 2	SW 2	WSW 0	10●	10●	10	14.4	● 6-19
21	4.2	**8.0**	3.3	5.2	5.8	717.2	717.4	719.6	94	70	85	WSW 0	WSW 1	WSW 1	9	7	2	.	
22	2.6	6.2	3.1	4.0	4.6	719.2	717.5	716.6	87	71	86	WNW 1	WNW 1	WNW 1	0	7	5	.	
23	-0.5	6.0	2.5	2.7	3.2	715.4	713.1	713.9	100	60	85	NW 0	**NW** 1	NW 0	0	3	2	.	
24	-0.2	7.5	5.7	4.3	4.7	714.0	712.2	712.7	92	47	57	NW 0	NW 1	NW 1	3	3	9	.	
25	4.3	5.2	2.3	3.9	4.3	708.9	708.6	710.0	62	76	97	NE 1	SW 3	SW 0	6	10	9	.	
26	-0.4	4.1	0.4	1.4	1.7	709.8	708.4	709.4	100	55	82	WSW 0	**WSW** 0	WSW 0	0	4	3	.	
27	-2.7	3.1	-0.6	-0.1	0.1	707.5	704.0	700.8	78	48	70	NE 1	WSW 1	NNW 0	1	3	0	.	
28	-1.2	3.4	-0.5	0.6	0.7	699.3	700.9	704.9	95	70	96	NNW 1	WSW 2	WSW 0	5	3	0	.	
29	-1.6	2.0	1.1	0.5	0.5	708.3	709.2	711.1	100	80	85	WSW 1	WSW 1	WSW 0	10	9	10	.	⌙ |
30	0.6	2.9	-0.5	1.0	0.9	711.0	710.9	710.6	90	64	75	WSW 1	WSW 0	NNW 0	10	10	0	.	
31	-3.7	2.5	0.7	-0.2	-0.4	710.0	710.0	712.1	94	64	65	NNW 1	NNW 1	NNW 0	3	1	10	.	
																		Summe	
Mittel	-0.3	3.9	1.5	1.7	—	712.3	711.6	712.7	82	63	78				5.8	6.4	5.4	72.9	

$\lambda = 8°\,57'$, $\beta = 46°\,0'$,
$H_b = 276.2$ m, $G = -0.01$ mm.

Lugano

Januar 1951
Beobachter: *G. Vicari.*

Tag	Lufttemperatur 7³⁰	13³⁰	21³⁰	Mittel	Abweich. vom Normalst	Luftdruck 7³⁰	13³⁰	21³⁰	Relative Feuchtigkeit 7³⁰	13³⁰	21³⁰	Windrichtung und Stärke 7³⁰	13³⁰	21³⁰	Bewölkung 7³⁰	13³⁰	21³⁰	Niederschlag	Witterung
1	−0.4	2.2	1.4	1.1	−0.6	733.2	733.0	731.4	77	50	63	NW 1	NNE 1	N 1	8	10	10	.	
2	1.0	0.4	0.2	0.5	−1.1	728.4	725.9	724.7	68	89	94	NNE 1	NNW 1	**NNE** 1	10	10*	10*	30.0	✳ $9^1/_2$-n
3	0.4	2.4	2.2	1.7	0.1	**723.3**	725.8	731.5	95	89	85	ESE 1	SSE 1	N 1	10●	10●	10●	12.2	✳ n-8, ● 8-n mU
4	2.2	4.2	1.6	2.7	1.1	736.8	739.2	740.7	95	94	93	WNW 1	NNE 1	N 1	10	10●	10	2.6	● 9–$14^1/_2$ mU
5	0.6	8.4	1.4	3.5	1.9	741.9	741.2	741.4	93	46	79	NNE 1	ESE 1	N 1	0	7	0	.	
6	−0.8	7.4	2.0	2.9	1.4	740.9	740.3	740.7	87	44	75	N 1	SSW 1	N 1	3	2	0	.	
7	4.0	5.4	2.0	3.8	2.3	739.0	737.9	738.1	73	55	78	SSW 1	NE 1	N 1	10	10	10	.	
8	−0.4	8.2	3.2	3.7	2.2	738.8	739.0	739.5	80	37	69	N 1	S 1	N 1	0	2	10	.	
9	2.6	6.2	1.4	3.4	1.9	739.0	738.8	740.5	78	54	75	— 0	SSE 1	N 1	10	10	0	.	
10	−0.8	7.4	3.0	3.2	1.7	741.6	742.2	742.9	73	38	61	N 1	SSE 1	N 1	1	3	10	.	
11	0.8	4.2	2.2	2.4	1.0	740.8	739.4	737.7	71	48	66	SSW 1	NE 1	N 1	3	10	10	3.2	● n (11/12.)
12	1.0	1.2	0.4	0.9	−0.5	733.7	730.0	727.4	94	94	96	NNE 1	NNW 1	NNW 1	10●*	10●*	10●*	**84.0**	● ✳ n-n
13	1.0	3.6	0.4	1.7	0.3	726.3	727.1	728.9	96	78	94	NNW 1	W 1	N 1	10	10	10≡	.	≡ abd-n
14	5.2	11.0	0.0	5.4	4.0	732 5	733.4	735.9	24	22	62	**NNE** 2	ESE 1	N 1	1	0	0	.	$5^1/_2$-9
15	−1 8	5.2	1.8	1.7	0.3	737.5	735.1	733.0	53	36	59	NNE 1	**NNE** 1	NNE 3	4	9	10●	1.6	● $20^1/_2$–$21^1/_2$. $20^1/_2$–21
16	5.6	9.0	2.2	5.6	4.2	738.0	741.0	744.2	21	18	31	NNE 3	NNE 3	N 2	0	1	0	.	n-n
17	−0.6	8.2	1.2	2.9	1.4	745.0	**745 1**	742.7	35	27	48	N 1	ESE 1	N 1	1	6	4	.	
18	−0.8	5.6	6.4	3.7	2.2	736 9	733.0	730.2	54	41	43	NNW 1	SSE 1	N 2	3	9	0	.	
19	5.2	12.4	6.4	8.0	6.5	732.0	734.4	736.4	39	17	26	N 1	NNE 2	N 2	1	1	2	.	
20	6.4	16.0	10.0	10.8	9.2	732.5	731.4	731.2	51	32	30	N 1	NNE 2	N 3	6	7	0	.	p-n
21	14.2	**20.2**	8.0	14.1	12.5	733.2	734.8	737.8	19	**14**	53	N 3	NNE 2	N 1	0	1	1	.	n-a
22	4.8	6.2	6.2	5.7	4.1	742.1	743.8	743.1	77	76	71	NNE 1	NNW 1	N 1	10	10	10	.	
23	5.2	6.2	5.4	5.6	4.0	740.6	739.5	739.6	79	78	80	N 1	S 1	N 1	10	10	10	.	
24	4.8	6.6	5.2	5.5	3.8	739.1	739.0	739.3	95	75	90	— 0	WSW 1	N 1	10	10●	10●	20.2	● a-p, ● $19^1/_2$–$21^1/_2$
25	2.8	3.2	2.2	2.7	1.0	736.5	735.1	734.5	91	93	94	W 1	ENE 1	N 1	10●	10●	10	24.3	● n-17
26	0.2	7.6	1.2	3.0	1.3	732.5	731.5	729.9	94	54	70	N 1	SSE 1	N 1	7	9	2	.	
27	−0.8	5.2	3.4	2.6	0.8	729.7	728.0	726.0	71	45	89	N 1	WSW 1	N 1	0	10	10●	10.0	● 16-n mU
28	0.8	4.2	3.4	2.8	1.0	724.2	726.0	728.0	96	88	94	NNE 1	NNW 1	N 1	10●	9●	4	5.6	● n-17 mU
29	1.8	9.4	4.2	5.1	3.2	728.1	728.7	729.4	94	47	75	N 1	S 1	N 1	8	4	10	.	
30	4.0	7.4	3.0	4.8	2.9	732.8	733.1	732.4	85	57	73	S 1	SSW 1	N 1	9	8	0	1.1	● a
31	1.6	10.0	3.2	4.9	2.9	731.0	731.3	732.8	87	37	71	N 1	**S** 1	N 1	7	4	10	.	
																		Summe	
Mittel	2.3	6.9	3.0	4.1	—	735.1	735.0	735.2	72	54	71				5.9	7.2	6.2	144.8	

$\lambda = 7°\,35'$, $\beta = 47°\,33'$,
$H_b = 317.3$ m, $G = 0.11$ mm.

Basel

Januar 1951
Beobachter: *Astronom.-Meteorol. Anstalt.*

Tag	Lufttemperatur 7³⁰	13³⁰	21³⁰	Mittel	Abweich. vom Normalst	Luftdruck 7³⁰	13³⁰	21³⁰	Relative Feuchtigkeit 7³⁰	13³⁰	21³⁰	Windrichtung und Stärke 7³⁰	13³⁰	21³⁰	Bewölkung 7³⁰	13³⁰	21³⁰	Niederschlag	Witterung
1	0.2	6.3	1.6	2.7	3.2	723.6	721.7	722.4	83	61	95	ESE 1	WSW 2	ESE 1	10	10	10	0.8	● $22^1/_2$–23, 11–$16^1/_2$
2	2.1	2.4	0.5	1.7	2.2	716.9	**714 6**	717.9	84	79	98	ESE 2	ESE 1	ESE 1	10	10	10	4.5	✳ $13^3/_4$–16, ● 16–19,
3	0.5	2.8	−0.3	1.0	1.6	723.9	726.8	732.2	90	68	89	W 1	SW 1	**S** 1	10	10	10	.	≈ 1 [$22^1/_4$–$23^1/_2$
4	−2.7	2.5	−0.3	−0.2	0.4	736.3	736.1	736.0	94	76	82	**S** 0	E 1	ESE 1	3	0	10	.	≈ 1
5	0.8	5.0	0.9	2.2	2.8	736.0	734.7	735.0	87	70	82	ESE 1	WNW 2	ESE 2	9	6	0	.	
6	−0.2	5.1	−0.4	1.5	2.1	733.2	732.5	732.8	85	68	90	ESE 2	**ESE** 2	ESE 1	8	7	0	.	
7	−0.9	6.8	2.7	2.9	3.5	732.0	733.7	736.0	92	81	83	ENE 1	WSW 1	SSW 1	9	10	0	0.6	● $10^1/_4$–$10^3/_4$, 13
8	1.4	6.2	0.4	2.7	3.3	735.8	734.2	733.4	92	72	94	E 1	E 1	ESE 1	9	9	0	.	
9	0.0	6.5	−0.3	2.1	2.7	732.3	735.6	735 5	93	71	95	ESE 1	WSW 1	E 1	9	10	0	0.0	● 10
10	**−3.5**	2.8	−1.2	−0.6	0.0	734.2	734.1	733.7	96	74	91	E 0	E 1	ENE 1	2	7	10	.	⌊² 1, ⊕ 12–15
11	−2.1	3.9	3.5	1.8	2.4	732.8	729.2	725.5	93	74	84	E 2	E 1	E 1	2	10	0	0.6	● $15^1/_2$
12	2.8	2.0	1.4	2.1	2.7	722.9	723.2	722.7	89	98	96	E 1	SSE 1	ESE 1	10	10●	10	**8.4**	● 9-15
13	1.3	6.5	3.5	3.8	4.4	723 4	724.0	727.4	98	72	84	NE 1	E 0	SSW 1	10	8	10	0.5	● $18^3/_4$–$10^1/_2$, $22^3/_4$–$23^1/_4$
14	1.6	8.4	0.6	3.5	4.1	732.6	732.1	733.8	91	**60**	87	ESE 0	ESE 0	E 1	9	1	0	0.1	◟● n (14/15.)
15	0.0	**9.9**	3.3	4.3	4.8	729.1	725.0	735.8	93	70	82	**E** 2	SW 2	W 2	10●	10	4	8.2	● $7^1/_4$–$16^1/_2$ mU. 12–19
16	0.5	2.6	0.4	1.2	1.7	742.7	744.1	**747 2**	85	82	92	WNW 2	W 1	SSW 1	10	9	9	.	⌊² 1
17	−1.4	0.9	1.2	0.2	0.7	744.2	741.3	739.0	95	90	94	ESE 1	ESE 1	NE 1	10	10	10	1.9	● $14^1/_4$–$14^3/_4$, $18^1/_2$–19, *)
18	7.4	7.7	5.6	6.9	7.4	733.0	730 1	729.2	85	71	89	WSW 2	WSW 3	WSW 2	10●	10	10	2.4	● $7^1/_2$. $16^1/_2$–$16^3/_4$, $17^1/_2$–$18^1/_4$. *)
19	3.5	4 6	3.4	3.8	4.2	734.1	736.6	736.8	88	68	89	WSW 2	W 2	WSW 3	10	10	10	1.2	● $^3/_4$–$4^1/_4$, $21^1/_2$–$23^3/_4$, mU. *)
20	7.6	7.8	7.5	7.6	8.0	732.9	733.5	736.2	85	88	88	WSW 3	WSW 2	WSW 2	10	10●	10	1.0	● $0^1/_4$–$3^1/_4$, $4^3/_4$–$5^3/_4$. *)
21	6.1	6.8	6.8	6.6	7.0	737.0	739.0	740.0	85	90	88	WSW 2	SSW 1	WSW 1	10●	10●	10	1.9	● $2^1/_2$–$4^1/_2$, $7^1/_2$–$8^1/_2$–14
22	5.3	7.7	5.2	6.1	6.4	738.8	737.5	736.5	96	85	90	ESE 1	ENE 0	WNW 0	10	10	10	0.0	● n (22./23.)
23	4.2	5.5	4.4	4.7	5.0	735.3	734.3	734.3	97	93	96	W 0	E 0	SW 0	10	10	10	0.1	● n (23./24.)
24	3.8	5.1	3.6	4.2	4.4	733.6	732.7	732.3	87	80	83	E 2	ENE 2	ENE 1	10	10	10	.	
25	1.8	2.2	2.2	2.1	2.3	729.3	729.5	729.5	90	89	93	ENE 1	NNW 1	E 1	10	10	10	0.0	● 12
26	0.5	6.4	0.5	2.5	2.6	728.9	728.1	728.4	96	79	95	E 1	E 1	E 1	10	6	0	.	≡ $7^3/_4$–$8^3/_4$
27	−1.6	2.0	0.6	0.3	0.4	726.8	724 9	722.7	97	89	88	ESE 1	ESE 1	ENE 1	1	10	10	.	⌊ 1
28	0.4	2.9	1.9	1.4	1.4	721.5	722.3	726.3	96	86	92	WNW 1	WNW 1	WNW 1	10	10	10	0.1	
29	1.2	2.0	0.8	1.3	1.2	729.6	730.9	732.9	92	93	92	SE 1	ENE 1	NW 1	10	10	10●	0.6	● $15^3/_4$–$18^1/_2$, $21^1/_2$
30	0.9	1.2	1.1	1.1	1.0	732.8	732.2	731 6	98	88	100	WNW 1	NNW 1	W 0	10	10≡●	10	1.7	✳ ● 9-10. ✳ 10-11. ● 11-
31	0.6	1.7	1.1	1.1	0.9	730.4	730.9	733.7	100	96	95	W 0	WNW 1	WNW 1	10	10	10	.	≡ n-$7^1/_2$ $[15^1/_2$, ≡ n-n
																		Summe	
Mittel	1.4	4.6	2.0	2.7	—	731.5	731.2	732.2	91	80	90				8.7	8.8	7.2	34.0	

*) 17. $21^1/_4$–$21^3/_4$, $22^3/_4$–24 18. ● $10^1/_4$–$19^3/_4$, 10–11 12–17 19. 9–10 16–$21^1/_2$ 20. ● 12–$13^1/_2$ mU, $22^1/_2$–23. 5–11, 15–19

Januar 1951
Beobachter: *Observatorium.*

Säntis

$\lambda = 9°\,20'$, $\beta = 47°\,15'$,
$H_b = 2500.1$ m, $G = -0.27$ mm

Tag	Lufttemperatur 7³⁰	13³⁰	21³⁰	Mittel	Abweich. vom Normalst	Luftdruck 7³⁰	13³⁰	21³⁰	Relative Feuchtigkeit 7³⁰	13³⁰	21³⁰	Windrichtung und Stärke 7³⁰	13³⁰	21³⁰	Bewölkung 7³⁰	13³⁰	21³⁰	Niederschlag	Witterung
1	-11.6	-8.6	-10.8	-10.3	-2.2	550.0	548.9	549.0	81	60	96	W 3	SW 3	SW 2	8	10	10-*	0.7	✳ 20½-n, ≡ 20-n, ⊕ 10½
2	-10.3	-8.3	-9.4	-9.3	-1.1	545.7	**544.0**	545.4	71	66	97	SSW 4	SSW 5	SW 2	10	10	10	4.3	✳ n (2./3.), ⌿ l, ⌿ a-mtg
3	-11.2	-10.6	-11.8	-11.2	-3.0	547.8	550.1	554.9	96	96	95	NW 2	NW 2	WSW.	10-*	10-*	10	3.5	✳ n-17½, ≡ n-21
4	-10.0	-6.4	-7.4	-7.9	0.3	558.0	559.3	560.5	37	16	27	WSW 1	WSW 2	WSW 4	10	3	10	.	⌿ III
5	-5.3	-2.6	-1.8	-3.2	5.1	561.8	562.0	562.7	100	42	35	W 4	WSW 4	WSW 3	10	10	0	.	⌿ I, II
6	-0.6	2.8	1.4	1.2	9.5	562.0	562.1	561.4	26	17	14	WSW 3	WSW 3	SSW 3	6	4	1	.	
7	-6.8	-6.0	-9.5	-7.4	0.9	558.9	557.7	559.2	91	100	97	WSW 3	W 5	WSW 3	7	10-*	10-*	7.8	✳ 12⅜-n, ≡ 12-n, ⋁ II
8	-11.1	-6.5	-6.3	-8.0	0.4	559.5	559.2	558.6	74	43	31	WSW 3	SW 2	WSW 3	1	2	2	.	[⌿ a-p, ⌿ II
9	-7.3	-8.6	-8.3	-8.1	0.3	557.5	559.3	560.4	51	100	22	W 4	W 3	W 1	10	10-*	0	1.0	✳ 11½-14, ≡ 11-15⅜,
10	-6.9	-4.2	-5.3	-5.5	2.9	560.0	560.0	560.7	27	52	37	SSW 2	SW 2	WSW 1	1	2	5	.	[⌿ I
11	-6.9	-2.7	-4.9	-4.8	3.6	559.1	557.8	554.-	91	44	48	W 3	WSW 3	SW 3	2	5	6	.	
12	-6.6	-5.0	-9.5	-7.0	1.5	551.8	549.7	548.5	88	89	100	SSW 4	SW 3	W 2	3	10	10-*	8.3	✳ 15¼-n mU, ≡ 15-n
13	-11.2	-9.6	-11.0	-10.6	-2.1	548.8	549.-	551.-	91	91	94	W 3	W 2	W 3	10	10-	10-*	8.0	✳ n-6½, 17-n, ≡ n-7,
14	-12.0	-11.4	-9.0	-10.8	-2.3	554.9	555.9	557.8	93	71	46	WSW 3	WSW 3	WSW 3	10	1	0	.	≡ n-9 [7⅜-n, ⌿ n-a
15	-5.2	-4.1	-12.1	-7.1	1.5	556.3	553.5	557.2	44	100	98	WSW 4	W 4	NW 3	10	10-*	10-*	22.4	✳ 8¾-n, ≡ 8½-n, *)
16	-14.3	-14.2	-13.8	-14.1	-5.5	560.4	562.2	**565.1**	98	89	88	WNW 3	W 3	W 2	10-*	10-*	10-*	14.6	✳ n-n, ≡ n-n
17	-13.4	-5.3	-5.0	-7.9	0.7	564.8	563.6	560.5	73	97	100	W 2	W 3	W 5	10	10-*	10-*	19.6	✳ 12⅜-n, ≡ 12-n, *)
18	-5.8	-7.4	-8.7	-7.3	1.4	557.-	553.2	552.2	100	100	100	W 5	W 6	WNW 4	10-*	10-*	10-*	30.7	✳ n-n mU, ≡ ⊹ n-n, *)
19	-11.2	-11.8	-11.9	-11.6	-2.9	555.6	556.3	556.8	100	100	100	WNW 5	WNW 4	WNW 5	10-	10-*	10-*	13.7	✳ 8-n, ≡ n-n, ⊹ 11-n-*)
20	-8.1	-7.0	-6.8	-7.3	1.4	555.1	556.2	557.3	100	100	100	W 5	W 5	W 5	10-	10-*	10-*	**88.3**	✳ 11-n, ≡⊹ n-n, ⋁ abd*)
21	-7.6	-0.8	-6.6	-7.0	1.8	559.3	561.7	563.5	100	100	100	WNW 5	WNW 3	WNW 3	10-*	10-*	10-*	41.5	✳≡⊹ n-n, ⋁ abd, ⌿ n-a, ⌿ I
22	-4.4	-2.9	-4.1	-3.8	5.0	563.3	563.3	562.	100	82	96	WSW 3	W 2	W 3	10-	2	9	0.4	✳ n (22./23.), ≡ n-8, ⌿ I
23	-5.7	-5.0	-6.4	-5.7	3.1	559.8	559.1	559.0	100	82	91	W 4	WSW 3	SW 0	10-	6	10	.	≡ n-11, ⊕ 16½, ⌓ III
24	-7.3	-5.0	-5.5	-5.9	2.9	558.4	558.4	558.3	90	89	78	SSE 2	SW 3	SSW 3	1	6	10	.	
25	-4.9	-3.4	-9.3	-5.9	3.0	556.5	555.4	555.5	88	88	94	SE 3	S 4	NW 3	10	10	9	1.1	✳ 16½-n mU, ≡ 17-20.
26	-8.2	-8.0	-8.8	-8.3	0.6	554.4	554.1	553.8	95	65	71	W 1	NNW 2	W 1	8	7	6	.	[⊕ 10½, ⌿ a
27	-9.9	-7.6	-8.8	-8.8	0.1	551.9	550.0	547.4	74	66	78	W 1	SSE 2	SW 4	8	3	10	.	⌓ I
28	-8.6	-6.7	-7.1	-7.5	1.5	547.0	548.4	551.2	80	75	70	ENE 2	SW 3	ESE 1	9	9	3	.	⊕ 10½, ⌿ III
29	-8.1	-8.3	-9.2	-8.5	0.5	552.5	553.4	554.7	75	90	98	NE 3	N 2	NNE 3	7	6	10-	.	⊕ p
30	-12.4	-7.5	-8.0	-9.3	-0.3	554.1	554.2	554.4	95	98	86	NE 2	S 2	SE 2	10-	3	1	.	≡ 16-n mU, ⊕ p
31	-8.6	-5.0	-8.1	-7.2	1.9	553.4	554.0	555.4	65	73	79	SW 1	SW 2	NNW 1	2	2	1	.	≡ n-10 mU
																		Summe	
Mittel	-8.4	-6.6	-7.9	-7.6	—	556.0	555.9	556.5	81	77	76				7.8	7.1	7.2	260.9	

Januar 1951
Beobachter: *E. Chiesa*

St. Gotthard (Hospiz)

$\lambda = 8°\,34'$, $\beta = 46°\,33'$,
$H_b = 2095$ m, $G = -0.25$ mm.

1	-13.8	-11.4	-10.8	-12.0	-5.0	581.5	580.8	580.5	90	91	95	SE 1	SE 1	SE 2	10	10*	10*-	12.6	✳ 11⅜-n, ≡ p-n, ⋁ I, ⊹ III
2	-10.1	-9.4	-9.0	-9.5	-2.4	577.8	576.5	**575.4**	95	98	98	SE 2	SE 2	SE 1	10*-	10*-	10*	**33.2**	✳ n-n, ≡ n p, ⊹ II, III
3	-8.8	-9.2	-10.6	-9.5	-2.4	577.1	579.6	584.7	98	100	100	NW 2	NW 3	NW 2	10*-	10*-	10*	13.3	✳ n-n, ≡ n-n, ⊹ n-n,
4	-8.2	-2.3	-8.1	-6.2	0.9	587.6	589.7	591.5	96	100	87	NW 2	NW 0	SE 0	10	9	0	.	[⌿ II
5	-3.8	-0.3	-4.4	-2.8	4.3	592.4	592.6	592.8	69	60	55	NW 0	SE 0	SE 1	0	9	0		
6	-0.8	2.5	-3.3	-0.6	6.5	591.9	592.0	591.1	38	39	45	SE 0	SE 0	SE 0	3	3	0	.	
7	-8.0	-2.4	-5.8	-5.4	1.8	589.5	589.3	590.1	100	77	100	SE 0	SE 0	NW 1	10-	10-	10-	.	≡ n-n, ⋁ III
8	-9.3	-3.2	-5.3	-5.9	1.3	589.7	589.6	589.7	96	38	87	NW 1	SE 1	SE 1	0	0	0	.	
9	-7.2	-6.0	-9.2	-7.5	-0.3	588.9	589.7	590.8	99	86	**21**	SE 0	NW 1	NW 0	3	10-	0	0.0	✳fl mtg, ≡ 12¼-13¾
10	-7.6	-4.4	-7.4	-6.5	0.7	590.7	591.3	591.8	40	54	87	SE 0	SE 0	SE 1	0	0	3	.	
11	-7.2	-4.4	-5.5	-5.9	1.3	590.5	589.5	587.1	91	82	98	SE 1	SE 2	SE 2	9	10	10*	4.5	✳ 18⅜-n, ≡ 18⅜-n
12	-5.5	-6.2	-5.9	-5.9	1.3	583.0	580.4	578.6	100	100	100	SE 3	SE 2	SE 2	10*	10*-	10*	25.6	✳ n-n, ≡ II, ⌿ I
13	-8.8	-9.8	-8.9	-9.2	-1.9	578.8	579.6	581.8	100	90	85	NW 1	NW 1	NW 2	9	0	3	.	
14	-10.0	-7.4	-6.2	-7.9	-0.6	585.1	586.2	588.1	95	76	30	NW 3	NW 2	NW 1	0	0	0	.	⌿ I
15	-6.2	-5.8	-9.4	-7.2	0.1	587.8	585.6	586.9	32	90	85	SE 1	SE 2	NW 3	0	10*	10*	13.3	✳ 12⅜-n, ⌿ III, ⊹ II
16	-11.8	-9.8	-11.2	-10.9	-3.6	590.3	592.4	**595.7**	90	78	100	NW 3	NW 3	NW 2	9-	10-	10-	.	≡ n-n, ⌿ I, II
17	-9.6	-6.4	-2.5	-6.2	1.1	594.8	594.2	592.3	40	93	100	NW 3	NW 1	NW 1	6	10*	10	7.9	✳ 11⅜-13¼, ⌿ I
18	-1.7	-1.2	-5.3	-2.7	4.6	589.2	585.9	583.2	78	74	100	NW 0	NW 2	NW 2	10*-	10	10*	21.1	✳ n-n mU, ≡ n-a, ⊹ n-n
19	-7.8	-8.4	-9.1	-8.4	-1.0	585.3	586.8	588.4	95	95	96	NW 3	NW 3	NW 2	10-	10-	10*	18.8	✳ p-n, ≡ n-p, ⊹ n-n, ⌿ I, II
20	-3.5	-2.6	-3.8	-3.3	4.1	586.1	586.6	589.2	100	100	100	NW 3	NW 3	NW 3	10*	10*	10*	18.8	✳ n-n, ⌿ n-n
21	-4.8	-4.0	-4.2	-4.3	3.1	590.1	591.1	592.8	100	100	100	NW 3	NW 3	NW 3	9	10-	10-	3.2	✳ p, ≡ a-n, ⊹ a-n,
22	-3.0	-2.0	-4.5	-2.7	4.7	593.2	593.2	592.7	52	90	100	NW 1	SE 1	SE 1	0	6	6	.	[⋁ III, ⌿ n-n
23	-6.1	-3.9	-4.8	-4.9	2.5	590.4	589.7	589.	100	100	98	SE 1	SE 1	SE 1	10-	10-	10	.	✳ n-p
24	-4.6	-3.0	-4.0	-3.9	3.5	589.3	589.0	589.0	100	100	100	SE 1	SE 1	SE 1	10-	10-	10*	13.3	✳ 15¼-n, ≡ n-p
25	-3.9	-2.4	-4.5	-3.6	3.8	586.9	585.5	585.5	100	100	100	SE 1	SE 1	SE 1	10*-	10*-	10*-	9.3	✳ ≡ n-n
26	-10.6	-6.4	-9.0	-8.7	-1.2	584.4	583.7	583.4	75	50	74	SE 0	NW 1	NW 1	0	0	0	.	
27	-8.1	-5.5	-6.2	-6.6	0.9	581.6	580.3	577.7	41	66	100	NW 1	SE 0	SE 2	0	3	10*	19.4	✳ 16¼-n
28	-6.3	-4.4	-8.3	-6.3	1.2	576.7	578.1	580.8	100	100	94	SE 0	SE 2	SE 0	10*	10*-	0	8.7	✳ n-p, ≡ a-p
29	-8.5	-10.1	-10.0	-9.5	-2.0	581.8	582.6	584.0	90	96	100	NW 2	NW 2	NW 3	6	10-	10-	2.1	✳ p, ≡ a-n, ⌿ III
30	-9.8	-4.7	-8.8	-7.8	-0.3	583.8	584.3	584.1	100	100	100	NW 2	NW 0	NW 0	10-	10	0	.	≡ n-a
31	-9.0	-5.6	-12.3	-9.0	-1.5	583.2	583.5	584.9	100	87	96	SE 0	NW 0	NW 2	3	3	10-	.	≡ 15⅜-n
																		Summe	
Mittel	-7.2	-5.1	-7.0	-6.4	—	586.4	586.4	586.9	84	84	88				6.5	7.5	6.5	225.1	

Säntis: *) 15. ⊹ n-19' (☾). ⌿ a-p. ⌿ 10½, 16½ 17. ⊹ 11-n ⋁ III. ⌿ III 18. ⋁ II. ⌿ n-n 19. ⌓ I, ⌿ a-n, ⌿ III 20. ⌿ n-n

Bern

$\lambda = 7°\,26'$, $\beta = 46°\,57'$,
$H_b = 572.2$ m, $G = 0.00$ mm.

Februar 1951
Beobachter: *Meteorol. Observatorium.*

	Lufttemperatur					Luftdruck			Relative Feuchtigkeit			Windrichtung und Stärke			Bewölkung			Niederschlag	Witterung
	7^{30}	13^{30}	21^{30}	Mittel	Abweich. vom Normalst	7^{30}	13^{30}	21^{30}	7^{30}	13^{30}	21^{30}	7^{30}	13^{30}	21^{30}	7^{30}	13^{30}	21^{30}		
1	0.8	1.6	1.1	1.2	2.2	712.3	**715.9**	713.5	80	77	87	NE 1	NE 1	NE 1	10	10	10	.	
2	0.2	1.5	1.1	0.9	1.9	713.2	711.5	709.5	86	83	92	NE 1	NE 1	NE 1	8	10	10	.	⌐° |
3	−0.5	2.8	0.8	1.0	1.9	706.3	704.7	703.5	74	64	79	SE 1	WNW 1	S 0	9	9	0	.	
4	−0.7	4.2	2.3	1.9	2.7	701.1	695.1	690.0	90	66	85	SE 0	NNE 1	SSE 1	10	3	6	.	⌐° |
5	2.2	1.2	1.2	1.5	2.2	**689.3**	691.6	696.1	90	98	96	W 1	W 0	S 0	10●	10*	10	9.0	●$6^1/_4$-9, ✶●9-$9^1/_4$, ✶ $9^1/_4$-17 ▣
6	−0.4	3.7	1.4	1.6	2.2	698.4	698.9	700.5	96	84	95	S 0	NE 0	E 0	8	10	10	.	⌐ ⌐ ≈ | ▣
7	−1.7	2.9	1.3	0.8	1.4	704.0	705.9	708.1	100	76	82	W 1	WNW 1	SSE 1	9≡	3	0	.	≡ n-8, 9-11, ⌐ | ▣
8	−1.6	2.7	1.6	0.9	1.4	708.2	708.4	706.7	80	68	86	S 1	S 0	SSE 1	10	10●	6	0.0	●tr 13-14, ⌐ |
9	0.2	**9.4**	3.2	4.3	4.7	706.5	705.8	706.1	94	61	87	SE 1	W 0	W 1	7	7	7	1.3	● n (9 /10.)
10	2.3	4.8	3.5	3.5	3.8	707.8	707.0	706.2	94	86	94	SSW 1	NE 1	SSE 0	10●	9	10	0.1	● 6-$8^3/_4$
11	2.0	5.7	1.5	3.1	3.3	703.3	706.5	708.5	96	84	96	W 1	W 1	SE 1	10	10	10●	17.5	● 14-24, ≡ $8^1/_2$-$9^3/_4$, ⌓ |
12	0.9	2.4	2.4	1.9	2.0	708.3	707.7	706.8	98	94	94	WSW 1	W 1	NE 1	10≡	10	10	0.1	● 0-$1^1/_4$, ≡ n-$11^1/_2$
13	2.7	5.5	4.7	4.3	4.3	704.8	704.8	705.1	94	82	81	S 1	E 0	SSW 1	10	10	10	0.1	● $5^3/_4$-$6^3/_4$
14	1.7	6.6	3.5	3.9	3.8	705.7	707.3	708.2	94	64	82	SSW 0	WSW 3	SSW 0	6	9	7	0.0	●tr $11^1/_2$-$12^1/_4$
15	0.7	5.1	3.4	3.1	2.9	708.6	709.4	710.1	86	72	89	SE 0	W 1	NW 1	10	9	10	0.0	✶ 8-$9^1/_4$, ●tr $21^1/_4$, ⌐ |
16	−0.1	5.2	1.5	2.2	1.9	710.5	710.4	711.6	97	67	90	NE 0	WSW 1	SE 0	8	3	0	.	≡ 8-10, ⌐ |, ♈ 22
17	−2.0	5.6	4.4	2.7	2.3	712.3	711.2	708.1	84	52	93	S 1	W 1	SSW 1	2	9	10●	**18.4**	● 21-24, ⌐ |
18	2.8	3.9	0.3	2.3	1.8	708.8	710.9	707.9	94	84	91	WSW 1	SE 1	S 1	10*●	9	9	9.1	● 0-$7^1/_2$, ✶ $7^1/_2$-$10^1/_2$, *) ▣
19	0.7	2.7	2.7	2.0	1.4	703.8	704.2	707.7	93	96	81	SE 0	WSW 2	WSW 1	10*	10	10	9.5	✶ 2-$10^1/_4$, ● $11^1/_2$-$11^3/_4$, *) ▣
20	1.9	7.4	4.4	4.6	3.9	708.4	706.1	701.6	92	66	81	S 0	WSW 1	SSE 1	10	4	10	11.4	● ✶ 1-$5^3/_4$, ✶ $10^1/_2$
21	4.4	7.4	3.6	5.1	4.3	699.5	700.3	702.0	84	**46**	71	WSW 2	WSW 3	WSW 3	10	9	9	4.5	● 2-$7^1/_2$, ●✶ $8^1/_2$-$8^3/_4$ mU, *)
22	1.2	4.4	0.7	2.1	1.2	704.4	705.0	708.2	94	69	95	WSW 1	WSW 2	W 2	10*	10●	10*	11.3	✶ 2-8, ● $11^1/_4$-$14^1/_2$, *) ▣
23	0.3	4.1	0.3	1.6	0.6	710.9	712.0	710.9	89	67	82	WSW 1	WSW 2	ESE 0	7	9	5	2.2	✶ $0^1/_2$-6, 8-12 mU ▣
24	−1.5	0.7	0.4	−0.1	−1.2	707.5	705.4	705.0	90	90	96	SE 0	NE 0	NE 0	10	10*	10*	5.7	✶ $10^1/_2$-24, ≈ |
25	−1.4	−2.3	0.4	−1.1	−2.3	705.5	705.9	705.0	100	87	98	ENE 1	NNE 1	NE 0	10≡	10	10*	0.0	✶ 0-4, $21^1/_2$-$21^3/_4$, ≡ |,*) ▣
26	−0.4	4.1	0.4	1.4	0.0	707.0	708.2	709.0	97	64	96	W 0	NNE 1	W 1	10*	9	10*	7.8	✶ $7^1/_4$-$9^1/_2$, $17^3/_4$-21, ≡ n-7, ▣
27	−1.9	2.2	−0.9	−0.2	−1.7	708.2	707.8	709.9	90	63	87	W 0	N 1	NE 1	5	4	0	.	≈ | [≈ | ▣
28	**−3.7**	0.6	−1.6	−1.6	−3.2	713.0	714.1	**715.9**	94	63	92	NE 0	ENE 2	NE 0	7	5	10	0.5	✶fl $15^3/_4$, ✶ $16^3/_4$-$2^3/_4$ [mU, ≈ | ▣
Mittel	0.3	3.8	1.8	2.0	—	706.3	706.5	706.5	91	74	88				8.8	8.2	7.8	Summe 108.5	

Neuchâtel

$\lambda = 6°\,57'$, $\beta = 47°\,0'$,
$H_b = 487.3$ m, $G = 0.02$ mm.

Februar 1951
Beobachter: *Observatorium.*

1	1.0	2.4	1.8	1.7	1.6	720.1	720.7	721.6	78	61	79	N 0	NE 2	NE 1	10	10	10	.	
2	1.2	1.6	1.7	1.5	1.4	721.0	719.6	717.3	82	91	89	NE 2	E 2	NE 1	10	10	10	0.1	● $9^1/_2$-$10^1/_2$
3	0.1	3.1	−0.6	0.9	0.7	713.9	712.0	710.7	88	72	87	SE 0	SE 0	SE 0	10	10	3	0.1	● n (3./4.)
4	2.1	5.9	3.8	3.9	3.6	708.0	702.5	696.9	86	74	74	SW 3	S 1	W 0	10	2	10	4.2	● n (4 /5.)
5	2.2	1.8	2.6	2.2	1.9	**696.7**	698.7	703.1	95	96	92	W 1	W 1	SW 1	10●	10●*	10	10.2	● $5^3/_4$-$7^3/_4$, ✶● $7^3/_4$-14
6	0.1	2.6	0.1	0.9	0.5	705.6	706.3	707.9	98	90	95	N 0	E 0	NE 0	10≡	10	0	.	≡ n-a
7	−1.6	3.1	0.1	0.5	0.0	711.6	713.7	715.8	98	81	93	NE 0	SW 1	E 0	10≡	8	0	.	≡ n-$9^1/_4$, ⌐
8	−1.2	3.8	3.8	2.1	1.6	715.8	715.9	714.3	98	70	81	E 0	SW 2	SW 0	10	10	7	.	⌐ |
9	0.0	8.1	7.1	5.1	4.5	713.8	713.5	713.5	97	65	64	NE 0	SE 0	W 1	7	5	6	1.5	● n (9./10)
10	2.6	5.7	3.9	4.1	3.4	715.6	714.8	713.8	93	82	89	W 0	SE 1	W 0	10●	9	10	0.3	● $5^1/_2$-$8^3/_4$
11	2.8	4.5	1.7	3.0	2.2	712.4	714.1	716.4	97	93	96	E 0	SW 1	**W** 0	10	10●	10●	12.6	● $12^3/_4$-24
12	1.5	2.0	2.6	2.0	1.2	715.9	715.7	714.0	98	98	96	NE 0	SE 0	E 0	10	10	10	0.1	●tr n (12./13)
13	2.4	4.2	4.4	3.7	2.8	712.2	712.6	712.7	94	84	81	SW 1	SW 0	SW 1	10	10	10	0.5	● $17^3/_4$-$18^1/_4$
14	3.2	5.4	3.5	4.0	3.0	713.1	714.9	715.7	79	79	86	**W** 2	**SW** 3	W 0	4	9	8	1.0	● 13, $17^1/_2$
15	1.1	3.9	2.4	2.5	1.4	716.2	717.1	718.0	98	92	93	**W** 0	W 0	W 0	10●	10	8	0.3	● $6^1/_4$-$8^3/_4$
16	2.0	5.8	0.6	2.8	1.6	718.2	718.4	719.3	96	74	88	W 0	SE 1	SE 0	10	2	3	.	♈ $19^1/_2$-21
17	−1.8	5.4	5.1	2.9	1.7	720.0	719.0	716.3	96	**56**	92	SE 0	SW 2	SW 3	7	10	10●	13.2	● 16-24, ⌓ $15^1/_4$-n, ⌐ |
18	2.8	4.7	2.4	3.3	2.0	716.5	718.8	715.5	86	78	85	W 2	SW 1	SW 0	10●	8	9	6.7	● 0-$7^1/_2$, $7^1/_2$-11 mU
19	0.4	4.2	3.0	2.5	1.1	711.2	711.7	715.5	98	79	87	NE 0	SW 3	SW 1	10	9	10	5.2	✶ 3-$7^1/_4$, ● $8^1/_2$-$12^1/_2$, ▣
20	3.3	**8.9**	7.9	6.7	5.2	715.9	713.3	708.3	85	64	57	SW 3	SW 3	SW 3	10●	2	10	**16.6**	● 0-8 [$18^3/_4$
21	4.2	6.7	4.2	5.0	3.4	706.8	707.5	709.3	87	57	71	SW 3	SW 3	SW 3	10	9	9	12.1	● $0^1/_2$-7, $14^1/_2$-$17^1/_2$, ⌓ 0-3
22	1.8	2.2	1.8	1.9	0.2	712.0	713.0	715.7	95	95	89	W 2	**W** 2	SW 2	9	10●*	10	14.0	● 1-7, ● ✶ $8^1/_2$-16 mU
23	0.9	4.4	0.3	1.9	0.1	718.8	719.9	718.7	93	75	86	SW 3	SW 3	SW 0	10*	8	6	2.7	✶ 0-$5^1/_4$, $7^1/_2$-8, $11^1/_2$-12, ▣
24	−0.7	0.3	0.0	−0.1	−2.0	715.1	713.1	712.5	80	93	97	NE 0	E 0	E 0	10	10*	10*	6.6	✶ $8^1/_2$-22 [$15^3/_4$-$16^1/_4$ ▣
25	−0.4	0.9	0.7	0.4	−1.6	712.8	713.7	713.5	95	91	96	W 0	W 0	E 0	10	10	10	0.2	✶ n (25./26.) ▣
26	0.0	4.8	0.5	1.8	−0.3	714.8	716.1	716.6	98	68	96	NE 0	SE 1	NW 0	10≡*	8	10	4.5	✶ $6^1/_4$-8, $18^3/_4$-$20^3/_4$, [≡ n-3 ▣
27	**−2.5**	3.1	0.0	0.2	−2.0	715.9	715.6	717.0	90	67	68	W 0	SE 1	NE 1	7	2	0	.	
28	−2.4	3.2	−0.8	0.0	−2.3	720.9	722.0	**723.9**	81	63	87	NE 0	NE 2	NE 2	3	9	10*	0.2	✶ $21^3/_4$-22
Mittel	0.9	4.0	2.3	2.4	—	714.0	714.1	714.1	91	78	86				9.1	8.2	7.8	Summe 113.8	

Bern: *) 18. ⌓ III, ♈ $19^1/_2$-20 19. ✶● 13-$23^1/_4$ mU, ☾ 13 21. ● $17^1/_4$-$17^3/_4$ 22. ✶ $14^1/_2$-$15^3/_4$, 16-$21^3/_4$ mU 25. ≡ 19-$21^1/_2$

Februar 1951
Beobachter: *Frl. H. Nager.*

Altdorf

$\lambda = 8° 39'$, $\beta = 46° 53'$,
$H_b = 456.3$ m, $G = -0.05$ mm.

Tag	Lufttemperatur 7³⁰	13³⁰	21³⁰	Mittel	Abweich. vom Normalst	Luftdruck 7³⁰	13³⁰	21³⁰	Relative Feuchtigkeit 7³⁰	13³⁰	21³⁰	Windrichtung und Stärke 7³⁰	13³⁰	21³⁰	Bewölkung 7³⁰	13³⁰	21³⁰	Niederschlag	Witterung
1	1.4	3 5	2.0	2.3	1.5	722.7	723.4	724.4	96	71	89	E o	W o	E o	10	10	10	.	
2	−0.1	3.7	1.2	1.6	0.7	724.0	721.7	720.0	95	47	65	E o	NW 2	E o	10	2	10	.	
3	−0.4	3.0	2.1	1.6	0.6	716.8	714.2	712 9	66	54	73	S o	NW o	E o	10	4	10	.	
4	3.4	9.5	8.2	7.0	6.0	710.8	706.1	698.9	54	**26**	30	NW 2	S 3	S 4	10	3	10	.	
5	9.1	4.3	1.3	4.9	3.8	**698 4**	701.7	706.6	30	100	79	SE 2	NW 1	W o	10	10●	10*	15.7	● $11^3/_4$–19, ✳ 19–n
6	2.0	3.8	2.3	2.7	1.5	708.1	708.8	711.1	100	100	100	E o	E o	SE o	10●	10●	10	3.7	● n–p mU
7	0 8	5.1	2.9	2.7	1.5	713 8	715.7	719.0	100	64	92	S o	NW o	E o	10	8	7	.	
8	−0.8	5.3	2.9	2.1	0.8	718.0	718.3	716.8	95	47	80	NW o	NW o	SE o	8	9	2	.	
9	2.8	9 8	11.5	8.0	6.6	716.4	714.7	715.5	93	48	3 ·	W o	W 1	S 3	10	7	0	.	
10	6.0	7.3	12.1	8.5	7.1	717.7	716.3	716.1	85	77	32	NW o	W o	S 1	10●	10	10	0.0	● tr n–a
11	**12.3**	7.4	1.6	7.1	5.6	715.6	717.1	719 8	40	100	100	SE 1	SE 1	NW o	10	10●	10●*	**94 3**	● tr $9^1/_2$–p, ✳ 18–n
12	3.2	5.5	10.0	6.2	4.6	718.4	716.9	715.3	99	86	36	S o	S 1	S 2	10	8	7	16.7	● n (12./13.)
13	5.2	3.7	3.2	4.0	2.4	714.3	715.4	714 3	96	100	100	NW 1	SE o	SE o	10●	10●	10●	13.9	● n–18¹ .. 21–n
14	2.8	6.7	3.6	4.4	2.7	716 0	717.1	718 9	100	95	70	E o	NW o	SE o	10	0	3	.	
15	0.8	4.4	2.6	2.6	0.8	718.4	719.8	720.9	84	85	89	SE o	S o	SE o	10	10	6	.	
16	0 6	5.7	1.7	2.7	0.8	721.0	720.5	719 6	75	44	54	E o	NW o	SE o	10	1	6	.	
17	**−1.5**	6.3	8 7	4.5	2.6	722.7	720.7	718.1	65	34	40	E o	NW 2	SE 1	0	4	10	10.6	● n (17./18.)
18	3.4	3.7	0.0	2.4	0.4	719.1	721.6	718.1	100	100	85	E 2	SW o	SE o	10●	10●	2	8.7	● n–15
19	1.0	4.1	2.5	2.5	0.4	714.2	713.3	717.6	82	92	100	NE o	NE 1	N o	10	10●	10	6.4	✳ a, ● a 16^1 ..
20	1.9	6.7	8.9	5.8	3.6	718.8	715.7	712.3	100	56	29	NE o	NW o	SE 2	10	0	9	.	
21	7.7	9.3	4.3	7.1	4.9	713.7	708.8	712.1	41	38	80	NW 3	NW o	N o	10	3	10	4.6	● n (21./22.)
22	2.4	6.3	2.4	3.8	1.5	714.2	714.9	718.5	100	54	99	E o	NW 1	SW o	10	10	10	6.7	● $15^1/_2$–$17^1/_4$, ✳ n (22./23.)
23	1.3	3.3	0.4	1.7	−0.7	721.2	722.2	722.1	100	80	87	NE o	N o	SE o	10	8	3	.	
24	−0.7	8 9	2.5	3.6	1.1	718.1	713.8	714.5	80	31	73	SW o	S 2	NW 1	10	10	10	0.2	✳ n (24./25.)
25	1.3	5.8	2.1	3.1	0.5	715.4	715 4	716.9	100	72	92	NW o	NW 2	NW o	10	7	6	.	
26	3.0	5.2	2.0	3.4	0.6	716.6	717.2	719.	92	44	75	W o	NW 2	SW o	10	10	8	3.6	✳ n (26./27.)
27	0.6	3.5	0.5	1.5	−1.4	718.3	717.8	720 7	100	58	87	W o	NW 1	NW o	10*	7	8	0.1	✳ a
28	0.2	2.3	−0.8	0.6	−2.4	723.0	724.2	**726.2**	88	59	97	N o	N 1	NW o	8	7	10	1.2	✳ n (28./1.)
Mittel	2.5	5.5	3.6	3 9	—	716.6	716.2	716.7	84	67	74				9.5	7.1	7.8	Summe 186.4	

Februar 1951
Beobachter: *Observatorium.*

Genève

$\lambda = 6° 9'$, $\beta = 46° 12'$,
$H_b = 405.0$ m, $G = -0.03$ mm.

1	2.5	4.1	2.9	3.2	2.2	726.4	727.1	728.1	91	78	81	E o	NNE 1	NE o	10	10	10	.	
2	2.1	3.4	2.4	2.6	1.5	726 8	726.2	724 0	83	70	87	E o	NE 1	ENE o	10	10	10	.	
3	−0.2	6.0	3.1	3.0	1.8	721.9	719 4	718.1	81	61	74	E o	NNE 1	NE o	0	4	8	.	
4	1.8	9.7	8.7	6.7	5.5	717.2	714 5	709.2	89	73	54	ESE o	WSW 1	E o	5	3	9	16.0	● n (4./5.)
5	2.2	3.8	2.5	2.8	1.5	**705 8**	708.7	709.2	93	87	91	E o	ESE o	SSW 1	10●	10●	10	2.0	● n–p
6	1.5	7.2	2.7	3.8	2.4	712.8	713.4	717.6	91	55	74	SSW o	SSW o	ESE o	3	5	2	.	
7	−0.2	6.4	1.2	2.5	1.1	720.0	721.3	721.9	85	62	88	ESE o	ESE o	E o	2	9	4	.	
8	0.4	5.2	2.4	2.7	1.2	722.6	723.4	722 9	92	63	93	SSE o	SE 1	ESE o	8	10	10	1.5	● n (8./9.)
9	2.0	8.5	4.0	4 8	3 2	721.8	721.8	720.7	96	66	87	SSW 1	SSW o	S 1	10●	10	10●	0.1	● p–n
10	2.0	4.7	4.2	3.6	2.0	722.0	722.3	721.1	91	88	90	E o	SSE o	SSE o	8	10	9	.	
11	3.4	4.2	1.8	3.1	1.4	720.3	720.4	722.3	93	93	96	ESE o	S 1	S o	10	10●	10●	13.8	● a–n mU
12	3.0	4.8	3.4	3.7	1.9	723 0	721.1	720.0	94	82	90	ENE o	NE 1	ENE o	10	10	10	6.8	● ✳ n (12./13.)
13	2.0	8.1	5.0	5.0	3.1	719 7	719.4	721.1	95	70	71	SSE o	SSW 1	S o	4	5	10●	0.8	● p–n
14	4 4	7.5	4.4	5.4	3 5	721.6	723.1	723.3	80	70	80	WSW 1	SW o	ESE o	10	9	8	.	
15	2.1	5.4	1.8	3.1	1.1	723.6	723.8	724.6	96	91	96	E o	ESE 1	E o	10	7	9	.	
16	1.0	5.2	0.0	2.1	0.0	725.3	725.8	726 9	94	72	93	E o	E o	E o	2	2	8	.	
17	2.0	8.0	8.2	6.1	3.9	728.0	728.9	728.5	96	86	92	E o	ESE 1	SE 1	0	8	4	4.0	● p mU
18	5.5	5.2	3.2	4 6	2.4	727.1	728.2	727.8	92	92	93	SW 1	ESE 1	SW 1	10	6	10	**19.0**	● a, p–n mU
19	6.0	6.2	5.7	6.0	3.7	718.7	721.7	724.1	88	70	69	S 2	SSW 1	SW 1	10	5	8	7.6	● a mU
20	4.0	**10.8**	9.2	8.0	5.6	722.5	720 3	715.3	87	56	56	S 1	S 1	S 1	4	5	10	7.7	● n (20./21.)
21	7.4	5.7	5.5	6.2	3 7	716.9	716.5	718.3	57	62	62	SSW 1	S 1	S 1	10	10	8	0.2	● n (21./22.)
22	4.6	5.0	4.0	4.5	1.9	720.5	722.0	723.3	71	81	67	S 1	S 2	S 1	10	6	5	1.7	● ✳ p mU, ● n (22./23.)
23	1.8	7.8	3.2	4.3	1.7	729.1	727.4	724 9	85	**54**	91	S 1	SSW 1	S o	10	5	8	12.0	✳ n (23./24.)
24	0.0	1.0	1.8	0.9	−1.8	722.1	720.7	720.7	85	98	96	ESE o	ENE o	E o	10	10	10	10.0	✳ p–n mU
25	**−2.0**	2.7	2.0	0.9	−1.9	720.9	720.5	721.1	96	87	93	ESE o	ESE o	E o	10	10	10	0.1	● ✳ a–p mU
26	1.0	4 2	1.2	2.1	−0.8	722.7	723.7	724.5	95	74	96	SSE o	SSE o	E o	10	5	9	1.0	● ✳ a mU
27	−0.5	3.4	−0.7	0.7	−2.4	723.2	722.4	725.1	90	57	84	E o	NNE 1	E o	5	3	3	.	
28	−0 8	3.2	1.3	1.2	−2.0	728.6	728.5	**729.2**	86	66	89	NE 1	ENE 2	NNE 2	1	1	2	.	
Mittel	2.1	5.6	3.4	3.7	—	721.8	721.9	721.9	88	74	83				7.2	7.1	8.0	Summe 104.3	

$\lambda = 8°\ 34'$, $\beta = 47°\ 23'$,
$H_b = 569.4$ m, $G = 0.03$ mm

Zürich

Februar 1951
Beobachter: *Meteorol. Zentralanstalt.*

Tag	Lufttemperatur 7³⁰	13³⁰	21³⁰	Mittel	Abweich. vom Normalst	Luftdruck 7³⁰	13³⁰	21³⁰	Relative Feuchtigkeit 7³⁰	13³⁰	21³⁰	Windrichtung und Stärke 7³⁰	13³⁰	21³⁰	Bewölkung 7³⁰	13³⁰	21³⁰	Niederschlag	Witterung
1	−0.1	1.3	0.4	0.5	1.8	712.9	713.6	714.3	91	79	87	NNW 1	NE 1	NE 1	10*	10	10	0.2	✳ 7–9¹ ₂
2	−0.3	0.5	0.7	0.3	1.5	713 9	712.5	610.5	89	93	88	E 1	ENE 1	N 1	10	10	10	.	
3	−0.4	4.5	0.1	1.4	2.6	707.2	705.1	703.8	85	56	79	SSE 1	S 1	W 0	10	4	1	.	
4	0.8	7.5	2.6	3.6	4.7	701.7	696.2	790.7	74	52	58	WSW 1	NE 1	NE 1	4	4	10	.	
5	1.3	1.9	0.5	1.2	2.2	**689.0**	691.5	796.5	75	93	99	SSW 1	WSW 1	S 1	10	10•*	10*	8.3	● ✳ 13¹ ₄–21³ ₄, ≡ 21¹ ₂–n
6	0.9	2.9	1.0	1.6	2.5	698.1	699.3	700.9	97	85	96	SSW 1	S 1	SSE 1	10	10	10	0.1	◑ n (6./7.)
7	−0.6	1.9	1.0	0.8	1.6	704.1	706 2	708 9	98	85	90	ENE 1	WNW 1	S 1	10	0	2	0 1	◑ n–11 mU, ≡ n–11, ⌴ l
8	−3.0	3.9	2.9	1.3	2.0	708.1	708.6	707.4	97	53	66	E 1	SSW 1	S 1	10≡	10	1	0.0	◑ n–9 mU, ≡ n–9¹/₂, ⌴ l
9	0.8	9.4	2.9	4.4	5.0	706.8	706.4	706.1	85	66	85	SSE 1	NE 1	NE 1	4	8	0	0.0	◑ n (9./10.), ⌴ l
10	2.9	5.7	3.8	4.1	4.6	708.0	708.2	706.9	87	75	85	WSW 1	SSW 1	NNE 1	10	8	10	.	
11	3.5	**9.6**	0.1	4.4	4.8	704.9	706.4	709.8	78	57	100	NE 2	WNW 2	S 1	9	9	10•≡	**21.8**	● 11¹/₄–12, ● ✳ 15³/₄–n, *)
12	0 7	4.3	2.0	2.3	2.6	708.9	708.0	707.4	99	89	98	NE 2	WNW 1	NE 1	10≡	10	3	0.1	✳ 0–2¹/₂, ≡ n–mtg mU
13	3.4	5.6	4.2	4.4	4.6	705.5	704.9	705.0	77	71	79	WNW 1	SSW 1	WNW 1	10	10•	10	0.1	● a p mU, ⌿ 21–n
14	3.3	6.0	3.7	4.3	4.4	706.0	707.3	707.8	79	61	70	SSW 2	SW 2	W 1	7	10	6	0.0	● 4³/₄, ⌿ n–18
15	−0.6	4.3	1.0	1.6	1.6	708.9	709.9	700.8	89	70	95	SSE 1	SSW 1	E 1	4	10	9	0.0	◑ n (15./16.), ⌴ l
16	0.6	5.5	0.4	2.2	2.1	711.1	711.2	712.1	99	68	93	SW 1	NE 1	SE 1	10≡	2	0	0.1	◑ a, ≡ 6–10¹/₂
17	−1.4	8.0	4.8	3.8	3.6	712.5	711.3	708.6	72	**37**	82	SSW 1	SSW 1	WSW 2	1	9	10•	7.6	● 2⁰¹ ₂–2³¹ ₂, ⌴ l, ⊕ ll, ⌿ 17–n
18	2.3	2.9	−0.3	1.6	1.3	709.4	711.7	708.4	95	83	95	SW 2	S 1	S 0	10•	9	6	14.5	● 3–4, ● ✳ 4³/₄–11³/₄, *)
19	−0.8	3.0	2.5	1.6	1.2	704.1	705.5	707.4	99	86	70	SSW 1	SW 2	SSW 2	10*≡	10	7	7.3	✳ 3¹/₄–8¹/₂, ● 10¹/₄–13¹/₂,*) ✳
20	2.0	6.8	5.0	4.6	4.1	708.8	707.0	701.7	85	65	63	SSW 2	SSW 1	SSE 1	10	3	10	5.7	✳ 2–3³/₄, ●tr 12¹/₄, ⌿ n–7 ✳
21	2 7	8.8	1.5	4.3	3.7	699.4	699.5	701.8	88	41	86	WSW 2	SW 3	WSW 2	10•	3	10	13.7	● 4–8³/₄, ✳ 20³/₄–n mU,*)
22	1.6	3.5	1.3	2.1	0.4	704.1	705.3	708.0	81	80	78	SSW 2	SW 2	SW 2	10	10	10	7.9	✳ n–5³/₄, 8³/₄–9¹/₂, *) ✳
23	0.6	4.3	0.7	1.9	1.1	711.0	712.3	711.9	77	69	77	WSW 2	SSW 2	SSE 0	9	8	6	0.3	✳ 1³/₄–4¹/₄, ✳fl 14¹/₄, ⌿ n–19 ✳
24	−1.7	1.6	0.1	0.0	−0.9	708.6	705.8	705.3	79	68	87	ESE 1	NNW 1	W 1	10	10	10	1.0	✳ n (24./25.), ⌴ l ✳
25	0.2	7.3	0.5	2.7	1.7	705.9	706.2	706.5	94	58	84	S 1	WSW 1	E 1	10	5	3	.	
26	−0.5	2.9	−0.7	0.6	−0.5	707.7	708.7	709 3	86	60	67	N 1	W 1	S 1	10	9	1	2.1	✳ ● n (26./27.), ⌴ l
27	−1.1	4.0	−2.2	0.2	−1.0	709.0	708.9	710.9	88	57	70	W 1	ENE 1	NE 1	10	6	1	0.3	● 2³/₄–3, 18–18¹/₄ ✳
28	**−3.7**	2.8	−1.9	−0.9	−2.2	713.7	714.8	**716.5**	86	54	59	NE 1	N 1	NE 1	8	7	1	0.1	●tr a, ⋁ l
Mittel	0.5	4.7	1.4	2.2	–	706.7	706.8	707.0	87	68	82				8.8	8.0	6.3	Summe 91.3	

*) **11.** ≡ 20–n, ⌿ 12¹/₂–16 **18.** ⊕ fl, ⌿ n–10, ⌿ 2 **19.** 22¹/₂–24, ≡ n–a mU, ⌿ n–n **21.** ⌿ 2¹/₂–n, ⌿ 9¹/₂, 13, 18³/₄ **22.** ● 12³/₄–13¹/₂, ✳ 14³/₄–19¹/₂ mU, ⌿ n–n

$\lambda = 6°\ 32'$, $\beta = 46°\ 51'$
$H_b = 1589$ m, $G = -0{,}13$ mm

Chasseron

Februar 1951
Beobachter: *R. Colomb*

1	−7.5	−7.0	−6.8	−7.1	—	626.0	626.7	627.3	100	100	100	NNE 1	NNE 1	ENE 2	10≡	10≡	10≡	.	≡ n–n ✳
2	−7.4	−5.7	−6.1	−6.4	—	626.5	625.6	624.1	100	100	100	ENE 2	E 3	E 3	10≡	10≡	10≡	.	≡ n–n, ⌿ a–n ✳
3	−5.8	−3.6	−4.1	−4.5	—	620.8	619.8	618.9	73	78	75	S 2	SSW 3	SW 3	6	6	3	.	⌿ a–n ✳
4	−5.0	−3.4	−2.3	−3.6	—	616.1	611.8	607.2	99	98	84	S 3	SSE 4	SE 4	10≡	10	10	8.3	✳ n (4. 5.), ≡ n–17, ⌿ n–n ✳
5	−3.6	−4.6	−5.1	−4.4	—	**607.0**	608.3	612.1	100	87	97	SW 2	WSW 3	S 2	10*≡	9	7	5.2	✳ n–12¹/₄, ≡ n–12⁸/₄, ⌿ mtg ✳
6	−6.8	−4.9	−6.0	−5.9	—	613.9	614.7	615.8	88	74	79	S 2	SSW 2	SW 3	5	7	3	.	⌿ abd ✳
7	−6.6	−4.4	−5.9	−5.6	—	618.9	621.3	623.2	91	74	86	SSW 2	SW 2	S 2	1	3	3	.	✳
8	−3.8	0.2	2.0	−0.5	—	623.0	624.0	623 3	60	94	99	S 3	WSW 2	SSW 3	9	10	9	.	⌿ a, p ✳
9	2.2	**2.6**	−1.0	1.3	—	622.6	622.7	622.9	81	74	98	WSW 4	WSW 2	W 1	6	4	10*≡	6.6	✳ 20¹/₂–n, ≡ 20¹/₂–n, ⌿ a ✳
10	−3.3	0.2	1.8	−0.4	—	623.1	622.8	622.8	94	67	60	SE 2	ESE 3	ESE 1	9	3	10	.	≡ n–6⁸/₄, ⌿ mtg ✳
11	2.0	−1.6	−2.7	−0.8	—	621.7	623.0	623.5	65	99	100	SSE 2	WSW 3	S 2	9	10*≡	10≡	12.4	✳ 12¹/₂–21¹/₄, ≡ 11¹/₄–21¹/₂, ✳
12	−2.6	−1.1	0.0	−1.2	—	623.4	623.5	622.0	98	81	76	E 2	ESE 2	ENE 2	10	9	7	0.2	✳ n (12./13.), ⌿ mtg ✳
13	−3.7	−2.0	−3.7	−3.1	—	620.2	620.8	620.8	98	99	100	S 3	WSW 2	SW 3	10≡	10≡	10*≡	4.3	✳ 18¹/₂–n, ≡ n–8, *) ✳
14	−3.8	−3.2	−3.8	−3.6	—	621.3	622 8	623.6	90	100	82	SSW 3	W 4	S 2	9	10	7	3.3	✳ n (11. 12.), ≡ 8¹/₄–13⁸/₄, * ✳
15	−4 5	−2.0	−4.4	−3.6	—	623.6	624.5	625.2	100	100	90	S 2	W 1	WNW 1	10≡	10	10	0.8	✳ 16³ ₄–19, ≡ 8¹ ₄–19³ ₄, ✳
16	−5.2	−1.4	−3.7	−3.4	—	625.2	625.8	626.6	100	85	90	ESE 2	ESE 1	SSW 2	10≡	4	6	.	≡ n–10¹/₄ ✳
17	−3.2	−1.0	−0.1	−1.4	—	627.0	626.7	624.2	**60**	75	100	SSW 3	SSW 3	SW 4	5	9	10*≡	**28.3**	✳ 15¹/₄–n, ≡ 11¹/₂–n, ⌿ n–n ✳
18	−5.3	−4.0	−3.8	−4.4	—	623.0	625.6	623.5	100	100	84	W 4	ESE 2	SW 3	10≡	10≡	3	3.0	✳ n (18./19.), ≡ n–15, *) ✳
19	−2.6	−3.3	−4.6	−3.5	—	619.0	618.3	621.9	100	100	100	WSW 4	W 4	WNW 3	10*≡	10*≡	10≡	8.1	✳ n–15¹/₄, ≡ ⌿ n–n ✳
20	−4.2	−1.4	−1.2	−2.3	—	623.7	621.9	618.7	100	88	82	SW 3	SW 3	SSW 4	10≡	5	10	2.1	✳ n (20./21.), ≡ n–10, ⌿ n–n ✳
21	−3.3	−3.6	−4.7	−3.9	—	614.8	616.3	617.1	100	88	100	W 4	W 4	WNW 4	10≡	9	10≡	4.7	✳ n (21./22.), ≡ n–8¹/₄, *) ✳
22	−5.9	−4.7	−5.8	−5.5	—	619.0	619.1	622.1	100	100	100	W 3	W 4	WNW 4	10*	10*	10*	6.6	✳ ≡ ⌿ n–n ✳
23	−6.7	−4.8	−6.4	−6.0	—	625.2	626.6	625.3	100	89	70	W 4	WSW 3	S 2	1	7	6	5 2	✳ n–10³/₄, ≡ n–12⁸/₄, ⌿ n–n ✳
24	−7.2	−4.0	−4.4	−5.2	—	621.4	620.0	619 6	98	100	100	ESE 2	ESE 2	SSW 3	10*≡	10*≡	10*≡	5.2	✳ 5¹/₂–n, ≡ 6⁸/₄–n, ⌿ abd ✳
25	−5.4	−0.6	−5.2	−3.7	—	620.3	620.9	621.0	75	97	98	SW 2	S 1	NE 1	7	10*≡	6	0.2	✳ 13–16, ≡ 12¹/₄–20 ✳
26	−5 8	−4.3	−7.0	−5.7	—	621.8	623.2	623 0	100	82	100	N 2	NNW 2	WNW 3	10≡	8	10*≡	4.1	✳ 16–n, ≡ n–11⁸/₄, 16–n ✳
27	−9.3	−4.8	−8.8	−7.6	—	622.1	622.1	623.3	100	75	85	SSE 2	ESE 2	E 2	10≡	5	5	.	≡ n–8
28	**−10.3**	−7.2	−9 8	−9.1	—	626.2	627.5	**628.3**	90	81	99	ENE 2	ENE 1	NNE 2	6	4	10	.	≡ 16¹/₄–n ✳
Mittel	−4.8	−3.1	−4.1	−4.0	—	621.4	621.7	621.7	91	89	90				8.6	7.9	8.0	Summe 103.6	

*) **13.** 10¹/₄–14¹/₄, 17¹/₂–n, ⌿ a, p **14.** ⌿ n–p **18.** ⌿ n–a, p–n **21.** 14–n, ⌿ n–n

Februar 1951
Beobachter: *B. Minsch und C. Clavuot*

Bever

$\lambda = 9° 53'$, $\beta = 46° 33'$,
$H_b = 1711.8$ m, $G = -0.23$ mm

Tag	Lufttemperatur 7³⁰	13³⁰	21³⁰	Mittel	Abweich. vom Normalst	Luftdruck 7³⁰	13³⁰	21³⁰	Relative Feuchtigkeit 7³⁰	13³⁰	21³⁰	Windrichtung und Stärke 7³⁰	13³⁰	21³⁰	Bewölkung 7³⁰	13³⁰	21³⁰	Niederschlag	Witterung
1	-10.8	-4.6	-9.2	-8.2	0.7	617.1	617.5	619.3	91	70	84	NW 0	NE 0	SW 0	2	9	3	.	⌴ III
2	-12.8	-7.8	-18.0	-12.9	-4.1	619.2	617.3	615 8	82	71	83	SW 0	SW 0	SW 0	8	1	0	.	
3	-12.3	-2.8	-10.6	-8.6	0.1	612.4	611.8	612.9	90	63	85	SW 0	SW 0	SW 0	10	3	10	.	
4	-10.2	-3.6	-4.8	-6.2	2.4	610.6	608.3	605.7	93	80	94	SW 0	SW 0	SW 0	8	10*	10*	6.0	✳ 13-n
5	-3.4	-1.0	-1.8	-2.1	6.4	603.6	**601.7**	602.2	99	97	99	SW 0	SW 0	SW 1	10*	10*	10*	**26.5**	✳ n-n
6	-3.4	-1.1	-2.6	-2.4	6.0	606.3	605.3	607.2	100	86	85	SW 1	NW 0	SW 0	10*	10*	10	13.9	✳ n-20
7	-5.3	-3 8	-5.8	-5.0	3.3	610.3	611.8	614 2	98	94	98	SW 0	NE 0	E 0	9	1*	10	5.1	✳ 10-16½
8	-11.8	-0.8	-3.4	-5.3	2.9	617.3	617.0	617.9	98	66	89	E 0	SW 0	SW 0	3	3	4	.	⌴ I
9	-10.6	2.4	-2.4	-3.5	4.6	617.9	616.7	616.9	97	60	82	SW 0	SW 0	SW 0	3	3	5	.	
10	-1.8	1.4	0.0	-0.1	7.9	616.1	616.6	617.3	92	80	87	S 0	SW 0	N 0	9	10*	5*	5.5	✳ 10½-n mU
11	0.3	1.3	0.4	0.7	8.6	618.7	617.6	616.5	99	88	98	SW 0	NE 2	S 0	10	10*	10*	24.4	✳ 8½-n
12	-0.9	**4.2**	-6.0	-0.9	6.9	617.4	617.1	617.9	99	59	92	SW 0	SE 0	SW 0	8	5	6	15.7	✳ n (12./13.)
13	0.0	0.5	-3.4	-1.0	6.7	613.3	611.0	610.6	96	96	95	NE 1	NE 0	S 0	10*	10*	10*	24.0	✳ 7½-n
14	-7.4	-2.4	-12.5	-7.4	0.2	614.7	614.3	615.9	90	61	85	S 0	S 0	S 0	8	3	1	.	
15	-13.8	-2.4	-8.6	-8.3	-0.7	615.9	615.6	616.8	90	69	93	SW 0	NE 1	NE 0	9	10	10	.	
16	-13 5	-4.2	-14.4	-10.7	-3.2	617.0	616.9	618.6	89	65	86	NE 0	NE 0	SW 0	3	3	0	.	⌴ III
17	-21.1	-6.6	-7.4	-11.7	-4.3	**619 5**	619.1	618.2	89	65	74	SW 0	SW 0	SE 0	0	0	8	.	⌴ I
18	-4.6	-1.6	-15 2	-7.1	0.2	615.1	615.9	616.6	72	73	85	W 0	N 0	NW 0	10	8	0	4.0	✳ n (18./19.)
19	-12.2	-1.2	-6.3	-6.6	0.6	611.8	609.8	613 3	92	65	84	SW 0	SW 1	NE 0	8	4	7	.	
20	-17.0	-1.6	-9.8	-9.5	-2.4	615.7	614.9	614 3	93	47	73	SW 0	SW 1	SW 0	3	1	9	7.1	✳ n (20./21.), ⌴ I
21	-5.4	0.4	-11.5	-5.5	1.5	608.0	607.8	608.4	98	**82**	80	SW 0	NW 0	SW 0	10*	3	3	3.2	✳ n-11
22	-17.3	-1.0	-6.8	-8.4	-1.5	610.9	611.6	614.1	92	37	82	S 0	W 0	S 0	8	3	9	.	⌴ I
23	-14.2	-2.2	-16 2	-10.9	-4.1	616.5	617.0	618.0	87	40	76	W 1	W 0	SW 0	7	6	0	.	⌴ I
24	-15.4	-4.4	-5.3	-8.4	1.7	616.3	614.8	612.8	88	80	93	SW 0	SW 0	SW 0	10	9	9	6.6	✳ n (24./25.)
25	-6.4	0.1	-7.2	-4.5	2.1	611.0	612.3	612.4	98	61	79	SW 0	NW 0	N 0	10*	7	8	0.0	✳ n-10½ mU
26	-7.0	-3.2	-8.2	-6.1	0.4	611.1	612.2	613 3	95	49	77	NE 1	NW 0	SW 0	10	10	10	.	
27	-18.2	-5.7	-14.8	-12.9	-6.5	613.5	612.8	615.2	87	54	77	SW 0	NE 0	SW 0	2	2	4	.	⌴ I, III
28	**-22.6**	-6.0	-16.2	-14.9	-8.6	616.9	617.1	618.7	94	46	75	SW 0	NW 0	**S** 0	2	3	1	.	⌴ I
Mittel	-10 0	-2.1	-8.1	-6.7		614.1	613 6	614.3	02	66	86				7.1	5.9	6.1	Summe 142 0	

Februar 1951
Beobachter: *Couvent des Capucins.*

Sion

$\lambda = 7° 21'$, $\beta = 46° 14'$,
$H_b = 548.6$ m, $G = -0.11$ mm.

1	0 9	3 1	1.6	1.9	1.6	713.8	714.5	715.2	62	56	65	NNW 1	NNW 2	NNW 0	10	10	10	.	
2	-2.8	1.9	-0.9	-0.6	-1.0	715 2	713 5	712.6	74	57	69	NNW 1	NNW 0	NNW 0	0	0	0	.	
3	**-3.5**	3.2	1.9	0.5	0.0	709.7	707 8	707.0	82	48	59	NNW 1	NNW 1	NNW 0	7	9	2	.	
4	0.9	7.8	5.1	4.6	4 0	705.6	700 3	696.9	64	42	41	NNW	NNW 1	NNW 1	5	1	10	.	⌿ 16-20
5	5.1	2.4	1.8	3 1	2.4	**692 8**	694.2	699.3	48	100	100	WSW 2	WSW 0	WSW 1	10	10*	10	6.4	● ✳ 10-17
6	-0 2	4.9	1.3	2.0	1.2	701.3	701.5	703.2	96	73	89	NW 0	NW 1	WSW 1	10	10	1	.	
7	-2.0	4.4	0.3	0.9	0.0	707.3	708 9	711.9	72	48	62	NW 1	WNW 1	NNW 2	1	1	1	.	
8	-1.2	3.9	2.6	1.8	0.8	713 2	713.3	712.0	62	42	66	NNW 1	NNW 1	NNE 1	9	10	1	.	
9	3.3	**11.1**	6.2	6.9	5 8	709.9	709.7	709.6	71	53	54	NNW 1	NNW 1	WNW 1	4	7	2	.	⌿ 17
10	3.1	7.3	7.5	6.0	4.8	710.8	710.1	709.4	90	68	53	SW 1	NNW 1	NNW 2	9	10	10	.	⌿ n (10./11.)
11	9.2	8.5	1.7	6.5	5.2	708.9	709.4	710.8	55	66	100	NNE 4	NNE 3	WSW 0	10	10●	10●	6.0	● 13-n, ✳ n (11./12.), ⌿ n-13
12	1.3	8.5	5.5	5.1	3.7	711 5	710.7	709 5	100	59	67	N 1	N 1	N 1	1	5	5	4.1	● n (12./13.)
13	2.9	6 6	4.1	4.5	3.0	707 7	707.7	707.9	100	81	93	WSW 0	NW 1	WSW 0	10●	10	10●	1.5	● n-9, 13³/₄ n mU
14	1.8	8.3	3.5	4.5	2.9	709 4	710.5	11.4	88	56	72	WNW 1	WNW 1	WSW 0	5	7	5	.	
15	0.7	5.3	3.2	3.1	1.4	711 4	711.9	712.4	82	60	87	NW 0	NW 1	WNW 1	9	8	7	.	
16	-0.2	5.9	1.9	2.5	0.7	713.1	713.0	714.6	76	43	50	NW 1	NW 1	WNW 2	7	0	1	.	⌓ III
17	-1.4	6.1	5.2	3.3	1.4	**716.1**	715.5	714.8	66	**39**	77	WNW 1	NNW 1	NNW 1	0	8	10●	**13 3**	● 20³/₄-n, ✳ n (17./18.)
18	0.8	2.8	1.0	1.7	-0.3	711.2	713.8	711.9	100	95	91	SSW 0	SW 1	SW 1	10*	10	0	0.6	✳ n-8, ● 11-11¹ ₂
19	1.1	2.5	2.4	2.0	-0.2	708.3	708.3	710.8	78	96	96	NNW 1	NNW 1	SW 1	10*	10*	10	9.7	✳ 7¹¹/₄-16¹ ₄ mU
20	1.9	6.0	4.2	4.0	1.7	712.6	710.3	708.2	92	70	68	SW 1	NW 1	N 0	10	0	8	7.6	✳ n-7¹ ₄
21	0.8	5.8	2.6	3.1	0.7	709.9	704.4	706.1	100	70	82	WSW 1	WSW 1	WSW 1	10*	10	6	4.7	✳ n-8³ ₄
22	0.6	5.7	1.1	2.5	0.0	708.2	708.8	711.8	100	58	100	WSW 0	SW 0	SW 0	8	10	9	2.9	● 14-16¹ ₂, ✳ ● 18-21 ✳ n (22./23.)
23	1.0	7.6	1.3	3.3	0.7	714.2	714.6	714.3	94	43	50	SW 0	SW 1	NNW 2	8	3	1	.	⌓ III ⌴ I
24	-0.4	2.9	3.2	1.9	-0.8	712.1	709.8	708.1	70	76	72	NW 0	NW 1	NW 0	10	9	10	2.0	✳ 8-12
25	-0.2	6.9	2.6	3.1	0.3	708.5	708.2	708.2	89	53	92	NW 1	NW 1	WSW 0	6	7	9	0.1	● tr n (25./26.), ⌴ I
26	1.8	5.7	1.3	2.9	-0.1	708.6	709.1	711.0	97	61	65	WSW 1	WSW 3	WSW 0	9	8	0	.	⌿ a-p
27	-0.2	5.4	0.4	1.9	-1.2	711.1	709.8	711.6	70	44	65	WSW 1	WSW 1	WSW 0	7	4	0	.	
28	-2.4	3.4	-0.4	0.2	-3.0	714.7	715.2	715.9	60	45	60	NW 1	SW 1	WSW 0	8	3	0	.	
Mittel	0.8	5.5	2.6	3.0	—	709.9	709.5	709.8	8 0	61	73				7.3	6.8	5.3	Summe 58.9	

$\lambda = 8°\,57'$, $\beta = 46°\,0'$,
$H_b = 276.2$ m, $G = -0.01$ mm.

Lugano

Februar 1951
Beobachter: *G. Vicari.*

Tag	Lufttemperatur 7³⁰	13³⁰	21³⁰	Mittel	Abweich. vom Normalst	Luftdruck 7³⁰	13³⁰	21³⁰	Relative Feuchtigkeit 7³⁰	13³⁰	21³⁰	Windrichtung und Stärke 7³⁰	13³⁰	21³⁰	Bewölkung 7³⁰	13³⁰	21³⁰	Niederschlag	Witterung
1	2.8	7.6	1.2	3.9	1.8	734.7	735.6	736.9	81	51	75	NNW 1	S 0	N 1	10	7	0	.	
2	0.2	10.8	3.2	4.7	2.5	737.4	736.0	735.0	70	28	65	N 1	SSE 2	N 1	0	1	0	.	
3	2.8	2.0	1.2	2.0	−0.2	735.0	733.6	733.2	72	93	94	N 1	N 1	NNE 1	10	10●	10●	9.8	●9-15½, ✳ ● 15½-18½, ●
4	1.2	1.2	0.4	0.9	−1.4	732.0	730.1	725.6	95	94	96	N 1	ESE 1	N 1	10●*	10●*	10	23.7	✳ ● n-21 mU [18½-n
5	0.2	0.6	0.4	0.4	−2.0	721.7	**719.8**	721.0	96	96	96	— 0	ENE 1	ENE 1	10*	10*	10*	49.8	✳ n-n, ≡ 7½-13½ [illegible]
6	1.4	3.2	1.8	2.1	−0.4	724.7	725.0	725.9	95	93	95	NNE 1	N 1	N 1	10●	10●	10●	10.5	● n-n mU
7	1.6	6.0	3.4	3.7	1.2	728.6	729.2	730.9	95	76	73	NNE 1	SSE 1	WSW 1	10	9	10	.	
8	3.2	11.0	1.8	5.3	2.7	733.9	735.4	736.0	68	31	70	WNW 1	S 1	N 1	8	8	3	.	
9	1.0	7.4	3.8	4.1	1.4	736.3	736.5	736.1	84	52	75	N 1	SSE 1	N 1	3	10	10	0.4	● n (9./10.)
10	3.0	4.4	3.2	3.5	0.7	736.5	737.2	738.0	95	93	96	NNE 1	WNW 0	WNW 1	10●	10●	10●	41.5	● n-n
11	3.2	11.0	9.0	7.7	4.8	**737.7**	735.5	733.5	97	50	65	W 1	ESE 4	WNW 1	10●	10●	10●	**58.5**	● n-n, ⛥ 19-20, ⛷ 11½-17
12	6.2	7.2	6.0	6.5	3.5	735.7	737.2	736.4	95	89	90	WNW 1	NE 1	WNW 1	10	10●	8	47.7	● n-13½ mU, 17
13	5.2	8.0	4.2	5.8	2.7	731.2	729.6	728.3	94	60	91	W 1	E 2	N 1	10●	10	10	7.4	● n-abd mU
14	2.6	11.8	5.2	6.5	3.3	730.7	731.8	733.9	93	34	63	N 1	SSW 1	N 1	2	0	0	2.3	▽ 18
15	4.0	4.0	3.0	3.7	0.4	735.3	735.7	736.0	87	88	93	NE 1	SSW 1	NNW 1	10	10●	10	10.5	● n-n mU
16	3.0	10.6	3.8	5.8	2.5	736.2	736.3	736.9	94	43	58	N 1	S 1	N 1	10	1	0	.	
17	0.2	9.0	5.0	4.7	1.3	738.7	**739.7**	739.0	64	31	48	N 1	S 1	N 1	0	1	6	.	
18	3.2	7.2	2.6	4.3	0.8	735.0	734.6	734.9	57	44	67	NNE 1	SSE 1	N 1	10	10	2	0.9	● n (18./19.)
19	2.6	4.8	2.0	3.1	−0.5	732.6	730.6	731.8	90	78	65	NW 1	SSE 1	N 1	10●	10	0	3.4	▽ a
20	0.4	12.8	4.8	6.0	2.2	734.3	734.1	733.7	64	22	42	N 1	SSE 1	N 1	0	0	10	4.3	● ✳ n (20./21.)
21	1.2	7.2	2.0	3.5	−0.4	727.9	726.2	727.6	91	57	70	NW 1	ESE 1	N 1	10●*	5	8	6.2	● ✳ n-10
22	0.0	11.6	3.0	4.9	0.9	728.9	729.8	732.2	71	26	38	WNW 1	ESE 1	N 1	0	0	0	.	
23	0.2	**14.0**	3.2	5.8	1.6	735.3	736.3	736.5	49	18	35	NNW 1	N 1	N 1	0	1	0	.	
24	2.0	1.8	1.0	1.6	−2.7	737.1	736.4	733.4	47	89	95	N 1	S 1	NE 0	10	10●*	10●*	21.5	✳ ● 9½-21½
25	0.8	7.6	2.6	3.7	−0.7	731.2	731.6	730.7	96	54	80	NE 1	ESE 1	N 1	10	5	0	.	
26	2.2	6.4	6.2	4.9	0.3	729.1	729.4	730.9	83	54	47	N 1	S 1	NNE 3	10	10	0	.	⛷ 18½-3
27	2.4	11.4	2.4	5.4	0.7	732.0	732.2	734.2	29	18	43	N 1	S 1	N 1	1	3	0	.	
28	**−1.0**	11.0	3.2	4.4	−0.5	736.6	737.0	738.7	48	**13**	18	N 1	N 2	N 1	2	1	0	.	
Mittel	2.0	7.6	3.2	4.3	—	733.0	732.9	733.1	79	56	68				7.0	6.5	5.2	Summe 293.4	

$\lambda = 7°\,35'$, $\beta = 47°\,33'$,
$H_b = 317.3$ m, $G = 0.11$ mm.

Basel

Februar 1951
Beobachter: *Astronom.-Meteorol. Anstalt.*

Tag	Lufttemperatur 7³⁰	13³⁰	21³⁰	Mittel	Abweich. vom Normalst	Luftdruck 7³⁰	13³⁰	21³⁰	Relative Feuchtigkeit 7³⁰	13³⁰	21³⁰	Windrichtung und Stärke 7³⁰	13³⁰	21³⁰	Bewölkung 7³⁰	13³⁰	21³⁰	Niederschlag	Witterung
1	1.0	2.3	1.5	1.6	1.4	735.7	736.4	737.2	100	94	96	WNW 0	NW 1	W 1	10	10	10	.	
2	1.4	2.4	1.6	1.8	1.5	736.9	735.2	732.9	100	93	93	WNW 1	NW 1	SW 1	10≡	10	4	.	≡ 2-11½
3	0.2	4.7	1.9	2.3	2.0	729.1	727.1	725.8	98	73	82	WNW 0	ENE 1	E 1	10≡	10	4	.	≡ n-a
4	1.3	8.7	4.6	4.9	4.5	722.7	716.8	**711.7**	85	56	74	E 1	E 1	NE 0	10	9	10	0.4	● n (4./5.)
5	2.7	2.6	2.0	2.4	1.9	711.9	713.3	717.5	94	96	98	NW 1	E 1	ESE 1	10●	10●	10	7.5	● 7¼-9½, 10-16½, ● ✳ [9½-10
6	0.5	6.0	2.8	3.1	2.6	720.5	721.0	722.8	98	76	89	SE 1	E 1	ESE 1	10	10	10	.	⊕ 10-12
7	**−2.1**	6.6	2.2	2.2	1.6	726.3	728.0	728.9	96	74	86	S 1	E 1	E 1	3	1	5	.	⌊ l
8	−0.8	4.0	4.4	2.5	1.8	729.7	729.5	728.0	97	70	74	E 1	ESE 2	ENE 2	8	10	0	.	⌊ l
9	3.5	**11.5**	6.7	7.2	6.5	727.6	728.1	728.8	78	60	88	E 1	NE 0	W 1	8	9	10	0.7	● n (9./10.), ⊕ 14
10	3.6	9.2	4.7	5.8	5.0	730.3	729.7	729.0	93	66	94	WSW 0	SE 1	WNW 1	10●	6	10	1.6	● 6⅜-10
11	3.0	4.8	4.2	4.0	3.1	726.9	729.6	730.6	98	90	89	W 1	NW 0	ENE 1	10≡	10	10	6.9	● 14¼-20 mU, ≡ n-a
12	2.6	9.4	3.6	5.2	4.2	730.8	729.9	729.4	93	69	95	ESE 2	E 1	SW 0	2	6	0	.	
13	2.3	6.6	4.8	4.6	3.6	726.1	726.8	727.1	93	78	80	E 1	E 1	WSW 1	10	10	10	0.0	● tr 6, 14½
14	3.6	7.7	3.3	4.9	3.8	727.8	729.3	730.5	85	68	85	S 1	WSW 2	E 1	9	10	0	0.0	● tr 11-11½
15	0.4	7.4	1.7	3.2	2.0	730.8	731.7	732.5	92	72	97	E 1	N 0	E 1	4	10	10	0.3	● 15¼-15⅝
16	1.5	6.1	1.1	2.9	1.6	732.9	733.5	733.7	98	79	94	NE 1	NE 1	E 1	10≡	4	0	.	≡ 3-9⅜, ♈ III
17	−1.4	8.1	8.2	5.0	3.7	734.0	732.4	729.0	97	68	78	E 1	E 1	SW 2	3	10	10●	9.7	● 19-20, 21½-22, ⌙ l., ⛷ 20-24
18	1.7	8.1	0.8	3.5	2.1	731.9	733.5	730.7	93	68	86	WSW 2	ESE 1	ESE 1	10●	6	5	2.0	● 0⅜-7⅜, 8¼-9¼, ⛷ 9½-21½
19	1.0	3.9	4.8	3.2	1.7	725.7	725.2	729.5	98	90	74	E 1	W 2	WSW 2	10●	9●	10	5.5	● 5¼, 10½ mU, 15¼, 16½ mU, *)
20	2.4	9.8	11.2	7.8	6.2	730.4	727.8	721.8	93	54	**45**	SE 1	WSW 2	WSW 3	10	8	10	3.5	● 5⅜-6¼ ⛷ l, 21-24
21	5.9	9.4	3.7	6.3	4.7	720.8	721.5	723.5	69	49	84	WSW 2	WSW 2	WSW 2	10	8	10	**10.9**	● 1¼-5½, 12¼-16¼, 21-24 mU*
22	1.4	6.5	2.8	3.6	1.9	726.6	727.2	729.8	94	72	77	WSW 1	WSW 1	SW 1	8	10	4	2.1	● 0-7¼ mU, ✳ 20½-24 mU
23	2.2	7.4	1.0	3.5	1.7	733.2	734.1	733.6	79	53	88	SW 1	W 2	E 1	9	9	0	.	
24	−0.4	4.2	0.7	1.5	−0.4	730.0	728.2	727.3	94	65	98	E 1	NNE 1	E 1	10	10	10●*	2.4	✳ ● 14⅜-23⅜, ⌙ l
25	1.2	7.7	1.3	3.4	1.4	727.9	728.5	728.6	98	69	91	E 0	E 0	S 1	9	5	9	.	
26	0.0	7.0	2.5	3.2	1.1	730.3	731.2	731.9	97	61	98	W 1	N 1	SW 1	10	3	10	3.5	✳ 19-20⅜
27	−0.9	7.0	0.0	2.0	−0.2	731.4	731.0	733.5	88	62	89	SW 0	SE 2	E 1	3	5	0	.	
28	−2.0	2.4	0.2	0.2	−2.1	737.0	738.1	**739.6**	94	77	85	E 1	WNW 1	SE 1	10	9	10	0.0	✳fl 13⅜, 20, ⌙ l
Mittel	1.3	6.5	3.1	3.6	—	728.7	728.7	728.7	93	72	86				8.4	8.1	6.8	Summe 57.0	

*) **19.** 21½-22⅜, ⛷ 11-16, ⛷ 15 **21.** ⛷ 0-13, ⛷ 15-21

Februar 1951
Beobachter: *Observatorium.*

Säntis

$\lambda = 9°\,20'$, $\beta = 47°\,15'$,
$H_b = 2500.1$ m, $G = -0.27$ mm.

Tag	Lufttemperatur 7h	13h	21h	Mittel	Abweich. vom Normalst	Luftdruck 7h	13h	21h	Relative Feuchtigkeit 7h	13h	21h	Windrichtung und Stärke 7h	13h	21h	Bewölkung 7h	13h	21h	Niederschlag	Witterung
1	-9.4	-11.0	-11.0	-10.5	-1.4	556.6	557.4	558.4	96	100	95	NNE 3	ESE 2	ENE 4	9*	2	0	0.0	✳ 7-10^3 $_4$. = n-6^3 $_4$. ↙ III
2	-10.6	-8.0	-11.0	-9.9	-0.8	557.8	557.8	555.1	94	75	85	NE 3	ENE 2	NE 3	1	1	1	.	
3	-11.8	-9.6	-10.7	-10.7	-1.5	552.0	551.8	551.6	85	80	92	W 3	WSW 3	WSW 3	7*	8	8	0.0	✳ 6^3 $_4$-7^3 $_4$, 17^3 $_4$-20 mU
4	-10.6	-8.0	-8.6	-9.1	0.1	549.5	547.3	544.0	86	65	76	S 2	SSW 4	SW 5	8	9	10	.	⊹ a-n. ↙ a-n ↙ III
5	-7.9	-6.1	-10.2	-8.1	1.1	541.8	542.4	545.3	92	98	100	SW 5	SSW 3	WNW 3	10	10*	10*	7.8	✳ 11-n. ≡ 12^3 $_4$-n. ⊹ p-n. ↙ [n-a
6	-9.8	-7.9	-11.6	-9.8	-0.6	547.0	547.6	548.3	100	93	100	SW 2	ESE 1	WNW 3	10*	10*	10*	3.8	✳ n-n. ≡ n-N, 17-n. ⊹ III
7	-1.2	-8.4	-11.8	-10.8	-1.6	551.0	552.5	554.9	92	93	90	ENE 2	SW 1	WSW 2	9	9	7	.	≡ 17^3/$_4$-20 mU
8	-8.3	-4.2	-2.4	-5.0	4.2	555.1	556.7	557.5	75	45	100	WSW 3	WSW 2	WSW 2	8	9	9	0.0	✳ 11^1 $_4$-16 mU, ≡ 18-20^1 $_2$, ⊕ a
9	-2.0	-2.1	-3.9	-2.9	6.3	557.4	556.9	556.1	60	72	65	N 2	SSW 3	SSW 4	6	9	10	.	⊹ mtg-n. ↙ p-n
10	-5.6	-3.7	-5.4	-4.9	4.3	556.1	557.0	557.6	95	78	85	SE 2	SW 4	SW 4	8	9	10	0.0	✳ 8^1 $_4$-8^3 $_4$. ↙ II, III
11	-3.7	-2.2	-5.6	-3.8	5.4	557.6	555.9	556.7	85	75	98	ESE 4	SSE 6	ESE 3	8	5	10*	15.1	✳ 15^1 $_4$-n. ≡ 17^1 $_2$-n. *)
12	-7.4	-5.8	-4.0	-6.0	3.2	557.4	556.9	557.2	94	90	75	WNW 2	SSW 4	SE 3	6	3	9	0.5	✳ n (12. 13.). ⊹ a-p. *)
13	-4.5	-7.2	-8.4	-6.7	2.5	554.2	553.1	552.0	85	100	100	SW 3	WSW 2	WNW 3	10*	10*	10*	21.2	✳ ≡ ⊹ n-n, ↙ p
14	-9.6	-9.0	-9.5	-9.4	-0.3	553.0	554.2	555.8	100	95	100	W 3	W 3	W 3	10≡*	10	7	3.6	✳ n-7^3/$_4$, 13^1/$_2$-20, *)
15	-10.4	-9.0	-10.8	-10.1	-1.0	555.5	555.9	556.6	100	100	100	SSE 2	ENE 1	W 2	8	1	1	2.2	✳ 10^1 $_2$-20^1 $_4$. ≡ 10^1 $_2$-15^1 $_4$. [17^3/$_4$-20^1/$_4$
16	-11.8	-8.6	-11.2	-10.5	-1.4	556.2	557.0	558.2	100	58	40	ESE 1	W 0	W 2	8	1	1	.	⊕ 10^1/$_2$
17	-10.2	-7.1	-4.3	-7.2	1.8	558.5	558.6	556.1	46	65	100	W 3	W 3	WSW 4	1	9	10*	10.4	✳ 18^1 $_4$-n. ≡ 20-n. *)
18	-8.5	-11.2	-10.2	-10.0	-1.0	554.7	556.1	555.5	100	100	45	WNW 4	WNW 3	W 3	10*	10*	3	11.7	✳ n-13^1 $_2$, ≡ n-15^3 $_4$. *)
19	-10.1	-7.7	-10.8	-9.5	-0.5	551.2	550.8	552.8	100	97	100	W 2	W 3	W 4	10*	10*	10*	14.1	✳ 7^1 $_4$-9. 12^1 $_4$-n mU, *)
20	-11.2	-8.8	-7.8	-9.3	-0.4	554.2	554.3	551.5	100	98	68	W 4	W 3	WSW 4	10*	6	10	1.2	✳ n-9^1 $_2$, ≡ n-9^3 $_4$. *)
21	-7.9	-9.5	-11.2	-9.5	-0.6	547.9	548.0	548.5	100	100	100	W 2	W 4	WSW 5	10*	9	10≡*	1.8	✳ n-8^1 $_2$, 18^1 $_2$-n, *)
22	-11.9	-10.2	-12.6	-11.6	-2.8	550.0	551.4	552.8	100	100	100	W 4	W 3	WNW 4	10≡*	10≡*	10≡*	19.7	✳ n-n mU, ≡ ⊹ ↙ n-n
23	-13.5	-12.3	-12.9	-12.9	-4.1	554.6	555.8	556.4	100	100	100	W 4	W 4	W 3	10≡*	10*	10*	1.1	✳ n-11^3 $_4$, 16^3 $_4$-17^1 $_2$, 20^3 $_4$-n*)
24	-12.3	-7.9	-8.6	-9.6	-0.9	554.3	552.8	552.4	89	98	94	S 2	SW 4	SW 2	10	10*	10	1.6	✳ 9^1 $_2$-14^1 $_2$ mU, ↙ II
25	-11.2	-9.9	-10.8	-10.6	-2.0	551.5	552.5	553.0	100	100	100	W 4	WNW 3	NW 1	10≡	10≡	6	0.5	✳ n-6^3 $_4$, 15^1/$_2$-16^1 $_2$. 19^1/$_2$-n, ≡ n- [15. ↙ I
26	-12.2	-11.9	-14.0	-12.7	-4.1	552.4	552.7	553.5	100	98	92	NNW 1	NW 3	NW 2	10≡*	10≡*	10≡*	5.7	✳ ≡ n-n
27	-14.1	-11.5	-14.7	-13.4	-4.9	552.6	552.7	554.1	97	75	95	N 1	NE 1	N 2	10*	10*	7*	3.8	✳ n-n, ≡ n-n mU
28	-17.0	-14.6	-17.0	-16.2	-7.8	555.6	556.9	557.9	95	92	92	NNE 2	N 2	NNE 2	10≡*	9*	10≡*	0.6	✳ ≡ n-n mU
Mittel	-10.0	-8.3	-9.7	-9.3	-	553.4	553.7	553.9	92	87	89				8.5	8.1	7.8	Summe 126.4	

Februar 1951
Beobachter: *E. Chiesa*

St. Gotthard (Hospiz)

$\lambda = 8°\,34'$, $\beta = 46°\,33'$,
$H_b = 2095$ m, $G = -0.25$ mm.

1	-12.1	-10.2	-12.1	-11.5	-4.0	586.1	587.2	588.2	100	100	100	NW 2	NW 2	NW 1	10≡	6	0	.	≡ n-a
2	-11.3	-4.8	-9.4	-8.5	-1.0	587.9	587.6	585.6	82	74	70	NW 1	SE 0	NW 0	0	0	0	.	
3	-8.7	-6.1	-8.8	-7.9	-0.4	583.1	582.8	582.6	100	93	100	SE 1	SE 1	SE 1	10≡	10≡	10≡	6.2	✳ 9^3/$_4$-n, ≡ n-n
4	-9.0	-8.3	-9.2	-8.8	-1.3	581.0	579.0	575.8	100	100	100	SE 2	SE 2	SE 2	10≡	10*≡	10*≡	16.9	✳ a-n, ≡ n-n
5	-8.0	-5.9	-5.6	-6.5	1.0	574.4	572.6	574.6	100	100	100	SE 2	SE 1	SE 1	10*≡	10*≡	10*≡	43.3	✳ ≡ n-n
6	-5.7	-3.9	-8.2	-5.9	1.6	576.4	577.0	578.5	100	91	100	SE 1	SE 1	NW 1	10*≡	10*≡	10*≡	29.4	✳ ≡ n-n
7	-9.1	-8.7	-10.0	-9.3	-1.8	580.7	582.2	584.8	95	96	100	NW 1	NW 2	NW 3	10	9	10≡	.	≡ 16^1/$_4$-n, ⋁ 21-n. ↙ III
8	-7.1	-2.2	-4.4	-4.6	2.9	585.9	587.6	588.2	79	82	100	SE 0	SE 1	SE 1	0	6	3	2.2	✳ n (8./9.)
9	-5.2	-3.1	-4.3	-4.2	3.2	587.5	587.6	588.2	100	95	100	SE 1	SE 2	SE 1	9	10	10	9.5	✳ n (9./10.)
10	-4.7	-3.0	-4.3	-4.0	3.4	586.1	587.5	588.2	100	100	100	SE 1	SE 1	SE 2	10*	10*	10*≡	44.5	✳ n-n, ≡ p-n
11	-3.2	-2.6	-2.2	-2.7	4.7	587.7	587.3	586.1	100	100	100	SE 2	SE 3	SE 1	10*≡	10*≡	10*	69.3	✳ n-n, ≡ n-p, ↙ II
12	-3.2	-2.1	-2.9	-2.7	4.7	586.9	588.1		100	100	100	SE 1	SE 1	SE 1	10*	10*	10*	.	✳ ≡ n-n
13	-3.1	-1.8	-5.8	-3.6	3.8				81	80	86	SE 2	NW 2	NW 2	10*≡	10*≡	10*≡	.	✳ ≡ n-n
14	-7.2	-4.4	-7.3	-6.3	1.0				90	76	38	NW 1	NW 0	NW 0	6	0	3		
15	-7.8	-4.5	-7.4	-6.6	0.7				99	87	90	SE 0	NW 1	NW 1	10*≡	10≡	10≡		✳ n-a, ≡ n-n
16	-10.6	-5.5	-10.7	-8.9	-1.6				83	40	53	NW 1	NW 1	NW 1	6	0	0		⋁ I
17	-9.8	-2.2	-6.5	-6.2	1.0				35	30	71	NW 0	SE 0	SE 0	0	0	6		⋁ I, II
18	-3.3	-2.2	-8.1	-4.5	2.7				97	82	81	SE 0	NW 1	NW 0	10*≡	3	0		✳ ≡ n-a
19	-7.9	-0.2	-7.9	-5.3	1.8				85	74	97	SE 1	SE 0	NW 1	10*	10*	10*		✳ n-n
20	-8.2	-5.1	-9.8	-7.7	-0.7				89	48	89	NW 0	SE 0	SE 2	10	3	10		⋁ II
21	-9.4	-7.0	-9.1	-8.5	-1.5				100	14	96	SE 2	NW 0	SE 0	10*≡	0	10≡		✳ n-a, ≡ n-a, p-n
22	-9.1	-8.9	-9.4	-9.1	-2.2				82	27	98	NW 0	NW 0	NW 1	10	0	10*		✳ 20-n, ⋁ II
23	-9.6	-6.2	-12.9	-9.6	-2.7				100	47	69	NW 1	NW 0	NW 0	10	3	0		⋁ n-n
24	-11.5	-9.7	-9.5	-10.2	-3.4				100	100	100	SE 1	SE 2	SE 2	10*-	10*≡	10*		✳ ≡ n-n
25	-11.4	-7.8	-10.2	-9.8	-3.1				94	91	100	NW 0	NW 0	NW 1	0	0	10		
26	-10.2	-8.1	-10.5	-9.6	-2.9				100	96	100	NW 2	NW 3	NW 3	10	10	10		↙ a-n
27	-13.3	-7.4	-12.0	-10.9	-4.3				99	48	67	NW 1	NW 0	NW 2	9	0	3		
28	-13.8	-6.4	-12.6	-10.9	-4.3				74	61	68	NW 2	NW 2	NW 2	10	10	10≡	.	≡ p-n
Mittel	-8.3	-5.3	-8.2	-7.3	—	—	—	—	92	76	88				8.2	6.1	7.3	Summe ?	

Barometer defekt

Keine Niederschlagsmessungen infolge Evakuation

Säntis: *) 11. ⊹ a-p. ↙ n-n, ↙ a-mtg 12. ↙ mtg. ↙ p 14. ≡ n-10, 13^1 $_2$-20. ⊹ n-n, ↙ p 17. ⊹ n-p, ⊕ mtg-p. ↙ p 18. ⊹ p. ↙ I 19. ≡ 8-11^3 $_4$, 12^3 $_4$-n. ↙ a. III. ↙ p 20. ⊹ n-n. ↙ a. p 21 ≡ n-17. mU. 18^1 $_2$-n. ⊹ n-n. ↙ a-n 23. ≡ n-18. ↙ n-n

$\lambda = 7°\,26'$, $\beta = 46°\,57'$,
$H_b = 572.2$ m, $G = 0.00$ mm.

Bern

März 1951
Beobachter: *Meteorol. Observatorium.*

Tag	Lufttemperatur 7³⁰	13³⁰	21³⁰	Mittel	Abweich. vom Normalst	Luftdruck 7³⁰	13³⁰	21³⁰	Relative Feuchtigkeit 7³⁰	13³⁰	21³⁰	Windrichtung und Stärke 7³⁰	13³⁰	21³⁰	Bewölkung 7³⁰	13³⁰	21³⁰	Niederschlag	Witterung
1	-4.3	-0.1	-1.8	-2.1	-3.8	715.7	715.8	716.5	87	59	61	NE 1	ENE 3	ENE 1	8	9	10	.	⌒ | ✳
2	-3.7	1.1	-2.0	-1.5	-3.3	714.2	712.8	711.6	78	58	97	E 0	N 0	NE 1	9	10	10*	2.6	✳ $14^3/_4$-24. ⌒ | ✳
3	-6.6	-1.3	-0.6	-2.8	-4.7	711.1	711.3	712.4	93	62	80	NNE 1	ENE 3	**NE** 1	3	5	10	.	✳
4	-2.0	1.3	-2.4	-1.0	-3.1	713.1	712.4	711.9	76	65	87	SSE 1	NE 2	NNE 1	10	1	0	.	⌒ | ✳
5	-5.8	1.8	-0.8	-1.6	-1.3	711.5	709.5	709.9	86	64	88	SSW 0	NE 1	SE 0	10	0	0	.	⌒ ⌒ | ✳
6	-2.6	4.8	0.5	0.9	-1.4	708.2	707.4	705.8	93	58	78	S 0	NE 1	NE 0	10	1	0	.	⌒ ⌒ ⌒ | ✳
7	-4.0	5.1	1.0	0.7	-1.7	703.3	700.4	698.5	91	55	82	WSW 0	NE 1	W 1	3	8	4	.	⌒ ⌒ | ✳
8	-1.3	3.0	2.6	1.4	-1.1	695.5	**692.8**	694.2	99	83	86	NE 1	NNE 1	W 0	10	10	10	0.0	● n (8./9.). ⌒ | ⌒
9	2.0	4.6	3.2	3.3	0.6	695.3	696.7	698.2	98	81	78	WSW 0	W 1	W 1	10≡	10	8	0.7	● ✳ $5^1/_4$-6. ● $8^1/_4$-10. ≡ n-a
10	-0.4	6.4	2.2	2.7	-0.1	700.6	701.2	700.9	92	57	79	S 0	N 1	SE 1	2	8	0	.	⌒ |
11	0.6	6.9	5.2	4.2	1.3	697.4	695.7	697.7	84	63	79	NNE 1	NE 1	W 1	10	9	10	0.5	● n (11./12.), ⌒ |
12	4.1	9.1	5.2	6.1	3.1	700.2	703.0	702.8	80	49	75	W 1	WNW 2	SE 1	9	3	0	0.6	● n (12./13.), ☂ III
13	3.8	10.4	8.2	7.5	4.3	702.0	697.7	696.0	89	70	82	NNW 0	NNE 1	**W** 1	10●	9	10	12.6	● $5^1/_2$-$9^3/_4$, $22^3/_4$-24
14	2.2	9.4	6.6	6.1	2.8	704.0	706.5	708.8	96	50	63	S 0	WSW 2	SSW 1	5	8	9	0.0	● ✳ 0-$6^1/_4$. ●tr $10^1/_4$-$10^3/_4$
15	6.4	12.3	8.5	9.1	5.7	709.6	709.1	710.2	66	43	63	WNW 1	W 1	SE 0	9	9	10	1.7	
16	5.8	11.1	10.6	9.2	5.6	711.5	711.2	709.8	94	75	88	SE 1	WNW 1	SE 0	9	9	10	2.6	● 0-$7^1/_4$ mU
17	8.7	12.9	10.0	10.5	6.8	709.2	709.7	707.2	94	86	96	SE 1	S 0	SSW 1	10●	10	10	7.2	● $9^1/_2$-$13^3/_4$, $7^1/_4$-$15^1/_4$, $16^1/_2$-$15^1/_2$
18	9.2	9.0	5.8	8.0	4.2	705.2	706.8	706.9	95	86	92	WSW 1	SSW 1	NE 1	10●	10●	3	11.7	● 0-$1^1/_4$, $3^1/_2$-$11^1/_4$, $6^1/_4$-$17^3/_4$
19	5.8	9.6	6.3	7.2	3.2	705.7	704.6	706.3	87	70	91	SE 1	WSW 3	WSW 2	9	10●	10	13.2	● 13-21, 22-24
20	3.8	7.3	4.8	5.3	1.2	709.0	711.2	711.6	88	65	87	WSW 2	SSW 3	SSW 1	9●	10●	10●	9.4	● 0-$1^1/_4$, $3^1/_2$-$8^3/_4$, 15-$15^3/_4$, [21-$21^1/_4$
21	0.4	3.2	0.0	1.2	-3.0	715.7	718.2	**720.5**	71	50	64	NE 1	ENE 2	SE 1	3	8	0	.	
22	-1.8	4.2	3.8	2.1	-2.3	718.5	717.9	716.6	80	52	90	NE 0	SSW 1	S 0	10	10	10●	0.2	● 21-$21^3/_4$, ⌒ |
23	2.6	**16.7**	10.2	9.8	5.3	714.5	711.3	705.8	94	**32**	53	SSE 1	NNW 3	SSE 0	9	1	1	4.8	● n (23./24.)
24	7.0	3.8	1.9	4.2	-0.4	704.1	707.8	708.7	89	82	83	SSW 2	W 1	WSW 1	10●	10*●	9*	4.0	● $5^1/_4$-13, $13^3/_4$-14. ✳ ● 13-$13^3/_4$. ✳ 18-24
25	-0.4	1.2	-0.4	0.1	-4.7	708.2	709.4	711.3	82	62	84	WNW 1	WNW 1	W 1	9*	10	8	2.0	✳ 3-$5^1/_2$, 7-11, 11-$11^1/_2$, $21^3/_4$-$22^1/_4$ ✳
26	-2.8	3.3	2.4	1.0	-3.9	711.3	710.6	710.8	93	53	91	WSW 1	WSW 2	S 0	3	10	10*	0.0	✳ ll $16^1/_2$-17, 21-$21^3/_4$ ✳
27	1.7	5.9	5.4	4.3	-0.7	706.9	706.0	704.9	94	92	97	S 1	SSW 1	WNW 1	10	10●	10●	**29.0**	● ✳ $7^3/_4$-$9^1/_2$. ● $9^3/_4$-$17^3/_4$
28	2.3	5.2	3.0	3.5	-1.7	706.6	706.9	706.7	98	76	91	WSW 1	NE 1	NE 0	10●	10	9	0.1	●tr 0-$11^1/_2$ [21-24
29	0.6	5.2	3.0	2.9	-2.4	705.4	704.0	702.7	88	41	67	W 0	WSW 1	SW 0	8	9	9	.	⌒ |
30	0.6	6.9	2.7	3.4	-2.0	700.0	700.2	702.4	79	54	97	E 1	NNE 1	NNE 0	9	10	8	1.5	● 20-$20^3/_4$, 23-$23^1/_4$. ⌒ |
31	2.4	5.1	3.3	3.6	-2.0	705.7	708.1	711.2	96	72	74	SSW 0	WSW 1	W 1	9	9●	10	0.3	● $9^1/_2$-$10^1/_2$. ▲ $13^1/_4$-$13^3/_4$.
																		Summe	[●tr $19^1/_2$
Mittel	1.1	6.0	3.5	3.5	—	707.0	707.0	707.0	88	63	81				8.2	7.9	7.0	104.7	

$\lambda = 6°\,57'$, $\beta = 47°\,0'$,
$H_b = 487.3$ m, $G = 0.02$ mm.

Neuchâtel

März 1951
Beobachter: *Observatorium.*

1	-3.1	2.0	-1.0	-0.7	-3.1	723.6	723.9	724.6	58	51	55	NE 2	NE 3	NE 1	1	6	9	.	⌒ 9-$14^1/_2$ ✳
2	-2.4	-0.9	-1.8	-1.7	-4.2	722.2	721.0	719.6	66	83	94	NE 0	SE 0	E 1	10	10*	10*	1.2	✳ $8^1/_4$-$8^1/_2$, $13^1/_4$-24 ✳
3	-4.1	0.6	0.1	-1.1	-3.8	719.1	719.3	720.2	73	60	68	NE 2	E 3	NE 2	3	3	10	.	
4	-1.0	3.0	-1.4	0.2	-3.0	721.1	720.5	720.2	70	56	73	NE 1	E 2	NE 1	10	2	0	.	
5	-4.1	1.4	-0.7	-1.1	-4.0	719.4	718.8	717.6	91	69	80	NE 0	SE 1	S 0	10	1	0	.	⌒ |
6	-2.0	5.2	1.0	1.4	-1.7	715.9	715.2	713.2	94	61	60	S 0	SE 1	NE 1	7	2	0	.	⌒ ⌒ |
7	-3.2	4.0	2.5	1.1	-2.1	710.7	707.8	705.3	92	63	70	NE 0	S 0	**S** 0	1	9	10	.	⌒ ⌒ |
8	-0.2	4.6	4.0	2.8	-0.5	702.8	**699.5**	701.2	89	74	82	NE 1	E 2	**S** 0	9	10	10	.	
9	2.1	6.5	3.8	4.1	0.6	702.8	704.0	705.8	90	77	84	NE 0	S 0	**W** 0	10	10	10	0.3	● $11^3/_4$-$12^3/_4$
10	0.6	7.5	2.6	3.6	0.0	708.1	708.5	707.8	89	57	73	SW 0	S 1	E 0	9	1	0	.	
11	1.1	5.4	4.7	3.7	0.0	704.9	703.2	705.3	89	72	93	SW 0	**S** 0	SW 3	10	10	10●	4.6	● $17^3/_4$-$18^3/_4$, $19^3/_4$-$0^1/_2$
12	3.3	11.6	4.4	6.4	2.5	709.3	710.4	710.0	83	50	78	SW 0	SW 2	SW 0	7	1	8	1.5	● n (12. 13.)
13	4.3	9.7	10.1	8.0	4.0	709.1	705.0	703.4	92	73	76	SW 0	S 0	W 3	10●	10	10●	14.3	● 6-$9^1/_2$, $20^1/_4$-24, ✳ $20^1/_2$-$22^3/_4$
14	3.6	7.1	6.7	5.8	1.7	711.4	714.3	716.6	83	66	71	SW 2	SW 3	SW 3	8	10	8●	2.7	● 0-$3^1/_4$, $13^3/_4$-$22^1/_2$, ✳ $8^1/_4$-$10^1/_2$
15	6.3	12.4	9.0	9.2	4.9	717.2	716.7	717.9	70	47	57	W 1	**SW** 1	W 0	9	8	10	0.9	● $23^1/_4$-24
16	5.5	8.7	9.2	7.8	3.4	719.2	719.0	717.3	99	92	95	W 0	SW 0	SW 0	10●	9	10	5.4	● 3-12, $20^1/_4$-$20^3/_4$, $22^1/_4$-24
17	9.7	10.6	10.6	10.3	5.8	716.7	717.3	714.5	94	93	93	SW 3	W 2	SW 1	10●	10	10	4.1	● 0-12, $14^1/_4$-15 [≡ n-a
18	10.1	8.4	7.9	8.8	4.1	712.0	714.3	715.7	79	96	83	SW 2	SW 2	SW 3	10●	10●	8	**17.3**	● 6-$15^3/_4$
19	8.2	7.2	7.0	7.5	2.7	712.9	712.5	713.5	68	87	83	SW 1	SW 3	SW 3	9	10●	8	13.5	● $10^3/_4$-24 mU. ⌒ $10^1/_4$-$17^1/_2$
20	3.9	6.8	5.6	5.4	0.5	716.9	719.0	719.0	92	76	76	SW 3	SW 2	NW 0	10●	9	10●	1.1	● 0-$9^1/_4$ mU, $13^3/_4$-20 mU
21	1.0	4.9	0.9	2.3	-2.8	723.7	726.3	**728.5**	61	**40**	58	NE 1	E 2	NE 1	2	3	2	.	☂ III
22	-0.5	3.3	5.2	2.7	-2.5	726.5	725.9	724.7	65	56	67	E 0	**SW** 1	SW 2	10	10	10	0.1	✳ $14^1/_4$
23	5.3	**15.3**	11.8	10.8	5.5	722.3	719.0	713.4	77	44	42	SW 2	SW 3	SW 2	8	0	0	0.3	● n (23./24.), ⌒ $10^1/_4$-17
24	6.9	4.7	2.0	4.5	-1.0	711.4	715.6	716.2	83	59	74	SW 2	NW 2	W 1	10●	10	7	3.1	● $1^1/_2$-$10^3/_4$, ✳ $11^1/_4$-$18^1/_4$. ⌒ 23-5
25	-0.8	3.2	-0.6	0.6	-5.0	716.1	717.3	719.2	78	53	96	NW 2	W 2	W 0	10*	9	7	3.4	✳ 0-24 mU ✳
26	-2.2	1.8	3.7	1.1	-4.6	719.2	718.9	718.6	86	70	74	W 0	**SW** 2	SW 1	2	10*	10	0.4	✳ fl 0-24 mU
27	3.8	4.5	5.6	4.6	-1.3	714.8	713.9	712.5	71	84	91	SW 2	SW 3	W 1	10	10●	10●	3.4	● $13^1/_4$-21. ⌒ $9^1/_2$-$13^1/_2$
28	3.1	6.3	2.0	3.8	-2.2	714.0	714.5	714.2	83	54	59	NW 1	NW 2	NW 0	9	8	0	.	
29	-1.3	7.8	2.2	2.9	-3.2	713.0	711.4	710.0	67	43	60	N 0	S 1	W 0	5	6	5	.	
30	0.3	6.1	3.4	3.3	-3.0	707.5	708.9	709.5	84	67	82	N 0	SE 1	NW 0	10	7	0	2.5	✳ $8^1/_4$-$10^1/_2$. ● 19-$19^1/_2$. n (30./31.
31	2.7	8.0	3.3	4.7	-1.7	713.2	715.8	718.9	97	54	64	W 0	**W** 2	SW 2	10	7	3	.	
																		Summe	
Mittel	1.8	6.1	4.0	4.0	—	714.7	714.7	714.7	81	65	75				8.0	7.1	6.6	78.1	

März 1951
Beobachter: *Frl. H. Nager.*

Altdorf

$\lambda = 8° 39'$, $\beta = 46° 53'$,
H_b = 456.3 m, G = -0.05 mm.

Tag	Lufttemperatur 7³⁰	13³⁰	21³⁰	Mittel	Abweich. vom Normalst	Luftdruck 7³⁰	13³⁰	21³⁰	Relative Feuchtigkeit 7³⁰	13³⁰	21³⁰	Windrichtung und Stärke 7³⁰	13³⁰	21³⁰	Bewölkung 7³⁰	13³⁰	21³⁰	Niederschlag	Witterung
1	-1.2	1.4	0.1	0.1	-3.5	726.5	725.8	720.9	83	40	60	NW 0	NW 1	NW 3	1	7	10	.	
2	-1.4	1.2	-1.1	-0.4	-3.7	724.7	722.9	722.2	53	45	70	SE 0	NW 0	N 0	10	10	4	.	
3	-3.5	0.5	-2.0	-1.7	-5.1	721.5	721.7	723.4	64	56	70	E 0	NW 0	E 0	4	3	0	.	
4	-3.5	2.1	-1.4	-0.9	-4.4	723.9	722.8	722.9	76	57	75	SW 0	NW 0	NW 0	7	0	3	.	
5	-3.8	2.8	-0.9	-0.7	-4.3	721.9	720.6	720.6	79	54	73	NW 0	NW 0	NW 0	8	0	0	.	
6	-1.8	4.0	-0.2	0.7	-3.1	718.3	718.2	716.3	73	58	76	NW 0	NW 0	NW 0	8	8	4	.	
7	-2.3	4.2	1.8	1.2	-2.7	712.9	709.8	707.8	89	62	77	NW 0	NW 0	NW 0	10	7	8	.	
8	1.0	5.5	4.6	3.7	-0.3	705.4	**702.3**	703.4	94	74	80	NW 0	NW 0	NW 0	10	7	10	.	
9	1.1	8.2	4.1	4.5	0.4	705.1	705.3	707.8	100	58	93	E 0	NW 2	NW 1	10	10	10●	4.0	● 21-n
10	2.9	7.1	2.8	4.3	0.0	710.4	710.7	710.7	100	52	77	NE 0	W 1	NE 0	10	6	0	.	
11	8.7	11.4	10.8	10.3	5.9	707.1	706.6	706.6	30	28	**27**	E 1	S 3	S 3	8	6	7	.	
12	6.1	14.7	4.8	8.5	4.0	711.8	712.8	712.8	75	49	58	N 0	N 0	NW 0	10	6	0	.	
13	11.5	**15.2**	14.2	13.6	9.0	711.0	708.8	706.6	34	29	34	SE 3	SE 3	S 3	10	10	10	17.6	✳ n (13./14.)
14	2.0	9.7	6.7	6.1	1.3	713.6	717.1	718.7	100	64	74	N 0	NW 0	SE 0	10*	5	6	0.0	✳ a
15	3.5	12.4	7.7	7.9	3.0	720.2	718.5	720.6	77	34	58	W 0	NW 1	SE 0	4	7	8	0.1	● n (15./16.)
16	6.8	11.7	9.1	9.2	4.2	721.9	720.7	719.5	85	55	75	E 0	NW 2	NW 0	10	6	8	0.5	● n (16./17.)
17	10.0	13.8	9.8	11.2	6.1	718.8	719.3	717.5	84	76	85	NE 0	NW 0	W 0	10●	9	10	2.5	● n-n mU
18	13.8	10.4	8.3	10.8	5.6	713.6	716.6	718.2	44	100	100	E 1	W 0	NW 0	10	10●	8	7.1	● 10-p
19	5.7	12.3	5.5	7.8	2.4	715.9	713.7	716.7	100	45	100	NE 0	NW 0	NW 1	10	10	10●	14.7	● 20-n
20	5.2	8.2	6.8	6.7	1.2	718.0	720.9	721.0	82	68	100	NE 1	S 0	NW 2	10●	10●	10●	13.5	● n-n mU
21	0.8	3.3	-0.8	1.1	-4.5	725.4	728.7	**732.8**	86	44	55	NW 1	N 1	SE 0	10	8	0	.	
22	-1.6	4.6	3.7	2.2	-3.5	728.8	727.5	726.3	74	54	100	SE 0	NW 0	SE 0	10	7	10	1.0	● 19^1_4
23	3.3	12.8	8.8	8.3	2.4	724.2	720.1	715.1	100	49	49	E 0	NW 0	SW 0	10	0	0	1.5	● n (23./24.)
24	9.4	4.1	2.6	5.4	-0.6	713.5	716.0	718.3	70	90	72	NW 3	NW 2	NW 3	10●	10●	10●	16.6	● n-n
25	0.4	1.8	-0.8	0.5	-5.6	716.8	718.3	721.9	84	56	95	NW 2	NW 2	N 2	10*	10*	10*	5.9	✳ n-n mU
26	-3.0	3.0	1.1	0.4	-5.8	721.5	720.4	721.0	80	61	100	NE 0	NW 1	NW 0	0	8	10	0.8	✳ 16^1_2-17^1_2
27	0.7	4.9	4.8	3.5	-2.9	716.9	715.3	714.1	100	100	100	NW 0	SW 0	SE 0	10	10●	10●	**25.9**	● a-n
28	2.5	4.2	2.3	3.0	-3.5	715.9	716.9	717.3	100	77	100	W 0	NW 1	NW 0	10●	10●	10●	1.6	● tr n-n
29	1.9	5.5	3.2	3.5	-3.1	715.5	713.7	713.0	100	42	74	W 0	NW 1	NW 0	10	8	10	.	
30	2.3	7.8	3.8	4.6	-2.1	709.8	709.3	712.4	78	45	65	SE 0	NW 1	NW 0	7	9	0	.	
31	3.5	6.9	3.7	4.7	-2.2	715.3	717.1	721.3	94	62	99	N 0	NW 0	NW 0	10●	10	10	5.1	● n-8^1_2, ✳ 8^1_2-9^1_4, ● tr p
																		Summe	
Mittel	2.6	7.0	4.0	4.5	—	717.0	716.7	717.2	80	58	76				8.9	7.3	6.7	118.4	

März 1951
Beobachter: *Observatorium.*

Genève

$\lambda = 6° 9'$, $\beta = 46° 12'$,
H_b = 405.0 m, G = -0.03 mm.

1	-1.4	1.6	-0.6	-0.1	-3.4	730.1	730.3	730.1	92	89	70	NNE 3	NNE 2	E 0	4	5	6	.	⸗ I
2	-1.4	2.0	-0.2	0.1	-3.3	729.6	727.8	726.3	80	64	96	E 0	SW 0	E 0	10	10	10*	0.3	✳ 17-n
3	-1.4	1.0	-0.8	-0.4	-3.9	725.9	726.0	726.3	96	81	84	NNE 1	NNE 1	E 0	10	10	10	.	
4	-1.0	3.0	0.5	0.8	-2.9	726.8	727.0	726.5	88	66	82	E 0	ENE 1	E 0	8	3	2	.	
5	-1.4	2.0	0.0	0.2	-3.6	726.7	725.7	723.4	87	67	81	E 0	NE 1	E 0	10	1	1	.	
6	-0.8	5.1	1.2	1.8	-2.1	722.8	722.2	718.5	92	60	81	E 1	NE 1	E 0	0	0	1	.	
7	-1.7	4.2	2.8	1.8	-2.2	717.5	714.4	712.1	86	65	93	E 0	NE 0	E 0	1	10	10	.	
8	0.0	6.0	4.0	3.3	-0.8	710.2	**706.4**	709.1	93	77	91	E 0	NNE 1	SSE 0	2	9	10●	3.3	● p-n
9	3.2	9.0	3.4	5.2	0.9	710.4	711.8	713.0	90	75	76	E 0	ENE 1	E 0	8	3	2	.	
10	2.2	9.2	6.5	6.0	1.6	714.7	715.2	716.0	93	67	85	SSE 0	SE 1	SSW 1	4	2	1	.	
11	1.5	7.8	4.0	4.4	-0.1	715.8	716.2	716.9	85	83	87	SSW 1	SSW 1	SW 1	10	10	10	13.7	● 17-n mU, ⸗ n (11./12.)
12	5.0	12.0	8.9	8.6	4.0	717.9	716.9	716.6	87	45	73	SW 0	SSW 1	SSW 1	3	1	9	7.7	
13	4.8	10.7	8.0	7.8	3.1	715.9	717.1	717.8	90	69	86	NE 1	SE 1	ESE 1	10●	8	10●	*16.0	● n-a, 21^1_2
14	5.0	9.8	10.0	8.3	3.4	720.1	722.2	724.9	93	52	45	SE 1	SSE 1	SSE 1	8	8	9	.	
15	7.0	11.0	8.5	8.8	3.8	724.8	724.3	725.3	66	56	92	E 0	SE 1	SE 1	3	9	10●	2.0	● p-n
16	6.5	11.8	12.0	10.1	5.0	729.7	725.6	724.7	95	70	90	ESE 0	ENE 0	SE 0	10●	5	10●	8.5	● n-a, p-n
17	11.0	12.2	12.5	11.9	6.7	724.7	724.5	723.8	90	93	85	S 0	NE 0	E 0	10	10	8	**18.0**	● n-n mU
18	12.0	10.5	9.5	10.7	5.4	723.1	721.5	721.9	90	83	93	ESE 1	SSW 1	SW 0	10●	10●	6	11.0	● n-16
19	9.0	11.0	9.0	9.7	4.2	721.2	723.0	724.6	73	81	76	SW 1	SW 2	SW 2	10	10	10	4.0	▽ a, p, n
20	7.2	11.4	6.8	8.5	2.9	726.3	726.0	727.1	66	48	92	SW 2	SSW 1	SSE 0	9	9	10●	4.9	● abd
21	4.0	5.2	2.5	3.9	-1.8	730.4	732.8	**734.2**	74	37	63	NE 1	NNE 2	NNE 3	1	1	0	.	⸗ III
22	1.5	5.4	7.5	4.8	-1.0	734.0	733.5	733.8	66	49	**26**	E 0	ENE 1	E 0	10	10	10		
23	4.2	**19.8**	15.0	13.0	7.1	729.1	725.0	722.7	90	49	58	E 0	ESE 1	ESE 1	1	0	0	2.1	● n (23./24.)
24	10.6	6.2	3.8	6.9	0.8	719.6	723.2	724.3	73	57	87	SSW 1	NNW 2	ESE 0	10●	10	2	0.1	● n-a, ✳ (24./25.)
25	1.8	3.2	0.6	1.9	-4.3	725.1	725.8	726.2	63	70	88	NNE 1	ESE 1	E 0	10	10	10	0.1	✳ n (25./26.)
26	-2.0	7.0	5.3	3.4	-2.9	726.9	727.2	726.2	83	50	65	E 0	S 2	E 0	2	10	9	.	
27	5.7	7.2	10.2	7.7	1.3	723.2	722.1	720.4	65	69	60	SSW 0	SW 1	S 0	10	8	10	7.5	● n (27./28.)
28	5.2	8.6	5.5	6.4	-0.1	721.5	721.3	719.8	81	47	65	E 0	NE 1	E 0	4	9	10	.	
29	3.6	7.8	3.4	4.9	-1.8	720.3	718.9	716.8	70	36	65	ESE 0	S 0	S 0	9	9	2	0.1	△ ● n (29./30.)
30	0.8	4.8	4.7	3.4	-3.4	715.0	715.0	716.3	85	74	72	E 1	NNE 1	E 0	10	9	8	0.1	△ ✳ ● p mU
31	5.0	8.9	4.0	6.0	-0.9	721.4	725.8	730.0	60	61	70	S 1	SSW 1	S 0	9	4	6	0.0	
																		Summe	
Mittel	3.4	7.6	5.4	5.5	—	722.5	722.4	722.4	82	64	77				7.1	6.9	6.8	99.3	

$\lambda = 8°\ 34'$, $\beta = 47°\ 23'$,
$H_b = 569.4$ m, $G = 0.03$ mm

Zürich

März 1951
Beobachter: *Meteorol. Zentralanstalt.*

Tag	Lufttemperatur 7³⁰	13³⁰	21³⁰	Mittel	Abweich. vom Normalst	Luftdruck 7³⁰	13³⁰	21³⁰	Relative Feuchtigkeit 7³⁰	13³⁰	21³⁰	Windrichtung und Stärke 7³⁰	13³⁰	21³⁰	Bewölkung 7³⁰	13³⁰	21³⁰	Niederschlag	Witterung
1	-5.5	-1.1	-2.5	-3.0	-4.5	717.0	716.7	716.8	94	60	65	NE 1	NNE 2	N 1	3	9	10	0.0	● ≡fl p, ⋁ l
2	-5.2	1.2	-2.8	-2.3	-3.9	714.6	713.4	712.5	89	56	61	E 1	S 1	ENE 1	9	8	0	0.0	≡fl p, ⌴ l
3	-5.4	1.0	-1.2	-1.9	-3.6	712.5	712.3	713.2	85	60	76	ENE 1	NE 2	ENE 2	8	9	7	.	⌴ l
4	-2.4	1.3	-3.3	-1.5	-3.3	714.0	713.3	713.0	85	66	87	E 1	NNE 1	NE 1	9	4	0	0.0	≡fl a
5	-4.9	3.8	-0.9	-0.7	-2.6	711.9	711.4	710.8	96	60	82	ESE 1	WSW 1	ESE 1	10	0	0	0.0	≡fl a, ⌴ l
6	-2.5	1.3	-0.6	-0.6	-2.6	709.1	709.2	707.1	94	73	81	SE 1	S 1	NE 2	10	9	0	0.0	≡fl a, ⌴ l
7	-3.2	5.9	0.8	1.2	-1.0	703.4	700.7	698.6	97	57	88	NE 1	NNE 1	NNE 1	1	7	0	0.0	≡fl a, ⌴ l
8	0.0	4.6	2.2	2.3	0.0	696.2	693.8	**693.7**	96	74	92	NE 1	NE 2	NNW 1	10	9	10	0.0	●tr a, ⌴ l
9	1.5	8.1	2.5	4.0	1.6	695.5	696.5	698.1	93	59	87	S 1	WSW 1	NE 1	9	9	8	6.0	● n (9./10.)
10	0.5	7.5	1.3	3.1	0.6	700.7	701.5	701.5	98	50	80	S 1	SSW 1	NE 0	10*	4	0	0.0	≡ $6^3/_4$-$7^1/_2$
11	-1.3	5.0	4.9	2.9	0.2	698.1	696.5	697.4	100	69	70	NE 1	NE 2	WSW 1	10	10	10	0.3	● n (11./12.)
12	4.4	9.4	5.1	6.3	3.5	702.0	703.5	703.4	80	49	60	SW 1	WSW 1	SE 1	9	6	0	.	
13	3.7	**16.5**	12.2	10.8	7.9	701.7	698.0	695.2	71	46	41	WNW 1	ENE 1	S 1	10	3	10	8.5	● n (13./14.)
14	1.9	9.4	6.1	5.8	2.8	704.1	706.4	708.9	97	45	62	SSW 1	WSW 3	SW 2	9	5	1	.	⌭ 11 ⌭ $13^3/_4$
15	6.9	13.4	7.3	9.2	6.0	710.0	709.7	710.5	58	43	63	SSW 2	SSW 2	NNW 0	8	5	10	.	⌭ 6, ⌭ 5
16	6.6	11.6	9.4	9.2	5.9	711.8	711.7	710.2	76	65	71	SSW 1	SW 1	SSE 1	10	9	9	5.7	● $7^3/_4$-$11^1/_2$ mU, $19^1/_4$-$20^1/_4$, $23^1/_4$-$23^1/_2$
17	9.4	12.9	10.1	10.8	7.4	708.6	709.7	707.9	87	77	89	SSW 1	SSW 1	S 1	10	10	10	0.0	● $0^1/_4$-$4^1/_2$ mU, $12^1/_4$-$12^3/_4$
18	10.1	8.8	7.9	8.9	5.3	705.2	707.0	708.0	85	83	74	WSW 3	SSW 2	WSW 2	10●	10●	1	14.2	● $7^1/_2$-20, ⌭ n-n
19	7.5	10.7	5.2	7.8	4.1	706.3	704.6	706.2	73	61	77	SSW 2	WSW 3	WSW 3	9	10	9	11.2	● 9-$9^1/_2$, 15-$16^1/_4$, $18^1/_2$-$19^1/_4$, *)
20	2.1	8.2	3.3	4.5	0.7	708.7	710.8	711.6	97	73	98	W 2	SSW 2	WNW 1	10●*	9	10	11.0	● $2^3/_4$-7, ● ≡ $7^1/_4$-$9^1/_2$, *)
21	-2.0	4.0	-1.6	0.1	-3.9	716.1	718.6	**721.8**	86	56	83	NE 1	NNW 1	E 1	2	9	0	0.4	≡ n-4 mU, 12-14
22	-2.9	3.9	3.3	1.4	-2.7	718.6	717.7	716.2	72	53	82	ENE 1	SW 1	SSW 1	10	10	10	0.8	● $17^3/_4$-19, ⌴ l
23	7.4	15.6	14.0	12.3	8.1	713.5	711.0	705.5	69	49	**35**	WSW 2	SSW 1	SW 2	9	3	1	1.1	● n (23./24.)
24	6.4	3.7	0.8	3.6	-0.8	703.6	707.2	708.4	89	85	90	WSW 2	WSW 2	WSW 2	10●	10●	7	8.3	● $6^1/_4$-$13^3/_4$, △ 11, $16^3/_4$, *)
25	-1.3	-0.5	-1.7	-1.2	-5.7	707.5	708.9	711.5	92	89	92	WNW 1	WSW 2	W 1	9	10*	9	1.0	≡ 12-19 mU, ≡ mtg
26	-1.5	1.6	1.4	0.5	-4.1	711.4	710.9	710.8	82	62	96	SSW 1	WSW 2	SSW 1	8	10*	10	0.7	≡ $13^1/_4$-21, ⌭ 9-16
27	3.0	4.9	4.7	4.2	-0.6	707.0	705.9	704.8	72	91	99	SW 2	WSW 2	WSW 2	10	10●	10●	**37.7**	● 12-n, ⌭ 7-24
28	2.2	2.3	1.2	1.9	-3.0	707.0	707.7	707.4	99	91	93	WNW 1	NE 1	S 1	10●	10*	10	0.7	● n-$7^3/_4$, ≡ $10^1/_4$-15
29	-0.3	4.2	2.2	2.0	-3.1	705.8	704.9	703.4	100	50	64	NNW 1	SSW 1	ESE 1	10	7	10	0.1	● 6-$6^1/_2$, ≡ $5^3/_4$-$6^1/_2$, ⌴ l
30	0.4	8.0	3.1	3.8	-1.4	700.6	700.6	702.4	75	48	68	SE 1	NNE 1	NNE 1	9	9	1	0.0	●tr 7-9
31	2.0	4.9	2.7	3.2	-2.2	705.6	708.5	711.4	92	73	75	E 1	WSW 1	WSW 1	9	10●	10	0.5	● $13^1/_2$-p, △ l
																		Summe	
Mittel	1.2	6.2	3.1	3.5		707.4	707.4	707.4	86	64	77				8.7	7.8	5.9	108.8	

*) **19.** $23^1/_4$-24, ⌭ n-n **20.** ● $9^1/_4$-11, $14^1/_4$-20, 22-n, ⌭ n-17 **24.** ⌭ n-22, ⌭ $0^3/_4$, $2^3/_4$, $3^1/_2$

$\lambda = 6°\ 32'$, $\beta = 46°\ 51'$
$H_b = 1589$ m, $G = -0{,}13$ mm

Chasseron

März 1951
Beobachter: *R. Colomb*

1	-12.2	-7.9	-11.2	-10.4	—	627.5	628.5	628.7	85	75	90	E 3	NNE 2	NNE 3	1	9	3	.	⌭ l, II
2	-10.8	-4.4	-7.9	-7.7	—	627.0	626.0	625.0	82	98	100	N 2	WNW 2	W 1	10	10*≡	10*≡	4.5	≡ $8^3/_4$-n, ≡ $8^1/_4$-n
3	-10.4	-9.9	-9.7	-10.0	—	623.7	624.2	625.0	100	85	98	E 2	E 3	E 3	10≡	4	7	.	≡ n-$1^3/_4$, 15-n mU, ⌭ n-n
4	-8.2	-3.8	-5.8	-5.9	—	626.1	626.4	626.1	70	76	52	SE 2	SE 1	ESE 1	1	1	1	.	
5	-4.7	-1.1	-4.6	-3.5	—	625.2	625.4	624.8	56	64	66	ESE 1	ENE 1	ENE 2	1	1	1	.	
6	-5.0	-3.0	-4.2	-4.1	—	623.0	622.6	621.7	69	90	75	E 2	E 2	E 2	4	1	1	.	
7	-3.7	0.1	1.0	-0.9	—	618.2	616.9	615.5	60	49	75	ESE 3	ESE 2	WSW 1	3	9	9	.	⌭ l
8	-0.8	2.0	-3.0	-0.6	—	612.5	**610.1**	610.6	94	68	99	NNE 1	ENE 2	WSW 3	7	9	10≡	.	≡ $17^3/_4$-n, ⌭ III
9	-5.1	-3.4	-4.4	-4.3		611.9	613.5	614.2	97	94	98	W 2	SSE 2	W 1	9	7	10	.	≡ $18^1/_4$-n
10	-6.0	-2.9	-4.6	-4.5	—	616.0	617.2	616.8	81	90	92	W 2	SSE 1	ESE 2	1	7	1	.	
11	-4.0	-2.0	-1.6	-2.5	—	613.4	612.7	615.3	95	85	100	ESE 3	ESE 3	S 3	10*	10*	10*	5.3	≡ $7^1/_2$-n, ≡ $16^3/_4$-n, ⌭ n-n
12	-4.0	-0.6	-0.7	-1.8	—	617.9	619.0	619.6	91	80	72	WSW 3	SW 2	S 2	7	6	6	0.2	≡ n (12./13.), ⌭ l
13	-2.6	1.2	2.2	0.3	—	617.8	615.6	613.9	98	86	91	SE 3	SSE 3	SSE 5	10*	9	10*●	7.5	≡ $8^1/_2$-9 ≡ ● 20-n *)
14	-3.4	-2.1	-2.0	-2.5	—	625.0	625.6	624.6	87	86	98	W 4	W 4	W 4	7	9	10≡	2.1	≡ 14-$14^1/_4$, 16-$16^1/_4$, *)
15	-1.6	1.2	-0.7	-0.4	—	625.7	626.1	626.6	89	80	93	W 3	SW 1	SE 2	6	7	10	0.7	≡ $16^1/_4$-20, ⌭ l
16	2.0	3.4	5.4	3.6	—	627.5	628.2	627.6	99	100	80	WSW 3	WSW 3	SSW 3	10≡	10≡	10	6.5	● $9^1/_4$-$10^3/_4$, n (16./17.), *)
17	4.9	4.6	6.0	5.2	—	626.5	627.4	625.8	100	100	92	W 4	SSE 2	SSW 3	10≡	10●≡	9	7.6	● $7^3/_4$-$15^3/_4$ mU, *)
18	3.4	0.3	0.1	1.3	—	622.8	623.8	624.9	100	100	92	W 4	WSW 3	**SW** 4	10●≡	10●≡	7	11.7	● n-10, ≡ n-$17^1/_2$, ⌭ n-n
19	0.7	-0.2	-1.8	-0.4	—	622.4	622.0	621.3	80	98	100	SW 4	SSW 3	W 5	9	10*●≡	10*≡	11.5	● ≡ $9^1/_4$-$15^1/_2$, ≡ $19^1/_4$-n, *)
20	-3.2	-1.8	-3.1	-2.7	—	623.9	626.8	626.6	100	100	98	WNW 4	W 2	WNW 3	10*≡	10≡*	10*≡	6.5	≡ n-$14^1/_2$, 20-n, *)
21	-8.3	-6.9	-9.7	-8.3	—	628.9	631.5	632.7	90	82	91	N 2	NNE 2	ENE 3	7	4	1	.	⌭ III
22	-4.2	-2.0	-0.3	-2.2	—	632.0	**632.5**	632.1	**36**	85	100	ESE 3	SW 3	SSW 4	7	10*	10*≡	1.4	≡ $13^1/_4$-n, ≡ $15^1/_4$-n, ⌭ n-n
23	0.8	6.9	**8.2**	5.3	—	630.4	630.0	625.3	85	47	42	WSW 4	SW 3	SSW 5	5	1	1	5.9	≡ n (23./24.), ≡ n-$6^3/_4$, *)
24	-0.1	-5.7	-6.7	-4.2	—	620.1	622.2	623.0	99	100	100	WNW 5	WNW 4	WNW 3	10*≡	10*≡	10≡	4.2	≡ n-$19^3/_4$, ≡ 4-n, *)
25	-10.6	-7.9	-8.6	-9.0	—	621.6	623.1	624.9	100	100	100	WNW 4	NW 3	NW 3	10*≡	10≡	10≡	2.0	≡ n-$13^1/_4$, 14-$18^1/_4$, *)
26	-7.7	-4.4	-5.8	-5.3		624.8	624.9	625.5	87	97	100	W 2	WSW 4	WSW 4	4	10*	10*	7.0	≡ $10^1/_4$-n, ≡ 10-20, ⌭ n-n
27	-2.0	-0.1	-0.3	-0.8		622.9	622.0	621.1	98	100	100	WSW 4	SW 5	W 4	9	10*≡	10*	**13.7**	≡ $10^3/_4$-10, $19^1/_4$-n, *)
28	-4.6	-2.0	-6.4	-4.3	—	621.6	622.1	621.8	100	99	91	NW 3	NW 2	NNW 2	10≡	10≡	6	.	≡ n-$8^1/_4$, $12^1/_4$-$14^1/_2$, ⌭ l
29	-8.3	-3.1	-7.2	-6.2	—	620.0	619.1	617.8	70	76	85	WNW 2	W 2	SSW 2	3	9	9	.	
30	-7.8	-2.8	-4.2	-4.9	—	615.1	616.0	617.9	97	100	80	SE 3	SE 3	SE 3	10≡	10≡	5	4.7	≡ $7^1/_2$-11, n (9./10.), ≡ $7^1/_2$-$10^3/_4$, ⌭ n-n
31	-4.8	-2.1	-7.0	-4.6	—	621.0	623.6	626.1	100	100	98	WNW 2	WNW 3	W 2	10*≡	10≡	5	1.7	≡ n-$8^1/_4$, ≡ n-$20^1/_2$, ⌭ III
																		Summe	
Mittel	-4.3	-1.9	-3.1	-3.1	—	622.2	622.7	622.7	87	87	89				7.1	7.7	7.2	104.7	

*) **13.** ≡ 5-$10^3/_4$, ⌭ n-n, ⌭ III **14.** n (14./15.), ≡ $20^1/_4$-n, ⌭ n-n **16.** ≡ $5^1/_2$-14, ⌭ n-n **17.** ≡ n-$18^3/_4$, ⌭ I, III **19.** ≡ 11-n, ⌭ n-n, ⌭ III **20.** ≡ n-$17^1/_4$, $17^3/_4$-n, ⌭ I, III **23.** ⌭ n-n, ⌭ III **24.** ⌭ n-n, ⌭ I **25.** ⌭ n-n, ⌭ n-n **27.** ≡ n-$8^3/_4$, 9-15, $19^1/_4$-n, ⌭ n-n, ⌭ II **30.** ⌭ n-n

März 1951
Beobachter: *B. Minsch und C. Clavuot*

Bever

$\lambda = 9° 53'$, $\beta = 46° 33'$,
$H_b = 1711.8$ m, $G = -0.23$ mm

Tag	Lufttemperatur 7³⁰	13³⁰	21³⁰	Mittel	Abweich. vom Normalst	Luftdruck 7³⁰	13³⁰	21³⁰	Relative Feuchtigkeit 7³⁰	13³⁰	21³⁰	Windrichtung und Stärke 7³⁰	13³⁰	21³⁰	Bewölkung 7³⁰	13³⁰	21³⁰	Niederschlag	Witterung
1	**-25.6**	-6.6	-12.4	-14.9	-8.7	619.6	618.6	618.9	92	51	64	S 0	NE 1	NE 0	0	0	6	.	≡ n-9 mU, ⌊ l
2	-25.0	-9.2	-19.1	-17.8	-11.7	618.7	615.9	616.4	91	54	75	SW 0	SW 0	SW 0	0	0	0	.	≡ n-10 mU, ⌊ l
3	-20.3	-6.0	-15.8	-14.0	-8.1	616.3	616.2	618.5	87	63	81	SW 0	NE 0	SW 0	5	2	0	.	⌊ l
4	-20.6	-2.0	-15.6	-12.7	-6.9	618.5	616.8	617.8	94	42	82	SW 0	SW 0	SW 0	0	0	0	.	⌊ l
5	-20.7	-4.8	-13.2	-12.9	-7.3	616.4	616.1	616.7	93	39	77	WSW 0	SW 0	WSW 0	0	0	0	.	⌊ l
6	-14.2	1.6	-9.0	-8.3	-2.8	615.1	613.7	614.1	88	64	87	SW 0	SW 1	SW 0	8	8	3	.	⌊ l
7	-8.8	2.9	-3.8	-3.2	2.1	612.1	609.3	607.4	96	67	94	SW 0	NE 0	SSW 0	7	9	3	.	⌊ l
8	-3.5	2.1	-1.0	-0.8	4.4	606.3	605.1	604.6	99	70	85	SSW 0	SW 1	SW 1	8	8	10	.	
9	-8.1	0.1	-2.2	-3.4	1.6	**604.4**	605.1	606.2	85	56	78	W 0	SW 1	SW 0	5	7	1	.	
10	-10.4	1.0	-1.1	-3.5	1.4	606.8	608.3	610.7	90	46	75	SW 0	**W** 0	NW 0	8	3	0	.	⌊ l
11	-13.0	-8.0	-4.2	-8.6	-3.9	609.6	610.3	610.1	91	57	90	SW 0	SW 0	SW 0	9	10	10*	3.6	✳ III, n (11./12.)
12	-3.6	-5.4	-6.3	-5.1	-0.5	609.1	610.9	613.9	98	91	77	SW 0	SW 1	W 0	10	10	0	)	⫩ n (12./13.)
13	-6.6	1.2	2.0	-1.1	3.3	613.9	613.8	612.9	98	82	96	SE 0	SW 1	SW 1	10*	10	10	34.0	✳ a, ● ✳ n (13./14.)
14	0.7	1.8	-8.9	-2.1	2.2	608.8	614.3	617.2	99	70	86	SE 0	NE 0	SW 0	10	2	0	(	⫩ ab $7^8/_4$
15	-11.1	2.2	1.2	-2.6	1.5	618.1	617.8	619.1	92	55	87	SW 0	SW 1	SW 0	6	5	3	.	
16	-0.6	4.1	-3.1	-1.9	-5.9	619.8	620.5	621.4	91	53	88	SW 0	SW 1	SW 0	8	8	1	2.2	✳ ● n (16./17.)
17	-0.1	4.1	1.2	1.7	5.6	619.4	619.6	619.2	96	74	98	SW 0	SW 0	SW 1	8	5	9	.	
18	1.8	3.8	0.4	2.0	5.7	616.6	614.7	616.1	96	78	100	SW 0	S 1	S 0	8	10●	10■	0.6	●8-n mU
19	-3.8	3.1	1.1	-0.2	3.4	615.4	613.3	611.6	99	76	91	SW 0	SW 3	SW 1	6	10	8	*7.0	✳ n ztw (19./20.), ≡ 8-$9^1/_2$,
20	-2.4	1.1	-1.9	-1.1	2.3	614.0	616.6	616.3	62	48	52	SW 1	W 1	SW 1	10	7	3	2.4	✳ 9-12 [13-14
21	-5.3	-7.4	-10.2	-7.6	-4.3	615.9	621.3	623.8	68	54	46	W 0	N 2	N 1	7	9	0	.	a-p mU
22	-18.9	0.0	-5.4	-8.1	-5.0	**624.7**	623.6	623.7	77	29	88	SW 0	SW 1	SW 1	7	9	10*	1.1	✳ $20^1/_2$-n
23	-8.4	8.2	-3.1	-1.1	1.9	620.8	619.9	617.0	92	**26**	69	S 0	W 1	SW 0	5	1	0	.	
24	-1.8	2.6	-4.5	-1.2	1.6	611.1	609.3	611.4	76	72	60	SW 3	E 0	N 1	10	8	7	.	⫩ ⫩ a
25	-7.8	-6.2	-8.9	-7.6	-4.9	610.1	611.7	613.7	76	60	84	NE 0	E 2	SW 0	7	10	10*	0.0	✳° $16^1/_2$-n, ⫩ a
26	-15.4	3.7	-1.4	-4.4	-1.9	615.3	615.5	616.8	57	83	71	SE 0	SE 1	SW 1	0	2	3	.	
27	-13.4	-1.1	-1.7	-5.4	-3.0	615.6	614.7	612.8	91	78	81	SW 0	SW 1	SW 2	6	10	9	4.6	✳° ab 11 ztw
28	-11.6	1.0	-4.0	-4.9	-2.7	612.2	610.9	611.4	91	58	70	E 1	W 1	NW 0	8	8	9	.	
29	-2.1	-1.2	-3.0	-2.3	-0.2	610.5	610.0	608.7	79	45	81	SE 0	SE 0	SW 0	2	5	7	3.3	✳ n (29./30.)
30	-0.0	-0.2	-3.8	-3.3	1.4	607.3	609.5	611.0	98	57	98	NE 0	SW 0	SW 0	10	10	10	9.7	✳ 18-n mU
31	-3.4	1.7	-3.4	-1.7	0.1	611.6	612.9	615.5	96	53	63	N 0	N 0	NW 1	10	8	10	0.5	✳ 18-n mU
																		Summe	
Mittel	-9.5	-0.5	-5.2	-5.1	—	614.0	614.1	614.7	88	60	80				6.4	6.3	4.9	69.0	

März 1951
Beobachter: *Couvent des Capucins.*

Sion

$\lambda = 7° 21'$, $\beta = 46° 14'$,
$H_b = 548.6$ m, $G = -0.11$ mm.

1	**-4.7**	2.8	-0.9	-0.9	-4.2	716.9	716.2	716.8	62	42	67	NW 1	SW 1	WSW 2	0	0	0	.	
2	-2.2	3.4	-0.3	0.3	-3.1	716.3	714.2	713.3	77	54	75	WSW 1	WSW 1	WSW 1	9	4	10	0.3	✳ n (2./3.)
3	-3.3	4.2	-1.2	-0.1	-3.7	713.3	712.5	714.6	79	39	85	NW 2	NW 1	NW 1	4	5	1	.	
4	-4.2	5.7	-0.3	0.4	-3.3	715.9	714.0	714.6	92	33	75	SW 0	SW 0	SW 0	0	0	0	.	⌊ l
5	-3.3	6.1	0.9	1.2	-2.6	714.3	712.4	712.9	68	34	72	NW 2	NW 2	NW 0	0	0	0	.	⌊ l
6	-1.0	6.7	1.9	2.5	-1.5	711.2	709.8	708.8	81	44	69	SW 0	SW 1	SW 1	7	0	0	.	
7	-1.8	10.6	3.2	4.0	-0.1	706.4	701.8	701.2	65	40	76	NW 1	SW 2	**W** 1	4	3	2	.	
8	1.0	**15.4**	5.7	7.4	3.1	698.1	**693.8**	696.2	95	35	71	SW 0	NW 4	NNW 2	7	5	9	.	⫩ $13^1/_2$-17
9	1.1	9.3	4.4	4.9	0.5	698.6	698.4	701.1	95	49	76	NW 0	SSW 2	SW 2	5	3	8	.	
10	1.3	9.3	3.6	4.7	0.1	704.0	703.5	703.5	92	40	58	W 0	NW 1	WNW 2	9	1	0	.	
11	4.1	11.7	9.2	8.3	3.6	701.8	700.8	701.1	54	34	39	NNW 0	NE 4	NNE 1	9	8	10	.	⫩ $13^1/_2$-19
12	4.5	12.9	6.4	7.9	3.0	704.9	705.5	705.6	99	35	44	WSW 0	WSW 0	NNW 1	8	3	3	0.0	●tr 7-8
13	5.9	14.3	13.1	11.1	6.1	706.9	702.9	701.1	74	30	37	WSW 1	N 4	NE 3	10	9	10	6.2	● n (13./14.), ⫩ 13-n
14	3.5	11.4	7.2	7.4	2.2	707.5	709.7	712.4	100	40	53	WSW 1	SW 2	NW 1	4	5	8	.	⫩ p
15	2.9	13.3	9.3	8.5	3.2	713.5	712.0	712.9	77	35	54	NW 1	NNW 1	WNW 0	4	7	10	0.0	●tr n (15./16.)
16	6.5	13.9	11.7	10.7	5.2	714.4	713.6	712.8	85	53	60	NNW 1	NNW 1	NNW 1	9	7	9	7.6	● n (16./17.)
17	7.7	10.9	9.8	9.5	3.9	713.7	713.9	712.1	100	85	95	NNW 1	NNW 2	NNW 1	10●	9	8	12.9	● n-$12^1/_2$, $13^3/_4$-$17^1/_4$
18	8.1	9.6	7.5	8.4	2.6	709.8	710.9	711.9	100	98	98	NNW 1	WSW 1	SW 0	10●	10●	8	**13.1**	● n-$16^3/_4$
19	4.4	12.7	7.2	8.1	2.2	709.6	708.0	709.3	100	53	94	NW 1	NNW 0	NNW 1	5	10	10	2.6	●tr $13^3/_4$-15, 19-21
20	5.6	10.0	7.2	7.6	1.5	712.1	713.7	713.7	62	44	55	WSW 2	WSW 2	WSW 0	10●	9	9	1.6	● $7^1/_2$-8
21	3.9	6.5	1.3	3.9	-2.4	714.8	718.7	**722.1**	93	**27**	43	SW 3	ENE 3	NW 2	9	3	0	.	⫩ a-p
22	0.1	8.3	3.6	4.0	-2.4	721.7	720.4	720.9	53	33	100	NNW 1	NNW 1	NNW 1	10	10	10	0.8	●tr $18^1/_2$-$20^1/_2$
23	2.4	14.2	10.1	8.9	2.3	718.3	715.0	711.1	100	56	43	NNW 0	SW 1	NNW 2	4	1	0	1.5	● n (23./24.)
24	8.3	5.8	3.5	5.9	-0.8	707.6	708.0	710.8	90	79	69	WSW 1	WSW 4	WSW 2	10●	10	7	4.5	● n-12, ✳ n (24./25.), ⫩ a-p
25	-0.4	1.8	0.0	0.5	-6.4	710.1	711.0	713.1	93	71	85	WSW 1	WSW 3	WSW 1	10*	10	9	0.0	✳ n-8, ⫩ a-p
26	-2.2	6.3	1.4	1.8	-5.2	714.1	713.7	713.2	73	42	100	NW 1	W 2	W 0	0	9	7	0.0	✳fl 17-n mU
27	2.0	2.7	2.5	2.4	-4.8	712.4	711.0	708.8	95	94	100	NW 0	NNW 1	NW 0	10*	10	10●	10.0	✳ 7-12, ● $20^1/_2$-n
28	4.2	8.8	4.1	5.7	-1.6	708.0	707.9	707.8	90	56	69	WSW 1	WSW 3	WSW 2	9	7	7	.	⫩ a-p
29	2.8	7.6	3.5	4.6	-2.9	707.5	705.7	704.5	62	42	48	WSW 1	WSW 2	WSW 2	8	5	5	.	⫩ p
30	2.5	8.0	5.3	5.3	-2.3	703.5	703.3	704.8	64	44	65	NW 2	WSW 1	WSW 1	9	10	5	.	
31	2.0	8.0	4.2	4.7	-3.1	708.3	709.8	712.9	88	60	68	NNW 1	WSW 3	WSW 0	10*	8	2	0.0	✳fl $7^1/_2$-8
Mittel	2.0	8.8	4.7	5.2	—	710.2	709.4	709.9	83	49	69				6.9	5.8	5.7	61.1	

$\lambda = 8°\,57'$, $\beta = 46°\,0'$,
$H_b = 276.2$ m, $G = -0.01$ mm.

Lugano

März 1951
Beobachter: *G. Vicari.*

Tag	Lufttemperatur					Luftdruck			Relative Feuchtigkeit			Windrichtung und Stärke			Bewölkung			Niederschlag	Witterung
	7^{30}	13^{30}	21^{30}	Mittel	Abweich. vom Normalst	7^{30}	13^{30}	21^{30}	7^{30}	13^{30}	21^{30}	7^{30}	13^{30}	21^{30}	7^{30}	13^{30}	21^{30}		
1	-1.0	9.8	2.2	3.7	-1.3	739.3	739.0	738.4	35	22	33	NNW 1	S 1	NNW 1	2	0	0	.	
2	-1.2	9.2	1.8	3.3	-1.8	738.6	736.7	736.1	46	28	40	N 1	SSE 1	N 1	1	2	0	.	
3	-1.2	7.4	2.4	2.9	-2.4	737.2	737.3	738.7	55	32	55	N 1	SSE 1	N 1	10	9	10	.	
4	-0.8	9.0	2.0	3.4	-2.0	740.9	739.1	738.3	66	34	59	N 1	S 1	N 1	3	0	0	.	
5	1.8	9.4	3.4	4.9	-0.6	738.3	737.7	736.8	66	35	58	N 1	SSE 1	N 1	10	2	0	.	
6	0.6	6.2	3.2	3.3	-2.4	736.7	735.7	733.9	65	47	77	N 1	SE 1	NNW 1	10	10	10	.	
7	2.8	5.2	3.8	3.9	-1.9	731.1	728.8	724.3	78	63	96	N 1	NNE 1	N 1	10	10●	10●	13.2	● 12–15, 21–n
8	4.8	7.2	5.2	5.7	-0.2	723.3	723.0	**722.8**	96	89	95	W 1	S 1	ENE 1	10●	10●	10	18.5	● n–21
9	3.8	7.6	1.8	4.4	-1.7	722.7	723.1	723.9	90	51	89	N 1	S 1	NNW 1	9	9	4	5.9	▽ 12, ● $13^1/_2$–15, 16–$17^1/_2$
10	0.4	12.2	5.6	6.1	-0.1	724.6	724.9	727.2	88	31	51	N 1	S 1	N 1	4	0	0	.	⌊
11	3.6	6.2	4.4	4.7	-1.6	729.3	730.1	729.3	78	82	96	NE 1	S 1	NW 1	9	10●	10●	15.0	● 10–n
12	3.0	10.2	4.8	6.0	-0.5	728.6	729.6	732.2	94	50	77	N 1	SSE 1	NNE 1	10	3	9	1.8	● n (12./13.)
13	5.2	6.0	4.4	5.2	-1.4	733.8	733.9	731.7	95	91	96	N 1	N 1	W 1	10●	10●	10●	**48.5**	● n–n
14	7.6	14.4	8.2	10.1	3.4	727.4	730.9	734.7	90	41	45	W 1	S 1	N 1	10●	0	0	3.1	● n–9
15	4.4	14.6	7.8	8.9	2.0	737.0	736.6	737.1	68	33	55	N 1	S 1	— 0	9	9	10	.	
16	5.2	13.6	8.6	9.1	2.1	738.7	739.5	739.4	80	41	50	S 1	SSW 1	N 1	5	7	10	.	
17	8.2	13.6	9 2	10.3	3.2	738.4	738.1	737.1	68	43	66	E 1	S 1	**NNE** 1	10	9	10	0.2	☽ 10–12
18	9.0	8.8	5.8	7.9	0.6	735.5	733.7	733.8	78	96	89	— 0	S 1	NNE 1	10☽	10●	4	10.4	☽ $6^1/_2$–$13^1/_2$, ● $13^1/_2$–16
19	4.2	8.0	7.4	6.5	-0.9	733.5	732.5	730.1	97	85	97	N 1	N 1	S 1	10≡	10☽	10	6.1	☽ n–7, $12^1/_2$–17, ●☽ 17–20, [≡² n–8
20	5.2	**17.4**	10.6	11.1	3.6	732.1	733.5	733.8	55	15	17	NW 1	NNE 2	N 1	1	0	0	.	
21	8.6	10.4	3.8	7.6	-0.1	734.0	739.4	743.7	21	**12**	18	N 2	N 3	N 2	1	0	0	.	☄ 10–20
22	1.6	10.4	4.2	5.4	-2.4	745.7	**745 9**	744.3	28	22	41	NW 1	S 1	N 1	10	10	0	.	
23	1.2	13.8	7.8	7.6	-0.3	741.4	738.7	735.5	50	20	38	N 1	SSE 1	N 1	3	1	0	.	
24	4.8	11.2	8.4	8.1	0.0	730.5	727.7	727.3	58	52	18	N 1	S 1	N 2	10	8	0	0.6	☽ 9–$11^1/_2$
25	5.6	10.8	4.8	7.1	-1.1	728.4	728.9	732.0	18	14	15	N 1	NNE 2	NNE 2	0	0	0	.	
26	4.8	15.0	7.6	9.1	0.8	733.9	733.2	734.7	15	15	21	NNE 2	E 1	N 1	0	0	0	.	
27	2.4	12.8	6.8	7.3	-1.2	734.9	733.6	731.6	46	29	40	N 1	N 2	W 1	9	10	10	.	
28	6.6	13.0	7.8	9.1	0.5	729.2	728.3	727.8	58	39	63	N 1	S 2	NW 1	9	9	8	0.0	●tr 17
29	5.2	10.2	4.6	6.7	-2.0	727.1	727.3	727.7	55	53	83	S 1	S 1	SW 1	0	7	10☽	11.5	☽ $20^1/_2$–n, ●✳ n (29./30.)
30	0.6	3.6	3.0	2.4	-6.5	727.9	729.5	730.9	98	88	97	— 0	SW 1	N 1	10✳	10●☽	10●☽	18.9	✳ n–8, ●☽ 8–n ✳
31	3.2	14.2	8.2	8.5	-0.5	730.9	730.8	732.0	94	35	21	N 1	SSE 1	NNE 2	9	1	0	0.9	▽ 16
																		Summe	
Mittel	3.5	10.4	5.5	6.5	—	733.3	733.1	733.1	65	45	58				6.9	5.7	5.0	154.6	

$\lambda = 7°\,35'$, $\beta = 47°\,33'$,
$H_b = 317.3$ m, $G = 0.11$ mm.

Basel

März 1951
Beobachter: *Astronom.-Meteorol. Anstalt.*

1	-4.2	2.0	-0.8	-1.0	-3.5	740.0	739.8	740.0	94	53	73	NNW 0	ENE 1	W 1	3	10	10	.	⌊
2	-1.8	0.8	-1.2	-0.7	-3.3	737.5	735.9	735.2	82	62	94	ESE 1	ENE 1	E 0	10	10	10	0.1	✳ n (2./3.)
3	-3.2	1.0	1.4	-0.3	-3.0	735.3	735.4	736.2	73	64	67	E 1	NE 1	ENE 1	10	10	10	.	
4	-1.7	1.8	0.4	0.2	-2.6	736.6	736.0	735.8	93	72	72	NW 1	E 1	NE 0	10	9	10	.	
5	-3.4	6.2	-0.3	0.9	-2.1	734.6	733.8	732.9	94	55	92	ESE 1	E 1	SW 1	4	1	0	.	⌊
6	-3.3	5.5	-0.3	0.6	-2.5	731.5	730.9	730.2	95	64	82	ESE 0	ENE 1	E 1	7	9	0	.	⌊
7	-3.7	8.9	1.6	2.3	-0.9	726.1	722.9	720.7	96	52	87	E 0	ENE 1	SSW 1	0	9	10	.	⌊² I
8	1.2	5.1	3.6	3.3	0.0	718.3	715.9	**715.6**	94	75	93	E 1	ENE 1	WNW 0	10	10	10	0.6	● n (8./9.)
9	2.2	7.6	3.8	4.5	1.0	717.6	718.8	720.5	96	68	95	E 1	W 0	WNW 1	10	10	10	0.2	● $9^1/_4$–$10^1/_4$
10	0.0	8.3	2.8	3.4	-0.2	722.9	723.5	723.3	90	56	72	SSW 1	N 1	ESE 1	4	7	0	.	
11	0.9	6.2	4.4	3.8	0.1	720.0	718.7	718.7	89	65	92	ENE 1	ENE 1	SE 1	10	9	10	1.4	● $18^1/_2$–$19^3/_4$
12	4.6	12.4	5.4	7.5	3.6	723.9	725.0	724.8	78	48	67	SW 1	WNW 1	ESE 1	9	1	0	.	
13	5.6	13.1	9.1	9.3	5.3	723.3	719.5	717.2	68	56	70	E 2	ENE 1	SW 1	10	8	10	12.2	● $8^1/_4$–$10^3/_4$ mU, $22^1/_4$–24, ☄ 21–22
14	3.5	11.3	8.2	7.7	3.6	725.2	727.8	730.1	92	49	68	SSE 2	WSW 3	SSW 1	8	8	10	0.7	● o–$4^1/_2$, 16–$16^1/_2$, ☄ 11–18
15	4.0	14.4	8.6	9.0	4.8	731.6	731.3	732.2	88	50	76	E 1	WNW 1	SE 1	8	9	9	0.0	● $0^1/_4$–$0^3/_4$
16	6.4	11.0	10.5	9.3	4.9	733.5	733.2	730.9	91	79	84	E 1	ENE 1	ESE 1	10	10	10	2.3	● $7^1/_4$–$10^3/_4$ mU, $22^3/_4$–24
17	14.2	17.2	13.8	15.1	10.6	729.7	730.3	727.9	77	73	78	WSW 1	S 1	S 1	10	10	10	4.4	● o–2, 3–$4^1/_4$, $10^1/_4$–11
18	11.4	10.6	10.2	10.7	6.1	726.7	727.7	729.2	88	77	63	WSW 1	SSW 1	WSW 1	10	10●	5	6.4	● $0^1/_2$–$1\,5^8/_4$ mU, ☄ $5^1/_2$
19	8.2	11.0	6.6	8.6	3.9	727.2	725.7	728.0	78	67	90	E 1	SSW 2	WNW 1	10	10●	10	13.9	● $11^1/_2$–12, $13^1/_2$, $17^1/_4$–$22^3/_4$, ☄ *)
20	3.1	7.0	4.2	4.8	-0.1	731.2	733.5	734.5	95	81	93	WSW 1	WSW 2	NW 1	10●	9	10●	1.9	● $3^1/_4$–$7^1/_2$ mU, $15^1/_2$–$23^3/_4$ mU [☄ 3
21	-0.4	4.7	0.2	1.5	-3.5	739.5	742.0	**744.0**	84	55	73	WNW 1	N 2	ENE 1	1	3	0	.	
22	0.1	6.2	4.8	3.7	-1.4	741.2	739.8	737.8	58	56	88	E 1	E 1	E 1	10	10	10	0.1	● 17–$17^3/_4$
23	9.9	**18.9**	18.2	15.7	10.4	736.1	732.3	726.4	68	44	**30**	E 1	N 1	WSW 2	8	1	1	3.0	● n (23./24.), ☄ 21–24
24	7.3	5.0	2.0	4.8	-0.6	724.4	729.6	731.0	92	81	84	S 1	W 2	WSW 1	10	10	4	5.2	● $8^1/_2$–$12^1/_4$ mU
25	0.0	4.4	0.7	1.7	-3.8	730.8	731.7	734.0	96	68	91	W 1	W 3	SSW 1	10✳	8	10	0.7	✳ $0^3/_4$–$7^3/_4$ mU, $22^1/_2$–$23^1/_4$, [☄ 10–14 ✳
26	-1.7	3.7	4.7	2.2	-3.4	733.7	732.6	732.4	98	78	75	E 1	WSW 1	S 1	4	10●	10	0.0	●tr $13^1/_2$
27	6.8	6.1	5.4	6.1	0.3	728.9	727.5	726.9	68	96	92	WSW 2	E 1	WSW 1	10	10●	10●	**16.4**	● $12^1/_2$–$3^1/_4$
28	2.3	7.0	1.0	3.4	-2.5	729.5	730.2	729.5	85	56	85	WNW 1	W 1	WNW 1	9	7	4	.	
29	-1.0	5.4	1.5	2.0	-4.0	728.4	727.1	725.6	92	52	76	ESE 1	WNW 1	WSW 0	0	10	1	.	⌊
30	0.4	9.4	3.3	4.4	-1.8	722.8	722.6	724.8	87	50	96	E 1	E 1	E 1	9	8	10	0.9	✳ $9^1/_2$–10, ● $20^3/_4$–$21^1/_4$
31	1.0	6.6	2.6	3.4	-2.9	728.1	730.9	733.5	98	77	84	ESE 0	WNW 2	W 1	10	9	1	.	
																		Summe	
Mittel	2.2	7.7	4.4	4.8	—	729.5	729.4	729.3	86	64	80				7.9	8.2	6.9	70.4	

*) **19.** 12–19, ⌒² $19^1/_4$, ⊤ $19^1/_4$

März 1951
Beobachter: *Observatorium.*

Säntis

$\lambda = 9° 20'$, $\beta = 47° 15'$,
$H_b = 2500.1$ m, $G = -0.27$ mm

Tag	Lufttemperatur					Luftdruck			Relative Feuchtigkeit			Windrichtung und Stärke			Bewölkung			Niederschlag	Witterung
	7^{30}	13^{30}	21^{30}	Mittel	Abweich. vom Normalst	7^{30}	13^{30}	21^{30}	7^{30}	13^{30}	21^{30}	7^{30}	13^{30}	21^{30}	7^{30}	13^{30}	21^{30}		
1	-16.0	-13.6	-16.2	-15.3	-6.9	557.6	558.3	558.2	73	32	62	NE 4	NE 3	N 2	1	9	1	.	⊹ n-a, ⊕ II, 🖋 I
2	-16.2	-15.5	-16.3	-16.0	-7.7	555.7	555.4	555.1	100	60	52	NW 2	N 2	NNW 3	10*	2	1	0.0	✳ $7^3/_4$-8
3	-14.0	-10.9	-12.1	-12.3	-4.0	555.0	556.1	557.2	70	63	62	E 2	NE 2	SE 2	9	3	0	.	
4	-11.2	-7.7	-11.2	-10.0	-1.8	557.5	557.5	557.2	54	45	60	E 2	SSW 0	W 1	1	1	0	.	
5	-12.0	-8.8	-10.0	-10.3	-2.2	555.9	556.5	556.8	100	100	85	W 2	W 2	WSW 2	6	1	0	0.0	✳ 9-10 $3/4$, ≡ $9^1/_4$-12 mU
6	-8.8	-7.0	-8.9	-8.2	-0.1	555.1	555.2	554.3	31	48	62	SSE 1	SSE 1	W 2	9	10	2	.	✳fl $11^3/_4$-12, $13^3/_4$-$15^1/_2$
7	-5.4	-2.6	-3.8	-3.9	4.1	552.0	551.5	549.6	66	79	79	SW 3	SE 3	SE 3	1	8	1	.	⊕ II
8	-3.8	-3.3	-5.5	-4.2	3.7	547.6	546.4	545.4	100	74	75	SE 3	SE 3	SW 2	10	6	10	.	✳fl n-$6^3/_4$, $7^3/_4$-$8^1/_2$, 🖋 p
9	-9.5	-6.0	-9.2	-8.2	-0.3	**545.2**	546.2	546.9	78	79	100	S 3	WSW 1	N 1	9	9	10≡*	11.6	✳ $14^1/_2$-$15^1/_2$, $16^1/_4$-$16^1/_2$, 18-n-
10	-10.9	-8.1	-8.2	-9.1	-1.3	547.9	549.5	550.1	100	93	47	WNW 3	SSE 1	WSW 2	10≡*	8	0	1.2	✳n-$11^1/_2$, ≡n-12 [≡$15^3/_4$-n, ⊕a
11	-8.1	-5.9	-5.2	-6.4	1.3	548.1	548.6	549.0	50	77	67	SW 3	S 3	SW 4	10	10	10	0.2	✳ $10^1/_2$-$11^3/_4$, 🖋 III
12	-8.6	-7.8	-7.8	-8.1	-0.4	550.1	551.6	553.5	95	100	38	W 3	W 4	SSW 2	10≡*	10≡	1	1.2	✳ $6^1/_2$-11, ≡ n-$15^3/_4$, 🖋 a-p
13	-5.6	-2.8	-2.0	-3.5	4.1	552.8	552.3	548.8	70	89	74	SW 3	SSW 5	SW 6	10	5	10	9.1	✳ $7^3/_4$-$9^1/_4$, 🖋 a-n
14	-8.6	-8.0	-8.3	-8.3	-0.8	551.4	553.3	556.6	100	100	100	WNW 3	W 5	W 4	10≡*	9	9	2.0	✳ n-10, $18^1/_4$-$19^3/_4$, *)
15	-8.0	-6.1	-6.7	-6.9	0.6	557.2	558.1	559.4	99	100	100	WSW 4	W 3	WNW 3	10*	7	10*	0.0	✳ n-8, 21-n, ≡ n-7, 🖋 I
16	-5.0	-1.2	-1.4	-2.5	4.9	559.6	560.8	561.0	100	100	100	WNW 3	WNW 4	W 4	10≡	10≡	10	7.6	✳ $7^3/_4$-$12^1/_2$, ≡ n-$17^1/_2$, ⊹ 🖋 a-n
17	0.0	-0.2	-0.3	-0.2	7.1	558.8	560.3	559.5	100	100	100	W 5	W 3	WSW 4	10≡●	10≡*	10	2.6	● n-10, ✳ 10-$13^3/_4$ mU, *)
18	0.0	-2.8	-5.9	-2.9	4.4	557.1	556.4	556.2	100	100	100	W 3	WNW 4	W 5	10	10≡*	9	11.4	✳ $6^3/_4$-$7^1/_4$, 8-$14^1/_2$, $16^3/_4$-20, *)
19	-5.4	-2.0	-6.2	-4.5	2.7	555.6	554.9	552.5	100	85	100	W 4	WSW 3	W 5	9	10	10≡*	19.5	✳ $13^3/_4$-$17^3/_4$, 19-n, *)
20	-9.3	-8.0	-8.8	-8.7	-1.6	554.0	556.8	557.0	100	100	100	W 4	WNW 3	NW 3	10≡*	10≡*	10≡*	**38.7**	✳≡⊹ n-n, 🖋 n-a, 🖋 $16^1/_2$
21	-16.4	-15.2	-18.2	-16.6	-9.5	557.4	559.8	**563.0**	100	97	97	N 1	N 2	NE 2	10≡*	10≡*	2	2.0	✳ n-20, ≡ n-20 mU
22	-9.2	-7.7	-4.3	-7.1	-0.1	562.9	562.9	561.4	30	28	100	E 2	W 3	WNW 5	9	10	10≡*	7.6	✳ $16^3/_4$-n, ≡ $17^1/_4$-n, *)
23	-5.6	-2.9	**0.1**	-2.8	4.1	560.8	560.7	556.9	95	59	**26**	W 5	W 5	WSW 5	9	7	1	.	🖋 ⊹ n-n
24	-4.0	-9.2	-12.1	-8.4	-1.5	552.9	552.6	552.9	100	100	100	W 4	NNW 4	WNW 3	10≡△	10≡*	10≡*	34.5	△ $6^3/_4$-8, ✳ 8-n, ≡ ⊹ n-n,
25	-14.0	-13.6	-16.0	-14.5	-7.7	550.9	552.1	554.0	100	100	100	WNW 3	WSW 3	W 2	10≡*	10≡*	10≡*	16.5	✳≡ n-n [🖋 n-p, 🖋 $10^1/_2$
26	-15.0	-12.5	-8.8	-12.1	-5.4	554.1	554.8	556.1	100	87	100	WSW 3	WSW 4	WSW 4	5	10	10≡*	4.0	✳ n-$6^1/_2$, $13^1/_2$-n, *)
27	-6.2	-4.4	-6.2	-5.6	1.1	554.4	553.6	552.2	85	100	100	W 4	W 5	W 5	10	10≡*	10≡*	20.0	✳≡ $8^1/_2$-n, ⊹ n-n, 🖋 a-n
28	-9.4	-9.4	-12.1	-10.3	-3.7	552.8	553.0	552.6	100	100	100	WNW 2	NW 3	WNW 3	10≡*	10≡*	10≡*	8.1	✳≡ ⊹ n-n
29	-12.8	-9.6	-11.9	-11.4	-4.9	550.8	550.4	549.5	97	85	100	W 2	WSW 2	SSE 1	3*	9*	10≡*	0.7	✳ n-$13^1/_2$, $15^1/_2$-n, ≡ n-n
30	-10.4	-6.8	-9.3	-8.8	-2.3	548.0	549.6	551.1	100	90	92	SW 2	SW 2	WSW 3	10	9	2	0.1	✳ ≡ n-$7^1/_4$, ⊕ a-p [mU
31	-9.4	-7.9	-10.8	-9.4	-3.0	552.6	554.5	556.7	100	100	100	NW 3	WNW 2	WNW 2	10≡*	10≡*	10≡*	14.9	✳ ≡ n-n
																		Summe	
Mittel	-9.0	-7.3	-8.5	-8.3	—	553.9	554.5	554.5	87	83	83				8.4	8.2	6.4	213.5	

März 1951
Beobachter: *E. Chiesa*

St. Gotthard (Hospiz)

$\lambda = 8° 34'$, $\beta = 46° 36'$,
$H_b = 2095$ m, $G = -0.25$ mm.

1	-14.8	-7.5	-12.9	-11.7	-5.2				62	56	70	NW 2	NW 2	NW 3	0	0	10≡	.	≡ $15^1/_2$-n, ⋁ I, 🖋 I
2	-15.9	-5.6	-12.8	-11.4	-5.0				64	68	92	NW 1	NW 2	NW 2	0	10≡	3	.	≡ a-p
3	-14.0	-6.2	-10.0	-10.1	-3.7				94	40	85	NW 1	NW 0	NW 0	9	3	0	.	
4	-11.9	-5.0	-10.1	-9.0	-2.7				67	43	68	SE 0	SE 1	SE 0	0	0	0	.	⋁ I
5	-13.0	-8.1	-8.0	-9.7	-3.4				70	**35**	63	SE 0	NW 1	NW 0	0	0	0	.	⋁ I
6	-8.2	-4.7	-7.8	-6.9	-0.7				59	37	85	SE 0	SE 0	SE 0	6	9	0	.	
7	-5.3	0.0	-0.4	-1.9	4.2				86	77	95	SE 0	SE 1	SE 0	10	10≡	10	2.2	✳ n (7./8.), ≡ $13^1/_4$-p
8	-3.0	-2.8	-4.6	-3.5	2.6				96	100	100	SE 0	SE 2	SE 2	10*≡	10*≡	10*≡	22.5	✳ ≡ n-n
9	-5.7	-4.8	-8.7	-6.4	-0.4				100	97	98	SE 0	SE 0	SE 0	10≡	10≡	6	.	≡ n-$17^1/_4$, $17^1/_4$-n mU
10	-8.4	-7.7	-7.4	-7.8	-1.8				100	93	92	NW 2	NW 1	SE 1	10≡	0	0	17.7	✳ n (10./11.), ≡ n-a
11	-6.4	-4.3	-4.0	-4.9	1.0				100	100	100	SE 2	SE 2	SE 2	10*≡	10*≡	10*≡	19.9	✳ ≡ n-n
12	-4.1	-4.4	-4.0	-4.2	1.6				100	87	98	SE 0	NW 0	SE 1	10	9	6	7.6	✳ n (12./13.), ≡ $18^1/_4$-21
13	-4.2	-2.5	-2.8	-3.2	2.6				100	100	100	SE 2	SE 2	SE 3	10*≡	10*≡	10*≡	23.7	✳ ≡ n-n, 🖋 III
14	-4.7	-1.5	-5.4	-3.9	1.8				100	90	82	NW 2	NW 0	SE 0	10	6	0	.	
15	-5.6	-2.2	-3.8	-3.9	1.8				87	90	100	SE 0	SE 0	SE 0	6	3	10	.	⊕ $14^1/_4$-p
16	-3.7	-0.3	-2.9	-2.3	3.3				91	82	91	SE 0	SE 1	SE 1	6	6	3	1.9	✳ n (16./17.), ⊕ III
17	-2.6	**2.3**	-0.7	-0.3	5.2				100	76	100	SE 1	SE 0	SE 1	10≡	10≡	10≡	7.2	✳ n (17./18.), ≡ n-n
18	-1.2	0.5	-1.6	-0.8	4.7				100	92	84	SE 2	SE 0	NW 1	10≡	10*≡	3	1.7	✳ a-p, ≡ n-p
19	-3.2	0.2	-2.9	-2.0	3.4				71	82	100	SE 0	SE 2	NW 1	3	10*≡	10≡	9.1	✳ $13^1/_4$-p, ≡ $13^1/_4$-n
20	-5.7	-3.4	-6.3	-5.1	0.3				100	94	90	NW 1	NW 2	NW 1	10≡	9	10	.	≡ n-a
21	-9.0	-11.5	-15.0	-11.8	-6.5				92	89	88	NW 3	NW 3	NW 2	10	10	0	.	🖋 ⊹ n-p
22	-10.5	-5.6	-4.8	-7.0	-1.8				85	65	100	NW 0	SE 1	NW 2	10	10	10*≡	7.4	✳ ≡ $17^3/_4$-n
23	-2.6	-0.9	-0.8	-1.4	3.8				81	80	68	NW 3	NW 2	SE 0	6	0	0	.	🖋 I
24	-4.0	-4.2	-6.3	-4.8	0.3				97	100	100	SE 0	NW 3	NW 3	10	10	10≡	4.1	✳ n (24./25.), ≡ p-n, 🖋 III
25	-6.6	-8.7	-9.9	-8.4	-3.3				100	96	92	NW 3	NW 3	NW 3	10≡	10≡	10≡	.	≡ 🖋 n-n
26	-11.8	-8.4	-6.7	-9.0	-4.0				94	88	90	NW 2	NW 1	NW 1	0	10	0	.	
27	-6.2	-4.3	-5.0	-5.2	-0.3				92	100	100	SE 1	SE 1	SE 2	10≡	10*≡	10*≡	**24.4**	✳ 8-n, ≡ n-n
28	-5.7	-7.3	-8.8	-7.3	-2.4				95	100	100	NW 1	NW 2	NW 2	9	10≡	10≡	.	≡ a-n
29	-10.6	-8.9	-9.5	-9.7	-4.9				100	100	100	NW 2	NW 1	NW 2	10≡	9	10*≡	10.4	✳ p-n, ≡ n-a, p-n
30	-6.0	-4.9	-5.3	-5.4	-0.6				85	66	99	SE 1	SE 2	SE 2	10*≡	10≡	10*≡	22.5	✳ n-a, p-n, ≡ n-n
31	-7.5	-6.1	-8.0	-7.2	-2.5				100	100	100	NW 1	NW 2	NW 3	10	10≡	10≡	0.9	✳ n (31./1.), ≡ a-n, 🖋 III
																		Summe	
Mittel	-7.2	-4.5	-6.4	-6.0	—	—	—	—	89	81	91				7.6	7.5	6.2	184.2	

Barometer defekt

Säntis: *) **14.** ≡ n-$16^1/_4$ mU, ⊹ n-n, 🖋 a-n **17.** ≡ n-$18^3/_4$, 🖋 a-p, 🖋 I **18.** $8^1/_2$-n mU, 🖋 a-n, 🖋 III **19.** ≡ $15^3/_4$-n, (K), 🖋 I, 🖋 III **22.** ⊕ $10^1/_2$, 🖋 p, 🖋 III **26.** ≡ n-$9^3/_4$ mU, $13^1/_2$-n, 🖋 a-n

$\lambda = 7°\,26'$, $\beta = 46°\,57'$,
$H_b = 572.2$ m, $G = 0.00$ mm.

Bern

April 1951
Beobachter: *Meteorol. Observatorium.*

Tag	Lufttemperatur					Luftdruck			Relative Feuchtigkeit			Windrichtung und Stärke			Bewölkung			Niederschlag	Witterung
	7^{30}	13^{30}	21^{30}	Mittel	Abweich. vom Normalst	7^{30}	13^{30}	21^{30}	7^{30}	13^{30}	21^{30}	7^{30}	13^{30}	21^{30}	7^{30}	13^{30}	21^{30}		
1	1.9	8.7	8.0	6.2	0.5	712.5	710.8	710.3	78	53	51	SE 0	WSW 1	WSW 2	9	7	0	.	⌴]
2	7.7	7.4	3.4	6.2	0.4	709.8	710.3	712.7	61	72	92	WSW 2	W 2	SSW 1	9	10●	10●	3.6	● $9^1/_2$–$22^3/_4$ mU
3	3.0	9.4	5.6	6.0	0.0	714.6	715.3	717.3	95	46	64	S 0	WSW 1	N 0	9	9	8	0.1	● 10–$10^1/_2$
4	1.3	9.4	6.7	5.8	−0.3	717.3	715.5	715.1	88	45	62	SE 1	N 1	S 1	1	3	10	.	
5	5.6	11.3	8.3	8.4	2.1	715.0	714.8	714.8	70	53	82	SSE 0	WSW 1	NE 0	10	10	0	0.0	●tr $12^1/_2$, $16^1/_2$
6	5.7	13.3	10.0	9.7	3.3	711.8	710.1	709.3	85	54	79	SE 1	W 1	W 0	4	4	9	0.0	●tr $18^1/_2$, △]
7	6.5	16.5	4.2	9.1	2.5	707.9	704.8	707.5	82	50	96	S 1	WNW 1	WSW 1	9	9	10●	13.9	● 18–24, △]
8	3.2	4.3	5.2	4.2	−2.5	706.7	707.9	708.6	91	82	61	W 1	W 1	SSW 2	2	9●	4	0.9	● ✳ 11–$11^1/_2$, ● $13^1/_4$–$14^1/_4$, ⌴]
9	2.7	12.0	2.6	5.8	−1.1	707.0	**703.9**	705.9	80	42	91	S 1	WSW 3	SSW 2	9	8●	10●	13.3	● $9^1/_2$–$22^1/_2$
10	4.0	4.6	5.1	4.6	−2.4	706.2	707.9	710.2	90	87	82	S 1	WSW 4	WSW 0	9	10●	9	3.0	● 2–$6^1/_2$, $13^1/_4$–14, ●△ $15^1/_2$–17
11	2.2	6.7	4.2	4.4	−2.8	710.9	711.2	713.4	94	59	84	S 0	NE 1	ESE 0	5	9	9	0.4	● $14^1/_4$–$15^3/_4$, 11–$16^1/_2$, ●✳ $15^3/_4$,
12	1.0	8.4	4.5	4.6	−2.8	714.2	713.7	713.4	100	47	69	NE 0	NNE 1	SSW 0	1	6	0	.	⌴] [⌴]
13	1.5	11.2	9.2	7.3	−0.2	712.7	710.3	711.3	86	52	61	S 0	WNW 1	W 1	1	1	10	1.7	● 21–$22^1/_2$ mU
14	5.8	9.0	5.6	6.8	−0.9	711.9	713.5	716.9	90	52	64	WSW 1	WSW 2	W 1	10●	9	9	0.0	● $1^3/_4$–$7^1/_2$
15	4.1	9.4	6.6	6.7	−1.2	**718.8**	718.1	717.9	66	49	65	ENE 1	NW 1	W 1	1	1	0	.	▽ 21–$21^1/_2$, 23
16	13 1	15.9	11.7	13.6	5.5	717.6	715.6	715.5	87	44	51	S 1	WNW 2	NW 0	8	1	0	.	
17	7.0	18.4	13.4	12.9	4.6	715.1	713.9	712.8	72	44	58	SE 1	NNW 1	S 0	4	3	9	.	▽ III, △]
18	10.3	11.6	9.6	10.5	2.0	713.0	712.8	712.2	79	82	100	W 0	WNW 1	SE 0	10	10●	10●	4.6	●tr $11^8/_4$–$14^1/_4$, ● 15–18, $20^1/_4$–24
19	9.5	14.7	11.8	12.0	3.4	711.0	710.7	710.0	99	65	87	S 0	NNE 1	SE 1	10	9	3	0.0	● 0–$4^1/_4$, ●tr 10, $13^1/_4$, $17^1/_2$
20	9.0	17.0	11.1	12.4	3.6	710.7	710.1	710.2	90	52	99	S 1	NNE 1	NNE 1	8	7	10	5.1	●tr$15^3/_4$–$16^1/_4$, ●$16^1/_4$–$22^1/_2$, ◩ 16–$17^1/_2$
21	10.7	14.4	10.6	11.9	2.9	709.3	709.3	710 1	95	80	86	S 1	NNE 1	NE 1	9	9●	3	7.8	● $13^1/_4$–$14^3/_4$, $15^1/_4$–16, $17^1/_2$– [$18^1/_4$, ◠ $18^1/_2$
22	5.4	12.7	9.1	9.1	0.0	712.3	712.1	713.1	71	52	56	NE 1	NNE 2	NE 1	9	1	0	.	
23	4.3	15.1	11.8	10.4	1.1	714.9	714.6	714.7	74	56	52	NNE 1	ENE 1	NNE 1	0	1	0	.	
24	5.7	16.6	13.4	11.9	2.5	714.7	713.5	713.1	63	47	53	NNE 1	NNE 2	N 1	0	0	0	.	
25	7.2	**19.8**	14.9	14.0	4.4	713.8	712.1	710.2	76	**38**	50	SSE 1	NNE 1	S 1	1	1	1	.	
26	11.7	14.6	10.4	12.2	2.5	711.0	710.1	709.4	69	66	94	W 1	NNW 1	SW 1	10	10	10●	47.7	●tr $16^1{}_2$, ● $19^1{}_4$–24
27	8.9	14.1	9.7	10.9	1.0	706.5	705.0	706.8	96	65	94	S 1	W 2	W 1	10●	9	10●	3.2	● 0–$9^3/_4$, $10^1/_2$–$11^3/_4$, $18^1/_2$–$18^3/_4$, 20–24
28	6.4	9.0	5.2	6.9	−3.1	708.5	709.5	710.3	91	54	81	WSW 2	WNW 1	SE 1	10●	10	10	3.5	● $4^3/_4$–$8^1/_2$, ●tr $15^1{}_2$, $16^3/_4$–17, ●
29	3.1	4.0	2.4	3.2	−7.0	710.7	711.2	712.3	90	91	94	SSW 1	NE 1	SSW 1	10●	10●	10●	8.1	● 0–24, teilw ✳ [$18^1/_4$–24 mU
30	2.8	8.4	6.4	5.9	−4.4	712.3	712.6	713.7	94	54	80	NW 1	NE 1	E 1	10	8	0	0.0	● 0–$2^3/_4$
																		Summe	
Mittel	5.7	11.6	8.0	8.4	—	712.0	711.4	712.0	83	58	75				6.6	6.5	5.8	116.9	

$\lambda = 6°\,57'$, $\beta = 47°\,0'$,
$H_b = 487.3$ m, $G = 0.02$ mm.

Neuchâtel

April 1951
Beobachter: *Observatorium.*

1	2.6	9.2	6.8	6.2	−0.3	720.3	718.7	717.8	66	48	69	SW 1	SW 2	SW 2	10	9	1	0.1	● n (1./2.)
2	7.3	5.5	4.0	5.6	−1.1	717.7	718.1	720.3	65	88	95	SW 2	SW 3	SW 0	10	10●	10	4.4	● 8–18 mU
3	3.7	9.2	6.0	6.3	−0.5	722.3	723.2	725.0	93	46	59	SW 0	N 1	E 1	10	8	1	0.1	● 8, ⬋ 18–21
4	**1.6**	10.9	7.1	6.5	−0.4	725.1	723.2	722.5	87	37	63	NW 0	S 1	W 0	0	1	1	.	
5	5.2	11.4	7.9	8.2	1.1	722.8	722.5	722.6	83	53	81	W 0	W 0	W 0	10	10	5	0.2	● $9^1/_2$–$10^1/_4$
6	6.4	14.3	9.8	10.2	3.0	721.5	720.1	718.9	85	54	82	W 0	SW 1	SW 0	8	7	10	.	
7	7.6	17.7	4.8	10.0	2.6	715.5	711.7	715.1	88	44	92	SW 0	SW 3	SW 3	9	3	10●	8.4	● $15^8/_4$–23, ⬋ 11–$18^1/_2$
8	4.0	8.4	5.5	6.0	−1.5	714.1	715.3	716.4	74	45	58	SW 2	SW 3	W 1	1	7	0	0.1	● n (8./9.)
9	4.5	11.6	5.6	7.2	−0.5	714.4	**711.1**	712.4	82	49	72	SW 3	SW 4	SW 3	10	6	10	4.9	● $18^3/_4$–21, ⬋ 15–$20^1{}_2$, ⬋ $10^1/_4$–15
10	5.2	8.0	5.1	6.1	−1.7	713.7	715.0	717.6	83	64	58	SW 2	SW 3	W 1	7	8	0	0.4	● $9^3/_4$–$10^1/_4$, $13^3/_4$ [21–23
11	2.7	9.5	4.8	5.7	−2.3	718.5	718.9	721.2	82	46	64	NW 0	W 2	NE 1	5	8	9	.	
12	2.2	11.3	5.4	6.3	−1.8	722.1	721.4	721.4	83	40	53	N 0	S 1	W 0	0	6	0	.	
13	2.4	13.3	10.0	8.6	0.3	720.5	718.3	718.6	80	41	50	W 0	SW 2	SW 2	1	1	9	.	
14	7.0	9.4	5.6	7.3	−1.1	719.5	721.0	724.1	60	38	57	SW 3	NW 4	NW 3	8	6	8	.	
15	4.3	12.6	7.9	8.3	−0.3	**726.7**	725.9	725.5	61	38	45	E 0	S 1	N 1	0	0	1	.	
16	3.9	16.2	12.5	10.9	2.0	725.4	723.4	722.6	81	38	42	NW 0	SW 2	W 1	8	2	0	.	
17	10.2	19.5	13.5	14.4	5.5	722.7	721.5	720.2	59	33	56	SW 1	SW 2	W 0	2	2	10	.	⊕ p
18	10.2	10.6	8.9	9.9	0.8	720.5	720.2	719.7	73	92	97	W 0	SW 0	SW 0	10	10	10	5.1	● 11–n mU
19	8.7	13.0	11.8	11.2	2.0	718.7	718.3	717.6	99	81	76	SW 0	SW 0	N 0	10≡	10	2	.	≡ n–a
20	8.6	17.7	11.7	12.7	3.3	718.4	717.6	717.8	94	58	95	N 0	SE 1	S 0	9	8	10●	4.5	● $16^8/_4$–$21^8/_4$
21	10.5	13.6	11.1	11.7	2.1	716.7	716.9	717.5	97	86	82	NE 0	SW 0	NE 0	10	10●	0	3.9	● $4^1/_2$, $13^1/_4$–$14^1/_4$
22	6.8	14.2	10.5	10.5	0.8	720.3	719.9	720.7	60	43	38	NE 2	NE 3	NE 3	3	0	0	.	
23	6.4	15.4	14.0	11.9	2.0	722.8	722.3	722.2	54	45	**28**	E 2	S 1	NE 2	0	0	0	.	
24	8.4	19.1	15.8	14.4	4.4	722.7	721.1	720.6	46	**28**	36	NE 2	E 3	NE 2	0	0	0	.	
25	8.4	**21.2**	14.9	14.8	4.6	721.4	719.7	717.6	71	31	48	S 0	S 0	NE 0	1	1	9	.	
26	11.2	13.9	10.8	12.0	1.6	718.5	717.7	717.3	69	67	83	SW 2	SW 1	SW 1	10	10	10	7.6	● n (26./27
27	8.6	11.7	9.7	10.0	−0.5	715.7	714.5	714.4	97	87	83	SW 0	W 1	SW 2	10●	10●	10●	6.2	● $9^1/_4$–11, $12^3/_4$–14, $19^3/_4$–$22^1/_4$
28	6.0	11.0	6.2	7.7	−3.0	716.2	717.3	717.8	71	46	81	NW 3	W 2	E 0	10	9	10	1.1	● $3^3/_4$–$6^1{}_2$, ●tr $15^3/_4$–17
29	4.4	4.7	2.8	4.0	−6.8	718.4	718.9	720.1	76	91	93	NW 0	E 1	E 0	10	10●	10	4.7	● $0^3{}_4$–4, ●✳ $10^3/_4$–$11^3/_4$, [● $13^1/_2$–19 mU
30	3.4	9.9	6.7	6.7	−4.3	720.2	720.6	721.3	92	53	68	E 1	SE 1	NE 0	10	2	1	.	
																		Summe	
Mittel	6.1	12.5	8.6	9.1	—	719.8	719.1	719.6	77	54	67				6.4	5.8	5.2	51.7	

April 1951
Beobachter: *Frl. H. Nager.*

Altdorf

$\lambda = 8° 39'$, $\beta = 46° 53'$,
$H_b = 456.3$ m, $G = -0.05$ mm.

Tag	Lufttemperatur					Luftdruck			Relative Feuchtigkeit			Windrichtung und Stärke						Bewölkung			Niederschlag	Witterung
	7^{30}	13^{30}	21^{30}	Mittel	Abweich. vom Normalst	7^{30}	13^{30}	21^{30}	7^{30}	13^{30}	21^{30}	7^{30}		13^{30}		21^{30}		7^{30}	13^{30}	21^{30}		
1	1.7	11.2	4.7	5.9	−1.1	723.1	720.3	721.0	100	32	63	W	0	SW	0	E	0	2	0	0	.	
2	4.6	12.4	5.5	7.5	0.4	719.9	718.5	723.1	60	44	96	SW	0	NW	1	N	0	3	5	10●	8.0	● p-n
3	4.7	6.8	5.5	5.7	−1.6	724.9	725.7	728.1	100	67	84	NW	0	NW	2	NW	0	10●	10	10	0.0	● n-a
4	2.1	9.4	5.0	5.5	−1.9	727.7	725.2	726.2	81	53	52	NE	0	NW	1	NE	0	0	0	0	.	
5	4.5	10.4	7.7	7.5	0.0	725.5	725.1	725.8	71	46	93	SE	0	W	0	NW	0	8	10	10●	0.0	● abd
6	4.3	14.2	10.3	9.6	1.9	723.9	721.6	721.6	95	45	55	S	0	NW	1	NW	0	0	0	10	.	
7	5.8	17.7	8.3	10.6	2.8	717.9	714.7	717.6	83	32	70	SE	0	SE	3	NW	1	3	2	10●	11.9	● abd-n
8	3.4	7.7	4.2	5.1	−2.8	717.1	716.5	719.3	100	56	99	NE	0	NW	2	E	0	8	8	5	1.3	● a-p mU
9	2.6	13.8	6.7	7.7	−0.4	717.0	**713.9**	715.3	73	26	78	E	0	S	2	NW	1	1	5	10●	6.5	● p-n
10	5.4	12.6	6.9	8.3	0.1	716.0	715.5	720.3	100	40	78	NW	0	NW	1	NW	0	10	6	10	0.2	● $17^1/_2$-18
11	5.3	7.9	5.2	6.1	−2.3	721.1	721.2	723.8	98	47	82	N	0	NW	1	NW	0	10	10	10	.	
12	5.2	9.8	5.3	6.8	−1.7	724.6	723.5	724.3	86	38	56	NW	0	NW	1	SW	0	7	6	0	.	
13	3.8	11.8	8.4	8.0	−0.6	722.6	719.6	721.2	66	36	65	SE	0	NW	1	SE	0	0	0	10	.	
14	7.4	7.9	6.1	7.1	−1.7	721.2	724.0	727.3	83	85	72	SW	0	W	0	NW	0	10	10●	10	2.0	● a-p
15	5.9	9.5	5.4	6.9	−2.0	729.3	728.7	**729.4**	64	44	62	NE	0	NW	1	E	0	8	6	0	.	
16	2.8	15.5	9.6	9.3	0.2	727.7	725.3	725.8	79	36	46	E	0	W	0	SE	0	0	0	0	.	
17	8.3	16.8	13.7	12.9	3.7	725.0	723.6	723.3	63	45	40	NW	0	NW	1	NE	0	4	3	8	.	
18	15.3	17.3	12.2	14.9	5.5	722.0	721.2	722.6	58	36	60	SE	1	SE	2	NW	0	10	10	10	.	
19	10.3	14.1	12.7	12.4	2.9	721.3	720.3	720.6	93	69	68	N	0	NW	0	NE	0	10	8	9	.	
20	8.9	16.5	11.6	12.3	2.7	720.5	719.8	721.1	87	59	100	NE	0	NW	1	W	0	10	7	10●	7.4	● $20^1/_4$-n
21	10.2	14.7	11.4	12.1	2.3	719.6	718.8	720.3	100	64	100	SE	0	NW	0	NE	0	10●	8	10●	1.5	● n-a, p-n
22	9.3	12.2	8.6	10.0	0.1	722.1	721.3	723.8	60	56	84	W	1	W	1	W	0	10	6	3	.	
23	5.4	13.1	10.4	9.6	−0.5	725.1	725.1	725.2	98	52	74	W	0	NW	0	E	0	0	5	0	.	
24	6.3	13.7	17.1	12.4	2.2	725.0	724.0	723.4	99	50	**22**	E	0	NW	0	S	3	0	0	0	.	
25	16.5	**21.5**	18.3	18.8	8.5	723.5	722.3	720.6	27	25	26	S	2	SE	2	SE	1	0	0	7	.	
26	17.3	15.4	12.9	15.2	4.7	719.9	719.2	718.8	32	56	68	SE	1	W	1	NW	0	10	8	7	.	
27	11.7	13.7	10.5	12.0	1.4	718.4	716.7	716.7	79	66	89	NW	0	NW	1	NW	0	10	10	10	0.4	● n (27./28.)
28	9.6	8.3	6.3	8.1	−2.6	717.6	719.7	720.9	100	73	96	N	0	NW	2	NW	0	10	10●	10●	**25.6**	● a-n
29	2.0	4.1	2.0	2.7	−8.2	720.8	722.7	723.2	100	90	100	S	0	SE	0	SE	0	10*	10*	10●	20.7	✶ n-p, ● p-n
30	3.0	8.4	4.4	5.3	−5.7	722.4	723.3	724.7	100	53	94	SE	0	NW	0	NW	0	10	8	4	0.1	● a
																					Summe	
Mittel	6.8	12.3	8.6	9.2	—	722.1	721.3	722.5	81	51	72							6.1	5.7	6.8	85.6	

April 1951
Beobachter: *Observatorium.*

Genève

$\lambda = 6° 9'$, $\beta = 46° 12'$,
$H_b = 405.0$ m, $G = -0.03$ mm.

1	4.6	13.8	9.0	9.1	2.1	728.0	726.0	725.7	71	32	86	E	0	S	1	SSW	0	9	9	2	.	
2	9.4	8.0	5.0	7.5	0.4	725.4	725.7	728.1	51	72	76	SSW	1	SSW	1	SSW	1	10	10	10●	6.5	● a, abd, ♆ $18^1/_4$
3	4.0	9.3	6.3	6.5	−0.8	730.0	730.8	730.8	91	45	76	E	0	NE	1	E	0	8	5	3	.	
4	3.2	10.0	7.0	6.7	−0.7	732.4	730.4	730.1	80	43	71	ESE	0	NNE	1	E	0	0	1	3	.	
5	9.0	12.1	9.0	10.0	2.4	730.1	729.6	729.0	66	44	73	E	0	NE	1	E	0	5	9	1	.	
6	7.4	14.2	12.8	11.5	3.8	728.8	727.0	725.5	83	55	70	E	0	SW	1	S	0	2	10	8	.	
7	11.2	15.5	7.0	11.2	3.4	722.3	**717.7**	719.6	73	41	71	E	0	WSW	1	SW	1	7	5	7	**13.4**	● p-n mU
8	6.3	10.2	5.8	7.4	−0.6	722.6	723.9	724.6	90	76	80	SW	1	SSW	1	E	0	7	4	5	.	
9	8.9	16.8	7.0	10.9	2.8	721.6	722.5	722.6	87	49	90	ESE	1	SSW	2	SSW	2	8	10	10●	5.5	● a-n mU, ⊼ 20–21
10	7.5	8.9	6.0	7.5	−0.8	722.1	722.7	725.6	78	87	70	SSW	1	SSW	1	SW	1	7	6	2	2.5	● △ a, ● p
11	5.0	9.0	4.3	6.1	−2.3	726.0	726.2	728.6	88	48	78	SW	0	NNE	1	NNE	1	3	2	0	.	
12	6.0	11.2	8.4	8.5	0.0	729.0	728.1	728.4	64	36	55	NNE	1	E	0	NNE	1	0	0	0	.	
13	5.2	14.5	8.7	9.5	0.8	728.0	726.1	725.6	69	42	51	ENE	1	W	1	SSW	0	0	2	8	.	
14	9.6	11.2	7.4	9.4	0.6	728.3	728.6	732.2	54	40	58	SW	1	NNW	1	NNE	1	9	6	5	.	
15	5.4	10.4	7.5	7.8	1.2	**733.4**	733.0	732.8	78	41	81	NNE	1	NNE	1	E	0	0	0	1	.	
16	6.0	19.2	14.0	13.1	4.0	732.3	730.6	729.5	85	**30**	89	E	0	SW	2	E	0	2	0	1	.	
17	12.4	**21.5**	13.9	15.9	6.6	729.2	728.4	728.1	89	63	87	E	0	WNW	0	SW	0	2	5	8	.	
18	10.5	12.8	9.3	10.9	1.5	728.0	727.3	724.8	83	88	92	E	0	E	1	E	0	10	9	10●	0.4	● abd
19	9.0	16.0	12.0	12.3	2.7	724.2	723.8	724.8	86	69	82	E	0	NNE	0	E	0	9	8	7	.	
20	13.8	14.8	12.0	13.5	3.7	725.5	725.2	724.3	84	77	83	E	0	W	0	NE	0	9	10●	8	0.2	● p mU
21	12.0	13.1	14.0	13.0	3.1	724.6	725.0	723.4	90	85	78	NE	1	NNE	1	E	0	9	2	4	.	
22	8.0	13.4	9.0	10.1	0.0	724.7	725.3	725.9	78	62	86	E	0	NNE	1	ENE	1	10	2	1	.	
23	7.8	15.1	13.6	12.2	2.0	729.8	729.1	728.8	77	49	71	E	0	NNE	1	ENE	0	0	1	2	.	
24	8.8	17.0	14.2	13.3	2.9	729.3	726.3	726.8	68	47	84	NNE	1	NNE	1	E	0	0	0	0	.	
25	9.8	18.6	17.7	15.4	4.9	727.8	726.5	724.6	50	34	50	ENE	1	NNE	1	NNE	1	1	1	6	.	
26	13.0	17.4	11.2	13.9	3.2	726.0	725.0	724.6	75	56	81	E	0	ESE	1	ESE	0	10	9	10●	1.0	● 19-n
27	10.0	17.8	11.0	12.9	2.1	724.1	723.1	723.6	76	51	87	SSE	1	ESE	1	SE	1	10	10●	10●	10.7	● p-n
28	8.0	10.6	7.0	8.5	−2.5	724.1	724.7	725.1	70	57	74	SE	0	E	0	E	0	9	10	8	8.0	
29	3.8	6.7	**8.0**	4.5	−6.6	726.1	726.1	726.5	90	64	88	ESE	1	SSW	1	E	0	10	10	10		● n-n mU
30	3.8	10.8	7.8	7.5	−3.8	727.3	727.5	727.9	87	60	72	E	0	NNE	1	NNE	1	8	3	0	.	
																					Summe	
Mittel	8.0	13.3	9.4	10.2	—	727.0	726.4	726.6	77	55	76							5.8	5.3	5.0	48.2	

$\lambda = 8°\ 34'$, $\beta = 47°\ 23'$,
$H_b = 569.4$ m, $G = 0.03$ mm

Zürich

April 1951
Beobachter: *Meteorol. Zentralanstalt.*

Tag	Lufttemperatur					Luftdruck			Relative Feuchtigkeit			Windrichtung und Stärke			Bewölkung			Niederschlag	Witterung
	7^{30}	13^{30}	21^{30}	Mittel	Abweich. vom Normalst	7^{30}	13^{30}	21^{30}	7^{30}	13^{30}	21^{30}	7^{30}	13^{30}	21^{30}	7^{30}	13^{30}	21^{30}		
1	2.7	9 8	7.3	6.6	1.1	712.6	711.2	710.8	66	45	50	SSW 1	SSW 2	SSW 2	9	7	0	0.0	●tr a
2	6.7	8.9	4.6	6.7	1.0	710.5	710.5	712.4	59	65	89	SSW 1	W 2	SW 1	5	9	10	4.0	● $15^8/_4$-$16^1/_4$, $17^1/_4$-$18^1/_4$
3	3.5	8.2	3.2	5.0	−0.8	715.0	715.8	717.8	88	74	85	SSW 1	SSW 1	NNE 1	10■	6	4	2.7	● 1-$2^1/_4$, $7^1/_2$-$8^1/_4$, $11^3/_4$-$12^1/_4$
4	1.3	11.1	5.4	5.9	−0.1	717.8	715.8	715.1	93	47	56	S 1	SSW 1	S 1	2	2	0	.	⌴ l
5	5.3	9.7	7.0	7.3	1.2	715.2	715.4	715.3	69	59	83	S 1	WSW 1	SSW 1	10	10	9	0.0	●tr p
6	5.7	14.9	10.8	10.5	4.2	714.0	712.6	711.7	90	50	76	SE 1	WSW 1	WSW 1	5	3	10	0.0	●tr abd
7	7.0	17.4	4.4	9.6	3.2	709.0	705.5	707.6	84	43	90	WSW 1	SSW 1	SSW 2	8	6	10●	6.9	● $17^1/_2$-$17^3/_4$, $18^1/_4$-$1^1/_4$
8	3.4	4.8	5.3	4.5	−2.1	707.5	708.2	709.0	67	67	58	SW 1	SW 3	SW 2	4	9	0	2.1	● $3^1/_2$, $12^1/_4$, $14^1/_4$-$15^1/_4$, ⌯ 8-21
9	3.6	10.9	2.9	5.8	−0.9	707.7	**704.6**	706.0	77	46	97	S 1	SSW 2	WSW 3	4	7	10●	7.4	● 20-23, ⌯ $18^3/_4$-n
10	4.6	7.3	3.4	5.1	−1.8	706.4	707.5	710.4	74	62	86	WSW 3	SW 3	SSE 1	9	9	6	0.8	● 17-$17^1/_4$, $17^3/_4$-18, ⌯ n-18
11	2.8	6.9	3.3	4.3	−2.7	711.6	711.9	713.7	80	59	87	WNW 1	W 2	S 1	2	7	8	0.1	●tr abd, ⌴ l
12	1.2	10.3	3.8	5.1	−2.1	714.9	714.4	714.0	91	40	61	WSW 1	NNW 1	NNW 1	1	3	0	.	⌴ l
13	2.3	12.3	8.0	7.5	0.2	713.0	710.8	711.4	77	46	65	SSE 1	W 2	WSW 1	1	1	10	0.9	● n (13./14.), ⌴ l
14	5.5	7.1	5.2	5.9	−1.6	711.9	713.7	716.9	86	56	56	W 2	W 2	**W** 1	10●	10	9	0.9	● n-a mU, 18-$19^1/_4$
15	3.5	9.6	5.4	6.2	−1.4	**719.5**	719.3	718.5	61	46	55	WSW 1	NE 1	E 1	8	5	0	.	
16	3.2	16.8	14.2	11.4	3.6	717.7	716.0	714.9	81	41	39	SSW 1	SSW 2	SW 2	3	2	0	.	⌴ l
17	11.2	19.5	12.7	14.5	6.6	715.1	714.3	713.3	55	42	56	SSW 1	SSW 1	S 1	7	8	10	.	⌔ III
18	10.0	15.5	10.0	11.8	3.7	713.1	712.6	712.6	72	54	81	**W** 0	WSW 1	**W** 1	10	10	10	7.7	● $18^3/_4$-$19^1/_2$, 22-n
19	8.6	16.7	10.7	12.0	3.8	711.7	711.4	711.1	86	55	83	SSE 1	SW 1	E 1	10	4	2	.	
20	9.4	15.3	10.1	11.6	3.2	711.3	711.4	711.1	85	63	88	NE 2	NE 1	NNE 1	4	8	10●	0.2	●tr $21^1/_4$-23, ⌓ l
21	9.1	16.1	10.5	11.9	3.4	710.1	709.9	711.4	98	62	60	ESE 1	**SW** 1	NNE 2	10≡	2	8	.	≡ $5^1/_2$-8
22	4.1	13.2	7.4	8.2	−0.5	713.5	713.6	714.5	62	44	48	NE 2	NE 2	NE 2	8	0	0	.	
23	3.9	15.8	10.1	9.9	1.1	715.5	715.7	715.7	59	43	40	E 1	NE 1	NE 2	0	1	0	.	
24	5.5	18.3	12.3	12.0	3.0	715.7	**714.8**	714.2	54	38	47	NNE 1	NE 2	NE 2	0	0	0	.	
25	9.0	**21.2**	16.5	15.6	6.5	714.1	712.9	711.4	67	37	**36**	S 1	NE 1	SE 1	1	1	0	.	⌓ l
26	12.9	15.1	11.7	13.2	4.0	711.0	710.8	709.9	58	61	70	WNW 1	WSW 1	WNW 1	10	10	9	0.6	● n (26./27.)
27	8.7	10.9	9.1	9.6	0.2	709.2	708.3	707.0	95	86	97	S 1	WNW 1	WNW 1	10●	10	10	13.9	● $6^1/_4$-11, 20-$21^1/_4$, $22^1/_4$-n
28	6 0	6.4	4.2	5.5	−4.0	708.7	710.3	711.0	94	79	89	NW 1	SSW 1	S 1	10●	10	10●	**16.5**	● $6^1/_4$-$10^1/_4$, $18^1/_4$-n
29	**0.5**	2.9	**2.1**	1.8	−7.8	711.2	712.2	712.7	100	90	97	NE 1	ENE 1	E 1	10*	10●	10●	10.9	✳ 6-11, ● 11-$17^1/_2$, $21^1/_4$-24
30	2.4	6.7	4.3	4.5	−5.3	712.9	713.5	714.4	95	66	82	ENE 1	NW 1	E 1	10	7	0	0.1	● o-$2^1/_2$
																		Summe	
Mittel	5.5	12.0	7.5	8.3	—	712.6	712.2	712.5	77	56	70				6.4	5.9	5.5	75.7	

$\lambda = 6°\ 32'$, $\beta = 46°\ 51'$
$H_b = 1589$ m, $G = -0{,}13$ mm

Chasseron

April 1951
Beobachter: *R. Colomb*

1	−5.8	−0.1	−0.8	−2.2	—	627.2	627.0	626.4	96	87	80	SSW 2	SW 2	**SW** 4	10	9	7	0.2	✳ n (1./2.), ⌯ III
2	−2.0	−1.7	−3.3	−2.3	—	625.9	625.6	627.0	98	99	100	WSW 3	W 3	W 3	10*≡	10*≡	10≡	8.1	✳ n-$17^1/_4$, ≡ 7-n
3	−3.4	−0.6	−4.0	−2.7	—	629.1	631.0	632.1	100	79	93	WNW 2	WNW 1	NNW 2	10■	7	3	.	≡ n-$11^1/_4$
4	−2.6	1.0	−1.7	−1.1	—	631.6	631.3	631.2	80	62	79	E 1	WNW 1	W 2	3	1	4	0.2	✳ n (4./5.)
5	−2.4	2.2	1.0	0.3	—	630.5	631.1	631.2	97	91	98	W 3	W 2	W 1	10*	9	9	0.5	✳ $7^1/_4$-$9^3/_4$
6	0.2	3.0	2.2	1.8	—	629.7	629.6	628.6	100	99	100	SSW 2	S 1	WSW 3	10≡	10●■	10■	0.7	● $13^1/_4$-$16^1/_2$, ≡ n-8, $11^1/_2$-n
7	2.7	5.3	−3.0	1.7	—	625.1	622.8	623.1	90	67	100	SSW 3	SSW 3	WSW 4	9	9	10*≡	8.8	● $15^1/_4$-$16^3/_4$, ✳≡ $17^1/_4$-n, ⌯ III
8	−4.8	−3.7	−3.8	−4.1	—	622.1	623.2	624.4	64	97	82	WSW 4	WSW 4	SW 3	4	9	4	0.8	✳ $9^1/_4$-$10^3/_4$, ≡ $9^1/_4$-$13^3/_4$, ⌯ l
9	−3.2	0.2	−3.1	−2.0	—	622.4	620.7	**618.5**	100	84	100	**S** 3	S 4	W 5	10*≡	7*	10*■	6.6	✳ $5^3/_4$-$13^1/_2$, $18^3/_4$-n, ≡n-$10^1/_4$,*)
10	−3.0	−1.1	−3.7	−2.6	—	621.7	623.1	625.5	90	98	85	SW 4	SW 4	WNW 3	7	10■	4	0.8	✳ 10-$11^1/_4$, ≡ 10-$14^1/_4$, ⌯ 1, 11
11	−4 2	−1.8	−4.9	−3.6	—	625.7	626.7	627.9	92	86	98	NNW 2	NNW 2	N 2	7	10	10≡	.	≡ $19^1/_4$-n
12	−6 2	−1.8	−2.0	−3.3	—	628.2	629.3	629.5	97	68	67	NE 2	N 1	NNW 1	3	4	1	.	
13	−1.8	2.3	−0.2	0.1	—	627.9	627.1	627.8	86	72	88	W 2	WSW 2	W 3	6	4	6	4.1	✳ n (13./14.)
14	−2.7	−2.6	−3.8	−3.0	—	627.9	629.4	631.5	98	98	92	WNW 3	WNW 3	WNW 2	10■	10≡	9	0.6	✳ 19-$20^3/_4$, ≡ 3-$10^1/_4$, [$12^3/_4$-$14^1/_4$
15	−5.2	−0.2	−0.6	−2.0	—	632.7	**633.6**	633.5	78	52	63	NE 2	NE 1	E 1	1	1	3	.	
16	2.4	6.2	6.0	4.9	—	632.9	633.2	632.6	50	59	**46**	SW 4	S 3	SW 3	7	3	3	.	⌯ l
17	5.9	9.2	7.4	7.5	—	632.3	632.3	631.2	54	58	53	SW 2	SE 1	WSW 2	6	6	9	0.0	● n (17./18.)
18	3.0	2.4	3.0	2.8	—	630.0	629.6	628.9	92	94	89	SSE 2	SSE 2	**WSW** 3	10●	10	10●	5.9	● $7^1/_4$-$11^1/_2$ mU, 15-n mU
19	4.1	8 6	5.2	6.0	—	628.2	628.6	628.2	85	73	80	WSW 3	W 2	E 2	9	9	1	.	
20	5.4	8.0	5.6	6.3	—	628.3	628.6	628.6	93	85	98	NNE 1	SSE 1	WNW 1	6	9	10△■	13.5	△ $16^3/_4$-$16^3/_4$, $19^1/_4$-n, ≡ $15^3/_4$-n
21	4.6	5.0	4.7	4.8	—	627.1	627.5	627.7	97	95	98	WNW 1	NNW 2	ENE 2	10	9	10≡	10.2	△ $11^1/_4$-$14^1/_4$ mU, ≡ $19^1/_4$-n
22	1.4	3.3	1.8	2.2	—	628.4	629.1	629.5	90	70	70	ESE 1	E 1	E 3	1	1	1	.	
23	5.4	**11.7**	5.7	7.6	—	631.0	632.4	632.2	89	57	69	SSW 2	W 1	E 2	1	2	0	.	
24	4.7	8.3	6.1	6.4	—	631.3	631.6	631.5	70	48	62	E 2	E 2	E 2	1	1	0	.	
25	7.0	11.0	8.6	8.9	—	631.3	631.2	630.5	48	49	55	ESE 2	SE 1	ESE 1	1	3	1	.	
26	3.2	5.0	3.4	3.9	—	628.6	628.2	627.2	98	97	99	W 3	W 1	W 1	10≡	10	10●	6.2	● $14^1/_2$-$17^1/_4$ mU, 19-n, *)
27	1.4	3.3	1.0	1.9	—	625.2	624.7	623.8	99	100	100	WSW 3	S 2	WNW 3	10●≡	10≡	10●≡	**13.6**	● n-$12^1/_4$, $19^1/_2$-n, ≡ n-16, 19-n
28	−3.1	−2.2	−3.1	−2.8	—	624.5	625.6	625.7	100	98	99	WNW 3	WNW 3	NW 2	10≡	9	10≡	4 7	✳ n-$6^1/_4$, $15^1/_2$-17, ≡ n-$13^1/_4$,
29	−4 9	−3.7	−5.3	−4.6	—	625.5	626.2	626.8	100	100	98	NW 3	NW 2	NE 1	10*≡	10*■	8	5.7	✳ n-$17^1/_2$, ≡ n-20 [$15^1/_2$-n
30	−4.2	−2.6	−1.9	−2.9	—	626.9	627.9	629.2	97	90	86	SSE 1	ESE 1	ESE 2	1	7	5	.	
																		Summe	*) 9. $18^3/_4$-n, ⌯ II, ⌯ III
Mittel	−0.3	2.5	0.5	0.9	—	628.0	628.3	628.4	88	80	84				6.8	7.0	6.3	91.2	26. ≡ $5^3/_4$-$12^3/_4$, $18^1/_4$-n

April 1951
Beobachter: *B. Minsch und C. Clavuot*

Bever

$\lambda = 9° 53'$, $\beta = 46° 33'$,
$H_b = 1711.8$ m, $G = -0.23$ mm

Tag	Lufttemperatur 7³⁰	13³⁰	21³⁰	Mittel	Abweich. vom Normalst	Luftdruck 7³⁰	13³⁰	21³⁰	Relative Feuchtigkeit 7³⁰	13³⁰	21³⁰	Windrichtung und Stärke 7³⁰	13³⁰	21³⁰	Bewölkung 7³⁰	13³⁰	21³⁰	Niederschlag	Witterung
1	-13.2	1.2	-6.6	-6.2	-4.6	618.5	618.3	619.8	63	41	69	W o	SW o	SW o	o	o	o	.	✳
2	-7.8	-2.9	-1.2	-4.0	-2.5	619.6	618.9	620.1	79	57	96	SW o	SW 1	SW o	2	7	10*	3.6	✳ 19-n
3	-3.5	-0.1	-4.0	-2.5	-1.2	619.2	619.9	622.3	97	60	64	E o	NW 1	N o	10	8	4	.	
4	-6.6	1.2	-5.8	-3.7	-2.5	622.6	621.7	622.3	81	46	61	SE o	NE o	W o	6	o	o	.	
5	-11.5	4.8	1.4	-1.8	-0.8	621.8	621.3	621.9	80	51	67	SW o	NW 1	N o	4	7	2	.	
6	-7.2	6 4	-4.3	-1.7	-0.8	621.6	620.3	621.5	91	39	73	SW o	SW o	SW o	o	o	o	.	
7	-7.5	3.2	1.3	-1.0	-0.3	618.4	617.6	615.0	68	71	61	SW o	SW o	SW o	4	10	10*	14.3	✳ n (7./8.)
8	-2.8	0.9	-3.1	-1.7	-1.1	613.1	614.0	616.4	97	63	74	NE o	NE o	E o	10	10	2	.	
9	-15.0	3.1	-1.1	-4.3	-3.9	615.8	615.1	614.0	92	40	76	SW o	SW 2	SW o	o	2	10*	2.4	✳ 20-n
10	-1.4	2.7	-2.1	-0.3	0.0	612.4	613.8	615.9	97	79	95	NE o	SW 1	NE o	10	9*	3	7.9	✳ p mU
11	-2.3	-0.2	-3.4	-2.0	-1.9	616.0	616.4	618.4	81	58	88	E o	NW 1	NE 1	8	10	10*	1.2	✳ 15½-n
12	-4 8	0.0	-4.9	-3.2	-3.3	619.3	618.9	619.6	73	43	87	NE o	NW 1	SW o	4	1	o	.	
13	-9.1	5.6	-1.8	-1.8	-2.0	619.4	617.6	618.2	70	28	57	SW o	SW o	SW o	o	o	1	.	
14	-6.5	5.0	-1.2	-0.9	-1.3	618.3	618.1	621.0	80	36	68	SW o	SW o	NW 1	3	6	6	.	
15	-3.4	3.1	-5.1	-1.8	-2.4	623.5	624.4	626.0	66	39	67	S o	W 1	W o	2	o	o	.	
16	-8.8	5.2	-3.4	-2.3	-3.0	626.0	625.0	624.9	78	53	90	SW o	SW o	SW o	2	7	o	.	
17	-7.8	8.6	1.8	0.9	0.0	624.4	623.6	624.4	92	44	78	SW o	SW o	SW o	2	3	10	.	
18	0.6	3.0	0.4	1.3	0.2	622.8	622.7	622.7	90	81	98	SW o	S 1	S o	8	10	10●	3.7	✳ 15-18, ● 18-n
19	1.5	5.6	2.2	3.1	1.8	620.8	620.6	620.8	99	68	93	SW o	SW 1	SW o	8	9	7	.	
20	2.9	7.3	3.2	4.5	3.1	620.1	619.6	619.6	79	61	90	SW o	SW o	SW o	6	6	5	.	
21	0.3	8.0	3.2	3.8	2.2	618.7	618.1	618.6	96	48	80	SW o	NW o	NW o	9	8	6	.	
22	0.3	6.2	-0.2	2.1	0.3	619.3	620.5	622.3	76	41	62	SW o	W o	NW o	o	o	o	.	
23	-6.1	8.5	1.2	1.2	-0.8	623.3	623.1	624.3	87	37	67	SW o	NE o	SW o	o	o	o	.	
24	-5.0	7.2	0.8	1.0	-1.2	624.3	624.7	626.0	89	47	79	SW o	SW 1	SW o	o	o	o	.	
25	-3.8	10.4	2.8	3.1	0.8	626.3	624.0	623.4	97	40	81	SW o	S o	SW o	o	3	4	.	
26	4.0	7.1	2.7	4.6	2.1	621.1	619.9	619.4	84	68	99	SW 1	SW o	SW o	10	10	10	2.9	● n (26./27.)
27	2.8	5.9	2.8	3.8	1.1	617.3	616.6	616.5	90	64	89	SW o	SW o	SW o	10	6	4	.	
28	3.6	5.8	2.4	3.9	1.0	616.4	616.6	615.5	84	73	82	SW o	SW o	SW o	9	9	10	11.2	✳ n (28./29.)
29	0.3	0.5	-4.2	-1.1	-4.2	614.9	615.3	617.2	77	73	88	NE o	NW o	NE o	10	10	4	0.0	✳fl 9½-11
30	-4.0	10.4	-2.8	1.2	-2.1	617.7	620.6	622.4	94	34	77	NW o	S 1	S 1	5	2	o	.	
																		Summe	
Mittel	-4.1	4.5	-1.0	-0.2	—	619.8	619.6	620.4	84	53	79				4.7	5.1	4.3	47.2	

April 1951
Beobachter: *Couvent des Capucins.*

Sion

$\lambda = 7° 21'$, $\beta = 46° 14'$,
$H_b = 548.6$ m, $G = -0.11$ mm.

1	2.0	11.6	6.6	6.7	-1.2	715.7	714.1	714.0	73	34	54	NW 1	NW 1	WSW 1	o	2	o	.	
2	3.6	11.8	6.4	7.3	-0.8	714.4	712.6	714.2	65	42	84	NNW 1	WSW 2	WSW 1	3	9	10●	1.2	● 20-n
3	4.7	12.9	6.5	8.0	-0.2	716.7	716.4	718.6	81	36	52	SW 1	SW 3	NNW 1	9	5	1	.	
4	2.6	12.2	7.4	7.4	-1.0	720.0	717.1	717.6	70	35	52	NNW 1	NNW 1	SW o	o	1	o	.	
5	4.5	14.4	9.3	9.4	0.9	718.1	716.4	717.0	65	38	60	SW o	SW o	SW o	10	8	o	.	
6	5.0	16.8	10.5	10.8	2.1	717.0	714.3	714.1	84	37	68	NNW 1	SW 1	SW 1	o	6	o	.	
7	6.4	17.5	6.1	10.0	1.2	712.4	708.3	709.7	77	38	99	NW 1	NE 4	WSW 3	3	5	10●	6.0	● 19½-n, 🌧 p. 🌧 abd
8	4.9	11.0	5.5	7.1	-1.9	710.0	709.8	711.7	88	40	55	NW o	WSW 3	WSW o	4	7	o	.	
9	2.1	13.7	7.8	7.9	-1.2	711.5	708.6	708 2	75	33	72	WNW o	N 1	NNW o	4	9	10●	19.6	● 20-n
10	2.8	12.8	6.7	7.4	-1.9	710.3	709.6	711.8	100	44	63	NNW o	WSW 1	WSW 2	10●	5	10	0.3	● n-8½
11	4.5	11.7	5.3	7.2	-2.2	712.9	712.4	713.8	29	41	62	WNW 1	WSW 2	WSW 2	3	7	5	.	
12	3.1	11.9	6.2	7.1	-2.5	716.0	714.4	715.2	78	41	54	NW 1	WSW 1	WSW o	1	2	o	.	
13	3.5	14.5	10.5	9.5	-0.2	715.3	712.8	713.3	68	36	48	NW o	NW 1	WSW 2	o	o	8	.	🌧 p
14	9.1	13.8	7.9	10.3	0.4	713.5	714.4	718.1	66	48	51	WSW o	WSW 4	SW 3	5	5	7	.	
15	4.8	13.6	8.0	8.8	-1.2	721.7	718.9	720.3	66	41	54	SW 1	SW 2	NW 2	o	o	o	.	
16	6.2	17.2	12.7	12.0	1.8	721.0	717.9	718.2	60	30	40	NW 1	NW 1	NW 2	9	1	o	.	
17	7.9	20.4	14.2	14.2	3.9	719.0	716.1	715.8	60	33	46	NNW 1	NNW o	SW 1	1	3	10	.	
18	11.2	16.1	11.4	12.9	2.4	715.5	715.1	715.9	64	52	72	NW o	SW 1	SW 1	10	10	10●	2.3	● 11¼-12, 21-n, ●tr 16, 1
19	8.9	19.3	13.8	14.0	3.4	715.0	712.6	712.7	98	40	55	SW o	NW 1	NW 1	10	4	4	.	
20	12.1	21.2	14.8	16.0	5.2	713.4	711.7	712.5	65	39	65	NNW o	SW 2	SW 1	10	4	10	0.0	●tr 19³/₄-20
21	12.5	16.5	12.7	13.9	3.0	712.0	711.8	711.4	79	65	72	NW 1	W 1	WSW o	9	8	3	1.1	● 9-11
22	10.0	16.7	11.5	12.7	1.6	713.8	712.8	714.1	89	57	70	NW 1	SW 3	NNW 1	o	2	o	.	
23	9.2	19.1	14.1	14.1	2.9	716.8	715.3	715.4	78	46	60	NNW 1	WSW 3	WSW o	1	5	o	.	
24	10.6	22.0	14.9	15.8	4.4	717.0	714.2	716.4	62	37	33	NNW 1	SW 2	N o	o	o	o	.	🌧 15-19
25	13.0	21.7	16.7	17.1	5.6	717.2	714.6	713.4	45	32	38	N 1	NNE 4	NNE 2	3	3	7	.	🌧 13-21
26	12.4	17.2	10.9	13.5	1.8	713.5	712.3	712.2	67	56	98	N o	SW 1	WSW 2	10	10	10●	4.7	● 20-n
27	9.7	19 4	12.4	13.8	2.0	711.8	709.3	709.1	98	92	77	WSW o	W o	W o	10●	6	9	2.8	● n-9½, 19½-20½
28	8.8	13.2	7.2	9.7	-2.3	710.4	710.4	711.9	95	53	65	W 2	SW 3	SW 2	9●	5	10	0.3	● n-8½, ●tr 19³/₄-21, 🌧
29	5.0	10.7	4.5	6.7	-5.4	711.8	711.8	713.7	76	42	71	WSW 3	SW 3	SW 3	10	7	10	.	🌧 s
30	5.9	12.7	7.3	8.6	-3.7	714.9	713.9	716.1	75	35	58	SW 1	NNW o	NNW 1	2	2	1	.	
Mittel	6.9	15.4	9.7	10.7	—	715.0	713.3	714.2	73	43	62				4.9	4.7	4.8	38.3	

$\lambda = 8°\,57'$, $\beta = 46°\,0'$,
$H_b = 276.2$ m, $G = -0.01$ mm.

Lugano

April 1951
Beobachter: *G. Vicari.*

Tag	Lufttemperatur					Luftdruck			Relative Feuchtigkeit			Windrichtung und Stärke			Bewölkung			Niederschlag	Witterung
	7^{30}	13^{30}	21^{30}	Mittel	Abweich. vom Normalst	7^{30}	13^{30}	21^{30}	7^{30}	13^{30}	21^{30}	7^{30}	13^{30}	21^{30}	7^{30}	13^{30}	21^{30}		
1	7.4	17.2	8.6	11.1	2.0	736.1	736.8	738.8	25	15	32	NNE 1	S 1	N 1	0	0	0	.	
2	5.8	9.6	7.4	7.6	−1.7	739.7	739.2	737.3	63	48	80	N 1	S 1	E 1	9	10	10	27.5	●tr $10^1/_2$, 14–15, ● n (2./3.)
3	5.2	13.2	10.8	9.7	0.3	738.4	738.0	739.1	93	36	14	ESE 1	S 1	NNE 2	10●	6	0	0.2	● n–8 mU
4	7.2	17.4	8.2	10.9	1.3	740.8	739.4	739.7	33	17	28	E 1	E 1	N 1	0	0	0	.	
5	4.6	17.8	10.4	10.9	1.2	739.6	737.8	737.7	36	22	33	N 1	S 1	N 1	7	1	0	.	
6	8.4	19.4	11.2	13.0	3.2	738.6	737.8	737.5	40	26	41	N 1	S 1	N 1	3	0	0	.	
7	8.2	11.8	8.6	9.5	−0.5	737.1	736.2	733.2	66	53	98	N 1	NW 1	NNW 1	9	10	10●	34.6	☽ 18–$18^1/_2$, ● $18^1/_2$–n
8	6.8	13.6	10.2	10.2	0.1	730.6	730.9	732.7	70	38	31	W 1	SE 1	N 1	9	8	0	.	
9	5.6	17.0	9.4	10.7	0.5	734.0	733.6	732.9	35	22	55	N 1	S 1	NW 1	0	3	10	2.1	● 19–21
10	10.8	16.6	9.2	12.2	1.8	731.7	731.5	733.1	63	41	47	S 1	ESE 1	S 1	10	5	8	1.1	♆ $14^3/_4$–15
11	7.0	17.2	10.4	11.5	1.0	734.0	732.9	734.2	58	19	19	N 1	E 1	N 2	8	6	10	.	
12	7.8	17.6	11.4	12.3	1.7	737.0	736.1	737.1	66	20	18	S 1	S 1	N 1	9	0	0	.	
13	4.8	17.4	10.2	10.8	0.0	737.9	735.7	735.5	56	27	45	N 1	SE 1	N 1	0	0	9	.	
14	6.6	19.8	14.4	13.6	2.7	735.7	734.6	737.0	55	28	17	N 1	S 1	N 2	0	3	0	.	
15	10.2	18.6	10.6	13.1	2.1	741.5	742.1	743.0	21	24	40	N 1	S 1	N 1	0	0	0	0.3	☽ n (15./16.)
16	9.2	12.4	9.2	10.3	−0.9	746.5	746.3	744.2	85	48	46	N 1	S 1	N 1	10☽	10	0	0.2	☽ n $7^1/_2$–$8^1/_2$
17	6.6	20.0	13.4	13.3	2.0	743.9	742.6	742.3	63	26	48	N 1	S 1	N 1	0	0	10	.	
18	10.8	11.0	9.8	10.5	−0.9	742.2	742.9	741.8	74	64	66	SSW 1	W 1	S 1	10	10	10	1.3	☽ ● 8–12, ♆ p, ☽ n (18./19.)
19	9.8	14.0	11.4	11.7	0.1	739.8	739.2	738.6	72	53	59	N 1	SE 1	NNE 1	10	10	10	.	
20	9.6	17.8	13.4	13.6	1.9	737.7	737.2	736.3	62	43	65	N 1	E 1	S 1	0	9	10	0.2	☽ n (20./21.)
21	12.0	20.8	15.4	16.1	4.3	735.7	733.9	733.1	76	32	42	— 0	S 1	N 1	9	3	0	.	
22	10.6	20.2	12.4	14.4	2.4	733.9	735.3	739.2	60	35	60	S 1	S 1	SSW 1	0	0	10	.	
23	11.4	18.2	9.8	13.1	1.0	743.4	742.3	742.7	36	25	51	W 1	S 1	N 1	10	0	0	.	
24	9.4	19.0	12.4	13.6	1.4	744.3	743.8	744.3	63	31	44	S 1	W 1	N 1	10	1	0	.	
25	9.6	23.2	15.4	16.1	3.7	743.9	741.9	740.6	57	25	48	N 1	SE 1	NNE 1	1	1	9	0.0	●tr n (25./26.)
26	12.4	12.2	11.4	12.0	−0.5	739.2	738.6	737.2	73	88	97	W 1	NW 1	NNW 1	10	10●	10	9.1	● 8–$13^1/_2$, $13^1/_2$–21 mU, n (26./27.)
27	9.8	13.8	12.2	11.9	−0.7	735.7	734.6	733.2	93	59	68	NNE 1	W 1	ESE 1	10	10	10☽	15.7	☽ 21–n, ● n (27./28.)
28	10.4	12.4	9.8	10.9	−1.9	734.0	734.2	733.6	96	77	97	N 1	WNW 1	N 1	10●	10☽	10	38.8	● n–a, ☽ a–p, ● p–n mU
29	8.4	8.2	8.4	8.3	−4.6	732.6	733.8	734.9	83	61	41	N 1	N 2	WNW 1	9	9	4	9.1	● n–5, 8–12 mU, ♐ 11–$12^1/_4$, ♆ 12–
30	7.6	13.4	11.4	10.8	−2.3	737.6	739.6	740.8	60	34	38	W 1	S 1	NNE 1	4	9	5	0.0	☽ $13^1/_4$–$13^1/_2$ [$12^1/_4$
Mittel	8.5	16.0	10.9	11.8	—	738.1	737.6	737.7	61	38	49				5.9	4.8	5.2	Summe 140.2	

$\lambda = 7°\,35'$, $\beta = 47°\,33'$,
$H_b = 317.3$ m, $G = 0.11$ mm.

Basel

April 1951
Beobachter: *Astronom.-Meteorol. Anstalt.*

1	3.1	13.9	9.4	8.8	2.3	734.0	733.2	731.9	68	48	50	E 1	SW 1	SW 1	9	8	6	.	☄ 16
2	8.5	7.1	5.6	7.1	0.5	731.9	732.7	735.0	70	89	68	W 1	WSW 1	W 2	10	10●	10	1.3	● $12^1/_4$–$15^1/_4$
3	5.4	10.7	4.0	6.7	0.0	737.4	738.0	739.9	85	48	83	SW 1	W 1	S 1	9	8	1	.	
4	1.6	14.2	7.1	7.6	0.7	740.2	738.0	737.2	91	50	68	ESE 1	WNW 1	SSW 1	1	4	4	0.5	● n (4./5.)
5	6.8	12.9	6.1	8.6	1.6	737.4	737.3	737.0	89	65	67	SSW 1	WNW 1	S 1	10●	10	3	0.5	● $6^3/_4$–$8^3/_4$
6	6.4	16.0	10.4	10.9	3.7	736.0	734.3	733.4	86	45	87	E 1	WNW 2	NW 0	1	2	10	.	♎ I
7	8.8	20.4	6.8	12.0	4.7	729.7	725.8	729.2	91	42	73	E 1	WNW 2	WSW 2	10	8	10	4.1	● $17^1/_4$–$18^3/_4$, $23^3/_4$–$1^1/_4$, ☄ 11,
8	5.7	8.2	3.9	5.9	−1.5	729.7	730.0	730.5	73	64	66	E 1	WNW 2	SSW 1	0	8	0	0.0	●tr $15^1/_4$ [16–18
9	6.5	14.7	5.0	8.7	1.1	728.4	724.9	727.3	75	48	87	S 1	SSW 4	WNW 3	10	3	10●	11.5	● 18–$21^3/_4$, ☄ 11–18, ☄ 23
10	7.2	8.0	3.5	6.2	−1.5	727.8	729.9	732.2	69	75	83	SW 1	WSW 3	S 1	7	8	0	0.7	● $11^1/_4$–18 mU, ☄ $10^1/_2$–17 mU, ◠ [$12^3/_4$
11	3.7	5.9	1.9	3.8	−4.1	733.7	734.7	736.2	85	83	94	SE 1	NNW 2	SSW 1	3	7	0	1.5	● $10^1/_2$–11, △ $10^1/_2$
12	2.6	11.1	3.2	5.8	−2.2	737.6	736.8	736.1	95	45	85	SE 0	WNW 1	SSW 1	0	5	0	.	♎ I
13	3.2	13.6	9.3	8.7	0.6	734.9	733.2	734.0	83	51	63	ESE 1	NNW 1	WSW 1	5	5	10	0.1	● n (13./14.), ☄ 11–13
14	7.1	11.3	6.7	8.4	0.1	734.3	736.0	739.5	86	52	58	W 1	WNW 2	WSW 1	10	7	10	.	
15	4.8	11.3	4.0	6.7	−1.7	742.1	741.6	740.7	84	43	66	SSW 1	NE 1	SSW 1	0	1	0	.	♉ III
16	5.4	20.2	10.2	11.9	3.3	739.3	737.0	736.3	76	41	63	E 1	N 1	NE 1	6	3	1	.	
17	8.9	20.0	12.6	13.8	5.1	736.8	735.9	735.0	70	51	68	E 0	W 1	NW 1	7	5	10	.	
18	7.4	14.2	9.4	10.3	1.4	735.5	734.9	734.2	76	65	99	W 0	WNW 1	ESE 1	10	10	10	4.0	● $18^1/_4$–n mU
19	9.6	18.7	11.7	13.3	4.3	732.9	732.5	732.3	95	60	88	ESE 1	N 1	SE 0	10	10	3	.	
20	8.8	18.4	11.1	12.8	3.7	733.3	732.5	732.5	95	59	96	WNW 1	E 1	SSE 1	10	6	10●	18.0	● $19^1/_4$–$21^3/_4$, ♐ $19^1/_2$–$20^1/_4$
21	8.4	15.3	9.0	10.9	1.6	732.0	732.1	733.0	97	68	66	WNW 2	WNW 1	WNW 1	10	9	0	.	
22	4.0	14.9	9.3	9.4	0.0	736.3	735.4	736.1	78	40	45	WNW 1	ENE 1	E 1	1	0	0	.	
23	8.1	18.3	11.8	12.7	3.1	737.9	737.2	737.6	51	41	46	ENE 1	E 1	E 1	0	0	0	.	
24	9.9	19.2	13.1	14.1	4.4	737.8	736.3	735.5	46	44	54	E 1	N 1	E 1	0	0	0	.	
25	10.5	23.4	15.9	16.6	6.8	735.9	734.2	732.1	69	39	49	E 1	WNW 1	ESE 1	0	0	0	.	
26	10.7	17.5	12.3	13.5	3.5	732.7	732.1	731.6	91	66	77	S 1	WNW 1	SSW 1	10	10	9	4.0	● n (26./27.)
27	10.2	13.8	10.1	11.4	1.3	730.1	729.1	728.9	97	87	94	ESE 1	E 1	S 1	10	7	10	11.6	● n $7^3/_4$–$23^3/_4$ mU
28	6.1	9.4	6.6	7.4	−2.9	731.6	732.1	732.7	88	56	71	WSW 1	WNW 1	SW 1	10	9	10	0.4	● $7^1/_4$–10 mU
29	4.5	4.2	3.4	4.0	−6.4	733.6	734.4	735.2	90	93	92	W 1	NW 1	ESE 1	10	10	10	5.9	● 4–19 mU, △ $10^3/_4$
30	4.1	10.0	6.6	6.9	−3.6	735.3	735.7	736.2	92	64	70	E 1	ENE 1	ESE 1	10☽	7	10	0.0	☽ $6^3/_4$–$7^1/_2$
Mittel	6.6	13.9	8.0	9.5	—	734.6	733.9	734.3	81	57	72				6.3	6.0	5.2	Summe 64.1	

April 1951
Beobachter: *Observatorium.*

Säntis

$\lambda = 9° 20'$, $\beta = 47° 15'$,
$H_b = 2500.1$ m, $G = -0.27$ mm

Tag	Lufttemperatur 7³⁰	13³⁰	21³⁰	Mittel	Abweich. vom Normalst	Luftdruck 7³⁰	13³⁰	21³⁰	Relative Feuchtigkeit 7³⁰	13³⁰	21³⁰	Windrichtung und Stärke 7³⁰	13³⁰	21³⁰	Bewölkung 7³⁰	13³⁰	21³⁰	Niederschlag	Witterung
1	-11.4	-8.9	-7.9	-9.4	-3.0	557.4	558.2	558.7	100	85	68	WSW 4	W 3	WSW 3	7	3	1	0.6	✶fl a, ≡ n-10½, ⌿ l
2	-4.2	-4.0	-7.7	-5.3	1.0	558.5	558.7	559.0	55	72	100	WSW 2	S 2	W 2	6	9	10≡*	18.1	✶ 17½-n, ≡ 15-n, ⊕ a
3	-9.6	-7.5	-9.5	-8.9	-2.7	560.0	561.2	562.9	100	100	100	WNW 2	WNW 2	NW 2	10≡*	9	10≡*	4.5	✶ ≡ n-13, 14¼-18, 19¼-n, [⊕ II
4	-8.8	-5.8	-7.7	-7.4	-1.2	562.3	562.4	562.4	85	14	41	ENE 1	NNE 2	W 3	1	1	1	.	
5	-6.8	-2.6	-5.2	-4.9	1.2	562.0	562.5	563.0	87	100	100	WSW 3	W 3	NW 3	10	10≡●	10≡	1.0	✶ 8½-12½, ●12½-18. ≡10½-n
6	-4.8	-4.0	-3.4	-4.1	1.9	561.6	561.8	561.2	96	60	100	SW 3	W 2	WSW 3	9	1	10≡	.	≡ 19¼-20½ mU, 20½-n
7	-1.4	-0.7	-6.4	-2.8	3.1	558.8	557.5	555.6	70	70	100	WSW 2	SSW 3	W 3	2	6	10≡*	2.3	✶ 20½-n, ≡ 19¾-n, ⌿ ⊕ p
8	-10.4	-6.9	-10.4	-9.2	-3.3	554.1	554.8	555.7	63	96	100	W 3	W 2	W 3	9	10≡△	10≡	3.9	✶△12⅜-15½, ✶ 16-17¼,*)
9	-8.6	-4.7	-8.3	-7.2	-1.4	554.5	554.3	553.2	76	67	100	WSW 3	SW 3	W 6	7	4	10≡*	1.8	✶ ≡ 20¼-n, ⌿ p, ⌿ III
10	-8.6	-6.1	-9.9	-8.2	-2.5	552.8	554.4	556.5	100	100	100	WSW 5	W 4	W 4	10≡	9	10≡*	8.6	△ 13½-15½, 17⅜-18⅜, *)
11	-10.6	-6.9	-10.7	-9.4	-3.8	556.7	557.5	558.9	100	99	100	WNW 2	WNW 2	NW 3	10≡*	10≡*	10≡	4.5	✶ n-8¾, △8¾-9, ✶ 10-20. ≡n-n
12	-9.4	-5.2	-9.5	-8.0	-2.5	559.3	560.0	560.4	85	80	40	N 0	E 0	NNW 2	3	10*	0	0.0	✶fl 11-13½, ≡ 8-19⅜ mU
13	-4.4	-4.9	-5.6	-5.0	0.4	559.4	559.1	559.2	15	22	100	W 2	WSW 3	W 4	1	1	10≡	9.7	✶ n (13./14.), ≡ 17½-n, ⌿ p-n
14	-6.2	-7.2	-9.9	-7.8	-2.5	558.4	559.5	561.4	100	100	100	W 4	WNW 3	NW 4	10≡*	10≡*	10≡*	22.7	✶ ≡ n-n, ⌿ l, p
15	-11.6	-7.6	-7.4	-8.9	-3.7	562.7	563.9	565.4	100	90	34	WNW 2	W 2	W 3	10≡*	1	4	0.1	✶ n-9, ≡ n-12½
16	-3.6	-1.4	-2.9	-2.6	2.4	565.1	565.5	564.5	25	35	79	W 3	WSW 3	WSW 3	5	7	0	.	
17	-1.0	1.4	-1.0	-0.2	4.7	564.5	565.3	564.8	70	60	57	W 3	WSW 2	WSW 2	6	9	10	.	
18	-0.9	2.3	-1.8	-0.1	4.7	563.4	562.9	562.2	59	68	82	ESE 2	SW 2	SW 2	10	10	9	1.0	✶ 15¼-15⅜, 19½-20⅜, ⊕ a
19	-1.8	0.7	-1.4	-0.8	3.8	561.1	561.8	562.3	100	100	100	W 3	W 2	SW 1	10≡*	10≡	6	1.0	✶ n-9½, 14½-15½, 17¼-18.*)
20	0.3	2.4	-0.8	0.6	5.1	561.5	561.7	561.2	84	80	100	W 1	WSW 2	W 2	9	6	10≡	2.5	✶ n (20./21.), ≡ 13-20 mU, 20-n
21	-0.9	0.6	-1.9	-0.7	3.6	560.2	560.6	560.7	100	100	100	W 2	W 2	NNW 2	10≡	10≡*	10≡	7.1	✶ 11½-13⅜, 15½-16⅜, *)
22	-4.9	-1.0	0.4	-1.8	2.4	561.4	563.1	564.3	100	12	4	W 2	NE 1	N 2	9	1	0	.	≡ n-6¼ mU
23	1.0	1.0	-0.2	0.6	4.6	564.4	565.6	565.7	1	45	12	W 2	W 2	N 1	1	1	0	.	
24	2.0	2.8	0.9	1.9	5.7	565.5	566.0	565.9	15	19	37	ENE 3	ESE 2	ESE 3	1	1	0	.	
25	4.2	2.7	0.8	2.6	6.3	565.3	565.4	563.6	28	60	85	ESE 2	SSW 2	SSW 3	1	1	8	.	
26	0.6	2.6	-1.0	0.7	4.2	562.3	561.8	560.7	70	79	100	SW 2	SSE 1	SE 2	10	10	3	0.0	✶fl 10⅜-10¾, 13¾-14½, 16-16¾
27	1.5	-1.0	-1.7	-0.4	2.9	558.5	558.1	557.8	76	97	100	S 1	WSW 2	S 1	5	10≡*	10	1.9	✶ 9-13⅜, 8-17 mU
28	-2.7	-2.7	-7.2	-4.2	-1.1	557.6	557.8	557.5	100	100	100	S 1	S 1	WNW 0	10≡	10≡*	10≡*	5.5	✶ 6⅜-7¼, 11¼-n, ≡ n-n mU
29	-8.8	-7.0	-10.0	-8.6	-5.7	556.4	557.4	557.8	100	100	100	NNE 2	N 1	NNE 1	10≡*	10≡*	10≡*	3.0	✶ n-n, ≡ n-n mU
30	-3.6	-5.4	-7.0	-5.3	-2.6	557.9	559.5	561.7	50	75	81	SW 2	SW 2	SW 3	3	1	6	.	≡ 13⅜-18 mU
Mittel	-4.5	-2.8	-5.1	-4.2	-	560.1	560.6	560.9	74	73	81				6.8	6.4	6.9	Summe 99.8	

*) 8. ≡ 12⅜-n, ⌿ p **10.** ✶ 19-n, ≡ n-n mU, ⌿ n-n, ⌿ a **19.** ≡ n-14¼, 17-n mU **21.** △ 17⅜-18½, 19⅜-20¼, ⌿ 18¼-18½, ≡ n-13⅜, 17⅜-n

April 1951
Beobachter: *Elvezio Chiesa*

St. Gotthard (Hospiz)

$\lambda = 8° 34'$, $\beta = 46° 33'$,
$H_b = 2095$ m, $G = -0.25$ mm.

1	-9.4	-1.9	-5.7	-5.7	-1.1				100	35	81	NW 1	SE 0	SE 1	10≡	0	0	.	≡ n-a
2	-5.9	-3.0	-3.8	-4.2	0.3				100	94	100	SE 1	SE 1	SE 1	10*≡	10≡	10*≡	34.5	✶ n-a, p-n, ≡ n-n
3	-7.2	-4.3	-7.4	-6.3	-1.8				100	100	100	NW 2	NW 2	NW 2	10≡	10≡	10≡	.	≡ n-n, ⋁ n-n
4	-10.9	-3.2	-6.3	-6.8	-2.4				100	64	48	NW 2	NW 2	NW 2	0	0	0	.	⋁ I
5	-5.1	-0.8	-3.3	-3.1	1.2				55	51	100	NW 2	NW 2	NW 1	6	6	3	.	
6	-6.2	3.5	-1.8	-1.5	2.7				100	76	87	NW 1	NW 2	NW 1	0	0	0	.	
7	-2.0	-0.5	-2.5	-1.7	2.4				100	100	100	SE 1	SE 2	SE 1	10≡	10≡	10*≡	38.5	✶ 17¼-n, ≡ n-n
8	-2.8	-3.2	-7.0	-4.3	-0.3				98	88	90	NW 1	SE 2	NW 1	6	9	0	.	
9	-7.6	-1.2	-4.2	-4.3	-0.5				75	66	100	SE 0	SE 2	SE 2	0	3	10*≡	15.8	✶ ≡ 17¼-n
10	-5.5	-1.2	-5.7	-4.1	-0.5				100	75	100	NW 0	SE 0	NW 2	6	0	10≡	.	≡ p-n
11	-6.8	-4.5	-7.4	-6.2	-2.7				100	100	100	NW 2	NW 2	NW 2	10≡	10≡	10≡	.	≡ n-n
12	-9.2	-5.1	-8.3	-7.5	-4.2				100	100	91	NW 2	NW 2	NW 2	6	3	0	.	
13	-6.7	2.5	-3.4	-2.5	0.6				45	24	98	NW 2	NW 1	NW 2	0	0	6	.	
14	-5.0	-2.4	-5.9	-4.4	-1.5				81	94	100	NW 1	NW 3	NW 3	0	10≡	10*≡	4.8	✶ p-n, ≡ 10¼-n, ⌿ a-n
15	-1.1	-4.0	-4.5	-5.2	-2.5				100	74	60	NW 1	NW 2	NW 1	10≡	0	0	.	≡ n-9½
16	-3.9	2.0	-3.7	-1.9	0.6				75	70	96	SE 1	SE 1	SE 0	6	3	0	.	
17	-3.8	6.7	0.0	1.0	3.3				74	45	100	SE 0	SE 1	SE 1	0	3	10	.	
18	0.4	-1.5	-2.4	-1.2	0.9				95	106	100	SE 1	SE 2	SE 2	10≡	10≡	10*≡	5.2	✶ p-n, ≡ n-n
19	-1.2	1.3	0.3	0.1	2.0				100	91	97	SE 1	SE 0	SE 0	10≡	10≡	9	.	≡ n-p
20	1.0	3.4	-0.8	1.2	2.9				86	71	100	SE 0	SE 0	SE 0	3	6	10≡	.	≡ 17¼-n
21	1.2	2.7	0.5	1.5	3.0				97	90	100	SE 0	NW 1	NW 1	6	6	6	.	
22	-1.2	0.3	-0.8	-0.6	0.7				100	82	84	NW 2	NW 2	NW 1	6	0	0	.	
23	-0.6	2.9	1.2	1.2	2.3				100	65	89	SE 0	NW 1	NW 1	10≡	0	0	.	≡ n-a
24	-2.0	6.9	-0.2	1.6	2.5				45	76	78	NW 1	SE 1	SE 0	0	0	0	.	
25	-0.2	4.1	1.3	1.7	2.4				81	67	94	SE 1	SE 1	SE 2	0	6	10	5.9	✶ n (25./26.)
26	0.3	1.8	-0.9	0.4	0.9				99	91	100	SE 1	SE 1	SE 2	10●*≡	10*≡	10*≡	13.6	● ✶ n-a, ✶ a-n, ≡ n-n
27	0.8	2.9	0.3	1.3	1.6				100	72	94	SE 1	SE 1	SE 1	10≡	10≡	10	5.3	✶ n (27./28.), ≡ n-p
28	-0.8	1.9	-5.5	-1.5	-1.4				100	81	99	SE 1	SE 1	NW 2	10≡	10●≡	10*≡	31.4	● a-p, ✶ p-n, ≡ n-n
29	-6.1	-5.5	-6.1	-5.9	-6.0				100	100	100	NW 3	NW 2	NW 2	10*≡	10≡	10*≡	49.2	✶ n-a, p-n, ≡ n-n, ⌿ l
30	-6.3	-1.7	-3.9	-4.0	-4.3				100	100	100	SE 1	SE 1	SE 1	10	10*≡	10*≡	12.4	✶ 8⅜-n, ≡ n-n
Mittel	-4.0	0.0	-3.3	-2.4	—	—	—	—	90	78	93				6.2	5.5	6.1	Summe 216.6	

Barometer defekt

$\lambda = 7°\,26'$, $\beta = 46°\,57'$,
$H_b = 572.2$ m, $G = 0.00$ mm.

Bern

Mai 1951
Beobachter: *Meteorol. Observatorium.*

Tag	Lufttemperatur 7³⁰	13³⁰	21³⁰	Mittel	Abweich. vom Normalst	Luftdruck 7³⁰	13³⁰	21³⁰	Relative Feuchtigkeit 7³⁰	13³⁰	21³⁰	Windrichtung und Stärke 7³⁰	13³⁰	21³⁰	Bewölkung 7³⁰	13³⁰	21³⁰	Niederschlag	Witterung
1	4.6	14.6	11.0	10.1	−0.3	713.6	711.5	710.3	85	46	55	E 1	S 1	NW 1	1	3	1	.	⊏ l
2	7.4	17.2	13.4	12.7	2.1	712.0	710.5	710.0	78	47	63	SE 1	NNE 1	E 1	1	2	0	.	△ l
3	8.7	18.5	13.9	13.7	3.0	709.2	707.4	706.8	84	49	72	SE 1	NNE 1	NNE 1	8	8	9	6.1	⊼ 16¾-18¼, ● 23¾-23¾, △ l
4	10.9	13.2	8.2	10.8	−0.1	706.9	707.5	710.3	89	79	91	W 1	S 1	SE 1	10	10●	9	4.2	● 1³/₄-3¹/₄, 4¹/₄-4³/₄, 6¹/₂-18¹/₄ mU
5	7.9	15.6	11.1	11.5	0.5	710.7	710.1	709.6	85	39	60	W 1	WSW 1	SE 1	9	3	0	.	≡ früh, △ l
6	7.8	17.9	11.9	12.5	1.4	708.9	707.0	705.2	76	51	73	S 1	SSW 1	N 1	1	2	9	.	△ l
7	10.4	13.7	12.2	12.1	0.8	705.0	704.9	705.0	84	67	67	W 1	W 1	WSW 1	10	9	9	2.5	●tr 12, 14, ● 22¹/₂-24, ⊼ 16¹/₄-16¹/₂
8	8.3	13.1	10.2	10.5	−0.9	704.2	703.1	705.1	96	52	69	S 1	WSW 2	WSW 2	9	9●	9	0.0	● 0-0³/₄, 13¹/₄-13³/₄, 20³/₄, 21¹/₄
9	7.8	13.4	9.9	10.4	−1.1	706.6	705.8	704.9	89	53	82	ESE 1	ENE 2	NNE 1	8	9	10	0.5	● 21¹/₄-21¹/₂
10	8.7	10.1	8.4	9.1	−2.6	702.9	**702.4**	703.9	95	98	96	NNE 1	ENE 1	NE 1	10●	10●	10●	**12.0**	● 5¹/₂-24
11	7.1	8.5	6.5	7.4	−4.4	706.1	708.1	708.7	91	76	75	NNE 1	ENE 2	NE 2	10	10	9	.	
12	5.5	9.6	8.2	7.8	−4.1	709.4	709.4	709.7	85	69	77	NNE 2	NNE 2	NE 1	10	10	9	.	
13	7.6	13.1	10.6	10.4	−1.7	709.1	709.1	709.5	86	44	72	NE 1	NNE 1	WSW 1	10	8	7	0.0	△ l
14	8.8	6.7	5.8	7.1	−5.1	708.6	710.3	712.0	90	91	96	S 1	NW 1	SE 1	10	10●	10	5.3	●tr 6-7, 7¹/₂-8³/₄, ● 9-20 mU
15	4.9	7.1	6.2	6.1	−6.2	712.2	712.2	712.2	98	90	87	NNE 1	SE 1	SE 1	10●	10	10	4.7	● 6³/₄-9¹/₂, 10-13¹/₄, 13³/₄-14¹/₄
16	6.3	11.4	8.2	8.6	−3.8	708.7	706.2	705.6	88	53	84	S 1	W 2	NW 1	9	9	8	2.6	● 12-13¹/₄, 14¹/₂-14³/₄, 18-18¹/₄,
17	7.0	9.0	6.9	7.6	−5.0	706.0	706.1	707.5	97	82	90	NW 1	WNW 1	SSW 1	10●	10	9	0.6	● 0-10¹/₄ [Ψ III
18	8.5	15.1	13.0	12.2	−0.5	708.6	708.1	707.2	83	46	59	SE 1	SE 1	NE 1	9	4	5	.	△ l
19	9.9	17.9	14.2	14.0	1.2	707.1	704.9	704.9	81	49	52	NE 1	NNE 1	E 1	8	9	9	.	△ l
20	9.8	14.1	12.4	12.1	−0.8	707.9	707.8	708.6	79	67	78	WSW 1	S 1	N 1	10	9	8	0.9	
21	11.1	18.8	13.7	14.5	1.4	711.2	710.0	710.2	89	44	66	SE 1	WSW 1	S 1	7	4	1	0.0	● 4³/₄-7
22	10.6	16.0	13.5	13.4	0.2	710.4	712.3	713.4	85	72	90	W 1	SE 1	SSE 1	10●	9	7	6.0	● 7¹/₂-10¹/₄, 14, 15¹/₂-16³/₄, ⊼ 16-
23	12.6	22.2	17.1	17.3	4.0	714.2	713.4	714.0	78	49	80	SSE 1	WNW 1	SSW 1	3	9	1	.	△ l [16³/₄, ⌒ 16³/₄
24	15.2	**25.6**	18.6	19.8	6.4	**714.4**	714.0	713.3	70	**37**	57	SE 1	WSW 2	SSW 1	1	6	4	.	△ l
25	16.4	24.2	18.7	19.8	6.3	711.9	711.0	709.9	71	43	80	WNW 1	NW 1	NNE 1	7	7	7	0.0	△ l
26	15.7	19.7	14.4	16.6	2.9	707.1	705.8	705.0	90	60	80	NE 1	WNW 1	W 2	9	10	9	5.7	●tr 5-6, ● 14-17³/₄, 23¹/₄-24
27	10.1	10.4	9.7	10.1	−3.7	705.4	704.0	706.1	99	98	90	NNW 1	NNE 1	W 1	10●	10●	9	11.3	● 0-21¹/₄
28	10.2	17.2	11.6	13.0	−0.9	708.1	707.9	709.5	84	51	72	E 1	WSW 1	ESE 1	2	4	8	.	
29	10.6	17.2	12.6	13.5	−0.5	710.2	709.3	707.9	86	54	86	SE 1	SE 1	SE 1	9	9●	8●	1.9	● 13¹/₂, 17-17³/₄, 18-19, 21¹/₄-21³/₄,
30	9.6	15.9	12.4	12.6	−1.5	709.6	708.9	710.6	99	68	97	NE 1	NNE 2	SE 1	10≡	8	4	0.9	● 17¹/₂-19¹/₄, ≡ n-a [△ l
31	12.1	15.5	11.7	13.1	−1.1	710.1	709.7	710.7	99	77	92	NNE 1	NNE 1	SSW 3	10●	9	10●	10.0	● 7¹/₂-7³/₄, ● 21¹/₄-24, ⊼ 21¹/₂-
																		Summe	[22³/₄
Mittel	9.4	14.9	11.5	11.9	—	708.9	708.3	708.6	87	61	77				7.8	7.7	7.0	75.2	

$\lambda = 6°\,57'$, $\beta = 47°\,0'$,
$H_b = 487.3$ m, $G = 0.02$ mm.

Neuchâtel

Mai 1951
Beobachter: *Observatorium.*

1	4.9	16.5	12.1	11.2	0.1	721.4	719.1	717.8	83	**37**	54	E 0	E 2	NE 1	0	1	0	.	
2	8.3	18.6	13.1	13.3	2.0	719.5	718.1	717.3	82	62	60	E 0	SE 1	N 0	7	1	0	.	
3	9.6	19.9	13.1	14.2	2.8	716.8	714.8	714.0	82	49	67	E 0	S 1	N 0	3	6	9	4.4	
4	10.4	10.7	9.5	10.2	−1.4	714.4	715.2	717.8	97	94	88	W 1	SW 2	SW 0	10●	10●	10	3.5	● 4¹/₄-11¹/₄, 13-14
5	8.4	15.7	10.6	11.6	−0.1	718.2	717.6	717.0	84	46	64	SW 1	SW 1	NW 0	3	8	0	.	
6	8.4	18.4	14.4	13.7	1.9	716.3	714.4	712.4	82	53	51	E 1	SE 1	SW 1	1	2	10	1.4	● 23¹/₄-0¹/₄
7	9.7	14.2	11.4	11.8	−0.2	712.2	712.3	712.3	93	74	75	SW 1	SW 1	NW 0	10●	7	10	3.1	● 5-11¹/₂
8	9.7	17.1	9.8	12.2	0.1	711.3	710.0	712.6	87	54	85	SW 0	S 1	SW 2	5	4	9	0.9	● 20¹/₄-20¹/₂
9	10.0	17.1	11.3	12.8	0.6	714.0	713.1	712.1	83	48	61	SE 1	E 2	N 3	4	6	9	.	⌿ 17-22
10	10.1	11.4	9.2	10.2	−2.2	710.1	**709.6**	711.7	77	80	92	N 2	NE 2	NE 1	10	10●	10●	2.0	● 12¹/₄-13¹/₂, 18¹/₂-22, ⌿ a
11	8.3	10.2	7.8	8.8	−3.7	713.6	715.5	716.4	82	64	69	NE 2	NE 3	NE 3	10	10	10	.	
12	6.5	11.6	9.6	9.2	−3.4	717.2	717.0	717.4	75	62	65	NE 2	NE 2	NE 2	10	10	10	.	
13	8.0	16.9	10.5	11.8	−1.0	716.7	716.7	717.0	81	49	58	E 0	S 1	NW 0	9	5	9	0.3	
14	7.3	9.4	7.0	7.9	−5.0	716.0	717.8	719.7	79	64	87	NW 3	N 3	E 0	10	10	9	1.7	● 7¹/₄-8¹/₄, ⛆ 21³/₄
15	7.4	12.0	7.6	9.0	−4.0	719.9	719.7	719.6	84	48	61	E 0	N 2	N 3	10	4	10	.	
16	6.7	10.5	8.7	8.6	−4.5	717.8	716.1	715.0	87	59	85	NW 0	W 1	NW 0	10	10	10●	8.2	● 20³/₄-24
17	7.2	8.1	6.8	7.4	−5.9	713.5	714.0	715.2	96	89	97	NE 0	SW 1	SW 0	10●	10●	9	10.3	● 0-21
18	7.8	16.2	13.7	12.6	−0.8	716.2	715.7	714.6	93	50	58	SW 0	S 0	NE 2	9	1	2	.	
19	10.6	18.3	15.2	14.7	1.2	714.3	712.1	712.3	84	45	62	E 1	E 2	NE 0	5	10	10	.	
20	10.9	16.2	13.3	13.5	−0.1	715.4	715.4	716.2	81	63	68	SW 0	SE 0	NE 0	10	5	4	0.1	
21	11.9	19.5	13.8	15.1	1.3	718.8	717.6	717.8	80	46	57	W 0	SW 2	NW 0	2	7	0	0.3	● 4³/₄-5¹/₂
22	10.0	17.0	15.8	14.3	0.4	718.2	719.8	720.6	93	73	58	W 0	SW 1	SW 0	10	8	8	1.6	● 6¹/₄-9³/₄
23	11.9	18.9	17.3	16.0	2.0	721.7	721.0	721.3	90	61	75	W 1	SW 0	SW 0	1	9	1	0.1	⛆ 16
24	14.4	24.9	17.2	18.8	4.7	**721.9**	721.5	720.3	87	41	67	SW 0	SW 1	SW 0	1	3	2	.	
25	15.6	**25.4**	18.6	19.9	5.7	719.5	718.6	717.2	82	39	74	SW 1	SW 1	N 0	1	6	7	0.1	⛆ 18¹/₄
26	17.5	18.3	14.3	16.7	2.3	714.2	713.3	712.4	78	68	63	E 1	SW 2	NW 3	9	10	10●	8.8	● 14-15³/₄, 20¹/₂-24, ⌿ 20-22³/₄
27	10.0	11.2	9.4	10.2	−4.3	712.8	711.0	713.7	97	92	77	W 0	NE 2	W 2	10●	10	9	**12.2**	● 0-12¹/₄, 16¹/₂-17³/₄
28	9.2	18.2	11.4	12.9	−1.7	715.6	715.2	716.8	88	55	87	NE 1	SW 1	NW 0	2	6	9	2.3	● 19³/₄-20¹/₄
29	11.5	19.2	14.0	14.9	0.2	717.6	717.0	717.3	87	55	74	NW 0	S 1	NE 1	9	2	2	.	
30	12.9	18.2	12.7	14.6	−0.2	717.1	716.4	718.3	81	64	97	E 1	E 2	NE 0	9	8	10●	1.8	● 16¹/₂-21³/₄
31	13.1	16.5	12.6	14.1	−0.8	717.6	717.3	719.0	92	73	98	NE 1	NE 2	SW 2	10	10	10	8.0	● 3¹/₂-4, 19³/₄-23¹/₂ mU
																		Summe	
Mittel	9.9	16.0	12.0	12.6	—	716.5	715.9	716.2	85	60	72				6.8	6.7	7.0	71.1	

Mai 1951
Beobachter: *Frl. H. Nager.*

Altdorf

$\lambda = 8° 39'$, $\beta = 46° 53'$,
$H_b = 456.3$ m, $G = -0.05$ mm.

Tag	Lufttemperatur					Luftdruck			Relative Feuchtigkeit			Windrichtung und Stärke			Bewölkung			Niederschlag	Witterung
	7^{30}	13^{30}	21^{30}	Mittel	Abweich. vom Normalst	7^{30}	13^{30}	21^{30}	7^{30}	13^{30}	21^{30}	7^{30}	13^{30}	21^{30}	7^{30}	13^{30}	21^{30}		
1	4.4	16.7	8.8	10.0	−1.2	724.0	721.1	720.8	98	29	65	NE 0	SW 2	E 0	0	6	0	.	
2	7.0	16.9	13.3	12.4	1.1	722.3	720.1	720.1	95	49	53	E 0	NW 1	E 0	0	0	0	.	
3	8.4	17.4	12.5	12.8	1.3	718.8	716.8	716.2	93	46	65	S 0	NE 1	SW 0	3	3	7	.	
4	11.3	12.9	9.7	11.3	−0.3	716.5	717.1	719.5	80	81	100	E 0	NW 1	NW 0	10	10	10	6.4	● 15–18¼
5	7.8	15 7	10.4	11.3	−0.5	720.4	719.4	720.3	100	40	63	E 0	NW 1	NW 0	3	6	5	.	
6	8.1	19.9	16.4	14.8	2.9	718.5	715.9	714.8	86	32	32	SE 0	S 2	S 2	0	0	7	.	
7	12.1	17.5	9.8	13.1	1.0	713.7	713.3	714.8	70	46	85	NW 1	S 1	E 0	10	7	0	.	
8	9.9	16.8	10.3	12.3	0.1	713.4	711.7	715.3	91	46	93	N 0	NW 2	NW 0	6	8	10	1.5	● n (8. 9.)
9	9.4	15.3	11.8	12.2	−0.1	716 3	715.6	713.6	98	50	85	NW 0	NW 1	NW 0	9	8	10	13.7	● n (9./10.)
10	9.7	10.6	9.2	9.8	−2.7	711.5	711.5	713.2	100	95	100	NW 0	NE 0	N 0	10●	10●	10●	14.0	● n–n
11	9.9	10.7	9.3	10.0	−2.6	715.7	717.8	719.0	75	67	93	NE 0	N 2	NW 0	10	10	10	0.1	● a
12	7.9	10.5	9.3	9.2	−3.6	719.5	720.0	720.2	89	60	95	N 0	N 0	NW 0	10	10	10	.	
13	9.0	10.7	9.2	9.6	−3.3	719.2	719.3	719.9	100	67	97	NW 0	NW 1	W 0	10	10	10	1.6	● n (13./14.)
14	8.7	8.3	7.2	8.1	−4.9	718 6	719.6	722.4	100	92	100	NW 0	W 0	SE 0	10●	10	10●	6.6	● n–n mU
15	7.4	10.4	6.8	8.2	−5.0	721.8	721.5	721.6	100	58	93	E 0	NW 1	NW 1	10	10	10●	2.6	● p–n mU
16	7.0	12.0	7.4	8.8	−4.5	720.5	718.2	717.5	96	46	93	N 0	NW 2	NW 0	10	10	0	.	
17	8.2	17.6	9.7	11.8	−1.6	715.7	715.6	717.1	88	66	100	NW 0	NW 1	NW 0	7	9	8	0.4	● 18–18½
18	9.4	15.3	14.9	13.2	−0.3	718.5	717.9	718.0	99	48	91	W 0	NW 1	SE 3	8	5	4	.	
19	15.8	19.9	15.5	17.1	3.4	717.1	715.6	715.0	32	34	35	E 1	SE 2	S 0	7	5	7	.	
20	12.8	15.7	11.7	13.4	−0.4	717.7	716.8	719.0	74	60	92	NW 0	NW 1	NE 0	8	10	2	3.9	● n (20./21.)
21	11.5	18.9	13.3	14.6	0.7	721.9	720.0	720.8	100	44	77	NE 0	N 1	SW 0	10●	7	6	0.0	● a
22	13.8	15.9	12.5	14.1	0.1	719.4	721.5	721 3	63	73	100	NE 0	NW 0	NW 0	10	10	8	1.9	● 16–18¼
23	11.4	21.3	14.9	15.9	1.8	724.0	723.3	724.7	99	46	62	E 0	NW 0	NE 0	0	4	2	.	
24	15.8	23.3	18.9	19.3	5.1	723.8	723.5	723.1	66	43	45	E 0	W 0	NW 0	3	6	8	.	
25	16.5	24.8	18.2	19.8	5.5	721.0	720.4	720.3	60	43	70	NW 0	NW 1	NW 0	4	4	7	0.0	●tr n (25 /26.)
26	18.4	25.3	20.9	21.5	7.1	717.3	714.6	714.2	63	33	35	SE 1	E 2	SE 3	10	7	7	8.2	● n (26 /27.)
27	12.5	13.7	11.2	12.5	−2.0	714.9	713.6	716.6	100	80	100	E 0	E 0	SE 0	10●	10●	10●	45.1	● n–n
28	10.5	17.8	10.1	12.8	−1.8	718.3	718.1	720.5	95	47	100	W 0	NW 0	NE 0	8	7	8	4.0	● 15–17½
29	10.6	18.7	14.8	14.7	0.0	720.1	718.3	720.1	95	50	73	E 0	NW 0	NW 0	4	6	10	.	
30	12.4	16.9	14.8	14.7	−0.1	719.0	719.2	720.4	88	66	90	NW 0	W 1	W 0	2	6	10	.	
31	13.4	18.6	14.8	15.6	0.7	720.1	719.0	719.2	97	66	93	N 0	NW 2	NW 0	10	6	8	13.7	● n (31./1.)
Mittel	10.7	16.3	12.2	13.1	—	718.7	718.0	718 8	87	55	80				6.8	7.1	6.9	Summe 123.7	

Mai 1951
Beobachter: *Observatorium.*

Genève

$\lambda = 6° 9'$, $\beta = 46° 12'$,
$H_b = 405.0$ m, $G = -0.03$ mm.

1	4.5	14.0	13.0	10.5	−0.9	727.3	725.6	724.6	84	51	64	E 0	NNW 1	E 0	0	1	3	.	
2	10 0	15.6	12.6	12 7	1.1	726.0	724.9	724.1	76	53	74	NNW 1	NW 1	WNW 1	4	1	5	.	
3	9.5	21.4	10.3	13.7	2.0	723.8	724.0	724.0	90	55	78	E 0	NNW 1	NNW 0	5	8	10	5.5	● n (3./4.)
4	11.0	12.4	10.0	11.1	−0 8	721.6	723.8	724.9	91	76	74	NNE 1	ENE 1	E 0	10	10	3	10 4	● n–a
5	9.5	18.7	10.4	12.9	0.9	725.4	724.5	723.5	87	42	76	WNW 1	NNW 1	NNE 0	0	3	2	.	
6	9 6	15.0	13.4	12.7	0.5	722.7	721.2	720.0	81	72	77	NNW 1	NNW 1	NNW 0	1	3	9	5.0	● n (6./7.)
7	9.2	17.0	11.0	12.4	0.1	719.8	719.4	719.6	89	56	75	WNW 0	SE 1	SE 1	10	5	8	.	
8	9.0	17.2	10.7	12.3	−0.2	718 6	717.4	719.8	86	50	78	N 1	SE 1	NNE 1	9	8	6	.	
9	10.0	16.4	9.8	12.1	−0.5	720.6	719 3	719 3	89	51	86	NW 1	NW 1	N 1	2	5	10●	8.5	⚿ ● 17¼, ● abd–n
10	10.6	11.4	10.4	10.8	−1.9	716.4	715.9	717.8	90	75	84	E 1	NNE 1	NNE 3	10	10●	10	0.1	⛆ 13½
11	10.2	12.0	9.0	10.4	−2.5	719.8	721.0	723.0	72	63	71	NNE 3	NNE 2	NNE 2	10	9	10	.	
12	8.6	12.4	10.0	10.3	−2.7	724 1	723.3	723.9	71	65	72	NNE 1	NNE 2	ENE 1	10	7	4	.	
13	9.0	15.0	11.7	11.9	−1.2	723.6	724.1	724.3	84	68	81	E 0	SSE 1	S 0	7	9	10	1.8	● n (13./14.)
14	7.4	9.3	8 4	8.4	−4.9	724.2	725.0	726.4	87	77	81	E 0	ESE 1	ENE 0	10	8	9	0.1	● a
15	8.0	11.0	8.6	9.2	−4.2	727.2	726.6	727.2	78	50	67	ENE 1	NNE 2	ENE 0	10	7	2	.	
16	6.0	15.8	12.0	11.3	−2.2	725.2	722.6	722.0	91	48	65	E 0	W 1	S 0	1	6	9	6.8	● n (16./17.)
17	8.0	9.3	8.0	8.4	−5.3	720.8	721.1	722.7	94	83	92	E 0	ESE 1	NE 1	10	10●	10●	2.1	● a–n mU
18	8 4	14.0	12.4	11.6	−2.2	723 6	722.6	722.0	92	57	76	NE 1	ENE 1	E 0	1	9	4	0.1	● 16–18
19	10.0	17.6	13.3	13.6	−0.3	720.7	719.0	719.8	92	56	62	ENE 1	NNE 1	E 0	4	7	10	0.1	⛆ 20½
20	9.5	19.0	14.6	14.4	0.4	722.4	721.5	723.2	80	61	61	ESE 0	S 1	SSW 1	2	3	5	.	
21	16.0	21.4	16.2	17.9	3.7	725.5	724.6	724.4	75	46	63	E 0	SSW 1	SW 0	5	4	5	1.3	● n (21 /22.)
22	12.2	16.0	14.7	14.3	0.0	726.0	726.8	728.2	87	74	85	ENE 1	NNE 1	ENE 0	10	6	3	0.0	⛆ 12
23	14.4	24 0	20.5	19.6	5.2	728.7	727.2	728.0	79	60	66	ENE 1	S 2	SSW 1	0	2	1	.	
24	18.5	26 2	22.8	22.5	8.0	729 0	728 5	726.8	71	47	77	SW 0	SW 0	E 0	6	5	3	.	
25	17.8	28.8	18.6	21.1	6.4	726.7	725.2	724.0	80	43	72	E 1	WSW 1	WNW 0	2	3	1	0.8	● n (25./26.)
26	16.0	17.7	13.8	15.8	1.0	721.8	719.6	720.3	89	77	86	E 0	NNE 1	SSW 2	10●	9	9	34.8	● n–a, n (26./27.), ⛆ 19¾
27	10.8	13.8	10.4	11.7	−3.2	718.0	718.2	721.7	96	91	82	S 0	SSE 0	SE 1	10●	10●	9	9.9	● n–p mU
28	11 0	20.0	14.4	15.1	0.1	722.9	722.9	725.0	91	44	74	E 0	SSW 1	E 0	3	2	9	.	
29	14.0	18.2	14.8	15.7	0.5	725.0	723.6	723.8	74	50	72	E 0	NNE 1	NNE 1	2	2	1	.	
30	13.4	16.9	13.4	14.6	−0.7	723.9	723.8	723.9	82	72	93	NE 1	NW 1	NNE 1	9	10●	10●	3.6	● 12½–n mU
31	14.5	18.6	12.1	15.1	−0.3	723.6	722.9	726.1	94	69	89	E 0	NNE 1	ENE 1	3	5	10●	34.3	⛆ 17, ● abd–n, ⊤ 17
Mittel	10.9	16.6	12.6	13.4	—	723.4	722.8	723.4	85	61	76				5.7	6.0	6.5	Summe 125.2	

$\lambda = 8° 34'$, $\beta = 47° 23'$,
$H_b = 569.4$ m, $G = 0.03$ mm

Zürich

Mai 1951
Beobachter: *Meteorol. Zentralanstalt.*

Tag	Lufttemperatur 7³⁰	13³⁰	21³⁰	Mittel	Abweich. vom Normalst	Luftdruck 7³⁰	13³⁰	21³⁰	Relative Feuchtigkeit 7³⁰	13³⁰	21³⁰	Windrichtung und Stärke 7³⁰	13³⁰	21³⁰	Bewölkung 7³⁰	13³⁰	21³⁰	Niederschlag	Witterung
1	4 6	15.9	9.2	9.9	0.0	714.4	712.4	711.0	80	**35**	63	ENE 1	NE 1	NE 1	1	7	1	.	⊔ I
2	8.1	18.6	12.3	13.0	2.9	712.2	711.5	710.9	77	40	51	SSW 1	NNE 1	E 1	1	1	6	.	△ I
3	10.8	20.2	12.7	14.6	4.4	709.8	708.3	707.2	64	46	81	NE 1	NE 1	E 1	3	3	9	0.0	⛥ $19^1/_4$, $20^1/_4$
4	11.0	13.5	8.2	10.9	0.5	707.3	707.7	710.4	88	75	87	S 1	SSE 1	SSW 1	10	9	9	5.6	● $10^1/_4$–$12^1/_4$ mU, $15^1/_4$–$20^1/_4$
5	8.5	15.5	9.7	11.4	0.6	710.9	710.6	710.6	83	50	79	S 1	WNW 1	S 1	1	6	0	.	△ I
6	8.5	20.2	12.5	13.7	3.0	709.5	707.7	706.0	80	36	56	SSW 1	NNE 1	NE 1	0	1	9	.	△ I
7	10.6	13.3	8.9	10.9	0.0	705.2	705.2	705.3	83	67	88	SW 1	W 2	NE 1	10	9	6	0.3	● 15–16
8	9.7	16.0	8.9	11.5	0.5	704.6	703.1	705.6	80	51	95	S 1	W 1	ESE 1	3	6	10●	4.3	● $19^1/_4$–$24^1/_4$
9	8.3	15.8	9.2	11.1	−0.1	707.3	706.8	705.7	97	53	97	SSE 1	NE 1	N 1	10	7	10●	2.1	⛢ $15^3/_4$, ● $17^1/_4$–$17^1/_2$, ⛥ $21^1/_4$–22
10	8.8	11.0	8.2	9.3	−2.1	703.0	**702.7**	704.8	96	85	93	NW 1	N 1	N 1	10	10	10●	6.7	● $8^1/_2$–n mU
11	6 6	6.2	5.9	6.2	−5.3	707.2	709.7	710.1	96	87	85	NNE 1	NNE 1	ENE 1	10●	10●	9	0.2	● 5–$8^1/_4$, a-p mU
12	5.3	7.9	7.5	6.9	−4.8	710.1	710.8	710.8	83	73	90	NE 1	NE 1	E 1	10	10	10	.	
13	6.2	15.2	10.8	10.7	−0.1	710.0	709.9	709.8	80	46	60	NE 1	SW 1	S 1	9	8	10	0.1	
14	9.3	7.1	5.5	7.3	−4.6	709.0	710.3	712.2	74	92	99	SSW 1	N 1	S 1	10	10●,	10	7.0	● ● $10^1/_4$–$16^1/_4$, ● $18^1/_4$–21, $23^1/_2$–
15	6.4	7.3	4.6	6.1	−5.9	712.5	712.6	712.5	90	84	98	NNW 1	S 1	ENE 1	10	10	10	3.8	● $12^1/_4$–15 mU, 18–$18^1/_4$ [$24^3/_4$
16	6.4	8.5	7.5	7.5	−4.7	710.7	709.5	708.7	82	73	86	SSW 1	W 2	NE 1	10	10	8	1.7	● $10^1/_4$–$10^3/_4$, $11^1/_4$–$12^1/_4$
17	6.6	12.5	7.9	9.0	−3.3	706.9	706.5	707.7	92	60	90	ENE 1	ENE 1	WNW 1	10	10	6	0.0	●tr a
18	8.9	16.4	10.8	12.0	−0.5	709.1	709.3	708.5	82	50	71	SW 1	N 1	ENE 1	10	3	2	.	
19	9.9	21.3	13.4	14.9	2.3	708.1	705.9	705.6	73	41	52	ENE 1	NNE 1	ENE 1	3	3	9	.	△ I
20	10.2	14.1	12.7	12.3	−0.4	708.4	708.3	709.3	81	67	80	WSW 1	WSW 1	WNW 1	10	9	8	0.5	
21	10.5	17.9	14.3	14.2	1.3	711.8	710.8	711.1	86	48	53	SW 1	WNW 1	W 1	10●	5	9	0.4	● $6^3/_4$–$8^3/_4$
22	12.4	16.4	11.4	13.4	0.4	710.8	712.5	714.0	77	64	96	SSW 1	SSW 2	ENE 1	10	9	6	7.9	● $8^1/_4$–$10^1/_2$, $14^1/_4$–$15^1/_2$, $17^3/_4$–
23	12.3	22.2	17.3	17.3	4.1	714.4	714.1	714.2	87	46	62	SSW 1	SW 1	S 0	6	7	2	0.0	●tr a [$18^3/_4$, ⛥ $16^1/_2$
24	15 7	**26 0**	18.1	19.9	6.6	**714.6**	714.3	713.5	65	45	63	WSW 1	SSW 1	ENE 1	3	3	9	.	
25	16.7	25.5	17.3	19.8	6.4	712.0	711.6	711.1	72	47	**82**	NE 1	**W** 1	W 1	3	8	9	0.2	● $20^1/_2$, △ I
26	16.2	23.6	15.8	18.5	4.9	708.1	705.9	705.1	92	55	80	SSW 1	SE 1	**W** 0	9	9	9	0.2	● 5–$5^1/_4$, $23^3/_4$–$0^1/_4$
27	11.7	12.7	10.3	11.6	−2.1	706.1	705.2	706.4	93	75	97	SSW 1	NW 1	S 1	10	10	10●	11.0	● $10^1/_4$–$10^3/_4$, $17^3/_4$–n, ⛢ $16^1/_2$
28	9 9	16.1	10.5	12.2	−1.6	708.7	708.7	710.2	75	49	77	SSE 1	S 1	SE 1	3	4	1	1.1	● $16^3/_4$–$17^1/_2$
29	10.8	20.7	11.9	14.5	0.6	710.8	710.1	711.0	82	47	97	SSW 1	NNE 1	SSW 1	9	4	10	7.6	● 19–$19^3/_4$, $20^1/_2$–$23^3/_4$
30	11.7	13.7	12.4	12.6	−1.4	710.4	710.5	710.9	88	73	96	NE 1	NNW 1	N 0	3	10	9	**16.0**	● $20^1/_4$–$21^1/_4$, ⛥ $20^1/_2$–21
31	11.2	15.8	13.6	13.5	−0.6	711.2	711.0	710.2	93	68	81	NE 1	NE 1	NE 2	10	10	9	5 6	● n (31./1.)
																		Summe	
Mittel	9 8	15.7	11.0	12.1	—	709.5	709.1	709 4	83	59	80				7.0	7.1	7.6	82.3	

$\lambda = 6° 32'$, $\beta = 46° 51'$
$H_b = 1589$ m, $G = -0{,}13$ mm

Chasseron

Mai 1951
Beobachter: *R. Colomb*

1	−0.2	3.8	4.2	2.6	—	629.4	628.8	628.2	71	55	66	E 2	ESE 2	E 2	1	2	5	.	
2	3.2	7.9	5.2	5.4	—	628.7	629.0	628.4	76	65	91	W 1	ESE 1	NNE 2	9	4	1	.	
3	6.2	10.0	6.1	7.4	—	627.1	626.6	625.5	67	66	74	E 2	WSW 1	SE 1	6	7	7	5.3	● n (3./4.)
4	3.0	1.9	1.6	2.2	—	624 7	625.2	626.9	98	100	98	SSW 2	WNW 3	SW 2	10●≡	10●≡	10≡	8.4	● $4^1/_2$–$15^3/_4$, ≡ 7–$17^1/_4$, 20–n
5	0.4	5.6	4.7	3.6	—	627.0	627.8	627.5	99	83	69	S 2	S 1	— 0	7	6	5	0.6	△ $15^3/_4$–16
6	4.1	7.3	3.4	4.9	—	626.0	625.5	624.1	74	55	98	ESE 2	SSE 1	W 1	2	7	10●≡	4.1	● $20^1/_2$–n, ≡ $20^1/_4$–n
7	1.0	3.1	3.0	2.4	—	622.3	622.5	622.8	99	98	92	W 1	SSW 2	S 2	10●	10	9	3.2	● n–$11^1/_4$ mU, $17^1/_4$–$17^1/_2$,*)
8	1.0	2.2	1.0	1.4	—	621.1	621.1	622.4	97	89	100	SSE 2	S 1	WSW 2	7	9●▲	10≡	16.1	● ⛥ ▲ $13^1/_4$–14, *)
9	1.8	3.3	1.2	2.1	—	623.5	623.7	622 5	95	93	100	S 1	NNE 1	N 2	7	7	1 ●≡	3.3	△ $12^3/_4$–$13^1/_4$, ● 20–n, ≡ $17^1/_4$–n
10	1.7	1.9	2.2	1.9	—	620.6	**620.0**	621.2	100	100	100	N 2	N 2	NNE 3	10≡	10●≡	10≡	12.1	● $11^1/_4$–$15^3/_4$, $17^1/_4$–$18^1/_4$, ≡ n–n
11	0.0	0.1	−0.8	−0.2	—	622.4	624.3	624.2	100	100	100	ENE 2	E 2	E 3	10≡	10≡	10≡	.	≡ n–n
12	0.2	2.1	−0.2	0.7	—	625.4	625.9	626.1	98	99	100	SSW 2	NE 1	E 2	5	10≡	10≡	.	≡ $8^3/_4$–n
13	−0.6	4.7	2.3	2.1	—	625.6	626.7	627.2	100	56	75	ENE 1	N 1	NW 2	10≡	6	9	1.1	≡ n–$8^1/_4$
14	−0.9	−1.6	−1.4	−1.3	—	625.0	626.5	627.6	98	100	100	NW 2	NNW 2	NNW 2	10*≡	10≡	10≡	8.6	✳ 6–$9^1/_4$, 15–$16^1/_2$, ≡ $5^1/_4$–n
15	−1.8	−1.4	−2 2	−1.8	—	627.6	628.1	628.1	100	100	100	NNW 2	NNW 2	NNW 2	10≡	10≡	10*≡	1.2	✳ 19–n, ≡ n–n
16	−1.7	0.0	0.2	−0.5	—	626.2	625.3	624.5	100	100	98	WNW 2	W 2	SSW 2	10≡	10≡	10*≡	8.6	✳ ● $8^3/_4$–$10^3/_4$, $20^1/_4$–n, *)
17	−0.4	0.7	0.1	0.1	—	622 4	623.0	624.3	100	100	80	SSE 1	SE 1	SSE 1	10*≡	10*–	4	*5.5	✳ ● n–$16^1/_2$, ● $16^1/_2$–18, *)
18	−0.2	5.4	3 5	2.9	—	625.1	625.9	625.3	98	67	85	SSE 2	SSE 1	E 2	7	5	7	1.6	△ $18^3/_4$–$19^1/_2$
19	3.9	9 0	6.0	6.3	—	624 6	624.0	624.4	84	**53**	98	ENE 2	E 1	WNW 2	6	9	10≡	0.6	● n (19./20.), ≡ $20^1/_4$–n
20	2.0	5.1	5.3	4.1	—	625.2	625.9	627.2	100	100	75	NW 2	SE 1	**SW** 2	10≡	10≡	9	.	≡ n–$15^1/_2$
21	4.3	8.2	8 0	6.8	—	628.7	628.7	629.0	84	64	59	WSW 3	WSW 2	SSW 2	6	7	3	2.1	
22	6.1	8.1	7.3	7 2	—	628.6	630.8	631.8	95	86	72	SW 3	WNW 3	WNW 2	10●	9	6	2.9	● $5^3/_4$–$10^3/_4$, $13^3/_4$–$14^1/_4$
23	9.8	13.8	13.1	12.2	—	632.0	633.1	633.4	68	55	68	SW 3	S 2	W 2	3	9	2	.	
24	11.2	**15.8**	14.6	13.9	—	633.0	**634.1**	634.1	70	65	62	SSE 3	S 1	SSW 2	1	9	6	.	
25	12.7	13.9	12.2	12.9	—	633.7	633.4	631.1	61	85	87	WSW 2	NW 2	E 2	3	8	7	0.3	
26	10.8	8.3	4.3	7.8	—	626.8	625.7	623.8	75	100	98	ESE 2	SSE 2	W 4	9	1 ●≡	10≡	27.9	△ $5^3/_4$–6, ● $13^1/_2$–$14^1/_2$, $19^1/_2$–$20^1/_4$, *)
27	2.4	3.6	0.6	2.2	—	622.8	621.4	623.1	100	100	100	WSW 2	ESE 1	WNW 4	10●*	10	10●≡	13.0	● n–$12^3/_4$, $13^3/_4$–n, ≡ n–n, 🖋 III
28	2.2	6.4	5.3	4.6	—	625.0	626.4	627.3	90	92	73	WSW 2	W 1	NW 1	3	7●▲	3	9 9	⛥ ▲ ● 13–$14^1/_4$, ● $15^1/_2$–$16^1/_4$
29	4 1	7.8	5.3	5.7	—	627.8	628.1	627.8	91	83	84	SW 1	WNW 2	NE 1	9	7	3	3.4	⛥ ▲ ● 11–$11^1/_2$, ⛥ ● $11^3/_4$–12
30	6.4	9.9	6.0	7.4	—	627.3	627.6	628.7	85	75	99	ESE 2	SE 1	E 2	5	9	10●	4 3	● $13^1/_4$–n, ≡ $15^3/_4$–n
31	7.7	12.0	5.4	8.4	—	628.2	628.3	628.7	84	67	100	E 2	SE 1	WNW 2	7	3	10≡	28 5	⛥ ● $19^3/_4$, $20^1/_4$, $20^1/_2$–$21^1/_4$,
																		Summe	[≡ $15^3/_4$–n
Mittel	3.2	5.8	4.1	4.4	—	626.3	626.6	626.7	89	82	87				7.2	8.1	7.6	172.6	

*) **7.** ≡ 8–$12^3/_4$ **8.** ⛥ ● $14^1/_2$–$15^1/_4$, 17–18, ≡ $19^1/_4$–n **16.** ≡ n–$14^1/_4$, $19^3/_4$–n • **17.** ≡ n–$19^1/_4$ **26.** ≡ $12^3/_4$–14, $19^1/_2$–n, 🖋 III

Mai 1951
Beobachter: *B. Minsch und C. Clavuot*

Bever

$\lambda = 9° 53'$, $\beta = 46° 33'$,
$H_b = 1711.8$ m, $G = -0.23$ mm

Tag	Lufttemperatur 7³⁰	13³⁰	21³⁰	Mittel	Abweich. vom Normalst	Luftdruck 7³⁰	13³⁰	21³⁰	Relative Feuchtigkeit 7³⁰	13³⁰	21³⁰	Windrichtung und Stärke 7³⁰	13³⁰	21³⁰	Bewölkung 7³⁰	13³⁰	21³⁰	Niederschlag	Witterung
1	-5.0	6.8	1.9	1.2	-2.3	622.7	621.9	621.5	86	36	76	S 0	S 0	SW 0	8	9	9	.	
2	-0.4	9.7	2.4	3.9	0.3	620.8	619.8	620.5	91	45	89	SW 0	NE 0	SW 0	5	8	6	.	
3	2.7	11.2	2.9	5.6	1.8	618.7	617.2	617.6	85	46	83	SW 0	SW 0	SW 0	5	5	8	.	
4	3.1	9.4	1.9	4.8	0.8	616.2	616.3	617.7	99	56	100	SW 0	SW 1	SW 1	9	7	10●	4.4	● 8^3 ₄-n mU
5	1.7	6.8	2.2	3.6	-0.6	618.3	618.7	619.7	94	41	62	NE 0	NE 0	SW 0	9	2	0	.	
6	-0.6	7.8	3.0	3.4	-1.0	618.8	617.9	618.1	80	52	89	SW 0	SW 1	SW 0	0	4	9	.	
7	1.8	5.4	3.0	3.4	-1.2	615.5	615.0	614.4	91	70	88	SW 1	SW 0	SW 0	10	10	5	0.0	✳fl $7-7^1/_2$
8	2.3	6.8	1.2	3.4	-1.4	613.4	612.8	614.9	91	49	96	S 0	SW 0	SW 0	8	10	10●	0.3	● $18^1/_4$-n
9	2.0	10.3	3.8	5.4	0.4	615.9	614.2	612.2	91	35	68	SW 0	NE 0	NE 0	5	5	10	.	
10	2.6	4.3	2.8	3.2	-1.9	**609.1**	**609.1**	611.1	94	69	91	NE 1	NE 3	NE 0	10	10	10	.	
11	4.4	5.1	2.9	4.1	-1.2	614.0	614.8	615.7	57	56	76	NW 0	SW 2	NE 0	10●	10	5	0.0	✳fl ●tr n-9
12	2.4	12.1	4.8	6.4	0.9	617.9	616.8	617.5	91	36	81	E 0	SE 0	SW 0	8	6	5	.	
13	4.8	6.5	4.8	5.4	-0.2	616.0	615.7	617.5	74	55	55	SE 0	W 2	NE 0	1	8	2	.	
14	2.4	5.4	1.9	3.2	-2.6	616.2	615.9	617.8	56	56	64	SW 0	W 1	NW 0	5	6	9	0.9	✳ $17^1/_4$-18
15	1.6	3.2	1.2	2.0	-4.0	617.2	617.3	618.0	58	54	56	SW 1	NW 1	NE 1	9	7	9	.	
16	1.1	3.6	-1.6	1.0	-5.1	616.4	615.8	616.5	65	49	75	NE 0	NW 1	W 1	5	7	0	.	
17	1.2	7.4	3.0	3.9	-2.4	615.7	615.3	616.7	76	46	59	SW 0	SW 2	SW 0	9	8	5	.	
18	3.4	7.7	4.0	5.0	-1.4	617.3	618.3	620.2	84	50	81	SW 0	SW 1	SW 0	5	6	9	.	
19	2.8	7.6	5.4	5.3	-1.3	618.6	618.1	618.0	54	49	76	SW 0	SW 1	SW 0	9	7	10	.	
20	7.1	11.8	4.8	7.9	1.2	617.5	617.6	618.9	70	51	82	SW 0	SW 2	SW 0	10	10	1	.	
21	5.4	9.1	5.6	6.7	-0.2	619.6	620.1	620.8	77	57	69	SW 0	W 0	NW 0	8	3	2	.	⌴
22	9.0	14.8	6.1	10.0	3.0	621.3	622.2	624.0	55	39	71	SE 1	SW 1	W 0	9	8	1	.	
23	7.0	16.4	5.4	9.6	2.5	624.3	624.6	**626.3**	80	34	70	SW 0	SW 2	W 0	0	2	1	.	
24	9.1	**18.8**	8.0	12.0	4.7	625.7	625.5	626.0	60	**29**	59	SW 0	SW 1	NW 0	2	1	1	.	
25	9.1	18.6	7.8	11.8	4.4	624.7	623.0	622.7	68	38	88	SW 0	SW 1	SW 0	2	3	3	.	
26	8.0	15.7	8.0	10.6	3.1	621.4	619.2	618.8	93	41	82	S 0	SW 1	W 0	10	9	10	19.6	● 22-n
27	6.2	6.4	3.8	5.5	-2.2	616.6	614.6	615.8	97	96	99	W 0	SW 0	SW 1	10●	10●	9	**37.9**	● $n-19^1/_2$
28	6.6	4.4	3.0	4.7	-3.1	616.7	618.7	619.5	74	84	96	SW 0	SW 0	SW 0	6	10●	2	3.2	● $8^1/_2$-$11^1/_2$ mU, $13-17^1/_2$
29	2.8	12.8	4.8	6.8	-1.1	619.9	619.2	619.7	94	41	86	S 0	S 1	W 0	1	9	3	.	⌴
30	6.4	13.0	5.8	8.4	0.4	619.9	619.0	620.1	78	49	82	W 0	SW 1	SW 0	5	8	1	.	
31	6.0	13.2	6.6	8.6	0.5	621.3	620.0	620.9	88	47	82	SW 0	SW 0	SW 0	0	5	7	.	
																		Summe	
Mittel	3.8	9.4	3.9	5.7	—	618.3	617.9	618.7	79	50	78				6.2	6.9	5.9	66.3	

Mai 1951
Beobachter: *Couvent des Capucins.*

Sion

$\lambda = 7° 21'$, $\beta = 46° 14'$,
$H_b = 548.6$ m, $G = -0.11$ mm.

1	7.6	16.7	11.7	12.0	-0.4	716.2	713.9	713.4	64	**32**	45	NNW 1	NNE 4	NW 2	1	3	0	.	⌿ 13-20
2	9.0	20.7	13.3	14.3	1.7	714.7	712.2	712.4	65	35	56	NNW 1	SW 1	SW 2	0	1	1	.	
3	11.1	21.7	15.2	16.0	3.3	712.1	709.5	709.2	67	40	58	NNW 1	WSW 1	SW 1	3	5	10●	0.8	● 20-$21^3/_4$
4	11.9	13.9	9.2	11.7	-1.2	709.8	709.2	712.8	86	74	99	WSW 1	WSW 2	WSW 0	10	10●	3	0.9	● 13-14, 15-$15^3/_4$, ●tr 20
5	8.9	19.5	11.5	13.3	0.3	713.8	711.9	712.1	93	34	48	SW 1	WSW 2	WSW 0	2	4	0	.	
6	9.7	21.7	15.2	15.5	2.3	711.9	708.8	708.3	66	36	41	NW 0	W 1	NNE 3	0	5	9	.	
7	11.3	18.3	12.3	14.0	0.7	707.6	707.1	707.3	79	45	66	W 1	W 0	WSW 3	10	7	8	.	
8	9.5	17.8	10.7	12.7	-0.8	707.0	704.9	707.9	86	44	91	WSW 1	WSW 1	WSW 0	8	7	10●	0.8	●tr p, ● $20^1/_2$-n
9	10.7	19.2	11.1	13.7	0.1	708.9	706.6	706.0	88	38	69	WNW 0	SW 1	WSW 2	5	7	3	0.0	●tr 16-$16^1/_2$
10	10.4	14.7	11.3	12.1	-1.7	703.9	**702.4**	703.8	87	57	69	SW 0	SW 3	WSW 2	10	10	8	0.0	●tr a
11	10.7	17.6	10.2	12.8	-1.1	706.8	707.3	709.3	75	45	75	WNW 1	SW 3	WSW 1	10	8	9	.	⌿ 10-20
12	9.4	16.6	10.8	12.3	-1.7	711.6	709.6	711.3	88	53	75	W 1	SW 3	SW 2	10	4	1	.	☋
13	9.2	14.6	12.4	12.1	-2.1	711.3	711.2	711.7	90	61	57	SW 1	SSW 4	SW 3	10	9	10	.	
14	11.4	13.2	9.8	11.5	-2.8	710.9	710.9	713.1	64	56	74	SW 0	SSW 3	SW 3	10	10	3	0.0	●tr $8^1/_2$
15	8.4	15.3	8.8	10.8	-3.6	713.8	712.4	713.3	78	41	60	WSW 1	SSW 3	SW 3	9	7	9	.	
16	9.0	16.5	10.4	12.0	-2.6	712.7	710.0	710.0	72	35	57	SW 0	SW 3	SW 0	2	8	2	.	
17	9.5	10.9	**7.5**	9.3	-5.4	708.7	708.1	710.9	83	72	100	WNW 1	SW 2	SW 2	10	10	10●	1.7	●tr 14-$15^1/_4$, ● 19-n
18	10.2	17.5	13.8	13.8	-1.0	711.5	710.1	710.9	79	34	36	W 1	NNW 1	N 1	8	6	2	.	
19	13.7	18.4	14.3	15.5	0.6	710.0	707.7	708.7	51	36	45	N 0	NNE 5	NNW 1	4	8	7	.	⌿ $9^1/_2$-18
20	11.1	20.7	14.3	15.4	0.3	710.4	709.5	710.7	77	46	66	W 0	WSW 1	WSW 0	9	5	8	3.0	☆ n (20./21.)
21	13.8	23.2	14.5	17.2	2.0	713.7	711.8	712.3	70	33	51	NW 1	WSW 2	NW 3	3	4	3	.	
22	12.4	20.0	17.7	16.7	1.4	713.2	714.1	715.3	68	47	55	NNW 0	WSW 2	WSW 3	9	8	10●	0.0	●tr $8^1/_2$-9, ●tr 21-n
23	14.7	25.0	19.1	19.6	4.2	717.0	715.4	715.9	68	40	42	N 0	NNW 0	NW 2	1	8	0	.	
24	16.3	26.0	20.0	20.8	5.3	**717.3**	715.9	715.5	60	41	50	NW 0	W 0	WNW 2	2	7	7	.	
25	18.4	**27.1**	19.3	21.6	5.9	714.7	712.3	712.3	55	44	55	NNW 2	WSW 1	NW 2	3	5	3	0.2	● n (25./26.)
26	17.5	22.2	16.3	18.7	2.9	711.3	708.6	708.5	75	41	64	NNW 0	NNE 2	SW 0	9	10	7	3.8	● 14-46, 20-$20^3/_4$, ⌿ 11-14 m
27	11.1	15.6	12.6	13.1	-2.8	708.1	706.6	709.0	100	69	77	SW 0	SW 0	N 1	10●	10●	4	**9.4**	● 7-12, $13^1/_4$-$15^1/_4$, $16^1/_4$-$19^1/_4$
28	10.1	19.0	12.8	14.0	-2.0	711.2	709.8	712.0	89	64	74	N 1	SW 2	SW 0	9	3	6	.	
29	13.6	21.6	15.8	17.0	0.9	712.9	711.0	711.5	69	41	55	NW 0	SW 2	SW 1	4	4	3	.	
30	14.2	22.1	15.2	17.2	1.0	712.2	710.2	712.8	71	41	71	NW 1	WSW 2	SW 1	3	5	6	.	
31	15.4	25.0	14.7	18.4	2.1	712.6	710.6	712.2	75	40	74	NW 1	SW 2	SW 3	1	3	8	7.1	● n (31./1.), ⌿ 18-n
Mittel	11.6	19.1	13.3	14.7	—	711.5	710.0	711.0	75	46	63				6.0	6.5	5.5	27.7	

$\lambda = 8°\,57'$, $\beta = 46°\,0'$,
$H_b = 276.2$ m, $G = -0.01$ mm.

Lugano

Mai 1951
Beobachter: *G. Vicari.*

Tag	Lufttemperatur 7³⁰	13³⁰	21³⁰	Mittel	Abweich. vom Normalst	Luftdruck 7³⁰	13³⁰	21³⁰	Relative Feuchtigkeit 7³⁰	13³⁰	21³⁰	Windrichtung und Stärke 7³⁰	13³⁰	21³⁰	Bewölkung 7³⁰	13³⁰	21³⁰	Niederschlag	Witterung
1	8.2	14.4	10.8	11.1	−2.2	**742.0**	740.5	739.4	53	34	52	N 1	E 1	— 0	9	10	10	0.3	☽ n (1./2.)
2	10.8	17.2	12.4	13.5	0.1	738.2	737.1	736.5	75	44	55	N 1	S 1	NNE 1	9	9	1	.	
3	10.8	17.4	13.2	13.8	0.2	735.4	733.7	733.5	74	42	69	E 1	S 1	N 1	9	9	10	1.8	● tr $17^1/_4$, 19–21 mU
4	12.2	15.6	11.6	13.1	−0.6	732.9	732.8	734.3	88	60	96	— 0	S 1	NNE 1	10	9	10☽	10.4	● $10^1/_2$–$11^1/_2$, ⛵ $15^1/_2$, [● ☽ 16-n mU
5	8.8	21.4	15.2	15.1	1.3	734.8	734.3	734.9	80	**27**	41	N 1	S 1	S 1	0	1	0	.	
6	11.4	20.0	11.4	14.3	0.3	736.4	735.2	735.3	76	35	90	E 1	S 1	WNW 1	2	4	10●	6.7	● 17-n mU
7	10.6	10.4	10.8	10.6	−3.5	733.3	733.8	733.2	92	84	92	N 1	W 1	— 0	10●	10●	10	16.3	● n-12, ● ☽ $12^1/_2$–15, ✧ 20–21
8	10.2	10.6	9.4	10.1	−4.1	731.2	730.6	732.9	92	74	89	N 1	S 1	ESE 1	9	10●	5	7.5	● $11^1/_2$–$19^1/_2$ mU
9	10.4	17.8	12.2	13.5	−0.9	733.4	731.7	727.5	81	37	53	SW 1	S 1	N 1	9	5	0	.	
10	11.2	13.4	11.8	12.1	−2.4	**723.4**	**723.4**	725.5	72	65	71	W 1	S 1	S 1	10	10	10	.	
11	11.4	17.6	11.4	13.5	−1.1	727.9	730.1	733.6	76	50	96	E 1	S 1	NE 1	9	10	10●	14.3	● $17^1/_2$–n
12	11.2	17.4	13.4	14.0	−0.8	735.4	732.8	733.2	86	45	55	W 1	S 1	N 1	10	9	5	.	
13	12.6	20.0	13.8	15.5	0.6	732.7	732.1	732.9	68	38	57	S 1	S 1	NNE 1	10	3	7	.	
14	11.6	16.0	10.4	12.7	−2.3	733.6	733.4	734.1	63	52	80	S 1	S 1	NNW 1	9	10	6	0.9	● 15–$15^1/_2$, 17–19
15	8.6	17.4	12.4	12.8	−2.4	734.2	733.5	735.1	82	35	57	N 1	S 1	SW 1	1	8	7	.	
16	8.2	18.0	10.8	12.3	−3.0	734.5	732.8	733.8	70	33	51	N 1	S 1	N 1	4	8	2	0.7	
17	10.4	10.2	8.8	9.8	−5.6	733.9	734.1	734.8	84	95	95	N 1	S 1	W 1	10●☽	10●	10●	28.9	● ☽ n-8, ● 8-n
18	8.2	13.2	11.8	11.1	−4.5	736.5	737.2	736.7	88	56	72	W 1	S 1	— 0	10	10	10	3.3	● n (18. 19.)
19	10.8	13.6	11.2	11.9	−3.8	736.9	736.0	734.9	90	68	97	N 1	W 1	SW 1	10	10	10●	15.5	● ☽ a–13 mU, ● 15–n
20	10.8	19.0	14.2	14.7	−1.1	733.8	733.4	733.9	93	36	61	W 1	NNW 1	N 1	10	9	0	.	
21	13.2	23.8	17.2	18.1	2.1	734.4	733.3	733.7	73	30	42	N 1	S 1	N 1	9	1	0	.	
22	14.6	22.2	17.2	18.0	1.9	736.8	737.4	739.0	55	44	55	E 1	NNW 1	N 1	8	10	1	.	
23	14.6	25.4	18.8	19.6	3.4	740.1	739.7	740.2	77	36	59	E 1	S 1	N 1	3	4	1	.	
24	16.4	24.8	19.4	20.2	3.8	740.5	739.7	739.1	74	32	61	E 1	S 1	WSW 1	6	8	7	.	
25	17.4	**26.0**	19.8	21.1	4.6	738.6	737.5	737.5	77	40	51	W 1	S 1	N 1	5	8	10	.	
26	17.4	20.8	16.2	18.1	1.5	736.7	734.8	734.8	65	56	95	E 1	S 1	NW 1	10	10	10●	**33.2**	✧ 16–$17^1/_4$, ● $17^1/_4$–n, ⛵ $16^3/_4$
27	16.8	17.0	16.2	16.7	−0.1	731.6	730.6	731.6	53	41	55	ESE 2	E 2	SW 1	10●	10	10	4.8	● n–13, ✧ p
28	15.2	15.4	11.4	14.0	−2.9	733.2	734.2	736.1	66	71	87	E 1	N 1	N 1	10	10●	1	4.0	✧ $11^1/_2$–$13^1/_2$ mU, $18^1/_2$–19
29	11.6	21.6	15.6	16.3	−0.7	735.9	734.8	734.7	63	**27**	56	N 1	S 1	N 1	1	3	1	.	
30	14.4	21.8	17.2	17.8	0.6	735.2	734.5	735.6	66	36	57	N 1	SSE 1	N 1	9	8	5	2.7	● n (30./31.)
31	14.4	19.2	15.2	16.3	−1.0	737.3	736.8	736.5	87	56	86	ENE 1	S 1	N 1	8	9	8	16.6	● $13^1/_4$–$13^1/_2$, 15–$15^1/_2$, n (31./1.)
																		Summe	
Mittel	12.1	18.0	13.6	14.6	—	734.9	734.3	734.7	75	48	69				7.7	7.9	6.0	167.9	

$\lambda = 7°\,35'$, $\beta = 47°\,33'$,
$H_b = 317.3$ m, $G = 0.11$ mm.

Basel

Mai 1951
Beobachter: *Astronom.-Meteorol. Anstalt.*

1	7.2	17.6	10.0	11.6	0.9	**736.3**	734.0	732.5	76	**41**	68	**E** 1	ENE 1	NE 1	0	2	0	.	
2	9.4	19.8	12.5	13.9	3.1	734.0	733.1	731.8	76	49	81	E 1	N 1	SW 1	0	1	1	.	
3	10.4	21.5	13.2	15.0	4.0	731.4	729.5	728.8	84	52	79	S 0	NNW 1	SSE 1	3	4	4	.	⊕ 10, ⛵ 19–21
4	10.4	12.0	9.3	10.6	−0.5	728.7	729.4	732.0	93	97	93	**E** 1	E 1	SSW 1	10	10●	10	7.0	● $5^1/_4$–$5^3/_4$, $8^1/_4$–$9^1/_2$, *)
5	8.4	17.2	9.3	11.6	0.4	732.7	732.3	732.1	91	92	92	E 1	WNW 1	SE 1	1	8	4	0.4	● 17–$17^1/_4$, $19^1/_2$–$19^3/_4$, *)
6	9.0	21.2	12.4	14.2	2.8	731.0	728.8	727.1	87	44	69	SE 0	NE 1	SW 1	0	1	6	0.0	● $17^3/_4$–18
7	11.6	10.4	10.3	10.8	−0.7	727.1	727.6	727.1	88	88	94	WSW 1	WSW 1	SSW 1	10	10●	9	5.0	● $13^1/_4$–$13^1/_2$, 16–$16^1/_4$
8	10.4	13.3	9.5	11.1	−0.6	726.1	**725.1**	727.2	95	70	94	E 1	WSW 1	SSE 1	8	10●	10●	4.8	● $9^1/_2$–$11^1/_4$, $21^1/_2$–$23^3/_4$, *)
9	8.5	17.8	10.3	12.2	0.4	729.0	728.3	728.1	94	52	85	SE 0	WNW 1	WNW 1	10	6	7	1.4	● $18^1/_2$–0, $21^3/_4$–$22^1/_2$
10	9.1	11.6	9.7	10.1	−1.8	725.9	725.5	726.9	93	92	91	NW 1	NW 1	NNW 1	10	10●	9	6.4	● 0–$0^1/_2$, $11^1/_4$–$17^1/_4$, $19^1/_4$–$19^3/_4$
11	8.0	9.1	8.3	8.5	−3.6	729.2	731.4	732.2	85	88	79	N 1	SSE 1	NE 1	10	10	10	0.0	● $13^3/_4$–14
12	7.2	11.6	7.8	8.9	−3.3	732.7	732.6	732.7	76	63	89	N 1	NE 1	E 1	10	10	9	.	
13	7.2	16.8	12.6	12.2	−0.2	732.2	731.7	731.0	84	42	57	SE 0	WNW 1	WSW 1	1	4	9	1.0	
14	8.7	8.0	6.8	7.8	−4.7	731.5	733.4	734.6	97	89	91	WNW 1	WNW 0	SW 1	10●	10	10	2.2	● 5-$11^1/_4$, $13^3/_4$, $14^1/_4$, $15^1/_2$–$16^1/_2$
15	7.3	8.0	**6.3**	7.2	−5.4	735.0	735.0	734.6	89	90	91	W 1	SSW 1	SSW 1	10	10	10	0.8	△ $11^1/_4$–$11^1/_2$, ● $11^1/_2$–$11^3/_4$
16	7.5	11.2	8.5	9.1	−3.7	732.7	731.2	729.7	88	74	90	WSW 1	WNW 1	NW 1	10●	10	10●	8.0	● $7^1/_2$, 9–$11^3/_4$, $21^1/_2$, $23^1/_2$–24
17	8.2	13.0	9.6	10.3	−2.6	728.8	728.7	729.7	96	74	95	E 1	N 1	WNW 1	10●	10	10●	8.6	● 0–11, $20^1/_4$–$23^1/_4$, ⛵ 21
18	10.2	17.2	9.0	12.1	−0.9	730.8	730.7	730.0	94	54	92	S 1	NNE 1	SW 1	10	3	0	.	
19	10.4	18.5	12.5	13.8	0.6	730.0	727.6	726.8	87	65	89	E 1	NW 1	SSW 1	7	7	6	.	
20	10.3	15.1	11.5	12.3	−1.0	730.4	730.3	731.1	83	74	90	W 1	NNE 1	W 1	10	10	10	0.8	
21	10.3	21.0	10.0	13.8	0.4	733.0	732.2	732.3	96	55	87	E 1	W 1	SSW 1	10●	4	0	0.1	● $4^3/_4$–$6^1/_2$
22	10.2	20.5	12.2	14.3	0.8	732.2	733.7	735.3	90	69	90	S 1	WNW 2	S 1	10	9	2	2.8	● $7^1/_2$–$8^3/_4$
23	13.5	24.5	16.5	18.2	4.5	735.7	735.1	735.6	86	52	87	ESE 1	WNW 1	SE 1	7	9	2	0.0	
24	17.2	**29.2**	17.6	21.3	7.5	735.6	735.1	734.5	78	47	82	ENE 1	WNW 1	SSW 1	4	5	9	.	
25	20.2	25.7	17.0	21.0	7.1	733.1	733.1	732.3	63	59	87	E 1	WNW 2	SSW 1	6	5	4	.	
26	16.0	22.1	14.4	17.5	3.5	729.2	726.9	727.4	89	73	77	WNW 1	W 0	WSW 1	8	10	10	8.4	● $14^1/_2$–16, ⛵ $20^1/_4$–$21^1/_2$
27	10.9	11.5	10.4	10.9	−3.2	727.6	726.3	728.5	94	95	84	E 1	E 1	W 1	10●	10●	10	**16.6**	● $0^3/_4$–$17^1/_4$, $17^1/_2$–$18^1/_2$
28	10.1	16.6	10.8	12.5	−1.7	730.3	730.2	731.3	78	63	90	ENE 1	W 1	SSW 0	1	7	1	.	
29	10.6	16.8	13.7	13.7	−0.6	732.4	732.1	732.2	89	72	91	SW 1	W 1	WSW 1	10	10	8	0.9	● $12^1/_2$–13, $16^1/_4$–17, T $14^3/_4$
30	11.0	15.4	13.4	13.3	−1.1	732.3	732.0	733.0	92	77	89	WNW 1	N 1	WSW 1	10	10	10	.	
31	10.1	17.6	14.9	14.2	−0.3	733.1	732.6	732.4	91	68	84	W 1	SE 1	ENE 1	10	10	10	11.0	● 23–$3^3/_4$
																		Summe	
Mittel	10.3	16.5	11.3	12.7	—	731.3	730.8	731.0	87	68	86				7.3	7.6	6.7	85.7	

*) **4.** $12^3/_4$–$14^1/_4$, $16^1/_4$–$17^1/_2$ **5.** ⌒ $17^1/_4$, 19 **8.** $15^1/_4$–$16^1/_4$, $20^3/_4$–22, ⛵ $13^1/_2$–$13^3/_4$, ≡ 7–$7^1/_4$

Mai 1951
Beobachter: *Observatorium.*

Säntis

$\lambda = 9°\,20'$, $\beta = 47°\,15'$,
$H_b = 2500.1$ m, $G = -0.27$ mm

Tag	Lufttemperatur 7³⁰	13³⁰	21³⁰	Mittel	Abweich. vom Normalst	Luftdruck 7³⁰	13³⁰	21³⁰	Relative Feuchtigkeit 7³⁰	13³⁰	21³⁰	Windrichtung und Stärke 7³⁰	13³⁰	21³⁰	Bewölkung 7³⁰	13³⁰	21³⁰	Niederschlag	Witterung
1	-0.3	-2.0	-2.0	-1.4	1.1	562.3	562.1	561.7	34	55	68	S 1	SSE 2	SSW 2	4	9	1	.	⊕ a-p
2	1.7	2.9	-0.9	0.9	3.2	562.0	562.4	562.2	50	76	100	SW 1	SSE 1	NE 2	4	7	10	0.0	△ 16¹/₄-20, 21³/₄-n, ≡ 21³/₄-n
3	0.4	4.1	0.2	1.6	3.7	560.6	560.4	559.2	78	70	85	ENE 2	SW 2	WSW 1	9	10	1	.4	△ 11-15¹/₄, 19³/₄-20¹/₂, ⊕ a
4	-1.4	3.5	-3.9	-0.6	1.3	558.2	558.5	558.9	100	67	100	W 2	W 1	W 4	10≡*	10≡*	10≡*	21.4	* ≡ n-n, ⛆ III, ⛆ III
5	-4.0	-1.2	-3.4	-2.9	-1.2	559.7	559.7	561.1	86	76	63	W 2	W 1	W 1	8	5	1	0.0	△ 17¹/₄-18³/₄, ≡ 17¹/₄-17³/₄, [18³/₄-19³/₄ mU
6	1.6	1.9	-0.7	0.9	2.5	559.9	559.7	558.4	50	70	60	SW 1	SSE 2	S 3	1	4	9	.	
7	-1.4	1.9	-2.6	-0.7	0.7	556.6	556.5	556.6	64	79	92	SSW 3	SSW 3	WSW 2	10	7	1	0.5	* 10³/₄-11¹/₄, *)
8	-0.1	0.7	-3.1	-0.8	0.4	554.0	554.8	555.8	72	90	100	S 2	S 1	W 2	8	10≡*	10≡*	11.9	△ 12-13³/₄, 15¹/₄-16¹/₂, *,
9	-2.0	-1.5	-2.0	-1.8	-0.7	557.1	557.3	555.9	100	97	100	SW 1	NE 1	NNE .	10*	1	1	7.3	* 7-11, 11-15¹/₂, △ 15¹/₄-15.*)
10	-3.4	-2.3	-4.0	-3.2	-2.3	552.9	552.8	554.4	100	100	100	N 3	NE 3	NE 2	10	10≡*	10≡*	2.4	* ≡ ⛆ n-n mU
11	-5.1	-2.0	-4.9	-4.0	-3.2	555.5	557.6	558.2	100	94	100	N 2	N 2	ENE 3	10≡*	10≡*	9≡	4.7	* n-8¹/₄, 12¹/₄, 15, [n-n mU
12	0.4	2.5	-1.6	0.4	1.1	558.7	559.0	559.7	93	54	79	SW 2	NNW 1	ENE 2	8	1	1	.	
13	1.0	0.9	-4.7	-1.5	-1.0	558.1	558.6	559.3	58	28	97	NW 2	NW 2	W 2	1	8	9	.	≡ 12¹/₄-n mU, ⊕ a-p
14	-4.9	-2.9	-5.9	-4.6	-4.2	557.5	558.1	559.4	97	100	98	WNW 3	NW 1	NW 1	10≡*	10≡*	10≡*	16.5	* ≡ n-n
15	-7.1	-2.3	-6.9	-5.4	-5.1	558.9	559.3	559.2	98	87	97	NNW 1	NW 1	WNW 1	10≡*	10≡*	10≡*	10.6	* 9³/₄-n mU, ≡ n-n mU
16	-6.5	-3.9	-5.3	-5.3	-5.1	557.5	557.2	557.3	95	97	97	WSW 2	WSW 2	WSW 2	10≡*	10≡*	10≡*	3.2	* 12¹/₂-17¹/₂, ≡ n-n mU,
17	-4.0	-1.8	-2.2	-2.7	-2.7	559.0	557.0	558.1	81	64	98	S 2	SE 3	E 2	9	9	6	.	≡ 16¹/₂-19¹/₄, ⊕ a, ⊕ a
18	-1.4	0.4	-2.0	-1.0	-1.1	558.4	559.7	559.-	61	82	67	SSW 2	SSE 1	SSW 3	9	8	1	.	≡ 12-15³/₄ mU, ⊕ f
19	1.7	1.9	1.0	1.5	1.3	559.6	559.5	559.1	51	58	61	S 2	SE 3	S 2	7	7	9	.	⊕ a
20	2.3	4.0	1.0	2.4	2.1	559.5	559.9	561.4	59	57	74	E 2	SSE 2	WNW 2	9	9	1	0.3	● n (20./21.), ⊕ 18¹/₂
21	-2.3	1.1	0.4	-0.3	-0.7	551.6	552.1	552.7	100	98	100	WSW 2	W 3	W 2	10≡*	7	10	0.0	* fl 7-11, ≡ n-n mU
22	2.1	2.4	1.4	2.0	1.5	562.5	564.4	565.4	62	78	89	WSW 3	SW 3	WSW 3	9	9	8	7.7	* ● 10¹/₂-10¹/₂ mU, ⛆ △
23	3.2	6.2	4.5	4.6	4.0	566.1	567.5	568.1	73	57	82	WSW 2	SW 2	W 3	2	8	1	.	[17-17¹/₄, ≡ 17-20 mU
24	6.3	8.0	5.9	6.7	6.0	568.0	568.7	568.3	63	51	74	W 2	W 3	SW 2	6	8	6	.	⊕ 9¹/₂, 18
25	9.3	11.4	5.8	8.8	8.0	566.9	566.3	565.3	30	58	100	WSW 2	SSW 2	SSE 2	8	9	4	.	⊕ 18¹/₂
26	6.2	7.1	4.0	5.8	4.9	563.0	561.8	559.0	57	60	75	SW 3	SSW 3	SW 3	10	10	9	0.5	● tr 16, * n (26 27.), ⊕ a
27	1.4	2.0	-2.1	0.4	-0.6	557.1	556.6	557.1	100	100	100	S 3	S 3	W 3	10≡*	10≡*	10≡*	13.0	● * ≡ n-n mU, ⛆ a-p mU
28	-3.4	-0.4	-1.8	-1.9	-3.0	558.3	559.7	561.1	100	100	86	WSW 3	SSW 2	WSW 2	10≡*	9	3	4.4	* n-11, 17¹/₄-19¹/₄, *)
29	2.2	3.8	0.9	2.3	1.1	561.2	561.9	561.7	56	77	100	E 1	S 2	ESE 2	9	10	10≡	.	≡ 16¹/₂ n mU, ⊕ a
30	6.4	5.4	2.2	4.7	3.4	561.5	562.1	563.1	82	83	96	SSW 1	SE 1	SSE 2	2	8	8	.	
31	6.0	7.0	3.3	5.4	4.0	562.8	563.3	562.7	44	65	70	SSE 2	S 2	SSE 3	4	3	4	10.8	* n (31./1.)
Mittel	0.2	1.8	-0.9	0.4		559.8	560.2	560.4	72	76	86				7.7	7.9	6.5	Summe 118.6	

*) 7. △ ≡ 15³/₄-16³/₄ 8. ⛆ 16¹/₄-16¹/₂, * 16¹/₂-n, ≡ 8¹/₂-n mU 9. 19¹/₄-n, ⛆ 20¹/₄, ≡ 7¹/₂-n, ⊕ 9 28. ≡ n-19³/₄ mU, ⊕ 14-14¹/₂

Mai 1951
Beobachter: *E. Chiesa*

St. Gotthard (Hospiz)

$\lambda = 8°\,34'$, $\beta = 46°\,33'$,
$H_b = 2095$ m, $G = -0.25$ mm

1	-3.7	-0.6	-0.3	-1.5	-2.0					100	85	97	SE 2	SE 1	SE 1	10	10	6	.	
2	-0.9	3.1	1.6	1.3	0.7					100	74	90	NW 1	NW 0	NW 1	3	10	9	.	
3	1.2	3.2	2.0	2.1	1.3					82	78	100	NW 0	SE 0	SE 0	6	3	6	.	
4	1.5	3.4	-1.4	1.2	0.3					80	72	100	SE 0	SE 0	NW 2	10≡	10●*≡	10●*≡	22.7	● * 10³/₄-n, ≡ n-n
5	-3.3	0.5	-0.6	-1.1	-2.2					100	62	68	NW 2	NW 1	NW 1	0	0	0	.	
6	1.2	2.2	-0.5	1.0	-0.2					86	89	100	SE 0	SE 1	SE 2	10	10	10*	8.2	* 18³/₄-n, ≡ p-n
7	-1.2	2.4	-0.6	0.2	-1.1					100	76	98	SE 2	SE 1	SE 2	10≡	10≡	9	13.2	* n (7.,8.), ≡ n-p
8	-1.2	3.2	-0.7	0.4	-1.0					100	75	100	SE 1	SE 0	SE 2	10*	10	10*	8.8	* ≡ n-a, p-n
9	-0.9	5.4	0.0	1.5	0.0					100	45	100	SE 0	SE 0	NW 2	10≡	10	10≡	2.2	* a-p mU, ≡ n-n mU
10	-1.2	-0.3	-1.2	-0.9	-2.5					100	100	100	NW 3	NW 3	NW 3	10≡	10≡	10≡	.	≡ ⛆ n-n
11	-2.3	-0.1	-2.0	-1.5	-3.2					100	100	96	NW 2	NW 2	NW 2	10≡	10≡	10≡	2.1	* n-n mU, ≡ n-n
12	-0.1	1.8	-1.3	0.1	-1.7					95	72	100	SE 1	SE 0	NW 1	10	9	3	.	≡ 16¹/₄-20¹/₂
13	-1.8	0.3	-1.7	-1.1	-3.0					81	99	100	NW 1	NW 2	NW 2	9	10≡	10≡	0.7	* fl p, ≡ -3¹/₄-n
14	-1.5	1.7	-1.3	-1.4	-3.4					95	92	100	NW 1	NW 1	NW 3	10≡	10≡	10≡	3.3	┼* p-n mU, ≡ n-n, ⛆ III
15	-4.2	-2.4	-4.7	-3.8	-5.0					100	100	100	NW 2	NW 2	NW 2	10≡	10≡	10*	1.5	* p-n, ≡ n-n
16	-5.0	-0.4	-1.1	-2.2	-4.4					100	95	91	NW 1	NW 1	SE 1	10	6	10	0.0	* n (16.,17.), ≡ n-a
17	-1.4	0.5	-0.9	-0.6	-2.9					100	98	98	SE 2	SE 1	SE 1	10*	10*	10*≡	20.6	* ≡ n-n
18	-1.7	0.7	-0.2	-0.4	-2.8					100	98	98	SE 2	SE 2	SE 2	10*	10*	10*	12.8	* ≡ n-n
19	-3.0	1.7	0.0	0.6	-1.9					97	86	100	SE 2	SE 1	SE 1	10	10*≡	10*≡	3.0	* ≡ a-n
20	1.5	3.4	1.2	2.0	-0.6					88	67	89	SE 0	SE 1	SE 0	10	10	0	.	
21	0.5	3.0	2.2	1.9	-0.8					100	75	84	NW 2	NW 1	NW 1	10≡	0	0	.	≡ n-a
22	3.2	8.0	3.0	4.7	1.9					65	59	90	SE 1	SE 0	NW 1	10	0	0	.	
23	3.1	7.5	3.6	4.7	1.8					65	40	81	NW 0	SE 0	SE 0	0	0	0	.	
24	5.2	8.5	6.7	6.8	3.8					65	49	50	SE 0	SE 0	SE 0	3	3	6	.	
25	5.9	6.5	4.1	5.5	2.4					49	64	96	SE 0	SE 1	SE 1	0	0	10	.	
26	4.3	4.6	3.5	4.1	0.0					97	95	100	SE 2	SE 3	SE 2	10●	10●*	10●	70.7	● 8¹/₄-n, ≡ n-n ⛆ II
27	2.7	2.8	1.7	2.4	-0.9					96	85	96	SE 2	SE 4	SE 2	10●	10●	10●	98.8	● n-n, ⛆ II
28	1.2	2.5	0.3	1.3	-2.1					98	82	95	SE 0	SE 0	NW 1	10=	10*=	6	3.8	* 13-p, ≡ n-p
29	1.0	5.3	3.2	3.2	-0.3					70	58	70	NW 1	SE 0	SE 0	6	6	0	.	
30	2.0	6.0	3.2	3.7	0.1					80	62	89	SE 0	SE 1	SE 1	0	9	6	.	
31	2.9	4.2	3.0	3.4	0.2					100	80	98	SE 1	SE 1	SE 0	10≡	10	10	12.9	● 16-17¹/₂, ≡ n-a
Mittel	0.2	2.9	0.6	1.2	—	—	—	—	—	90	78	93				7.6	7.6	7.1	Summe 293.8	

Barometer defekt

$\lambda = 7°\,26'$, $\beta = 46°\,57'$,
$H_b = 572.2$ m, $G = 0.00$ mm.

Bern

Juni 1951
Beobachter: *Meteorol. Observatorium.*

Tag	Lufttemperatur 7³⁰	13³⁰	21³⁰	Mittel	Abweich. vom Normalst	Luftdruck 7³⁰	13³⁰	21³⁰	Relative Feuchtigkeit 7³⁰	13³⁰	21³⁰	Windrichtung und Stärke 7³⁰	13³⁰	21³⁰	Bewölkung 7³⁰	13³⁰	21³⁰	Niederschlag	Witterung
1	**10.7**	15.9	11.8	12.8	−1.5	711.8	710.9	711.0	85	57	87	SE 1	WSW 1	ENE 1	10	8	8	1.9	● 0-3¾, 13¾, 17¼-17¾, ⊼ 17-17¾
2	10.9	14.7	**10.7**	12.1	−2.4	710.1	709.3	709.5	92	70	99	SE 1	WNW 1	SE 1	8	9	10	13.8	● 1½-3⅜, 10¼ 13-13¼, 16¼-
3	12.0	17.3	14.0	14.4	−0.2	710.3	709.9	709.9	85	50	66	WSW 1	NE 1	NE 1	8	5	1	.	[21¼, 21⅜-24
4	12.5	19.8	16.4	16.2	1.5	709.7	708.9	709.5	83	47	60	SE 1	NE 1	NE 1	1	3	6	.	⌓ I
5	13.2	19.0	13.2	15.1	0.3	709.5	708.7	709.4	83	53	92	SE 1	NNE 1	E 1	1	8	9	1.0	⊼ ● 16½-17, ● 18-18½
6	13.3	17.1	13.4	14.6	−0.3	708.6	708.1	709.1	77	61	95	SE 1	SE 1	N 1	3	9	3	0.0	● tr 15½, 18
7	12.9	19.9	16.6	16.5	1.5	708.2	706.8	706.4	86	47	65	ENE 1	ENE 3	N 1	0	1	7	.	⌓ I
8	14.4	16.1	11.8	14.1	−1.0	705.4	**704.3**	704.9	87	83	99	W 1	NNW 1	SSW 1	10	10	10●	**20.6**	● 10¼-12½, 14¼-24
9	11.3	12.8	11.9	12.0	−3.2	706.5	709.2	711.1	95	78	86	SSW 2	W 2	WSW 1	10●	10	6	1.8	● 0-10⅜, 16¼
10	12.3	16.5	14.4	14.4	−0.9	711.6	712.1	713.9	86	56	65	S 1	WNW 1	SSW 1	9	9	9	.	
11	13.5	20.5	16.8	16.9	1.5	716.0	715.9	716.9	76	**40**	65	SE 1	NNW 1	N 1	3	3	1	.	
12	13.9	22.9	15.8	17.5	2.0	716.9	716.1	717.0	76	49	99	S 1	WNW 2	N 1	1	5	10●	3.7	● 19⅜-24, ⊕ 13⅜-16½
13	16.8	21.6	17.6	18.7	3.1	718.3	718.4	**718.7**	77	45	63	W 1	WNW 2	N 1	9	3	0	.	
14	15.3	25.1	20.8	20.4	4.7	718.5	717.2	716.6	76	44	67	SSE 1	NNE 1	NE 0	0	0	0	.	
15	17.8	**28.1**	20.4	22.1	6.3	716.2	715.7	716.4	67	48	65	SE 1	NNW 1	NE 1	1	6	9	0.0	● 22
16	18.0	23.9	18.1	20.0	4.1	716.2	715.5	715.0	82	54	92	SE 1	ESE 1	SE 1	9	3	9●	1.3	● 9¼-10½ mU, 18⅜-22⅜ mU, *)
17	16.6	22.8	17.5	19.0	3.0	714.5	714.1	714.7	87	69	94	SE 0	W 1	SE 1	9	6	8	4.8	● 11-11¼, 17¼-19⅜, ⊼ 17-18
18	15.9	22.6	16.5	18.3	2.2	714.3	712.0	714.8	99	66	78	SE 1	WNW 1	SSW 1	9	7	10	11.3	⊼ 5¼-6½, ● 5⅜-6⅜, *]
19	11.6	14.6	12.9	13.0	−3.2	715.2	715.6	716.5	99	89	96	NNE 1	NE 1	N 1	10●	10	9	5.0	● 6½-11⅜, 18¼-19¼
20	12.0	17.7	15.4	15.0	−1.3	716.0	716.1	715.2	94	63	75	NNE 2	NNE 2	NNE 1	10	3	0	.	
21	13.7	22.5	19.9	18.7	2.3	714.8	713.2	712.7	86	54	64	SE 1	NNE 1	SSW 1	1	1	3	0.3	⌓ I
22	15.5	21.3	17.2	18.0	1.5	712.5	710.7	708.2	96	66	90	N 1	NE 1	WSW 2	10●	10●	10	2.0	● 6-8, 13¼ 13½, 15½-16¾, 23½-24
23	15.0	14.1	12.2	13.8	−2.8	708.9	709.0	708.7	97	93	93	N 1	W 2	SE 1	10	10●	10	9.2	● 0-1¼, 3¼-5¼, 8, 11½-20⅜
24	12.0	15.8	12.0	13.3	−3.3	708.7	708.6	710.2	83	58	80	WSW 1	W 2	SSW 1	8	9	9	0.9	● 0¼-2, 5-5⅜, 20-20¼, 22⅜-23¼
25	11.1	15.0	11.3	12.5	−4.2	710.5	710.6	712.2	91	65	92	W 1	NNW 1	SE 1	10●	8	8	2.2	● 5⅜-13 mU, 19½-21¼
26	11.7	15.7	12.0	13.1	−3.7	711.2	711.1	715.6	92	60	75	SE 1	W 3	SSW 1	9	9	3	1.1	● 6⅜-7¼, 11¼-16½ mU
27	11.7	17.4	13.4	14.2	−2.7	716.5	716.4	716.5	82	43	90	W 1	WSW 2	W 1	9	6	9	1.6	● 21-24 mU [23 23½
28	14.4	17.7	12.6	14.9	−2.1	715.5	715.4	716.6	78	59	100	WSW 2	WSW 2	S 1	10●	4	9●	13.3	● 0-1⅜, 7¼-11⅜ mU, 18⅜-22¼
29	12.1	18.1	15.0	15.1	−1.9	716.0	714.9	715.0	92	53	60	SE 1	NNE 2	NE 1	5	7	3	.	[mU, ⊼ ● 16½-17¼
30	13.1	19.2	16.2	16.2	−0.9	715.7	715.1	715.7	85	54	71	NE 1	ENE 2	ENE 1	6	5	6	.	⌓ I
Mittel	13.5	18.9	15.0	15.8	—	712.9	712.4	712.9	86	59	81				6.6	6.2	6.5	Summe 95.8	

*) **16.** ⊼ ● 18½-18⅜ **18.** ● ⊼ 18¼- 9¼, ▲ 18¼

$\lambda = 6°\,57'$, $\beta = 47°\,0'$,
$H_b = 487.3$ m, $G = 0.02$ mm.

Neuchâtel

Juni 1951
Beobachter: *Observatorium.*

1	11.7	16.0	11.9	13.2	−1.8	719.3	718.7	718.5	89	61	80	W 0	W 2	NW 0	10	8	10	1.3	⛆ 8½, 13⅜, 14⅜, 17¼, 19
2	11.5	15.4	11.4	12.8	−2.4	717.7	716.5	717.0	90	62	95	NW 0	SW 2	SW 2	9	10	10●	14.1	● 15-17½
3	12.6	17.9	14.9	15.1	−0.2	717.8	717.4	717.3	87	58	67	W 1	SW 0	NW 1	3	8	0	.	
4	11.9	22.0	15.8	16.6	1.2	717.3	716.5	716.8	86	42	72	NE 1	SE 0	NE 0	0	2	2	0.1	⛆ 16¼
5	13.0	17.2	14.2	14.8	−0.7	717.1	716.1	716.8	82	81	77	NE 0	NE 0	NE 0	2	8	9	1.1	● 12½-13¼
6	13.7	19.5	12.4	15.2	−0.4	716.0	715.4	716.5	86	65	87	NE 0	SE 0	N 0	1	9	5	1.7	● 12⅜-17½ mU
7	12.4	21.4	18.8	17.5	1.8	715.8	714.2	713.4	94	52	54	E 1	E 3	NE 2	4	1	4	0.6	
8	14.5	16.2	12.8	14.5	−1.3	712.3	**711.2**	712.3	93	90	68	NW 0	SW 0	SW 2	10	10●	10●	26.3	● 2⅜, 4⅜, 10-16 mU, 17-24
9	**11.3**	12.2	12.4	12.0	−3.9	713.9	716.8	718.8	96	92	89	SW 2	SW 2	SW 2	10●	10	10	6.6	● 0-10½, ⛆ 23½
10	12.7	19.7	15.5	16.0	0.0	719.1	719.5	721.3	82	57	59	SW 1	SW 2	SW 1	10	7	9	.	
11	14.0	21.5	18.3	17.9	1.8	723.5	723.4	724.2	79	**39**	57	E 1	S 1	N 2	0	1	1	.	
12	13.8	23.3	16.1	17.7	1.5	724.5	723.5	724.4	84	46	91	NE 1	SW 2	SW 1	2	6	10	2.8	● 19¼-20⅜, ⊼ 19-20,
13	17.9	23.9	17.0	19.6	3.3	725.8	**726.0**	**726.0**	67	56	66	SW 2	S 1	NW 0	3	2	0	.	[⊕ II
14	14.7	25.0	19.4	19.7	3.3	**726.0**	724.8	724.1	85	41	59	SE 0	S 1	SE 0	0	0	0	.	
15	17.3	**27.8**	19.5	21.5	5.0	723.8	723.1	724.0	84	52	67	SE 0	NW 3	NW 0	0	7	8	.	⛈ 13¼-19
16	17.4	23.9	17.9	19.7	3.1	723.7	722.9	722.7	84	57	89	SW 2	SE 0	E 0	10	3	9	1.1	● 0-10, 18¾-18¾, ⊼ 17¾-
17	18.0	24.0	17.0	19.9	3.2	722.3	721.2	722.0	91	68	82	N 0	SE 1	SW 0	10	3	8	9.7	⛆ 10-19¼ mU [18⅜
18	15.6	22.5	16.6	18.2	1.4	721.6	719.0	722.1	97	66	70	SW 1	SW 1	W 2	10	3	10	10.4	● 5-7¼, 18-18¾, ⊼ 5-6, 17¼-
19	13.3	16.0	13.0	14.1	−2.8	722.6	722.9	724.0	97	85	94	E 1	NE 2	NE 1	10●	9	9	5.6	● 5½-11, 16¼-18½ [19⅜
20	12.9	20.2	16.6	16.6	−0.4	723.9	723.3	722.7	89	58	67	NE 1	E 2	NE 2	10	5	0	.	
21	13.6	23.5	18.0	18.4	1.4	722.4	720.8	720.0	89	57	77	E 0	SE 1	S 0	0	1	4	0.4	
22	17.2	19.7	16.9	17.9	0.8	719.8	718.4	715.7	92	79	88	S 0	S 1	N 0	9	10	10	15.7	● 13-16, 18¾-19¼, 21¾-24
23	15.2	13.8	13.2	14.1	−3.1	716.1	717.0	716.1	89	97	91	W 1	SW 1	W 1	10	10●	10	7.9	● 0-2⅜, 12-18 [⊼ 22¼
24	13.1	13.8	12.3	13.0	−4.3	716.1	716.6	717.9	82	81	71	SW 1	SW 3	W 1	8	10●	9	1.5	● 9⅜-18 mU
25	11.8	13.4	12.8	12.7	−4.7	718.0	718.4	719.8	82	80	71	SW 2	W 2	SW 1	10	8	3	1.6	● 8⅜-13¼ mU
26	12.0	12.8	12.0	12.5	−5.0	721.9	722.2	723.2	87	71	66	W 2	W 3	W 1	8	9	7	2.4	● 4-6¼, 10¼, 22¼-22⅜
27	11.8	18.2	15.5	15.2	−2.3	724.2	724.1	724.0	81	51	68	SW 2	SW 2	W 2	8	8	8	2.9	● 4⅜-6¼, 22⅜ 24
28	14.6	17.2	12.9	14.9	−3.0	723.0	723.1	724.0	80	76	93	W 2	SW 2	W 0	10	9	9	5.1	● 9-10½, 15⅜-20⅜
29	12.7	17.6	14.2	14.8	−2.9	723.6	722.6	722.7	93	70	76	E 0	E 1	N 0	8	8	5	0.0	● tr a
30	14.1	21.0	17.7	17.9	−0.1	723.2	722.6	723.2	77	52	56	NE 2	E 2	N 1	2	3	8	.	
Mittel	13.9	19.3	15.2	16.1	—	720.4	720.0	720.4	87	65	76				6.2	6.3	6.6	Summe 118.2	

Juni 1951
Beobachter: *Frl. H. Nager.*

Altdorf

$\lambda = 8° 39'$, $\beta = 46° 53'$,
$H_b = 456.3$ m, $G = -0.05$ mm.

Tag	Lufttemperatur 7³⁰	13³⁰	21³⁰	Mittel	Abweich. vom Normalst	Luftdruck 7³⁰	13³⁰	21³⁰	Relative Feuchtigkeit 7³⁰	13³⁰	21³⁰	Windrichtung und Stärke 7³⁰	13³⁰	21³⁰	Bewölkung 7³⁰	13³⁰	21³⁰	Niederschlag	Witterung
1	11.8	15.9	12.4	13.4	−1.6	722.3	720.8	721.6	100	50	100	NE 0	NW 1	NW 1	10●	8	10●	4.3	● n-a, p-n
2	**11.7**	17.7	12.1	13.8	−1.3	719.9	718.3	720.4	100	44	100	N 0	NW 1	NW 0	8	8	10●	7.0	● $16^1/_4$-n mU
3	12.0	16.8	13.9	14.2	−1.0	720.2	718.7	720.5	100	55	78	W 0	NW 1	E 0	10●	8	6	0.1	● n-a
4	11.9	17.8	14.0	14.6	−0.7	719.4	718.7	720.3	86	49	90	NE 0	NW 1	E 1	4	9	10	0.9	● $14^1/_4$-$15^1/_2$ mU
5	12.9	19.7	12.3	15.0	−0.4	719.5	718.1	719.7	96	44	100	E 0	E 1	E 0	10◑	7	10	4.3	◑ n-a, ● n (5./6.)
6	12.4	16.1	18.8	15.8	0.4	718.3	718.1	719.5	100	62	99	E 0	NW 1	NW 0	10	10	10	1.6	● $14^1/_4$-16
7	12.7	19.9	16.8	16.5	1.0	718.0	716.2	716.5	92	61	68	N 0	NW 1	SE 0	3	5	0	.	
8	14.7	17.5	13.7	15.3	−0.3	718.5	716.4	**713.9**	89	49	85	SE 0	E 1	W 0	10	10●	10	6.8	● 13-n mU
9	13.3	14.1	12.3	13.2	−2.5	715.8	719.0	721.3	100	88	40	E 0	NW 0	NW 0	10●	10●	10	1.4	● n-p mU
10	12.4	18.1	14.0	14.8	−1.0	721.7	721.8	724.6	100	53	100	E 0	NW 1	NW 0	10●	6	10●	1.6	● a, p-n
11	13.8	19.5	15.7	16.3	0.4	726.0	725.7	727.3	97	45	65	SE 0	NW 1	SE 0	7	6	6	.	
12	14.0	22.8	18.6	18.5	2.6	726.5	725.4	726.5	74	43	68	SE 0	NW 1	N 1	0	3	10●	10.1	● $21^1/_4$-n
13	16.1	22.4	16.4	18.3	2.3	728.0	727.8	**729.4**	100	51	77	E 0	NW 1	SE 0	10●	7	2	0.0	● tr a
14	14.8	23.3	20.7	19.6	3.5	728.4	727.2	726.9	72	45	55	E 0	NW 0	SE 0	0	0	0	.	
15	18.3	**28.3**	20.7	22.4	6.2	725.9	724.8	727.7	62	37	97	E 0	NW 2	NW 0	0	3	10●	1.0	● p-n
16	18.3	19.5	18.4	18.7	2.4	725.7	726.0	725.3	72	65	100	SE 0	SE 2	SE 2	4	8	10	4.5	● n (16./17.)
17	17.3	25.4	18.4	20.4	4.1	723.6	722.6	724.5	97	51	100	SE 0	NW 1	NW 1	7	7	10●	5.6	● 18-n
18	16.5	24.2	18.0	19.6	3.2	723.8	720.9	724.7	97	54	80	E 0	NW 1	W 1	5	6	10	3.8	● n (18./19.)
19	15.3	14.7	14.7	14.9	−1.6	722.9	726.0	727.0	96	93	100	NW 0	W 0	NW 0	10	10●	10●	11.8	● $9^1/_2$-n
20	14.7	17.9	14.4	15.7	−0.9	725.8	725.6	726.0	98	62	98	W 0	NW 1	NW 0	10	10	0	.	
21	13.6	20.8	18.2	17.5	0.9	725.0	723.7	723.0	98	59	89	NW 0	NW 0	NW 0	0	0	0	.	
22	18.0	25.3	23.3	22.2	5.5	720.6	719.5	717.7	88	39	**36**	W 0	SE 2	SE 2	8	9	10	.	
23	19.4	18.7	12.3	16.8	0.0	717.8	717.3	718.9	72	89	100	NW 0	NW 0	NW 0	7	10●	10●	**26.4**	● $9^1/_2$-n, ⚿ $15^3/_4$-16
24	12.7	14.8	12.3	13.3	−3.6	718.6	718.6	720.1	97	95	100	E 0	NE 0	NW 0	10●	10●	10●	14.9	● n-n
25	11.8	15.7	12.1	13.2	−3.7	720.1	720.0	723.4	100	57	100	NE 0	NW 1	E 0	10●	7	10●	6.6	● n-10, 20-n
26	12.2	17.7	12.9	14.3	−2.7	723.9	723.0	726.1	99	51	100	E 0	N 1	E 0	8	8	10	2.3	● 17-n mU
27	12.4	17.4	14.4	14.7	−2.4	726.1	726.2	726.1	98	46	88	E 0	NW 1	E 0	9	5	10●	0.1	● tr a, ● p-n mU
28	13.8	15.3	13.1	14.1	−3.0	725.6	725.5	726.8	91	95	100	E 0	NW 0	NW 0	8	10●	10●	11.6	● a-n
29	13.2	12.3	13.9	13.1	−4.1	726.0	725.1	725.5	95	59	96	E 0	NW 0	NW 0	8●	10●	9	1.5	● n-a, ⛆ a-p
30	12.8	16.8	14.1	14.6	−2.7	725.7	725.2	726.2	92	69	100	SE 0	N 0	NW 0	8	10	10	1.8	● 15-21 mU
Mittel	14.2	18.9	15.4	16.2		722.7	722.1	723.3	92	59	87				7.1	7.3	8.1	Summe 130.0	

Juni 1951
Beobachter: *Observatorium.*

Genève

$\lambda = 6° 9'$, $\beta = 46° 12'$,
$H_b = 405.0$ m, $G = -0.03$ mm.

1	11.5	19.8	14.2	15.2	−0.3	726.8	725.8	725.3	88	52	78	SW 1	SSW 1	WNW 0	7	5	4	0.8	⛆ n (1./2.)
2	**11.0**	14.5	13.7	13.1	−2.5	725.0	724.5	724.8	81	83	76	SE 1	S 1	S 1	2	10●	9	2.0	● 12-p
3	13.5	18.0	15.6	15.7	0.0	724.8	724.2	724.1	81	55	78	NE 0	NNE 1	NNE 0	2	1	0	.	
4	15.0	19.2	16.6	16.9	1.0	724.2	723.2	723.7	78	56	77	NNE 1	NNE 1	NNE 0	0	1	1	.	
5	15.2	20.4	15.5	17.0	1.0	723.8	722.7	723.5	78	52	79	NNE 0	NNE 1	ENE 1	0	6	0	.	
6	13.4	20.8	15.0	16.4	0.3	722.9	722.2	723.0	88	51	85	NE 1	NNE 1	NE 1	0	1	5	.	
7	12.8	20.0	18.8	17.2	1.0	722.4	720.9	720.0	88	59	81	NE 1	NNE 1	ESE 0	1	1	8	5.1	⛆ n (7./8.)
8	15.2	19.2	13.0	15.7	−0.6	719.8	**718.5**	720.2	96	65	88	ESE 0	SW 1	SW 1	10●	7	10●	5.1	● n-a, ⛆ abd
9	13.8	14.4	13.2	13.8	−2.6	722.9	725.0	726.0	76	78	79	SSE 1	SW 1	S 1	10	10	10	.	
10	12.0	20.8	16.6	16.5	0.0	726.9	726.8	728.4	90	58	68	S 0	SW 1	SSW 0	8	9	6	.	
11	15.0	20.8	17.0	17.6	1.0	730.6	730.3	731.3	70	50	74	E 0	NNE 0	E 0	0	1	0	.	
12	15.5	26.4	19.0	20.3	3.6	731.5	730.4	731.2	82	45	92	E 0	WSW 1	SW 1	3	5	5	3.3	● n (12./13.)
13	18.8	24.6	20.0	21.1	4.3	**733.4**	733.1	732.6	79	**40**	61	NNE 1	W 1	NE 0	3	1	0	.	
14	17.3	22.2	18.5	19.3	2.4	732.5	732.6	731.0	76	58	85	E 0	NNE 1	E 0	0	0	0	.	
15	18.8	25.2	21.5	21.8	4.8	730.4	729.8	729.4	81	64	78	E 0	NE 1	E 0	0	9	9	1.5	⛆ ⚿ abd
16	19.0	25.4	20.6	21.7	4.6	728.8	729.3	728.8	92	57	85	E 0	NNE 1	ENE 1	2	1	3	.	
17	18.8	**29.0**	20.0	22.6	5.4	728.9	728.4	728.7	83	**40**	77	E 0	ENE 1	W 0	4	3	6	6.2	● tr $16^1/_2$, ⚿ n (17./18.)
18	17.2	25.4	17.6	20.1	2.8	728.1	725.6	729.2	84	60	75	E 0	NW 1	NNE 1	8	5	9	7.0	● n (18./19.)
19	15.0	19.3	16.0	16.8	−0.6	729.4	729.0	730.6	91	62	81	E 0	NNE 1	NNE 2	10	5	4	.	
20	15.0	19.0	16.8	16.9	−0.6	730.3	730.0	729.6	84	66	80	NE 1	NNE 1	**NNE** 1	9	2	0	.	
21	15.8	22.0	21.0	19.6	2.0	729.2	727.3	726.8	87	66	78	NE 1	NNE 1	ENE 0	1	2	9	2.0	● n (21./22.)
22	19.5	20.0	17.8	19.1	1.5	725.8	725.4	722.6	93	83	94	E 0	E 1	S 2	10	10	10	8.0	⛆ $18^1/_2$, n (22./23.)
23	16.5	19.0	15.0	16.8	−0.9	723.0	723.5	723.7	80	63	91	S 1	SW 1	SW 1	10	9	10	**14.0**	● n (23./24.)
24	13.5	15.0	12.8	13.8	−4.0	724.3	724.8	725.3	80	76	83	S 1	S 1	N 0	10	10	8	1.2	● a, d-n mU
25	13.2	20.2	15.2	16.2	−1.7	725.5	725.1	727.0	82	58	73	SSE 1	W 1	SSE 0	10	5	8	1.0	● n (25./26.)
26	15.0	16.8	12.4	14.7	−3.3	729.6	729.9	730.9	87	67	83	S 1	SSW 1	SSE 0	10	8	9	2.8	● n (26./27.)
27	14.8	21.2	16.6	17.5	−0.6	731.8	731.9	731.2	70	54	72	SW 1	SW 2	SSW 0	8	5	8	.	
28	17.5	22.0	14.0	17.8	−0.3	730.1	729.9	730.5	76	55	95	SSW 2	SSW 2	NNE 0	6	4	6	2.0	⛆ 15, abd
29	13.8	18.7	17.8	16.8	−1.4	730.4	729.1	729.7	86	61	80	NE 0	NE 1	NE 0	2	8	4	.	
30	14.6	20.6	16.6	17.3	−1.0	730.1	728.6	730.0	80	56	83	NE 0	NNE 1	ENE 0	2	5	5	.	
Mittel	15.3	20.7	16.6	17.5	—	727.4	726.9	727.3	83	60	80				4.9	5.0	5.5	Summe 62.0	

$\lambda = 8°\ 34'$, $\beta = 47°\ 23'$,
$H_b = 569.4$ m, $G = 0.03$ mm

Zürich

Juni 1951
Beobachter: *Meteorol. Zentralanstalt.*

Tag	Lufttemperatur 7³⁰	13³⁰	21³⁰	Mittel	Abweich. vom Normalst	Luftdruck 7³⁰	13³⁰	21³⁰	Relative Feuchtigkeit 7³⁰	13³⁰	21³⁰	Windrichtung und Stärke 7³⁰	13³⁰	21³⁰	Bewölkung 7³⁰	13³⁰	21³⁰	Niederschlag	Witterung
1	10.7	13.9	10.2	11.6	-2.6	712.2	712.1	711.9	93	66	97	SSW 1	NNW 1	SSE 1	10	10●	9	5.6	● $1^3/_4$-$2^3/_4$ mU, $10^3/_4$-$11^3/_4$ mU
2	10.5	16.5	**10.0**	12.3	-2.0	710.7	709.7	710.6	92	56	96	S 1	WSW 1	E 1	7	8	10●	17.7	● 18-24, ≡ n-$5^1/_4$
3	10.4	15.9	12.7	13.0	-1.4	711.0	710.7	710.9	97	62	81	SSW 1	SW 1	E 1	10●	8	2	1.9	● 0-$5^1/_4$, $7-8^1/_4$
4	11.8	22.6	12.6	15.7	1.2	710.5	709.9	710.3	85	**39**	95	SSW 1	WNW 1	NE 1	1	2	3	3.4	⛆ $19^1/_4$, △ I
5	13.2	17.5	12.5	14.4	0.2	710.3	709.8	709.9	80	55	92	NNE 1	WSW 1	ESE 1	9	10	7	0.6	● K 14-$14^3/_4$
6	12.9	16.1	12.5	13.8	-0.9	709.5	709.5	709.9	89	82	95	WSW 1	S 1	E 1	10	6	9	5.7	● K $12-13^1/_2$, ● $15^1/_4$-$15^3/_4$
7	13.1	22.0	15.3	16.8	2.0	709.4	708.2	707.7	90	48	72	ENE 1	NE 1	ENE 1	2	2	2	.	≡ $5^3/_4$-$6^3/_4$, △ I
8	15.3	17.3	12.9	15.2	0.3	706.0	**704.7**	704.9	76	80	89	S 0	SSW 1	SW 2	9	10●	10●	4.5	● $12^1/_2$-16, $19^3/_4$-$21^1/_2$, $23^1/_2$-24
9	12.1	11.6	12.9	12.2	-2.8	706.3	709.0	711.1	89	93	80	SW 2	WSW 2	**W** 1	10	10●	10●	3.5	● 0-$1^1/_4$, $3^3/_4$-$4^1/_4$, 9-$21^1/_2$ mU
10	12.5	17.3	13.1	14.3	-0.7	712.3	712.4	714.1	85	60	71	W 1	SW 1	**S** 1	9	8	10	0.1	● $4^1/_4$-$4^3/_4$
11	13.8	20.3	16.0	16.7	1.6	716.6	716.6	717.2	77	44	61	SSW 1	SSW 1	ENE 1	8	2	3	.	
12	14.5	24.8	17.6	19.0	3.8	717.1	716.3	716.4	68	43	78	WSW 1	SW 1	WSW 2	1	2	10●	4.4	● $21^1/_2$-n mU, △ I
13	16.3	21.1	15.1	17.5	2.2	718.6	718.9	**719.3**	74	53	70	WSW 1	WNW 2	N 1	3	3	0	.	
14	15.2	26.8	18.2	20.1	4.7	719.0	717.9	717.2	78	40	58	SSW 1	S 1	E 1	0	0	0	.	△ I
15	17.6	**28.3**	17.8	21.2	5.8	716.5	715.9	717.3	71	43	97	S 0	SW 1	N 1	0	3	9	5.5	● $20^3/_4$-$21^1/_4$, K $20^3/_4$-21
16	18.5	21.5	20.3	20.1	4.6	716.5	716.2	715.4	84	70	88	WSW 1	SE 1	E 1	5	6	10●	3.2	● K $21^1/_4$-$21^1/_2$, ● $21^1/_2$-$21^3/_4$
17	17.5	24.8	17.8	20.0	4.4	714.6	714.3	715.2	85	51	85	WSW 1	WNW 1	S 2	5	5	9	3.1	● K $15^3/_4$, 16, ● $20^3/_4$
18	16.5	25.0	15.8	19.0	3.3	715.0	712.6	714.8	84	50	94	W 2	NNE 1	NW 1	9	5	10●	8.9	● $16^3/_4$-18, $19^1/_2$-$23^1/_2$
19	11.9	11.9	11.7	11.8	-4.0	714.7	716.6	717.3	87	91	95	NNE 1	NE 1	N 1	10	10●	10	12.6	● $8^1/_4$-$13^3/_4$, $14^1/_4$-$14^3/_4$
20	11.7	18.7	14.1	14.8	-1.0	716.8	716.6	716.1	91	57	80	NNE 1	ENE 1	ESE 1	10	6	1	.	
21	12.6	24.5	18.6	18.6	2.7	715.3	713.9	713.1	94	48	59	ENE 1	ENE 1	ENE 1	9	1	8	.	
22	17.5	24.2	17.9	19.9	3.9	712.7	711.2	708.6	75	56	81	WSW 1	ENE 1	ESE 1	9	9	7	0.1	● 18-19, ⊕ $14^1/_2$
23	15.9	16.5	11.1	14.5	-1.6	709.4	709.1	709.5	83	72	93	WNW 1	WSW 2	S 1	10	10	10●	25.1	● $13^3/_4$-20, $20^1/_2$, 21-21, K $16^1/_2$, △ I
24	12.1	16.9	11.1	13.4	-2.7	709.4	709.3	710.3	92	55	96	**S** 1	W 2	SSW 1	10	8	10●	**26.5**	● 0-$8^1/_4$, $14^3/_4$-22 mU
25	10.7	15.9	12.6	13.1	-3.1	710.7	711.3	712.4	86	60	73	SSW 1	SW 1	S 2	10	7	10	4.3	●tr $6^3/_4$-$7^1/_4$ mU, ● 10-$12^3/_4$, $23-23^3/_4$
26	12.2	16.0	13.1	13.8	-2.5	714.1	714.0	715.6	73	60	65	SW 1	WSW 2	SW 2	9	9	5	0.5	● 2-$2^1/_4$, $13^3/_4$-14
27	11.1	16.5	13.8	13.8	-2.5	716.6	716.4	716.1	78	48	83	SW 1	SW 2	S 1	10●	4	10●	2.9	⛆ $1^1/_4$, ● $2^1/_2$-$2^3/_4$, $21-21^1/_2$, ●tr III
28	14.5	14.9	12.4	13.9	-2.5	715.4	715.8	716.2	73	83	93	WSW 2	WSW 1	SSW 1	10	10●	9	8.7	● 0-$3^1/_2$, $3^3/_4$-$4^3/_4$, mU, $23^1/_4$-|$0^1/_2$, K $13^3/_4$
29	12.8	16.9	13.3	14.3	-2.2	716.4	715.7	715.6	87	60	83	SSW 1	NNW 1	NE 1	6	8	3	.	
30	12.8	20.7	14.9	16.1	-0.4	716.3	715.9	716.0	85	50	75	NE 1	NNE 1	ENE 1	2	3	9	.	△ I
																		Summe	
Mittel	13.6	19.2	14.3	15.7	—	713.3	713.0	713.4	83	59	83				7.1	6.2	7.2	148.8	

$\lambda = 6°\ 32'$, $\beta = 46°\ 51'$
$H_b = 1589$ m, $G = -0{,}13$ mm

Chasseron

Juni 1951
Beobachter: *R. Colomb*

1	**24**	6.2	4.2	4.3	—	628.9	629.1	628.6	99	90	80	W 2	WNW 2	WNW 2	10≡	9	7	6.3	● $11^3/_4$-12, $13^3/_4$-14, $19^1/_2$-21, ≡ n-9
2	3.3	3.1	4.6	3.7	—	627.5	627.2	626.6	98	100	100	WSW 2	SSW 2	**SW** 2	10≡	10●≡	10●≡	23.5	● $10^1/_4$, $16^3/_4$, $17^3/_4$-n ≡ $8^3/_4$ n
3	4.1	7.0	6.8	6.0	—	628.0	628.5	628.6	100	87	93	W 1	NNW 1	NE 2	10≡	7	3	.	≡ n-$8^1/_4$
4	8.6	12.4	8.0	9.7	—	628.3	628.7	628.7	73	61	94	ESE 1	W 1	N 2	1	8	1	.	
5	8.6	10.0	7.3	8.6	—	628.2	628.4	628.0	73	68	83	E 1	N 2	N 1	1	7	3	.	
6	7.8	9.6	6.7	8.0	-	627.0	627.3	627.5	85	77	87	N 1	N 1	NE 2	5	7	3	3.5	△ $13^3/_4$-$14^1/_4$, $15^1/_2$-$15^3/_4$, $16^3/_4$-17
7	7.2	11.2	9.8	9.4	—	626.4	626.4	626.2	88	62	76	E 2	E 1	ESE 2	2	1	5	3.2	● n (7./8.)
8	7.4	8.2	5.3	7.0	—	624.2	623.5	**622.8**	98	98	100	SE 2	SSW 2	WNW 3	10●≡	10≡	10●	**32.4**	● $3^1/_2$-$11^1/_2$, $16^1/_2$-n, ≡ $7^1/_4$-8,
9	5.1	6.2	4.9	5.4	-	624.5	627.5	628.5	100	100	100	WNW 3	W 2	WNW 2	10●≡	10●≡	10≡	13.4	● n-$17^3/_4$, ≡ n-n |11-16 mU, 16-n
10	4.0	7.6	5.4	5.7	—	629.1	630.3	631.5	100	81	95	WNW 2	W 2	WNW 2	10≡	6	7	.	≡ n-$9^1/_4$
11	6.3	10.2	10.4	9.0	—	633.4	634.5	635.3	72	73	82	SW 1	SSW 1	NW 2	3	6	3	.	
12	10.3	14.1	11.2	11.9	—	634.9	635.4	635.4	74	83	98	**S** 1	S 1	SW 3	3	7	10	21.4	K ● △ 19-$19^1/_2$, $20^1/_4$-$20^1/_2$
13	7.3	12.1	11.2	10.2	—	636.0	637.2	**637.4**	100	64	65	WNW 3	WNW 2	SSE 2	10≡	4	1	.	≡ n-$8^1/_2$
14	14.8	**19.9**	16.8	17.2	—	637.0	637.3	637.1	**26**	54	51	**W** 1	WNW 1	**S** 1	1	1	1	.	
15	15.1	16.3	13.4	14.9	—	635.9	636.5	636.4	72	91	77	SSE 2	WNW 3	ESE 2	1	9	8	.	
16	13.0	18.1	14.8	15.3	—	635.7	635.4	634.6	92	67	90	**S** 2	W 2	WNW 1	9	6	7	1.8	K ● $7^3/_4$-8, △ $8^1/_4$-9
17	12.0	15.3	10.3	12.5	—	634.0	633.7	633.9	98	84	99	S 2	**S** 1	SSE 3	10≡	9	7	23.4	△ $9^1/_4$-$9^3/_4$, $14^1/_4$-$14^1/_2$, *)
18	9.1	13.6	7.2	10.0	—	632.7	632.1	633.0	100	90	100	S 3	S 3	W 3	10	9	10	18.2	● K $4^1/_2$-$5^3/_4$, ● 6-$6^1/_2$, *)
19	6.0	7.8	6.4	6.7	—	632.6	633.1	633.8	100	100	100	NW 2	NNW 1	NNW 1	10●≡	10●≡	10	7.3	● n-$14^1/_4$, ≡ n-$21^1/_4$
20	5.8	9.3	7.6	7.6	—	633.3	633.9	633.5	98	94	95	E 2	ESE 1	E 2	10≡	9	1	.	≡ $7^1/_4$-$10^3/_4$
21	10.3	14.8	13.9	13.0	—	633.0	633.1	632.7	74	67	60	S 2	S 2	NW 3	1	2	6	1.4	● n (21./22.)
22	10.4	11.6	11.8	11.3	-	631.5	630.8	628.1	93	84	92	S 2	SSW 2	ESE 1	9	10●	10	25.5	● $12^1/_4$-$13^3/_4$, △ $18-19^1/_2$, ● n
23	6.7	6.8	6.0	6.5	—	627.5	627.5	626.5	100	100	100	WSW 2	SW 2	WSW 3	10≡	10●≡	10	14.0	● $7^3/_4$-$15^1/_4$, ≡ n-n |22.-23.|
24	3.7	4.6	3.4	3.9	—	626.4	626.9	627.7	100	100	98	WSW 3	WNW 3	W 3	10≡	10●	9	5.4	● $10-11^1/_4$, ● $13^3/_4$-$14^1/_4$, ≡ n-$21^1/_4$
25	2.9	5.4	4.8	4.4	-	627.5	628.6	629.5	100	98	89	NW 2	WNW 2	WNW 2	10●	8	3	6.0	● n-$10^3/_4$, △ $15-15^1/_4$, *
26	4.1	4.2	3.6	4.0	-	631.2	631.3	632.1	100	100	97	WNW 3	WNW 3	W 4	10	10●	5	6.9	● $8^1/_4$-$14^1/_4$, ≡ n-17
27	2.9	5.7	6.3	5.0	—	633.3	634.3	633.6	100	82	98	W 3	**W** 2	WNW 3	10	9	10≡	6.0	● $14^3/_4$-15, n (27./28.), ≡ $14^1/_2$-n
28	6.2	7.2	5.3	6.2	—	633.0	633.5	633.5	100	100	92	NW 3	NW 3	NNW 3	10●	10●	4	13.0	● n-$9^1/_4$, $15-15^3/_4$, $17^1/_4$-$17^3/_4$, $19^1/_4$-$20^1/_4$
29	6.3	8.0	7.8	7.4	—	633.3	633.3	633.1	82	80	80	WNW 1	N 1	NE 1	5	9	6	0.6	△ $12^1/_4$-$12^3/_4$, |≡ n-11
30	7.7	9.7	8.2	8.5	—	633.2	633.7	634.0	86	73	95	E 2	E 1	ENE 2	3	6	6	.	
																		Summe	
Mittel	7.3	9.9	8.1	8.4	—	630.9	631.3	631.3	89	84	89				7.1	7.6	6.2	229.9	

*) **17.** $16^3/_4$-$17^1/_4$, ≡ 7-$8^1/_4$, $16^3/_4$-$20^1/_4$ **18.** 17-$19^1/_4$, K 17-$17^1/_2$, ≡ $4^1/_2$-$10^3/_4$, $15^3/_4$-n **25.** $16^3/_4$-$17^1/_4$, ≡ n-$12^3/_4$

Juni 1951
Beobachter: *B. Minsch und C. Clavuot*

Bever

$\lambda = 9° 53'$, $\beta = 46° 33'$,
$H_b = 1711.8$ m, $G = -0.23$ mm

Tag	Lufttemperatur					Luftdruck			Relative Feuchtigkeit			Windrichtung und Stärke			Bewölkung			Niederschlag	Witterung
	7^{30}	13^{30}	21^{30}	Mittel	Abweich. vom Normalst	7^{30}	13^{30}	21^{30}	7^{30}	13^{30}	21^{30}	7^{30}	13^{30}	21^{30}	7^{30}	13^{30}	21^{30}		
1	6.4	6 9	5.2	6.2	−2.0	620.1	620.6	619.9	81	79	78	SW o	SW 1	SW o	5	10●	5	7.5	● 9^1_2-p
2	8.4	8.2	2.8	6.5	−1.8	618.5	617.5	619.7	66	64	97	NE o	SW o	NE o	5	8	3	.	
3	6.5	12.4	3.4	7.4	−1.0	619.1	618.9	620.6	77	50	87	S o	SW 1	E o	2	6	4	.	⊔ |
4	4.2	13.9	6.0	8.0	−0.5	620.0	619.2	620.0	91	40	76	SW o	SW 2	SW o	2	5	1	.	⊔ |
5	4.8	11.4	8.0	8.1	−0.5	618.4	618.4	618.5	90	51	63	SW o	NW 1	N o	4	8	10	.	
6	6.6	9.9	8.2	8.2	−0.5	617.1	617.2	619.2	81	57	67	NE o	NW 1	NW 1	9	9	10●	1.7	● 20^1_2-n mU
7	8.8	10.2	7.2	8.7	−0.1	618.2	618.2	618.5	75	56	67	SE o	SE o	W o	1	2	0	.	
8	11.4	10.6	5.6	9.2	0.3	617.2	615.2	616.2	57	81	97	SW 1	SW o	SW o	10	10●	10●	8.4	● 11^1_4-15^1_2, 17^1_4-18^3_4, | 21^1_4-n
9	8.4	10.1	7.7	8.7	−0.3	**614.3**	616.7	619.2	77	70	87	NW o	NE o	NE o	10	10	8	.	
10	9.6	15.0	7.8	10.8	1.7	619.3	620.1	622.5	68	44	76	SW o	**SW** 1	NE 1	9	7	6	.	
11	8.2	14.0	7.3	9.8	0.6	624.6	624.9	627.1	72	39	61	SW o	W 1	N o	5	4	2	.	
12	7.8	17.2	9.0	11.3	2.0	627.6	627.0	627.5	64	43	89	S o	SW o	W o	0	9	5	.	⊔ |
13	10.0	16.0	6.8	10.9	1.5	626.9	627.2	**630.2**	83	41	70	SW o	NW 1	NE o	8	5	0	.	
14	8.8	**21 6**	10.5	13.6	4.1	629.0	627.8	628.8	63	**31**	61	NW o	NW 1	NE o	0	0	0	.	
15	9.8	14.2	10.7	11.6	2.0	628.5	627.2	628.3	61	32	40	NE o	SW 1	WSW o	0	0	8	.	⊔ |
16	14.5	19.7	8.3	14.2	4.5	627.4	625.8	627.4	68	40	87	W o	W o	NW o	1	9	2	4.8	● 14^3_4-16^1_2, ⛥ p
17	10.4	21.4	12.3	14.7	4.9	626.5	625.5	626.6	86	38	86	W o	SW o	NW o	5	2	9	3.5	● 2^1_4-21
18	11.4	20.3	8.8	13.5	3.6	625.6	624.4	624.9	85	39	97	SW o	SW 1	SW o	1	4	5	2.4	● 18^1_2-19, ≡ n-6^3_4
19	10.8	11.7	8.8	10.4	0.4	623.4	624.2	624.9	89	77	94	SE o	SW o	SW o	2	6	8	5.2	● n (19./20.)
20	8.2	18.3	12.6	13.0	2.9	625.4	623.7	626.2	92	39	64	NE o	SW o	NE o	6	**8**	6	.	
21	10.9	20.1	9.4	13.5	3.4	626.1	624.6	625.8	76	34	86	S 1	SW o	SW o	5	2	1	.	
22	11.2	18.0	12.8	14.0	3.8	625.1	623.5	622.8	79	54	82	SE o	SW o	SW o	4	3	2	.	
23	13.3	16.2	7.9	12.5	2.2	620.7	618.5	619.3	71	58	93	W o	SW 1	NE o	8	9	10	16.2	● 17^1_2-21^1_4
24	7.4	7.2	5.4	6.7	−3.7	617.9	618.5	618.9	94	86	99	S o	SW o	SW o	10	10●	9	**37.7**	● 11^1_2-16^1_4, ✶ 16^1_4-20^3_4
25	**2 0**	15.2	6.2	7.8	−2.6	618.7	619.6	621.5	100	65	80	**S** o	SW o	SW o	10	4	10	5.8	✶ n-7^1_4
26	6.4	14.6	7.8	9.6	−0.9	622.1	622.0	623.2	90	32	67	SE o	SW o	NE o	6	5	5	0.8	✶fl n-a mU
27	6.5	12.8	7.6	9.0	−1.6	623.7	623.5	625.4	91	42	63	S o	SW o	W o	5	7	3	.	
28	7.4	13.6	8.0	9.7	−0.9	624.7	623.6	624.6	83	39	90	SW o	SW 1	NE o	6	8	9	.	
29	8.2	13.2	9.6	10.3	−0.4	624.0	623.3	624.2	86	39	62	E o	W 1	NW o	3	2	1	.	
30	9.0	13.0	7.8	9.9	−0.9	624.6	624.3	625.1	75	60	99	NE o	S 1	NE o	8	9	10●	4.9	● 13-n mU
																		Summe	
Mittel	8.6	14.2	8.0	10.3	—	622.5	622.0	623.2	79	51	79				5.0	6.0	5.4	98.9	

Juni 1951
Beobachter: *Couvent des Capucins.*

Sion

$\lambda = 7° 21'$, $\beta = 46° 14'$,
$H_b = 548.6$ m, $G = -0.11$ mm.

1	**11.1**	19.9	14.7	15.2	−1.2	714.7	712.7	712.9	90	48	56	NNW 1	WSW 2	SW 1	7	5	2	.	
2	13.4	19.3	16.0	16.2	−0.3	713.0	711.0	712.1	74	52	65	SW 1	SW 1	SW 1	8	9	8	0.4	●tr p-n mU
3	15.6	22 9	15.1	17.9	1.3	712.6	711.2	711.6	72	42	60	WSW 1	SW 1	WNW 1	4	2	1	.	
4	14.3	24.5	17.4	18.7	2.0	712.3	710.6	711.0	69	40	47	NW 1	SW 2	WNW o	0	5	2	.	
5	16.0	18.9	16.8	17.2	0.4	711.6	710.6	710.9	62	50	64	NW 1	NNW 3	WSW 1	2	10	7	0.0	●tr 13^1_2-14^1_2
6	13.5	22.2	15.3	17.0	0.1	713.2	709.6	710.5	74	44	63	WNW o	WSW 2	WSW o	9	7	2	.	
7	14 7	24.9	18.5	19.4	2.4	711.1	708.3	708.4	72	43	64	NW 1	W 2	**WSW** 1	0	2	4	.	
8	16.0	16.9	11.8	14.9	−2.2	708.2	**707.7**	708.1	89	63	100	WNW 1	NNW 2	N o	9	9	10●	9.8	● a-n mU
9	12.1	16.2	11.9	13.4	−3.8	710.3	712.3	713.8	100	71	93	NNE o	N o	WSW o	10●	10	2	1.6	● n-13 mU
10	15.8	19.3	16.5	17.2	−0.1	714.2	714.6	715.5	73	61	58	WSW o	SW 3	SW 1	9	10	8	.	
11	15.9	23.9	16.5	18.8	1.5	718.3	716.9	718.6	66	42	51	NW o	SW 1	NW 2	1	2	0	.	
12	15.7	26.7	18.1	20.2	2.8	720.1	717.6	719.9	63	**36**	76	NW 1	NW o	SW o	0	4	10●	1.1	⛆ 20-n
13	17.9	24.7	18.2	20.3	2.8	719.9	718.9	720.2	80	51	51	W o	SW 2	WSW 1	4	2	0	.	
14	17.5	27.9	20.9	22.1	4.5	**721.5**	718.7	719.0	60	42	42	NW 1	W 2	SW o	0	0	0	.	
15	18.3	**28.9**	19.4	22.2	4.5	719.7	717.2	719.7	55	38	84	NW 1	WSW 2	SW o	0	0	10	0.0	⛆ 19^1_4-19^1_2
16	21.0	23.4	20.6	21.7	3.9	719.1	718.5	717.8	60	64	73	NW 1	NNE o	N 1	4	2	10	0.4	⛆ 11, 20^1_4
17	17.9	26.0	18.7	20.9	3.0	717.8	715.5	718.8	77	52	80	NNE o	WSW 2	SW o	7	7	8	7.7	● 18^1_4-20^1_2, n (17./18.)
18	18.8	23.9	19.2	20.6	2.7	717.2	714.8	717.7	78	52	80	NNW o	NW 1	SW 1	3	10	10●	11.0	⛆ 13^1_4, ● 13^3_4-15^1_4, 20-n
19	16.9	20.6	16.6	18.0	0.0	716.3	716.1	717.1	87	62	76	W o	WSW 1	WSW o	10●	8	5	2.5	● n-p mU
20	17.7	22.9	16.9	19.2	1.1	717.4	716.1	716.3	75	53	76	WSW 1	SW 2	WSW 1	4	1	0	.	
21	17.5	26.6	20.0	21.4	3.2	717.0	714.3	714.6	73	43	63	WNW 1	WNW 1	WSW 1	0	1	4	.	
22	18.6	25.4	20.7	21.6	3.3	715.2	712.6	711.0	76	46	58	NW o	NNE 2	NNE 1	9	10	9	0.3	●tr p
23	17.3	15.4	12.1	14.9	−3.5	711.1	710.5	712.9	90	85	100	WSW 1	SW 4	NNW o	10	10●	10●	**15 8**	● a mU, 12^1_2-18^1_2 mU, 21^1_4-n,
24	14.1	18.8	15.3	16.1	−2.3	711.9	710.6	712.5	81	53	59	NNW 1	SSW 3	SW o	9	10	9	0.0	●tr 15^1_4-16^1_4 [⛥ 18^1_4-19^1_2
25	13.8	18.8	13.8	15.5	−3.0	713.0	712.1	714.3	73	51	69	SW o	WSW 1	SW o	8	3	6	.	
26	14.8	19.8	13.4	16.0	−2.6	716.3	715.3	718.0	70	44	61	NW 1	WSW 2	WSW o	8	8	2	.	
27	15.9	21 2	15.8	17.6	−1.1	718.9	718.0	718.8	63	45	66	WSW o	SW 2	SW 2	5	3	9	0.0	●tr 21^1_2-22
28	16.9	23.1	16.3	18.8	0.0	718.4	716.4	718.1	73	50	76	SW o	SSW 2	SW o	6	2	9	1.2	⛆ 17, ●tr 20
29	15.9	23.6	17.3	18.9	0.1	718.1	715.4	716.1	75	39	59	WNW 1	SW 2	WSW o	1	3	1	.	
30	16.7	21.2	16.0	18.0	−0.9	717.7	716.1	717.3	72	56	83	NW 1	SW 1	WSW o	8	9	9	0.2	● 18-18^1_2
Mittel	16.0	22.3	16.7	18.3	—	715.5	714.0	715.1	74	51	68				5.2	5.5	5.6	52.0	

$\lambda = 8°\,57'$, $\beta = 46°\,0'$,
$H_b = 276.2$ m, $G = -0.01$ mm.

Lugano

Juni 1951
Beobachter: *G. Vicari.*

Tag	Lufttemperatur 7³⁰	13³⁰	21³⁰	Mittel	Abweich. vom Normalst	Luftdruck 7³⁰	13³⁰	21³⁰	Relative Feuchtigkeit 7³⁰	13³⁰	21³⁰	Windrichtung und Stärke 7³⁰	13³⁰	21³⁰	Bewölkung 7³⁰	13³⁰	21³⁰	Niederschlag	Witterung
1	12.2	18.8	15.2	15.4	−2.0	737.4	735.9	735.7	93	33	56	N 1	SSE 1	NE 1	10●	1	1	8.8	● $7^1/_2$–8, n (1./2.)
2	11.8	18.4	15.2	15.1	−2.4	736.0	734.0	734.3	95	27	63	NNE 1	E 2	— 0	10●	4	5	5.3	● n–9
3	12.8	20.8	16.4	16.7	−1.0	734.8	734.0	735.3	74	48	55	E 1	S 1	NE 1	1	7	10	3.3	●tr 13, 17, ● n (3./4.)
4	15.0	21.4	14.6	17.0	−0.8	736.3	735.2	735.1	85	37	91	N 1	SSE 1	N 1	9	4	3	13.1	⛆ $18^1/_4$–$18^3/_4$, ● $18^3/_4$–19,
5	14.2	23.6	17.4	18.4	0.5	733.7	731.9	731.5	80	35	63	S 1	S 1	— 0	0	1	2	.	[K ▲ $18^1/_4$
6	14.8	26.4	21.2	20.8	2.8	730.7	730.0	731.0	55	**16**	18	W 1	N 2	N 2	0	0	2	.	
7	15.2	25.6	19.2	20.0	1.8	732.2	731.1	733.2	49	27	53	E 1	S 1	N 1	0	0	3	3.2	● n (7./8.)
8	16.2	16.2	12.8	15.1	−3.2	732.7	731.3	730.2	91	92	96	N 1	N 1	N 1	10●	10●	10●	36.5	⛆ n–p mU, ● $18^1/_2$–n,
9	12.4	22.6	21.2	18.7	0.3	**728.9**	729.4	732.6	85	36	22	N 1	S 1	S 1	1	3	0	.	[K $12^1/_2$
10	16.8	21.6	18.4	18.9	0.4	735.1	735.5	736.4	51	45	59	N 1	S 1	N 1	9	9	0	.	
11	15.4	24.4	18.6	19.5	0.9	739.1	740.1	741.9	52	41	53	NNE 1	S 1	N 1	0	1	3	.	
12	17.4	22.4	19.4	19.7	0.9	743.9	**744.2**	742.8	68	49	63	NW 1	S 1	N 1	9	5	9	.	
13	17.4	26.4	21.2	21.7	2.8	742.2	741.1	741.8	70	41	44	E 1	E 1	— 0	0	2	0	.	
14	17.2	27.4	22.2	22.3	3.3	744.0	742.5	742.2	51	37	53	N 1	S 1	N 1	0	0	0	.	
15	19.4	**28.2**	23.4	23.7	4.6	742.8	741.7	740.9	77	45	51	E 1	S 1	N 1	1	1	9	.	
16	21.8	26.2	18.8	22.3	3.1	741.3	740.0	741.0	71	53	77	N 1	S 1	N 1	7	6	7	23.1	⛆ $13^3/_4$, 23, K ▲ ● $11^1/_4$–$15^1/_4$
17	18.4	27.6	18.8	21.6	2.3	740.5	739.7	740.1	76	31	89	E 1	E 1	N 1	9	0	2	3.7	K $17^3/_4$, ● $17^1/_2$–$18^3/_4$
18	18.8	27.4	19.4	21.9	2.5	739.5	738.4	738.1	75	36	88	NE 1	S 1	NNW 1	1	4	10	7.7	● 10–17, n (18./19.), K $17^3/_4$
19	18.8	19.4	18.4	18.9	−0.6	737.6	738.5	738.6	73	83	59	NW 1	W 1	— 0	9	10	6	4.4	● $11^1/_4$–12, ●tr 14, K $11^1/_4$
20	16.4	27.2	23.2	22.3	2.7	738.8	738.2	738.4	65	26	41	E 1	NE 1	N 1	1	0	7	0.6	⛆ n (20./21.)
21	18.6	27.2	22.4	22.7	3.0	741.1	739.9	740.0	63	37	58	N 1	S 1	N 1	4	1	8	.	
22	20.0	23.2	21.4	21.5	1.7	740.1	738.9	737.6	72	48	57	N 1	S 1	NNW 1	10	10	10	.	
23	20.4	21.4	15.2	19.0	−0.9	735.5	733.0	732.1	65	74	93	N 1	S 1	NW 1	10	10●	10●	27.6	⛆ 12–n mU, K $19^1/_2$, 22
24	14.2	13.4	13.2	13.6	−6.4	733.6	733.5	734.7	76	95	82	N 1	N 1	E 1	10	10●	10●	**94.6**	● $11^1/_2$–$16^1/_2$, $19^1/_2$–n, K $11^1/_2$–$11^1/_2$
25	**11.8**	21.6	17.4	16.9	−3.2	735.0	734.6	736.5	92	32	41	N 1	S 1	E 1	8	1	7	5.9	⛆ $16^1/_2$, ● n (25./26.)
26	13.4	23.2	16.6	17.7	−2.5	738.3	737.6	738.4	77	32	45	N 1	S 1	N 1	0	1	0	.	
27	15.4	24.2	20.8	20.1	−0.2	739.8	739.6	740.2	61	35	42	N 1	S 1	N 1	3	1	6	.	
28	17.4	21.2	17.2	18.6	−1.8	741.1	740.0	739.2	65	48	83	NNE 1	N 1	N 1	8	9	2	1.1	●tr $14^1/_2$, ● $19^3/_4$–$20^1/_4$
29	15.4	25.4	17.4	19.4	−1.1	739.2	737.9	738.9	65	34	89	N 1	SSE 1	N 1	1	3	10●	7.3	● $19^3/_4$–n, K $19^3/_4$
30	15.2	17.8	16.4	16.5	−4.1	741.6	741.2	740.6	90	57	74	NW 1	E 1	N 1	10●	10	6	6.0	● n–$10^1/_2$, ⛆ $19^1/_2$
																		Summe	
Mittel	16.1	23.0	18.4	19.2	—	737.8	736.9	737.3	72	44	62				5.0	4.2	5.3	252.2	

$\lambda = 7°\,35'$, $\beta = 47°\,33'$,
$H_b = 317.3$ m, $G = 0.11$ mm.

Basel

Juni 1951
Beobachter: *Astronom.-Meteorol. Anstalt.*

1	12.0	13.3	10.8	12.0	−2.6	733.6	733.3	733.3	95	90	97	S 1	ESE 1	SE 0	10	10●	10	8.0	● $9^3/_4$, $12^1/_4$–17 mU, $21^3/_4$–22, *)
2	11.8	15.1	11.6	12.8	−1.9	732.4	731.5	731.6	88	73	93	E 1	WNW 1	E 1	6	10	10	15.0	● $11^1/_4$–$11^1/_2$, $15^3/_4$–$24^1/_4$ mU,
3	13.8	18.8	12.6	15.1	0.3	732.5	732.7	732.2	82	57	93	W 1	N 1	S 0	8	6	0	.	[T 12, K $12^1/_4$–13
4	13.2	23.0	14.8	17.0	2.1	732.4	731.3	731.8	82	43	85	E 1	NW 1	W 1	0	3	1	.	
5	12.4	21.3	12.7	15.5	0.5	732.2	731.1	731.4	93	55	97	NW 0	NW 1	ENE 1	10	6	1	3.3	● $16^1/_2$–$17^3/_4$, $23^1/_4$–$23^1/_2$, K $15^3/_4$–17
6	14.0	21.2	13.3	16.2	1.1	730.8	730.3	731.2	91	57	92	S 0	NNW 1	SE 0	10	3	5	3.4	● $15^1/_4$–$16^1/_4$, K $15^1/_2$–16, $17^1/_2$–18
7	11.9	22.0	17.4	17.1	1.9	730.9	729.2	728.4	97	59	73	ESE 1	NNE 1	E 1	10≡	2	4	.	≡ 2–8
8	14.2	14.4	13.9	14.2	−1.1	727.4	726.5	**726.2**	83	96	92	WNW 1	SSW 1	SSE 1	10	10●	10●	**19.6**	● $12^3/_4$–21 mU, K $12^3/_4$, T $12^1/_4$
9	13.6	16.2	14.6	14.8	−0.6	727.3	730.1	732.7	93	89	80	WSW 1	SSW 1	WSW 1	10	10	10	1.8	● –$2^1/_4$ m, $8^3/_4$–$9^3/_4$, $10^3/_4$–
10	14.2	19.8	14.9	16.3	0.8	733.5	733.8	735.8	86	60	74	ESE 0	NW 1	WSW 1	10	9	10	.	[$11^3/_4$
11	16.5	22.0	15.3	17.9	2.3	728.2	738.2	738.8	73	52	88	SE 1	WNW 1	SW 1	0	8	5	.	
12	16.0	26.4	17.6	20.0	4.3	738.8	737.2	738.4	73	53	93	E 0	WSW 1	WSW 1	1	4	10	5.4	● $19^3/_4$–$22^1/_2$ mU, ⊕ 14,
13	16.6	21.9	15.1	17.9	2.1	740.7	740.8	**740.9**	86	52	76	WNW 1	WNW 1	SSW 1	9	2	0	.	[♉ $22^1/_2$
14	16.4	**29.8**	18.5	21.6	5.7	740.2	738.8	738.0	73	**42**	81	E 1	SSE 0	S 1	0	0	0		
15	19.2	28.5	19.2	22.3	6.3	737.1	737.3	738.1	73	53	85	ESE 1	WNW 2	S 1	0	7	5	.	
16	19.2	23.8	19.5	20.8	4.7	738.1	737.3	736.8	80	66	75	E 0	NNE 1	NNW 1	10	2	7	2.3	● $^1/_2$, 10, $10^3/_4$–11, K $7^3/_4$–10
17	20.2	22.4	18.9	20.5	4.3	735.5	735.8	736.3	77	79	87	ESE 1	NW 0	WSW 1	6	10	10	5.8	● $8^1/_4$–$8^3/_4$, K $18^1/_4$–$8^3/_4$, *)
18	10.0	26.4	14.6	19.0	2.7	735.7	732.8	737.1	93	63	84	ESE 1	ENE 1	WSW 1	10●	7	10	6.0	● $6^1/_4$–$8^3/_4$, $18^1/_2$–$18^3/_4$, *)
19	**10.7**	13.6	13.5	12.6	−3.8	738.3	738.4	738.8	95	82	90	WNW 1	E 1	NNE 1	10●	10	10	4.4	● $6^3/_4$–$10^3/_4$, 11–$11^1/_4$
20	14.2	21.1	16.5	17.3	0.8	738.8	738.1	737.7	88	61	84	NW 0	NE 1	ENE 1	4	5	1	.	
21	15.2	25.8	18.5	19.8	3.2	736.9	734.7	733.7	77	52	87	NE 1	NE 1	NE 0	1	0	4	1.0	⛆ 1
22	16.0	24.4	17.1	19.2	2.5	733.7	732.1	729.9	90	69	93	ESE 1	E 1	WSW 1	10	10	10	8.5	● $5^1/_4$–$7^3/_4$, $16^1/_2$–$17^3/_4$, n (22./23.)
23	10.3	16.1	14.1	15.5	−1.2	730.9	730.6	729.9	89	92	91	W 0	NW 1	ESE 1	10	10●	10	2.9	● $12^3/_4$–$13^3/_4$, 10–$10^1/_2$
24	16.8	17.5	12.7	15.7	−1.1	730.2	731.0	732.1	64	67	87	NE 0	WSW 1	SSW 1	7	8	10	.	
25	13.6	17.0	13.8	14.8	−2.1	732.1	732.6	733.7	79	66	85	SSW 1	W 0	WSW 1	10	10●	8	1.3	● 11–$13^3/_4$ mU, T $20^3/_4$–21
26	14.7	15.0	12.3	14.0	−3.0	735.5	736.2	737.2	85	72	82	SSE 1	WSW 2	W 1	10	10	8	1.7	● $5^1/_4$–$6^3/_4$, $10^1/_4$–$10^1/_2$, *)
27	13.5	20.4	14.9	16.3	−0.8	738.3	738.5	737.8	83	51	80	S 1	WSW 1	SSW 1	10	5	10	3.2	● 21–$21^1/_4$, $22^1/_4$–24 mU
28	14.4	15.2	13.8	14.5	−2.0	737.0	737.5	738.0	90	88	92	SW 1	WNW 1	SSE 1	10●	10●	10●	1.6	● 0–$8^3/_4$ mU, $13^1/_4$–$14^1/_4$ mU, 17–
29	14.2	18.1	14.4	15.6	−1.6	738.1	737.4	738.0	85	65	69	E 1	NW 1	W 1	8	10	5	.	[$21^3/_4$ mU, K $12^3/_4$
30	11.2	20.1	16.0	15.8	−1.5	738.9	738.0	738.5	95	66	68	SSW 1	WNW 1	WNW 1	10≡	9	10	.	≡ $4^3/_4$–$7^3/_4$
																		Summe	
Mittel	14.7	20.3	15.1	16.7	—	734.9	734.4	734.8	84	66	85				7.3	6.9	6.8	95.2	

*) 1. T $12^1/_2$, K $14^1/_4$–15. 17. T⛆ $18^1/_4$–$18^3/_4$ 18. K $7^1/_4$–8, T $5^1/_2$–8, p 26. $17^3/_4$, $22^1/_2$–24, ⛈ $17^3/_4$

Juni 1951
Beobachter: *Observatorium*

Säntis

$\lambda = 9°\,20'$, $\beta = 47°\,15'$,
$H_b = 2500.1$ m, $G = -0.27$ mm

Tag	Lufttemperatur 7³⁰	13³⁰	21³⁰	Mittel	Abweich. vom Normalst	Luftdruck 7³⁰	13³⁰	21³⁰	Relative Feuchtigkeit 7³⁰	13³⁰	21³⁰	Windrichtung und Stärke 7³⁰	13³⁰	21³⁰	Bewölkung 7³⁰	13³⁰	21³⁰	Niederschlag	Witterung
1	-2.2	0.0	-1.5	-1.2	-2.7	561.9	562.1	561.9	100	100	100	WSW 2	WSW 2	WSW 2	10≡*	10 *	1 *	7.5	✳ n-8, 9¹/₂-11¹ ₂, 18³ ₄-n, ≡ n-n
2	-0.8	2.8	-0.8	0.4	-1.2	560.9	560.6	560.8	84	68	100	WSW 1	WNW 1	E 1	9	8*	10≡	16.0	✳ 9¹/₄-12¹/₂, 14¹/₄-n mU, *)
3	-1.2	0.1	-0.7	-0.6	-2.3	560.6	561.5	562.4	100	100	98	SW 3	WSW 2	SW 2	10≡*	10≡*	3	0.6	✳ n-14, ≡ n-19
4	3.0	5.4	1.0	3.1	1.3	561.6	562.3	562.4	70	70	100	WSW 1	SW 2	WSW 2	3	9	8	3.8	⛆ ✳ △ 18¹ ₄-19, 19¹ ₂-20¹ ₂, *)
5	0.4	3.8	-0.2	1.3	-0.6	561.1	561.3	561.0	100	78	100	WSW 2	NW 2	WNW 2	10≡	9	9	9.7	△ 9¹/₂-18 mU, ⛆ 15-15¹/₄, *)
6	-0.4	1.8	0.1	0.5	-1.5	559.8	560.6	561.3	100	95	100	W 2	N 1	NW 2	10≡	10≡*	10	6.9	△ ✳ n-n mU' ≡ n-17¹/₄
7	4.0	5.4	4.2	4.5	2.4	560.8	561.2	561.3	63	64	76	ENE 1	ESE 1	SW 2	2	9	2	.	
8	7.9	4.2	2.2	4.8	2.7	559.7	558.4	557.4	50	85	95	ESE 1	SE 3	SSE 2	8	10	8	11.5	● 10¹/₂-11¹/₂, 21-21¹/₂
9	0.5	0.4	1.1	0.7	-1.5	557.4	559.4	562.2	100	100	100	SW 3	SW 3	NNW 1	10≡●	10≡●	10≡●	4.8	● n-n mU, ≡ n-n
10	-0.4	1.9	0.1	0.5	-1.8	561.8	563.1	564.1	100	100	100	W 3	W 2	WNW 2	10≡*	10≡	10≡	0.4	✳ n-8, ≡ n-n mU
11	-0.2	3.5	2.1	1.8	-0.6	566.0	567.6	569.0	100	80	86	WNW 2	W 2	W 2	10≡	7	8	.	≡ n-13⁸/₄ mU
12	4.3	8.8	5.1	6.1	3.6	568.5	569.5	569.9	70	50	100	SW 2	SW 2	W 3	1	7	10≡	24.4	▽ 22-22¹ ₂, ≡ 20³ ₄-n, ⊕ a-p
13	3.4	4.3	3.4	3.7	1.1	569.2	570.0	570.9	100	98	100	WNW 3	WSW 3	W 3	10●	9	1	0.2	● 6¹/₂-7³/₄, ≡ n-20³/₄ mU
14	7.1	9.4	8.4	8.3	5.6	571.0	571.8	571.9	20	35	95	WSW 3	W 2	W 2	1	1	1	.	
15	12.5	15.1	8.3	12.0	9.4	571.3	571.4	571.6	10	41	100	SW 2	SW 1	SW 2	1	7	9	0.0	●tr 20-20¹/₂, ●△ 21-21⁸/₄, *)
16	9.7	9.2	7.8	8.9	6.1	570.4	570.3	569.7	70	60	80	W 2	W 2	SW 2	4	7	10≡●	4.8	⛆ ● 11⁸/₄-12¹/₂, 21-21¹/₂, *)
17	9.4	14.6	5.8	9.9	7.0	568.8	569.0	568.6	55	60	96	WSW 2	SSW 2	WSW 3	8	8	10 ●	4.0	⛆ 16¹ ₂-17, 20, ● 18-18¹ ₄, *)
18	10.1	11.7	4.7	8.8	5.8	568.1	567.7	567.1	52	75	100	WSW 2	SW 2	WSW 3	3	2	10 ●	18.2	● 17-18¹ ₄, 20³ ₄ n, *)
19	6.2	0.1	1.4	2.6	-0.5	565.6	566.4	567.4	100	100	86	S 3	NW 2	NW 2	6	10≡*	9	*15.0	● 8¹/₄-11¹/₄ mU, *)
20	6.7	7.2	4.8	6.2	3.0	567.0	567.5	568.0	39	80	34	ENE 1	S 1	W 2	1	2	1	.	≡ 9⁸/₄-17¹/₂ mU, ⊕ a
21	9.0	11.4	8.5	9.6	6.3	567.7	568.3	568.2	44	45	65	SW 1	SSW 1	SW 2	1	3	6	.	
22	7.8	11.7	7.5	9.0	5.6	566.8	566.5	564.5	55	72	82	SW 2	SSW 2	SSE 3	9	9	7	0.1	● 18¹ ₄-19, ⊕ a p
23	8.2	8.8	5.0	5.7	2.2	562.6	561.8	560.5	85	95	100	SSW 3	SE 3	W 3	3	8	10*	24.1	▽ 14³ ₄-15, ⛆ ● 16, *)
24	-0.1	4.1	-1.7	0.8	-2.7	560.2	560.6	560.2	100	87	100	SW 1	WSW 1	W 2	10≡	10≡●	10 *	34.0	✳ 6-9 mU, ✳ ● 10⁸ ₄-13¹ ₂, *)
25	-2.0	0.7	-0.9	-0.7	-4.3	560.0	561.5	563.0	100	93	92	W 2	W 2	NW 2	10 *	10≡	8	5.7	✳ n-10³ ₄, ▽ 13³ ₄-14³ ₄, *)
26	-1.5	0.7	-1.2	-0.7	-4.4	563.7	564.5	564.7	100	99	100	W 2	WSW 2	WSW 3	10≡	10≡	10≡*	19.6	▽ n-n mU, ⛆ 10³ ₄-11, *)
27	-1.8	0.4	0.1	-0.4	-4.2	565.0	566.1	566.6	100	100	100	W 3	SW 3	WSW 3	10≡	10≡	10≡	0.0	✳ 18⁸/₄-19¹/₄, ≡ n-n mU
28	1.3	0.2	-0.1	0.5	-3.4	566.0	565.9	566.2	100	100	100	WSW 3	W 3	W 3	10≡	10≡*	10≡	9.3	● ✳ 9¹/₄-n mU, ✳ 6⁸/₄-n mU
29	-0.1	2.9	0.6	1.1	-2.9	566.0	566.3	566.8	100	85	93	W 2	W 2	W 1	10≡	8	1	0.4	✳ 10¹/₄-10³/₂, △ p, ≡ n-19 mU
30	4.2	3.8	2.3	3.4	-0.7	566.7	567.1	567.6	48	84	100	NE 1	NNE 1	N 2	3	10	10≡	0.3	● 13¹/₂-21 mU, ≡ 10⁸/₄-n mU
																		Summe	
Mittel	3.5	5.1	2.4	3.7	—	564.5	565.0	565.2	77	80	93				6.8	8.1	7.7	221.3	

Juni 1951
Beobachter: *E. Chiesa*

St. Gotthard (Hospiz)

$\lambda = 8°\,34'$, $\beta = 46°\,33'$,
$H_b = 2095$ m, $G = -0.25$ mm.

1	0.5	4.4	1.1	2.0	-1.7				100	65	100	SE 1	NW 1	NW 1	10*≡	6	10*≡	2.1	✳ n-10¹/₂, 21¹/₄-n, ≡ n-10¹/₂,
2	1.0	5.9	1.2	2.7	-1.1				94	56	100	NW 2	NW 1	NW 1	10	6	10	0.9	⛆ 19¹/₂ [20¹/₄-n
3	1.2	6.3	2.7	3.4	-0.5				100	62	90	NW 1	NW 1	NW 1	10≡	0	0	.	≡ n-a
4	3.1	6.8	3.1	4.3	0.3				80	55	85	SE 1	NW 0	NW 1	0	3	0	0.7	●tr n (4./5.)
5	2.4	5.9	1.8	3.4	-0.7				100	86	100	NW 2	NW 2	NW 2	9	6	10	.	
6	1.5	5.3	2.1	3.0	-1.2				100	75	100	NW 2	NW 1	NW 2	10	6	10	.	
7	2.4	8.0	5.3	5.2	0.9				95	42	78	NW 1	NW 1	SE 1	0	10	9	3.7	● n (7./8.)
8	3.7	2.0	0.6	2.1	-2.3				94	96	100	SE 1	SE 1	SE 1	10●	10●	10	49.1	● n-p
9	1.9	4.9	2.4	3.1	-1.4				100	84	100	NW 3	NW 2	NW 1	10≡	10≡	10≡	.	≡ n-n, ⸗ 1
10	2.0	2.9	2.4	2.4	-2.2				100	70	100	NW 2	NW 1	NW 1	10≡	3	10≡	.	≡ n-a, p-n
11	2.5	8.7	5.4	5.5	0.8				86	34	85	NW 1	NW 0	NW 1	0	0	0	.	
12	5.3	9.0	6.1	6.8	2.0				89	74	92	SE 0	SE 1	SE 1	6	9	10≡	.	≡ p-n
13	5.1	10.5	6.0	7.2	2.3				94	53	95	NW 1	NW 0	NW 2	10	0	3	.	
14	9.2	12.5	10.2	10.6	5.6				35	30	41	NW 1	NW 1	NW 1	0	0	0	.	
15	9.3	14.4	8.7	10.8	5.7				22	34	90	NW 0	SE 0	NW 3	0	0	3	.	⸗ III
16	8.6	8.0	7.6	8.1	3.0				54	85	65	NW 0	NW 2	SE 0	0	10	3	0.0	⛆ 13¹/₄
17	8.6	14.1	6.5	9.7	4.5				70	60	87	SE 0	SE 1	NW 1	3	6	6	1.1	⛆ 16¹/₄
18	7.0	12.4	6.7	8.7	3.4				75	75	95	SE 0	SE 1	SE 0	3	9	10	9.6	● n (18./19.), T 15³/₄
19	7.1	3.2	3.3	4.5	-0.9				90	100	100	SE 0	NW 2	NW 2	10	10●	10◑≡	25.2	● a-p, ◑ ≡ 18¹/₄-n
20	3.7	9.6	4.8	6.0	0.5				79	68	96	NW 1	NW 0	NW 2	0	3	0	.	
21	6.3	13.3	8.6	9.4	3.8				86	45	92	SE 1	SE 1	SE 1	3	3	9	.	
22	6.8	8.1	7.2	7.4	1.7				98	90	93	SE 0	SE 1	SE 2	10≡	10	10●≡	22.3	● 8¹/₂-n mU, ≡ n-n mU
23	6.6	7.3	6.1	6.7	0.9				100	100	100	SE 1	SE 1	NW 2	10●	10●	10●	83.8	● n-n, ⛆ ▲ 13, ⛆ 18¹ ₄-n
24	2.1	5.3	1.1	2.8	-3.1				96	93	100	NW 0	SE 0	NW 2	10	10●	10●≡	9.9	● 12¹/₂-n, ≡ p-n [≡ n-p
25	0.0	6.3	1.2	2.5	-3.5				100	55	100	NW 1	NW 1	NW 2	10●≡	6	10●≡	7.1	● ≡ n-a, p-n
26	0.9	7.2	1.9	3.3	-2.8				93	35	100	NW 1	NW 1	NW 1	3	6	10◑≡	0.7	◑ ≡ p-n
27	2.7	7.3	3.5	4.5	-1.7				66	37	91	NW 1	NW 0	NW 1	3	0	9	.	
28	5.5	7.9	2.2	5.2	-1.1				96	65	100	SE 0	NW 0	NW 2	10	9	10●≡	6.1	● ≡ 19⁸/₄-n
29	2.0	7.9	3.0	4.3	-2.1				96	50	100	NW 2	NW 1	NW 2	0	3	10≡	.	≡ 20¹/₂-n
30	4.5	9.6	3.2	5.8	-0.7				79	61	100	NW 0	NW 0	NW 2	10	10	10≡	1.8	● n (30./1.), ≡ p-n
																		Summe	
Mittel	4.1	7.8	4.2	5.4	—	—	—	—	86	65	93				6.0	5.5	7.4	224.1	

Barometer defekt

Säntis: 2. ≡ 5¹/₄-6⁸/₄, 9-n mU 4. ≡ 12-n mU 5. ≡ n-n mU 15. ⛆ 20⁸/₄-21¹/₂ 16. 22¹/₂-22⁸/₄, ●tr 13⁸/₄-14⁸/₄, ≡ p-n mU, ⊕ a
17. 19³ ₄-n, ≡ 15³ ₄-n mU, ◠ 16³ ₄ 18. ⛆ 17³ ₄-18¹ ₄, 20¹ ₄-20³ ₄, ≡ 15³ ₄-17³ ₄, 20-n 19. ✳ 11¹ ₄-14³ ₄, ● ◑ 14³ ₄-17¹ ₂, ≡ 8-17¹ ₄
23. 17-17¹/₂, 18, 19¹/₄-19¹/₂, ✳ 17⁸/₄-n, ≡ 15-n mU 24. 13¹/₂-n, ≡ n-n 25. ≡ n-20 mU 26. ≡ n-15 mU

$\lambda = 7° 26'$, $\beta = 46° 57'$,
$H_b = 572.2$ m, $G = 0.00$ mm.

Bern

Juli 1951
Beobachter: *Meteorol. Observatorium.*

Tag	Lufttemperatur 7^{30}	13^{30}	21^{30}	Mittel	Abweich. vom Normalst	Luftdruck 7^{30}	13^{30}	21^{30}	Relative Feuchtigkeit 7^{30}	13^{30}	21^{30}	Windrichtung und Stärke 7^{30}	13^{30}	21^{30}	Bewölkung 7^{30}	13^{30}	21^{30}	Niederschlag	Witterung
1	14.3	19.9	16.4	16.9	−0.3	716.0	715.9	716.3	79	53	68	NE 1	NNE 2	NNE 1	1	1	0	.	⌓ I
2	13.6	21.7	17.8	17.7	0.4	716.7	716.5	716.6	81	47	60	SE 1	NE 1	SSW 1	0	1	1	.	⌓ I
3	14.5	24.4	20.0	19.6	2.2	716.5	715.3	714.7	77	**35**	70	S 1	W 1	SSW 1	0	1	1	.	⌓ I
4	16.5	25.4	20.8	20.9	3.5	713.4	711.7	710.9	79	37	52	SE 1	W 2	SSW 1	0	1	4	.	⌓ I
5	17.4	21.4	16.2	18.3	0.8	711.4	711.8	713.7	76	57	69	NW 1	NNE 1	SE 1	9	9	8	.	⌓ I
6	13.7	19.7	17.4	16.9	−0.7	714.7	714.4	714.9	80	57	65	NE 1	NNE 1	NE 2	1	3	0	.	⌓ I
7	15.5	24.4	21.7	20.5	2.9	715.1	714.0	713.0	81	52	68	SSE 1	WSW 1	W 1	0	1	8	.	⌓ I
8	17.3	25.1	20.6	21.0	3.3	712.6	710.8	710.2	89	50	71	SE 1	SSW 1	SSE 1	9	5	8●	8.5	● 19¾–24, K 21–22¾, < 22¾–24
9	16.5	18.8	17.1	17.5	−0.2	710.9	711.4	712.5	92	83	90	SSW 1	WNW 1	SE 1	9	9	6	3.5	● 0–4, 11–11½, 17½–18, ⌒ 18
10	17.0	24.7	21.2	21.0	3.2	713.4	712.7	712.2	85	47	67	SE 1	NNW 1	N 1	1	1	0	.	⌓ I
11	20.3	27.1	16.6	21.3	3.5	711.5	710.2	714.4	76	47	99	SE 1	WSW 2	S 1	1	5	9●	34.8	● 14–15¼, 16¾–17½, *)
12	16.7	20.4	17.5	18.2	0.3	715.0	713.9	714.1	93	65	86	SE 1	NE 1	NE 1	10	9	3	.	⌓ III
13	16.1	23.4	18.6	19.4	1.5	714.6	713.7	713.9	93	51	75	S 1	NNE 1	ESE 1	5	3	10●	8.3	● 16½–16¾, 20, 22½–24, *)
14	15.9	22.3	16.8	18.3	0.4	714.4	712.7	713.2	99	65	93	S 1	N 2	ESE 1	10	4	10●	11.4	● 0–6, 8½–9¼, 20–23¾, *)
15	16.7	21.6	14.6	17.6	−0.3	712.9	712.0	713.5	85	61	97	N 1	NW 1	NW 1	3	9	10●	**53.0**	● 13¾–24, K 14–14½
16	12.0	11.9	11.5	11.8	−6.2	714.0	715.7	717.3	98	97	100	NW 1	N 1	NE 1	10●	10●	10●	12.4	● 0–22¾
17	11.6	14.3	13.2	13.0	−5.0	716.7	717.0	717.5	94	74	88	ENE 2	ENE 2	NE 1	10	10	2	.	⌓ III
18	13.3	20.3	17.0	16.9	−1.1	716.6	716.5	717.4	82	56	73	E 1	NE 2	S 1	1	3	1	.	⌓ I, III
19	15.8	23.5	19.0	19.4	1.4	716.8	715.6	715.5	81	45	56	SE 1	SE 1	NE 1	1	1	5	.	⌓ I
20	17.5	22.8	18.8	19.7	1.7	715.5	715.4	716.1	87	54	56	S 1	N 1	ESE 1	1	3	1	.	⌓ I
21	16.0	23.6	19.8	19.8	1.8	716.5	715.6	714.7	74	50	59	ESE 1	NNE 1	E 1	0	2	0	.	⌓ I
22	15.9	25.7	21.7	21.0	3.0	713.8	711.5	711.0	84	49	71	SE 1	WNW 1	SSW 1	0	1	7	0.5	
23	16.7	20.6	13.4	16.9	−1.1	710.9	**708.4**	711.0	79	58	92	SSW 1	NNE 1	SSW 1	10	9	9	6.6	● 0–0¼, 15¾–20½, K 0
24	12.4	14.5	12.6	13.2	−4.8	712.4	713.2	715.4	99	82	90	WNW 1	SSW 1	S 1	10●	10	9	1.8	● 0½–12 mU, 15½–16¼
25	11.4	14.2	12.8	12.8	−5.2	716.6	716.7	717.5	90	72	76	S 1	WNW 1	NNW 1	10	9	9	0.0	● tr 6–7½
26	**10.7**	17.8	15.6	14.7	−3.2	717.6	716.9	717.5	92	62	66	SE 1	NE 2	ENE 1	10	8	1	.	⌓ I
27	13.4	20.7	17.8	17.3	−0.6	717.9	717.6	**718.1**	87	57	69	SE 1	NNE 2	NE 2	0	1	1	.	⌓ I
28	14.7	23.5	19.3	19.2	1.3	717.6	716.4	716.0	85	48	63	SE 1	NNE 2	N 1	0	1	0	.	⌓ I
29	15.9	25.2	20.7	20.5	2.6	715.9	714.4	714.3	83	53	72	S 1	NNE 1	W 1	0	1	5	.	⌓ I
30	17.8	26.6	22.1	22.2	4.4	714.2	713.7	713.7	85	49	72	SSW 1	NW 1	SSW 0	1	6	1	0.0	● tr. 16¼
31	18.7	**27.8**	16.8	21.1	3.3	713.7	712.9	714.2	84	54	98	S 1	NW 1	NE 1	3	8	10●	10.2	● 20½–23, K 20½–21¾, ▲ 21
Mittel	15.4	21.7	17.6	18.2	—	714.7	714.0	714.6	85	57	75				4.1	4.7	4.8	Summe 151.0	

*) **11.** 18½–24, K ▲ 14½–15, K 17, 18½, 20 **13.** K 16¾, 23–23¾ **14.** K 5–5½, 20–22

$\lambda = 6° 57'$, $\beta = 47° 0'$,
$H_b = 487.3$ m, $G = 0.02$ mm.

Neuchâtel

Juli 1951
Beobachter: *Observatorium.*

Tag	Lufttemperatur 7^{30}	13^{30}	21^{30}	Mittel	Abweich. vom Normalst	Luftdruck 7^{30}	13^{30}	21^{30}	Relative Feuchtigkeit 7^{30}	13^{30}	21^{30}	Windrichtung und Stärke 7^{30}	13^{30}	21^{30}	Bewölkung 7^{30}	13^{30}	21^{30}	Niederschlag	Witterung
1	14.7	23.4	18.3	18.8	0.9	723.8	723.4	724.0	77	44	54	E 1	E 2	N 1	1	1	0	.	
2	15.7	25.0	18.2	19.6	1.7	724.5	724.1	724.3	77	46	54	E 1	SE 1	N 0	0	0	0	.	
3	14.7	25.3	20.5	20.2	2.2	724.1	723.0	722.0	81	43	53	N 0	SE 1	N 1	0	1	0	.	
4	16.2	26.4	22.0	21.5	3.4	720.9	719.1	718.3	82	44	49	N 0	SW 1	NW 2	0	2	4	.	
5	19.1	21.4	16.5	19.0	0.8	718.8	719.5	721.1	64	49	63	S 0	NW 2	N 1	9	8	7	.	
6	14.5	23.1	18.5	18.7	0.5	722.4	722.1	722.3	74	49	53	S 1	SE 1	N 2	0	2	0	.	
7	15.1	24.3	20.0	19.8	1.5	722.8	721.7	720.4	76	50	75	E 0	SE 1	SE 0	0	0	2	.	
8	19.5	26.2	21.1	22.3	3.9	720.0	718.5	717.7	76	50	68	SW 0	NW 2	NW 1	4	4	10	2.4	● 14¾–24, T 12¾–18,
9	16.8	18.3	16.6	17.2	−1.2	718.4	719.0	720.2	93	89	78	SW 1	SW 1	W 0	10	10	1	3.1	● 0–14 mU [↙ 22–23
10	15.9	25.4	20.2	20.5	2.0	720.9	720.3	719.8	92	49	67	E 0	SE 0	SW 0	10	0	0	.	
11	19.1	**29.3**	17.3	21.9	3.3	718.9	717.4	722.1	86	42	94	E 1	SW 2	W 0	0	2	10	3.7	● K 17¼–20, ↙ 17½–18¾
12	17.2	21.5	18.6	19.1	0.5	722.4	721.6	721.8	76	57	75	W 0	SE 0	N 0	9	9	6	3.4	
13	17.8	22.7	17.2	19.2	0.5	721.8	721.3	721.4	95	62	93	SE 1	SE 1	E 1	3	5	10●	**41.0**	▽̇ 5¼–17 mU, ● 21¼–24, K 5¼–6, *)
14	14.7	22.0	16.8	17.8	−0.9	721.9	721.4	720.4	98	72	93	NW 0	SE 1	W 1	10●	1	10●	13.4	● 0–9¾, 20½–0¾, K 9¾
15	17.0	17.8	16.2	17.0	−1.7	720.3	719.9	721.1	86	84	80	W 1	W 1	SE 1	3	10●	10●	9.1	● 13–19½ mU, 22¼–24, K 13–15¾
16	**12.0**	12.4	12.2	12.2	−6.6	721.6	723.2	724.8	94	92	98	SW 1	NW 0	N 0	10●	10●	10	4.9	● [illegible]–15½, 18¼, 16¾
17	13.2	17.9	14.9	15.3	−3.5	724.1	724.4	725.1	91	68	73	NE 2	E 2	NE 2	10	9	4	.	
18	14.5	23.1	19.2	18.9	0.1	724.1	724.0	724.6	81	55	67	E 2	E 2	N 1	1	2	1	.	
19	15.2	25.6	20.0	20.3	1.5	724.4	723.0	722.8	90	57	69	NE 0	SE 0	E 0	0	2	3	.	
20	17.4	25.6	19.5	20.8	2.0	723.0	722.8	723.5	83	54	65	NE 0	SE 0	E 0	2	1	0	.	
21	16.0	26.3	19.5	20.6	1.8	724.0	722.9	721.8	86	56	69	E 0	S 1	NE 0	0	2	0	.	
22	16.4	26.2	21.8	21.5	2.6	721.3	719.0	718.2	85	57	63	NE 0	S 1	NW 3	0	0	9	.	↙ 22
23	17.5	18.4	14.8	16.9	−2.0	718.1	**715.8**	718.4	69	74	76	SW 1	NW 2	W 0	10	10●	10	4.2	● 12–17 mU
24	12.9	18.1	13.3	14.8	−4.1	719.7	720.6	722.9	93	57	71	W 1	W 2	W 0	10	8	10	.	● 3¼–4¾
25	12.4	15.3	13.0	13.6	−5.3	724.0	724.3	724.7	78	65	71	NW 0	NW 1	N 2	10	8	3	.	
26	13.7	18.7	16.0	16.1	−2.8	725.1	724.6	724.9	80	63	70	E 1	NE 2	N 0	7	9	1	.	
27	14.8	24.0	18.0	18.9	0.0	**725.5**	725.2	725.4	83	49	67	E 2	E 2	N 1	0	1	0	.	
28	15.5	26.8	21.2	21.2	2.4	725.0	723.9	723.3	87	**37**	47	E 0	E 2	N 1	0	0	0	.	
29	16.0	26.4	20.2	20.9	2.1	723.5	721.9	721.5	87	52	65	E 0	SE 1	NE 0	0	1	2	.	
30	18.0	27.3	21.1	22.1	3.3	721.7	721.1	720.9	86	52	72	E 0	S 1	NE 0	1	3	1	.	
31	19.3	29.0	21.9	23.4	4.6	720.8	720.3	721.6	91	47	82	NE 0	SW 1	W 1	3	5	10●	2.8	● 19¼–22¼
Mittel	15.9	23.0	18.2	19.0	—	722.2	721.6	722.0	84	57	70				4.0	4.1	4.3	Summe 88.0	*) **13.** 10¼–10½, 16½–17

Juli 1951
Beobachter: *Frl. H. Nager.*

Altdorf

$\lambda = 8° 39'$, $\beta = 46° 53'$,
$H_b = 456.3$ m, $G = -0.05$ mm.

Tag	Lufttemperatur 7³⁰	13³⁰	21³⁰	Mittel	Abweich. vom Normalst	Luftdruck 7³⁰	13³⁰	21³⁰	Relative Feuchtigkeit 7³⁰	13³⁰	21³⁰	Windrichtung und Stärke 7³⁰	13³⁰	21³⁰	Bewölkung 7³⁰	13³⁰	21³⁰	Niederschlag	Witterung
1	14.8	19.7	15.5	16.7	−0.6	726.1	725.4	726.6	93	63	80	N 0	NW 1	E 0	9	6	6	.	
2	12.9	21.6	16.3	16.9	−0.5	726.5	725.9	727.0	97	60	77	E 0	NW 1	NW 0	0	3	6	.	
3	14.5	23.4	18.6	18.5	1.1	726.0	724.6	725.2	89	48	74	NW 0	NW 1	W 0	0	4	6	.	
4	15.7	24.7	19.8	20.1	2.6	723.2	720.6	720.6	83	51	70	W 0	NW 1	NW 0	0	4	7	8.0	● n (4./5.)
5	15.3	18.2	15.3	16.3	−1.2	721.6	721.8	723.5	100	81	100	NW 0	W 0	E 0	10●	8	10	6.7	● n–p mU
6	14.9	20.3	16.1	17.1	−0.5	724.3	724.2	725.5	98	59	94	E 0	W 1	W 0	9	5	7	.	
7	14.5	22.6	19.0	18.7	1.1	724.6	723.4	723.2	90	52	81	W 0	NW 0	NE 0	0	3	0	.	
8	17.0	22.8	19.2	19.7	2.0	721.1	721.0	720.2	79	63	93	E 0	W 0	W 0	0	6	10●	2.2	● p–n mU, ⛆ 20
9	17.5	20.9	16.8	18.4	0.7	720.5	720.7	723.1	100	75	90	NW 0	NW 0	NW 0	10	8	10	3.0	● n–n mU
10	15.0	23.2	19.3	19.2	1.5	723.3	722.6	722.5	99	52	85	NW 0	NW 0	S 0	0	2	0	.	
11	21.9	28.8	18.0	22.9	5.1	720.6	719.5	725.0	53	32	100	S 0	S 3	NW 1	0	3	10●	5.0	● 21–n
12	18.7	26.3	17.8	20.9	3.1	724.5	723.7	725.3	100	65	85	NW 0	NW 1	SE 1	10	7	10	2.6	⛆ ● 19
13	17.2	24.8	16.3	19.4	1.6	724.1	723.0	715.0	85	52	100	E 0	NW 2	NW 0	8	5	4	6.6	⛆ ● 18½, ⛈ p
14	17.3	25.1	19.3	20.6	2.8	723 5	722.4	722.3	92	57	97	E 0	NW 0	NW 0	7	5	10●	2.2	● 21–n
15	18.4	25.3	15.8	19.8	1.9	722.7	722.7	723.7	87	61	100	SE 0	NW 1	NE 0	6	8	10●	37.8	● 16–n
16	14.8	14.5	13.6	14.3	−3.6	723.2	725.0	727.0	100	93	100	S 0	NW 0	NW 0	10●	10●	10●	8.5	● n–n mU
17	13.9	16.9	14.8	15.2	−2.7	726.4	726.8	728.0	98	66	98	NW 0	NW 1	SW 0	10	10	10	.	
18	13.8	20.2	16.5	16.8	−1.1	726.8	726.8	726.8	99	57	96	W 0	NW 1	W 0	10	5	6	.	
19	14 8	23.1	19.1	19.0	1.1	726.9	724.9	725.8	100	55	85	W 0	NW 1	NW 0	0	3	10	.	
20	17.8	23.0	18.8	19.9	2.0	725.2	724.8	726.1	97	54	75	NE 0	NW 2	NE 0	6	7	7	.	
21	15.3	24.4	18.7	19.5	1.5	726.4	724.6	724.6	86	46	80	NE 0	NW 1	SE 0	0	3	0	.	
22	15.7	23.5	18.7	19.3	1.3	723.6	721.0	720.8	91	56	73	E 0	NW 0	SE 0	0	0	4	5.2	⛆ ● 18–18½
23	16.7	17.4	13.9	16.0	−2.0	720.6	718.6	721.1	100	87	100	E 0	NW 0	E 0	10	10	10●	21.4	● 16–n, ⊤ 12
24	14.3	15.2	13.5	14.3	−3.7	721.8	722.7	725.3	100	83	100	SE 0	NW 1	NW 0	10	10●	10	4.0	● a–p mU
25	13.5	15.5	13.9	14.3	−3.7	725.9	726.6	727.4	97	63	86	E 0	NW 0	NW 0	10	8	8	.	
26	13.8	17.4	14.8	15.3	−2.7	727.6	727.0	727.9	98	63	99	E 0	N 0	NW 0	10	8	7	.	
27	12.2	20.0	16.3	16.2	−1.8	728.2	727.4	728.3	100	65	95	N 2	NW 1	NW 0	0	3	5	.	
28	14.4	21.5	17.7	17.9	−0.1	727.3	726.4	726.3	94	64	90	NW 0	NW 1	NW 0	0	2	3	.	
29	15.9	23.3	20.4	19.9	1.9	725.4	725.0	724.5	93	63	78	NW 0	NW 1	NW 0	0	2	6	.	
30	17.3	25.3	20.3	21.0	3.0	724.4	722.6	723.5	100	56	89	E 0	NW 1	E 0	0	6	4	.	
31	17.7	26.0	21.5	21.7	3.8	723.0	722.4	723.0	87	55	85	E 0	NW 0	NW 0	3	5	6	.	
Mittel	15.7	21.8	17.3	18.3	—	724.4	723.7	724.3	93	61	89				4.8	5.5	6.8	Summe 113.2	

Juli 1951
Beobachter: *Observatorium.*

Genève

$\lambda = 6° 9'$, $\beta = 46° 12'$,
$H_b = 405.0$ m, $G = -0.03$ mm.

1	13.2	23.5	16.2	17.6	−0.8	728.7	727.7	729.0	79	42	93	NNE 1	NNE 1	NNE 1	0	2	3	.	
2	15.0	22.2	19.6	18.9	0.4	731.4	730.6	730.9	80	55	76	E 1	NNE 1	NE 0	0	5	0	.	
3	18.4	23.5	18.8	20.2	1.6	730.8	729.4	729.0	75	49	79	NNE 1	NNE 2	E 0	0	2	0	.	
4	18.2	28.9	23.3	23.5	4.9	727.6	726.3	725.1	88	41	64	ESE 0	NNE 1	W 1	0	3	1		
5	20.5	24.0	19.1	21.2	2.5	726.0	725.9	727.9	86	48	80	ENE 1	NNW 1	ENE 0	8	5	5		
6	15.8	22.4	18.4	18.9	0.1	729.2	728.6	729.1	75	46	77	NE 1	NE 1	E 1	0	2	0	.	
7	18.9	25.2	24.0	22.7	3.8	728.6	727.0	726.9	63	40	65	E 0	S 1	S 1	0	2	2	.	
8	22.2	29.0	17.0	22.7	3.7	724 4	724.7	725.3	63	38	92	E 0	S 1	SSW 1	2	4	9	6.5	⛆ n (8. 9.)
9	17.5	23.2	20.0	20.2	1.2	724 4	724.7	725.3	94	69	91	E 0	S 1	SSW 1	9	5	0	4.0	⛆ a
10	18.4	25.0	22.8	22.1	3.0	726.1	726.4	726.0	78	48	84	ENE 0	S 1	ENE 0	0	1	0	.	
11	21.6	26.9	18.8	22.4	3.2	727.7	726.2	726.0	84	57	88	E 0	NNE 1	ENE 0	3	8	9	.	
12	20.8	23.2	22.0	22.0	2.7	729.0	727.5	727.8	63	66	82	E 1	NNE 1	E 0	2	1	9	.	
13	21.2	25.0	20.0	22.1	2.8	728.6	727.1	726.9	77	83	96	E 0	NNE 1	NNE 0	5	5	9	3.3	● n (13./14.)
14	18.0	24.0	16.0	19.3	−0.1	728.2	726.3	726.2	90	75	93	NNE 1	NNE 1	E 0	5	4	6	5.0	● n (14./15.)
15	20.2	15.6	14.6	16.8	−2.6	727.8	727.0	728.0	80	81	93	ESE 0	S 1	SSW 1	8	9	8	38.5	⛆ p–n mU
16	13.6	15.0	14.0	14.2	−5.2	729.4	729.4	730.1	93	78	90	E 0	NNE 1	NNE 1	10	10	10	3.0	● n (16./17.)
17	16.2	19.0	17.0	17.4	−2.0	730.4	730.0	730.2	71	61	80	NNE 3	NNE 3	NNE 1	10	8	3	.	
18	15.5	22.7	20.0	19.4	−0.1	731.2	730.4	730.6	82	61	86	NNE 0	NNE 1	E 0	1	1	1	.	
19	17.5	25.6	22.3	21.8	2.3	730.9	730.7	730.4	85	56	89	ENE 0	NNE 1	ENE 0	0	2	1	.	
20	19.0	25.0	22.0	22.0	2.5	730.0	729.1	730.0	76	55	74	E 0	NNE 1	E 0	0	2	0		
21	19.5	24.9	21.0	21.8	2.3	730.7	729.6	728.4	76	53	86	E 0	NNE 1	E 0	0	1	1	.	
22	21.6	29.0	19.5	23.4	3.9	727.6	726.3	726.2	84	56	77	ESE 0	SSE 1	S 1	2	6	7	.	
23	19.3	17.0	14.5	16.9	−2.6	724.8	725.5	726.5	70	90	79	S 1	S 1	S 0	2	9	9	5.1	⛆ n, ⛆ 14¾, ⛈ p
24	14.2	19.0	14.0	15.7	−3.8	727.9	729.5	730.7	93	81	74	S 1	ESE 0	E 0	10	8	10	.	
25	13.6	17.0	14.0	14.9	−4.6	730.7	730.9	730.7	84	62	74	E 0	NNE 1	E 0	2	5	8	.	
26	16.0	20.0	18.0	18.0	−1.4	731.7	731.1	731.7	79	67	80	E 0	NNE 1	E 0	3	2	3	.	
27	16.5	22.2	15.6	18.1	−1.3	731.5	731.5	731.9	76	60	81	E 0	NNE 1	E 0	2	0	0	.	
28	17 4	24 3	22.5	21.4	2.0	731.9	731.3	729.8	76	66	65	E 0	NNE 1	E 0	0	2	0	.	
29	19.0	24.5	23.0	22.2	2.8	730.0	728.3	728.0	73	86	74	E 0	NNE 1	NNE 0	0	1	3	.	
30	20.0	25.0	22.8	22.6	3.3	727.4	727.7	727.9	72	67	83	E 0	NNE 1	E 0	2	3	3	.	
31	23.5	30.0	23.8	25.8	6.5	727.5	726.9	728.1	79	51	64	E 0	S 1	S 0	2	6	9	0.0	
Mittel	18.1	23.3	19.2	20.2	—	728.8	728.2	728.4	79	61	81				2.8	4 0	4.2	Summe 65.4	

λ — 8° 34′, β — 47° 23′,
H_b = 569.4 m, G — 0.03 mm

Zürich

Juli 1951
Beobachter: *Meteorol. Zentralanstalt.*

Tag	Lufttemperatur 7³⁰	13³⁰	21³⁰	Mittel	Abweich. vom Normalst	Luftdruck 7³⁰	13³⁰	21³⁰	Relative Feuchtigkeit 7³⁰	13³⁰	21³⁰	Windrichtung und Stärke 7³⁰	13³⁰	21³⁰	Bewölkung 7³⁰	13³⁰	21³⁰	Niederschlag	Witterung
1	13.0	21.1	14.8	16.3	−0.3	716.9	716.7	717.1	76	44	67	N 1	NNE 2	ENE 1	1	1	1	.	⌓ |
2	14.0	23.5	15.5	17.7	1.0	717.2	717.1	716.9	78	44	60	E 1	ENE 1	NNE 1	0	1	1	.	⌓ |
3	14.9	25.0	18.1	19.3	2.6	716.8	715.8	715.3	76	38	67	SSE 1	W 1	NW 1	0	1	2	.	⌓ |
4	16.5	26.0	18.5	20.3	3.5	713.6	712.1	711.1	76	**36**	70	S 1	SW 2	S 0	0	1	4	.	⌓ |
5	16.3	20.0	15.7	17.3	0.4	712.3	712.6	714.1	76	62	72	NNE 1	NNE 1	NE 1	10	9	10	0.1	● $18^1/_4$, ⌒ $4^1/_2$-$4^3/_4$
6	12.3	21.4	14.6	16.1	−0.8	715.1	715.1	715.6	78	54	61	ENE 1	NNW 1	NNW 1	1	3	2	.	
7	14.8	25.5	19.9	20.1	3.1	715.5	714.6	713.1	77	49	70	SW 1	SSW 1	E 1	0	1	9	.	⌓ |
8	19.9	24.3	20.6	21.6	4.5	712.9	712.0	710.3	75	56	72	SW 1	S 1	N 1	4	6	10	21.8	● 22-$3^1/_4$, ⌒ $21^3/_4$-24
9	16.4	19.9	16.3	17.5	0.4	711.3	711.7	713.1	92	76	93	SSW 1	W 2	SSE 1	9	9●	6	2.0	● 13-$13^3/_4$, ⌒ 0-1
10	16.1	26.7	19.9	20.9	3.7	713.9	713.3	712.7	88	46	70	SSW 1	S 1	NE 1	1	1	1	.	≡ 5-7, ⌓ |
11	19.0	**30.8**	16.1	22.0	2.7	711.9	710.7	714.7	81	45	97	SSW 1	SW 1	SSW 1	1	4	10●	20.7	● $15^3/_4$-$22^1/_2$ mU, ⌒ ▲
12	16.3	20.9	17.4	18.2	0.9	715.7	714.8	714.8	82	60	85	NW 0	NW 1	SE 1	10	10	2	.	[$15^3/_4$-16, ⌓ |
13	17.4	25.3	16.3	19.7	2.3	715.1	714.6	715.0	86	52	95	SSW 1	WSW 1	S 1	8	4	10●	8.2	● [illegible]
14	16.5	24.1	17.3	19.3	1.9	714.3	713.4	712.4	87	50	92	ESE 1	NNW 1	NE 2	6	2	10●	9.1	● [illegible]
15	17.5	23.5	15.6	18.9	1.5	713.1	712.8	713.6	72	54	98	SW 1	NNW 1	S 1	4	5	10	**34.1**	● 1-1^1, 15^1-20, 23^1-$0^1/_2$, ⌒ [$16^1/_2$-$17^1/_4$
16	11.6	11.6	11.7	11.6	−5.9	714.0	715.6	717.5	97	96	96	WNW 1	WNW 1	NW 1	10●	10●	10●	29.3	● $1^1/_2$-24
17	**11.3**	14.3	13.0	12.9	−4.6	717.5	718.0	718.2	96	78	92	**NNE** 1	NE 1	ENE 1	10	10	9	0.1	● 0-6
18	12.9	22.3	16.4	17.2	−0.3	717.2	717.2	717.4	90	55	87	S 1	ENE 1	N 1	1	3	1	.	⌓ |
19	15.3	24.6	19.1	19.7	2.2	717.2	716.1	716.0	87	48	72	SSW 1	NNE 1	N 1	1	2	9	.	⌓ |
20	17.3	23.4	16.6	19.1	1.8	716.0	716.1	716.5	78	50	65	ESE 1	SSW 1	N 1	1	1	1	.	⌓ |
21	16.0	23.1	18.1	19.1	1.5	716.8	716.3	715.1	78	50	76	S 1	N 1	NE 1	1	2	0	.	⌓ |
22	16.4	26.7	21.8	21.6	4.0	714.3	712.3	711.2	80	48	65	ESE 1	SSE 1	WNW 1	0	1	6	1.9	● $22^1/_4$-$23^1/_2$
23	16.1	21.2	13.1	16.8	−0.8	711.7	**709.7**	711.2	88	60	90	S 1	S 1	SSW 1	10	5	10	7.8	● [illegible]
24	13.1	13.8	12.6	13.2	−4.4	712.4	713.4	715.2	86	73	86	WSW 1	W 1	SSW 1	10	10	9	0.1	[⌒ 17-$17^1/_4$
25	11.5	15.8	11.5	12.9	−4.7	716.5	716.8	717.8	83	61	92	WSW 1	SSW 1	W 1	10	8	10	5.4	● $16^1/_2$-$17^3/_4$
26	11.6	19.8	14.6	15.3	−2.3	718.1	717.8	718.1	97	53	90	WNW 1	N 1	NNE 1	10●	3	9	0.8	● 2^1-$3^1/_4$, $4^1/_2$-$8^1/_2$ mU
27	11.9	21.7	15.0	16.2	−1.4	**718.6**	**718.6**	**718.6**	97	53	81	ENE 1	N 1	NNE 1	10	1	1	.	⌓ |
28	14.8	24.4	18.0	19.1	1.6	718.1	717.3	716.5	80	42	66	NE 1	NNE 1	NE 1	1	1	0	.	⌓ |
29	16.6	26.3	18.3	20.4	2.9	716.4	715.2	714.7	80	43	65	SSW 1	NE 1	NNE 1	0	1	8	.	⌓ |
30	18.4	28.7	20.3	22.5	5.0	714.6	714.2	713.8	77	47	85	SSW 1	WSW 1	NNE 1	1	3	2	.	⌓ |
31	20.1	29.6	23.1	24.3	6.8	713.8	713.3	713.1	81	47	68	NE 1	ENE 1	WNW 1	3	2	10	5.5	● 23-$23^1/_2$, ⌒ 23-$23^1/_4$, ⌓ |
																		Summe	
Mittel	15.3	22.7	16.8	18.3	—	715.1	714.7	714.9	83	54	79				4.3	3.9	5.9	146.9	

$\lambda = 6°\ 32'$, $\beta = 46°\ 51'$
$H_b = 1589$ m, $G = -0{,}13$ mm

Chasseron

Juli 1951
Beobachter: *R. Colomb*

1	7.9	11.6	8.8	9.4	—	633.8	634.5	634.6	82	62	87	E 2	E 1	NE 1	5	3	1	.	
2	9.7	13.8	10.4	11.3	—	634.7	635.6	635.7	74	69	68	**E** 2	E 1	ENE 2	0	1	1	.	
3	11.9	15.0	12.3	13.1	—	635.0	635.3	634.7	63	69	70	SSE 1	NW 1	WSW 1	1	4	0	.	
4	12.0	16.3	12.1	13.5	—	632.6	632.4	631.3	85	54	77	SSW 2	W 2	NNW 3	0	3	3	.	
5	8.0	10.4	7.1	8.5	—	630.1	631.2	632.2	98	80	94	NNW 3	NW 2	NW 1	5	8	7	.	
6	7.7	11.7	9.1	9.5	—	632.4	633.4	633.8	85	75	83	NNE 1	W 1	NE 1	2	6	1	.	
7	11.0	15.8	13.8	13.5	—	633.5	634.0	633.8	81	75	71	SSE 1	SW 1	WSW 1	1	2	3	.	
8	13.1	15.6	12.8	13.8	—	632.1	631.6	630.4	78	82	84	S 2	NW 2	WNW 3	3	9	10	42.0	▽ $10^1/_4$-$10^3/_4$, ⌒ $14^1/_2$-$14^3/_4$, *)
9	9.6	10.7	9.4	9.9	—	630.0	630.8	631.7	98	100	90	W 3	W 3	NW 3	10≡	10≡	2	11.1	● $8^3/_4$-$12^1/_4$, ≡ $6^8/_4$-15
10	11.8	16.9	15.8	14.8	—	632.3	632.9	632.9	74	75	77	S 1	SSE 1	SSE 1	1	2	1	.	
11	15.1	16.7	10.1	14.0	—	631.6	631.5	633.3	78	68	100	SSE 2	W 3	WNW 3	1	6	10≡	18.5	▽ $11^1/_2$-$11^3/_4$, ⌒ $16^1/_2$-$17^1/_2$, *)
12	7.4	11.1	11.2	9.9	—	633.4	633.3	633.4	100	98	95	W 1	W 1	SE 1	10	7	4	0.8	▽ n (12-13.), ≡ n-$12^3/_4$
13	11.2	13.0	11.4	12.0	—	633.4	633.5	632.9	94	98	97	SSW 2	W 2	W 3	8	10≡	10	41.4	⌒ ● $9^1/_2$-10, $12^1/_2$-$12^3/_4$, *)
14	9.1	14.2	12.0	11.8	—	632.6	632.4	632.3	99	84	98	S 2	ESE 1	SW 2	10≡	6	10●	20.4	⌒ ● $9^1/_4$-$9^1/_2$, $20^1/_2$-22, *)
15	11.1	10.2	8.1	9.8	—	631.8	632.1	631.9	85	99	100	SW 3	WSW 2	NNW 3	5	10●	10●	28.7	⌒ ● n, ● $13^1/_4$-$16^1/_2$, $17^1/_4$-n, *)
16	5.0	4.2	4.8	4.7	—	630.8	632.8	634.1	100	100	100	NNW 2	N 2	N 2	10●≡	10●≡	10●≡	27.0	● n-$16^1/_2$, ● ● $16^1/_2$-n, ≡ n-n
17	5.1	7.2	6.4	6.2	—	633.5	634.5	634.7	100	100	100	**E** 2	E 2	E 3	10≡	10≡	10≡	.	≡ n-22
18	7.2	12.1	10.3	9.9	—	634.1	635.2	636.5	94	82	97	E 3	ESE 1	NE 2	3	7	5	.	
19	10.6	16.7	11.6	13.0	—	635.3	635.7	635.2	90	66	98	E 3	WNW 2	N 2	1	7	10≡	.	≡ $20^3/_4$-$22^1/_4$
20	11.3	14.3	11.7	12.4	—	634.4	635.3	635.6	84	68	72	SE 1	NW 1	NE 1	1	4	1	.	
21	12.2	15.6	12.3	13.4	—	635.2	635.6	634.6	78	70	86	E 1	NE 1	E 2	0	4	0	.	
22	13.4	18.3	12.4	14.7	—	633.1	632.4	631.2	80	52	98	SSW 1	W 2	WNW 3	0	1	10≡	.	≡ $18^1/_2$-n
23	7.9	10.1	5.8	7.9		63[illegible]	**628.2**	628.8	99	81	10[illegible]	WNW 2	WNW 2	WNW 3	10	10	1[illegible]	22.[illegible]	⌒ ● 13^1-14^1, ▽ 15^1-16^1, *
24	5.1	5.3	4.1	4.8	—	630.1	631.3	632.5	100	100	100	WNW 3	NNW 3	NNW 3	10≡	10●≡	10≡	0.9	● $12^1/_2$-$14^1/_4$, ≡ n-n
25	**3.2**	4.8	5.0	4.1	—	633.2	633.7	634.4	100	100	86	NW 2	NW 2	NE 2	10●≡	10≡	5	0.8	● $7^1/_4$-$8^3/_4$, ≡ n-$18^1/_2$
26	5.7	8.6	7.3	7.2	—	634.3	635.2	635.4	100	91	98	E 2	E 1	ENE 2	10≡	8	10●	.	≡ n-$8^3/_4$, $20^1/_4$-23
27	8.9	12.1	10.0	10.3	—	635.5	636.4	**636.7**	79	75	94	E 2	ENE 1	ENE 1	1	6	1	.	
28	11.2	15.8	13.1	13.4	—	635.9	636.2	635.9	74	75	61	E 2	ENE 1	E 2	0	1	0	.	
29	15.6	19.1	14.7	16.5	—	635.1	635.0	634.8	**48**	66	80	ESE 1	WSW 1	SE 2	1	4	5	.	
30	16.2	18.2	16.0	16.8	—	634.2	634.9	634.7	70	77	94	S 1	NW 2	NW 2	4	6	3	.	
31	16.6	**20.9**	15.4	17.6	—	633.9	634.4	634.1	71	66	98	ESE 2	SE 1	SSW 1	2	5	10≡	1.1	● n (31./1.), ≡ $21^1/_4$-n
																		Summe	
Mittel	10.1	13.1	10.5	11.2	—	633.2	633.6	633.7	85	79	89				4.4	6.1	5.6	214.0	

*) **8.** ⌒ ▲ $15^1/_2$-17 **11.** ▽ $19^1/_4$-$19^3/_4$, ≡ $16^8/_4$-n **13.** $15^3/_4$-$16^3/_4$, ≡ $13^1/_4$-14 **14.** ≡ $6^3/_4$-$8^1/_2$ **15.** ≡ 11-n **23.** ≡ n-$8^1/_2$, 19-n

Juli 1951
Beobachter: *B. Minsch und C. Clavuot*

Bever

$\lambda = 9° 53'$, $\beta = 46° 33'$,
$H_b = 1711.8$ m, $G = -0.23$ mm

Tag	Lufttemperatur					Luftdruck			Relative Feuchtigkeit			Windrichtung und Stärke			Bewölkung			Niederschlag	Witterung
	7^{30}	13^{30}	21^{30}	Mittel	Abweich. vom Normalst	7^{30}	13^{30}	21^{30}	7^{30}	13^{30}	21^{30}	7^{30}	13^{30}	21^{30}	7^{30}	13^{30}	21^{30}		
1	10.4	13.6	8.1	10.7	−0.1	624.4	624.6	626.2	75	49	71	NE 0	W 1	NW 0	8	8	5	.	
2	5.4	19.2	10.3	11.6	0.7	626.6	625.2	625.7	96	29	68	S 0	SE 0	S 0	0	1	1	.	
3	7.3	19.0	12.4	12.9	1.9	626.5	625.1	625.8	93	30	54	SW 0	W 0	W 0	0	0	0	.	
4	9.2	20.4	13.7	14.4	3.4	623.4	622.6	621.8	33	31	75	S 0	SW 1	SW 0	0	1	4	.	
5	8.7	17.0	12.8	12.8	1.7	623.5	623.2	625.7	85	42	74	S 0	SW 1	SW 0	1	2	0	.	
6	9.3	12.8	6.8	9.6	−1.6	620.8	621.8	623.2	89	59	84	SW 0	E 1	W 0	8	9	1	0.0	● tr $8^1/_2$–9, $13^3/_4$–15
7	7.5	19.1	12.0	12.9	1.7	625.9	625.4	625.9	95	46	80	SW 0	SW 1	SW 0	0	3	0	.	
8	9.0	19.3	13.2	13.8	2.5	624.1	622.6	623.1	44	39	79	S 0	SW 1	SW 1	3	5	6	.	
9	11.7	16.2	9.2	12.4	1.0	621.8	620.3	623.6	91	56	100	SW 0	W 1	NW 0	10	8	6	2.4	● ab 16 ztw
10	9.2	21.2	10.4	13.6	2.2	625.1	624.3	626.2	89	36	84	NW 0	SW 1	W 0	5	1	0	.	
11	14.0	22.3	12.6	16.3	4.8	625.3	624.4	625.2	76	40	86	S 0	SW 1	W 0	6	7	8	0.0	● tr $17^1/_4$–18
12	12.8	15.3	13.2	13.8	2.3	625.3	624.6	625.5	92	62	71	E 1	W 1	W 1	9	10	8	.	
13	11.4	20.3	13.0	14.9	3.4	625.9	625.2	625.9	88	39	75	SW 0	SW 1	S 0	3	4	4	.	
14	11.0	20.2	14.0	15.1	3.5	625.8	624.6	625.1	94	37	72	S 0	SW 1	SW 0	6	4	7	.	
15	12.3	20.0	10.4	14.2	2.6	624.3	622.8	623.0	98	44	95	SW 0	SW 1	NE 0	8	8	10	15.9	⛆ $20^1/_4$–$22^3/_4$
16	9.0	11.6	9.1	9.9	−1.7	622.4	621.7	623.4	97	70	68	NE 0	NE 0	NE 1	9	10	10	2.5	● n–12
17	8.4	12.4	9.5	10.1	−1.6	623.8	624.5	625.8	87	66	79	NE 1	NE 1	NW 0	10	10	9	.	
18	10.2	17.2	12.0	13.1	1.4	626.2	624.5	627.2	77	49	56	E 0	W 2	N 0	6	4	4	.	
19	6.2	22.0	11.5	13.2	1.5	626.7	625.5	626.0	94	36	71	SW 0	NE 0	SW 0	0	2	0	.	
20	7.8	20.5	11.8	13.4	1.7	625.9	625.4	626.2	97	39	64	S 0	SW 0	W 0	2	5	8	.	
21	7.4	21.2	10.4	13.0	1.2	626.5	625.6	625.9	87	42	66	S 0	S 0	NW 0	0	2	0	.	
22	8.6	20.8	11.5	13.6	1.8	625.3	623.1	624.9	81	39	89	SW 0	SW 2	SW 1	0	1	10	17.4	⛆ $20^1/_2$–$21^3/_4$
23	10.3	13.4	6.2	10.0	−1.8	621.3	**619.8**	**619.8**	95	61	94	SW 0	E 0	NW 0	10	7	10●	**37.6**	● $7^3/_4$–$8^1/_2$, $9^1/_2$–n mU, ⛆ 9^1
24	6.2	13.8	6.8	8.9	−2.9	620.0	621.1	622.5	95	46	88	NE 0	W 1	NE 0	9	8	10●	10.1	● 20–n
25	5.5	8.8	6.1	6.8	−5.0	622.8	623.4	625.1	90	56	82	NE 0	NE 1	NW 0	9	10	10●	1.2	● 20–n
26	6.4	12.4	9.8	9.5	−2.2	625.1	625.1	626.5	92	51	64	W 0	W 1	NE 0	5	9	4	.	
27	**5.0**	16.8	11.4	11.1	−0.6	626.8	626.3	627.7	95	41	60	S 0	NW 0	NE 0	1	4	6	.	
28	5.4	19.3	9.8	11.5	−0.2	**627.8**	625.9	627.2	99	36	70	S 1	W 1	NE 0	0	1	0	.	
29	7.6	23.4	12.2	14.4	2.7	627.0	624.7	627.0	90	40	83	SW 0	SW 0	SW 0	0	0	0	.	
30	9.0	**25.4**	12.8	15.7	4.1	626.6	625.0	627.7	97	**28**	82	S 0	SW 0	NW 0	0	0	3	5.3	⛆ ● 20–$20^3/_4$
31	9.0	25.1	14.6	16.2	4.6	627.4	626.1	627.0	99	32	79	S 0	SW 1	NE 0	0	2	2	.	⌊
																		Summe	
Mittel	8.7	18.1	10.9	12.6	—	624.9	724.0	725.2	87	44	76				4.1	4.7	4.7	92.4	

Juli 1951
Beobachter: *Couvent des Capucins*

Sion

$\lambda = 7° 21'$, $\beta = 46° 14'$,
$H_b = 548.6$ m, $G = -0.11$ mm.

1	16.0	23.9	17.7	19.2	0.2	718.1	716.2	717.3	80	44	61	WNW 0	SSW 2	WSW 1	2	2	0	.	
2	17.2	25.3	19.1	20.5	1.5	719.1	717.3	718.0	66	49	59	NW 1	SW 2	SW 0	1	1	1	.	
3	17.4	25.8	19.8	21.0	1.9	719.0	716.7	716.8	66	45	50	NW 0	SSW 1	W 1	0	0	0	.	
4	18.3	27.5	20.2	21.9	2.7	716.5	713.3	713.2	62	41	54	NW 1	SW 1	WSW 0	0	1	1	.	
5	18.3	24.7	23.7	22.2	3.0	713.3	713.2	714.9	64	50	65	NW 0	SSW 3	SSW 3	8	9	6	0.0	● tr $7^1/_2$–$8^1/_4$, ⛈ p–n
6	18.3	24.5	19.8	20.9	1.6	716.5	715.1	716.3	68	51	57	WNW 0	SW 2	SW 1	2	1	0	.	
7	17.6	26.1	21.4	21.7	2.4	717.8	715.0	714.7	70	52	66	WNW 1	SW 2	WNW 0	0	3	8	.	
8	18.0	27.7	17.6	21.1	1.8	715.5	712.6	713.4	78	**40**	93	WSW 0	WNW 1	WSW 2	10	8	10●	7.0	● $20^1/_2$–n, ⛆ III
9	18.0	24.2	18.0	20.1	0.7	714.0	712.9	713.8	89	55	73	NNW 0	WNW 1	WSW 0	8	8	3	.	
10	18.7	26.6	21.2	22.2	2.8	715.9	713.9	714.0	67	47	61	NW 1	WNW 1	WNW 2	0	0	0	.	
11	20.7	27.5	17.7	22.0	2.6	714.5	712.5	716.8	65	43	100	NW 1	NNE 3	WSW 1	1	7	10●	9.6	● $16^1/_2$–n mU
12	18.6	25.2	20.2	21.3	1.8	716.8	714.4	715.3	84	55	65	NNW 0	WSW 2	WSW 1	8	4	5	.	
13	18.6	26.3	19.9	21.6	2.1	716.7	714.6	715.1	73	51	63	WNW 1	WSW 1	NNW 1	4	5	7	0.7	● tr p, ● n (13./14.)
14	16.5	25.7	19.0	20.4	0.9	716.0	714.0	715.6	91	46	98	NNW 1	SW 1	WSW 2	9	5	10●	15.4	● tr p, ● 20–n, ⛆ III
15	17.8	24.8	16.7	19.8	0.3	716.0	712.9	714.8	80	50	96	NW 1	W 1	WNW 0	3	7	7	**16.9**	● p, n (15./16.)
16	16.6	16.8	14.5	16.0	−3.6	715.1	715.7	717.2	69	70	72	WSW 2	WSW 2	SW 2	9	10●	9	1.4	● a–p mU
17	15.6	22.0	17.2	18.3	−1.3	717.4	716.1	717.0	71	50	69	WSW 1	WSW 2	WSW 1	8	5	8	.	
18	16.1	22.8	18.1	19.0	−0.6	717.9	717.0	717.7	82	57	76	WSW 1	SW 1	WSW 0	9	3	2	.	
19	18.1	25.9	21.1	21.7	2.1	718.4	716.1	716.2	77	53	60	WNW 1	SW 2	WSW 0	0	1	0	.	
20	18.3	26.8	21.4	22.2	2.6	717.3	715.8	716.6	74	50	54	WNW 1	WSW 2	WSW 1	0	2	1	.	
21	18.0	26.5	20.5	21.7	2.1	718.2	715.9	715.7	69	50	62	WNW 1	WSW 3	WSW 0	0	1	0	.	
22	19.0	27.7	21.3	22.7	3.2	716.5	713.0	712.9	66	48	61	WNW 1	WNW 1	WSW 1	0	2	7	.	
23	17.4	23.8	17.0	19.4	−0.1	713.2	**709.7**	712.4	82	50	79	W 1	W 1	WSW 1	9	8	9	2.0	▽ p–n mU
24	16.5	20.0	15.0	17.2	−2.3	714.2	713.3	715.6	73	56	63	WSW 1	WSW 4	WSW 3	9	8	8	.	⛈ p
25	15.5	20.1	15.9	17.2	−2.3	717.4	716.5	717.8	66	53	65	WSW 1	WSW 3	WSW 2	7	6	4	.	⛈ a–p
26	**14.2**	22.1	18.3	18.2	−1.2	**719.7**	717.2	717.6	71	52	63	NW 0	WSW 1	SW 2	9	5	3	.	
27	16.9	23.5	19.2	19.9	0.5	719.4	718.0	718.6	72	51	64	N 1	WSW 1	NNW 1	3	1	0	.	
28	16.8	24.9	20.1	20.6	1.2	719.5	717.3	717.4	75	57	69	N 0	W 2	W 0	0	0	0	.	
29	19.4	27.0	22.5	23.0	3.6	718.3	714.8	716.0	69	56	62	N 1	W 1	N 1	0	0	4	.	
30	19.7	27.4	23.6	23.6	4.3	716.9	715.0	715.5	75	55	59	N 1	W 3	NW 1	4	0	2	.	
31	21.6	**28.6**	23.6	24.6	5.3	716.4	714.4	715.3	63	52	65	WNW 0	W 1	W 1	1	2	8	.	
																		Summe	
Mittel	17.7	24.9	19.4	20.7	—	716.8	714.9	715.8	73	51	68				4.0	3.7	4.3	53.0	

$\lambda = 8° 57'$, $\beta = 46° 0'$,
$H_b = 276.2$ m, $G = -0.01$ mm.

Lugano

Juli 1951
Beobachter: *G. Vicari.*

Tag	Lufttemperatur 7³⁰	13³⁰	21³⁰	Mittel	Abweich. vom Normalst	Luftdruck 7³⁰	13³⁰	21³⁰	Relative Feuchtigkeit 7³⁰	13³⁰	21³⁰	Windrichtung und Stärke 7³⁰	13³⁰	21³⁰	Bewölkung 7³⁰	13³⁰	21³⁰	Niederschlag	Witterung
1	15.8	23.6	18.2	19.2	−1.4	740.3	740.0	742.0	72	42	81	E 1	SSE 1	SW 1	0	4	10	.	
2	17.8	24.8	20.2	20.9	0.2	**742.7**	741.9	741.3	61	39	51	S 1	S 1	N 1	9	1	4	.	
3	17.6	26.6	21.4	21.9	1.1	741.8	740.2	739.3	68	38	56	N 1	S 1	NW 1	0	0	0	.	
4	18.2	27.0	21.4	22.2	1.4	738.4	736.8	735.3	68	38	53	N 1	S 1	N 1	0	0	0	.	
5	18.4	27.6	20.2	22.1	1.2	733.7	733.1	734.9	66	34	35	— 0	S 1	N 1	6	1	3	.	
6	19.4	25.2	21.2	21.9	0.9	739.3	739.5	739.8	63	38	55	W 1	S 1	N 1	9	1	4	.	
7	20.2	26.4	21.6	22.7	1.7	741.6	740.8	740.2	68	37	58	N 1	S 1	N 1	9	2	8	.	
8	20.0	27.0	21.8	22.9	1.8	739.6	737.6	737.4	70	37	55	E 1	E 1	W 1	1	8	10●	8.2	● $21^1/_2$-n, ◁ 21, (K) 22
9	17.2	24.8	19.6	20.5	−0.6	736.6	735.8	736.4	90	45	71	N 1	SE 1	NW 1	10	4	0	0.8	● $7^1/_2$-$8^1/_2$ mU
10	17.4	27.6	22.8	22.6	1.4	738.8	738.8	739.2	64	38	51	N 1	S 1	N 1	0	0	0	.	
11	20.0	24.4	22.0	22.1	0.9	739.5	738.6	738.5	75	55	52	NE 1	WSW 1	W 1	0	9	8	.	(K) $19^3/_4$
12	19.6	26.4	18.8	21.6	0.3	739.4	738.0	740.6	56	37	93	N 1	NNE 1	NNE 1	8	6	9■	3.4	●tr $15^1/_2$-$18^1/_2$, ● $21^1/_2$-22, (K)
13	17.4	27.2	20.4	21.7	0.4	740.8	740.0	739.9	70	38	65	N 1	E 1	NW 1	1	1	8	22.7	● (K) n (13./14.) [$18^1/_4$
14	17.4	25.4	19.2	20.7	−0.6	741.8	739.7	740.1	95	36	91	S 1	S 1	NNE 1	10●	3	10	9.1	K 7-$7^1/_2$, ▽ $7^1/_2$-10, K $13^1/_2$, ●
15	18.6	26.4	18.2	21.1	−0.3	738.9	737.5	737.4	86	46	63	W 1	S 1	N 1	10	7	8	3.9	● $17^1/_2$-19, K $17^1/_2$-$18^1/_2$ [$18^1/_2$-21
16	17.8	21.2	18.2	19.1	−2.3	734.9	735.5	736.1	68	33	51	W 1	NNW 2	SW 1	9	9	10	1.2	▽ a mU, ●tr 18, ● abd mU,
17	21.8	22.0	18.4	20.7	−0.7	736.0	737.3	737.4	21	40	61	NNE 4	S 1	N 1	9	10	4	.	⌿ n-9 [⌿ $12^1/_2$-$18^1/_2$
18	15.4	27.2	22.2	21.6	0.1	739.0	737.8	737.9	62	25	42	N 1	E 1	NNW 1	4	1	2	.	
19	16.2	27.8	23.4	22.5	1.0	740.0	739.4	738.1	44	37	51	N 1	S 1	NNW 1	0	1	0	.	
20	18.4	28.2	24.8	23.8	2.3	738.8	737.8	737.6	71	42	49	N 1	SE 1	N 1	0	1	0	.	
21	17.0	**29.4**	23.0	23.1	1.5	738.9	737.7	737.8	54	28	48	N 1	S 1	N 1	0	0	0	.	
22	18.6	28.6	21.8	23.0	1.4	739.2	737.6	736.7	58	46	73	N 1	S 1	N 1	3	5	5	4.2	▽ $18^1/_2$
23	18.8	21.4	16.4	18.9	−2.7	735.5	733.5	**732.4**	87	45	75	E 1	E 1	NNE 1	10	10	10●	**29.0**	K ▽ 6-7, $8^1/_2$-$9^1/_2$, 17-18, $18^1/_2$-n
24	**13.2**	27.4	20.0	20.2	−1.4	733.1	733.3	735.7	80	**18**	30	NE 1	N 1	N 4	1	1	7	0.2	▽ $18^1/_2$
25	18.2	24.8	20.2	21.1	−0.5	736.6	737.1	738.3	28	**18**	20	N 2	N 1	N 3	6	4	0	.	
26	14.2	25.8	22.4	20.8	−0.8	739.6	738.8	738.8	60	32	39	N 1	SE 1	N 1	0	1	0	.	
27	15.0	27.2	21.2	21.1	−0.5	740.5	739.8	740.9	48	29	45	NW 1	SE 1	N 1	0	1	0	.	
28	16.4	27.4	21.8	21.9	0.3	741.8	740.8	741.1	61	36	55	N 1	S 1	N 1	0	1	2	.	
29	19.2	28.0	24.2	23.8	2.3	741.3	740.4	739.9	73	39	41	N 1	S 1	N 1	2	2	2	.	
30	20.2	28.2	24.2	24.2	2.7	740.4	739.3	739.4	78	43	60	N 1	S 1	NE 1	8	2	9	.	
31	19.8	28.4	23.8	24.0	2.5	740.8	739.8	739.8	72	47	63	— 0	S 1	NNE 1	8	8	6	.	
Mittel	17.9	26.2	21.1	21.7	—	739.0	738.2	737.4	66	37	56				4.3	3.3	4.5	Summe 82.7	

$\lambda = 7° 35'$, $\beta = 47° 33'$,
$H_b = 317.3$ m, $G = 0.11$ mm.

Basel

Juli 1951
Beobachter: *Astronom.-Meteorol. Anstalt.*

1	**10.8**	22.2	15.4	15.8	−1.6	739.6	738.8	739.8	93	61	82	W 1	NW 1	WNW 1	10	1	5	.	
2	16.6	24.3	16.7	19.2	1.8	739.4	738.7	738.4	71	51	86	S 0	WNW 1	SW 1	0	0	0	.	
3	16.6	26.6	17.7	20.3	2.8	738.2	737.0	736.3	76	48	66	**E** 1	WNW 1	SSW 1	0	0	1	.	
4	17.8	26.8	17.7	20.8	3.2	734.8	733.0	732.6	71	**41**	84	E 1	W 1	WSW 1	0	1	3	.	
5	17.0	19.0	14.0	16.7	−0.9	733.7	735.2	736.2	77	61	71	NW 1	WNW 1	W 1	10	10	5	.	
6	14.7	22.0	15.6	17.4	−0.3	737.5	737.1	737.2	74	53	70	S 1	NW 1	SSW 1	0	1	0	.	
7	15.4	26.2	18.7	20.1	2.3	737.2	735.6	734.4	72	**41**	86	E 1	ENE 1	SSW 1	0	0	0	.	
8	18.4	23.8	19.2	20.5	2.7	733.5	732.8	731.4	81	72	95	ESE 1	ESE 2	SSW 1	2	8	10	10.5	● $11^1/_2$-12, K $11^1/_4$-12, 21-$22^1/_2$
9	19.0	20.0	15.5	18.2	0.3	731.9	733.1	734.1	94	85	94	SSE 1	WSW 1	S 1	10	10	0	3.5	● 12-13, 14-$14^1/_4$, K 12-$12^3/_4$
10	17.0	28.0	20.0	21.7	3.8	735.0	734.2	733.6	90	57	91	NE 1	SE 1	E 0	1	0	1	.	K▲ 13-$13^1/_4$, K $15^1/_2$-$16^1/_2$, 18-$18^3/_4$
11	22.4	23.2	16.6	20.7	2.7	732.4	732.3	735.5	72	89	84	SE 1	SE 1	SE 1	4	7	10●	26.1	● 13-$13^1/_4$, $17^3/_4$-$21^1/_2$, K ▲
12	17.0	21.3	16.6	18.3	0.3	737.3	736.5	736.1	94	67	93	E 0	WSW 1	SW 1	9	10	3	.	[$20^1/_2$-21, ⌿ 11, 18
13	16.0	21.5	15.5	17.7	−0.3	736.3	735.6	736.4	92	73	94	ENE 1	SE 1	E 1	10	4	10	27.6	● $11^1/_2$-$12^1/_4$, $16^3/_4$-$17^1/_4$, *)
14	15.9	21.5	17.6	18.3	0.2	735.4	734.9	734.3	94	76	90	SSE 1	WNW 1	WNW 1	9●	10●	10●	29.3	● $3^1/_4$-$9^3/_4$, $11^3/_4$-$23^1/_2$ mU, *)
15	17.0	20.8	16.2	18.0	−0.1	735.0	734.2	735.8	88	73	89	WNW 1	NW 1	WNW 1	9	9	10	11.6	● 15-24 mU
16	11.8	12.4	12.2	12.1	−6.0	736.8	738.2	739.7	96	97	96	NW 1	NNW 1	NW 1	10●	10●	10●	39.7	● 0-23 mU
17	12.6	16.6	14.8	14.7	−3.4	739.7	739.9	739.7	96	75	93	NW 1	NNW 1	SE 1	10	10	2	.	
18	12.9	24.0	17.2	18.0	−0.2	739.0	738.6	738.8	88	57	86	E 1	WNW 1	SSW 1	0	4	4	.	
19	16.4	24.2	18.8	19.8	1.6	738.9	737.9	737.4	81	66	85	ESE 1	NW 1	WSW 1	0	2	7	.	
20	18.0	25.0	17.5	20.2	2.0	737.9	737.8	738.0	84	51	82	SW 0	NNW 1	SSW 1	2	0	0	.	
21	16.8	25.2	17.4	19.8	1.6	738.6	737.5	736.8	79	57	86	ESE 1	WSW 1	WNW 1	5	4	4	.	
22	14.6	27.2	22.0	21.3	3.1	735.6	733.1	732.8	92	55	74	E 1	NW 1	WSW 1	10	1	10	.	≡ n-a, ⌿ 22, ◁ $21^1/_4$, $23^1/_4$
23	18.4	19.6	14.2	17.4	−0.9	732.8	**730.7**	732.4	80	71	92	WSW 1	ENE 1	SSW 1	8	10●	9■	11.6	● $13^1/_4$-$16^1/_4$ mU, 21-$21^1/_2$, K $13^1/_4$,
24	13.7	16.2	13.0	14.3	−4.0	734.0	735.6	737.1	89	72	84	WSW 1	WNW 1	WSW 2	10	10	9	0.0	●tr n (24. 25.) [$13^3/_4$, $15^1/_4$-$16^1/_4$
25	12.6	18.7	12.9	14.7	−3.6	738.5	738.7	740.2	85	63	88	WSW 1	WNW 1	SSW 1	10	7	10	.	
26	13.9	19.4	15.4	16.2	−2.0	740.1	739.5	739.9	87	64	86	SW 0	WNW 1	NW 0	10	8	3	.	
27	13.4	22.9	17.0	17.8	−0.4	**740.6**	740.0	740.0	96	57	86	E 0	NW 1	WSW 1	10	1	1	.	≡ n-a
28	16.8	26.4	19.9	21.0	2.8	739.8	738.6	738.4	83	42	86	S 1	N 1	E 0	0	0	0	.	
29	17.6	28.5	19.5	21.9	3.7	737.8	735.9	735.5	76	53	86	E 1	ENE 1	SW 1	0	1	7	.	
30	18.5	28.6	21.6	22.9	4.8	735.7	735.2	735.0	74	57	85	E 1	NW 1	SSW 1	3	4	1	.	
31	20.7	**31.6**	24.3	25.5	7.4	734.6	734.1	734.5	78	49	60	ESE 2	E 1	NW 0	4	4	10●	**45.5**	● $21^1/_4$-$23^3/_4$, K $21^1/_2$-$22^3/_4$, *)
Mittel	16.1	23.0	17.1	18.7	—	736.7	736.1	736.4	84	62	85				5.4	4.7	5.0	Summe 205.4	

*) **13.** K ▲ $11^1/_2$, K $16^1/_2$, ⌿ 11, $16^1/_2$ **14.** K $20^3/_4$-$21^3/_4$, $22^1/_2$-$22^3/_4$, ⌿ 21 **31.** ▲ $21^1/_2$, 22, ⌿ 22

Juli 1951
Beobachter: *Observatorium.*

Säntis

$\lambda = 9° 20'$, $\beta = 47° 15'$,
$H_b = 2500.1$ m, $G = -0.27$ mm.

Tag	Lufttemperatur 7³⁰	13³⁰	21³⁰	Mittel	Abweich. vom Normalst	Luftdruck 7³⁰	13³⁰	21³⁰	Relative Feuchtigkeit 7³⁰	13³⁰	21³⁰	Windrichtung und Stärke 7³⁰	13³⁰	21³⁰	Bewölkung 7³⁰	13³⁰	21³⁰	Niederschlag	Witterung
1	1.1	5.2	1.8	2.7	−1.5	567.1	568.1	568.7	100	65	100	NNE 1	SE 1	NE 1	10≡	8	9≡	.	≡ n-n mU
2	4.8	8.7	5.2	6.2	1.9	568.2	569.4	569.6	30	80	8	WNW1	SSW 1	WSW2	1	7	2	.	≡ 11½-18 mU
3	5.2	9.2	5.0	6.5	2.2	568.7	569.1	568.1	22	69	100	W 2	W 2	W 2	1	4	2	.	
4	5.7	8.2	5.7	6.5	2.1	566.7	566.4	565.4	98	84	100	WSW2	WSW2	W 2	8≡	6	10≡	13.0	∴ n (4./5.), ≡ n-7⅝, [9¼-n
5	5.3	3.8	2.0	3.7	−1.5	563.8	564.7	565.5	100	100	100	WNW2	W 2	W 2	10≡	10●	10≡	6.9	∴ 11¼, ●△ 12¾-14½, ● 17½-
6	3.6	7.2	4.3	5.0	0.4	565.7	566.9	567.9	80	74	100	WSW2	WSW2	WSW2	2	7	1	.	[8½, ≡ n-r ≡ 9¼-n mU
7	7.8	8.6	7.7	8.0	3.4	568.0	568.7	568.4	51	65	96	WSW2	WSW2	WSW2	0	2	1	.	
8	10.8	11.0	8.7	10.2	5.5	567.3	566.6	565.5	48	70	93	S 1	S 1	SW 1	2	8	8	8.4	K△ 22¼-23¼, ≡ 11½-12¼
9	6.0	6.6	4.2	5.6	0.8	564.4	564.6	566.1	100	100	100	SW 2	WSW2	W 2	10	10≡	10≡	18.4	∴ 14⅜-15½, ● 15½-19½
10	5.4	12.0	9.4	8.9	4.1	566.9	568.1	568.7	57	69	95	SW 2	SSW 2	S 2	1	4	1	.	[≡ 8¾-r
11	11.6	15.0	7.1	11.2	6.3	567.6	567.5	567.5	40	49	100	SSW 2	SSW 1	W 3	1	4	10≡	13.7	● n (11. 12.), ≡ 16¾-n mU
12	6.5	12.4	7.0	8.6	3.7	567.7	567.8	568.3	100	53	68	SSW 1	SW 2	SW 2	10≡	6	6	.	≡ n-9½, 17-20⅜, ⊕ 10½-13½
13	8.2	13.2	6.0	9.1	4.1	568.3	568.8	568.6	48	58	63	— 0	SW 1	WSW2	3	6	9	11.5	K● 19½-20½, ≡ 14-16,
14	8.1	11.4	8.6	9.4	4.4	567.9	567.8	567.5	60	61	94	S 2	SSW 2	SW 1	6	4	10●	0.8	● 21-n [19½-20½
15	8.1	10.0	4.2	7.4	2.3	566.7	566.9	565.8	74	85	100	W 2	SW 1	NNW 2	5	10≡	10≡●	62.9	● 14⅜-n, K△ 16½-18½,
16	4.8	1.4	0.4	2.2	−2.9	564.2	565.1	566.6	100	100	100	SE 0	WNW2	N 2	10≡●	10≡●	10≡●	9.7	[≡ 11½-n ≡ ● n-n
17	0.9	2.8	1.3	1.7	−3.4	566.6	567.6	568.4	100	100	100	N 2	NNE 2	NNE 2	10≡●	10≡	10≡	0.0	● n-12, ≡ n-n
18	5.2	7.7	4.3	5.7	0.5	567.8	568.7	569.9	78	76	70	NE 2	N 1	N 2	4	9	2	.	≡ 14-16⅜ mU
19	6.0	11.0	6.0	7.7	2.5	569.0	569.2	569.1	70	71	100	W 2	WSW2	WNW2	2	10≡	10≡	.	≡ 10⅜-n mU
20	4.9	7.8	4.8	5.8	0.6	568.1	569.0	569.4	100	75	100	SW 2	W 2	WSW2	10≡	9	10≡	.	≡ n-13, 13-14¼ mU, 17⅜-n mU
21	4.6	10.2	7.8	7.5	2.2	568.8	569.5	568.8	82	70	82	NNW 2	SW 1	SW 2	1	7	1	.	≡ 14¼-17⅜
22	7.9	10.0	8.0	8.6	3.3	567.6	567.3	566.4	63	67	100	WSW2	SW 2	WSW2	0	3	10≡	6.3	K△ 23-24, ≡ 21¼-n
23	4.3	5.0	1.2	3.5	−1.8	563.9	562.7	**562.2**	100	100	100	WSW2	WSW2	WSW3	10≡	10≡	10≡●	50.7	● 8½-12¾ mU, K 11½-11¾, ●17-*
24	1.0	3.4	−0.2	1.4	−3.9	562.5	564.1	565.0	100	100	100	W 3	W 2	N 2	10≡●	10≡●	10≡*	30.6	●✶ n-7, ● 7-17¼, ✶ 17¼-n, ≡n-r
25	**-1.4**	0.0	−0.1	−0.5	−5.9	565.0	566.0	566.7	100	100	100	W 2	W 2	W 2	10≡	10≡	10≡	11.1	✶ 9½-12¼, ≡ n-n [⌙ III
26	0.7	2.0	1.3	1.3	−4.1	567.3	568.3	568.9	100	100	95	N 1	N 1	N 2	10✶●≡	10≡	9	1.5	✶ ● 6¾-11, ≡ n-19
27	2.8	6.8	4.2	4.6	−0.8	568.8	570.1	**570.6**	75	65	65	NNE 2	SE 1	N 1	2	8	1	.	
28	6.4	10.0	6.2	7.5	2.1	569.8	570.3	570.0	50	77	45	W 2	SW 2	SW 2	7	3	4	.	
29	9.2	13.1	8.8	10.4	5.0	569.7	569.9	569.8	**3**	60	77	NW 2	SW 2	WSW2	1	2	1	.	
30	9.2	14.0	11.0	11.4	6.0	569.2	569.9	**570.6**	83	70	63	W 2	SW 2	SW 2	7	3	4	.	≡ 16¼-18
31	14.6	**17.8**	13.4	15.3	9.9	569.8	570.5	**570.6**	27	43	55	WSW1	SW 2	SW 2	1	3	8	.	
Mittel	5.7	8.6	5.3	6.5	—	567.2	567.7	567.9	72	76	86				5.3	6.9	6.7	Summe 245.5	*) 23. n, ≡ n-15¼, 19½-n

Juli 1951
Beobachter: *E. Chiesa*

St. Gotthard (Hospiz)

$\lambda = 8° 34'$, $\beta = 46° 33'$,
$H_b = 2095$ m, $G = -0.25$ mm.

1	3.7	8.3	5.0	5.7	−0.9				100	50	100	NW 2	NW 1	NW 2	10≡	6	10≡	.	≡ n-a, p-n mU
2	4.7	11.1	5.8	7.2	0.5				70	40	95	NW 0	NW 1	NW 1	0	0	0	.	
3	7.3	12.8	8.0	9.4	2.6				48	32	90	NW 1	NW 1	NW 1	0	0	0	.	
4	7.1	12.2	8.0	9.1	2.2				59	38	72	NW 0	NW 0	NW 1	0	0	0	.	
5	5.9	6.4	5.0	5.8	−1.2				100	95	100	NW 1	NW 1	NW 2	10≡	10	10●≡	1.7	● 19⅜-n, ≡ n-a, 19⅜-n
6	5.7	10.8	6.5	7.7	0.6				68	45	100	SE 0	NW 0	NW 2	0	3	0	.	
7	7.7	14.3	9.9	10.6	3.4				90	56	95	SE 0	SE 1	SE 2	0	6	10	.	
8	10.0	14.7	9.9	11.5	4.2				86	67	84	SE 0	SE 0	SE 1	10	10	10●≡	6.6	● ≡ p-n mU
9	7.1	11.2	6.9	8.4	1.0				89	72	100	SE 0	NW 0	NW 1	10	10	9	1.1	● ≡ 17¼-17½
10	7.2	15.7	10.5	11.1	3.6				64	47	90	NW 0	SE 1	SE 1	0	0	3	.	
11	10.5	12.3	9.9	10.9	3.3				96	64	96	SE 0	SE 0	SE 0	6	10	10●	12.6	● p-n
12	7.6	14.2	7.2	9.7	2.0				81	64	75	NW 0	SE 1	NW 0	10	6	10	13.0	K▲● 17⅜-18¼
13	9.1	14.5	8.9	10.8	3.0				71	55	74	SE 1	SE 1	SE 0	9	6	10	5.4	K● 18¼-18½
14	8.7	11.0	8.4	9.4	1.5				97	84	96	SE 1	SE 1	SE 2	10●	10	10	10.9	● n-a mU, K● 20⅜
15	8.6	15.2	8.1	10.6	2.6				98	67	82	SE 0	SE 1	NW 1	10	6	3	**14.1**	K● 16⅜-abd
16	4.7	3.1	2.5	3.4	−4.7				100	100	100	NW 2	NW 2	NW 3	10●≡	10●≡	10●≡	8.6	● n-a, p-n, ● a-p, ≡ n-n mU, ⸗ II
17	2.9	4.0	4.4	3.8	−4.4				100	100	100	NW 2	NW 2	NW 2	10≡	10●≡	10●≡	1.5	● a-p mU, ● p-n, ≡ n-n mU
18	4.4	9.7	7.0	7.0	−1.3				90	82	100	NW 2	NW 2	NW 2	3	3	10≡	.	≡ p-n, △ I
19	5.9	14.2	8.8	9.6	1.3				79	33	100	NW 1	NW 1	NW 1	0	0	10≡	.	≡ 19¼-n mU, △ I
20	7.4	13.5	8.7	9.9	1.5				97	43	99	NW 1	NW 2	NW 2	3	3	10≡	.	≡ 17½-n mU, △ I
21	6.3	12.4	9.2	9.3	0.9				84	47	95	NW 2	NW 2	NW 1	0	0	3	.	≡ 20½-n mU, △ I
22	9.9	17.3	9.5	12.2	3.8				66	55	91	NW 0	SE 0	SE 0	0	0	6	11.3	K▲● 18½-18⅜, △ I
23	8.1	7.3	2.4	5.9	−2.6				100	100	100	SE 0	NW 0	NW 2	10≡	10≡	10●≡	7.8	● a-n mU, ≡ n-n
24	3.0	6.1	2.1	3.7	−4.8				100	81	100	NW 3	NW 2	NW 2	9	6	10≡	1.8	● p-n mU, ≡ n-p mU, p-n
25	1.1	3.6	1.9	2.2	−6.3				100	94	100	NW 2	NW 2	NW 2	9	10≡	10≡	.	≡ n-n mU
26	2.3	7.9	4.9	5.0	−3.5				100	56	100	NW 1	NW 2	NW 1	10≡	9	10≡	.	≡ n-a, p-n mU
27	4.0	11.3	7.2	7.5	−1.0				89	51	100	NW 1	NW 2	NW 2	0	0	3	.	△ I
28	7.5	13.8	9.7	10.3	1.8				58	**29**	95	NW 1	NW 1	NW 1	0	0	0	.	
29	10.0	**18.5**	10.6	13.0	4.5				49	34	93	NW 0	SE 0	NW 0	0	0	0	.	
30	10.9	17.9	12.2	13.7	5.2				92	35	42	SE 0	NW 0	NW 0	0	0	0	1.1	K● 18-18¼
31	11.8	18.3	13.4	14.5	6.0				76	53	95	SE 0	SE 1	SE 0	0	0	10≡	.	≡ p-n mU
Mittel	6.8	11.7	7.5	8.7	—	—	—	—	84	60	92				4.8	4.6	6.7	Summe 97.5	

Barometer defekt

$\lambda = 7°\,26'$, $\beta = 46°\,57'$,
$H_b = 572.2$ m, $G = 0.00$ mm.

Bern

August 1951
Beobachter: *Meteorol. Observatorium.*

Tag	Lufttemperatur 7³⁰	13³⁰	21³⁰	Mittel	Abweich. vom Normalst	Luftdruck 7³⁰	13³⁰	21³⁰	Relative Feuchtigkeit 7³⁰	13³⁰	21³⁰	Windrichtung und Stärke 7³⁰	13³⁰	21³⁰	Bewölkung 7³⁰	13³⁰	21³⁰	Niederschlag	Witterung
1	17.2	21.0	19.7	19.3	1.6	713.3	712.8	713.3	80	79	90	SSE 1	ENE 2	S 1	8	10●	6	0.1	●tr 12¹/₂–20¹/₂ mU, △ III
2	17.6	**26.0**	19.4	21.0	3.3	714.1	713.4	715.0	87	50	95	SE 1	N 1	SE 1	1	2	8	0.7	●20¹/₂–21¹/₄, ⊼ 20¹/₂–21
3	17.3	22.6	19.1	19.7	2.1	714.7	713.2	713.0	95	72	87	S 1	W 2	W 1	8	10	10	1.9	●tr 13¹/₂, 15–16¾, ⊼ 16–16¾, 22¾
4	16.9	21.2	15.0	17.7	0.1	712.9	712.3	713.4	92	64	97	SSW 1	SW 2	E 1	10	9	10	6.3	●8¹/₂–10¹/₄, 17¹/₄–20¹/₄, ⊼ 19
5	15.5	20.0	18.2	17.9	0.4	712.8	711.5	711.1	83	56	75	WNW 1	N 1	N 1	9	6	9	.	△ I
6	16.2	24.1	16.8	19.0	1.5	710.1	708.2	709.6	81	64	99	E 1	N 1	S 1	2	7	8	24.5	●18¹/₂–20³/₄, 22¹/₂–22³/₄, ⊼ 20
7	16.8	20.5	17.2	18.2	0.8	709.6	710.1	708.2	99	64	96	E 1	ESE 1	W 1	9	10	10	21.2	●9¹/₂–9³/₄, 9¹/₂–11¹/₂, 15¹/₂–21 mU,
8	15.3	18.2	14.9	16.1	−1.3	705.7	704.8	**703.8**	99	98	98	W 1	W 2	WNW 1	10●	9	6	1.9	●9–12¹/₂, 15–20³/₄ mU [⊼ 23–3
9	15.5	13.8	12.0	14.1	−3.2	704.8	708.9	710.5	65	82	77	SSW 3	SSW 2	W 1	6	8	2	1.4	●8¹/₂–9¹/₂, 11¹/₂ mU
10	12.1	17.4	12.2	13.9	−3.3	711.3	710.8	712.8	82	58	93	SE 1	NW 1	SSE 1	1	9	7	4.6	●16¹/₄–17³/₄, ⊼ 16¹/₄–16¹/₂
11	12.6	18.6	15.1	15.4	−1.8	714.0	713.7	712.6	93	52	80	SE 1	W 2	SSW 1	8	8	2	.	
12	13.0	23.0	19.2	18.4	1.3	710.6	709.7	710.5	83	**39**	53	E 1	W 3	W 1	0	3	5	2.6	●22–22¹/₂
13	15.7	20.8	15.2	17.2	0.2	711.7	711.6	712.0	85	54	75	SE 1	W 2	NE 1	9	9	10●	17.5	●0¹/₄–3¹/₄ mU, 19¹/₂–23 mU,
14	14.3	18.2	15.5	16.0	−1.0	713.8	713.9	713.9	92	62	74	SE 0	NE 1	N 1	9	6	9	.	[⊼ 19–20
15	13.1	19.7	16.5	16.4	−0.5	713.8	713.1	712.4	85	54	75	N 0	NNE 1	NE 1	1	2	1	.	△ I
16	15.3	14.1	12.7	14.0	−2.8	712.7	714.0	715.8	92	98	97	SSW 1	S 1	SE 0	10	10●	1	16.1	●8³/₄–9¹/₄, 12¹/₂–16¹/₂, ⊼
17	11.6	18.8	15.0	15.1	−1.7	715.1	715.0	715.9	93	54	81	SSE 0	SW 1	SSW 0	7	8	1	.	△ I [12¹/₄–13
18	13.4	20.6	16.0	16.7	0.0	716.0	714.8	713.3	87	53	81	E 1	NE 1	NE 0	2	2	1	.	△ I
19	12.8	22.9	18.6	18.1	1.5	712.5	711.1	710.6	94	58	74	S 1	W 2	S 1	1	5	4	.	△ I
20	15.5	20.6	15.8	17.3	0.7	710.6	711.4	713.0	84	77	100	SW 1	N 1	SE 1	9	9	10●	**30.8**	●18–24
21	13.4	14.3	13.0	13.6	−2.9	715.7	716.3	716.4	98	92	94	W 1	NNE 1	NE 1	10●	10●	10	3.8	●0–23 mU
22	12.7	16.3	14.9	14.6	−1.8	**716.8**	716.2	715.6	97	79	89	NE 1	NE 1	NE 1	10●	10	10	0.1	●5¹/₂–8¹/₄
23	13.3	18.6	15.3	15.7	−0.7	715.0	715.1	715.2	98	65	87	N 0	E 2	N 1	10≡	6	0	.	≡ n-a
24	**10.9**	19.3	16.2	15.5	−0.8	713.8	712.4	711.6	98	72	89	SE 1	N 1	NW 1	10≡	1	0	.	≡ n-a
25	12.2	20.8	15.4	16.1	−0.1	711.2	710.5	710.7	98	67	94	S 1	NW 1	E 1	7≡	7	10	0.4	●20–21¹/₂, ≡ n-a
26	14.9	20.9	17.4	17.7	1.6	709.2	708.6	709.2	98	63	64	SE 1	WSW 1	W 1	10	3	4	3.3	●2¹/₂–3
27	13.6	17.1	14.3	15.0	−1.1	710.1	711.0	712.0	98	72	79	SSW 1	SW 2	W 1	10●	8	4	5.2	●5–10¹/₄
28	12.9	21.7	17.8	17.5	1.5	713.0	712.5	712.2	86	58	86	S 0	SE 1	S 0	1	0	0	.	
29	14.8	25.2	18.9	19.6	3.7	712.9	713.0	712.5	89	62	76	S 0	SW 1	SE 1	1	1	0	.	△ I
30	15.2	24.9	16.8	19.0	3.2	710.8	710.4	712.1	85	46	94	SE 1	WNW 1	S 1	1	2	9	7.1	●18¹/₂–24 mU, △ I
31	15.4	14.3	12.6	14.1	−1.6	709.3	711.1	712.8	97	98	95	NE 1	S 1	NE 1	9	10●	4	12.5	●11¹/₂–17³/₄
																		Summe	
Mittel	14.4	19.8	16.1	16.8	—	712.2	712.0	712.2	90	66	85				6.4	6.5	5.5	162.0	

$\lambda = 6°\,57'$, $\beta = 47°\,0'$,
$H_b = 487.3$ m, $G = 0.02$ mm.

Neuchâtel

August 1951
Beobachter: *Observatorium.*

1	18.1	22.5	18.7	19.8	1.1	720.7	720.2	720.5	95	77	81	SW 1	SE 0	NE 0	7	10	5	0.2	●14–14¹/₄
2	18.1	**27.6**	22.3	22.7	4.0	721.5	720.8	722.2	91	50	73	NE 1	SE 1	NE 1	2	2	10	.	
3	19.4	23.5	18.0	20.3	1.6	722.1	720.6	720.6	84	71	93	NE 0	SW 1	NW 0	8	10	10●	13.5	●15¾–16¹/₄, 20¾–21, ⊼ 15¹/₂–16¹/₄
4	17.6	19.5	15.3	17.5	−1.1	720.3	719.8	720.6	98	77	89	NW 0	W 2	W 1	10	9	10	5.0	●4¹/₂–5¹/₄, 18–19¹/₂, [22¹/₄–23¹/₂
5	14.6	23.0	16.8	18.1	−0.5	720.4	718.9	718.3	88	53	61	W 1	S 1	N 0	4	4	3	.	
6	15.3	23.1	19.0	19.1	0.6	717.6	715.8	716.3	90	62	91	NE 0	SE 1	S 0	1	8	10	1.5	∀ 14¹/₂–19 mU
7	16.8	21.1	17.0	18.3	−0.2	717.0	717.5	715.3	94	70	93	W 0	SE 0	SW 0	10	10	10	18.3	●5¹/₂–5³/₄, 8¹/₄–11 mU, 17¹/₄–18¹, ⊼
8	15.6	18.7	16.0	16.8	−1.6	712.8	711.7	**710.8**	93	80	93	W 1	SW 2	SW 3	10	8	10	8.7	●1–6, 10–11¹/₂, 17–20¹/₂, ⊼ 23–0 [9¹/₂
9	15.2	15.3	14.1	14.9	−3.4	712.2	716.5	717.8	66	70	73	SW 3	W 2	W 0	9	10	10	0.3	∀ 10³/₄, 16¹/₄, 17¹/₂
10	13.1	18.9	13.5	15.2	−3.1	718.6	718.4	720.3	87	64	80	E 1	S 1	W 0	4	8	7	3.2	∀ 14¹/₂–14³/₄
11	14.2	20.6	10.4	17.1	−1.1	721.4	721.3	719.8	80	60	67	W 1	SW 1	W 1	2	7	1	.	
12	12.0	24.1	20.0	19.0	0.9	718.1	717.1	717.5	92	**32**	61	E 1	SW 3	NW 3	1	7	6	0.4	●21³/₄–22¹/₄, ⊼ 20³/₄–22¹/₄
13	17.5	18.6	14.5	16.9	1.2	718.9	719.2	719.3	69	80	80	W 2	SW 1	NW 2	8	10	1●	15.5	∀ 13¹/₄, ⊼ ▲ 19¹/₄–19¹/₂,
14	15.1	22.3	16.5	18.0	0.0	721.4	721.9	721.4	85	56	62	NE 0	S 1	N 2	0	4	0	.	[● 19¹/₂–21¹/₂
15	14.2	21.0	16.7	17.2	−0.7	721.6	720.6	719.9	82	51	77	E 1	S 1	N 0	1	0	1	.	
16	10.8	16.8	13.0	15.5	−2.4	720.0	721.2	723.2	81	90	92	SW 1	W 1	NE 0	9	10●	0	3.1	●11¹/₂–14
17	**12.5**	19.0	15.5	15.9	−1.9	722.9	722.8	723.3	93	64	75	E 0	S 1	SW 0	10	6	0	.	
18	13.3	24.4	18.6	18.8	1.1	723.6	722.2	720.7	86	45	53	E 1	SE 1	NE 1	2	1	0	.	
19	13.4	23.8	17.8	18.3	0.6	720.0	718.4	717.9	90	55	80	N 0	SW 1	SW 0	0	1	4	0.2	
20	15.5	19.3	16.8	17.2	−0.4	718.2	718.9	720.4	93	84	97	SW 0	SE 0	NW 0	10●	9	1●	**25.1**	●7–7³/₄, 16¹/₂–18¹, 2 mU, 20–21
21	13.2	15.7	13.0	14.0	−3.5	723.1	724.1	724.0	95	86	91	E 0	E 0	N 0	10	10	10	1.8	●0–0¹/₂, 1–1¹/₂, 15¹/₂–17¹/₂,
22	13.6	17.8	14.9	15.4	−2.0	**724.5**	723.7	723.3	92	77	80	NE 0	E 0	NE 0	10	10	8	.	[⊼ 0¹/₄–1¹/₂
23	14.0	21.2	16.2	17.1	−0.3	722.6	722.7	722.7	91	60	76	NE 0	E 2	NE 1	4	5	0	.	
24	13.2	22.1	15.9	17.4	0.1	721.3	719.9	718.9	93	59	79	E 0	E 2	N 0	8	2	1	.	
25	14.0	20.3	16.9	17.1	−0.1	718.7	717.9	718.0	94	68	79	NE 1	SE 0	NW 1	7	9	10	.	
26	15.6	22.3	18.4	18.8	1.7	716.6	715.6	716.3	85	61	60	NE 0	SE 1	W 2	8	1	0	7.4	●22¹/₄–23
27	14.8	17.4	15.8	16.0	−1.0	717.6	718.4	719.3	97	74	72	W 0	SW 2	W 0	10●	8	10	1.3	●4¹/₄–8¹/₂, ∀ 13¹/₂, 15³/₄
28	13.2	23.5	16.7	17.8	0.1	720.2	719.9	719.5	94	60	84	NE 1	SE 1	NE 0	0	0	0	.	
29	15.0	25.6	18.8	19.8	2.0	720.5	720.4	719.8	94	55	73	E 0	SW 1	NE 0	1	0	0	.	
30	15.9	25.5	18.8	20.0	2.3	718.0	716.3	719.3	95	59	64	SE 0	S 1	W 2	0	2	10	1.4	●22¹/₂–23, ⊼ 17¹/₄–20¹/₂
31	15.6	15.9	13.2	14.6	−3.0	716.8	717.9	720.4	80	94	85	NE 0	W 0	W 0	9	10●	1	9.0	●2⁸/₄–3¹/₄, 11–16⁸/₄
																		Summe	
Mittel	15.1	21.0	16.6	17.6	—	719.6	719.4	719.6	89	66	79				5.9	6.2	6.0	116.5	

August 1951
Beobachter: *Frl. H. Nager.*

Altdorf

$\lambda = 8° 39'$, $\beta = 46° 53'$,
$H_b = 456.3$ m, $G = -0.05$ mm.

Tag	Lufttemperatur					Luftdruck			Relative Feuchtigkeit			Windrichtung und Stärke						Bewölkung			Niederschlag	Witterung
	7^{30}	13^{30}	21^{30}	Mittel	Abweich. vom Normalst	7^{30}	13^{30}	21^{30}	7^{30}	13^{30}	21^{30}	7^{30}		13^{30}		21^{30}		7^{30}	13^{30}	21^{30}		
1	19.1	22.1	19.0	10.1	2.2	722.9	722.9	723.4	98	97	100	N	o	SE	1	NW	o	8	8	o	.	
2	16.8	20.4	19.0	18.7	0.8	723.2	722.9	725.2	92	53	100	S	o	NW	1	E	o	o	4	10	2.6	● 20
3	17.0	23.5	20.1	20.2	2.3	724.4	722.2	722.2	100	65	87	W	o	NW	1	NW	o	6	7	7	.	
4	19.2	21.5	16.8	19.2	1.4	722.5	721.8	724.0	97	62	100	E	o	NW	1	NW	1	10●	10	10●	11.1	●tr n–$7^1/_2$, ● K$_\Delta$ $21^1/_2$–n
5	16.2	21.4	18.2	18.6	0.8	722.8	720.7	721.1	100	52	75	E	o	N	1	SE	o	8	5	4	.	
6	15.7	25.5	23.3	21.5	3.7	719.4	717.5	718.0	91	34	35	S	o	SE	2	S	2	2	6	o	.	
7	18.8	23.8	19.3	20.6	2.9	719.7	719.5	717.2	96	58	75	NW	o	N	1	NW	o	6	6	10●	33.4	● $20^3/_4$–n
8	16.9	17.4	16.4	16.9	−0.8	715.4	715.2	**713.5**	100	100	100	NW	1	NW	o	NW	o	10●	10●	10●	10.1	● n–n mU, K$_\Delta$ 6
9	15.9	17.4	13.5	15.6	−2.1	713.7	717.9	720.8	100	56	96	E	o	NW	1	NW	o	10	10	5	2.9	⛆ n–a mU
10	11.9	15.3	13.4	13.5	−4.1	721.1	721.2	722.1	99	93	100	E	o	NW	o	NW	o	5	10●	10●	15.3	● $12^1/_2$–n mU
11	13.1	19.5	14.0	15.5	−2.1	724.2	723.0	725.1	100	46	90	SE	o	NW	o	SE	o	10	8	o	.	
12	13.0	21.1	18.0	17.4	−0.1	722.1	721.8	723.1	89	59	81	E	o	NW	o	E	o	o	1	1	.	
13	16.0	21.0	18.0	18.3	0.8	722.9	721.3	721.6	99	62	99	E	o	NW	2	N	o	4	10	5	4.5	● K$_\Delta$ mtg
14	15.1	20.2	17.2	17.5	0.1	724.7	723.6	724.5	100	51	78	E	o	NW	2	NW	o	7	2	10	.	
15	15.3	20.9	16.8	17.7	0.3	724.8	723.5	723.9	90	56	95	NW	o	NW	1	E	o	1	1	1	4.9	● n (15./16.)
16	16.1	17.2	12.8	15.4	−1.9	723.6	724.9	725.7	99	88	100	N	o	NW	o	E	o	10●	10	4	11.5	● n–a
17	**11.2**	17.2	11.4	13.3	−3.9	727.2	726.2	726.9	100	57	87	E	o	E	o	NW	o	o	2	3	.	
18	14.1	21.1	15.9	17.0	−0.2	727.1	725.6	724.8	89	55	89	NW	o	NW	2	NW	o	2	1	o	.	
19	13.2	21.9	17.9	17.7	0.6	723.9	722.8	722.8	99	54	84	E	o	NW	o	SE	o	o	6	1	.	
20	16.0	24.0	19.8	19.9	2.9	721.0	722.0	722.2	79	58	80	S	o	NW	2	NW	o	o	1	10	7.9	● n (20./21.)
21	15.1	15.2	14.1	14.8	−2.2	726.4	727.4	727.8	100	100	100	E	o	E	o	E	o	10●	10●	10	23.3	● n–p mU
22	14.3	16.3	14.9	15.2	1.7	**728.0**	727.4	725.8	100	80	100	E	o	NW	1	NW	o	10	10	10	0.1	● n (22./23.)
23	15.3	17.3	13.4	15.3	1.5	724.9	725.4	725.7	100	87	100	N	o	N	o	NW	o	10	10	10	1.8	● n–a mU
24	12.0	20.5	14.4	15.6	1.1	723.6	721.6	721.7	100	68	100	W	o	NW	o	E	o	2	2	o	.	
25	12.9	21.4	15.9	16.7	0.0	721.1	719.2	721.1	98	62	100	N	o	NW	1	NW	o	4	7	10●	6.3	● 17–n
26	15.1	19.8	16.1	17.0	0.4	719.5	718.4	719.8	100	71	100	S	o	NW	1	NW	o	10	8	10●	3.6	● 21–n
27	15.1	17.0	14.2	15.4	−1.1	719.3	720.9	722.5	100	70	98	W	o	W	o	E	o	8	10●	4	0.5	● a–p mU
28	13.4	20.9	20.1	18.1	1.7	722.5	721.8	722.4	99	56	50	W	o	NW	1	S	2	2	o	o	.	
29	17.9	24.8	17.7	20.1	3.8	722.4	722.6	723.2	60	53	94	E	1	NW	1	NW	o	o	3	o	.	
30	23.0	**27.8**	20.4	23.7	7.5	719.7	718.6	721.6	37	**31**	70	SE	2	SE	2	S	1	o	3	5	.	
31	17.5	17.5	13.6	16.2	0.1	718.8	720.1	722.9	97	100	100	N	o	NW	o	NW	o	10	10●	8	24.8	⛆ a–p mU, K$_\Delta$ 14, $15^1/_2$–16^3/
																					Summe	
Mittel	15.6	20.4	16.6	17.5	—	722.4	722.0	722.7	94	66	89							5.3	6.2	5.4	164.6	

August 1951
Beobachter: *Observatorium.*

Genève

$\lambda = 6° 9'$, $\beta = 46° 12'$,
$H_b = 405.0$ m, $G = -0.03$ mm.

1	20.6	25.0	21.0	22.2	2.9	727.9	727.9	728.3	81	76	83	S	o	SW	1	S	o	9	9	10	.	
2	21.0	27.0	23.0	23.7	4.5	728.6	728.1	728.3	82	64	68	W	o	SSW	o	NNW	o	o	5	6	.	
3	20.0	23.0	22.0	21.7	2.5	728.3	728.0	727.4	87	83	82	SSE	1	SSE	1	ESE	o	10	10	3	.	
4	18.5	27.0	17.2	20.9	1.7	726.8	727.4	726.8	92	56	92	ESE	o	S	1	S	1	6	5	10	9.5	⛆ 16–n mU
5	20.8	26.0	19.5	22.1	3.0	726.4	725.3	724.3	78	55	76	E	o	SSW	1	E	o	1	2	1	.	
6	18.2	24.0	21.4	21.2	2.1	724.2	724.3	724.6	77	75	90	E	o	ESE	1	SSE	1	1	4	8	.	
7	17.2	22.8	18.8	19.6	0.6	722.7	722.4	721.4	82	76	94	SSE	o	S	1	S	1	10	10	10●	13.0	● p–n
8	16.6	21.6	19.0	19.1	0.1	720.1	**716.0**	717.0	94	77	90	S	o	S	1	S	1	10●	10	10	4.9	● n–a
9	14.2	19.5	14.8	16.2	−2.7	722.1	723.4	724.1	86	67	76	S	1	S	1	S	o	10●	10	9	1.0	● n–a
10	16.0	16.3	15.4	15.9	−2.9	725.7	726.6	727.5	87	63	89	S	o	SSE	1	E	o	9	9	5	.	
11	17.0	24.6	15.6	19.1	0.3	728.2	727.6	727.4	90	46	85	E	o	ENE	1	E	o	6	2	4	.	
12	17.8	28.8	22.8	23.1	4.4	726.8	725.7	724.6	65	**30**	83	S	o	S	1	S	1	4	5	6	.	
13	21.5	24.2	19.4	21.7	3.1	726.6	726.0	726.6	66	72	87	S	o	S	1	S	o	9	7	o	1.2	⛆ 10
14	18.0	25.0	17.8	20.3	1.8	727.6	726.7	727.6	80	48	82	E	o	ENE	1	E	o	3	5	2	.	
15	17.6	21.0	18.0	18.9	0.4	728.2	727.4	725.9	68	55	90	WSW	1	WNW	o	SW	1	1	5	10	10.3	⛆ 22–n, (K$_\Delta$) $22^1/_2$
16	16.2	21.6	17.0	18.3	−0.1	726.3	728.1	729.2	90	70	73	SSE	1	S	1	N	1	9	6	3	.	
17	14.9	19.1	16.0	16.7	−1.6	728.8	728.8	729.9	87	70	81	N	1	N	1	N	o	10	7	o	.	
18	14.0	21.4	17.7	17.7	−0.5	730.6	729.2	727.5	85	66	75	N	o	N	o	N	o	1	3	o	.	
19	16.0	**29.8**	21.0	22.3	4.2	727.1	724.2	724.6	77	40	69	S	1	S	2	S	o	1	3	6	.	
20	20.0	21.6	16.2	19.3	1.3	725.4	724.8	727.6	74	79	93	SSW	1	NNW	2	S	o	9	9	10	**29.3**	⛆ 10, ● $14^3/_4$–n mU
21	15.1	17.1	15.8	16.0	−2.0	730.4	729.9	730.6	93	73	79	S	o	N	1	N	2	10	10	10	0.2	●tr 8–9, ● 9–16 mU
22	15.6	19.5	17.3	17.5	−0.4	**731.2**	730.4	729.7	83	68	80	N	1	N	1	NNW	1	10	6	10	.	
23	15.1	20.7	20.1	18.6	0.8	729.3	729.1	729.6	91	67	76	SW	1	N	1	N	o	9	4	2	.	
24	15.5	19.7	16.8	17.3	−0.4	728.3	726.9	725.8	92	70	82	WNW	o	N	1	NW	o	10	1	o	.	
25	14.3	21.2	18.2	17.9	0.3	726.0	725.8	724.7	91	66	80	N	o	N	1	W	o	8	9	9	.	
26	15.0	24.4	19.7	19.7	2.2	724.6	724.3	723.8	90	56	62	SSW	1	SSW	o	SSW	1	7	4	1	5.1	⛆ 19, ● n (26./27.)
27	14.7	20.5	17.4	17.5	0.1	725.1	725.8	726.2	97	58	73	S	1	SSW	1	S	o	10	7	o	.	
28	16.3	25.8	21.2	21.1	3.8	727.1	726.4	726.4	92	50	74	SSE	o	SSW	1	S	o	o	o	o	.	
29	16.3	27.4	20.8	21.5	4.3	727.5	727.0	726.5	92	43	84	SSE	o	SW	o	SSE	o	3	1	o	.	
30	17.2	29.2	18.8	21.7	4.6	725.8	726.1	725.8	88	53	84	S	1	S	1	WSW	o	1	4	9	0.7	⛆ 21
31	17.8	16.5	**13.2**	15.8	−1.2	723.8	725.5	726.7	89	96	92	NNE	o	SSE	o	S	1	10	10	8	25.0	● 8–$11^1/_2$ abd
																					Summe	
Mittel	17.1	22.9	18.5	19.5	—	726.7	726.3	726.3	85	63	81							6.4	5.9	5.2	100.2	

$\lambda = 8°\ 34'$, $\beta = 47°\ 23'$,
$H_b = 569.4$ m, $G = 0.03$ mm

Zürich

August 1951
Beobachter: *Meteorol. Zentralanstalt.*

Tag	Lufttemperatur					Luftdruck			Relative Feuchtigkeit			Windrichtung und Stärke			Bewölkung			Niederschlag	Witterung
	7^{30}	13^{30}	21^{30}	Mittel	Abweich. vom Normalst	7^{30}	13^{30}	21^{30}	7^{30}	13^{30}	21^{30}	7^{30}	13^{30}	21^{30}	7^{30}	13^{30}	21^{30}		
1	19.3	24.6	18.3	20.7	3.3	713.8	713.1	713.4	83	57	85	ESE 1	NW 1	E 1	9	10	10	0.7	●tr $14^1/_2$, ● $15^3/_4$-$16^1/_4$, ⛆ $15^1/_4$-
2	18.4	27.7	20.5	22.2	4.8	714.5	713.9	715.3	85	49	71	SSE 1	ENE 1	NNW 1	1	1	10	4.3	⛆ $21^3/_4$-$22^1/_4$ [$15^3/_4$
3	18.5	25.8	18.4	20.9	3.5	715.0	713.2	713.0	83	61	95	NE 1	NNE 1	W 1	6	9	9	0.1	● $17^3/_4$-$18^1/_4$
4	17.5	19.8	15.4	17.6	0.3	713.3	713.1	713.7	80	78	90	WSW 1	WSW 2	SSW 1	9	7■	10●	18.5	● $12^1/_4$-$13^1/_2$, $19^1/_2$-24, ⛆ 21-$21^1/_4$
5	15.1	20.1	15.8	17.0	-0.3	713.3	712.5	711.7	78	52	83	SW 1	SW 1	N 1	9	6	1	.	
6	15.6	27.3	19.8	20.9	3.7	711.3	709.7	709.9	85	49	80	S 1	NNE 1	WNW 1	6	5	6	0.1	● $23^1/_4$-$23^1/_2$
7	18.3	21.6	17.6	19.2	2.0	710.7	711.1	708.9	88	62	95	S 1	WNW 1	NNE 1	8	7	10	18.6	● 17-$20^1/_4$, $22^3/_4$-$23^3/_4$
8	14.5	15.4	14.8	14.9	-2.2	707.0	706.3	**704.5**	98	94	97	S 1	S 1	S 1	10●	10●	10	10.1	● 2-$14^1/_4$
9	15.5	17.2	14.2	15.6	-1.5	704.7	708.6	710.7	65	55	67	SW 2	WSW 3	SSW 1	7	7	7	0.5	●tr n (9./10.), ⛆ 6-15
10	13.5	17.6	13.0	14.7	-2.3	711.9	711.6	712.6	76	60	83	S 1	SSW 1	SW 1	4	10	10	.	
11	14.7	19.1	14.0	15.9	-1.0	714.2	714.1	713.1	75	55	85	SSW 1	S 1	N 1	7	8	9	.	
12	13.2	23.6	18.3	18.4	1.5	711.2	710.6	710.9	86	**43**	62	S 1	SW 2	S 1	0	5	9	0.8	
13	16.0	19.1	14.8	16.6	-0.2	712.5	712.6	712.2	93	64	95	SE 1	NNW 1	WNW 1	7	9	10●	17.6	● 4-$5^1/_4$, 15-$15^3/_4$, $19^1/_4$-n mU, ⛆
14	13.8	18.5	15.6	16.0	-0.7	714.3	714.3	714.3	86	59	64	SSE 1	NW 1	NNW 1	10	7	10	0.0	●tr a [$15^1/_4$-$15^1/_2$, $20^3/_4$-21
15	12.6	22.0	15.2	16.6	0.0	714.5	714.0	713.1	80	50	73	NNE 1	WSW 1	N 1	0	4	4	.	⏢ l
16	14.0	16.1	14.1	14.7	-1.8	713.3	714.2	715.9	87	84	77	SE 1	SW 1	S 1	10	10	9	2.5	● $10^3/_4$-$12^3/_4$, ⏢ l
17	12.1	20.3	14.5	15.6	-0.8	715.7	715.6	716.1	95	54	83	E 1	ENE 1	N 1	2	9	10	0.0	●tr abd, ⏢ l
18	14.2	22.0	14.8	17.0	0.7	716.6	715.7	713.8	90	44	65	S 1	NNE 1	N 1	1	1	1	.	
19	13.3	24.5	17.4	18.4	2.2	713.0	711.8	711.3	87	46	78	SE 0	SW 1	S 1	1	5	9	.	⏢ l
20	17.3	22.7	16.9	19.0	2.9	711.4	711.9	713.3	80	62	88	N 1	W 1	N 1	2	6	10	18.3	
21	12.7	13.6	13.2	13.2	-2.8	716.1	716.9	716.7	97	92	96	W 1	W 1	NNE 1	10●	10●	10	13.9	● $2^1/_4$-$20^3/_4$
22	12.8	16.7	14.2	14.6	-1.4	**717.2**	716.7	716.2	93	70	97	NNW 1	WNW 1	W 1	10	10	10	0.0	●tr $3^1/_2$
23	13.7	18.7	14.6	15.7	-0.2	715.7	715.8	715.7	90	62	90	NE 1	NE 1	NE 1	10	9	3	.	
24	12.5	21.7	16.0	16.7	0.9	714.0	713.3	712.2	95	52	76	NE 1	NE 1	NE 1	5	1	0	.	≡ a mU, ⏢ l
25	13.9	23.2	15.3	17.5	1.8	711.9	711.2	711.6	93	56	96	SE 0	NE 1	E 1	7	5	10●	4.8	● $18^3/_4$-24
26	14.2	21.1	17.9	17.7	2.1	710.4	709.7	709.9	96	57	82	WNW 1	WSW 1	WSW 1	10●	3	10	2.5	● $1^3/_4$-$4^1/_4$, 5-a
27	14.7	16.5	13.3	14.8	-0.7	710.1	711.5	712.5	96	70	91	WNW 1	SSW 1	ENE 1	10●≡	9	3	5.0	● $1^3/_4$-$12^1/_2$ mU, ≡ 7-$7^3/_4$
28	14.0	23.9	16.9	18.3	-2.9	713.0	712.8	712.8	85	**43**	88	SSE 1	W 1	W 1	2	1	0	.	⏢ l
29	16.5	26.0	18.6	20.4	5.0	713.2	713.5	713.3	77	46	82	SSW 1	NW 1	E 1	1	1	0	.	⏢ l
30	16.1	**28.5**	16.4	20.3	5.0	711.3	709.7	712.7	85	48	94	WSW 1	SSW 1	SSW 1	1	2	10●	1.3	● $20^1/_4$-$21^1/_2$, ⛆ 19-20
31	15.5	15.8	14.3	15.2	0.0	710.4	710.5	712.6	85	93	73	NNE 1	WSW 2	SW 2	2	10■	1	10.7	● 13-$18^1/_4$, ⛆ $15^1/_2$-16
Mittel	15.0	21.0	15.9	17.3	—	712.8	712.6	712.7	86	60	83				5.7	6.4	7.1	Summe 130.3	

$\lambda = 6°\ 32'$, $\beta = 46°\ 51'$
$H_b = 1589$ m, $G = -0{,}13$ mm

Chasseron

August 1951
Beobachter: *R. Colomb*

1	15.1	15.8	13.3	14.7	—	633.4	633.3	633.5	51	83	81	WNW 1	ENE 1	ESE 2	7	9	2	8.4	● ⛆ $14^1/_4$-15, ⛢ 15-$15^3/_4$
2	15.0	15.3	14.1	14.8	—	633.8	634.3	**634.7**	69	92	98	WNW 1	N 1	ESE 1	5	5	10=	1.4	⛢ $12^1/_2$-$12^3/_4$, 18-$18^1/_4$, *)
3	14.3	15.3	13.4	14.3	—	634.3	633.7	632.7	76	90	98	WSW 1	S 1	W 1	7	9	10●=	36.1	⛢ $14^1/_2$-$15^3/_4$, ⛆ $21^1/_4$-$21^3/_4$, *)
4	9.8	10.0	7.6	9.1	—	631.9	631.8	631.9	99	100	98	SW 2	W 3	W 3	10=	10=	10	13.3	● 9-$15^1/_4$ mU, ≡ 7-$17^3/_4$
5	6.8	11.2	9.6	9.2	—	631.1	630.7	630.4	100	83	81	W 3	WSW 1	S 1	10≡	7	5	.	≡ n-$8^1/_4$
6	10.6	15.8	11.6	12.7	—	629.4	629.1	629.2	85	60	98	ESE 2	SSW 2	W 2	3	6	4	11.2	⛢ n (6./7.)
7	10.1	11.8	10.3	10.7	—	629.2	629.9	627.9	99	98	90	SW 3	SE 2	SSE 3	9	10≡	10	30.7	⛆ ● $8^1/_2$-$9^3/_4$, $10^1/_4$-11, *)
8	8.4	9.3	9.0	8.9	—	625.2	624.1	**623.0**	98	94	91	SW 2	WSW 3	SSW 4	10	10	7	12.2	● $9^3/_4$-$11^3/_4$, $16^1/_4$-$17^1/_2$, ≡ $8^1/_2$-13
9	5.4	4.9	5.6	5.3	—	623.5	627.1	628.7	98	100	93	W 4	W 4	W 3	10≡	10≡	6	5.0	● $5^3/_4$-$11^1/_4$, $17^3/_4$-$18^1/_4$, ≡ $6^1/_2$-$15^1/_2$
10	6.0	8.8	**5.3**	6.7	—	628.9	629.5	630.8	99	85	91	NW 2	NW 2	NW 2	10=	9	4	2.7	⛢ $13^3/_4$-14, $15^1/_4$-$15^3/_4$, 17-$17^1/_4$, [≡ n-$10^3/_4$
11	5.6	9.1	8.3	7.7	—	631.6	632.4	631.4	99	86	84	WNW 2	W 2	SW 2	10≡	6	3	.	≡ n-$10^3/_4$
12	10.2	14.6	9.6	11.5	—	629.2	630.1	630.4	60	53	98	SSW 3	SW 2	W 3	1	5	10=	0.2	● $21^1/_2$-n, ≡ $18^3/_4$-n
13	8.0	10.2	9.4	9.2	—	630.5	631.1	630.4	100	98	100	W 3	WSW 2	W 2	10■	10	10●=	3.1	⛆ ● 20-n, ≡ n-$9^1/_2$, $15^1/_4$-n
14	6.2	10.7	6.3	7.7	—	631.6	632.3	632.4	100	80	97	WNW 3	NW 2	N 1	10≡	5	3	.	≡ n-$9^1/_4$
15	6.2	13.3	10.6	10.0	—	631.9	632.1	632.0	97	68	91	SE 1	W 1	SE 2	5	2	3	0.9	● n (15./16.)
16	8.2	9.1	7.2	8.2	—	631.5	632.3	634.0	98	100	77	NW 2	W 1	NNE 1	10	10≡	1	4.0	⛆ ● $11^3/_4$-$13^1/_4$, ≡ $6^3/_4$- [$14^1/_4$
17	7.6	11.2	7.8	8.9	—	633.1	633.6	634.4	80	70	95	SE 1	W 1	NW 1	7	7	0	.	
18	8.8	13.5	10.1	10.8	—	634.0	633.9	632.8	73	76	61	E 2	ESE 1	E 2	3	3	1	.	
19	11.1	16.8	14.7	14.2	—	631.0	631.0	631.1	**47**	82	48	SW 3	S 1	W 3	1	3	6	.	
20	11.0	12.1	9.6	10.9	—	630.5	631.0	631.9	99	87	100	W 2	W 1	WNW 2	10=	9	10	32.1	⛢ $9^1/_4$-$9^1/_2$, $15^1/_2$-$16^1/_2$, ≡ $6^1/_2$- [$9^3/_4$, $15^1/_2$-n
21	5.4	6.3	6.0	5.9	—	633.3	634.1	634.0	100	100	100	N 3	N 1	NNE 2	10≡	10●≡	10	5.0	● $11^3/_4$-$17^1/_4$, ≡ n-n
22	6.2	9.0	7.4	7.5	—	634.3	634.2	633.8	98	95	98	ENE 2	N 1	E 1	10	9	10=	.	≡ 21-n
23	7.0	10.1	8.6	8.6	—	632.9	633.8	633.8	99	89	80	E 2	ENE 1	E 2	10≡	7	1	.	≡ n-11
24	9.3	14.7	10.2	11.4	—	632.0	632.0	631.3	75	65	69	E 2	SW 1	E 1	0	2	2	.	
25	10.0	11.0	9.9	10.3	—	630.3	630.4	630.1	85	95	96	— 0	W 1	SSE 1	8	10	10	.	
26	8.1	12.1	9.4	9.9	—	628.1	628.1	628.5	98	95	80	SSE 1	SSE 2	W 3	10=	7	4	11.2	● n (26./27.), ≡ n-$10^1/_4$
27	6.3	7.6	8.4	7.4	—	627.9	629.4	630.7	100	91	89	W 4	WSW 3	W 3	10●=	7	9	0.7	● $7^1/_2$-$9^1/_4$, ≡ n-11
28	10.3	15.2	14.3	13.3	—	631.1	632.2	632.1	76	63	61	SSW 3	S 2	SSW 3	2	1	1	.	
29	12.6	17.0	13.6	14.4	—	632.2	633.4	633.1	74	48	90	SSE 3	W 2	ESE 2	1	1	2	.	
30	14.0	**19.8**	8.8	14.0	—	630.6	630.2	631.0	70	57	99	ESE 2	WSW 3	NW 3	1	1	10=	2.1	● n (30./31.), ≡ 17-n
31	9.0	8.8	6.3	8.0	—	628.7	629.1	630.7	59	100	100	E 2	S 2	W 3	10	10=	6	9.8	● 8-$15^1/_4$ mU, ≡ $10^3/_4$-$15^3/_4$
Mittel	9.1	11.9	9.6	10.2	—	630.9	631.3	631.4	86	83	88				7.1	6.8	5.8	Summe 196.1	

*) 2. $20^1/_2$-$20^3/_4$, ≡ $20^3/_4$-n 3. ● $21^3/_4$-n, ≡ 21-n 7. ⛢ $14^3/_4$-$15^1/_2$, ≡ $12^3/_4$-17

August 1951
Beobachter: *B. Minsch und C. Clavuot*

Bever

$\lambda = 9° 53'$, $\beta = 46° 33'$,
$H_b = 1711.8$ m, $G = -0.23$ mm

Tag	Lufttemperatur					Luftdruck			Relative Feuchtigkeit			Windrichtung und Stärke			Bewölkung			Niederschlag	Witterung
	7^{30}	13^{30}	21^{30}	Mittel	Abweich. vom Normalst	7^{30}	13^{30}	21^{30}	7^{30}	13^{30}	21^{30}	7^{30}	13^{30}	21^{30}	7^{30}	13^{30}	21^{30}		
1	12.2	**23.5**	11.6	15.8	4.2	626.4	625.1	625.9	92	38	78	SW 1	SW 2	WNW 0	8	4	2	.	
2	8.2	21.4	12.8	14.1	2.6	626.3	625.3	626.5	96	**32**	84	SW 0	SW 2	W 0	0	3	0	.	
3	9.3	21.8	15.4	15.5	4.0	**627.2**	625.9	625.8	96	38	58	SW 0	SW 1	SW 1	0	10	10	⌒	
4	11.0	14.2	12.1	12.4	1.0	624.6	624.9	623.3	97	65	87	E 0	S 0	W 0	10●	10	4		● n-a
5	8.2	17.4	8.8	11.4	0.0	621.9	621.4	622.9	55	43	90	NW 1	SW 1	W 0	3	5	1	36.7	
6	7.9	19.2	12.2	13.1	1.7	622.9	622.5	623.2	99	51	86	SW 0	S 2	SW 0	1	3	2		
7	11.4	21.3	13.4	15.4	4.1	622.8	622.8	621.6	94	40	80	SW 0	SW 1	NNW 2	4	5	5	⌒	● n (7./8.)
8	11.4	11.8	9.3	10.8	0.5	617.4	616.4	**615.9**	99	96	99	SW 4	W 1	S 0	10	10	10	⌒	● n-n mU, ☂ a
9	8.0	13.5	8.8	10.1	−1.1	616.2	617.2	619.9	98	52	67	SW 0	SW 2	W 0	10	8	10	53.8	● n-9 mU
10	6.4	9.0	5.4	6.9	−4.3	620.7	620.7	620.6	94	81	99	SE 0	SW 0	S 0	4	10	10	⌒	● mtg-n
11	6.0	12.7	6.8	8.5	−2.6	622.4	622.5	623.3	96	45	79	NE 0	W 1	SW 0	10	5	0	.	⌴ l
12	6.4	16.9	8.5	10.6	−0.5	623.1	621.6	623.0	93	47	94	SW 0	SW 3	SW 0	0	1	0	.	≡ n-8¼, ● n (13./14.)
13	7.0	18.1	9.2	11.4	0.4	622.8	622.3	622.9	99	39	91	SW 1	SW 1	W 0	10≡	8	10	*4.0	≡ a mU
14	8.4	17.1	11.8	12.4	1.5	622.6	622.3	623.0	98	41	63	S 0	SW 0	NE 0	7	5	1	.	● n (15./16.)
15	8.2	17.2	8.8	11.4	0.5	623.6	623.2	624.1	92	38	92	NW 0	SW 2	NW 0	8	6	1	1.4	
16	9.2	12.2	4.6	8.7	−2.1	622.8	622.9	624.9	98	39	90	NE 0	NE 0	W 0	10	10	1	.	
17	4.2	16.0	9.4	9.9	−0.8	623.9	623.3	625.0	81	42	70	E 0	NW 1	NW 0	1	2	3	.	≡ n-7¼, ⌴
18	8.0	16.4	7.6	10.7	0.0	625.3	624.3	624.5	83	36	76	SE 1	W 1	SW 0	2	2	0	.	≡ n-a mU, ⌴
19	7.5	18.0	8.8	11.4	0.8	624.5	622.4	623.6	85	47	89	SW 0	S 2	SW 0	3	8	5	.	≡ a, ⌴ l, ⌓ ll
20	6.0	19.4	13.0	12.8	2.3	623.7	623.4	624.5	98	45	91	SW 0	SW 1	SW 0	0	4	7	.	● 20-n mU, ⛥ n (20./21.)
21	9.7	19.0	9.2	12.6	2.2	623.9	623.5	625.5	97	41	93	E 0	SE 1	SW 0	5	7	10	16.8	● n (21./22.)
22	6.2	13.0	11.0	10.1	−0.3	625.2	623.8	624.0	99	65	98	S 0	W 1	SW 0	10	7	6	4.2	● n (22./23.)
23	9.2	14.8	10.1	11.4	1.1	623.6	623.5	624.9	98	63	83	NE 1	NE 1	NE 1	10	5	9	.	
24	7.1	18.4	11.4	12.3	2.1	623.9	621.8	622.4	97	41	80	SW 0	W 0	SW 0	8	2	8	.	
25	6.5	18.0	9.8	11.4	1.3	622.0	621.2	621.6	99	42	92	SW 0	SW 1	W 0	10≡	6	3	.	≡ n-7½
26	12.8	13.3	6.8	11.0	1.0	620.6	620.3	621.3	67	63	94	SW 0	SW 1	SW 0	10	10	0	5.3	● n (26./27.)
27	7.8	11.9	11.8	10.5	0.6	620.8	620.8	622.9	99	61	76	S 0	SW 0	SW 0	10●	7	4	0.0	● n-7¾
28	7.6	18.2	9.7	11.8	2.0	624.9	624.9	626.3	99	53	87	SW 0	SW 2	W 0	2	4	1	.	
29	6.0	19.4	10.4	11.9	2.2	626.7	625.8	626.9	99	41	90	SW 0	SW 2	SW 0	3	2	2	.	
30	5.2	19.8	11.2	12.1	2.5	625.7	624.1	624.4	98	38	86	SW 0	SW 2	W 0	0	1	2	.	≡ n-7¼
31	10.8	17.8	5.8	11.5	2.0	622.3	620.1	622.8	96	41	92	S 0	S 2	W 1	4	9	10	19.5	● 16-n mU
																		Summe	
Mittel	8.2	16.8	9.9	11.6	—	623.3	622.6	623.5	93	49	85				5.7	6.1	4.4	141.7	

August 1951
Beobachter: *Couvent des Capucins.*

Sion

$\lambda = 7° 21'$, $\beta = 46° 14'$,
$H_b = 548.6$ m, $G = -0.11$ mm.

1	18.5	24.1	19.4	20.7	1.4	715.4	715.0	715.4	94	62	75	NNW 1	W 0	W 1	9	8	5	0.0	● tr 7½-8, 10½-11
2	18.5	**27.3**	21.8	22.5	3.3	716.9	714.7	716.2	71	46	65	NW 0	W 2	WNW 2	0	3	3	.	
3	17.5	23.6	20.6	20.6	1.4	716.9	715.2	714.9	79	66	81	NNW 1	W 2	W 1	9	9	7	0.1	● tr 15-15½, 20½-21
4	19.4	22.6	15.9	19.3	0.2	715.4	714.7	716.0	89	70	100	W 1	W 2	NW 0	10●	10	10	6.4	● 7-8¼, 17¾-18¾, 19-2
5	15.6	23.3	17.3	18.7	−0.4	715.4	713.2	713.7	98	55	79	W 0	W 1	W 0	3	4	10	.	
6	17.0	27.2	22.1	22.1	3.1	713.7	711.5	711.4	77	**40**	49	NNW 0	NNW 1	N 0	2	7	3	.	☂ p
7	20.0	24.8	19.3	21.6	2.6	712.4	712.1	710.5	71	57	78	NNW 0	SW 0	SW 0	5	10	10	7.0	● tr 16-18, ● 20-n mU
8	17.5	21.8	16.3	18.5	−0.4	708.9	**706.8**	707.8	91	60	100	W 0	E 0	NNW 1	10	7	10	2.8	● 5-7, 11¾-12½, 18½-2
9	15.9	19.0	14.4	16.4	−2.4	708.1	710.8	713.2	87	52	71	ENE 1	SW 4	NW 0	7	8	1	0.0	● tr 10¼-10½, 12¼-12½
10	**13.0**	18.0	14.8	15.3	−3.5	714.0	713.3	715.3	75	60	76	W 0	WSW 0	WSW 2	10	10	10	3.0	● 16¼-16¾ ☂
11	15.0	21.3	14.8	17.0	−1.7	716.5	715.6	715.4	75	52	73	NE 0	WNW 1	WNW 1	8	3	0	.	
12	13.9	22.1	19.1	18.4	−0.2	714.5	712.1	713.3	76	48	52	ENE 0	W 0	NNE 0	0	2	4	.	
13	15.7	18.7	15.4	16.6	−2.0	714.6	715.0	715.3	80	90	100	NE 0	E 1	NW 0	6	10	10●	4.3	● tr 12-13, ● 16¾-17, 18½
14	14.5	22.3	17.2	18.0	−0.5	716.1	714.5	715.2	99	56	62	NE 0	W 1	NE 0	10	1	0	.	
15	14.4	23.2	18.6	18.7	0.3	716.5	714.4	714.9	80	53	54	NE 0	SW 1	NE 0	0	1	6	6.6	● n (15./16.)
16	15.3	21.6	14.0	17.0	−1.3	715.6	714.9	718.0	93	60	97	E 0	WNW 2	ENE 1	10	4	2	2.5	● 14-19 mU
17	14.0	21.0	16.6	17.2	−1.1	718.0	716.5	718.0	80	54	61	ENE 0	W 2	SW 0	9	6	0	.	
18	15.0	22.3	17.9	18.4	0.2	718.7	716.0	715.7	72	45	68	ENE 0	SW 1	SW 0	0	1	0	.	
19	15.3	24.6	19.3	19.7	1.6	715.7	712.8	713.5	77	51	60	ENE 1	NW 1	N 2	0	1	7	.	
20	16.4	20.8	17.8	18.3	0.3	713.7	713.3	714.7	70	61	95	ENE 1	SW 2	SW 1	3	8	10	11.0	☆ 17¾-18, ● n (20./21.)
21	16.0	16.1	14.4	15.5	−2.5	717.6	717.9	718.3	100	100	100	W 0	SW 2	SW 0	10●	10●	10	21.4	● n-16½ mU
22	13.9	20.6	16.6	17.0	−0.9	718.9	717.3	**719.3**	98	60	77	NW 0	SW 2	NW 1	10	7	8	.	
23	16.1	22.5	17.0	18.5	0.7	716.8	715.8	716.6	92	53	77	NW 0	SW 1	NW 1	8	4	0	.	
24	15.8	22.4	16.8	18.3	0.6	716.3	713.7	713.9	79	62	78	NE 0	SW 2	N 1	1	1	0	.	
25	14.7	22.9	16.9	18.2	0.6	714.2	711.9	713.2	90	59	100	ENE 0	SW 2	E 0	7	7	10	10.9	● 15¾-17¾, n (25./26.)
26	16.8	22.5	18.0	19.1	1.5	712.6	710.9	712.3	93	50	80	E 0	ENE 1	SW 0	8	2	10●	2.6	● 21-22, (⛥) III
27	15.3	18.8	15.1	16.4	−1.1	712.4	713.3	714.5	91	83	83	NE 0	NW 0	NNE 2	10	8	2	4.5	● 7½-a mU
28	14.2	25.0	18.8	19.3	1.9	716.5	714.3	715.3	85	47	67	ENE 1	E 0	NNE 1	0	0	0	.	
29	17.1	26.2	19.9	21.1	3.8	716.8	715.0	715.8	77	42	70	ENE 0	ENE 0	ENE 1	0	0	0	.	
30	17.6	**27.3**	20.7	21.9	4.7	714.8	712.1	713.2	75	42	74	ENE 0	ENE 0	SW 2	0	0	9	0.0	● tr 2 >
31	18.2	16.4	14.8	16.5	−0.6	711.8	713.5	715.7	81	91	80	NW 0	NW 0	NW 0	1	10●	10	7.9	● 12-14 mU
Mittel	16.1	22.3	17.5	18.6	—	715.0	713.8	714.7	84	59	77				5.4	5.2	5.4	91.0	

$\lambda = 8° 57'$, $\beta = 46° 0'$,
$H_b = 276.2$ m, $G = -0.01$ mm.

Lugano

August 1951
Beobachter: *G. Vicari.*

Tag	Lufttemperatur 7^{30}	13^{30}	21^{30}	Mittel	Abweich. vom Normalst	Luftdruck 7^{30}	13^{30}	21^{30}	Relative Feuchtigkeit 7^{30}	13^{30}	21^{30}	Windrichtung und Stärke 7^{30}	13^{30}	21^{30}	Bewölkung 7^{30}	13^{30}	21^{30}	Niederschlag	Witterung
1	21.2	27.4	21.8	23.5	2.1	739.5	739.0	738.9	73	46	61	N 1	S 1	N 1	6	9	3	0.6	▽̇ p
2	19.2	29.4	23.2	23.9	2.5	739.7	739.0	739.4	71	43	61	N 1	S 1	N 1	6	2	0	.	
3	19.4	27.2	23.2	23.3	2.0	740.3	739.8	739.5	69	46	53	N 1	S 1	N 1	8	8	8	.	
4	20.0	23.8	21.2	21.7	0.4	737.7	737.9	737.2	72	41	54	N 1	NE 2	N 1	8	5	3	37.8	K ●▲ 7¾–8, K 22, < 21½
5	16.2	26.0	20.4	20.9	-0.3	736.6	736.1	736.3	74	33	58	N 1	S 1	N 1	3	1	2	.	
6	17.6	23.8	21.2	20.9	-0.3	737.6	737.3	736.7	66	48	59	N 1	N 1	N 1	5	7	1	.	
7	19.2	28.0	23.2	23.5	2.4	736.7	736.1	735.0	69	40	60	— 0	S 1	WSW 1	6	7	8	7.1	K ● 23¾
8	23.2	17.4	18.8	19.8	-1.2	729.4	729.6	**729.0**	42	84	78	E 2	NW 1	NNW 1	10	10●	10	**41.9**	▽̇ 8–10, ● 12–14
9	18.4	24.4	16.2	19.7	-1.3	729.2	731.0	733.0	70	**28**	70	NNE 1	SE 1	N 1	10●	4	3	2.3	● n–8, ▽̇ 14–14½
10	14.6	16.0	12.8	14.5	-6.4	734.7	736.1	736.8	64	88	91	N 1	N 1	N 1	7	10	7	36.7	● a mU, ● 14–19½
11	**11.2**	24.2	19.8	18.4	-2.4	736.6	736.3	737.0	88	33	53	N 1	S 1	N 1	0	1	0	.	
12	14.0	23.8	17.4	18.4	-2.4	738.8	737.5	737.6	75	33	55	N 1	S 1	N 1	1	4	0	.	
13	15.8	25.2	19.4	20.1	-0.6	737.8	737.6	736.5	77	44	89	N 1	S 1	NNE 1	1	8	10	0.6	▽̇ 18¼–19
14	17.4	26.8	20.4	21.5	0.9	737.1	736.0	736.3	83	42	63	N 1	S 1	N 1	6	0	0	.	
15	18.2	26.2	21.4	21.9	1.4	738.6	738.2	737.8	80	43	57	N 1	S 1	NNW 1	10	3	0	4.4	●tr 7¼, ● 9, n (15./16.)
16	18.4	19.2	17.2	18.3	-2.2	737.9	738.1	738.3	90	75	60	N 1	S 1	N 1	10	5	0	14.3	● 8–11½, ▽̇ p–18 mU, K a
17	13.8	25.2	18.6	19.2	-1.2	738.5	738.9	739.1	57	33	51	N 1	S 1	N 1	0	0	0	.	
18	15.4	25.8	19.2	20.1	-0.2	740.0	739.1	739.1	68	38	62	N 1	S 1	N 1	0	0	0	.	
19	18.2	25.6	20.0	21.3	1.1	738.8	737.1	737.9	73	42	64	N 1	SSE 1	N 1	9	7	3	.	
20	18.4	26.2	20.4	21.7	1.6	738.6	738.2	738.3	78	41	71	NE 1	NNW 1	N 1	9	7	1	.	
21	20.4	21.2	16.6	19.4	-0.7	738.1	738.6	739.3	75	54	95	NE 1	N 1	N 1	9	10	10	5.0	●tr 14, ● 17–19, (K) 19–
22	16.8	25.8	20.2	20.9	0.9	740.0	738.2	737.5	77	31	65	N 1	S 1	N 1	10	0	8	1.8	[20, 22½
23	17.2	25.4	19.4	20.7	0.8	737.2	737.1	737.8	87	33	54	N 1	SSE 1	N 1	10●	0	0	2.6	● 6–10½
24	15.6	26.8	20.4	20.9	1.1	737.5	735.8	735.8	57	37	58	N 1	SSE 1	N 1	0	0	0	.	
25	17.8	24.6	19.2	20.5	0.8	736.3	735.0	735.3	75	48	81	NW 1	S 1	NNE 1	1	8	10	35.7	K ● 22–24
26	16.6	21.2	18.6	18.8	-0.8	735.2	735.2	735.1	91	54	79	N 1	W 1	NW 1	10	10	7	7.9	K ● 4¾, ● 4½–6, (K) n
27	17.0	21.2	17.4	18.5	-1.0	735.3	735.5	737.6	90	54	92	N 1	S 1	N 1	9	10●	10	26.3	● 13¼–19 [26./27.)
28	17.8	22.0	19.2	19.7	0.3	740.0	740.8	741.3	91	65	73	N 1	SE 1	N 1	9	9	4	.	
29	17.6	26.8	20.4	21.6	2.3	**741.6**	740.3	740.7	80	36	71	N 1	S 1	N 1	7	0	0	.	
30	18.0	27.8	21.4	22.4	3.2	740.1	738.6	737.9	80	38	68	N 1	ESE 1	NE 1	1	2	9	.	
31	20.2	24.8	14.6	19.9	0.8	737.0	733.4	735.6	74	33	54	N 1	E 2	N 1	7	9	0	40.8	● 15–19, K 15, 17
Mittel	17.6	24.5	19.5	20.5	—	737.5	737.0	737.2	75	45	66				6.1	5.0	3.8	Summe 265.8	

$\lambda = 7° 35'$, $\beta = 47° 33'$,
$H_b = 317.3$ m, $G = 0.11$ mm.

Basel

August 1951
Beobachter: *Astronom.-Meteorol. Anstalt.*

Tag	Lufttemperatur 7^{30}	13^{30}	21^{30}	Mittel	Abweich. vom Normalst	Luftdruck 7^{30}	13^{30}	21^{30}	Relative Feuchtigkeit 7^{30}	13^{30}	21^{30}	Windrichtung und Stärke 7^{30}	13^{30}	21^{30}	Bewölkung 7^{30}	13^{30}	21^{30}	Niederschlag	Witterung
1	17.7	23.8	18.9	20.1	2.0	734.5	734.8	734.4	90	65	86	ESE 2	WSW 2	SSE 2	8	10	6	.	
2	19.0	28.5	19.8	22.4	4.4	735.4	735.2	736.3	87	58	84	E 1	WNW 1	SSW 0	7	3	10	.	
3	19.2	26.2	18.6	21.3	3.3	736.4	734.3	734.5	88	64	88	N 0	ESE 1	SSW 1	7	9	9	2.7	● 22½–2½, < 22
4	17.0	19.8	17.4	18.1	0.2	734.5	734.0	734.3	95	83	89	N 0	WNW 1	SSW 1	10●	9●	9	5.8	● 7½–21¼ mU, K 7½
5	16.4	23.1	17.0	18.8	1.0	734.5	733.7	732.7	87	62	91	SE 0	NW 0	WSW 1	8	4	5	.	
6	16.5	28.4	18.3	21.1	3.3	731.8	729.5	731.2	80	56	87	E 1	E 1	SSW 0	5	3	8	9.3	● 18½–18¾
7	16.8	20.2	17.7	18.2	0.5	731.2	732.6	731.0	96	78	01	ESE 2	ESE 1	ESE 1	10●	8	10	29.1	● 0¼–11¾ mU, 17¾–20¾, 22¼–23¾,
8	15.4	17.4	16.5	16.4	-1.2	728.2	726.8	**725.0**	93	84	85	SE 2	W 0	WSW 2	10	10	10	9.8	● 1½–22½ mU [K 6, 9, ↙ 9¾
9	15.3	16.5	11.4	14.4	-3.2	725.6	730.0	731.4	84	65	93	NW 1	WSW 2	S 1	7	10	3	.	↙ 8¾, 9¼, 9½
10	14.4	18.7	14.0	15.7	-1.8	733.1	730.0	733.7	78	75	93	ESE 0	S 1	SE 0	10	9	8	.	
11	15.2	21.2	15.7	17.4	0.0	735.7	735.5	734.4	84	62	88	SE 0	NW 1	SSW 1	10	8	9	.	
12	14.5	24.8	19.2	19.5	2.2	732.1	731.2	732.2	85	52	68	E 1	WNW 1	WSW 1	0	7	10	1.5	● 23–23¾
13	17.5	19.1	16.1	17.6	0.3	733.8	734.0	734.3	73	69	91	WNW 1	NW 1	SSE 1	10	10	10	0.2	● 18¾–19
14	15.0	20.6	15.7	17.1	-0.1	735.9	736.0	736.1	85	58	76	SSW 1	WNW 3	W 1	8	7	10	.	
15	14.7	21.6	14.9	17.1	0.0	736.4	735.4	735.0	78	51	79	SSW 0	N 1	NNW 1	0	1	9	.	
16	14.0	20.0	13.8	15.9	-1.1	735.7	735.6	737.3	82	62	95	S 0	WNW 1	ESE 1	10	6	8	2.7	● 17¼–18½, K 17¼
17	11.5	20.5	13.7	15.2	1.8	737.4	736.8	737.6	99	64	94	ESE 1	NNW 1	SSW 1	10≡	8	4	.	≡ 2–8½, ⌓ I
18	13.8	24.8	15.1	17.9	1.0	737.9	736.7	735.3	87	**43**	87	ESE 1	E 1	ENE 1	3	1	2	.	⌓ I
19	14.8	27.1	17.7	19.8	3.0	733.9	732.5	732.0	75	46	91	ESE 1	WSW 1	SSW 1	2	3	5	.	⌓ I
20	17.6	17.4	14.1	16.4	-0.3	732.5	734.0	735.6	86	94	94	ENE 1	N 1	WSW 1	10	10●	10●	**30.2**	● 8–9, 12¾–13½, 19–24
21	13.4	14.9	13.5	13.9	-2.7	738.0	739.0	739.1	96	90	91	WSW 1	WNW 1	WNW 1	10●	10	10	1.9	● 0–8¼, 9¼–11½, 16¼–
22	13.8	19.2	15.4	16.1	-0.4	**739.2**	738.4	737.8	93	66	89	SSW 0	WNW 1	E 1	10	10	10	.	[16¾
23	14.5	22.1	13.8	16.8	0.3	737.4	737.4	737.3	95	59	91	SE 0	ENE 1	SSW 1	9	0	0	.	
24	**11.3**	24.0	15.5	16.9	0.5	736.0	734.1	733.0	97	49	91	SE 0	SE 1	E 0	5	0	0	.	
25	12.6	23.0	16.9	17.7	1.4	733.0	732.5	731.2	93	60	88	E 1	WNW 1	W 0	7	9	10	.	
26	15.7	22.5	17.0	18.4	2.2	731.5	730.1	730.7	88	61	91	SE 0	WNW 1	W 0	9	3	2	3.0	● n (26./27.)
27	14.3	19.7	14.8	16.3	0.2	731.4	732.2	733.9	97	70	94	SE 1	SE 3	SSE 1	10●	9	1	1.0	● 5¼–9¼ mU, K ● 0¼–
28	13.9	25.8	17.3	19.0	3.0	734.2	733.6	733.3	87	56	93	ESE 1	SE 1	SE 1	0	0	0	.	[1½
29	18.1	27.2	19.0	21.4	5.4	733.6	734.6	734.1	80	48	89	SE 1	WNW 1	S 1	0	0	0	.	↙ 20¼–21¼
30	18.0	**30.2**	17.5	21.9	6.0	731.6	729.9	733.7	80	51	95	ENE 1	NNW 1	WNW 0	0	7	10	4.0	● 17¾–24 mU, K 17¾, 18–18½, *)
31	16.5	14.8	12.8	14.7	1.1	732.5	731.3	733.8	93	94	93	ENE 1	W 1	S 1	10	10●	5	9.6	● 0–3¼, 12½–18¾ mU, ⌒ 18¼
Mittel	15.4	22.0	16.1	17.8	—	734.0	733.6	733.9	87	64	89				6.9	6.4	6.5	Summe 110.8	*) **30.** ↙ 17¼–17¾

August 1951
Beobachter: *Observatorium.*

Säntis

$\lambda = 9° 20'$, $\beta = 47° 15'$,
$H_b = 2500.1$ m, $G = -0.27$ mm

Tag	Lufttemperatur					Luftdruck			Relative Feuchtigkeit			Windrichtung und Stärke			Bewölkung			Niederschlag	Witterung
	7^{30}	13^{30}	21^{30}	Mittel	Abweich. vom Normalst	7^{30}	13^{30}	21^{30}	7^{30}	13^{30}	21^{30}	7^{30}	13^{30}	21^{30}	7^{30}	13^{30}	21^{30}		
1	11.1	13.8	9.6	11.5	6.1	569.4	569.4	569.0	42	29	41	SSE 2	SSW 2	SE 2	10	8	1	.	
2	9.1	**15.4**	9.6	11.4	6.0	569.0	569.6	**570.2**	55	52	95	NW 1	SW 2	S 1	0	4	10≡	.	≡ 14–17, $20^1/_4$–n
3	12.9	14.3	10.2	12.5	7.1	569.8	569.5	568.6	33	37	60	WSW 1	SSE 2	SW 3	2	9	9	.	
4	8.2	10.8	4.6	7.9	2.6	566.7	566.6	566.1	70	73	100	SW 3	SW 2	W 3	9	9–	10≡●	18.2	●tr 9, ● $11^1/_2$–n mU, ≡ $9^3/_4$–15^3
5	1.8	8.8	5.9	5.5	0.2	564.9	565.3	565.5	100	67	100	W 2	SW 1	WSW 1	10≡	10≡	10≡	.	≡ n–$17^1/_2$, ● 19–n [17
6	8.4	11.2	9.0	9.5	4.2	565.0	565.5	565.6	54	51	51	S 2	SSW 2	SW 2	1	4	2	.	
7	9.9	12.6	8.8	10.4	5.1	565.1	566.0	564.4	60	71	73	SW 2	SW 1	S 3	6	9	3	15.3	● n (7./8.), ≡ 12–14 mU
8	4.8	6.0	4.5	5.1	−0.2	560.0	559.7	558.8	100	100	100	WNW 3	WSW 2	SW 2	10≡●	10≡	10	**27.1**	● n–$9^3/_4$, $14^1/_2$–$17^3/_2$, ≡ n–18
9	4.2	1.6	**−0.2**	1.9	−3.3	**558.1**	560.1	561.9	100	100	97	SW 2	WSW 3	W 3	10≡	10≡	10≡	4.2	● $8^1/_2$–11, ≡ n–n, ☄ $10^1/_2$
10	0.4	4.6	0.2	1.7	−3.5	562.9	563.3	563.7	79	84	100	W 2	SSW 1	NW 2	2	10≡	10≡	5.1	✳ $13^3/_4$–$19^1/_2$, ≡ $8^3/_4$–n
11	0.0	2.5	2.2	1.6	−3.6	564.5	565.8	565.6	100	98	100	W 2	W 2	WSW 2	10≡✳	10≡	4	0.6	✳ 7–$7^1/_2$, ☽ $7^1/_2$–8, ≡ n–$13^1/_2$
12	8.4	10.7	5.5	8.2	3.0	564.4	564.7	565.5	**6**	66	78	WSW 3	SW 2	W 3	1	4	5	.	[15–21 m
13	4.9	10.8	5.4	7.0	1.9	565.4	565.8	565.4	91	58	81	WSW 2	WSW 3	WSW 2	8	9	10	9.3	● 14–$14^1/_4$, $20^1/_4$–$20^3/_4$, ≡ 6–6^1
14	1.6	5.9	3.4	3.6	−1.5	565.3	566.0	566.3	100	81	100	W 3	W 2	WSW 1	8	10≡	10≡	.	≡ n-n mU [11–18 mU, 20
15	5.7	9.5	6.1	7.1	2.0	565.8	566.5	566.7	79	56	91	SW 2	SW 2	W 2	2	5	10	11.1	● 21–$21^1/_2$, ≡ n–$5^3/_4$, 12–$16^1/_2$
16	3.3	1.4	1.5	2.1	−2.9	565.5	565.8	567.4	91	100	100	W 2	WNW 3	WSW 2	10●	10≡●	2	16.4	● n–$13^3/_4$, ≡ n–$6^3/_4$, 8–14, 16–
17	4.7	7.8	2.1	4.9	−0.1	566.6	567.4	567.6	79	66	91	SE 1	SSW 1	W 3	2	8	8	0.2	● n (17./18.), ≡ 14–$17^3/_4$
18	1.9	8.0	4.4	4.8	−0.1	567.5	567.9	567.2	86	73	86	W 2	SSW 1	WSW 2	2	10≡	1	.	≡ n–$6^1/_2$, 11–$16^1/_2$ mU
19	5.3	9.6	7.7	7.5	2.6	565.6	566.2	566.4	57	35	52	W 3	WSW 2	W 3	1	8	7	.	
20	9.9	11.0	8.3	9.7	4.9	566.0	566.7	567.3	57	83	100	WSW 2	SSE 2	S 1	1	6	10≡	1.8	● n (20./21.), ≡ $14^1/_4$–n
21	4.2	3.8	3.1	3.7	−1.1	566.7	567.6	568.0	100	100	100	W 3	N 1	E 1	10≡●	10≡	10≡	10.6	● n–$12^1/_2$, $20^3/_4$–$21^1/_4$, ≡ n–n
22	4.4	6.2	3.4	4.7	0.0	567.6	567.6	567.4	92	93	100	NE 2	ENE 1	NNW 1	1	10≡	10≡	1.0	● $15^1/_4$–$15^1/_2$, ≡ n–n mU
23	2.1	5.0	2.7	3.3	−1.3	566.5	567.3	567.8	100	98	98	NNE 2	NNE 1	NE 2	10≡9	10≡	10	0.5	☽ n–$9^1/_4$, ● $16^3/_4$–$17^3/_4$, ≡ n
24	4.7	7.4	4.4	5.5	0.9	566.2	566.1	565.7	48	72	94	NE 2	SSE 1	WSW 2	0	9≡	0	.	≡ $12^1/_2$–$17^1/_4$
25	5.3	11.8	5.0	7.4	2.9	564.7	565.0	564.6	60	69	80	WSW 2	SW 2	NNW 1	1	10≡	10●	9.9	● $13^1/_4$–n, ≡ $12^1/_2$–$20^3/_4$ mU
26	5.1	10.2	5.4	6.9	2.5	563.1	563.4	563.7	83	56	80	WSW 1	SW 2	WSW 1	10	9	10●	9.4	● 21–n
27	4.1	2.2	1.8	2.7	−1.7	562.9	563.5	565.2	84	100	98	SSE 1	W 2	WSW 3	10	10≡	4	2.6	● $10^3/_4$–$12^1/_2$ mU, 15–$16^3/_4$, ≡
28	5.1	11.5	9.0	8.5	4.2	566.3	567.9	568.3	53	68	50	WSW 3	SW 2	SSE 2	5	1	0	.	[$8^1/_2$–18
29	9.6	13.5	8.8	10.6	6.4	568.6	569.4	569.3	34	39	76	WSW 2	SW 2	S 2	1	2	0	.	≡ 14–$15^1/_2$ mU
30	10.8	13.2	7.5	10.5	6.4	567.2	566.7	566.8	34	39	77	S 2	SSW 2	SE 2	1	1	3	0.1	✳fl n (30./31.)
31	7.6	10.9	1.6	6.7	2.7	564.2	563.6	563.8	60	48	100	SSW 3	SSW 2	WSW 3	6	9	10■	23.7	● ✳ 14–$17^1/_2$, ⛆ $14^3/_4$–$15^1/_4$, [20–21, ≡ $13^3/_4$
																		Summe	
Mittel	5.8	8.8	5.2	6.6	—	565.5	566.0	566.1	70	70	85				5.2	7.9	6.7	167.1	

August 1951
Beobachter: *Elvezio Chiesa*

St. Gotthard (Hospiz)

$\lambda = 8° 34'$, $\beta = 46° 33'$,
$H_b = 2095$ m, $G = -0.25$ mm

1	11.8	14.1	9.6	11.8	3.3				96	70	66	SE 1	SE 1	SE 1	9	6	0	15.3	⛆ ▲ ● 12–$12^1/_2$, ≡ n–a
2	9.1	**17.4**	10.6	12.4	3.9				85	52	81	SE 0	SE 0	SE 0	0	3	0	.	
3	11.1	16.0	10.0	12.4	3.9				60	41	80	SE 0	SE 1	SE 1	6	9	10	6.1	● n (3./4.)
4	8.2	11.1	7.0	8.8	0.4				88	82	100	SE 1	SE 0	SE 1	10●	10≡	10●	27.7	● n–a, p–n, ≡ a–p mU
5	4.7	13.4	8.6	8.9	0.5				100	**36**	96	NW 1	SE 1	SE 1	6	3	10≡	.	≡ p–n mU
6	8.1	12.8	8.4	9.8	1.4				75	69	81	SE 1	SE 1	SE 1	6	9	10☽≡	1.6	☽ ≡ p–n mU
7	9.0	10.0	10.2	9.7	1.3				92	94	90	SE 2	SE 1	SE 3	10●≡	10	10	**74.7**	● n–a, n (7./8.), ≡ n–a mU
8	7.7	8.0	7.5	7.7	−0.6				100	100	100	SE 0	SE 0	SE 0	10≡	10●≡	10●≡	26.6	● a–n mU, ≡ n–n mU
9	6.8	10.5	3.4	6.9	−1.4				98	82	100	SE 1	SE 0	NW 1	10≡	9	10●≡	1.0	● n–a mU, p–n mU, ≡ n–n
10	2.8	4.1	2.4	3.1	−5.2				90	93	100	NW 1	NW 0	NW 2	6	10●	10≡	12.4	● $12^1/_4$–p, ≡ p–n mU
11	**2.4**	7.7	5.4	5.2	−3.0				100	52	83	NW 2	NW 1	NW 0	10≡	10	0	.	≡ n–a mU
12	5.9	10.4	6.2	7.5	−0.7				84	70	100	SE 1	SE 1	SE 0	6	9	6	.	
13	7.6	11.0	7.9	8.8	0.7				76	83	95	NW 0	SE 1	SE 1	6	10≡	10●≡	3.7	● p–n mU, ≡ a–n mU
14	5.0	10.4	5.7	7.0	−1.1				100	60	100	NW 1	NW 1	NW 2	6	3	10≡	.	≡ p–n
15	6.3	11.4	8.8	8.8	0.8				81	70	79	NW 0	SE 1	SE 1	0	3	10≡	.	≡ p–n mU
16	8.4	7.2	3.4	6.3	−1.6				84	100	95	SE 0	NW 1	NW 2	10	9	0	4.3	● $16^1/_4$–17, ≡ a–p mU
17	3.6	10.3	5.9	6.6	−1.3				74	45	100	NW 1	NW 1	NW 2	0	0	10≡	.	≡ p–n mU
18	4.2	11.0	6.4	7.2	−0.6				100	**36**	85	NW 1	NW 1	NW 1	6	0	0	.	≡ n–a mU
19	7.6	14.2	9.6	10.5	2.8				96	57	92	SE 0	SE 1	SE 0	3	6	10	.	≡ n–a mU
20	9.1	11.9	10.4	10.5	2.9				88	84	85	SE 1	SE 1	SE 1	9	10≡	10●≡	22.7	● p–n, ≡ a–n mU
21	7.0	3.1	4.8	5.0	−2.6				100	100	100	NW 2	NW 2	NW 1	10●≡	10●≡	10≡	66.3	● ≡ n–n mU
22	4.9	9.1	5.6	6.5	−1.0				100	71	100	NW 2	NW 1	NW 2	10☽≡	3	10☽≡	3.3	☽ ≡ n–a, p–n
23	5.4	7.0	5.4	5.9	−1.5				100	89	100	NW 2	NW 2	NW 1	10☽≡	9	10☽≡	1.3	☽ ≡ n–a, p–n mU
24	5.2	11.5	7.3	8.0	0.7				71	38	72	NW 1	NW 1	NW 1	0	0	0	.	
25	6.5	13.9	6.9	9.1	1.9				92	60	100	NW 0	SE 0	SE 1	0	3	10●	11.3	● p–n
26	6.0	7.5	6.8	6.8	−0.4				100	93	100	SE 1	SE 1	SE 0	10●≡	10●	10≡	2.6	● n–p mU, ≡ n–a, p–n
27	6.7	8.8	5.8	7.1	0.0				97	92	100	SE 0	SE 0	NW 1	10	10■	0	3.7	≡ a–p mU
28	7.8	10.5	9.4	9.2	2.2				90	86	75	SE 1	SE 2	SE 1	10	10	10≡	.	≡ a–n mU
29	8.4	15.2	10.1	11.2	4.3				98	57	100	SE 1	SE 1	SE 0	10≡	6	6	.	≡ n–a, p–n mU
30	8.9	11.9	10.5	10.4	3.6				96	85	86	SE 1	SE 2	SE 2	9	10	10	2.5	● n (30./31.), ≡ n–a mU
31	9.2	7.9	4.2	7.1	0.4				91	100	90	SE 2	SE 0	NW 1	10	10	0	55.6	⛆ ● $14^1/_2$–$18^3/_4$
																		Summe	
Mittel	7.0	10.6	7.2	8.3	—	—	—	—	90	73	91				7.0	7.1	7.2	342.7	

Barometer defekt

$\lambda = 7°\,26'$, $\beta = 46°\,57'$,
$H_b = 572.2$ m, $G = 0.00$ mm.

Bern

September 1951
Beobachter: *Meteorol. Observatorium.*

Tag	Lufttemperatur 7³⁰	13³⁰	21³⁰	Mittel	Abweich. vom Normalst	Luftdruck 7³⁰	13³⁰	21³⁰	Relative Feuchtigkeit 7³⁰	13³⁰	21³⁰	Windrichtung und Stärke 7³⁰	13³⁰	21³⁰	Bewölkung 7³⁰	13³⁰	21³⁰	Niederschlag	Witterung
1	12.3	17.4	15.4	15.0	−0.6	714.3	712.6	712.0	90	57	84	W 1	NE 1	W 1	2	3	10●	0.7	● $21^1/_4$–$22^1/_4$
2	13.9	20.0	15.5	16.5	1.0	711.9	711.6	711.4	95	63	98	W 1	WSW 2	W 1	10	9	10●	4.4	● $3^3/_4$–$6^3/_4$, $18^3/_4$–24
3	10.5	19.3	13.6	16.5	1.2	709.7	713.4	717.8	78	60	78	W 2	W 3	E 1	9	8	6	1.2	● 0–$9^1/_2$ mU
4	10.4	18.4	14.5	14.4	−0.8	**718.7**	718.1	717.6	95	69	70	N 0	NE 2	N 1	1	1	0	.	≡ n–7, ◬ l
5	10.7	19.6	16.0	15.4	0.3	716.7	715.3	714.9	95	59	89	SSW 0	NE 1	SSW 0	0	1	0	.	◬ l
6	12.8	23.1	18.9	18.3	3.4	715.7	715.2	714.9	97	**50**	90	S 1	NNW 1	E 0	0	1	10	.	◬ l
7	10.6	22.6	17.0	18.7	3.9	715.1	714.4	714.2	91	60	91	SE 1	ENE 1	ESE 1	9	9	6	0.0	● $17^1/_2$, $18^1/_2$, ⛆ $16^1/_2$–$17^3/_4$,
8	14.6	19.7	16.8	17.0	2.3	712.5	711.3	709.8	99	74	95	S 0	NNE 1	NNE 1	9	3	2	.	◬ l [◬ l
9	15.1	21.5	16.8	17.8	3.3	709.7	**709.2**	710.5	100	78	95	**S** 0	NNE 1	N 1	10≡	4	1	.	≡ n–a
10	15.0	22.2	18.3	18.5	4.1	712.4	712.9	713.6	97	68	94	SE 1	NNE 1	SSW 1	10	2	6	.	◬ l
11	15.2	24.0	18.8	19.3	5.1	715.2	714.0	714.7	96	56	84	SSE 1	NNE 1	SSW 1	1	3	9	.	◬ l
12	10.3	24.3	19.3	20.0	5.9	715.4	713.9	714.8	94	57	89	S 1	NE 1	W 1	4	4	1	.	◬ l
13	16.2	**24.4**	20.4	20.3	6.4	712.0	710.8	709.3	93	60	87	ESE 1	W 1	W 1	9	9	10	2.0	● 21–$2^1/_4$, ◬ l
14	15.8	14.5	14.0	14.8	1.0	711.7	714.2	716.4	96	89	86	W 1	W 1	SE 1	10●	10●	6	1.0	● $1^3/_4$–$14^3/_4$ mU
15	10.9	16.5	15.2	14.2	0.6	715.2	714.8	715.9	99	74	97	W 1	W 1	S 1	10	5	1	.	≡ n–7, ◬ l
16	11.7	21.2	17.2	16.4	2.9	717.5	716.8	716.9	97	53	76	SSE 1	WNW 1	N 1	1	7	9	.	◬ l
17	14.9	14.6	11.6	13.7	0.4	715.5	715.1	715.2	84	87	98	W 1	NE 1	NE 1	10	10	10	3.4	● $1^1/_4$–$13^1/_4$, $15^1/_4$–$19^1/_4$
18	10.8	14.7	11.6	12.4	−0.8	714.9	715.1	715.4	88	66	76	NE 2	NNE 1	N 1	10	9	9	.	[▲ $22^1/_4$–24
19	10.5	12.7	8.9	10.7	−2.3	715.8	716.1	717.5	79	58	90	SSW 1	WNW 1	S 0	10	9	0	.	
20	6.8	14.8	10.4	10.7	−2.2	717.7	716.6	716.9	90	56	75	SE 1	NNE 2	NE 1	1	1	1	.	◬ l
21	5.9	13.9	9.9	9.9	−2.8	717.3	717.2	716.6	99	67	94	N 1	NW 1	NNW 1	10≡	1	0	.	≡ n $S^1/_2$, ◬ l
22	7.8	16.5	12.7	12.3	−0.2	716.2	714.3	712.8	100	69	95	SE 1	NE 1	SSW 1	10≡	0	0	.	≡ n–a
23	10.7	16.9	14.1	13.9	1.5	711.3	710.6	710.3	96	77	100	SE 1	NE 1	SSW 1	9	9	10●	19.6	● $17^1/_4$–$18^3/_4$
24	11.4	14.0	10.8	12.1	−0.1	713.8	714.0	714.3	91	68	97	W 1	NE 1	NE 0	9	10	0	.	◬ III
25	9.8	14.9	13.8	12.8	0.7	712.4	710.6	709.6	99	81	95	W 1	NE 1	NE 1	9	9	0	3.1	
26	12.7	12.9	11.2	12.3	0.4	709.9	711.1	713.1	100	93	99	W 1	SSW 1	SSE 1	10	9●	9	4.0	● $2^1/_2$–$6^1/_4$, $8^1/_2$–$20^1/_4$, ⛆ $2^1/_2$,
27	9.3	15.7	11.0	12.0	0.3	713.6	713.0	711.9	96	62	94	S 1	NNE 1	N 1	8	8	0	.	
28	9.1	15.0	12.9	12.3	0.8	711.1	711.1	712.3	96	66	79	W 1	NW 1	N 1	9	9	10	8.1	
29	9.7	9.8	9.4	9.6	−1.7	713.2	713.2	712.3	97	98	99	W 1	SSW 1	ESE 1	10●	10●	10	8.9	● $1^1/_4$–$20^3/_4$
30	9.6	11.9	10.4	10.6	0.5	710.6	709.7	709.3	99	98	99	ESE 1	ENE 2	NE 1	10●	10	1	9.5	● $6^3/_4$–$9^3/_4$, ☾ $13^3/_4$–$16^3/_4$
Mittel	12.1	17.6	14.2	14.6	—	713.9	713.5	713.7	94	69	90				7.3	6.1	4.9	Summe 57.2	

$\lambda = 6°\,57'$, $\beta = 47°\,0'$,
$H_b = 487.3$ m, $G = 0.02$ mm.

Neuchâtel

September 1951
Beobachter: *Observatorium.*

1	12.6	19.7	14.2	15.5	−1.0	721.8	720.2	719.4	76	50	86	W 0	SE 0	W 0	1	1	10●	1.9	● $2^3/_4$–$22^3/_4$
2	14.8	20.5	15.7	17.0	0.6	719.5	719.2	718.6	85	71	95	W 2	SW 2	SW 1	10	8	10●	7.0	● 3–$5^1/_2$ mU, 17–$6^3/_4$ mU
3	16.4	18.5	13.6	16.2	−0.1	717.4	720.7	725.5	88	63	74	SW 2	NW 4	N 0	10	3	8	.	⛈ 12–14
4	12.7	21.4	16.9	17.0	0.8	**726.2**	725.7	725.0	86	52	**44**	NE 1	E 2	NE 2	4	0	0	.	
5	12.0	21.0	16.4	16.5	0.4	724.3	722.8	722.3	87	61	80	NE 0	S 1	NE 0	0	0	0	.	
6	14.4	23.1	18.2	18.6	2.6	723.1	722.6	722.5	95	63	81	E 0	SE 1	SE 0	5	1	5	.	
7	17.1	24.0	17.7	19.6	3.8	722.4	722.0	721.3	93	70	86	SE 0	SE 0	E 0	10	8	1	0.8	● $14^1/_2$–$14^3/_4$, T $14^1/_4$–$14^1/_2$
8	15.1	21.8	18.8	18.6	2.9	720.0	718.7	717.3	94	72	83	NE 0	E 2	N 0	10	2	2	.	
9	16.2	23.8	18.0	19.3	3.7	717.2	**716.7**	718.0	95	66	84	N 0	SE 1	NE 0	10	1	3	.	
10	16.1	23.7	18.2	19.3	3.9	719.8	720.3	720.9	95	67	87	NE 0	SE 1	SW 0	10	1	0	.	
11	16.6	**25.1**	19.0	20.2	4.9	722.6	721.7	721.9	98	58	84	SW 0	SE 1	SE 0	10≡	2	10		≡ n–$8^1/_4$
12	16.7	24.9	18.4	20.0	4.8	722.8	721.5	722.2	96	57	84	NE 0	S 1	SW 0	2	4	4		≡ $7^1/_4$ $S^1/_4$
13	16.8	24.3	21.2	20.8	5.8	719.6	717.9	716.2	95	66	84	SW 0	SE 1	SW 0	9	8	10	1.8	
14	16.4	16.0	14.2	15.5	0.6	718.8	721.3	723.9	90	54	85	SW 1	N 3	NE 1	10	10	7	0.2	● 0–$6^1/_2$, 9–$9^1/_2$, ⛈ $10^3/_4$–
15	12.7	18.7	15.6	15.7	1.0	722.8	722.5	723.2	85	68	86	E 1	S 1	W 0	6	2	0	.	[$15^1/_4$
16	12.6	19.9	18.3	16.9	2.3	724.9	724.5	724.3	95	72	64	NE 0	SW 0	W 1	1	10	9	.	
17	15.9	17.1	13.2	15.4	1.0	722.9	722.4	722.9	65	80	82	NW 1	SE 1	NE 1	10	10	10	0	● $10^1/_2$–12
18	11.1	18.0	12.7	13.9	0.3	722.6	722.6	722.7	80	57	60	NE 1	SE 1	N 2	1	8	1		
19	11.5	16.0	11.8	13.1	−1.0	723.3	723.6	724.8	62	52	65	NW 2	S 2	N 2	9	5	1	.	
20	7.3	18.2	12.6	12.7	−1.2	725.4	724.3	724.5	93	47	60	NE 0	E 2	NE 2	0	1	2	.	
21	7.1	17.2	12.2	12.2	−1.5	725.0	724.8	724.3	89	61	72	NE 0	SE 1	NE 1	1	1	0	.	
22	7.4	16.8	12.4	12.2	−1.4	723.7	722.1	720.4	96	67	90	NE 0	SE 1	SE 0	10	0	0	.	
23	12.1	15.8	14.4	14.1	0.7	718.8	718.2	717.5	96	82	98	SE 0	SE 0	S 1	10	10	10●	28.3	● $16^1/_2$–22
24	10.0	16.7	11.6	13.1	−0.1	721.3	721.5	722.0	93	65	89	W 0	SE 0	NE 0	10	9	7	.	
25	9.6	14.5	13.0	12.4	−0.6	720.2	718.5	717.4	97	83	95	NE 0	SE 1	S 0	10≡	10	2	0.4	≡ n–a
26	13.4	17.0	13.0	14.5	1.7	717.4	718.5	720.3	93	67	81	SW 0	SW 2	SW 0	10	3	5	2.8	● $6^1/_2$–$10^3/_4$ mU, ⛆ $19^1/_4$
27	11.2	16.7	10.9	12.9	0.3	721.2	720.6	719.4	97	74	85	E 0	SE 0	N 0	9	8	0		
28	10.2	16.6	14.3	13.7	1.3	718.6	718.7	719.3	96	69	60	N 0	SE 1	NW 3	10	8	9	4.3	● $23^1/_2$–24. ⛈ 18–$22^1/_2$
29	10.2	10.4	9.6	10.1	−2.1	720.9	721.0	720.1	97	93	95	W 0	SW 1	NE 0	10●	10●	10●	10.1	● [illegible]
30	11.8	13.7	12.6	12.7	0.7	718.0	717.5	716.8	96	85	86	NE 1	NE 2	NE 1	10	10	10		
Mittel	13.0	19.0	15.0	15.7	—	721.4	721.1	721.2	90	66	80				7.3	5.1	4.9	Summe 88.5	

September 1951
Beobachter: *Frl. H. Nager.*

Altdorf

$\lambda = 8° 39'$, $\beta = 46° 53'$,
$H_b = 456.3$ m, $G = -0.05$ mm.

Tag	Lufttemperatur					Luftdruck			Relative Feuchtigkeit			Windrichtung und Stärke			Bewölkung			Niederschlag	Witterung
	7^{30}	13^{30}	21^{30}	Mittel	Abweich. vom Normalst	7^{30}	13^{30}	21^{30}	7^{30}	13^{30}	21^{30}	7^{30}	13^{30}	21^{30}	7^{30}	13^{30}	21^{30}		
1	14.2	18.9	14.8	16.0	0.0	724.2	720.9	721.7	100	52	93	NE 0	NW 1	NW 0	8	5	10	1.8	● n (1./2.)
2	14.3	20.9	16.6	17.3	1.4	720.6	720.3	721.2	100	59	100	SE 0	NW 0	SE 0	8●	6	10●	3.8	● n-a, 19-n
3	15.5	21.0	16.4	17.6	1.8	718.8	721.2	728.2	100	46	55	E 0	NW 1	NW 1	9	8	10	0.4	● p mU, ↙ 15
4	11.5	18.2	13.8	14.5	−1.2	**729.0**	728.3	728.2	100	62	100	NE 0	NW 1	E 0	0	0	0	.	
5	11.1	18.8	14.2	14.7	−0.9	726.6	725.0	725.0	99	65	100	E 0	NW 0	E 0	0	0	0	.	
6	12.7	21.9	17.2	17.3	1.8	725.6	724.4	725.3	100	52	93	N 0	NW 1	NE 0	0	1	7	.	
7	15.8	20.9	17.1	17.9	2.5	724.6	724.4	725.3	100	74	100	N 0	N 0	E 0	5	8●	10●	5.4	● $13^1/_2$, $17^1/_4$-n
8	14.5	20.2	16.6	17.1	1.8	724.8	724.7	725.3	100	76	100	NE 0	N 1	NE 0	2	3	0	.	
9	14.7	21.7	17.8	18.1	2.9	719.4	719.1	720.5	100	69	100	NW 0	NW 0	N 0	2	5	2	.	
10	14.9	22.1	16.9	18.0	2.9	722.0	722.3	723.8	100	70	97	N 0	NW 0	SW 0	0	3	0	.	
11	14.3	22.6	17.6	18.2	3.2	725.2	723.7	724.6	100	61	98	E 0	NW 0	N 0	0	2	2	.	
12	14.6	22.9	18.8	18.8	3.9	724.7	723.6	725.4	100	53	99	NE 0	NE 0	NE 0	0	2	8	0.0	● tr abd
13	16.8	**27.2**	24.6	22.9	8.2	722.1	720.1	719.2	96	36	**30**	S 0	SE 2	S 3	8	6	8	2.2	● n (13./14.)
14	18.5	18.1	15.3	17.3	2.7	721.1	723.6	726.8	100	94	98	NW 0	NE 0	NE 0	10●	10●	10	8.0	● n p
15	14.9	17.6	15.2	15.9	1.4	725.0	724.7	725.9	98	72	100	E 0	NW 0	NE 0	8	9	7	.	
16	16.0	21.1	18.1	18.4	4.0	727.4	725.0	724.7	100	50	95	NE 0	NW 1	W 0	9	5	10	.	
17	16.9	14.9	13.5	15.1	0.9	725.3	726.0	725.6	96	95	100	W 0	NE 0	W 0	10●	10●	10	3.4	● n-p mU
18	13.1	16.2	13.4	14.2	0.1	724.5	724.7	725.5	100	67	97	E 0	NW 2	NW 0	10	7	10	.	
19	12.9	13.0	11.4	12.4	−1.6	725.8	725.7	727.8	91	60	90	N 0	NW 0	NW 0	10	10	9	.	
20	7.7	15.9	10.4	11.3	−2.5	728.4	726.5	727.3	94	55	95	NE 0	NW 1	N 0	2	3	0	.	
21	10.5	13.6	9.3	11.1	−2.6	727.2	727.7	727.1	92	73	100	NW 0	N 1	N 0	10	3	0	.	
22	**6.5**	15.9	10.1	10.8	−2.7	726.2	724.1	723.3	100	52	99	NW 0	NW 0	NW 0	0	0	0	.	
23	9.0	16.3	18.6	14.6	1.3	720.9	719.0	**718.5**	99	50	42	NE 0	E 0	SE 2	4	6	8	3.0	● n (23./24.)
24	14.1	15.0	11.9	13.7	0.5	722.9	723.3	724.5	100	71	100	NE 0	NE 0	NE 0	10●	10	0	0.1	● n-a mU
25	9.4	16.7	11.9	12.7	−0.3	722.4	720.3	719.8	100	79	90	NE 0	NW 1	NE 0	2	5	0	.	
26	11.9	14.1	11.2	12.4	−0.4	718.8	721.1	723.6	100	100	100	E 0	E 0	SW 0	10	10●	10	**16.1**	● $9^1/_2$-n mU
27	10.7	16.5	10.5	12.6	−0.1	723.8	722.7	722.0	100	62	98	N 0	NW 1	E 0	8	7	0	.	
28	8.2	16.0	11.8	12.0	−0.5	721.2	720.9	722.5	100	85	100	NE 0	NW 1	W 0	5	9	10●	9.3	● $19^1/_2$-n
29	11.7	12.4	10.8	11.6	−0.7	723.0	723.1	722.7	100	94	100	NW 0	NW 0	NW 0	10●	10	10	4.7	● n-13
30	8.5	15.5	13.0	12.3	0.2	720.8	719.4	719.2	100	70	100	E 0	NW 1	NW 0	3	6	10	.	
																		Summe	
Mittel	12.9	18.2	14.6	15.2	—	723.7	723.2	724.0	99	67	92				5.4	5.6	5.7	58.2	

September 1951
Beobachter: *Observatorium.*

Genève

$\lambda = 6° 9'$, $\beta = 46° 12'$,
$H_b = 405.0$ m, $G = -0.03$ mm.

1	14.8	19.0	12.5	15.4	−1.5	728.8	725.7	725.5	76	54	76	S 1	S 1	S 0	1	4	10●	0.0	● tr abd
2	16.2	21.8	17.7	18.6	1.8	726.7	726.9	726.6	87	51	90	S 1	S 1	S 1	10	10	10	2.7	● p-n mU
3	18.5	22.1	16.2	18.9	2.2	727.4	729.0	731.2	76	58	79	S 1	S 1	S 2	10●	3	10	0.0	● tr a
4	14.0	19.3	16.6	16.6	0.0	**733.2**	731.8	730.9	89	65	76	NNE 0	**NNE 2**	S 0	5	0	1	.	
5	15.3	19.2	17.0	17.2	0.7	730.7	729.5	729.0	86	76	88	E 0	NNE 1	E 0	0	0	0	.	
6	19.8	21.8	20.0	20.5	4.1	730.4	728.5	729.6	91	84	91	E 0	NNE 1	E 0	1	0	7	.	
7	18.0	23.6	18.3	20.0	3.7	729.5	728.7	727.9	92	72	94	ENE 0	NNE 1	E 0	10	10	1	.	
8	18.0	21.0	17.5	18.8	2.7	727.0	726.2	724.9	92	82	92	E 0	NNE 1	E 0	9	3	9	.	
9	18.0	23.0	17.8	19.6	3.6	725.6	725.6	726.5	92	76	92	E 0	NNE 1	ESE 0	10	2	1	.	
10	19.0	23.4	19.0	20.5	4.6	727.4	726.9	728.5	94	72	90	S 0	N 1	N 0	9	1	4	.	
11	17.0	**24.8**	21.4	21.1	5.3	729.8	728.4	729.1	94	63	83	W 1	N 1	NNW 0	7	2	7	0.1	▽ n (11./12.)
12	17.0	**24.8**	21.4	21.1	5.4	729.5	727.6	726.4	92	69	89	S 1	W 0	W 1	5	3	5	.	
13	20.2	23.4	20.2	21.3	5.8	726.2	724.5	**723.4**	85	74	83	E 0	NNW 0	SW 0	5	9	9	1.5	▽ 16, ● n (13./14.)
14	17.4	17.0	15.8	16.7	1.3	726.8	727.4	730.4	96	92	73	S 1	ESE 1	NNE 1	10●	10	2	0.1	● tr n-a
15	14.0	23.5	17.5	18.3	3.0	730.7	730.9	731.3	89	64	90	E 0	NNW 1	ENE 0	10	2	1	.	
16	18.4	22.6	17.8	19.6	4.5	731.8	731.0	731.5	81	57	78	E 0	NNW 1	SW 1	2	1	5	.	
17	16.0	18.4	14.5	16.3	1.3	730.5	728.8	729.2	89	69	85	SW 1	NNW 1	E 0	10	10	10	.	
18	14.0	18.0	13.6	15.2	0.4	729.7	729.6	730.0	74	62	78	NNE 2	NNE 1	E 0	9	2	5	.	
19	12.0	16.0	11.2	13.1	−1.6	730.8	731.0	732.0	78	71	85	WSW 0	NNE 0	NNE 0	9	5	0	.	
20	10.9	17.5	13.0	13.8	−0.7	732.2	731.7	731.4	64	**50**	88	E 0	NNE 1	NNE 1	2	0	1	.	
21	**8.6**	15.5	12.0	12.0	−2.3	732.4	730.7	731.4	89	77	90	E 0	NNE 1	E 0	1	0	0	.	
22	9.3	17.0	13.2	13.2	−0.9	730.9	728.3	726.4	96	74	93	NNE 0	NNE 0	E 0	3	1	0	.	
23	12.0	18.0	14.0	14.7	0.8	726.0	726.4	726.0	93	82	91	ESE 0	S 0	**S 1**	10	10	10●	**40.1**	● $16^1/_2$-n
24	12.5	16.2	14.0	14.2	0.5	728.8	728.4	728.9	90	77	93	E 0	**ENE 1**	NNE 1	9	3	8	.	
25	13.8	16.8	14.2	14.9	1.4	727.1	724.9	723.8	89	**81**	93	NNE 0	NNE 1	E 0	10	5	3	6.4	● n (25./26.)
26	13.8	18.8	13.0	15.2	1.9	725.6	726.1	728.0	98	68	83	S 0	**S 1**	SSE 1	10●	5	10●	0.1	● n-a, ● tr p-n
27	13.3	18.0	12.2	14.5	1.4	728.4	727.0	726.2	93	65	93	S 0	S 1	S 1	1	4	9	.	
28	11.0	18.0	12.6	13.9	1.0	725.8	725.4	728.0	90	66	93	NNE 0	NNE 1	E 0	10	5	10●	4.9	▽ $18^3/_4$, n (28. 29.)
29	11.0	13.8	10.5	11.8	−0.9	728.4	727.0	726.4	93	91	92	S 0	S 1	S 0	9	10●	10●	1.5	● a-n mU
30	9.5	14.3	12.5	12.1	−0.4	725.5	724.8	723.8	92	89	93	E 0	NNE 1	E 0	10	4	2	.	
																		Summe	
Mittel	14.8	19.5	15.6	16.6	—	728.8	728.0	728.1	88	71	87				6.9	4.1	5.3	57.4	

$\lambda = 8°\ 34'$, $\beta = 47°\ 23'$,
$H_b = 569.4$ m, $G = 0.03$ mm

Zürich

September 1951
Beobachter: *Meteorol. Zentralanstalt.*

Tag	Lufttemperatur					Luftdruck			Relative Feuchtigkeit			Windrichtung und Stärke			Bewölkung			Niederschlag	Witterung
	7^{30}	13^{30}	21^{30}	Mittel	Abweich. vom Normalst	7^{30}	13^{30}	21^{30}	7^{30}	13^{30}	21^{30}	7^{30}	13^{30}	21^{30}	7^{30}	13^{30}	21^{30}		
1	13.7	18.1	14.6	15.5	0.4	714.7	713 5	711.7	78	**43**	80	WSW 1	NE 1	S 1	4	2	10	2.4	● $3^1/_2$-$4^1/_4$, $21^1/_4$-$23^3/_4$
2	14.5	21.3	15.5	17.1	2.1	712.0	711.9	711.7	83	55	92	SW 2	WSW 2	S 1	10●	4	10●	3.6	● $1^1/_2$-8, $20^1/_4$-24
3	17.5	16.7	13.3	15.8	0.9	709.9	713.0	718.4	68	77	**82**	WSW 2	W 3	**W** 1	8	8	9	2.5	● $7^3/_4$-$13^1/_4$ mU, ⛈ 7-19
4	10.5	20.1	13.5	14.7	−0.1	**719.4**	719.0	718.6	98	49	73	SSE 1	NNE 2	NE 1	4	1	0	0.0	≡ ☾ $5^3/_4$-7, ⧋ l
5	11.2	20.9	14.9	15.7	1.0	716.9	716.0	715.1	92	55	93	NE 1	ESE 1	E 1	0	0	0	.	⧋ l
6	13.7	24.9	17.9	18.8	4.2	715.6	715.6	715.3	97	47	86	SSW 1	WSW 1	ESE 0	10≡	1	2	.	≡ 7-$8^1/_4$
7	16.7	24.1	16.5	19.0	4.5	715.3	714.9	715.2	92	56	97	WNW 1	W 1	SE 1	7	3	10●	**17.3**	● 19-$24^3/_4$, ⛈ $20^1/_4$-$20^3/_4$
8	15.5	20.6	16.7	17.6	3.3	712.9	712.1	711.2	97	67	95	NNE 1	NNE 1	**W** 1	9	7	10	0.0	≡ ☾ n-$6^1/_2$
9	16.5	19.9	16.8	17.7	3.5	710.7	710.7	711.3	95	73	95	NE 1	NNE 1	NE 1	10	10	8	.	
10	16.3	23.7	17.9	19.3	5.2	712.8	713.2	714.0	96	58	92	SSW 1	SW 1	NE 1	10≡	1	0	0.0	≡ n-8, ⧋ l
11	15.9	26.0	18.5	20.1	6.2	715.4	714.8	714.8	96	59	90	SW 1	NNE 1	N 0	10≡	1	2	0.0	≡ 3-$8^3/_4$
12	17.3	25.6	20.1	21.0	7.2	715.4	714.4	714.9	96	55	91	N 0	WSW 1	**S** 1	1	3	2	.	≡ 5^1 2-7^1 $_4$
13	17.6	**27.0**	20.7	21.8	8.2	712.8	711.3	**709.8**	90	50	78	WNW 1	NNE 1	NW 1	8	3	9	16.3	⧋ l
14	16.1	15.3	13.1	14.8	1.3	711.9	714.1	717.1	95	**92**	96	SW 1	W 2	N 1	10●	10●	10	7.7	● $4^1/_2$-$18^3/_4$
15	11.8	16.9	15.3	14.7	1.3	715.6	715.1	716.3	93	67	95	NNE 1	SSW 1	S 1	10	4	7	.	
16	13.9	21.1	17.0	17.3	4.1	717.8	717.4	717.2	97	53	83	SE 1	NNW 1	W 1	2	5	10	0.0	⧋ l
17	14.2	12.8	10.8	12.6	−0.5	715.9	716.0	715.9	76	90	96	W 1	S 1	N 1	10	10●	10	9.1	● $10^1/_4$-14, $17^1/_2$-n mU, ⧋ l
18	10.3	14.6	10.8	11.9	−1.0	715.5	715.6	715.5	93	61	82	NE 1	N 1	WSW 1	9	9	6	.	
19	10.5	12.0	10.6	11.0	−1.8	716.0	716.2	717.4	70	67	74	SW 1	**SW** 1	SW 1	10	9	9	.	⧋ l
20	9.2	15.3	9.4	11.3	−1.3	718.3	717.7	717.8	87	45	75	SE 1	NNW 1	NE 2	3	2	1	.	⧋ l
21	**6.3**	15.3	9.9	10.5	−1.9	717.7	718.0	717.5	**92**	53	75	NE 1	NE 1	NE 2	8	1	0	.	⧋ l
22	7.1	16.5	11.3	11.6	−0.7	716.3	715.0	713.5	95	64	96	NE 1	WSW 1	WNW 1	10	1	0	.	⧋ l
23	10.5	16.5	14.3	13.8	1.7	712.0	711.5	710.7	96	71	94	NNE 1	SSW 1	NNE 1	9	10	10	10.0	● $19^1/_4$-14 mU, ≡ n-9 mU
24	11.5	13.9	11.4	12.3	0.4	714.1	714.7	714.9	92	66	92	SW 1	W 1	NE 1	9	10	9	0.0	●tr a
25	8.8	15.6	12.7	12.4	0.7	713.0	711.5	710.8	99	75	96	NE 1	SSW 1	E 1	10≡	8	1	0.1	☾ 4-$9^1/_2$ mU, ≡ 4-$9^1/_2$
26	12.4	12.0	11.2	11.9	0.4	710.1	711.6	713.4	98	95	93	SSW 1	**WNW** 1	SE 1	10	10●	5	12.9	● $8^3/_4$-$17^3/_4$, $22^1/_2$-$23^1/_4$,
27	11.1	15.9	10.3	12.4	1.1	714.0	713.7	712.6	97	58	89	S 1	ENE 1	NE 1	10	5	1	0.1	[≡ 3-$7^1/_2$
28	9.7	15.4	12.0	12.4	1.3	711.7	711.8	712.6	97	63	93	SE 1	SSW 1	WNW 1	10	9	9●	2.9	● $21^1/_2$-n
29	10.5	11.3	10.6	10.8	−0.1	713.0	713.4	712.8	97	88	98	SSE 1	SSW 1	N 0	10●	10	10	9.1	● 4^1 4-11^1 2, 14^3 4-22^1 $_4$ mU
30	11.6	12.9	11.8	12.1	1.4	711.6	711.2	710.6	94	85	93	**NNE** 1	NNE 1	ENE 1	10●	10	10	0.1	● n-a
																		Summe	
Mittel	12.7	18.1	14.0	14.9	—	714.3	714.1	714.3	92	65	89				8.0	5.6	6.0	94.1	

$\lambda = 6°\ 32'$, $\beta = 46°\ 51'$
$H_b = 1589$ m, $G = -0{,}13$ mm

Chasseron

September 1951
Beobachter: *R. Colomb*

1	4.0	9 7	7.2	7.0	—	631.5	631.1	630.2	100	80	71	W 2	S 1	WSW 3	10≡	4	8	6.0	● n (1./2.), ≡ n-8
2	7.1	9.2	8.7	8.3	—	629.9	630.9	630.0	100	94	98	WNW 4	WSW 3	WSW 3	10●≡	7	10●	14.5	● n-$9^1/_2$, $16^1/_4$-n, ≡ n-$11^1/_4$
3	8.9	7.4	5.0	7.1	—	628.8	631.9	635.1	100	100	85	SW 4	WNW 3	ENE 2	10●≡	10●≡	4	6.4	● n-15^1 4, ≡ 5^1 2-17^1 4
4	7.2	12.9	11.8	10.6	—	635.4	**636.4**	636.0	77	59	**35**	E 2	SE 1	E 2	4	1	1	.	
5	11.1	17.1	12.3	13.5	—	634.5	634.5	634.3	61	67	82	E 2	SW 1	S 2	0	1	0	.	
6	12.1	16.6	13.6	14.1	—	634.2	635.0	634.9	68	66	71	W 3	WNW 1	SE 1	0	3	1	.	
7	13.2	15.0	12.4	13.5	—	634.5	634.6	633.8	85	75	93	N 1	NNW 1	ENE 1	8	8	4	.	
8	12.9	17.0	13.3	14.4	—	631.7	631.3	630.2	65	72	98	E 1	SSW 1	**S** 1	1	3	10	.	≡ $20^1/_2$-$21^3/_4$, ⧋ l
9	13.3	16.2	13.2	14.2	—	629.4	629.6	630.5	62	66	86	SSE 1	WSW 1	— 0	6	3	2	.	⧋ l
10	14.4	17.2	14.0	15.2	—	631.7	633.0	633.6	75	60	75	ESE 1	E 1	E 1	1	1	2	.	⧋ l
11	13.7	18.0	14.2	15.3	—	634.6	634.8	635.0	82	65	88	— 0	ESE 1	ESE 2	6	4	7	.	
12	13.0	16.4	15.3	14.9	—	634.8	634.4	634.4	90	64	61	SSE 2	S 1	WSW 2	5	6	6	.	⧋ l
13	13.4	**18.8**	12.7	14.8	—	632.3	631.6	631.1	86	67	90	ESE 2	E 1	WSW 2	9	7	10●	11.3	● $19^1/_4$-n
14	9.4	4.8	5.7	6.6	—	630.3	632.4	633.8	100	99	99	NW 3	N 3	ENE 2	10●≡	9	7	2.8	● n-$11^1/_4$, ≡ n-$12^3/_4$
15	7.7	13.8	9.2	10.2	—	632.8	633.4	634.5	96	78	56	SSE 2	WSW 2	WNW 3	**2**	1	1	.	
16	8.4	11.1	8 3	9.3	—	635.1	635.9	635.6	97	99	93	WNW 2	NW 1	NW 1	3	10	7	0.5	⛆ 11^1 4-11^3 $_4$, ≡ 11^1 4-15^1 $_2$, ⧋ l
17	6.0	7.2	4.8	6.0	—	633.6	633.0	632.7	98	100	100	NNW 2	NW 2	NE 1	10≡	10●≡	10≡	2.9	● $9^1/_2$-$17^1/_4$, ≡ n-$8^1/_4$, 11-n
18	3.1	6.2	3.0	4.1	—	631.6	632.7	632.7	92	77	98	ENE 2	NNE 1	NNW 2	3	5	10≡	.	≡ $20^1/_2$-n
19	**1 2**	4 3	2.3	2.6	—	632.2	633.0	634.0	100	80	98	NW 2	N 1	N 2	10≡	10	5	.	≡ n-$9^3/_4$
20	2.1	8.0	3.3	4.5	—	633.8	634.0	633.8	99	73	86	NE 2	SSW 1	ESE 2	10≡	1	2	.	≡ 7-$8^1/_4$, ⌴ l
21	3.0	10.5	8.8	7.4	—	633.4	634.3	634.3	97	58	79	SE 1	NW 1	ESE 2	1	1	0	.	
22	9.4	13.3	9.3	10.7	—	633.2	633.1	631.9	79	74	98	WSW 2	SSW 1	S 2	1	1	10≡	.	≡ $20^3/_4$-n, ⧋ l
23	8.0	10.7	9.0	9.2	—	629.9	629.6	628.7	99	85	99	S 3	S 1	**SW** 2	10≡	10	10●≡	**43.6**	● $15^3/_4$-n, ≡ n-$8^1/_2$, $17^1/_4$-n
24	3.2	8.7	5.4	5.8	—	630.9	631.7	631.9	98	77	98	WNW 3	NW 2	ESE 2	7	6	5	.	≡ n-7
25	8.0	12.2	9.8	10.0	—	630.0	629.4	628.5	67	83	94	SSW 2	S 1	S 2	4	6	6	2.1	● n (25./26.)
26	6.0	5 3	5.3	5.5	—	627.8	628.6	630.5	100	100	100	WSW 3	NW 3	NW 3	10●≡	10≡	10●≡	14.0	● n-11^3 4, 17^3 $_4$ n ≡ 7^1 4-15
27	5.2	5.8	5.0	5.3	—	630.9	631.0	629.9	100	92	93	WNW 2	N 1	E 2	10≡	7	1	.	≡ n-$10^3/_4$ [$18^1/_4$-n
28	4.8	7.9	4.9	5.9	—	628.7	629.2	630.0	95	75	99	W 2	NW 1	WNW 3	9	6	10≡	17 0	● n (28./29.), ≡ 15^3 $_4$-n
29	2.7	2.4	4.8	3.3	—	630.0	630.1	629.5	100	100	100	NW 2	N 2	E 2	10●≡	10●≡	10●≡	16.9	● ≡ n-n
30	5.1	5.7	5.2	5.3	—	627.8	627.6	**627.1**	100	100	100	E 2	E 2	ESE 2	10≡	10≡	10≡	.	≡ n-n
																		Summe	
Mittel	7.9	11.0	8.6	9.2	—	631.8	632.3	632.3	89	79	87				6.3	5.7	6.0	138.0	

September 1951
Beobachter: *B. Minsch und C. Clavuot*

Bever

$\lambda = 9° 53'$, $\beta = 46° 33'$,
$H_b = 1711.8$ m, $G = -0.23$ mm

Tag	Lufttemperatur 7³⁰	13³⁰	21³⁰	Mittel	Abweich. vom Normalst	Luftdruck 7³⁰	13³⁰	21³⁰	Relative Feuchtigkeit 7³⁰	13³⁰	21³⁰	Windrichtung und Stärke 7³⁰	13³⁰	21³⁰	Bewölkung 7³⁰	13³⁰	21³⁰	Niederschlag	Witterung
1	5.0	15.8	8.8	9.9	0.5	623.0	621.6	622.4	100	38	86	S 0	SW 1	W 0	10≡	2	9	.	≡ n-a, ⌙ l
2	7.2	16.7	11.2	11.7	2.4	621.8	621.9	622.5	95	42	85	SW 0	SW 2	SW 0	3	5	10	2.5	●tr n (2./3.)
3	10.3	14.2	9.4	11.3	2.2	621.1	621.5	625.5	93	58	57	S 0	NE 1	NE 0	8	9	3	.	
4	3.2	15.4	7.2	8.6	−0.4	626.8	626.7	**628.5**	98	39	77	NE 0	SW 2	SW 1	1	0	0	.	
5	2.8	18.4	8.4	9.9	1.0	627.7	626.9	627.6	99	42	93	SW 0	**S** 2	W 0	10≡	0	0	.	≡ n-7³/₄, ⌙ l
6	4.2	19.6	12.0	11.9	3.1	627.7	626.3	626.8	99	42	90	S 0	**SW** 1	SW 0	10≡	5	0	.	≡ n-8, ⌓ l
7	8.8	17.6	10.4	12.3	3.7	626.7	624.5	625.1	95	33	93	SW 0	SW 1	S 0	8	8	3	.	
8	4.8	15.3	11.3	10.5	2.0	624.1	622.3	622.5	99	36	85	S 0	SW 0	SW 0	10≡	2	7	.	≡ n-8¼
9	7.2	16.9	8.4	10.8	2.4	621.8	621.1	622.8	100	49	91	NW 0	SW 1	NW 0	10	8	1	.	
10	4.0	**20.3**	9.8	11.4	3.2	625.2	624.2	626.6	99	41	98	SW 0	S 0	W 0	10≡	4	4	0.0	● 18¼–19½ mU, ≡ n-7³/₄
11	9.2	19.8	10.2	13.1	5.0	627.0	626.4	627.4	98	41	93	SW 0	SW 1	W 0	10≡	2	4	.	≡ n-8³/₄
12	5.6	18.2	7.4	10.4	2.4	627.4	627.4	627.5	99	44	90	SW 0	SW 1	**W** 0	10≡	2	1	.	≡ n-8
13	4.3	18.6	13.6	12.2	4.4	626.6	625.1	624.5	76	44	80	S 0	SW 1	SW 1	2	5	5	.	
14	11.0	13.8	14.0	12.9	5.2	622.4	623.1	625.3	94	88	93	SW 0	NE 0	NE 0	10	10	6	*8.0	● 8½–9¾, ◠ l
15	10.2	17.8	9.3	12.4	4.8	624.9	625.4	627.1	94	56	99	SW 0	SW 1	SW 0	8	6	1	.	
16	5.2	17.6	9.4	10.7	3.3	628.2	625.5	624.2	99	43	99	W 0	W 1	S 0	0	2	8	.	⌙ l
17	7.0	13.8	9.0	9.9	2.6	624.2	622.2	623.1	98	62	80	S 0	NW 2	E 1	8	9	10	0.0	● 16½–18 mU
18	6.6	11.5	5.7	7.9	0.7	622.9	622.0	623.3	93	57	75	N 0	WNW 2	NE 0	10	5	0	.	
19	−1.4	13.1	4.8	5.5	−1.5	622.6	621.2	623.6	100	41	57	SW 0	W 2	NW 1	0	0	5	.	⌙ l
20	−1.6	14.2	1.0	4.5	−2.4	625.4	625.4	625.6	93	31	72	SW 0	SW 1	SW 0	2	1	0	.	
21	−3.9	12.0	0.6	3.2	−3.6	625.4	624.0	625.4	91	**25**	74	SW 0	W 1	SW 0	0	0	0	.	⌙ l
22	**−3.4**	15.7	3.9	5.4	−1.2	625.9	623.8	625.0	91	35	86	SW 0	SW 2	**W** 0	0	1	3	.	⌙ l
23	1.0	12.0	8.4	7.1	0.6	623.5	622.8	622.9	99	54	79	**S** 0	SW 2	S 0	**8**	6	10	3.7	● n (23./24.)
24	8.0	15.3	10.4	11.2	4.8	622.5	622.5	623.6	98	53	87	SW 0	SW 1	SW 0	10	7	10	.	
25	8.8	14.0	10.0	10.9	4.7	622.8	621.8	621.4	96	64	92	SE 0	SW 0	SW 0	**8**	5	8	0.0	● n (25./26.)
26	7.0	11.2	4.8	7.7	1.6	620.0	**619.0**	621.9	100	60	91	S 0	W 1	NW 1	10	10	10●	6.4	● 16½–n, ≡ n-a mU
27	1.5	9.2	5.4	5.4	−0.6	621.7	621.8	622.3	98	56	85	E 1	W 1	SW 0	10≡	10	1	.	≡ n-8
28	−1.3	13.7	7.4	6.6	0.8	620.6	619.4	620.9	99	41	86	SW 0	SW 1	NE 1	4≡	4	10	6.7	● n (28./29.), ≡ n-8¼, ⌙ l
29	4.3	12.6	8.2	8.4	2.7	620.5	619.8	621.0	98	46	91	NE 1	NE 1	NE 1	10	10	10	2.8	● n (29./30.)
30	4.2	10.3	6.8	7.1	1.6	619.3	**619.0**	619.6	89	58	91	NE 1	NE 1	NE 1	8	7	6	.	
Mittel	4.7	15.2	8.2	9.4	—	624.0	623.2	624.2	96	47	85				6.8	4.8	4.8	Summe 30.1	

September 1951
Beobachter: *Convent des Capucins.*

Sion

$\lambda = 7° 21'$, $\beta = 46° 14'$,
$H_b = 548.6$ m, $G = -0.11$ mm.

1	14.1	20.5	15.7	16.8	−0.2	716.6	714.4	714.5	90	53	86	NE 1	SW 1	NW 0	2	1	10	0.4	●tr 20½, ♆ 22
2	13.6	21.6	17.2	17.5	0.6	715.4	714.2	714.7	100	60	90	NW 0	SW 2	SW 0	9	8	10●	2.0	● 18½–20, 21¼–n
3	15.9	22.5	16.4	18.3	1.5	714.1	714.4	718.0	95	55	61	N 0	SW 2	W 2	7	8	3	.	
4	13.1	20.8	15.8	16.6	−0.1	**721.0**	718.9	719.2	72	51	82	NE 1	NNW 1	NE 2	8	0	0	.	
5	13.6	22.3	17.3	17.7	1.1	719.0	716.5	717.1	82	54	77	ENE 1	NW 1	NE 2	0	0	0	.	
6	14.8	24.5	19.9	19.7	3.3	718.1	716.6	717.0	75	**46**	63	ENE 1	W 1	NE 1	0	5	7	.	
7	15.9	23.1	17.3	18.8	2.5	717.3	716.2	716.3	95	57	80	NE 0	WSW 2	**NNE** 2	8	8	2	.	
8	14.9	23.5	18.6	19.0	2.8	715.3	712.7	712.7	88	55	77	ENE 0	WSW 2	NNE 1	1	4	3	0.0	●tr 20–20¼
9	17.1	22.6	18.6	19.4	3.3	712.6	**711.1**	713.1	84	60	78	ENE 0	SW 2	NE 2	2	3	1	.	
10	16.0	23.4	19.2	19.5	3.5	715.4	714.5	716.1	87	56	76	E 0	SW 2	NNE 2	0	2	0	.	
11	16.2	25.2	19.7	20.4	4.6	718.2	715.7	718.1	85	47	72	ENE 0	WNW 1	NNE 2	2	2	8	.	
12	15.1	25.3	20.5	20.3	4.6	718.5	716.1	717.0	84	47	72	NE 0	ENE 0	NNE 2	3	3	1	.	
13	17.3	**26.2**	21.4	21.6	6.0	715.9	713.1	712.8	78	51	59	E 1	SW 1	NE 0	9	8	10	0.0	●tr 20
14	18.7	21.3	17.2	19.1	3.6	714.2	714.8	717.8	86	66	74	NE 0	WSW 3	NW 1	10	9	9	.	
15	15.3	22.2	16.7	18.1	2.8	717.8	715.9	717.5	85	63	93	N 0	SW 1	NW 1	0	2	1	.	
16	17.0	23.2	18.2	19.5	4.3	719.7	717.9	718.1	94	51	74	ENE 0	WSW 2	NW 0	9	2	4	.	
17	16.5	19.9	14.5	17.0	1.9	717.6	715.5	715.5	95	59	85	NW 0	WSW 2	WSW 2	7	9	8	0.3	● 16–17
18	13.8	19.9	15.1	16.3	1.4	716.0	715.6	716.8	90	61	71	W 0	SW 2	W 0	10	4	2	.	
19	12.3	17.2	14.5	14.7	−0.1	717.6	716.2	717.7	87	53	63	WSW 0	WSW 3	NW 0	8	1	0	.	☄ a-p
20	10.6	17.6	11.7	13.3	−1.3	720.0	717.3	718.3	73	51	78	ENE 0	SW 1	NNE 1	0	0	2	.	
21	8.3	17.5	13.0	12.9	−1.5	719.6	717.7	718.8	99	61	85	E 0	WSW 2	NE 0	0	0	0	.	
22	9.0	19.7	14.7	14.5	0.2	718.7	715.5	716.1	99	**46**	75	**E** 1	SW 2	NNE 1	0	0	0	.	
23	10.7	20.0	15.6	15.4	1.3	715.1	713.2	713.1	85	54	78	E 1	ESE 1	WSW 0	8	8	9	**9.3**	● n (23./24.)
24	17.3	17.7	16.4	17.1	3.2	716.2	715.4	716.0	100	73	76	WSW 0	SW 2	NE 0	10	5	7	.	
25	14.9	20.3	14.8	16.7	3.0	715.3	712.5	712.8	94	62	91	NE 0	SE 1	ENE 1	8	4	4	.	
26	12.4	18.5	12.8	14.6	1.1	712.5	712.3	715.5	100	66	82	NNW 0	NW 0	NE 0	10	7	7	0.6	● 10½–11, 15–15¼, [21–21¼
27	8.6	17.5	12.2	12.8	−0.5	716.3	714.3	714.7	98	55	81	NE 0	SW 2	NE 2	1	3	0	.	
28	8.2	17.3	13.7	13.1	0.0	714.3	712.8	715.0	100	60	72	ESE 0	WNW 0	SW 2	1	9	9	0.4	● n (28./29.)
29	10.8	13.3	8.8	11.0	−1.9	715.1	714.9	715.2	94	74	94	NW 1	WNW 1	NE 0	10	10●	10●	4.0	● 13–n
30	**6.2**	15.6	11.5	11.1	−1.6	713.7	711.4	711.7	100	60	91	NE 0	WSW 1	NE 1	3	3	0	.	
Mittel	13.6	20.7	16.0	16.8	—	716.6	714.9	715.9	90	57	78				4.9	4.3	4.2	17.0	

$\lambda = 8°\,57'$, $\beta = 46°\,0'$,
$H_b = 276.2$ m, $G = -0.01$ mm.

Lugano

September 1951
Beobachter: *G. Vicari.*

Tag	Lufttemperatur 7³⁰	13³⁰	21³⁰	Mittel	Abweich. vom Normalst	Luftdruck 7³⁰	13³⁰	21³⁰	Relative Feuchtigkeit 7³⁰	13³⁰	21³⁰	Windrichtung und Stärke 7³⁰	13³⁰	21³⁰	Bewölkung 7³⁰	13³⁰	21³⁰	Niederschlag	Witterung
1	12.4	25.0	18.2	18.5	−0.5	736.2	736.3	736.6	68	28	61	NNW 1	SSE 1	N 1	0	0	9	.	
2	15.4	24.6	18.8	19.6	0.7	737.1	737.2	736.9	66	41	60	N 1	S 1	N 1	3	1	7	3.1	● m (2./3.)
3	17.4	24.2	20.4	20.7	1.9	736.3	735.7	737.7	93	48	67	N 1	SE 1	N 1	10●	1	0	7.2	● 5–10½
4	14.8	25.2	17.6	19.2	0.5	740.5	741.4	**743.6**	42	31	63	N 1	S 1	N 1	0	0	0	.	
5	14.4	25.0	18.6	19.3	0.8	743.5	743.0	743.0	63	39	66	N 1	S 1	NE 1	0	0	0	.	
6	16.2	25.6	20.2	20.7	2.3	742.3	741.8	741.2	75	44	61	N 1	SSE 1	NNE 1	0	1	9	.	
7	19.0	26.8	19.6	21.8	3.5	740.9	739.6	738.7	71	40	69	N 1	SE 1	N 1	9	4	0	0.0	●tr 14½
8	16.4	27.0	21.2	21.5	3.3	737.6	735.8	735.4	70	38	56	N 1	S 1	N 1	0	0	0	.	
9	17.0	**27.8**	20.8	21.9	3.9	735.6	734.6	736.0	78	42	67	N 1	S 1	ENE 1	0	0	1	.	
10	17.8	27.2	22.4	22.5	4.6	738.2	738.6	739.8	83	40	62	N 1	E 1	N 1	0	0	0	.	
11	18.4	27.6	20.4	22.1	4.3	741.8	740.9	741.5	84	46	71	N 1	ESE 1	**NNE** 1	3	1	0	.	
12	17.4	27.4	20.2	21.7	4.1	742.0	740.9	741.2	77	43	65	N 1	**S** 1	NNE 1	2	0	0	.	
13	17.8	24.6	19.2	20.5	3.0	740.9	740.0	738.4	71	53	68	N 1	S 1	NW 1	10	9	8	38.1	● n (13.–14.)
14	18.4	18.6	18.2	18.4	1.0	737.5	738.2	739.9	95	86	92	N 1	W 1	NNE 1	10●	10●	10	17.3	● n–14½
15	18.0	26.2	19.8	21.3	4.1	740.7	739.8	740.7	88	38	73	N 1	**SE** 1	NNE 1	9	4	0	.	
16	16.8	27.0	21.4	21.7	4.6	740.9	739.9	739.9	75	35	66	N 1	**S** 1	NNE 1	0	0	0	.	
17	17.2	24.4	18.2	19.9	3.0	738.3	736.0	735.3	76	50	82	N 1	S 1	NNE 1	5	9	10●	3.1	● 14¾–15¼, 21¼–n, (K) III
18	16.4	24.2	18.4	19.7	2.9	737.2	737.0	738.3	76	48	70	N 1	**S** 1	S 1	1	5	10	.	
19	14.8	23.6	16.2	18.2	1.6	737.9	736.4	737.2	71	40	68	N 1	SSE 1	NNE 1	0	0	0		
20	**11.8**	23.2	17.4	17.5	1.1	740.4	740.0	741.0	40	**25**	68	N 1	S 1	N 1	0	0	0	.	
21	15.0	23.0	17.4	18.5	2.3	742.8	742.0	742.0	80	33	59	NNW 1	S 1	N 1	9	0	0	.	
22	15.8	20.2	16.4	17.5	1.5	742.8	741.6	741.3	75	48	73	N 1	S 1	NNE 1	10	9	10	.	
23	15.4	19.0	16.2	16.9	1.0	740.0	739.7	739.2	78	61	71	N 1	NW 1	NNE 1	10	10	10●	9.2	● 20½–n
24	15.0	18.4	17.2	16.9	1.2	738.6	739.0	739.8	94	68	80	NNW 1	SSE 1	N 1	10	10	8	0.6	● a (24./25.)
25	16.4	19.0	18.4	17.9	2.4	738.4	737.4	737.0	84	68	81	N 1	E 1	NW 1	10	10	10●	2.4	● 21–n
26	17.2	15.6	15.2	16.0	0.7	734.6	734.5	**734.3**	93	88	64	WSW 1	NW 1	SW 1	10●	10●	10	4 1.2	● n–14 mU, 17–19, K₄ 7¾, 11
27	14.8	23.6	15.2	17.9	2.8	735.2	735.4	737.5	41	27	68	**W** 1	S 1	N 1	0	0	0		
28	12.4	22.4	14.6	16.5	1.6	736.5	735.2	735.3	78	36	71	NW 1	SSE 1	N 1	1	3	7	.	
29	13.2	17.4	13.4	14.7	0.0	735.3	735.3	736.1	78	58	91	NW 1	S 1	NW 1	9	9	9	5.8	● a ● 11–19½, ● n (29./30.)
30	12.4	20.4	14.4	15.7	1.2	735.3	**734.3**	735.3	82	39	73	N 1	E 1	N 1	8	1	9	0.0	●tr 18
Mittel	15.8	23.5	18.2	19.2	—	738.8	738.3	738.7	75	46	69				4.6	3.6	4.6	Summe 128.0	

$\lambda = 7°\,35'$, $\beta = 47°\,33'$,
$H_b = 317.3$ m, $G = 0.11$ mm.

Basel

September 1951
Beobachter: *Astronom.-Meteorol. Anstalt.*

Tag	Lufttemperatur 7³⁰	13³⁰	21³⁰	Mittel	Abweich. vom Normalst	Luftdruck 7³⁰	13³⁰	21³⁰	Relative Feuchtigkeit 7³⁰	13³⁰	21³⁰	Windrichtung und Stärke 7³⁰	13³⁰	21³⁰	Bewölkung 7³⁰	13³⁰	21³⁰	Niederschlag	Witterung
1	14.4	20.0	15.0	16.5	0.8	736.4	734.8	733.4	78	57	87	SE 1	NE 0	SSW 1	2	3	10●	2.1	● 11¼, 21½–24
2	16.2	18.8	15.8	16.9	1.3	733.3	733.4	732.4	73	69	91	WSW 2	WNW 1	ESE 1	9	9	10●	7.9	● 0–1¾, 18–24
3	16.6	16.3	12.5	15.1	−0.4	730.8	735.7	738.0	87	78	97	WSW 2	W 2	SSE 1	9	10	9	0.9	● 5¾–11¾ mU, ☄ 9¾
4	9.6	21.6	13.7	15.0	−0.4	**741.2**	740.7	740.0	98	55	92	ESE 1	ESE 1	E 0	10≡	0	0	.	≡ 4–6, 7–8¼
5	10.8	23.1	14.6	16.2	0.9	738.9	737.1	736.3	99	59	91	E 1	E 1	SE 1	0	0	0	.	⏢
6	13.3	26.7	18.1	19.4	4.2	736.6	736.6	736.3	96	53	93	ESE 1	SE 1	S 1	9≡	0	0	.	≡ 7¼–7¾
7	16.3	26.4	18.5	20.4	5.3	736.7	736.1	735.8	89	57	86	**E** 1	N 1	E 1	9	3	4	.	
8	14.8	22.1	16.8	17.9	3.0	734.6	733.4	732.7	96	76	94	E 0	N 1	SSW 1	9≡	8	8	.	≡ 0–7¼
9	17.0	22.0	16.8	18.6	3.8	731.7	731.4	732.5	92	77	91	NE 0	N 1	E 0	10	9	0	.	
10	14.5	27.3	18.6	20.1	5.4	733.7	734.2	735.0	98	64	94	SE 0	SSE 0	SSW 1	9≡	1	0	.	≡ 4¾, 8¼
11	15.8	**28.4**	18.7	21.0	6.4	736.2	735.6	736.2	98	58	95	SSE 1	SSE 1	SE 1	10≡	2	3	.	≡ 6–8¼
12	16.8	28.1	19.4	21.4	7.0	736.4	735.1	735.9	92	62	91	ESE 1	ESE 1	S 1	7	5	2	.	
13	18.4	27.8	20.6	22.3	8.0	733.1	732.3	**731.1**	97	59	82	ESE 1	WSW 1	WSW 1	8	9	10	0.9	
14	17.2	14.1	13.8	15.0	0.8	733.0	737.1	739.5	92	91	92	WSW 2	W 1	E 1	9	10	8	1.8	● 6–7, 11–12
15	11.2	23.4	14.3	16.3	2.3	737.5	736.1	738.2	98	66	95	E 1	SE 1	SSE 1	10≡	4	1	.	≡ 2–8
16	13.5	20.4	15.7	16.5	2.6	739.0	739.2	738.8	88	77	93	**E** 1	WNW 1	SSW 1	7	9	8	.	
17	14.6	15.6	10.5	13.6	−0.2	737.9	737.5	737.7	80	88	94	SW 1	S 0	SW 1	10	10●	10	5.9	● 8¾–16 mU, 21¼–21½
18	10.4	16.2	10.8	12.5	−1.1	738.0	738.0	737.5	94	64	86	SW 1	W 1	S 1	10	5	6	.	
19	11.2	15.8	11.1	12.7	−0.8	737.9	738.3	739.2	83	63	82	SW 1	W 1	S 1	10	9	9	.	
20	8.8	16.8	8.8	11.5	−1.8	740.2	739.7	739.9	92	**46**	88	S 1	NE 1	SW 1	2	2	0	.	
21	5.8	17.0	9.2	10.7	−2.5	740.2	739.6	739.2	97	50	88	SW 1	NE 1	ENE 1	10–	0	0	.	≡ 5–9½
22	8.2	19.8	14.3	14.1	1.1	737.6	735.8	734.2	83	59	87	E 1	ENE 1	ESE 1	0	0	0	.	
23	11.1	18.5	15.0	14.9	2.0	732.6	731.8	**731.1**	91	77	92	SE 1	E 1	E 1	9	10	10●	13.8	● 18–4¾
24	12.2	20.3	11.7	14.7	2.0	735.9	736.1	736.5	92	60	94	SSW 1	SSW 1	SE 1	4	7	0	.	☄ 1¾
25	9.1	17.9	15.3	14.1	1.5	734.3	732.3	731.2	91	73	86	ENE 1	NE 1	NNE 1	4	7	9	6.0	⊕ II
26	13.4	15.4	12.8	13.9	1.5	731.3	732.8	735.0	97	85	90	ESE 0	W 1	S 1	10●	9	10	5.7	● 5¾–11½ mU, 21½–22¾ [K₄ 2¼
27	10.6	18.0	10.3	13.0	0.7	735.6	735.5	734.4	98	70	96	ESE 1	WSW 1	ENE 1	8	9	0	.	
28	8.4	17.5	13.0	13.0	0.9	733.3	733.1	734.3	99	70	91	ENE 1	ESE 0	SW 1	10≡	10	10	9.6	● 22¾–23¾, ≡ 2½–7¾
29	11.7	12.8	12.4	12.3	0.3	735.1	735.4	735.0	97	94	96	W 1	W 3	W 1	10●	10	10	10.6	● 3½–18 mU [⏢
30	11.3	14.3	13.0	12.9	1.1	733.6	732.6	732.0	98	91	94	WNW 1	NNW 1	NW 0	10≡	10	10	.	≡ n–9½
Mittel	12.8	20.1	14.4	15.8	—	735.8	735.6	735.7	92	68	91				7.7	6.0	5.2	Summe 65.2	

September 1951
Beobachter: *Observatorium.*

Säntis

$\lambda = 9°\,20'$, $\beta = 47°\,15'$,
$H_b = 2500.1$ m, $G = -0.27$ mm

Tag	Lufttemperatur 7³⁰	13³⁰	21³⁰	Mittel	Abweich. vom Normalst	Luftdruck 7³⁰	13³⁰	21³⁰	Relative Feuchtigkeit 7³⁰	13³⁰	21³⁰	Windrichtung und Stärke 7³⁰	13³⁰	21³⁰	Bewölkung 7³⁰	13³⁰	21³⁰	Niederschlag	Witterung
1	−0.6	4.7	4.7	2.9	−1.1	564.5	565.0	564.3	100	70	70	WSW 3	SW 2	SSW 2	10≡	5	10	2.1	△ n-6¹/₂, ≡ n-11¹/₂, 11¹/₂-1
2	2.5	6.0	4.0	4.2	0.3	564.0	565.1	564.5	100	82	100	W 3	SW 2	W 2	10	9	10≡●	9.6	● 8-9¹/₄, 18⁸/₄-n, ≡7⁸/₄-12, 14¹/
3	4.0	4.4	−0.4	2.7	−1.1	563.0	564.0	563.5	90	100	100	WSW 3	W 4	NNW 2	10	10≡	10	12.7	● v⁸/₄-10, 10¹/₂-13, 13⁸/₄-14⁸/₄,
4	0.2	7.2	7.0	4.8	1.1	568.7	570.5	**571.0**	32	17	**2**	N 2	N 1	NE 2	1	1	1	.	[≡ 8¹/₂-n, ↙
5	10.3	12.4	8.8	10.5	6.9	569.7	569.7	569.8	20	28	70	ENE 2	SE 2	SSW 2	0	0	0	.	
6	10.0	12.4	**8.7**	10.4	6.8	569.5	570.1	570.1	39	69	91	SSW 1	S 2	E 1	1	1	9	.	≡ 14¹/₂-16 mU
7	8.9	10.0	6.3	8.4	4.9	569.4	569.4	568.6	93	87	100	N 1	S 1	W 1	4	9	10●	12.7	● 14-n mU, K 14⁸/₄-15, 17–22¹/
8	8.9	10.6	7.8	9.1	5.7	566.7	566.4	565.9	51	56	65	SW 1	SSW 1	ENE 1	6	3	3	.	[≡ 17⁸/₄-
9	9.7	12.4	8.7	10.3	7.0	564.7	565.2	566.1	57	60	83	SSW 1	S 1	S 1	3	6	2	.	
10	9.9	12.6	8.7	10.4	7.2	567.0	568.4	569.4	59	70	86	SW 1	SSW 1	SE 2	0	2	1	0.0	K 17, ≡ 16⁸/₄-18 mU
11	10.6	12.9	8.6	10.7	7.6	569.6	570.2	570.1	58	75	92	SSW 1	SSW 2	SW 2	1	4	1	0.0	●tr 16¹/₄, K 16–16¹/₄
12	9.5	13.3	8.6	10.5	7.4	570.0	570.0	570.4	67	53	72	NNW 1	SSW 2	W 1	1	3	2	.	
13	9.9	**15.2**	10.6	11.9	8.9	568.3	568.3	566.2	51	43	48	S 3	SW 2	SW 4	6	6	9	0.4	● n (13./14.)
14	7.0	7.1	4.8	6.3	3.4	565.5	566.8	568.4	98	100	100	SSE 2	N 1	NE 1	10≡●	10≡●	10≡	20.5	● 6¹/₂-17¹/₂, ≡ 7 n
15	8.2	12.4	6.3	9.0	6.2	567.9	568.7	569.5	69	57	96	WSW 2	SW 2	W 3	1	9	3	0.5	● n (15./16.)
16	5.7	7.3	4.8	5.9	3.2	569.4	570.0	569.4	98	74	100	WSW 2	W 2	WSW 2	1	5	0	1.2	● n (16./17.), ≡ n-9³/₄ mU, 15¹/₄-2
17	3.0	2.2	0.7	2.2	−0.4	566.9	566.2	565.6	100	100	100	W 2	NW 2	N 1	10≡	10≡●	10≡	7.3	☽ n-7, 17-21, ● 11¹/₄-16, ●✶ 16-
18	0.9	3.5	−0.7	0.9	−1.6	564.8	565.4	565.2	100	82	100	SW 1	WSW 2	WSW 3	10≡	10≡	10≡	.	≡ n-7³/₄, 10³/₄-16³/₄, 19¹/₄-n [≡
19	−2.4	−1.7	−3.8	−2.6	−5.0	564.3	564.5	565.9	100	100	93	W 3	W 2	W 2	10≡	10≡	10≡	.	≡ n-n mU, V a-16⁸/₄
20	−3.9	0.5	0.1	−1.1	−3.4	566.1	566.7	566.9	97	91	13	WSW 2	SW 2	WSW 2	5≡	6	1	.	≡ n-15¹/₂ mU
21	1.9	5.3	3.6	3.6	1.4	566.6	567.9	568.4	**2**	6	7	W 3	WSW 1	W 2	1	1	0	.	
22	5.9	8.7	5.7	6.8	4.7	567.4	567.5	566.6	4	12	30	NNW 1	SSW 2	WSW 2	0	1	1	.	
23	5.9	9.1	5.4	6.8	4.8	564.7	564.8	563.9	26	39	73	SSW 2	S 1	S 2	9	9	10	9.4	● n (23./24.), ⊕ 10¹/₂
24	1.8	5.7	2.6	3.4	1.5	564.3	565.5	566.1	100	71	100	W 3	SW 3	WSW 3	10≡	2	3≡	.	≡ n-13, 19¹/₄-n
25	4.1	8.1	5.5	5.9	4.1	565.0	564.7	564.0	68	78	64	SW 2	S 2	SW 2	2	6	1	.	
26	3.6	6.3	−0.9	1.0	−0.7	562.8	562.3	563.8	100	100	100	W 1	W 3	WNW 2	10≡	10≡●	10≡	26.3	● 9¹/₄-11, ●✶ 11-14, ✶ 14-19¹
27	−1.7	0.1	−1.1	−0.9	−2.5	563.9	564.4	563.6	100	97	96	W 2	WNW 1	SE 2	10≡	10	0	.	≡ n-16⁸/₄ mU ≡ 6⁸/₄-n
28	0.3	3.1	−0.7	0.9	−0.6	562.1	562.9	563.4	78	85	100	W 3	W 2	WNW 2	3	10≡	10≡	1.7	✶ n (28./29.), ≡ 9⁸/₄-n mU
29	−1.0	−0.2	0.3	−0.3	−1.7	562.8	563.1	563.2	100	100	100	N 2	NNE 2	NE 2	10≡*	10≡	10≡	2.8	✶ n-9¹/₄, ✶fl 14-15, ☽ 15¹/₂-
30	0.9	5.3	3.9	3.4	2.1	562.2	**562.0**	562.2	86	54	68	E 2	SE 2	SE 2	9	7	1	.	≡ n-5¹/₂ [21, ≡ n-
																		Summe	
Mittel	4.5	7.0	4.3	5.3	—	566.0	566.5	566.7	71	68	77				5.5	6.2	5.3	107.2	

September 1951
Beobachter: *E. Chiesa*

St. Gotthard (Hospiz)

$\lambda = 8°\,34'$, $\beta = 46°\,33'$,
$H_b = 2095$ m, $G = -0.25$ mm

1	2.8	9.7	6.9	6.5	−0.2				100	53	91	NW 2	NW 0	SE 0	10≡	0	10	.	≡ n-a mU
2	5.0	10.3	7.1	7.5	0.9				91	64	96	SE 0	SE 0	SE 1	9	3	10●	9.4	● 19¹/₄-n
3	8.2	10.5	8.8	9.2	2.7				83	57	100	SE 0	NW 2	NW 2	10	6	10≡	.	≡ p-n mU
4	1.5	10.7	7.8	6.7	0.3				98	**14**	59	NW 2	NW 2	NW 1	0	0	0	.	
5	5.7	12.3	7.5	8.5	2.2				75	58	100	SE 0	SE 1	SE 1	0	0	0	.	
6	7.0	13.7	9.3	10.0	3.8				73	54	96	SE 0	SE 0	SE 0	0	3	0	1.5	● n (6./7.)
7	9.5	12.0	8.4	10.0	3.9				71	67	100	SE 0	NW 1	NW 1	6	9	10●	4.2	● p-n mU
8	7.9	15.7	8.5	10.7	4.7				76	47	97	NW 0	SE 0	NW 0	0	0	0	.	
9	9.4	**15.8**	9.7	11.6	5.7				84	60	95	SE 0	SE 0	SE 0	0	3	10≡	.	≡ p-n mU
10	8.2	15.4	10.6	11.4	5.6				96	58	97	SE 0	SE 0	SE 1	0	3	10≡	.	≡ p-n mU
11	8.7	14.9	10.0	11.2	5.5				98	55	100	SE 0	SE 0	SE 0	0	0	10≡	.	≡ p-n mU
12	8.7	15.4	9.0	11.0	5.4				61	52	94	SE 0	SE 0	SE 0	0	0	0	.	
13	9.5	10.3	9.4	9.7	4.2				86	81	84	SE 0	SE 1	SE 1	6	10	10	4.4	● n (13./14.)
14	8.9	8.3	5.9	7.7	2.3				100	100	100	SE 0	S 0	NW 1	10≡	10●≡	9	9.6	● n-p mU, ≡ n-p
15	8.4	10.7	8.9	9.3	4.0				100	100	97	NW 0	SE 0	SE 0	10≡	10●≡	3	1.1	● 10-16, ≡ n-p
16	7.1	11.3	8.2	8.9	3.8				99	66	100	NW 1	NW 1	NW 2	0	3	10≡	.	≡ 17¹/₄-n
17	7.0	4.9	3.5	5.1	0.1				93	100	100	NW 1	NW 2	NW 2	3	10≡	10●≡	3.3	☽ p, ● p-n, ≡ a-n, △ l
18	3.0	4.4	3.0	3.5	−1.4				100	98	95	NW 1	NW 2	NW 1	10≡	6	0	.	≡ n-10¹/₂
19	1.6	1.3	−0.1	0.9	−3.9				100	100	100	NW 2	NW 2	NW 2	6	10≡	10☽≡	0.0	☽ 16-n, ≡ n-n mU, △ l
20	−1.8	5.4	2.0	1.9	−2.7				100	37	86	NW 2	NW 2	NW 1	0	0	0	.	≡ n-a mU, ⌴ l
21	3.1	10.2	5.0	6.1	1.6				100	58	40	SE 0	SE 0	NW 0	1	0	0	.	≡ n-a mU, △ l
22	0.9	9.9	5.1	5.3	0.9				91	69	100	NW 0	SE 0	SE 1	0	0	10≡	.	≡ 18¹/₄-n
23	5.0	4.9	5.1	5.0	0.8				100	100	90	SE 1	SE 2	SE 1	10	10≡	10☽≡	1.2	☽ p-n, ≡ a-n mU
24	5.3	9.0	7.0	7.1	3.0				95	85	**96**	SE 0	SE 0	SE 0	10	10	10●≡	1.9	● 17⁸/₄-n, ≡ p-n mU
25	6.4	8.2	7.8	7.5	3.6				98	100	80	SE 0	SE 1	SE 2	10	10≡	10≡	.	≡ a-n mU
26	5.9	4.8	1.6	4.1	0.3				98	100	100	SE 1	SE 0	NW 3	10≡	10●	6	17.6	● 12-p, ≡ n-12
27	1.3	5.2	2.3	2.9	−0.7				100	60	96	NW 2	NW 1	NW 0	10≡	3	0	.	≡ n-9
28	3.2	10.0	2.1	5.1	1.6				84	55	100	SE 0	SE 0	NW 2	6	3	10●≡	2.2	● 20⁸/₄-n, ≡ 17-n, △ l
29	1.2	1.1	1.4	1.2	−2.1				100	100	100	NW 2	NW 2	NW 1	10≡	10≡	10●	8.1	● 16¹/₄-abd, ✶ ● abd-n,
30	1.7	10.5	4.8	5.7	2.6				89	58	99	NW 1	NW 0	SE 0	0	3	0	.	[≡ n
																		Summe	
Mittel	5.3	9.6	6.2	7.0	—	—	—	—	91	70	93				4.9	4.8	6.3	64.5	

Barometer defekt

$\lambda = 7°\,26'$, $\beta = 46°\,57'$,
$H_b = 572.2$ m, $G = 0.00$ mm.

Bern

Oktober 1951
Beobachter: *Meteorol. Observatorium.*

Tag	Lufttemperatur					Luftdruck			Relative Feuchtigkeit			Windrichtung und Stärke			Bewölkung			Niederschlag	Witterung
	7³⁰	13³⁰	21³⁰	Mittel	Abweich. vom Normalst	7³⁰	13³⁰	21³⁰	7³⁰	13³⁰	21³⁰	7³⁰	13³⁰	21³⁰	7³⁰	13³⁰	21³⁰		
1	9.5	14.8	12.2	12.2	1.3	709.3	709.0	710.2	100	76	93	SE 1	NNE 1	NE 1	10	6	10	.	⧋ I
2	12.3	15.0	13.7	13.7	3.0	712.2	712.7	714.0	99	70	92	E 1	NNE 1	NNE 1	10	4	9	.	⧋ I, III
3	11.8	14.5	11.9	12.7	2.2	715.8	715.5	715.6	96	83	88	N 1	NNE 2	NNE 1	10	10	10	.	
4	10.7	**16.8**	11.4	12.8	2.5	715.0	714.0	713.0	97	67	98	NE 1	S 1	NE 1	9	8	0	.	⧋ III
5	10.2	15.1	10.5	11.9	1.8	711.3	710.7	710.6	100	72	83	NNE 1	NNE 1	NE 2	10≡	5	0	.	≡ n-a, ⧋ I
6	6.5	10.2	9.8	8.8	−1.1	710.6	711.0	711.7	99	84	83	NE 1	NNE 1	NE 1	0	9	10	.	⧋ I
7	6.4	10.8	7.3	8.2	−1.5	713.0	713.4	714.5	94	77	97	N 1	NNE 1	NNE 1	10	5	9	.	⧋ I
8	8.5	11.2	7.2	9.0	−0.5	715.3	715.5	716.2	92	71	89	ESE 1	E 1	NE 1	10	9	9	.	
9	3.8	8.1	4.6	5.5	−3.8	715.8	715.4	715.3	97	74	87	NE 1	NE 2	NE 1	9	6	0	.	⧋ I, III
10	1.7	10.5	3.1	5.1	−4.0	716.0	714.6	714.3	99	71	92	N 1	NE 1	**NNE** 1	10≡	1	0	.	≡ n-a, ⧠ I
11	3.1	5.9	4.4	4.5	−4.4	712.9	712.5	712.3	90	82	87	NE 1	NE 1	NW 1	10	10	10	.	⧋ I
12	4.4	10.8	5.7	7.0	−1.7	712.6	712.6	713.5	90	82	87	W 1	NE 1	S 1	8	1	0	.	⧋ I
13	1.7	13.4	7.6	7.6	−0.9	714.7	714.4	714.6	100	55	96	E 0	NW 1	SSW 1	2	8	7	.	⧠ I, ⧋ III
14	4.1	11.9	7.0	7.3	−1.0	714.2	713.4	714.5	100	71	97	S 1	NNE 1	NW 1	7	6	6	.	⧋ I, III
15	3.4	11.3	6.5	7.1	−1.0	715.7	715.5	717.0	100	69	92	E 1	NNE 1	NE 1	10≡	0	0	.	≡ n-a, ⧋ I, III
16	3.1	8.3	5.0	5.5	−2.5	717.3	716.7	**717.6**	100	74	96	N 1	ENE 1	SSW 1	10≡	9	10	.	≡ n-a, ⧋ I, III
17	5.1	8.8	6.6	6.8	−1.0	717.2	716.3	716.2	94	79	99	SE 1	NE 1	NE 1	10	8	10	0.0	
18	5.9	11.1	8.2	8.4	0.8	713.8	711.8	710.7	99	70	88	N 1	NNE 1	W 1	10	10	9	0.0	⧋ I
19	6.1	14.0	8.8	9.6	2.2	708.8	**707.9**	709.1	99	58	96	W 1	NE 1	N 1	9≡	7	4	0.7	● $5^8/_4$-6, ≡ n-a, ⧋ III
20	8.1	14.7	10.3	11.0	3.8	711.0	711.2	712.5	99	72	97	S 1	NE 1	E 1	9	4	3	.	● $4^1/_4$-6, ⧋ I, III
21	8.7	15.2	11.3	11.7	4.7	712.5	711.1	711.0	99	68	90	S 1	SSW 1	N 1	9	7	6	1.3	● $19^8/_4$-$20^1/_4$, ⧋ I
22	9.3	7.7	3.8	6.9	0.0	708.8	709.0	711.3	100	95	99	W 1	N 1	ESE 1	10●	10●	10●	**41.6**	● $6^1/_4$-24
23	**1.1**	2.9	2.7	2.2	−4.5	711.2	710.8	711.4	100	99	96	NE 1	NE 2	NE 2	10●*	9●	10	5.7	● 0-$6^1/_2$, $12^3/_4$-$13^1/_2$, ✳● $6^1/_2$-10, $11^3/_4$-
24	3.3	6.0	5.1	4.8	−1.7	711.5	712.0	712.8	99	87	90	NE 1	NE 1	E 1	10	10	10,	0.0	● $6^3/_4$-7, ◔ $21^1/_2$-24 $12^3/_4$, ✳ 10-$11^3/_4$
25	5.0	7.9	7.3	6.7	0.4	710.3	710.1	710.1	93	86	98	ESE 1	ENE 1	W 1	10,	10	9	0.0	◔ 0-10
26	4.9	10.9	6.7	7.5	1.4	711.1	710.3	710.7	95	**68**	99	S 1	N 1	NE 1	2	3	4	.	⧋ I
27	4.1	10.4	4.2	6.2	0.2	711.0	710.9	712.2	99	65	100	S 1	NE 1	SE 1	10	4	0	.	≡ n-a, ⧋ I
28	2.7	11.9	8.1	7.6	1.8	714.5	714.1	715.1	98	65	97	SSE 1	NE 1	W 1	5	1	10	0.1	⧠ I, ⧋ III
29	6.3	12.7	8.4	9.2	3.6	716.3	716.1	715.9	96	**54**	92	S 1	N 1	SSE 1	10	7	1	0.1	● $4-4^1/_4$, $8-8^1/_2$, ⧋ III
30	6.1	13.4	8.4	9.3	3.8	715.3	713.7	713.0	99	57	96	S 1	NE 1	SSW 1	6	8	0	.	⧋ I, III
31	6.7	10.6	7.9	8.4	3.1	711.8	710 5	708.5	97	86	88	SSW 0	W 1	SSW 2	9	10●	10●	16.5	◔ 10^1 '$_2$, ● 13-15^3 $_4$, 19^1 $_2$-24
																		Summe	
Mittel	6.0	11.2	7.6	8.2	—	713.1	712.6	713.1	98	73	93				8.5	6.6	6.0	66.0	

$\lambda = 6°\,57'$, $\beta = 47°\,0'$,
$H_b = 487.3$ m, $G = 0.02$ mm.

Neuchâtel

Oktober 1951
Beobachter: *Observatorium.*

1	10.8	17.0	13.6	13.8	2.0	716.5	716.5	717.8	96	73	80	NE 0	SE 1	NE 2	10	8	0	.	
2	12.3	**18.8**	14.9	15.3	3.7	719.6	720.0	721.7	94	67	75	N 0	SE 1	NE 2	10	2	1	.	
3	13.0	15.6	13.2	13.9	2.5	723.5	723.2	723.4	88	77	82	NE 1	NE 1	E 1	10	10	10	.	
4	11.6	18.3	14.2	14.7	3.5	722.4	721.6	720.5	87	65	80	NE 0	SE 1	NE 1	8	2	6	.	
5	11.4	18.4	12.5	14.1	3.1	718.9	718.3	718.0	93	64	74	NE 0	E 2	NE 2	7	4	0	.	
6	9.2	13.8	11.4	11.5	0.7	718.2	718.5	719.3	81	72	72	NE 2	NE 2	NE 1	8	3	8	.	
7	6.7	13.7	9.2	9.9	−0.7	720.7	721.0	722.3	90	72	83	NE 0	E 2	NE 2	3	7	10	.	
8	8.9	15.0	8.6	10.8	0.4	723.1	722.9	724.1	89	69	76	NE 0	SE 1	NE 2	10	9	7	.	
9	6.1	11.7	8.1	8.6	−1.6	723.4	723.1	722.9	84	**61**	66	NE 2	E 3	NE 2	9	1	0	.	⛈ III
10	4.1	11.8	4.9	6.9	−3.1	723.9	722.2	722.1	90	67	77	NE 1	SE 1	NE 0	9	1	0	.	
11	4.6	7.5	4.9	5.7	−4.1	720.6	720.2	720.2	80	74	75	NE 1	E 1	NE 1	10	10	5	.	
12	3.4	12.5	5.5	7.1	−2.5	720.3	720.2	721.2	90	62	77	NE 0	SE 1	N 0	2	0	0	.	
13	3.6	12.0	8.1	7.9	−1.5	722.3	722.2	722.1	95	66	86	NE 0	SE 0	S 0	3	7	8	.	
14	6.0	11.3	7.7	8.3	−0.9	722.2	721.3	722.3	96	77	90	SE 0	SE 0	NE 0	10	8	5	.	
15	4.4	13.3	8.2	8.6	0.4	723.3	723.2	724.6	95	65	78	NE 0	SE 1	NE 1	10≡	0	0	.	≡ n-11
16	3.6	11.5	5.1	6.7	−2.1	725.1	724.3	**725.2**	95	68	89	E 0	SE 1	NE 0	10	2	0	.	
17	3.9	7.0	5.1	5.3	−3.3	725.1	724.2	723.7	95	89	99	NE 0	E 0	**E** 0	10	10	3	.	
18	6.6	11.1	9.0	8.9	0.5	721.3	719.5	718.4	97	69	82	E 0	E 0	SW 0	10	10	10	0.6	●tr 6, ● $22^1/_2$-23
19	6.8	14.2	9.7	10.2	2.0	716.4	**715.5**	716.7	96	63	83	SW 0	S 0	E 0	8	2	10	.	✧ $4^8/_4$
20	8.9	13.8	11.2	11.3	3.2	718.6	719.1	719.9	96	77	89	E 0	E 0	E 0	8	7	10	.	
21	10 1	18.0	11.2	13.1	5.2	719.9	718.5	718.4	96	65	78	E 0	SW 1	W 0	10	3	8	3.8	
22	9.5	7.1	5.2	7.3	−0.4	716.2	716.6	718.7	97	84	95	SE 0	N 3	N 0	10●	10●	10●	**23.3**	● $3^1/_4$-24, ⛈ 12-$16^1/_2$
23	**2.8**	3.5	4.2	3.4	−4.1	719.0	718.7	719.1	96	97	90	NE 1	NE 2	NE 1	10●	10●	10	1.8	● 0-$13^1/_4$
24	4.2	5.7	5.9	5.3	−2.1	719.1	719.8	720.5	95	94	96	E 0	NE 0	E 0	10	10	10●	0.3	● $21^1/_2$-24
25	6.4	7.7	8.4	7.5	0.3	717.7	716.6	717.8	97	96	99	E 1	NE 2	NE 0	10	10	10	0.7	● 0-$21^1/_2$ mU
26	6.7	11.2	7.1	8.3	1.3	718.7	718.3	718.4	97	78	91	E 0	SE 1	NE 1	10	2	0	.	
27	7.5	11.5	5.3	8.4	1.5	718.3	718.5	719.9	94	73	94	E 1	SE 1	N 0	10	0	0	.	
28	5.2	7.0	8.6	6.9	0.2	722.2	722.0	722.4	97	94	93	N 0	E 1	W 0	10≡	10≡	10●	0.3	● $20^1/_4$-$23^3/_4$, ≡ n-15
29	8.2	13.6	8.4	10.1	3.6	723.8	723.8	723.4	95	72	94	SW 0	SE 1	SE 0	10	6	10	.	
30	5.6	13.1	8.8	9.2	2.8	723.1	721.5	720.5	97	75	91	SE 0	SE 1	SW 0	2	6	8	0.3	● n (30./31.), ≡ $8^1/_2$-$10^1/_2$
31	8.0	10.0	8.4	8.8	2.6	719.4	718.0	716.0	97	96	94	SW 0	SW 1	W 1	10	10●	10●	12.6	● 0^1 '$_2$-1^3 '$_2$, $17^8/_4$-n
																		Summe	
Mittel	7.1	12.1	8.6	9.3	—	720.7	720.3	720.7	93	75	85				8.6	5.8	5.8	43.7	

Oktober 1951
Beobachter: *Frl. H. Nager.*

Altdorf

$\lambda = 8° 39'$, $\beta = 46° 53'$,
$H_b = 456.3$ m, $G = -0.05$ mm.

Tag	Lufttemperatur					Luftdruck			Relative Feuchtigkeit			Windrichtung und Stärke			Bewölkung			Niederschlag	Witterung
	7^{30}	13^{30}	21^{30}	Mittel	Abweich. vom Normalst	7^{30}	13^{30}	21^{30}	7^{30}	13^{30}	21^{30}	7^{30}	13^{30}	21^{30}	7^{30}	13^{30}	21^{30}		
1	11.3	16.3	13.0	13.5	1.6	719.0	718.4	720.1	99	53	100	NW 0	NW 0	E 0	10	4	0	.	
2	12.1	17.4	13.9	14.5	2.7	722.3	722.4	724.3	100	71	70	N 0	NW 1	NW 0	10	4	4	.	
3	12.4	15.8	13.8	14.0	2.4	725.9	725.7	725.9	78	80	100	N 0	NW 1	NW 0	9	10	10	.	
4	12.4	15.9	10.2	12.8	1.4	725.4	724.6	723.5	96	66	99	N 0	N 0	E 0	10	10	3	.	
5	10.7	16.4	13.5	13.5	2.3	721.7	720.4	720.3	100	70	86	NE 0	W 1	NW 0	6	4	8	.	
6	11.7	11.9	8.9	10.8	−0.2	720.7	721.0	722.3	95	88	100	NE 0	NW 1	NE 0	10	10	4	.	
7	9.4	13.1	10.9	11.1	0.2	723.0	723.7	725.3	95	74	97	NE 0	NW 1	NW 0	9	6	10	.	
8	9.4	13.0	10.3	10.9	0.2	725.5	725.6	726.2	88	64	100	NE 0	NW 2	E 0	10	6	8	.	
9	8.7	9.3	5.4	7.8	−2.7	725.1	725.6	726.0	94	78	100	N 0	NW 2	N 0	10	10	2	.	
10	6.3	10.5	8.3	8.4	−1.9	726.7	724.4	725.2	85	74	99	SE 0	NW 1	N 0	8	6	10	.	
11	5.5	8.8	4.3	6.2	−4.0	723.1	722.1	721.9	94	73	100	NE 0	W 1	NW 0	8	10	2	.	
12	3.7	10.9	7.5	7.4	−2.6	722.6	722.3	724.4	100	64	56	S 0	NW 1	W 0	2	4	0	.	
13	4.0	12.1	6.1	7.4	−2.4	725.0	724.5	724.9	82	58	100	E 0	NW 1	N 0	0	2	0	.	
14	6.0	11.3	5.5	7.6	−2.1	725.5	723.6	725.0	86	75	100	NE 0	N 0	NW 0	1	8	4	.	
15	6.7	11.5	8.5	8.9	−0.6	725.8	726.2	728.0	91	75	96	N 0	NW 1	NW 0	10	4	10	.	
16	6.5	10.4	6.3	7.7	−1.6	727.5	726.4	727.8	93	74	99	S 0	NW 1	SW 0	10	4	10	.	
17	6.8	9.8	8.3	8.3	−0.9	727.6	726.6	726.7	100	82	100	NE 0	NW 0	NW 0	10	10	10	.	
18	8.0	10.4	8.4	8.9	−0.1	724.2	721.7	720.8	100	80	100	N 0	N 0	NW 0	10	10	10	0.0	●tr 16–16¼
19	6.4	10.9	7.4	8.2	−0.7	718.8	718.1	719.6	100	82	100	N 0	NW 0	NW 0	7	6	7	.	
20	8.2	13.5	11.1	10.9	2.2	721.1	721.1	722.8	100	67	100	N 0	NW 0	NW 0	10	7	10●	1.5	● 20–n
21	8.8	15.1	11.2	11.7	3.2	722.5	720.8	720.9	100	70	100	NW 0	NW 0	NE 0	3	4	6	.	
22	8.9	15.8	6.2	10.3	1.9	718.5	718.1	721.6	100	85	100	N 0	NW 1	NW 0	10	10●	10●	42.3	● a–n, ✶ ● n (22./23.)
23	1.9	4.6	3.0	3.2	−5.0	722.0	721.3	722.0	100	97	100	E 0	E 0	E 0	10*●	10	10	2.7	● ✶ n–a
24	3.6	7.3	5.8	5.6	−2.5	721.7	722.1	723.3	100	75	76	E 0	E 0	NE 0	10	10	10	0.0	●tr a
25	5.8	9.4	5.3	6.8	−1.1	720.9	719.2	720.3	96	65	100	S 0	NW 0	NW 0	10	10	10	.	
26	4.7	10.8	7.3	7.6	−0.2	721.7	720.4	721.1	100	62	90	E 0	NW 0	E 0	4	4	5	.	
27	2.8	11.3	4.2	6.1	−1.5	720.9	720.9	722.4	100	60	100	SE 0	NW 0	E 0	7	0	0	.	
28	3.3	10.8	8.4	7.5	0.0	724.7	724.3	724.8	99	78	53	NE 0	NW 0	NW 0	5	4	0	.	
29	5.7	11.5	7.8	8.3	1.0	726.7	725.8	726.5	100	68	82	NE 0	NE 0	NW 0	8	7	6	.	
30	5.6	15.0	15.2	11.9	4.7	725.3	723.4	722.5	100	43	33	NE 0	E 1	SE 2	7	8	6	.	
31	10.0	13.2	9.4	10.9	3.9	719.7	719.3	717.5	73	66	99	SE 1	W 1	NW 0	8	6	9	5.5	● n (31./1.)
																		Summe	
Mittel	7.3	12.1	8.6	9.3	—	723.3	722.6	723.4	95	72	91				7.8	6.7	6.3	52.0	

Oktober 1951
Beobachter: *Observatorium.*

Genève

$\lambda = 6° 9'$, $\beta = 46° 12'$,
$H_b = 405.0$ m, $G = -0.03$ mm.

1	13.2	17.2	14.2	14.9	2.6	723.3	723.7	724.0	95	78	95	NNE 1	NNE 1	E 0	10	3	4	.	
2	13.4	17.8	16.0	15.7	3.6	726.0	726.9	728.7	90	74	89	E 0	NNE 1	NE 1	5	2	9	.	
3	15.0	18.0	15.0	16.0	4.1	729.9	729.4	730.2	91	69	82	E 0	NNE 1	NNE 0	0	0	10	.	
4	14.2	18.0	14.5	15.6	3.8	729.6	727.9	727.2	95	80	94	NNE 0	NNE 1	E 0	9	1	8	.	
5	14.3	17.0	13.6	15.0	3.4	726.0	724.9	724.6	83	68	91	NNE 0	NNE 1	E 0	10	5	2	.	
6	12.5	14.5	11.0	12.7	1.3	724.1	724.5	725.1	76	80	93	E 0	ENE 0	E 0	10	10	10	.	
7	10.8	17.0	12.8	13.5	2.3	725.6	726.0	728.1	87	70	90	E 0	NNE 1	E 0	10	4	9	.	
8	13.0	15.2	11.0	13.1	2.1	729.8	729.4	730.7	93	66	90	E 0	NNE 1	NNE 1	10	2	3	.	
9	9.8	11.8	9.2	10.3	−0.5	730.2	730.3	730.3	80	71	84	ENE 0	E 0	E 0	10	5	8	.	
10	9.0	12.5	8.9	10.1	−0.6	730.3	728.9	728.7	86	71	86	E 0	NNE 1	NNE 1	9	1	5	.	
11	7.0	10.0	8.5	8.5	−2.0	727.7	726.2	727.0	80	74	79	WNW 1	NNE 1	E 0	10	10	10	.	
12	6.5	12.6	7.2	8.8	−1.5	727.5	727.3	728.4	97	64	85	E 0	NNE 1	E 0	1	1	1	.	
13	7.4	12.0	8.8	9.4	−0.7	728.4	729.5	729.0	94	74	94	E 0	ENE 0	E 0	10	10	10	1.8	●tr 14, ● p–n mU
14	9.0	13.2	9.2	10.5	0.6	728.9	727.7	728.7	97	77	95	E 0	ENE 0	E 0	10	10	9	0.1	● n–n mU
15	6.0	13.0	11.0	10.0	0.2	730.9	730.3	731.6	97	81	90	E 0	NNE 1	E 0	10	0	1	.	
16	6.8	11.5	6.5	8.3	−1.3	732.0	731.4	732.1	88	70	91	E 0	NNE 1	ESE 0	10	3	2	.	
17	3.5	9.0	7.0	6.5	−2.9	731.6	731.1	731.6	93	81	88	E 0	E 0	E 0	10	10	10	.	
18	6.5	10.0	7.7	8.1	−1.1	727.6	726.9	725.0	91	84	91	E 0	SSE 0	S 0	10	10	10	.	
19	8.0	13.0	11.0	10.7	1.7	722.6	721.7	723.0	91	83	93	E 0	NNE 1	E 0	10	6	8	.	
20	9.5	15.0	12.8	12.4	3.5	724.7	725.6	727.0	93	84	90	E 0	NNE 1	E 0	4	4	10	1.8	● p–n mU
21	12.0	17.6	14.0	14.5	5.8	727.3	725.7	725.0	93	65	95	S 1	SSE 1	S 1	5	3	9	10.0	● p–n mU
22	10.5	8.0	7.0	8.5	0.0	724.1	724.5	725.0	97	89	91	S 0	S 1	NNE 2	10●	10●	10●	27.5	● n–n
23	5.4	6.6	5.5	5.8	−2.5	724.9	724.6	725.3	94	74	84	NNE 3	NNE 3	NNE 2	10	10	10	.	
24	5.5	8.0	7.7	7.1	−1.1	726.2	726.6	726.6	78	77	77	E 0	ENE 0	NNE 1	10	10	10	.	
25	4.2	10.0	8.2	7.5	−0.5	726.7	725.6	725.5	93	74	94	E 0	NNE 1	NNE 1	7	9	9	.	
26	7.4	10.2	6.8	8.1	0.3	725.9	724.3	724.8	94	74	88	E 0	ENE 0	E 0	9	2	8	.	
27	6.0	11.0	7.8	8.3	0.6	725.0	725.6	726.6	88	75	94	E 0	ESE 1	E 0	8	10	10	.	
28	5.0	10.2	8.8	8.0	0.5	729.7	730.8	730.5	94	89	94	S 0	S 1	S 1	9	10●	10●	6.5	● a–n
29	11.0	14.0	10.2	11.7	4.4	731.5	731.7	730.5	95	78	92	ENE 0	NNE 1	E 0	5	5	9	0.0	✧ p
30	6.8	14.0	9.8	10.2	3.0	730.1	728.1	727.8	94	86	92	E 0	SE 1	ESE 0	10	8	10●	1.0	● p–n
31	9.6	13.6	9.0	10.7	3.7	727.4	725.2	722.1	92	73	92	SSE 0	S 1	S 1	10●	9	10●	16.3	● a, p–n
																		Summe	
Mittel	9.0	13.0	10.0	10.7	—	727.6	727.2	727.5	91	76	90				8.4	5.9	7.9	65.0	

$\lambda = 8°\ 34'$, $\beta = 47°\ 23'$,
$H_b = 569.4$ m, $G = 0.03$ mm

Zürich

Oktober 1951
Beobachter: *Meteorol. Zentralanstalt.*

Tag	Lufttemperatur					Luftdruck			Relative Feuchtigkeit			Windrichtung und Stärke			Bewölkung			Niederschlag	Witterung
	7^{30}	13^{30}	21^{30}	Mittel	Abweich. vom Normalst	7^{30}	13^{30}	21^{30}	7^{30}	13^{30}	21^{30}	7^{30}	13^{30}	21^{30}	7^{30}	13^{30}	21^{30}		
1	11.5	15.8	12.7	13.3	2.8	710.1	710.1	711.1	96	70	83	ENE 1	NNE 1	NE 1	10	9	10	.	
2	12.7	**17.1**	12.1	14.0	3.7	712.6	713.1	715.2	93	66	90	NE 1	NNE 1	NNE 1	9	9	10	.	⊿ |
3	11.8	13.6	11.1	12.2	2.1	716.2	716.7	716.1	90	75	87	NE 2	NE 1	ENE 2	10	10	10	.	
4	9.4	15.4	10.0	11.6	1.7	715.6	714.8	713.8	95	68	96	NE 1	NE 1	NE 1	10	8	9	.	⊿ |
5	9.1	15.6	8.4	11.0	1.3	712.4	712.0	711.9	98	54	91	ENE 1	NNE 1	NNE 1	0	7	0	.	≡ $6^3/_4$-7, ⊿ |
6	7.3	12.7	7.8	9.3	−0.3	711.6	711.8	712.5	96	64	93	ENE 1	ENE 1	N 1	10	2	1	.	⊿ |
7	5.7	8.2	6.7	6.9	−2.5	713.8	714.4	715.3	92	86	92	NNE 2	NE 2	NNE 1	10	10	10	.	
8	6.3	10.5	5.0	7.3	−1.9	716.1	716.4	717.4	93	72	84	NE 1	NNE 1	NE 2	10	10	3	.	
9	3.0	11.2	5.1	6.4	−2.6	716.7	716.2	716.0	91	53	70	NNE 1	ENE 2	NNE 2	9	1	0	.	
10	1.8	5.0	1.3	2.7	−6.2	716.7	716.1	715.0	91	84	98	NE 1	NNE 1	E 1	10	10	0	0.0	⌊ |
11	1.2	5.2	1.4	2.6	−6.1	713.8	713.5	712.9	96	77	96	NE 1	NNE 1	ESE 1	10	10	0	0.0	⊿ |
12	−1.0	8.5	4.8	4.1	−4.4	713.1	713.4	714.2	99	64	96	NE 1	**SW** 1	ESE 1	6	2	0	0.1	≡ 7-12, ⌊ |
13	1.8	14.0	7.3	7.7	−0.6	715.0	714.8	714.8	98	**45**	90	NE 1	NE 1	N 1	1	2	1	0.0	≡ $7^3/_4$-8, ⌊ |
14	4.0	12.5	6.3	7.6	−0.5	714.3	714.1	714.9	98	52	94	NE 1	SSW 1	NE 1	1	7	3	0.0	⊿ |
15	3.3	10.3	4.8	6.1	−1.9	716.3	716.7	717.5	98	63	97	**NE** 1	E 1	N 1	0	4	0	0.0	⊿ |
16	2.3	6.1	3.3	3.9	−3.9	**717.8**	717.7	717.5	97	82	98	NE 1	ESE 2	E 0	9	10	0	0.0	⊿ |
17	4.3	7.5	5.9	5.9	−1.7	717.7	717.1	716.8	98	78	96	W 1	W 1	N 0	10≡	10	10	0.0	≡ n-$7^1/_2$
18	4.5	8.3	5.1	6.0	−1.4	714.9	713.1	712.5	98	78	97	NE 1	ENE 1	E 1	10≡	10	0	0.0	≡ n-10
19	5.8	10.2	6.5	7.5	0.2	710.0	709.4	710.1	97	75	98	SE 1	S 1	E 1	10≡	1	1	0.7	≡ n-$12^1/_2$
20	7.3	16.3	10.2	11.3	4.2	711.7	712.1	712.6	99	54	97	**W** 1	SW 1	W 1	7≡	8	10	0.1	● 5-$7^1/_2$, ≡ 6-$10^1/_2$
21	9.5	16.7	10.0	12.1	5.2	712.5	712.1	712.0	97	62	96	SW 1	W 1	E 1	9	6	10	1.7	● $17^3/_4$-$18^1/_4$, 20-$20^1/_4$, ⊿ |
22	8.9	8.3	4.2	7.1	0.4	709.6	709.9	711.9	97	94	95	ENE 1	WSW 1	WNW 1	10≡	10●	10●	**31.8**	● 0¼-1, 11-$12^3/_4$, $13^1/_2$-24, ≡ n-$9^1/_4$
23	0.2	3.0	3.3	2.2	−4.4	712.3	712.0	712.2	98	93	95	NNW 0	NNE 1	NNE 1	10*	10●	10	4.5	●✶ 0-$9^1/_4$, ● $11^1/_4$-$14^1/_2$, $17^3/_4$-$18^3/_4$
24	3.9	6.0	5.7	5.2	−1.2	711.9	712.4	713.2	97	93	98	NW 1	ENE 1	W 1	10●,	10●,	10●,	2.6	●, 4-24, ≡ $16^3/_4$-$18^1/_2$
25	5.8	7.9	7.9	7.2	1.0	711.5	710.6	710.5	97	95	97	ESE 1	NE 1	SE 0	10●,	10●,	10	0.6	●, 0-18
26	7.1	11.3	7.4	8.6	2.6	711.7	711.4	711.8	95	70	94	S 1	NNE 1	NE 1	10	5	9	.	, 4-6
27	6.1	9.3	4.9	6.8	0.9	711.3	711.7	712.7	96	70	96	NE 1	ENE 1	E 1	10	9	0	0.0	⊿ |
28	2.6	9.1	5.0	5.6	−0.1	714.9	715.0	715.3	98	79	98	NE 1	SW 1	ENE 1	10≡	1	10≡	0.2	≡ n-$13^1/_2$, $16^3/_4$-n
29	5.7	15.2	6.7	9.2	3.6	716.7	716.5	716.3	98	49	93	ENE 1	S 1	NE 1	9	6	3	0.0	≡ n-$6^1/_2$
30	6.2	13.6	8.3	9.4	4.0	715.8	714.4	713.0	94	53	89	S 1	NE 1	NE 1	9	9	9	.	⊿ |
31	6.6	12.7	9.4	9.6	4.3	712.4	710.9	**708.7**	94	64	77	**NNE** 1	SSW 1	WSW 2	9	8	10	5.6	● $16^3/_4$-$20^3/_4$, $21^3/_4$-$24^1/_4$
																		Summe	
Mittel	5.6	10.9	6.7	7.7	—	713.8	713.6	713.7	96	70	93				8.3	7.2	5.5	47.9	

$\lambda = 6°\ 32'$, $\beta = 46°\ 51'$
$H_b = 1589$ m, $G = -0{,}13$ mm

Chasseron

Oktober 1951
Beobachter: *R. Colomb*

1	8.0	13.6	9.2	10.3	—	627.0	627.7	628.7	62	69	63	SSW 2	**W** 1	E 1	1	5	7	.	
2	11.0	**14.1**	8.4	11.2	—	630.2	631.2	632.2	46	66	98	N 1	NW 1	ESE 2	7	1	0	.	
3	9.4	11.3	5.0	8.6	—	633.1	**633.4**	633.1	84	85	98	NNE 1	WNW 1	E 1	1	1	0	.	⊿ |
4	6.0	10.3	6.7	7.7	—	632.4	632.2	631.2	97	75	98	W 2	NW 2	W 1	5	3	10≡	.	≡ 21-n, ⊿ |
5	4.4	7.2	4.4	5.3	—	629.1	629.1	628.3	90	80	97	WSW 1	W 1	E 2	9	7	10≡	.	≡ $19^1/_4$-n, ⊿ |
6	2.8	5.0	3.2	3.7	—	627.5	628.2	628.7	99	99	99	ESE 2	ENE 1	E 3	10≡	7	10≡	.	≡ n-13, $20^3/_4$-n
7	3.4	7.3	4.7	5.1	—	629.3	630.3	631.0	94	81	84	WSW 1	NW 1	WSW 1	0	7	0	.	⌊ |
8	3.0	7.8	0.8	3.9	—	631.6	632.2	632.3	96	62	80	WNW 2	N 1	E 2	0	1	0	.	⊿ |
9	3.2	1.3	−0.8	1.2	—	631.1	631.1	631.2	50	98	94	E 2	ESE 1	ESE 3	0	10≡	4	.	≡ 13-17, 🌧 III
10	1.0	6.0	0.6	2.5	—	631.8	631.6	630.6	95	69	88	SW 1	NW 1	NNE 1	0	5	0	.	⌊ |
11	−1.0	4.9	−1.9	0.7	—	628.3	628.4	628.1	99	61	97	SW 2	**W** 2	SE 2	0	2	0	.	⌊ |
12	0.4	5.4	3.0	2.9	—	628.4	629.4	630.6	64	46	44	SE 2	ESE 2	ESE 3	1	1	1	.	🌧 III
13	4.2	8.2	5.8	6.1	—	631.1	632.4	632.2	50	48	78	ESE 2	S 1	ESE 1	4	9	9	.	
14	4.4	7.8	3.7	5.3	—	631.1	631.3	631.4	72	63	73	E 1	ESE 1	E 3	9	9	9	.	🌧 III
15	3.2	8.6	2.6	4.8	—	632.0	633.2	**633.4**	87	53	77	E 2	NE 2	E 3	1	0	0	.	🌧 III
16	4.7	9.1	8.6	7.5	—	632.9	**633.4**	**633.4**	59	43	**32**	ESE 3	— 0	**ESE** 1	0	1	0	.	🌧 |
17	3.9	8.2	4.4	5.5	—	633.0	632.9	632.8	57	65	84	NNW 2	NNW 1	ENE 2	1	2	3	.	
18	3.4	5.0	2.7	3.7	—	632.3	630.8	629.1	70	64	90	E 2	ENE 1	SSE 2	8	8	8	.	
19	5.1	10.9	6.6	7.5	—	627.7	627.6	627.4	80	68	90	SSE 2	SSW 1	WNW 2	9	5	9	.	
20	6.2	8.1	6.3	6.9	—	628.8	629.6	630.4	89	81	99	W 2	SW 1	**S** 2	7	8	10≡	3.1	△ 16-$16^1/_2$, $19^1/_4$-$20^1/_2$, ≡ 21-n
21	5.2	6.2	4.4	5.3	—	629.8	629.4	628.7	100	91	**72**	SW 2	**W** 2	WSW 2	10≡	9	9	7.2	● n (21./22.), ≡ n-$9^3/_4$
22	1.3	−0.9	−2.3	−0.6	—	626.0	625.7	626.2	100	100	100	NNW 2	N 1	NNE 3	10●≡	10*≡	10*	17.9	● n-$7^1/_2$, ●✶ $7^1/_2$-$16^1/_2$, ✶ $16^1/_2$-n,
23	−3.7	−3.1	**−4.0**	−3.6	—	625.8	625.9	625.8	100	100	100	ENE 2	ENE 2	E 2	10≡	10≡	10≡	.	≡ n-n [≡ n-n, 🌧 III ✳]
24	−2.8	−1.0	−1.0	−1.6	—	626.1	627.4	628.2	100	100	100	ESE 2	ESE 2	ESE 3	10■	10≡	10≡	.	≡ n-n, 🌧 p-n ✳
25	1.2	1.2	2.1	1.5	—	626.3	625.3	626.7	100	100	100	E 3	E 3	ESE 1	10≡	10≡	10≡	0.9	● n (25./26.), ≡ n-n, 🌧 n-p ✳
26	0.3	4.8	1.2	2.1	—	627.4	627.5	627.4	98	75	99	ESE 2	ESE 1	E 2	1	1	10≡	.	≡ $19^1/_4$-n ✳
27	1.8	7.6	4.6	4.7	—	627.0	627.8	628.9	78	49	56	SSE 2	SW 1	SSW 2	3	1	2	.	
28	4.2	7.0	2.3	4.5	—	630.7	631.3	631.4	70	65	95	SW 2	S 2	SSE 2	4	3	9	3.7	● ✶ $17^1/_2$-$19^1/_4$, n-28, 29.
29	2.8	4.1	3.7	3.5	—	632.2	632.9	632.6	95	93	87	SW 2	**S** 2	S 2	9	6	9	.	
30	3.9	8.9	5.0	5.9	—	631.9	631.4	630.6	77	52	66	SE 2	SE 2	SE 1	3	7	7	1.0	● n (30./31.)
31	3.8	3.2	0.6	2.5	—	628.7	627.8	**624.7**	88	97	100	WSW 3	SW 2	NW 4	10	9	10●≡	18.8	● $8^3/_4$-$11^3/_4$, 17-n, ≡ $14^1/_4$-n,
																		Summe	[🌧 I, 🌧 III
Mittel	3.4	6.4	3.3	4.4	—	629.7	630.0	629.9	82	74	85				5.0	5.4	6.0	52.6	

Oktober 1951
Beobachter: *B. Minsch und C. Clavuot*

Bever

$\lambda = 9° 53'$, $\beta = 46° 33'$,
$H_b = 1711.8$ m, $G = -0.23$ mm

Tag	Lufttemperatur 7³⁰	13³⁰	21³⁰	Mittel	Abweich. vom Normalst	Luftdruck 7³⁰	13³⁰	21³⁰	Relative Feuchtigkeit 7³⁰	13³⁰	21³⁰	Windrichtung und Stärke 7³⁰	13³⁰	21³⁰	Bewölkung 7³⁰	13³⁰	21³⁰	Niederschlag	Witterung
1	5.8	12.2	6.2	8.1	2.8	619.8	619.7	621.7	99	58	95	NW 0	SW 1	S 0	9	10	3	.	
2	3.9	13.8	5.5	7.7	2.5	623.1	622.8	624.6	100	46	93	NW 0	SW 1	SW 0	9	5	1	.	
3	4.0	**16.3**	8.4	9.6	4.6	623.4	623.9	625.1	98	31	90	SW 0	**E** 1	SW 0	2	2	10	.	
4	3.7	12.4	4.0	6.7	1.9	624.1	623.0	623.0	97	52	98	SW 0	SW 2	W 0	7	1	7	.	
5	0.3	14.2	2.5	5.7	1.1	620.9	619.1	620.7	99	34	92	NW 0	SW 0	SW 0	3	1	0	.	≡ n–8¼ mU
6	2.2	10.8	2.9	5.3	0.9	620.0	619.5	621.1	94	50	98	SW 0	SW 2	SW 0	10	1	0	.	
7	2.5	9.6	0.8	4.3	0.1	621.5	620.8	623.1	96	53	100	W 0	SW 3	W 0	5	1	1	.	
8	1.5	10.2	1.8	4.5	0.5	623.2	622.2	623.5	88	35	72	NE 0	NE 2	SW 0	6	0	0	.	
9	–2.2	6.2	–2.6	0.5	–3.4	623.9	622.0	624.0	95	51	95	N 0	SW 2	W 0	8	1	0	.	⌊⌊
10	–4.8	8.6	–3.0	0.3	–3.4	622.9	620.1	621.3	99	27	95	SW 0	W 1	**W** 0	3	0	3	.	⌊⌊
11	–1.7	3.5	–1.8	0.0	–3.5	620.5	629.8	621.4	95	64	89	SE 0	SW 2	SW 0	7	8	9	.	
12	–5.1	5.7	–2.3	–0.6	–3.9	621.6	621.7	623.9	98	47	96	SW 0	SW 1	W 0	4	3	8	.	⌊⌊
13	–5.6	7.2	–2.2	–0.2	–3.3	624.5	624.2	625.8	97	48	96	SW 0	**S** 3	SW 1	2	0	3	.	⌊⌊
14	0.5	5.4	–3.0	1.0	–1.9	624.5	623.0	625.5	91	64	98	SW 0	SW 2	SW 0	7	2	0	.	
15	–3.8	8.2	–3.7	0.2	–2.5	625.4	624.1	626.3	100	43	90	W 0	SW 1	SW 0	10	0	0	.	
16	**–7.8**	11.1	–1.4	0.6	–1.9	627.0	625.3	**627.3**	97	**24**	94	**S** 0	**S** 1	SW 0	0	0	1	.	⌊
17	–1.0	10.2	0.8	3.3	1.0	626.1	624.5	624.8	98	30	72	SW 0	SW 0	**W** 0	8	10	7	.	
18	–0.9	9.8	1.2	3.4	1.3	622.4	621.0	621.0	90	40	79	SW 0	SW 2	NW 0	8	8	1	.	
19	–0.8	10.3	4.0	4.5	2.6	619.3	618.3	620.2	99	60	97	S 0	S 2	SW 0	3	8	10	.	
20	3.6	12.1	5.8	7.2	5.5	620.7	620.5	622.7	98	52	96	**S** 0	SW 1	W 0	**8**	5	10	0.0	● $17^3/_4$-n mU
21	4.6	9.9	5.6	6.7	5.2	622.1	621.3	621.5	100	54	82	W 0	**SW** 1	SW 0	10	6	8	.	
22	3.3	6.7	4.3	4.8	3.5	619.3	617.4	616.7	95	**82**	99	SW 0	SW 0	SW 0	**8**	10	10●	**4.7**	● p–n
23	2.3	3.0	1.3	2.2	1.1	**615.8**	616.7	618.6	91	98	99	E 1	SE 2	N 0	10	10	10	⌒	✳fl $7^3/_4$–10, ● ca 10–13
24	1.3	7.6	2.0	3.6	2.6	618.7	619.7	620.3	99	70	99	NE 0	S 1	W 0	9	9	9		
25	2.2	5.9	2.2	3.4	2.6	618.4	617.8	619.5	98	77	96	NE 1	SW 1	**SW** 0	9	10●	**2**		●tr II
26	–4.1	7.8	–1.8	0.6	0.0	619.6	618.1	619.4	98	39	86	S 0	**S** 0	SW 0	0	1	0		⌊
27	–4.2	9.1	–1.3	1.2	0.8	620.0	620.0	622.5	100	35	86	SW 0	SW 0	SW 0	9	3	0	12.1	
28	–1.8	3.9	1.5	1.2	1.0	623.6	623.5	624.5	95	73	88	SW 0	**SW** 1	SW 0	8	10	7		⌊⌊
29	–4.2	8.2	–1.6	0.8	0.8	625.0	624.4	626.0	96	50	97	SW 0	**S** 1	W 0	2	4	3		⌊⌊
30	–2.5	5.7	2.2	1.8	2.0	625.5	624.7	624.9	99	71	91	SE 0	SW 1	SW 0	5	8	9		
31	1.0	7.4	2.5	3.6	3.9	622.6	619.7	618.0	98	60	97	SW 0	SW 1	SE 0	7	8	10		✳ n (31./1.)
																		Summe	
Mittel	–0.2	8.8	1.3	3.3	—	622.1	621.3	622.6	97	52	92				6.3	4.7	4.6	16.8	

Oktober 1951
Beobachter: *Couvent des Capucins.*

Sion

$\lambda = 7° 21'$, $\beta = 46° 14'$,
$H_b = 548.6$ m, $G = -0.11$ mm.

1	9.8	16.8	13.4	13.3	0.8	712.0	711.4	712.6	100	70	95	E 0	SW 1	NW 0	6	9	5	.	
2	12.0	**19.4**	14.4	15.3	3.0	714.6	713.8	716.0	94	63	92	ESE 0	NW 1	NE 0	8	3	0	.	
3	9.5	18.6	14.0	14.0	1.9	718.3	716.1	717.2	100	56	93	E 1	WSW 1	NW 0	0	2	4	.	
4	12.3	18.4	13.1	14.6	2.7	713.6	714.9	714.9	95	61	82	NW 0	S 2	NNE 1	8	4	0	.	
5	11.8	13.8	12.3	12.6	0.9	714.0	712.1	712.4	100	59	80	E 0	SW 2	NW 1	9	3	0	.	
6	9.1	16.6	11.0	12.2	0.7	713.2	711.9	714.3	89	59	92	ENE 0	SW 1	E 0	2	1	10	.	
7	6.9	16.1	9.9	11.0	–0.3	715.5	714.4	716.6	98	54	91	ENE 0	SW 2	NNW 1	0	1	0	.	
8	9.7	15.8	10.3	11.9	0.8	717.9	716.2	717.6	95	60	78	ENE 0	SW 2	NNW 2	10	2	3	.	
9	9.5	13.9	9.4	10.9	0.0	717.5	715.4	717.6	100	64	87	NE 1	SW 2	NW 1	10	4	9	.	
10	5.2	13.3	8.4	9.0	–1.7	718.3	715.5	715.8	90	61	81	NE 0	WSW 1	NE 2	5	2	1	.	⌿ p
11	6.5	12.8	7.1	8.8	–1.7	715.2	713.6	715.2	100	62	92	SW 0	SW 2	NW 1	10	4	9	.	
12	5.0	14.6	7.3	9.0	–1.3	715.9	714.6	717.5	69	**33**	52	NE 1	ESE 1	NE 1	0	0	0	.	⌿ p
13	3.6	13.5	9.3	8.8	–1.3	719.0	716.6	717.1	73	44	72	**E** 1	SW 1	NNW 0	1	8	8	.	
14	8.5	14.8	8.7	10.7	0.8	716.0	715.3	716.7	67	45	88	ENE 1	SW 1	NE 0	10	9	7	.	
15	4.3	14.6	8.0	9.0	–0.7	718.3	716.6	719.0	75	43	80	NE 0	WSW 1	ENE 0	0	0	0	.	
16	3.8	14.1	7.1	8.3	–1.3	719.5	717.4	**719.7**	72	49	78	E 0	SSW 1	NE 1	0	0	0	.	
17	5.8	13.7	8.4	9.3	–0.1	719.6	**717.4**	718.2	73	48	100	E 1	WSW 1	WNW 1	1	4	1	.	
18	7.3	11.5	8.8	9.2	0.0	716.3	714.1	713.6	100	74	100	NE 1	WNW 1	WSW 0	10	9	10	.	
19	6.8	14.5	10.0	10.4	1.4	711.7	**710.6**	712.0	100	64	90	**N** 0	**WSW** 1	ENE 0	3	5	5	.	
20	8.5	16.2	12.9	12.5	3.7	714.0	713.4	714.9	100	63	78	ENE 0	NW 1	NNW 1	9	5	9	.	
21	9.8	16.3	12.3	12.8	4.2	715.4	713.5	714.0	100	65	90	ENE 0	**WSW** 1	N 1	7	4	10	0.0	●tr $21^1/_4$
22	9.7	10.1	6.8	8.9	0.4	711.2	710.5	712.0	100	100	100	NW 0	WNW 1	NW 0	10●	10●	10●	8.7	● $7^1/_4$-n
23	5.3	5.8	5.0	5.4	–2.9	712.3	712.4	713.1	98	94	100	NE 1	E 1	E 0	10●	9	10	2.9	● n–12
24	4.7	10.4	6.8	7.3	–0.8	713.6	713.4	715.1	100	74	89	E 1	WSW 1	NW 1	10	3	10	.	
25	6.1	11.3	5.9	7.8	–0.1	712.8	710.9	713.0	97	73	98	NW 0	**WSW** 1	NNE 0	10	7	3	.	
26	5.6	12.0	7.4	8.3	0.6	715.2	712.3	713.7	100	70	90	ENE 0	ESE 1	NE 0	10	3	5	.	
27	**2.3**	12.4	5.8	6.8	–0.8	714.1	713.3	714.8	100	43	77	NE 0	NE 0	NE 0	1	0	0	.	
28	4.0	14.7	7.3	8.7	1.3	717.3	716.0	718.0	88	41	85	ENE 0	ENE 0	N 0	1	1	3	0.0	
29	6.9	13.2	9.6	9.9	2.7	718.4	718.3	718.5	81	47	66	ENE 0	ENE 0	ENE 0	9	7	4	.	●tr $7^1/_4$
30	6.1	14.3	10.4	10.3	3.3	718.9	716.6	716.3	78	48	60	ENE 0	ENE 0	NE 0	3	8	5	.	
31	9.8	15.3	9.2	11.4	4.5	715.0	712.8	711.6	60	55	100	NE 0	WSW 1	W 0	10	5	10	4.8	● $16^1/_4$-n mU, ⌿ n (31./1.
Mittel	7.3	14.1	9.4	10.3	—	715.6	714.2	715.5	90	59	86				5.9	4.3	4.9	16.4	

$\lambda = 8°\,57'$, $\beta = 46°\,0'$,
$H_b = 276.2$ m, $G = -0.01$ mm.

Lugano

Oktober 1951
Beobachter: *G. Vicari.*

Tag	Lufttemperatur 7³⁰	13³⁰	21³⁰	Mittel	Abweich. vom Normalst	Luftdruck 7³⁰	13³⁰	21³⁰	Relative Feuchtigkeit 7³⁰	13³⁰	21³⁰	Windrichtung und Stärke 7³⁰	13³⁰	21³⁰	Bewölkung 7³⁰	13³⁰	21³⁰	Niederschlag	Witterung
1	14.4	18.4	16.4	16.4	2.0	735.3	735.3	737.6	84	64	81	NNW 1	S 1	NNE 1	10	10	10	1.4	● m (1., 2.)
2	14.4	**22.6**	15.4	17.5	3.3	738.7	738.7	740.5	86	46	79	N 1	S 1	**NNE** 1	9	4	1	.	
3	13.2	**21.4**	16.6	17.1	3.1	741.9	741.2	742.1	81	47	72	N 1	S 1	NNW 1	1	4	8	2.2	● n (3./4.)
4	14.8	15.4	13.8	14.7	0.9	741.9	741.3	740.1	92	57	71	NW 1	W 1	WNW 1	10●	10	10	0.4	● $7^1/_2$–8
5	13.2	17.0	12.8	14.3	0.7	738.1	736.9	736.6	70	41	71	NNW 1	SE 1	N 1	10	8	9	.	
6	12.6	19.4	13.4	15.1	1.7	736.9	737.0	739.0	73	36	68	NW 1	S 1	NNE 1	9	0	5	.	
7	11.6	15.8	12.0	13.1	−0.1	740.1	740.0	741.0	76	43	63	N 1	S 1	N 1	9	9	10	.	
8	11.2	14.8	11.2	12.4	−0.6	742.3	741.9	743.8	60	36	53	NNW 1	S 1	W 1	9	9	10	.	
9	9.8	12.6	8.4	10.3	−2.5	743.4	743.1	743.2	63	52	69	N 1	S 1	N 1	8	9	1	.	
10	8.2	13.2	7.2	9.5	−3.1	741.8	741.5	742.2	75	33	69	NNW 1	WNW 1	N 1	9	6	4	.	
11	7.6	9.4	7.4	8.1	−4.3	741.4	741.3	742.0	66	36	63	N 1	SSW 1	N 1	10	10	10		
12	7.4	13.2	7.2	9.3	−3.0	742.2	741.7	743.9	71	35	66	N 1	SSE 1	N 1	10	8	0		
13	4.8	15.4	8.2	9.5	−2.6	745.2	744.8	745.6	78	37	71	N 1	W 1	N 1	0	0	10	.	
14	8.8	16.0	8.2	11.0	−0.9	744.6	743.1	743.8	77	35	73	W 1	S 1	N 1	9	5	7		
15	8.4	13.0	6.8	9.4	−2.3	745.6	745.9	746.3	68	33	72	N 1	S 1	N 1	9	8	0	.	
16	**4.2**	15.8	7.8	9.3	−2.2	**747.4**	745.5	747.2	83	**31**	68	N 1	S 1	N 1	0	0	0		
17	7.4	13.0	8.8	9.7	−1.6	746.1	744.1	743.2	81	41	83	NNW 1	S 1	N 1	1	9	9	.	
18	8.4	13.4	10.4	10.7	−0.4	741.1	739.9	738.8	81	51	80	N 1	S 1	NNE 1	10	10	10	0.3	◑ n (18./19.)
19	10.2	12.2	10.8	11.1	0.2	737.4	736.8	737.8	90	63	86	N 1	S 1	NE 1	10	10	10◑	0.4	◑ 21–n
20	9.6	18.0	11.8	13.1	2.4	738.2	738.2	739.6	87	56	89	N 1	S 1	NNE 1	9	5	10	.	
21	10.2	14.0	12.8	12.3	1.7	740.0	739.2	738.6	90	71	88	N 1	ENE 1	**NNE** 1	9	10	10	2.9	● n (21./22.)
22	12.4	12.4	8.6	11.1	0.7	736.1	734.3	733.7	96	96	91	S 1	ENE 1	N 1	10●	10●	10●	102.6	● n–n
23	8.2	8.8	8.6	8.5	−1.7	**732.6**	733.8	735.2	91	84	95	W 1	WNW 1	NW 1	10●	10●	10◑	59.9	● n–p, ◑ p–n
24	9.4	15.2	9.6	11.4	1.4	736.7	736.9	736.3	93	56	89	N 1	S 1	WNW 1	10●	2	4	1.4	● n–$10^1/_2$
25	8.8	11.6	8.4	9.6	−0.2	734.8	736.2	737.4	84	89	97	N 1	NNW 1	NNW 1	9	10●	10●	8.1	● $10^1/_2$–16, 21–22
26	5.6	16.0	8.4	10.0	0.4	737.3	735.3	736.8	88	37	76	N 1	S 1	N 1	0	0	0	.	
27	6.4	13.4	10.4	10.1	0.7	736.5	736.9	740.3	83	52	72	NNW 1	SE 1	NE 1	9	9	10	.	
28	10.2	11.8	10.2	10.7	1.5	743.0	743.4	744.2	81	52	77	N 1	N 1	NNW 1	10	10	10	0.1	◑ 19–$19^1/_2$
29	9.2	14.4	10.2	11.3	2.3	744.1	744.2	744.4	80	53	83	N 1	ESE 1	NNW 1	9	8	10	1.4	● n (29./30.)
30	9.8	9.8	9.6	9.7	0.9	744.5	745.1	744.2	95	96	97	N 1	N 1	N 1	10	10◑	10◑	5.5	● ◑ 10–n mU
31	9.4	9.8	9.6	9.6	1.0	741.8	739.3	736.2	97	96	99	N 1	SSW 1	WNW 1	10●	10●	10◑	19.7	● n–p, ● ◑ p–n mU
																		Summe	
Mittel	9.7	14.4	10.4	11.5	—	740.5	740.1	740.7	81	53	78				8.0	7.2	7.4	206.3	

$\lambda = 7°\,35'$, $\beta = 47°\,33'$,
$H_b = 317.3$ m, $G = 0.11$ mm.

Basel

Oktober 1951
Beobachter: *Astronom.-Meteorol. Anstalt.*

1	11.2	**18.4**	14.2	14.6	3.0	731.5	731.5	732.5	98	67	78	WNW 0	E 1	E 1	10≡	7	8	.	≡ 2–0
2	12.1	16.2	13.4	13.9	2.5	734.4	735.2	736.9	97	85	96	NW 1	NW 1	WNW 1	10≡	10	10	.	≡ 1–$9^1/_2$
3	11.5	15.5	12.6	13.2	2.0	738.2	738.3	738.4	96	80	78	WNW 1	N 1	NNE 1	10	10	10	.	≡ 8–$10^1/_2$
4	9.3	17.3	11.5	12.7	1.7	737.3	736.3	735.5	93	72	83	**W** 1	WNW 1	SW 1	8	6	0	.	
5	10.6	17.0	11.5	13.0	2.2	734.1	733.7	733.7	92	70	91	ENE 0	WNW 1	SW 1	8	3	6	.	
6	7.9	13.0	8.2	9.7	−0.9	733.7	733.7	734.6	98	77	95	ENE 0	W 1	SW 1	10≡	2	0	.	≡ 4–$10^1/_2$
7	5.9	10.4	9.0	8.4	−2.0	736.1	736.3	737.8	96	75	82	SW 0	E 1	ENE 1	10≡	10	10	.	≡ $0^1/_2$–$9^1/_2$
8	8.2	12.5	8.2	9.6	−0.6	738.2	738.1	739.4	90	71	78	WNW 1	ENE 1	ENE 1	10	10	0	.	
9	4.1	12.5	5.2	7.3	−2.7	739.1	738.1	738.3	85	51	65	NE 1	E 1	ENE 0	0	0	0	.	△ 1, ☄ 8″
10	2.0	12.6	4.9	6.5	−3.3	738.9	737.6	737.2	96	60	92	E 1	E 1	E 1	0	0	0	.	△ ⌴ 1
11	**0.2**	10.1	3.7	4.7	−4.8	736.2	735.1	735.1	96	59	91	ENE 0	NE 1	E 1	4	1	0	.	≡ $8^1/_2$–10, ⌴ ⌴ 1
12	1.3	12.8	3.0	5.7	−3.6	735.1	735.3	736.0	94	59	96	S 1	NW 1	NE 0	1	0	0	.	△ ⌴ 1
13	3.2	16.9	7.7	9.3	0.2	736.6	736.1	736.5	92	**46**	94	E 1	E 1	E 0	1	3	1	.	△ ⌴ 1
14	2.1	13.4	6.0	7.2	−1.7	736.6	736.1	737.1	96	65	95	ESE 0	S 0	E 0	3	7	0	.	△ ⌴ 1
15	3.6	11.7	4.2	6.5	−2.2	738.8	738.8	740.1	98	70	97	SE 0	NW 0	SSW 1	10≡	0	0	.	≡ $2^3/_4$–$11^1/_2$
16	1.4	11.3	3.2	5.3	−3.2	**740.3**	739.2	739.9	98	70	97	SE 1	NNW 1	S 1	10≡	0	0	.	≡ $2^1/_2$–$9^3/_4$
17	2.2	12.1	6.0	6.8	−1.5	740.0	739.0	738.9	98	69	97	ESE 1	SE 1	SE 0	10≡	5	10	.	≡ $1^1/_2$–$9^1/_2$
18	5.5	11.0	6.0	7.5	−0.6	736.9	734.8	733.5	97	77	91	SW 0	NW 1	WSW 0	10≡	8	9	.	≡ 1–11
19	5.4	15.5	8.8	9.9	2.0	731.4	730.2	731.4	95	62	91	E 0	SE 1	E 1	9	1	9	.	
20	8.0	15.3	11.8	11.7	4.0	733.1	733.5	733.9	92	70	94	SE 1	E 1	NE 1	10	10	10	0.2	● $18^1/_2$–$18^3/_4$
21	9.0	12.0	9.1	10.0	2.5	734.1	734.1	733.5	95	83	94	SE 1	WSW 1	E 1	9	10	6	1.8	
22	9.	8.3	5.8	7.7	0.3	731.5	732.0	734.0	97	96	96	SW 0	NNW 1	NW 1	10●≡	10●	10●	40.8	● $4^1/_2$–24 ≡ 1–$1^1/_2$
23	3.6	4.3	4.4	4.1	−3.1	734.9	734.7	734.9	95	96	90	S 1	E 0	NNW 1	10●	10●	10	0.1	● 0–$15^1/_4$
24	4.0	6.2	6.6	5.8	−1.2	734.7	735.0	735.6	97	96	96	NW 1	NNW 1	NW 1	10	10	10	1.0	● tr a–p mU
25	7.0	8.8	8.8	8.2	1.4	733.6	732.3	732.5	98	95	95	NW 1	NNW 1	W 1	10	10	10	0.4	● tr 13–n mU, ≡ n–$7^3/_4$
26	7.8	8.7	8.2	8.2	1.5	733.6	733.5	733.7	98	96	98	W 0	NW 1	NW 1	10≡	10≡	10	.	≡ 2–$14^3/_4$
27	6.0	13.2	5.5	8.2	1.7	733.5	733.0	734.0	97	62	94	NW 1	S 1	E 1	10≡	1	0	.	≡ $0^1/_4$–$10^3/_4$
28	4.2	12.8	6.7	7.9	1.6	736.4	736.1	737.1	97	70	96	E 2	E 1	E 1	8	0	10	0.0	● n $21^3/_4$ ⊕ 8
29	6.6	15.9	7.9	10.1	3.9	737.9	737.8	737.7	91	58	92	E 1	ENE 1	SE 1	7	3	0	.	☄ $5^1/_2$
30	7.9	16.3	8.0	10.7	4.7	737.3	735.9	735.1	88	61	94	ESE 1	ENE 1	SE 0	7	8	10	0.0	● n (30./31.)
31	7.7	10.1	9.2	9.0	3.1	733.9	732.4	**729.8**	90	95	91	ESE 1	E 1	S 1	9	10●	10	7.5	● 11–15, 17–21, ☄ $17^1/_4$
																		Summe	
Mittel	6.1	12.6	7.7	8.8	—	735.7	735.3	735.6	95	73	91				7.9	5.6	5.6	57.8	

Oktober 1951
Beobachter: *Observatorium.*

Säntis

$\lambda = 9° 20'$, $\beta = 47° 15'$,
$H_b = 2500.1$ m, $G = -0.27$ mm

Tag	Lufttemperatur					Luftdruck			Relative Feuchtigkeit			Windrichtung und Stärke			Bewölkung			Niederschlag	Witterung
	7^{30}	13^{30}	21^{30}	Mittel	Abweich. vom Normalst	7^{30}	13^{30}	21^{30}	7^{30}	13^{30}	21^{30}	7^{30}	13^{30}	21^{30}	7^{30}	13^{30}	21^{30}		
1	4.2	6.5	4.5	5.1	4.0	562.0	562.7	563.9	57	54	74	SSW 2	SE 2	ESE 2	6	6	1	.	
2	4.7	**6.9**	4.2	5.3	4.3	564.8	565.9	566.9	54	52	74	ESE 2	WSW 1	SSE 1	1	1	0	.	
3	4.5	6.4	3.8	4.9	4.0	567.2	**567.7**	567.1	55	54	55	NNE 1	S 1	SSW 2	0	1	1	.	
4	3.9	6.1	2.4	4.1	3.3	566.2	566.0	564.9	35	43	53	**W** 2	SSW 2	SW 1	1	1	0	.	
5	2.3	4.0	1.4	2.6	2.0	562.8	562.9	562.2	51	49	33	NNE 1	N 1	ENE 2	0	1	0	.	
6	2.1	1.4	1.0	1.5	1.0	561.2	562.0	562.9	19	55	72	**NNE** 3	NE 2	ENE 1	0	1	0	.	
7	1.3	2.5	0.0	1.3	0.9	563.1	563.7	564.3	37	72	17	NNE 1	S 1	NW 1	0	1	0	.	
8	0.9	3.0	−1.4	0.8	0.6	564.6	565.6	565.6	8	28	18	NNE 2	N 1	NNE 2	0	1	0	.	
9	−2.7	−1.4	−2.8	−2.3	−2.4	563.9	564.2	564.4	21	24	57	NE 2	NE 1	ESE 2	0	1	0	.	
10	−2.6	−1.0	−2.3	−2.0	−2.0	563.9	563.6	562.4	21	60	**2**	N 2	SE 1	NNE 2	1	2	0	.	
11	−3.9	−1.4	−4.1	−3.1	−2.9	560.6	561.0	560.8	29	56	80	**E** 1	ESE 1	**S** 3	1	1	1	.	
12	−4.8	−0.6	−3.3	−2.9	−2.6	561.0	562.1	563.7	71	61	49	E 3	**S** 2	SW 1	8	2	0	.	
13	−1.7	2.3	0.4	0.3	0.8	564.6	565.6	565.6	61	58	34	WSW 2	S 2	SE 2	3	1	4	.	
14	1.9	3.6	1.9	2.5	3.1	564.3	564.7	565.7	13	23	32	ESE 2	ESE 2	NE 2	3	5	1	.	
15	4.3	5.7	2.4	4.1	4.9	565.8	566.5	567.1	8	7	29	NE 2	E 1	ENE 1	0	0	1	.	
16	3.3	5.7	2.8	3.9	4.8	566.9	567.4	567.6	13	13	26	ESE 2	SSE 2	SE 3	1	1	1	.	
17	2.0	4.1	1.6	2.6	3.7	567.0	566.6	566.4	23	25	79	SSW 1	SE 1	SW 1	9	9	8	.	
18	1.4	5.4	1.8	2.8	4.0	564.1	563.2	561.8	63	42	83	ENE 2	SW 1	SSW 3	9	10	1	0.0	✳fl 16
19	1.3	4.8	2.0	2.7	4.0	562.6	560.8	561.4	88	64	83	SSW 2	**S** 2	SSW 1	2	3	8	.	
20	0.4	4.4	1.5	2.1	3.6	562.6	563.4	564.2	100	71	98	NW 1	S 1	SW 1	9	8	10	0.9	△ ✳ n (20./21.), ≡ 8–9¾ mU
21	0.2	5.4	0.1	1.9	3.5	563.6	563.3	562.7	98	72	100	SE 1	SSW 1	SW 2	8	10≡	4	.	≡ 8–15⅝, 20¾–n mU
22	−0.4	0.7	−4.5	−1.4	0.3	560.3	559.3	558.8	82	98	100	SE 2	S 1	NNE 2	9	10≡*	10≡*	4.1	✳fl 10½–13½ mU, ✳ 13½–n,
23	**−7.6**	−1.4	−0.6	−3.2	−1.3	**558.0**	558.3	560.0	100	84	74	ENE 2	SE 2	ESE 2	10≡*	9	9	0.0	✳fl n-7¾, ≡n-8½, [≡ 12¾-n
24	0.3	1.9	0.4	0.9	2.9	560.4	561.4	562.1	68	59	82	ENE 1	ESE 2	NE 2	8	8	0	.	
25	−0.4	1.4	−0.5	0.2	2.3	560.5	560.2	560.2	65	59	69	NE 2	NE 1	ESE 2	3	6	1	.	
26	−2.3	−0.6	−2.3	−1.7	0.6	56.04	560.5	560.9	67	63	75	SE 1	E 1	ESE 1	1	1	0	.	
27	−1.6	2.7	−1.2	−0.0	2.4	56.05	561.6	563.1	28	27	50	E 1	SSW 2	**S** 1	8	1	1	.	
28	−1.4	0.0	−3.1	−1.5	1.0	564.1	564.3	564.5	44	65	72	NNE 2	SE 1	WSW 2	9	6	1	.	⊕ 10½
29	−2.0	0.6	−1.4	−0.9	1.8	565.2	566.0	566.1	64	66	71	ESE 1	SW 1	SW 2	8	9	6	.	⊕ 16½
30	−1.7	1.8	−0.9	−0.3	2.5	565.6	565.2	564.0	66	60	66	SSW 2	SW 2	SSE 2	7	10	10	.	
31	−1.3	1.0	−2.3	−0.9	2.0	562.7	561.3	558.6	62	69	100	SSW 3	SW 2	SW 2	4	9	10≡	**7.6**	✳ n (31./1.), ≡ 20¼–n
																		Summe	
Mittel	0.2	2.6	0.0	0.9	—	563.2	563.5	563.6	47	53	65				4.2	4.4	2.9	12.6	

Oktober 1951
Beobachter: *E. Chiesa*

St. Gotthard (Hospiz)

$\lambda = 8° 34'$, $\beta = 46° 33'$,
$H_b = 2095$ m, $G = -0.25$ mm

1	4.3	8.3	5.5	6.0	3.0				93	77	99	SE 0	SE 0	SE 0	6	9	3	.	△ l
2	4.9	10.0	5.7	6.9	4.1				100	72	100	SE 0	SE 0	SE 0	10	3	10≡	.	≡ p-n
3	3.7	**11.2**	5.4	6.8	4.2				94	34	100	SE 0	NW 1	SE 0	0	3	10≡	2.9	● p mU, ≡ 16¼-n, ⌴ l
4	4.7	9.0	4.1	5.9	3.4				98	81	97	SE 0	SE 0	SE 0	10	6	3	.	≡ p-n mU
5	0.7	6.0	2.9	3.2	0.9				100	61	100	SE 0	NW 2	NW 1	10≡	0	0	.	≡ n-a
6	0.4	3.2	1.0	1.5	−0.6				100	82	100	SE 1	SE 1	SE 1	10≡	10	10≡	.	≡ n-n mU
7	1.2	5.7	0.9	2.6	0.6				100	73	100	SE 1	SE 1	SE 1	10≡	10■	10≡	.	≡ n-n
8	0.6	5.1	−0.6	1.7	−0.1				71	22	100	NW 1	NW 2	NW 2	0	0	10≡	.	≡ p-n, ⌴ l
9	−1.8	1.3	−2.9	−1.1	−2.7				80	82	100	SE 1	SE 1	SE 1	10≡	9	10■	.	≡ n-n mU, ⌴ III
10	−1.6	1.8	−2.9	−0.9	−2.4				36	43	100	NW 2	NW 2	NW 0	0	0	10■	.	≡ 20⅜-n, ⌴ l
11	−4.1	−2.3	−4.1	−3.5	−4.8				100	100	100	SE 0	SE 1	SE 1	10≡	10≡	10≡	.	≡ n-n, ⌴ V l
12	−3.9	−1.4	−3.2	−2.8	−3.9				90	88	100	SE 1	SE 0	SE 0	9	10≡	10≡	.	≡ a-n mU, ⌴ l, III, V n-
13	−5.1	1.9	−1.9	−1.7	−2.6				80	66	87	SE 0	SE 1	SE 1	0	3	10	.	⌴ l
14	−2.3	0.7	−2.2	−1.3	−2.1				93	84	100	SE 1	SE 1	SE 0	6	6	3	.	≡ a-p mU
15	−3.6	2.3	−0.7	−0.7	−1.3				100	82	29	SE 0	SE 1	SE 0	10≡	3	0	.	≡ n-18½ mU, V l
16	−3.6	4.5	2.8	1.2	0.8				51	51	98	SE 0	SE 0	SE 0	0	0	0	.	⌴ l
17	−0.1	5.7	2.5	2.7	2.5				100	**17**	73	SE 0	SE 0	NW 0	3	6	10	.	
18	1.5	5.4	2.0	3.0	3.0				75	53	78	NW 0	SE 1	SE 0	9	10	10	.	
19	1.1	2.8	1.9	1.9	2.0				100	100	100	SE 0	SE 1	SE 0	10	10≡	10≡	.	≡ a-n
20	1.6	6.8	3.4	3.9	4.2				100	69	100	SE 0	SE 0	SE 0	10	9	10●≡	10.2	● ≡ p-n
21	2.4	2.9	1.4	2.2	2.7				100	97	95	SE 0	SE 1	SE 1	10	10●	10●	30.4	● a-n
22	0.6	0.7	−3.6	−0.8	−0.1				100	100	100	SE 2	SE 1	SE 2	10●	10*≡	10*	**58.7**	● n-a, ✳ a-n, ≡ a-p mU
23	**−6.0**	−3.7	−0.2	−3.3	−2.5				98	100	100	NW 1	NW 1	SE 0	10	10*	10*≡	17.2	✳ a-n, ≡ p-n
24	−0.1	2.7	−0.2	0.8	1.8				100	93	68	SE 0	SE 0	NW 1	10■	10≡	0	.	≡ n-p
25	−0.1	2.7	−0.4	0.7	1.9				60	86	100	NW 1	SE 0	SE 1	3	10≡	10*≡	0.0	✳fl III, ≡ a n
26	−3.0	1.1	−2.9	−1.6	−0.3				81	48	83	SE 0	NW 1	NW 1	0	0	0	.	
27	−2.7	4.5	0.2	0.7	2.2				34	33	42	SE 0	SE 1	SE 1	0	0	0	.	
28	−1.0	0.9	−1.7	−0.6	1.1				100	97	100	SE 1	SE 0	SE 1	10≡	10≡	10≡	3.9	✳fl a-p mU, ≡ n-n, \ III
29	−1.8	2.4	−0.6	0.0	1.8				97	73	100	SE 1	SE 0	SE 1	9	10	10≡	.	≡ 19¾-n, \ l
30	−1.1	−0.6	−0.7	−0.8	1.2				100	100	100	SE 1	SE 1	SE 2	10≡	10≡	10*≡	7.9	♈ 14⅝-n, ≡ n-n, V l
31	−1.3	0.5	−1.6	−0.8	1.4				100	97	100	SE 0	SE 1	SE 1	10*≡	10*≡	10*≡	19.0	✳ ≡ n-n
																		Summe	
Mittel	−0.5	3.3	0.3	1.0	—	—	—	—	88	73	92				6.9	6.7	7.4	150.2	

Barometer defekt

$\lambda = 7°\,26'$, $\beta = 46°\,57'$,
$H_b = 572.2$ m, $G = 0.00$ mm.

Bern

November 1951
Beobachter: *Meteorol. Observatorium.*

Tag	Lufttemperatur 7³⁰	13³⁰	21³⁰	Mittel	Abweich. vom Normalst	Luftdruck 7³⁰	13³⁰	21³⁰	Relative Feuchtigkeit 7³⁰	13³⁰	21³⁰	Windrichtung und Stärke 7³⁰	13³⁰	21³⁰	Bewölkung 7³⁰	13³⁰	21³⁰	Niederschlag	Witterung
1	4.0	5.4	4.6	4.7	−0.5	709.6	709.9	711.1	82	72	90	SSW 2	WSW 2	WSW 2	6	10●	10●	4.5	● o–6¼, 12–24 mU
2	5.1	9.3	4.3	6.2	1.2	712.4	710.9	708.9	94	65	90	SE 1	SE 1	SE 1	10	4	0	1.8	● o–8½ mU, ⌓ III
3	4.0	6.5	4.0	4.8	−0.1	706.8	706.1	708.2	96	72	78	SE 1	SSW 2	SSW 1	10	9	7	1.8	● 4¼–22¾ ml
4	1.1	6.4	2.5	3.3	−1.4	707.1	705.6	705.0	98	59	90	E 0	N 1	SE 1	2	8	0	.	⌊ I
5	0.9	8.6	3.8	4.4	−0.2	706.4	706.5	707.1	95	57	92	SE 1	NW 1	W 1	9	9	9	.	⌊ I, Ψ 18½
6	3.0	6.5	6.8	5.4	1.0	706.8	706.5	706.0	95	79	91	W 1	NE 1	N 1	9	9	9	0.1	⌓ I, III
7	8.5	14.4	7.8	10.2	5.9	705.5	704.7	702.1	83	65	96	SSE 1	NNE 1	W 0	9	8	3	0.0	● 4½–5
8	6.0	9.0	8.4	7.8	3.6	696.2	694.9	697.4	97	87	95	NW 1	WNW 1	W 1	10	10●	10●	5.0	● 6¾, 13½–24 mU
9	6.8	10.7	8.0	8.5	4.5	698.7	698.4	699.0	96	78	100	NE 1	NNE 1	WNW 1	1	9	10≡	.	≡ p–n
10	6.2	9.2	7.7	7.7	3.8	701.3	697.7	699.3	100	83	91	NW 1	NNE 2	SE 1	10≡	9	10	17.5	● 22½–24, ≡ n–a, ⌓ III
11	7.1	8.6	7.6	7.8	4.1	703.4	702.9	698.8	85	85	95	E 1	NE 1	NE 1	1	9	9	20.6	● o–4, 23–24
12	6.4	8.3	6.8	7.2	3.6	696.3	700.0	701.3	83	78	88	WSW 3	WSW 1	S 1	10●	9	9	5.4	● o–12¾, 23–24, ⌓ III
13	6.3	9.5	6.6	7.4	4.0	701.5	702.0	703.2	94	62	84	SSE 1	WSW 3	W 1	10●	9	10●	7.9	● o–24 mU
14	5.4	6.7	5.5	5.9	2.6	706.1	708.5	711.9	88	83	89	S 1	WSW 1	N 1	10	10●	10	6.8	● o–9 mU, 10¾–21½
15	3.6	8.1	3.4	5.0	1.8	713.8	714.3	715.2	97	66	91	S 1	SSW 0	S 1	1	3	6	.	≡ 8–11, ⌓ Ψ III
16	1.5	8.3	3.8	4.5	1.5	714.5	712.8	711.5	92	58	91	S 1	SSW 0	S 1	7	4	1	.	⌊ I, ⌓ III
17	1.6	8.1	5.7	5.1	2.2	709.9	708.6	708.3	97	67	87	SSW 0	N 0	SSE 1	9	10	10	0.3	⌊ I, ⌓ III
18	3.6	8.3	4.8	5.6	2.9	705.0	702.5	700.8	98	74	96	ENE 1	W 1	N 1	8	9	10	0.6	● 1¾–3¼, ⌓ III
19	5.9	6.0	4.6	5.5	2.9	701.0	703.4	705.2	92	92	98	WSW 1	WNW 1	NE 1	10●	9●	10≡	6.6	● 6¾–14¼, 23¾–24
20	5.2	8.1	6.4	6.6	4.2	704.8	705.6	707.1	96	75	92	N 1	N 1	W 1	10	9	10	.	[≡ p–n
21	4.7	10.5	5.8	7.0	4.7	702.7	701.5	703.1	98	75	87	SSE 1	WSW 3	WSW 1	9≡	8●	10●	20.2	● 10–24, ≡ n–a, ⌓ I, ◠ 13½
22	4.2	6.3	3.2	4.6	2.4	705.2	706.0	707.7	93	63	82	W 1	SSW 1	ESE 1	9●	9●	9	0.5	● 0–7¾, 9¼–9¾, ● ✳ 13½
23	0.3	4.7	4.6	3.2	1.2	707.7	707.4	708.0	96	72	76	SE 1	W 0	S 0	2	9	10	7.2	● 23–24, ⌊ I [16¼
24	5.1	10.8	10.1	8.7	6.8	709.7	710.9	711.9	98	77	73	SE 1	WSW 2	WSW 2	10●	10	10	0.4	● o–11¾, 18½
25	4.0	9.7	10.0	7.9	6.2	710.1	709.1	712.0	94	70	78	S 1	WNW 1	WSW 2	5	10	10	5.3	● 14½–20¾, 23–o¼
26	7.2	5.4	2.9	5.2	3.6	715.7	719.2	723.2	83	77	71	W 1	NE 2	NE 1	9	10●	3	0.1	● 13–14
27	−0.7	3.4	0.1	0.9	−0.5	725.1	724.9	724.5	96	73	95	NE 1	N 1	W 1	1	1	0	.	⌊ I
28	−1.4	2.7	1.8	1.0	−0.3	723.1	721.7	718.3	95	80	83	S 0	NE 0	S 0	8	1	10	0.7	⌊ I, ⌓ III
29	2.3	3.8	0.4	2.2	1.0	720.4	723.2	723.0	65	60	82	NW 1	WSW 1	SSE 1	7	8	0	0.0	● 4¼–4¾, ✳ 11½–12½, [⌓ III
30	1.8	0.1	0.8	0.9	−0.1	723.0	722.1	720.9	70	51	85	SE 1	SE 1	SE 0	10	2		.	
Mittel	4.0	7.4	5.1	5.5	—	708.3	708.3	708.7	92	72	88				7.7	7.8	7.2	Summe 113.3	

$\lambda = 6°\,57'$, $\beta = 47°\,0'$,
$H_b = 487.3$ m, $G = 0.02$ mm.

Neuchâtel

November 1951
Beobachter: *Observatorium.*

1	4.4	5.1	5.0	4.8	−1.3	717.3	717.7	718.1	89	83	95	W 2	W 2	W 1	10●	10	10●	7.4	● n–8¼, 14¾–21¾
2	5.9	11.7	6.5	8.0	2.1	719.9	718.5	716.5	93	65	83	W 1	SW 1	W 0	10	3	5	1.8	● 2¾–1¼
3	6.4	7.7	4.5	6.2	0.4	714.0	714.5	715.8	93	83	86	SW 2	SW 3	W 1	10●	9	10●	3.1	● 3¾–21¾ mU, ⌤ II
4	2.6	7.1	2.4	4.0	−1.6	714.7	713.1	712.7	91	71	87	W 0	NW 0	NW 0	8	7	0	.	
5	2.7	8.6	4.4	5.2	−0.3	713.9	713.7	714.5	95	72	89	NW 0	SE 0	NE 0	10	9	8	.	
6	3.6	8.7	7.3	6.5	1.2	714.3	714.0	713.6	97	78	87	NE 0	E 0	NE 0	8	9	10	4.6	
7	8.4	14.9	8.1	10.5	5.3	712.4	711.8	709.2	96	72	92	NW 0	E 1	NE 0	10	7	2	0.3	● 3–7, 8½–9¼
8	7.0	8.8	8.6	8.1	3.1	703.1	701.9	704.6	97	96	96	E 0	SW 0	W 1	10	10●	10●	10.5	● 12¾–21½, ≡ 7¾–9½
9	5.9	9.6	6.9	7.5	2.6	705.9	705.7	706.2	94	90	96	W 0	SW 0	SW 0	1	10	8	.	
10	7.1	11.4	10.2	9.6	4.9	708.5	704.5	706.0	99	72	84	SW 0	E 3	W 0	10≡	9	10	12.2	● 22¼–21½, ≡ a mU, ⌤ II
11	7.5	11.0	9.6	9.4	4.8	710.3	710.0	705.7	94	81	79	NE 1	E 1	E 2	10	10	10	27.9	● 23¾–24
12	6.9	8.7	8.1	7.9	3.5	703.6	707.2	708.5	94	86	89	W 0	SW 2	SW 1	10●	10	10●	5.2	● o–10, 21½–24
13	7.5	7.9	6.0	7.1	2.8	708.6	709.1	710.6	94	92	82	SW 3	SW 3	W 2	10●	10●	10●	3.5	● o–14 mU, 20–23, ⌤ n–p
14	6.1	6.9	6.3	6.4	2.3	713.5	716.3	719.5	82	83	85	W 1	W 2	W 0	10	10●	10●	2.6	● 6¼–21½ mU
15	3.4	9.0	3.3	5.2	1.2	721.4	722.1	723.0	92	73	93	NE 0	S 1	S 0	1	2	1	.	
16	3.4	7.5	3.7	4.9	1.3	722.2	720.5	719.0	97	82	83	SE 0	S 1	SW 0	10≡	2	2	.	≡ n–9
17	3.5	6.6	5.3	5.1	1.4	717.6	716.3	715.6	99	91	96	NE 0	NE 0	SE 0	10≡	10	10	1.1	≡ n–a
18	4.0	7.4	5.6	5.7	2.1	712.3	709.7	707.9	97	93	94	E 0	SW 0	SW 0	10	10	9	5.0	● 1¾–3¾
19	6.4	8.5	5.2	6.7	3.2	708.6	710.5	713.0	93	75	94	SW 3	SW 1	NE 0	10●	3	10	8.0	● 5¾–9, ⌤ I
20	5.5	7.3	6.6	6.5	3.2	712.1	713.2	714.5	97	93	91	N 0	NE 0	SW 0	10●	10	10	1.6	● 0¼–4, 5¼–11¼, ♈ 21¼
21	8.4	10.0	6.7	8.4	5.2	709.9	708.4	710.3	86	81	73	SW 3	SW 4	SW 3	10	9●	10	11.7	● 9¾–19¾, ⌤ n–n, ⌤ II
22	4.2	4.4	3.5	4.0	0.9	712.5	713.5	715.0	87	90	87	SW 1	W 2	W 0	8	8	10	1.1	● 23¼–6½, 8–9, 13–15 mU
23	0.2	5.1	5.7	3.7	0.8	714.9	714.8	715.4	96	81	76	W 0	NW 0	SW 2	10	8	10	10.0	● 22¼–24
24	7.0	10.0	9.9	9.0	6.2	717.4	718.5	719.5	96	88	83	SW 2	SW 3	W 2	10●	10	8	3.7	● o–11½, ♈ 17, ⌤ II
25	6.9	10.6	9.6	9.0	6.3	717.6	716.9	719.8	89	72	88	W 1	W 3	SW 2	3	10	10	3.6	● 22¼–23¾, ⌤ II
26	8.2	7.8	1.8	5.9	3.4	723.2	726.5	731.1	62	53	77	NW 3	N 3	NE 1	10	8	0	.	⌤ n–p
27	−0.2	5.9	0.4	2.0	−0.4	733.1	733.6	732.6	85	67	84	NE 1	E 1	NE 0	0	0	0	.	
28	0.2	5.6	7.3	4.4	2.1	730.8	729.6	726.0	95	76	24	NE 0	S 1	W 3	10	2	10	1.0	⌊ I, ⌤ p–n
29	2.9	5.9	0.8	3.2	1.1	728.4	731.2	731.1	67	52	78	W 2	SW 1	NW 0	8	6	3	.	● 1¾–5
30	3.6	6.9	1.0	3.8	1.8	730.9	729.9	728.8	74	65	91	SW 1	SE 1	E 0	10	1	0	.	
Mittel	5.0	8.2	5.7	6.3	—	715.8	715.8	716.1	91	79	85				8.6	7.4	7.2	Summe 125.9	

November 1951
Beobachter: *Frl. H. Nager.*

Altdorf

$\lambda = 8° 39'$, $\beta = 46° 53'$,
$H_b = 456.3$ m, $G = -0.05$ mm.

Tag	Lufttemperatur 7³⁰	13³⁰	21³⁰	Mittel	Abweich. vom Normalst	Luftdruck 7³⁰	13³⁰	21³⁰	Relative Feuchtigkeit 7³⁰	13³⁰	21³⁰	Windrichtung und Stärke 7³⁰	13³⁰	21³⁰	Bewölkung 7³⁰	13³⁰	21³⁰	Niederschlag	Witterung
1	6.3	7.9	5 4	6 5	−0.4	718.1	719.2	720.8	88	45	100	E 0	NW 1	NW 0	10	10●	10●	19.8	● a-n
2	4.8	7.8	2.6	5.1	−1.6	722.8	721.2	719.9	100	98	100	NW 0	E 0	E 0	10●	9	0	1.1	● n-a
3	3.8	6.3	5.0	5.0	−1.6	716.9	717.0	717.9	100	100	97	E 0	NE 0	E 0	10	10●	8	3.0	● a-p
4	7.2	9.7	10.3	9.1	2.6	717.6	714.7	715.2	99	36	31	E 0	SE 0	S 2	0	4	0	.	
5	12.7	15.9	15.3	14.6	8.3	715.9	715.6	717.0	33	33	31	E 2	SE 3	S 3	7	8	8	.	⸗ a-n
6	16.5	18.7	18 3	17.8	11.6	717.5	717.5	717.7	32	31	32	E 3	SE 2	E 2	10	10	7	.	⸗ n-a
7	16.8	**20.0**	17.3	18.0	11.9	715.8	714.1	712.0	34	**29**	30	SW 2	SE 2	SE 0	10	7	7	0.0	●tr a
8	16.8	16.7	11.2	14.9	9.0	706.8	**704.2**	707.4	35	43	100	SE 2	E 1	NW 0	10	10	10●	8.8	●tr a, ● 19¹⁵-n
9	9.4	17.2	16.5	14.4	8.6	709.2	706.7	709.8	100	34	30	E 0	SE 2	SE 2	8	6	8	.	
10	17.5	19.8	15 8	17.7	12.1	709.9	707.6	708.2	30	30	47	SE 2	SE 3	SE 2	10	8	10	**30.1**	⸗ ll
11	6.9	10.1	8.7	8.6	3.1	714.2	712.1	708.0	100	74	100	S 0	NW 0	NW 0	10●	10	10●	8.5	● n-n mU
12	8.7	8.9	7.1	8.2	2.8	705.1	709.1	711.1	100	100	95	NW 0	NW 0	E 0	10●	10●	8	3.3	● n-p ml
13	5.9	9.7	6.3	7.3	2.1	711.1	711.5	712.8	97	75	98	E 0	E 0	W 0	10	10●	7	0.4	●tr ll, ● n (13., 14.)
14	6.4	7.6	6.3	6.8	1.7	716.1	717.6	721.8	100	93	100	W 0	W 0	E 0	10●	10●	10●	9.2	● n-n
15	5.8	9.1	3.7	6.2	1.2	724.0	724.5	726.1	100	67	88	W 0	NW 0	E 0	10	5	2	.	
16	1.2	8.3	3.6	4.4	−0.4	724.7	723.3	721.1	89	63	98	E 0	NW 0	NW 0	4	3	3	.	
17	3.5	8.4	11.2	7.7	3.0	719.9	718.5	718.0	100	80	31	NW 0	N 0	SE 2	10	10	8	.	
18	13.5	15.9	14.8	14.7	10.1	715.4	713.6	717.0	32	**29**	**29**	S 2	S 3	S 4	5	7	8	0.4	⸗ a-n, ⸗ III
19	13 4	8.3	6.9	9.5	5.1	708.9	713.4	715.7	46	100	100	SE 2	NW 0	E 0	10●	10●	10●	28.1	● n-n mU
20	7.4	9.2	7.6	8.1	3.8	713.7	715.1	717.4	99	74	99	N 0	NW 0	NW 0	10	9	6	0.2	◕ a
21	5.4	10.2	7.1	7.6	3.4	712.1	710.1	712.4	100	80	100	NW 0	N 0	NW 0	8	8	10●	2.2	● 18-n mU
22	5.9	6.3	5.3	5.8	1.8	714.0	715.9	718.1	93	76	60	E 0	NW 0	N 1	10	8	8	1.4	● n (22. 23.)
23	3.6	6.9	4.9	5.1	1.2	717.7	717.0	718.0	92	58	81	NE 0	N 0	NW 0	10	6	8	12.5	
24	6.8	9.2	8.2	8.1	4.4	719.3	721.1	721.8	100	100	100	E 1	E 0	E 0	10●	10●	10	6.5	● n-p
25	4.7	10.1	8.3	7.7	4.1	719.2	718.2	721.8	100	72	100	W 0	W 0	W 0	7	10	10●	5.3	● $16^{8}/_{4}$-n
26	7.8	5.9	5.2	6.3	2.8	725.4	728.8	733.5	96	78	91	E 1	N 2	W 0	10●	10●	10●	6.9	● n-n
27	1.1	5.4	0.0	2.2	−1.1	**738.1**	735.7	735.0	90	55	95	SE 0	NW 0	SE 0	7	0	0	.	
28	**-0.5**	4.7	2.1	2.1	−1.1	733.5	732.4	727.6	97	80	90	E 0	NW 0	NW 0	0	0	6	4.9	● n (28. 29.)
29	4.0	3.9	0.7	2.9	−0.2	729.9	732.5	733.6	55	64	75	NW 2	NW 2	E 0	10●	10	7	1.0	● ✳ n-a mU
30	1.6	5.4	0.4	2.5	−0.4	733.2	732.9	731.9	87	63	100	E 0	E 0	**E** 0	10	8	0	.	
Mittel	7.5	10.1	7.9	8.5	—	718.1	718.0	719 0	81	65	78				8.5	7.9	7.0	Summe 159.6	

November 1951
Beobachter: *Observatorium.*

Genève

$\lambda = 6° 9'$, $\beta = 46° 12'$,
$H_b = 405.0$ m, $G = -0.03$ mm.

1	5.4	6.0	6.0	5.8	-1.1	725.8	727.1	727.7	81	88	94	S 0	SSE 1	E 0	8	9	10●	3.0	● p-n
2	5 4	10.5	4.8	6.9	0.2	728.3	726.6	724.7	94	71	90	S 0	SSW 1	S 1	5	3	10	2.0	● n (2. 3.)
3	7.5	6.5	3.6	5.9	-0.7	722.7	723.5	723.7	92	79	90	SW 0	SSW 1	E 0	10	10●	3	6.1	● p mU
4	8.0	10.8	4.0	7.6	1.2	721.9	719.6	719.3	89	68	83	E 0	NNE 1	E 0	9	0	0	.	.
5	2.6	8.4	4.0	5.0	−1.3	721.4	721.1	721.1	89	75	93	E 0	NNE 0	E 0	6	8	10	.	.
6	3 6	13.0	10.2	8.9	2.8	721.6	720.7	720.4	97	70	92	E 0	NNE 1	E 0	11	8	10●	7.0	● p-n
7	9.6	**13.8**	10.2	11.2	5.2	719.8	718.3	715.0	97	84	95	ENE 0	NNE 0	E 0	10	6	9	.	
8	8.0	9.5	8.0	8.5	2.6	710.0	**708.5**	711.6	100	97	100	E 0	SSW 0	ESE 0	10≡	10	10	15.0	● n-n mU, ≡ n-a
9	5.4	10.3	8.0	7.9	2.2	713.0	712.6	713.8	100	85	94	E 0	NNE 0	SSE 1	10≡	9	10	.	≡ n-a
10	7.5	11.2	9.4	9.4	3.8	714.0	710.7	713.6	91	85	95	S 0	**S** 1	S 0	10	10	10●	**25.0**	● p-n
11	6.5	11.0	9.0	8.8	3.3	714.8	715.9	713.2	94	87	89	ESE 0	ESE 1	S 1	9	9	10●	15.0	● p-n mU
12	7.8	11.2	10.0	9.7	4.4	714.4	714.8	716.0	94	80	80	E 0	S 1	S 2	10	8	10●	4.3	● p-n
13	9.2	10.4	9.2	9.6	4.4	717.4	717.4	718.9	79	74	84	SE 1	**S** 1	S 1	10	10●	10	1.3	● p mU
14	6.8	8.0	7.0	7.3	2.2	722.7	724.0	728.2	88	77	85	E 0	NE 0	**ENE** 0	10	10	10●	1.3	● abb
15	4.0	9.4	4.6	6.0	1.1	728.7	729.1	729.9	93	69	83	NE 0	NE 0	ENE 1	10	5	0	.	
16	2.0	9.0	6.2	5.7	0.9	729.5	727.6	726.5	96	73	91	E 0	NE 0	NNE 0	7	8	1	.	
17	6.8	8.5	7.2	7.5	2.8	724.5	723.8	722.1	85	82	83	NNE 0	**ENE** 0	NNE 1	9	9	10	.	
18	6 2	9.5	7.8	7.8	3.2	718.7	716.9	713.8	94	82	91	**E** 0	S 0	S 0	9	10	10●	18.5	● abd-n
19	5.0	9.0	4.2	6.1	1.7	712.9	716.0	717.7	87	71	90	**S** 0	S 1	S 0	10	10	10●	15.0	● p-n
20	3.6	7.7	6.6	6.0	1.7	720.9	720.7	722.2	93	91	94	E 0	E 0	ESE 1	10●	10●	10●	2.7	◕ n-n
21	10 4	13.7	6.2	10.1	5.9	718.7	717.2	718.5	80	65	82	S 2	**S** 2	S 2	10	7	9	10.0	● a, n (21. 22.)
22	5.6	8.0	4.0	5.9	1.8	721.9	720.9	722.5	81	72	90	E 0	NNE 1	E 0	9	8	1	.	
23	0.2	6.2	6.2	4.2	0.3	722.8	721.9	723.7	96	70	91	E 0	NNE 1	E 0	9	1	10	1.3	● n (23. 24.), ⌴ l
24	6.5	13.0	9.0	9.5	5.7	726.7	726.9	727.1	94	77	89	NNE 1	S 1	E 0	10	9	8	.	
25	3 5	10.5	11.0	8.3	4.6	725.9	725.0	727.9	91	75	80	**E** 0	ESE 1	S 0	10	10	8	.	
26	9.4	9.8	4.0	7.7	4.1	731.8	733.8	738.7	92	**59**	76	E 0	NNE 1	E 0	9	9	3	.	
27	2.3	6.1	2.5	3.6	0.2	**740.8**	739.9	739.9	79	64	93	E 0	NNE 1	E 0	1	1	1	.	
28	**-1.4**	7.8	6.0	4.1	0.8	738.5	736.5	734.7	88	67	85	E 0	ESE 1	NNE 1	0	1	7	.	
29	5.0	6.2	1.5	4.2	1.0	736.7	737.8	738.3	84	82	87	E 0	NNE 1	E 0	2	6	5	.	
30	4.0	7.4	1.5	4.3	1.2	738.9	736.7	735.6	83	83	91	E 0	ENE 1	E 0	1	1	2	.	
Mittel	5.5	9.4	6.4	7.1	—	723.5	723.1	723.5	90	77	89				8.1	7.2	7.2	Summe 127.5	

$\lambda = 8°\ 34'$, $\beta = 47°\ 23'$,
$H_b = 569.4$ m, $G = 0.03$ mm

Zürich

November 1951
Beobachter: *Meteorol. Zentralanstalt.*

Tag	Lufttemperatur 7³⁰	13³⁰	21³⁰	Mittel	Abweich. vom Normalst	Luftdruck 7³⁰	13³⁰	21³⁰	Relative Feuchtigkeit 7³⁰	13³⁰	21³⁰	Windrichtung und Stärke 7³⁰	13³⁰	21³⁰	Bewölkung 7³⁰	13³⁰	21³⁰	Niederschlag	Witterung
1	4.4	4.8	3.9	4.4	−0.7	709.3	709.9	710.7	75	76	87	SW 2	WSW 2	SSW 2	10	10●	10·	6.7	● n–7½, mU, 12¼–n mU
2	5.4	7.2	3.9	5.5	0.6	712.3	711.6	710.0	90	88	90	SSW 1	SSW 1	SSE 1	10	9	0	7.9	● 9–11
3	4.6	5.9	3.5	4.7	−0.1	707.1	707.7	708.8	91	89	83	SSW 1	SSW 1	WNW 2	10●	10●	3	3.0	● 5³/₄–17½ mU, 22¼
4	1.8	11.4	3.7	5.6	1.0	708.4	706.5	705.9	91	**35**	74	SSE 1	ESE 1	SE 1	3	3	0	0.0	⌊ l
5	1.7	10.3	6.1	6.0	1.5	706.9	706.8	707.5	85	58	84	ENE 1	NNE 1	NE 1	9	9	9	.	
6	4.2	10.9	10.4	8.5	4.2	707.5	707.9	707.3	89	66	66	NNE 1	NE 1	ENE 1	9	9	10	.	
7	10.9	**15.8**	9.7	12.1	7.9	706.4	705.8	702.6	66	54	86	SSE 1	ENE 1	NE 1	8	7	9	0.0	●tr 0
8	10.2	11.4	8.9	10.2	6.2	696.7	**694.7**	697.1	68	84	95	SE 1	S 1	WSW 1	10	10●	10●	6.1	● 13¼–13½, 19–24
9	7.8	12.6	8.6	9.7	5.8	699.0	698.7	699.0	95	69	86	E 1	ENE 2	NNE 2	7	8	8	0.0	● 0–6½ mU
10	8.1	11.1	10.1	9.8	6.1	702.0	699.2	699.0	84	72	72	NE 1	NE 2	WNW 2	10	9	9	8.7	
11	6.4	10.5	7.9	8.3	4.7	704.4	701.1	699.7	93	82	94	SW 1	NNE 1	ENE 1	5	9	10	1.8	● 2–5¼
12	7.0	7.4	7.9	7.4	4.0	**694.7**	698.9	701.3	87	82	75	SSW 2	SSW 2	WSW 1	10●	10●	10	4.8	● 1½–13½ mU, ⌐ 11½
13	7.7	9.3	7.5	8.2	4.9	701.3	701.9	702.9	81	68	68	SW 2	SW 2	SSW 2	10●	9	10	2.5	● 2¼–3¼, 7½–10, ⌐ 18–n
14	5.7	6.2	5.2	5.7	2.6	705.9	708.0	711.6	83	82	92	SSW 1	SW 2	SSW 2	10	10●	10●	4.3	● 0½–0¾, 12–13½, 19–1¼
15	5.5	10.2	4.2	6.6	3.6	714.0	714.5	715.3	90	60	94	S 1	WSW 1	ESE 1	10	2	3	0.0	⌐ 17
16	1.3	9.3	4.2	4.9	1.1	714.6	713.3	711.6	98	52	86	SSE 0	SSW 1	NW 1	7	4	7	0.0	⌊ l
17	3.6	8.0	5.6	5.7	0.0	710.8	709.5	709.1	88	67	90	SSE 1	S 1	S 1	7	9	9	0.1	⌊ l
18	5.8	10.9	13.8	10.2	7.7	705.7	702.4	700.9	74	66	39	NE 1	NE 1	S 1	4	9	9	.	
19	6.4	6.5	5.1	6.0	3.6	699.5	703.7	705.7	91	85	99	WNW 2	SW 1	NE 1	4	10●	10	1.2	● 9¼, 12–14¾, ≡ 19–20, 23–n
20	3.7	7.4	5.3	5.5	3.3	704.4	705.7	707.2	99	77	89	NNW 1	W 1	S 1	1	10	5	.	≡ 7–7½, 7¾–8¼
21	6.4	9.4	5.1	7.0	4.9	702.5	700.8	702.5	84	77	92	SW 1	SSW 3	SSW 2	8	8●	10	7.0	● 11–22¼ mU ⌐ 17
22	4.3	6.7	3.2	4.7	2.8	704.8	705.9	707.7	87	61	79	WSW 2	SSW 2	SW 1	10●	8	10	1.3	● 0–9 mU, 17–18¾ ⌐ 0
23	3.5	6.7	5.1	5.1	3.3	707.6	707.1	706.6	77	57	66	SSW 1	SSW 1	SSW 1	10	8	10	**13.6**	
24	5.2	9.8	10.1	8.4	6.8	708.7	710.3	711.8	99	89	72	S 1	SSW 2	SSW 2	10●	10●	9	3.6	● 0¼–13¾
25	7.9	11.6	9.0	9.5	8.0	709.6	708.8	711.5	71	55	91	SSW 1	WSW 3	WSW 3	6	10	10●	6.4	● 10¾–0¾, mU ⌐ 17
26	6.4	5.3	1.7	4.5	3.2	716.4	719.4	723.6	88	81	87	WNW 1	NNW 1	**NNE** 1	10	10	9	1.6	● 0½–16¾, 15¼–16
27	**−1.8**	4.4	−0.6	0.7	−0.5	**725.7**	**725.7**	724.7	97	66	77	ENE 1	ENE 1	NE 1	0	1	0	.	≡ 8¾–9¾
28	−0.2	4.3	2.2	2.2	1.2	722.9	721.6	717.5	98	68	87	SSW 1	SSW 1	WNW 2	10≡	1	10	3.5	≡ 2–11¼
29	0.9	2.5	1.0	1.5	0.6	720.0	722.7	722.6	87	80	85	W 1	SW 2	SW 1	9	9	9	0.3	● 2–4¼ mU, ∿ 5½
30	2.0	3.9	0.7	2.2	1.4	722.3	722.8	721.1	70	71	96	SSW 2	S 1	S 1	10	10	0	0.1	● ✶ n–7, ✶ 11½–12
Mittel	4.9	8.4	5.8	6.4	—	708.4	708.4	708.8	86	71	83				7.9	8.0	7.6	Summe 84.5	

$\lambda = 6°\ 32'$, $\beta = 46°\ 51'$
$H_b = 1589$ m, $G = -0{,}13$ mm

Chasseron

November 1951
Beobachter: *R. Colomb*

1	−3.7	−3.0	−2.0	−2.9	—	624.7	625.1	626.3	100	100	100	W 3	WNW 3	NNW 3	10≡	10≡	10*≡	19.1	✶ n–7, 9¼–11⅜, 14½–n, *)
2	−1.1	0.0	−1.4	−0.8	—	627.7	627.2	625.2	100	98	95	NW 2	W 2	SSW 2	10≡	6	5	6.2	✶ n–7¼, 8–8¾, ≡ n–8¼
3	−1.1	−2.0	−3.6	−2.2	—	622.3	623.0	623.4	100	100	100	W 4	W 4	W 3	10*≡	10≡	10*≡	6.1	✶ n–11¾, 17½–n, ≡ ⌐ n-n
4	−3.9	−2.0	−0.6	−2.2	—	622.1	621.3	620.9	100	80	87	SSE 3	SSE 3	SE 3	6	7	2	.	⌐ n–n
5	0.9	3.4	3.4	2.6	—	622.6	623.7	624.0	63	57	63	SE 3	SSE 2	SE 3	6	8	9	.	⌐ a, p–n
6	4.3	7.4	7.4	6.4	—	624.4	624.8	624.8	59	53	52	SE 3	SSE 3	SSE 2	6	9	9	7.9	● n (6./7.), ⌐ n–p
7	5.9	**8.3**	5.8	6.7	—	623.3	623.1	620.9	82	81	76	S 3	SSE 2	SE 2	9	6	2	.	⌐ l
8	5.6	5.8	2.2	4.5	—	614.8	614.4	615.4	70	87	95	SSE 2	SSW 2	WSW 2	10	10●	10	18.0	● 11¾–19¾
9	1.3	2.3	4.0	2.5	—	616.2	616.4	617.5	98	90	75	SSE 3	ESE 2	SSE 2	6	7	7	.	⌐ l
10	3.6	7.0	1.1	3.9	—	619.0	616.1	617.4	95	60	99	ESE 2	SE 3	WNW 3	10	8	10●*≡	18.2	● ✶ 18¾–n, ≡ 17½–n, ⌐ n-n
11	1.6	3.2	2.4	2.4	—	620.2	620.5	617.4	98	90	86	SSE 2	ESE 2	ENE 2	10≡	8	10*●	**28.3**	● ✶ 20–n, ≡ n–10¾
12	−1.0	1.0	0.4	0.1	—	**614.0**	617.6	618.6	100	98	99	WNW 4	WSW 2	SSW 2	10*≡	7	10*≡	9.2	● ✶ n–11¼, 21–n, *)
13	−0.2	−0.1	−2.0	−0.8	—	618.2	618.8	619.4	100	100	100	W 3	WSW 3	W 4	10*≡	10*≡	10*≡	11.5	● ✶ n–15, 17¾–n, ≡ ⌐ n-n
14	−1.9	−1.4	−1.2	−1.5	—	622.1	624.4	627.5	100	100	100	WNW 3	W 3	WNW 3	10*≡	10*≡	10≡	8.4	✶ n–20¼, ≡ ⌐ n–n
15	−3.7	−0.2	3.0	−0.3	—	629.1	630.0	630.8	90	81	36	W 1	S 1	W 2	1	2	4	.	
16	5.7	8.0	7.0	6.9	—	630.4	629.6	628.4	29	35	33	WSW 2	WSW 2	SSW 3	6	4	6	.	⌐ p–n
17	4.4	3.3	3.0	3.0	—	626.4	625.4	625.0	42	57	76	SSW 3	SW 3	WSW 3	9	9	9	.	⌐ n–n
18	2.3	4.0	5.2	3.8	—	622.0	619.9	619.4	70	68	55	SSE 3	S 4	SSE 2	7	9	9	6.6	✶ n (18. 19.), ⌐ n–p
19	−1.4	−0.2	1.2	−0.1	—	618.0	619.9	621.9	99	90	56	SSE 2	WSW 2	W 2	10*≡	2	9	5.3	✶ n–9¼, ≡ 5½–9¾
20	−1.3	1.1	0.6	0.1	—	621.4	622.4	623.6	99	98	100	ENE 2	W 2	WSW 3	10*≡	9*	10●≡	7.1	● ✶ n–16¾, ● 19–n, *)
21	4.3	2.0	−2.1	1.4	—	619.8	618.8	617.5	67	98	100	SSW 5	SSW 4	WNW 5	7	10	10*≡	19.6	● ✶ 8¾–12¾, ✶ 14–n, *)
22	−3.5	−3.2	−4.0	−3.6	—	620.8	621.1	623.0	100	100	100	NW 3	W 4	NNW 2	10≡	10*≡	10≡	4.7	✶ 10½–14½, 17–17½, *)
23	−3.7	−5.1	1.6	−2.4	—	622.0	622.9	624.2	89	80	100	W 2	WSW 2	WSW 3	3	6	10●	24.3	● 20¼–n, ≡ 17¼–n, ⌐ p–n ✶
24	3.3	3.2	2.1	2.9	—	626.4	627.9	628.7	100	100	100	WNW 4	WNW 4	W 3	10●≡	10●≡	10≡	16.1	● n–17¼, ≡ ⌐ n–n
25	4.1	3.7	2.2	3.3	—	627.1	627.0	628.4	60	78	100	W 4	W 4	W 4	4	10●	10●≡	13.6	● 13¼–n, ≡ 15–n, ⌐ n–n
26	−1.0	−2.8	−5.1	−3.2	—	630.5	633.6	636.2	100	100	100	WNW 3	NW 2	ENE 2	10≡	9	5	.	≡ n–11¼, ⌐ n–a
27	−4.0	0.8	1.0	−0.7	—	638.2	**638.7**	638.4	47	45	**20**	ENE 2	ENE 1	E 2	0	0	1	.	
28	1.2	2.0	2.7	0.2		637.4	636.6	633.7	29	42	45	SSE 2	W 3	W 4	1	3	9	3.3	✶ n (25. 29.). ⌐ a–n
29	−6.7	−5.0	−5.9	−5.9	—	633.6	636.6	636.4	100	91	75	NW 2	NE 1	NW 1	10≡	5	3	0.6	✶ n (29./30.), ≡ n–11
30	−2.9	−2.0	**8.3**	1.1	—	636.6	636.5	635.6	100	91	**20**	WNW 2	NNE 1	NE 1	10	3	1	0.5	✶ n–10, ≡ 4
Mittel	0.2	1.3	1.0	0.8	—	624.4	624.8	725.0	83	82	78				7.7	7.2	7.7	Summe 232.6	

*) 1. ≡ ⌐ n–n 12. ≡ n–13, 17¾–n, ⌐ l 20. ≡ n–11¾, 17¼–n, ⌐ p–n 21. ≡ 15–n, ⌐ n–n, ⌐ I, III 22. ≡ n–n, ⌐ n–p

November 1951
Beobachter: *B. Minsch und C. Clavuot*

Bever

$\lambda = 9° 53'$, $\beta = 46° 33'$,
$H_b = 1711.8$ m, $G = -0.23$ mm

Tag	Lufttemperatur 7³⁰	13³⁰	21³⁰	Mittel	Abweich. vom Normalst	Luftdruck 7³⁰	13³⁰	21³⁰	Relative Feuchtigkeit 7³⁰	13³⁰	21³⁰	Windrichtung und Stärke 7³⁰	13³⁰	21³⁰	Bewölkung 7³⁰	13³⁰	21³⁰	Niederschlag	Witterung
1	-0.5	-1.5	-2.8	-1.6	-1.1	612.9	614.3	615.3	98	61	97	NW 3	NE 2	S 1	10*	10*	10*	5.1	✳ n-n mU
2	-1.8	2.2	-7.5	-2.7	-2.0	617.7	617.8	618.1	90	56	90	NE 0	N 0	SW 0	10*	10	4	0.9	✳ n-9½
3	-8.1	2.8	-2.4	-2.6	-1.7	616.0	614.0	614.2	97	60	96	SW 0	SW 0	NE 1	5	10	10*	5.6	✳ 15½ n
4	-9.7	-1.6	-10.8	-7.4	-6.3	614.9	615.0	617.5	93	65	97	SW 0	W 0	S 0	3	2	1	.	
5	-4.0	4.4	2.3	0.9	2.2	619.0	619.4	621.2	93	68	85	S 0	SW 0	SW 0	10	10	8	.	
6	2.2	6.3	4.0	4.2	5.7	621.8	621.6	621.9	85	68	83	S 0	SW 1	SW 0	10	8	7	1.6	● n (6./7.)
7	3.2	7.1	3.1	4.5	6.2	618.5	617.8	616.1	89	74	99	SW 1	SW 1	N 0	10●	7	10	15.2	● n-9¼, 20 n mU
8	2.6	3.6	1.5	2.6	4.5	612.1	609.7	608.0	99	99	98	S 0	NE 0	SE 1	10●	10●	10●	38.3	● n-n
9	0.7	5.1	2.3	2.7	4.8	609.7	612.0	614.9	99	74	92	SW 0	SW 1	SE 0	10●	8	10	1.0	● n-11
10	2.2	6.5	6.2	5.0	7.3	615.4	614.7	613.6	96	69	78	SW 0	S 1	SW 1	8	10●	10●	20.8	● a-n mU
11	1.4	5.8	4.9	4.0	6.5	614.3	613.3	610.5	99	83	92	S 0	SW 0	NE 1	10●	10●	10●	24.3	● n-n mU
12	0.8	3.3	-1.0	1.0	3.7	**604.0**	607.0	610.5	98	84	97	SE 1	SW 1	W 0	10*	10	2	6.5	● n-7, ✳ 7-a
13	-2.4	3.4	-0.8	0.1	3.0	610.4	610.7	611.6	98	74	91	W 0	SE 0	W 0	9	9	10	.	
14	-4.7	3.1	-1.1	-0.9	2.2	612.7	616.5	616.4	95	81	98	SW 0	SE 1	E 0	4	10	10*	4.4	✳ 18¼-n
15	-1.7	1.6	-7.7	-2.6	0.7	619.2	620.9	623.2	98	56	88	SW 0	W 1	NW 0	10	4	2	.	
16	-8.8	2.9	-3.2	-3.0	0.5	624.0	622.6	622.4	94	58	88	S 0	W 0	SW 0	2	3	4	.	⌊
17	-3.2	4.4	0.4	0.5	4.2	620.9	619.2	620.3	94	**44**	74	SW 0	SW 2	S 0	9	10	5	0.2	✳ n (17./18.), ⌊
18	-0.2	3.1	1.2	1.4	5.3	618.9	617.6	617.1	98	84	97	SW 0	SW 1	SW 1	10	10*	10*	3.7	✳ a-n mU
19	3.7	3.4	2.1	3.1	7.2	613.6	613.8	614.7	78	94	89	SE 0	SW 0	SE 1	10	10●	10●	14.7	● 8-n mU
20	4.1	6.0	2.4	4.2	8.5	616.6	615.6	615.5	81	74	83	SW 1	SW 0	SW 0	10●	10●	10●	7.5	● n-n mU
21	2.7	3.5	3.0	3.1	7.6	614.8	612.3	610.5	96	97	97	S 0	W 1	SW 0	10●	10●	10●	12.2	● n-n mU
22	-1.6	-1.2	-2.8	-1.9	2.8	611.1	611.4	613.2	90	76	62	NW 1	N 1	N 1	10*	10*	10*	1.2	✳ n-n mU
23	-8.8	-0.7	-6.8	-5.4	-0.5	613.3	613.7	615.3	87	53	87	W 0	NE 0	NE 0	1	0	0	4.1	● ✳ n (23./24.)
24	-1.6	2.9	-2.2	-0.3	4.8	617.4	618.3	620.3	98	80	100	S 0	NE 0	W 0	10*	10	5	)	⛆ a
25	-4.2	3.6	0.0	-0.2	5.1	619.9	618.7	619.1	99	70	87	S 0	SW 0	S 0	10	10	6	1.1	⌊
26	1.2	2.6	-2.8	0.3	5.8	621.4	622.8	626.3	76	49	69	SW 0	W 0	W 0	9	8	3	)	✳ 14¼-17½
27	-12.2	1.8	-7.2	-5.9	-0.2	629.7	630.0	**630.2**	87	58	66	SW 0	SW 0	N 0	0	0	0	.	⌊
28	-10.0	1.5	-4.3	-4.3	1.6	629.2	626.5	622.9	96	63	77	S 0	SW 0	S 0	0	0	10	1.5	✳ n (28./29.), ⌊
29	-5.9	-3.8	-10.0	-6.6	-0.6	620.7	623.8	626.1	87	48	71	E 0	NE 3	NE 1	10*	9*	0	1.1	✳ n-16
30	**-14.7**	3.3	-6.1	-5.8	0.4	625.4	626.5	628.2	98	59	99	SW 0	NW 1	SW 0	8	9	0	.	⌊ I, III
Mittel	-2.6	2.8	-1.5	-0.4	—	617.2	617.3	617.8	93	69	88				7.9	7.9	6.6	Summe 169.0	

November 1951
Beobachter: *Couvent des Capucins.*

Sion

$\lambda = 7° 21'$, $\beta = 46° 14'$,
$H_b = 548.6$ m, $G = -0.11$ mm.

1	4.4	7.8	5.8	6.0	-0.6	713.0	712.5	713.8	93	65	99	WSW 1	W 2	WSW 0	9	9	10●	4.5	● 18-n
2	4.8	10.6	5.2	6.9	0.4	715.0	713.6	713.2	100	62	87	NW 0	S 0	NE 0	8	2	7	.	
3	3.7	6.7	3.0	4.5	-1.8	711.0	710.6	711.9	90	84	100	NE 0	NW 0	NW 1	10	10	10	2.9	● 9-12, 16-20
4	0.8	8.5	5.1	4.8	-1.4	711.2	709.2	709.4	96	47	60	NW 1	ENE 0	ENE 2	9	2	0	.	⌊
5	5.4	12.4	7.7	8.5	2.5	711.6	711.4	712.6	57	44	61	NE 1	NE 0	NE 1	8	9	9	.	
6	8.8	12.3	13.3	11.5	5.7	713.2	711.9	710.8	59	41	52	NE 2	ENE 1	NE 2	8	7	9	0.3	● 17-18¼, ⸗ p
7	10.0	**18.0**	10.7	12.9	7.2	709.6	707.9	706.2	95	42	62	ENE 0	E 1	SE 1	2	4	1	.	
8	12.4	14.0	9.2	11.9	6.4	701.0	**698.6**	699.9	62	55	98	ENE 1	ENE 2	NW 1	10	10	10●	8.8	● 14½-n
9	6.5	13.2	12.2	10.6	5.2	702.5	702.5	703.3	96	58	50	NE 0	E 0	NW 2	1	7	4	.	
10	12.9	15.7	10.7	13.1	7.9	704.2	702.2	702.8	52	45	76	NE 2	ENE 5	NE 3	10	9	10●	**29.1**	● 18-n, ⸗ a-n
11	6.5	11.6	8.5	8.9	3.9	706.6	705.7	701.2	97	68	100	NE 1	ENE 0	NE 0	5	9	10	15.2	● 17-20
12	7.1	10.6	6.8	8.2	3.3	700.9	703.1	704.8	100	73	92	E 0	E 1	ENE 0	9	8	9	1.6	● n (12./13.)
13	6.2	9.7	7.6	7.6	2.9	705.3	705.7	706.3	100	69	91	NE 0	ENE 1	WNW 0	10●	8	10●	2.8	● n-a, 21-n
14	5.8	8.6	6.4	6.9	2.4	709.6	711.2	714.0	100	70	85	W 1	WSW 2	WSW 2	10●	10	10	0.3	● n-8
15	3.4	9.5	4.5	5.8	1.4	716.3	716.6	718.3	90	52	73	W 0	NE 0	NE 0	0	1	4	.	
16	2.4	10.0	7.1	6.5	2.3	718.2	715.5	714.5	80	48	69	NE 0	NE 0	ENE 1	1	2	3	.	
17	4.3	12.6	8.4	8.4	4.3	712.8	711.3	712.4	80	50	56	NE 0	E 1	ESE 0	6	7	8	.	
18	6.9	14.4	14.3	11.9	8.0	710.5	707.3	705.9	58	40	**37**	NE 1	E 3	E 4	4	9	8	.	⸗ a-n
19	12.4	9.0	7.4	9.6	5.9	703.3	706.1	707.7	48	95	98	E 3	WSW 2	NW 0	10	8	10	1.5	● 7⅝-10, ●tr 13, ⸗ n-a
20	6.7	10.0	6.3	7.7	4.1	707.2	707.9	710.3	100	83	100	WNW 0	SW 1	SW 1	10●	8	2	0.2	● 7¼-8½
21	6.4	10.6	10.6	9.2	5.8	707.2	705.2	704.5	98	80	49	W 0	ENE 0	NW 0	9	9	6	0.6	● 11¼-12
22	5.6	7.6	4.6	5.9	2.7	708.0	708.5	710.4	86	61	68	NW 1	W 1	NW 0	10●	7	10	0.0	● 7¼-8
23	0.2	5.5	4.1	3.3	0.2	710.7	710.7	710.8	92	64	66	NW 0	NW 0	SW 0	0	9	10	8.5	● a (23./24.)
24	2.4	7.8	4.3	4.8	1.9	714.8	714.6	715.5	100	87	100	NE 0	NE 0	NE 0	10≡	8	0	.	≡ n-a
25	3.1	9.5	7.0	6.5	3.7	715.1	713.3	714.3	100	68	87	NE 1	NE 0	NE 0	1	9	10	0.6	●tr 16-20
26	8.7	8.9	3.9	7.2	4.6	717.1	718.7	723.2	84	65	70	WSW 1	W 3	W 0	10	8	0	.	
27	0.7	4.8	1.1	2.2	-0.2	**727.7**	726.6	727.1	85	52	76	NNE 1	NNE 0	NNW 0	0	0	0	.	
28	**-1.4**	5.5	1.9	2.0	-0.3	726.5	723.5	721.5	87	54	73	NNE 1	WSW 1	NE 1	0	0	5	0.7	● n (28./29.)
29	2.4	5.2	0.4	2.7	0.6	721.7	724.0	724.5	87	57	74	WSW 3	W 3	W 0	10	4	0	.	
30	1.1	5.7	1.6	2.8	0.9	725.6	724.5	723.8	74	47	70	W 1	WSW 0	NE 0	9	3	0	.	
Mittel	5.3	9.9	6.6	7.3	—	711.9	711.4	711.8	85	61	76				6.6	6.5	6.2	77.6	

$\lambda = 8°\,57'$, $\beta = 46°\,0'$,
$H_b = 276.2$ m, $G = -0.01$ mm.

Lugano

November 1951
Beobachter: *G. Vicari.*

Tag	Lufttemperatur 7³⁰	13³⁰	21³⁰	Mittel	Abweich. vom Normalst	Luftdruck 7³⁰	13³⁰	21³⁰	Relative Feuchtigkeit 7³⁰	13³⁰	21³⁰	Windrichtung und Stärke 7³⁰	13³⁰	21³⁰	Bewölkung 7³⁰	13³⁰	21³⁰	Niederschlag	Witterung
1	9.2	12.0	5.6	8.9	0.4	730.3	730.6	731.8	98	23	39	W 1	N 3	N 1	10●	9	0	0.4	● n-8, ⛈ 9-16
2	5.4	15.0	6.2	8.9	0.6	734.5	734.0	735.4	42	33	45	NNW 1	W 1	N 1	0	0	0	0.2	
3	6.0	8.2	4.6	6.3	-1.8	734.3	732.9	731.4	83	81	87	WNW 1	ENE 1	NW 1	10●	10●	2	4.3	● ☽ 7-16½
4	2.4	13.6	5.8	7.3	-0.6	732.2	732.5	735.4	81	22	53	N 1	E 1	N 1	0	0	10	.	
5	7.8	9.2	7.4	8.1	0.3	738.6	739.4	740.4	70	56	80	N 1	N 1	NNE 1	10	10	10	0.2	●tr 8, 15½
6	8.2	10.4	9.8	9.5	1.9	740.6	740.4	739.4	94	83	99	N 1	SE 1	NW 1	10●	10	10●	19.9	☽ n-8½, 16-17, ● 20-n
7	9.2	9.4	9.2	9.3	1.9	737.1	736.7	733.6	99	99	99	N 1	— 0	N 1	10●	10●	10●	58.3	● n-n mU
8	9.4	8.4	8.2	8.7	1.4	728.2	725.4	722.3	99	96	97	S 1	N 1	SW 1	10●	10●	10●	82.5	● n-n
9	8.6	10.8	10.4	9.9	2.8	726.1	729.5	732.0	87	92	98	N 1	N 1	NNE 1	9	10	1 ●	19.8	● 19-n
10	10.4	10.6	15.4	12.1	5.1	732.4	731.7	727.6	99	97	48	NNE 1	WNW 1	E 2	10●	10●	10●	58.6	● n-n, ⛈ 21-n
11	11.6	13.4	11.2	12.1	5.3	729.6	729.8	722.8	98	88	96	E 1	E 1	NW 2	10	10●	10●	58.0	● 11-n mU, ⛈ n
12	9.6	12.8	7.2	9.9	3.2	**718.3**	722.1	725.8	93	62	84	N 1	NE 1	WNW 1	10	9	0	16.8	● K 5, ● 8-9
13	8.0	11.6	7.4	9.0	2.5	727.2	727.1	728.2	98	68	93	N 1	NNE 1	W 1	10●	9	6	0.5	K 4½-0½, ● 4-8
14	6.2	13.8	7.0	9.0	2.6	729.3	730.2	733.0	91	43	49	N 1	SSE 1	SW 1	9	8	0	.	
15	4.4	**17.8**	6.2	9.5	3.3	736.5	736.8	740.1	72	15	45	NNW 1	NNW 2	WNW 1	0	0	0	.	
16	3.4	13.2	5.4	7.3	1.2	742.2	741.4	741.5	61	34	66	N 1	S 1	NNW 1	3	1	0	.	
17	4.8	9.2	8.2	7.4	1.5	740.0	739.4	739.5	75	56	71	N 1	S 1	NW 1	9	10	10	5.9	● n (17./18.)
18	7.2	7.2	6.6	7.0	1.2	738.4	737.6	737.0	99	98	99	ENE 1	SW 1	NW 1	10●	1 ☽	1.●	42.6	● ☽ n-n
19	7.2	8.4	8.0	7.9	2.3	731.8	731.5	733.4	99	98	97	N 1	W 1	SW 1	10●	10●	1 ☽	**100.0**	● ☽ n-n mU
20	8.0	8.8	8.4	8.4	2.9	733.8	734.5	735.7	98	97	98	W 1	W 1	WNW 1	10●	10●	10●	40.2	● n-n mU
21	10.0	11.4	12.2	11.2	5.8	732.9	729.8	726.8	98	91	68	N 1	S 1	SSE 1	10●	10●	9	9.2	● ☽ n-15½ mU
22	6.4	12.2	10.2	9.6	4.4	725.5	726.1	727.9	95	18	16	W 1	NNE 2	NNE 2	4	10	0	.	
23	9.2	15.8	4.6	9.9	4.8	727.9	728.4	732.5	15	**12**	37	NNE 2	NNE 2	N 1	0	0	0	.	
24	3.2	12.2	4.0	6.5	1.6	734.8	735.7	736.9	45	28	44	N 1	S 1	NNW 1	2	8	5	.	
25	3.2	10.4	6.2	6.6	1.8	737.8	737.2	737.7	85	51	84	NW 1	W 1	NW 1	6	10	6	.	
26	3.8	11.0	9.4	8.1	3.4	737.9	739.3	743.8	86	55	27	NNW 1	W 1	NNE 2	5	0	0	.	
27	2.8	11.8	4.8	6.5	2.0	743.4	749.8	**752.3**	38	31	71	N 1	S 1	N 1	0	0	5	.	
28	1.4	10.2	2.4	4.7	0.3	750.5	747.6	744.7	86	42	71	N 1	S 1	SW 1	0	0	0	.	
29	7.8	10.4	5.8	8.0	3.7	740.7	743.7	745.1	27	15	18	N 3	N 3	W 1	4	1	0	.	
30	**1.2**	9.6	3.4	4.7	0.6	744.1	743.6	745.3	40	28	57	WNW 1	W 1	N 1	0	8	0	.	
Mittel	6.5	11.3	7.4	8.4		734.8	734.8	735.2	78	57	68				6.4	6.8	5.1	Summe 518.3	

$\lambda = 7°\,35'$, $\beta = 47°\,33'$,
$H_b = 317.3$ m, $G = 0.11$ mm.

Basel

November 1951
Beobachter: *Astronom.-Meteorol. Anstalt.*

Tag																			
1	5.6	6.4	6.8	6.3	0.5	731.1	731.7	732.6	77	73	93	W 1	WNW 2	W 2	9	10	1●	5.2	● 14⅜-21⅜ mU, ⛈ 0⅜
2	7.3	12.9	5.2	8.5	2.9	734.1	733.3	730.2	93	56	94	**W** 1	W 1	ESE 1	10	8	3	3.8	● 0⅜-6⅜ mU
3	7.5	8.5	4.0	6.7	1.2	728.7	729.0	730.1	88	66	90	W 1	**W** 3	ESE 2	10	9	2	1.0	● 3⅜-7¼ mU, 1-1¼, ⛈ 8⅜
4	3.2	10.8	5.1	6.4	1.0	729.6	727.2	727.1	96	**48**	77	ESE 1	ESE 2	ESE 0	9	3	1	.	
5	3.3	12.5	9.0	8.3	3.1	728.8	728.2	728.6	78	**48**	67	NE 1	E 1	SE 1	9	8	10	.	
6	5.2	12.0	8.4	8.5	3.4	728.6	728.1	727.9	84	54	88	ESE 1	ESE 2	S 1	8	10	10	5.7	
7	6.9	**16.4**	9.6	10.9	5.9	728.2	726.8	724.1	96	67	80	SE 1	E 1	NE 0	10●	7	9	0.6	● 4¼-8¼, 9½-9⅝
8	6.1	9.3	9.2	8.2	3.3	718.1	**716.5**	718.2	96	91	93	S 1	W 1	SE 0	10	10●	10	3.0	● a-p mU, 18-24 mU
9	8.4	14.4	12.1	11.6	6.9	720.1	719.9	719.6	93	67	87	ESE 1	ESE 1	E 1	4	8	10	.	
10	6.8	8.9	7.2	7.9	3.3	723.3	721.1	721.3	94	89	89	NE 1	WNW 1	E 1	9	9	3	8.6	
11	7.1	12.7	8.4	9.4	4.9	724.1	725.0	721.9	93	67	93	ESE 2	SE 1	W 1	2	9	9	18.4	● 0⅜-3½
12	7.4	9.3	6.8	7.8	3.5	717.9	720.0	722.8	90	82	93	WNW 1	W 1	ESE 1	10●	10	5	2.4	● 0½-9, 9½-12
13	6.8	11.8	7.6	8.7	4.5	722.9	723.5	724.4	98	58	93	E 1	W 2	E 0	10	8	10	0.8	● 1¾-4¼ mU, 16¼, 18⅜
14	7.3	7.7	7.0	7.3	3.2	727.7	729.9	734.2	80	88	91	WNW 2	W 2	W 1	9	10●	10	8.6	● 5½-6, 10-22¼ mU, [23½-1¼
15	4.2	12.5	5.4	7.4	3.4	736.1	736.5	737.0	92	56	94	S 1	SSW 0	ESE 1	3	4	1	.	
16	2.4	9.6	5.4	5.8	2.0	736.3	734.5	733.0	94	68	78	ESE 1	ESE 1	ESE 2	7	4	3	.	
17	2.5	10.1	6.6	6.4	2.7	732.0	730.4	730.0	91	71	64	ESE 1	E 1	ESE 2	8	9	9	0.5	
18	8.4	12.8	9.3	10.2	6.6	726.7	724.3	721.9	69	53	78	E 2	ESE 2	SE 2	7	8	9	0.0	● 3-4¼
19	7.7	5.9	5.1	6.2	2.7	722.8	725.5	727.4	82	88	94	WNW 2	E 0	ESE 0	10●	10●	10	8.2	● 7½-12, 13-13⅜
20	6.0	8.0	7.0	7.0	3.7	727.7	728.2	729.5	96	88	91	WSW 1	W 0	W 0	10	10	10	0.9	● 0½-5½, 9⅜-9½, 10½-10⅝
21	5.6	12.5	6.8	8.3	5.1	724.3	722.6	724.4	96	67	73	W 0	W 2	W 1	9	4	10	6.1	● 1⅜-3½, 11¼-11⅝, 13¼, 15-19½, 1
22	5.5	5.8	3.8	5.0	1.9	727.2	728.2	729.7	82	85	95	W 2	W 2	W 0	7	10	9	2.0	● 6 6½, 12¾-13¼, 14½-15¾, ⛈ 11½
23	2.7	8.2	5.7	5.5	2.6	729.8	729.2	729.3	93	65	85	SE 1	SE 1	NE 1	8	9	10	3.5	● 2¾-24
24	6.6	12.7	10.3	9.9	7.1	730.0	731.9	733.6	94	82	90	E 1	WSW 3	WSW 2	10●	10	10	0.5	● 0-4, 5-10⅜ mU
25	4.9	10.4	10.2	8.5	5.8	731.5	730.5	733.8	96	80	79	E 0	E 1	W 2	5	10●	10●	3.1	● 13¾-15⅜, 19-19¾, 21¼-23½
26	7.1	5.8	0.7	4.5	1.9	738.6	742.8	746.8	88	79	96	NW 3	NNW 1	S 1	10	9	0	0.0	● 10
27	-1.9	0.5	-1.3	-0.9	-3.3	**748.9**	748.7	747.8	100	98	98	SE 1	SSW 1	E 0	10	9≡	5	.	≡ 5-17, 21-n, ⌙ 1, 1, \ 1
28	-2.5	2.8	1.2	0.5	-1.8	745.9	743.8	742.0	98	80	91	E 1	E 1	E 0	10≡	2	10	2.4	≡ n-5, 6¼-8¼, 9¼, 10, ⌙ \ 1
29	2.2	5.4	1.8	3.1	0.9	743.4	745.8	745.4	87	68	93	WSW 1	WSW 1	SSW 0	9	5	7	.	● 1¼, 2¼-2¾, 3-3¾
30	2.9	4.3	2.5	3.2	1.1	745.2	745.4	743.3	86	89	96	E 1	E 1	E 0	10	10	0	.	
Mittel	5.1	9.4	6.2	6.9	—	730.3	730.3	730.6	90	72	88				8.4	8.1	7.2	Summe 85.3	

November 1951
Beobachter: *Observatorium.*

Säntis

$\lambda = 9°\,20'$, $\beta = 47°\,15'$,
$H_b = 2500.1$ m, $G = -0.27$ mm

Tag	Lufttemperatur 7³⁰	13³⁰	21³⁰	Mittel	Abweich. vom Normalst	Luftdruck 7³⁰	13³⁰	21³⁰	Relative Feuchtigkeit 7³⁰	13³⁰	21³⁰	Windrichtung und Stärke 7³⁰	13³⁰	21³⁰	Bewölkung 7³⁰	13³⁰	21³⁰	Niederschlag	Witterung
1	-9.0	-9.2	-8.2	-8.8	-5.7	553.9	555.8	559.8	100	100	100	W 5	W 3	W 3	10≡	10≡	10≡*	31.1	✳ n–6¾, 8–11½, 19–n,*)
2	-7.0	-5.6	-7.8	-6.8	-3.6	559.[illegible]	558.7	557.8	100	100	73	WNW 2	W 2	WSW 3	10≡*	10≡	1	2.3	✳ 7–8¾, 11¼–12, *)
3	-5.6	-7.1	-8.8	-7.2	-3.9	555.8	555.1	554.8	59	96	98	WSW 2	W 3	W 3	9	10≡*	10≡	10.8	✳ 8¼–11¾, ≡ 8¾–n,*)
4	-10.4	-7.0	-5.8	-7.7	-4.2	554.6	554.8	556.[illegible]	96	83	84	WSW 3	W 2	SSW 2	10≡	2	1	.	≡ n–8, ⋁ I
5	-2.1	0.7	0.6	-0.3	3.3	558.0	559.2	560.0	50	50	54	S 2	S 2	ESE 2	9	9	7	.	
6	2.8	2.6	1.8	2.4	6.1	560.8	561.4	561.4	41	49	58	ESE 2	SSW 3	S 3	10	9	10	.	
7	1.4	2.1	1.8	1.8	5.6	558.9	558.5	557.2	73	63	65	SW 3	SW 3	SW 3	10	4	10	0.0	△ o–21¼
8	1.9	1.8	-0.5	1.1	5.1	552.5	550.5	549.9	80	84	100	S 3	SSW 3	E 2	10	10	10≡*	7.2	✳ 18–n, ≡ 20–n
9	-2	-0.2	0.0	-1.0	3.1	551.5	552.3	553.7	100	69	61	WSW 2	SW 3	SW 4	10≡*	3	6	.	✳ n–7½, ≡ n–8, ⋁ I, ⌿ III
10	0.5	1.9	2.8	1.7	5.9	555.6	554.4	552.8	60	65	59	ESE 3	ESE 3	SSW 4	9	9	10	2.8	✳ n (10./11.), ⌿ III
11	-2.2	0.6	0.2	-0.5	3.8	553.4	555.5	552.3	100	63	69	WSW 2	S 3	ENE 2	10≡	10≡	10	0.1	≡ n–7¾
12	-4.1	-5.4	-5.6	-5.0	-0.5	545.4	547.8	552.0	100	100	93	W 4	W 5	W 3	10≡*	10≡*	10	17.4	✳ 6¾–15 mU, ≡ n–20½, *)
13	-5.3	-4.8	-5.8	-5.3	-0.7	551.4	551.5	552.5	100	100	100	WSW 3	W 4	W 3	10≡	10≡*	10≡	21.8	✳ 9¼–15, n–7½, 9–n *)
14	-6.9	-6.4	-7.3	-6.[illegible]	-2.1	553.4	554.7	557.6	100	10[illegible]	10[illegible]	W 3	W 3	W 3	10≡	10≡*	10≡*	52.1	✳ n–n mU, ≡ n–n, ⋁ I *)
15	-6.8	-6.5	-6.6	-6.6	-1.8	560.4	561.6	563.2	96	96	53	WNW 3	SW 2	WSW 3	10≡	3	6	.	≡ n–12½, ⋁ I
16	-1.8	0.5	0.3	-0.3	4.6	563.9	564.0	563.2	77	64	38	WSW 3	W 2	WSW 3	3	8	10	.	
17	-3.8	0.5	-2.7	-1.0	4.0	561.0	560.0	559.1	39	32	41	SSE 2	SSW 3	S 3	10	10	10	.	
18	-2.4	-0.2	-0.4	-1.0	4.1	558.0	556.5	555.[illegible]	73	69	70	SSW 3	SSW 5	S 5	4	10	9	.	⌿ a, ⌿ 12–n
19	-1.1	-1.3	-2.8	-1.3	4.0	551.5	554.1	555.[illegible]	67	100	90	SSW 6	SSW 4	SSW 3	4	10≡*	8	1.2	✳ 12–16, ≡ 11½–19, ⌿ I, ⌿ a
20	-0.8	0.6	-1.0	-0.4	5.[illegible]	555.0	556.6	557.5	82	8[illegible]	98	SSW 3	SSW 3	SW 2	8	8	10	.	
21	-1.0	-1.3	-6.0	-2.8	2.7	554.5	552.7	55[illegible].6	87	100	100	SSW 5	SW 3	W 5	6	10≡	10≡*	13.1	✳ 13¾–15 mU, 17¼–n,)*
22	-8.1	-8.9	-10.4	-9.1	-3.5	552.2	553.2	553.9	100	100	97	W 4	NW 3	W 3	1[illegible]	10≡	10≡*	17.1	✳ n–7, 8¼–11½, 17–n,*)
23	-10.1	-9.3	-5.6	-8.3	-2.6	554.2	554.5	556.5	96	81	85	SW 2	W 1	W 3	10≡	1	10	14.9	✳ 10–10½, ≡ n–8¼, 9¼–11½
24	-1.7	-0.8	-2.2	-1.6	4.2	557.7	559.3	561.2	100	100	100	W 4	W 5	W 4	10≡*	10≡*	10≡	3.4	✳ n–10, ≈ 12½–13½, *)
25	-2.6	-1.2	-1.8	-1.9	4.0	560.1	559.6	559.[illegible]	83	86	100	WSW 4	SW 5	W 5	6	10	10≡*	36.5	✳ 17–n, ≡ 16⅜–n, *)
26	-6.6	-7.0	-10.3	-8.0	-2.0	562.3	564.0	566.6	100	100	93	NW 3	WNW 4	WNW 4	10≡	10≡*	10≡	5.7	✳ 8–11, 12–17, ≡ n–n,
27	-11.7	-6.8	-3.3	-7.3	1.3	568.6	569.8	**570.3**	46	50	73	NW 2	NNW 2	E 2	0	0	0	.	⋁ I
28	-4.1	-6.8	-7.9	-6.3	-0.2	568.8	566.9	562.3	78	41	56	WSW 3	WSW 4	WSW 3	1	1	10	9.0	⌿ a–n, ⌿ III
29	-12.4	-11.8	**-12.6**	-12.3	-6.1	561.8	564.5	565.4	100	100	81	NW 3	N 2	W 3	10≡*	10≡*	10	20.1	✳ n–17½ mU, ≡ n–19¼
30	-7.1	-6.4	-3.5	-5.7	0.6	566.0	567.3	568.2	100	95	28	WSW 4	W 3	SW 3	10≡	10	0	3.2	✳ n–8¼ mU, ≡ n–13¾, ⌿ I
Mittel	-4.2	-3.4	-4.0	-3.9	—	557.4	557.8	558.2	83	80	77				8.3	7.9	8.3	Summe 296.8	

November 1951
Beobachter: *E. Chiesa*

St. Gotthard (Hospiz)

$\lambda = 8°\,34'$, $\beta = 46°\,33'$,
$H_b = 2095$ m, $G = -0.25$ mm

1	-6.3	-5.4	-5.2	-5.6	-3.3	584.8	585.0	585.7	92	70	100	NW 2	NW 3	NW 3	10	10≡	10*	11.3	✳ p–n, ≡ a–p, ⌿ a–n
2	-4.5	-2.3	-3.6	-3.5	-1.0	588.2	588.7	588.4	100	96	65	NW 2	NW 1	SE 1	10≡	10≡	0	.	≡ n–14¼
3	-5.2	-2.1	-6.2	-4.5	-1.9	586.5	585.7	584.9	83	85	100	SE 0	SE 0	NW 2	3	10*	10*≡	2.8	✳fl 11–n, ≡ p–n
4	-7.8	-1.6	-5.4	-4.9	-2.1	584.9	585.3	586.8	95	52	60	NW 1	SE 1	SE 1	0	3	0	.	
5	-4.5	-1.0	-1.0	-2.2	0.7	588.8	590.4	591.3	95	90	100	SE 2	SE 2	SE 2	10	10≡	10*	4.4	✳ 20¼–n, ≡ a–p mU
6	0.3	1.3	1.0	0.9	2.1	592.0	592.6	592.2	95	100	100	SE 2	SE 2	SE 1	10	10●*	10●–	52.4	● ✳ a–p, ● ≡ p–n
7	-0.1	1.4	-0.8	0.2	3.4	589.3	589.2	587.4	10[illegible]	100	10[illegible]	SE 1	SE 2	SE 1	10*	10*	10*	26.8	✳ n–n
8	-1.2	-1.0	-0.6	-0.9	2.4	583.1	581.1	578.9	100	100	100	SE 1	SE 1	SE 0	10*	10*	10*	16.9	✳ n–n
9	-0.9	0.2	-0.5	-0.4	3.[illegible]	580.6	582.8	584.9	100	100	100	NW 0	SE 1	SE 2	10	10*≡	10*	25.3	✳ a–n, ≡ a–p
10	-0.4	0.5	-1.0	-0.3	3.2	585.8	585.6	583.8	100	100	100	SE 2	SE 2	SE 1	10*	10*	10*	**68.1**	✳ n–n
11	0.4	1.7	-0.2	0.6	4.3	584.2	585.1	580.8	100	100	100	SE 0	SE 1	SE 2	10*	10*	10*	63.9	✳ n–n
12	-1.0	-1.6	-4.5	-2.4	1.4	**575.4**	578.8	581.5	85	100	75	NW 2	NW 2	NW 0	10	10	0	1.3	✳fl a
13	-3.4	0.3	-4.6	-2.6	1.3	581.3	581.8	582.3	78	61	60	NW 0	NW 0	NW 0	10	10	0	0.6	✳ n (13./14.)
14	-4.5	-3.8	-4.3	-4.2	-0.2	583.2	585.1	587.1	98	97	91	NW 1	NW 2	NW 2	10*	10*	10≡	2.7	✳ n–p, ≡ p–n
15	-5.3	-4.5	-3.1	-4.3	-0.2	589.4	591.4	592.7	97	94	21	NW 3	NW 1	NW 0	10	0	0	.	≡ n–12½, ☋ III
16	-3.0	1.9	-1.8	-1.0	3.2	593.6	593.6	593.3	22	22	36	SE 0	SE 1	SE 1	6	3	0	.	
17	-2.3	-1.6	-3.2	-2.4	1.9	591.2	591.0	590.7	35	52	95	SE 1	SE 2	SE 2	3	10	10	2.1	✳ n (17./18.)
18	-3.4	-3.3	-3.9	-3.5	0.9	589.2	588.6	587.3	100	100	100	SE 2	SE 2	SE 2	10*	10≡	10*	36.2	✳ n–a, p–n, ≡ a–p
19	-2.4	-2.0	-1.7	-2.0	2.5	583.3	583.8	585.9	100	100	100	SE 2	SE 2	SE 2	10*	10*	10*	67.8	✳ n–n
20	-2.1	-1.2	-0.6	-1.3	3.3	585.9	586.9	587.6	100	100	100	SE 2	SE 2	SE 2	10*	10*	10*	46.7	✳ n–n
21	0.1	0.2	-0.2	0.0	4.7	586.0	583.7	582.2	100	96	100	SE 2	SE 1	SE 0	10*	10*≡	10*	17.0	✳ n–n, ≡ II
22	-5.0	-6.2	-8.3	-6.5	-1.7	581.6	582.0	582.0	100	97	92	NW 2	NW 3	NW 3	10	9	6	0.8	✢ ⌿ a–n
23	-8.1	-7.9	-2.3	-6.1	-1.2	582.9	583.6	586.2	91	80	82	NW 3	NW 3	NW 2	10≡	0	0	9.1	≡ n–11¼, ✢ ⌿ a–n
24	-1.0	0.3	-1.6	-0.8	4.2	587.9	589.8	589.9	98	100	63	NW 1	NW 1	NW 1	10*	10*	0	2.3	✳ n–15½
25	-0.7	1.9	-0.5	0.2	5.3	590.1	590.4	590.4	22	36	93	NW 0	SE 0	SE 0	0	3	0	2.0	✳ 15–20
26	-2.8	-3.5	-7.3	-4.5	0.7	591.7	593.0	596.[illegible]	100	97	100	NW 2	NW 2	NW 2	9	10	10≡	1.8	≡ a–n mU, ✢ p–n
27	-10.0	-4.2	-4.3	-6.2	-0.9	598.2	599.2	**600.1**	77	13	24	NW 1	NW 2	NW 0	0	0	0	.	
28	-2.6	-1.1	-3.2	-2.3	3.1	599.3	597.7	594.7	25	41	36	NW 1	NW 1	NW 1	0	0	0	3.6	
29	-9.8	-9.1	-11.2	-10.0	-4.5	591.0	594.4	595.1	95	95	96	NW 4	NW 3	NW 3	10	10	6	1.9	✢ ⌿ n–n, ⌿ I, ⋁ III
30	-8.6	-4.9	0.2	-4.4	1.1	595.5	596.8	597.6	99	100	25	NW 3	NW 3	NW 0	0≡	10≡	0	.	≡ ✢ ⌿ n–15½
Mittel	-3.5	-2.0	-3.0	-2.8	—	587.5	588.1	588.3	86	83	80				8.0	7.9	5.7	Summe 507.8	

*) Säntis: **1.** ≡ n–n, ⋁ a, ⌿ I **2.** ≡ n–15¾, ⋁ a **3.** ⋁ p, ⌿ p **12.** ✢ II, ⋁ I, ⌿ n–20, ⌿ a–p **13.** ⌿ II **14.** ✢ 13–n **21.** 12–n, ⌿ a, ⌿ I **22.** ≡ n–n, ⋁ I, ⌿ I **24.** ● 13½–15½, ≡ n–n, ⋁ I, p, ⌿ n–n, ⌿ a **25.** ⌿ n–n, ⌿ II, III

$\lambda = 7°26'$, $\beta = 46°57'$,
$H_b = 572.2$ m, $G = 0.00$ mm.

Bern

Dezember 1951
Beobachter: *Meteorol. Observatorium.*

Tag	Lufttemperatur 7³⁰	13³⁰	21³⁰	Mittel	Abweich. vom Normalst	Luftdruck 7³⁰	13³⁰	21³⁰	Relative Feuchtigkeit 7³⁰	13³⁰	21³⁰	Windrichtung und Stärke 7³⁰	13³⁰	21³⁰	Bewölkung 7³⁰	13³⁰	21³⁰	Niederschlag	Witterung
1	−2.0	4.4	−1.1	0.4	−0.5	718.2	716.2	716.1	94	65	100	SSW 0	W 0	WNW 0	1	1	9≡	.	≡ p-n, ⌙ l
2	−1.4	0.9	1.4	0.3	−0.4	714.0	712.6	711.5	97	87	97	SE 1	SSE 1	N 1	10≡	10	10●	12.9	● 19½-24, ≡ n-a
3	0.6	1.8	1.2	1.2	0.6	713.6	715.3	718.2	99	92	93	W 1	W 0	SSE 0	10*	10*	9	1.8	● 0-5, ✳ 5-14 ✳
4	−2.2	1.9	1.6	0.4	−0.1	720.7	721.2	721.5	93	66	83	S 1	S 1	S 0	6	10	8	.	⌙ l, Ψ III ✳
5	0.8	4.2	−0.2	1.6	1.3	721.3	718.7	718.3	88	67	95	SE 0	ESE 0	S 1	9	3	0	.	⌙ III ✳
6	−1.4	4.7	5.2	2.8	2.6	714.0	711.7	710.1	95	72	75	S 0	WNW 1	SSW 1	3	6	9	4.2	● 20-21, ⌙ l
7	5.5	5.3	−0.4	3.5	3.4	709.1	712.0	715.2	90	67	97	WSW 1	W 1	SE 1	10●	5	0	7.5	● 3¾-11¾, ⌙ l
8	−2.7	2.2	−1.2	−0.6	−0.6	716.1	714.8	712.7	98	72	88	S 0	SSW 0	S 1	3	4	3	.	≡ 8-8½, ⌙ l
9	0.2	6.2	6.5	4.3	4.4	709.8	707.7	707.6	78	72	82	SE 1	WNW 1	SSW 2	10	10●	10●	11.4	● 12-2¼ mU
10	4.6	5.6	4.0	4.7	4.9	710.7	712.4	714.0	57	53	57	WSW 3	WSW 3	WSW 2	9	9	10	.	
11	−0.2	2.6	−1.0	0.5	0.8	717.6	718.7	721.3	70	55	67	NE 1	ENE 2	NE 1	6	1	0	.	⌙ III
12	−4.2	0.0	−2.4	−2.2	−1.8	721.9	721.6	721.7	88	59	82	NE 1	SSW 1	ESE 0	0	1	0	.	⌙ l
13	−5.0	2.0	−2.2	−1.7	−1.2	721.4	720.3	720.6	88	58	86	SE 0	SW 0	SSW 0	1	1	0	.	⌙ l, III
14	−5.4	−0.8	−2.4	−2.9	−2.3	719.7	719.4	719.9	93	87	100	SSW 0	NW 1	S 0	1	9	10≡	.	≡ p-n, ⌙ l
15	−5.4	0.4	−2.9	−2.6	−1.9	720.0	719.2	719.8	94	77	100	W 0	NE 0	W 1	1	1	9■	.	≡ p-n, ⌙ l
16	−5.4	1.6	−2.2	−2.0	−1.2	718.8	717.9	717.8	93	70	98	W 0	NE 0	SSW 0	1	3	0	.	⌙ Ψ l
17	−4.0	2.7	−2.0	−1.1	−0.3	717.7	717.4	718.5	95	73	95	W 0	N 0	W 0	1	1	0	.	⌙ l, III
18	−4.5	1.3	−2.4	−1.9	−1.0	719.3	719.4	720.7	95	80	99	W 0	S 0	W 0	9≡	1	10≡	.	≡ n-a, 16¾-n, ⌙ l
19	−5.1	1.5	−3.0	−2.2	−1.2	721.7	720.1	719.5	95	78	98	S 0	W 0	W 1	1	1	10≡	.	≡ p-n, ⌙ l
20	−5.3	1.6	−2.4	−2.0	−1.0	717.9	717.8	720.0	94	76	97	WNW 0	S 0	N 0	1	3	0■	.	≡ p-n, ⌙ l, III
21	−4.0	2.4	−2.6	−1.4	−0.3	723.1	722.2	723.8	94	75	98	SE 0	N 0	W 1	0	5	8	.	⌙ ≈ l
22	−4.2	0.4	−2.4	−2.1	−1.0	23.0	721.4	720.0	96	99	98	SSW 0	S 0	W 0	10≡	1	10≡	.	≡ n-a, 17-n, ⌙ ≈ III
23	−5.2	−0.8	−2.6	−2.9	−1.7	719.7	717.3	716.3	97	92	96	W 0	NE 0	SSW 1	9≡	5	10	.	≡ n-a, ⌙ ≈ l
24	−4.0	−0.8	−3.1	−2.6	−1.4	714.3	712.4	711.6	97	88	97	S 0	NE 0	W 0	10≡	2	10≡	.	≡ n-a, p-n, ≈ l
25	−4.8	0.8	1.3	−0.9	0.4	708.2	705.7	703.5	92	78	90	SE 0	SE 0	SE 1	3	9	10●	8.3	● 21-24 mU, ⌙ l
26	3.0	4.5	2.6	3.4	4.7	703.1	705.5	711.1	92	82	86	SE 1	W 1	SSW 1	10	9△	10	3.2	● 0 7¼, 8¼-10, 11¾-13¼, *)
27	0.0	2.8	2.3	1.7	3.1	708.8	705.4	706.0	95	70	87	S 0	ESE 1	SE 1	9	10	1	1.9	△ 13½, ✳ ● 15¾-16½, *)
28	1.0	2.7	−0.8	1.0	2.4	704.9	707.1	704.1	92	66	73	SE 1	SW 1	SE 1	3	8	0	0.0	● 5-5¾, ✳ ● 0½-9¾,
29	−2.8	−0.2	0.4	−0.9	0.6	698.7	700.4	707.1	76	74	77	SE 1	NE 0	SSW 0	9	9	10	2.2	[✳ 14¼-15, ≈ l
30	0.4	3.3	1.7	1.8	3.3	712.9	714.8	715.4	95	77	89	SE 0	SSW 1	S 1	10	9	10*●	1.2	✳ 1¾-6½, 8¾-0¼, *) ✳
31	1.3	5.0	3.1	3.1	4.6	715.2	714.2	710.8	96	77	93	S 1	SE 1	S 1	9	10	0	6.3	● 0-0¼, 14¾-18½ ✳
																		Summe	
Mittel	−2.0	2.3	−0.2	0.0	—	715.3	714.9	715.4	91	74	90				5.6	5.4	6.0	90.9	

*) 26. △● 13¼-13¾, ● 13¾-20, ∼ l 27. ● 16½-17¼, ∼ l, III 30. ✳ ● 21½-23¼, ● 23¼-24

Neuchâtel

$\lambda = 6°57'$, $\beta = 47°0'$,
$H_b = 487.3$ m, $G = 0.02$ mm.

Dezember 1951
Beobachter: *Observatorium.*

1	0.0	2.4	1.3	1.2	−0.7	726.0	724.3	723.9	95	93	9	E 0	NE 0	N 0	10	10	10	0.2	⌙ l
2	−0.4	1.4	2.2	1.1	−0.7	721.8	720.7	719.8	95	93	93	N 0	N 0	N 0	10≡	10≡	10	0.9	≡ n-19
3	1.7	3.3	1.6	2.2	0.5	721.3	723.0	725.0	93	65	84	SW 1	E 1	NE 0	10●	8	10	0.2	● 2¾-10½
4	−1.0	2.6	2.6	1.4	−0.2	728.5	729.0	729.0	92	78	88	N 0	SW 1	SW 0	10	10	10	.	⌙ l
5	1.5	5.0	0.5	2.3	0.8	729.2	728.1	725.8	89	77	92	SW 0	S 0	SW 0	10	6	0	.	
6	1.1	8.5	8.0	5.9	3.5	721.7	719.5	717.7	96	66	77	SW 0	SW 3	W 2	10	4	10●	1.9	●tr III
7	5.7	6.9	−0.4	4.1	2.8	716.7	719.8	722.7	94	52	81	W 2	SE 1	NW 0	10●	1	0	0.5	● 3½-9½
8	−1.7	2.3	1.2	0.6	−0.6	724.0	722.7	720.3	94	86	84	NW 0	E 0	NW 0	10	8	7	.	V l
9	5.2	7.1	6.5	6.3	5.2	717.4	715.6	715.2	66	80	93	SW 3	SW 2	SW 3	10	10	10●	7.9	● 11-11½, 14½-15½
10	4.7	5.4	2.2	4.1	3.1	718.9	720.6	723.2	72	63	86	W 2	SW 3	W 2	10	10	9	0.2	● 0¾, 19¾-21
11	−0.9	3.6	0.8	1.2	0.3	725.3	726.5	728.9	73	58	54	NE 0	NE 3	NE 3	1	1	0	.	
12	−1.4	1.2	−2.9	−1.0	−1.8	729.9	729.8	729.5	76	73	81	E 2	SE 1	S 0	0	1	0	.	
13	−4.5	1.5	−2.0	−1.7	−2.5	729.5	728.8	728.6	93	85	91	SE 0	SE 0	S 0	1	1	0	.	⌙ l
14	−1.2	−0.3	−0.4	−0.6	−1.3	727.8	727.6	727.8	96	93	96	SE 0	SW 0	SW 0	10	10	10	.	⌙ l
15	−1.0	−0.2	−0.3	−0.5	−1.1	727.8	727.3	727.7	96	97	97	SW 0	SW 0	SW 0	10≡	10■	10≡	.	≡ n-n
16	−0.8	−0.2	−0.1	−0.4	−0.9	726.5	725.9	725.7	98	95	98	W 0	W 0	SW 0	10≡	10■	10≡	0.1	≡ n-n
17	−0.1	0.8	0.6	0.4	0.0	725.5	725.3	726.5	100	100	100	SE 0	SE 0	SW 0	10≡	10≡	10≡	0.1	≡ n-n
18	−0.7	0.0	0.4	−0.1	−0.5	727.2	727.5	728.8	100	100	98	SW 0	SW 0	SW 0	10≡	10≡	10≡	0.1	≡ n-n
19	−0.4	0.7	0.4	0.2	−0.1	729.7	728.3	727.4	100	98	10	S 0	S 0	SW 0	10≡	10■	10≡	.	≡ n-n
20	−1.1	−0.1	0.1	−0.4	−0.6	725.9	725.8	728.3	100	100	98	W 0	W 0	W 0	10≡	10≡	10≡	.	≡ n-n
21	−2.2	−0.3	0.6	−0.4	−0.6	731.0	730.6	731.9	100	100	100	E 0	SE 0	SW 0	10≡	10≡	10≡	0.1	≡ n-n
22	−0.3	0.5	0.5	0.2	0.1	730.9	729.5	728.6	100	100	100	W 0	SW 1	W 0	10≡	10≡	10≡	0.1	≡ n-n
23	−0.7	0.2	0.0	−0.2	−0.2	727.4	725.3	724.2	100	100	10	W 0	W 0	NW 0	10≡	10≡	10≡	.	≡ n-n
24	−0.3	0.7	−0.3	0.0	0.0	721.8	720.4	719.4	100	94	98	NW 0	SW 1	W 0	10	10	10	.	
25	−0.6	5.3	0.0	3.0	3.7	715.8	713.0	710.6	100	80	94	W 0	SW 2	SW 2	10≡	10	10●	7.3	● 10½-11½, ≡ n-l
26	5.1	6.7	3.2	5.0	5.2	710.2	713.0	718.8	91	70	90	SW 1	W 2	W 0	10	8	10	0.7	V 10¼
27	1.1	4.0	4.1	3.0	3.2	716.2	712.7	713.2	93	73	83	W 0	SW 2	SW 2	10	10	8	1.0	● 15-17½
28	2.9	3.9	2.1	3.0	3.3	712.1	714.9	711.4	87	72	72	W 1	W 2	SW 2	9	8	8	0.3	● 4¼, 8-9½
29	−1.5	9.5	0.7	2.9	0.2	705.6	707.8	714.9	96	86	91	N 0	E 0	E 0	10	10	10*●	0.7	● ✳ 20-1¼
30	2.4	4.3	3.4	3.4	3.8	720.6	722.5	723.1	89	71	81	W 1	W 1	W 1	10	10	10	0.5	● 22¼-23¾
31	3.0	6.3	7.5	5.6	6.2	723.0	721.8	718.1	89	78	76	W 2	W 1	W 3	10	10	9	1.4	● 15½-16
																		Summe	
Mittel	0.5	2.7	1.6	1.6	—	723.1	722.8	723.1	92	83	89				9.1	8.3	8.1	24.2	

Dezember 1951
Beobachter: *Frl. H. Nager.*

Altdorf

$\lambda = 8° 39'$, $\beta = 46° 53'$,
$H_b = 456.3$ m, $G = -0.05$ mm.

Tag	Lufttemperatur					Luftdruck			Relative Feuchtigkeit			Windrichtung und Stärke			Bewölkung			Niederschlag	Witterung
	7^{30}	13^{30}	21^{30}	Mittel	Abweich. vom Normalst.	7^{30}	13^{30}	21^{30}	7^{30}	13^{30}	21^{30}	7^{30}	13^{30}	21^{30}	7^{30}	13^{30}	21^{30}		
1	−0.8	4.9	1.6	1.9	−0.9	729.0	726.8	726.5	100	82	100	E 0	NW 0	NW 0	4	2	0	.	
2	1.4	3.4	2.4	2.4	−0.3	724.2	723.0	721.9	100	86	100	E 0	E 0	E 0	10	9	10	5.0	● n (2./3.)
3	2.8	3.4	1.7	2.6	0.0	722.9	720.2	728.9	100	82	94	E 1	NW 2	SE 0	10●	10●	10	4.7	● n-p
4	0.8	4.3	2.1	2.4	0.0	731.2	731.4	732.3	75	46	87	SE 0	SE 0	NW 0	6	7	8	.	
5	0.1	5.4	0.9	2.1	−0.2	731.8	730.1	728.2	92	63	98	SE 0	SE 0	E 0	2	3	0	.	
6	0.6	5.1	4.2	3.3	1.1	724.0	721.6	719.9	100	80	97	E 0	N 0	E 0	8	7	10	0.6	● n (6./7.)
7	4.1	4.8	1.4	3.4	1.3	718.8	722.0	727.8	100	97	100	NE 0	W 0	W 0	10●	10●	3	7.4	● n-p
8	−1.6	3.0	−1.8	−0.1	−2.1	726.3	725.7	724.1	85	55	83	SE 0	E 0	SE 0	0	0	2	.	
9	0.7	5.7	4.8	3.7	1.8	719.6	716.7	718.2	95	54	100	NE 0	NW 0	E 0	8	10	10●	13.1	● $18^1/_2$-n
10	6.0	7.1	5.4	6.2	4.4	719.3	720.9	724.-	64	52	52	NE 1	NW 1	NW 2	10●	9	10	0.3	● n-a
11	2.1	3.9	−1.1	1.6	0.1	728.6	730.1	**733.3**	72	60	63	N 0	NW 0	SE 0	10	5	0	.	
12	−3.0	1.3	−3.0	−1.6	−3.2	732.7	732.1	732.7	70	62	82	E 0	E 0	SE 0	0	0	0	.	
13	−3.5	2.4	−2.4	−1.2	−2.7	732.0	731.0	731.1	89	66	9-	SE 0	E 0	SE 0	1	0	0	.	
14	−3.6	2.7	−0.9	−0.6	−2.1	730.1	729.1	730.5	95	78	98	SE 0	E 0	SE 0	0	0	7	.	
15	−3.1	2.7	−1.9	−0.8	−2.1	730.3	730.4	730.7	97	92	100	SE 0	E 0	S 0	0	0	10≡	.	≡ 19-n
16	−3.2	1.3	0.2	−0.6	−1.8	728.7	728.7	727.9	100	100	100	SE 0	NW 0	NW 0	2	7	9	0.0	≡ a p mU
17	0.3	1.7	1.1	1.0	−0.1	728.4	728.1	729.0	100	100	90	NW 0	NW 0	NW 0	10≡	10≡	10≡	.	≡ n n
18	−1.0	0.8	−2.0	−0.7	−1.7	729.8	728.6	731.6	100	100	100	N 0	E 0	E 0	10≡	10≡	10≡	.	≡ n-n
19	−2.8	1.1	−2.4	−1.4	−2.3	**733.3**	730.7	729.5	100	100	100	E 0	E 0	NW 3	6	10≡	10≡	.	≡ n-$6^3/_4$, 11-n
20	1.4	4.7	1.6	2.6	1.7	727.9	727.9	730.3	99	80	100	W 1	NW 1	NW 0	8	4	2	.	
21	−0.8	3.5	0.2	1.0	0.2	732.8	732.5	729.4	99	97	100	NE 0	NW 0	NW 0	4	4	10≡	.	≡ 18-n
22	−2.4	0.7	−2.0	−1.2	−1.9	**733.3**	731.5	732.4	100	100	100	NW 0	NW 0	N 0	10≡	10≡	10≡	0.1	≡ n-n
23	−2.4	−0.1	−0.8	−1.1	−1.7	730.2	728.1	725.9	100	100	100	E 0	E 0	SE 0	10≡	10≡	10≡	.	≡ n-n
24	−0.2	1.8	0.3	0.6	0.0	724.2	722.0	720.8	100	98	100	NE 0	NW 0	E 0	10≡	7	5	.	≡ n-a
25	3.2	**11.1**	10.1	8.1	7.6	717.1	715.0	713.0	70	**30**	**30**	W 0	S 2	S 3	8	8	8	0.3	● n (25./26.)
26	5.4	5.3	3.1	4.6	4.2	712.9	715.5	721.1	95	100	101	NW 0	E 0	NW 0	10	10	10●	6.5	● n-n mU
27	1.8	5.3	4.8	4.0	3.6	718.6	718.4	715.7	72	59	64	SE 0	N 1	NW 0	4	8	10	0.1	
28	2.3	3.7	0.8	2.3	2.0	714.8	716.1	713.7	94	100	80	NE 0	NE 0	E 0	10	10	4	3.0	● ✶ 9
29	−3.1	1.5	−0.3	−0.6	−0.9	**708.4**	710.1	717.3	77	68	87	E 0	SW 0	NW 0	3	2	10	2.5	✶ n (29. 30.)
30	0.4	1.8	0.5	0.9	0.7	723.2	725.3	725.8	100	100	100	NE 0	NE 0	NW 0	10*	10	10	1.7	✶ n-$11^3/_4$
31	1.5	3.8	4.7	3.3	3.1	725.7	724.1	720.7	100	93	95	NE 0	NE 0	SE 0	10	8	10	0.4	● n (31./1.)
																		Summe	
Mittel	0.1	3.5	1.1	1.6	—	725.5	725.0	725.6	92	80	90				6.6	6.5	7.0	45.7	

Dezember 1951
Beobachter: *Observatorium.*

Genève

$\lambda = 6° 9'$, $\beta = 46° 12'$,
$H_b = 405.0$ m, $G = -0.03$ mm.

1	−1.5	4.6	1.5	1.5	−1.5	733.1	730.6	731.9	96	83	96	E 0	NNE 1	ENE 0	1	0	10	.	
2	0.0	3.0	3.0	2.0	−0.9	728.0	724.9	724.6	100	97	97	E 0	ESE 0	E 0	10≡	10	10	7.6	● p-n mU, ≡ n-a
3	2.2	4.3	2.7	3.1	0.4	729.9	730.6	733.2	93	78	75	E 0	ENE 0	E 0	10	5	0	.	
4	−1.5	3.6	1.2	1.1	−1.5	736.5	736.5	737.1	96	**52**	80	E 0	NNE 1	E 0	2	1	0	.	
5	−1.7	4.8	1.0	1.4	−1.1	737.0	734.5	732.8	88	69	96	E 0	NNE 1	E 0	0	1	0	.	
6	−1.0	**11.2**	7.0	5.7	3.3	729.1	727.0	725.3	96	55	88	E 0	ENE 1	E 0	0	4	8	.	
7	5.0	6.2	1.2	4.1	1.8	723.6	725.1	727.3	87	70	93	SE 0	S 1	SSE 0	10	9	10	.	
8	−0.2	5.4	0.6	1.9	−0.3	731.1	729.0	728.2	92	78	86	E 0	NNE 0	E 0	0	2	1	.	
9	4.0	8.0	7.0	6.3	4.2	726.6	723.6	724.2	67	61	91	S 1	S 1	S 2	5	10●	10●	12.0	● a-n mU, ◠ 10
10	6.0	6.4	5.2	5.9	3.9	729.6	729.9	731.0	70	70	91	S 0	S 1	ESE 0	9	9	9	.	
11	2.6	4.5	2.4	3.2	1.3	732.2	734.4	735.6	58	63	75	NNE 1	NNE 3	NNE 1	0	1	1	.	
12	−2.0	2.0	−2.0	−0.7	−2.5	737.9	737.5	737.2	92	64	92	E 0	NNE 1	E 0	0	5	1	.	
13	−4.4	2.5	−1.3	−1.1	−2.8	736.9	735.7	736.0	95	80	96	E 0	NNE 1	E 0	0	0	0	.	
14	−2.3	−1.1	−1.0	−1.5	−3.1	735.5	734.6	735.0	100	98	100	E 0	SSE 0	ESE 0	10≡	10	10≡	.	≡ n-a, p-n
15	−2.7	−0.6	−1.2	−1.5	−3.0	736.0	734.5	735.1	100	100	100	S 0	S 0	S 0	10≡	10≡	10≡	.	≡ n-n
16	−1.5	−1.3	−1.5	−1.4	−2.8	734.3	733.9	734.1	100	100	100	E 0	S 0	S 0	10≡	10≡	10≡	.	≡ n-n
17	−1.5	−0.2	−1.0	−0.9	−2.2	733.8	732.9	734.3	100	100	100	S 0	S 0	S 0	10≡	10≡	10≡	.	≡ n-n
18	−2.2	−0.8	−2.0	−1.7	−2.9	735.0	735.5	736.6	100	100	100	S 0	S 0	S 0	10≡	10≡	10≡	.	≡ n-n
19	−3.5	−1.5	−2.0	−2.3	−3.4	736.8	735.2	734.7	100	100	100	S 0	S 0	S 0	10≡	10≡	10≡	.	≡ n-n
20	−4.0	−1.8	−2.2	−2.7	−3.8	733.8	733.4	735.8	100	100	100	S 0	S 0	S 0	10≡	10≡	10≡	.	≡ n-n
21	−2.4	0.0	−1.0	−1.1	−2.1	738.8	738.6	**739.8**	100	100	100	S 0	S 0	S 0	10≡	10≡	10≡	.	≡ n-n
22	−2.0	−1.5	−1.4	−1.6	−2.5	738.5	736.6	736.1	100	100	100	S 0	S 0	S 0	10≡	10≡	10≡	.	≡ n-n
23	−2.2	−1.5	−1.4	−1.7	−2.5	734.6	733.2	732.0	100	100	100	S 0	S 0	S 0	10≡	1≡	10	.	≡ n-n
24	−2.8	−1.6	−3.0	−2.5	−3.3	729.8	727.0	725.7	100	100	100	S 0	S 0	S 0	10≡	10≡	10≡	.	≡ n-n
25	−2.0	7.2	7.2	4.1	3.4	723.1	719.1	718.3	100	80	76	S 0	S 0	S 1	S 1	8	9	10●	11.0	● p-n
26	6.8	7.2	3.5	5.8	5.2	719.0	720.2	726.2	80	74	93	S 1	S 1	S 1	8	6	10●	2.5	● $15^1/_2$-n mU
27	1.0	4.2	4.0	3.1	2.5	723.3	721.5	720.8	96	80	87	E 0	E 0	ENE 1	9	10●	2	1.8	● p mU
28	3.6	4.2	0.0	2.6	2.1	723.2	723.3	716.2	87	65	89	S 1	S 1	E 0	10	6	0	0.2	✶ n (28./29.)
29	−0.6	2.0	0.4	0.6	0.1	**712.8**	716.6	720.1	92	89	92	E 0	E 0	E 0	9	10	10	0.4	● n (29./30.)
30	1.0	5.0	3.7	3.2	2.8	728.2	730.2	731.3	88	84	83	E 0	ESE 1	E 0	5	3	5	.	
31	3.2	7.4	6.8	5.8	5.4	730.8	728.1	725.5	93	66	83	E 0	E 0	E 0	4	7	5	.	
																		Summe	
Mittel	−0.2	3.0	1.2	1.3	—	730.9	730.1	730.4	93	82	92				6.8	7.0	6.8	35.5	

$\lambda = 8°\ 34'$, $\beta = 47°\ 23'$,
$H_b = 569.4$ m, $G = 0.03$ mm

Zürich

Dezember 1951
Beobachter: *Meteorol. Zentralanstalt.*

Tag	Lufttemperatur					Luftdruck			Relative Feuchtigkeit			Windrichtung und Stärke			Bewölkung			Niederschlag	Witterung
	7^{30}	13^{30}	21^{30}	Mittel	Abweich. vom Normalst	7^{30}	13^{30}	21^{30}	7^{30}	13^{30}	21^{30}	7^{30}	13^{30}	21^{30}	7^{30}	13^{30}	21^{30}		
1	−0.5	2.0	−1.2	0.1	−0.5	718.3	716.7	716.1	99	91	100	S 1	SSW 1	E 1	10≡	10≡	10≡	.	≡ $3^1/_2$-n
2	−1.3	3.1	1.5	1.1	0.6	714.3	713.1	711.8	99	82	97	S 1	SW 1	NE 0	10●	8	10●	13.7	● $20^3/_4$-24, ≡ n-10
3	−0.4	0.8	0.4	0.3	−0.1	713.3	715.5	718.6	99	96	98	WNW 1	WNW 1	SSW 0	10*	10*	10	5.3	✳ 0-11, $12^1/_4$-$13^3/_4$, *)
4	−2.5	1.9	1.9	0.4	0.1	720.3	720.7	721.6	98	61	76	SW 1	SSW 2	S 1	10	10	10	0.3	✳ $15^1/_2$-17, ⌙ l
5	2.7	6.3	1.0	3.3	3.1	721.4	720.1	717.5	83	66	95	S 1	SW 1	S 1	10	4	1	0.0	
6	0.3	7.7	7.4	5.1	5.0	713.6	711.4	709.8	98	51	63	SE 1	WSW 2	SSW 1	7	3	10	4.4	≡ 4-$6^1/_2$, $9^1/_2$-$9^3/_4$, ⌿ $15^3/_4$
7	5.4	3.2	−0.4	2.7	2.6	709.2	712.4	715.4	94	95	97	WSW 1	SSW 1	S 0	10●	10	9≡	8.9	● $5^1/_4$-$1^3/_4$, $12^3/_4$-$13^1/_2$,
8	−0.7	3.6	1.3	1.4	1.4	716.2	714.9	712.6	98	64	75	W 1	SW 2	WSW 1	10≡	2	2	.	≡ n $7^3/_4$ [≡ p-n
9	5.5	8.5	6.9	7.0	7.1	708.7	707.6	706.7	43	57	87	SW 3	SSW 3	SSW 2	10	9	10	6.9	● $15^1/_4$, $15^3/_4$, $18^1/_4$-$20^1/_4$, 23 24.
10	2.2	4.3	1.4	2.6	2.8	710.2	711.4	714.8	91	60	82	WSW 2	SW 3	SW 2	10●	6	10*	0.7	● 0-$0^3/_4$, ✳ p-n mU [⌿ n-n
11	−1.3	3.4	−2.0	0.0	0.3	718.4	720.0	722.7	88	54	71	SW 1	NNE 1	NE 1	2	1	0	0.0	⌙ l
12	−4.5	2.4	−2.6	−1.6	−1.2	722.6	722.0	721.9	87	55	76	ENE 1	NE 1	N 1	0	1	1	0.0	⌙ l
13	−4.0	3.9	−1.7	−0.6	−0.2	721.5	721.0	720.7	94	51	87	SSE 1	ENE 1	NE 1	2	1	0	0.1	⌙ l
14	−5.1	−0.7	−2.8	−2.9	−2.4	719.9	719.7	719.8	98	88	99	SSE 1	S 1	SSE 1	10≡	10≡	10≡	0.1	≡ 7-n, ⌙ l
15	−4.2	−1.9	−3.6	−3.2	−2.6	719.9	719.5	720.0	98	99	98	W 0	S 1	N 1	10≡	10≡	10≡	0.1	≡ n-n, ⌙ l, \ l, ll
16	−5.2	−0.3	0.7	−1.6	2.3	718.6	717.9	718.0	97	99	84	NNW 1	SSW 1	NNE 1	10≡	10≡	9	.	≡ n-n mU
17	−1.1	4.1	−1.0	0.7	1.4	717.9	717.8	718.6	88	67	97	ESE 1	SSW 1	ENE 0	2	1	10≡	0.0	≡ p n mU, ⌙ l
18	−1.9	−0.6	−1.7	−1.4	2.2	719.3	719.4	720.8	99	100	99	SSW 1	SSW 1	WSW 1	10≡	10≡	10≡	0.2	≡ n-n, ⌙ l
19	−0.9	3.3	−1.9	0.2	1.1	721.8	720.4	719.2	99	71	100	SW 1	SSW 1	E 1	10≡	1	0	0.1	≡ n-10, ⌙ l
20	−4.1	1.7	−2.0	−1.5	2.4	718.1	718.2	720.0	97	77	96	SSE 1	SSW 1	E 1	10≡	1	0	0.1	≡ n-a, ⌙ l
21	−3.8	1.4	−1.5	−1.3	2.3	723.6	722.9	**723.7**	98	80	99	E 1	SW 1	SSE 1	0	2	10≡	0.1	≡ n-n mU, ⌙ l
22	−2.5	−1.7	−2.0	−2.1	3.2	723.0	721.5	720.6	98	99	99	SSW 1	SSW 1	S 0	10≡	10≡	10≡	0.1	≡ n-n, ⌙ l
23	−4.7	−3.2	−3.7	−3.9	5.0	719.5	718.0	715.7	99	98	97	SSW 1	SSW 1	S 1	10≡	10≡	10≡	0.1	≡ n-n, ⌙ l
24	−3.4	−2.3	−3.2	−3.0	4.2	714.1	712.5	711.5	97	98	98	S 1	SSW 1	ESE 1	10≡	10≡	10≡	0.2	≡ n-n, \ l
25	−4.6	3.8	6.0	1.7	2.9	708.1	705.9	703.4	97	88	57	ESE 1	W 1	SSW 1	4	10	10	2.0	≡ n-p mU, ⌙ l
26	3.1	3.6	2.4	3.0	4.3	703.1	705.6	711.2	99	91	91	WSW 1	SW 1	SSW 1	10	10●	9	6.3	● $0^3/_4$-$1^1/_4$ ml', ≡ 9-$9^1/_2$
27	0.3	2.7	2.9	2.0	3.3	709.1	705.7	706.2	100	71	84	SSW 1	S 1	SSW 1	7≡	10	10	1.5	● $14^3/_4$-$1^1/_2$ mU, *)
28	0.7	1.9	−0.5	0.7	2.1	705.1	706.8	704.5	97	92	72	WSW 1	SW 2	SSW 1	10*	9	0	1.3	✳ $6^3/_4$-$7^1/_2$, ● $11^3/_4$-$12^1/_4$
29	−3.5	−1.3	−1.5	−2.1	3.5	**698.6**	700.4	707.3	96	85	92	NE 1	S 1	W 0	10-	7	10*	4.1	✳ $21^1/_2$ 24, ≡ $7^1/_2$-$8^3/_4$, *)
30	0.3	1.3	1.4	1.1	2.6	713.6	715.1	714.8	97	96	90	S 1	SSW 1	S 1	1*	10	10	1.8	✳ 0-$3^1/_4$, ● ✳ $5^1/_2$-10
31	2.2	4.3	3.8	3.4	4.9	715.1	714.3	710.4	91	82	93	SSW 1	SSW 1	WSW 1	10	10	1	4.7	● $15^1/_2$-$19^1/_2$
Mittel	−1.2	2.2	0.2	0.4	–	715.4	715.1	715.4	94	79	88				7.9	6.1	6.8	Summe 63.1	

*) 3. $18^1/_2$-$20^1/_4$, ≡ n-10 27. ≡ $6^3/_4$-$7^3/_4$, $9^1/_2$-12, ⌙ l 29. $9^3/_4$-$10^1/_2$, ⌙ l

$\lambda = 6°\ 32'$, $\beta = 46°\ 51'$
$H_b = 1589$ m, $G = -0{,}13$ mm

Chasseron

Dezember 1951
Beobachter: *R. Colomb*

1	6.1	5.8	3.1	5.0	—	633.5	632.3	631.4	28	38	42	SSW 2	WNW 3	SSW 1	2	1	1	.	⌿ ll
2	−1.0	0.2	−1.3	−0.7	—	628.6	628.2	626.9	90	92	99	WSW 3	WSW 3	W 3	9	9	10≡	3.4	✳ n (2/3), ≡ $14^1/_2$ n, ⌿ n-n
3	−6.2	−6.2	−6.7	−6.4	—	627.4	629.0	631.6	100	100	100	WNW 3	NNW 3	NNE 1	10*≡	10≡	10≡	1.7	✳ n-$11^1/_4$, ≡ n-17, 19-n, ⌿ n-p
4	−8.0	−1.8	−1.8	−3.9	—	633.4	634.7	635.9	85	99	100	WNW 2	WNW 2	W 1	4	10≡	10≡	0.4	✳ $17^1/_2$-$18^1/_4$, ≡ $11^1/_4$-n
5	−2.7	4.0	5.8	2.4	—	635.6	635.5	634.1	82	31	20	SW 1	WNW 1	WSW 2	1	2	1	.	
6	4.4	1.4	0.2	2.0	—	629.7	628.1	626.6	36	84	92	WSW 4	S 3	WSW 4	3	4	10	4.0	✳ n (6./7.), ⌿ n-n
7	−2.1	−5.0	−6.0	−4.4	—	624.7	627.1	629.5	00	90	75	WSW 4	NNW 2	— 0	10*≡	3	1	3.3	✳ n-$9^1/_2$, ≡ n $1^1/_4$, ⌿ l
8	−5.8	−3.8	−0.2	−3.3	—	629.7	629.0	627.4	100	76	36	W 2	W 2	SW 4	6	1	5		⌿ p n
9	−0.1	1.1	0.0	0.3	—	625.7	624.3	624.1	98	100	100	SW 4	SW 4	W 4	10≡	10≡	10≡	29.5	● 8-13, ● ✳ $13^3/_4$-n, *)
10	−4.5	−4.6	−5.0	−4.7	—	626.0	627.2	629.4	100	100	100	WNW 4	WNW 4	NW 3	10≡	10≡	10*≡	3.3	✳ 9-$11^3/_4$, $21^1/_4$-n, ≡ ⌿ n-n
11	−9.0	−7.1	−7.6	−7.9	—	630.6	631.8	633.3	86	84	49	NE 2	E 2	E 3	1	1	0	.	⌿ p-n
12	−6.4	−0.4	−1.3	−2.7	—	634.3	635.2	635.1	32	21	32	E 3	E 2	SW 1	1	2	2	.	⌿ n-a
13	−9.8	1.8	2.8	1.3	—	635.0	635.1	635.0	45	40	32	SE 2	SSE 2	S 2	1	1	1	.	
14	5.0	5.1	2.8	4.3	—	634.5	634.4	634.2	23	22	41	S 1	S 1	WSW 3	3	6	1	.	⌿ lll
15	2.1	5.7	2.6	3.5	—	634.2	634.7	634.8	30	32	58	NW 2	NNW 1	NNW 1	1	1	5	.	
16	4.0	5.3	5.8	5.0	—	633.9	634.0	633.4	63	57	45	— 0	NNW 1	E 1	2	5	1	.	
17	5.2	6.7	6.4	6.1	—	633.2	633.4	634.2	48	46	43	E 2	ESE 2	S 2	1	1	1	.	
18	6.2	7.7	4.3	6.1	—	634.5	635.2	636.1	31	45	41	WSW 3	W 2	W 2	1	2	1	.	⌿ l
19	4.8	10.2	4.6	6.5	—	636.6	636.1	635.1	40	30	36	SSE 1	W 1	SE 2	1	1	1	.	
20	4.3	6.4	7.3	6.0	—	633.7	634.0	634.5	36	35	41	SE 3	SE 2	E 1	2	7	3	.	⌿ l
21	3.7	7.8	4.2	5.2	—	636.3	636.8	**637.7**	54	41	47	E 2	E 1	E 2	3	5	1	.	
22	1.8	5.7	3.8	3.8	—	636.9	636.7	635.8	65	57	40	W 3	SE 1	WSW 2	1	1	6	.	⌿ l
23	2.8	4.2	1.3	2.8	—	634.5	633.0	631.6	41	38	44	ESE 2	ESE 2	ESE 2	1	5	6	.	
24	0.8	3.8	0.7	1.8	—	629.5	628.2	627.0	54	46	85	W 2	WSW 2	SW 3	1	1	1	.	⌿ p-n
25	1.0	1.3	−0.7	0.5	—	623.7	622.3	619.6	82	84	100	SSW 3	SSW 3	S 4	6	10	10*-	6.0	● $1^3/_4$-$14^1/_4$, ✳ $17^1/_4$-n, *)
26	−2.8	−3.2	−4.3	−3.4	—	618.6	621.0	625.6	100	100	100	W 3	W 3	WNW 4	10*-	10*	10*-	10.2	✳ n-$15^1/_4$, $17^1/_4$-n, ≡ ⌿ n-n
27	−5.7	−2.0	−3.6	−3.8	—	623.3	620.6	621.4	98	95	100	SE 3	S 4	SSW 2	6	10	10*	3.5	✳ $11^1/_4$-18 ≡ $14^1/_2$-n, ⌿ n-p
28	−5.2	−6.0	−7.3	−6.2	—	619.9	621.5	618.3	100	100	98	SSW 3	W 4	SSE 3	10	10	7	3.2	✳ $8^3/_4$-13 mU, ≡ n-$13^3/_4$, ⌿ n-n
29	−8.1	−6.2	−4.4	−6.2	—	**613.2**	616.0	622.4	99	66	100	SE 3	SE 2	NNW 1	10≡	9	10*	3.3	✳ n-$6^3/_4$, $17^1/_2$-n, ≡ n-$7^3/_4$, *)
30	−5.2	−4.7	−2.6	−4.2	—	626.9	629.1	630.0	100	98	90	NW 3	NW 2	W 2	10	9	10	2.3	✳ n (30 31.), ≡ $13^1/_4$, ⌿ l
31	−0.3	0.2	1.7	0.5		630.3	629.8	627.4	99	98	93	WSW 3	WSW 3	SW 4	10-	10	8	8.9	✳ n (31. 1.). ≡ n-$8^1/_4$, ⌿ n-n
Mittel	−0.7	1.1	0.2	0.2	—	629.9	630.1	630.3	69	66	67				4.7	5.4	5.3	Summe 83.0	

9. ≡ $7^1/_4$-n, ⌿ n-n 25. ≡ 19-n, ⌿ n-n 29. $17^1/_2$-n. ⌿ n-a

Dezember 1951
Beobachter: *B. Minsch und C. Clavuot*

Bever

$\lambda = 9° 53'$, $\beta = 46° 33'$,
$H_b = 1711.8$ m, $G = -0.23$ mm

Tag	Lufttemperatur 7³⁰	13³⁰	21³⁰	Mittel	Abweich. vom Normalst	Luftdruck 7³⁰	13³⁰	21³⁰	Relative Feuchtigkeit 7³⁰	13³⁰	21³⁰	Windrichtung und Stärke 7³⁰	13³⁰	21³⁰	Bewölkung 7³⁰	13³⁰	21³⁰	Niederschlag	Witterung
1	-10.2	2 3	-7.6	-5 2	1.2	625.9	623.5	623.7	97	41	79	SW o	W o	SW o	o	o	o	.	⌴ I
2	-9.2	1.5	-4.8	-4.2	2.4	621.1	619.1	618 4	89	62	80	S o	SW 1	SW o	9	9	5	.	⌴ I
3	-6.2	-3 4	-5.3	-5.0	1.7	617.3	617.9	621.3	96	72	64	NE o	NW 1	N 1	10	10	10	1.2	✳ $14^1/_2$-n mU
4	-14.6	-3.2	-2.0	-6 6	0.3	624.4	624.9	627.7	88	50	67	W o	SE o	S o	o	7	10	.	
5	-7.0	1.8	-6 8	-4.0	3.0	627.0	627.3	627.1	99	62	72	SW o	SW o	SW o	6	5	o	.	
6	-8.3	2 3	-0.3	-2.1	5.1	623 3	621.1	619.5	87	62	98	SW o	SW 1	W 1	5	4	10*	5.3	✳ 20-n, ⌴ I
7	-0.8	1.3	-7.6	-2.4	4.9	616.9	615.8	619.8	98	88	85	SW 1	E 1	NW o	10*	10*	1	2.1	✳ n-$14^1/_2$
8	-17.7	-10.3	-15.9	-14.6	-7.2	622.1	621.3	621 3	97	82	94	SW o	W o	SW o	o	o	o	.	⌴ I
9	-10.0	-0.6	-2.2	-4.3	3.3	618.6	617.2	617.0	97	49	64	SW o	SW o	SW 1	8	8	4	.	⌴ I
10	-6.0	0.4	-3.1	-2.9	4.8	614.5	615.8	617.8	86	42	46	W 1	N o	E 2	3	2	2	.	✣ 17-n
11	-7.0	-5.2	-14.3	-8.8	-1.0	620.4	622.6	626.1	53	42	69	SW o	W o	SW o	5	4	o	.	⌴ III
12	-18.9	-9 1	-13.8	-13 9	-5.9	627.3	626.4	627.4	94	63	78	SW o	SW o	SW o	o	1	1	.	⌴ I
13	-13 4	-3.0	-10.4	-8.9	-0.8	627.3	626.6	627.2	96	65	82	S o	SW o	SW o	4	1	2	.	⌴ I
14	-13.1	-4.6	-8.7	-8.8	-0.6	6 6.6	626.2	627.0	95	65	81	SW o	S o	S o	o	o	o	.	⌴ I, III
15	-12.4	-4.3	-10.4	-9.0	-0.7	626.0	625.4	626.5	9	62	78	SW o	SW o	SW o	1	o	o	.	⌴ I, III
16	-10.7	-1.4	-4.1	-5.4	3.1	626.3	624.7	625.3	94	67	85	S o	SW o	S o	8	5	3	.	⌴ I
17	-5.0	1.6	-4.5	-2.6	6.0	625 2	625.0	626.7	99	75	99	SW o	SW o	SW o	1	1	o	.	⌴ I
18	-7.8	-0.6	-7.2	-5.2	3.5	627.3	626.1	628.0	99	77	92	S o	SW o	SW o	o	o	o	.	⌴ I
19	-11.4	-2.2	-9.8	-7.8	1.0	628.7	628.2	629 6	96	67	8	SW o	S o	S o	1	1	o	.	⌴ I, III
20	-11.4	-1.1	-8.6	-7.0	1.9	629.2	628.5	630.0	99	68	90	S o	SW o	SW o	1	1	o	.	⌴ I
21	-10.7	-1.4	-9.6	-7.2	1.8	631 1	630.5	630.8	100	76	90	SW o	W o	W o	o	o	o	.	⌴ I
22	-11.9	1.2	-11.0	-7.2	1.9	630.2	628 8	628.8	97	74	89	SW o	SW o	W o	o	o	o	.	≡ a mU, ⌴ I, III
23	-11.7	1.8	-7.4	-5.8	3 3	627.4	625.7	625 9	96	77	80	SW o	SW o	SW o	1	o	1	.	⌴ I, III
24	-11.1	-1.8	-4.4	-5.8	3.4	623.5	621.4	621.3	85	52	73	SW o	SW o	SW o	1	o	4	.	⌴ I
25	-6.3	0.1	-1.2	-2.5	6.8	618 9	618.1	615.4	85	69	73	W o	SW o	SW o	8	8	10	8 1	
26	-2.3	0 2	-4.7	-2.3	7.0	611.7	611.2	616.3	100	84	96	NE o	NE o	SW o	10	10	10	7.2	✳ n-18 mU
27	-16.1	-4.5	-5.1	-8 6	0.8	617.6	615 1	614.3	98	62	86	S o	SW o	S o	3	10	10		⌴ I
28	-5.9	-2.9	-12 8	-7.2	2.2	611 4	611.4	611.8	99	69	93	NE o	N o	SW o	10	10	o	0.0	✳ n-$8^1/_2$
29	-20 8	-11.3	-19.0	-17.0	-7.5	6 8.5	608 4	613.7	95	77	91	SW o	SW o	SW o	o	o	o	.	⌴ I
30	-10.5	-2.8	-9.8	-7.7	1.8	617.6	620.2	622.1	92	60	89	SW o	NE 1	S o	9	3	9	.	⌴ I
31	-7.5	-3.3	-5.1	-5.3	4.3	621.9	621.1	620.4	91	74	98	SE o	W o	S o	9	8	o	.	⌴ I
Mittel	-10 2	-2.0	-7.7	-6.6		622.4	621 8	622 3	93	66	82				4.0	3.8	3.0	Summe 23 9	

Dezember 1951
Beobachter: *Couvent des Capucins.*

Sion

$\lambda = 7° 21'$, $\beta = 46° 14'$,
$H_b = 548.6$ m, $G = -0.11$ mm.

1	-0 2	7 3	1.2	2 8	1.0	721.3	718.0	7 8.3	88	52	84	ENE	ENE o	ENE o	o	o	o	.	
2	-2.1	3 8	2.1	1.3	-0 3	716.2	714.0	714.0	100	8	99	ENE o	ENE 1	ENE 1	10≡	5	10	2.5	● 20-21, ≡ n-a, 20-$21^1/_4$
3	2.2	4.5	0.5	2.4	0.9	714.4	715.	719.5	97	70	82	W 2	NW 2	NNW o	10	9	o	.	
4	-2.2	1.9	1.2	0.3	-1 1	723.6	723.7	725.4	85	55	71	NNW .	NNW o	NNW 1	o	2	5	.	⌔ III
5	-1.7	5.2	1.6	1 7	0.5	724.8	722.4	721.2	91	55	81	NNW o	NNW o	NNW 1	1	1	o	.	
6	1 8	5.3	3.2	3 4	2.3	716.9	714.7	714.2	69	64	76	NNW 1	SW o	SW 1	1	9	10	6.7	● n (6./7.)
7	2.8	5.1	2.0	3.3	2.3	713 0	713.7	717.2	100	97	86	S o	S 1	N o	10●	10	o	2.1	● n-12
8	0.4	3.3	-0.3	1.1	0.2	719.4	717.7	716.6	76	57	75	N 1	NE 1	NE 1	1	1	2	.	
9	0.1	5 1	2.0	2.4	1.7	714.6	712.7	712.5	72	53	100	NE 1	NE 1	N o	10	8	10●	7.2	● 17-n
0	3.4	8 2	3.1	4.9	4.3	713.3	714.1	716.6	100	48	63	N 1	WSW 3	W 1	1	2	3	.	
11	1.2	3 9	0.0	1.7	1.2	718.6	719.7	722.1	66	57	72	ENE 1	ENE 1	ENE 1	o	2	1	.	
12	-3 4	1.1	-2.1	-1.5	-1.9	724.6	723.7	723.8	77	55	73	NE o	ENE o	ENE o	o	1	o	.	
13	-4 2	2 6	-0.6	-0.7	-1.0	724.2	722.7	722 5	87	66	73	ENE .	ENE o	ENE o	o	o	o	.	
14	-1.6	4.2	-0.5	0 7	0.5	722.8	721.3	721.3	71	60	93	ENE .	ENE o	ENE o	1	8	5	.	
15	-2.1	3 9	0.0	0.6	0.5	722 5	721.2	722.4	85	60	76	ENE o	ENE o	ENE o	o	o	1	.	
16	-0.8	5.6	0.8	1.9	1.9	721.6	719.7	720.7	75	57	78	ENE o	ENE o	ENE o	o	2	o	.	
17	0.0	5.9	1.3	2.4	2.5	720.1	719.2	721.2	82	61	88	ENE o	ENE o	ENE 1	o	1	o	.	
18	0.7	6.2	1.6	2.8	2 9	722.2	721.5	723.8	96	61	79	ENE o	ENE o	ENE 1	o	o	o	.	
19	-0.3	6.6	1 4	2.6	2.8	724.8	722.5	723.2	78	52	67	ENE 1	ENE o	ENE 1	o	2	o	.	
20	4.1	7.8	7.4	6.4	6.7	722.3	721.4	723.3	54	41	47	ENE 2	ENE 1	ENE 2	o	3	o	.	
21	2.1	7.3	-0.2	3.1	3.4	725.4	724 4	726.4	70	57	100	ENE .	ENE 1	ESE o	o	2	10≡	.	≡ p-n
22	3 5	2.6	-0.2	2.0	2 4	725.8	723.5	723.3	100	81	90	ESE o	ENE 1	ENE 1	10≡	o	o	.	≡ n-a
23	-1.1	4.0	0.2	1.0	1.5	722.3	719.3	718.7	75	60	97	ESE o	ESE o	ENE o	1	4	5	.	
24	1.1	2.7	1.2	1.7	2.2	716.7	714.7	714.4	60	80	60	E o	WSW o	E 1	1	o	o		
25	2.6	6.7	6.2	5.2	5.8	712.8	710.7	708.7	57	47	49	NE 1	NE 1	NE o	1	8	10	14.9	● ✳ n (25./26.)
26	2.0	3.1	2 7	2.6	3.2	7 7.5	708.6	713.6	100	97	96	ENE 1	ENE o	W o	10*●	9	5	2.4	● ✳ n-$10^3/_4$
27	0.2	2.6	0.7	1.2	1.0	713.8	711.5	710.9	85	61	100	NE 2	NE o	NE o	1	9	10*	2.4	✳ $18^1/_2$-23
28	-2.7	2.6	-2.0	-0.7	0.0	708.2	710.	708.7	100	94	73	NE .	ENE o	NNE 1	10≡	7	o	0.5	✳ 10-$11^1/_2$, ≡ n-a
29	-4.0	0.3	-0.4	-1.4	-0.7	702.7	703.4	710.6	81	53	75	NNE 1	NNE 1	NNE o	8	5	10	0.7	
30	0.2	4.2	1.8	2.1	2.9	715.5	717.0	719.	100	80	90	NNE .	NNE o	NNE o	10	8	9	.	✳ $4^3/_4$-$5^1/_2$
31	1.9	4.7	3.9	3.5	4.3	718.9	717.6	715.3	91	68	81	NNE 1	NNE 1	NNE o	9	8	1	1.2	✳ n (31./1.)
Mittel	0.1	4.5	1.3	2.0	—	718.4	717.5	718.4	83	64	80				3.4	4.1	3.5	40.6	

$\lambda = 8°\,57'$, $\beta = 46°\,0'$,
$H_b = 276.2$ m, $G = -0.01$ mm.

Lugano

Dezember 1951
Beobachter: *G. Vicari.*

Tag	Lufttemperatur 7³⁰	13³⁰	21³⁰	Mittel	Abweich. vom Normalst	Luftdruck 7³⁰	13³⁰	21³⁰	Relative Feuchtigkeit 7³⁰	13³⁰	21³⁰	Windrichtung und Stärke 7³⁰	13³⁰	21³⁰	Bewölkung 7³⁰	13³⁰	21³⁰	Niederschlag	Witterung
1	0.8	10.2	3.4	4.8	0.8	744.6	743.0	742.9	82	44	67	N 1	S 1	NW 1	0	0	4	.	⌊ |
2	4.4	7.6	5.2	5.7	1.8	740.5	739.1	737.8	74	60	84	N 1	SSW 1	W 1	10	10	10	0.1	● tr $14^3/_4$, ☽ n (2./3.)
3	4.8	9.8	5.2	6.6	2.8	735.4	734.2	733.9	97	23	16	N 1	NNE 1	NNE 2	10☽	10	0	0.2	☽ n-8
4	0.8	10.4	3.2	4.8	1.2	743.9	744.3	744.9	32	24	43	N 1	E 1	W 1	0	0	0	.	⌊ |
5	2.2	10.8	3.4	5.5	2.0	744.7	744.7	745.5	33	33	48	N 1	S 1	NW 1	8	0	0	.	
6	2.8	7.2	5.4	5.1	1.7	744.1	742.3	739.9	80	66	99	N 1	S 1	NNW 1	10	10	10●	10.5	● $14^1/_2$-$16^1/_2$, 19-n
7	5.4	7.2	5.6	6.1	2.8	737.2	735.5	737.6	99	75	73	N 1	E 1	N 1	10●	9	0	0.9	● n-$10^1/_2$
8	0.4	9.8	2.2	4.1	0.9	741.3	741.6	741.1	65	34	72	N 1	SSE 1	N 1	0	0	0	.	⌊ ≀ |
9	1.6	8.6	2.8	4.3	1.1	739.0	737.5	736.7	68	37	57	N 1	S 1	NNW 1	9	9	10	.	⌊ ⌊ |
10	0.4	9.8	7.8	6.0	2.9	734.7	733.1	734.7	72	38	22	NW 1	ESE 1	N 1	0	0	0	.	⌊ ⌊ |
11	8.4	12.4	5.2	8.7	5.7	737.6	741.3	745.3	15	13	11	NNE 2	N 1	NNE 2	0	0	0	.	
12	-1.8	7.2	-0.8	1.5	-1.4	748.3	749.0	749.6	34	25	4	N 1	E 1	N 1	0	0	0	.	≀ |
13	-2.4	7.4	-0.4	1.5	-1.4	748.5	746.5	745.4	53	30	53	N 1	S 1	N 1	0	0	0	.	
14	-2.0	8.4	1.4	2.6	-0.2	744.8	744.1	744.0	62	36	67	N 1	SSW 1	NNW 1	0	1	0	.	
15	-0.8	9.2	2.4	3.6	0.9	44.4	743.6	743.9	63	44	65	N 1	SSW 1	NNW 1	0	0	0	.	
16	-0.4	9.4	2.4	3.8	1.2	743.4	742.0	740.8	61	43	6	N 1	S 1	WNW	0	5	0	.	
17	1.4	9.6	3.2	4.7	2.1	74 .0	741.9	745.4	75	62	85	N 1	SSW 1	WNW 1	0	0	3	.	⌊ |
18	1.2	7.6	2.2	3.7	1.2	747.1	746.2	747.1	99	66	95	N 1	SSE 1	NNW 1	10≡	0	3	0.0	≡ 7-8
19	0.4	3.4	-0.2	1.2	-1.2	747.4	747.6	748.6	100	100	99	N 1	E 1	N 1	10≡	10≡	2	.	≡ n-20
20	-0.2	9.4	2.4	3.9	1.5	748.4	747.9	749.1	95	47	71	N 1	S 1	N 1	1	0	0	.	
21	0.4	9.4	3.2	4.3	2.0	750.4	749.8	**751.2**	84	47	75	N 1	S 1	WNW 1	0	0	0	.	⌊ |
22	0.4	9.0	2.4	3.9	1.7	749.7	748.3	747.9	88	53	79	N 1	SE 1	NNW 1	0	0	0	.	⌊ ⌊ |
23	0.8	7.4	3.2	3.8	1.6	746.3	745.0	745.1	73	58	78	N 1	SSE 1	NNE 1	0	9	10	.	⌊ |
24	0.2	7.0	4.6	3.9	1.8	743.8	741.8	742.0	73	53	66	N 1	S 1	— 0	0	2	10	.	⌊ ⌊ |
25	3.2	5.4	3.4	4.0	2.0	739.7	737.8	736.0	77	66	9	NNE 1	E 1	— 0	10	10	10	16.7	✶ ● n (25./26.)
26	1.0	2.4	1.4	1.6	-0.4	731.2	730.6	732.8	99	97	97	SW 1	N 1	SSE 1	10●*	9	0	5.3	✶ ● n-a
27	1.8	7.6	3.2	4.2	2.3	735.3	735.0	732.9	40	36	43	NNE 1	E 1	N 1	0	10	10	.	
28	2.4	6.4	2.8	3.9	2.1	729.7	728.8	728.5	40	51	62	N 1	SSW 1	N 1	8	8	0	.	
29	-1.4	4.8	-1.2	0.7	1.1	**726.3**	726.8	731.5	53	34	57	N 1	SSW 1	N 1	3	3	0	.	
30	-2.4	6.2	3.4	2.4	0.7	735.2	737.0	740.6	59	43	62	N 1	S 1	NW 1	0	5	10	.	
31	0.2	6.8	1.2	2.7	1.0	741.8	741.2	740.1	71	52	71	N 1	SW 1	N 1	0	6	0	.	
																		Summe	
Mittel	1.1	8.0	2.9	4.0	—	741.4	740.9	741.5	68	48	65				3.5	4.0	3.0	33.7	

$\lambda = 7°\,35'$, $\beta = 47°\,33'$,
$H_b = 317.3$ m, $G = 0.11$ mm.

Basel

Dezember 1951
Beobachter: *Astronom.-Meteorol. Anstalt.*

1	-0.9	2.0	2.1	1.1	-0.9	740.4	739.6	739.0	100	94	91	E 1	E 0	E 1	10≡	10≡	10	.	≡ 1-17
2	0.1	4.0	2.9	2.3	0.4	736.4	735.1	735.6	94	84	88	SSE 1	E 1	E 0	8	10	10	6.9	
3	0.9	4.6	2.2	2.6	0.9	736.2	738.4	741.4	94	79	96	WSW 1	WSW 1	SW 1	10*	6	7	0.3	✶ $1^3/_4$-$7^3/_4$, ● $7^3/_4$-$10^1/_4$
4	-0.6	4.8	2.8	2.3	0.7	743.1	742.9	744.1	98	71	93	E 1	SSE 1	E 0	8	10	10	0.8	● $16^1/_4$-$17^1/_4$, ⌊ |
5	4.0	9.8	2.3	5.4	3.9	743.7	742.4	739.8	95	62	91	S 1	S 1	ESE 1	10	2	1	.	
6	1.0	7.8	5.2	4.7	3.3	735.5	733.3	731.9	89	62	86	ESE 1	E 1	E 0	4	4	10	2.8	● $20^3/_4$-21, ⌊ |
7	5.6	5.2	-0.9	3.3	2.0	731.8	735.0	738.1	94	78	98	WNW 1	W 1	SSW 0	10●	10	0	3.1	● $3^3/_4$-11 mU, ≡ n (7./8.)
8	-2.2	3.8	-1.7	0.0	-1.2	738.4	737.3	734.7	100	73	100	E 1	E 1	E 1	1	3	2	0.0	≡ 7-$7^1/_4$, $7^3/_4$-a, ⌊ ⋁ |
9	0.5	8.7	5.9	5.0	3.9	730.0	728.7	729.2	87	86	90	E 1	WNW 1	WSW 2	10	10●	10●	6.5	● $9^1/_2$-$14^3/_4$ mU, $20^3/_4$-22.*)
10	5.0	5.3	3.4	4.6	3.6	733.0	733.8	737.5	72	68	80	WSW 2	WSW 2	WSW 1	10	10●	9	2.3	● $5^1/_4$-$5^1/_2$, △ $9^3/_4$-10, *)
11	-2.1	3.1	-1.5	-0.2	-1.2	741.3	742.9	745.1	98	76	78	S 1	N 1	E 0	1	1	0	.	⌊ |
12	-6.0	2.7	-1.0	-1.4	-2.3	745.7	744.5	744.4	100	**47**	78	NW 0	NE 1	ESE 1	3≡	3	1	.	≡ 7-$8^1/_2$
13	-3.8	3.5	-0.9	-0.4	-1.2	743.8	743.1	742.5	95	60	82	ESE 1	ESE 1	ESE 1	1	0	0	.	⌊ ∈ |
14	-3.1	3.0	-2.1	-0.7	-1.4	742.3	742.1	741.9	89	68	92	ESE 1	ESE 1	ESE 1	1	7	1		
15	-2.8	3.0	-1.7	-0.5	-1.1	742.3	741.5	742.0	96	74	94	ESE 1	ESE 1	E 1	1	3	1	.	⌊ |
16	-3.0	3.0	0.8	0.3	-0.3	740.6	740.1	739.8	96	76	89	ESE 2	E 2	ENE 1	1	1	1	.	
17	-1.7	5.0	0.8	1.7	1.2	740.0	740.0	740.9	94	68	90	ESE 1	SE 1	ESE 1	1	0	0	.	⌊ |
18	0.4	2.9	-1.4	0.6	0.2	741.2	741.6	743.2	90	78	100	ESE 1	E 1	ESE 1	0	0	2≡	.	≡ 18-n, ⌊ |
19	-1.9	5.8	1.0	1.6	1.3	743.7	742.0	740.6	94	67	87	E 1	E 1	E 1	1	6	0	.	≡ n-4, ⌊ |
20	-1.2	5.8	-1.2	1.1	0.9	739.2	739.8	742.3	84	61	92	E 1	S 1	SE 1	4	3	0	.	⌊ ∈ |
21	-3.0	3.2	-1.4	-0.4	-0.6	745.8	745.3	**746.5**	98	73	94	ESE 1	ESE 1	NE 1	0	6	0	.	⌊ ⌊ |
22	-2.5	1.4	-1.2	-0.8	-0.9	745.2	743.8	742.9	100	85	94	SE 1	SE 1	E 1	0	0	0	.	⌊ ⋁ |
23	-3.0	0.9	-2.7	-1.6	-1.6	741.9	740.0	738.2	94	82	98	E 1	ESE 1	E 1	1	7	0	.	⌊ ⌊ |
24	-3.2	1.2	-0.6	-0.8	-0.7	736.1	734.3	732.6	96	87	88	E 1	E 1	E 2	0	0	8	.	⌊ ⌊ |
25	-1.4	3.2	3.1	1.6	1.7	729.2	727.2	724.4	82	78	90	E 2	E 1	ESE 1	10	10	10	4.2	● $19^1/_2$-$19^3/_4$, $20^1/_2$-$21^1/_4$
26	3.3	5.6	3.4	4.1	4.3	725.1	727.7	733.4	95	80	90	NW 3	WSW 1	WSW 1	10●	10	0	1.7	● $23^1/_2$-$1^1/_2$, 2-$2^1/_2$, *)
27	0.4	5.0	2.8	2.7	3.0	731.3	726.7	727.7	96	74	82	ESE 1	E 1	S 1	10	10	0	0.9	● 16-$16^1/_2$, ⌊ ≀ |
28	2.0	4.0	2.8	2.9	3.2	727.2	729.0	720.4	89	67	80	SW 1	W 1	S 1	8	9	0	0.0	● 5-$5^1/_4$, $9^1/_4$-$10^1/_4$
29	0.0	3.0	0.8	1.3	1.7	720.9	**722.8**	729.6	78	68	90	SE 1	ESE 1	E 1	6	8	10*	4.2	✶ $19^1/_4$-$19^1/_2$, $20^3/_4$-$23^1/_4$
30	2.0	3.4	2.0	2.5	2.9	735.3	737.6	737.1	94	85	93	SW 1	WNW 1	S 1	10	10	10	2.2	✶ 0-$5^1/_2$, ● 23-24
31	1.8	4.8	4.4	3.7	4.2	737.3	736.4	731.3	98	92	93	E 1	E 1	E 1	10	10●	5	2.6	● $2^1/_2$-$3^1/_4$, $13^1/_2$, $15^1/_2$-16
																		Summe	
Mittel	-0.5	4.2	1.0	1.6	—	737.5	737.3	737.5	93	74	90				5.0	5.8	3.8	39.1	

*) 9. ⸗ $19^1/_4$-$21^3/_4$ mU 10. ● $13^1/_2$-$20^1/_4$ mU, ⸗ 11, 14, $14^3/_4$ 26. $7^1/_2$-8, $16^1/_4$-$16^3/_4$, ⸗ 1

Dezember 1951
Beobachter: *Observatorium.*

Säntis

$\lambda = 9° 20'$, $\beta = 47° 15'$,
$H_b = 2500.1$ m, $G = -0.27$ mm

Tag	Lufttemperatur 7³⁰	13³⁰	21³⁰	Mittel	Abweich. vom Normalst	Luftdruck 7³⁰	13³⁰	21³⁰	Relative Feuchtigkeit 7³⁰	13³⁰	21³⁰	Windrichtung und Stärke 7³⁰	13³⁰	21³⁰	Bewölkung 7³⁰	13³⁰	21³⁰	Niederschlag	Witterung
1	-1.8	-0.9	-2.7	-1.8	4.6	566.5	565.1	563.6	21	54	68	W 3	W 4	WSW 4	1	1	0	.	a-n
2	-3.3	-3.6	-5.6	-4.2	2.3	561.6	560.3	558.9	66	58	10	W 2	W 3	W 3	8	10	10≡	8.7	≡ $1^1/_2$-n
3	-10.8	-11.1	-12.8	-11.6	-5.1	556.8	559.2	561.5	100	98	96	W 3	N 2	N 2	10≡*	10≡*	10≡	11.3	• n-$17^1/_2$, ≡ n-n
4	-11.9	-9.2	-6.6	-9.2	-2.6	563.4	564.5	566.2	47	62	100	NW 2	W 3	WSW 4	2	10	10≡	2.0	* $13^3/_4$-$19^1/_2$ mU, ≡ 14-n, ⊹ 8-n
5	-3.8	-2.2	0.0	-2.0	4.7	566.8	567.5	567.2	98	28	14	W 4	WSW 4	WSW 3	3	4	0	.	≡ n-7, 🌧 n-p [V III, 🌧 p-a
6	-1.5	-0.2	-4.8	-2.2	4.6	563.6	561.1	559.0	53	36	92	W 3	S 2	SSW 3	8	2	10	2.4	
7	-5.6	-9.1	-12.7	-9.1	-2.2	557.0	557.7	560.3	100	100	60	W 3	WNW 3	W 2	10≡*	10≡*	0	11.7	* n-$15^1/_2$, ≡ n-$19^1/_4$
8	-7.5	-5.0	-5.6	-6.0	0.9	561.1	561.0	559.4	24	14	24	SW 1	WSW 2	W 4	0	1	1	.	🌧 III
9	-5.0	-3.6	-4.5	-4.4	2.6	557.7	556.4	555.2	68	94	100	W 4	WSW 5	W 4	10	10	10≡*	7.6	* $15^3/_4$-n, ≡ 16-n, *)
10	-9.9	-10.5	-11.8	-10.7	-3.6	554.3	555.0	557.9	00	100	100	W 5	W 5	WNW 4	10≡	10≡	10≡*	24.5	* $14^1/_4$-$15^3/_4$, $17^1/_2$ n, *)
11	-14.9	-14.4	-16.0	-15.1	-7.9	560.5	562.0	564.2	96	95	68	NW 2	N 2	ENE 3	10≡	7	1	.	* n-6, ≡ n-$10^1/_2$, [18-$19^1/_4$
12	-8.7	-5.0	-4.3	-6.0	1.2	565.9	566.8	567.6	29	12	24	NNE 3	N 2	N 2	0	1	2	.	
13	-2.6	-0.8	-0.5	-1.3	6.0	567.5	567.9	568.1	16	24	6	NNW 3	NW 1	N 2	4	1	1	.	
14	-2.3	0.0	-1.2	-1.2	6.2	567.4	567.6	567.2	18	15	15	NE 1	E 1	W 1	1	1	10	.	
15	-3.9	-3.2	-4.2	-3.8	3.6	566.0	566.1	566.7	28	27	62	WSW 3	WSW 3	W 3	1	1	3	.	🌧 a
16	-2.1	-0.4	0.0	-0.8	6.7	566.2	566.4	566.8	52	54	100	W 3	W 2	NNW 3	2	5	10	0.0	* fl $20^1/_4$-$20^3/_4$, ≡ 20-n [mU
17	0.4	2.8	1.8	1.7	9.3	566.8	567.3	567.9	68	60	57	NNE 2	ESE 2	E 2	5	3	1	.	
18	-1.0	-0.5	-2.4	-1.3	6.3	567.4	568.2	568.6	70	56	36	WSW 3	WSW 3	WSW 3	1	1	1	.	
19	-3.9	0.4	-0.5	-1.3	6.4	569.0	568.8	568.4	45	42	19	W 3	NNW 1	SSW 2	10	2	0	0.2	* 9-$9^1/_4$
20	-0.5	3.3	3.4	2.1	5.6	567.7	568.2	569.4	14	12	6	SW 2	WSW 2	N 1	1	2	2	.	
21	0.6	3.4	1.8	1.9	9.7	570.8	571.7	571.6	22	16	22	ENE 2	NE 2	NE 2	0	2	1	.	
22	1.2	2.4	-2.0	0.5	8.3	570.4	569.3	568.4	26	25	34	ENE 2	SSE 2	WSW 3	1	1	3	.	
23	-2.6	1.4	-0.2	-0.5	7.3	567.5	566.5	565.2	16	22	22	SE 1	SSE 1	SW 2	1	7	3	.	
24	-2.4	-1.8	-4.0	-2.7	5.2	563.0	561.7	560.4	22	23	54	SW 3	SW 3	WSW 3	1	1	0	.	🌧 p
25	-4.4	-3.4	-4.8	-4.2	3.7	557.7	556.5	553.9	61	57	67	SW 3	WSW 2	SW 3	3	10	10	6.4	
26	-6.7	-8.2	-9.7	-8.2	-0.3	552.2	552.6	556.8	98	100	100	W 3	W 3	W 3	10≡*	10≡*	10≡*	27.3	* ≡ n-n, ⊹ 11-n, V a
27	-12.4	-6.8	-9.2	-9.5	-1.5	556.0	554.2	553.7	69	27	96	SSW 2	W 3	W 3	7	10	4	1.8	* $15^1/_2$-19^1 s, ≡ 18-21, ⊹ $8^1/_2$-12
28	-9.6	-10.2	-14.2	-11.3	-3.3	551.8	552.5	551.3	97	98	90	WNW 3	WNW 2	WSW 3	10≡*	10≡*	0	10.2	* n-$9^3/_4$. $12^1/_2$-$16^1/_2$, ≡ n-18
29	-10.8	-9.1	-11.5	-10.5	-2.5	547.0	548.4	553.1	34	16	84	SW 1	NW 1	W 2	2	1	10	6.6	* n (29/30), ≡ 22-n
30	-10.4	-10.0	-10.9	-10.4	-2.3	557.4	559.0	560.7	94	93	45	W 2	W 2	WSW 4	10≡	10≡*	10	7.9	* $9^1/_2$-$13^3/_4$, n (30. 31) *)
31	-3.7	-4.6	-3.3	-3.9	4.2	562.0	561.4	559.0	100	95	100	W 4	W 4	WSW 3	10≡	10≡	1	11.3	* $15^3/_4$-$20^1/_4$, ≡ n-$14^1/_2$,*)
Mittel	-5.2	-3.9	-5.1	-4.7	–	562.2	562.3	562.6	56	52	60				4.9	5.3	4.6	Summe 130.0	

*) **9.** ⊹ $16^1/_2$-n, V III, 🌧 n-n, 🌧 II **10.** ≡ ⊹ n-n, V I, 🌧 p-n, 🌧 II **30.** ≡ n-16, V II, 🌧 III **31.** $15^3/_4$-21, 🌧 n-p

Dezember 1951
Beobachter: *E. Chiesa*

St. Gotthard (Hospiz)

$\lambda = 8° 34'$, $\beta = 46° 33'$,
$H_b = 2095$ m, $G = -0.25$ mm

1	-0.7	2.9	-2.4	-0.1	5.5	590.4	595.2	594.3	7	7	22	SE 0	SE 0	NW 0	0	0	0	.	
2	-3.6	-2.1	-4.8	-3.5	2.2	591.5	590.8	589.4	39	61	88	NW 0	NW 0	NW 1	3	3	3	.	
3	-7.4	-8.0	-11.0	-8.8	-3.1	587.3	588.1	59[illegible]	96	100	95	NW 3	NW 3	NW 4	10≡	10	10	1.2	≡ n-a, ⊹ a-n, 🌧 n-n,
4	-10.4	-6.5	-5.0	-7.3	-1.4	593.1	594.5	596.5	94	75	46	NW 3	NW 3	NW 2	0	0	0	.	🌧 n-p [🌧 II
5	-1.9	2.9	-1.0	0.0	5.9	597.0	597.6	597.1	63	8	15	NW 1	NW 0	NW 0	0	0	0	.	
6	-2.4	-3.9	-3.6	-3.3	2.7	594.3	592.4	590.5	31	97	100	SE 0	SE 2	SE 1	6	10≡	10*≡	2.9	* 21-n, ≡ $13^1/_4$-n
7	-4.3	-5.4	-8.9	-6.2	-0.1	587.7	587.8	59[illegible]	100	97	94	SE 1	SE 2	NW 2	10≡	10≡	3	.	≡ n n mU, ⊹ II, ⊙ III
8	-7.0	-5.1	-6.9	-6.3	-0.1	591.[illegible]	591.5	590.2	10	27	34	NW 1	SE 0	SE 1	0	0	0	.	
9	-7.0	-4.4	-6.9	-6.1	0.1	589.2	589.2	589.2	35	34	97	SE 1	SE 0	SE 0	9	6	10*	2.3	* $20^1/_2$-n
10	-4.0	-5.8	-7.3	-5.7	0.6	586.4	587.1	588.4	42	81	75	NW 2	NW 1	NW 3	0	0	3	.	🌧 III
11	-11.0	-10.9	-14.0	-12.0	-5.6	590.0	592.2	594.3	100	95	72	NW 3	NW 2	NW 2	10≡	3	0	.	≡ n-a, 🌧 I
12	-7.4	-2.5	-2.2	-4.0	2.4	595.4	596.3	596.9	4	3	11	NW 2	NW 1	NW 1	0	0	0	.	
13	-2.3	-0.6	-0.2	-1.0	5.5	597.2	597.1	597.2	17	19	11	NW 1	NW 1	NW 1	0	0	0	.	
14	-0.8	1.5	-0.4	0.1	6.6	596.8	596.8	596.6	12	14	15	NW 1	NW 1	NW 1	0	0	3	.	
15	-2.0	0.3	-1.8	-1.2	5.4	596.3	596.3	596.4	12	21	40	NW 1	NW 1	NW 1	0	0	0	.	
16	-1.9	1.8	0.9	0.3	6.9	596.2	595.9	596.1	42	35	46	NW 1	NW 2	NW 1	0	0	0	.	
17	2.0	3.3	0.5	1.9	8.5	596.1	596.1	596.8	74	64	67	NW 1	NW 1	NW 0	0	0	0	.	
18	-0.9	2.0	-1.0	0.0	6.7	597.0	597.4	597.8	75	56	54	SE 0	NW 2	NW 1	0	0	0	.	
19	-3.2	0.9	-2.4	-1.6	5.1	598.4	598.3	598.7	46	28	52	NW 2	NW 0	SE 1	0	0	0	.	
20	-2.5	0.7	-0.8	-0.9	5.8	598.7	598.7	599.6	75	71	65	SE 1	SE 1	SE 1	0	0	0	.	
21	-3.0	2.1	0.0	-0.3	6.5	599.8	601.0	600.9	67	62	41	SE 1	SE 0	SE 0	0	0	0	.	
22	-3.5	0.7	-3.2	-2.0	4.8	600.2	599.4	598.9	45	56	54	SE 0	SE 0	SE 0	0	0	0	.	
23	-5.0	0.0	-2.2	-2.4	4.4	597.5	596.3	595.9	41	49	51	SE 0	SE 0	SE 1	0	0	0	.	
24	-5.9	-1.7	-4.2	-3.9	3.0	594.2	592.9	591.6	50	49	74	SE 0	SE 1	SE 2	0	0	6	.	
25	-5.2	-3.9	-5.8	-5.0	1.9	589.4	588.3	585.1	75	76	100	SE 2	SE 2	SE 2	6	10	10	5.5	* n (25./26)
26	-5.0	-5.1	-6.8	-5.6	1.3	582.4	582.7	585.9	100	100	97	SE 1	NW 2	NW 3	10*	10*	10*	4.6	* n-n, 🌧 III
27	-11.9	-5.5	-7.9	-8.4	-1.5	586.8	585.9	584.7	86	60	72	NW 1	SE 2	SE 0	0	6	9	.	
28	-10.6	-7.3	-11.5	-9.8	-2.8	581.9	582.2	581.0	80	97	92	NW 2	NW 3	NW 1	3	10≡	0	.	≡ a-n mU, 🌧 ⊹ II
29	-11.0	-2.2	-10.1	-7.8	-0.8	578.0	578.6	582.5	37	41	36	SE 1	SE 0	NW 2	0	0	0	.	
30	-9.1	-7.2	-7.4	-7.9	-0.9	586.6	589.1	590.9	98	95	99	NW 3	NW 3	NW 1	10≡	10≡	3	.	≡ n-p, 🌧 n-p, ⊹ II
31	-3.1	-1.2	-2.1	-2.1	4.9	591.7	592.1	591.1	90	91	92	NW 1	NW 1	SE 0	0	3	10	1.1	* n (31./1.)
Mittel	-4.9	-2.3	-4.5	-3.9	—	592.4	592.5	592.8	56	57	61				2.5	2.9	2.9	17.6	

Ergänzende Witterungsnotizen zu den Tabellen Seite 1—72

Januar

Bern: Alpen hell: 1. II, 6. II, 14. II. — Alpen schwach sichtbar: 5. I, 6. I, 10. I, 11. I, II, 12. I, 13. II, 14. I, 16. I. — Schneehöhe: 5. 14 cm, 12. 9 cm, 19. 2 cm. — Neuschnee: 1. 0,5 cm, 13. 1 cm, 16. 0,5 cm, 20. 2 cm. **Altdorf:** Neblig: 24. II, III, 25. III—Föhn: 1. Mtg—2. 18^h, 11. 4^h—12. 11^h. — **Zürich:** Alpen klar: 14. II. — Alpen hell: I. I, II, 2. I. 9. I, II. I, II, 12. I, 13. I, 15, I. — Alpen sichtbar: 7. I, 8. II, 13. II, 14. I, 17. I. — Alpen schwach sichtbar: 4. II, 5. I, II, 6. I, 8. I. — Dunst: 4., 5., 6. I, 8. III, 11. I, 22. I, II, 23. I, 24. I, II, 25. I, II, 27. d. g. T., 28. d. g. T., 30. I, 31. d. g. T. — Taldunst: 5. II. Neblig: 4., 5., 6. II, 12. III, 17. I, 23. II. — Tal neblig: 6. II, 11. I, 12. I, 29. I. — Nebel: (Sicht): 26. II (70 m), III (30 m) — Talnebel: 2., 5., 6. I. Hochnebel: 23. d. g. T. 1100 m, 24. Vm 800m, 25. Vm 700 m, 27. Vm 700 m, Nm 500 m, 28. d. g. T., 1000 m, 29. d. g. T., 1100 m, 31. d. g. T., 1400 m. — Neuschnee: 1. 0,5 cm, 3. 2 cm. — Schneehöhe: 2. 7 cm, 5. 5 cm. — **Chasseron:** Nebelmeer: (Mittelland): 4. I 850, 8. I 700), II (650), III (700), 10. I 850, II (800), III 800, 11. I (750), 12. I (1350), 24. I (1300), II 1250, III 1150, 25. I, II 1200, III 1050, 26. I 800, II 900, III 800, 27. II (1200), III 1100, 28. I 1200, II 1450. — Neuschnee: 2. 7 cm, 3. 7 cm, 8. 7 cm, 12. 1 cm, 13. 10 cm, 14. 5 cm, 19. 10 cm, 20. 8 cm. — Schneehöhe: 2. 5 cm, 12. 60 cm, 19. 65 cm, 26. 69 cm. — **Bevers:** Morgenrot: 7. 11, 15. — Neuschnee: 2. 6 cm, 3. 17 cm 4. 12 cm, 2. 5 cm, 13. 35 cm, 16. 22 cm, 17. 7 cm, 18. 6 cm, 19. 17 cm, 20. 6 cm, 21. 52 cm, 22. 35 cm, 25. 15 cm, 26. 8,5 cm. — Schneehöhe: 12. 109 cm, 19. 130 cm, 26. 160 cm. — **Sitten:** Hochnebel: 13. I 700 m, 18. d. g. T. 800 m, 29. d. g. T. 1200 m, 30. 13^h 1800 m. — Neuschnee: 3. 0,5 cm, 16. 4 cm, 20. 15 cm. — **Lugano:** Nordföhn: 16. d. g. T., 18. 19^h—21. Abd — Schneehöhe: 3. 3 cm. — **Basel:** Dunst: 5. II, 10. I, 13., 22., 23., 25., 26., 27. II. — Schneehöhe: 1. 4 cm. — Spezielle Erscheinungen: 20. I gelber Niederschlag, 27. Bodennebel. — **Säntis:** Föhnmauer: 4. II, 12., 24. I, 27. SW 16^h30, 28. SSW d. g. T. — Gewitter: 15. (⊠) E 19^h15—9^h30 — Elmsfeuer: 15. III, 18. I.— Neuschnee: 1. cm, 2. 1 cm, 3. 6 cm, 4. 5 cm, 8. 8 cm, 10. 2 cm, 13. 12 cm, 14. 0 cm, 17. 40 cm, 19. 35 cm, 22. 30 cm, 26. 1 cm. Schneehöhe: 5. 190 cm, 12. 180 cm, 19. 250 cm, 26. 280 cm. — Schneegrenze: 5., 12., 19. Bodensee, 26. 900 m. — **Sankt Gotthard:** Schneehöhe: 5. 220 cm, 12. 205 cm, 19. 230 cm, 26. 252 cm.

Februar

Bern: Alpen klar: 8., 9., 17. I, 20. II. — Alpen hell: 1., 10. II, 14., 15. I, 17., 21. II. — Gewitter: 19. ⊠ 13^{h04} — Schneehöhe: 23. 8 cm. — Neuschnee: 5. 2 cm, 18. 2 cm, 19. 4 cm, 22. 1 cm, 23. 8 cm, 27. 7,5 cm. — **Neuchâtel:** Schneehöhe: 19. 1 cm, 25. 3 cm. — **Altdorf:** Föhn: 4. d. g. T., 9. 15^h—n, 10. 10^{h40}—11. 09^{h30}, 20. 15^{h10}—n, 24. 11^{h45}—16^{h30}. — Schneehöhe: 12. 10 cm, 23. 3 cm, 25. 1 cm, 27. 4 cm. — **Genf:** Schneehöhe: 24. 10 cm. — **Zürich:** Alpen klar: 1. I, II, 8. II, 18. II. — Alpen hell: 11. I, 17. I, II, 20. I, 21. I. II. — Alpen sichtbar: 9. I, 14. I, 19. I. — Alpen schwach sichtbar: 10. II. — Dunst: 2. II, 7. II, 9. I, 11. 16. II, 24. I. — Taldunst: 5., 9., 10., 11. I — Nebel (Sicht): 7. I (250 m), 8. I (60 m), 12. I (160 m), 16. I (140 m), 19. I (160 m). — Talnebel: 8. Vm — Hochnebel: 2. d. g. T. 600 m. — Neuschnee: 12. 1 cm, 19. 7,5 cm, 20. 1 cm, 22. 2 cm, 23. 4 cm, 25. 2 cm, 27. 3 cm. — Schneehöhe: 20. 2,5 cm. 25. 3 cm. — **Chasseron:** Nebelmeer (Mittelland): 3. I 1450), 5. II (1250), 7. I 750, 10. I (1400), II (1250), 12. II (1050), II 1050, 18. III (1400).—Neuschnee: 5. 11 cm, 6. 5 cm, 10. 12 cm, 16. 1 cm, 18. 12 cm, 21. 12 cm, 23. 1 cm. — Schneehöhe: 7. 69 cm, 9. 76 cm, 16. 95 cm, 23. 112 cm. — **Bevers:** Morgenrot: 15., 20. — Neuschnee: 5. 11 cm, 6. 27 cm, 7. 15 cm, 8. 5 cm, 11. 7 cm, 12. 34 cm, 13. 17 cm, 14. 14 cm, 19. 5 cm, 21. 6 cm, 22. 5 cm, 25. 5 cm. — Schneehöhe: 2. 140 cm, 9. 72 cm, 16. 193 cm, 23. 183 cm. — **Sitten:** Hochnebel: 1. d. g. T. 1500 m, 24. I 900 m. — Neuschnee: 12. 1 cm, 18. 5 cm, 20. 4 cm, 21. 1 cm, 23. 1 cm. — **Lugano:** Nordföhn: 1. 11^{h30}—17^h, 26. 18^{h30}—27. 3^h — Schneehöhe: 5. 9 cm. — **Basel:** Dunst: 1., 2., 3. I, 15., 28. I. — Morgenrot: 8., 9. — **Säntis:** Föhnmauer: 4. d. g. T., 9. SW 10^{30}–$16h^{30}$, 10. n–16^{h30}, 11. n–13^{h30}, 12. 10^{h30}–n. — Elmsfeuer: 28. 17^{20}–17^{h50} — Neuschnee: 6. 30 cm, 7. 15 cm 12. 55 cm, 14. 25 cm, 15. 5 cm, 16. 5 cm, 18. 30 cm, 19. 20 cm, 20. 20 cm, 21. 3 cm, 23. 30 cm, 27. 25 cm. 28. 20 cm. — Schneehöhe: 2. 260 cm, 9. 290 cm, 16. 350 cm, 23. 420 cm. — Schneegrenze: 2. 900 m, 9. 850 m, 16. 1000 m, 23. Bodensee. — **St. Gotthard:** Neblig: 10. II, 14. I, 18. II, 19. I, II, 20. I. 22. I, III, 23. I, 26. d. g. T. 27. III, 28. I. II. — Neuschnee: 4. 10 cm, 5. 80 cm, 6. 85 cm, 7. 42 cm, 10. 15 cm, 11. 90 cm, 12. 130 cm, 13. 60 cm, 14. 30 cm, 19. 10 cm, 20. 10 cm, 21. 15 cm, 23. 10 cm, 24. 10 cm, 25. 40 cm. — Schneehöhe: 2. 210 cm, 9. 270 cm, 16. 450 cm.

März

Bern: Alpen klar: 12. 18^{h30}, 15. I, II, 22. I, 23. I, II. — Alpen hell: 11. I, 12. II, 19. I. — Alpen schwach sichtbar: 11. II, 13. II, 14. I, II, 16. I, II, 17., 19., 22. II, 30. I. — Schneehöhe: 2. 7 cm. — Neuschnee: 1. 1 cm, 3. 3 cm, 25. 1 cm, 26. 3 cm. — **Neuchâtel:** Schneehöhe: 25. 1 cm, 26. 2 cm. — **Altdorf:** Föhn: 11., 13. d. g. T. — Schneehöhe: 14. 2 cm, 26. 4 cm. — **Genf:** Schneehöhe: 3. 3 cm, 25. 1 cm. — **Zürich:** Alpen klar: 13. II, 15. I, 19. I, 23. I, II. — Alpen hell: 15., 16., 17. II. — Alpen sichtbar: 11., 14., 22. II, 26. I. — Alpen schwach sichtbar: 11., 13., 22. I. — Föhnmauer: 13. Nm. — Dunst: 7. Vm. — Taldunst: 13. I. — Neblig: 8., 9., 31. I. — Nebel: (Sicht): 25. II (900 m). — Neuschnee: 10. 2 cm, 21. 1 cm, 25. 3 cm, 26. 1 cm. — **Chasseron:** Nebelmeer (Mittelland): 3. II (1600), 4. I 1450, 5. I 900, 8. I (900), 10. I (1300). — Neuschnee: 20. 9 cm, 25. 5 cm, 28. 9 cm, 31. 6 cm. — Schneehöhe: 2. 121 cm, 9. 116 cm, 16. 128 cm, 23. 99 cm, 30. 109 cm. — **Bevers:** Morgenrot: 8. — Neuschnee: 12. 5 cm, 14. 15 cm, 30. 4 cm, 31. 10 cm. — Schneehöhe: 2. 175 cm, 9. 165 cm, 16. 164 cm, 23. 150 cm, 30. 154 cm. — **Sitten:** Neuschnee: 3. 0,5 cm, 25. 3 cm. — Schneegrenze: 13. 1300 m.—**Lugano:** Nordföhn: 20.4—15^h, 21.5—24^h, 24. 17^h—26. 10^{h30}, 27. 12–16^h — Schneehöhe: 30. 1 cm. — **Basel:** Dunst: 1. I, 2. I, 5. I, II, 6. I, II, 7. I, 9. I, II. — Gewitter: 19. T 19^{h15} — Neuschnee: 26. 0,5 cm. — **Säntis:** Föhnmauer: 7. n—16^{h30}, 8. n—16^{h30}, 11. n—16^{h30}, 13. 10^{30}—16^{h30}, 30. 13^{30}—16^{h30} — Gewitter: 19. (⊠) SE 19^{35}–19^{50}, < 21^h — Elmsfeuer: 9. $18–19^{h15}$, 19. 17^{20}–17^{h30}, 21. 12^{50}–12^{h50}, 14^{h}–14^{h35} — Neuschnee: 1. 10 cm, 10. 30 cm, 14. 15 cm, 21. 50 cm, 22. 20 cm, 25. 50 cm, 26. 30 cm, 28. 25 cm, 29. 10 cm. — Schneehöhe: 2. 450 cm, 9. 300 cm, 16. 300 cm, 30. 500 cm. — Schneegrenze: 16. 1200 m, 23. 1000 m, 30. 800 m. — **St. Gotthard:** Neblig: 2. III, 20. III, 21. I, 28. I. — Neuschnee: 8. 5 cm, 9. 40 cm, 11. 25 cm, 12. 35 cm, 13. 10 cm, 14. 40 cm, 17. 3 cm, 18. 10 cm, 19. 3 cm, 20. 15 cm, 23. 12 cm, 25. 10 cm, 28. 30 cm, 30. 20 cm, 31. 40 cm. — Schneehöhe: 2. 375 cm, 9. 350 cm, 16. 390 cm, 23. 385 cm, 30. 370 cm.

April

Bern: Alpen klar: 16. I, II. Alpen hell: 1. II. 4. II, 7. I, II, 8. I, 9. I, 13. I, II, 15. II, 17. II, 24. II, 25. I, II. — Alpen sichtbar: 6. II, 24. I. — Alpen schwach sichtbar: 4. I, 5. I, 9. II, 10. II, 17., 26. I. — Gewitter: 20. ⊠ 16^{19}–17^{h28}. — **Neuchâtel:** Gewitter: 20. (T) 16^{h10}. — **Altdorf:** Föhn: 7. 10–20^h, 9. Mtg–19^{h30}, 18. n–Nm, 24. 16^h–26. 11^{h10}. — Schneegrenze: 8. 750 m. — **Genf:** Gewitter: 9. 20–21^h. — **Zürich:** Alpen klar: 1. II. — Alpen hell: 9. I, II, 15. II, 16. I, II, 19. I, II, 25. II, 26. fr.—Alpen sichtbar: 4. II, 7. II, 17. I, II, 20. fr, 24. I, II, 25. I. — Alpen schwach sichtbar: 6. I, II. 7. I, 23. I, II, 26. I. — Dunst: 13. I, II, 16. I, 28. I. — Taldunst: 5., 6., 19. I. — Neblig: 4. I. — Tal neblig: 16. I. — Nebel (Sicht): 21. 5^{30}–8^h (300 m). — **Chasseron:** Nebelmeer (Mittelland): 30. I (1600). — Schneehöhe: 6. 108 cm, 13. 97 cm, 20. 76 cm, 27. 38 cm. — **Bevers:** Morgenrot: 26. — Neuschnee: 3. 8 cm, 8. 20 cm, 12. 2 cm, 29. 10 cm. — Schneehöhe: 6. 151 cm, 13. 158 cm, 20. 132 cm, 27. 100 cm. — **Sitten:** Schneegrenze: 29. 1200 m. — **Lugano:** Nordföhn: 3. 15^{h30}—4. 3^h, 11. 15^h—12. 5^{h30}, 14. 19^h—15. 5^h, 29. 8^{30}—20^{h30}. — Gewitter: 29. ⊠ 11–12^{h15}. — **Basel:** Dunst: 20. I, 21. I, II. — Gewitter: 20. ⊠ 19^{30}–20^{h15}. — **Säntis:** Föhnmauer: 2. Vm, 7. n—19^{h45}, 9. Vm—Nm, 18. n—15^{h15}, 25. Nm, 26., 27. I, 30. n—13^{h50}. — Gewitter: 21. (⊠) NE 15^{h40}, (⊠) E 16^{h25}, ⊠ 18^{10}–18^{h30} — Elmsfeuer: 8. Vm, 9. III, 10. 13^{30}–15^{h30}, 21. 15^{30}–16^{h40}, 17^{50}–18^{h30}. — Neuschnee: 1. 25 cm, 3. 30 cm, 11. 15 cm, 12. 10 cm, 15. 40 cm, 22. 5 cm, 29. 15 cm, 30. 10 cm. — Schneehöhe: 3. 540 cm, 6. 520 cm, 13. 420 cm, 20. 420 cm, 27. 350 cm. — Schneegrenze: 6. 1250 m, 13. 1300 m, 20. 1450 m, 27. 1550 m. — **St. Gotthard:** Neblig: 8. I, 12. II, 21. III, 22. I, 27. III. — Neuschnee: 3. 25 cm, 8. 28 cm, 10. 20 cm, 15. 15 cm, 19. 3 cm, 27. 18 cm, 29. 45 cm, 30. 65 cm. — Schneehöhe: 6. 360 cm, 13. 350 cm, 20. 345 cm, 27. 300 cm.

Mai

Bern: Alpen klar: 1. II, 22. I, 23. I, 24. I, II. — Alpen hell: 1. I, 6. I, 23. II, 25. I, 26. I. — Alpen sichtbar: 19. I, 21. II, 22. II. — Alpen schwach sichtbar: 2. I, 5. I, II, 6. II, 9. I, 21. I, 25. II, 28. II, 29. I. — Gewitter: 3. ☒ 16⁴⁵–18ʰ¹⁵, (☒) 20¹⁵–21ʰ¹⁰, 7. (☒) 15³⁵–16ʰ⁰⁸, 9. ≺ S 20⁴⁰–21ʰ¹⁵, 22. ☒ 15⁵³–16ʰ⁴⁴, 31. ☒ 21⁵⁸–22ʰ⁵⁰. — **Neuchâtel:** Gewitter: 3. T, 16–18ʰ, 25. (T) 18ʰ, 28. (T) 13ʰ, 31. (T) 21ʰ. — **Altdorf:** Neblig: 31. III. — Föhn: 1. II, 6. 12ʰ⁴⁵–n, 18. 14ʰ¹⁵–19. 20ʰ¹⁵, 26. 9ʰ³⁰–n. — Gewitter: 22. T 23ʰ⁴⁵. — **Genf:** Gewitter: 3. T 16ʰ⁴⁰, 9. ☒ 17ʰ¹⁵, 31. T 17 ʰ. — **Zürich:** Alpen hell: 6. I, II, 19. II, 23. I, II, 24. I, II. — Alpen sichtbar: 2. II, 5. I, 7. II, 8. I, 18. II, 19. I, 21. II, 26. II, 28. II, 29. I, II. — Alpen schwach sichtbar: 1. I, 2. I, 3. I, II, 5. II, 22., 25., 26. I. — Föhnmauer: 17. Nm, 19. I, 26. II. — Dunst: 7. I. — Tal neblig: 1. fr, 9. fr, 23. I, 24. fr. Talnebel: 15. fr. — Gewitter: 3. ☒ 19ʰ⁵⁵, ☒ 20ʰ⁵², 9. ☒ (T) 21ʰ³⁵, 17. (☒) SSW 10ʰ¹⁰, 22. ☒ WSW 3 km 14ʰ, (☒) Kilchberg 14ʰ⁵⁵, ☒ SSW 14ʰ⁵⁵, ☒ SW 16ʰ³⁰, 29. (☒) SSE 21ʰ⁰⁵, 30. ☒ S 20³⁴–21ʰ¹⁰, — **Chasseron:** Nebelmeer (Mittelland): 12. I (1500), 30. I (1250), 31. I (1500), II (1450). — Gewitter: 8. ☒ ▲ 13¹⁰–14ʰ, ☒ 14³⁵–15ʰ¹⁰, ☒ 17–18ʰ, 28. ☒ ▲ 12⁵⁵–14ʰ⁻⁰, 29. ☒ ▲ 11–11ʰ³⁵, ☒ 11⁵⁰–12ʰ⁰⁵, 31. ☒ 19²⁰–20ʰ¹⁰, ☒ 20²⁵–21ʰ¹⁰. — Neuschnee: 17. 5 cm. — Schneehöhe: 4. 13 cm. — **Bevers:** Schneehöhe: 4. 60 cm, 11. 20 cm. — **Sitten:** Hochnebel: 11. 2000 m, 12. 1500 m, 13. 1000 m, 27. 750 m — Schneegrenze: 18. 1700 m. — **Lugano:** Gewitter: 4. ☒ 15ʰ³⁰, 26. ☒ 16ʰ⁴⁰, (☒) 20ʰ, 28. (☒) 11ʰ, 30. ≺ SE 21ʰ. — **Basel:** Dunst: 8., 19., 31. I. — Gewitter: 3. ≺ 19–21ʰ, 8. ☒ 13³⁰–13ʰ⁴⁰, 17. ☒ 21ʰ, 29. T 14ʰ⁴⁷. — **Säntis:** Föhnmauer: 1. I, 6. Vm, 26. d. g. T., 30. Vm, 31. d. g. T. — Gewitter: 3. (☒) NW 16⁴⁰–16ʰ⁵⁰, (☒) W 18¹⁵–18ʰ⁴⁵, (☒) WSW 19–19ʰ¹⁵, 7. (☒) W 15⁴⁵–16ʰ¹⁰, (☒) NE 21ʰ, 8. ☒ 12ʰ¹⁰, ☒ 16¹⁰–16ʰ³⁰, 9. ☒ 20ʰ¹⁰, 22. ☒ 17–17ʰ¹⁵, 24. (☒) E 21ʰ–n, 25. (☒) NE 21ʰ–n, 26. (☒) NE, SE S, SW 21ʰ–n, 29. (☒) W 19³⁵–19ʰ⁵⁰, (☒) N 21–21ʰ¹⁵, 30. (☒) N 21–22ʰ. — Elmsfeuer: 3. 14–15ʰ¹⁵, 16⁴⁰–16ʰ⁵⁰, 18–20ʰ³⁰, 5. 17¹⁰–18ʰ⁴⁵, 7. 15⁴⁰–16ʰ⁵⁰, 8. 15¹⁰–16ʰ³⁰, 10. 19⁵⁰–20ʰ³⁰, 28. 17–19ʰ. — Neuschnee: 5. 10 cm, 9. 10 cm, 10. 10 cm, 11. 25 cm, 14. 5 cm, 15. 25 cm, 16. 12 cm, 17. 5 cm, 28. 12 cm, 29. 5 cm. — Schneehöhe: 4. 310 cm, 11. 340 cm, 18. 340 cm, 25. 290 cm. — Schneegrenze: 4. 1450 m. — **St. Gotthard:** Neblig: 6. II, 8. II, 27. I, 31. II. — Gewitter:, 27. T, 16ʰ²⁵. — Neuschnee: 1. 20 cm, 7. 5 cm, 8. 8 cm, 9. 3 cm, 17. 10 cm, 18. 35 cm, 19. 8 cm. — Schneehöhe: 4. 330 cm, 11. 320 cm, 18. 330 cm, 25. 290 cm.

Juni

Bern: Alpen klar: 12., 14., 15. I, II. — Alpen hell: 16. II, 17. I. — Alpen sichtbar: 1. I, 4. I, 11. II, 13. I, 18. I, II, 21. II, 27. II, 28. I, 29. II. — Gewitter: 1. ☒ 17⁴–17ʰ⁴¹, 5. ☒ NW 15ʰ ⁹, ☒ von N nach SSW 15⁴⁹–17ʰ, 6. (☒) 13³⁰–13ʰ⁴⁰, (☒) 14⁵⁸–15ʰ²⁵, 15. ≺ S 20⁵⁵–21ʰ ⁵, 16. ☒ 18²⁵–18ʰ⁴⁴, 17. ☒ 17–18ʰ, 18. ☒ 5²⁰–5ʰ³⁰, ☒ 18¹³–19ʰ⁰¹, ▲ 18¹⁶–18ʰ²⁰, 25. T 21ʰ⁰¹, 28. (☒) 16ʰ³⁰, 16ʰ⁴⁰, ☒ 16³⁸–16ʰ⁴², T bis 17ʰ⁰². — **Neuchâtel:** Joran: 15. 13¹⁵–19ʰ, 30. 18ʰ–n. — Gewitter: 12. ☒ 19–20ʰ, 26. ☒ T 17⁴⁵–18ʰ⁴⁵, 17. T Nm, 18. ☒ 5–6ʰ, T 17ʰ, 22. ☒ 22ʰ¹⁰. — **Altdorf:** Föhn. 16. 13ʰ³⁰–n, 22. 11ʰ²⁰–n. — Gewitter: 15. T W 20ʰ, 17. T 17ʰ⁵⁰, 23. ☒ 15⁴⁵–16ʰ. — **Genf:** Gewitter: 5. T 16ʰ⁰⁵, 15. ☒ Abd. 17. T 16ʰ²⁵, 18. ☒ 4ʰ. — **Zürich:** Alpen hell: 1. I, 4. II, 11. II, 12. I, 14. II, 15. I, 18. I, II. — Alpen sichtbar: 1., 2., 3. II, 11. I, 15. II, 16. II, 17. I. — Alpen schwach sichtbar: 4. I, 12. II, 21. II. — Taldunst: 4. II, 14. I, 18. I, II, 21. fr 30. I, II. — Tal neblig: 4. I, 16. I. — Nebel (Sicht): 2. n–5ʰ ⁵, 7. 5⁵⁰–6ʰ³⁵ (200—300 m). — Talnebel: 6., 7. fr. — Gewitter: 4. (☒) T über See 17ʰ³⁰, 5. ☒ 13⁵⁵–14ʰ⁵⁰, (☒) S 20ʰ⁴⁰, (☒) ESE 21ʰ¹⁵, 6. ☒ über Stadt 11⁵⁰–12ʰ⁴⁵, 12. (☒) SSE u. E 21ʰ³⁰, 15. ☒ 20⁴⁵–21ʰ ⁵, (☒) NE 21ʰ¹⁰, 16. (☒) S 10⁴⁵–11ʰ¹⁵, ☒ 21¹⁰–21ʰ⁴⁰, 17. (☒) S 15ʰ⁴⁰, ☒ 15⁵ –16ʰ, ☒ 19²⁷–20ʰ, (☒) SSE 20ʰ¹⁵, 18. (☒) Zugerland 16ʰ¹⁵, (☒) 19⁴⁰–20ʰ, 23. ☒ S 16ʰ²⁸, T 16ʰ⁴, 24. (☒) S 15ʰ⁵⁰, 28. ☒ 13⁴⁸–13ʰ⁵¹. — **Chasseron:** Nebelmeer (Mittelland): 7. I (800). — Gewitter: 5. (☒) W 17ʰ, 6. (☒) ü. Frankreich II, 12. ☒ 19–19ʰ²⁵, ☒ 20¹⁵–20ʰ³⁵, 16. ☒ 7⁴⁵–8ʰ⁰⁵, ≺ ü. Jura III, 17. (☒) S III, 18. ☒ 4³⁰–5ʰ⁴⁵, ☒ 16⁵⁵–17ʰ³⁰, 22. ☒ ü. neuenburg. Jura III. — **Sitten:** Gewitter: 15. (☒) III, 16. (☒) I, III, 18. (☒) III, 23. ☒ 18¹⁵–18ʰ³⁰. — **Lugano:** Nordföhn: 6. 10³⁰–22ʰ. — Gewitter: 3. T 13ʰ³⁰, T 17ʰ, 4. ☒ ▲ 18¹⁵–18ʰ⁴⁰, 16. ☒ ▲ 14¹⁵–15ʰ¹⁵, 17. ☒ 17ʰ⁴⁰, 18. ☒ 17ʰ⁴⁵, 19. (☒) W 10ʰ, ☒ 11ʰ¹⁰, 21. (☒) 2ʰ, 23. (☒) 15ʰ, ☒ 19ʰ³⁰, ☒ 22ʰ, 24. ☒ 11³⁰–14ʰ³⁰, (☒) 21ʰ³⁰, 29. (T) 18ʰ¹⁵, ☒ 19ʰ¹⁵. — **Basel:** Gewitter: 1. T 12ʰ⁵⁵, ☒ 14³⁰–15ʰ, 2. T 11ʰ⁵⁵, ☒ 12¹⁵–13ʰ, 5. ☒ 15⁴⁵–17ʰ, 6. ☒ 15³⁰–16ʰ, ☒ 17³⁰–18ʰ, 8. T 12ʰ¹⁰, ☒ 12ʰ⁴⁰, 16. ☒ 7⁵⁰–10ʰ, 17. ☒ 8¹⁸–8ʰ⁴⁰, T ≺ 18¹⁵–18ʰ⁴⁰, 18. ☒ 7¹⁰–8ʰ, T 5³⁰–8ʰ, 14ʰ⁵⁰, 16ʰ, 18ʰ³⁰, 25. T 20⁴⁰–21ʰ, 28. 12ʰ⁵⁰. — Besondere Erscheinungen: 12. Windho beim badischen Bahnhof 13ʰ²⁵. — **Säntis:** Föhnmauer: I, Nm, 12. Vm, 19. I, 22. n–Nm, 23. n–Mtg. — Gewitter: (☒) W 14¹⁵–15ʰ³⁰, (☒) E 13–13ʰ²⁰, 3. (☒) S 22ʰ—n, 4. (☒ ENE 16⁴⁵–17ʰ¹⁵, (☒) W 18–18ʰ⁻⁰, ☒ 18²⁰–19ʰ, ☒ 18³⁰–19 (☒) E 21ʰ—n, 5. (☒) E 6ʰ¹⁵, (☒) NNE 13⁴⁵—14ʰ, (☒) 15—15ʰ 6. (☒) W 12¹⁵—12ʰ⁴⁰, (☒) E 12¹⁰—12ʰ²⁵, (☒) NNE 16—16ʰ¹⁵, (☒) W 21–21ʰ³⁰, (☒) NE 22ʰ–n, 12. (☒) E u. NE 22–22ʰ³⁰, (☒) SW 20—20ʰ⁵⁰, ☒ 20⁵⁰—21ʰ³⁰, 16. (☒) SW 11³⁰—11ʰ ☒ 11⁵⁰—12ʰ¹⁵, ☒ 12¹⁵—13ʰ, (☒) S 13⁴⁵—15ʰ¹⁵, ☒ 21¹⁰—21ʰ³⁰, 22 22ʰ¹⁵, 17. (☒) NE 14¹⁰—14ʰ⁻, (☒) SE 15 ⁵—15ʰ⁴⁰, (☒) 18¹⁵—18ʰ (☒) SW 15⁵⁵—16ʰ¹⁵, ☒ 16³⁰—17ʰ ⁵, (☒) NW gegen NE 18 19ʰ¹⁰, ☒ 19⁵⁰—20ʰ¹⁰, 18. (☒) NW gegen NE 16⁴⁰—17ʰ⁵), ☒ 17 18ʰ¹⁰, (☒) SW u. SE 17³⁰–17ʰ⁵⁰, ☒ 20⁰ –20ʰ⁴⁵, 20. (☒) 20ʰ³⁰–n, 23. ☒ 15⁵⁰–16ʰ, ☒ 16⁵⁵–17ʰ²⁵, ☒ 17³⁰–18 ☒ 19²⁰ 19ʰ³⁰, 26. ☒ 10⁴⁵—11ʰ, ☒ 15⁵⁰—15ʰ³⁰, (☒) NNE 14⁵⁰— 15 (☒) SW 15ʰ⁰⁵. — Elmsfeuer: 1. 18⁵⁰—20ʰ³⁰, 2. 10—1 14–15ʰ, 16³⁰–17ʰ³⁰, 4. II, 5. 12⁴⁰–13ʰ, 13²⁰–18ʰ, 6. 13⁴⁵–14ʰ³⁰, 17 18ʰ³⁰, 16. 11⁵⁰ 12ʰ¹⁵, 14³⁰–14ʰ¹⁵, 21–21ʰ³⁰, 17. 15⁵⁵–17ʰ⁻⁵, 21ʰ 18. 17¹⁰–18ʰ²⁰, 19. 9⁵⁰–11ʰ³⁰, 23. 15²⁰–19ʰ⁴⁵, 26. 10⁴⁵–11ʰ, 12 14ʰ³⁰, 14⁵⁵–15ʰ⁴⁰, 16³⁰–17ʰ¹⁵, 28. 12¹⁵–13ʰ²⁰, 14⁴⁵–15ʰ⁴⁵. — Neschnee: 1. 3 cm, 2. 5 cm, 3. 15 cm, 24. 6 cm, 25. 20 cm, 3 cm. — Schneehöhe: 1. 240 cm, 8. 205 cm, 15. 120 cm, 60 cm, 29. 40 cm. — **St. Gotthard:** Neblig: 5. d. g. T., II, 22. II, 28. I, II. — Gewitter: 2. ☒ 19ʰ³⁵, 16. ☒ 13 13ʰ⁴⁵, 17. ☒ ab 16ʰ¹⁰, 18. T ab 15ʰ⁴⁰, 23. ☒ ▲ 12⁵⁵–13ʰ⁰⁵, ☒ T 16–18ʰ¹⁵. — Schneehöhe: 1. 240 cm, 8. 190 cm, 15. 135 22. 65 cm.

Juli

Bern: Alpen sichtbar: 13. I, 15. I. — Alp schwach sichtbar: 4. II, 10. I, II, 11. I, 18. I, 21. I, II, 30. I. — Gewitter: 8. ≺ NE 20³⁵–20ʰ⁵⁰, ☒ 21–21ʰ⁰⁹, (E u. SE 21⁰⁹—21ʰ³⁰, ☒ 21⁵⁴—22ʰ³⁰, ≺ 22⁵⁰—23ʰ⁵⁰, 11. (☒) 13 14ʰ¹⁹, ☒ 14²¹–14ʰ⁵¹, ▲ 14⁵¹–14ʰ⁵⁵, ☒ 17⁰⁷–17ʰ³¹, ☒ 18²⁵ 19 ☒ 20⁰⁶—20ʰ¹⁵, 14. (☒) 4ʰ⁴⁰, ☒ 4⁰⁵—5ʰ³², ≺ 19ʰ⁵⁰, (☒) 19 ☒ 19ʰ⁵⁷—22ʰ⁰², ≺ N 22ʰ⁰², 22. ≺ 22ʰ⁵⁰, 23. ☒ 0ʰ⁰⁴, (☒) E 0 0ʰ¹⁵, 31. (☒) 19³⁵–20ʰ⁰⁶, ☒ 20³⁵–21ʰ⁴⁸, ▲ 20⁵⁰–20ʰ⁵⁸, ≺ E 22ʰ²⁰. — **Neuchâtel:** Joran: 1. 18³⁰—22ʰ, 2. 17⁴⁵—21ʰ, 3. 18 21ʰ¹⁵, 4. 19³⁰–22ʰ³⁰, 5. 12³⁰–19ʰ³⁰, 6. 19⁴⁵—22ʰ, 12. 18³⁰–22ʰ¹⁵, Gewitter: 8. T, 12⁴⁵–18ʰ, 11. ☒ 17²⁰–20ʰ, 13. ☒ 5¹⁰–6ʰ⁰⁵, 10¹⁰—10ʰ³⁵, ☒ 16²⁵—17ʰ, ☒ 21ʰ¹⁵, 14. ☒ 9ʰ⁵⁰, ☒ 20ʰ³⁵, ☒ 13—15ʰ⁵⁰, 23. T 13ʰ³⁰, 31. T 19—22ʰ. — **Altdorf:** Neblig II. — Föhn: 11. 10–19ʰ⁰⁵. — Gewitter: 8. ☒ 20ʰ, 12. 19ʰ⁰⁵ von NW nach E, 13. ☒ 18ʰ³⁵ von NW nach E, 22. ☒ 1 von W nach S, 23. T Vm, 30. (☒) W u. SE 17ʰ, 31. ≺ NW — **Zürich:** Alpen klar: 15. I. — Alpen hell: 13. I. Alpen sichtbar: 11. II, 13. II, 14. I. — Alp schwach sichtbar: 14. II, 29. I II. — Dunst: 2. 3. d. g. T, 4. d. g. T, 6. Vm, 7. d. g. T, 8. d. g. T, 11. Vm, d. g. T, 19. d. g. T, 20. Nm, 21., 22., 25., 26., 27. d. g. T, 28. 30. d. g. T, 31. d. g. T. — Gewitter: 5. Nah ☒ 4²⁵—4 8. Nah ☒ 21⁴⁵—9. 1ʰ, 11. ☒ ▲ 15⁴⁵—15ʰ⁵⁵, Nah ☒ 17 18ʰ³⁰, 13. Nah ☒ 18²¹—18ʰ⁵⁰, (☒) 21ʰ⁰⁷, 14. Nah ☒ 19⁵⁵—20 15. Nah ☒ 16³⁰—17ʰ¹⁵, (☒) SW ab 16ʰ¹⁰, 22. ≺ SW ab (☒) 22⁴⁵—24ʰ, 23. Nah ☒ 16⁵⁵—17ʰ¹⁰ von SW nach SE zieh 31. ≺ NW III, Nah ☒ 23–23ʰ²⁰. — **Chasseron:** Gewitte 8. ☒ 14²⁵–14ʰ⁴⁰, ☒ ▲ 15³⁵–17ʰ⁰⁸, 11. ☒ 16²⁵–17ʰ³⁵, ☒ 9⁻⁵–10ʰ⁰⁵, ☒ 12³⁵–12ʰ⁵⁰, ☒ 15⁵⁰–16ʰ⁴⁰, 14. ☒ 9¹⁰–, ☒ 20⁵⁵—22ʰ, 15. ☒ n (14./15.), 23. ☒ 14²⁰—15ʰ¹⁰. — **Bev** Schneegrenze: 24. Waldgrenze. — **Sitten:** Dunst: 2 d. g. T, 7. I. — Hochnebel: 18. 2000 m n–7ʰ. — **Luga** Nordföhn: 16. 12ʰ³⁰ — 17. 9ʰ, 24. 19ʰ — 25. 24ʰ. — **Ba** Dunst: 18. I, 21. III, 28. I, II, III, 29. I, 30. I. — Gew ter: 8. I, 11ʰ¹⁵, ☒ 11²⁰–12ʰ⁰², ☒ 21–22ʰ³⁰, 9. ☒ 11⁵⁸–12ʰ 14ʰ¹⁰, 10. ☒ 12⁵⁶–13ʰ¹⁵, ▲ 12ʰ⁵⁸, ☒ 15³¹–16ʰ³⁰, ☒ 18–18ʰ⁴⁵, T 11ʰ³⁰, ▲ 13⁰³–13ʰ¹⁰, ☒ 20³⁰–21ʰ, 13. ☒ ▲ 11²⁸–11ʰ³³, ☒ 1 14. T 14ʰ⁰⁷, ☒ 20⁴⁵–21ʰ⁵⁰, ☒ 22³⁰–22ʰ⁴⁰, 15. T 13ʰ²⁵, 22. ≺ 2 23ʰ¹³, 23. T 12ʰ⁵⁰, ☒ 13ʰ²⁰, ☒ 13ʰ⁴⁵, ☒ 15¹⁵—16ʰ²⁰, 31. ☒ 2 22ʰ⁴⁵, ▲ 21ʰ³¹, ▲ 22ʰ. — **Säntis:** Föhnmauer: 10. SW 1 Gewitter: 5. ☒ 4³⁰–5ʰ⁴⁵, 7. (☒) SW 21ʰ¹⁵–n, 8. (☒) 12¹⁰–12ʰ²⁰, (☒) E 15–15ʰ³⁵, (☒) W 21ʰ–n, ☒ 22¹⁵–23ʰ²⁰, (☒) SW—S—E 20ʰ³⁰—n, 13. (☒) N 14ʰ, ☒ 19²⁵ –2 (☒) E 20ʰ³⁰–n, 14. (☒) NE 21ʰ–n, 15. ☒ 16³⁰–18ʰ⁴⁰, ☒ 23–24ʰ, 23. ☒ 11³⁰–11ʰ⁵⁰, 30. (☒) E 18³⁰, (☒) S, E 20ʰ, (☒) N, E, S 22–24ʰ. — Elmsfeuer: 5. 12⁴⁵–14ʰ³⁰. — N schnee: 25. 5 cm. — **St. Gotthard:** Neblig: 11., 14. I Gewitter: 12. ☒ ▲ 17⁴⁵–18ʰ¹⁵, 13. ☒ 18¹⁰–18ʰ³⁵, 14. ☒ 2 15. ☒ T ≺ ab 16ʰ⁴⁰, 22. ☒ ▲ 18³⁰–18ʰ⁴⁰, 30. ☒ 18–18ʰ¹⁰.

August

Bern: Alpen klar: 6. II, 19. II, 20. I, 28. I, II, 30. Alpenhell: 6. I, 9. I, 12., 29., 30. II — Alpen sichtb 1., 16. I — Alpen schwach sichtbar: 10., 11., 12. I, 15. I, II — Gewitter: 2. (☒) 19³⁵—20ʰ³⁹, ☒ 20³⁰ –

erzieht sich gegen NE, 3. (⊠) 15^{36}—15^{h45}, ⊠ 16^{06}—16^{h15} ver-ieht sich gegen E, ⊠ N 21^{15}—21^{h33}, ⊠ 22^{17}—22^{h22}, 4. (⊠) 17—7^{h10}, ⊠ 18^{48}—19^{h01}, 6. (⊠) 19^{27}—19^{h49} nähert sich von SW, ⊠ 19^{55}—20^{h21}, (⊠) 20^{20}—20^{h35}, (⊠) 22 -22^{h06}, ⊠ 22^{05}—22^{h-}, ⊠) 22^{h30}, ⩽ 23^{h15}, 7. (⊠) 2^{h40}, ⊠ 2^{45}—3^{h09}, 10. (⊠) 16^{01}—6^{h08}, ⊠ 16^{50}—16^{h51}, 13. ⊠ 19^{02}—20^{h07}, 16. ⊠ 12^{24}—12^{h51}. — Neuchâtel: Joran: 2. 15^{45}—20^{h30}, 3. 16—16^{h30}, 5. 18—9^{h15}, 10. 14^{15}—17^{h30}, 12. 20^{45}—22^{h45}, 21. 0^{15}—1^{h30}, 25. 15—19^{h15}, 30. 17^{15}—20^{h30} — Gewitter: 3. ⊠ 15^{30}—16^{h10}, (⊠) 20^{h30}, ⊠ T 9^{h15}, 13. (T) 13—13^{h15}, ⊠ ▲ 19^{20}—19^{h35}, 16. (T) 12^{40}—13^{h30}, 26. (T⩽) 21—23^{h}, 30. (T) Abd. — Altdorf: Föhn: 6. 0^{h10}—n, 28. 19^{h20}—29. 9^{h}, 30. 5^{h20}—Nm — Gewitter: 1. ⊠ II, 4. ⊠ 21^{h30}—n, 8. ⊠ 5^{h55}, 13. ⊠ II, 31. ⊠ 15^{30}—16^{h45} von W nach SE. — Zürich: Alpen hell: 6. I, II, 28. I — Alpen sichtbar: 7., 12., 28. II, 29. I — Alpen schwach sichtbar: 12. I, 19. II, 20. I, 30. I, II. — Föhnmauer: 6. 8^{h}—7. Vm, 28. Vm, 30. d. g. T. — Dunst: 1., 2., 3. d. g. T, 18., 19., 20. Vm, 22. I, II, 23. d. g. T, 28. Vm—Tal neblig: 5., 18., 30. fr — Talnebel: 1., 17., 28., 29. fr. 31. Vm ztw — Gewitter: 1. ⊠ 15^{20}—15^{h45}, 2. ⊠ 21^{45}—22^{h10}, (⊠) NW 23^{h10}, 3. T W 17^{h}, (⊠) WSW 17^{15}—17^{h45}, 4. ⊠ 20^{55}—21^{h20}, 13. ⊠ 15^{10}—15^{h25}, ⊠ 20^{00}—21^{h05}, 30. (⊠) 19—21^{h}, 31. ⊠ 15^{30}—16^{h05} — Chasseron: Gewitter: 1. ⊠ 14^{15}—15^{h}, 3. ⊠ 21^{15}—21^{h40}, 7. ⊠ 8^{35}—9^{h45}, ⊠ 10^{10}—11^{h05}, 13. ⊠ 20^{h06}—n, 15. ⩽ S III, 16. ⊠ 11^{50}—13^{h10}, 26. ⩽ W III — Bever: Schneegrenze: 11. Bergspitzen — Sitten: Dunst: 15., 18., 19. I, 24. d. g. T — Schneegrenze: 10. 2300 m, 11. 2000 m, 31. 2800 m. — Lugano: Nordföhn: 1. 12—13^{h30}, 8. 7^{30}—10^{h}, 14—14^{h30}. — Basel: Dunst: 18., 19., 22., 23., 25. I, 27. II, 29., 30. I — Gewitter: 3. T NW 15^{h45}, ⩽ 22^{h02}, 4. ⊠ 7^{h25}, 7. T 1^{h}, ⊠ 6^{h}, ⊠ 9h, 16. ⊠ 17^{h10}, 27. ⩽ 0^{10}—0^{h30}, 30. ⊠ 17^{40}—17^{h50}, ⊠ 18^{05}—18^{h25}. — Säntis: Großes Lichtermeer: 28. 21^{h30}. — Föhnmauer: 6. 10^{h30}, 7. 7^{h30}, 28. 10^{h30}. — Gewitter: 1. ⩽ N 21^{h30}, 2. (⊠) E u. SW 20^{30}—23^{h}, 3. (⊠) N 20^{h30}—n, 6. ⩽ WSW 21^{h30}, 8. (⊠) E 9^{10}—9^{h15}, 13. (⊠) S 14^{30}—14^{h45}, (⊠) E 15^{15}—15^{h30}, (⊠) NW 15^{40}—16^{h30}, (⊠) S 20—20^{h40}, (⊠) NNW 20^{30}—21^{h45}, 15. (⊠) NNW u. E 21^{05}—21^{h20}, 16. T NE 18^{10}—18^{15}, 26. (⊠) NE 21—21^{h50}, 30. (⊠) N 19^{30}—22^{h}, 31. ⊠ 14^{50}—15^{h15}. — St. Gotthard: Neblig: 5. I, 12. III, 14. I, 21. II, 28. II — Gewitter: 1. ⊠ ⩽ T ▲ 12^{05}—12^{h30}, 31. T ⊠ 14^{30}—18^{h40}.

September

Bern: Alpen schwach sichtbar: 3. I, II 4., 5., 16., 20., 22. II, 27. I, II, 28. I — Gewitter: 7. (⊠) 15^{35}—16^{h20}, ⊠ 16^{30}—17^{h43}, (⊠) NW 17^{h45}, 26. ⊠ 2^{26}—3^{h10}. — Neuchâtel: Gewitter: 7. T 14^{10}—14^{h30}, 9. (T) Nm, 10. (T) 17—17^{h30}. — Altdorf: Föhn: 13. 10^{h}—n, 23. 19^{h15}—n. — Gewitter: 3. (⊠) 17^{h15}, 9. ⩽ 18—19^{h}, 12. ⩽ 20^{h}, T 21^{h30}. — Zürich: Alpen sichtbar: 3. I — Alpen schwach sichtbar: 4. II, 16. I. — Dunst: 5., 6. d. g. T, 7. Vm, 8., 9., 10., 11., 12., 13. d. g. T, 14., 18., 19., 20., 21. Vm, 22. d. g. T, 23. Nm, 25., 27. Vm, 28., 29., 30. d. g. T. — Neblig: 8. I. — Tal neblig: 4., 7. Vm — Nebel (Sicht): 6. 7—8^{h15} (160 m), 10. fr—8^{h} (200 m), 11. 3—8^{h45} (80 m), 12. 5^{30}—7^{h45} (700 m), 23. n—9^{h} (300 m), 25. 4—9^{h30} (160 m). — Talnebel: 6. fr bis 580 m, 16. fr, 17. Vm, 23. Vm bis 700 m, 28. fr bis 550 m. — Gewitter: 7. T S 17^{h}, (⊠) S 19—20^{h10}, Nah ⊠ 20^{10}—20^{h50}, (⊠) S 20^{50}—n. — Chasseron: Nebelmeer (Mittelland): 15. I 1550, 21. I 1600, 22. I 800, 25. I 950, II (1050). — Gewitter: 9. (⊠) üb. Frankreich III, 10. (⊠) NW III. — Bever: Schneegrenze: 1. 27. Waldgrenze, 29. 2200 m. — Sitten: Dunst: 20. I — Hochnebel: 14. I 1300 m, 16. n—10^{h} 2000 m, 24. I 1000 m, 26. I 850 m. — Schneegrenze: 27. 2800 m, 30. 2000 m. — Lugano: Nordföhn: 26. 14—15^{h}. — Basel: Dunst: 5. I, 8. III, 9. I, II. — Gewitter: 26. ⊠ 2^{h10}. — Säntis: Großes Lichtermeer: 1. III. — Föhnmauer: 15., 25. I — Gewitter: 7. ⊠ 14^{40}—15^{h}, (⊠) W 16—16^{h30}, ⊠ 17—22^{h15}, 8. (⊠) E, N, NW 19^{h10}—n, 9. (⊠) E 19^{30}—22^{h}, 10. Nah ⊠ N 17^{h}, 11. Nah ⊠ W 16^{05}—16^{h15}, ⩽ E 20^{h}—n — Elmsfeuer: 7. 21^{h30} — Neuschnee: 27. 4 cm, 29. 3 cm. — St. Gotthard: Neblig: 5. III, 23. I, 24. II, 25. I, 26. II, III. — Nebelmeer: 21. S 1800 m.

Oktober

Bern: Alpen hell: 29. II, 30. I, II. — Alpen sichtbar: 31. I — Alpen schwach sichtbar: 13. I, II, 28. II, 31. II. — Altdorf: Föhn: 30. 14^{h05}—n. — Schneehöhe: 23. 1 cm. — Zürich: Alpen sichtbar: 29. Vm. — Alpen schwach sichtbar: 13. Vm, 29. Nm, 30. Vm. — Dunst: 1., 2., 3., 4., 5., 6., 7., 8., 9., 10., 11. d. g. T, 12. Nm, 13., 14., 15., 16., 17. d. g. T, 18. Nm, 26., 27. d. g. T. — Taldunst: 12., 13. 19. Nm, 20., 29. d. g. T, 30. Nm, — Tal neblig: 2. Vm—Nebel (Sicht): 5. I (200 m), 12. I (120 m), 13. I (500 m), 17. I (700 m), 18. I (50 m), 19. I (700 m), 20. I (500 m), 22. I (200 m), 28. I (130 m), II (800 m), III (40 m). — Talnebel: 13., 14., 15. Vm, 16. früh, 21., 30., 31. Vm — Neuschnee: 23. 2 cm. — Chasseron: Nebelmeer (Mittelland): 1. I (1100), II (1200), 2. I (1300), II (1300), III 1600, 3. I 1500, II 1450, III 1600, 4. I (950), 7. I (1200), III (1350), 8. I 1450, II (1450), III 1500, 9. I 1500, 10. I 1550, III (1500), 11. I 1600, II 1500, III 1600, 12. I (1400), 14. I (1000), 15. I (950), 16. I (1000), 27. I 1450, 28. I 900, II (850), 30. I (800), 31. I (900). — Neuschnee: 23. 20cm. — Schneehöhe: 26. 4 cm. — Bever: Morgenrot: 14., 17., 18., 29. — Schneegrenze: 23. Waldgrenze. — Sitten: Neblig: 9. I, 11., 18. Vm. — Schneegrenze: 23. 1300 m. — Lugano: Nordföhn: 23. Vm. — Basel: Dunst: 2., 3. II, 4. I, II, 5. I, 6. II, 8., 10., 11. I, 12. I, II, 13., 14., I, 15., 16., 17., 18., II, 19., 20. I. II, 21., 23., 28., 29. I. — Säntis: Föhnmauer: 19. I, 22. Vm, 24. I, 27., 28. Nm, 29. II, 30.-31. I. — Neuschnee: 23. 10 cm. — St. Gotthard: Nebelmeer: 4. III, S (1800 m), 5. n—18^{h}. S (1500 m). — Neuschnee: 23. 35 cm, 24. 7 cm, 31. 5 cm. — Schneehöhe: 26. 40 cm.

November

Bern: Alpen klar: 5., 6., 11. I, 16. I, II, 25. I. — Alpen hell: 4. I, II, 5. II, 9. I, II. II. II, 17. I, 23. I, II, 25. II, 30. II — Alpen sichtbar: 7. I, 18. I, II. — Alpen schwach sichtbar: 1. I, 7., 8., 10., 24. II, 28. I. — Neuchâtel: Besondere Erscheinungen: 3. 9^{55}—10^{h15}, Wasserhose i. O. — Altdorf: Föhn: 4. 19^{h10}. — 6. Vm, 7. Vm — 8. Vm, 9. Mtg — 10. Abd, 17. 19^{h30}—19. Vm. — Zürich: Alpen klar: 4., 6. II, 18. I, II. — Alpen hell: 6. I, 9. II, 10. I, 13., 16., 21., 23. II, 25. I, 29. II. — Alpen sichtbar: 4. I, 5. I, II, 7., 10. II, 11., 16., 21. I. — Alpen schwach sichtbar: 2. II, 7., 9., 17., 23. I. — Föhnmauer: 5., 6. d. g. T, 7. Nm, 8. Vm, 9. Vm, 11., 18. d. g. T. — Föhnlücke: 6., 10. Nm. — Dunst: 9., 10., 15., 20. d. g. T, 23. Vm. — Taldunst: 6., 11. d. g. T. — Tal neblig: 4., 5., 8., 15. Vm, 16., 17. Nm, 18., 27. d. g. T, 28. Nm. — Nebel (Sicht): 20. Vm (150 m), 28. Vm (80—100 m). — Talnebel: 16., 17. Vm. — Chasseron: Nebelmeer: (Mittelland): 9. II (1000), 16. I (750), 17. I (750), II (700), III (700), 18. I (700), 21. I (1300), 28. I (800) — Neuschnee: 1. 9 cm, 2. 9 cm, 3. 1 cm, 4. 5 cm, 12. 5 cm, 14. 7 cm, 15. 7 cm, 19. 2 cm. 20. 3 cm, 22. 15 cm, 23. 3 cm, 29. 4 cm, 30. 4 cm. — Schneehöhe: 2. 18 cm, 16. 16 cm, 23. 25 cm, 30. 4 cm. — Bever: Morgenrot: 17. — Neuschnee: 1. 3 cm, 2. 4 cm, 4. 4 cm, 15. 7 cm, 18. 2,5 cm, 24. 9 cm, 29. 5 cm. — Schneegrenze: 11. 1800 m, 21. 1800 m. — Sitten: Neblig: 20. III. — Schneegrenze: 1. 1200 m, 4. 900 m, 9. 1800 m, 12. 1500 m, 29. 900 m. — Lugano: Nordföhn: 1. 9—16^{h}, 15. 10^{30}—15^{h}, 22. 9^{h}—23. 16^{h}, 26. 17^{h30}, 27. 1^{h}, 29. 5—19^{h}. — Basel: Dunst: 5., 6. I, 8. II, 9., 15. I, 16. II, 17., 20. I. — Säntis: Großes Lichtermeer: 4. III. — Föhnmauer: 5. I, 6. I, II, 7., 8., 10., 20., 21. I. — Elmsfeuer: 22. I. — Neuschnee: 2. 32 cm, 3. 2 cm, 4. 12 cm, 9. 6 cm, 11. 3 cm, 14. 24 cm, 15. 45 cm, 20. 3 cm, 22. 13 cm, 23. 15 cm, 26. 25 cm, 27. 7 cm, 30. 25 cm. — Schneehöhe: 2. 40 cm, 9. 20 cm, 16. 80 cm, 23. 70 cm, 30. 110 cm.— Schneegrenze: 2. 1100 m, 9. 1900 m. 16. 1200 m, 23. 800 m, 30. 600 m. — St. Gotthard: Neblig: 12. I, II. — Neuschnee: 6. 5 cm, 7. 10 cm, 8. 18 cm, 9. 37 cm, 10. 20 cm, 11. 22 cm, 12. 20 cm, 19. 20 cm, 20. 55 cm, 21. 28 cm, 24. 5 cm. — Schneehöhe: 2. 50 cm, 9. 105 cm, 16. 130 cm, 23. 225 cm, 30. 210 cm.

Dezember

Bern: Alpen klar: 5. I, II, 12. I, 31. II. — Alpen hell: 1. I, 4., 9., 25. II, 29. I. — Alpen sichtbar: 9. I, 11., 27. II. — Alpen schwach sichtbar: 4. I, 6. I, II, 8. I, II. 12., 13. II. 14., 15., 16., 20. I. 21. I, II. 25., 27. I. 29. II. Neuschnee: 3. 3 cm, 30. 5 cm. — Altdorf: Dunst: 14. II. — Neblig: 24. d. g. T. — Föhn: 25. 8^{h45}—Abd. — Genf: Schneehöhe: 29. 1 cm. — Zürich: Alpen klar: 6., 9., 27. Vm Alpen hell: 5., 8., 11. Nm, 25. d. g. T. Alpen sichtbar: 12. Vm, 16. Nm. — Alpen schwach sichtbar: 8., 13. Vm, 29. Nm. — Föhnlücke: 9. Vm. — Dunst: 3. d. g. T, 4., 12. Vm, 13. d. g. T, 28., 29. Nm. — Taldunst: 11. Vm, 16. Nm. — Neblig: 9. Nm, 20. d. g. T. — Tal neblig: 12. Vm. — Nebel (Sicht): 1. I (80 m), II (700 m), III (150 m), 2. I (150 m), 3. I (150 m), 7. III (200 m), 8. I (900 m), 14. I (50 m), II (200 m), III (15 m), 15. I (50 m), II (50 m), III (130 m), 16. I (250 m), II (200 m), 17. III (100 m), 18. I (40 m), II (40 m), III (30 m), 19. I (150 m), II (800 m), III (130 m), 20. I (40 m), 21. I (80 m), II (800 m), III (15 m), 22. I (30 m), II (50 m), III (20 m), 23. d. g. T. (30 m), 24. I (30 m), II (60 m), III (20 m), 27. I (150 m), 29. I (300 m). — Neuschnee: 3. 5 cm, 4. 3 cm, 30. 4,5 cm. — Chasseron: Nebelmeer (Mittelland): 1. I (700), II (700), II 700, 2. I (1150), II (1000), 4. I (750), 5. I (1300), 6. I (700), 8. II (1500),

13. I (750), 14. I (750), II (750), III 700, 15. I 750, II 750, III 750, 16. I 650, II (700), III (700), 17. I 650, II (650), III 650, 18. I 700, II (750), III (650), 19. I 700, II (700), III 650, 20. I 700, II (650), III (700), 21. I 700, II 700, III 700, 22. I 750 II (750), III 750, 23. I 700, II (700), III 700, 24. I 700, II (700), III 700, 25. I (650). — Neuschnee: 3. 4 cm, 4. 2 cm, 7. 1 cm, 8. 3 cm, 10. 3 cm, 11. 3 cm, 26. 3 cm, 27. 11 cm, 28. 1 cm, 29. 3 cm, 30. 4 cm. — Schneehöhe: 7. 6 cm, 14. 11 cm, 28. 15 cm. — **Bever:** Morgenrot: 6., 20. — Neuschnee: 7. 10 cm, 28. 7,8 cm. — Schneehöhe: 28. 14 cm. — **Sitten:** Neuschnee: 26. 2 cm, 28. 2,5 cm, 30. 1 cm. — Schneegrenze: 3. 900 m. — **Lugano:** Nordföhn: 3. 14h—4. 1h, 11. 2—22h. — Schneehöhe: 26. 2 cm. — **Basel:** Dunst: 3., 6., 11., 14., 15. II, 18. I, II, 19., 20., 21., 22., 23., 24. II. — Neuschnee: 3. 0,5 cm. — **Säntis:** Großes Lichtermeer: 31. III. — Föhnmauer: 25. I. — Neuschnee: 1. 4 cm, 3. 8 cm, 4. 25 cm, 7. 8 cm, 8. 22 cm, 11. 32 cm, 26. 8 cm, 27. 25 cm, 28. 4 cm, 29. 15 cm, 30. 10 cm, 31. 8 cm. — Schneehöhe: 7. 110 cm, 14. 130 cm, 21. 100 cm, 28. 110 cm. — Schneegrenze: 7. 800 m, 14. 900 m, 21. 1300 m, 28. 800 m. — **St. Gotthard:** Neuschnee: 7. 5 cm, 26. 7 cm. — Schneehöhe: 7. 205 cm, 14. 200 cm, 21. 190 cm, 28. 165 cm.

Säntis Nebelmeer

Obergrenze des Nebelmeeres in Hektometer über Meer; ohne Klammer: geschlossenes, mit Klammer: aufgelockertes Nebelmeer

1951 Januar

	2.	3.	6.	10.	11.	12.	22.	23.	24.	25.	26.	27.	28	29	30.	31.
7^{30}	(7)	—	(6)	7	6	—	—	—	14	10	6	9	12	20	—	19
10^{30}	(6)	—	(7)	8	7	—	11	—	13	10	7	10	11	21	25	19
13^{30}	—	—	(7)	8	7	(21)	13	19	12	10	7	10	13	22	24	20
16^{30}	(15)	—	(7)	(8)	—	—	13	19	11	15	7	10	14	24	23	20
21^{30}	20	23	—	(7)	—	—	11	18	11	—	8	(11)	17	—	21	23

Februar

	1.	..	
7^{30}	24	13	1
10^{30}	24	16	1
13^{30}	25	17	
16^{30}	25	18	
21^{30}	25	19	

Februar

	7.	8.	9.	10.	11.	12.	15.	16.	17.
7^{30}	(6)	9	(8)	17	(6)	(6)	—	24	6
10^{30}	9	(7)	—	20	—	9	(6)	(13)	(6)
13^{30}	9	—	—	(15)	—	(9)	—	(14)	—
16^{30}	12	—	—	—	—	(9)	—	—	—
21^{30}	(6)	—	(6)	(6)	—	(9)	23	—	—

März

	1.	2.	3.	4.	5.	7.	8.	9.	11.
7^{30}	24	—	10	15	10	8	10	(13)	9
10^{30}	(18)	(21)	—	15	—	—	10	—	—
13^{30}	(21)	25	(13)	(15)	—	—	11	—	—
16^{30}	23	—	(18)	(15)	—	—	(11)	—	—
21^{30}	23	—	19	(15)	—	10	10	—	—

April

	4.	20.	27.	2
7^{30}	(7)	(9)	(20)	1
10^{30}	(7)	(14)	(20)	2
13^{30}	—	(20)	—	2
16^{30}	—	—	—	—
21^{30}	—	(20)	—	

Mai

	1.	12.	13.	17.	18.	20.	30.	31.
7^{30}	(8)	15	21	8	(16)	(17)	14	14
10^{30}	—	18	22	13	(21)	(18)	17	17
13^{30}	—	20	25	—	—	(21)	21	20
16^{30}	—	21	—	—	—	(21)	23	20
21^{30}	—	21	—	—	—	—	24	(14)

Juni

	2.	4.	7.	8.	10.	17.	18.	20.	21.	2
7^{30}	(6)	(8)	(9)	—	—	(7)	(9)	17	10	24	1
10^{30}	—	—	—	—	24	—	—	21	—	—	
13^{30}	—	—	—	(14)	—	—	—	24	—	24	
16^{30}	—	—	—	(25)	—	—	—	25	—		
21^{30}	—	—	—	—	—	—	—	(16)	—		

Juli

	6.	10.	12.	13.	14.	18.	27.	28.
7^{30}	20	10	—	(9)	10	(18)	10	(10)
10^{30}	—	—	21	(8)	(21)	20	—	—
13^{30}	—	—	20	—	20	—	—	—
16^{30}	—	—	—	—	22	—	—	—
21^{30}	25	—	—	—	—	—	—	—

August

	3.	4.	13.	14.	15.	17.	22.	24.	26.	29.	30.	
7^{30}	8	18	—	24	13	(9)	25	12	(12)	(6)	—	(1
10^{30}	—	—	25	—	—	(13)	—	(15)	—	—	—	(1
13^{30}	—	—	23	—	—	—	—	—	—	—	—	(2
16^{30}	—	—	—	—	—	—	—	—	—	—	—	
21^{30}	—	—	—	—	—	—	—	—	—	—	21	

September

	1.	4.	5.	6.	8.	9.	10.	11.	15.	16.	18.	20.	21.	22.	23.	24.	25.	28.	3
7^{30}	—	(10)	(10)	(6)	11	12	12	(11)	15	25	—	—	(10)	8	(6)	—	9	(9)	1
10^{30}	—	—	—	—	17	15	13	(19)	14	—	23	—	14	9	(7)	—	10	—	2
13^{30}	—	—	—	—	17	16	—	—	13	—	—	—	—	—	—	22	(10)		2
16^{30}	24	—	—	—	—	16	—	—	(10)	—	—	(25)	—	—	—	22	—		2
21^{30}	—	—	—	—	—	18	—	—	—	(24)	—	—	—	—	—	—	—		1

Oktober

	1.	2.	3.	4.	5.	6.	7.	8.	9.	10.	11.	12.	13.	14.	15.	16.	17.	18.	1
7^{30}	15	14	17	16	19	12	(17)	15	14	11	13	9	7	(8)	9	10	9	9	
10^{30}	15	14	17	18	18	14	16	16	13	11	13	10	8	—	10	11	9	(10)	1
13^{30}	15	16	18	17	(18)	16	16	17	(16)	14	14	—	—	—	10	11	(9)	(11)	
16^{30}	16	18	18	19	(19)	(21)	16	18	(18)	13	16	—	—	—	—	(10)	(9)	(12)	
21^{30}	15	18	18	—	19	(18)	15	15	—	(13)	—	—	—	—	(14)	—	(10)	13	

Oktober

	20.	21.	22.	23.	24.	25.	26.	27.	28.	29.	30.	31.
7^{30}	—	24	7	—	17	17	20	14	8	6	(6)	6
10^{30}	—	—	9	25	16	16	20	15	8	(6)	(7)	(7)
13^{30}	—	—	15	24	16	16	22	(15)	(8)	—	—	—
16^{30}	24	22	—	22	17	16	21	—	8	—	—	(22)
21^{30}	—	—	—	20	17	15	21	—	8	—	—	—

November

	11.	17.	19.	20.	27.	28.	2
7^{30}	—	6	—	12	(8)	6	
10^{30}	—	7	21	14	(8)	7	
13^{30}	—	(7)	—	15	(9)	(8)	
16^{30}	—	—	—	13	(8)	—	2
21^{30}	(14)	—	—	(14)	(7)		

Dezember

	1.	2.	5.	6.	8.	14.	15.	16.	17.	18.	19.	20.	21.	22.	23.	24.	25.	27.	2
7^{30}	6	9	17	(7)	6	7	7	7	6	7	(6)	6	6	6	6	7	6	—	
10^{30}	7	9	(14)	(7)	7	(8)	7	7	(7)	7	(7)	7	7	7	7	7	(6)	(7)	(8)
13^{30}	8	9	—	—	(14)	(8)	7	(7)	(7)	7	(7)	6	7	7	7	7	(7)	—	(9)
16^{30}	8	—	—	—	(8)	7	7	(7)	(6)	7	6	6	7	7	7	7	—	—	
21^{30}	9	—	—	—	—	7	6	(24)	7	6	6	(6)	(7)	7	6	6	—	—	

Jungfraujoch: Lufttemperaturen

Tag	Januar			Februar			März			April			Mai			Juni		
	7^{30}	13^{30}	21^{30}	7^{30}	13^{30}	21^{30}	7^{30}	13^{30}	21^{30}	7^{30}	13^{30}	21^{30}	7^{30}	13^{30}	21^{30}	7^{30}	13^{30}	21^{30}
1	−16.8	−15.2	−16.2	−13.6	−14.0	−13.4	−19.8	−16.2	−20.8	−18.8	−13.0	−12.0	−13.4	−10.8	−6.4	−7.2	−5.4	−7.2
2	−18.6	−17.4	−16.8	−14.0	−12.2	−16.8	−23.6	−21.6	−21.8	−13.0	−12.6	−12.8	−8.4	−6.4	−8.0	−6.8	−5.6	−7.0
3	−19.6	−19.4	−18.4	−18.2	−16.0	−15.0	−22.8	−18.6	−20.8	−17.8	−18.0	−17.2	−7.4	−5.2	−7.0	−7.0	−5.4	−6.6
4	−11.6	−14.8	−11.8	−13.8	−15.4	−16.8	−18.4	−15.0	−16.8	−17.0	−12.0	−12.0	−7.2	−5.0	−10.0	−7.0	−4.0	−5.8
5	−11.8	−8.6	−7.0	−14.8	−14.6	−14.6	−17.0	−15.8	−13.8	−10.0	−9.0	−11.4	−12.8	−9.2	−10.2	−6.2	−5.0	−6.6
6	−6.2	−5.0	**−4.6**	−15.6	−14.8	−17.0	−13.8	−14.0	−12.0	−10.0	−10.0	−9.8	−10.4	−6.2	−8.2	−7.0	−5.2	−5.2
7	−8.0	−10.8	−14.0	−17.8	−18.8	−17.6	−13.6	−10.0	−9.8	−10.8	−8.2	−9.6	−9.6	−7.8	−9.0	−5.6	−2.4	−2.0
8	−9.6	−7.4	−8.6	−11.0	−9.4	−8.0	−11.0	−11.4	−13.4	−16.8	−17.0	−18.2	−9.6	−7.2	−9.4	−3.0	−3.0	−4.0
9	−13.4	−15.2	−14.0	**−7.4**	−10.4	−13.0	−13.2	−15.6	−17.2	−16.2	−14.0	−12.8	−10.4	−7.8	−9.4	−5.8	−5.4	−6.0
10	−15.8	−12.0	−11.0	−12.4	−12.2	−11.4	−18.0	−15.4	−15.0	−15.0	−15.2	−15.6	−9.8	−8.2	−9.0	−6.8	−6.8	−6.4
11	−11.0	−8.2	−9.8	−11.0	−11.2	−11.6	−17.0	−13.4	−14.0	−18.2	−16.4	−18.0	−9.2	−7.0	−8.2	**−9.4**	−6.0	−5.0
12	−14.0	−13.6	−15.4	−12.4	−12.0	−12.4	−14.6	−16.2	−14.0	−16.4	−13.8	−11.6	−9.4	−6.2	−8.4	−5.0	−1.4	−2.4
13	−18.8	−19.2	−19.0	−11.8	−12.8	−16.8	−13.0	−11.0	−11.0	−11.2	−10.4	−12.6	−9.0	−9.2	−10.4	−3.0	−3.6	−6.2
14	−19.6	−14.4	−12.2	−17.8	−16.8	−16.6	−16.2	−16.2	−15.8	−13.8	−13.0	−16.0	−12.4	−10.0	−13.2	0.4	2.0	2.6
15	−10.8	−9.2	−20.6	−15.6	−16.8	−16.2	−13.6	−13.4	−11.4	−16.2	−13.4	−11.2	−14.6	−13.0	−14.0	3.2	**3.8**	0.4
16	**−23.0**	−22.4	−22.0	−17.8	−17.0	−17.4	−10.0	−8.2	−6.8	−10.0	−9.2	−10.6	**−15.0**	−12.0	−11.8	1.6	2.4	1.2
17	−13.2	−7.8	−8.6	−15.8	−13.0	−9.8	**−5.4**	−5.6	−8.8	−10.6	−7.2	−7.4	−10.0	−9.6	−10.0	0.0	2.2	−1.0
18	−12.6	−11.0	−15.6	−12.2	−16.0	−15.0	−5.8	−9.0	−13.0	−9.0	−9.0	−6.4	−9.8	−9.0	−9.0	0.6	1.8	−0.2
19	−19.8	−20.6	−19.4	−14.8	−16.8	−19.4	−10.0	−9.8	−13.2	−6.8	−4.4	−7.4	−8.0	−8.0	−7.0	−0.8	0.2	−2.4
20	−11.4	−10.6	−13.8	−18.6	−16.0	−11.8	−17.6	−17.0	−17.2	−8.6	**−3.8**	−6.2	−5.4	−4.0	−4.2	−0.2	−0.2	−0.2
21	−11.0	−10.8	−10.4	−13.2	−18.2	−19.8	−20.4	**−24.6**	−21.4	−7.6	−6.2	−8.8	−7.2	−6.8	−5.0	−0.2	2.6	0.8
22	−9.6	−9.0	−10.2	−20.0	−19.6	−21.2	−18.0	−15.0	−9.8	−10.0	−6.0	−5.4	−4.0	−4.2	−4.8	0.2	1.8	0.2
23	−12.2	−11.0	−11.2	−21.6	−21.6	−18.6	−11.4	−9.0	−6.0	−7.0	−6.8	−6.6	−5.0	−3.4	−2.6	−0.6	−0.2	−5.4
24	−14.4	−12.0	−11.8	−18.6	−17.6	−17.0	−11.0	−15.8	−20.8	−7.0	−4.6	−9.4	−1.2	−1.0	−1.0	−5.0	−3.4	−9.0
25	−11.6	−11.0	−13.2	−18.8	−17.0	−17.4	−24.0	−24.4	−24.2	−7.2	−7.8	−8.0	0.0	**2.4**	−0.6	−8.8	−5.2	−7.0
26	−15.8	−13.2	−16.0	−19.6	−20.0	−22.0	−23.8	−19.4	−14.2	−8.2	−7.4	−7.2	−2.0	−2.4	−3.2	−8.4	−7.0	−7.4
27	−16.8	−16.0	−15.2	−23.0	−22.8	−23.0	−10.0	−10.2	−11.2	−9.0	−6.6	−7.6	−5.0	−4.8	−6.6	−7.8	−9.2	−5.0
28	−14.8	−14.0	−15.2	**−24.2**	−22.6	−23.0	−14.6	−15.8	−18.6	−8.0	−7.0	−10.4	−8.4	−6.8	−7.2	−5.8	−4.0	−5.4
29	−14.4	−13.6	−14.6				−21.2	−18.0	−17.0	−16.0	−14.2	−15.2	−7.2	−4.6	−5.6	−6.4	−5.2	−4.6
30	−12.8	−12.2	−15.0				−17.2	−15.4	−17.0	−14.6	−13.6	−13.5	−5.6	−4.0	−5.0	−3.0	−1.6	−4.4
31	−14.8	−12.4	−13.4				−18.6	−17.2	−18.8				−5.2	−3.0	−4.0			
Mittel	−14.0	−12.8	−13.7	−15.9	−15.9	−16.2	−15.6	−14.8	−15.0	−12.0	−10.3	−11.0	−8.1	−6.5	−7.4	−4.0	−2.6	−3.7

Tag	Juli			August			September			Oktober			November			Dezember		
	7^{30}	13^{30}	21^{30}	7^{30}	13^{30}	21^{30}	7^{30}	13^{30}	21^{30}	7^{30}	13^{30}	21^{30}	7^{30}	13^{30}	21^{30}	7^{30}	13^{30}	21^{30}
1	−4.4	−1.0	−2.4	1.8	2.2	1.0	**−8.6**	−3.6	−1.6	−4.2	−2.4	−3.6	−17.0	−15.6	−14.6	−5.0	−5.2	−6.0
2	−2.4	0.0	−2.0	1.8	2.0	1.8	−3.6	−2.0	−2.0	−4.0	−1.4	−3.4	−13.4	−14.0	−11.8	−7.6	−8.4	−10.4
3	−2.0	0.4	−1.4	2.8	3.0	0.0	−3.2	−3.6	−7.2	−4.0	−1.8	−3.8	−10.6	−12.0	−17.4	−16.2	−18.8	**−19.2**
4	0.4	0.8	−1.5	−0.8	1.4	−1.6	−1.0	1.2	**5.4**	−5.6	−4.0	−5.4	−16.6	−11.0	−9.8	−15.2	−10.2	−7.4
5	−3.8	−3.2	−3.4	−2.4	−0.4	0.4	**5.4**	3.8	0.6	−6.0	−4.2	−6.0	−7.8	−5.8	−4.0	−9.6	−5.0	−3.4
6	−2.0	−1.6	0.2	0.6	2.2	0.8	−0.6	1.2	0.4	−3.8	−2.2	−5.6	**−3.4**	−4.4	−6.0	−5.6	−6.0	−10.0
7	2.0	3.4	1.0	−0.4	1.2	0.8	0.0	2.6	0.4	−5.0	−3.4	−5.0	−5.8	−7.0	−6.4	−11.6	−15.0	−18.2
8	0.8	2.0	0.6	−0.2	0.2	−0.6	0.2	2.2	0.2	−5.2	−3.2	−3.0	−6.0	−6.0	−6.6	−11.8	−10.6	−9.0
9	−0.8	0.0	−2.0	−3.2	−4.0	−6.0	0.4	1.6	0.8	−5.6	−4.0	−10.0	−8.4	−8.0	−7.4	−10.0	−10.0	−10.8
10	1.2	5.0	4.0	−5.6	−3.6	−5.8	−0.2	1.8	0.2	−7.0	−6.2	−8.0	−7.0	−6.2	−6.8	−16.2	−16.0	−17.2
11	2.4	2.4	1.0	**−7.6**	−6.0	−3.0	−0.2	2.0	2.0	−11.2	−10.0	−13.2	−8.2	−8.2	−6.8	−16.8	−16.0	−15.4
12	−0.6	2.0	0.8	2.0	1.6	−1.0	1.0	2.4	2.6	**−15.2**	−11.6	−8.8	−10.2	−11.0	−11.0	−10.4	−9.8	−8.6
13	0.4	1.0	0.8	−1.4	−1.2	−1.0	2.8	2.4	−1.0	−6.8	−3.8	−5.0	−11.8	−12.4	−13.4	−8.6	−5.6	−5.6
14	−0.8	1.2	0.0	−3.0	−1.6	−1.8	0.2	1.0	1.2	−4.8	−5.2	−7.0	−14.0	−14.0	−13.8	−4.8	−4.8	−6.8
15	0.2	2.0	−1.6	−2.0	−0.2	0.0	1.6	2.2	0.8	−4.2	**0.0**	−4.0	−14.4	−12.4	−8.2	−10.2	−9.8	−9.0
16	−4.6	−1.6	−3.0	−2.2	−2.4	−7.6	0.6	3.6	1.4	−7.6	−5.8	−6.2	−6.0	−4.0	−4.0	−7.4	−5.4	−5.8
17	−1.8	−0.2	1.0	−1.0	−1.4	−4.2	−1.4	−0.6	−4.2	−3.6	−1.6	−3.8	−4.4	−4.4	−7.0	−2.8	**−1.0**	−2.6
18	2.8	2.0	0.0	−3.0	0.4	0.8	−5.4	−2.0	−3.6	−6.0	−4.6	−5.4	−9.2	−8.0	−8.6	−4.0	−4.8	−6.0
19	−0.6	2.2	0.6	0.4	1.4	1.6	−5.4	−5.4	−6.0	−4.8	−3.6	−4.2	−9.0	−8.0	−9.0	−7.8	−4.8	−5.4
20	−0.8	−0.2	−1.4	1.6	3.2	1.2	−4.8	−4.6	−2.6	−5.0	−4.0	−5.4	−7.8	−7.0	−7.2	−5.2	−4.6	−4.4
21	−1.4	0.4	1.2	−1.2	−1.0	−2.0	−4.0	−3.4	−2.8	−6.2	−5.4	−6.6	−7.2	−7.8	−11.0	−4.0	−1.8	−5.4
22	1.4	2.2	1.2	−2.4	0.8	−1.2	−2.2	0.4	0.4	−6.4	−6.4	−8.4	−15.8	−17.4	−18.2	−6.4	−6.2	−6.8
23	−0.6	0.6	−4.6	−2.8	−0.8	−2.4	0.8	1.6	1.0	−7.2	−6.4	−7.8	−17.6	−13.8	−8.8	−7.2	−5.8	−6.8
24	−5.2	−2.6	−6.6	−0.8	0.6	1.0	−2.6	0.0	−1.0	−7.0	−6.0	−8.2	−7.0	−6.2	−6.0	−11.0	−10.0	−11.4
25	**−8.4**	−7.0	−6.2	1.0	0.6	−0.2	−2.0	2.2	−2.2	−9.0	−6.4	−9.0	−6.2	−6.0	−7.2	−8.8	−9.2	−9.0
26	−6.2	−5.4	−4.4	−2.2	−0.6	−1.0	−2.2	−4.0	−7.6	−10.0	−8.0	−9.4	−13.0	−13.6	−17.4	−13.4	−15.4	−17.8
27	−5.2	−2.2	−0.2	−2.4	−1.0	−0.2	−8.4	−5.2	−2.0	−8.4	−6.6	−6.8	−14.4	−10.2	−7.2	−15.0	−8.8	−15.2
28	0.4	2.0	1.2	1.2	**4.2**	1.0	−3.0	−3.0	−5.2	−8.0	−7.6	−8.0	−8.4	−9.0	−12.8	−17.2	−18.8	−18.6
29	2.0	5.0	4.8	1.0	3.0	2.0	−6.4	−6.4	−4.8	−7.6	−7.8	−6.4	**−21.0**	−20.4	−16.6	−15.4	−17.8	−15.8
30	3.4	5.6	4.2	3.0	0.8	0.2	−5.8	−3.0	−3.8	−10.8	−7.0	−8.4	−8.6	−9.0	−5.4	−17.2	−17.4	−10.0
31	5.8	7.2	3.0	−0.2	0.0	−5.4				−8.2	−7.4	−8.0				−9.6	−12.4	−9.8
Mittel	−0.9	0.7	−0.5	−0.9	0.2	−1.1	−1.9	−0.5	−1.4	−6.7	−5.1	−6.5	−10.3	−9.8	−9.7	−10.1	−9.5	−9.9

1951

Tägliche Maxima und Minima der Lufttemperatur

(Nach den Aufzeichnungen des Thermographen)

Zürich

Neue MZA, Krähbühlstr. 58

Tag	Januar		Februar		März		April		Mai		Juni		Juli		August		Septemb.		Oktober		Novemb.		Dezember	
	Max	Min	Max.	Min	Max	Min	Max.	Min.	Max	Min	Max.	Min.	Max.	Min.	Max.	Min.	Max.	Min	Max	Min	Max.	Min	Max	Min.
1	3.5	-3.3	1.6	-0.2	0.1	-5.6	12.9	0.6	17.9	**0.2**	15.5	8.0	23.1	**9.6**	27.7	15.7	20.4	11.3	16.7	10.5	8.6	3.5	2.0	-2.2
2	1.6	-2.4	1.1	-0.4	1.2	-6.0	10.3	3.0	20.7	3.8	19.7	**7.8**	24.9	10.7	29.2	15.8	22.2	12.6	**18.1**	11.6	8.6	3.	3.3	-1.9
3	1.2	-1.6	4.6	-1.1	2.3	**-6.2**	8.2	1.5	23.2	6.8	19.4	9.8	26.2	11.4	27.4	14.0	21.1	11.2	14.0	10.5	7.3	3.0	1.9	-0.4
4	3.9	-3.7	7.9	-1.4	2.8	-4.4	12.3	-0.4	14.7	7.7	23.9	8.3	27.0	14.3	22.3	14.0	21.7	9.4	16.7	8.8	12.0	1.3	2.3	-2.1
5	7.4	-2.3	3.4	0.2	6.0	-5.8	10.5	2.5	18.3	5.5	19.5	11.0	21.0	13.4	23.8	14.0	22.7	9.5	17.6	8.2	11.3	0.9	6.6	0.0
6	6.4	-2.1	3.3	0.6	5.9	-3.1	16.3	3.9	21.4	5.3	19.0	11.3	23.0	10.3	28.9	12.6	26.8	12.2	14.2	5.6	12.2	4.0	8.1	-1.0
7	5.5	1.4	5.0	-0.8	6.7	-3.6	18.8	4.1	15.7	8.5	22.7	9.4	27.2	10.5	25.1	14.7	25.7	15.0	8.6	5.3	**16.7**	7.8	8.3	-0.7
8	6.9	-1.1	3.9	-3.4	6.5	-0.3	9.0	2.9	18.6	7.1	19.2	11.4	27.7	15.8	17.6	14.2	23.7	14.6	10.7	3.3	14.4	7.0	4.0	-1.1
9	4.3	-2.1	12.0	0.3	8.7	1.0	13.9	2.1	18.7	6.1	14.0	10.9	23.3	14.9	19.5	12.2	21.2	15.5	12.1	2.8	14.1	7.4	**8.8**	-0.1
10	-0.2	-4.7	6.3	1.6	9.1	0.4	10.4	2.4	11.1	7.2	19.3	10.7	28.5	13.8	19.5	10.2	25.9	14.6	5.5	0.1	11.9	6.7	7.1	1.1
11	**8.9**	**-4.8**	**13.3**	0.0	7.6	-1.3	9.6	0.4	8.4	4.9	23.2	11.0	30.8	16.2	21.7	12.0	26.9	14.9	5.9	0.9	10.6	5.8	3.4	-3.3
12	4.5	0.7	5.1	0.3	11.7	4.0	11.6	**-1.4**	9.5	4.4	26.7	10.2	22.3	15.6	25.7	11.3	27.7	17.3	12.0	**-1.5**	8.8	5.8	2.9	-5.6
13	5.0	0.4	5.6	1.4	17.4	3.1	14.1	-0.5	16.2	4.5	22.5	13.1	27.0	13.1	21.5	13.0	**28.3**	15.6	15.3	-0.2	10.6	5.8	4.6	-4.1
14	5.7	-1.5	6.7	1.2	10.8	1.1	8.6	3.7	11.2	5.3	29.2	11.7	26.1	14.2	20.7	11.9	19.0	11.0	14.2	3.3	6.5	5.0	0.0	**-5.2**
15	5.9	-2.0	4.8	-0.9	14.3	6.0	11.9	2.0	9.2	4.2	**29.7**	13.7	25.0	14.7	23.4	**9.9**	20.4	10.5	11.9	2.2	10.2	2.8	-1.9	-4.3
16	0.2	-2.1	6.2	-0.7	14.2	5.6	18.5	0.5	11.4	4.4	26.7	14.3	14.5	11.1	18.0	12.4	23.3	12.9	9.5	1.1	11.2	1.2	1.0	**-5.2**
17	4.2	-3.5	8.6	-1.6	15.5	7.4	21.1	8.5	13.3	4.2	26.2	14.5	16.3	10.6	22.3	10.2	16.0	10.3	7.7	2.5	8.5	2.8	4.7	-1.0
18	5.9	2.4	4.3	-1.0	11.0	6.9	16.0	8.2	18.2	7.0	27.1	13.7	24.1	10.2	24.3	11.8	16.6	10.1	8.8	4.3	15.0	4.0	-0.5	-2.2
19	3.1	0.4	4.1	-0.8	11.5	2.9	18.1	8.5	24.0	5.2	13.1	10.3	25.6	13.3	26.5	10.8	14.7	9.1	12.5	4.3	10.1	4.6	3.9	-3.1
20	5.9	1.1	8.4	0.3	8.2	1.2	16.4	7.7	17.9	9.4	21.4	10.6	25.2	14.5	23.6	14.3	17.1	7.6	17.7	5.4	7.4	3.4	2.8	-5.1
21	5.8	4.1	8.8	0.7	5.5	-2.5	19.6	6.7	20.9	10.1	26.6	9.5	26.6	12.9	15.4	12.3	17.0	**4.8**	17.4	8.7	12.2	4.9	2.7	-4.3
22	5.5	3.2	4.8	0.1	**18.8**	5.1	15.1	3.2	19.2	9.0	24.7	14.3	28.2	11.7	16.8	12.3	19.1	5.0	10.2	2.2	7.5	2.1	-1.7	-5.4
23	4.8	2.2	4.3	-1.3	18.7	5.2	19.1	0.6	23.8	9.2	17.9	10.8	22.0	13.0	20.9	13.0	18.3	9.3	3.4	-0.1	8.2	3.0	-3.0	-5.1
24	3.1	1.1	1.6	-2.5	7.1	0.8	20.7	3.0	**27.3**	11.4	18.2	10.8	15.4	12.1	23.5	11.0	15.7	10.0	6.0	3.2	10.8	3.8	-1.3	-4.6
25	1.9	0.0	7.3	-0.4	1.7	-2.5	**24.1**	5.4	20.6	14.0	18.0	10.2	17.0	10.7	25.0	11.4	17.9	8.5	8.2	5.6	12.1	0.9	0.5	-4.7
26	2.9	-0.6	4.8	-0.7	3.3	-2.9	16.5	10.8	26.2	11.4	17.8	9.1	21.3	11.3	23.4	14.0	13.6	10.7	12.0	6.8	5.5	**-1.8**	4.4	1.6
27	-0.2	-1.7	4.7	-3.3	6.5	0.3	17.3	8.5	13.8	8.9	20.1	10.6	23.2	10.3	19.9	12.9	19.1	8.5	11.1	4.1	5.1	-1.7	3.3	-0.3
28	1.7	-1.2	3.4	**-5.1**	3.8	0.3	8.2	3.7	20.5	7.0	17.4	11.6	26.3	11.5	21.5	12.2	17.4	7.6	11.1	2.6	5.0	**-1.8**	3.5	-1.3
29	0.4	-0.5			6.2	-0.8	5.7	0.5	21.2	7.5	21.0	10.2	28.0	12.1	28.1	13.9	11.7	10.2	15.9	5.3	3.9	0.4	0.4	-3.3
30	1.5	-0.2			10.4	-1.5	10.4	0.7	18.1	8.3	22.5	9.6	29.7	14.7	**31.0**	14.1	13.1	11.2	14.3	5.2	4.9	0.1	2.4	-1.0
31	1.1	-0.2			8.1	0.5			17.6	11.0			**31.7**	16.3	18.3	13.0			13.6	6.0			5.9	1.2
Mittl. Max.	3.82		5.57		8.44		14.17		17.90		21.41		24.46		23.15		20.14		12.03		9.71		3.13	
Mittl. Min.	-0.79		-0.68		0.17		3.44		7.08		10.95		12.74		12.77		11.03		4.46		3.42		-2.42	
Differenz	4.61		6.25		8.27		10.73		10.82		10.46		11.72		10.38		9.11		7.57		6.29		5.55	
Abs Max.	8.9		13.3		18.8		24.1		27.3		29.7		31.7		31.0		28.3		18.1		16.7		8.8	
Abs. Min.	-4.8		-5.1		-6.2		-1.4		0.2		7.8		9.6		9.9		4.8		-1.5		-1.8		-5.2	
Differenz	13.7		18.4		25.0		25.5		27.1		21.9		22.1		21.1		23.5		19.6		18.5		14.0	

Stündliche Monatsmittel der Lufttemperatur

	Januar	Februar	März	April	Mai	Juni	Juli	August	Septemb.	Oktober	Novemb.	Dezemb.	Jahr
1^{30}	0.53	0.89	1.75	5.42	8.72	12.41	14.42	14.30	12.66	5.89	5.39	-0.73	6.80
2^{30}	0.45	0.78	1.46	5.08	8.27	11.99	13.98	13.99	12.42	5.78	5.26	-0.84	6.55
3^{30}	0.39	0.70	1.20	4.88	8.02	11.73	13.57	13.69	12.26	5.68	4.84	-0.94	6.34
4^{30}	0.18	0.51	1.09	4.44	7.73	11.51	13.19	13.38	12.12	5.57	4.67	-0.89	6.13
5^{30}	0.21	0.37	0.92	4.17	7.81	11.75	13.25	13.11	11.99	5.37	4.63	-1.19	6.03
6^{30}	0.06	0.31	0.72	4.31	8.54	12.42	14.10	13.46	11.89	5.34	4.57	-1.23	6.21
7^{30}	0.26	0.48	1.21	5.45	9.80	13.61	15.35	14.96	12.75	5.64	4.89	-1.18	6.94
8^{30}	0.13	0.46	1.79	6.62	11.15	15.36	17.29	16.42	13.55	6.05	4.99	-1.19	7.72
9^{30}	0.70	1.14	2.65	8.38	12.64	16.48	18.86	17.48	14.59	6.99	5.71	-0.71	8.74
10^{30}	1.66	2.15	3.57	9.62	13.51	17.39	19.86	18.93	15.90	8.12	6.51	-0.02	9.77
11^{30}	2.06	3.32	4.40	10.55	14.35	18.17	20.88	19.71	16.96	8.94	7.45	0.72	10.63
12^{30}	2.42	4.04	5.11	11.34	15.31	18.76	21.97	20.15	17.71	9.92	7.85	1.35	11.33
13^{30}	2.80	4.67	6.20	11.99	15.71	19.23	22.75	20.99	18.07	10.87	8.39	2.17	11.99
14^{30}	2.84	4.32	6.30	12.51	16.27	19.48	22.88	21.37	18.81	11.21	8.42	2.25	12.22
15^{30}	2.91	4.03	6.05	12.66	15.97	19.45	22.84	21.36	19.02	11.20	8.07	1.81	12.16
16^{30}	2.29	3.74	6.27	12.68	16.01	19.37	22.56	21.12	18.47	10.08	7.22	1.15	11.75
17^{30}	1.70	2.93	5.54	11.84	15.00	18.29	22.01	20.47	17.45	8.58	6.43	0.55	10.90
18^{30}	1.44	2.14	4.57	10.74	14.24	17.67	20.77	19.39	15.49	7.73	6.36	0.38	10.28
19^{30}	1.12	1.76	3.70	8.74	12.88	16.15	18.92	17.02	14.39	7.22	5.95	0.20	9.00
20^{30}	1.04	1.52	3.30	7.97	11.65	14.73	17.00	16.17	14.12	6.96	5.70	0.13	8.36
21^{30}	1.05	1.38	3.13	7.53	10.95	14.26	16.77	15.94	13.98	6.73	5.77	0.18	8.14
22^{30}	0.94	1.12	2.75	6.94	10.26	13.52	16.12	15.47	13.62	6.38	5.48	-0.01	7.72
23^{30}	0.87	0.99	2.42	6.47	9.76	13.10	15.51	15.08	13.22	6.19	5.38	-0.19	7.41
0^{30}	0.81	0.80	2.26	5.96	9.40	12.75	15.00	14.58	12.92	5.95	5.18	-0.36	7.10
Mittel	1.20	1.86	3.29	8.18	11.83	15.40	17.91	17.02	14.77	7.43	6.05	0.06	8.75

1951 **Tägliche Maxima und Minima der Lufttemperatur** Säntis

(Nach den Aufzeichnungen des Thermographen)

Tag	Januar		Februar		März		April		Mai		Juni		Juli		August		Septemb.		Oktober		November		Dezember	
	Max.	Min.	Max.	Min.	Max.	Min.	Max.	Min.	Max.	Min.	Max.	Min.	Max.	Min.	Max.	Min.	Max.	Min.	Max.	Min.	Max.	Min.	Max.	Min.
1	-8.6	-12.0	-8.8	-11.0	-13.6	-17.1	-7.1	-11.7	0.3	-6.2	0.4	-2.2	5.2	0.8	13.8	8.9	5.4	-0.0	**7.4**	3.6	-5.3	-9.7	-0.7	-3.7
2	-8.2	-10.8	-7.8	-11.0	-14.8	-17.1	-2.1	-8.5	2.3	-1.2	4.0	-2.1	9.4	2.3	**15.4**	8.2	6.9	2.1	6.9	3.8	-5.1	-8.0	-3.1	-6.
3	-10.4	-12.4	-9.6	-12.3	-10.2	-15.6	-7.2	-10.4	4.2	-0.4	1.2	-1.7	9.8	3.9	15.0	8.9	4.5	-0.4	6.5	3.8	-4.9	-9.7	-6.0	-12.8
4	-6.3	-12.9	-7.6	-10.9	-7.4	-12.0	-5.7	-8.9	3.5	-4.0	5.4	0.0	8.8	4.7	10.8	2.3	8.1	-0.6	6.2	2.4	-4.2	-10.4	-4.3	-13.
5	-1.3	-6.4	-6.1	-10.8	-8.7	-12.3	-2.6	-7.9	2.9	-4.9	3.8	-0.8	4.8	2.0	8.9	1.8	12.4	8.	4.6	1.0	1.8	-3.9	0.0	-6.5
6	**2.8**	-1.7	-7.1	-12.1	-5.3	-9.7	-3.1	-6.0	2.4	-0.	3.3	-0.7	7.2	1.7	12.8	6.0	12.5	8.1	2.5	0.8	**3.8**	1.1	0.6	-5.0
7	-1.1	-10.0	-8.4	-12.3	-2.2	-7.6	-0.2	-8.9	1.9	-2.6	5.0	0.8	11.0	4.1	12.8	8.0	10.0	6.3	2.8	0.	2.1	1.3	-5.0	-12.7
8	-8.0	-11.1	-2.4	-11.1	-1.2	-6.7	-6.9	-10.4	2.6	-3.5	7.9	1.0	13.2	6.0	7.8	3.5	11.1	7.5	2.9	-1.7	2.3	-1.8	-5.0	-10.0
9	-6.7	-10.2	**-1.8**	-4.3	-5.7	-10.6	-4.3	-10.0	-1.4	-3.9	1.3	0.2	6.6	4.1	4.3	**-0.6**	12.7	8.4	-1.2	-3.2	0.9	-2.8	-3.4	-5.
10	-4.0	-7.6	-3.6	-5.6	-7.8	-11.0	-6.0	-11.0	-2.2	-4.9	1.9	-0.9	12.8	4.0	4.6	-0.2	13.2	8.7	0.9	-3.4	2.8	0.5	-5.2	-13.0
11	-2.2	-6.9	-2.2	-7.0	-5.0	-8.8	-6.7	-11.3	-1.8	-5.5	4.2	-1.3	15.0	5.0	4.5	-0.1	13.0	8.0	-1.3	-5.1	1.	-3.0	-13.8	**-16.2**
12	-5.	-10.0	-4.2	-8.8	-6.0	-9.7	-5.1	-10.0	2.5	-1.7	8.9	1.9	12.7	5.2	10.8	4.1	13.4	8.5	-0.6	**-5.2**	0.2	-5.6	-4.8	-14.8
13	-9.6	-11.3	-4.3	-9.1	-2.0	-6.7	-4.3	-8.3	1.0	-4.9	5.7	2.9	13.2	5.9	10.8	4.5	**15.2**	8.7	2.3	-3.	-4.6	-6.1	-0.5	-5.2
14	-7.8	-12.0	-7.6	-10.8	-4.0	-9.8	-6.1	-10.8	-2.9	-6.9	10.2	4.	12.7	6.3	6.0	0.6	8.4	4.7	3.8	0.4	-6.0	-7.3	0.0	-3.1
15	-3.8	-12.4	-8.8	-10.9	-5.4	-8.2	-6.8	**-11.9**	-2.2	**-8.3**	**1.5**	8.	11.2	4.1	9.5	3.3	12.4	6.	5.7	2.3	-5.9	-7.9	**-2.1**	-5.0
16	-12.3	-14.9	-8.2	-11.8	-1.1	-5.8	-1.2	-6.3	-3.3	-6.9	14.2	7.	4.8	0.1	5.3	1.4	7.8	4.1	5.7	2.4	0.9	-6.7	0.1	-3.9
17	-5.0	**-15.2**	-4.3	-10.5	**0.1**	-1.7	1.6	-2.4	-1.8	-4.1	14.6	5.8	2.9	0.1	8.2	2.0	4.1	0.4	4.1	1.6	0.8	-3.2	2.8	-0.2
18	-5.8	-9.3	-4.6	-12.0	0.0	-6.8	2.4	-1.9	0.6	-2.8	13.2	4.4	7.7	2.8	8.2	1.8	3.5	-1.1	5.6	1.1	-0.1	-3.2	0.7	-3.0
19	-9.2	-12.2	-6.8	-11.0	-1.6	-7.9	0.7	-2.1	1.9	-2.1	6.2	0.1	11.0	4.6	9.8	4.7	-1.0	-3.0	4.8	1.0	0.1	-2.9	0.4	-3.9
20	-6.7	-10.6	-7.7	-11.3	-8.0	-11.6	2.4	-1.7	4.9	-0.1	7.9	2.3	8.0	4.1	12.0	7.1	0.7	**-4.3**	4.4	0.2	0.9	-1.8	**3.4**	-0.6
21	-6.1	-7.8	-7.4	-11.4	-11.4	**-19.2**	1.0	-3.8	1.7	-2.4	11.4	5.5	10.2	3.8	6.8	3.1	5.3	0.6	5.4	-0.2	-0.1	-7.8	**3.4**	-0.3
22	-2.8	-5.9	-10.2	-13.3	-4.0	-16.2	0.4	-4.9	2.4	0.1	11.9	6.0	11.0	7.	6.2	3.0	8.7	4.2	0.9	-6.1	-7.7	-10.4	2.4	-2.8
23	-4.4	-7.2	-12.1	-14.0	**0.1**	-5.6	1.2	-0.3	6.2	1.7	10.5	-0.8	6.0	1.0	5.0	2.1	9.5	5.	-0.1	-8.0	-2.8	-10.1	1.4	-3.0
24	-5.0	-7.3	-7.7	-12.4	-1.0	-13.7	2.8	0.8	8.0	4.1	4.1	-2.6	3.4	-0.8	9.4	3.0	6.8	1.8	1.9	-0.1	-0.8	-3.3	-0.6	-4.0
25	-3.3	-9.3	-8.4	-11.8	-13.4	-16.0	**4.2**	0.3	**13.0**	5.0	1.4	**-2.8**	0.2	**-1.4**	11.8	4.1	8.1	3.9	1.4	-1.4	-1.1	-4.0	-2.4	-5.0
26	-6.2	-9.8	-11.2	-14.3	-8.1	-15.9	2.6	-1.0	9.1	2.8	0.7	-1.0	3.1	0.2	10.2	3.8	4.5	-1.1	-0.2	-2.4	-4.3	-11.0	-5.3	-10.3
27	-6.9	-10.0	-10.8	-16.	-4.3	-8.2	1.5	-2.	2.4	-2.8	0.7	-2.0	6.3	1.3	4.1	1.5	1.9	-1.9	2.7	-2.1	-3.0	-12.8	-6.8	-12.4
28	-6.7	-8.8	-14.6	**-17.9**	-8.0	-12.9	-2.0	-8.0	-0.2	-4.0	1.4	-0.2	10.3	4.3	11.5	2.3	3.1	-0.0	0.8	-3.1	-3.1	-11.0	-8.3	-14.2
29	-7.0	-11.0			-9.6	-13.5	-6.3	-11.	3.8	-1.1	3.4	-0.5	13.1	6.0	13.5	7.9	0.6	-1.2	0.6	-3.2	-11.1	**-13.1**	-7.4	-12.2
30	-6.4	-13.0			-6.1	-13.1	-3.3	-10.7	6.4	1.2	5.9	1.1	13.9	8.9	13.6	6.8	5.4	0.1	1.8	-1.7	-1.9	-12.0	-7.2	-11.3
31	-4.7	-9.1			-7.5	-10.9			7.0	2.4			**17.8**	10.8	10.9	0.3			1.0	**-5.2**			-3.0	-5.2
Mittl. Max	-5.70		-7.30		-5.91		-2.21		2.43		6.21		9.14		9.49		7.61		2.85		-1.81		-2.57	
Mittl. Min.	-9.97		-11.27		-11.03		-6.74		-2.22		1.07		3.64		3.68		2.98		-0.99		-6.22		-7.29	
Differenz	4.27		3.97		5.12		4.53		4.65		5.14		5.50		5.81		4.63		3.84		4.41		4.72	
Abs. Max	2.8		-1.8		0.1		4.2		13.0		15.5		17.8		15.4		15.2		7.4		3.8		3.4	
Abs. Min.	-15.2		-17.9		-19.2		-11.9		-8.3		-2.8		-1.4		-0.6		-4.3		-5.2		-15.1		-16.2	
Differenz	18.0		16.1		19.3		16.1		21.3		18.3		19.2		16.0		19.5		12.6		16.9		19.6	

Stündliche Monatsmittel der Lufttemperatur

	Januar	Februar	März	April	Mai	Juni	Juli	August	Sept.	Okt.	Nov.	Dez.	Jahr
1^{30}	-8.19	-9.48	-9.01	-5.47	-1.04	2.28	4.65	5.19	4.20	0.05	-4.31	-5.05	-2.18
2^{30}	-8.30	-9.47	-9.02	-5.45	-1.18	2.30	4.67	5.13	4.14	-0.07	-4.28	-5.12	-2.22
3^{30}	-8.45	-9.50	-9.05	-5.38	-1.13	2.28	4.69	5.01	4.12	-0.13	-4.26	-5.11	-2.24
4^{30}	-8.53	-9.56	-9.11	-5.38	-1.03	2.27	4.60	5.00	4.08	-0.20	-4.27	-5.20	-2.28
5^{30}	-8.48	-9.65	-9.12	-5.17	-0.72	2.58	4.72	5.12	4.06	-0.17	-4.28	-5.09	-2.18
6^{30}	-8.45	-9.58	-9.06	-4.96	-0.28	3.04	5.18	5.47	4.18	-0.08	-4.25	-5.19	-2.02
7^{30}	-8.43	-9.87	-8.99	-4.50	0.15	3.50	5.72	5.79	4.46	0.15	-4.22	-5.22	-1.79
8^{30}	-8.19	-9.52	-8.50	-4.22	0.40	3.89	6.24	6.36	4.93	0.64	-4.03	-4.94	-1.41
9^{30}	-7.62	-9.14	-8.04	-3.90	0.87	4.25	6.82	7.02	5.64	1.37	-3.73	-4.62	-0.92
10^{30}	-7.16	-8.97	-7.67	-3.66	1.23	4.53	7.57	7.64	6.24	2.03	-3.52	-4.25	-0.50
11^{30}	-6.89	-8.84	-7.39	-3.39	1.40	4.79	7.87	7.95	6.45	2.28	-3.33	-4.02	-0.26
12^{30}	-6.67	-8.33	-7.27	-3.08	1.60	4.87	8.20	8.32	6.70	2.41	-3.38	-3.92	-0.05
13^{30}	-6.57	-8.34	-7.34	-2.83	1.81	5.15	8.56	8.77	7.03	2.64	-3.42	-3.87	0.13
14^{30}	-6.68	-8.57	-7.31	-2.76	1.74	5.10	8.44	8.58	6.99	2.43	-3.43	-4.00	0.04
15^{30}	-6.78	-8.61	-7.53	-2.97	1.45	4.94	8.26	8.23	6.75	2.15	-3.48	-4.28	-0.16
16^{30}	-7.09	-8.81	-7.73	-3.26	1.25	4.73	7.96	7.89	6.47	1.80	-3.67	-4.67	-0.43
17^{30}	-7.27	-9.09	-7.91	-3.65	0.82	4.27	7.36	7.36	5.87	1.20	-3.91	-4.86	-0.82
18^{30}	-7.48	-9.41	-8.24	-4.09	0.18	3.70	6.80	6.59	5.29	0.67	-4.03	-5.05	-1.26
19^{30}	-7.57	-9.46	-8.35	-4.45	-0.21	3.14	6.19	5.94	4.78	0.35	-3.95	-5.04	-1.55
20^{30}	-7.64	-9.68	-8.45	-4.79	-0.58	2.63	5.56	5.48	4.46	0.17	-3.97	-5.15	-1.83
21^{30}	-7.86	-9.69	-8.50	-5.14	-0.74	2.41	5.33	5.21	4.29	0.04	-3.98	-5.13	-1.98
22^{30}	-7.86	-9.79	-8.56	-5.22	-0.79	2.39	5.13	5.02	4.21	-0.01	-3.97	-5.08	-2.04
23^{30}	-8.00	-9.86	-8.75	-5.30	-0.80	2.39	5.17	4.95	4.30	-0.10	-4.04	-4.97	-2.09
0^{30}	-8.02	-9.81	-8.77	-5.39	-0.80	2.33	4.99	4.87	4.31	-0.18	-4.09	-5.14	-2.14
Mittel	-7.68	-9.30	-8.32	-4.35	0.15	3.49	6.28	6.37	5.16	0.81	-3.91	-4.79	-1.34

Temperatur-Minima 1951

(Ablesungen an den Minimumthermometern)

Januar

Tag	Bern	Neuchâtel	Genève	Basel	Altdorf	Bever	Lugano
1	-5.4	-5.9	0.2	-1.7	-2.8	-19.8	-1.4
2	-3.1	-3.6	0.3	0.4	2.0	-15.0	0.2
3	-5.6	-3.2	-3.4	-3.3	0.4	-6.4	-0.8
4	**-7.8**	**-6.3**	**-6.0**	-2.8	0.0	-11.4	1.1
5	-4.6	-3.3	-4.6	-0.2	-0.8	-14.4	0.0
6	-5.8	-3.1	-3.6	-0.8	-2.0	-14.4	-1.4
7	-5.4	-3.0	-1.0	-1.6	**-3.0**	-13.4	0.8
8	-2.7	-2.2	-2.2	0.4	-0.8	-19.3	-1.4
9	-3.2	-1.3	-3.0	-1.2	-1.7	-17.0	2.2
10	-7.3	-3.0	-1.4	**-4.3**	**-3.0**	**-21.7**	-1.4
11	-6.5	-1.7	-2.0	-2.2	-2.6	-17.0	-0.8
12	-1.9	0.8	1.8	1.2	2.4	-6.3	0.2
13	0.6	0.6	1.5	0.7	1.7	-14.6	-0.6
14	-3.7	-1.1	-1.2	0.6	-1.1	-19.3	-2.0
15	-4.7	-2.6	1.1	-0.9	-1.4	-21.5	**-2.8**
16	-3.1	-1.2	0.2	0.0	0.4	-8.9	0.0
17	-4.0	-3.8	-3.5	-2.0	-0.9	-19.3	-1.8
18	0.9	1.8	4.0	1.1	1.0	-5.9	-2.0
19	1.0	1.1	1.4	2.8	0.7	-6.4	4.2
20	0.7	0.5	1.0	3.5	1.0	-6.4	5.4
21	3.3	4.3	3.0	5.7	3.0	-5.9	10.6
22	0.2	0.5	-0.2	5.2	2.5	-5.9	2.4
23	0.7	1.6	1.8	4.2	2.0	-6.9	4.2
24	1.3	1.8	3.8	1.0	2.0	-6.9	4.0
25	0.6	1.3	2.6	1.6	1.6	-5.0	2.2
26	-0.8	-0.1	1.3	0.4	0.4	-17.2	-0.8
27	-0.9	-0.4	-1.2	-2.8	-0.5	-18.9	-1.6
28	-0.5	-0.8	0.7	0.2	0.5	-12.6	-0.2
29	0.1	0.6	0.8	0.8	1.6	-19.5	0.6
30	0.4	0.8	1.8	0.7	1.5	-14.9	2.6
31	0.8	0.5	1.4	0.6	1.4	-17.8	0.2
Mittel	-2.1	-0.7	-0.1	0.3	0.2	-13.2	0.7

Februar

Tag	Bern	Neuchâtel	Genève	Basel	Altdorf	Bever	Lugano
1	0.7	0.8	2.2	1.0	1.4	-12.9	1.8
2	0.2	0.7	1.6	0.4	-0.1	-17.8	-1.0
3	-0.5	-1.0	-1.1	0.0	-0.4	-19.4	0.4
4	-0.7	-1.4	1.6	0.7	2.0	-10.9	0.2
5	0.5	0.3	1.4	1.7	1.3	-5.0	-0.4
6	-0.5	-0.9	1.2	0.4	2.0	-3.9	-0.4
7	-1.8	-2.4	-1.4	**-2.1**	0.7	-6.7	0.4
8	-1.7	-2.1	-1.2	-0.8	-0.8	-12.5	2.2
9	0.0	-0.2	0.8	3.1	2.2	-12.5	-0.2
10	2.3	2.3	1.5	3.6	5.6	-6.0	2.2
11	1.4	1.4	1.5	2.8	1.6	-3.5	2.0
12	0.5	0.5	0.3	2.6	2.3	-7.3	5.0
13	1.7	2.0	0.4	0.6	3.2	-6.3	3.6
14	1.2	2.5	3.7	2.8	2.3	-13.4	1.8
15	0.0	0.6	1.5	0.3	0.8	-14.9	2.2
16	-0.8	0.2	-0.2	1.1	0.6	-14.4	2.
17	-2.0	-2.4	-1.4	-1.4	**-1.5**	-21.8	-0.6
18	0.3	1.0	3.0	0.8	0.0	-16.3	-1.0
19	0.2	0.1	2.8	0.4	-0.5	-19.8	0.0
20	1.7	1.6	3.8	1.8	1.9	-18.2	-0.6
21	2.2	2.1	4.7	3.6	3.8	-17.8	0.2
22	0.7	0.6	3.0	1.0	2.4	-18.6	-0.8
23	-0.1	0.0	0.9	0.6	0.4	-16.8	-0.6
24	-1.5	-2.3	-0.5	-0.5	-1.0	-15.5	0.2
25	-2.3	-1.4	-3.0	0.6	1.3	-7.9	-0.2
26	-0.9	-0.6	0.4	0.0	2.0	-8.5	1.8
27	-2.1	**-2.9**	-2.0	-1.2	0.5	-18.5	1.2
28	**-4.0**	-2.8	**-2.8**	**-2.1**	-0.9	**-22.9**	**-1.8**
Mittel	-0.2	-0.1	0.8	0.8	1.2	-13.2	0.7

März

Tag	Bern	Neuchâtel	Genève	Basel	Altdorf	Bever	Lugano
1	-4.6	-3.4	-2.0	**-4.2**	-1.9	-25.2	-2.2
2	-4.0	-3.9	-2.8	-2.7	-1.4	**-25.6**	-2.6
3	**-6.6**	-4.5	-1.8	-3.8	-3.5	-21.3	**-2.8**
4	-3.6	-1.7	-2.6	-1.7	-3.5	-22.0	-1.6
5	-6.3	**-5.3**	**-3.3**	-3.7	**-3.8**	-21.8	-0.4
6	-3.2	-2.8	-2.0	-3.4	-1.8	-17.3	-1.2
7	-4.2	-3.6	-2.7	-3.0	-2.3	-14.1	1.6
8	-1.4	-1.3	-1.1	0.8	1.0	-5.3	2.8
9	2.0	1.7	1.6	2.2	0.9	-8.5	3.0
10	-0.6	-1.3	0.0	0.2	2.8	-12.4	-0.8
11	-0.9	-0.8	0.8	-1.6	1.4	-15.4	2.2
12	3.4	2.8	3.0	2.7	4.8	-11.0	1.2
13	1.5	3.4	4.3	3.9	5.2	-12.4	3.8
14	1.5	2.5	2.0	2.7	2.0	-9.2	4.0
15	6.0	5.8	5.0	2.8	3.3	-13.1	2.6
16	5.5	5.3	6.0	6.3	6.7	-9.6	3.8
17	8.4	8.6	10.8	9.5	9.0	-3.1	7.2
18	5.3	7.0	9.0	9.2	8.3	0.4	5.8
19	3.8	5.1	7.0	4.7	4.8	-5.1	2.2
20	2.9	3.1	5.3	2.6	4.6	-2.6	4.2
21	-1.0	0.0	2.0	-0.6	-0.8	-11.0	3.8
22	-1.9	-0.9	0.0	-0.7	-1.6	-19.0	0.2
23	1.9	5.2	3.6	4.5	2.5	-10.4	-0.2
24	1.3	1.7	3.5	1.9	2.4	-5.0	1.6
25	-0.8	-1.3	0.0	-0.2	-0.8	-10.1	3.0
26	-2.8	-4.0	-2.5	-3.3	-3.0	-16.3	2.8
27	0.6	2.8	2.3	3.0	0.4	-13.3	1.0
28	2.2	1.7	4.6	0.9	2.3	-15.1	4.4
29	0.0	-1.9	1.3	-2.6	1.6	-9.1	3.2
30	-0.8	-1.9	-0.3	-0.6	1.3	-0.4	-0.2
31	1.6	1.5	2.6	-0.4	2.5	-4.0	1.4
Mittel	0.2	0.7	1.7	0.8	1.4	-12.1	1.4

April

Tag	Bern	Neuchâtel	Genève	Basel	Altdorf	Bever	Lugano
1	0.2	0.5	1.0	-0.3	**1.7**	**-15.5**	5.2
2	3.4	3.5	4.7	5.7	2.9	-12.2	3.8
3	2.5	2.5	2.8	2.8	4.6	-13.1	3.6
4	0.0	**-0.7**	**0.1**	0.5	1.9	-8.1	4.0
5	4.9	4.2	5.3	4.5	2.4	-12.9	**2.0**
6	4.8	4.6	5.0	3.0	3.6	-9.4	5.6
7	4.2	4.6	6.6	6.8	5.0	-8.8	5.8
8	2.6	1.5	3.0	0.7	3.4	-3.1	5.2
9	2.6	3.3	5.2	2.7	2.0	-15.4	2.6
10	2.4	4.5	3.0	3.4	4.8	-5.5	7.2
11	0.6	0.5	0.8	**-0.6**	5.2	-5.6	4.2
12	-0.5	-0.2	1.5	-0.1	4.4	-5.5	6.2
13	**-0.6**	-0.4	0.6	0.2	2.5	-14.9	2.6
14	5.0	5.2	7.0	5.5	6.0	-9.4	4.0
15	3.3	0.6	1.2	-0.3	5.0	-11.4	7.6
16	1.4	1.3	3.0	1.7	2.3	-10.7	8.2
17	5.2	6.6	12.0	3.5	4.1	-9.3	4.0
18	8.8	8.7	7.4	6.4	12.0	-1.2	9.4
19	8.8	8.2	8.7	9.3	10.0	0.4	8.4
20	7.0	7.7	11.0	6.4	7.4	-2.4	7.2
21	8.0	9.9	10.8	8.4	10.0	-2.2	10.2
22	5.1	5.5	7.0	2.0	8.6	-2.5	7.2
23	2.6	3.7	7.0	3.6	4.9	-8.0	9.8
24	4.3	6.7	7.7	6.9	5.4	-7.1	6.2
25	5.6	5.8	6.3	3.8	14.5	-5.4	6.6
26	9.3	10.7	10.3	8.6	11.8	1.5	11.2
27	8.5	8.4	8.9	9.8	10.5	0.6	8.2
28	4.5	5.7	6.8	5.9	6.3	-0.4	9.0
29	2.2	2.3	1.8	3.4	2.0	-5.0	5.2
30	2.2	2.1	2.2	2.3	2.5	-7.9	5.8
31							
Mittel	4.0	4.3	5.3	3.9	5.6	-7.0	6.2

Mai

Tag	Bern	Neuchâtel	Genève	Basel	Altdorf	Bever	Lugano
1	**1.7**	**1.6**	**1.9**	**2.9**	**2.5**	**-7.4**	**4.6**
2	4.5	5.4	7.6	3.4	5.4	-3.0	8.6
3	6.6	7.1	8.3	4.8	7.5	-2.0	7.8
4	7.6	9.2	9.7	9.5	9.6	1.6	10.4
5	5.4	5.6	5.7	4.9	7.0	0.0	6.2
6	5.3	5.1	5.0	4.9	6.4	-5.0	8.8
7	8.5	9.5	8.8	9.5	9.8	1.5	9.0
8	7.1	8.2	7.8	8.6	8.3	-0.5	8.4
9	6.7	7.1	8.3	5.7	8.4	-0.5	8.0
10	7.4	9.0	8.9	9.2	7.4	1.5	9.2
11	5.7	7.4	8.6	7.6	8.9	0.6	9.4
12	4.9	5.7	7.3	6.5	7.6	0.6	9.4
13	6.3	5.9	6.7	1.9	8.6	0.0	10.8
14	5.7	6.0	7.0	6.9	7.2	-1.5	9.
15	4.9	5.9	6.6	6.2	6.5	0.5	6.4
16	4.6	5.3	3.0	6.2	6.2	-2.0	5.4
17	6.5	6.7	7.3	7.6	6.0	-2.1	8.8
18	5.8	5.2	7.3	8.2	7.5	0.6	6.6
19	7.3	7.4	7.3	5.8	12.6	1.6	8.8
20	8.5	9.8	8.6	10.1	11.7	1.9	9.0
21	9.8	10.5	11.5	9.3	10.8	-2.5	9.6
22	8.9	9.5	11.0	8.4	10.5	-2.5	11.0
23	9.1	9.4	10.2	10.0	9.9	1.0	12.0
24	11.7	12.3	14.1	13.0	11.5	-0.5	13.2
25	12.9	13.4	14.2	13.7	14.0	3.5	14.2
26	11.6	13.2	13.3	13.3	14.5	3.7	15.0
27	7.8	9.3	9.7	9.6	11.2	3.5	14.2
28	6.3	5.6	7.6	5.6	10.0	1.8	11.4
29	8.9	8.9	11.4	8.6	8.6	-0.4	7.6
30	8.8	10.6	12.2	10.0	11.5	0.1	11.6
31	10.6	11.3	12.1	9.7	12.0	1.6	12.4
Mittel	7.3	8.0	8.7	7.8	9.0	-0.1	9.6

Juni

Tag	Bern	Neuchâtel	Genève	Basel	Altdorf	Bever	Lugano
1	9.7	10.7	11.0	10.8	11.8	0.5	11.
2	9.0	9.2	10.8	8.7	10.7	2.0	11.
3	10.4	9.5	11.1	11.0	11.5	1.0	**10.**
4	**8.7**	**8.9**	**9.6**	**7.5**	**9.4**	**-1.2**	13.
5	10.4	10.4	11.7	10.0	12.0	1.0	10.
6	10.7	10.4	9.7	9.9	11.9	4.6	12.
7	9.0	9.4	10.8	10.0	11.3	4.7	12.
8	11.1	12.8	12.6	10.9	12.6	2.4	12.
9	10.8	11.0	12.3	12.9	12.3	4.5	10.
10	10.9	10.7	11.7	11.7	12.0	5.2	14.
11	11.1	11.8	10.3	9.8	12.2	2.5	12.
12	10.4	10.7	11.3	10.7	11.4	-0.5	14.
13	15.0	15.0	15.5	15.3	15.7	5.2	14.
14	11.6	11.6	12.3	10.8	12.8	1.0	14.
15	14.4	13.7	15.2	14.3	15.4	1.0	17.
16	15.0	14.9	17.2	14.2	16.1	4.3	18.
17	15.0	15.3	17.3	15.2	15.4	3.7	15.
18	14.1	14.0	15.6	14.7	15.0	4.6	16.
19	11.6	12.4	13.6	10.8	13.2	6.6	16.
20	11.4	10.9	14.0	11.0	14.2	6.2	13.
21	10.7	11.0	12.2	9.2	11.5	8.2	16.
22	15.4	15.8	16.7	15.9	16.7	5.4	17.
23	12.1	13.1	14.7	14.0	12.3	7.9	15.
24	10.6	11.5	12.2	12.8	12.3	1.0	11.
25	10.4	10.7	11.3	11.7	11.8	0.5	10.
26	9.5	10.1	11.6	10.4	11.0	1.8	10.
27	10.6	10.3	11.8	11.2	11.1	3.4	12.
28	11.8	12.0	13.7	13.6	12.7	2.2	14.
29	10.2	10.2	10.2	9.5	12.3	4.5	12.
30	10.1	10.5	13.2	9.4	10.7	2.8	14.
Mittel	11.4	11.6	12.7	11.6	12.6	3.2	13.

Temperatur-Minima 1951

Juli

Tag	Bern	Neuchâtel	Genève	Basel	Altdorf	Bever	Lugano
1	11.9	11.9	11.2	9.6	13.0	6.1	13.0
2	11.1	12.3	12.6	9.6	11.6	**1.5**	15.6
3	11.1	11.4	13.2	10.7	12.6	2.2	15.0
4	13.5	12.8	14.2	12.8	13.6	2.0	15.6
5	15.1	16.0	15.4	14.1	15.3	4.5	16.2
6	11.3	10.9	13.8	**8.7**	13.0	4.5	16.4
7	11.8	12.2	13.2	10.2	13.0	2.7	18.0
8	10.5	10.2	10.8	15.6	15.4	5.0	17.8
9	15.7	16.1	10.8	15.5	16.8	8.5	16.2
10	13.6	13.0	14.3	13.5	14.0	6.0	15.0
11	10.1	15.9	17.2	16.4	17.0	6.5	18.0
12	15.3	14.8	17.6	14.7	17.8	9.7	18.8
13	14.9	15.5	17.3	13.2	14.3	3.5	14.8
14	14.8	14.5	15.7	15.4	15.0	6.5	16.2
15	14.6	15.0	14.3	15.6	15.8	9.5	17.2
16	11.2	11.6	13.0	11.7	13.6	7.3	15.8
17	11.2	11.7	13.0	11.8	13.5	6.8	18.0
18	**9.9**	**10.7**	12.3	9.2	12.5	5.4	13.9
19	11.9	12.4	13.5	12.8	13.2	2.2	14.8
20	15.9	15.3	17.0	13.5	16.0	3.5	17.0
21	12.6	13.2	14.8	11.2	14.0	2.5	16.0
22	13.7	13.8	14.8	9.7	14.4	2.0	17.2
23	12.9	13.1	14.0	14.2	13.9	5.5	17.8
24	12.1	11.9	12.4	11.6	13.4	4.2	**12.2**
25	10.6	11.3	11.0	10.2	12.7	4.8	17.4
26	**9.9**	10.8	**10.0**	10.2	13.0	6.4	13.2
27	10.4	11.0	13.3	9.6	**11.2**	1.6	13.6
28	11.8	12.9	13.0	10.4	12.6	2.0	15.0
29	12.8	13.9	14.0	13.2	14.3	2.3	18.2
30	15.5	15.2	17.0	14.1	16.4	5.3	18.2
31	10.8	17.2	17.5	17.1	15.5	5.5	17.8
Mittel	13.1	13.3	14.3	12.5	14.1	4.7	16.1

August

Tag	Bern	Neuchâtel	Genève	Basel	Altdorf	Bever	Lugano
1	15.4	16.9	17.7	16.7	18.5	7.5	20.0
2	16.0	15.7	17.0	16.3	16.5	4.5	17.2
3	16.4	17.3	18.6	15.5	16.0	5.8	17.8
4	14.8	15.0	17.0	15.7	16.8	10.5	19.2
5	14.0	12.7	16.0	13.2	15.5	6.1	14.6
6	12.7	12.6	13.3	12.7	14.3	3.0	15.6
7	16.0	14.5	16.8	14.4	18.5	7.6	18.0
8	14.1	14.5	15.6	15.8	16.2	8.8	18.2
9	12.1	13.3	13.7	11.2	13.5	7.5	16.8
10	9.6	10.8	**10.2**	10.2	11.9	2.4	12.6
11	11.5	12.6	12.2	12.7	12.6	4.5	**10.2**
12	10.4	10.7	12.3	11.2	11.0	**1.5**	12.6
13	13.9	14.2	15.0	16.1	12.1	5.5	13.6
14	13.6	13.1	15.5	13.7	14.5	6.8	16.2
15	11.4	11.9	11.0	9.9	14.5	4.5	15.6
16	11.2	12.8	15.8	12.7	12.3	4.3	17.0
17	**9.5**	10.6	13.8	**9.6**	**10.0**	4.2	12.2
18	10.8	**10.3**	10.8	10.7	11.5	5.3	13.0
19	11.1	10.6	11.5	11.1	**12.1**	2.2	15.6
20	13.5	14.0	15.8	14.5	13.0	4.3	16.0
21	12.7	12.9	13.9	13.2	14.0	7.5	18.4
22	12.5	12.7	14.9	12.9	13.5	4.5	15.2
23	12.8	12.4	12.8	13.3	13.4	8.4	15.8
24	10.6	11.0	13.1	9.8	11.2	4.5	13.8
25	11.4	12.1	12.8	10.6	11.7	4.6	15.6
26	14.2	14.8	14.7	14.9	14.7	9.5	15.2
27	13.0	12.6	14.1	13.6	14.0	4.4	15.2
28	10.5	11.2	13.1	11.8	12.4	5.6	16.0
29	12.8	13.1	14.6	15.2	16.5	4.6	16.0
30	13.5	13.9	15.0	13.6	17.3	3.5	16.4
31	11.8	12.9	13.0	12.8	13.6	4.9	14.6
Mittel	12.7	13.0	14.3	13.1	14.0	5.4	15.6

September

Tag	Bern	Neuchâtel	Genève	Basel	Altdorf	Bever	Lugano
1	11.2	11.2	11.8	11.6	13.7	1.8	10.8
2	12.7	13.4	15.5	13.6	14.0	4.5	13.4
3	11.6	13.2	16.0	12.5	15.4	8.5	16.8
4	8.7	9.2	10.6	8.8	10.9	0.5	12.6
5	9.0	10.4	11.9	8.2	10.6	0.6	12.4
6	11.9	12.2	12.3	12.6	12.2	3.1	14.6
7	15.9	16.1	15.0	15.6	15.0	7.1	17.2
8	14.0	13.2	14.8	14.0	14.5	4.2	14.8
9	15.0	15.1	16.3	15.2	13.8	6.8	15.4
10	14.8	14.9	16.8	13.7	14.5	2.3	16.2
11	14.4	15.1	16.6	15.1	14.0	7.2	17.0
12	15.4	15.8	16.4	16.2	14.2	5.0	16.2
13	15.0	15.6	17.0	17.1	15.0	3.4	15.8
14	12.3	13.8	15.4	13.8	15.3	10.5	17.4
15	10.2	10.5	12.2	10.7	14.9	8.8	16.6
16	10.5	11.4	12.0	12.2	14.0	2.4	15.0
17	10.4	12.9	14.3	10.5	13.5	2.5	15.8
18	11.4	9.6	13.9	9.5	13.1	5.5	15.9
19	7.5	10.8	8.0	9.6	11.4	−2.5	13.6
20	5.4	**5.9**	7.2	7.0	7.4	−3.0	**10.0**
21	**5.2**	6.0	**6.3**	**4.4**	9.0	−4.0	13.6
22	7.0	6.1	7.1	5.2	**6.5**	**−4.4**	13.8
23	9.7	11.1	11.0	10.7	8.6	−0.2	13.6
24	9.4	10.1	11.3	11.0	11.9	7.0	13.6
25	8.7	9.1	11.3	6.7	9.0	8.0	15.4
26	10.7	12.2	12.4	13.0	11.2	4.8	15.2
27	9.0	10.5	11.0	10.2	10.5	1.0	12.4
28	8.3	8.7	10.0	7.0	8.1	−2.9	11.2
29	9.0	9.4	10.3	11.4	10.8	3.6	12.0
30	9.4	9.5	9.3	11.3	8.1	3.7	11.6
Mittel	10.8	11.4	12.4	11.3	12.0	3.2	14.3

Oktober

Tag	Bern	Neuchâtel	Genève	Basel	Altdorf	Bever	Lugano
1	9.2	9.5	12.0	11.0	11.0	4.5	12.8
2	12.0	11.1	12.3	12.0	11.6	2.6	13.2
3	11.0	12.6	14.0	11.5	12.2	0.6	12.0
4	9.8	11.1	13.0	8.9	10.2	1.3	13.6
5	8.5	11.1	12.7	9.9	9.5	1.2	12.9
6	6.1	7.4	10.7	6.3	8.9	0.0	11.2
7	6.0	6.0	9.7	5.2	8.6	0.0	10.0
8	5.5	8.3	10.7	7.3	9.4	0.4	10.2
9	3.3	5.6	8.0	3.1	5.4	−3.6	8.4
10	1.2	**2.0**	8.0	0.6	5.2	−5.3	5.2
11	2.4	2.2	4.2	**−0.5**	4.3	−3.4	6.2
12	3.8	2.3	3.3	0.3	3.7	−5.5	6.0
13	0.9	3.0	4.6	1.6	4.0	−6.6	3.4
14	3.6	5.3	8.2	1.8	5.5	−3.5	7.2
15	3.2	4.0	4.8	2.5	5.5	−4.9	6.6
16	2.3	3.0	5.5	1.2	6.3	**−8.8**	**2.8**
17	4.5	2.8	**2.2**	1.3	5.0	−4.3	5.6
18	5.5	4.6	6.3	5.2	7.1	−1.7	7.0
19	5.5	6.4	7.0	4.0	6.4	−1.6	8.8
20	7.0	8.6	8.0	7.2	6.7	−1.9	8.8
21	8.5	9.2	11.2	7.9	8.5	4.0	8.6
22	3.0	4.9	6.0	5.9	6.2	1.7	8.6
23	**0.6**	2.2	5.0	3.6	**1.9**	0.9	7.2
24	2.7	3.4	5.3	4.2	3.4	0.8	7.4
25	4.9	5.5	4.0	6.7	5.0	1.0	7.4
26	4.9	5.7	6.5	7.8	4.5	−4.5	4.8
27	3.3	4.9	5.8	5.5	3.0	−5.7	5.2
28	2.3	3.8	2.8	2.7	3.3	−3.4	9.2
29	6.1	7.9	8.8	6.0	4.5	−5.0	7.8
30	6.0	5.2	5.8	7.8	5.2	−3.0	8.8
31	6.6	7.6	8.7	7.1	9.4	0.2	8.4
Mittel	5.2	6.0	7.6	5.3	6.5	−1.8	8.2

November

Tag	Bern	Neuchâtel	Genève	Basel	Altdorf	Bever	Lugano
1	2.6	3.8	4.0	5.4	5.4	−3.2	5.6
2	3.3	4.7	4.5	5.2	2.6	−8.0	3.2
3	2.5	3.8	3.0	3.8	2.4	−11.2	3.8
4	1.1	2.0	2.6	2.7	2.2	−11.5	1.0
5	0.5	0.7	1.5	1.8	0.3	−11.2	4.4
6	2.2	2.9	2.3	3.9	14.7	1.5	6.6
7	5.7	6.9	8.0	6.6	16.0	1.2	8.2
8	5.1	5.8	6.3	5.3	11.1	0.6	8.2
9	6.6	5.5	3.8	7.2	9.4	0.4	7.2
10	6.0	6.0	6.2	6.6	14.0	1.6	9.2
11	7.0	7.1	5.4	6.5	7.1	0.8	9.4
12	6.0	5.7	7.0	6.8	7.1	−1.5	8.6
13	5.9	5.7	7.6	6.5	6.2	−4.0	5.6
14	5.2	5.1	5.5	6.6	6.3	−5.1	4.8
15	2.2	2.5	2.9	4.2	3.7	−8.0	3.0
16	1.4	1.9	1.5	2.0	1.2	−10.0	2.6
17	1.6	2.3	4.9	2.3	3.5	−5.6	3.8
18	3.2	3.7	6.0	1.5	10.9	−3.6	6.0
19	4.1	4.8	3.4	5.1	6.9	0.6	6.2
20	4.5	4.7	3.5	5.2	7.1	0.6	7.4
21	4.6	5.5	6.0	5.6	5.4	2.2	7.8
22	2.4	3.2	3.7	3.8	5.3	−3.3	5.8
23	0.3	−0.2	−0.3	2.7	3.1	−9.4	7.6
24	4.0	4.3	5.3	4.4	5.1	−7.1	2.2
25	3.6	5.2	3.2	4.8	4.5	−6.4	2.2
26	1.8	1.4	3.6	0.6	5.0	−6.5	2.4
27	−1.0	−0.8	2.0	−2.1	0.0	−12.5	1.8
28	**−1.9**	**−1.9**	**−2.0**	**−2.5**	**−0.5**	−10.7	0.4
29	0.4	0.2	1.3	1.2	0.7	−13.0	**−0.2**
30	−0.5	0.2	1.3	2.0	0.4	**−14.7**	**−0.2**
31							
Mittel	3.0	3.4	3.8	3.9	5.9	−5.1	4.8

Dezember

Tag	Bern	Neuchâtel	Genève	Basel	Altdorf	Bever	Lugano
1	−2.0	−1.4	−2.0	−1.0	−0.8	−11.8	0.0
2	−2.3	−0.9	−0.5	0.1	1.2	−12.0	1.8
3	0.1	1.0	2.0	−0.1	1.7	−8.1	3.8
4	−2.3	−2.6	−2.0	−2.5	−0.8	−15.5	−0.2
5	−1.2	−0.3	−2.3	2.1	0.1	−7.3	3.6
6	−1.7	−0.1	−2.0	0.3	−0.2	−9.2	0.4
7	−1.4	−1.0	1.0	−0.9	1.4	−7.6	4.6
8	−2.8	−3.0	−1.0	−3.0	−1.8	−19.3	−0.4
9	−1.6	1.0	0.0	−2.3	−1.1	−17.3	−0.4
10	2.4	1.3	5.0	2.2	3.9	−7.5	−0.2
11	−2.3	−1.7	0.9	−2.2	−1.1	−14.3	3.4
12	−4.3	−3.3	−3.0	**−6.2**	−3.0	−20.2	−2.4
13	−5.1	**−5.1**	**−4.8**	−3.8	−3.5	−19.2	−3.2
14	−5.5	−3.3	−4.7	−4.5	**−3.6**	−14.6	−2.6
15	**−5.6**	−1.8	−3.3	−3.3	−3.1	−13.5	−1.4
16	−5.4	−1.5	−2.5	−3.4	−3.2	−12.4	−1.4
17	−4.2	−1.1	−1.6	−3.0	−0.8	−7.5	0.0
18	−4.7	−1.4	−2.8	−1.7	−2.0	−9.2	0.2
19	−5.3	−1.1	−3.7	−2.0	−2.8	−12.2	−0.8
20	−5.3	−2.0	−4.4	−1.5	−2.9	−12.3	−1.4
21	−4.4	−2.5	−2.6	−3.0	−1.1	−11.5	−0.2
22	−4.2	−1.2	−2.7	−3.8	−2.4	−12.6	−0.8
23	−5.4	−1.2	−2.5	−3.2	−2.4	−13.2	−1.0
24	−5.4	−0.9	−3.2	−3.3	−0.5	−13.4	−0.8
25	−5.1	−1.1	−4.3	−1.7	0.5	−7.6	2.2
26	1.3	2.6	3.2	2.3	3.7	−4.9	−0.2
27	−0.4	0.5	0.2	0.3	1.8	−17.0	0.0
28	−1.5	1.7	−0.2	1.6	0.4	−12.8	1.8
29	−3.4	−2.5	−1.0	−1.0	−3.1	**−21.4**	−2.2
30	−0.4	0.2	0.2	0.0	−0.1	−20.2	**−3.4**
31	1.3	2.5	2.8	1.4	1.1	−9.9	−1.0
Mittel	−2.8	−1.0	−1.4	−1.5	−0.8	−12.8	−0.2

Temperatur-Maxima 1951 (Ablesungen an den Maximumthermometern)

Januar

Tag	Bern	Neu-châtel	Genève	Basel	Altdorf	Bever	Lugano
1	2.7	4.8	5.6	7.3	7.2	-6.3	2.8
2	1.6	1.3	5.0	2.7	1.9	-3.7	1.4
3	1.5	3.0	3.7	2.9	7.4	-4.0	3.4
4	-1.1	-0.3	1.8	2.8	3.0	-2.8	5.6
5	3.0	1.7	2.6	5.3	2.8	-1.8	9.2
6	2.6	0.3	3.7	5.3	1.5	1.2	8.6
7	5.2	6.3	6.2	7.1	3.0	2.2	6.2
8	4.6	0.6	2.8	7.3	3.6	-1.3	9.4
9	4.3	5.6	6.0	7.3	3.5	-2.3	6.8
10	-0.9	-1.1	2.0	3.5	2.5	-3.3	7.8
11	3.2	7.1	**11.1**	**11.9**	9.3	0.7	4.8
12	2.4	5.9	5.6	4.7	10.4	0.7	1.4
13	4.4	4.9	7.4	7.5	**10.6**	3.1	4.0
14	3.9	5.5	5.4	9.5	5.2	-3.4	11.4
15	5.6	7.3	10.6	10.6	4.8	1.2	7.6
16	2.1	2.5	4.5	3.4	2.0	-4.3	9.2
17	1.3	3.1	4.5	1.5	2.5	-5.8	9.6
18	5.6	5.5	8.5	8.2	4.3	3.2	9.2
19	3.3	4.1	6.0	5.9	5.3	-1.6	12.6
20	6.8	6.6	6.7	8.3	8.3	-0.1	16.0
21	**7.8**	**9.9**	8.2	7.9	4.9	3.5	**20.6**
22	5.6	5.4	9.2	8.0	5.9	**4.8**	7.4
23	4.4	5.6	7.4	5.7	6.1	0.2	7.0
24	5.3	4.9	7.1	5.3	6.1	2.2	6.8
25	3.1	3.2	7.4	3.8	5.5	0.4	4.2
26	1.9	2.3	4.5	8.1	4.4	-6.3	8.0
27	1.1	1.2	2.6	2.8	4.5	-4.3	5.4
28	1.4	2.0	3.5	3.4	2.6	-1.8	5.2
29	1.3	1.5	4.5	2.3	2.7	-2.3	10.4
30	1.2	2.8	4.0	1.5	3.8	2.3	9.4
31	2.1	3.0	5.5	2.1	3.8	1.7	11.0
Mittel	3.1	3.8	5.6	5.6	5.0	-0.9	7.8

Februar

Tag	Bern	Neu-châtel	Genève	Basel	Altdorf	Bever	Lugano
1	1.9	2.8	5.0	2.6	3.5	0.2	10.2
2	1.7	1.9	4.5	3.3	3.7	-3.0	11.0
3	3.9	4.9	6.5	5.1	3.5	-0.3	3.0
4	5.2	7.2	10.4	9.3	9.5	-2.1	1.6
5	2.5	5.9	4.5	4.9	9.2	-0.3	0.6
6	3.8	4.2	8.0	6.3	8.9	-0.1	3.6
7	4.3	4.4	7.2	7.6	5.1	0.0	7.8
8	4.1	5.7	5.6	5.5	5.3	2.8	12.2
9	**10.7**	9.3	9.0	12.0	11.5	**8.5**	8.4
10	5.1	7.0	5.0	9.9	12.3	1.9	4.6
11	5.7	4.9	5.0	5.1	**13.0**	2.8	12.2
12	3.2	2.8	6.3	10.1	12.6	5.7	9.0
13	6.0	6.3	9.5	7.1	10.0	1.2	9.2
14	7.3	8.2	9.6	8.0	6.7	1.2	13.2
15	5.9	4.4	6.2	8.2	6.9	1.4	4.6
16	6.5	7.3	5.5	7.3	5.7	-2.7	12.0
17	7.3	6.9	8.9	11.4	8.7	0.0	12.2
18	6.0	7.7	6.0	10.0	8.2	0.0	10.6
19	4.3	6.9	10.3	9.5	4.5	-0.3	7.8
20	8.6	**10.4**	**12.4**	**12.7**	8.9	1.7	13.8
21	7.4	7.5	10.6	12.1	9.3	1.9	9.6
22	4.4	3.9	7.0	6.9	8.6	1.8	12.8
23	4.6	6.2	8.5	8.9	6.3	-0.3	**15.0**
24	1.1	0.7	2.0	4.5	8.9	-2.8	3.2
25	2.3	1.7	3.5	8.3	9.7	0.3	8.6
26	4.7	5.7	5.6	8.1	5.6	-2.9	8.0
27	3.6	4.7	4.5	7.1	4.7	-3.3	12.4
28	2.2	3.7	4.4	3.1	3.7	-4.6	11.6
Mittel	4.8	5.5	6.8	7.7	7.7	0.3	8.9

März

Tag	Bern	Neu-châtel	Genève	Basel	Altdorf	Bever	Lugano
1	0.2	2.6	3.0	2.5	2.5	-4.2	10.6
2	1.3	0.0	3.4	1.8	2.0	-2.1	9.8
3	0.6	1.8	1.6	1.9	1.7	-1.7	9.4
4	2.7	3.6	3.8	4.0	3.2	-0.3	10.4
5	4.7	3.2	4.0	8.5	4.5	4.5	10.2
6	6.3	7.2	7.0	8.1	7.0	4.4	7.2
7	7.0	5.2	5.7	9.8	8.0	4.7	6.4
8	4.2	6.0	8.2	6.3	5.5	4.7	7.8
9	6.1	7.2	10.0	8.5	9.5	4.0	8.6
10	7.4	9.0	10.6	10.2	8.4	5.1	14.0
11	7.9	6.6	8.6	7.5	11.4	-4.0	7.4
12	10.7	12.8	13.5	15.1	14.7	-3.0	11.2
13	11.6	11.3	14.2	15.3	15.3	7.7	6.4
14	10.0	8.5	10.8	12.1	15.2	6.0	16.6
15	12.6	14.0	12.4	16.1	12.4	7.7	15.6
16	13.3	11.2	13.3	13.2	13.8	7.7	17.4
17	13.6	11.4	13.5	19.3	14.5	6.6	16.2
18	10.0	10.3	12.7	15.3	15.4	5.8	9.2
19	11.0	9.7	12.5	12.6	13.9	4.7	8.4
20	8.8	7.4	12.2	9.8	12.3	2.3	**18.8**
21	4.8	6.2	6.4	6.1	8.0	2.8	11.4
22	5.2	6.0	8.2	8.1	4.6	0.8	10.6
23	**18.3**	**16.5**	**20.4**	**21.9**	12.8	8.7	16.6
24	13.6	7.4	15.6	18.7	**19.0**	3.4	12.4
25	2.1	3.7	3.4	5.0	10.3	-5.8	11.2
26	4.1	3.9	8.2	5.3	3.0	7.3	16.8
27	5.9	7.4	12.0	8.1	4.9	**12.3**	15.2
28	5.8	7.4	11.2	9.5	5.0	2.2	14.4
29	6.3	8.5	9.8	7.7	5.5	2.4	12.2
30	8.9	8.0	5.8	12.7	7.8	1.4	4.4
31	6.2	8.4	9.5	9.3	9.7	2.2	15.6

April

Tag	Bern	Neu-châtel	Genève	Basel	Altdorf	Bever	Lugano
1	10.9	11.8	14.3	14.2	11.2	7.9	18.2
2	8.1	7.6	10.5	10.5	15.0	8.4	10.0
3	10.2	12.2	11.0	12.7	12.5	3.7	16.4
4	11.7	12.2	11.5	15.9	9.4	6.9	19.0
5	11.7	12.6	13.2	14.4	13.0	6.2	22.0
6	14.7	16.7	15.6	18.2	14.2	12.7	21.2
7	17.3	18.2	19.8	21.2	17.7	6.3	12.6
8	8.2	9.8	11.4	11.5	18.0	8.3	16.8
9	14.1	12.5	18.0	15.5	13.8	15.4	17.4
10	9.6	11.2	12.7	10.9	13.0	3.6	17.4
11	8.0	11.4	10.4	10.6	12.0	5.8	18.8
12	10.6	12.2	12.4	13.2	9.8	6.9	19.4
13	13.7	14.8	16.6	14.9	12.5	14.8	19.2
14	9.4	11.2	13.3	11.9	15.2	5.3	21.2
15	13.3	13.0	13.4	13.3	9.5	5.6	19.6
16	18.0	18.1	20.5	23.2	15.5	7.2	17.8
17	19.9	20.5	**22.0**	23.1	17.7	8.8	20.2
18	13.4	11.4	13.4	15.4	20.7	5.0	13.2
19	17.0	16.0	16.4	20.9	17.3	8.7	15.6
20	18.2	19.2	19.5	20.8	16.5	8.7	19.0
21	16.5	16.2	15.0	16.9	17.5	10.7	23.2
22	15.3	15.0	14.8	16.2	16.0	16.2	21.6
23	18.6	17.9	18.0	20.1	15.7	**17.7**	19.4
24	19.6	20.0	18.8	22.7	17.1	14.8	21.2
25	**22.4**	**22.2**	21.6	**25.6**	21.5	15.0	**23.8**
26	15.2	15.5	18.2	18.5	**24.4**	7.7	12.6
27	16.5	14.8	18.4	15.7	17.5	11.2	14.6
28	14.5	11.4	12.4	10.3	16.8	7.3	12.4
29	5.0	7.0	8.2	7.5	10.5	2.8	13.2
30	10.9	11.2	14.5	11.4	8.4	10.7	18.2
31							
Mittel	13.8	14.1	15.2	15.9	15.0	9.0	17.8

Mai

Tag	Bern	Neu-châtel	Genève	Basel	Altdorf	Bever	Lugano
1	18.0	17.2	17.0	19.3	16.7	8.2	15.6
2	20.2	19.6	18.6	21.9	20.2	12.6	18.8
3	21.1	20.7	23.2	23.6	22.1	14.7	23.2
4	13.2	13.2	14.0	15.3	23.3	14.8	17.2
5	17.0	18.2	20.0	19.3	15.7	18.1	23.4
6	18.6	19.3	18.0	23.1	19.9	9.8	21.0
7	15.3	16.4	18.6	15.5	23.0	8.4	11.2
8	15.2	18.4	18.4	20.0	18.0	9.8	14.0
9	15.1	18.1	17.4	18.6	17.5	16.8	20.2
10	11.0	14.0	13.4	11.7	19.4	6.7	14.4
11	8.5	11.4	13.4	10.6	11.2	7.4	18.0
12	9.9	11.9	14.0	13.6	11.9	14.7	19.2
13	14.7	17.9	15.4	19.1	10.7	9.0	20.4
14	10.6	9.9	10.0	10.7	11.8	7.1	16.2
15	8.5	12.3	13.0	13.9	10.4	5.5	18.4
16	12.6	13.0	17.1	13.1	12.0	5.9	18.2
17	9.4	8.7	13.0	13.6	17.6	9.1	11.2
18	16.0	17.5	15.6	18.3	15.3	13.0	17.0
19	19.5	20.4	18.9	22.4	22.3	11.2	14.2
20	16.7	17.4	20.0	17.5	19.3	15.0	21.4
21	20.2	21.5	23.4	21.9	18.9	16.1	25.2
22	19.9	19.4	20.4	23.1	21.5	19.4	24.4
23	22.9	21.7	27.8	28.9	21.3	17.2	**26.6**
24	**26.5**	**26.2**	28.5	**30.6**	23.3	**25.7**	25.4
25	25.7	26.0	**28.6**	26.7	25.4	20.2	26.0
26	20.4	19.5	19.4	24.5	25.5	16.7	22.0
27	14.4	13.1	14.6	14.8	**25.8**	8.9	18.2
28	18.4	19.0	21.0	20.3	17.8	9.5	16.4
29	18.0	20.2	21.0	20.4	18.7	21.2	24.2
30	16.6	18.9	17.8	18.7	21.7	22.5	24.6
31	16.4	18.1	20.2	19.7	20.1	16.2	21.2
Mittel	16.5	17.4	18.4	19.1	18.7	13.3	19.6

Juni

Tag	Bern	Neu-châtel	Genève	Basel	Altdorf	Bever	Lugano
1	17.3	18.0	20.4	15.8	21.5	14.7	22.
2	15.8	17.7	19.4	19.2	20.6	10.9	20.
3	18.2	20.3	20.2	22.3	18.0	14.7	22.
4	22.0	22.8	22.6	24.0	18.7	15.7	23.
5	19.7	21.5	22.2	23.0	19.7	12.6	24.
6	19.0	21.0	22.0	22.5	18.8	14.8	27.
7	21.3	22.6	22.6	24.5	19.9	24.2	27.
8	16.7	17.6	21.2	19.9	24.5	11.6	18.
9	13.4	13.2	15.6	21.0	18.4	10.4	26.
10	18.4	20.0	22.4	20.6	18.1	15.4	23.
11	21.9	22.3	22.2	25.1	19.5	21.4	25.
12	25.2	24.4	28.2	28.1	22.8	17.7	25.
13	23.1	24.8	26.0	23.3	24.5	25.2	28.
14	26.9	25.8	25.2	**30.8**	23.3	31.4	29.
15	**28.5**	**28.2**	**31.1**	30.5	**31.0**	29.7	**29.**
16	26.5	25.3	29.6	26.6	30.5	29.7	27.
17	24.8	25.1	30.2	26.2	26.3	30.2	29.
18	24.4	23.7	27.4	29.1	27.0	30.2	29
19	16.5	16.4	20.7	16.4	25.8	30.5	22.
20	19.5	21.4	21.5	23.4	17.9	**32.0**	28.
21	24.8	24.3	25.8	29 3	20.8	22.2	28.
22	21.6	22.1	22.4	25.7	27.6	19.7	24.
23	17.2	17.0	20.5	19.5	25 8	16.4	22.
24	16.8	15.8	17.3	18.4	20.2	11.2	17
25	18.1	18.6	21.2	22.0	15.7	16.7	24.
26	16.4	16.0	20.4	18.0	17.9	23.8	25
27	19.0	19.8	24.0	20.8	17.9	24.0	25.
28	19.6	20.2	24.6	18.7	21.0	14.7	23
29	19.3	20.4	20.4	21.6	17.0	17.7	26.
30	19.9	22.5	22.2	22.6	19.7	15.2	21
Mittel	20.4	21.0	23.0	23.0	21.7	20.2	24

Temperatur-Maxima 1951

Juli

Tag	Bern	Neu-châtel	Genève	Basel	Altdorf	Bever	Lugano
1	21.3	23.7	24.0	23.5	16.7	16.4	25.2
2	23.2	25.2	25.0	26.3	22.3	24.4	26.2
3	25.9	26.0	27.6	28.1	24.8	27.2	27.8
4	26.6	27.2	29.6	28.1	25.3	26.2	28.6
5	21.4	23.7	26.4	20.9	24.9	28.0	29.4
6	22.4	23.9	23.6	24.0	20.3	20.2	26.8
7	26.9	25.4	29.6	28.6	22.6	24.2	28.2
8	29.3	27.6	33.4	29.9	28.5	21.7	29.2
9	22.4	21.9	26.6	24.1	26.8	21.7	26.6
10	26.5	26.8	26.4	23.3	23.2	28.4	29.4
11	27.9	29.6	30.2	30.5	29.9	22.5	28.4
12	21.2	23.3	25.9	24.0	**30.6**	21.4	28.6
13	24.9	24.2	27.2	26.9	24.8	21.5	28.6
14	24.0	23.4	25.2	25.1	28.1	24.4	27.2
15	21.6	22.6	25.7	24.2	26.1	24.4	27.2
16	14.6	13.3	15.2	16.5	23.5	13.8	25.4
17	15.7	19.2	20.2	21.6	10.9	12.9	22.6
18	21.6	23.9	23.8	26.3	20.2	20.7	28.6
19	24.4	26.1	27.0	25.9	24.4	24.8	29.2
20	24.2	26.2	27.0	26.8	23.4	22.7	30.0
21	24.5	26.8	26.8	27.3	24.5	25.2	**31.0**
22	27.5	27.3	29.6	29.1	29.2	25.7	29.8
23	22.4	23.3	25.4	22.9	28.8	25.5	22.0
24	14.9	18.6	20.5	19.0	18.0	25.7	28.6
25	16.9	17.5	18.2	19.1	20.0	9.0	20.9
26	19.4	21.4	21.5	22.7	20.8	16.0	28.0
27	21.9	24.6	24.0	24.8	21.8	19.7	29.4
28	24.9	27.2	29.4	27.8	23.3	27.0	28.8
29	26.6	27.7	28.0	30.3	26.0	28.5	29.4
30	28.0	28.9	30.4	30.3	29.0	**29.7**	29.6
31	**30.1**	**29.8**	**31.5**	**33.5**	28.0	28.4	30.0
Mittel	23.2	24.4	25.7	25.7	24.2	23.0	27.9

August

Tag	Bern	Neu-châtel	Genève	Basel	Altdorf	Bever	Lugano
1	23.4	22.8	26.0	27.1	**30.4**	**28.7**	29.0
2	**27.4**	**29.0**	28.2	30.3	25.5	**28.7**	**30.6**
3	24.3	25.0	26.4	27.5	25.0	23.9	29.0
4	22.4	23.3	27.5	23.3	23.7	18.2	26.2
5	21.8	23.4	27.2	24.9	22.0	21.2	27.8
6	25.2	24.4	24.4	29.3	25.5	23.8	27.2
7	21.7	22.4	23.2	24.1	29.0	21.9	29.0
8	18.6	19.9	21.6	18.8	26.7	12.3	24.2
9	17.3	16.0	20.0	19.7	20.0	15.8	25.6
10	18.0	21.1	20.2	20.5	17.6	11.8	10.6
11	20.4	21.4	25.0	23.7	19.5	20.5	20.6
12	24.9	24.9	29.2	27.6	21.1	21.8	26.4
13	20.9	21.5	27.3	22.4	25.0	20.9	20.0
14	20.5	22.9	26.0	22.0	23.5	24.2	28.2
15	22.2	22.6	24.0	23.9	22.0	22.8	27.6
16	17.1	18.1	24.8	24.2	24.0	13.7	24.0
17	20.1	20.6	22.1	22.5	17.2	18.7	27.4
18	21.8	24.7	24.9	26.3	21.1	23.6	27.2
19	25.7	25.2	**30.0**	29.2	**23.1**	23.8	20.8
20	20.8	22.2	21.9	19.1	24.0	22.7	27.4
21	15.8	16.4	17.1	15.1	24.0	20.7	23.4
22	17.6	18.5	20.1	20.3	16.3	15.2	27.4
23	19.4	21.6	23.6	24.2	17.3	15.8	27.6
24	21.0	22.9	21.8	25.7	20.5	21.2	28.6
25	21.4	21.9	22.1	24.7	21.4	21.4	26.8
26	22.8	24.0	25.9	25.0	21.7	18.0	23.8
27	19.8	19.9	21.6	22.1	22.0	17.2	22.4
28	24.8	24.2	26.9	27.5	20.9	22.2	25.0
29	26.4	26.8	28.0	29.1	24.8	24.2	28.0
30	26.6	26.0	29.9	**31.0**	27.8	21.0	28.6
31	17.6	18.4	18.7	17.5	28.8	18.7	25.6
Mittel	21.5	22.3	24.4	24.2	22.9	20.5	26.5

September

Tag	Bern	Neu-châtel	Genève	Basel	Altdorf	Bever	Lugano
1	18.2	20.9	22.5	23.5	19.5	18.3	25.8
2	20.6	21.3	**22.8**	20.9	20.9	18.7	26.4
3	20.1	21.9	22.8	20.9	21.1	17.7	25.8
4	19.4	21.6	19.8	22.9	21.2	19.7	26.6
5	21.2	22.0	20.2	25.0	22.0	**24.4**	26.4
6	24.0	25.0	22.3	28.8	22.1	20.7	27.4
7	24.1	**26.1**	24.0	**28.1**	26.0	18.3	27.0
8	21.6	22.5	22.4	23.9	23.5	21.1	**28.8**
9	22.1	24.3	25.0	23.8	23.0	21.1	28.2
10	23.6	24.0	24.0	28.8	23.0	21.2	28.9
11	25.0	25.8	25.2	**30.5**	25.5	22.2	28.0
12	**25.9**	25.7	**27.5**	28.8	25.9	22.0	28.2
13	25.7	25.7	25.0	28.7	27.2	20.2	25.8
14	20.4	18.5	20.4	21.0	**27.5**	17.3	19.2
15	19.5	20.8	24.0	23.9	21.5	18.4	26.8
16	22.2	22.2	23.8	23.3	21.1	20.4	28.4
17	17.2	17.4	19.0	16.6	22.6	23.2	26.4
18	15.4	19.8	18.6	18.6	17.0	10.2	24.4
19	14.6	17.9	16.8	17.2	16.9	18.2	24.4
20	15.1	18.0	18.0	18.4	15.9	19.7	23.4
21	15.5	17.8	16.8	18.8	17.6	16.7	24.0
22	18.4	18.2	17.2	21.9	17.5	18.9	22.2
23	17.9	17.6	18.6	19.0	20.9	12.7	19.8
24	14.7	17.5	18.1	20.8	19.0	17.0	21.2
25	16.2	15.9	17.0	20.1	19.7	17.7	21.2
26	15.8	18.4	19.4	19.8	18.8	17.5	17.2
27	15.9	18.7	18.4	19.7	16.5	9.8	24.2
28	16.6	18.1	19.0	19.8	19.5	14.3	23.2
29	12.9	11.1	14.0	14.3	16.0	10.2	17.4
30	12.1	14.1	10.8	15.7	15.5	12.7	20.8
Mittel	19.1	20.3	20.7	22.1	20.7	18.4	24.6

Oktober

Tag	Bern	Neu-châtel	Genève	Basel	Altdorf	Bever	Lugano
1	15.5	17.9	17.7	**19.9**	16.3	13.7	19.2
2	16.5	**19.3**	18.4	17.3	**19.5**	15.1	**23.8**
3	14.6	16.1	**18.6**	16.6	17.5	18.5	22.0
4	**17.0**	18.0	18.0	18.3	15.9	**18.6**	15.8
5	15.2	18.7	17.5	18.3	16.4	17.4	18.6
6	11.0	14.6	14.8	16.8	17.6	17.8	21.9
7	11.8	14.2	17.8	16.9	13.1	11.8	18.0
8	11.1	15.0	15.6	13.8	13.3	11.3	16.8
9	8.4	12.4	12.0	13.9	13.5	10.2	13.9
10	10.0	13.1	13.0	13.5	10.5	13.0	14.2
11	9.5	8.0	10.0	10.9	11.0	9.4	10.0
12	11.5	13.3	13.2	14.9	10.9	8.5	14.4
13	13.4	12.9	12.8	18.3	12.8	9.5	15.4
14	12.7	12.0	13.4	17.0	12.9	7.7	16.2
15	12.5	14.4	14.4	13.0	13.1	12.7	14.2
16	8.9	12.2	12.8	12.7	12.0	14.7	10.0
17	9.5	8.1	10.0	14.1	11.1	13.5	13.4
18	11.4	11.5	11.0	11.4	10.4	10.2	13.0
19	14.3	13.4	13.5	10.7	10.9	11.1	12.0
20	10.2	15.9	10.4	17.2	13.5	12.5	18.0
21	10.4	10.1	8.1	13.3	15.0	12.2	15.4
22	11.3	9.7	14.0	10.2	15.2	12.6	12.8
23	3.8	4.4	6.8	5.8	11.4	4.0	9.9
24	6.0	6.4	8.0	7.0	7.3	7.8	10.4
25	8.2	8.7	12.0	9.6	6.4	7.9	12.2
26	11.4	12.2	12.5	9.5	10.8	12.6	16.6
27	11.2	12.0	12.0	13.5	11.3	12.2	14.9
28	12.0	10.1	11.2	13.5	11.4	4.9	12.4
29	13.9	14.1	14.6	17.1	11.5	9.2	14.8
30	14.6	13.3	14.6	17.4	15.0	6.2	15.0
31	11.6	11.5	14.0	11.8	14.7	8.1	10.2
Mittel	11.9	13.1	13.8	14.0	13.0	11.5	15.2

November

Tag	Bern	Neu-châtel	Genève	Basel	Altdorf	Bever	Lugano
1	7.9	9.1	7.0	10.0	18.4	2.8	12.8
2	9.6	12.0	11.0	13.0	8.5	3.2	15.0
3	7.6	8.4	8.2	10.2	10.3	3.8	8.4
4	7.4	8.6	11.4	11.4	10.3	1.7	11.4
5	9.3	9.0	8.4	13.4	15.9	8.7	9.4
6	10.0	10.0	13.0	13.3	18.7	10.9	11.6
7	**14.7**	**15.2**	**14.5**	**17.2**	**20.0**	**11.0**	9.6
8	10.1	9.9	10.6	9.9	**20.0**	8.4	9.4
9	11.1	10.1	10.4	14.9	17.4	6.1	12.6
10	9.4	12.6	11.6	9.9	19.8	8.2	16.9
11	9.6	11.4	11.4	12.9	18.0	7.2	13.8
12	9.0	11.6	12.0	12.4	10.4	7.0	13.0
13	9.8	8.7	12.2	12.6	9.7	4.4	12.2
14	9.7	7.2	8.6	8.5	9.4	4.4	15.0
15	8.8	10.3	9.6	13.1	9.1	4.3	**18.2**
16	8.8	7.9	9.5	10.3	8.8	8.6	14.0
17	8.4	6.9	9.8	10.5	11.2	7.4	9.8
18	9.1	8.4	9.8	13.3	15.9	8.8	7.4
19	9.9	9.8	9.8	9.3	15.4	5.5	8.8
20	8.3	7.9	8.0	8.7	14.4	7.0	8.8
21	12.3	10.0	14.2	14.5	10.5	6.4	12.2
22	6.3	6.7	9.0	8.1	9.8	3.1	12.6
23	5.1	7.4	9.5	10.1	7.2	2.0	10.0
24	11.5	10.3	13.2	13.8	9.2	3.4	13.2
25	11.1	11.0	11.5	12.7	10.1	5.0	11.0
26	10.0	8.6	11.2	10.1	9.7	3.4	12.2
27	3.9	6.1	6.1	1.6	10.4	2.9	12.2
28	4.5	7.9	8.0	5.9	5.2	5.0	10.4
29	4.5	6.3	7.0	7.2	7.5	2.0	11.2
30	6.5	7.0	8.0	4.8	9.4	7.0	10.2
Mittel	8.6	9.1	10.1	10.8	12.4	5.5	12.1

Dezember

Tag	Bern	Neu-châtel	Genève	Basel	Altdorf	Bever	Lugano
1	4.8	2.9	4.8	4.1	5.4	2.6	10.2
2	1.5	2.5	3.2	4.4	4.5	2.8	7.8
3	2.4	4.8	5.0	5.1	3.7	2.3	10.6
4	2.3	4.1	4.0	5.9	4.3	2.1	10.6
5	4.8	6.3	5.4	11.1	5.4	6.3	11.4
6	**7.8**	**9.1**	**12.2**	8.9	5.4	4.8	7.2
7	6.9	7.3	7.4	8.1	5.0	2.4	8.6
8	2.8	3.0	6.2	4.1	7.7	0.3	10.4
9	7.4	8.3	8.2	**11.2**	5.7	0	8.6
10	7.1	8.8	7.4	7.0	7.1	3.8	10.2
11	4.0	3.0	4.8	5.0	7.0	1.1	**12.6**
12	0.8	1.8	2.6	4.1	3.7	3.0	7.2
13	2.0	3.0	2.5	3.9	2.4	-1.8	7.0
14	-0.4	0.0	0.5	3.5	2.7	1.8	8.4
15	1.3	0.2	-0.5	3.5	2.7	3.1	9.2
16	2.7	0.5	-0.4	3.6	2.5	3.6	9.4
17	3.6	1.4	0.4	7.1	1.8	3.0	10.2
18	2.5	0.7	0.2	3.0	8.4	4.1	7.6
19	2.3	1.1	-1.0	6.8	1.1	**9.2**	3.4
20	2.0	2.5	-1.5	6.5	4.7	1.2	9.8
21	2.8	1.1	0.3	**4.5**	9.9	3.1	9.4
22	1.3	0.9	-1.2	1.5	3.8	3.9	9.9
23	-0.4	0.3	-0.6	1.6	0.9	2.1	7.9
24	1.0	1.0	-1.5	1.3	1.8	0.2	8.8
25	1.3	0.9	9.2	5.1	11.1	2.7	5.4
26	4.8	7.0	9.0	7.0	**15.6**	2.7	4.8
27	3.0	5.5	4.5	5.3	7.4	-2.3	9.9
28	3.3	4.7	4.4	6.0	5.4	-1.8	7.8
29	0.6	1.3	2.5	4.1	4.6	-3.0	5.4
30	3.4	4.9	5.6	3.8	2.8	3.4	6.4
31	5.2	7.9	7.5	5.4	4.7	1.9	6.8
Mittel	3.1	3.5	3.6	5.2	5.1	1.4	8.4

1951 **Tägliche Maxima und Minima der Lufttemperatur** **Zürich**

(Nach den Aufzeichnungen des Thermographen) Eidg. Physikgebäude

Tag	Januar		Februar		März		April		Mai		Juni		Juli		August		Septemb.		Oktober		Novemb.		Dezember	
	Max	Min.	Max.	Min	Max	Min.	Max.	Min.	Max	Min.	Max.	Min.	Max.	Min.	Max.	Min.	Max.	Min.	Max	Min.	Max.	Min.	Max.	Min.
1	4.1	−2.5	2.8	0.9	1.6	−4.2	13.5	1.4	19.3	**1.3**	16.6	**8.9**	23.7	11.0	29.2	16.7								
2	1.9	−1.2	2.0	0.5	3.4	−4.8	11.8	4.3	21.6	4.9	21.0	**8.9**	25.7	11.4	29.8	16.3								
3	2.1	−0.5	6.2	0.1	3.5	**−5.3**	10.1	2.9	23.3	7.9	21.2	10.1	27.8	12.4	28.1	16.0								
4	2.0	−1.5	9.3	−0.6	4.0	−3.0	12.8	0.3	15.6	9.0	23.9	9.0	28.7	14.5	22.6	14.8								
5	6.0	−0.7	4.4	1.2	6.2	−4.4	12.1	3.8	19.6	6.9	20.2	11.7	23.6	14.7	23.9	14.5								
6	4.6	−1.9	4.2	1.3	6.1	−2.5	17.5	4.7	22.0	5.9	19.9	11.3	24.2	11.8	29.7	13.4								
7	6.1	1.5	4.8	0.4	7.8	−2.8	19.7	5.1	17.9	9.6	23.8	10.8	27.9	12.0	25.4	16.1								
8	7.3	−0.8	5.4	−2.8	7.7	0.5	10.1	3.8	19.5	7.8	20.4	12.2	28.1	16.0	17.9	14.7								
9	4.7	−2.5	**12.0**	0.7	10.3	2.2	14.9	2.9	19.0	6.8	14.4	11.3	24.8	15.2	19.9	13.6								
10	−0.6	**−4.1**	7.2	2.6	9.3	1.1	11.1	2.9	12.1	8.1	21.2	11.5	28.5	14.7	18.5	**10.9**								
11	**7.8**	**−4.1**	11.9	0.4	9.1	−0.4	11.3	1.3	9.3	5.9	24.6	12.0	**32.1**	16.6	22.2	13.4								
12	4.2	1.4	6.2	1.3	12.6	3.9	11.8	**0.1**	10.3	5.1	27.8	10.9	24.9	15.9	26.3	11.8								
13	6.2	1.2	6.5	1.9	17.9	3.5	14.9	.4	17.3	4.0	24.3	13.9	27.0	14.0	21.4	13.8								
14	7.5	−0.6	8.2	2.1	11.7	2.0	9.5	4.9	11.7	5.8	29.9	11.9	26.9	14.6	21.6	12.3								
15	6.7	−1.4	5.6	−0.1	15.5	6.9	12.5	3.5	9.8	5.4	**31.4**	13.9	27.0	15.5	23.2	11.3								
16	1.5	−0.6	7.2	0.3	13.5	6.1	19.6	1.2	12.5	5.7	27.4	15.8	15.4	11.9	19.5	12.9								
17	4.7	−1.8	9.7	−1.5	16.0	7.7	22.3	7.9	13.5	5.3	27.5	15.5	17.2	11.5	22.3	11.0								
18	6.6	3.4	5.6	−0.1	11.6	7.1	19.3	9.1	19.4	8.0	27.0	14.8	24.7	**10.6**	24.4	12.5								
19	4.2	1.3	5.0	0.0	12.3	3.3	19.2	9.0	24.8	6.9	14.8	10.9	26.1	13.6	26.4	11.4								
20	6.5	1.6	9.5	1.2	9.5	2.0	17.6	8.3	18.4	10.6	22.1	11.5	26.0	15.6	25.2	13.9								
21	6.3	4.4	10.0	1.5	5.2	−1.0	19.9	7.6	22.2	11.5	27.1	10.6	27.8	13.4	16.4	13.2								
22	6.2	3.7	5.0	1.2	6.2	−2.6	15.5	4.3	19.8	9.5	25.2	15.2	29.0	13.9	17.3	12.9								
23	5.7	3.3	5.8	−0.5	**19.5**	5.7	19.3	2.1	25.5	9.8	19.4	11.2	22.6	13.1	20.9	13.4								
24	4.0	1.9	2.7	−1.5	14.9	1.8	21.8	3.6	**28.8**	12.3	19.0	11.3	16.6	13.0	23.7	11.4								
25	2.7	1.1	8.4	0.5	2.4	−0.7	**24.5**	6.3	27.9	14.7	18.6	11.2	18.2	11.7	24.7	12.3								
26	3.0	0.2	5.0	0.1	4.8	−1.5	17.4	11.7	27.0	12.9	20.1	9.8	22.6	11.6	23.5	14.6								
27	0.7	−0.6	5.0	−1.5	7.3	1.2	17.0	9.2	14.8	9.4	21.3	11.1	24.0	11.2	20.5	13.7								
28	2.3	−0.5	3.8	**−3.4**	4.4	1.1	7.9	4.4	20.8	7.5	19.0	12.4	26.5	12.7	26.1	12.5								
29	1.4	0.4			7.2	0.1	6.5	0.9	22.8	8.2	22.6	11.3	29.0	13.7	28.2	14.7								
30	2.3	0.8			10.6	−0.4	10.7	1.4	18.8	9.3	23.7	11.0	30.9	15.4	**30.0**	14.8								
31	2.1	0.9			8.9	1.4			17.8	11.8														
Mittl. Max.	4.22		6.41		9.06		15.07		18.81		22.51		25.44		23.50									
Mittl. Min.	0.06		0.22		0.77		4.31		8.02		11.73		13.55		13.51									
Differenz	4.16		6.19		8.29		10.76		10.79		10.78		11.89		9.99									
Abs. Max.	7.8		12.0		19.5		24.5		28.8		31.4		32.1		30.0									
Abs. Min.	−4.1		−3.4		−5.3		0.1		1.3		8.9		10.6		10.9									
Differenz	11.9		15.4		24.8		24.4		27.5		22.5		21.5		19.1									

Station aufgehoben

Nordostschweiz

Zürich

$\lambda = 8° 33', \beta = 47° 23', H_b = 493^m, h_T = 1.4^m$ Eidg. Physikgebäude Beobachter: E. Witschi

1951	Luft-Temperatur								Relative Feuchtigkeit						Bewölkung				Niederschlag		Zahl der Tage						
	7^{30}	13^{30}	21^{30}	Mittel	Minimum	Tag	Maximum	Tag	7^{30}	13^{30}	21^{30}	Mitt.	Minimum	Tag	7^{30}	13^{30}	21^{30}	Mitt.	Summe	Maximum Tag	●	●★ ≥1.0	✶	▲	K	≡	helle	trübe
Jan.	0.9	3.4	1.9	2.0	−3.7	11	7.1	14	—	—	—	—	—	—	—	—	—	—	70	19 15	13	10	5	—	—	—	—	—
Febr.	1.2	5.5	2.3	2.8	−2.6	8	10.8	9	—	—	—	—	—	—	—	—	—	—	91	20 11	10	10	7	—	—	—	—	—
März	1.9	7.1	4.1	4.3	−4.6	3	16.0	13	—	—	—	—	—	—	—	—	—	—	99	34 27	15	11	4	—	—	—	—	—
April	5.8	13.2	8.6	9.0	1.1	4	23.2	25	—	—	—	—	—	—	—	—	—	—	64	13 28	12	9	1	—	—	—	—	—
Mai	10.0	16.7	11.9	12.6	3.3	1	27.0	24.25	—	—	—	—	—	—	—	—	—	—	76	15 30	17	11	—	—	—	—	—	—
Juni	13.8	20.3	15.1	16.1	10.4	2	30.6	15	—	—	—	—	—	—	—	—	—	—	145	28 23	20	18	—	—	—	—	—	—
Juli	15.3	23.8	17.6	18.6	12.0	16.17	32.0	11	—	—	—	—	—	—	—	—	—	—	127	30 15	12	11	—	—	—	—	—	—
Aug.	14.9	22.0	16.7	17.6	12.0	24	29.2	30	—	—	—	—	—	—	—	—	—	—	128	19 4.7	15	13	—	—	—	—	—	—
Sept.	—	—	—	—	—	—	—	—	—	—	—	—	—	—	—	—	—	—	—	— —	—	—	—	—	—	—	—	—
Okt.	—	—	—	—	—	—	—	—	—	—	—	—	—	—	—	—	—	—	—	— —	—	—	—	—	—	—	—	—
Nov.	—	—	—	—	—	—	—	—	—	—	—	—	—	—	—	—	—	—	—	— —	—	—	—	—	—	—	—	—
Dez.	—	—	—	—	—	—	—	—	—	—	—	—	—	—	—	—	—	—	—	— —	—	—	—	—	—	—	—	—
Jahr	—	—	—	—	—	—	—	—	—	—	—	—	—	—	—	—	—	—	—	— —	—	—	—	—	—	—	—	—

Monats- und Jahresübersichten
sämtlicher schweiz. meteorologischen Stationen

In die hier folgenden Uebersichten werden die Beobachtungsresultate aller schweizerischen Stationen, soweit es die Zuverlässigkeit und Vollständigkeit derselben gestatten, aufgenommen. Zu beachten ist:

1. Die Minima und Maxima bei Luftdruck, Temperatur und die Minima bei der relativen Feuchtigkeit sind stets den üblichen Terminbeobachtungen entnommen (7^{30} 13^{30} 21^{30}, resp. 7^{30} 13^{30} 20^{30}).
2. Die Monatsmittel der Temperatur werden aus den 3 Terminbeobachtungen in der Weise abgeleitet, daß der Abendbeobachtung (21^{30}) das doppelte Gewicht beigelegt ist [$m = \frac{1}{4}$ ($7^{30} + 13^{30} + 2 \cdot 21^{30}$)]. Bei den wenigen Stationen, die eine andere Kombination der Beobachtungsstunden haben, wird eine nach den stündlichen Werten von Bern und Säntis berechnete Reduktion angebracht.
3. Als Tage mit Niederschlag werden diejenigen gezählt, an denen wenigstens 0.3mm gemessen wurden. Eine zweite Rubrik enthält die Zahl der Tage mit Niederschlagsmengen von mindestens 1.0mm.
4. Tage mit mehreren Gewittern werden als «Gewittertage» nur einfach gezählt.
5. Als heitere (trübe) Tage werden solche bezeichnet, deren mittlere Bewölkung < 2 (> 8) Zehntel ist.
6. Bei der Uebersicht der Windverteilung wird nur die Häufigkeit der verschiedenen Windrichtungen mit Index > 0 berücksichtigt.
7. λ bezeichnet die geographische Länge in Graden von Greenwich, β die geographische Breite, H_b die Höhe des Stationsbarometers über dem Meer in Metern, H die Höhe der Station (des Regenmessers) über Meer, G ist die Korrektion, welche an den Luftdruckdaten für deren Reduktion auf die Normalschwere (45° Breite und das Meeresniveau) noch anzubringen ist, h_r die Höhe des oberen Randes des Regenmessers über dem Erdboden. Die Stationen, bei denen die Höhe (des Barometergefäßes) bis auf den Dezimeter angegeben ist, sind an das schweizerische Präzisionsnivellement angeschlossen. Alle Höhen sind auf Pierre du Niton 373.6m bezogen.

NB. Die Schwerekorrektionen (G) sind vom Jahrgang 1936 an auf Grund neuer Berechnungen von Herrn Prof. Niethammer, Basel, eingesetzt worden.

Reihenfolge der Gebiete: Nordostschweiz, Zentralschweiz, Jura, Oberes Aare- und Saanegebiet, Südwestschweiz, Graubünden, Tessin.

Zürich (Krähbühlstrasse)

$\lambda = 8° 34'$, $\beta = 47° 23'$, $H_b = 569.4^m$, $G = 0.03$ ‰, $h_r = 1.4^m$

1951	Luftdruck					Luft-Temperatur								Relative Feuchtigkeit					
	Mittel	Minimum	Tag	Maximum	Tag	7^{30}	13^{30}	21^{30}	Mittel	Minimum	Tag	Maximum	Tag	7^{30}	13^{30}	21^{30}	Mittel	Minimum	Tag
Januar	709.4	692.3	2	724.1	16	0.3	2.8	1.1	1.3	−4.1	10	7.5	11	90	78	87	85	53	11
Februar	706.8	689.0	5	716.5	28	0.5	4.7	1.4	2.0	−3.7	28	9.6	11	87	68	84	80	37	17
März	707.4	693.7	8	721.8	21	1.2	6.2	3.1	3.4	−5.5	1	16.5	13	86	64	77	76	35	23
April	712.4	704.6	9	719.5	15	5.5	12.0	7.5	8.1	0.5	29	21.2	25	77	56	70	68	30	25
Mai	709.3	702.7	10	714.6	24	9.8	15.7	11.0	11.9	4.6	1. 15	26.0	24	83	59	80	74	35	1
Juni	713.2	704.7	8	719.3	13	13.6	19.2	14.3	15.3	10.0	2	28.3	15	83	59	83	75	39	4
Juli	714.9	709.7	23	718.6	27	15.3	22.7	16.8	17.9	11.3	17	30.8	11	83	54	79	72	36	4
August	712.7	704.5	8	717.2	22	15.0	21.0	15.9	17.0	12.1	17	28.5	30	86	60	83	76	43	12.28
September	714.2	709.8	13	719.4	4	12.7	18.1	14.0	14.7	6.3	21	27.0	13	92	65	89	82	43	1
Oktober	713.7	708.7	31	717.8	16	5.6	10.9	6.7	7.5	−1.0	12	17.1	2	96	70	93	86	45	13
November	708.5	694.7	8. 12	725.7	27	4.9	8.4	5.8	6.2	−1.8	27	15.8	7	86	71	83	80	35	4
Dezember	715.3	698.6	29	723.7	21	−1.2	2.2	0.2	0.3	−5.2	16	8.5	9	94	79	88	87	43	9
Jahr	711.5	689.0	II	725.7	XI	6.9	12.0	8.1	8.8	−5.5	III	30.8	VII	87	65	83	78	35	III/V XI

Baden

$\lambda = 8° 19'$, $\beta = 47° 22'$, $H_b = 386.6^m$, $G = 0.08$ ‰, $h_r = 1.5^m$

Januar	725.3	708.3	2	741.1	16	0.7	3.0	1.1	1.5	−3.9	11	7.3	22	91	79	89	86	60	19
Februar	722.8	705.5	4	733.5	28	1.1	5.0	1.8	2.4	−2.6	15	9.5	11	92	69	88	83	40	17
März	723.2	709.0	8	738.3	21	2.1	6.7	3.4	3.9	−4.1	2	16.6	23	88	59	79	75	34	23
April	728.1	718.8	9	735.4	15	5.9	13.6	7.8	8.8	−0.2	13	22.2	25	79	43	66	63	21	25
Mai	724.7	717.7	8	730.5	1	10.1	17.3	11.1	12.4	2.4	1	26.0	24.25	89	53	83	75	28	1. 2
Juni	728.6	719.4	8	735.2	13	14.4	20.3	14.4	15.9	10.4	4	29.7	15	82	54	83	73	30	4. 15
Juli	730.2	724.1	23	734.4	27	15.9	23.7	17.4	18.6	11.6	18	30.4	31	85	47	77	70	28	1
August	727.8	719.4	9	732.6	21	14.9	21.8	16.0	17.2	11.3	24	28.3	30	91	56	87	78	21	12
September	729.7	724.1	13	735.4	4	12.8	18.6	14.0	14.9	5.2	22	26.4	13	94	63	89	82	37	13
Oktober	729.6	724.4	31	734.4	16	6.4	11.6	6.9	7.9	−0.4	12	17.4	2	86	64	81	77	50	5
November	724.2	709.6	8	742.3	27	5.3	8.6	5.4	6.2	−1.2	27	15.4	7	85	68	80	78	43	5
Dezember	731.7	715.0	29	740.8	21	−1.0	1.6	0.0	0.1	−5.4	13	8.7	6	88	76	85	83	39	12
Jahr	727.2	705.5	II	742.3	XI	7.4	12.6	8.3	9.2	−5.4	XII	30.4	VII	87	61	83	77	21	IV VIII

Winterthur

$\lambda = 8° 44'$, $\beta = 47° 30'$, $H_b =$ ca. 485^m, $G = 0.05$ ‰, $h_r = 1.6^m$

Januar	—	—	—	—	—	0.5	3.0	1.1	1.4	−4.9	11	6.0	11.22	87	76	86	83	48	11
Februar	—	—	—	—	—	0.2	4.6	1.2	1.8	−5.0	17	10.4	11	93	66	84	81	33	17
März	—	—	—	—	—	1.5	6.4	3.2	3.6	−5.6	1	14.0	15.23	80	56	71	69	29	13
April	—	—	—	—	—	5.8	12.5	7.2	8.2	−0.2	12	20.0	17	75	47	65	62	30	25
Mai	—	—	—	—	—	10.2	16.1	11.1	12.1	2.5	1	26.0	25	79	52	74	68	32	2.6.19
Juni	—	—	—	—	—	14.1	19.1	14.5	15.6	11.0	1. 2	28.2	15	81	55	76	71	35	11.14
Juli	—	—	—	—	—	16.1	22.1	16.7	17.9	11.8	18	29.0	11	76	47	72	65	31	29
August	—	—	—	—	—	15.2	20.8	15.9	17.0	12.8	9. 24	27.0	2	82	55	82	73	37	19
September	—	—	—	—	—	12.4	17.9	13.9	14.5	5.2	22	24.8	12	92	60	86	79	40	20
Oktober	—	—	—	—	—	5.5	10.5	6.6	7.3	0.1	13	16.4	2	91	68	90	83	46	5
November	—	—	—	—	—	4.2	7.9	4.8	5.4	−2.0	27	14.4	7	92	71	88	84	41	4
Dezember	—	—	—	—	—	−1.8	1.8	−0.3	−0.1	−7.0	25	7.0	6	91	78	89	86	46	9
Jahr	—	—	—	—	—	7.0	11.9	8.0	8.7	−7.0	XII	29.0	VII	85	61	80	75	29	III

Frauenfeld

$\lambda = 8° 54'$, $\beta = 47° 34'$, $H_b = 432.9^m$, $G = 0.06$ ‰, $h_r = 1.5^m$

Januar	721.4	703.9	2	736.5	16	0.0	2.7	1.0	1.2	−6.1	6	6.2	20	68	58	66	64	37	14
Februar	718.9	700.8	5	729.5	28	0.2	4.3	1.1	1.7	−3.8	17	9.2	11	71	50	66	62	24	21
März	719.3	705.4	8	734.8	21	1.6	6.4	3.4	3.7	−5.4	1	14.7	23	62	42	56	53	23	23
April	724.4	715.8	9	731.9	15	6.1	12.6	7.7	8.5	−0.4	4	20.6	25	78	46	67	64	27	24
Mai	721.0	714.2	8	727.1	1	11.0	16.8	11.7	12.8	2.7	1	27.2	25	80	49	79	69	28	1. 2
Juni	724.9	715.4	8	731.2	13	15.0	19.8	15.2	16.3	9.0	2	28.8	15	80	55	81	72	33	12
Juli	726.6	721.0	23	730.8	27	17.1	22.7	17.1	18.5	11.0	18	29.1	11	74	48	80	67	33	4
August	724.2	715.8	8	729.0	21	15.7	21.4	16.3	17.4	11.2	25	27.7	1	83	55	87	75	36	12.19
September	726.0	720.5	13	731.6	4	12.4	18.5	13.7	14.6	4.5	22	25.1	13	95	60	94	83	38	20
Oktober	725.8	720.0	31	730.4	16	5.4	10.5	6.6	7.3	0.2	10	16.8	2	97	73	93	88	42	9
November	720.4	705.8	12	738.7	27	3.9	7.8	4.8	5.3	−2.2	27	14.9	7	95	75	91	87	41	4
Dezember	727.8	710.7	29	736.6	21	−1.7	1.0	−0.5	−0.4	−8.1	14	7.4	6	96	85	94	92	38	12
Jahr	723.4	700.8	II	738.7	XI	7.2	12.0	8.2	8.9	−8.1	XII	29.1	VII	82	58	79	73	23	III

Beobachter: Meteorolog. Zentralanstalt

Zürich

Bewölkung				Niederschlag		Zahl der Tage							Windverteilung									1951
7^{30}	13^{30}	21^{30}	Mittel	Summe	Maximum Tag	•	●* ≧1.0	*	▲	↯	≡	heiter	trüb	N	NE	E	SE	S	SW	W	NW	Calmen	
8.9	8.7	7.2	8.3	71	20	15	12	10	6	—	—	4	—	22	7	10	7	3	17	27	15	3	4	Januar
8.8	8.0	6.3	7.7	91	22	11	12	10	9	—	—	7	—	11	5	14	7	3	20	18	11	3	3	Februar
8.7	7.8	5.9	7.5	109	38	27	17	10	9	—	—	2	—	15	6	17	9	3	16	22	14	3	3	März
6.4	5.9	5.5	5.9	76	17	28	13	9	2	—	—	1	6	8	3	15	7	3	19	21	16	5	1	April
7.0	7.1	7.6	7.2	82	16	30	16	13	—	—	4	—	1	16	9	24	9	3	18	12	10	5	3	Mai
7.1	6.2	7.2	6.8	149	27	24	20	18	—	—	7	2	1	13	8	10	11	3	16	23	13	4	2	Juni
4.3	3.9	5.9	4.7	147	34	15	12	11	—	1	9	1	9	6	16	17	8	3	18	13	9	7	2	Juli
5.7	6.4	7.1	6.4	130	19	7	16	13	—	—	5	2	3	9	13	12	7	3	18	16	14	8	2	August
8.0	5.6	6.0	6.5	94	17	7	11	11	—	—	1	9	2	12	10	21	4	6	11	15	15	4	4	September
8.3	7.2	5.5	7.0	48	32	22	7	5	2	—	—	11	1	14	11	40	15	3	5	6	8	1	4	Oktober
7.9	8.0	7.6	7.8	85	14	23	18	17	1	—	—	4	1	16	4	14	6	16	23	13	9	4	1	November
7.9	6.1	6.8	6.9	63	14	2	14	12	7	—	—	21	4	15	4	6	7	4	29	28	7	1	7	Dezember
7.4	6.7	6.6	6.9	1145	38	III	168	139	36	1	26	64	27	157	96	200	97	53	210	214	141	48	36	Jahr

Beobachter: Nordostschweiz. Kraftwerke

Baden

9.0	8.7	8.3	8.7	87	22	19	14	10	7	—	—	10	1	23	7	10	2	—	1	3	38	4	28	Januar
9.5	8.0	7.2	8.2	80	13	21	12	11	9	—	—	7	—	15	—	11	2	—	1	12	29	4	25	Februar
8.1	8.4	5.9	7.5	93	22	27	13	13	3	—	—	1	—	16	19	15	4	1	—	11	26	5	12	März
5.7	5.8	5.1	5.5	57	11	27	11	10	2	—	2	—	8	10	10	18	3	—	2	11	22	4	20	April
6.9	6.4	6.2	6.5	62	14	10	13	13	—	—	—	1	2	13	13	16	1	1	3	6	35	6	12	Mai
6.7	6.4	5.9	6.3	120	32	23	18	16	—	—	1	2	5	12	16	9	3	1	—	3	40	3	15	Juni
5.2	4.0	4.4	4.5	107	43	15	10	8	—	—	—	3	12	5	25	15	—	1	1	7	15	8	21	Juli
8.0	5.7	5.8	6.5	150	31	7	14	14	—	—	3	10	1	9	9	9	3	1	4	6	30	13	18	August
8.2	5.7	5.0	6.3	74	12	23	11	11	—	—	—	9	2	9	10	8	10	2	—	5	20	4	31	September
9.4	6.5	4.9	6.9	67	45	22	6	6	2	—	—	11	—	13	16	11	19	—	—	2	8	1	36	Oktober
9.0	7.5	6.9	7.8	94	11	21.23	18	16	—	—	—	3	1	15	4	1	1	1	—	6	44	7	26	November
8.6	6.6	7.5	7.6	45	8	2	11	11	3	—	—	13	3	18	11	10	—	—	—	9	33	2	28	Dezember
7.9	6.6	6.1	6.9	1036	45	X	151	139	26	—	6	70	35	158	140	133	48	8	12	81	340	61	272	Jahr

Beobachter: A. Meyer

Winterthur

8.7	8.5	7.9	8.4	67	21	15	13	12	1	—	—	1	1	22	—	—	—	5	2	—	—	—	86	Januar
9.1	7.3	5.7	7.4	93	20	11	11	11	5	—	—	6	—	9	1	—	—	—	3	1	—	—	79	Februar
8.0	7.7	6.2	7.3	88	30	27	15	11	6	—	—	2	—	13	—	3	1	4	8	2	—	—	75	März
6.1	5.7	4.9	5.6	58	12	28	12	9	2	—	—	1	6	7	1	5	3	2	6	—	—	—	73	April
7.1	6.7	6.8	6.9	85	16	27	13	12	—	—	1	1	—	11	2	6	2	3	4	—	—	—	76	Mai
7.4	6.2	6.1	6.6	141	31	17	19	18	—	—	4	1	1	13	1	1	1	1	4	—	—	—	82	Juni
4.9	4.3	4.8	4.7	109	25	8	12	11	—	—	3	2	9	4	1	2	2	1	2	—	—	—	85	Juli
5.2	5.4	5.9	5.5	91	16	7	15	12	—	—	2	—	3	6	—	4	2	5	1	—	—	—	81	August
7.0	5.5	5.3	5.9	80	14	26	11	9	—	—	—	3	3	8	—	4	1	1	2	—	—	—	82	September
9.4	7.1	5.8	7.4	44	27	22	7	6	—	—	—	8	—	13	—	7	4	—	—	—	—	—	82	Oktober
8.4	7.5	7.2	7.7	76	9	10	17	16	—	—	—	5	1	15	—	1	2	3	8	—	—	—	76	November
6.7	6.3	6.2	6.4	59	12	9	14	13	3	—	—	8	3	11	—	—	—	1	4	—	—	—	88	Dezember
7.3	6.5	6.1	6.6	991	31	VI	159	140	17	—	10	38	27	132	6	13	18	26	44	3	—	—	965	Jahr

Beobachter: S. Dannacher

Frauenfeld

9.3	9.1	8.1	8.8	53	17	15	12	8	3	—	—	3	1	23	1	9	5	3	5	16	6	—	48	Januar
9.1	7.8	7.6	8.2	97	20	11	12	9	9	—	—	7	—	16	1	9	7	6	2	14	6	—	39	Februar
8.9	8.1	7.0	8.0	72	26	27	13	11	3	—	—	1	—	18	1	12	6	4	4	20	9	2	35	März
6.4	6.4	5.3	6.0	47	12	28	9	7	2	—	—	3	5	8	3	8	7	4	9	18	7	3	31	April
7.5	6.7	6.3	6.8	56	11	29	11	9	—	—	—	1	2	11	3	17	11	8	6	10	7	3	28	Mai
7.7	6.7	6.9	7.1	119	29	17	18	15	—	—	1	3	1	14	3	10	8	5	3	17	11	2	31	Juni
5.5	4.5	5.0	5.0	100	28	8	11	10	—	1	5	2	7	6	6	13	9	9	4	8	6	—	38	Juli
6.1	5.8	6.0	6.0	104	20	7	13	12	—	1	5	3	3	9	1	11	5	8	2	9	8	3	46	August
9.1	5.8	5.5	6.8	74	15	14	10	9	—	—	—	8	1	11	3	8	6	4	1	6	2	3	57	September
8.9	7.1	5.6	7.5	43	25	22	8	5				11		16	2	14	13	7	2				55	Oktober
8.6	8.4	8.4	8.5	70	12	10	17	14	1	—	—	6	—	19	1	5	10	4	4	29	8	—	29	November
8.8	8.1	7.5	8.1	51	10	2	12	11	4	—	—	13	2	20	2	6	6	10	4	13	2	—	50	Dezember
8.1	7.0	6.6	7.2	886	29	VI	146	120	22	2	11	61	22	171	27	122	93	72	46	160	72	16	487	Jahr

Kreuzlingen (West)

$\lambda = 9°\ 10'$, $\beta = 47°\ 39'$, $H_b = 445.0^m$, $G = 0.0\ ^m/_m$, $h_r = 1.4^m$

1951	Luftdruck					Luft-Temperatur								Relative Feuchtigkeit					
	Mittel	Minimum	Tag	Maximum	Tag	7^{30}	13^{30}	21^{30}	Mittel	Minimum	Tag	Maximum	Tag	7^{30}	13^{30}	21^{30}	Mittel	Minimum	Tag
Januar	719.7	703.5	2	734.4	16	−0.1	2.7	0.9	1.1	−5.0	11	6.0	20	95	82	90	89	57	14
Februar	717.4	702.0	4	728.0	28	0.4	4.2	1.0	1.7	−2.6	28	9.8	11	95	69	89	84	37	21
März	717.7	704.1	8	733.1	21	2.1	6.5	3.0	3.6	−3.4	2. 3	15.6	23	83	56	76	72	33	13.23
April	722.6	715.1	7	730.3	15	6.3	12.0	7.1	8.1	0.8	29	19.4	25	76	46	66	63	25	23.24
Mai	719.5	713.1	10	725.0	24	11.2	16.5	11.9	12.9	4.4	1	26.4	25	76	48	72	65	27	1. 29
Juni	723.4	713.8	8	729.7	13	14.8	19.7	14.3	15.8	10.4	2	28.8	15	74	52	80	69	32	12 12 20 12
Juli	725.2	719.7	23	729.5	27	17.0	22.4	16.7	18.2	11.8	17	28.6	11	72	45	75	64	28	2
August	722.8	714.3	8. 9	727.5	21.22	15.9	20.7	15.9	17.1	12.6	9	28.0	1	82	54	85	74	32	12
September	724.5	718.9	13	730.4	4	13.7	18.1	13.5	14.7	8.0	22	24.8	13	89	58	92	80	40	20
Oktober	724.4	718.3	31	729.0	16	6.4	10.7	6.9	7.7	1.4	10	17.6	2	96	67	92	85	40	9
November	719.2	705.4	12	737.5	27	4.8	7.7	4.9	5.6	−2.6	28	13.4	7	93	74	88	85	39	4
Dezember	726.1	709.9	29	735.3	21	−1.0	1.7	−0.2	0.1	−5.8	13	7.2	9	95	85	95	92	35	12
Jahr	721.9	702.0	II	737.5	XI	7.6	11.9	8.0	8.9	−5.8	XII	28.8	VI	86	61	83	77	25	IV

Haidenhaus

$\lambda = 9°\ 0'$, $\beta = 47°\ 39'$, $H_b = 694.4^m$, $G = —\ ^m/_m$, $h_r = 1.7^m$

Januar	—	—	—	—	—	−0.2	1.1	0.1	0.3	−6.0	10	4.0	6	91	88	93	91	54	6
Februar	—	—	—	—	—	0.0	2.8	0.2	0.8	−4.8	28	12.1	11	92	75	90	86	38	11
März	—	—	—	—	—	0.6	4.1	1.8	2.1	−8.1	1	14.4	13	89	68	80	79	35	13
April	—	—	—	—	—	5.7	9.7	5.5	7.1	0.0	12	16.8	25	75	56	73	68	29	23
Mai	—	—	—	—	—	10.1	14.3	11.0	11.6	4.1	12	23.3	25	79	58	76	71	33	1
Juni	—	—	—	—	—	14.6	17.8	14.2	15.2	10.1	3. 19	26.3	15	79	62	81	74	44	11.15
Juli	—	—	—	—	—	16.6	20.3	16.7	17.6	9.1	17	26.4	11	76	56	43	58	37	2
August	—	—	—	—	—	15.9	19.5	16.2	16.9	12.0	22	25.4	1	81	65	80	75	40	6
September	—	—	—	—	—	12.8	16.8	13.4	14.1	6.0	21	23.5	13	96	77	93	89	48	4
Oktober	—	—	—	—	—	5.4	9.3	6.3	6.8	−1.2	11	14.8	2	99	80	93	91	48	9
November	—	—	—	—	—	4.0	6.9	4.6	5.0	−3.5	28	14.0	8	92	79	87	86	40	18
Dezember	—	—	—	—	—	−1.2	1.9	−0.2	0.1	−5.8	24	5.4	6	92	80	90	87	45	12
Jahr	—	—	—	—	—	7.0	10.4	7.6	8.1	−8.1	III	26.4	VII	87	70	82	80	29	IV

St. Gallen (Bruggen)

$\lambda = 9°\ 20'$, $\beta = 47°\ 24'$, $H_b = 678.8^m$, $G = -0.01\ ^m/_m$, $h_r = 1.5^m$

Januar	699.9	683.2	2	714.0	16	−0.9	2.6	−0.1	0.4	−8.0	10	6.4	11	88	77	88	84	43	11
Februar	697.6	680.1	5	706.8	28	−0.5	4.4	0.3	1.1	−5.4	8	14.0	11	87	63	83	78	31	4
März	698.0	684.0	8	712.2	21	0.2	5.9	1.5	2.3	−8.5	3	15.6	23	84	60	81	75	28	23
April	703.0	695.6	9	709.6	15	4.5	11.3	5.0	6.5	0.0	4	20.3	25	83	53	81	72	32	9
Mai	700.1	693.6	10	705.3	23 24	8.9	14.9	9.6	10.8	3.0	1	24.8	24	87	58	84	76	32	19
Juni	704.0	695.6	8	710.2	13	13.0	18.5	13.1	14.4	8.9	1	28.0	15	87	58	84	76	39	15
Juli	705.8	701.1	8. 23	709.6	27	14.5	20.7	16.0	16.8	10.6	17	26.6	11.31	89	64	75	76	32	2
August	703.5	695.9	9	707.7	22	14.1	20.0	14.7	15.9	10.8	9	26.2	30	88	58	88	78	41	19
September	705.1	700.6	3. 13	710.1	4	11.5	17.4	12.5	13.5	4.0	22	25.2	13	90	64	91	82	43	4
Oktober	704.4	699.3	31	708.2	8	4.5	9.9	5.6	6.4	0.0	12	15.6	2	93	69	92	85	46	13
November	699.3	685.5	12	716.0	27	4.0	8.5	4.9	5.6	−3.0	28	18.4	10	84	65	80	76	33	18
Dezember	705.8	689.8	29	714.0	21	−1.7	3.5	−0.7	0.1	−9.3	29	8.2	9	84	65	85	78	38	9
Jahr	702.2	680.1	II	716.0	XI	6.0	11.5	6.9	7.8	−9.3	XII	28.0	VI	87	63	84	78	28	III

Heiden

$\lambda = 9°\ 32'$, $\beta = 47°\ 27'$, $H_b = 811.4^m$, $G = -0.03\ ^m/_m$, $h_r = 1.7^m$

Januar	688.0	671.2	2	701.8	16	−0.2	1.7	−0.2	0.3	−4.9	27	8.1	11	78	76	83	79	20	10
Februar	685.7	668.0	5	695.0	28	−0.4	2.8	0.9	1.0	−4.9	28	14.1	11	85	64	73	73	23	11
März	686.2	672.1	8	700.0	21	−0.1	4.0	0.7	1.3	−11.0	4	14.7	23	79	59	75	70	20	23
April	691.6	684.0	9	698.0	15	4.8	9.2	4.6	5.8	−1.3	12.15	19.3	25	61	55	76	64	24	9
Mai	688.8	681.9	10	694.6	24	9.3	13.1	9.4	10.3	2.3	1	22.7	21.25	69	58	72	66	25	19
Juni	692.9	684.2	8	698.8	13	12.7	16.3	11.8	13.2	7.9	3	25.0	15	75	69	82	72	29	15
Juli	694.7	689.6	23	698.3	27	14.6	18.9	14.1	15.4	9.5	17	25.5	11	75	50	82	71	34	3
August	692.4	684.2	8	696.4	21	14.7	18.1	14.0	15.2	9.9	11	26.7	30	75	62	83	73	27	30
September	693.9	689.4	13	698.9	4	11.6	15.6	11.6	12.6	4.9	20	24.1	13	80	68	88	79	28	13
Oktober	692.7	687.6	31	696.4	15.16	4.5	8.8	5.4	6.0	0.3	15	14.9	2	93	73	86	84	34	30
November	687.5	672.8	12	703.9	27	4.9	7.8	5.9	6.1	−4.5	28	16.9	6	74	62	65	67	26	6
Dezember	693.9	677.4	29	702.0	21	−0.7	3.8	0.3	0.9	−7.9	29	10.9	19	77	56	74	69	25	19
Jahr	690.7	668.0	II	703.9	XI	6.3	10.0	6.5	7.3	−11.0	III	26.7	VIII	76	62	78	72	20	III

Beobachter: P. Zwick

Kreuzlingen (West)

Bewölkung 7³⁰	13³⁰	21³⁰	Mittel	Niederschlag Summe	Maximum	Tag	Zahl der Tage ●/✱	●✱ ≧1.0	✱	▲	K	≡	heiter	trüb	Windverteilung N	NE	E	SE	S	SW	W	NW	Calmen	1951
9.0	9.0	8.4	8.8	68	19	15	11	11	3	—	—	4	—	23	—	1	1	—	—	20	—	—	71	Januar
9.6	8.1	6.5	8.1	119	23	19	14	11	5	—	—	2	—	15	—	—	1	—	—	15	5	—	63	Februar
9.0	8.0	6.1	7.7	86	31	27	12	10	3	—	—	1	—	16	—	—	8	—	—	18	13	1	53	März
6.5	5.8	5.0	5.8	54	16	9	7	7	2	—	—	1	5	9	—	—	11	—	—	25	1	—	53	April
7.1	6.4	6.6	6.7	45	9	8	15	11	—	—	—	1	2	11	—	2	23	—	—	11	10	3	44	Mai
7.4	6.5	7.1	7.0	123	32	23	16	13	—	—	6	1	3	14	—	—	5	—	—	29	9	—	47	Juni
5.4	4.3	5.2	5.0	98	31	16	11	9	—	—	5	1	9	8	—	—	12	—	—	9	14	—	58	Juli
6.3	5.6	6.0	6.0	143	29	7	13	11	—	1	3	1	4	8	—	—	5	—	—	22	7	—	59	August
8.5	5.6	5.2	6.4	95	49	7	9	9	—	—	1	5	2	11	—	—	5	—	—	15	7	—	63	September
9.4	6.7	4.8	7.0	48	18	22	6	5	—	—	—	7	2	14	—	—	7	—	—	4	—	—	82	Oktober
8.1	8.0	6.3	7.5	82	12	14	17	17	—	—	1	2	2	12	—	—	3	—	—	36	9	—	42	November
8.0	8.0	6.6	7.5	44	9	2	12	10	2	—	—	13	4	18	—	—	2	—	—	17	2	—	72	Dezember
7.9	6.8	6.2	7.0	1005	49	IX	143	124	15	1	16	39	33	159	—	3	83	—	—	221	77	4	707	Jahr

Beobachter: J. Sommer

Haidenhaus

7³⁰	13³⁰	21³⁰	Mittel	Summe	Maximum	Tag	●/✱	●✱ ≧1.0	✱	▲	K	≡	heiter	trüb	N	NE	E	SE	S	SW	W	NW	Calmen	1951
8.1	8.0	7.8	8.0	51	18	15	10	10	7	—	—	7	1	20	2	2	—	3	—	45	—	1	40	Januar
8.0	7.3	8.6	8.0	95	22	17	12	11	11	—	—	8	—	14	—	2	—	2	—	31	1	3	45	Februar
8.8	7.4	7.5	7.9	65	17	27	15	13	9	—	—	3	—	16	4	12	—	3	—	40	—	3	31	März
6.1	5.3	5.7	5.7	42	15	28	10	8	3	—	—	3	6	9	1	15	—	—	—	41	1	2	30	April
6.6	5.5	6.4	6.2	60	12	8	15	13	—	—	1	—	4	11	5	25	1	1	—	12	5	4	40	Mai
6.5	6.1	6.3	6.3	107	25	23	15	13	—	—	5	3	3	11	8	10	—	2	—	41	1	—	28	Juni
4.6	4.2	4.9	4.6	117	34	16	10	9	—	—	5	2	10	6	8	15	—	—	—	19	1	7	43	Juli
4.9	5.3	6.4	5.5	100	21	2	12	12	—	—	3	2	4	8	7	3	—	3	—	25	3	1	51	August
6.4	5.5	6.2	6.0	72	25	7	10	10	—	—	2	3	7	14	1	15	1	—	—	21	3	2	47	September
8.8	5.7	5.2	6.6	49	26	22	6	5	—	—	—	8	3	11	7	23	—	—	—	1	—	1	61	Oktober
7.5	7.0	7.1	7.2	69	12	10	16	15	4	—	—	6	2	15	1	5	—	2	—	46	1	—	35	November
5.1	4.2	4.4	4.6	52	15	2	11	11	5	—	—	8	12	10	—	3	—	—	—	38	—	—	52	Dezember
6.8	6.0	6.4	6.4	879	34	VII	142	130	39	—	16	53	52	145	44	130	2	16	—	360	16	24	503	Jahr

Beobachter: P. Flückiger

St. Gallen (Bruggen)

7³⁰	13³⁰	21³⁰	Mittel	Summe	Maximum	Tag	●/✱	●✱ ≧1.0	✱	▲	K	≡	heiter	trüb	N	NE	E	SE	S	SW	W	NW	Calmen	1951
8.0	7.9	7.8	7.9	82	20	20	13	12	8	—	—	5	—	17	1	8	3	31	6	4	18	—	22	Januar
8.5	7.3	7.1	7.6	101	40	11	15	11	12	—	—	2	—	12	—	10	1	30	8	8	8	1	18	Februar
8.7	7.2	7.0	7.6	105	34	27	14	11	9	—	1	—	—	14	—	7	2	28	3	9	14	4	26	März
5.4	5.7	6.3	5.8	59	13	29	15	10	7	—	—	2	5	10	2	11	—	31	3	2	18	4	19	April
7.2	6.8	6.5	6.8	118	37	10	14	13	—	—	1	—	1	11	4	19	3	34	4	1	10	5	13	Mai
6.1	6.1	6.6	6.3	153	27	23	19	17	—	—	5	—	2	10	4	10	4	29	1	3	20	1	18	Juni
4.3	4.3	5.0	4.5	162	31	22	14	13	—	—	8	—	10	8	3	21	4	27	3	1	11	3	20	Juli
5.7	5.9	5.9	5.8	133	26	4	15	12	—	—	2	—	3	8	7	13	5	31	2	—	9	4	22	August
7.1	5.0	6.0	6.0	139	69	7	12	9	—	—	1	—	2	10	3	17	—	37	1	2	5	3	22	September
8.1	6.6	6.4	7.0	31	18	22	5	4	—	—	—	10	1	13	2	21	4	27	3	—	3	4	29	Oktober
7.9	7.2	7.2	7.4	90	13	14	18	15	3	—	—	1	2	16	—	2	1	28	7	4	19	2	27	November
4.5	4.7	4.6	4.6	63	12	2	13	13	9	—	—	2	10	6	—	—	3	42	4	2	10	—	32	Dezember
6.8	6.2	6.4	6.5	1236	69	IX	167	140	48	—	18	22	36	135	26	139	30	375	45	36	145	31	268	Jahr

Beobachter: Frau F. Niederer-Tobler

Heiden

7³⁰	13³⁰	21³⁰	Mittel	Summe	Maximum	Tag	●/✱	●✱ ≧1.0	✱	▲	K	≡	heiter	trüb	N	NE	E	SE	S	SW	W	NW	Calmen	1951
8.0	7.7	6.7	7.5	100	22	20	11	11	9	—	—	7	5	19	—	2	12	11	18	18	21	7	4	Januar
8.6	7.9	7.1	7.9	102	26	11	14	14	12	—	—	2	—	14	2	—	9	15	19	6	24	6	3	Februar
7.9	7.1	6.2	7.1	152	32	27	16	15	13	—	—	2	—	12	6	4	7	11	16	9	12	22	6	März
5.1	6.1	6.0	5.7	63	13	29	14	12	10	—	—	2	9	11	9	2	9	13	11	9	14	17	6	April
7.3	7.1	6.1	6.8	80	25	14	12	12	—	—	2	5	2	14	14	1	14	9	13	3	21	11	7	Mai
6.4	6.7	6.8	6.6	193	33	18	20	19	—	1	8	1	2	12	6	13	17	3	12	7	25	7	—	Juni
4.1	3.6	4.9	4.2	196	60	16	13	11	—	—	4	1	13	8	14	—	3	4	4	2	18	44	4	Juli
5.3	5.8	5.0	5.6	129	25	8	16	15	—	—	2	4	7	8	—	4	8	6	8	4	38	20	5	August
6.2	5.0	4.7	5.3	120	54	7	10	9	—	—	1	3	8	10	—	2	22	3	5	1	16	27	14	September
7.9	6.4	4.8	6.4	35	24	22	5	4	1	—	—	13	4	11	1	—	21	4	1	—	6	40	20	Oktober
8.2	7.2	6.4	7.3	106	18	14	17	16	6	—	—	1	2	14	4	—	7	7	32	14	13	5	8	November
3.9	4.6	3.2	3.9	75	13	2	15	13	10	—	—	—	13	5	—	—	27	9	13	9	19	14	2	Dezember
6.6	6.3	5.7	6.2	1351	60	VII	163	151	61	1	17	41	65	138	56	28	156	95	152	82	227	220	79	Jahr

Altstätten

$\lambda = 9° 33'$, $\beta = 47° 23'$, $H_b = 467.6^m$, $G = 0.01$ $^m/_m$, $h_r = 1.5^m$

1951	Luftdruck					Luft-Temperatur								Relative Feuchtigkeit					
	Mittel	Minimum	Tag	Maximum	Tag	7^{30}	13^{30}	21^{30}	Mittel	Minimum	Tag	Maximum	Tag	7^{30}	13^{30}	21^{30}	Mittel	Minimum	Tag
Januar	718.4	705.5	2	733.0	16	0.2	3.3	1.1	1.4	−5.6	11	7.2	22	92	85	94	90	35	11
Februar	715.6	697.3	5	725.8	28	0.8	5.5	2.4	2.8	−2.6	2.24.28	17.9	11	93	74	83	83	30	11 29
März	716.3	703.0	8	731.9	21	1.4	7.2	2.7	3.5	−6.4	4	16.0	13	90	63	87	80	30	11
April	721.1	712.7	9	728.8	15	6.2	12.9	6.8	8.2	2.0	4	23.6	25	85	55	82	74	29	9
Mai	717.8	710.5	10	723.7	1	10.6	17.0	11.6	12.7	4.3	1	27.0	25	87	61	84	77	30	6
Juni	721.8	712.3	8	728.1	13	14.5	20.6	14.6	16.1	9.8	1	29.7	15	86	62	89	79	44	15
Juli	723.3	718.2	11	727.5	27	16.1	23.4	16.9	18.3	12.2	16	31.4	11	89	59	85	78	35	11
August	720.9	712.7	8	725.5	21	15.8	22.3	16.2	17.6	12.0	9. 10	30.6	30	88	62	90	80	29	30
September	722.7	717.7	13	728.5	4	12.9	19.7	14.1	15.2	5.8	21	29.2	13	94	66	91	84	30	13
Oktober	722.4	717.2	22	726.9	16.17	5.8	11.7	7.2	8.0	1.1	12.14	19.8	2	97	73	94	88	52	13
November	717.3	703.7	8	735.1	27	6.4	9.9	7.2	7.7	−3.4	28	20.0	6	81	69	79	76	30	18.19
Dezember	724.2	707.5	29	733.1	12	−2.1	1.5	−0.7	−0.5	−8.8	15	11.0	25	95	86	93	91	39	25
Jahr	720.2	697.3	II	735.1	XI	7.4	12.9	8.3	9.2	−8.8	XII	31.4	VII	90	68	88	82	29	IV VIII

Säntis

$\lambda = 9° 20'$, $\beta = 47° 15'$, $H_b = 2500.1^m$, $G = -0.27$ $^m/_m$, $h_r = 1.3^m$

Januar	556.1	544.0	2	565.1	16	−8.4	−6.6	−7.9	−7.7	−14.3	16	2.8	6	81	77	76	78	14	6
Februar	553.7	541.8	5	558.6	17	−10.0	−8.3	−9.7	−9.4	−17.0	28	−2.1	9	92	87	89	89	40	16
März	554.3	545.2	9	563.0	21	−9.0	−7.3	−8.5	−8.3	−18.2	21	0.1	23	87	83	83	84	26	23
April	560.5	552.8	10	566.0	24	−4.5	−2.8	−5.1	−4.4	−11.6	15	4.2	25	74	73	81	76	1	23
Mai	560.1	552.8	10	568.7	24	0.2	1.8	0.9	0.0	−7.1	15	11.4	25	72	76	86	78	28	13
Juni	564.9	557.4	8. 9	571.9	14	3.5	5.1	2.4	3.4	−2.2	1	15.1	15	77	80	93	83	10	15
Juli	567.6	562.2	23	570.6	$^{27.}_{31}$ 30	5.7	8.6	5.3	6.2	−1.4	25	17.8	31	72	76	86	78	3	29
August	565.9	558.1	9	570.2	2	5.8	8.8	5.2	6.2	−0.2	9	15.4	2	70	70	85	75	6	12
September	566.4	562.0	30	571.0	4	4.5	7.0	4.3	5.0	−3.9	20	15.2	13	71	68	77	72	2	4. 21
Oktober	563.4	558.0	23	567.7	3	0.2	2.6	0.0	0.7	−7.6	23	6.9	2	47	53	65	55	2	10
November	557.8	545.4	12	570.3	27	−4.2	−3.4	−4.0	−3.9	−12.6	29	2.8	6	83	80	77	80	28	30
Dezember	562.4	547.0	29	571.7	21	−5.2	−3.9	−5.1	−4.8	−16.0	11	3.4	20.21	56	52	60	56	6	20
Jahr	561.1	541.8	II	571.9	VI	−1.8	0.1	−2.0	−1.4	−18.2	III	17.8	VII	73	73	80	75	1	IV

Sargans

$\lambda = 9° 26'$, $\beta = 47° 3'$, $H_b = 509.9^m$, $G = -0.05$ $^m/_m$, $h_r = 1.5^m$

Januar	714.1	695.4	2	728.0	17	0.8	4.0	1.7	2.0	−2.6	28	9.5	11	77	66	79	74	31	1. 10
Februar	711.8	695.3	5	721.5	28	1.5	5.4	3.1	3.3	−3.3	3	13.4	11	79	61	70	70	27	17
März	712.2	697.5	8	727.7	21	2.1	6.6	3.9	4.1	−4.8	3	15.8	13	71	55	66	64	28	11
April	717.2	709.2	9	724.5	15	6.8	13.0	8.5	9.2	1.5	29	22.2	25	63	43	57	54	22	25
Mai	713.9	706.5	10	720.0	24	10.9	16.6	12.3	13.0	6.0	14	26.3	24	68	49	63	60	24	6
Juni	717.8	708.2	8	724.3	13	14.7	19.8	15.5	16.4	10.2	3	27.4	15	72	53	67	64	28	21
Juli	719.5	714.5	11.23	728.5	30	16.1	22.6	17.9	18.6	11.8	25	28.4	30	74	51	66	64	30	11
August	717.2	708.9	9	721.8	21.22	15.8	21.6	17.1	17.9	12.2	11	29.2	1	75	54	72	67	27	30
September	718.9	714.3	9	724.7	4	13.3	19.0	15.0	15.6	6.1	21	28.6	13	77	56	74	69	30	13
Oktober	718.4	712.3	31	722.8	15	6.6	11.8	8.3	8.8	2.2	19	18.8	2	82	64	80	75	30	13
November	713.6	698.8	12	731.3	27	6.6	9.4	7.4	7.7	−0.8	29	20.2	10	75	64	72	70	27	10
Dezember	720.4	704.0	29	729.0	21	0.4	4.1	1.5	1.9	−4.3	14	14.2	20	71	63	72	69	26	20
Jahr	716.2	695.3	II	731.3	XI	8.0	12.8	9.4	9.9	−4.8	III	29.2	VIII	74	57	70	67	22	IV

Bad Ragaz

$\lambda = 9° 30'$, $\beta = 47° 0'$, H_b [illegible] 518^m, $G = -0.06$ $^m/_m$, $h_r = 1.6^m$

Januar	714.0	698.3	2	728.5	16	0.1	3.7	1.5	1.7	−4.4	28	9.7	12	89	82	88	86	36	1
Februar	711.6	694.2	5	720.9	28	1.5	5.6	3.1	3.3	−5.5	3	14.6	11	82	70	76	76	35	17
März	712.0	697.0	8	727.2	21	1.4	6.8	4.0	4.1	−5.6	3	16.2	23	78	60	69	69	33	11
April	716.9	709.0	9	724.1	15	6.4	13.1	8.4	9.1	1.6	29	21.5	25	72	48	63	61	31	9.17.2
Mai	713.6	705.7	10	719.8	23	10.8	16.6	12.2	13.0	9.1	28	28.7	24	75	54	69	66	30	24
Juni	717.6	708.2	8	724.0	13	14.8	19.5	15.1	16.5	9.5	25	29.5	15	78	60	75	71	36	15
Juli	719.3	714.4	8. 23	723.1	27	16.5	22.2	17.4	18.4	11.9	25	30.8	11	79	58	74	70	33	11
August	717.0	708.3	9	721.5	18.21	15.8	21.5	17.2	17.9	11.7	11	29.6	30	84	66	76	75	34	6
September	718.7	713.9	9	724.4	4	13.2	19.1	14.8	15.5	6.5	21	29.7	13	86	63	80	76	35	13
Oktober	718.2	712.4	31	722.6	15	6.0	11.7	8.1	8.5	1.1	19	18.5	2	88	73	83	81	37	13
November	713.5	698.3	12	731.1	27	6.5	9.7	7.4	7.8	−1.9	28	19.6	10	78	67	74	73	32	17
Dezember	720.1	703.4	29	728.6	12.21	0.4	3.2	1.9	1.8	−5.5	24	14.6	20	84	76	82	81	34	24
Jahr	716.0	694.2	II	731.1	XI	7.8	12.7	9.3	9.8	−5.6	III	30.8	VII	81	65	76	74	30	V

Beobachter: E. Eisenring

Altstätten

Bewölkung				Niederschlag		Zahl der Tage							Windverteilung								1951
7^{30}	13^{30}	21^{30}	Mittel	Summe	Maximum Tag	●	●≧10	✶	▲	K	≡	heiter	trüb	N	NE	E	SE	S	SW	W	NW	Calmen	
7.3	8.5	6.6	7.5	164	53	20	12	12	7	—	1	8	3	17	—	1	—	—		10	1	6	75	Januar
8.0	8.2	6.9	7.7	111	29	11	15	11	9	—	—	—	—	12	—	4	—	—	—	10	—	6	64	Februar
8.4	7.5	5.5	7.1	147	39	27	14	11	2	—	—	1	—	13	—	4	—	—	1	12	1	4	71	März
5.3	6.0	4.8	5.4	51	10	29	12	8	2	—	—	2	7	8	1	2	—	2	—	8	1	4	72	April
7.6	7.7	5.8	7.0	75	15	10	11	11	—	—	1	3	—	12	7	5	—	3	—	4	1	13	60	Mai
5.8	7.1	6.7	6.5	218	32	17	18	18	—	1	—	6	3	9	1	9	—	—	—	6	—	9	65	Juni
4.0	4.4	4.8	4.4	145	56	15	13	10	—	—	1	3	9	8	—	7	—	3	—	6	—	8	69	Juli
5.1	6.0	4.7	5.3	134	30	8	15	14	—	—	—	6	8	8	1	8	—	2	—	9	—	8	65	August
5.8	5.6	5.0	5.5	111	54	7	10	10	—	—	1	5	7	10	—	6	—	1	—	6	—	10	67	September
8.5	7.0	5.0	6.8	24	12	31	3	2	—	—	—	23	2	12	2	4	—	1	1	4	—	6	75	Oktober
7.6	7.4	6.1	7.0	138	37	14	18	16	2	—	—	7	2	10	1	2	—	2	—	21	1	11	52	November
6.6	7.6	6.1	6.8	59	?	—	11	10	6	—	—	16	4	12	—	—	—	—	—	4	—	8	81	Dezember
6.7	6.9	5.7	6.4	1377	56	VII	152	133	28	1	4	80	45	131	13	52	—	14	2	100	5	93	816	Jahr

Beobachter: E. Hostettler

Säntis

7.8	7.1	7.2	7.4	261	83	20	16	14	16	—	—	19	2	14	3	2	2	3	6	24	42	10	1	Januar
8.5	8.1	7.8	8.1	126	21	13	19	16	19	—	—	20	1	19	7	6	5	5	6	16	31	7	1	Februar
8.4	8.2	6.4	7.7	214	39	20	19	18	19	—	—	21	1	18	6	4	3	7	5	15	41	11	1	März
6.8	6.4	6.9	6.7	100	23	14	18	17	18	—	1	22	3	15	7	3	3	3	8	17	38	8	3	April
7.7	7.9	6.5	7.4	119	24	4	16	12	16	—	3	19	—	13	5	5	6	7	21	20	22	7	—	Mai
6.8	8.1	7.7	7.5	221	34	24	21	17	15	—	8	25	2	16	4	2	3	4	5	29	36	7	—	Juni
5.3	6.9	6.7	6.3	246	63	15	14	13	4	—	6	23	2	11	12	4	—	2	7	31	30	5	2	Juli
5.2	7.9	6.7	6.6	167	27	8	17	15	3	—	1	23	2	10	3	4	2	6	13	32	29	4	—	August
5.5	6.2	5.3	5.7	107	26	26	13	11	4	—	3	18	5	10	9	4	3	5	15	24	27	3	—	September
4.2	4.4	2.9	3.8	13	8	31	3	2	3	—	—	5	13	5	8	15	14	17	17	17	3	2	—	Oktober
8.3	7.9	8.3	8.2	297	52	14	18	18	18	—	—	20	1	18	2	—	5	2	15	24	36	6	—	November
4.9	5.3	4.6	4.9	140	27	26	14	14	14	—	—	15	9	6	9	5	5	2	4	18	43	7	—	Dezember
6.6	7.0	6.4	6.7	2011	83	I	188	167	149	—	22	230	41	155	75	54	51	63	122	267	378	77	8	Jahr

Beobachter: J. Albrecht

Sargans

7.7	7.1	7.7	7.5	184	61	20	14	12	12	—	—	2	—	16	—	—	14	20	12	2	38	3	4	Januar
8.1	7.5	7.1	7.6	107	45	11	13	12	8	—	—	—	—	13	—	—	11	15	14	6	35	2	1	Februar
8.4	7.5	6.4	7.4	120	25	27	17	12	8	—	—	—	1	16	—	2	20	13	10	3	42	2	1	März
6.1	5.8	5.7	5.9	80	22	28	11	9	2	—	—	—	4	10	—	1	3	24	12	10	40	—	—	April
7.4	7.5	5.8	6.9	46	10	27	11	9	—	—	—	—	—	9	—	—	7	16	12	2	56	—	—	Mai
6.3	6.9	7.4	6.9	152	41	23	18	16	—	—	2	—	2	10	—	—	3	19	6	1	58	—	3	Juni
4.6	5.4	5.4	5.1	81	23	23	14	11	—	—	1	—	6	9	—	—	18	25	4	—	36	4	6	Juli
5.7	6.5	6.0	6.1	133	21	7	17	14	—	—	—	—	2	8	—	—	18	15	9	2	41	1	7	August
5.9	5.5	5.3	5.6	69	25	14	9	9	—	—	—	3	7	10	—	—	17	20	4	1	43	—	5	September
6.6	6.4	5.2	6.1	27	18	22	2	2	—	—	—	4	1	9	—	—	39	22	2	—	18	3	9	Oktober
8.0	7.8	7.1	7.6	125	16	10	18	17	3	—	—	—	1	14	—	—	13	7	21	1	37	8	3	November
5.7	5.7	5.3	5.6	27	8	26	7	6	3	—	—	8	5	7	—	3	24	10	4	6	33	8	5	Dezember
6.7	6.6	6.2	6.5	1151	61	I	151	129	36	—	3	17	29	131	—	6	187	206	110	34	477	31	44	Jahr

Beobachter: Frl. M. Wermelinger

Bad Ragaz

6.7	6.7	6.5	6.6	152	33	20	12	11	11	–	–	2	4	12	–		2	17	1	8	7	21	37	Januar
7.7	7.3	7.1	7.4	114	44	11	13	10	10	–		2	—	10	3	1	—	27	—	7	11	10	25	Februar
8.2	7.0	5.8	7.0	97	24	13	14	11	7				2	13		1	3	20	—	9	18	23	19	März
6.2	5.3	5.2	5.6	104	26	7	9	8	3				6	9	—		4	21	2	7	22	20	14	April
6.6	7.3	5.2	6.4	60	23	27	10	7			–			8			3	15	2	5	23	22	23	Mai
6.1	5.8	7.5	6.5	125	35	23	19	17	—	—	3		2	10	—		1	5	1	17	17	22	27	Juni
4.1	4.5	5.5	4.7	87	23	23	12	11			6		8	9			1	4	1	16	21	23	27	Juli
5.4	5.6	5.7	5.6	120	30	8	14	12	—	—	4		4	8	-	1	-	13	4	10	22	18	25	August
5.6	4.8	6.0	5.5	40	18	20	8	6			1		7	9			-	5	—	5	26	18	36	September
7.4	6.4	5.3	6.4	25	20	22	2	2		—		3	2	11	1			9	—	2	20	20	41	Oktober
8.1	7.8	7.3	7.7	102	17	10	18	14	3			–	1	15	—	1	2	27	—	8	9	9	34	November
4.8	5.2	4.6	4.9	29	10	26	11	8	5	—	–	6	8	5	2	—	—	22	1	7	4	8	49	Dezember
6.4	6.1	6.0	6.2	1061	44	II	142	117	39		14	13	44	119	6	4	16	185	12	101	200	214	357	Jahr

Glarus

$\lambda = 9° 4'$, $\beta = 47° 3'$, $H_b = 479.6^m$, $G = -3.04$ ‰, $h_r = 1.6^m$

1951	Luftdruck					Luft-Temperatur								Relative Feuchtigkeit					
	Mittel	Minimum	Tag	Maximum	Tag	7^{30}	13^{30}	21^{30}	Mittel	Minimum	Tag	Maximum	Tag	7^{30}	13^{30}	21^{30}	Mittel	Minimum	Tag
Januar	717.8	699.9	2	733.0	16	−1.1	2.5	−0.3	0.2	−8.7	10	9.0	11	89	71	89	83	28	2
Februar	715.3	697.1	5	725.0	28	0.0	4.4	1.0	1.6	−4.9	17	13.2	11	88	61	83	77	26	4
März	715.7	701.4	8	732.2	21	0.4	6.2	2.1	2.7	−8.7	3. 4	16.1	13	83	58	80	74	25	11
April	720.6	711.7	9	728.1	15	4.7	12.8	6.6	7.7	−0.5	13	22.4	25	84	43	78	68	23	25
Mai	717.2	709.9	10	723.3	23	9.4	16.5	10.7	11.8	0.7	1	26.0	24	82	50	78	70	25	6
Juni	721.3	711.7	8	727.8	13	13.0	19.6	14.1	15.2	9.7	4	28.3	15	86	51	86	74	32	12 15
Juli	722.8	717.5	8	726.9	27	14.7	22.4	16.3	17.4	10.9	27	29.1	11	86	49	84	73	31	11
August	720.6	712.2	8	725.1	22	13.9	21.0	15 4	16.4	8.8	17	27.9	30	92	54	90	79	27	30
September	722.3	717.2	9	727.9	4	12.1	18.1	13.7	14.4	4.1	22	24.4	11	92	59	90	80	35	13
Oktober	721.7	716.1	31	726.2	16	5.7	11.7	7.5	8.1	−0.9	13	18.3	2	94	60	91	82	34	30
November	716.8	702.4	8	734.6	27	5.5	8.7	6.4	6.7	−1.3	27.30	20.5	6	82	67	79	76	28	6. 18
Dezember	723.9	707.4	29	732.4	21	−2.4	1.7	−1.1	−0.7	−6.6	12	6.4	9	94	75	92	87	44	25
Jahr	719.7	697.1	II	734.6	XI	6.3	12.1	7.7	8.5	−8.7	I III	29.1	VII	88	58	85	77	23	IV

Elm

$\lambda = 9° 10'$, $\beta = 46° 55'$, $H = 962^m$, $G = —$ ‰, $h_r = 1.6^m$

Januar	—	—	—	—	—	−2.0	0.8	−1.5	−1.0	−6.8	14	6,0	24	77	63	78	73	27	1
Februar	—	—	—	—	—	−2.1	2.5	−0.9	−0.3	−9.8	3	9.2	9	77	56	73	69	24	17
März	—	—	—	—	—	−2.0	4.4	−0.6	0.3	−11.7	2	11.0	8. 23	74	48	71	64	24	1
April	—	—	—	—	—	3.5	10.1	3.4	5.1	−3.2	4	18.0	25	70	40	76	62	20	16
Mai	—	—	—	—	—	9.6	13.8	7.8	9.8	3.0	14.15	24.0	24	64	48	78	63	21	23
Juni	—	—	—	—	—	13.3	16.7	11.6	13.3	8.2	2	25.9	15	64	52	84	67	29	15
Juli	—	—	—	—	—	16.1	19.5	13.9	15.8	9.1	25	27.0	11	63	52	83	66	30	11
August	—	—	—	—	—	13.7	18.2	13.4	14.7	8.3	16	25.2	1	78	57	84	73	28	30
September	—	—	—	—	—	10.1	16.0	11.3	12.2	3.0	20	24.4	13	86	56	86	76	30	22
Oktober	—	—	—	—	—	4.0	10.1	5.3	6.2	−0.5	10	14.8	1	84	56	87	76	27	12
November	—	—	—	—	—	3.6	5.9	4.1	4.4	−4.0	30	15.0	6	77	67	75	73	23	5
Dezember	—	—	—	—	—	−1.9	0.4	−1.0	−0.9	−9.7	12	7.3	25	72	60	69	67	25	24
Jahr	—	—	—	—	—	5.5	9.9	5.6	6.6	−11.7	III	27.0	VII	74	55	79	69	20	IV

Auen (Linthal)

$\lambda = 8° 59'$, $\beta = 46° 54'$, $H_b = 815.2^m$, $G = -0.11$ ‰, $h_r = 1.5^m$

Januar	688.1	671.1	2	702.1	16	−0.9	2.3	−0.4	0.2	−4.8	27	7.0	11	71	56	74	67	25	2
Februar	685.7	667.9	5	694.5	28	−0.1	4.2	0.5	1.3	−5.4	8	10.5	21	76	48	71	65	17	21
März	686.1	672.1	8	699.5	21	−0.5	5 3	0.4	1.4	−9.4	3	13.5	13	71	47	71	63	22	15
April	691.3	683.5	9	697.8	15	4.5	12.1	4.9	6.6	−1.6	1	20.4	25	66	40	66	57	19	16
Mai	688.6	681.6	10	694.8	23	9.8	15.5	9.5	10.7	3.5	14	25.8	24	64	46	70	60	22	1
Juni	693.0	684.0	8	699.9	13	13.7	18.4	12.4	14.2	8.5	24	27.4	15	67	46	76	63	27	15
Juli	694.6	689.4	23	698.3	27	14.8	21.1	15.1	16.5	9.0	25	28.8	11	70	46	67	61	25	11
August	692.5	684.9	9	696.4	2. 21	13.2	20.0	14.2	15.4	8.6	17	28.0	19	77	54	77	69	23	30
September	693.8	689.3	23	698.5	4	11.5	17.4	12.5	13.5	5.2	20	27.0	13	78	53	79	70	29	13
Oktober	692.7	687.6	19	696.8	15	5.4	11.2	6.9	7.6	0.4	23	17.0	2	77	53	78	69	28	13
November	687.9	674.5	12	704.2	27	4.8	7.8	5.1	5.7	−3.5	29	21.0	10	71	60	71	67	22	10
Dezember	694.0	678.0	29	702.0	21	−0.2	3.3	0.4	1.0	−7.6	12	9.8	25	65	51	64	60	27	25
Jahr	690.7	667.9	II	704.2	XI	6.3	11.5	6.7	7.8	−9.4	III	28.8	VII	71	50	72	64	17	II

Oberiberg

$\lambda = 8° 47'$, $\beta = 47° 2'$, $H_b = 109.0^m$, $G = -0.10$ ‰, $h_r = 1.7^m$

Januar	665.2	649.4	2	678.8	16	−2.8	2.3	−2.5	−1.4	−9.4	14	8.7	25	79	59	82	73	28	2
Februar	662.7	646.1	5	670.8	28	−3.2	3.0	−2.2	−1.2	−11.1	28	9.4	11	84	51	78	71	29	4
März	663.4	650.1	8	676.8	21	−3.2	4.5	−1.9	−0.6	−15.0	3	12.7	23	82	47	80	70	23	23
April	668.9	661.5	9	674.9	15	1.9	9.9	2.1	4.0	−6.2	4	17.8	25	75	47	82	68	27	1. 9
Mai	666.4	659.5	10	673.3	23	7.5	13.1	6.3	8.3	0.8	15	24.5	25	73	52	81	69	28	23
Juni	670.9	661.9	8	677.2	13	11.8	16.8	10.4	12.4	6.9	25	27.0	14	72	53	80	68	31	14
Juli	672.8	667.7	23	676.6	27	13 3	20.7	12.6	14.8	8.5	24	28.2	31	74	47	82	68	30	11
August	670.6	662.5	8	674.1	22	12.4	18.8	12.0	13.8	7.2	9	25.6	30	79	54	84	72	26	30
September	671.7	667.0	30	676.0	4	9.8	17.3	10.7	12.1	2.2	20	26.0	13	84	53	85	74	31	13
Oktober	670.1	665.2	28.31	675.5	14	3.1	11.5	4.4	5.9	−2.0	10.16	18.5	1	85	54	86	75	31	13
November	665.1	652.7	12	680.7	27	2.5	7.1	3.3	4.0	−6.5	27	16.2	10	75	58	74	69	31	5. 9
Dezember	671.0	654.3	29	679.2	22	−3.5	3.4	−2.4	−1.2	−12.5	11	8.5	9	75	53	73	67	36	9
Jahr	668.2	646.1	II	680.7	XI	4.1	10.7	4.4	5.9	−15.0	III	28.2	VII	78	52	81	70	23	III

Beobachter: E. Wehrli

Glarus

Bewölkung				Niederschlag			Zahl der Tage								Windverteilung									1951
7^{30}	13^{30}	21^{30}	Mittel	Summe	Maximum	Tag	● *	●* ≧1.0	*	▲	K↘	≡	heiter	trüb	N	NE	E	SE	S	SW	W	NW	Calmen	
7.4	6.7	6.0	6.7	207	73	20	14	12	7	—	—	—	6	17	1	—	—	2	4	1	5	10	70	Januar
8.8	7.4	6.7	7.6	136	57	11	14	13	8	—	—	—	—	12	—	—	—	2	4	1	10	8	59	Februar
7.2	7.5	5.8	6.8	131	26	27	16	15	9	—	1	—	2	12	1	—	—	1	6	1	8	12	64	März
6.4	6.4	6.5	6.4	67	17	7	14	9	3	—	—	—	5	13	2	—	—	2	1	1	14	14	56	April
6.5	7.4	6.2	6.7	110	23	27	15	13	—	—	—	—	2	14	2	—	1	2	5	2	6	23	52	Mai
6.5	6.8	7.7	7.0	162	28	23	23	19	—	—	3	—	2	13	3	—	—	5	4	2	6	19	51	Juni
4.4	4.9	6.2	5.2	107	25	13	16	13	—	—	4	—	8	8	1	—	—	1	3	2	11	21	54	Juli
5.3	6.3	6.1	5.9	173	33	31	18	15	—	—	4	—	4	8	—	—	—	1	4	1	10	18	59	August
5.6	5.5	6.0	5.7	78	17	7	10	9	—	—	2	—	7	9	2	—	—	—	2	2	17	10	57	September
7.1	5.2	7.1	6.5	30	22	22	4	3	—	—	—	1	4	10	1	—	—	—	1	—	11	13	67	Oktober
7.5	7.3	7.4	7.4	143	27	1	19	18	3	—	—	—	2	14	2	—	—	7	8	2	9	10	52	November
3.8	4.3	4.5	4.2	51	14	9	13	9	6	—	—	2	12	6	1	2	—	1	1	1	5	7	75	Dezember
6.4	6.1	6.4	6.3	1395	73	I	176	148	36	—	14	3	54	136	16	2	1	24	43	16	112	165	716	Jahr

Beobachter: E. Frei-Altherr

Elm

7.1	6.9	6.9	7.0	231	70	20	13	11	13	—	—	—	3	16	21	1	1	5	2	22	1	40	—	Januar
7.8	6.9	6.7	7.1	169	54	11	15	13	14	—	—	—	1	13	12	—	—	8	3	13	2	13	33	Februar
8.1	7.6	5.7	7.1	143	26	13	17	17	14	—	—	—	2	15	23	—	—	8	8	21	6	27	—	März
6.2	5.5	5.1	5.6	100	30	28	11	8	9	—	—	—	6	10	29	—	2	5	3	13	1	37	—	April
6.9	7.5	5.3	6.6	116	32	27	14	12	—	—	—	—	1	12	50	1	1	7	1	12	1	20		Mai
6.7	7.3	8.0	7.3	208	38	23	23	21	—	—	5	—	2	17	57	3	1	3	1	5	3	17	—	Juni
4.7	5.3	6.1	5.4	90	28	15	14	11	—	—	5	—	7	10	48	7	—	2	1	3	1	31	—	Juli
5.4	6.5	5.6	5.8	159	31	7	16	15	—	—	6	—	4	7	60	1	—	4	2	4	1	21	—	August
5.9	5.7	5.7	5.8	65	15	26	11	9	—	—	2	—	7	10	55	3	1	3	—	1	—	27	—	September
6.6	4.5	6.5	5.9	61	51	22	3	2	2	—	—	—	3	10	45	—	2	1	1	3	3	38	—	Oktober
7.4	7.3	7.4	7.4	199	29	8	20	18	7	—	—	1	2	15	22	5	2	17	5	2	—	37	—	November
3.8	5.1	3.9	4.3	43	12	26	9	9	8	—	—	—	14	5	10	1	2	2	12	20	—	46	—	Dezember
6.4	6.3	6.1	6.3	1584	70	I	166	146	67	—	18	1	52	140	432	22	12	65	39	119	19	354	33	Jahr

Beobachter: J. Zweifel

Auen (Linthal)

7.2	6.7	6.4	6.8	319	60	19	13	12	12	—	—	1	4	13	1	—	—	—	4	—	—	1	87	Januar
7.9	6.6	6.4	7.0	186	54	11	14	13	13	—	—	2	1	12	1	1	—	—	5	2	—	—	75	Februar
7.7	7.1	6.4	7.1	157	?	—	17	17	12	—	—	—	3	16	2	—	—	1	6	—	—	—	84	März
6.3	4.8	6.0	5.7	133	41	29	12	11	9	—	—	—	4	11	1	—	—	—	3	3	—	1	82	April
6.6	7.5	5.8	6.6	110	34	27	15	15	—	—	—	—	2	12	2	—	—	—	1	1	—	—	89	Mai
6.5	6.3	7.0	6.6	163	31	23	21	21	—	—	—	—	2	13	1	—	—	—	1	—	—	—	88	Juni
4.5	4.7	4.7	4.6	98	23	23	13	13	—	—	1	1	10	8	2	—	—	—	1	—	—	—	90	Juli
5.2	5.8	5.9	5.6	187	35	7	16	16	—	—	1	2	6	10	1	—	—	—	2	—	—	—	90	August
5.5	4.6	5.9	5.3	92	24	26	12	11	—	—	—	2	8	8	—	—	—	—	1	—	—	—	89	September
6.5	5.4	6.3	6.1	45	38	22	3	3	1	—	—	2	6	10	—	—	—	—	1	—	—	—	92	Oktober
7.3	7.2	7.2	7.2	235	47	1	19	19	5	—	—	2	2	14	1	—	—	1	7	5	—	—	76	November
3.3	3.8	3.3	3.5	64	12	26	11	11	8	—	—	3	15	3	—	—	—	—	1	1	—	—	91	Dezember
6.2	5.9	5.9	6.0	1789	60	I	166	162	60	—	2	15	63	130	12	1	—	2	33	12	—	2	1033	Jahr

Beobachter: A. Holdener

Oberiberg

6.8	6.7	6.9	6.8	187	37	20	13	13	12	—	1	5	5	16	—	1	—	2	2	4	7	2	75	Januar
8.0	7.6	7.1	7.6	178	55	11	13	13	13	—	—	—	—	13	—	—	1	3	1	5	2	1	71	Februar
8.1	7.9	5.5	7.2	207	39	27	18	17	13	—	—	—	2	15	—	1	—	2	—	8	3	2	77	März
6.2	5.9	7.0	6.4	117	34	28	14	14	10	—	—	—	5	14	—	—	—	—	—	4	1	3	82	April
6.6	7.7	5.6	6.6	155	33	10	16	14	2	—	—	3	2	10		—		2	—	7	4	1	79	Mai
7.2	7.7	7.5	7.5	239	35	23	22	19	—	—	2	4	2	16	1	2	—	1	2	5	2	3	74	Juni
4.5	5.7	4.5	4.9	188	47	15	15	11	—	1	3	1	9	6	1	1	1	—	1	3	1	—	85	Juli
5.5	6.8	5.3	5.9	182	33	31	17	15	—	—	2	1	3	9	1	—	—	—	—	2	2	1	87	August
5.7	5.6	6.1	5.8	91	22	14	12	11	—	—	—	—	9	10	—	—	—	—	1	1	—	—	88	September
7.4	5.9	6.1	6.5	49	34	22	4	2	3	—	—	5	3	13	—	—	—	1	1	—	—	1	90	Oktober
8.4	7.5	7.0	7.6	192	24	14	17	17	6	—	—	1	2	16	—	3	—	3	5	11	4	—	64	November
3.6	3.8	4.1	3.8	100	26	9	13	11	9	—	—	—	14	5	—	—	1	—	—	2	2	1	87	Dezember
6.5	6.6	6.1	6.4	1885	55	II	174	157	68	1	8	20	56	143	3	8	3	14	13	52	28	15	959	Jahr

Einsiedeln

Die Abendbeobachtung erfolgt um 20^{30} $\lambda = 8^\circ 45'$, $\beta = 47^\circ 8'$, $H_b = 913.9^m$, $G = -0.08$ mm/m, $h_r = 1.5^m$

1951	Luftdruck					Luft-Temperatur								Relative Feuchtigkeit					
	Mittel	Minimum	Tag	Maximum	Tag	7^{30}	13^{30}	21^{30}	Mittel	Minimum	Tag	Maximum	Tag	7^{30}	13^{30}	21^{30}	Mittel	Minimum	Tag
Januar	679.7	682.8	2	693.5	16	−1.8	1.3	−0.8	−0.5	−7.8	10	6.0	2	80	70	82	77	33	2
Februar	677.3	660.1	5	686.0	28	−0.9	2.9	0.3	0.6	−7.6	28	10.2	11	77	60	73	70	26	4
März	677.9	664.2	8	691.2	21	−1.2	4.1	1.2	1.4	−12.0	3	12.8	23	79	56	70	68	25	13
April	683.2	674.3	9	690.1	15	3.7	9.0	5.7	5.8	−2.3	4	17.1	25	77	67	74	73	27	17
Mai	680.5	673.5	10	686.8	24	8.3	12.7	9.9	9.9	2.1	1	22.8	24	*75	*55	*70	*67	?	—
Juni	684.8	675.9	8	691.3	13	12.5	16.8	13.7	13.8	9.1	25	25.0	15	73	55	67	65	29	15
Juli	686.7	681.6	23	690.2	27	13.9	19.1	16.3	15.9	9.8	25	26.0	11	75	50	66	64	31	11
August	684.5	676.3	8	688.6	22	13.3	18.0	14.9	15.0	10.2	24	25.0	30	77	56	73	69	26	30
September	685.8	681.4	30	690.6	4	11.0	16.0	12.6	12.9	4.7	21	24.4	13	80	61	79	73	36	13
Oktober	684.4	679.7	31	688.3	15	4.6	9.1	6.1	6.4	−0.2	12	14.8	2	84	66	82	77	39	13
November	679.4	666.5	8	695.3	27	3.6	7.0	4.8	4.9	−2.0	28.29	15.8	6	72	61	69	67	24	6
Dezember	685.7	669.4	29	693.8	21	−2.5	1.7	−1.0	−0.7	−8.2	29	4.7	2	76	63	74	71	45	10
Jahr	682.5	660.1	II	695.3	XI	5.4	9.8	7.0	7.1	−12.0	III	26.0	VII	77	60	73	70	24	XI

Zentralschweiz

Luzern

$\lambda = 8^\circ 19'$, $\beta = 47^\circ 3'$, $H_b = 497.8^m$, $G = -0.02$ mm/m, $h_r = 1.5^m$

Januar	716.3	699.2	2	730.9	16	0.5	2.8	1.6	1.6	−4.0	10.11	7.7	20	91	80	86	86	60	14
Februar	713.6	695.6	5	722.8	28	1.2	4.8	2.7	2.9	−2.2	28	11.8	11	90	69	80	80	38	21
März	714.2	694.8	11	728.1	21	1.5	6.6	4.3	4.2	−4.2	2	16.6	17	86	62	74	74	36	15
April	719.1	712.4	7	725.9	15	5.5	12.3	9.0	8.9	0.2	4	20.8	25	82	54	66	67	33	25
Mai	715.7	708.9	10	721.6	24	9.8	15.7	12.9	12.8	1.4	1	25.6	25	87	57	72	72	31	19
Juni	719.6	711.1	8	725.6	13	14.1	19.3	16.2	16.4	10.3	2	29.3	15	86	59	74	73	33	15
Juli	721.4	716.1	23	726.4	19	15.8	22.7	18.8	19.0	12.1	16.18 26	28.1	11	87	53	74	71	35	4
August	719.1	711.1	8. 9	723.6	22	15.2	20.7	17.5	17.7	12.0	10	27.1	2	91	60	80	77	39	30
September	720.5	716.0	9	725.5	4	13.0	18.5	15.3	15.5	7.0	20	25.4	12.13	93	68	85	82	47	1.16 26
Oktober	720.2	715.8	19	724.7	17	6.3	10.7	7.9	8.2	0.8	23	17.0	1. 2	95	74	88	86	59	1
November	715.1	701.1	8	732.5	27	4.8	8.3	6.1	6.3	−1.2	28	14.4	7	89	82	80	80	45	4
Dezember	722.1	705.6	29	730.6	21	−1.0	1.8	0.2	0.3	−4.9	25	7.2	10	94	87	92	91	45	10
Jahr	718.1	694.8	III	732.5	XI	7.2	12.0	9.4	9.5	−4.9	XII	29.3	VI	89	66	79	78	31	V

Rigi-Staffel

$\lambda = 8^\circ 28'$, $\beta = 47^\circ 03'$, $H_b = 1595.8^m$, $G = -0.18$ mm/m, $h_r = 1.8^m$

Januar	624.4	612.7	2	636.1	17	−2.7	−1.8	−3.2	−2.7	−9.1	16	9.6	6	76	80	84	80	11	6
Februar	622.4	609.2	5	629.4	2	−4.4	−2.9	−4.4	−4.0	−10.2	28	4.2	11	82	77	82	80	25	8. 17
März	622.4	612.0	8	633.2	21	−3.4	−1.6	−3.9	−3.2	−12.2	2	6.2	17	78	73	75	75	29	23
April	627.9	622.1	8	633.4	16	0.7	2.8	−0.1	0.8	−6.8	28	11.0	25	71	73	75	73	23	16
Mai	626.8	619.5	10	635.2	23	4.4	5.8	4.9	5.0	−3.0	11	17.0	26	77	76	75	76	33	19.25
Juni	630.9	622.7	8	638.2	15	8.0	10.0	7.0	8.0	1.2	5	21.2	15	83	81	79	81	40	17
Juli	632.4	627.7	6	636.1	21	10.8	13.4	11.0	11.6	2.8	25	21.2	11	78	75	75	76	40	15
August	631.1	620.7	9	634.7	2	10.0	12.3	9.5	10.3	4.2	9. 22	21.2	30	80	77	77	78	33	30
September	632.1	627.8	30	636.4	5	9.2	11.6	8.6	9.5	2.0	19.20	20.0	13	71	71	69	70	38	22
Oktober	629.7	625.7	25	633.7	3	4.0	6.3	4.6	4.9	−4.2	23	12.2	2	71	71	71	71	12	16
November	624.8	614.7	12	638.5	27	0.6	1.6	0.4	0.7	−7.2	29	9.8	6	76	77	76	76	15	28
Dezember	629.6	614.2	29	638.3	21	0.0	1.0	0.6	0.5	−9.2	11	8.2	17.18	55	52	51	53	10	1. 6
Jahr	627.9	609.2	II	638.5	XI	3.1	4.9	2.9	3.4	−12.2	III	21.2	VI. VII VIII	75	74	74	74	10	XII

Pilatus-Kulm

Die Abendbeobachtung erfolgt um 20^{30} $\lambda = 8^\circ 10'$, $\beta = 46^\circ 59'$, $H_b = 2038^m$, $G = -0.23$ mm/m, $h_r = 2.0^m$

Januar	587.7	575.0	2	598.3	16	−5.2	−2.5	−5.0	−4.3	−11.8	16	7.0	6	83	78	80	80	22	9
Februar	585.1	571.1	5	590.5	28	−7.1	−3.9	−6.8	−6.1	−13.0	28	2.4	9	83	82	84	83	31	17
März	585.9	575.0	8. 9	595.2	21.22	−6.2	−2.5	−5.7	−5.0	−15.0	1	3.6	23	78	73	77	76	22	22
April	591.8	583.1	9	596.9	15	−2.3	1.9	−2.2	−1.2	−9.0	4	8.0	25. 24 26	74	71	82	76	24	24
Mai	590.7	583.7	10	600.2	24	1.7	4.4	1.7	2.2	−4.2	15	14.0	26	71	72	80	74	35	25
Juni	595.6	587.7	8	602.4	14	5.6	7.9	5.6	5.9	0.2	1	17.0	22	76	77	83	79	34	14
Juli	598.1	592.8	23	601.3	27	8.3	12.7	8.7	9.4	2.0	25	21.0	31	69	69	82	73	21	29
August	595.9	588.4	9	600.0	2	7.9	11.5	7.6	8.6	2.2	10	19.8	3	72	66	80	73	29	12
September	596.7	592.0	30	601.0	4	7.1	10.6	6.9	7.9	0.0	20	18.9	13	66	67	71	68	15	20.21
Oktober	593.9	589.0	23	597.9	3. 16	1.9	5.5	2.0	2.9	−6.0	23	10.9	2	56	49	59	55	14	8
November	588.9	577.3	12	601.7	27	−1.4	0.7	−0.9	−0.7	−10.0	29	6.8	7. 10	72	67	68	69	19	17
Dezember	593.8	577.9	29	602.1	21	−2.8	0.1	−2.1	−1.7	−11.8	11	6.4	21	60	54	56	57	8	5
Jahr	592.0	571.1	II	602.4	VI	0.6	3.9	0.8	1.5	−15.0	III	21.0	VII	72	69	75	72	8	XII

Beobachter: P. C. Merkt

Einsiedeln

Bewölkung				Niederschlag			Zahl der Tage								Windverteilung								1951
7^{30}	13^{30}	21^{30}	Mittel	Summe	Maximum	Tag	● *	●* >1.0	*	▲	⛆	≡	heiter	trüb	N	NE	E	SE	S	SW	W	NW	Calmen	
7.1	7.5	6.3	7.0	158	37	20	13	12	9	—	—	3	4	18	—	3	—	1	5	9	12	6	57	Januar
8.0	7.0	6.7	7.2	158	48	11	17	16	16	—	—	1	—	11	1	1	1	8	6	13	1	6	47	Februar
7.9	7.6	5.8	7.1	194	49	27	17	16	12	—	1	—	2	15	3	1	2	1	6	19	4	9	48	März
6.6	6.2	5.9	6.2	128	21	29	15	15	10	1	1	—	7	12	5	6	*1	1	3	4	12	10	48	April
6.6	8.0	7.2	7.3	148	31	10	15	13	1	—	2	1	2	15	10	10	3	4	3	5	2	10	46	Mai
6.7	7.2	7.3	7.1	132	31	23	19	14	—	—	2	—	2	15	10	3	1	3	4	3	4	19	43	Juni
4.1	4.8	5.2	4.7	204	39	15	14	12	—	—	5	—	11	7	20	3	—	3	3	2	2	14	56	Juli
5.1	6.1	6.1	5.8	144	26	31	14	14	—	—	2	2	4	10	13	4	—	1	—	3	6	8	58	August
5.5	5.6	5.8	5.6	129	25	14	11	11	—	—	1	—	7	9	9	3	1	—	1	—	3	9	64	September
6.9	6.8	7.0	6.9	54	35	22	6	4	3	—	—	8	3	15	10	2	2	2	2	1	2	6	66	Oktober
7.5	7.5	6.5	7.2	172	27	14	18	18	6	—	—	1	2	13	2	—	—	1	2	17	18	1	49	November
3.6	3.9	3.0	3.5	90	23	9	13	13	9	—	—	—	17	7	1	—	—	1	5	6	4	3	73	Dezember
6.3	6.5	6.1	6.3	1711	49	III	172	158	66	1	14	16	61	147	74	36	11	26	40	82	70	101	655	Jahr

Zentralschweiz

Beobachter: Kloster Wesemlin

Luzern

8.7	8.3	8.3	8.4	45	10	17	11	8	4	—	—	7	2	23	16	8	1	6	2	—	7	4	49	Januar
8.0	7.8	7.7	7.8	86	31	11	14	11	3	—	—	4	1	14	21	3	1	12	3	1	—	6	37	Februar
8.5	8.0	6.2	7.6	93	22	27	16	16	3	—	—	2	—	14	17	6	9	18	2	—	3	7	31	März
6.9	6.3	7.2	6.8	75	16	29	16	14	2	—	1	1	4	15	16	3	4	20	1	—	4	10	32	April
7.6	7.4	7.4	7.5	105	23	10	18	16	—	—	2	3	1	15	13	5	4	25	1	—	—	6	39	Mai
7.7	7.0	7.0	7.2	176	28	23	17	15	—	2	3	3	1	14	3	4	1	23	2	—	1	4	52	Juni
5.2	4.9	5.0	5.0	215	60	15	13	12	—	—	5	2	6	7	6	3	—	15	—	—	1	5	63	Juli
6.2	6.5	5.8	6.2	139	26	21	15	13	—	—	2	4	2	7	9	5	2	15	—	—	1	9	52	August
8.0	6.1	6.1	6.7	118	28	7	11	11	—	—	1	7	2	11	15	5	2	11	—	—	—	3	54	September
9.5	8.0	6.7	8.1	59	42	22	6	5	2	—	—	18	—	18	17	5	—	1	1	1	—	3	65	Oktober
8.6	8.4	7.1	8.0	95	13	23	17	17	1	—	—	6	—	19	16	6	3	10	2	1	4	7	41	November
7.8	6.6	6.7	7.0	56	14	2	12	11	5	—	—	20	3	12	11	3	1	7	—	—	2	1	68	Dezember
7.7	7.1	6.8	7.2	1262	60	VII	166	149	20	2	14	77	22	169	160	56	28	163	14	3	23	65	583	Jahr

Beobachter: A. Gerner

Rigi-Staffel

7.4	6.9	7.0	7.1	109	18	3	10	10	10	—	—	9	2	15	—	—	17	2	1	3	42	2	26	Januar
7.2	7.1	7.0	7.1	152	42	11	11	11	11	—	—	7	1	13	—	—	22	1	2	2	35	—	22	Februar
7.8	7.3	8.0	7.7	237	32	28	16	16	13	—	—	8	2	18	—	3	21	4	-	1	45	6	13	März
6.3	6.0	5.0	5.8	81	15	28	*15	*14	*11	—	—	9	6	10	—	—	16	3	—	6	42	6	17	April
7.4	9.0	8.5	8.3	118	*20	14	14	14	2	—	—	8	—	21	2	7	9	18	1	8	22	14	12	Mai
7.2	8.4	7.5	7.7	258	*60	23	18	18	—	—	8	11	1	18	1	6	4	5	—	4	46	15	9	Juni
4.6	6.4	6.5	5.8	223	50	24	12	12	—	-	6	8	5	12	—	5	10	8		1	19	39	11	Juli
6.7	7.8	7.7	7.4	206	45	4	14	14	—	—	3	9	2	18	6	4	20	9	—	10	27	11	6	August
6.0	6.0	7.6	6.5	139	26	26	11	11	—	—	1	10	3	15	1	7	11	5	—	2	30	22	12	September
5.7	6.4	6.8	6.3	53	?	—	5	5	2	—	—	12	5	15	—	11	33	12	4	8	14	1	10	Oktober
7.9	8.0	9.1	8.3	186	25	1	16	16	11	—	—	5	1	21	4	3	12	20	—	3	32	16	—	November
5.3	5.0	6.0	5.4	121	26	2	10	10	10	—	—	4	9	11	4	2	18	1	—	2	60	6	—	Dezember
6.6	7.0	7.2	6.9	1883	*60	VI	152	151	70	—	18	100	37	187	18	48	193	88	8	50	414	138	138	Jahr

Beobachter: Pilatusbahn

Pilatus-Kulm

6.3	6.7	6.2	6.4	96	26	18	12	12	12	—	—	16	5	13	9	1	1	3	4	39	28	2	7	Januar
7.8	7.4	6.3	7.2	106	28	11	17	15	17	—	—	18	2	11	14	1	2	1	4	19	35	5	3	Februar
7.3	7.9	5.5	6.9	167	33	20	18	17	16	—	—	15	4	15	14	1	3	—	8	19	37	3	8	März
6.1	6.5	6.3	6.3	86	20	29	15	14	13	—	—	17	6	13	12	—	1	9	11	22	28	1	6	April
6.1	7.9	6.5	6.8	167	45	10	16	16	10	1	1	15	1	11	10	8	—	8	5	23	12	5	22	Mai
6.7	8.0	7.4	7.4	171	24	23	20	19	3	1	4	16	3	15	3	6	1	19	7	25	7	1	21	Juni
4.5	6.3	5.8	5.5	200	53	15	16	16	—	—	5	16	5	10	6	8	—	10	7	21	6	11	24	Juli
5.1	7.3	5.2	5.9	198	44	21	18	16	—	1	3	17	3	8	2	4	1	3	1	27	14	17	24	August
5.7	5.4	5.6	5.5	103	24	28	13	11	2	—	1	14	9	13	4	3	2	11	2	19	12	7	30	September
4.0	3.9	2.9	3.6	37	23	22	5	5	3	—	—	3	15	7	4	5	—	3	2	12	8	4	55	Oktober
7.6	7.9	7.9	7.8	143	28	26	18	18	18	—	—	16	1	18	1	2	—	2	15	29	22	13	6	November
4.2	4.8	4.1	4.4	80	19	3	13	13	13	—	—	11	14	6	4	4	4	6	2	29	34	6	4	Dezember
5.9	6.7	5.8	6.1	1554	53	VII	181	172	107	3	14	174	68	140	83	43	15	75	68	283	243	75	210	Jahr

Sarnen

$\lambda = 8°\,15'$, $\beta = 46°\,54'$, $H_b = 479^m$, $G = -0.03$ ‰, $h_r = 1.7^m$

1951	Luftdruck					Luft-Temperatur								Relative Feuchtigkeit					
	Mittel	Minimum	Tag	Maximum	Tag	7^{30}	13^{30}	21^{30}	Mittel	Minimum	Tag	Maximum	Tag	7^{30}	13^{30}	21^{30}	Mittel	Minimum	Tag
Januar	717.4	700.0	2	732.8	16	−0.7	2.7	1.0	1.0	−8.6	10	8.6	18	94	80	87	87	51	18
Februar	714.7	696.2	5	724.4	28	0.9	4.9	1.7	2.3	−3.2	17	12.6	11	88	65	83	79	30	21
März	715.1	700.9	8	730.3	21	1.3	7.0	3.5	3.8	−4.6	2	18.0	23	87	56	76	73	27	23
April	720.2	711.7	9	727.6	15	5.7	12.4	7.8	8.4	0.4	1	19.6	25	86	50	74	70	32	16.
Mai	716.8	709.9	10	722.5	23	10.3	16.2	11.3	12.3	1.8	1	25.6	25	84	54	80	73	35	19
Juni	720.8	711.5	8	727.3	13	14.3	19.5	15.0	16.0	11.2	3	27.4	15	83	56	83	74	40	12.
Juli	722.6	717.4	11	726.7	27	16.2	21.9	17.5	18.3	12.0	16	27.6	30	83	55	81	73	41	11
August	720.2	712.4	8	724.9	22	15.1	20.9	16.6	17.3	10.6	17	26.6	2	92	60	86	79	43	18
September	721.9	716.8	13	727.4	4	12.7	18.5	14.3	15.0	6.1	20	24.5	13	95	63	89	82	45	3
Oktober	721.3	715.9	31	725.9	15	6.7	11.6	7.9	8.5	1.6	13.23	17.2	2. 4	95	66	91	84	51	13
November	716.4	701.1	8	734.1	27	5.1	8.8	6.0	6.5	−0.4	27	16.8	8	92	69	84	81	35	18
Dezember	723.6	706.3	29	732.4	21	−1.4	2.0	−0.1	0.1	−5.3	13	7.2	10	95	83	92	90	44	10
Jahr	719.3	696.2	II	734.1	XI	7.2	12.2	8.5	9.1	−8.6	I	27.6	VII	90	63	84	79	27	III

Engelberg

Die Abendbeobachtung erfolgt um 20^{30} h. $\lambda = 8°\,25'$, $\beta = 46°\,49'$, $H_b = 1017.8^m$, $G = -0.12$ ‰, $h_r = 1.6^m$

Januar	671.3	655.3	2	684.0	16	−2.4	0.8	−2.0	−1.3	−6.1	9. 10. 14. 27. 28	5.7	12.18	72	59	75	69	19	2
Februar	668.9	651.9	5	676.3	28	−2.2	1.5	−0.8	−0.7	−9.1	28	8.7	11	72	58	65	65	14	21
März	669.3	655.3	8	681.6	21	−1.9	3.3	0.1	0.3	−12.2	4	15.2	23	71	48	63	61	9	2
April	674.5	666.4	9	680.4	15	2.2	8.6	4.5	4.8	−3.8	4	16.1	17.25	69	42	61	57	15	16.
Mai	672.0	660.8	10	677.9	23.24	6.7	12.5	8.8	8.9	0.5	1	23.5	24	73	47	66	62	20	10. 26
Juni	676.3	668.4	8	682.1	13.15	10.9	15.7	12.2	12.4	7.7	25	24.3	15	76	56	75	69	24	1
Juli	678.1	673.4	23	681.5	27	12.0	18.2	14.7	14.5	7.9	27	26.5	11	79	52	72	68	19	1
August	676.0	668.4	8. 9	679.5	22	11.5	17.0	13.7	13.7	6.5	17	22.1	2	82	64	79	75	26	3
September	677.3	673.1	30	681.2	4	9.4	15.0	11.5	11.7	3.1	20	24.1	13	84	59	81	75	30	13.
Oktober	675.8	671.5	31	679.5	15	3.4	8.4	5.3	5.5	−0.9	23	13.2	3	*85	*65	*80	*77	?	—
November	671.2	658.8	8. 12	686.1	27	3.6	5.9	3.7	4.2	−5.5	29	15.3	10	78	69	78	75	24	
Dezember	676.8	660.8	29	684.3	21	−2.6	1.5	−1.6	−1.0	−9.8	29	7.6	9	81	68	79	76	48	1
Jahr	674.0	651.9	II	686.1	XI	4.2	9.0	5.8	6.1	−12.2	III	26.5	VII	77	57	73	69	9	III

Altdorf

$\lambda = 8°\,39'$, $\beta = 46°\,53'$, $H_b = 456.3^m$, $G = -0.05$ ‰, $h_r = 1.5^m$

Januar	719.2	702.0	2	734.4	16	1.1	3.9	1.9	2.2	−3.0	10	10.4	12	90	75	88	84	28	
Februar	716.5	698.4	5	726.2	28	2.5	5.5	3.6	3.8	−1.5	17	12.3	11	84	67	74	75	26	
März	717.0	702.3	8	732.8	21	2.6	7.0	4.0	4.4	−3.8	5	15.2	13	80	58	76	71	27	1
April	722.0	713.9	9	729.4	15	6.8	12.3	8.6	9.1	1.7	1	21.5	25	81	51	72	68	22	2.
Mai	718.5	711.5	10	724.7	23	10.7	16.3	12.2	12.8	4.4	1	25.3	26	87	55	80	74	29	
Juni	722.7	713.9	8	729.4	13	14.2	18.9	15.4	16.0	11.7	2	28.3	15	92	59	87	79	36	2
Juli	724.1	715.0	13	728.3	27	15.7	21.8	17.3	18.0	12.2	27	28.8	11	93	61	89	81	32	1
August	722.3	713.5	8	728.0	22	15.6	20.4	16.6	17.3	11.2	17	27.8	30	94	66	89	83	31	3
September	723.6	718.5	23	729.0	4	12.9	18.2	14.6	15.1	6.5	22	27.2	13	99	67	92	86	30	1
Oktober	723.1	717.5	31	728.0	15	7.3	12.1	8.6	9.1	2.8	27	17.4	2	95	72	91	86	33	3
November	718.4	704.2	8	736.1	27	7.5	10.1	7.9	8.3	−0.5	28	19.8	10	81	65	78	75	29	7.
Dezember	725.4	708.4	29	733.3	11. 19. 22	0.1	3.5	1.1	1.4	−3.6	14	11.1	25	92	80	90	87	30	2
Jahr	721.1	698.4	II	736.1	XI	8.1	12.5	9.3	9.8	−3.8	III	28.8	VII	89	65	84	79	22	I

Göschenen

$\lambda = 8°\,35'$, $\beta = 46°\,40'$, $H_b = 1107.2^m$, $G = -0.16$ ‰, $h_r = 2.7^m$

Januar	663.5	650.2	2	676.3	16	−0.2	1.0	0.0	0.2	−6.2	31	10.0	6	68	66	70	68	35	6.
Februar	661.3	646.5	5	667.6	1	−1.3	1.5	*−0.6	−0.2	−7.6	2	6.8	9	73	61	*68	67	35	1
März	661.7	648.7	8	674.6	21	−0.7	2.6	0.1	0.5	−10.4	2	10.4	23	70	61	68	66	35	2
April	667.0	659.5	9	672.7	15	3.5	7.5	3.8	4.6	−2.2	4	13.6	24	64	56	67	62	36	2
Mai	664.5	656.9	10	671.5	23	7.8	12.2	7.9	9.0	2.2	16	22.2	25	69	54	72	65	36	1. 26
Juni	668.9	660.5	8	676.3	14	11.8	15.9	11.3	12.6	7.8	3. 25	23.8	15	72	60	75	69	36	1
Juli	670.9	665.6	23	674.8	27	13.4	18.5	14.2	15.1	8.2	25	27.0	31	70	60	74	68	37	7.
August	668.8	660.0	9	672.4	21	13.5	17.5	13.4	14.4	8.6	10	25.2	3	70	61	75	69	36	
September	669.9	665.1	30	674.0	4	11.3	15.0	12.2	12.7	4.2	21	22.8	12	72	65	71	69	37	
Oktober	668.5	662.7	31	673.4	16	5.6	9.4	7.3	7.4	−0.4	23	15.2	17	68	63	65	65	34	1
November	664.1	650.9	12	679.1	27	3.8	5.4	4.2	4.4	−5.4	29	11.4	6. 7	69	66	66	67	35	16
Dezember	669.4	653.8	29	677.2	21	1.5	3.0	2.2	2.2	−5.6	4	8.4	19	57	53	55	55	35	7. 24
Jahr	666.5	646.5	II	679.1	XI	5.8	9.1	6.3	6.9	−10.4	III	27.0	VII	69	60	69	66	34	7

Beobachter: P. Ch. Durrer

Sarnen

Bewölkung				Niederschlag			Zahl der Tage								Windverteilung									1951
7^{30}	13^{30}	21^{30}	Mittel	Summe	Maximum	Tag	●	●≥1.0	✶	▲	⛆	≡	heiter	trüb	N	NE	E	SE	S	SW	W	NW	Calmen	
8.5	7.6	7.8	8.0	77	14	17	10	9	3	—	—	7	1	21	—	29	—	—	—	5	—	—	59	Januar
7.7	7.4	7.7	7.6	102	39	11	14	12	9	—	—	1	—	16	—	27	—	—	—	3	—	—	54	Februar
7.8	7.1	6.7	7.2	114	24	9	17	12	6	—	—	—	1	13	—	33	—	—	—	8	—	—	52	März
6.4	5.8	6.0	6.1	74	16	29	15	12	2	—	—	1	3	10	—	33	—	—	—	4	—	—	53	April
6.7	6.9	7.6	7.1	132	33	27	17	16	—	—	1	—	1	11	—	29	—	—	—	—	—	—	64	Mai
6.7	6.6	7.1	6.8	168	31	23	19	17	—	—	2	—	1	9	—	26	—	—	—	5	—	—	59	Juni
5.0	5.4	5.9	5.4	143	48	15	15	13	—	1	3	—	4	6	—	38	—	3	—	—	—	—	52	Juli
5.5	6.4	6.2	6.0	162	36	21	14	14	—	—	2	—	2	9	—	33	—	—	6	—	—	—	54	August
7.6	6.0	6.6	6.7	89	16	13	12	10	—	—	1	3	3	12	—	25	—	—	—	—	—	—	65	September
8.8	6.8	7.9	7.8	60	45	22	4	3	2	—	—	6	1	17	—	25	—	—	—	—	—	—	68	Oktober
7.5	7.4	7.4	7.4	84	19	10	18	16	—	—	—	1	—	12	—	18	—	—	—	6	1	—	65	November
7.9	6.0	7.3	7.1	45	10	9	11	9	3	—	—	15	3	12	—	10	—	—	—	4	—	—	79	Dezember
7.2	6.6	7.0	6.9	1250	48	VII	166	143	25	1	9	34	20	148	—	326	—	3	6	35	1	—	724	Jahr

Beobachter: P. A. Jenny

Engelberg

6.5	7.1	7.7	7.1	163	55	20	13	11	12	—	—	2	4	18	—	2	—	31	—	7	—	14	39	Januar
8.4	7.5	7.4	7.8	163	68	11	14	13	14	—	—	—	—	13	—	4	—	28	—	23	—	3	26	Februar
7.7	8.0	6.8	7.5	168	29	24	20	18	14	—	—	—	2	16	—	8	—	25	—	8	—	22	30	März
6.6	5.9	6.7	6.4	114	32	29	16	14	9	—	—	—	3	13	—	3	—	25	—	13	—	22	27	April
6.4	7.5	7.7	7.2	172	47	27	18	14	1	—	1	1	—	13	—	6	—	27	—	10	—	22	28	Mai
7.0	7.0	8.4	7.5	177	36	23	20	18	—	—	3	1	2	17	—	8	—	22	—	10	—	26	24	Juni
5.0	5.3	7.4	5.9	154	31	15	16	15	—	1	3	1	1	9	—	8	—	29	—	20	—	21	15	Juli
5.3	6.9	6.3	6.2	192	30	21	16	14	—	—	1	—	5	11	—	8	—	16	—	28	—	13	28	August
5.2	5.6	6.4	5.7	108	23	14	13	12	—	—	2	1	6	9	—	6	—	14	—	15	—	28	32	September
6.4	5.7	7.1	6.4	82	63	22	4	4	2	—	—	6	3	10	—	4	—	16	—	4	—	28	41	Oktober
6.7	7.8	7.8	7.4	184	38	10	19	17	8	—	—	1	1	14	—	2	—	33	—	11	—	10	34	November
3.7	4.2	3.6	3.8	64	16	9	12	12	11	—	—	—	14	6	—	1	—	28	—	14	—	2	48	Dezember
6.2	6.5	6.9	6.5	1741	68	II	181	162	71	1	10	13	41	149	—	60	—	294	—	158	—	211	372	Jahr

Beobachter: Frl. H. Nager

Altdorf

9.0	8.3	8.8	8.7	134	34	19	10	9	6	—	—	2	—	22	—	3	—	4	2	—	—	10	74	Januar
9.5	7.1	7.8	8.1	186	94	11	12	12	7	—	—	—	—	15	1	1	1	5	7	—	1	11	57	Februar
8.9	7.3	6.7	7.6	118	26	27	15	13	6	—	—	—	—	16	2	1	2	2	3	—	1	17	65	März
6.1	5.7	6.8	6.2	86	26	28	10	9	2	—	—	—	5	13	—	—	—	6	3	—	3	16	62	April
6.8	7.1	6.9	6.9	124	45	27	14	13	—	—	—	—	1	10	2	1	2	4	3	1	1	15	64	Mai
7.1	7.3	8.1	7.5	130	26	23	21	20	—	—	1	—	2	16	1	—	3	4	—	—	1	17	64	Juni
4.8	5.5	6.8	5.7	113	38	15	13	13	—	—	4	—	5	9	1	—	—	1	1	—	1	18	71	Juli
5.3	6.2	5.4	5.6	165	33	7	16	15	—	—	4	—	7	9	2	—	1	4	3	—	—	16	67	August
5.4	5.6	5.7	5.6	58	16	26	11	10	—	—	—	—	7	7	2	—	—	2	1	—	—	12	73	September
7.8	6.7	6.3	6.9	52	42	22	4	4	2	—	—	—	1	9	—	—	1	2	—	—	3	12	75	Oktober
8.5	7.9	7.0	7.8	160	30	10	19	18	1	—	—	—	1	18	2	—	6	11	5	1	—	3	62	November
6.6	6.5	7.0	6.7	46	13	9	12	8	2	—	—	9	4	13	1	1	1	—	2	—	1	5	82	Dezember
7.1	6.8	6.9	6.9	1372	94	II	157	144	26	—	9	11	33	157	14	7	17	45	30	2	12	152	816	Jahr

Beobachter: O. Lendenmann

Göschenen

6.9	7.2	6.2	6.8	204	85	20	14	12	12	—	—	5	3	15	7	—	—	1	50	—	—	—	35	Januar
8.5	7.4	6.8	7.6	266	118	11	16	12	13	—	—	—	1	13	8	—	—	—	35	—	—	—	41	Februar
8.2	7.6	5.6	7.1	138	39	13	16	13	11	—	—	—	2	15	12	—	—	1	44	—	—	—	36	März
6.4	5.5	6.0	6.0	123	41	28	12	10	8	—	—	2	5	13	6	—	—	1	47	—	1	—	35	April
7.3	7.4	5.4	6.7	134	49	27	16	9	—	—	—	3	3	13	8	1	—	1	45	—	—	1	37	Mai
7.2	6.8	6.3	6.7	134	41	23	22	17	—	—	1	1	4	14	19	1	—	—	26	—	—	—	44	Juni
4.6	5.6	5.1	5.1	88	19	15	15	13	—	—	4	3	10	9	23	—	—	1	34	—	—	—	35	Juli
5.9	7.3	5.0	6.1	187	38	21	16	13	—	—	3	3	3	9	13	—	—	—	37	—	—	1	42	August
5.8	6.0	4.2	5.3	46	16	26	10	8	—	—	—	6	9	11	11	—	—	—	29	—	—	—	50	September
5.3	5.6	3.4	4.8	75	59	22	4	3	3	—	—	4	6	7	6	—	—	—	43	—	—	—	44	Oktober
8.3	8.4	6.3	7.7	324	78	19	21	20	7	—	—	3	3	18	11	—	—	—	46	—	—	—	33	November
3.7	4.5	3.2	3.8	29	5	26	10	9	8	—	—	—	11	4	7	1	—	1	52	1	—	—	31	Dezember
6.5	6.6	5.3	6.1	1748	118	II	172	139	62	—	8	30	60	141	131	3	—	6	488	1	1	2	463	Jahr

St. Gotthard

$\lambda = 8^\circ 34'$, $\beta = 46^\circ 33'$, $H_b = 2095^m$, $G = -0.25$ mm, $h_r = 1.8^m$

1951	Luftdruck					Luft-Temperatur								Relative Feuchtigkeit					
	Mittel	Minimum	Tag	Maximum	Tag	7^{30}	13^{30}	21^{30}	Mittel	Minimum	Tag	Maximum	Tag	7^{30}	13^{30}	21^{30}	Mittel	Minimum	Tag
Januar	—	—	—	—	—	-7.2	-5.1	-7.0	-6.6	-13.8	1	2.5	6	84	84	88	85	21	9
Februar			—			-8.3	-5.3	-8.2	-7.5	-13.8	28	-0.2	19	92	76	88	85	14	21
März	—	—	—	—	—	-7.2	-4.5	-6.4	-6.1	-15.9	2	2.3	17	89	81	91	87	35	5
April	—	—	—	—	—	-4.0	0.0	-3.3	-2.6	-10.9	4	6.9	24	90	78	93	87	24	13
Mai	—	—	—	—	—	0.2	2.9	0.6	1.1	-5.0	16	8.5	24	90	78	93	87	40	23
Juni	—	—	—	—	—	4.1	7.8	4.2	5.1	0.0	25	14.4	15	86	65	93	81	22	15
Juli	—	—	—	—	—	6.8	11.7	7.5	8.4	1.1	25	18.5	29	84	60	92	79	29	28
August	—	—	—	—	—	7.0	10.6	7.2	8.0	2.4	10.11	17.4	2	90	73	91	85	36	5. 1
September	—	—	—	—	—	5.3	9.6	6.2	6.8	-1.8	20	15.8	9	91	70	93	85	14	4
Oktober	—	—	—	—	—	-0.5	3.3	0.3	0.8	-6.0	23	11.2	3	88	73	92	84	17	17
November	—	—	—	—	—	-3.5	-2.0	-3.0	-2.9	-11.2	29	1.9	16.25	86	83	80	83	13	27
Dezember	—	—	—	—	—	-4.9	-2.3	-4.5	-4.1	-14.0	11	3.3	17	56	57	61	58	3	12
Jahr	—	—	—	—	—	-1.0	2.2	-0.5	0.0	-15.9	III	18.5	VII	85	73	88	82	3	XI

Jura

Basel (Binningen)

$\lambda = 7^\circ 35'$, $\beta = 47^\circ 33'$, $H_b = 317.3^m$, $G = 0.11$ mm, $h_r = 1.5^m$

Januar	731.6	714.6	2	747.2	16	1.4	4.6	2.0	2.5	-3.5	10	9.9	15	91	80	90	87	60	14
Februar	728.7	711.7	4	739.6	28	1.3	6.5	3.1	3.5	-2.1	7	11.5	9	93	72	86	84	45	20
März	729.4	715.6	8	744.0	21	2.2	7.7	4.4	4.7	-4.2	1	18.9	23	86	64	80	77	30	23
April	734.3	724.9	9	742.1	15	6.6	13.9	8.0	9.1	1.6	4	23.4	25	81	57	72	70	39	25
Mai	731.0	725.1	8	736.3	1	10.3	16.5	11.3	12.4	6.3	15	29.2	24	87	68	86	80	41	1
Juni	734.7	726.2	8	740.9	13	14.7	20.3	15.1	16.3	10.7	19	29.8	14	84	66	85	78	42	14
Juli	736.4	730.7	23	740.6	27	16.1	23.0	17.1	18.3	10.8	1	31.6	31	84	62	85	77	41	4. 7
August	733.9	725.0	8	739.2	22	15.4	22.0	16.1	17.4	11.3	24	30.2	30	87	64	89	80	43	18
September	735.7	731.1	13. 23	741.2	4	12.8	20.1	14.4	15.4	5.8	21	28.4	11	92	68	91	84	46	20
Oktober	735.5	729.8	31	740.3	16	6.1	12.6	7.7	8.5	0.2	11	18.4	1	95	73	91	86	46	13
November	730.4	716.5	8	748.9	27	5.1	9.4	6.2	6.7	-2.5	28	16.4	7	90	72	88	83	48	4. 9
Dezember	737.4	722.8	29	746.5	21	-0.5	4.2	1.0	1.4	-6.0	12	9.8	5	93	74	90	86	47	12
Jahr	733.2	711.7	II	748.9	XI	7.6	13.4	8.9	9.7	-6.0	XII	31.6	VII	89	68	86	81	30	III

Porrentruy

$\lambda = 7^\circ 5'$, $\beta = 47^\circ 25'$, $H_b = 443.7^m$, $G = 0.09$ mm, $h_r = 1.5^m$

Januar	719.7	703.1	2	735.3	16	1.9	4.1	1.8	2.4	-3.9	10	9.6	11	93	80	96	90	48	11
Februar	716.9	699.8	4	727.5	28	1.2	5.5	3.0	3.2	-2.0	7	10.4	9	96	70	89	85	42	17
März	717.5	703.7	8	732.3	21	1.7	6.4	3.8	3.9	-7.4	3	16.6	23	89	63	85	79	22	23
April	722.7	712.9	9	730.3	15	5.1	11.7	7.0	7.7	-2.1	4	18.0	17	85	50	79	71	27	16
Mai	719.5	713.2	8	724.3	23	9.1	14.8	10.7	11.3	2.4	1	25.4	24	93	59	88	80	32	1. 2
Juni	723.3	714.5	8	729.9	13	13.7	18.4	14.8	15.4	10.2	4	25.0	15	90	62	87	80	40	12. 27
Juli	725.2	718.8	23	729.2	27	14.9	20.8	16.8	17.3	11.8	18	27.2	31	86	52	84	74	35	18.
August	722.6	712.9	8	728.1	21	14.1	20.5	15.8	16.5	9.8	24	25.1	6	78	47	74	66	26	6
September	724.4	719.1	25	729.8	3	12.0	17.9	13.8	14.4	4.2	22	25.4	12	82	53	82	72	36	8
Oktober	723.9	718.2	31	728.6	15	5.3	11.4	7.0	7.7	-1.1	12	16.4	1	97	76	96	90	52	28
November	718.7	705.3	8	736.8	27	4.5	8.6	5.4	6.0	-2.9	28	14.5	7	97	76	92	88	50	16
Dezember	725.6	708.1	29	734.5	21	-0.5	4.9	1.4	1.8	-5.8	13	10.9	25	95	75	94	88	48	13
Jahr	721.7	699.8	II	736.8	XI	6.9	12.1	8.4	9.0	-7.4	III	27.2	VII	90	64	87	80	22	II

La Chaux-de-Fonds

$\lambda = 6^\circ 50'$, $\beta = 47^\circ 7'$, $H_b = 989.9^m$, $G = -0.03$ mm, $h_r = 1.3^m$

Januar	673.0	657.4	2	686.2	16	-1.4	1.4	-1.0	-0.5	-9.2	4	7.9	6	90	88	90	89	—	—
Februar	670.3	654.5	5	678.9	28	-1.8	1.8	-0.4	-0.2	-7.3	7	8.8	9	87	81	83	84	—	—
März	671.0	656.9	8	685.8	22	-1.9	3.1	0.0	0.3	-10.1	5	12.9	23	88	*82	87	86	—	—
April	676.3	667.4	9	686.8	15	3.6	8.7	4.6	5.4	-2.1	4	18.1	25	*80	*70	*78	*76	—	—
Mai	673.7	667.8	8	680.0	23	7.7	11.8	8.0	8.9	1.8	15	24.1	24	85	68	90	81	32	22
Juni	678.0	669.6	8	684.4	13	11.7	16.2	12.4	13.2	7.3	27	24.5	14	86	66	88	80	34	14
Juli	680.1	674.2	23	683.5	27	13.7	18.8	14.5	15.4	7.4	16	28.3	31	82	65	85	77	40	22
August	677.5	668.9	8	682.0	22	12.8	18.3	13.3	14.4	9.3	10	25.1	3	87	65	89	80	40	3
September	678.9	674.3	25. 30	683.6	4	10.5	16.5	11.8	12.7	3.6	20	24.7	12	92	66	93	84	45	12
Oktober	677.3	672.9	19	681.6	16	4.5	11.0	6.2	7.0	-1.6	11	16.7	1. 2	94	67	91	84	42	1
November	672.8	660.7	8	688.0	27	3.0	6.6	3.6	4.2	-3.9	29	13.8	6	88	72	86	82	41	6
Dezember	678.5	661.4	29	687.0	21	-2.0	4.0	-0.2	0.4	-7.5	4	10.9	20	86	69	86	80	32	12
Jahr	675.6	654.5	II	688.0	XI	5.0	9.9	6.1	6.8	-10.1	III	28.3	VII	87	72	87	82	—	—

Beobachter: E. Chiesa

St. Gotthard

Bewölkung				Niederschlag			Zahl der Tage								Windverteilung								1951
7^{30}	13^{30}	21^{30}	Mittel	Summe	Maximum	Tag	•	•* ≥1.0	*	▲	⛆	≡	heiter	trüb	N	NE	E	SE	S	SW	W	NW	Calmen	
6.5	7.5	6.5	6.8	225	33	2	16	16	16	—	—	18	3	16	—	—	—	31	—	—	—	40	22	Januar
8.2	6.1	7.3	7.2	*400	?	—	*18	*18	*18	—	—	15	1	15	—	—	—	32	—	—	—	29	23	Februar
7.6	7.5	6.2	7.1	184	24	27	10	16	16	—	—	20	2	16	—	—	—	25	—	—	—	39	29	März
6.2	5.5	6.1	5.9	217	49	29	11	11	10	—	—	18	3	11	—	—	—	33	—	—	—	43	14	April
7.6	7.6	7.1	7.4	294	97	27	17	16	15	—	—	19	2	18	—	—	—	35	—	—	—	31	27	Mai
6.0	5.5	7.4	6.3	224	84	23	15	12	3	1	4	15	5	14	—	—	—	17	—	—	—	51	22	Juni
4.8	4.6	6.7	5.4	98	14	15	14	14	—	2	6	15	10	14	—	—	—	13	—	—	—	49	31	Juli
7.0	7.1	7.2	7.1	343	75	7	19	19	—	1	2	25	2	14	—	—	—	38	—	—	—	31	24	August
4.9	4.8	6.3	5.3	65	18	26	12	12	1	—	—	21	8	10	—	—	—	13	—	—	—	32	45	September
6.9	6.7	7.4	7.0	150	59	22	8	8	6	—	—	23	3	15	—	—	—	36	—	—	—	14	43	Oktober
8.0	7.9	5.7	7.2	508	68	10	24	22	24	—	—	14	4	16	—	—	—	37	—	—	—	36	17	November
2.5	2.9	2.9	2.8	18	6	25	6	6	6	—	—	6	18	5	—	—	—	20	—	—	—	48	25	Dezember
6.4	6.1	6.4	6.3	2726	97	V	176	170	115	4	12	209	61	164	—	—	—	330	—	—	—	443	322	Jahr

Jura

Beobachter: Astronom.-Meteorolog. Anstalt

Basel (Binningen)

8.7	8.8	7.2	8.2	34	8	12	13	9	3	—	—	3	—	19	2	7	27	12	3	12	12	7	11	Januar
8.4	8.1	6.8	7.8	57	11	21	14	11	4	—	—	4	—	13	1	6	25	10	3	12	11	5	11	Februar
7.9	8.2	6.9	7.7	70	16	27	14	10	3	—	—	—	2	18	4	8	24	8	6	14	11	9	9	März
6.3	6.0	5.2	5.8	64	18	20	13	9	—	—	1	—	6	10	4	5	17	7	9	15	15	13	5	April
7.3	7.6	6.7	7.2	86	17	27	17	13	—	—	2	1	2	16	6	10	13	6	6	18	14	13	7	Mai
7.3	6.9	6.8	7.0	95	20	8	18	18	—	—	9	2	3	16	3	7	9	10	8	13	10	15	15	Juni
5.4	4.7	5.0	5.0	205	46	31	9	9	—	4	8	2	8	7	3	5	9	13	3	21	9	21	9	Juli
6.9	6.4	6.5	6.6	111	30	20	13	13	—	—	5	1	3	13	4	3	14	14	9	7	12	10	20	August
7.7	6.0	5.2	6.3	65	14	23	11	9	—	—	1	9	3	12	4	6	18	13	12	12	12	3	10	September
7.9	5.6	5.6	6.4	58	41	22	6	5	—	—	—	13	4	15	4	7	22	8	5	4	6	16	21	Oktober
8.4	8.1	7.2	7.9	85	18	11	20	15	—	—	—	2	—	15	1	3	22	15	5	2	21	5	16	November
5.0	5.8	3.8	4.9	39	7	2	14	10	3	—	—	6	7	8	1	2	41	17	8	7	7	2	8	Dezember
7.3	6.8	6.1	6.7	969	46	VII	162	131	13	4	26	43	38	162	37	69	241	133	77	137	140	119	142	Jahr

Beobachter: Ecole normale des Instituteurs

Porrentruy

7.7	8.4	7.2	7.8	87	12	20	18	12	3	—	—	11	2	18	2	7	—	—	—	10	37	4	33	Januar
7.9	7.8	7.0	7.6	76	25	17	15	12	7	—	—	8	—	12	3	21	1	—	1	16	26	4	12	Februar
7.0	7.5	5.7	6.7	120	22	27	18	15	3	—	—	2	3	13	3	26	—	1	1	8	36	4	14	März
6.2	6.5	4.4	5.7	80	13	20	14	11	2	—	2	3	5	11	9	17	—	—	—	6	30	10	18	April
7.0	8.1	6.5	7.2	114	16	31	21	18	—		4	3	1	14	5	28	—	—		2	25	20	13	Mai
7.4	6.8	5.8	6.7	148	29	8	18	17	—	—	5	2	3	13	6	20	1	—	1	1	26	12	23	Juni
4.3	4.9	4.6	4.6	156	43	11	12	10	—	—	4	2	10	6	5	27	—	—	—	—	18	14	29	Juli
6.2	6.9	5.4	6.2	108	32	20	14	13	—	1	3	—	4	11	4	15	2	1	—	1	27	14	29	August
7.0	5.7	4.8	5.8	57	17	23	11	9	—	—	—	9	5	9	5	21	—	—	—	2	26	19	17	September
7.1	5.8	5.8	6.2	62	31	22	9	7	—	—	—	16	6	11	8	56	—	—	—	—	8	3	18	Oktober
8.0	7.7	8.1	7.9	163	39	11	21	20	—	—	—	11	—	16	4	16	—	—	—	2	35	18	15	November
4.9	5.2	4.6	4.9	64	14	25	12	9	3	—	—	8	13	10	2	6	—	2	—	6	32	3	42	Dezember
6.7	6.8	5.8	6.4	1235	43	VII	183	153	18	1	18	75	52	144	56	260	4	4	3	54	326	125	263	Jahr

Beobachter: Police locale

La Chaux-de-Fonds

7.2	7.9	7.0	7.4	134	29	15	11	10	7	—	—	5	2	18	—	1	—	1	—	22	2	1	66	Januar
8.0	7.2	7.0	7.6	122	22	17	17	15	16	—	—	—	1	14	1	2	—	—	—	18	2	1	60	Februar
7.3	6.9	6.0	6.7	150	23	13	18	17	14	—	—	—	4	16	1	2	—	—	1	25	1	1	62	März
8.0	6.3	5.2	5.7	64	12	7	16	14	8	1	1	1	7	11	—	1	—	—	1	12	1	2	73	April
6.2	7.9	5.8	6.6	121	22	26	22	21	2	1	1	6	1	11	—	6	—	1	2	9	—	2	73	Mai
6.2	7.2	5.1	6.2	175	27	17	18	17	—	1	4	—	3	9	—	3	—	—	—	12	1	—	74	Juni
5.7	5.2	4.7	4.5	140	35	13	12	11	—	1	5	—	12	8	1	2	—	—	—	4	—	4	82	Juli
6.1	6.9	4.8	5.9	130	33	7	16	15	—	1	2	2	3	9	—	1	—	—	1	5	2	—	84	August
5.4	5.9	4.4	5.2	91	27	23	10	9	—	—	1	—	8	8	—	1	—	—	1	4	1	1	82	September
5.2	5.0	4.6	4.9	59	26	22	7	7	2	—	—	3	10	8	—	2	1	2	—	5	—	—	83	Oktober
7.9	7.3	6.8	7.3	209	27	11	20	20	11	—	—	3	1	15	—	1	—	—	—	16	1	3	69	November
4.2	4.5	4.1	4.3	61	21	9	11	11	9	—	—	1	15	9	—	—	1	—	—	17	1	—	74	Dezember
6.1	6.5	5.5	6.0	1456	35	VII	178	167	69	5	14	21	67	136	3	22	2	4	6	149	12	15	882	Jahr

Chasseron

$\lambda = 6° 32'$, $\beta = 46° 51'$, $H_b = 1589^m$, $G = -0.13$ $^m/_m$, $h_r = 1.5^m$

1951	Luftdruck					Luft-Temperatur								Relative Feuchtigkeit					
	Mittel	Minimum	Tag	Maximum	Tag	7^{30}	13^{30}	21^{30}	Mittel	Minimum	Tag	Maximum	Tag	7^{30}	13^{30}	21^{30}	Mittel	Minimum	Tag
Januar	624.3	609.5	2	636.4	16	-3.1	-1.9	-3.1	-2.8	-8.8	4	7.2	6	86	82	85	84	28	6
Februar	621.6	607.0	5	628.3	28	-4.8	-3.1	-4.1	-4.2	-10.3	28	2.6	9	91	89	90	90	60	17
März	622.5	610.1	8	632.5	22	-4.3	-1.9	-3.1	-3.3	-12.2	1	8.2	23	87	87	89	88	36	22
April	628.2	618.5	9	633.6	15	-0.3	2.5	0.5	0.6	-0.2	12	11.7	23	88	80	84	84	46	16
Mai	626.5	620.0	10	634.1	24	3.2	5.8	4.1	4.0	-2.2	15	15.8	24	89	82	87	86	53	19
Juni	631.2	622.8	8	637.4	13	7.3	9.9	8.1	7.9	2.4	1	19.9	14	89	84	89	87	26	14
Juli	633.5	628.2	23	636.7	27	10.1	13.1	10.5	11.0	3.2	25	20.9	31	85	79	89	84	48	29
August	631.2	623.0	8	634.7	2	9.1	11.9	9.6	10.0	5.3	10	19.3	30	86	83	88	86	47	19
September	632.1	627.1	30	636.4	4	7.9	11.0	8.6	9.0	1.2	19	18.3	13	89	79	87	85	35	4
Oktober	629.9	624.7	31	633.4	3.15.16	3.4	6.4	3.3	4.1	-4.0	23	14.1	2	82	74	85	80	32	16
November	624.7	614.0	12	638.7	27	0.2	1.3	1.0	0.9	-6.7	29	8.3	7. 30	83	82	78	81	20	27. 30
Dezember	630.1	613.2	29	637.7	21	-0.7	1.1	0.2	0.2	-9.0	11	10.2	19	09	06	67	67	20	5
Jahr	628.0	607.0	II	638.7	XI	2.3	4.7	—	3.1	-12.2	III	20.9	VII	85	81	85	84	20	XI XII

Abendbeobachtung: I—VI 20^{h30}, VII—XII 21^{h30}.

Neuchâtel

$\lambda = 6° 57'$, $\beta = 47° 0'$, $H_b = 487.3^m$, $G = 0.02$ $^m/_m$, $h_r = 1.3^m$

Januar	716.9	700.1	2	731.8	16	0.7	2.6	1.2	1.4	-5.7	4	9.2	21	89	83	88	87	54	3
Februar	714.0	696.7	5	723.9	28	0.9	4.0	2.3	2.4	-2.5	27	8.9	20	91	78	86	85	56	17
März	714.7	699.5	8	728.5	21	1.8	6.1	4.0	4.0	-4.1	3. 5	15.3	23	81	65	75	74	40	21
April	719.5	711.1	9	726.7	15	6.1	12.5	8.6	8.9	1.6	4	21.2	25	77	54	67	66	28	23. 24
Mai	716.2	709.6	10	721.9	24	9.9	16.0	12.0	12.5	4.9	1	25.4	25	85	60	72	72	37	1
Juni	720.3	711.2	8	726.0	13. 14	13.9	19.3	15.2	15.9	11.3	9	27.8	15	87	65	76	76	39	11
Juli	721.9	715.8	23	725.5	27	15.9	23.0	18.2	18.8	12.0	16	29.3	11	84	57	70	70	37	28
August	719.5	710.8	8	724.5	22	15.1	21.0	16.6	17.3	12.5	17	27.6	2	89	66	79	78	32	12
September	721.2	716.7	9	726.2	4	13.0	19.0	15.0	15.5	7.1	21	25.1	11	90	66	80	79	44	4
Oktober	720.6	715.5	19	725.2	16	7.1	12.1	8.0	9.1	2.6	23	18.8	2	93	75	85	84	01	9
November	715.9	701.9	8	733.1	27	5.0	8.2	5.7	6.1	-0.2	27	14.9	7	91	79	85	85	24	28
Dezember	723.0	705.6	29	731.9	21	0.5	2.7	1.6	1.6	-4.5	13	8.5	6	92	83	89	88	52	7
Jahr	718.6	696.7	II	733.1	XI	7.5	12.2	9.1	9.5	-5.7	I	29.3	VII	87	69	79	78	24	XI

Chaumont

$\lambda = 6° 49'$, $\beta = 47° 1'$, $H_b = 1141^m$, $G = -0.06$ $^m/_m$, $h_r = 1.3^m$

Januar	662.2	647.5	2	675.2	16	-1.9	0.1	-1.7	-1.3	-8.4	4	3.8	6	93	90	93	92	52	10
Februar	659.6	644.3	5	667.5	28	-2.3	0.1	-1.6	-1.3	-7.4	28	4.2	9	96	92	94	94	58	17
März	660.3	647.1	8	671.5	21	-2.3	1.0	-0.9	-0.8	-9.2	1	9.2	23	93	83	91	89	38	23
April	665.2	657.4	9	670.4	15	2.5	7.1	3.5	4.1	-2.4	1	17.0	25	87	71	81	80	38	24
Mai	663.2	657.7	8	669.3	24	6.6	10.3	7.3	7.9	0.8	12	21.2	25	91	79	87	85	49	6
Juni	667.1	659.2	8	672.3	13	10.4	14.0	10.8	11.6	6.0	24	21.4	15. 17	94	80	89	88	57	12. 13
Juli	669.1	664.7	23	672.2	27	12.7	17.1	13.2	14.0	6.4	25	24.2	30. 31	91	78	87	85	54	11
August	667.0	659.7	8	670.5	17	11.8	15.8	12.3	13.1	7.4	31	22.4	2	96	86	94	92	50	12
September	668.1	663.9	30	672.1	4	10.0	14.2	11.2	11.7	4.8	20	22.4	13	—	—	—	—	—	—
Oktober	665.1	661.3	31	668.9	16	4.5	9.7	5.3	6.2	0.0	23	16.8	1	95	77	90	87	40	9
November	660.6	651.0	8	674.8	27	2.1	5.3	2.6	3.2	-3.8	29	12.8	7	90	80	87	86	32	28
Dezember	666.2	651.2	29	674.1	21	-0.3	3.0	0.7	1.0	-6.4	11	9.2	21	79	72	77	76	31	11. 15
Jahr	664.5	644.3	II	675.2	I	4.5	8.2	5.2	5.8	-9.2	III	24.2	VII	—	—	—	—	31	XII

Solothurn

$\lambda = 7° 32'$, $\beta = 47° 13'$, $H = 47^m$, $G = —$ $^m/_m$, $h_r = 1.5^m$

Januar	—	—	—	—	—	-0.8	1.9	0.0	0.3	-8.8	4	6.5	21	—	—	—	—	—	—
Februar	—	—	—	—	—	0.4	3.8	1.6	1.9	-3.2	28	9.0	9. 20	—	—	—	—	—	—
März	—	—	—	—	—	1.5	6.5	3.5	3.7	-4.8	3	10.0	23	—	—	—	—	—	—
April	—	—	—	—	—	6.2	13.3	7.7	8.7	0.3	12	22.8	25	—	—	—	—	—	—
Mai	—	—	—	—	—	9.9	17.5	11.8	12.8	1.6	1	28.1	25	—	—	—	—	—	—
Juni	—	—	—	—	—	13.9	20.3	14.7	15.9	10.4	1	28.2	15	—	—	—	—	—	—
Juli	—	—	—	—	—	15.9	24.3	17.6	18.8	12.0	25	32.0	31	—	—	—	—	—	—
Dezember	—	—	—	—	—	14.9	21.9	16.0	17.2	9.4	24	29.0	2	—	—	—	—	—	—
August	—	—	—	—	—	12.3	19.1	13.8	14.7	4.0	20	28.3	12	—	—	—	—	—	—
September	—	—	—	—	—	6.9	12.1	7.4	8.2	-0.2	16	19.8	4	—	—	—	—	—	—
Oktober	—	—	—	—	—	4.4	8.0	4.6	5.4	-1.4	27	15.2	7	—	—	—	—	—	—
November	—	—	—	—	—	-0.8	1.8	0.0	0.3	-5.8	13	7.5	6	—	—	—	—	—	—
Jahr	—	—	—	—	—	7.0	12.5	8.2	9.0	-8.8	I	32.6	VII	—	—	—	—	—	—

obachter: R. Colomb

Chasseron

Bewölkung 7^{30}	13^{30}	21^{30}	Mittel	Niederschlag Summe	Maximum	Tag	Zahl der Tage ●*	●* ≥1.0	*	▲	K	≡	heiter	trüb	Windverteilung N	NE	E	SE	S	SW	W	NW	Calmen	1951
7.4	8.1	7.7	7.7	109	27	15	13	11	12	—	—	20	1	17	7	6	6	6	12	21	24	11	—	Januar
8.6	7.9	8.0	8.2	104	23	17	16	15	16	—	—	23	—	16	4	5	12	7	20	17	17	2	—	Februar
7.1	7.7	7.2	7.3	105	14	27	18	17	16	—	—	21	2	18	6	3	13	13	8	15	26	9	—	März
6.8	7.0	6.3	6.7	91	14	27	16	11	11	—	—	15	5	15	5	4	13	7	10	15	25	11	—	April
7.2	8.1	7.6	7.6	173	29	31	24	21	5	2	4	19	—	15	9	4	16	12	14	11	15	11	1	Mai
7.1	7.6	6.2	7.0	230	32	8	20	19	—	—	3	17	1	12	8	3	11	4	15	8	24	17	—	Juni
4.4	6.1	5.6	5.4	214	42	8	12	9	—	1	6	15	5	8	7	8	21	8	9	7	16	17	—	Juli
7.1	6.8	5.8	6.6	196	36	3	19	17	—	—	4	21	3	12	6	2	13	9	11	12	30	9	1	August
6.3	5.7	6.0	6.0	138	44	23	12	11	—	—	—	18	5	10	9	4	17	8	13	9	12	16	2	September
5.0	5.4	6.0	5.5	53	19	31	7	6	3	—	—	12	7	10	7	4	27	15	9	11	12	7	1	Oktober
7.7	7.2	7.7	7.5	233	26	11	21	19	16	—	—	18	1	14	2	4	6	14	14	9	30	11	—	November
4.7	5.4	5.3	5.1	83	30	9	14	13	14	—	—	13	9	11	8	1	12	11	12	16	20	11	2	Dezember
6.6	6.9	6.6	6.7	1729	44	IX	192	169	93	3	17	212	39	158	78	48	167	114	147	151	251	132	7	Jahr

Beobachter: Observatorium

Neuchâtel

Bewölkung 7^{30}	13^{30}	21^{30}	Mittel	Niederschlag Summe	Maximum	Tag	Zahl der Tage ●*	●* ≥1.0	*	▲	K	≡	heiter	trüb	Windverteilung N	NE	E	SE	S	SW	W	NW	Calmen	1951
9.4	9.4	8.1	9.0	89	17	15	11	9	3	—	—	4	—	25	—	10	3	—	1	15	17	—	47	Januar
9.1	8.2	7.8	8.4	114	17	20	17	14	7	—	—	4	—	17	—	7	1	4	1	22	7	—	42	Februar
8.0	7.1	6.6	7.2	78	17	18	18	13	5	—	—	1	—	16	—	11	5	3	2	27	7	4	34	März
6.4	5.8	5.2	5.8	52	8	7	11	10	1	—	—	1	5	10	2	7	5	2	4	25	6	3	36	April
6.8	6.7	7.0	6.8	71	12	27	17	14	—	—	—	—	1	14	5	15	8	3	4	16	4	2	36	Mai
6.2	6.3	6.6	6.4	118	26	8	20	18	—	—	4	—	5	10	2	8	7	2	4	22	12	2	31	Juni
4.0	4.1	4.3	4.1	88	41	13	10	10	—	—	5	—	13	3	8	3	12	9	4	7	6	7	37	Juli
5.9	6.2	6.0	6.0	117	25	20	16	14	—	1	2	—	5	11	1	6	6	5	6	12	11	3	43	August
7.3	5.1	4.9	5.8	59	28	23	10	7	—	—	1	3	4	9	3	10	4	11	5	6	2	4	45	September
8.6	5.8	5.8	6.7	44	23	22	9	4	—	—	—	3	1	11	1	22	8	12	—	2	1	—	47	Oktober
8.6	7.4	7.2	7.7	126	28	11	21	20	—	—	—	4	2	17	1	3	5	1	3	19	15	1	42	November
9.1	8.3	8.1	8.5	24	8	9	11	5	1	—	—	11	3	25	—	2	2	2	—	15	13	—	59	Dezember
7.5	6.7	6.5	6.9	980	41	VII	171	138	17	1	12	31	39	168	23	104	66	54	34	188	101	26	499	Jahr

Beobachter: Frau B. Pierrehumbert

Chaumont

Bewölkung 7^{30}	13^{30}	21^{30}	Mittel	Niederschlag Summe	Maximum	Tag	Zahl der Tage ●*	●* ≥1.0	*	▲	K	≡	heiter	trüb	Windverteilung N	NE	E	SE	S	SW	W	NW	Calmen	1951
6.9	7.3	6.3	6.8	112	26	15	10	10	9	—	—	7	5	16	1	—	5	1	—	5	13	1	67	Januar
8.1	7.5	7.0	7.5	123	22	17	15	14	15	—	—	10	1	13	—	—	6	1	—	5	9	1	62	Februar
6.8	7.3	7.1	7.1	116	17	19	18	17	15	—	—	7	1	14	—	2	11	—	—	10	14	5	51	März
5.7	5.8	4.9	5.5	65	13	2	12	12	6	—	1	5	5	7	2	1	9	1	1	10	17	1	48	April
7.4	7.1	6.5	7.0	87	15	27	14	14	—	—	1	6	—	12	3	1	21	4	—	2	12	1	49	Mai
6.3	6.4	6.3	6.3	144	24	8	17	17	—	—	1	5	1	10	1	1	9	1	—	2	9	—	67	Juni
3.9	4.7	4.3	4.3	128	36	13	11	11	—	—	5	5	8	4	3	—	15	—	—	—	2	5	68	Juli
6.3	6.5	5.5	6.1	140	32	20	16	16	—	—	2	8	5	9	—	—	2	4	—	7	6	2	72	August
6.0	5.5	4.8	5.4	85	35	23	8	8	—	—	—	8	4	6	3	—	16	—	1	2	5	—	63	September
7.3	6.1	4.9	6.1	50	27	22	9	6	2	—	—	12	4	11	—	—	20	1	—	1	1	—	70	Oktober
7.0	7.4	5.3	6.6	139	23	11	20	19	7	—	—	9	2	9	—	—	6	—	—	4	10	1	69	November
4.4	4.8	4.7	4.6	50	13	9	11	11	8	—	—	2	8	10	1	—	5	1	—	7	3	2	74	Dezember
6.3	6.4	5.6	6.1	1239	36	VII	161	155	62	—	10	84	44	121	14	5	125	14	2	55	101	19	760	Jahr

Beobachter: B. u. G. Glutz

Solothurn

Bewölkung 7^{30}	13^{30}	21^{30}	Mittel	Niederschlag Summe	Maximum	Tag	Zahl der Tage ●*	●* ≥1.0	*	▲	K	≡	heiter	trüb	Windverteilung N	NE	E	SE	S	SW	W	NW	Calmen	1951
9.5	8.7	8.7	9.0	118	25	15	12	12	8	—	—	14	—	24	—	5	5	2	—	1	12	4	64	Januar
9.1	8.5	8.7	8.8	130	20	11	18	13	9	—	—	6	—	20	—	1	3	1	—	—	26	2	51	Februar
8.6	7.0	7.0	7.5	98	19	18	16	13	4	—	—	1	—	16	—	8	5	2	—	6	24	3	45	März
6.4	5.2	4.9	5.5	69	23	26	11	10	—	—	—	1	3	8	—	3	5	3	—	7	13	2	57	April
7.3	6.5	7.0	6.9	86	20	31	17	14	—	1	?	4	2	13	—	9	7	4	—	6	6	2	59	Mai
6.8	5.7	6.6	6.4	165	45	8	17	17	—	—	3	1	1	9	—	2	7	3	—	4	11	7	56	Juni
4.7	4.5	4.7	4.6	146	51	15	10	8	—	—	4	2	10	5	—	3	12	4	1	5	7	2	59	Juli
6.5	5.5	5.6	5.9	142	25	7	12	12	—	—	5	4	5	9	—	3	5	5	1	4	6	6	63	August
8.0	5.5	5.1	6.2	83	23	2	13	10	—	—	1	10	2	8	—	5	2	5	—	6	6	3	63	September
9.6	6.2	5.1	7.0	59	29	22	8	5	2	—	—	11	1	10	—	11	6	9	—	2	1	1	63	Oktober
8.8	8.0	7.5	8.1	176	26	1	18	17	—	—	—	5	1	20	1	3	—	—	—	4	14	5	63	November
9.1	7.8	7.6	8.2	62	19	9	11	10	3	—	—	18	2	23	—	3	—	—	—	2	10	1	77	Dezember
7.9	6.6	6.5	7.0	1334	51	VII	163	141	26	1	?13	77	27	165	1	56	57	38	2	47	136	38	720	Jahr

Langenbruck

$\lambda = 7^\circ 46'$, $\beta = 47^\circ 21'$, $H_b = 740.4^m$, $G = 0.02$ $^m/_m$, $h_r = 1.6^m$

1951	Luftdruck					Luft-Temperatur								Relative Feuchtigkeit					
	Mittel	Minimum	Tag	Maximum	Tag	7^{30}	13^{30}	21^{30}	Mittel	Minimum	Tag	Maximum	Tag	7^{30}	13^{30}	21^{30}	Mittel	Minimum	Tag
Januar	694.5	678.2	2	709.2	16	−0.7	1.0	−0.6	0.2	−7.2	4	4.5	11	84	77	84	82	57	11
Februar	692.4	675.6	5	701.5	28	−0.5	2.1	0.2	0.5	−5.4	25	7.0	9	81	67	77	75	33	17
März	692.5	679.0	8	706.6	21	0.5	3.5	1.6	1.8	−6.6	3	13.6	23	82	61	70	71	27	23
April	697.6	689.2	9	704.2	15	5.2	10.0	5.8	6.7	0.2	4	18.4	25	71	52	64	62	30	24
Mai	694.9	688.4	8	700.7	23	9.3	13.2	9.5	10.4	4.3	12	23.0	24	76	58	72	69	37	1.6
Juni	699.0	690.6	8	705.2	13	13.3	17.2	12.8	14.0	8.4	5	24.8	15	74	64	75	71	41	14.15
Juli	700.9	694.9	23	704.8	27	15.2	19.8	15.6	16.5	10.2	16	26.4	31	72	53	69	65	34	2
August	698.2	690.2	8	703.4	21	14.6	18.7	14.2	15.4	10.6	16	24.4	2	76	58	76	70	32	12
September	699.9	695.6	30	704.9	4	12.4	16.2	12.5	13.4	7.4	22	23.8	13	83	65	79	76	46	4.7
Oktober	699.0	694.0	19.31	703.2	15.16	5.8	9.7	6.2	7.0	−0.4	12	14.2	2.4	86	68	79	78	47	13.30
November	693.9	680.8	8	710.7	27	4.0	6.5	4.4	4.8	−3.2	28	12.0	7	79	68	77	75	42	18
Dezember	700.3	683.8	29	708.9	21	−1.8	1.4	−0.5	−0.4	−5.6	14.24	6.6	9	81	71	76	76	48	12
Jahr	696.9	675.6	II	710.7	XI	6.4	9.9	6.8	7.5	−7.2	I	26.4	VII	79	64	75	73	27	III

Aarau

$\lambda = 8^\circ 2'$, $\beta = 47^\circ 23'$, $H_b = 407.6^m$, $G = 0.07$ $^m/_m$, $h_r = 1.6^m$

Januar	724.3	707.8	2	739.1	16	0.4	2.8	0.9	1.2	−5.0	4.6	6.8	21	90	77	90	86	56	19
Februar	721.3	704.3	5	721.6	28	1.4	4.8	1.8	2.4	−3.0	28	9.4	9	91	73	89	84	39	17
März	722.0	709.0	8	736.4	21	1.9	6.9	3.4	3.9	−4.6	2	17.6	23	83	58	78	73	29	23
April	726.8	718.0	9	734.4	15	6.5	13.4	8.0	9.0	0.2	12	21.8	17	74	43	68	62	26	24
Mai	723.4	717.2	8.10	729.2	1	10.1	17.0	11.4	12.5	3.0	1	26.6	24	79	48	79	69	26	6
Juni	727.4	716.8	8	733.4	13.14	14.9	19.9	14.6	16.0	10.8	1	29.4	15	75	53	83	70	28	14
Juli	729.1	722.7	23	733.6	27	16.1	23.2	17.5	18.6	11.6	17	29.8	31	77	43	76	65	28	2
August	726.7	717.9	8	732.0	22	15.2	21.9	16.0	17.3	11.0	19	27.5	30	84	49	86	73	30	30
September	728.5	723.0	13	734.0	20	12.7	18.8	13.8	14.8	5.0	22	27.0	13	86	56	87	76	36	1
Oktober	728.1	721.8	31	732.8	16	6.3	11.7	7.1	8.0	−0.8	10	18.0	1	90	62	89	80	40	13
November	723.0	709.7	8	741.0	27	4.8	8.3	5.1	5.8	−1.6	27	15.4	7	87	66	87	80	39	4
Dezember	730.3	713.6	29	739.0	21	−0.7	1.9	0.3	0.4	−5.8	13	9.0	9	91	77	90	86	45	12
Jahr	725.9	704.3	II	741.0	XI	7.5	12.6	8.3	9.2	−5.8	XII	29.8	VII	84	59	83	75	26	IV V

Beznau

$\lambda = 8^\circ 14'$, $\beta = 47^\circ 33'$, $H =$ ca. 330^m, $G =$ — $^m/_m$, $h_r = 1.5^m$

Januar	—	—	—	—	—	0.9	3.2	0.7	1.4	−4.9	7	7.1	21.22	92	81	86	86	64	5
Februar	—	—	—	—	—	1.3	5.4	2.1	2.7	−2.2	28	9.4	21	91	66	82	80	28	21
März	—	—	—	—	—	2.0	7.0	3.3	3.9	−5.0	2	15.0	23	87	57	75	73	15	23
April	—	—	—	—	—	5.4	12.7	7.6	8.3	0.5	12	20.2	25	83	39	79	67	9	24
Mai	—	—	—	—	—	10.1	16.8	11.9	12.7	2.1	1	25.0	24	85	47	84	72	14	19
Juni	—	—	—	—	—	14.5	20.0	15.1	16.2	11.6	4	28.6	15	83	54	86	74	18	15
Juli	—	—	—	—	—	15.9	22.3	17.3	18.2	11.6	18	29.0	31	84	44	86	71	17	3
August	—	—	—	—	—	15.2	21.7	16.7	17.6	11.2	24	27.6	29	89	52	90	77	21	2
September	—	—	—	—	—	13.1	18.6	13.8	14.8	5.8	22	26.0	12	92	60	91	81	37	20
Oktober	—	—	—	—	—	6.3	11.4	7.2	8.0	0.8	10	17.8	2	94	68	92	85	43	5
November	—	—	—	—	—	5.5	8.8	5.1	6.1	−1.8	27	15.0	7	91	71	91	84	42	5
Dezember	—	—	—	—	—	−0.1	2.3	0.2	0.6	−5.6	13	7.8	9	93	80	90	88	46	12
Jahr	—	—	—	—	—	7.5	12.5	8.4	9.2	−5.6	XII	29.0	VII	89	60	86	78	9	IV

Hallau

$\lambda = 8^\circ 27'$, $\beta = 47^\circ 42'$, $H_b = 449.5^m$, $G = 0.09$ $^m/_m$, $h_r = 1.3^m$

Januar	719.9	702.9	2	735.0	16	0.1	2.4	0.8	1.0	−5.3	6	6.5	22	97	90	95	94	73	5
Februar	717.2	699.5	5	727.9	28	0.8	4.5	2.0	2.3	−3.5	28	8.6	9	95	78	91	88	42	21
März	717.8	704.2	8	732.9	21	1.6	6.3	3.6	3.8	−4.7	2	15.4	23	89	67	81	79	33	23
April	722.8	714.1	9	730.3	15	5.6	12.2	8.0	8.5	0.0	11	21.2	25	87	56	74	72	28	24
Mai	719.6	713.0	8	725.5	1	10.2	16.7	12.4	12.9	4.0	1	26.2	25	90	59	82	77	30	6
Juni	723.4	714.2	8	729.7	13	14.0	19.5	15.5	16.1	10.6	2	28.4	15	91	63	85	80	38	13
Juli	725.2	719.4	23	729.3	27	15.9	22.8	18.2	18.8	12.2	25	29.2	11	90	57	82	76	41	2
August	722.8	714.2	8	727.6	22	14.9	21.5	16.8	17.5	11.3	12	28.3	2	93	63	90	82	40	18
September	724.5	719.3	9	730.2	4	12.6	18.5	14.0	15.1	5.9	22	26.7	13	96	69	93	86	49	4
Oktober	724.3	718.5	31	728.8	15	5.9	11.2	7.6	8.1	−0.2	12	17.2	2	96	74	90	87	44	9
November	718.8	704.6	8.12	736.9	27	4.6	8.3	5.0	6.0	−1.8	27	14.7	7	97	81	92	90	53	5
Dezember	726.1	709.3	29	734.9	21	−1.4	1.5	0.2	−0.1	−5.9	13	6.9	9	97	91	97	95	53	12
Jahr	721.9	699.5	II	736.9	XI	7.1	12.1	8.7	9.2	−5.9	XII	29.2	VII	93	71	88	84	28	IV

Beobachter: E. Müller

Langenbruck

Bewölkung				Niederschlag			Zahl der Tage								Windverteilung									1951
7^{30}	13^{30}	21^{30}	Mittel	Summe	Maximum	Tag	●	●★ ≥1.0	✶	▲	🌂	≡	heiter	trüb	N	NE	E	SE	S	SW	W	NW	Calmen	
8.1	7.9	7.4	7.8	113	28	19	12	12	9	—	—	4	3	19	3	2	5	1	1	—	13	4	64	Januar
7.7	7.5	8.1	7.8	99	16	11	14	13	14	—	—	2	1	15	9	5	3	3	—	1	3	3	57	Februar
8.3	7.8	6.3	7.5	106	23	24	15	14	10	—	—	—	1	16	2	7	11	—	2	2	13	3	53	März
5.3	5.4	4.7	5.1	64	10	26	12	12	5	1	—	1	8	6	3	9	9	—	2	3	8	3	53	April
6.6	7.2	5.7	6.5	107	19	7	18	14	—	1	1	2	4	12	5	6	4	4	1	22	4	3	44	Mai
6.5	6.5	5.2	6.1	150	27	25	19	16	—	1	3	—	4	13	6	10	5	—	2	—	7	4	56	Juni
3.8	4.4	4.2	4.1	168	63	11	10	7	—	—	4	—	14	6	11	3	7	1	—	—	4	7	60	Juli
5.3	6.2	5.7	5.7	164	39	7	16	14	—	1	1	—	5	8	7	5	4	—	—	1	5	6	65	August
6.1	5.7	3.4	5.1	83	16	29	11	10	—	—	1	2	7	6	6	1	6	—	—	—	7	2	68	September
6.8	6.0	4.8	5.9	75	49	22	6	6	2	—	—	3	6	11	4	3	6	—	1	—	4	—	75	Oktober
7.3	8.1	6.5	7.3	182	34	14	19	16	3	—	—	—	2	14	2	2	4	2	1	1	9	6	63	November
4.1	4.4	4.5	4.3	48	8	9	13	12	9	—	—	2	14	11	—	6	4	1	—	—	9	3	70	Dezember
6.3	6.4	5.5	6.1	1359	63	VII	165	146	52	4	10	16	69	137	58	59	68	12	10	30	86	44	728	Jahr

Beobachter: W. Amsler

Aarau

9.3	8.4	8.2	8.6	93	23	15	14	10	6	—	—	7	—	23	1	3	5	1	—	8	28	—	47	Januar
9.2	8.0	7.9	8.4	86	15	18	15	11	6	—	—	10	—	17	—	2	3	7	—	11	27	1	33	Februar
8.1	7.2	6.8	7.4	90	18	27	16	12	2	—	—	2	—	15	2	1	8	7	—	7	40	1	27	März
5.5	5.2	5.1	5.3	62	9	7	11	9	—	—	—	—	8	7	3	6	6	4	1	20	23	4	23	April
7.8	6.1	6.1	6.7	68	13	27	15	13	—	1	1	4	1	13	3	2	17	3	—	12	19	5	32	Mai
7.6	6.3	6.4	6.8	117	20	23	20	16	—	—	2	2	2	13	4	5	4	3	1	11	32	6	24	Juni
4.7	4.0	4.4	4.4	93	24	15	11	8	—	—	4	2	9	4	13	5	1	3	4	7	29	4	27	Juli
7.5	5.4	5.9	6.8	152	45	7	16	15	—	1	4	8	1	7	4	1	5	2	3	15	26	2	35	August
8.4	5.8	4.9	6.4	85	15	26	10	10	—	—	—	14	2	9	2	3	4	2	1	5	29	1	43	September
9.6	6.2	4.8	6.8	70	46	22	8	7	2	—	—	19	—	9	2	2	19	9	2	4	5	2	48	Oktober
8.9	6.8	7.9	7.9	142	23	1	18	16	—	—	—	12	—	12	—	5	2	2	1	4	49	—	27	November
8.9	7.4	7.9	8.1	45	10	9	12	12	2	—	—	23	3	22	1	2	2	—	—	6	44	3	35	Dezember
8.0	6.4	6.4	7.0	1103	46	X	166	139	18	2	11	103	26	151	35	37	76	43	13	110	351	29	401	Jahr

Beobachter: K. Sutter

Beznau

9.4	8.9	8.7	9.0	102	30	19	11	10	4	—	—	16	1	26	5	—	—	27	2	8	—	2	49	Januar
9.8	8.1	7.9	8.6	77	15	21	13	10	6	—	—	11	—	21	7	1	—	20	2	6	1	6	41	Februar
7.4	7.6	5.3	6.8	97	25	27	14	12	3	—	—	8	2	11	13	3	1	20	10	13	3	8	22	März
6.6	5.0	5.1	5.6	52	9	9	14	11	—	—	1	7	9	9	4	5	3	15	10	3	3	10	37	April
8.4	6.3	5.7	6.8	63	13	31	14	12	—	—	2	5	1	10	11	1	3	13	4	3	9	15	34	Mai
6.8	6.4	6.3	6.5	115	21	23	16	14	—	—	2	3	3	14	5	4	2	14	12	3	7	11	32	Juni
5.4	3.8	4.2	4.5	109	29	15	11	9	—	—	6	6	10	4	11	2	2	12	7	2	6	9	42	Juli
8.3	5.5	6.2	6.7	129	40	7	16	14	—	—	8	11	—	11	5	2	3	15	7	4	7	11	39	August
8.7	5.0	4.3	6.0	64	15	23	12	11	—	—	1	13	2	7	4	1	3	15	10	6	4	15	32	September
9.5	6.5	5.4	7.1	64	44	22	7	5	2	—	—	14	—	15	13	3	—	11	3	1	1	9	52	Oktober
8.6	7.5	7.0	7.7	99	12	10	18	16	2	—	—	5	1	14	7	1	2	13	18	7	2	8	32	November
8.5	6.4	7.3	7.4	55	16	9	14	11	3	—	—	12	3	15	1	1	—	43	14	4	1	1	28	Dezember
8.1	6.4	6.1	6.9	1026	44	X	160	135	20	—	20	111	32	157	86	24	19	218	99	60	44	105	440	Jahr

Beobachter: Hs. Huber-Rupli

Hallau

9.5	8.9	8.0	8.8	71	21	15	12	10	6	—	—	9	1	24	5	3	1	—	—	21	3	—	60	Januar
9.8	8.4	7.3	8.5	85	18	20	11	11	6	—	—	4	—	17	5	7	5	1	1	19	5	—	41	Februar
8.6	7.7	6.0	7.4	75	17	19	14	13	6	—	—	1	—	15	4	8	—	5	3	14	20	2	37	März
5.9	5.5	4.5	5.3	32	7	29	7	7	—	—	1	—	7	9	1	6	2	3	2	26	6	1	43	April
7.5	6.3	6.1	6.6	57	9	10	12	12	—	2	4	—	3	11	5	6	4	4	1	22	4	3	44	Mai
6.6	6.6	6.6	6.6	89	20	23	16	13	—	—	3	3	5	14	2	6	—	3	—	31	—	3	45	Juni
5.0	4.3	4.4	4.6	69	21	16	11	6	—	—	4	—	11	6	2	7	4	4	2	15	8	5	46	Juli
6.1	5.5	6.8	6.1	118	31	7	15	11	—	—	6	1	2	12	1	1	4	—	4	30	5	2	46	August
8.1	5.4	4.8	6.1	83	27	7	10	10	—	—	1	3	5	11	2	6	2	4	1	18	4	1	52	September
7.4	6.1	5.3	6.3	47	37	22	6	3	—	—	—	5	7	14	4	17	5	7	2	3	1	3	51	Oktober
9.0	7.7	7.7	8.1	57	8	25	18	13	2	—	—	4	2	20	3	2	1	3	—	30	4	1	46	November
8.1	7.5	8.2	7.9	55	18	9	13	8	5	—	—	15	3	18	—	3	2	1	—	11	7	1	68	Dezember
7.6	6.7	6.3	6.9	838	37	X	145	117	25	2	19	45	46	171	34	72	30	35	16	240	67	22	579	Jahr

Lohn

$\lambda = 8°40'$, $\beta = 47°45'$, $H_b = 643^m$, $G = 0.06$ ‰, $h_r = 1.6^m$

1951	Luftdruck					Luft-Temperatur								Relative Feuchtigkeit					
	Mittel	Minimum	Tag	Maximum	Tag	7^{30}	13^{30}	21^{30}	Mittel	Minimum	Tag	Maximum	Tag	7^{30}	13^{30}	21^{30}	Mittel	Minimum	Tag
Januar	702.9	686.3	2	717.4	16	−0.3	1.4	0.3	0.4	−4.8	10.11	4.6	20	92	84	89	88	55	3
Februar	700.5	683.3	5	710.8	28	−0.1	3.1	0.9	1.2	−4.0	28	10.6	11	90	74	85	83	44	21
März	701.0	687.4	8	715.3	21	1.0	4.6	2.5	2.6	−5.4	3	12.7	23	83	62	74	73	32	21
April	706.2	697.8	9	713.1	15	5.3	10.8	6.7	7.4	−0.2	1	18.5	25	77	51	63	64	21	23
Mai	703.2	696.7	8	708.7	24	10.1	15.0	11.2	11.9	5.0	1. 16	25.2	25	77	54	72	68	34	1. 19
Juni	707.0	697.9	8	713.2	13	14.2	17.9	14.2	15.1	10.4	1	26.5	15	78	60	76	71	34	13
Juli	708.9	703.4	23	713.1	27	16.3	21.0	17.2	17.9	10.8	17	27.1	11	74	76	67	72	38	29
August	706.6	698.2	8	711.0	22	15.2	20.1	16.1	16.9	12.0	9. 21	26.8	1. 2	82	58	73	71	38	2
September	708.2	703.2	3. 13	713.3	4	12.7	17.0	14.1	14.5	7.0	21	24.5	13	88	66	80	78	43	4
Oktober	707.5	701.9	31	711.5	8	5.4	9.7	7.2	7.4	−0.4	11	15.0	2	89	72	79	80	39	9
November	702.1	688.0	12	719.3	27	4.2	7.1	5.2	5.4	−2.2	28	13.2	7	88	75	81	81	45	18
Dezember	708.8	692.6	29	717.5	21	−1.6	1.4	−0.1	−0.1	−6.4	15	5.6	17	93	86	89	89	47	12
Jahr	705.2	683.3	II	719.3	XI	6.9	10.8	8.0	8.4	−6.4	XII	27.1	VII	84	68	77	76	21	IV

Oberes Aare- und Saanegebiet

Bern

$\lambda = 7°26'$, $\beta = 46°57'$, $H_b = 572.2^m$, $G = 0.00$ ‰, $h_r = 1.5^m$

Januar	709.3	693.1	2	724.0	16	−1.0	2.4	0.5	0.6	−7.5	4	7.2	21	94	82	91	89	65	11
Februar	706.5	689.3	5	715.9	1. 28	0.3	3.8	1.8	1.9	−3.7	28	9.4	9	91	74	88	84	46	21
März	707.0	692.8	8	720.5	21	1.1	6.0	3.5	3.5	−0.6	3	16.7	23	88	63	81	77	32	23
April	711.8	703.9	9	718.8	15	5.7	11.6	8.0	8.3	1.0	12	19.8	25	83	58	75	72	38	25
Mai	708.6	702.4	10	714.4	24	9.4	14.9	11.5	11.8	4.6	1	25.6	24	87	61	77	75	37	24
Juni	712.8	704.3	8	718.7	13	13.5	18.9	15.0	15.6	10.7	1. 2	28.1	15	86	59	81	75	40	11
Juli	714.4	708.4	23	718.1	27	15.4	21.7	17.6	18.1	10.7	26	27.8	31	85	57	75	72	35	3
August	712.1	703.8	8	716.8	22	14.4	19.8	16.1	16.6	10.9	24	26.0	2	90	66	85	80	39	12
September	713.7	709.2	9	718.7	4	12.1	17.6	14.2	14.5	5.9	21	24.4	13	94	69	90	84	50	6
Oktober	712.9	707.9	19	717.6	16	6.9	11.2	7.6	8.1	1.1	23	16.3	4	98	73	93	88	54	29
November	708.4	694.9	8	725.1	27	4.0	7.4	5.1	5.4	−1.4	28	14.4	7	92	72	88	84	51	30
Dezember	715.2	698.7	29	723.8	21	−2.0	2.3	−0.2	0.0	−5.4	14.15/16	6.5	9	91	74	90	85	53	10
Jahr	711.1	689.3	II	725.1	XI	6.0	11.5	8.4	8.7	−7.5	I	28.1	VI	90	67	84	80	32	III

Fribourg

$\lambda = 7°9'$, $\beta = 46°47'$, $H_b = 670^m$, $G = —$ ‰, $h_r = 1.6^m$

Januar	—	—	—	—	—	−0.7	2.5	0.4	0.7	−7.2	4	6.6	21	84	70	84	79	41	11
Februar	—	—	—	—	—	−0.4	3.4	0.9	1.2	−6.8	28	8.9	9	85	64	83	77	33	17
März	—	—	—	—	—	0.5	5.2	2.7	2.8	−8.6	5	16.3	23	79	53	70	67	25	23
April	—	—	—	—	—	5.4	11.2	6.9	7.6	0.6	4	19.1	25	73	48	68	63	29	25
Mai	—	—	—	—	—	9.4	14.9	10.8	11.5	3.2	1	25.1	24	77	52	69	66	31	24
Juni	—	—	—	—	—	13.5	18.9	14.3	15.2	10.2	25	26.7	15	77	49	73	66	33	13
Juli	—	—	—	—	—	15.1	21.6	17.0	17.7	10.4	25	27.8	31	77	47	69	64	30	4
August	—	—	—	—	—	14.6	20.1	15.7	16.5	11.3	24	25.6	2	80	53	75	69	32	29
September	—	—	—	—	—	12.1	17.7	13.7	14.3	5.2	21	24.4	13	87	58	83	76	44	1. 1
Oktober	—	—	—	—	—	6.2	11.0	7.2	7.9	0.8	23	16.4	2. 4	95	64	90	83	43	12
November	—	—	—	—	—	4.0	7.6	4.8	5.3	−1.8	27	14.2	7	86	65	82	78	31	28
Dezember	—	—	—	—	—	−1.5	2.6	−0.1	0.2	−6.1	24	7.6	9	86	70	86	81	38	9
Jahr	—	—	—	—	—	6.5	11.4	7.9	8.4	−8.6	III	27.8	VII	82	58	78	72	25	III

Langnau i. E.

$\lambda = 7°47'$, $\beta = 46°56'$, $H_b = 685^m$, $G = —$ ‰, $h_r = 1.6^m$

Januar	—	—	—	—	—	−1.6	2.3	−0.5	−0.1	−7.5	10	6.2	21	94	78	92	88	60	11
Februar	—	—	—	—	—	−0.9	4.0	0.3	0.9	−7.1	28	9.4	9	93	67	92	84	44	21
März	—	—	—	—	—	−0.1	5.9	1.6	2.3	−8.7	3	16.0	23	82	54	81	72	22	23
April	—	—	—	—	—	4.7	11.6	5.8	7.0	−0.6	13	19.2	25	90	55	89	78	34	17
Mai	—	—	—	—	—	9.4	15.1	9.7	11.0	3.2	1	25.0	24	87	60	93	80	38	21
Juni	—	—	—	—	—	13.7	18.7	13.2	14.7	9.0	1	27.1	15	83	56	95	78	35	15
Juli	—	—	—	—	—	15.2	21.9	15.6	17.1	10.5	26	28.0	31	84	54	90	76	35	4
August	—	—	—	—	—	14.1	20.2	14.4	15.8	10.4	17	26.1	2. 6	90	61	96	82	42	12
September	—	—	—	—	—	11.5	18.0	12.8	13.8	5.0	20	24.6	12	95	65	98	86	50	5. 6
Oktober	—	—	—	—	—	5.5	11.7	6.5	7.5	0.8	17	16.5	2	99	69	96	88	47	29
November	—	—	—	—	—	3.3	7.7	3.9	4.7	−2.5	28	15.0	7	97	75	96	89	56	30
Dezember	—	—	—	—	—	−1.7	3.5	−0.3	0.3	−6.8	12	5.9	21	92	72	92	85	50	16
Jahr	—	—	—	—	—	6.1	11.7	6.9	7.9	−8.7	III	28.0	VII	90	64	92	82	22	III

Beobachter: W. Sonderegger

Lohn

Bewölkung				Niederschlag			Zahl der Tage								Windverteilung								1951
7^{30}	13^{30}	21^{30}	Mittel	Summe	Maximum	Tag	•	≥1.0	*	▲	K	≡	heiter	trüb	N	NE	E	SE	S	SW	W	NW	Calmen	
8.9	8.9	7.0	8.3	57	19	15	12	9	8	—	—	7	—	22	2	11	3	4	2	16	22	5	28	Januar
9.5	8.5	6.2	8.1	83	17	20	14	10	10	—	—	5	—	14	5	13	6	2	1	10	23	3	21	Februar
9.0	8.1	5.2	7.4	71	16	19	15	12	4	—	—	1	1	14	6	21	5	—	3	15	20	6	17	März
6.2	6.7	3.7	5.5	41	8	29	10	8	1	—	—	2	5	8	—	18	8	2	7	18	17	5	15	April
7.5	7.3	5.6	6.8	78	16	29	17	12	—	1	3	—	4	12	12	24	10	4	2	12	9	9	11	Mai
6.5	7.1	6.9	6.8	106	24	23	17	14	—	—	3	1	3	12	2	19	6	3	3	9	26	11	11	Juni
5.0	5.0	4.4	4.8	69	28	16	10	8	—	—	1	2	10	9	7	22	12	6	5	12	11	8	10	Juli
6.1	6.1	5.5	5.9	108	18	7	14	12	—	—	2	2	3	8	2	11	9	4	1	18	16	6	26	August
6.4	6.0	3.7	5.4	67	17	7	10	9	—	—	—	6	6	7	5	16	8	5	8	10	13	5	20	September
7.5	6.3	4.4	6.1	44	33	22	6	5	—	—	—	6	7	12	1	43	15	5	1	3	2	1	22	Oktober
8.4	8.2	5.7	7.4	63	10	25	18	15	3	—	—	4	1	13	6	14	5	2	2	9	29	8	15	November
6.8	6.7	4.5	6.0	50	13	9	12	11	5	—	—	12	5	9	—	7	1	2	1	13	19	3	47	Dezember
7.3	7.1	5.2	6.5	837	33	X	155	125	31	1	9	48	45	140	48	219	88	39	36	145	207	70	243	Jahr

Oberes Aare- und Saanegebiet

Beobachter: Meteorolog. Observatorium

Bern

7.9	8.8	7.1	7.9	66	14	15	10	9	8	—	—	9	1	20	2	10	5	3	8	8	15	—	42	Januar
8.8	8.2	7.8	8.3	109	18	17	13	12	11	—	1	6	—	17	3	12	1	5	8	8	18	1	28	Februar
8.2	7.9	7.0	7.7	105	29	27	17	13	6	—	—	1	—	19	5	17	3	7	6	9	19	3	24	März
6.6	6.5	5.8	6.3	117	48	26	14	12	3	—	1	—	4	12	12	12	2	5	12	7	18	5	17	April
7.8	7.7	7.0	7.5	75	12	10	16	12	—	—	4	2	2	20	11	17	7	18	12	6	15	7	—	Mai
6.6	6.2	6.5	6.4	96	21	8	18	16	—	1	6	—	1	11	14	15	5	18	8	7	17	4	2	Juni
4.1	4.7	4.8	4.5	151	53	15	11	10	—	2	7	—	11	5	12	19	6	17	16	6	7	9	1	Juli
6.4	6.5	5.5	6.1	162	31	20	18	16	—	—	8	3	4	8	9	11	10	12	14	8	17	4	8	August
7.3	6.1	4.9	6.1	57	20	23	12	10	—	—	2	5	3	9	13	19	4	9	10	3	21	3	8	September
8.5	6.6	6.0	7.0	66	42	22	5	4	2	—	—	6	—	12	17	36	8	5	13	2	7	3	2	Oktober
7.7	7.8	7.2	7.6	113	21	11	18	13	1	—	—	5	1	18	10	9	2	14	13	7	18	6	11	November
5.6	5.4	6.0	5.7	61	13	2	11	11	6	—	—	11	5	7	1	3	1	11	11	6	9	2	49	Dezember
7.1	6.9	6.3	6.8	1178	53	VII	163	138	37	3	29	48	32	158	109	180	54	124	131	77	181	47	192	Jahr

Beobachter: Frau P. Gockel

Fribourg

8.8	8.5	8.1	8.5	48	11	2	10	8	6	—	—	5	1	21	—	9	—	—	—	29	8	—	47	Januar
9.5	7.5	8.6	8.5	83	16	11	16	13	11	—	—	4	—	18	1	5	—	—	—	29	5	2	42	Februar
8.5	7.5	7.8	7.9	102	20	27	16	14	6	—	—	1	1	18	4	10	1	—	—	37	6	9	26	März
6.4	6.2	6.6	6.4	73	13	7	13	10	6	—	—	—	3	10	2	7	—	—	—	30	8	3	40	April
6.9	7.4	7.9	7.4	61	12	27	14	13	—	—	2	—	3	18	2	15	—	—	—	18	13	1	44	Mai
6.9	5.7	6.8	6.5	117	33	8	20	17	—	—	3	—	2	11	6	10	1	—	—	24	17	2	30	Juni
3.6	3.9	4.5	4.0	123	39	15	12	11	—	—	5	—	12	3	11	15	—	1	3	8	11	11	33	Juli
5.5	5.9	5.9	5.8	139	27	20	17	15	—	—	5	1	5	8	7	4	—	—	—	25	12	6	39	August
7.7	5.6	5.8	6.4	71	24	23	11	8	—	—	1	7	2	11	1	7	—	—	1	12	4	7	58	September
8.3	6.5	8.2	7.7	55	32	22	7	4	2	—	—	14	1	14	6	16	—	—	—	4	3	5	50	Oktober
8.6	7.6	7.5	7.9	108	24	11	19	15	1	—	—	2	—	17	2	2	—	—	3	30	9	6	38	November
5.3	6.1	5.6	5.7	46	14	2	11	9	4	—	—	7	6	12	2	—	—	—	—	21	10	1	59	Dezember
7.2	6.5	6.9	6.9	1026	39	VII	166	137	36	—	16	41	36	161	44	100	2	1	7	267	106	53	515	Jahr

Beobachter: Frl. R. Zbinden

Langnau i. E.

8.5	8.1	8.4	8.3	75	18	19	11	8	7	—	—	3	1	21	5	7	36	—	1	2	14	5	23	Januar
8.1	7.7	8.5	8.1	110	23	11	15	13	13	—	—	1	1	16	1	2	30	—	2	4	25	—	20	Februar
8.1	7.9	7.2	7.7	111	26	27	16	14	8	—	—	—	1	19	1	1	37	2	2	3	28	1	18	März
5.9	6.7	5.7	6.1	94	16	7	14	12	6	—	—	—	5	11	2	—	37	3	—	2	23	4	19	April
7.8	8.2	7.0	7.7	112	19	10	18	14	—	—	4	—	2	19	1	1	29	3	2	4	23	1	29	Mai
7.1	7.0	6.5	6.9	119	22	8	17	15	—	—	7	—	3	13	—	2	32	—	1	5	29	1	2	Juni
4.6	5.4	5.0	5.0	141	48	15	13	12	-	—	5	—	9	8	1		43	1	—	1	30	1	16	Juli
6.1	6.9	6.1	6.4	178	24	4	19	19	—	—	4	—	4	12	3	1	32	3	—	3	23	2	26	August
6.6	6.2	5.1	6.0	98	27	28	12	11	—	—	1	2	6	12	—	1	41	—	1	2	22	1	22	September
8.3	6.9	6.8	7.3	61	37	22	5	4	3	—	—	3	3	17	—	—	37	1	2	5	21	1	26	Oktober
8.1	8.1	7.9	8.0	135	31	11	18	14	4	—	—	—	1	19	1	4	43	6	3	3	19	—	11	November
4.1	5.3	4.2	4.5	68	19	9	12	9	9	—	—	1	13	9	—	1	54	4	3	7	14	—	10	Dezember
6.9	7.0	6.5	6.8	1302	48	VII	170	145	50	·	21	10	49	176	15	20	451	23	17	41	271	17	240	Jahr

Beatenberg

$\lambda = 7° 48'$, $\beta = 46° 41'$, $H_b = 1148^m$, $G = -0.13$ ‰, $h_r = 1.1^m$

1951	Luftdruck					Luft-Temperatur								Relative Feuchtigkeit					
	Mittel	Minimum	Tag	Maximum	Tag	7^{30}	13^{30}	21^{30}	Mittel	Minimum	Tag	Maximum	Tag	7^{30}	13^{30}	21^{30}	Mittel	Minimum	Tag
Januar	660.7	644.9	2	673.7	16	−1.2	0.9	−1.1	−0.6	−7.0	16	6.2	6	71	68	74	71	28	10
Februar	658.0	642.0	5	665.7	28	−2.2	1.7	−1.8	−1.0	−6.6	28	6.8	11	76	63	75	71	33	17
März	658.8	644.5	8	670.4	21	−1.4	3.0	−0.4	0.2	−8.6	3. 4	11.6	23	76	58	72	69	21	23
April	664.1	656.6	9	669.9	15	3.7	8.5	3.2	4.6	−2.4	12	16.4	25	70	55	75	67	32	25
Mai	661.5	654.7	10	668.2	23	7.6	11.9	7.0	8.4	2.0	14. 15	22.0	25	76	64	79	73	42	1. 2 3
Juni	665.6	657.6	8	672.1	13	11.6	15.6	10.6	12.1	6.6	1. 24	24.4	15	78	64	80	74	44	14
Juli	667.6	662.6	23	671.3	27	13.6	18.5	13.4	14.7	7.6	24	24.8	31	78	62	80	73	44	22
August	665.5	657.0	9	669.4	22	13.0	16.8	12 5	13.7	8.4	9. 10	22.2	2	78	69	83	77	41	30
September	666.6	662.1	30	670.2	16	10.9	15.0	11.5	12.2	2.2	20	21.6	13	82	72	83	79	52	3
Oktober	664.9	660 0	31	668.7	16	5.0	8.6	5.3	6.0	−0.6	23	13.0	1	79	74	78	77	49	17
November	660.5	648.3	8	675.3	27	2.8	5.8	3.5	3.9	−5.4	29	13.0	10	74	68	74	72	34	25
Dezember	666.4	650.0	29	674.6	21	0.0	3.6	0.6	1.2	−7.8	4	9.2	18	62	56	60	60	33	20
Jahr	663.4	642.0	II	675.3	XI	5.3	9.1	5.4	6.3	−8.6	III	24.8	VII	75	64	76	72	21	III

Interlaken (Unterseen)

$\lambda = 7° 51'$, $\beta = 46° 42'$, $H_b = 568^m$, $G = -0.07$ ‰, $h_r = 1.5^m$

Januar	710.0	693.1	2	724.7	16	−0.5	2.4	0.3	0.6	−6.2	10	6.8	21	85	71	84	80	53	15. 31
Februar	707.2	690.3	5	715.9	28	0.6	4.2	1.2	1.8	−3.6	28	10.8	11	80	62	79	74	28	21
März	707.9	692.1	8	721.2	21	1.1	6.5	2.8	3.3	−6.2	5	15.5	13	79	52	73	68	26	15
April	712.7	704.8	9	719.4	15	5.8	12.6	7.2	8.2	1.2	4	20.4	25	77	45	74	65	25	1.10.25
Mai	709.5	703.0	10	715.0	23. 24	10.0	15.5	10.9	11.8	4.2	1	25.2	25	76	52	75	68	32	1
Juni	713.6	704.7	8	719.3	13	14.1	19.5	13.9	15.4	9.5	1	27.8	15	75	51	81	69	35	14
Juli	715.2	710.4	23	718.3	27	16.4	22.4	16.5	17.9	10.8	24	28.5	31	74	49	80	68	38	3
August	713.0	703.5	8	717.4	22	15.1	20.7	15.6	16.8	11.5	16	27.2	2	79	53	83	72	33	30
September	714.6	709.5	9	719.1	4	12.5	18.5	14.1	14.8	6.6	20	24.8	12	84	57	85	75	41	20
Oktober	713.8	709.2	31	718.2	15	6.6	12.1	7.9	8.6	1.2	23	17.6	5	86	58	84	76	45	13
November	709.0	695.2	8	725.7	27	4.6	8.5	5.3	5.9	−1.4	28	16.2	6	82	63	83	76	32	18
Dezember	715.9	699.5	29	724.0	21	−0.8	3.0	0.3	0.7	−5.0	13	6.8	10	86	70	82	79	39	10
Jahr	711.9	690.3	II	725.7	XI	7.1	12.2	8.0	8.8	−6.2	I III	28.5	VII	80	57	80	72	25	IV

Meiringen

$\lambda = 8° 12'$, $\beta = 46° 44'$, $H_b = 604.7^m$, $G = -0.08$ ‰, $h_r = 1.6^m$

Januar	706.8	689.5	2	721.7	16	−1.2	2.1	0.1	0.3	−7.6	10	8.6	11	90	74	86	83	39	2
Februar	704.0	686.0	5	712.3	28	0.4	4.9	1.6	2.1	−4.2	17	11.6	10	84	60	77	74	30	4. 20
März	704.6	688.7	8	718.2	21	0.5	7 7	2.9	3.5	−6.6	4	16.0	23	84	52	74	70	27	15
April	709.3	701.2	9	717.2	15	5.0	14.3	7.8	8.7	−0.2	4	20.4	25	84	41	71	65	23	24
Mai	706.0	699.3	10	712.1	23	8.7	17.6	11.1	12.1	1.7	1	26.6	25	86	47	78	70	27	1
Juni	710.4	701 6	8	716.0	14	12.1	20.6	13.7	15.0	9.2	4	28.2	15	88	50	85	74	32	15
Juli	712.0	706.8	23	715.4	27	13.8	23.6	16.3	17.5	11.2	2. 27	29.3	11	88	48	83	73	28	11
August	709.6	701.1	8	714.3	22	13.3	21.7	15.5	16.5	7.8	17	28.2	30	92	54	87	78	26	30
September	711.2	706.5	9	716.2	4	11.1	19.7	13.9	14.6	5.0	22	28.2	13	94	53	87	78	26	13
Oktober	710.5	705.6	19	715.3	16	5.2	13.0	7.5	8.3	0.7	13	18.4	1	93	54	89	79	30	30
November	705.9	691.9	8	722.6	27	5.2	9.1	6.2	6.7	−2.0	28	18.7	7	84	62	80	75	30	5. 6 9 18
Dezember	712.6	696.5	29	720.8	21	−2.1	1.6	−0.8	−0.5	−6.2	14	10.4	25	92	75	88	85	30	25
Jahr	708.6	686.0	II	722.6	XI	6.0	13.0	8.0	8.7	−7.6	I	29.3	VII	88	56	82	75	23	IV

Meiringen: A. Michel† am 11. Januar

Guttannen

$\lambda = 8° 17'$, $\beta = 46° 39'$, $H_b = 1058^m$, $G = -0.15$ ‰, $h_r = 1.5^m$

Januar	667.9	653.8	2	681.7	16	−0.6	0.8	−0.2	0.0	−5.6	14	6.1	25	78	73	80	77	36	10
Februar	665.6	650.6	5	673.1	28	−1.5	2.1	−0.3	0.0	−6.0	3. 23	7.4	9	81	66	74	74	38	17
März	666.0	653.0	8	678.8	21	−1.1	3.5	0.4	0.8	−10.8	4	9.4	23	81	65	65	70	48	11. 13 15
April	671.3	664.8	9	677.2	15	3.8	9.6	4.7	5.7	−1.8	4	16.6	24	75	54	77	69	30	24
Mai	668.8	661.5	10	675.4	23	8.1	13.2	8.7	9.7	3.0	14. 15	23.4	25	78	57	79	71	37	23
Juni	673.2	664.9	8	679.6	13	11.2	16.5	12.2	13.0	7.4	1. 4	25.6	15	85	63	84	77	36	21
Juli	675.1	669.4	23	678.9	27	12 3	19.5	14.6	15.2	8.8	25. 27	25.6	31	87	59	83	76	40	11
Dezember	672.8	664.9	8	676.6	22	12.6	17.9	14.2	14.7	7.5	17	24.0	3	85	65	82	77	36	3
August	674.0	669.5	30	678.3	4	10.5	15.9	12.1	12.6	4.6	21	22.8	13	89	68	84	80	39	13
September	672.4	667.5	31	676.3	16. 17	5.2	9.5	7.1	7.2	0.0	27	14.0	5	85	69	77	77	31	16
Oktober	668.2	656.4	12	683.3	27	3.8	5.8	4.2	4.5	−5.0	29	13.8	7	81	74	80	78	39	18
November	673.8	657.2	29	682.2	21	−0.3	1.6	0.7	0.7	−7.8	4	9.0	20	77	71	72	73	33	24
Jahr	670.8	650.6	II	683.3	XI	5.3	9.7	6.5	7.0	−10.8	III	25.6	VI VII	82	65	78	75	30	IV

Beobachter: B. Lutz

Beatenberg

Bewölkung				Niederschlag			Zahl der Tage								Windverteilung									1951
7^{30}	13^{30}	21^{30}	Mittel	Summe	Maximum	Tag	●	●* ≧1.0	*	▲	K	≡	heiter	trüb	N	NE	E	SE	S	SW	W	NW	Calmen	
5.9	7.1	6.4	6.5	109	39	19	13	9	11	—	—	6	2	13	1	—	—	—	—	1	2	12	77	Januar
7.3	7.6	6.4	7.1	101	17	22	15	14	14	—	—	2	1	13	—	2	—	—	—	2	2	10	68	Februar
7.7	7.3	6.9	7.3	168	31	27	17	16	11	—	—	1	2	15	1	—	—	—	—	4	4	19	65	März
5.9	5.5	5.6	5.7	74	22	29	15	13	9	—	—	2	4	10	—	—	—	1	1	8	2	15	63	April
6.6	7.3	6.7	6.9	52	6	9	18	15	1	—	—	5	1	14	—	—	—	8	3	3	—	15	64	Mai
6.3	6.9	6.4	6.5	174	21	23	19	16	—	—	1	1	4	12	—	—	—	5	3	3	—	13	66	Juni
4.6	4.9	5.1	4.9	204	47	15	14	14	—	2	3	2	9	7	1	2	—	9	3	2	—	6	70	Juli
5.0	6.3	5.2	5.5	152	28	21	13	13	—	—	—	4	5	7	1	1	—	5	3	2	1	15	65	August
5.0	5.2	4.6	4.9	119	30	13	14	13	—	—	—	4	10	9	—	1	—	5	3	—	—	7	74	September
5.9	6.4	5.3	5.9	54	36	22	4	4	3	—	—	8	4	9	—	—	—	1	—	1	1	5	85	Oktober
6.4	7.2	6.7	6.8	191	35	11	18	18	7	—	—	8	2	11	7	4	1	7	3	6	3	28	31	November
3.6	4.4	3.7	3.9	67	?	—	11	11	9	—	—	—	14	4	1	—	—	—	1	1	1	11	78	Dezember
5.9	6.3	5.8	6.0	1465	47	VII	171	156	65	2	4	43	58	124	12	10	1	41	20	33	16	156	806	Jahr

Beobachter: P. Furrer

Interlaken (Unterseen)

8.1	7.5	8.0	7.9	136	37	20	8	8	3	—	—	2	1	21	—	1	17	7	—	14	8	—	46	Januar
7.3	6.5	7.1	7.0	106	32	11	16	13	9	—	—	—	3	12	—	—	15	7	1	13	11	—	37	Februar
7.0	6.2	6.4	6.5	114	24	27	17	17	3	—	—	—	3	12	—	2	22	8	1	26	13	—	21	März
5.2	4.7	5.6	5.2	83	18	29	13	11	—	—	—	—	4	7	—	—	24	4	2	31	8	—	21	April
6.3	6.4	6.5	6.4	114	18	27	18	16	—	—	—	—	2	14	—	1	16	6	3	28	9	2	28	Mai
4.7	5.3	6.6	5.6	148	26	23	16	16	—	—	1	—	4	5	—	—	17	11	2	29	14	—	17	Juni
4.0	4.0	4.9	4.3	174	59	15	12	12	—	1	3	—	9	5	—	2	22	6	2	25	8	—	28	Juli
4.6	5.1	5.4	5.0	180	37	21	13	13	—	—	—	—	6	5	1	1	17	13	5	27	12	—	17	August
4.6	4.3	5.4	4.8	82	27	28	11	10	—	—	—	—	7	7	—	2	17	2	4	28	14	—	23	September
6.5	5.3	5.8	5.9	45	34	22	4	4	1	—	—	1	5	9	—	2	19	7	2	24	12	—	27	Oktober
6.3	6.7	6.6	6.5	178	30	1	16	15	—	—	—	1	1	10	—	1	20	9	2	22	8	1	27	November
5.1	5.4	5.2	5.2	56	11	2. 9	12	11	2	—	—	5	9	10	—	—	24	7	—	14	5	—	43	Dezember
5.8	5.6	6.1	5.9	1416	59	VII	156	146	18	1	4	9	54	117	1	12	230	87	24	281	122	3	335	Jahr

Beobachter: A. Michel, Frau E. Michel

Meiringen

6.6	7.5	8.6	7.6	140	40	19	10	9	8	—	—	6	1	18	—	2	3	—	—	—	—	5	83	Januar
8.0	7.4	7.8	7.7	141	55	11	16	14	12	—	—	1	—	17	—	—	8	1	—	—	1	1	73	Februar
7.9	6.9	6.8	7.2	155	26	27	16	15	10	—	—	—	2	15	—	—	5	—	—	—	2	14	72	März
6.1	5.3	6.2	5.9	77	13	27	14	12	3	—	1	—	5	13	—	1	3	4	—	—	—	17	65	April
6.8	7.1	7.6	7.2	141	53	27	16	16	—	—	—	1	1	15	—	4	1	—	—	—	1	20	67	Mai
7.2	6.5	8.0	7.2	177	35	15	19	18	—	1	2	—	3	17	1	—	—	—	—	—	—	29	60	Juni
5.0	4.7	7.3	5.7	123	36	15	11	11	—	—	2	—	2	8	—	—	—	—	—	—	2	24	67	Juli
5.4	6.4	6.3	6.0	185	45	21	15	13	—	—	—	—	4	12	—	—	1	—	—	—	2	20	70	August
6.3	5.0	6.3	5.9	89	27	26	9	9	—	—	1	—	6	13	—	—	—	—	—	—	3	16	71	September
6.5	5.1	6.6	6.1	65	46	22	3	3	2	—	—	—	4	8	—	—	—	—	—	—	—	10	83	Oktober
7.2	8.1	7.2	7.5	177	35	10	18	17	2	—	—	—	2	17	—	8	10	—	—	—	3	4	65	November
4.3	4.2	5.2	4.6	59	?	—	12	12	6	—	—	5	10	9	—	—	2	—	—	—	1	1	89	Dezember
6.4	6.2	7.0	6.5	1529	55	II	159	149	43	1	6	13	40	162	1	15	33	5	—	—	15	161	865	Jahr

Beobachter: Hs. Huber

Guttannen

6.4	6.9	7.9	7.1	185	46	18	11	10	10	—	—	—	2	15	—	2	—	20	—	—	4	—	67	Januar
8.9	7.7	6.8	7.8	230	73	11	16	14	16	—	—	—	—	15	—	—	—	23	—	—	—	2	59	Februar
7.5	7.2	6.3	7.0	177	36	27	15	15	11	—	—	—	3	14	—	—	—	18	—	—	3	6	66	März
5.9	5.9	6.4	6.1	122	31	29	11	11	9	—	—	—	5	13	—	—	1	22	—	—	—	—	67	April
6.9	6.9	7.4	7.1	213	99	27	14	11	—	—	—	—	1	11	—	—	—	21	—	1	—	4	67	Mai
7.0	7.3	8.0	7.4	180	36	23	22	18	—	—	—	—	3	17	—	—	—	11	—	—	5	3	71	Juni
4.9	4.9	6.4	5.4	145	40	15	15	13	—	—	2	—	5	8	—	—	—	3	—	—	8	5	77	Juli
5.3	6.1	5.9	5.8	222	47	21	15	13	—	—	—	—	7	11	—	—	—	14	—	1	4	3	71	August
5.9	5.1	5.4	5.5	88	21	26	14	10	—	—	—	2	11	13	1	—	—	5	—	—	1	1	82	September
6.2	4.9	5.2	5.4	95	59	22	4	3	3	—	—	2	4	6	—	—	—	15	—	—	2	6	70	Oktober
7.8	7.5	6.9	7.4	405	104	10	21	20	11	—	—	—	1	15	1	—	—	30	—	—	1	3	55	November
5.7	4.1	4.0	3.9	78	26	2	11	9	10	—	—	—	14	7	—	—	—	17	—	1	3	1	71	Dezember
6.4	6.2	6.4	6.3	2140	104	XI	169	147	70	—	2	4	56	145	2	2	1	199	—	3	31	34	823	Jahr

Grimsel

$\lambda = 8° 20'$, $\beta = 46° 34'$, $H = 1064^m$, $G = -$ ‰, $h_r = 1.5^m$

1951	Luftdruck					Luft-Temperatur								Relative Feuchtigkeit					
	Mittel	Minimum	Tag	Maximum	Tag	7^{30}	13^{30}	21^{30}	Mittel	Minimum	Tag	Maximum	Tag	7^{30}	13^{30}	21^{30}	Mittel	Minimum	Tag
Januar	—	—	-	—	—	-5.3	-4.0	-5.4	-5.	-1 .2	13	3.8	6	75	77	78	77	25	9
Februar	—	—	—	—	-	-6.3	-3.4	-0.7	-5.8	-14.0	28	0.8	23	86	85	88	8	34	2
März	—	—	—	—	—	-5.3	-2.1	-4.7	-4.2	-15.5	1	15.6	23	81	77	77	7	30	5
April	—	—	—	—	—	-1.6	2.8	-1.1	-0.2	-10.1	4	11.2	23	71	62	71	68	22	24
Mai	—	—	—	—	—	2.7	7 1	3.5	4.2	-3.0	15	15.0	24	69	57	72	66	27	24
Juni	—	—	—	—	—	6.4	10.3	6.7	7.5	2.0	1. 25	17.5	15	72	56	76	6	21	15
Juli	—	—	—	—	-	8.0	13.3	9.5	10.1	2.0	25	21.4	31	66	52	71	63	22	31
August	—	—	—	—	—	7.6	11.7	9.4	9.5	3.2	11	18.5	2	65	57	68	63	21	19
September	—	—	—	—	—	6.4	10.4	7.8	8.1	-0.5	20	17.0	$^{10,11}_{12}$	67	56	67	63	17	4
Oktober	—	—	—	—	—	2.1	5.9	3.1	3.5	-5.1	23	13.8	3	56	50	59	55	13	14
November	—	—	—	—	—	-1.9	-0.5	-1.2	-1.2	-9.1	29	5.0	7	84	80	82	82	32	16
Dezember	—	—	—	—	—	-3.6	-1.7	-3.2	-2.9	-12.1	28	4.0	17	57	54	59	57	20	13
Jahr	—	—	—	—	—	0.8	4.2	1.5	2.0	-15.5	III	21.4	VII	71	64	72	69	13	X

Jungfraujoch

$\lambda = 7° 59'$, $\beta = 46° 35'$, $H_b = 3577.8^m$, $G = -0.38$ ‰, $h_r = 1.8^m$

Januar	484.6	472.9	2	492.7	17	-14.0	-12.8	-13.7	-13.6	-23.0	16	-4.6	6	83	79	72	78	20	14
Februar	481.5	470.7	5	487.3	8. 17	-15.9	-15.9	-16.2	-16.0	-24.2	28	-7.4	9	82	81	83	82	23	23
März	482.5	472.7	8	491.8	23	-15.6	-14.8	-15.0	-15.1	-24.6	21	-5.4	17	81	85	83	83	21	22
April	488.6	481.8	9	494.4	24	-12.0	-10.3	-11.0	-11.1	-18.8	1	-3.8	20	75	75	78	76	14	22
Mai	488.7	481.6	10	498.3	24	-8.1	-6.5	-7.4	-7.3	-15.0	16	2.4	25	90	90	93	91	30	21
Juni	494.3	487.2	8	502.4	14	-4.0	-2.6	-3.7	-3.5	-9.4	11	3.8	15	84	81	93	86	16	20
Juli	497.4	491.6	23	501.1	31	-0.9	0.7	-0.5	-0.3	-8.4	25	7.2	31	68	68	84	73	18	29
August	495.6	488.4	9	499.8	2	-0.9	0.1	-1.0	-0.7	-7.6	11.16	4.2	28	69	74	83	75	6	24
September	496.0	490.8	29	501.1	4	-1.9	-0.5	-1.4	-1.3	-8.6	1	5.4	4. 5	71	69	79	73	10	5
Oktober	491.9	485.6	23	496.7	3	-6.7	-5.1	-6.6	-6.2	-15.2	12	0.0	15	66	66	73	68	12	9
November	486.9	477.4	12	498.6	27	-10.3	-9.8	-9.7	-9.9	-21.0	29	-3.4	6	90	87	83	87	25	23
Dezember	490.9	475.8	29	499.8	21	-10.1	-9.5	-9.9	-9.9	-19.2	3	-1.0	17	62	63	70	65	13	14
Jahr	489.9	470.7	II	502.4	VI	-8.4	-7.2	-8.0	-7.9	-24.6	III	7.2	VII	77	76	81	78	6	VII

Südwestschweiz

Genève

$\lambda = 6° 9'$, $\beta = 46° 12'$, $H_b = 405.0^m$, $G = -0.03$ ‰, $h_r = 1.7^m$

Januar	725.0	711.2	28	738.7	16	1.9	4.4	2.3	2.7	-5.0	4	10.2	11	87	77	85	83	58	11.16
Februar	721.9	705.8	5	729.2	28	2.1	5.6	3.4	3.6	-2.0	25	10.8	20	88	74	83	82	54	23
März	722.5	706.4	8	734.2	21	3.4	7.6	5.4	5.5	-2.0	26	19.8	23	82	64	77	74	26	22
April	726.7	717.7	7	733.4	15	8.8	13.3	9.4	10.0	3.0	29	21.5	17	77	55	76	69	30	16
Mai	723.2	715.9	10	729.0	24	10.9	16.6	12.6	13.2	4.5	1	26.8	25	85	61	76	74	42	5
Juni	727.2	718.5	8	733.4	13	15.3	20.7	16.6	17.3	11.0	2	29.0	17	83	60	80	74	40	13.1
Juli	728.5	724.4	8. 9	731.9	27.28	18.1	23.3	19.2	20.0	13.2	1	30.0	31	79	61	81	74	38	8
August	726.4	716.0	8	731.2	22	17.1	22.9	18.5	19.2	13.2	31	29.8	19	85	63	81	76	30	12
September	728.3	723.4	13	733.2	4	14.8	19.6	15.6	16.4	8.6	21	24.8	11.12	88	71	87	82	50	20
Oktober	727.4	721.7	19	732.1	16	9.0	13.0	10.0	10.5	3.5	17	18.0	3. 4	91	76	90	86	64	12
November	723.4	708.5	8	740.8	27	5.5	9.4	6.4	6.9	-1.4	28	13.8	7	90	77	89	85	59	26
Dezember	730.5	712.8	29	739.8	21	-0.2	3.0	1.2	1.3	-4.4	13	11.2	6	93	82	92	89	52	4
Jahr	725.9	705.8	II	740.8	XI	8.8	13.3	1 .0	10.5	-5.0	I	30.0	VII	86	68	83	79	26	III

Lausanne (Champ de l'air)

$\lambda = 6° 38'$, $\beta = 46° 31'$, $H_b = 552.9^m$, $G = -0.02$ ‰, $h_r = 1.4^m$

Januar	711.5	695.0	2	725.2	16	0.9	3.3	1.5	1.8	-3.7	4	7.9	21	88	82	88	86	59	6. 1
Februar	708.7	691.5	4. 5	716.5	28	1.2	4.1	2.4	2.5	-2.3	27	9.2	9	87	74	81	81	47	8
März	709.3	693.2	8	720.8	21	2.1	6.1	3.9	4.0	-4.0	1	13.9	23	84	66	76	75	35	20
April	714.1	707.0	7	719.9	15	6.7	12.7	8.7	9.2	2.6	1	21.0	25	78	55	66	66	40	12.1
Mai	710.9	703.7	10	716.3	24	11.4	16.4	11.5	12.7	5.8	14	26.0	25	79	61	76	72	43	2.23.
Juni	714.8	706.8	8	720.4	11	15.3	19.7	15.5	16.5	10.5	2	27.6	15	83	64	76	74	45	13
Juli	716.2	710.7	23	719.4	27	17.7	23.0	18.3	19.3	11.0	16	28.0	31	76	59	72	69	47	1
August	714.2	706.4	8	718.2	22	16.8	20.9	16.6	17.7	13.8	9.10 21	25.4	30	86	66	78	77	44	12
September	715.0	711.1	30	720.0	4	13.9	18.9	15.1	15.7	8.6	20	24.6	7. 11	92	69	85	82	51	16
Oktober	714.7	710.2	19	719.2	16	8.4	12.7	9.1	9.8	2.8	23	18.3	5	94	78	89	87	59	13
November	710.5	697.3	8	726.3	27	5.4	9.0	6.4	6.8	1.6	27.29	16.0	7	93	75	85	84	49	6
Dezember	717.2	699.8	29	725.5	21	1.2	3.7	2.0	2.2	-1.6	13	9.0	6	93	81	90	88	52	11
Jahr	713.1	691.5	II	726.3	XI	8.4	12.5	9.2	9.8	-4.0	III	28.0	VII	86	69	80	78	35	II

Beobachter: Grimselwärter

Grimsel

Bewölkung				Niederschlag			Zahl der Tage							Windverteilung								1951
7^{30}	13^{30}	21^{30}	Mittel	Summe	Maximum	Tag	● *	●* ≥1.0	*	▲	K	≡	heiter	trüb	N	NE	E	SE	S	SW	W	NW	Calmen	
6.8	6.9	7.1	6.9	300	39	19	18	16	18	—	—	20	1	14	—	—	—	43	—	17	—	23	10	Januar
8.4	7.8	7.6	7.9	434	97	11	22	22	22	—	—	15	1	17	—	—	—	37	—	14	—	24	9	Februar
8.2	8.0	7.3	7.8	271	53	19	21	18	21	—	—	19	2	19	—	—	—	41	—	19	—	20	4	März
6.8	6.5	6.9	6.7	215	57	29	16	15	15	—	—	16	1	14	—	—	—	44	—	14	—	29	3	April
7.6	8.1	7.3	7.7	215	81	27	17	17	14	—	—	13	1	15	1	—	—	52	—	13	—	23	4	Mai
6.9	6.7	7.4	7.0	209	45	8	21	20	3	—	2	14	4	15	10	1	—	27	—	11	—	39	2	Juni
4.6	5.5	7.0	5.7	85	19	15	14	13	1	—	—	14	5	10	24	—	1	14	—	22	1	31	—	Juli
5.7	7.0	6.9	6.5	214	55	21	16	15	—	—	—	17	2	13	10	—	1	37	—	12	—	33	—	August
5.8	6.0	6.1	6.0	89	24	28	12	12	2	—	—	12	4	13	5	—	2	28	—	23	—	32	—	September
4.2	5.2	5.2	4.9	103	68	22	6	6	4	—	—	6	7	6	9	—	10	40	2	24		8	—	Oktober
8.7	8.6	7.1	8.1	343	53	10	23	23	20	—	—	19	2	21	10	1	2	48	1	12	2	14	—	November
4.1	4.8	4.4	4.4	95	14	26	14	13	14	—	—	7	12	7	2	—	—	30	1	39	—	18	3	Dezember
6.5	6.7	6.7	6.6	2573	97	II	200	190	134	—	2	172	42	164	71	2	16	441	4	220	3	303	35	Jahr

Beobachter: Jungfraubahn

Jungfraujoch

7.0	7.5	6.5	7.0	—	—	—	—	—	—	—	—	19	2	12	9	—	1	36	1	—	2	44	—	Januar
7.4	6.9	6.1	6.8	—	—	—	—	—	—	—	—	20	3	13	7	—	1	33	2	—	—	40	1	Februar
7.7	7.6	7.4	7.6	—	—	—	—	—	—	—	—	24	3	16	18	—	1	28	2	—	—	43	1	März
5.8	6.8	6.5	6.4	—	—	—	—	—	—	—	—	20	4	12	20	—	—	31	—	1	—	38	—	April
7.1	8.0	7.4	7.5	—	—	—	—	—	—	—	—	21	2	16	6	—	—	62	1	—	—	24	—	Mai
6.7	6.8	7.4	7.0	—	—	—	—	—	—	—	1	24	3	16	6	—	—	28	2	—	—	54	—	Juni
4.2	4.4	5.9	4.8	—	—	—	—	—	—	—	—	15	10	10	30	—	—	28	2	—	1	32	—	Juli
5.3	5.8	5.9	5.7	—	—	—	—	—	—	—	—	19	6	8	10	—	—	46	4	1	1	30	1	August
4.2	4.9	5.2	4.8	—	—	—	—	—	—	—	—	14	9	7	9	—	1	41	5	—	1	33	—	September
4.5	4.8	4.5	4.6	—	—	—	—	—	—	—	—	14	11	7	1	1	—	79	—	—	—	12	—	Oktober
8.1	8.2	7.2	7.8	—	—	—	—	—	—	—	—	23	1	17	7	—	—	38	—	1	—	44	—	November
3.9	5.1	4.5	4.5	—	—	—	—	—	—	—	—	10	14	3	15	—	—	22	3	—	—	52	1	Dezember
6.0	6.4	6.2	6.2	—	—	—	—	—	—	—	1	223	68	137	138	1	4	472	22	3	5	446	4	Jahr

Südwestschweiz

Beobachter: Obervatorium

Genève

7.6	8.0	8.3	8.0	47	15	17	8	7	2	—	—	1	2	19	4	10	6	2	5	3	3	—	60	Januar
7.2	7.1	8.0	7.4	104	19	18	14	13	5	—	—	—	1	14	2	5	3	3	15	7	1	—	48	Februar
7.1	6.9	6.8	6.9	99	18	17	13	12	1	—	—	—	3	14	6	10	7	8	8	10	—	—	44	März
5.8	5.3	5.0	5.4	48	13	7	9	8	—	—	1	—	7	8	10	12	5	3	7	10	2	—	41	April
5.7	6.0	6.5	6.1	125	35	26	13	12	—	—	2	—	4	8	14	15	7	5	6	2	4	7	33	Mai
4.9	5.0	5.5	5.1	62	14	23	15	14	—	—	2	—	5	6	8	16	3	2	11	12	3	1	34	Juni
2.8	4.0	4.2	3.7	65	39	15	7	7	—	—	1	—	14	3	15	15	4	—	13	2	1	—	43	Juli
6.4	5.9	5.2	5.8	100	29	20	10	9	—	—	—	—	4	9	11	1	2	2	24	6	1	1	45	August
6.9	4.1	5.3	5.4	57	40	23	6	6	—	—	—	—	4	6	12	8	2	—	16	2	2	1	47	September
8.4	5.9	7.9	7.4	65	28	22	7	7	—	—	—	—	1	14	13	13	1	1	8	—	1	—	56	Oktober
8.1	7.2	7.2	7.5	128	25	10	15	15	—	—	—	2	2	17	5	6	3	7	14	1	—	—	54	November
6.8	7.0	6.8	6.9	36	12	9	6	5	—	—	—	12	5	17	4	5	2	—	13	—	—	—	69	Dezember
6.5	6.0	6.4	6.3	936	40	IX	123	115	8	—	6	15	52	135	104	116	45	33	140	55	18	10	574	Jahr

Beobachter: A. George

Lausanne (Champ de l'air)

7.1	7.4	6.1	6.9	77	25	2	12	9	2	—	—	2	2	15	4	14	16	4	2	10	15	12	16	Januar
8.4	6.9	6.4	7.2	100	23	11	17	15	5	1	—	1	2	12	—	13	13	6	2	9	21	5	15	Februar
7.7	6.4	6.2	6.8	115	22	17	17	14	5	—	1	1	4	16	1	15	12	9	3	10	26	8	9	März
5.9	4.7	4.3	5.0	68	16	7	14	10	—	—	—	—	8	10	—	12	7	7	7	11	29	5	12	April
6.3	5.5	6.0	5.9	126	59	31	16	12	—	1	2	—	6	9	3	14	2	7	7	8	28	8	16	Mai
5.9	5.6	5.8	5.8	147	39	8	19	15	—	1	6	—	5	10	2	15	2	4	12	15	25	3	12	Juni
2.8	3.0	3.9	3.2	106	23	15	11	9	—	—	6	—	15	2	6	21	4	3	4	16	16	4	19	Juli
5.4	4.8	4.8	5.0	111	41	20	16	15	—	—	6	—	7	4	2	19	10	2	3	8	28	2	19	August
7.3	4.2	4.6	5.4	77	35	23	11	9	—	—	—	—	4	8	5	17	9	2	12	10	9	2	24	September
8.5	5.6	6.3	6.8	55	18	22	6	4	—	—	—	—	2	16	—	32	16	3	2	17	7	3	13	Oktober
7.0	6.0	6.4	6.7	144	30	11	18	16	—	—	—	1	2	11	4	7	6	5	5	13	25	2	23	November
7.5	6.8	6.7	7.0	53	12	9	10	10	2	—	—	8	5	17	2	8	22	7	12	13	17	3	9	Dezember
6.7	5.6	5.6	6.0	1179	59	V	167	138	14	3	21	13	62	130	29	187	119	59	71	140	246	57	187	Jahr

Montreux-Clarens

$\lambda = 6^\circ 54'$, $\beta = 46^\circ 27'$, $H_b = 408^m$, $G = -0.03$ ‰, $h_r = 1.5^m$

1951	Luftdruck					Luft-Temperatur								Relative Feuchtigkeit					
	Mittel	Minimum	Tag	Maximum	Tag	7^{30}	13^{30}	21^{30}	Mittel	Minimum	Tag	Maximum	Tag	7^{30}	13^{30}	21^{30}	Mittel	Minimum	Tag
Januar	724.0	707.4	2	738.8	16	1.4	5.0	2.9	3.0	−2.6	4	9.6	11	84	73	83	80	44	11
Februar	720.9	703.2	4	729.2	28	2.0	5.4	3.7	3.7	−2.0	28	9.2	20	84	70	77	77	38	4
März	721.6	705.0	8	734.0	21	2.6	6.7	5.2	4.9	−3.8	26	14.0	23	84	61	72	72	30	13
April	726.4	718.1	9	733.0	15	7.1	11.7	10.2	9.8	2.2	4	17.6	20	79	59	66	68	30	21.25
Mai	723.0	715.2	10	728.7	23	11.1	15.8	13.5	13.5	4.0	1	24.6	24	83	64	72	73	42	2.6.28
Juni	727.0	718.3	8	733.1	13	15.5	19.9	16.3	17.0	11.8	2. 9	27.5	17	81	65	75	74	47	27
Juli	728.3	722.2	11	731.9	27.28	16.9	22.6	19.0	19.4	12.2	26	27.0	31	83	60	73	72	44	21
August	725.9	717.4	8	730.5	21	16.4	21.2	17.7	18.2	12.0	10	25.1	29	86	64	80	77	42	12
September	727.6	722.8	30	732.7	4	14.1	19.6	15.8	16.3	8.0	20	24.2	12	89	65	85	80	50	6
Oktober	727.0	722.3	19	731.9	17	8.8	13.7	10.2	10.7	4.0	27	20.0	3	89	70	87	82	55	27
November	722.8	709.2	8	739.8	27	5.9	10.3	7.5	7.8	−0.2	28	19.6	6	85	70	80	78	35	6
Dezember	730.0	711.8	29	738.5	21	1.0	5.2	2.6	2.8	−2.4	13	8.0	10.26	88	72	86	82	45	11
Jahr	725.4	703.2	II	739.8	XI	8.6	13.1	10.4	10.6	−3.8	III	27.5	VII	85	66	78	76	30	IV

Leysin

$\lambda = 7^\circ 0'$, $\beta = 46^\circ 21'$, $H_b = 1350^m$, $G = -$ ‰, $h_r = 1.5^m$

Januar	—	—	—	—	—	−1.1	1.0	−0.5	−0.3	−7.0	4	10.0	6	65	66	65	65	22	6
Februar	—	—	—	—	—	−2.4	0.4	−1.5	−1.2	−7.8	28	5.2	9	73	65	67	68	28	17
März	—	—	—	—	—	−1.3	2.1	0.0	0.2	−8.8	1	11.2	23	68	60	67	65	25	23
April	—	—	—	—	—	3.4	7.2	3.6	4.4	−1.8	29	14.4	25	64	55	67	62	31	24
Mai	—	—	—	—	—	7.3	10.5	7.3	8.1	1.4	15	20.6	24	69	64	71	68	32	24
Juni	—	—	—	—	—	11.5	14.9	11.1	12.1	6.4	25	22.2	15	70	63	72	68	35	15
Juli	—	—	—	—	—	13.7	17.0	13.6	14.5	7.4	24.25	23.0	31	70	67	71	69	44	3
August	—	—	—	—	—	12.8	15.6	12.6	13.4	8.2	10	20.6	30	73	68	71	71	40	12.19
September	—	—	—	—	—	11.3	14.2	11.3	12.0	4.6	29	20.6	13	75	73	78	75	41	23
Oktober	—	—	—	—	—	5.8	8.1	6.0	6.5	1.4	25	13.4	1	71	76	75	74	29	17
November	—	—	—	—	—	3.0	5.3	3.5	3.8	−3.6	29	13.0	10	68	64	66	66	29	28
Dezember	—	—	—	—	—	1.0	3.6	1.4	1.9	−5.8	13	9.8	18	57	53	55	55	27	13
Jahr	—	—	—	—	—	5.4	8.3	5.7	6.3	−8.8	III	23.0	VII	69	64	69	67	22	I

Gr. St. Bernhard

$\lambda = 7^\circ 11'$, $\beta = 45^\circ 52'$, $H_b = 2478.8^m$, $G = -0.32$ ‰, $h_r = 6.0^m$

Januar	558.3	546.9	2	566.7	17	−9.0	−8.1	−9.3	−8.9	−15.0	16	0.0	6	82	82	85	83	28	6
Februar	555.8	543.3	5	561.9	17	−10.6	−9.0	−10.7	−10.3	−16.0	28	−4.0	8	85	88	91	88	25	8
März	556.4	546.1	8. 9	565.9	22	−9.6	−7.7	−9.1	−8.9	−19.0	1	2.0	23	88	88	87	88	45	5
April	562.0	555.9	8	568.1	24	−5.0	−3.0	−5.0	−4.5	−12.0	1	2.5	23	—	—	—	—	—	—
Mai	561.0	552.3	10	570.3	24	−0.8	0.8	−1.0	−0.5	−6.4	16	10.0	24	—	—	—	—	—	—
Juni	566.3	558.3	8	573.4	14	3.5	5.5	2.9	3.7	−2.0	1. 27	14.0	15	82	71	90	81	30	14
Juli	568.8	563.1	23	571.9	28	6.4	9.5	6.8	7.4	−1.0	16	16.2	30	73	61	88	74	37	4
August	566.7	560.0	9	570.5	2	5.4	8.5	6.0	6.5	0.0	11	13.9	19	80	69	84	78	29	15
September	567.3	562.5	30	571.1	11	4.4	7.2	5.0	5.4	−2.0	29	11.7	9	80	71	86	79	14	29
Oktober	564.3	557.7	23	569.6	16	−1.9	0.5	−1.2	−0.9	−6.4	12	6.5	3	85	80	90	85	32	16
November	559.6	549.7	12	571.8	27	−5.0	−3.7	−4.2	−4.3	−11.4	23.29	1.0	25	90	85	85	87	30	30
Dezember	564.3	548.4	29	572.2	21	−5.1	−4.4	−5.0	−4.9	−12.1	3	2.4	17	67	67	68	67	17	12
Jahr	562.6	543.3	II	573.4	VI	−2.3	−0.3	−2.1	−1.7	−19.0	III	16.2	VII	—	—	—	—	—	—

Sion

$\lambda = 7^\circ 21'$, $\beta = 46^\circ 14'$, $H_b = 548.6^m$, $G = -0.11$ ‰, $h_r = 2.4^m$

Januar	712.2	698.1	2	725.6	16	−0.3	3.9	1.5	1.6	−4.3	17	8.0	21	82	63	78	74	35	15
Februar	709.7	692.8	5	716.1	17	0.8	5.5	2.6	2.9	−3.5	3	11.1	9	80	61	73	71	39	17
März	709.8	693.8	8	722.1	21	2.0	8.8	4.7	5.0	−4.7	1	15.4	8	83	49	69	67	27	21
April	714.2	708.2	9	721.7	15	6.9	15.4	9.7	10.4	2.0	1	22.0	24	73	43	62	59	29	11
Mai	710.8	702.4	10	717.3	24	11.6	19.1	13.3	14.3	7.5	17	27.1	25	75	46	63	61	32	1
Juni	714.9	707.7	8	721.5	14	16.0	22.3	16.7	17.9	11.1	1	28.9	15	74	51	68	64	36	12
Juli	715.8	709.7	23	719.7	26	17.7	24.9	19.4	20.4	14.2	26	28.6	31	73	51	68	64	40	8
August	714.5	706.8	8	719.3	22	16.1	22.3	17.5	18.3	13.0	10	27.3	2. 30	84	59	77	73	49	6
September	715.8	711.1	9	721.0	4	13.6	20.7	16.0	16.6	6.2	30	26.2	13	90	57	78	75	46	0. 2
Oktober	715.1	710.6	19	719.7	16	7.3	14.1	9.4	10.0	2.3	27	19.4	2	90	59	86	78	33	12
November	711.7	698.6	8	727.7	27	5.3	9.9	6.6	7.1	−1.4	28	18.0	7	85	61	76	74	37	18
Dezember	718.1	702.7	29	726.4	21	0.1	4.5	1.3	1.8	−4.2	13	8.2	10	83	64	80	76	41	20
Jahr	713.6	692.8	II	727.7	XI	8.1	14.3	9.9	10.5	−4.7	III	28.9	VI	81	55	73	70	27	III

Beobachter: A. Thétaz

Montreux-Clarens

Bewölkung 7³⁰	13³⁰	21³⁰	Mittel	Niederschlag Summe	Maximum	Tag	Zahl der Tage •	≥1.0	*	▲	K	≡	heiter	trüb	Windverteilung N	NE	E	SE	S	SW	W	NW	Calmen	1951
6.6	8.1	8.0	7.6	66	17	18	9	9	—	—	—	—	—	16	—	1	—	2	1	2	—	—	87	Januar
7.9	7.0	5.9	6.9	89	19	17	14	11	1	—	1	—	2	10	—	1	1	—	2	5	—	3	72	Februar
7.5	7.3	7.4	7.4	144	25	27	15	14	2	—	1	—	3	19	3	1	2	—	2	9	2	4	70	März
6.7	6.5	6.5	6.6	82	13	7	14	12	—	—	—	—	2	14	2	2	—	3	3	5	—	4	71	April
6.9	7.4	7.0	7.1	89	15	31	16	13	—	—	4	—	1	11	1	3	—	2	2	2	—	—	83	Mai
6.4	6.4	6.6	6.5	132	26	8	20	17	—	—	3	—	1	10	2	4	1	1	6	4	—	1	71	Juni
3.8	4.5	5.1	4.5	185	49	14	13	11	—	—	6	—	8	5	1	1	2	1	3	4	—	—	81	Juli
6.2	6.3	5.5	6.0	158	41	20	18	14	—	—	3	—	4	11	3	8	2	4	6	1	1	—	68	August
6.7	5.8	6.0	6.2	103	36	28	11	9	—	—	—	—	3	10	1	1	—	1	5	1	—	—	81	September
7.4	7.0	6.7	7.0	42	19	22	3	3	—	—	—	—	3	13	1	3	—	4	2	1	—	1	81	Oktober
7.2	7.0	6.8	7.0	157	26	11	18	17	—	—	1	—	3	15	—	7	—	9	1	2	—	1	70	November
6.0	7.2	6.5	6.6	94	25	9	11	10	—	—	—	2	4	13	3	6	—	2	4	2	—	1	75	Dezember
6.6	6.7	6.5	6.6	1341	49	VII	162	140	3	—	19	2	34	147	17	38	8	29	37	38	3	15	910	Jahr

Beobachter: M. Baud

Leysin

Bewölkung 7³⁰	13³⁰	21³⁰	Mittel	Niederschlag Summe	Maximum	Tag	Zahl der Tage •	≥1.0	*	▲	K	≡	heiter	trüb	Windverteilung N	NE	E	SE	S	SW	W	NW	Calmen	1951
5.2	6.4	5.8	5.8	144	45	18	10	8	8	—	—	3	5	11	—	14	—	—	—	6	43	11	19	Januar
6.8	7.1	5.8	6.6	111	17	17	15	14	15	—	—	4	3	13	2	12	—	—	—	4	48	4	14	Februar
7.1	7.5	6.7	7.1	155	25	24	20	19	15	—	—	2	6	17	5	12	—	—	1	8	40	11	16	März
5.1	6.1	5.9	5.7	91	20	7	12	11	6	—	—	3	3	11	—	16	—	—	—	14	27	7	26	April
5.9	6.8	6.6	6.4	85	13	4	14	11	—	—	2	12	4	13	2	16	—	—	—	33	14	7	21	Mai
5.6	6.7	5.9	6.1	119	24	8	19	18	—	—	2	2	5	10	—	14	—	—	—	28	19	6	23	Juni
3.8	5.5	4.7	4.7	179	39	11	13	11	—	—	8	4	6	9	—	5	—	2	—	39	19	12	16	Juli
5.6	6.4	4.4	5.5	140	33	20	20	15	—	—	2	8	4	6	—	2	—	—	1	42	17	20	11	August
4.7	4.9	5.1	4.9	93	23	7	12	10	—	—	1	6	9	10	—	9	—	—	2	38	17	2	22	September
5.1	7.4	4.8	5.8	41	19	22	3	3	2	—	—	17	6	8	—	4	—	—	3	51	11	7	17	Oktober
6.6	7.4	6.3	6.8	196	32	1	17	15	11	—	—	4	3	12	2	11	—	—	1	22	29	10	15	November
3.2	4.4	3.6	3.7	78	17	9	12	12	10	—	—	1	14	5	2	12	—	—	—	8	36	13	22	Dezember
5.4	6.4	5.5	5.8	1432	45	I	167	147	67	—	15	66	68	125	13	127	—	2	8	293	320	110	222	Jahr

Beobachter: Hospiz

Gr. St. Bernhard

Bewölkung 7³⁰	13³⁰	21³⁰	Mittel	Niederschlag Summe	Maximum	Tag	Zahl der Tage •	≥1.0	*	▲	K	≡	heiter	trüb	Windverteilung N	NE	E	SE	S	SW	W	NW	Calmen	1951
5.7	6.6	6.2	6.2	131	24	18	14	14	14	—	—	—	5	13	—	34	—	—	—	43	—	—	16	Januar
6.4	6.6	6.2	6.4	223	25	20	18	18	18	—	—	—	6	11	—	29	—	—	—	44	—	—	11	Februar
6.3	6.8	6.7	6.6	140	20	13 27	15	15	15	—	—	—	3	15	—	39	—	—	—	50	—	—	4	März
4.9	4.9	6.4	5.4	112	22	9	10	10	10	—	—	13	7	8	—	38	—	—	—	42	—	—	10	April
7.4	8.0	6.6	7.3	239	67	26	16	16	15	—	—	17	3	17	—	30	—	—	—	51	—	—	12	Mai
6.0	6.2	7.5	6.6	143	25	23	11	11	3	—	4	17	4	11	—	41	—	—	—	13	—	—	36	Juni
4.2	4.4	6.1	4.9	167	66	13	11	11	2	—	3	11	9	8	—	40	—	1	—	20	—	—	32	Juli
6.1	6.5	7.2	6.6	203	29	21	16	15	2	—	6	16	4	15	—	22	—	4	2	48	—	—	17	August
5.1	5.4	6.3	5.6	94	25	23	12	11	2	—	—	15	5	8	—	35	—	—	—	35	—	—	20	September
6.9	6.5	7.1	6.8	71	17	31	8	7	7	—	—	19	4	17	—	10	—	—	—	65	—	—	18	Oktober
7.8	6.9	6.5	7.1	443	58	10	20	20	20	—	—	23	4	16	—	37	—	—	—	43	—	—	10	November
2.8	4.4	4.5	3.9	126	19	9	13	13	13	—	—	11	14	6	—	37	—	—	—	31	—	—	25	Dezember
5.8	6.1	6.4	6.1	2092	67	V	164	161	121	—	13	142	68	145	—	392	—	5	2	485	—	—	211	Jahr

Beobachter: Kapuzinerkloster

Sion

Bewölkung 7³⁰	13³⁰	21³⁰	Mittel	Niederschlag Summe	Maximum	Tag	Zahl der Tage •	≥1.0	*	▲	K	≡	heiter	trüb	Windverteilung N	NE	E	SE	S	SW	W	NW	Calmen	1951
5.8	6.4	5.4	5.9	73	21	19	7	6	3	—	—	—	3	12	12	4	—	—	—	8	12	11	46	Januar
7.3	6.8	5.3	6.5	59	13	17	11	10	9	—	—	—	2	9	15	1	—	—	—	12	9	24	23	Februar
6.9	5.8	5.7	6.1	61	13	18	11	9	4	—	—	—	4	11	11	2	1	—	1	19	16	25	18	März
4.9	4.7	4.8	4.8	38	20	9	9	7	—	—	—	—	7	5	8	2	—	—	—	27	11	18	24	April
6.0	6.5	5.5	6.0	28	9	27	8	5	—	—	—	—	2	9	8	2	—	—	2	33	14	10	24	Mai
5.2	5.5	5.6	5.4	52	16	23	11	8	—	—	1	—	5	7	4	1	—	—	1	25	13	15	31	Juni
4.0	3.7	4.3	4.0	53	17	15	7	6	—	—	2	—	12	4	8	—	—	—	2	25	27	13	18	Juli
5.4	5.2	5.4	5.3	91	21	21	13	13	—	—	—	—	4	8	5	4	5	—	—	11	13	7	48	August
4.9	4.3	4.2	4.5	17	9	23	7	3	—	—	—	—	6	5	5	12	6	1	—	17	8	5	36	September
5.9	4.3	4.9	5.0	16	9	22	3	3	—	—	—	—	6	4	4	7	7	1	2	13	7	8	44	Oktober
6.6	6.5	6.2	6.4	78	29	10	14	9	—	—	—	1	3	10	1	14	10	1	—	5	10	5	44	November
3.4	4.1	3.5	3.7	41	15	25	10	8	5	—	—	5	3	13	7	18	10	—	1	1	3	1	52	Dezember
5.5	5.3	5.1	5.3	607	29	XI	111	87	21	—	3	6	57	97	88	67	39	3	9	196	143	142	408	Jahr

Montana

$\lambda = 7° 29'$, $\beta = 46° 19'$, $H_b = 1453.2^m$, $G = -0.21$ ‰, $h_r = 1.5^m$

1951	Luftdruck					Luft-Temperatur								Relative Feuchtigkeit					
	Mittel	Minimum	Tag	Maximum	Tag	7^{30}	13^{30}	21^{30}	Mittel	Minimum	Tag	Maximum	Tag	7^{30}	13^{30}	21^{30}	Mittel	Minimum	Tag
Januar	636.2	621.8	2	647.1	16	-2.9	1.2	-1.9	-1.4	-7.1	31	9.2	6	76	66	76	73	27	6
Februar	633.3	619.1	5	638.9	17	-4.1	0.5	-2.4	-2.1	-10.4	28	5.2	9	84	67	78	76	32	17
März	634.0	621.2	8	644.7	21	-2.7	2.5	-0.6	-0.3	-11.9	1	10.4	23	79	57	72	69	27	22
April	639.2	632.7	7	644.6	16	2.0	7.7	3.8	4.3	-4.1	1	15.1	24	74	54	65	64	30	24
Mai	637.1	628.7	10	645.0	24	6.8	12.4	8.4	9.0	1.2	16	21.9	25	79	55	65	66	39	18
Juni	641.8	634.3	8	647.9	14	10.5	15.3	11.1	12.0	6.0	23	24.7	15	80	60	73	71	34	15
Juli	643.7	638.3	23	646.5	28	12.8	18.7	15.2	15.5	7.1	16	26.0	31	80	56	64	67	31	29
August	641.9	634.7	8	645.4	3	12.0	17.0	13.5	14.0	7.7	10	22.6	2	81	63	72	72	33	19
September	642.7	638.8	26	646.3	16	10.2	16.1	11.2	12.2	3.9	29 30	21.0	11.12	85	67	80	77	42	11
Oktober	640.4	635.6	22	644.7	16	4.7	10.8	6.6	7.2	0.0	23	16.2	2	75	56	74	68	24	16
November	636.5	625.1	8	649.8	27	1.5	4.9	2.5	2.8	-4.1	23	10.8	7	77	67	72	72	35	17
Dezember	641.7	624.9	29	649.2	21	-0.8	3.8	0.4	0.9	-7.1	4. 28	8.9	1	64	52	61	59	28	14
Jahr	639.0	619.1	II	649.8	XI	4.2	9.2	5.7	6.2	-11.9	III	26.0	VII	78	60	71	70	24	X

Reckingen

Die Abendbeobachtung erfolgt um 20^{30h}

$\lambda = 8° 14'$, $\beta = 46° 28'$, $H_b = 1332.4^m$, $G = -0.19$ ‰, $h_r = 1.6^m$

Januar	642.6	639.5	12	650.0	16	-7.2	-2.1	-5.4	-5.0	-14.8	10	-0.4	div.	89	74	88	84	45	11
Februar	643.4	630.1	5	649.5	17	-6.4	-0.7	-4.3	-4.0	-15.8	2	3.0	9	91	69	85	82	40	23 27
März	—	—	—	—	—	-5.2	2.4	-2.6	-2.0	-15.9	1	7.2	23	85	53	78	72	26	22
April	—	—	—	—	—	-1.3	7.3	1.3	2.1	-7.6	13	14.1	22	85	45	77	69	30	22
Mai	—	—	—	—	—	5.3	13.0	5.6	7.6	0.6	1	21.4	25	82	46	75	68	30	25
Juni	—	—	—	—	—	9.7	17.3	10.2	11.9	0.8	1	24.6	17	81	49	74	68	28	15
Juli	—	—	—	—	—	12.0	20.2	13.4	14.7	6.8	1	24.8	15	73	44	67	61	26	31
August	651.2	643.2	8	656.9	19	11.5	18.4	12.0	13.6	7.4	31	24.2	2	79	47	73	66	28	2.18.19
September	653.1	647.8	30	657.5	21	8.3	17.7	10.6	11.9	0.8	30	23.6	5. 11	87	46	74	69	28	10
Oktober	651.2	644.9	31	656.4	16	1.8	11.4	3.2	5.3	-3.9	27	17.8	3	85	43	77	68	21	16
November	647.6	636.6	8	661.4	27	-1.2	3.1	-0.2	0.4	-9.0	29	8.8	7	94	73	87	85	38	17
Dezember	652 9	641.7	26	660.6	21	-6.9	0.0	-4.5	-3.9	-15.4	12	5.4	6	83	59	75	72	40	2
Jahr	—	—	—	—	—	1.7	9.0	3.3	4.4	-15.9	III	24.8	VII	85	54	77	72	21	X

Graubünden

Chur

$\lambda = 9° 32'$, $\beta = 46° 51'$, $H_b = 633^m$, $G = -0.10$ ‰, $h_r = 1.7^m$

Januar	704.0	690.8	2	717.8	16	0.1	3.3	0.9	1.3	-4.3	31	9.6	25	73	58	77	69	23	1
Februar	701.7	685.8	5	709.8	28	0.8	4.4	1.8	2.2	-5.0	3	11.5	9	72	55	72	66	22	17
März	701.9	688.1	8	715.8	21	0.8	6.7	3.2	3.5	-5.4	2. 5	15.1	17	65	41	62	56	16	22
April	706.8	699.3	9	713.2	15	5.7	12.7	7.7	8.5	0.7	8	20.1	25	61	34	55	50	17	9
Mai	703.6	695.5	10	710.1	23 24	9.7	16.6	11.7	12.4	4.8	1. 12	27.8	25	68	38	61	56	16	23.24
Juni	707.6	698.8	8	713.9	13.14	13.4	19.3	14.8	15.6	8.8	23	28.6	17	73	44	68	62	12	15
Juli	709.3	704.1	23	714.2	26	14.9	22.0	17.2	17.7	11.7	27	29.4	11	75	40	66	60	21	11
August	707.1	699.4	8. 9	711.4	18.22	14.6	21.1	16.4	17.1	10.0	17	28.5	1	78	45	68	64	21	30
September	708.6	704.1	30	714.2	4	12.5	18.4	14.3	14.9	5.5	20	26.7	13	79	50	75	68	26	23
Oktober	708.0	702.2	31	712.4	16	6.4	12.1	8.3	8 8	2.0	10	18.2	2	76	52	74	67	17	13
November	704.0	688.8	12	720.7	27	5.5	8.6	6.2	6.6	-1.0	28	17.2	7. 10	76	56	74	69	18	17
Dezember	710.0	694.8	29	718.6	12	0.6	4.4	2.3	2.4	-4.9	12	10.4	25	65	51	60	59	21	24
Jahr	706.0	685.8	II	720.7	XI	7.1	12.5	8.7	9.2	-5.4	III	29.4	VII	72	47	68	62	12	VI

Disentis

Die Abendbeobachtung erfolgt um 20^{30h}

$\lambda = 8° 51'$, $\beta = 46° 42'$, $H_b =$ ca. 1168^m, $G = —$ ‰, $h_r = 1.8^m$

Januar	—	—	—	—	—	-1.6	1.6	-0.5	-0.3	-5.9	31	5.8	6	77	62	75	71	36	10
Februar	—	—	—	—	—	-1.7	1.5	-0.7	-0.5	-7.1	28	7.2	9	78	63	76	72	33	21
März	—	—	—	—	—	-1.0	3.4	0.2	0.5	-9.6	2	9.5	16	72	50	71	64	24	22
April	—	—	—	—	—	2.7	8.4	4.2	4.8	-3.7	4	15.6	25	71	45	65	60	22	24
Mai	—	—	—	—	—	7.9	13.5	8.4	9.5	2.9	15	23.3	24	70	42	64	59	25	23.24
Juni	—	—	—	—	—	11.7	16.9	12.3	13.1	8.1	1	25.2	14	74	47	70	64	23	14 15
Juli	—	—	—	—	—	13.6	20.5	15.2	15.9	8.8	25	27.7	31	73	41	69	61	20	3
August	—	—	—	—	—	13.1	18.2	14.6	14.9	8.6	10	25.4	2	77	52	71	67	30	2
September	—	—	—	—	—	11.1	17.0	12.7	13.3	5.6	21	23.7	11	76	47	73	65	19	22
Oktober	—	—	—	—	—	5.2	11.6	7.1	7.8	0.6	11.23	17.9	2	71	44	69	61	14	16
November	—	—	—	—	—	3.2	5.4	3.9	4.0	-3.0	30	12.7	7	80	68	77	75	29	17
Dezember	—	—	—	—	—	0.2	3 9	1.6	1.8	-6.1	29	9.6	22	62	49	57	56	24	24
Jahr	—	—	—	—	—	5.3	10.2	6.6	7.1	-9.6	III	27.7	VII	73	51	70	65	14	X

Beobachter: Sanatorium «La Moubra»

Montana

Bewölkung 7^{30}	13^{30}	21^{30}	Mittel	Niederschlag Summe	Maximum	Tag	Zahl der Tage ●/✱	●✱ ≥1.0	✱	▲	K	≡	heiter	trüb	Windverteilung N	NE	E	SE	S	SW	W	NW	Calmen	1951
4.9	5.7	5.0	5.2	119	41	18	8	7	8	—	—	4	5	8	—	—	11	1	—	—	11	—	70	Januar
6.6	7.0	5.4	6.3	95	25	11	11	11	11	—	—	3	2	9	—	1	13	—	—	—	10	—	60	Februar
6.3	6.3	5.2	5.9	102	19	18	13	13	10	—	—	1	5	8	—	—	12	—	—	—	13	—	68	März
4.7	4.8	4.6	4.7	45	16	9	7	7	4	—	—	—	8	6	—	—	11	—	—	—	8	—	71	April
6.3	6.0	5.6	6.0	49	10	4	11	10	—	1	—	6	2	6	—	3	14	—	—	—	8	—	68	Mai
5.2	5.0	5.1	5.1	99	25	23	12	12	—	—	4	3	4	4	—	—	3	—	—	—	6	—	81	Juni
4.0	4.0	3.6	3.9	60	23	15	8	5	—	—	3	—	10	3	—	—	3	—	—	—	7	—	83	Juli
4.5	4.8	4.1	4.5	114	23	21.25	14	12	—	—	—	2	7	3	—	—	7	—	—	—	3	—	83	August
4.9	4.0	3.3	4.1	30	*10	29	6	5	—	—	—	4	11	4	—	—	4	—	—	—	—	—	86	September
4.2	3.9	4.1	4.1	31	18	22	4	3	3	—	—	3	9	3	—	—	10	—	—	—	—	—	83	Oktober
6.7	6.4	4.9	6.0	113	24	10	15	14	10	—	—	3	3	9	—	—	28	—	—	—	7	—	55	November
2.8	3.8	2.5	3.0	50	20	9	7	7	6	—	—	—	15	1	—	—	6	—	—	—	2	—	85	Dezember
5.1	5.1	4.5	4.9	907	41	I	116	106	52	1	7	29	81	64	—	4	122	1	—	—	75	—	893	Jahr

Beobachter: J. Stucky

Reckingen

7^{30}	13^{30}	21^{30}	Mittel	Summe	Maximum	Tag	●/✱	●✱ ≥1.0	✱	▲	K	≡	heiter	trüb	N	NE	E	SE	S	SW	W	NW	Calmen	1951
5.9	5.1	4.8	5.3	*170	?	—	*12	*12	*12	—	—	?8	8	9	—	10	—	10	—	13	—	2	58	Januar
7.6	6.6	6.1	6.8	167	39	11	20	20	20	—	—	6	3	13	—	—	—	11	—	9	—	4	60	Februar
7.4	7.6	7.9	7.6	95	14	8	20	18	16	—	—	—	2	20	—	—	—	16	—	9	—	8	60	März
6.2	6.2	5.7	6.0	80	18	30	11	11	7	—	—	—	4	9	—	3	—	23	—	18	—	—	46	April
6.8	7.3	5.8	6.6	132	67	27	11	9	—	—	—	—	2	9	—	2	—	29	—	11	—	—	51	Mai
7.1	6.3	6.4	6.6	125	29	23	17	14	—	—	4	—	2	11	—	2	—	16	—	27	—	—	45	Juni
2.4	4.5	3.6	3.5	43	15	15	8	7	—	—	2	—	12	2	—	6	—	22	—	6	—	—	59	Juli
6.3	7.1	6.3	6.6	150	46	21	15	15	—	—	—	—	1	11	—	—	—	17	—	21	—	—	55	August
5.9	4.8	4.9	5.2	54	12	14	11	8	—	—	—	—	6	5	—	—	—	8	—	23	—	8	51	September
4.8	4.8	5.2	4.9	114	69	22	4	4	3	—	—	—	7	10	—	—	—	12	—	11	—	—	70	Oktober
8.6	8.2	8.0	8.3	252	60	10	20	18	12	—	—	—	2	21	—	2	—	7	—	11	—	7	63	November
3.4	4.8	4.2	4.1	21	4	9. 26	9	7	9	—	—	—	12	8	—	4	—	5	—	3	—	7	74	Dezember
6.0	6.1	5.7	5.9	1403	69	X	158	143	79	—	6	14	61	128	—	29	—	176	—	162	—	36	692	Jahr

Graubünden

Beobachter: Kantonsschule

Chur

7^{30}	13^{30}	21^{30}	Mittel	Summe	Maximum	Tag	●/✱	●✱ ≥1.0	✱	▲	K	≡	heiter	trüb	N	NE	E	SE	S	SW	W	NW	Calmen	1951
7.0	7.0	6.6	6.9	137	50	20	11	9	8	—	—	—	4	15	2	—	1	23	5	—	1	7	54	Januar
8.6	7.9	7.1	7.8	86	34	11	15	13	7	—	—	—	—	13	2	—	5	22	4	1	2	10	38	Februar
8.2	7.7	6.7	7.5	55	27	13	11	8	7	—	—	—	2	17	—	—	4	15	—	—	6	19	49	März
6.4	5.9	5.0	5.8	50	13	7	7	7	4	—	—	—	5	8	2	1	1	17	3	1	3	22	40	April
7.0	4.7	6.0	6.9	44	18	27	6	6	—	—	—	—	—	10	1	—	2	14	2	2	2	28	42	Mai
6.7	6.7	7.6	7.0	89	29	23	17	12	—	—	2	—	2	15	—	—	—	7	—	—	2	27	54	Juni
4.6	4.6	5.5	4.9	60	13	15	13	11	—	—	4	—	8	9	1	1	1	13	—	—	1	29	47	Juli
6.0	6.3	5.9	6.1	156	64	8	15	13	—	—	2	—	5	10	1	2	3	22	2		1	27	35	August
5.6	5.3	6.1	5.7	39	14	14	6	6	—	—	1	—	7	9	1	—	1	21	1	—	—	28	38	September
6.0	5.6	5.5	5.7	10	6	31	2	2	—	—	—	—	3	6	—	—	3	23	—		—	27	40	Oktober
8.5	8.0	6.5	7.7	98	21	21	17	15	3	—	—	—	3	16	1	3	1	16	—	2	2	18	47	November
3.7	4.5	3.6	3.9	18	11	26	7	6	2	—	—	—	14	5	1	—	1	18	3	—	1	4	65	Dezember
6.5	6.4	6.0	6.3	842	64	VIII	127	108	31	—	9	—	53	133	12	7	23	211	20	6	21	246	549	Jahr

Beobachter: P. Fl. Maissen

Disentis

7^{30}	13^{30}	21^{30}	Mittel	Summe	Maximum	Tag	●/✱	●✱ ≥1.0	✱	▲	K	≡	heiter	trüb	N	NE	E	SE	S	SW	W	NW	Calmen	1951
6.6	6.8	7.0	6.8	180	52	20	14	12	14	—	—	1	2	15	15	7	—	—	1	8	8	10	44	Januar
8.5	7.0	7.4	7.6	298	124	11	17	12	17	—	—	—	—	15	6	15	2	—	2	8	2	8	41	Februar
7.8	6.9	5.7	6.8	103	42	13	14	10	11	—	—	—	2	13	12	18	—	1	6	6	4	8	38	März
6.1	4.8	5.9	5.6	153	55	28	11	6	8	—	—	1	6	8	12	16	—	1	8	18	3	4	28	April
7.1	7.4	7.4	7.3	112	57	27	12	10	—	—	—	—	1	12	8	11	—	—	10	22	1	10	31	Mai
6.1	5.7	7.0	6.3	137	23	23	18	13	—	—	—	—	3	9	5	13	1	1	6	7	1	2	54	Juni
4.1	4.3	5.0	4.5	93	29	12	14	11	—	1	2	—	11	6	6	25	3	1	18	10	2	1	27	Juli
5.9	6.7	5.9	6.2	180	55	7	14	13	—	—	3	2	4	11	4	22	1	—	18	14	4	4	26	August
5.8	4.8	5.2	5.3	40	16	26	8	6	—	—	—	1	6	6	7	26	—	1	9	13	3	3	28	September
4.9	4.2	6.3	5.1	67	60	22	4	3	2	—	—	1	6	5	8	14	—	—	12	9	3	6	41	Oktober
8.3	8.0	7.9	8.1	281	58	19	20	19	10	—	—	—	2	19	5	13	—	—	2	12	3	6	49	November
3.9	3.6	4.2	3.9	12	6	26	9	3	9	—	—	—	15	7	15	8	1	—	3	9	3	10	44	Dezember
6.3	5.8	6.2	6.1	1656	124	II	155	118	71	1	5	6	58	126	103	188	8	5	95	136	37	72	451	Jahr

Platta-Medels

$\lambda = 8° 51'$, $\beta = 46° 39'$, $H_b = 1378^m$, $G = -0.21$ ‰/m, $h_r = 1.2^m$

1951	Luftdruck					Luft-Temperatur								Relative Feuchtigkeit					
	Mittel	Minimum	Tag	Maximum	Tag	7^{30}	13^{30}	21^{30}	Mittel	Minimum	Tag	Maximum	Tag	7^{30}	13^{30}	21^{30}	Mittel	Minimum	Tag
Januar	641.7	628.8	2	653.3	16	-3.2	1.0	-2.3	-1.7	-10.2	14	9.8	6	75	56	70	67	26	6
Februar	639.3	623.7	5	645.3	28	-3.8	1.3	-3.0	-2.1	-11.2	28	6.6	21	76	54	73	68	24	21
März	640.2	629.4	9	652.2	21	-3.4	3.1	-2.5	-1.3	-14.0	2	11.8	23	69	45	69	61	25	22
April	645.8	638.9	10	653.1	15	0.7	7.2	2.1	3.0	-6.6	4	13.0	23	70	44	64	59	23	24
Mai	643.8	635.5	10	651.6	23	6.2	11.9	6.0	7.5	1.6	15	20.8	25	68	45	69	61	23	5
Juni	648.2	640.5	8	655.9	15	9.9	16.3	9.7	11.4	5.2	25	24.8	14	72	45	76	64	24	15
Juli	650.1	644.5	23	653.2	27 . 28	11.2	19.9	12.2	13 9	8.0	25	27.4	30	76	40	75	64	22	3
August	648.1	639.6	9	651.7	18	11.0	17.4	12 4	13.3	5.6	17	22.8	3	75	48	69	64	30	14
September	648.9	644.6	3. 30	653.3	4	9.3	17.0	10.6	11.9	2.6	21	27.2	8	73	45	70	63	25	22
Oktober	647.2	642.5	22	652.2	17	4.0	11.1	5.4	6.5	-2.6	11	18.4	3	66	40	65	57	16	16
November	643.0	632.6	12	657.2	27	1.7	4.6	2.2	2.7	-5.4	30	9.0	28	74	59	74	69	21	16
Dezember	648.2	632.5	29	656.0	21	-1.7	4.9	-0.1	0.7	-9.8	12	11.2	17 . 18	61	37	55	51	22	9
Jahr	645.4	623.7	II	657.2	XI	3.5	9.6	4.4	5.5	-14.0	III	27.4	VII	71	46	69	62	16	X

Arosa

$\lambda = 9° 41'$, $\beta = 46° 47'$, $H_b = 1864^m$, $G = -0.24$ ‰/m, $h_r = 1.6^m$

Januar	603.7	592.2	2	613.3	17	-5.6	-1.0	-5.3	-4.3	-10.6	17	10.0	6	81	65	85	77	32	6
Februar	601.6	592.1	4	606.3	1. 17	-6.0	-1.7	-6.6	-5.2	-12.4	27 . 28	4.6	9	87	72	83	81	43	20
März	602.0	592.2	8	612.1	21	-5.7	-0.6	-5.1	-4.1	-16.4	2	7.2	23	82	61	83	75	27	23
April	607.6	600.9	10	613.1	15	-1.4	3.3	-1.9	-0.5	-8.9	8	10.0	25	76	58	81	72	29	24
Mai	606.4	598.2	10	614.5	23 . 24	3.5	7.3	3.0	4.2	-2.9	15	18.1	25	77	59	84	73	32	1
Juni	611.0	603.2	8	617.6	13	10.6	11.0	11.3	11.0	1.2	25	23.3	15	81	62	88	77	24	15
Juli	613.3	608.4	23	615.9	28	9.4	15.2	9.5	10.9	3.1	25	24.7	31	79	59	88	75	34	3
August	611.4	604.0	8	614.8	3	9.4	14.9	9.6	10.9	4.1	31	23.0	3	83	60	85	76	30	1
September	612.1	607.6	30	616.5	4	7.6	13.0	7.9	9.1	0.5	20	20.5	12	80	64	84	76	20	22
Oktober	609.8	605.0	23	614.0	16	1.7	9.0	2.8	4.1	-3.0	$^{9}_{31}$	13.6	3. 16	76	53	81	70	22	16
November	605.2	592.2	12	618.0	27	-0.1	2.8	-0.2	0.6	-10.6	29	10.3	7	82	69	82	77	23	17
Dezember	610.1	595.4	29	618.3	21	-2.8	1.7	-2.4	-1.5	-13.1	11	7.4	17	67	51	68	62	24	1
Jahr	607.9	592.1	II	618.3	XII	1.7	6.2	1.9	2.9	-16.4	III	24.7	VII	79	61	83	74	20	IX

Davos-Platz

$\lambda = 9° 49'$, $\beta = 46° 48'$, $H_b = 1560.7^m$, $G = -0.21$ ‰/m, $h_r = 9.5^m$

Januar	627.2	614.7	2	638.4	16	-7.4	-1.8	-5.6	-5.1	-13.8	31	2.8	25	87	71	86	81	48	1
Februar	625.0	611.1	5	630.7	1. 17	-6.7	-0.7	-5.1	-4.4	-14.6	17	4.9	11	84	67	82	78	50	4
März	625.3	614.1	8	636.4	21	-6.4	1 0	-3.9	-3.3	-18.4	1	7.0	$^{18.19}_{28}$	84	59	80	74	33	22
April	631.0	623.7	9	637.1	15	-0.1	5.4	0.3	1.5	-5.8	5	11.6	24	78	53	78	70	25	13 . 2
Mai	629.2	620.4	10	636.6	23 . 24	5.9	11.0	5.1	6.8	-0.6	1	21.2	25	72	50	79	67	23	25
Juni	633.6	625.5	8	640.2	14	10.8	14.2	8.5	10.5	1.8	24	23.9	15	71	56	84	70	22	15
Juli	635.7	630.7	23	639.3	27	12.5	16.8	11.5	13.1	5.8	25	24.4	31	75	56	82	71	33	31
August	633.7	626.5	8	637.5	3	11.2	16.5	10.4	12.1	5.2	31	24.6	3	83	57	89	76	28	1
September	634.7	630.1	30	639.7	4	8.0	14.5	8.9	10.1	2.2	20	20.6	13	90	60	92	81	25	22
Oktober	632.6	627.5	22 . 25	637.2	16	0.5	9.6	3.0	4.0	-3.6	11	15.0	2	83	48	80	70	20	13
November	628.2	614.3	12	642.2	27	-0.2	4.0	0.2	1.0	-8.6	27	12.0	10	88	71	85	81	44	20
Dezember	633.3	618.3	29	641.6	21	-6.2	-0.6	-4.3	-3.8	-15.2	12	3.4	17	75	56	70	67	25	24
Jahr	630.8	611.1	II	642.2	XI	1.8	7.5	2.4	3.5	-18.4	III	24.6	VIII	81	59	82	74	20	X

Weißfluhjoch

$\lambda = 9° 50'$, $\beta = 46° 48'$, $H_b = 2667^m$, $G = -0.30$ ‰/m, $h_r = 3.0^m$, $H_r = 2540^m$

Januar	544.4	533.3	2	552.4	17	-8.8	-6.9	-8.4	-8.1	-16.0	16	1.3	6	67	71	69	69	1	9
Februar	542.0	530.6	5	547.2	11 . 17	-10.1	-8.4	-10.5	-9.9	-17.7	28	-2.4	9	77	81	70	76	10	19
März	542.6	533.5	9	551.1	22	-9.5	-7.0	-8.9	-8.6	-21.0	21	1.2	23	71	77	72	73	4	22
April	548.7	541.6	10	554.7	24	-6.0	-3.4	-5.6	-5.1	-12.2	12	1.6	24	69	79	74	74	3	1
Mai	548.5	539.7	10	557.3	24	-1.6	0.7	-1.7	-1.1	-7.4	16	9.0	25	82	80	85	82	49	2
Juni	553.4	547.8	6	560.7	14	2.2	4.1	1.9	2.5	-3.1	25	12.4	15	83	82	88	84	28	1
Juli	556.1	600.4	23	609.5	31	4 3	7.4	4.4	5.1	-1.8	25	19.2	31	77	76	87	80	31	
Dezember	554.4	547.2	9	558.5	2	5.1	8.8	5.2	6.1	-1.0	10	19.4	3	77	69	82	76	29	
August	554.8	550.3	30	559.2	4	3.7	7.0	4.2	4.8	-4.2	20	14.4	5	76	73	80	76	23	2
September	551.6	545.9	23	556.1	16	-1.2	2.5	-0.8	-0.1	-6.9	11	8.2	15	65	60	69	65	13	16
Oktober	549.3	535.0	12	558.2	27	-4.7	-3.7	-4.2	-4.2	-14.0	29	2.7	16	82	80	76	79	17	3
November	550.6	535.6	29	559.6	21	-5.3	-4.3	-5.7	-5.3	-17.0	11	3.9	17	50	57	56	54	8	
Jahr	549.5	530.6	II	609.5	VII	-2.7	-0.3	-2.5	-2.0	-21.0	III	19.4	VIII	73	74	76	74	1	I

Beobachter: Frl. G. Levy

Platta-Medels

Bewölkung				Niederschlag			Zahl der Tage								Windverteilung									1951
7^{30}	13^{30}	21^{30}	Mittel	Summe	Maximum	Tag	• *	•* ≧1.0	*	▲	K	≡	heiter	trüb	N	NE	E	SE	S	SW	W	NW	Calmen	
5.8	7.2	5.4	6.1	198	50	20	10	10	10	—	—	7	6	14	—	3	—	1	11	7	—	—	71	Januar
8.0	6.8	7.9	7.6	285	*94	11	11	11	11	—	—	4	—	16	4	—	—	2	11	7	—	—	60	Februar
7.8	7.2	6.7	7.2	95	46	13	8	8	8	—	—	2	3	16	1	—	—	—	13	11	—	—	68	März
6.7	6.2	6.1	6.3	143	41	28	7	7	5	—	—	2	5	11	—	—	1	—	14	5	—	—	70	April
8.0	7.2	6.8	7.3	175	93	27	9	8	—	—	—	1	1	17	—	—	—	—	3	11	—	—	79	Mai
6.8	6.1	7.2	6.7	145	29	23	10	10	—	—	2	3	3	11	—	—	—	1	2	1	—	—	86	Juni
4.6	5.2	5.0	4.9	67	?	—	9	8	—	—	2	4	11	9	2	—	4	2	9	—	—	—	76	Juli
6.0	7.4	6.7	6.7	209	62	7	12	12	—	—	3	8	1	12	—	—	—	1	18	3	—	—	71	August
5.6	5.1	5.9	5.5	71	33	26	7	6	—	—	—	8	10	10	—	1	2	—	14	3	—	—	70	September
4.8	4.9	6.4	5.4	92	92	22	1	1	1	—	—	6	5	8	—	—	—	2	24	16	—	—	51	Oktober
8.0	8.3	7.8	8.0	431	69	10	20	20	9	—	—	7	—	18	—	1	1	3	8	18	—	—	59	November
3.2	3.4	2.4	3.0	*15	?	—	*8	*4	*8	—	—	1	20	5	2	—	2	2	13	6	—	—	68	Dezember
6.3	6.2	6.2	6.2	1926	*94	II	112	105	52	—	7	53	65	147	9	5	10	14	140	88	—	—	829	Jahr

Beobachter: Lichtklimatisches Observatorium

Arosa

6.5	7.0	7.1	6.9	194	43	20	13	11	13	—	—	1	3	12	—	2	1	3	4	4	5	6	68	Januar
7.8	7.3	7.0	7.4	137	28	13	17	15	17	—	—	—	1	13	—	—	1	8	1	5	6	4	59	Februar
8.4	7.2	5.9	7.2	117	28	13	17	14	17	—	—	1	2	16	—	—	1	4	2	3	6	3	74	März
5.7	5.8	6.4	6.0	91	19	7	11	10	10	1	—	2	5	14	—	—	2	5	1	4	11	5	62	April
7.0	7.7	7.8	7.5	95	31	26	11	8	4	—	—	7	—	14	—	—	3	6	2	2	5	3	72	Mai
6.8	7.0	7.3	7.0	160	32	24	21	15	2	3	1	5	3	15	—	—	1	12	1	—	1	1	74	Juni
4.7	5.4	7.1	5.7	158	45	23	13	13	—	—	5	5	7	11	—	—	—	12	2	1	—	1	77	Juli
5.5	6.2	5.6	5.8	277	136	8	14	13	—	—	2	7	3	9	—	—	—	13	4	5	—	1	70	August
5.6	6.2	5.6	5.8	91	28	26	12	10	—	1	1	6	5	9	—	—	—	4	3	3	—	—	80	September
4.1	5.0	4.3	4.5	22	11	31	3	2	3	—	—	6	6	3	—	—	—	2	2	—	—	—	89	Oktober
8.3	7.3	6.7	7.4	198	47	21	21	17	16	—	—	3	1	15	—	—	—	7	6	12	—	—	65	November
4.1	4.1	3.8	4.0	53	16	26	11	8	11	—	—	—	13	4	—	—	—	1	6	3	—	—	83	Dezember
6.2	6.4	6.2	6.3	1593	136	VIII	164	136	93	5	9	43	49	135	—	2	9	77	34	42	34	24	873	Jahr

Beobachter: Kurverein

Davos-Platz

8.0	7.4	6.2	7.2	237	80	20	11	10	11	—	—	—	1	16	—	1	5	1	—	2	1	—	83	Januar
8.1	7.5	6.0	7.2	80	22	11	13	12	13	—	—	—	1	11	—	3	6	1	—	4	—	—	70	Februar
8.6	7.6	6.0	7.4	80	12	14	15	13	15	—	—	—	1	15	—	5	9	1	2	4	—	—	72	März
6.1	6.0	5.2	5.8	42	10	9	11	7	8	—	—	—	5	11	—	2	14	1	2	—	2	—	69	April
7.1	8.4	6.5	7.3	37	13	27	10	5	2	—	—	1	—	11	—	3	14	4	3	7	—	—	62	Mai
6.1	7.6	6.8	6.8	139	32	24	19	17	1	—	5	—	1	8	—	2	20	1	—	3	1	—	63	Juni
5.2	5.3	6.2	5.6	115	43	23	14	12	—	—	3	—	5	11	—	10	18	3	4	2	—	—	56	Juli
6.0	6.2	5.4	5.9	163	56	8	17	12	—	—	4	1	3	8	—	3	9	3	1	10	—	—	67	August
5.6	5.8	6.4	5.9	50	14	26	9	6	—	—	1	—	6	9	—	7	8	2	—	4	—	—	69	September
5.7	5.1	5.6	5.5	6	4	31	2	2	2	—	—	—	4	6	—	2	8	3	2	3	—	—	75	Oktober
9.1	7.9	7.3	8.1	141	18	21	19	16	13	—	—	1	1	17	—	3	4	2	1	5	—	—	75	November
4.5	4.9	4.6	4.7	30	9	26	10	8	10	—	—	—	8	7	—	2	6	—	—	—	—	—	85	Dezember
6.7	6.6	6.0	6.4	1120	80	I	150	120	75	—	13	3	36	130	—	43	121	22	15	44	4	—	846	Jahr

Beobachter: Eidg. Institut für Schnee- und Lawinenforschung

Weißfluhjoch

7.2	7.1	6.2	6.8	260	*80	20	14	12	14	—	—	17	—	15	11	6	—	18	25	8	7	17	1	Januar
8.1	7.6	6.6	7.4	87	17	11	16	14	16	—	—	13	1	12	10	3	3	25	22	5	5	10	1	Februar
8.7	7.8	6.2	7.6	98	16	27	18	16	18	—	—	15	1	15	10	4	—	25	19	13	1	21	—	März
6.3	6.2	6.1	6.2	75	16	9	13	11	12	—	—	11	5	11	11	4	2	20	18	13	5	17	—	April
7.4	8.3	7.3	7.7	41	11	28	13	9	11	—	—	9	—	14	6	3	3	31	25	10	2	13	—	Mai
6.3	7.8	7.9	7.3	152	27	24	21	20	15	—	2	15	1	13	10	1	1	10	16	12	5	35	—	Juni
5.4	6.6	7.9	6.6	161	43	23	13	12	5	1	3	13	3	12	21	8	2	10	20	2	7	23	—	Juli
6.4	7.9	6.7	7.0	177	64	8	15	14	4	1	3	9	—	10	7	6	4	25	33	2	2	12	2	August
6.6	6.9	6.0	6.5	54	13	14. 26	8	5	3	1	1	13	5	11	9	2	5	19	24	11	4	16	—	September
6.1	5.8	4.1	5.3	6	4	31	2	2	2	—	—	1	5	6	7	9	8	42	14	3	4	6	—	Oktober
8.8	7.6	7.6	8.0	123	21	14	18	16	18	—	—	17	1	17	11	1	2	25	17	8	7	18	1	November
5.5	5.7	5.4	5.5	29	6	26	12	7	12	—	—	8	5	9	11	5	1	13	16	10	8	27	2	Dezember
6.9	7.1	6.5	6.8	1263	*80	I	163	138	130	3	9	141	27	145	124	52	31	263	241	97	57	215	7	Jahr

Schuls

$\lambda = 10° 18'$, $\beta = 46° 48'$, $H_b = 1253.2^m$, $G = -0.17$ ‰, $h_r = 1.5^m$

1951	Luftdruck					Luft-Temperatur								Relative Feuchtigkeit					
	Mittel	Minimum	Tag	Maximum	Tag	7^{30}	13^{30}	21^{30}	Mittel	Minimum	Tag	Maximum	Tag	7^{30}	13^{30}	21^{30}	Mittel	Minimum	Tag
Januar	652.5	64[illegible].9	2	666.8	17	-6.5	-0.8	-4.9	-4.3	-14.0	1. 10	4.0	21. 22 25	78	55	78	70	4[illegible]	10 30. 3
Februar	650.3	637.5	5	657.0	17	-6.2	1.3	-4.2	-3.3	-14.0	28	5.2	10	63	42	63	56	23	23
März	650.2	638.7	8	662.9	22	-4.3	4.2	-2.6	-1.3	-15.0	2	10.0	13	72	36	72	60	20	22
April	655.5	648.6	10	662.3	15	1.2	10.5	2.3	4.1	-5.0	5. 9. 13	16.2	25	63	26	62	50	11	14. 23
Mai	653.4	643.9	10	660.9	24	8.5	16.4	7.8	10.1	2.0	1. 16	25.2	25	61	28	67	52	16	23
Juni	657.5	649.5	8. 9	665.3	14	12.5	20.3	10.8	13.6	5.0	24	28.8	15	62	31	72	55	11	15
Juli	659 4	654.4	23	664.3	28	13.8	22.3	13.4	15.7	8.6	25	29.4	31	67	29	70	55	11	2
August	657.4	650.2	8	662.8	1	12.6	21.5	13.2	15.1	8.0	11	27.4	2	79	37	78	65	14	2
September	658.7*	?	—	?	—	9.6	20.5	10.9	13.0	?	—	?	—	86	35	80	67	?	—
Oktober	657.3	651.1	22	643.3	16	2.1	12.5	3.9	5.6	-4.0	10. 16	18.6	2	90	34	80	68	18	10. 1[illegible]
November	652.9	638.2	12	667.5	27	0.4	5.8	0.9	2.0	-8.0	29	11.0	10	91	59	95	82	42	5
Dezember	658.5	644.3	29	667.6	21	-5.1	0.4	-3.8	-3.1	-14.0	12	5.0	17	74	48	71	64	30	11
Jahr	655.3	637.5	II	667.6	XII	3.2	11.2	4.0	5.6	-15.0	III	29.4	VII	74	38	74	62	11	IV/V VII

Buffalora (Ofenpaß)

$\lambda = 10° 16'$, $\beta = 46° 38'$, $H_b = ca\ 1977^m$, $G = -$ ‰, $h_r = 1.5^m$

Januar	—	—	—	—	—	-11.3	-2.9	-9.9	-8.5	-24.2	1	1.3	22	94	67	93	85	31	17
Februar	—	—	—	—	—	-10.8	-1.8	-10.4	-8.3	-23.5	28	4.0	12	85	70	94	83	30	24
März	—	—	—	—	—	-10.2	0.1	-8.8	-6.9	-27.3	2	8.4	23	83	47	87	72	15	23
April	—	—	—	—	—	-5.2	4.7	-3.8	-2.0	-18.9	13	9.2	6	79	42	86	69	17	13
Mai	—	—	—	—	—	3.0	9.8	1.8	4.1	-4.2	1	19.8	25	72	40	85	66	24	24
Juni	—	—	—	—	—	7.8	14.4	5.4	8.2	0.6	24	22.1	18. 21	63	41	85	63	16	15
Juli	—	—	—	—	—	8.9	17.5	8.3	10.7	2.8	5	24.1	31	70	40	82	64	19	3. 2
August	—	—	—	—	—	8.0	16.9	7.8	10.3	1.4	16	25.3	1	78	51	83	71	19	14
September	—	—	—	—	—	5.7	14.4	5.9	8.0	-1.4	20	20.0	12 13	88	46	91	75	15	20
Oktober	—	—	—	—	—	-0.1	8.5	0.2	2.2	-6.8	27	16.0	4	91	53	92	79	20	8
November	—	—	—	—	—	-4.6	1.6	-4.5	-3.0	-15.8	29	5.4	10	93	68	94	85	32	27
Dezember	—	—	—	—	—	-11.8	-1.0	-10.0	-8.2	-22.3	12	5.0	17	82	57	87	75	30	9. 14.
Jahr	—	—	—	—	—	-1.7	6.8	-1.5	0.5	-27.3	III	25.3	VIII	82	52	88	74	15	III IX

Bever

$\lambda = 9° 53'$, $\beta = 46° 33'$, $H_b = 1711.8^m$, $G = -0.23$ ‰, $h_r = 1.6^m$

Januar	616.1	605.2	2	626.1	17	-10.0	-3.7	-8.5	-7.7	-21.2	10	3.3	21	90	73	91	85	53	16
Februar	614.0	601.7	5	619.5	17	-10.0	-2.1	-8.1	-7.1	-22.6	28	4.2	12	92	66	86	81	32	21
März	614.3	604.4	9	624.7	22	-9.5	-0.5	-5.2	-5.1	-25.6	1	8.2	23	88	60	80	76	26	23
April	619.9	612.4	10	626.3	25	-4.1	4.5	-1.0	-0.4	-15.0	9	10.4	25. 30	84	53	79	72	28	13
Mai	618.3	609.1	10	626.3	23	3.8	9.4	3.9	5.2	-5.0	1	18.8	24	79	50	78	69	29	24
Juni	622.6	614.3	9	630.2	13	8.6	14.2	8.0	9.7	2.0	25	21.6	14	79	51	79	70	31	14
Juli	624.7	619.8	23	627.8	28	8.7	18.1	10.9	12.1	5.0	27	25.4	30	87	44	76	69	28	30
August	623.1	615.9	8	627.2	3	8.2	16.8	9.9	11.2	4.2	17	23.5	1	93	49	85	76	32	2
September	623.8	619.0	26. 30	628.5	4	4.7	15.2	8.2	9.1	-3.4	22	20.3	10	96	47	85	76	25	21
Oktober	622.0	615.8	23	627.3	16	-0.2	8.8	1.3	2.8	-7.8	16	16.3	3	97	52	92	80	24	16
November	617.4	604.0	12	630.2	27	-2.6	2.8	-1.5	-0.7	-14.7	30	7.1	7	93	69	88	83	44	17
Dezember	622.3	608.4	29	631.1	21	-10.2	-2.0	-7.7	-6.9	-20.8	29	2.3	1. 6	93	66	82	80	41	[illegible]
Jahr	619.9	601.7	II	631.1	XII	-1.0	6.8	0.8	1.8	-25.6	III	25.4	VII	89	57	83	76	24	X

St. Moritz

$\lambda = 9° 50'$, $\beta = 46° 30'$, $H_b = ca\ 1853^m$, $G = -0.24$ ‰, $h_r = 2.7^m$

Januar	6[illegible]3.9	592.9	2	613.5	16	-7.6	-1.5	-6.4	-5.5	-15.2	1	5.0	22	80	60	83	74	35	1[illegible]
Februar	601.8	589.6	5	607.3	17	-7.8	-1.4	-6.6	-5.6	-16.0	28	2.8	8	82	61	76	73	30	17.
März	602.1	592.5	9	611.9	22	-7.3	0.7	-5.7	-4.5	-17.9	1. 2	10.8	23	76	51	73	67	22	2[illegible]
April	607.7	600.8	10	613.9	24	-1.8	6.3	-1.2	0.5	-9.4	13	12.7	23	73	47	75	65	19	1[illegible]
Mai	6[illegible]6.4	597.1	10	614.3	23	3.9	9.5	3.7	5.2	-3.1	1	17.6	24	74	48	75	66	31	1. [illegible]
Juni	610.9	602.8	9	617.5	14	8.2	13.8	7.3	9.2	1.6	24	20.6	16	76	50	78	68	26	1[illegible]
Juli	613.1	607.9	23	616.3	30	9.4	16.9	10.2	11.7	5.6	25	21.8	30	80	43	77	67	26	[illegible]
August	611.5	6[illegible]4.3	8	615.1	2	9.1	15.2	9.7	10.9	3.7	17	20.8	3	80	51	81	73	33	17
September	611.4	607.0	26	615.7	11	6.4	14.1	7.9	9.1	-0.2	20	18.8	16	89	49	82	73	24	20
Oktober	6[illegible].9	6[illegible]3.9	23	615.3	16	0.6	6.9	1.9	2.8	-4.4	13	13.8	3	89	55	85	76	25	16
November	6[illegible]5.4	591.8	12	618.8	27	-2.1	2.7	-1.4	-0.6	-9.3	27	6.6	16	83	65	82	77	32	16
Dezember	610.0	596.0	29	618.5	21	-6.0	0.7	-4.7	-3.7	-15.2	12	5.5	1	66	47	64	59	29	14
Jahr	607.8	589.6	II	618.8	XI	0.4	7.0	1.2	2.5	-17.9	III	21.8	VII	80	52	78	70	19	IV

Beobachter: J. Stocker

Schuls

Bewölkung 7^{30}	13^{30}	21^{30}	Mittel	Niederschlag Summe	Maximum	Tag	Zahl der Tage ●*	●* ≥1.0	✱	▲	K	≡	heiter	trüb	Windverteilung N	NE	E	SE	S	SW	W	NW	Calmen	1951
5.7	6.8	6.4	6.3	153	64	20	10	8	10	—	—	2	5	12	—	—	—	—	—	1	7	—	85	Januar
7.7	7.0	6.9	7.2	103	23	6	12	11	12	—	—	1	—	12	1	1	—	—	—	—	2	—	80	Februar
7.4	6.7	5.8	6.6	42	7	13	9	8	6	—	—	1	3	12	2	1	—	—	1	2	—	—	87	März
4.7	4.9	5.1	4.9	43	14	7	8	8	6	—	—	—	8	9	2	—	2	1	1	6	2	—	76	April
6.6	6.6	6.6	6.6	25	13	27	5	4	—	—	—	—	1	11	—	6	3	1	1	6	2	1	73	Mai
5.1	5.6	6.3	5.7	61	32	24	11	10	—	—	3	—	3	7	—	1	6	4	—	10	3	—	66	Juni
4.3	3.9	5.0	4.4	86	40	23	9	9	—	—	3	—	10	6	—	4	7	—	1	7	2	3	69	Juli
4.4	4.5	3.9	4.3	93	32	8	9	9	—	—	1	1	9	8	—	3	10	—	2	2	1	—	75	August
4.4	4.9	5.0	4.8	40	*11	28	7	7	—	—	—	—	10	8	—	—	—	—	—	—	—	—	—	September
4.8	4.0	3.1	4.0	14	8	31	4	3	1	—	—	—	12	7		1	5	2	—	1	1	—	83	Oktober
7.8	7.5	6.8	7.4	89	19	11	17	15	10	—	—	2	2	17	1	—	1	—	1	6	—	—	81	November
3.4	4.0	3.9	3.8	22	10	7	4	4	4	—	—	—	15	5	—	1	—	—	—	4	—	—	88	Dezember
5.5	5.5	5.4	5.5	771	64	I	105	96	49	—	7	7	78	114	—	—	—	—	—	—	—	—	—	Jahr

Beobachter: Ch. Waldburger

Buffalora (Ofenapß)

Bewölkung 7^{30}	13^{30}	21^{30}	Mittel	Niederschlag Summe	Maximum	Tag	Zahl der Tage ●*	●* ≥1.0	✱	▲	K	≡	heiter	trüb	Windverteilung N	NE	E	SE	S	SW	W	NW	Calmen	1951
7.1	6.7	6.4	6.7	185	45	19	14	14	14	—	—	—	3	10	9	11	5	11	3	43	1	10	—	Januar
7.1	6.4	6.1	6.5	186	44	5	13	13	13	—	—	1	2	12	10	13	5	15	3	29	—	9	—	Februar
6.8	6.8	5.4	6.3	76	21	13	18	15	16	—	—	1	5	12	4	21	10	11	4	30	—	13	—	März
4.0	5.5	4.1	4.5	52	13	7	10	10	9	—		—	8	5	13	23	6	10	1	24	—	13	—	April
6.8	6.9	5.8	6.5	57	24	26	9	8	4	—	—	—	—	7	2	14	12	28	3	22	—	11	1	Mai
5.6	6.2	5.8	5.9	135	43	24	13	12	3	—	—	—	2	8	2	2	8	18	9	34	1	16	—	Juni
5.1	5.0	5.1	5.1	119	41	23	13	11	1	—	1	—	7	8	6	9	1	6	1	49	1	20	—	Juli
5.5	5.8	5.7	5.7	174	54	8	13	12	—	—	3	4	2	8	5	19	4	12	1	34	—	18	—	August
4.3	5.7	4.7	4.9	56	12	14	8	8	2	1	—	—	9	10	11	15	7	12	1	23	1	19	1	September
5.0	5.2	4.5	4.9	32	10	31	5	5	2	—	—	—	8	7	9	24	5	18	1	13	6	8	9	Oktober
4.7	7.7	6.2	6.2	194	30	8	18	17	14	—	—	—	3	16	3	26	4	11	2	31	—	10	3	November
3.5	3.4	3.9	3.6	10	3	3	7	5	7	—	—	—	12	4	15	38	5	12	3	12	—	8	—	Dezember
5.5	5.9	5.3	5.6	1276	54	VIII	141	130	85	1	4	6	61	107	89	215	72	164	32	344	10	155	14	Jahr

Beobachter: B. Minsch u. C. Clavuot

Bever

Bewölkung 7^{30}	13^{30}	21^{30}	Mittel	Niederschlag Summe	Maximum	Tag	Zahl der Tage ●*	●* ≥1.0	✱	▲	K	≡	heiter	trüb	Windverteilung N	NE	E	SE	S	SW	W	NW	Calmen	1951
6.8	6.6	5.7	6.4	186	33	20	15	15	15	—	—	1	4	12	1	7	1	—	1	5	1	1	76	Januar
7.1	5.9	6.1	6.4	142	27	5	12	12	12	—	—	—	—	10	—	4	—	—	—	4	1	—	75	Februar
6.4	6.3	4.9	5.9	69	?	—	12	10	11	—	—	3	4	11	3	1	2	1	1	20	3	1	61	März
4.7	5.1	4.3	4.7	47	14	7	8	8	7	—	—	—	8	4	—	1	—		3	6	1	5	74	April
6.2	6.9	5.9	6.3	66	38	27	6	4	1	—	—	—	2	10	—	3	—	1	1	17	3	3	65	Mai
5.0	6.[illegible]	5.4	5.5	99	38	24	12	11	1	—	1	1	2	6		1	—		2	7	2	7	71	Juni
4.1	4.7	4.7	4.5	92	38	23	8	8	—	—	4	—	11	7	—	4	2	—	1	13	8	—	65	Juli
5.7	6.1	4.4	5.4	142	*40	8	11	11	—	—	1	7	4	2	1	3	—	2	3	10	5	2	58	August
6.8	4.8	4.8	5.5	30	*8	14	6	6	—	—	—	10	5	5		8	2	—	1	17	6	3	53	September
6.3	4.7	4.6	5.2	17	?	—	4	4	2	—	—	1	3	6	—	2	2	1	5	18	1	—	64	Oktober
7.9	7.9	6.6	7.5	169	36	8	21	19	13	—	—	—	2	17	1	5		4	2	11	2	3	62	November
4.0	3.8	3.0	3.6	24	8	25	6	6	6	—	—	1	14	3	1	1	2	—	—	4	1	2	82	Dezember
5.9	5.7	5.0	5.6	1083	*40	VIII	121	114	68	—	6	24	59	93	7	40	11	9	20	141	34	27	806	Jahr

Beobachter: J. Tucna

St. Moritz

Bewölkung 7^{30}	13^{30}	21^{30}	Mittel	Niederschlag Summe	Maximum	Tag	Zahl der Tage ●*	●* ≥1.0	✱	▲	K	≡	heiter	trüb	Windverteilung N	NE	E	SE	S	SW	W	NW	Calmen	1951
6.6	6.1	5.6	6.1	217	47	12	13	10	13	—	—	—	5	12	9	11	—	—	—	16	5	1	51	Januar
7.5	5.8	5.9	6.4	177	36	5	15	15	15	—	—	—	2	12	1	13	—	—	—	16	5	2	47	Februar
7.1	6.3	4.4	5.9	65	24	13	13	9	13	—	—	—	6	13	3	16	—	—	—	22	7	1	44	März
4.8	4.9	4.4	4.7	63	18	7	8	8	8	—	—		9	5	5	21	—	—	—	30	2	—	32	April
6.6	7.0	5.6	6.4	67	36	27	8	6	4	—	—	—	2	9	6	19	—	—	—	33	2	—	33	Mai
5.4	5.9	4.3	5.2	94	38	24	13	12	1	—	2		6	7	6	13	—	—	—	23	5	—	43	Juni
4.4	3.8	4.7	4.3	80	37	23	9	8	—	—	1	—	12	7	2	22	—	—	—	30	—	—	39	Juli
5.3	5.1	4.5	5.0	144	46	8	14	11		—	1	3	6	8	2	13	—	—	—	42	1	—	35	August
5.0	5.3	4.4	4.9	33	9	26	10	7	—		1	9	7	7	—	24	—	—	—	41	—	4	21	September
7.5	4.7	5.8	6.0	22	8	22	5	4	4			6	3	9	1	18	—	—	—	40	6	2	26	Oktober
7.7	7.1	6.5	7.1	174	33	8	18	16	12	—		—	3	14	5	17	—	—	—	22	8	—	38	November
3.2	3.4	3.3	3.3	18	7	25	7	5	7	—			16	4	3	8			—	15		—	67	Dezember
5.9	5.4	4.9	5.4	1154	47	I	133	111	77		5	18	77	107	43	195				33[illegible]	41	10	476	Jahr

Vicosoprano

$\lambda = 9° 37'$, $\beta = 46° 21'$, $H = 1087^m$, $G = -$ ‰, $h_r = 1.5^m$

1951	Luftdruck					Luft-Temperatur								Relative Feuchtigkeit					
	Mittel	Minimum	Tag	Maximum	Tag	7^{30}	13^{30}	21^{30}	Mittel	Minimum	Tag	Maximum	Tag	7^{30}	13^{30}	21^{30}	Mittel	Minimum	Ta
Januar	—	—	—	—	—	−0.7	0.5	0.2	0.0	−6.4	1	6.1	21	63	62	66	64	32	div.
Februar	—	—	—	—	—	−1.2	1.4	−0.4	−0.2	−5.6	28	3.9	8. 18	65	62	66	64	24	23
März	—	—	—	—	—	−1.2	2.7	−0.2	0.3	−7.6	1	6.7	16	65	55	68	63	27	26
April	—	—	—	—	—	3.1	8.0	4.1	4.8	−0.6	9	14.1	25	61	49	68	59	23	22
Mai	—	—	—	—	—	8.9	13.0	8.5	9.7	4.0	1	22.1	24	65	54	74	64	29	5
Juni	—	—	—	—	—	14.0	17.6	12.6	14.2	8.1	2	23.9	16	58	50	69	59	27	11
Juli	—	—	—	—	—	15.6	20.2	15.6	16.8	10.3	23	24.3	20	60	47	68	58	27	20
August	—	—	—	—	—	14.4	18.8	14.5	15.6	9.2	10	23.2	1	72	60	77	70	31	23
September	—	—	—	—	—	12.3	17.3	13.0	13.9	7.3	22	21.0	4	69	57	78	68	22	4
Oktober	—	—	—	—	—	5.9	8.9	6.5	6.9	0.6	13	15.2	2	85	71	88	81	47	27
November	—	—	—	—	—	3.9	5.7	4.4	4.6	−0.9	28	9.0	30	71	63	70	68	19	27
Dezember	—	—	—	—	—	1.9	3.8	2.3	2.6	−5.3	12	12.1	17	52	47	53	51	18	4. 1
Jahr	—	—	—	—	—	6.4	9.8	6.7	7.4	−7.6	III	24.3	VII	66	56	70	64	18	XI

Splügen-Dorf

$\lambda = 9° 19'$, $\beta = 46° 33'$, $H_b = 1506^m$, $G = -0.21$ ‰, $h_r = 0.8^m$

Januar	632.3	619.8	2	642.7	17	−4.7	−1.5	−4.1	−3.6	−14.0	14	2.2	21	86	74	86	82	50	14.
Februar	630.1	617.1	5	635.9	17	−5.1	−0.5	−4.5	−3.6	−15.0	17	6.0	9	89	69	85	81	40	20
März	630.2	619.5	8	641.3	21	−5.2	1.1	−3.8	−2.9	−15.4	3. 4	9.2	23	85	60	83	76	35	22
April	635.9	628.4	10	643.1	15	−0.4	5.1	0.4	1.4	−8.0	5. 9	11.3	23	84	59	85	76	42	23
Mai	634.2	624.7	10	641.8	23. 24	6.0	9.8	4.3	6.1	1.0	7	19.4	25	77	59	89	75	42	24.
Juni	638.5	630.5	8	645.3	13. 14	11.1	14.1	8.2	10.4	4.1	1	23.0	15	75	62	88	75	40	11
Juli	640.5	635.0	23	643.8	27	13.2	17.4	11.5	13.4	6.2	25	24.2	31	75	54	83	71	35	3
August	638.8	631.1	8	642.2	3	12.6	15.8	11.3	12.8	5.0	10	22.2	2	80	64	87	77	40	2
September	639.6	634.6	30	644.7	4	9.8	14.8	9.5	10.9	2.0	22	20.2	$^{8:10}_{12}$	86	62	88	79	37	22
Oktober	638.0	632.9	22	643.4	16	3.1	8.9	3.8	4.9	−4.0	10	16.0	3	86	61	86	78	35	10
November	633.4	620.0	12	647.6	27	0.7	2.8	0.7	1.2	−6.0	23	7.2	7	87	78	89	85	42	16
Dezember	638.4	623.7	29	646.9	21	−4.9	−0.6	−3.6	−3.2	−14.0	12	4.4	20	82	66	79	76	48	23.
Jahr	635.8	617.1	II	647.6	XI	3.0	7.3	2.8	4.0	−15.4	III	24.2	VII	83	64	86	78	35	III/V X

Splügen: Frau Schwarz † im März. Beobachterwechsel am 1. Mai.

Braggio

$\lambda = 9° 7'$, $\beta = 46° 18'$, $H_b = 1332^m$, $G = -$ ‰, $h_r = 1.5^m$

Januar	—	—	—	—	—	−2.0	2.3	−1.2	−0.5	−8.1	1	7.9	21	77	68	78	74	37	17
Februar	—	—	—	—	—	−2.2	2.5	−1.8	−0.8	−6.9	28	6.5	16	82	71	78	77	39	20
März	—	—	—	—	—	−1.7	3.3	−1.1	−0.1	−8.5	1	8.7	17	75	63	78	72	35	22.
April	—	—	—	—	—	2.3	8.5	2.8	4.1	−2.7	1	13.7	24. 25	75	60	78	71	30	1
Mai	—	—	—	—	—	7.2	11.2	7.6	8.4	2.5	7	18.7	25	76	65	81	74	34	15
Juni	—	—	—	—	—	11.6	17.0	11.9	13.1	6.7	26	22.1	17	77	69	78	75	35	13
Juli	—	—	—	—	—	13.6	19.6	15.2	15.9	10.1	23	23.1	30	69	58	71	66	37	5
August	—	—	—	—	—	13.2	17.9	14.1	14.8	8.1	10	22.5	2	81	68	81	77	36	11
September	—	—	—	—	—	12.1	17.3	12.8	13.8	6.3	20	21.5	7. 8	76	66	81	74	38	27
Oktober	—	—	—	—	—	4.6	7.5	4.9	5.5	−0.5	13	16.1	2	92	83	93	89	53	27
November	—	—	—	—	—	2.4	5.6	3.2	3.6	−2.1	4. 29	9.1	24. 26	75	69	73	72	37	23.
Dezember	—	—	—	—	—	0.5	5.9	1.2	2.2	−4.9	29	13.1	17	56	47	56	53	27	11
Jahr	—	—	—	—	—	5.1	9.9	5.8	6.7	−8.5	III	23.1	VII	76	66	77	73	27	XI

Tessin

Bosco-Gurin

$\lambda = 8° 30'$, $\beta = 46° 19'$, $H_b =$ ca 1510^m, $G = -$ ‰, $h_r = 1.5^m$

Januar	—	—	—	—	—	−3.0	−1.2	−2.3	−2.2	−8.0	1	2.5	18	72	68	72	71	41	9.
Februar	—	—	—	—	—	−3.4	−1.3	−2.6	−2.5	−7.6	28	1.0	10. 12	75	70	71	72	42	2
März	—	—	—	—	—	−2.9	0.0	−2.1	−1.8	−10.0	1	3.0	16. 17	72	67	72	70	37	2
April	—	—	—	—	—	0.8	3.4	1.1	1.6	−2.5	1	6.8	21	76	64	75	72	36	
Mai	—	—	—	—	—	4.9	8.0	4.4	5.4	1.0	8	13.5	25	75	65	76	72	39	2
Juni	—	—	—	—	—	10.6	15.3	10.6	11.8	5.0	8	23.3	15	68	58	65	64	34	1
Juli	—	—	—	—	—	13.5	19.6	13.9	15.2	10.5	1	24.0	21	64	58	63	62	31	2
August	—	—	—	—	—	11.5	16.9	11.8	13.0	9.0	10	20.4	1	76	70	73	73	35	1
September	—	—	—	—	—	10.3	16.0	10.8	12.0	5.5	27	19.6	10	75	60	67	67	31	
Oktober	—	—	—	—	—	3.5	6.9	4.1	4.7	−1.5	18	13.0	2	83	74	83	80	47	26.
November	—	—	—	—	—	1.0	2.7	1.4	1.6	−4.5	29	7.2	12	67	61	64	64	31	2
Dezember	—	—	—	—	—	−1.4	1.0	−0.7	−0.4	−7.0	12. 29	5.8	17	52	46	52	50	33	1.
Jahr	—	—	—	—	—	3.8	7.3	4.2	4.9	−10.0	III	24.0	VII	71	63	69	68	31	VII X

Beobachter: H. Roffler

Vicosoprano

Bewölkung				Niederschlag			Zahl der Tage								Windverteilung									1951
7^{30}	13^{30}	21^{30}	Mittel	Summe	Maximum Tag		• *	•* >1.0	*	▲	K	≡	heiter	trüb	N	NE	E	SE	S	SW	W	NW	Calmen	
6.6	7.0	6.2	6.6	129	47	12	10	9	7	—	—	1	2	13	—	33	—	—	—	—	—	—	60	Januar
6.9	6.4	5.7	6.3	288	58	11	16	14	16	—	—	—	5	12	5	19	1	—	1	2	—	4	52	Februar
6.6	6.4	5.4	6.1	173	55	13	12	12	7	—	—	—	5	10	—	27	—	—	—	4	—	2	60	März
5.1	5.9	5.7	5.6	139	35	2	9	9	3	—	—	—	6	10	—	23	—	—	—	—	—	—	67	April
6.3	7.9	7.5	7.2	209	73	27	15	15	—	—	1	—	—	17	1	14	—	—	—	1	—	—	77	Mai
5.4	6.1	6.1	5.9	179	39	24	16	14	—	—	3	—	2	8	—	17	—	—	—	—	—	—	73	Juni
3.7	4.3	5.7	4.3	100	39	23	11	10	—	—	3	—	7	5	2	27	—	—	1	2	1	1	59	Juli
6.2	6.3	5.9	6.1	313	117	8	14	14	—	—	3	—	2	7	—	11	—	—	—	4	—	—	78	August
5.1	5.4	5.6	5.4	76	15	26	12	9	—	—	1	—	4	7	1	13	—	—	—	4	—	—	72	September
7.6	7.7	7.4	7.6	81	26	22	13	8	—	—	—	4	2	5	—	3	—	—	—	—	—	—	90	Oktober
7.3	7.5	6.5	7.1	404	58	19	16	15	1	—	—	—	4	16	1	25	—	—	—	—	—	—	64	November
3.3	3.7	4.1	3.7	38	17	25	4	3	4	—	—	—	12	4	—	38	1	—	—	—	—	—	54	Dezember
5.8	6.2	6.0	6.0	2129	117	VIII	148	132	38	—	11	5	51	114	10	250	2	—	2	17	1	7	806	Jahr

Beobachter: Frau M. Schwarz-Felix, A. Schwarz, J. Engi

Splügen-Dorf

5.2	5.1	4.4	4.9	172	35	20	10	10	10	—	—	—	6	7	—	—	32	—	—	—	61	—	—	Januar
6.3	5.3	5.3	5.6	258	76	11	12	11	12	—	—	—	3	9	—	—	21	—	—	—	63	—	—	Februar
5.3	5.0	4.5	4.9	108	62	13	8	7	8	—	—	—	5	6	—	—	36	—	—	—	57	—	—	März
4.7	4.6	4.3	4.5	135	32	7	7	6	5	—	—	—	9	7	—	—	46	—	—	—	44	—	—	April
6.9	6.9	6.4	6.7	156	68	27	7	7	—	—	—	—	1	13	—	—	26	—	—	—	67	—	—	Mai
6.5	6.7	6.7	6.6	134	34	23	10	10	—	—	—	—	2	12	—	—	47	—	—	—	43	—	—	Juni
4.8	5.7	5.6	5.4	89	25	23	7	7	—	—	—	—	5	11	—	—	58	—	—	—	35	—	—	Juli
6.4	6.9	5.5	6.3	324	160	8	11	11	—	—	—	—	1	9	—	—	30	—	—	—	63	—	—	August
5.8	5.7	5.7	5.7	68	30	26	7	7	—	—	—	—	7	8	—	—	45	—	—	—	45	—	—	September
4.9	5.4	4.2	4.8	43	28	22	3	3	2	—	—	—	7	7	—	—	17	—	—	—	76	—	—	Oktober
8.4	8.1	6.5	7.7	358	84	8	12	12	5	—	—	—	2	16	—	—	47	—	—	—	43	—	—	November
3.4	3.1	2.3	2.9	27	8	25	6	5	6	—	—	—	17	6	—	—	18	—	—	—	75	—	—	Dezember
5.7	5.7	5.1	5.5	1872	160	VIII	100	96	48	—	—	—	65	111	—	—	423	—	—	—	672	—	—	Jahr

Beobachter: M. Berera

Braggio

6.2	6.6	6.0	6.3	132	25	2	10	10	9	—	—	3	4	11	4	6	6	2	3	—	—	3	69	Januar
7.5	6.5	5.4	6.5	249	53	11	15	15	15	—	1	5	2	12	2	11	3	12	1	2	—	2	51	Februar
7.4	6.5	4.7	6.2	122	78	13	9	7	7	—	—	1	4	12	6	3	3	13	2	1	—	—	65	März
5.9	6.3	5.6	5.9	160	40	9	9	9	4	—	—	1	7	12	1	1	5	11	1	—	—	—	71	April
8.3	8.9	6.2	7.8	154	36	26	11	11	—	—	1	4	—	17	4	1	10	13	8	2	—	1	54	Mai
5.4	6.5	5.0	5.6	199	*44	23	13	13	—	—	5	1	3	7	3	6	2	12	2	3	—	—	62	Juni
4.4	4.9	5.5	4.9	101	24	15	10	10	—	—	6	1	8	5	10	11	3	6	15	1	—	4	43	Juli
6.2	7.3	5.8	6.4	365	181	8	11	10	—	—	3	6	4	11	2	5	1	11	15	1	—	1	57	August
4.9	5.9	5.7	5.5	100	20	26	9	9	—	—	3	2	6	8	1	7	2	2	9	—	—	1	70	September
8.9	8.9	8.4	8.7	142	89	22	9	9	2	—	—	11	2	22	—	4	4	8	4	2	—	—	73	Oktober
8.0	7.6	6.5	7.0	411	74	8	14	12	2	—	3	1	2	15	4	10	4	1	3	2	—	4	62	November
3.0	3.4	2.6	3.4	27	21	25	3	2	3	—	—	1	17	3	3	1	—	1	1	—	—	2	81	Dezember
6.3	6.6	5.6	6.2	2162	181	VIII	123	117	42	—	22	37	59	135	40	66	43	92	64	14	—	18	758	Jahr

Tessin

Beobachter: A. Della Pietra

Bosco-Gurin

6.9	7.8	6.3	7.0	181	26	27	14	14	14	—	—	9	5	14	—	—	—	—	—	—	6	9	78	Januar
6.2	5.9	4.7	5.6	*450	?	—	*14	*14	*14	—	1	5	8	11	—	—	—	—	—	—	—	8	76	Februar
7.1	7.1	4.8	6.3	146	43	13	13	10	13	—	—	—	7	12	2	—	—	—	—	—	3	9	79	März
5.7	5.5	5.0	5.4	190	43	28	11	10	6	—	—	3	7	10	1	—	—	—	—	—	1	9	79	April
7.7	8.1	6.5	7.4	331	75	27	14	14	5	1	3	1	2	15	—	—	—	—	—	—	5	—	88	Mai
5.9	6.4	5.3	5.9	312	75	22	12	12	—	—	5	—	5	11	—	—	—	—	—	—	4	3	83	Juni
5.0	5.6	4.9	5.2	87	24	12	11	11	—	2	7	—	7	9	—	—	—	—	—	—	—	15	78	Juli
6.9	8.0	6.7	7.2	394	122	7	18	18	—	1	7	—	4	15	—	—	—	—	—	—	2	7	84	August
5.1	5.8	4.9	5.3	57	17	14	10	9	—	—	—	—	7	10	—	—	—	—	—	—	8	6	76	September
8.1	8.3	8.4	8.3	276	79	23	17	17	4	—	—	7	2	21	—	—	—	—	—	—	1	—	92	Oktober
6.9	6.6	5.6	6.4	567	122	10	13	13	9	—	1	1	6	4	—	1	—	2	—	—	9	7	71	November
2.0	3.8	2.4	2.7	11	8	25	3	2	3	—	—	1	14	1	1	—	—	—	—	—	6	5	81	Dezember
6.1	6.6	5.5	6.1	3002	?	—	150	144	68	4	24	27	74	133	4	1	—	2	—	—	45	78	965	Jahr

Bellinzona

$\lambda = 9° 1'$, $\beta = 46° 12'$, $H_b = 229.8^m$, $G = -0.02$ $^m/_m$, $h_r = 1.6^m$

1951	Luftdruck					Luft-Temperatur								Relative Feuchtigkeit					
	Mittel	Minimum	Tag	Maximum	Tag	7^{30}	13^{30}	21^{30}	Mittel	Minimum	Tag	Maximum	Tag	7^{30}	13^{30}	21^{30}	Mittel	Minimum	Tag
Januar	739.7	728.2	2	750.4	16	1.3	5.3	2.9	3.1	−3.6	15	15.4	21	85	65	81	77	28	21
Februar	737.5	723.5	5	744.0	28	1.7	6.1	3.3	3.6	−0.4	2	10.6	26	83	64	75	74	24	26
März	737.5	726.4	9	750.2	22	3.7	9.9	5.8	6.3	−2.0	2	15.4	28	73	49	66	63	19	26
April	742.0	734.5	8	750.4	16	7.9	15.0	11.1	11.3	2.4	13	23.2	22	71	43	61	58	16	22
Mai	738.6	726.7	10	746.3	1	12.4	18.6	13.9	14.7	7.8	17	27.2	25	80	55	78	71	27	15
Juni	741.3	732.8	9	748.0	14	16.2	23.4	18.6	19.2	11.8	1	28.7	17	78	55	73	69	34	6. 1
Juli	742.6	736.8	5	746.9	2	18.1	26.4	21.1	21.7	14.3	24	29.6	5	77	49	71	66	29	5. 2
August	741.2	732.9	8	745.5	29	17.3	23.8	19.3	19.9	12.5	11	29.1	2	85	57	83	75	30	11
September	742.5	737.6	30	747.8	5	15.4	22.8	18.1	18.6	11.4	28	26.6	10	86	58	81	75	29	27
Oktober	744.5	737.7	23	752.1	16	9.4	13.9	10.2	10.9	3.2	16	21.2	3	91	66	90	82	47	16
November	739.2	722.4	12	756.8	27	5.5	10.1	6.7	7.3	−0.8	28	15.2	15	85	67	81	78	25	23
Dezember	745.6	730.9	29	755.3	21	0.1	6.2	2.3	2.7	−3.3	14	10.5	3	87	59	76	74	24	11
Jahr	741.0	722.4	XI	756.8	XI	9.1	15.1	11.1	11.6	−3.6	I	29.6	VII	82	57	76	72	16	IV

Locarno-Muralto

$\lambda = 8° 48'$, $\beta = 46° 10'$, $H_b = 238.7^m$, $G = 0.02$ $^m/_m$, $h_r = 1.2^m$

Januar	738.8	727.4	2. 3	749.6	16	2.2	5.6	3.3	3.6	−1.0	15	15.4	21	76	67	74	72	26	16
Februar	736.7	723.2	5	742.9	17	2.4	6.2	3.5	3.9	0.4	17	10.2	23	77	66	71	71	27	28
März	736.6	726.0	8	749.7	22	3.9	9.4	5.7	6.2	−1.0	3	15.0	20	69	49	62	60	20	20
April	741.2	734.0	10	749.6	16	8.6	14.9	10.8	11.3	3.2	29	22.0	22	68	46	60	58	20	5
Mai	738.0	727.0	10	744.9	1	12.4	17.3	13.3	14.1	8.0	17	25.4	25	81	58	74	71	35	2. 5
Juni	740.6	732.1	9	747.3	12	16.6	22.2	17.7	18.5	12.6	2	28.0	15	78	54	72	68	31	6. 2
Juli	741.8	735.7	23	746.0	2	18.4	25.0	19.8	20.7	15.0	26	28.0	21	79	48	72	66	33	25
August	740.5	732.0	8	744.7	29	17.7	23.1	18.6	19.5	13.2	10.31	28.2	2	86	57	80	74	36	17
September	741.9	737.2	30	747.2	5	16.1	22.0	17.4	18.2	12.2	28.30	25.2	10.11	84	54	76	71	35	4.20.
Oktober	743.8	737.0	23	751.2	16	10.0	13.5	10.6	11.2	4.4	16	20.4	3	82	64	79	75	37	7
November	738.6	721.8	12	755.4	27	6.4	10.0	7.2	7.7	1.0	30	14.0	15	77	66	75	73	25	29
Dezember	744 8	730.0	29	754.1	21	1.9	6.5	3.5	3.9	−1.2	14. 15. 30	9.8	11	69	58	65	64	25	11
Jahr	740.3	721.8	XI	755.4	XI	9.7	14.6	10.9	11.6	−1.2	XII	28.2	VIII	77	57	72	69	20	III IV

Locarno-Monti

$\lambda = 8° 48'$, $\beta = 46° 10'$, $H_b = 378.9^m$, $G = -0.01$ $^m/_m$, $h_r = 1.2^m$

Januar	726.2	714.8	2	736.4	16	2.5	5.3	3.5	3.7	−0.4	2	15.9	21	72	68	71	70	28	16
Februar	724.2	710.7	5	730.5	17	2.2	5.4	3.6	3.7	0.2	5	9.0	23	76	70	70	72	26	26
März	724.2	713.6	9	736.7	22	3.6	8.4	5.6	5.8	−1.4	4	13.0	20	64	54	59	59	24	21
April	728.9	721.9	8	737.0	16	8.0	13.4	10.7	10.7	2.8	29	21.2	22	65	50	57	57	28	3. 4
Mai	725.6	713.9	10	732.8	1	11.7	16.4	13.4	13.7	7.0	17	23.9	25	79	59	71	70	36	5
Juni	728.6	720.1	9	735.1	12	16.0	21.0	18.3	18.4	11.8	8	25.9	16	75	57	61	64	34	6
Juli	729.9	724.6	24	733.7	2	18.2	23.6	20.7	20.8	14.7	24	25.8	31	73	52	60	62	31	25
August	728.5	720.5	8. 9	732.4	29	17.5	21.9	19.3	19.5	12.9	11	26.4	1	78	60	67	68	39	17
September	729.8	725.3	30	734.7	5	15.9	20.7	18.1	18.2	11.6	30	24.0	7	75	58	65	66	36	27
Oktober	731.4	725.0	23	738.7	16	9.5	12.6	10.5	10.8	4.6	16	18.9	3	78	65	74	72	49	5.13
November	726.0	709.6	12	742.7	27	6.6	9.5	7.5	7.8	2.1	28	14.0	15	73	69	71	71	27	22
Dezember	732.1	717.5	29	741.4	21	3.0	6.5	4.7	4.7	−0.8	13	10.3	10	63	60	58	60	26	3.
Jahr	728.0	709.6	XI	742.7	XI	9.6	13.7	11.3	11.5	−1.4	III	26.4	VIII	73	60	65	66	24	II

Lugano

$\lambda = 8° 57'$, $\beta = 46° 0'$, $H_b = 276.2^m$, $G = -0.01$ $^m/_m$, $h_r = 1.7^m$

Januar	735.1	723.3	3	745.1	17	2.3	6.9	3.0	3.8	−1.8	15	20.2	21	72	54	71	66	14	2
Februar	733.0	719.8	5	739.7	17	2.0	7.6	3.2	4.0	−1.0	28	14.0	23	79	56	68	68	13	2
März	733.2	722.3	8	745.9	22	3.5	10.4	5.5	6.2	−1.2	2. 3	17.4	20	65	45	58	56	12	2
April	737.8	730.6	8	746.5	16	8.5	16.0	10.9	11.6	4.6	5	23.2	25	61	38	49	49	15	
Mai	734.6	723.4	10	742.0	1	12.1	18.0	13.6	14.3	8.2	1. 18	26.0	25	75	48	69	64	27	5.
Juni	737.3	728.9	9	744.2	12	16.1	23.0	18.4	19.0	11.8	2. 25	28.2	15	72	44	62	59	16	
Juli	738.5	732.4	23	742.7	2	17.9	26.2	21.1	21.6	13.2	24	29.4	21	66	37	56	53	18	24.
August	737.2	729.0	8	741.6	29	17.6	24.5	19.5	20.3	11.2	11	29.4	2	75	45	66	62	28	
September	738.6	734.3	26.30	743.6	4	15.8	23.5	18.2	18.9	11.8	20	27.8	9	75	46	69	63	25	2
Oktober	740.4	732.6	23	747.4	16	9.7	14.4	10.4	11.2	4.2	16	22.6	2	81	53	78	71	31	1
November	735.0	718.3	12	752.3	27	6.5	11.3	7.4	8.1	1.2	30	17.8	15	78	57	68	68	12	2
Dezember	741.3	726.3	29	751.2	21	1.1	8.0	2.9	3.7	−2.4	13.30	12.4	11	68	48	65	60	11	1
Jahr	736.8	718.3	XI	752.3	XI	9.4	15.8	11.2	11.9	−2.4	XII	29.4	VII VIII	72	48	65	62	11	XI

Beobachter: A. Lienhard

Bellinzona

Bewölkung				Niederschlag			Zahl der Tage								Windverteilung									1951
7^{30}	13^{30}	21^{30}	Mittel	Summe	Maximum	Tag	●	≧1.0	✶	▲	K	=	heiter	trüb	N	NE	E	SE	S	SW	W	NW	Calmen	
6.3	7.1	6.4	6.6	156	35	12	15	13	7	—	—	1	3	11	11	27	—	-	4	1	—	—	50	Januar
7.8	6.4	5.8	6.7	286	64	11	15	15	8	—	1	—	4	12	16	19	—	—	3	4	—	—	42	Februar
7.0	6.7	5.1	6.3	126	48	13	12	10	2	—	—	—	4	13	14	20	—	—	12	4	—	1	42	März
5.9	5.5	5.6	5.7	172	40	28	11	10	—	—	—	—	4	10	17	17	—	—	18	7	—	—	31	April
7.6	8.6	7.4	7.9	190	34	31	15	13	—	—	2	—	1	17	11	11	—	—	28	10	—	—	33	Mai
5.1	5.4	4.7	5.1	211	47	8	16	16	—	—	5	—	5	5	19	13	—	1	25	6	—	—	26	Juni
4.8	4.4	4.4	4.5	105	32	23	11	11	—	—	6	—	10	4	28	12	—	—	27	2	—	—	24	Juli
6.6	6.2	5.7	6.2	400	191	8	15	13	—	—	6	—	4	12	16	11	—	2	19	9	—	—	36	August
5.0	4.7	5.5	5.1	111	32	25	10	8	—	—	—	1	9	9	20	8	—	—	18	7	—	—	37	September
8.5	7.9	7.7	8.0	179	106	22	13	8	—	—	—	2	2	21	11	4	—	—	8	20	—	—	50	Oktober
7.3	7.4	6.3	7.0	448	76	19	14	13	—	—	1	9	3	14	16	15	—	—	5	5	—	—	49	November
3.2	3.8	3.1	3.4	30	14	25	4	3	2	—	—	1	12	4	7	6	—	—	4	—	—	—	76	Dezember
6.3	6.2	5.6	6.0	2414	191	VIII	151	133	19	—	21	14	61	132	186	163	—	3	171	75	—	1	496	Jahr

Beobachter: Frau A. Mariani

Locarno-Muralto

5.7	6.2	5.5	5.8	178	38	12	13	13	5	—	—	—	5	10	—	—	—	—	1	--	—	—	92	Januar
6.9	5.7	5.1	5.9	384	122	11	17	17	6	—	2	—	6	10	—	—	—	—	1	—	—	—	83	Februar
6.4	5.5	4.2	5.4	149	59	13	10	10	—	—	—	—	9	8	1	—	—	1	4	1	—	1	85	März
5.6	4.6	5.2	5.1	210	66	28	11	10	—	—	1	—	6	8	2	—	—	1	4	1	1	—	81	April
7.0	6.5	6.4	6.6	201	44	26	15	14	—	—	1	—	2	10	2	—	—	1	3	2	5	1	79	Mai
4.3	4.7	4.9	4.6	243	80	8	15	14	—	—	7	—	5	5	1	—	2	—	6	—	7	—	74	Juni
3.9	3.4	4.9	4.1	116	29	23	12	11	—	—	8	—	8	4	4	—	—	—	6	4	9	—	70	Juli
5.7	4.9	5.5	5.4	398	236	8	16	14	—	—	5	—	7	7	1	1	1	—	7	—	6	—	77	August
4.2	3.6	4.8	4.2	98	24	13	9	9	—	—	1	—	12	6	—	—	1	—	4	3	9	—	73	September
8.0	7.1	7.3	7.5	233	116	22	10	8	—	—	—	—	2	17	1	—	—	—	3	1	4	1	83	Oktober
6.3	6.2	5.3	5.9	616	122	10	13	12	—	—	2	—	8	12	1	—	--	—	1	—	—	1	87	November
2.4	2.8	2.6	2.6	28	18	25	4	4	2	—	—	—	17	3	1	—	—	1	—	—	1	1	89	Dezember
5.5	5.1	5.1	5.2	2854	236	VIII	145	136	13	—	27	—	87	100	14	1	4	4	40	12	42	5	973	Jahr

Beobachter: Osservatorio Meteorologico Ticinese

Locarno-Monti

7.3	7.6	6.3	7.1	171	38	12	13	3	5	—	—	5	3	11	22	14	12	7	4	1	5	18	10	Januar
7.5	6.5	6.2	6.7	342	103	11	16	16	10	—	3	9	4	12	25	6	9	9	4	3	10	8	10	Februar
7.6	6.3	4.7	6.2	141	61	13	10	10	2	—	—	6	3	11	16	7	11	4	9	12	7	16	11	März
6.6	5.6	5.5	5.9	202	62	28	11	9	1	1	—	1	4	11	12	2	17	9	5	20	2	19	4	April
7.8	8.5	6.8	7.7	184	37	26	15	14	—	—	2	1	1	17	9	3	13	5	6	22	15	17	3	Mai
5.6	5.2	5.7	5.5	232	74	8	15	14	—	1	9	—	2	4	18	5	14	6	12	11	10	10	4	Juni
4.4	4.0	5.4	4.6	105	23	23	11	10	—	—	6	—	8	3	15	5	11	13	12	8	10	15	4	Juli
6.5	5.9	5.1	5.8	383	222	8	16	12	—	—	5	—	4	9	16	4	11	6	4	10	15	19	8	August
5.2	4.7	4.9	4.9	101	29	26	9	8	—	—	1	1	9	9	8	5	10	7	5	15	8	21	11	September
8.4	7.6	7.3	7.8	230	118	22	10	7	—	—	--	3	2	18	17	3	8	6	1	13	16	15	14	Oktober
6.9	7.3	5.8	6.7	577	103	10	13	12	—	—	2	10	3	13	20	8	10	6	2	3	10	16	5	November
3.2	4.0	2.9	3.4	24	15	25	4	3	2	—	—	2	13	4	33	7	6	11	8	2	4	18	14	Dezember
6.4	6.1	5.5	6.0	2692	222	VIII	143	128	20	2	28	38	56	122	211	69	132	89	72	120	112	192	98	Jahr

Beobachter: G. Vicari

Lugano

5.9	7.2	6.2	6.4	145	34	12	11	11	2	—	—	1	5	11	53	10	3	4	10	3	4	4	2	Januar
7.0	6.5	5.2	6.2	293	54	11	16	14	6	—	1	1	6	11	41	6	5	5	10	1	6	6	4	Februar
6.9	5.7	5.0	5.9	155	49	13	13	11	3	—	—	1	9	12	45	5	3	4	21	2	4	6	3	März
5.9	4.8	5.2	5.3	140	39	28	10	9	—	—	1	—	5	7	37	3	7	5	23	1	8	5	1	April
7.7	7.9	6.0	7.2	168	33	26	17	14	—	—	2	—	2	12	30	2	12	1	28	4	10	2	4	Mai
5.9	4.2	5.3	4.8	252	95	24	17	16	—	2	9	—	8	6	40	5	12	1	21	—	2	5	4	Juni
4.3	3.3	4.5	4.0	83	29	23	9	8	—	—	3	—	9	3	41	6	7	4	20	2	6	5	2	Juli
6.1	5.0	3.8	5.0	260	42	8	16	14	—	1	7	—	5	4	56	5	3	3	19	—	2	4	1	August
4.6	3.6	4.6	4.3	128	41	26	10	9	—	—	1	—	11	8	43	6	5	5	19	1	3	8	—	September
8.0	7.2	7.4	7.5	206	103	22	13	10	—	—	—	—	2	17	34	6	2	2	10	2	8	10		Oktober
6.4	6.8	5.1	6.1	518	100	19	15	13	—	—	2	—	8	13	36	6	5	2	8	5	14	13	1	November
3.5	4.0	3.0	3.5	34	17	25	4	3	2	—	--	2	14	4	45	3	7	3	15	5	4	9	2	Dezember
5.9	5.5	5.1	5.5	2388	103	X	151	132	13	3	20	5	84	108	511	63	71	39	213	20	71	77	24	Jahr

Muri (Aargau)

$\lambda = 8°20', \beta = 47°16', H_b = 483^m, h_r = 0.9^m$ — Beobachter: J. Strebel, E. Hunzinger

1951	Luft-Temperatur								Relative Feuchtigkeit						Bewölkung				Niederschlag			Zahl der Tage							
	7^{30}	13^{30}	21^{30}	Mittel	Minimum	Tag	Maximum	Tag	7^{30}	13^{30}	21^{30}	Mittel	Minim.	Tag	7^{30}	13^{30}	21^{30}	Mitt.	Summe	Maxim.	Tag	● *	●* ≥1.0	*	▲	K	≡	helle	trü
Jan.	−0.3	2.5	0.8	0.9	−6.0	11	6.2	22	94	88	91	91	60	14	9.7	9.2	9 0	9.3	83	14	15	9	8	4	—	—	3	—	2
Febr.	0.4	4.5	2.0	2.2	−4.7	28	11.8	9	93	81	86	87	42	17	9.6	7.2	9.0	8.6	96	?	—	12	11	7	—	—	1	—	1
März	1.2	6.3	3.3	3.5	−5.0	2	14.0	13. 23	92	79	85	85	35	20	8.9	7.8	9.7	8.8	110	35	27	14	12	4	—	—	2	—	2
April	5.1	12.7	7.9	8.4	−0.6	4	21.8	24	92	65	81	79	35	16. 24	6.0	5.5	6.5	6.0	75	?	—	12	12	—	—	—	—	4	1
Mai	9.1	16.3	12.5	12.6	1.8	1	28.3	24	94	62	81	79	35	23	7.3	5.7	7.3	6.8	86	24	4	15	12	—	—	1	—	4	1
Juni	14.0	19.6	16.1	16.4	9.8	4	28.3	15	90	60	76	75	40	12	7.5	6.4	8.4	7.4	115	27	23	17	16	—	—	1	2	3	1
Juli	15.8	23.3	*18 3	18.9	11.3	17	29.4	11	84	62	*80	75	40	3	5.1	3.2	5.0	4.4	177	35	15	10	9	—	—	4	—	10	2
Aug.	15.1	21.4	*17.0	17.6	12.2	21	27.3	2	92	66	*86	81	40	1	5.2	4.4	5.9	5.2	183	38	7	17	15	—	—	1	1	3	1
Sept.	12.5	18.3	*15.4	15.4	5.6	22	26.4	12	96	72	*93	87	54	6	9.2	5.0	5.7	6.6	78	*15	26	12	10	—	—	—	—	1	1
Okt.	5.6	11.4	*7.5	8.0	−2.2	11	18.2	3	98	77	*92	89	60	20	9.4	7.1	6.6	7.7	74	*50	22	7	6	2	—	—	1	1	1
Nov.	3.9	7.0	*5.5	4.5	−1.7	27	10.4	13	98	87	*94	93	63	5	9.4	7.5	7.9	8.3	99	?	—	18	17	—	—	—	1	2	1
Dez.	−1.7	1.0	*−0.5	−0.4	−7.0	14	5.3	6	99	94	*98	97	78	26	9.1	7.8	7.9	8.3	53	14	9	10	10	4	—	—	10	—	1
Jahr	6.7	12.0	8.8	9.0	−7.0	XII	29.4	VII	73	74	87	85	35	III IV V	8.0	6.4	7.4	7.3	1229	*50	X	153	138	21	—	7	21	28	18

Muri: Stationsverlegung und Beobachterwechsel am 20. Dezember

Rorschach

$\lambda = 9°30', \beta = 47°29', H_b = 455^m, h_r = 1.4^m$ — Beobachter: Seminar: J. Schenk

Jan.	1.1	3.6	1.3	1.8	−3.1	6	7.3	2	90	81	87	86	33	2	8.3	7.8	8.4	8.2	90	20	20	11	11	3	—	—	6	1	1
Febr.	1.7	4.4	2.2	2.6	−1.6	27	17.5	11	89	76	81	82	34	21	8.8	7.2	7.3	7.8	90	19	11	14	12	*5	—	—	1	—	1
März	2.4	6.5	3.6	4.0	−4.8	3. 4	17.5	23	82	68	77	76	33	13. 23	8.0	7.9	6.8	7.6	113	27	27	15	14	2	—	—	—	—	1
April	5.8	11.3	7.5	8.0	1.4	29	17.5	26	82	60	70	71	31	1.24	6.6	5.5	5.2	5.8	61	15	28	12	11	1	—	—	—	5	1
Mai	9.8	15.4	11.8	12.2	3.4	1	25.6	25	88	67	76	77	36	26	7.3	7.4	5.6	6.8	73	22	14	12	12	—	—	—	—	1	1
Juni	14.5	19.0	15.3	16.0	10.6	4	27.1	15	83	65	80	76	40	4.15	6.7	7.0	6.4	6.7	178	38	18	21	20	—	—	—	—	1	1
Juli	16.1	21.4	17.6	18.2	12.0	16	26.7	11	81	60	76	72	34	2	4.5	3.6	4.5	3.2	154	42	16	11	10	—	—	1	—	12	
Aug.	16.2	20.8	16.5	17.5	13.0	9	27.1	3	84	64	82	77	38	30	5.4	6.0	5.5	5.6	137	27	31	14	13	—	—	—	—	3	
Sept.	13.4	17.6	14.4	14.9	7.8	28	25.0	13	91	74	87	84	31	13	7.7	5.0	5.4	6.0	107	35	7	8	8	—	—	1	—	4	1
Okt.	6.9	9.8	7.4	7.9	2.2	11	15.8	2	95	83	91	90	68	29	9.8	6.1	5.7	7.2	38	28	22	4	4	—	—	—	1	—	1
Nov.	6.0	8.7	7.1	7.2	0.4	28	17.8	19	85	72	76	78	31	19	8.7	7.6	6.7	7.7	101	17	14	17	15	—	—	—	1	2	1
Dez.	0.6	2.4	1.2	1.4	−4.2	12	9.6	9	91	86	89	89	51	10	8.7	8.1	6.4	7.7	72	12	2	14	14	2	—	—	15	3	1
Jahr	7.9	11.7	8.8	9.3	−4.8	III	27.1	VI VIII	87	71	81	80	31	IV IX XI	7.5	6.6	6.1	6.7	1214	42	VII	153	144	13	—	2	24	32	15

Schwäbrig (ob Gais)

$\lambda = 9°29', \beta = 47°23', H_b = 1156^m, h_r = 1.7^m$ — Beobachter: Frl. D. Hofstetter

Jan.	−0.7	0.4	−0.8	−0.5	−5.4	17	9.8	6	70	72	74	72	10	6	7.0	7.5	6.5	7.0	224	78	20	16	13	15	—	1	6	5	1
Febr.	−1.7	0.4	−1.2	−0.9	−7.0	28	9.2	11	79	72	75	75	27	11	7.9	8.5	6.5	7.6	142	34	11	14	14	14	—	1	7	—	1
März	−1.6	1.0	−0.8	−0.5	−9.4	3	12.0	23	78	69	74	74	10	23	8.0	7.9	5.4	7.1	216	63	27	12	12	10	—	—	1	1	1
April	3.4	6.3	3.3	4.1	−2.0	15. 29	15.4	25	65	54	71	63	14	16	5.8	6.2	4.8	5.6	99	17	28	11	10	10	—	—	2	6	
Mai	7.6	10.8	8.1	8.6	0.6	15	21.0	24	72	61	70	68	14	19	7.2	7.6	6.1	7.0	118	28	10	12	12	2	—	—	7	1	1
Juni	11.2	14.5	10.9	11.9	5.6	3	24.8	14	73	65	78	72	27	14	6.7	7.2	6.5	6.8	247	40	16	19	18	—	—	3	4	4	1
Juli	13.5	16.8	13.6	14.4	6.6	25	25.4	11	75	65	71	70	33	11	4.9	5.7	4.5	5.0	224	46	22	13	13	—	—	3	1	7	
Aug.	13.0	15.9	12.9	13.7	8.4	11	24.0	30	78	67	76	74	26	30	5.3	6.3	5.0	5.5	183	31	8	16	15	—	—	2	8	5	
Sept.	10.9	13.7	11.2	11.7	4.2	21	23.6	13	77	71	82	77	28	13	5.8	6.4	4.5	5.6	149	73	7	11	10	—	—	1	9	7	
Okt.	4.9	7.5	4.9	5.5	−0.4	11	12.1	2	76	71	82	76	22	13	7.0	6.7	5.5	6.4	32	17	22	4	4	2	—	—	14	6	1
Nov.	3.8	4.9	4.0	4.2	−3.4	29	14.2	6	67	68	64	66	16	28	7.5	7.3	5.9	6.9	154	36	14	18	17	7	—	—	3	2	1
Dez.	1.0	2.7	1.4	1.6	−6.8	11	10.2	20	62	56	56	58	10	5	4.4	5.0	4.6	4.7	99	14	2	15	14	13	—	—	—	12	
Jahr	5.4	7.9	5.6	6.1	−9.4	III	25.4	VII	73	66	73	70	10	I/III XII	6.5	6.9	5.5	6.3	1887	78	I	161	152	73	—	11	62	56	1

Ebnat

$\lambda = 6°55', \beta = 46°41', H_b = 764^m, h_r = 1.5^m$ — Beobachter: Frl. M. Kuratle

Jan.	−1.8	2.0	−0.5	−0.2	−8.0	2	5.8	22	90	80	90	87	60	6.10 14	6.4	6.6	7.2	6.7	197	45	20	13	12	6	—	—	—	4	
Febr.	−0.8	4.2	0.1	0.9	−6.8	24	14.0	11	89	68	87	81	40	11	6.1	6.0	6.6	6.2	134	40	11	16	14	11	—	—	1	—	
März	−0.8	5.3	1.1	1.7	−10.0	3	15.8	13	84	76	83	81	58	13. 15	6.5	6.5	6.5	6.5	172	43	27	16	14	11	—	—	—	1	
April	4.3	11.3	6.1	7.0	−0.2	4	19.8	25	*83	*65	*83	*77	?	—	4.9	5.2	5.6	5.2	100	20	7	13	12	3	—	—	—	5	
Mai	10.0	15.0	9.8	11.1	4.0	11. 15	24.2	24	82	69	86	79	32	19. 24	6.4	6.9	6.0	6.4	123	39	10	14	13	—	—	2	—	1	
Juni	15.1	18.3	13.3	15.0	9.0	23	26.4	15	75	60	87	74	23	12	5.6	6.4	6.9	6.3	166	29	23	19	18	—	—	5	—	2	
Juli	16.7	21.0	15.3	17.1	10.6	16	28.0	11. 13	73	60	89	74	40	3	3.7	4.3	4.7	4.2	163	35	15	12	12	—	—	3	—	8	
Aug.	13.8	19.8	14.7	15.8	9.0	24	27.0	29	84	63	90	79	36	19. 29	4.8	5.1	5.4	5.1	162	35	31	14	13	—	—	—	1	5	
Sept.	11.7	17.4	12.8	13.7	4.0	22	24.8	13	91	70	94	85	50	6	5.2	5.2	5.1	5.2	90	22	7	10	10	—	—	—	1	6	
Okt.	4.6	10.3	5.9	6.7	−1.0	13	15.8	2	97	73	96	89	50	13. 28	6.9	6.5	6.5	6.6	36	19	22	4	4	2	—	—	—	3	
Nov.	4.0	8.0	4.6	5.3	−3.4	27. 29	18.0	6	90	73	88	84	32	6.18	7.0	6.7	6.4	6.7	142	31	14	16	16	2	—	—	1	2	
Dez.	−2.3	2.9	−1.3	−0.5	−9.8	12	7.8	22	89	73	91	84	50	6	4.5	3.9	3.8	4.1	90	22	9	14	14	9	—	—	—	11	
Jahr	6.2	11.3	6.8	7.8	−10.0	III	28.0	VII	86	69	89	81	23	VI	5.7	5.8	5.9	5.8	1575	45	I	161	152	44	—	10	4	48	

Ebnat: Temperatur und Feuchtigkeit von Mai bis August infolge Besonnung um 7^{h30} gestört.

Wald (Faltigberg)

$\lambda = 8^\circ 56'$, $\beta = 47^\circ 16'$, $H = 912.3^m$, $h_r = 6.7^m$

Beobachter: Sanatorium

1951	Luft-Temperatur								Relative Feuchtigkeit						Bewölkung				Niederschlag			Zahl der Tage							
	7^{30}	13^{30}	21^{30}	Mittel	Minimum	Tag	Maximum	Tag	7^{30}	13^{30}	21^{30}	Mittel	Minim.	Tag	7^{30}	13^{30}	21^{30}	Mitt.	Summe	Maxim.	Tag	●	≥1.0	✳	▲	K	≡	helle	trübe
Jan.	0.4	1.7	0.9	1.0	−2.8	16	7.3	6	65	66	71	67	18	2	7.2	7.4	6.7	7.1	187	50	20	12	11	12	—	—	5	3	17
Febr.	0.4	2.4	1.0	1.2	−3.2	28	10.6	11	66	54	58	59	13	4	7.8	6.9	6.8	7.2	151	34	11	16	14	16	—	—	—	2	11
März	0.3	3.5	1.9	1.9	−6.6	3	12.8	13	63	49	58	57	12	13	6.9	6.9	4.6	6.1	216	47	27	16	15	13	—	—	5	5	12
April	4.7	9.0	6.5	6.7	0.4	29	18.8	25	55	40	55	50	10	25	5.7	5.7	5.0	5.5	110	22	28	16	15	12	—	1	1	6	7
Mai	9.1	13.1	10.2	10.7	3.2	15	22.6	24	61	44	59	55	13	19	6.6	7.1	5.6	6.4	183	46	10	16	14	1	—	2	4	2	11
Juni	12.8	16.5	13.4	14.0	8.4	2	25.2	15	65	51	63	60	19	15	6.3	6.5	6.3	6.4	217	38	23	21	20	—	—	1	1	3	11
Juli	14.4	19.5	16.3	16.6	9.6	25	25.8	11	67	44	54	55	21	11	3.9	4.8	4.4	4.4	177	39	15	12	11	—	—	3	3	11	6
Aug.	14.1	18.1	15.4	15.7	10.8	17	24.1	30	68	55	62	62	19	30	4.9	6.4	4.2	5.2	164	34	31	15	14	—	—	2	3	8	7
Sept.	12.4	15.8	13.5	13.8	6.6	21	23.8	13	75	61	71	69	27	13	6.0	6.1	4.4	5.5	134	29	7	13	11	—	—	—	6	7	9
Okt.	6.4	9.3	7.1	7.5	1.2	23	15.3	2	79	69	75	74	29	13	7.9	6.8	4.5	6.4	47	24	22	6	3	2	—	—	10	3	10
Nov.	5.1	7.0	5.6	5.8	−1.5	29	15.8	6	65	61	60	62	13	19	7.1	7.1	5.8	6.7	189	57	14	18	18	6	—	1	4	2	13
Dez.	2.0	3.7	2.3	2.6	−3.6	29	9.8	20	52	49	50	50	15	9	3.5	4.6	3.5	3.9	98	14	7	13	13	10	—	—	4	15	6
Jahr	6.8	10.0	7.8	8.1	−6.6	III	25.8	VII	65	54	61	60	10	IV	6.2	6.4	5.1	5.9	1873	57	XI	174	159	72	—	10	46	67	120

Braunwald (ob Linthal)

$\lambda = 9^\circ 0'$, $\beta = 46^\circ 56'$, $H_b = 1189^m$, $h_r = 1.5^m$

Beobachter: Sanatorium

Jan.	−1.2	1.8	−0.8	−0.3	−6.4	7	7.0	6	71	63	73	69	34	6.10	5.4	6.4	6.0	5.9	282	91	20	13	10	13	—	—	4	7	14
Febr.	−1.9	1.7	−1.1	−0.6	−7.0	2	7.5	11	76	63	71	70	28	21	7.3	7.7	6.3	6.8	187	62	11	18	13	18	—	—	4	1	12
März	−1.6	3.1	−0.5	0.1	−11.0	3	11.0	23	72	58	71	67	24	23	6.9	7.2	6.5	6.9	186	31	27	19	16	16	—	—	7	3	13
April	2.4	7.7	3.0	4.0	−3.8	1	15.3	25	70	54	74	66	29	16	6.1	5.2	5.6	5.6	107	29	28	12	10	9	—	—	10	8	10
Mai	7.2	12.2	7.6	8.7	2.0	16	22.0	25	72	58	74	68	32	1	6.9	7.4	6.7	7.0	109	33	27	15	14	2	—	—	4	—	14
Juni	11.1	15.4	10.7	12.0	6.6	25	23.8	15	76	65	81	74	45	15	6.3	6.9	7.6	6.9	191	30	23	21	21	—	—	2	3	3	16
Juli	12.1	17.9	13.2	14.1	8.0	27	24.0	11	80	65	78	74	48	21	4.6	4.8	5.1	4.8	112	24	23	15	13	—	—	2	—	10	9
Aug.	12.0	16.7	12.9	13.6	7.6	10	22.2	6	81	68	75	75	22	13	5.4	6.0	5.8	5.7	197	44	31	17	17	—	—	4	6	6	12
Sept.	9.8	14.4	11.3	11.7	3.2	20	22.6	13	80	69	80	76	38	13	5.2	4.8	6.1	5.4	74	18	26	11	9	—	—	—	10	9	10
Okt.	4.9	9.1	5.9	6.5	0.0	23	14.6	2	71	68	78	72	39	30	5.6	5.0	6.3	5.6	38	31	23	2	2	2	—	—	7	8	11
Nov.	3.4	5.5	3.0	3.7	−5.0	29	15.4	10	71	66	70	69	36	10	6.5	6.2	6.5	6.4	232	35	1	19	18	10	—	—	6	4	10
Dez.	0.3	2.8	0.8	1.2	−7.4	11	9.0	18	59	57	58	58	33	6	3.0	4.0	1.6	2.9	58	17	9	9	8	9	—	—	4	17	3
Jahr	4.9	9.0	5.5	6.2	−11.0	III	24.0	VII	73	63	74	70	22	VIII	5.8	5.8	5.8	5.8	1773	91	I	171	151	79	—	8	65	76	134

Wallenstadtberg

$\lambda = 9^\circ 18'$, $\beta = 47^\circ 08'$, $H =$ ca. 982^m, $h_r = 1.8^m$

Beobachter: Sanatorium

Jan.	−0.1	2.3	0.6	0.9	−3.5	17	6.8	11	65	59	68	64	21	10	6.9	6.5	5.9	6.4	283	75	20	13	13	12	—	—	6	6	12
Febr.	−0.7	2.3	−0.2	0.3	−5.0	28	8.6	9	71	60	66	66	28	17	8.4	7.7	5.7	7.3	153	47	11	17	16	15			5	1	13
März	−0.1	4.1	1.0	1.5	−7.0	3	12.1	13	67	53	64	61	24	15.23	7.7	7.6	5.6	7.0	222	38	27	20	16	15	—	—	1	3	14
April	4.7	9.8	5.1	6.2	−0.2	29	18.9	25	63	43	63	56	19	9	5.8	5.3	4.5	5.2	105	35	28	12	10	8	—	—	2	6	8
Mai	8.7	13.2	9.6	10.3	3.1	15	23.4	24	71	53	67	64	26	25	5.7	6.9	5.4	6.0	99	34	10	12	10	—	—	—	1	3	11
Juni	12.2	16.3	12.6	13.4	8.6	24	22.9	15	76	62	73	70	34	15	7.1	7.2	7.2	7.2	177	40	23	21	18	—	—	1	3	2	16
Juli	14.0	19.2	15.2	15.9	9.1	25	25.6	31	73	58	70	67	33	4	4.8	5.5	5.0	5.1	143	30	23	15	14	—	—	3	2	9	9
Aug.	14.3	18.3	14.6	15.4	9.8	11	25.6	3	75	66	77	73	42	2.12	4.4	6.3	5.8	5.5	143	24	31	16	15	—	—	—	3	7	8
Sept.	11.8	15.8	12.6	13.2	6.8	21	23.1	13	77	68	81	75	47	5	4.8	6.0	5.9	5.6	86	22	26	11	10	—	—	1	3	8	11
Okt.	5.5	10.2	6.9	7.4	−1.7	12	15.7	20	72	67	77	72	30	13	5.0	5.7	6.0	5.6	17	7	22	3	3	1	—	—	8	7	9
Nov.	4.4	8.9	5.5	6.1	−2.0	30	16.2	10	68	66	72	69	29	17	5.9	7.3	7.2	6.8	206	24	14	19	19	3	—	—	4	4	15
Dez.	1.2	4.6	2.0	2.4	−5.2	12	10.7	20	59	51	58	56	19	9	3.2	2.8	3.1	3.0	65	17	9	13	12	8	—	—	2	17	5
Jahr	6.3	10.4	7.1	7.7	−7.0	III	25.6	VII VIII	70	59	70	66	19	IV XII	5.8	6.2	5.6	5.9	1699	75	I	172	156	62	—	5	40	73	131

Vättis

$\lambda = 9^\circ 26'$, $\beta = 46^\circ 55'$, $H_b = 956^m$ $h_r = 1.5^m$

Beobachter: A. Jäger

Jan.	−1.9	2.5	−0.5	−0.1	−8.9	31	7.8	24	85	66	82	78	32	10	6.4	6.4	6.0	6.3	148	52	20	14	10	13	—	—	3	5	13
Febr.	−1.3	2.9	−0.6	0.1	−9.4	3	10.4	9	83	62	78	74	35	9	8.2	7.4	6.3	7.3	121	48	11	19	14	17	—	—	—	1	13
März	−1.6	4.5	−0.7	0.4	−11.6	2	13.2	17	83	55	84	74	26	22	8.0	7.2	5.9	7.0	61	15	13	17	10	15	—	1	3	15
April	3.3	10.8	3.6	5.3	−3.1	12	18.6	25	78	44	77	66	23	13	6.4	5.6	5.0	5.7	47	13	7	10	8	7	—	1	—	6	10
Mai	8.7	14.7	7.9	9.8	2.2	16	26.8	25	76	49	79	68	26	24.25	7.4	8.5	5.6	7.2	73	32	27	11	7	1	—	—	1	—	13
Juni	13.2	17.7	11.2	13.3	6.8	1	28.0	15	76	55	88	73	25	15	6.6	7.0	7.2	6.9	141	35	23	20	18	—	1	2	—	2	13
Juli	13.7	20.0	13.0	14.9	9.6	24	26.8	31	82	54	86	74	33	14	4.5	5.0	5.1	4.9	94	23	15	13	12	—	—	5	—	10	10
Aug.	12.9	19.5	13.1	14.6	7.8	17	28.2	1	83	56	86	75	26	1	5.7	6.2	5.8	5.9	133	34	8	13	11	—	—	3	—	5	11
Sept.	9.8	16.8	10.6	12.0	1.8	20.21	25.3	13	91	61	91	81	33	22	5.9	5.0	5.1	5.3	44	17	26	9	7	—	—	—	1	9	8
Okt.	4.4	10.6	5.6	6.5	2.4	11	15.8	2	84	64	84	77	28	13	5.6	5.6	4.3	5.2	16	9	22	2	2			—	4	5	5
Nov.	4.0	7.1	4.0	4.8	−7.2	29	14.6	6.7.10	81	68	79	76	27	17	8.4	7.8	6.5	7.6	127	19	8	20	17	7	—	—	—	2	10
Dez.	−1.5	2.9	0.0	0.4	−10.1	12	10.6	24	79	63	74	72	21	24	3.5	4.3	3.2	3.7	30	12	26	10	8	7	—	—		15	4
Jahr	5.3	10.8	5.6	6.8	−11.6	III	28.2	VIII	82	58	82	74	21	XII	6.4	6.3	5.5	6.1	1035	52	I	158	124	67	1	11	10	63	131

Werthenstein

$\lambda = 8°6'$, $\beta = 47°3'$, $H_b = 594^m$, $h_r = 1.5^m$ — Beobachter: D. Ineichen

1951	Luft-Temperatur							Relative Feuchtigkeit						Bewölkung				Niederschlag			Zahl der Tage						
	7^{00}	13^{30}	21^{30}	Mittel	Minimum	Tag	Maximum	Tag	7^{00}	13^{30}	21^{30}	Mittel	Minim.	Tag	7^{00}	13^{30}	21^{30}	Mittel	Summe	Maxim.	Tag	•	●* ≥1.0	*	▲	K	≡	heit	trübe
Jan.	−1.0	2.3	0.3	0.5	−9.2	10	7.7	21	88	77	85	83	53	8	8.3	8.0	7.3	7.9	63	16	18	13	10	9	–	–	3	2	20
Febr.	−0.3	4.7	0.8	1.5	−5.3	24	12.5	11	88	67	85	80	37	21	8.1	7.4	7.5	7.7	90	23	11	13	12	12	—	—	3	–	13
März	1.7	6.6	2.0	2.7	−8.2	2	19.4	23	84	62	81	76	29	23	7.7	7.9	6.5	7.4	97	28	27	14	12	7	–	1	–	–	16
April	4.9	12.1	6.3	7.4	0.5	4	21.3	25	83	55	79	72	28	1.25	6.1	5.9	6.2	6.1	80	18	9	15	15	6	—			5	15
Mai	9.3	15.4	10.0	11.2	4.2	1	27.2	25	83	58	84	75	28	19	6.8	7.3	6.6	6.9	131	34	3	19	15	–	1	2		3	14
Juni	13.9	19.5	13.4	14.9	9.5	1	29.5	15	82	60	86	76	27	15	7.0	6.6	6.3	6.6	158	25	23	16	13	–	1	2		2	12
Juli	14.7	22.1	15.3	16.8	10.9	16	29.0	31	87	58	89	78	33	4	4.7	4.6	4.5	4.6	228	48	15	13	12	–	2	0	–	12	6
Aug.	14.1	20.7	14.8	16.1	10.8	17	28.3	30	90	65	92	82	39	12	5.2	5.8	5.9	5.6	232	37	21	19	16	–	1	2	–	5	7
Sept.	11.8	18.2	13.1	14.0	6.7	22	26.7	12	93	70	94	86	50	6	7.4	5.7	5.7	6.3	100	22	12	11	10	–	–	–	3	5	13
Okt.	5.3	10.7	6.2	7.1	0.1	23	17.7	1	95	76	94	88	57	27.29	8.5	7.1	6.3	7.3	74	50	22	5	5	2	–	–	9	3	10
Nov.	3.7	7.9	4.6	5.2	−3.0	28	15.0	7	88	72	85	82	45	25.30	7.5	7.8	7.4	7.6	91	23	21	17	15	1	–		4	1	12
Dez.	−2.3	1.8	−0.9	−0.5	−7.9	23	7.4	6	90	77	91	86	36	9	3.9	4.5	4.6	4.3	57	14	2	11	10	6	—	–	0	13	7
Jahr	6.2	11.7	7.2	8.1	−0.2	I	29.5	VI	88	66	87	80	20	III	6.8	6.5	6.2	6.5	1407	50	X	166	145	43	5	13	31	51	149

Walchwil

$\lambda = 8°30'$, $\beta = 47°6'$, $H = 450^m$, $h_r = 1.5^m$ — Beobachter: K. Halter

Jan.	1.0	2.8	1.6	1.8	−3.4	10	7.4	18	85	76	83	81	50	15	8.7	8.5	8.8	8.7	58	13	17	11	9	3	–		6	2	23
Febr.	1.4	4.4	2.8	2.9	−2.6	28	12.2	11	79	67	74	73	32	11	7.2	7.3	7.2	7.2	85	34	11	11	10	2	–	–	–	2	15
März	2.2	5.9	3.6	3.8	−5.0	3	18.0	13	78	61	76	70	28	13	9.2	8.0	7.7	8.3	108	26	27	16	13	2	–	–	–	1	22
April	6.2	11.9	8.8	8.9	0.0	4	21.8	25	78	54	67	66	29	25	7.3	6.0	6.1	6.5	73	15	29	11	11	2	–	–	–	4	13
Mai	10.3	16.1	12.2	12.7	4.0	1	25.2	26	79	56	72	69	27	19	7.5	6.8	7.6	7.3	139	32	10	15	12	–	–		–	–	17
Juni	14.5	19.6	15.5	16.3	11.0	1.2.25	28.0	15	77	57	73	69	41	4.11 15	8.3	7.0	7.4	7.6	146	32	23	16	14	–	–	1	–	2	12
Juli	16.0	22.1	17.1	18.1	12.0	2.16	28.0	31	78	55	71	68	41	1	5.0	4.4	5.2	4.9	201	59	15	12	11	–	—	—	–	10	10
Aug.	15.5	20.9	16.6	17.4	12.2	10	27.0	30	81	62	75	73	29	30	5.5	5.5	5.5	5.5	131	24	31	14	12	–	—	—	–	7	5
Sept.	13.5	18.2	14.8	15.3	8.0	20	23.8	11.12	84	62	76	74	47	1	8.1	6.1	7.0	7.1	130	34	13	11	10	–	—	—	1	2	13
Okt.	7.3	10.4	8.0	8.4	2.2	23	16.2	1.4	91	73	86	83	54	20	9.8	7.9	8.1	8.6	53	34	22	5	4	2	—		1	—	22
Nov.	5.4	9.0	6.4	6.8	0.0	28	19.2	10	79	64	74	72	28	6	8.2	7.5	7.8	7.8	108	18	23	16	16	–	–	–	–	2	18
Dez.	−0.2	2.0	0.7	0.8	−4.0	12	7.0	6	89	80	87	85	46	10	8.7	8.1	8.4	8.4	73	14	3	12	10	3	–	–	14	2	25
Jahr	7.8	11.9	9.0	9.4	−5.0	III	28.0	VI VII	84	64	76	74	27	V	7.8	6.9	7.2	7.3	1311	59	VII	150	132	14	–	1	22	34	195

Weggis

$\lambda = 8°26'$, $\beta = 47°2'$, $H =$ ca. 444^m, $h_r = 1.5^m$ — Beobachter: Frau R. Zimmermann

Jan.	1.3	3.3	1.9	2.1	−2.6	10	8.4	20	87	77	83	82	50	18	7.4	7.5	7.2	7.4	50	13	17	13	8	2	—	–	–	3	17
Febr.	2.1	5.0	2.8	3.2	−1.4	28	15.0	11	80	68	74	74	25	4.11	5.3	6.0	5.9	5.7	102	39	11	11	11	4	—		–	4	9
März	2.3	6.1	3.5	3.8	−3.0	26	18.0	23	80	61	73	71	20	23	7.2	6.4	5.8	6.5	130	26	27	17	12	8	–	–	–	2	12
April	6.1	11.9	7.3	8.1	1.0	4.29	19.4	25	79	55	71	68	36	12	6.0	4.9	6.0	5.6	74	24	28	11	9	2	–	–	—	5	10
Mai	10.1	15.9	11.6	12.3	4.4	1	24.2	25	83	59	76	73	25	19	6.1	6.1	5.5	5.9	154	39	10	16	15	–	—	1		6	12
Juni	14.2	19.7	14.5	15.7	10.2	1. 4	29.3	15	81	62	82	75	40	11-12 27	6.7	5.5	5.2	5.8	189	35	23	18	16	–	—	4	–	2	7
Juli	15.6	22.4	16.6	17.8	11.8	24	27.8	18	86	58	78	74	30	21	4.1	3.1	3.1	3.4	237	67	15	12	11	–	—	7	2	15	6
Aug.	15.3	20.4	16.7	17.5	11.2	17	25.6	2	88	64	82	78	45	18.30	4.8	4.4	4.7	4.6	135	23	21	12	11	–	—	2	1	6	4
Sept.	14.0	18.3	14.6	15.4	8.2	20	25.6	12	88	64	85	79	40	12	6.8	4.2	5.0	5.3	132	31	14	10	10	–	—	1	1	7	7
Okt.	8.0	11.3	8.4	9.0	2.9	23	18.0	1	88	71	88	82	60	12-13 26-27	7.9	5.9	5.8	6.5	50	41	22	5	2	2	—	–	1	2	13
Nov.	6.0	9.1	7.3	7.4	1.0	28	19.4	6	81	67	73	74	22	18	6.8	5.8	6.7	6.4	113	20	23	16	15	–	–	–		4	12
Dez.	0.9	3.3	1.5	1.8	−3.0	12.29	7.2	9	87	76	86	83	40	10	6.7	7.1	7.0	6.9	61	12	9	12	10	3	–	–	7	4	17
Jahr	8.0	12.2	8.9	9.5	−3.0	III XII	29.3	VI	84	65	79	76	20	III	6.3	5.5	5.7	5.8	1427	07	VII	153	130	21	–	15	12	60	126

Lungern

$\lambda = 8°10'$, $\beta = 46°48'$, $H_b =$ ca. 745^m, $h_r = 1.7^m$ — Beobachter: O. Imfeld

Jan.	0.1	2.8	0.9	1.2	−5.0	27	9.0	26	79	68	79	75	30	2	7.1	7.3	7.8	7.4	118	29	19	11	9	8	–	–	4	4	19
Febr.	−0.1	2.8	0.1	0.7	−7.4	4	9.4	11	82	62	76	73	27	17	7.8	7.8	7.9	7.8	118	39	11	17	14	14	—		1	1	14
März	0.5	5.1	2.0	2.4	−7.1	5	17.1	23	79	57	74	70	24	23	8.3	7.6	8.2	8.0	155	30	27	18	15	10	–	–	3	1	19
April	5.0	10.5	5.9	6.8	0.0	29	19.3	25	73	55	73	67	25	24	7.1	6.5	6.2	6.6	86	16	29	14	13	2	–	–	–	1	15
Mai	9.5	13.0	9.5	10.4	4.0	15	23.1	25	76	62	70	71	28	19	7.5	8.1	8.0	7.9	145	38	27	17	10	–		–	–	2	18
Juni	13.3	16.7	12.5	13.8	8.4	1.24	26.0	15	77	62	83	74	38	22	6.9	7.6	7.3	7.3	156	30	23	21	17	–				2	15
Juli	14.9	19.5	14.8	16.0	9.3	5	27.2	11	78	61	81	73	38	11	5.3	5.5	6.0	5.6	144	49	15	12	12		—	–	–	5	9
Aug.	14.4	18.7	14.3	15.4	10.3	10	26.1	30	79	63	82	75	30	30	5.5	6.2	6.1	5.9	177	41	21	15	13	—	—	–	–	4	10
Sept.	11.8	16.1	13.1	13.5	5.4	20	23.2	12	85	65	84	78	44	3.22	5.6	5.3	5.2	5.3	83	19	26	12	10	—	—	—	—	9	11
Okt.	5.5	9.4	6.4	6.9	0.1	23	15.1	1	90	71	86	82	40	13	8.0	6.6	6.8	7.1	70	53	22	4	4	2	–	—	5	3	16
Nov.	5.1	8.3	6.2	6.4	−1.2	28	18.0	6	71	62	70	68	29	6.9 10	7.8	7.8	6.9	7.5	164	28	10	18	15	1	–		—		18
Dez.	0.3	3.4	1.2	1.5	−5.2	12	9.2	9	72	60	69	67	30	9	5.3	4.6	5.0	5.0	71	?	—	12	9	5	–	–	2	9	10
Jahr	6.7	10.5	7.2	7.9	−7.4	II	27.2	VII	78	62	78	73	24	III	6.9	6.7	6.8	6.8	1487	53	X	171	147	42	—	–	15	41	174

Gurtnellen

$\lambda = 8^\circ 37'$, $\beta = 46^\circ 44'$, $H_b = 742^m$, $h_r = 1.5^m$

Beobachter: Stationspersonal

1951	Luft-Temperatur 7^{30}	13^{30}	21^{30}	Mittel	Minimum	Tag	Maximum	Tag	Relative Feuchtigkeit 7^{30}	13^{30}	21^{30}	Mittel	Minim.	Tag	Bewölkung 7^{30}	13^{30}	21^{30}	Mitt.	Niederschlag Summe	Maxim.	Tag	Zahl der Tage ●	● >1.0	✱	▲	K	≡	helle	trübe
Jan.	0.7	2.2	1.1	1.3	-3.5	27	8.0	11	76	72	79	76	33	9	6.5	5.7	6.1	6.1	143	43	20	12	9	9			1	4	13
Febr.	1.1	4.3	1.8	2.3	-4.0	2	11.7	21	71	62	68	67	31	17. 20	7.9	6.6	5.0	6.5	195	94	11	15	11	12	—	—	—	2	10
März	1.2	5.1	2.5	2.8	-5.9	4	13.8	23	72	58	68	66	30	15	7.1	7.6	6.1	6.9	119	24	13	16	15	10				2	12
April	5.8	11.5	7.3	8.0	0.1	1	18.9	25	68	45	64	59	24	9	6.3	5.7	6.3	6.1	110	42	28	11	9	3	—	—	—	5	10
Mai	9.6	15.5	11.4	12.0	4.1	1	24.9	25	72	48	64	61	30	18	7.5	7.2	6.8	7.2	88	34	27	11	8	—	—	—	—	2	16
Juni	13.0	18.8	14.1	15.0	9.6	4	26.3	15	79	52	77	69	30	14	6.8	6.8	6.9	6.8	119	32	23	20	17	—	—	—	—	3	15
Juli	14.1	21.2	16.5	17.1	11.1	2. 6	27.0	11	79	51	74	68	31	11	4.9	5.0	6.2	5.4	86	24	15	14	13	—	—	—	—	8	10
Aug.	15.0	20.7	16.0	16.9	11.2	9	27.0	29	79	56	75	70	30	29	5.4	6.1	5.2	5.6	157	34	31	14	13	—	—	—	—	4	9
Sept.	13.2	17.8	13.9	14.7	7.0	22	25.0	13	79	57	79	72	30	13	4.7	5.1	4.6	4.8	40	14	26	9	8	—	—	—	1	10	6
Okt.	6.8	11.1	8.2	8.6	1.5	23	15.9	2	80	62	76	73	25	12	6.1	6.0	4.8	5.6	66	50	22	3	3	2	—		—	4	10
Nov.	6.0	8.2	6.3	6.7	-1.4	29	15.2	7	75	64	73	71	27	16	8.2	7.9	5.8	7.3	239	55	10	20	19	2	—	—	—	2	15
Dez.	1.3	3.7	2.3	2.4	-4.0	12	12.7	20	71	63	67	67	21	24	3.6	3.8	2.9	3.4	32	?	—	11	9	6	—	—	1	16	5
Jahr	7.3	11.7	8.5	9.0	-5.9	III	27.0	VII VIII	75	57	72	68	21	XII	6.3	6.1	5.6	6.0	1394	94	II	156	134	44	—	—	3	62	131

Andermatt

$\lambda = 8^\circ 35'$, $\beta = 46^\circ 38'$, $H = 1442^m$, $h_r = 1.5^m$

Beobachter: P. C. Rusterholz

1951	Luft-Temperatur 7^{30}	13^{30}	21^{30}	Mittel	Minimum	Tag	Maximum	Tag	Relative Feuchtigkeit 7^{30}	13^{30}	21^{30}	Mittel	Minim.	Tag	Bewölkung 7^{30}	13^{30}	21^{30}	Mitt.	Niederschlag Summe	Maxim.	Tag	Zahl der Tage ●	● >1.0	✱	▲	K	≡	helle	trübe
Jan.	-4.7	-2.0	-3.5	-3.5	-13.5	15	5.3	15	—		—	--			6.6	7.0	6.7	6.8	224	72	20	15	15	15	—		4	3	14
Febr.	-5.1	-1.1	-4.3	-3.7	-16.8	2	4.5	9	—	—	—	—	—	—	8.3	6.7	6.7	7.2	283	125	11	20	17	20	—	—	1	2	10
März	-4.4	1.2	-3.1	-2.3	-18.4	2	7.6	23	—					--	7.1	6.9	5.7	6.6	119	30	13	18	15	15			2	3	14
April	-0.3	4.8	0.7	1.4	-8.2	4	11.0	25	—	—	—	—	—	—	5.4	4.8	6.4	5.5	146	42	29	11	9	8	—	—	4	6	9
Mai	4.6	9.4	4.7	5.8	-0.4	15	18.0	25	—	—	—	—	—	—	7.3	7.2	7.6	7.4	147	68	27	16	11	2	—	—	6	2	16
Juni	9.6	13.4	9.0	10.2	4.2	1	22.6	15	—	—	—	-	—	--	6.3	5.9	7.4	6.5	134	41	23	19	17	—	—	—	3	2	9
Juli	11.0	15.8	11.2	12.2	5.4	25	22.6	31	—	—	—	—	—	—	4.0	4.6	5.9	4.8	83	25	12	14	12	—	2	5	2	10	9
Aug.	10.6	15.1	11.2	11.9	4.8	17	23.6	3	—	—			—	—	5.3	6.1	5.9	5.8	191	39	7	15	14	—	-	1	2	5	8
Sept.	7.8	13.4	9.5	9.9	0.5	22	20.5	10	--	—	—	—	—	—	4.8	5.0	5.0	4.9	46	15	26	9	8	—	—	—	7	10	7
Okt.	2.1	8.3	4.1	4.6	-5.2	27	15.2	2	—	—	—	—	—	—	4.9	4.2	4.5	4.5	83	63	22	3	3	3	—	—	1	11	7
Nov.	0.0	2.4	0.5	0.8	-8.7	27	8.0	7	--	—	—	—	---	—	8.5	8.1	6.6	7.7	336	78	10	23	22	14	—	—	1	2	17
Dez.	-5.6	-2.1	-3.6	-3.9	-13.5	12	4.4	9	—	—	—	—	—	—	4.5	4.2	3.5	4.1	27	5	9.29	11	11	11	—	—	—	13	6
Jahr	2.1	6.5	3.0	3.6	-18.4	III	23.6	VIII	—	—	—	—	—	—	6.1	5.9	6.0	6.0	1819	125	II	174	154	88	2	6	33	69	126

Die Abendbeobachtungen erfolgen um 20^{30}

La Brévine

$\lambda = 6^\circ 34'$, $\beta = 46^\circ 58'$, $H_b =$ ca. 1060^m, $h_r = 1.8^m$

Beobachter: Frau A. Favre

1951	Luft-Temperatur 7^{30}	13^{30}	21^{30}	Mittel	Minimum	Tag	Maximum	Tag	Relative Feuchtigkeit 7^{30}	13^{30}	21^{30}	Mittel	Minim.	Tag	Bewölkung 7^{30}	13^{30}	21^{30}	Mitt.	Niederschlag Summe	Maxim.	Tag	Zahl der Tage ●	● >1.0	✱	▲	K	≡	helle	trübe
Jan.	-3.2	0.4	-2.2	-1.8	-16.4	10	6.6	11	92	81	92	88	36	17	9.2	8.1	8.4	8.6	102	25	18	10	10	19	—	—	3	—	20
Febr.	-4.4	1.4	-2.4	-2.0	-16.0	7.28	6.6	18	89	71	89	83	53	9	9.4	8.0	7.9	8.4	111	18	17	12	11	12	—	—	—	—	17
März	-3.6	2.1	-1.3	-1.0	-24.4	5	10.2	23	88	67	89	81	30	23	7.8	7.1	7.6	7.5	128	29	19	13	11	18	—	1	—	3	18
April	2.1	7.9	2.2	3.6	-8.0	4	15.8	25	86	58	83	76	26	24.25	7.4	7.0	5.3	6.6	71	10	7	15	11	9	—	—	—	6	13
Mai	6.2	11.4	5.5	7.1	1.0	15	20.4	25	83	58	87	76	30	6	7.1	7.8	7.7	7.5	137	24	27	18	15	2	—	2	2	2	14
Juni	10.9	16.1	9.5	11.5	4.8	25	25.8	14	80	55	87	74	28	14	7.0	7.4	6.3	6.9	154	26	17	19	18	—	—	4	—	2	14
Juli	11.9	18.8	12.3	13.8	7.0	16. 25	26.0	31	80	52	78	70	33	28	4.8	6.1	4.8	5.2	160	51	13	12	10	--	—	5	3	5	8
Aug.	11.5	17.1	11.1	12.7	4.2	17	23.8	30	81	56	85	74	35	18. 29	7.1	7.6	6.8	7.2	150	41	7	15	15	—	—	3	—	2	14
Sept.	8.7	15.8	9.6	10.9	-0.2	21	21.8	13	90	56	89	78	34	21	7.8	6.9	5.4	6.7	121	29	23	12	11	—	—	2	1	3	10
Okt.	3.3	10.3	4.0	5.4	-3.0	10	16.0	1. 2	93	56	90	80	26	12	8.2	5.6	5.5	6.4	70	33	22	6	6	1	—	—	—	3	10
Nov.	1.8	5.9	2.2	3.0	-7.8	27	14.2	7	87	67	81	78	27	16	8.3	8.0	7.0	7.8	251	35	21	20	19	10	—	—	—	2	16
Dez.	-4.5	2.1	-2.8	-2.0	-13.4	14	10.0	20	85	68	87	80	24	12. 20	5.9	5.9	5.3	5.7	84	24	9	15	12	13	—	—	—	8	11
Jahr	3.4	9.1	4.0	5.1	-24.4	III	26.0	VII	86	62	86	78	24	XII	7.5	7.1	6.5	7.0	1539	51	VII	167	149	64	—	17	9	36	165

Cernier

$\lambda = 6^\circ 54'$, $\beta = 47^\circ 4'$, $H_b = 800^m$ $h_r = 1.7^m$

Beobachter: Ecole d'Agriculture

1951	Luft-Temperatur 7^{30}	13^{30}	21^{30}	Mittel	Minimum	Tag	Maximum	Tag	Relative Feuchtigkeit 7^{30}	13^{30}	21^{30}	Mittel	Minim.	Tag	Bewölkung 7^{30}	13^{30}	21^{30}	Mitt.	Niederschlag Summe	Maxim.	Tag	Zahl der Tage ●	● >1.0	✱	▲	K	≡	helle	trübe
Jan.	-1.7	1.4	-1.3	-0.7	-8.3	4	5.2	15	90	78	91	86	57	3	6.7	7.6	6.4	6.9	127	31	15	10	10	7	—	—	3	5	16
Febr.	-1.2	2.0	0.1	0.3	-6.0	7.27	5.8	9	86	75	80	80	50	27.28	7.8	7.3	7.2	7.4	109	23	17	17	15	15	—	—	2	1	13
März	-0.6	3.8	1.2	1.4	-9.0	5	10.8	23	78	65	75	73	31	23	7.0	7.2	6.4	6.9	129	25	19	14	13	5	—	—	3	3	14
April	5.6	10.2	5.7	6.8	0.0	15	18.4	17	74	57	73	68	26	24	6.0	6.2	5.7	6.0	54	10	9	16	12	2	—	—	—	6	12
Mai	9.0	13.5	9.5	10.4	3.5	14.15	22.0	25	72	57	69	66	27	13	7.0	7.7	6.5	7.1	81	17	26	16	14	—	1	1	1	—	15
Juni	12.7	16.9	13.2	14.0	9.0	1	23.2	15	66	60	67	64	28	14	6.4	6.9	5.5	6.3	142	27	8	19	17	—	—	—	1	1	18
Juli	14.8	20.1	15.5	16.5	9.8	16	26.0	30	71	57	71	66	30	4	4.1	5.2	4.5	4.6	99	32	13	11	10	—	—	3	—	5	1
Aug.	14.6	18.3	14.1	15.3	10.2	9	25.0	2	78	68	83	76	50	1	6.1	6.3	5.6	6.0	97	28	19	14	12			2		2	9
Sept.	12.0	16.4	12.2	13.2	5.8	21	23.2	13	83	72	84	80	58	4	6.2	5.9	5.0	5.7	73	33	23	10	8	--	—	—	3	2	7
Okt.	5.7	10.4	6.1	7.1	0.2	12	15.4	4	89	77	87	84	67	21	7.2	6.6	6.0	6.6	46	20	22	5	3	—	—	—	6	1	9
Nov.	3.7	6.7	4.2	4.7	-2.3	27	12.4	2	86	75	81	81	30	28	8.0	8.0	6.4	7.5	166	*34	11	20	20	2	—	—	—	2	10
Dez.	-0.7	2.5	0.4	0.6	-6.0	13	8.0	20	84	76	79	80	42	20	5.7	5.8	5.0	5.5	51	?	—	*11	*10	*8	—	—	1	9	12
Jahr	6.2	10.2	6.7	7.5	-9.0	III	26.0	VII	80	68	78	75	26	IV	6.5	6.7	5.9	6.4	1174	*34	XI	163	144	39	1	6	20	37	145

Mont Soleil

$\lambda = 7° 0'$, $\beta = 47° 9'$, $H =$ ca. 1200^m, $h_r = 1.5^m$ — Beobachter: H. Sutter

1951	Luft-Temperatur								Relative Feuchtigkeit						Bewölkung				Niederschlag			Zahl der Tage							
	7^{30}	13^{30}	21^{30}	Mittel	Minimum	Tag	Maximum	Tag	7^{30}	13^{30}	21^{30}	Mittel	Minim.	Tag	7^{30}	13^{30}	21^{30}	Mitt.	Summe	Maxim.	Tag	●	≧1.0	✳	▲	K	≡	hell	trüb
Jan.	−1.8	0.6	−1.4	−1.0	−8.7	4	7.3	6	91	87	90	89	51	6	8.5	8.3	6.5	7.8	158	33	18	12	11	10	—	—	10	1	18
Febr.	−2.4	1.0	−1.4	−1.1	−8.1	27	6.1	9	92	84	88	88	10	14	8.5	8.0	6.9	7.8	139	32	17	17	15	17	—	—	5	—	15
März	−2.0	1.7	−0.8	−0.5	−9.0	3	9.2	23	89	82	88	86	54	23	7.9	7.4	6.7	7.3	166	25	27	18	17	14	—	—	5	1	16
April	2.6	7.4	3.2	4.1	−2.6	29	16.6	25	80	71	77	76	53	25	5.9	6.6	5.9	6.1	91	16	20	18	14	10	—	—	2	5	10
Mai	6.7	10.5	6.8	7.7	0.4	15	22.0	24	85	76	84	82	57	1	6.7	7.9	6.8	7.1	125	18	10	23	17	3	—	—	9	—	15
Juni	10.4	14.6	10.4	11.4	6.0	24	21.9	14	87	77	86	83	56	14	6.7	7.1	6.6	6.8	187	49	8	17	16	—	—	1	2	2	14
Juli	12.4	17.2	13.0	13.9	6.8	16	25.5	31	85	76	85	82	61	22	4.2	5.9	4.7	4.9	114	27	13	11	9	—	—	2	5	8	8
Aug.	12.0	16.4	11.8	13.0	7.1	10	24.0	2	86	78	87	84	63	6.18	6.3	6.9	4.9	6.0	130	34	20	17	15	—	—	—	4	4	7
Sept.	10.3	14.9	10.6	11.6	4.8	19	22.8	11	89	76	89	85	58	4	5.4	5.8	4.0	5.1	97	27	23	11	10	—	—	—	7	6	7
Okt.	4.6	9.6	5.0	6.0	−1.2	11	15.5	21	89	77	86	84	61	13	6.3	5.0	5.9	5.7	66	34	22	8	7	4	—	—	9	5	11
Nov.	2.1	5.3	2.7	3.2	−4.4	29	12.4	6	87	81	83	84	55	28	8.2	7.6	7.4	7.7	222	34	11	19	19	8	—	—	8	1	16
Dez.	0.3	3.2	0.8	1.3	−7.4	11	9.1	18	79	73	75	76	50	14	4.7	5.4	3.7	4.6	79	12	9	13	13	11	—	—	3	10	9
Jahr	4.6	8.5	5.1	5.8	−9.0	III	25.5	VII	87	78	85	83	10	II	6.6	6.8	5.8	6.4	1574	49	VI	184	163	77	—	3	69	43	14

Allerheiligenberg

$\lambda = 7° 49'$, $\beta = 47° 21'$, $H = 897^m$, $h_r = 1.7^m$ — Beobachter: Sanatorium

Jan.	0.4	1.7	0.7	0.9	−4.0	4	5.6	11	79	77	78	78	41	10	8.3	7.9	7.6	7.9	89	20	19	11	9	8	—	—	4	2	20
Febr.	−0.1	2.6	0.9	1.1	−4.4	28	8.1	9	80	70	77	76	41	17	7.9	8.0	6.9	7.6	90	14	21	12	10	11	—	—	3	—	15
März	0.3	3.7	2.0	2.0	−6.4	3	13.0	23	75	62	69	69	33	23	7.9	8.1	7.8	7.9	125	26	24	15	13	9	—	—	5	—	18
April	5.1	9.9	6.5	7.0	0.3	1	18.1	25	66	55	61	61	31	24	5.5	5.7	5.1	5.4	76	10	7	12	12	4	—	—	3	6	9
Mai	9.3	13.3	10.1	10.7	4.3	15	23.2	24	75	62	69	69	35	2	7.5	7.0	6.1	6.9	117	17	1.-10	18	16	—	—	—	6	3	12
Juni	12.6	16.7	13.0	13.8	9.0	27	25.6	15	78	62	73	71	41	14	6.9	6.7	6.5	6.7	147	23	8	18	17	—	—	3	—	4	13
Juli	15.0	19.7	16.2	16.8	10.0	25	26.2	31	74	57	67	66	37	2	4.4	4.7	4.9	4.7	181	70	11	10	9	—	—	2	2	7	6
Aug.	14.5	18.3	14.8	15.6	11.2	9.11	25.0	2	76	64	70	68	34	12	5.5	6.3	5.4	5.7	161	43	7	15	15	—	—	—	2	4	9
Sept.	12.3	15.9	12.9	13.5	6.9	21	23.2	13	80	66	77	74	49	7	6.0	6.5	5.3	5.9	87	18	29	13	11	—	—	2	4	4	6
Okt.	6.4	10.4	7.2	7.8	1.8	23	19.6	20	91	80	87	86	50	30	6.4	6.8	5.2	6.1	79	51	22	6	6	2	—	—	7	5	12
Nov.	4.4	6.8	5.3	5.4	−0.8	27	13.0	7	83	80	80	81	46	28	7.8	7.9	7.9	7.9	157	22	14	18	16	3	—	—	2	1	2
Dez.	2.0	4.5	2.7	3.0	−4.0	12	10.3	20	73	72	72	72	35	17	4.4	4.7	3.9	4.3	60	9	9	13	13	9	—	—	3	15	
Jahr	6.8	10.3	7.7	8.1	−6.4	III	26.2	VII	78	67	73	73	31	IV	6.5	6.7	6.0	6.4	1369	70	VII	161	147	46	—	7	41	51	15

Olten

$\lambda = 7° 54'$, $\beta = 47° 21'$, $H_b =$ ca. 400^m, $h_r = 1.5^m$ — Beobachter: Geschwister Naef

Jan.	0.0	2.4	0.7	0.9	−6.8	4	7.0	21	82	76	81	80	59	19	9.7	8.8	9.0	9.2	86	19	19	13	10	6	—	—	8	—	2
Febr.	1.1	4.8	1.8	2.4	−3.0	28	9.0	9 11.21	76	68	74	73	55	21	8.7	8.7	8.2	8.5	88	16	21	16	10	9	—	—	7	—	2
März	1.8	6.9	3.2	3.8	−4.0	2	17.0	23	73	66	70	70	40	29	8.5	8.5	7.3	8.1	110	15	24	18	13	4	—	—	1	—	1
April	5.8	13.2	7.7	8.6	−1.0	4.13	21.4	25	70	52	67	63	31	25	6.6	6.3	5.9	6.3	69	10	7.9	13	12	—	—	—	2	5	1
Mai	10.2	17.1	12.0	12.8	1.0	1	26.2	24.25	72	51	65	63	33	24	8.2	7.3	7.6	7.7	72	16	27	16	10	—	—	—	4	—	1
Juni	14.4	20.5	14.9	16.2	10.2	2	29.0	15	72	54	69	65	38	27	7.9	7.7	6.7	7.4	116	14	28	19	16	—	—	1	4	2	1
Juli	16.4	23.4	17.6	18.8	12.4	25	30.2	31	69	46	56	57	35	2.20	4.8	5.4	5.4	5.2	104	32	15	10	7	—	—	1	1	7	
Aug.	14.9	22.1	16.4	17.4	10.2	19	28.6	2	75	52	65	64	35	12	7.9	6.6	6.6	7.0	129	35	7	13	13	—	1	2	8	1	1
Sept.	12.4	18.9	13.9	14.8	5.2	22	26.0	13	76	59	72	69	42	1	8.8	6.3	5.5	6.9	115	21	2	11	11	—	—	—	14	2	1
Okt.	6.2	11.8	7.0	8.0	0.4	11.12	18.0	1	76	66	73	72	48	13	9.6	5.9	6.8	7.4	68	45	22	7	5	2	—	—	14	1	1
Nov.	4.8	8.3	4.9	5.7	−1.2	27	15.6	7	90	76	90	85	60	29	9.4	8.2	8.5	8.7	136	19	1	18	15	—	—	—	13	—	2
Dez.	−0.5	1.8	0.3	0.5	−5.4	13	8.4	9	97	85	94	92	50	10	9.1	7.9	8.0	8.3	49	7	9	13	12	3	—	—	18	2	2
Jahr	7.3	12.6	8.4	9.2	−6.8	I	30.2	VII	77	63	73	71	31	IV	8.3	7.3	7.1	7.6	1142	45	X	167	134	24	1	4	94	20	2

Rheinfelden

$\lambda = 7° 47'$, $\beta = 47° 33'$, $H_b = 287^m$, $hr = 1.6^m$ — Beobachter: Frl. M. Waidele

Jan.	1.2	4.1	1.6	2.1	−4.0	7	7.8	18.20 22	—	—	—	—	—	—	9.3	8.5	6.9	8.2	67	18	19	15	12	1	—	—	5	—	2
Febr.	1.0	5.8	2.5	3.0	−3.8	28	10.5	9	—	—	—	—	—	—	8.9	8.2	7.6	8.2	74	12	21	13	12	3	—	—	5	—	1
März	1.6	7.9	3.4	4.1	−7.2	1	17.0	17	—	—	—	—	—	—	8.1	8.3	6.9	7.8	102	23	27	16	14	3	—	—	2	1	1
April	5.6	13.8	7.4	8.6	−0.2	4.11	24.0	25	—	—	—	—	—	—	5.8	6.0	4.4	5.4	61	10	27	10	9	—	—	—	1	6	
Mai	10.3	17.0	11.1	12.4	4.0	13	27.5	24	—	—	—	—	—	—	7.6	7.5	5.7	6.9	74	14	31	17	15	—	—	1	3	3	1
Juni	14.1	20.0	14.7	15.9	11.0	3.19 30	29.0	15	—	—	—	—	—	—	7.9	7.0	6.2	7.0	133	15	28	19	17	—	—	1	5	2	1
Juli	15.4	22.9	17.1	18.1	11.2	1	31.0	31	—	—	—	—	—	—	6.0	4.5	4.2	4.9	183	30	11	10	9	—	—	7	6	10	
Aug.	15.1	22.0	15.5	17.0	11.8	9	29.5	1	—	—	—	—	—	—	6.9	6.1	5.6	6.2	148	42	7	14	13	—	—	3	5	3	
Sept.	12.7	19.8	13.8	15.0	5.5	21	27.5	13	—	—	—	—	—	—	8.3	5.9	5.0	6.4	81	18	23	11	11	—	—	2	9	3	1
Okt.	6.2	12.9	6.8	8.2	0.0	12	19.8	1	—	—	—	—	—	—	8.1	5.6	4.8	6.2	61	41	22	6	6	—	—	—	14	4	1
Nov.	5.0	9.8	5.5	6.4	−1.5	28	16.0	7	—	—	—	—	—	—	8.4	8.1	7.3	7.9	150	23	1	20	18	—	—	—	3	1	
Dez.	−1.1	3.7	0.1	0.7	−5.5	13.14	8.0	5	—	—	—	—	—	—	5.8	5.5	4.4	5.2	58	13	9	14	12	1	—	—	7	11	
Jahr	7.3	13.3	8.3	9.3	−7.2	III	31.0	VII	—	—	—	—	—	—	7.6	6.8	5.7	6.7	1192	42	VIII	165	148	8	—	14	65	44	1

$\lambda = 8^\circ 38'$, $\beta = 47^\circ 42'$, $H_b = 448^m$, $h_r = 1.5^m$

Schaffhausen

Beobachter: A. Streckeisen

1951	Luft-Temperatur								Relative Feuchtigkeit						Bewölkung				Niederschlag			Zahl der Tage							
	7³⁰	13³⁰	21³⁰	Mittel	Minimum	Tag	Maximum	Tag	7³⁰	13³⁰	21³⁰	Mittel	Minim.	Tag	7³⁰	13³⁰	21³⁰	Mitt.	Summe	Maxim.	Tag	●	●* ≥1.0	*	▲	K	≡	helle	trübe
Jan.	0.0	2.5	0.7	1.0	-5.4	6	6.2	20.22	91	82	89	87	64	5	9.9	9.2	8.7	9.3	73	29	15	9	8	3	—		10		27
Febr.	0.4	4.4	1.2	1.8	-3.0	28	8.4	9	90	74	84	83	47	21	9.8	7.9	7.2	8.3	86	16	20	12	10	7	—	—	5	—	15
März	1.3	6.1	3.0	3.3	-4.3	2	14.8	23	82	59	72	71	32	21	8.0	7.6	6.2	7.3	85	18	27	13	13	2	—	—	2	1	14
April	5.0	12.5	7.4	8.1	-1.0	1.4	20.8	25	73	52	59	61	29	16	5.5	6.1	3.9	5.2	40	9	9	8	7	2	—	—	—	7	8
Mai	9.7	16.1	11.7	12.3	-0.5	1	26.2	25	85	54	74	71	34	2.6	6.6	6.6	4.6	5.9	59	11	29	17	14	—	—	—	—	4	7
Juni	13.7	19.3	14.7	15.6	11.0	1.5	28.6	15	83	58	76	72	37	14	6.4	6.5	5.8	6.2	89	21	23	19	15	—	—	1	3	4	11
Juli	15.5	22.8	17.4	18.3	11.1	18	29.8	31	80	50	71	67	37	4	5.0	5.1	3.7	4.6	70	24	16	10	8	—	—	—	2	10	6
Aug.	14.7	21.3	16.2	17.1	12.0	25	30.2	2	87	57	82	75	39	2.19	5.8	6.1	5.4	5.8	114	21	7	16	13		—	1	2	3	8
Sept.	12.3	18.6	13.8	14.6	6.1	22	25.8	13	*90	*60	*85	*78	41	4	7.9	5.9	4.0	5.9	71	13	7	11	9	—	—	—	9	5	10
Okt.	5.4	11.2	7.0	7.6	-0.7	13	16.8	2	*90	*70	*87	*82	?	—	8.2	6.4	4.9	6.5	40	28	22	7	4	—	—	—	13	4	14
Nov.	4.1	8.0	5.0	5.5	-2.4	27	15.1	7	90	77	85	84	54	4	8.6	7.6	6.3	7.5	55	9	25	17	15	1	—	—	6	—	14
Dez.	-1.5	1.4	-0.4	-0.2	-6.6	14	7.0	9	95	87	94	92	52	12	8.9	6.8	7.1	7.6	44	10	9	12	11	2	—	—	16	3	18
Jahr	6.7	12.0	8.1	8.7	-6.6	XII	30.2	VIII	86	65	80	77	29	IV	7.6	6.8	5.7	6.7	826	29	I	151	127	17	—	2	68	41	152

Oberes Aare- und Saanegebiet

$\lambda = 7^\circ 37'$, $\beta = 46^\circ 46'$, $H_b = 565^m$, $h_r = 1.9^m$

Thun

Beobachter: Eidg. Munitionsfabrik: H. Stucki u. H. Rothen

1951	Luft-Temperatur								Relative Feuchtigkeit						Bewölkung				Niederschlag			Zahl der Tage							
	7³⁰	13³⁰	21³⁰	Mittel	Minimum	Tag	Maximum	Tag	7³⁰	13³⁰	21³⁰	Mittel	Minim.	Tag	7³⁰	13³⁰	21³⁰	Mitt.	Summe	Maxim.	Tag	●	●* ≥1.0	*	▲	K	≡	helle	trübe
Jan.	-1.4	2.3	-0.5	0.0	-10.8	10	7.8	21	90	73	88	84	54	19	7.1	7.3	7.3	7.2	24	9	15	6	6	3	—	—	5	1	15
Febr.	0.4	4.2	1.0	1.7	-4.7	28	8.7	9.21	88	64	85	79	32	21	6.9	7.4	7.4	7.2	79	28	11	10	9	6	—		—	1	15
März	1.4	6.2	3.2	3.5	-6.1	5	13.1	15	85	57	78	73	30	23	7.2	7.4	7.5	7.4	88	20	27	11	10	5	—	—	—	1	17
April	5.5	12.2	7.5	8.2	1.3	29	18.9	25	83	52	80	72	26	9	5.5	5.6	6.8	6.0	60	?	-	13	11	2			–	2	8
Mai	10.1	15.4	11.2	12.0	3.7	1	24.9	24	78	53	79	70	35	6.21	6.4	7.2	7.7	7.1	121	25	7	16	14	—	1	3	—	1	14
Juni	14.2	19.4	15.1	16.0	10.9	1	28.9	15	77	50	82	70	25	15	6.1	6.6	6.4	6.4	138	28	17	17	15	—	1	5	—	4	11
Juli	15.7	22.4	18.0	18.5	11.9	16	28.9	31	81	49	77	69	25	4	4.2	4.1	4.6	4.3	126	51	15	12	11	—	—	6	—	12	5
Aug.	14.7	20.7	16.3	17.0	11.3	17	26.9	1	86	53	84	74	36	2	5.1	5.5	5.4	5.3	120	25	20	14	13	—	—	2	—	7	6
Sept.	12.4	18.6	14.5	15.0	5.7	20	25.1	13	89	59	89	79	42	2	5.5	4.6	5.5	5.2	59	21	28	10	8	—	—	1	—	5	7
Okt.	6.5	12.0	8.2	8.7	2.1	23	17.1	3	93	61	87	80	42	12	6.7	6.2	6.5	6.5	62	42	22	4	4	1	—	—	3	2	12
Nov.	3.9	8.3	4.8	5.4	-3.1	28	16.3	6	91	65	88	81	38	6	6.5	6.6	6.9	6.7	96	21	11	15	13	1	—	—	—	2	12
Dez.	-1.9	2.2	-0.9	-0.4	-6.5	20	6.9	9	93	77	91	87	45	10	6.6	5.6	7.1	6.4	37	11	2	9	9	2	—	—	14	3	11
Jahr	6.8	12.0	8.2	8.8	-10.8	I	28.9	VI VII	86	59	84	76	25	VI VII	6.1	6.2	6.6	6.3	1010	51	VII	137	123	20	2	17	22	41	133

$\lambda = 7^\circ 41'$, $\beta = 46^\circ 45'$, $H_b = 1125^m$, $h_r = 1.4^m$

Heiligenschwendi

Beobachter: Sanatorium

1951	Luft-Temperatur								Relative Feuchtigkeit						Bewölkung				Niederschlag			Zahl der Tage							
	7³⁰	13³⁰	21³⁰	Mittel	Minimum	Tag	Maximum	Tag	7³⁰	13³⁰	21³⁰	Mittel	Minim.	Tag	7³⁰	13³⁰	21³⁰	Mitt.	Summe	Maxim.	Tag	●	●* ≥1.0	*	▲	K	≡	helle	trübe
Jan.	-0.3	2.1	0.3	0.6	-4.8	16	6.5	11	70	63	73	69	32	10	6.6	7.7	6.7	7.0	45	10	18	7	7	6	—	—	5	3	17
Febr.	-0.8	2.5	0.1	0.4	-5.4	28	7.5	9	73	58	71	67	35	17	8.0	7.6	7.3	7.6	80	19	11	10	9	10	—	—	1		15
März	-0.1	3.7	1.5	1.5	-7.4	1	13.4	23	69	56	69	65	28	23	7.8	7.6	6.9	7.4	123	21	27	16	16	10	—	—	1	2	19
April	4.5	9.5	5.5	6.2	-0.4	1	17.2	25	68	53	71	64	30	25	6.0	6.0	5.9	6.0	90	19	28	15	13	7	—	—	2	5	13
Mai	8.1	12.2	9.2	9.4	2.3	14.15	22.0	25	74	61	73	69	38	21.25	6.0	8.0	6.9	7.0	154	24	10	17	14	2	—	3	2	1	11
Juni	11.8	15.3	12.4	12.7	7.3	1	24.2	15	78	63	75	72	35	15	6.3	6.6	6.9	6.6	159	31	8	17	14	—	—	3	1	1	11
Juli	13.7	18.4	15.1	15.2	9.0	24	24.2	31	79	58	73	70	38	4	4.5	5.1	6.0	5.2	179	49	15	11	11	—	—	4	1	8	8
Aug.	13.3	16.8	14.1	14.3	9.3	9	22.4	2	77	65	75	72	40	12	5.6	6.6	6.3	6.2	150	31	4	15	14	—	—	1	3	5	9
Sept.	11.5	15.0	12.7	12.8	5.9	20	21.7	13	75	64	77	72	46	5.6	6.0	5.9	5.7	5.9	95	35	28	9	8	—	—	—	—	8	12
Okt.	6.3	9.2	7.1	7.3	0.8	23	13.6	2	73	65	75	71	45	29	6.2	6.5	7.7	6.8	52	32	22	4	4	3	—	—	6	4	16
Nov.	3.8	6.6	4.6	4.8	-1.3	29	14.6	6	68	61	66	65	28	6	7.2	7.5	6.7	7.1	124	19	1	17	17	7	—	—	2	1	11
Dez.	0.8	4.6	2.4	2.5	-4.8	4.12	9.3	19	57	50	53	53	32	24	4.3	4.7	4.0	4.3	61	23	2	11	8	9			–	12	9
Jahr	6.0	9.7	7.1	7.3	-7.4	III	24.2	VI VII	72	60	71	67	28	III XI	6.2	6.6	6.4	6.4	1312	49	VII	149	135	54	—	11	24	50	151

Die Abendbeobachtung erfolgt um 20³⁰

$\lambda = 7^\circ 35'$, $\beta = 46^\circ 30'$, $H_b =$ ca. 1345^m, $h_r = 1.5^m$

Adelboden

Beobachter: G. Gyger-Spori

1951	Luft-Temperatur								Relative Feuchtigkeit						Bewölkung				Niederschlag			Zahl der Tage							
	7³⁰	13³⁰	21³⁰	Mittel	Minimum	Tag	Maximum	Tag	7³⁰	13³⁰	21³⁰	Mittel	Minim.	Tag	7³⁰	13³⁰	21³⁰	Mitt.	Summe	Maxim.	Tag	●	●* ≥1.0	*	▲	K	≡	helle	trübe
Jan.	-2.2	2.0	-1.9	-1.0	-9.0	4.16	9.0	6	78	62	78	73	33	10	5.5	6.2	6.5	6.1	79	17	17	8	7	6	—	—	9	3	12
Febr.	-3.7	1.9	-2.6	-1.8	-9.0	2.23 27	7.0	12.18	73	60	71	68	32	17	6.2	5.4	5.8	5.8	96	35	11	14	13	14	—		10	3	11
März	-2.2	4.3	-1.3	-0.1	-11.0	3	12.0	23	77	55	74	69	21	23	6.5	6.4	6.4	6.4	122	15	27	16	10	13	—	—	6	3	14
April	3.0	9.7	3.4	4.9	-4.0	13	15.0	17.23 24.25	75	52	73	67	20	15	5.1	5.5	6.3	5.6	68	16	9	13	10	10	—	—	8	6	9
Mai	7.4	12.4	7.3	8.6	-2.0	1	23.0	25	79	66	83	76	41	3	6.2	6.6	7.2	6.7	100	14	9	18	17	1	—	1	14	1	9
Juni	11.6	16.0	11.7	12.7	6.4	24	27.0	13	80	70	81	77	19	16	6.5	6.3	7.8	6.9	127	20	23	18	17	—	—	3	12	1	13
Juli	13.3	18.5	13.9	14.9	7.4	25	25.0	31	78	62	76	72	40	11	4.4	5.8	6.4	5.5	134	35	15	12	10	—	—	4	11	2	8
Aug.	12.4	17.1	12.9	13.8	8.0	10	23.6	6	76	64	75	72	20	12	5.4	6.2	6.7	6.1	168	27	4	16	13	—	—	2	14	2	7
Sept.	9.8	15.6	10.5	11.6	4.0	20.21	23.0	13	86	66	85	79	39	13	5.1	5.3	6.9	5.8	60	13	28	11	11	—	—	—	14	4	7
Okt.	3.2	9.5	4.5	5.4	-2.0	23.24	15.0	20	86	73	87	82	40	13	5.1	4.1	6.9	5.4	42	?	—	5	5	3	—	—	14	5	5
Nov.	2.1	6.7	2.4	3.4	-7.2	29	14.0	10	80	67	81	76	34	18	6.7	6.7	6.5	6.6	117	25	10	16	16	9	—	—	4	3	11
Dez.	-0.9	4.2	-0.3	0.7	-10.0	4.28	9.2	18	60	48	60	56	27	9	3.6	4.1	4.7	4.1	51	16	7	11	11	10	—		1	14	7
Jahr	4.5	9.8	5.0	6.1	-11.0	III	27.0	VI	77	62	77	72	19	VI	5.5	5.7	6.5	5.9	1164	35	II	158	146	66	—	10	117	47	113

Grimmialp

$\lambda = 7° 29'$, $\beta = 46° 34'$, $H_b = 1214^m$, $h_r = 1.5^m$ — Beobachter: Kurheim

1951	Luft-Temperatur								Relative Feuchtigkeit						Bewölkung				Niederschlag		Zahl der Tage							
	7^{30}	13^{30}	21^{30}	Mittel	Minimum	Tag	Maximum	Tag	7^{30}	13^{30}	21^{30}	Mittel	Minim.	Tag	7^{30}	13^{30}	21^{30}	Mitt.	Summe	Maxim. Tag	●	●* ≥1.0	*	▲	K_s	≡	helle	trü
Jan.	−2.0	2.4	−1.5	−0.7	−7.6	16	8.8	6	74	64	75	71	36	10	4.8	6.8	6.1	5.9	110	38 19	8	8	7	—	—	5	6	1
Febr.	−3.1	1.8	−1.8	−1.2	−9.6	28	8.2	11	78	62	76	72	30	17	7.4	7.5	6.6	7.2	122	32 11	15	15	15	—	—		2	1
März	−2.2	3.8	−0.4	0.2	−11.2	3	11.4	23	77	55	69	67	22	23	7.1	6.8	7.0	7.0	142	22 27	17	14	14	—	—	3	4	1
April	2.2	9.7	3.8	4.9	−4.3	4	18.2	25	74	50	72	65	24	16	5.8	5.3	6.1	5.7	69	17 9	14	12	9	—	—	—	6	1
Mai	7.1	12.3	8.0	8.8	1.7	15	23.8	24	79	60	76	72	27	24	6.7	8.4	7.1	7.4	121	? —	14	13	1	—	2	?	2	1
Juni	11.5	16.2	11.6	12.7	7.9	1	27.1	15	82	60	79	74	26	15	7.1	7.5	7.2	7.2	139	25 8	20	18	—	—	3	—	1	1
Juli	12.7	19.3	13.8	14.9	8.2	1	26.4	22	85	55	77	72	22	21	3.8	5.5	4.8	4.7	157	49 14	12	10	—	—	5	—	8	
Aug.	11.1	17.2	13.0	13.6	7.0	17.18/24	25.0	30	88	60	82	77	34	12	5.8	6.2	6.0	6.0	138	24 4	16	16	—	—	2	2	6	
Sept.	9.2	16.1	11.3	12.0	1.2	20	24.6	13	86	58	84	76	38	6.22	5.2	5.6	5.5	5.4	44	8 26	12	10	—	—	—	—	6	1
Okt.	2.7	10.7	4.3	5.5	−2.0	12	16.8	1	88	59	86	78	34	12	5.2	4.7	5.2	5.0	46	31 22	3	3	2	—	—	—	8	
Nov.	1.2	6.3	1.8	2.8	−6.8	29	15.0	10	84	63	84	77	30	10	7.0	7.7	6.0	6.9	152	? —	16	16	9	—	—	—	3	1
Dez.	−0.7	4.3	0.0	0.9	−9.0	4	10.2	1	66	51	63	60	28	14	3.8	4.5	2.6	3.6	56	? —	10	10	8	—	—	—	14	
Jahr	4.1	10.0	5.3	6.2	−11.2	III	27.1	VI	80	58	77	72	22	III VII	5.8	6.4	5.8	6.0	1296	49 VII	157	145	65	—	12	10	66	13

Château d'Oex

$\lambda = 7° 8'$, $\beta = 46° 29'$, $H_b = $ ca. 1021^m, $h_r = 1.5^m$ — Beobachter: C. Delachaux

Jan.	−2.9	1.3	−1.7	−1.2	−8.6	10	6.3	11	68	50	72	63	22	11	5.4	6.3	7.0	6.2	100	21 18	10	9	8	—	—	—	4	1
Febr.	−2.9	2.2	−1.6	−1.0	−10.0	28	8.2	11	71	39	68	59	12	17	8.0	6.8	5.5	6.8	97	18 17	15	12	15	—	—	2	3	1
März	−2.5	4.1	−0.2	0.3	−12.4	1	14.7	23	69	34	65	56	9	15	7.2	7.0	6.9	7.0	161	23 27	19	17	14	1	1	—	4	1
April	3.0	11.2	4.0	5.5	−2.8	1	18.2	25	61	25	67	51	9	13. 16	5.9	5.6	5.9	5.8	84	22 26	15	12	9	—	—	—	5	1
Mai	7.7	14.5	7.8	9.5	2.5	17	24.8	24	81	57	88	75	32	24	6.6	7.6	7.2	7.1	85	12 31	17	12	—	1	2	—	3	1
Juni	11.3	17.6	11.2	12.8	7.4	2	26.6	15	85	58	94	79	32	15	6.4	6.3	6.9	6.5	141	33 8	20	17	—	—	3	—	2	1
Juli	12.4	20.8	13.6	15.1	8.0	26	27.1	11	88	58	90	79	34	4	3.9	3.9	5.1	4.3	186	44 14	16	14	—	2	9	—	10	
Aug.	11.7	18.8	12.7	14.0	7.0	10	24.5	30	87	60	91	79	29	12	5.5	6.0	5.4	5.6	141	37 20	20	16	—	—	2	—	4	
Sept.	9.7	17.1	11.7	12.5	4.0	20	23.3	13	90	62	92	81	48	6.16	5.5	4.8	3.9	4.7	74	21 23	14	11	—	—	2	1	9	
Okt.	4.2	11.2	6.1	6.9	−1.4	12	16.2	2	91	62	93	82	43	17	6.9	5.2	5.0	5.7	51	21 22	5	4	2	—	—	2	5	
Nov.	1.5	6.7	2.5	3.3	−6.2	23	17.7	6	88	67	88	81	28	6	7.5	7.0	6.7	7.1	163	23 21	17	17	9	—	—	1	1	1
Dez.	−2.4	3.2	−0.8	−0.2	−9.6	4	8.6	25	82	61	82	75	35	25	3.8	4.8	3.9	4.2	68	20 9	13	12	9	—	—	—	13	
Jahr	4.2	10.7	5.4	6.4	−12.4	III	27.1	VII	80	53	83	72	9	III IV	6.0	5.9	5.8	5.9	1351	44 VII	181	153	66	4	19	6	63	13

Château d'Oex: Die bisher angegebene Höhe von 1010 m ist unrichtig.

Marsens

$\lambda = 7° 4'$, $\beta = 46° 39'$, $H_b = 727^m$, $h_r = 1.5^m$ — Beobachter: E. Baeriswyl

Jan.	−1.5	2.3	−0.6	−0.1	−9.6	4	6.2	21	89	80	91	87	46	11	7.0	7.0	6.3	6.8	96	33 18	10	10	7	—	—	4	6	1
Febr.	−0.5	3.3	0.6	1.0	−7.8	28	8.4	9	87	74	87	83	40	17	7.0	7.4	6.5	7.0	115	22 17	16	12	11	—	—	2	3	1
März	0.0	5.0	2.3	2.4	−11.8	5	14.4	23	88	68	82	79	35	23	7.1	7.0	6.0	6.7	142	31 27	16	15	6	—	1	—	3	1
April	4.8	10.9	6.5	7.2	−0.8	12	17.8	25	87	64	83	78	37	25	5.4	5.6	4.6	5.2	118	26 7	14	12	5	—	—	—	6	
Mai	9.0	14.3	10.2	10.9	3.6	1	24.0	24	88	65	85	79	39	24	6.4	7.0	6.2	6.5	96	14 31	14	12	—	—	2	2	3	1
Juni	13.2	18.6	14.1	15.0	10.4	2	26.4	15	68	89	69	75	37	15	6.1	5.8	5.7	5.9	137	49 8	18	15	—	—	2	—	4	1
Juli	14.7	21.0	16.4	17.1	10.6	16.18/26	26.8	31	90	61	84	78	35	4	3.6	4.3	4.1	4.0	155	46 15	12	11	—	—	5	1	4	1
Aug.	14.1	19.6	15.0	15.9	10.8	24	24.8	2	90	68	88	82	45	2	5.0	5.8	4.2	5.0	174	49 20	19	16	—	—	2	1	6	
Sept.	11.6	17.3	13.2	13.8	4.2	20	24.0	12	94	74	91	86	57	1	6.1	4.7	4.2	5.0	79	28 23	12	11	—	—	—	5	6	
Okt.	6.1	11.2	7.2	7.9	0.0	17	15.8	2. 3	94	76	94	88	49	28	7.0	5.7	5.5	6.1	55	26 22	5	4	—	—	—	8	4	
Nov.	3.4	7.8	4.5	5.0	−3.6	28	14.2	7	90	75	90	85	49	25	7.0	6.6	6.4	6.7	172	45 21	17	15	2	—	1	3	2	1
Dez.	−1.8	3.9	−0.1	0.5	−6.4	12	8.8	9	87	72	86	82	47	9	3.4	4.3	2.7	3.5	68	18 2	12	10	6	—	—	1	15	
Jahr	6.1	11.3	7.4	8.0	−11.8	III	26.8	VII	88	72	86	82	35	III VII	5.9	5.9	5.2	5.7	1407	49 VIII	165	143	37	—	13	27	62	1

Romont

$\lambda = 6° 55'$, $\beta = 46° 41'$, $H_b = 764^m$, $hr = 1.5^m$ — Beobachter: Couvent des Capucins

Jan.	−0.9	1.5	0.0	0.2	−6.8	4	5.2	10. 11	91	88	95	91	56	11	7.0	7.7	6.0	6.9	62	14 2	12	11	7	—	—	8	3	1
Febr.	−0.7	2.1	0.2	0.4	−5.5	28	6.5	9	94	83	92	90	49	17	7.2	6.6	6.6	6.8	94	15 17	15	14	13	—	—	4	4	1
März	0.0	4.1	1.9	2.0	−9.4	5	13.1	23	92	73	85	83	45	23	7.6	6.4	5.8	6.6	114	23 27	17	15	8	—	—	—	2	1
April	5.0	10.2	6.2	6.9	−0.2	12	16.9	17	89	65	84	79	41	16	5.9	5.0	4.6	5.2	83	14 2	12	11	3	—	—	—	6	
Mai	8.7	14.1	10.0	10.7	3.3	1	24.3	24	92	67	87	82	40	24	7.1	6.7	6.0	6.6	104	40 31	13	13	—	—	1	2	3	1
Juni	12.8	17.7	13.6	14.4	10.0	2	25.9	15	94	67	87	83	42	13	5.9	5.6	5.7	5.7	105	20 8	18	14	—	—	6	—	6	1
Juli	14.4	19.9	16.4	16.8	9.6	25	25.2	22	93	64	84	80	39	4	3.2	3.4	4.1	3.6	113	32 15	9	9	—	—	1	—	15	
Aug.	13.9	19.0	15.2	15.8	10.0	24	23.4	30	96	67	90	84	45	11	4.9	5.2	4.7	4.9	114	33 20	15	14	—	—	1	2	6	
Sept.	11.7	16.7	13.4	13.8	5.5	20	22.5	13	—	—	fehlt	—	—	—	6.5	5.0	3.8	5.1	66	27 23	7	7	—	—	—	4	8	
Okt.	6.2	10.6	7.2	7.8	0.8	12	14.8	3.4.20	100	82	100	94	63	13	7.4	6.2	6.4	6.7	51	31 22	7	3	1	—	—	8	2	1
Nov.	3.5	7.0	4.4	4.8	−1.4	28	11.7	7	96	84	94	91	57	28	7.8	7.6	6.8	7.4	111	22 11	16	15	1	—	—	5	4	1
Dez.	−0.8	2.7	0.3	0.6	−5.5	4	6.0	25	93	79	94	89	65	18	4.2	4.7	2.8	3.9	59	? —	9	9	5	—	—	1	14	
Jahr	6.2	10.5	7.4	7.9	−9.4	III	25.9	VI	—	—	—	—	39	VII	6.2	5.8	5.3	5.8	1076	40 V	150	135	38	—	9	34	73	1

Rochers de Naye

$\lambda = 6°\,59'$, $\beta = 46°\,26'$, $H_b = 1982^m$, $h_r = 2.3^m$ — Beobachter: Ch. Devaud

1951	Luft-Temperatur								Relative Feuchtigkeit						Bewölkung				Niederschlag		Zahl der Tage							
	7^{30}	13^{30}	21^{30}	Mittel	Minimum	Tag	Maximum	Tag	7^{30}	13^{30}	21^{30}	Mittel	Minim.	Tag	7^{30}	13^{30}	21^{30}	Mitt.	Summe	Maxim. Tag	•	●≥1.0	✶	▲	K.	—	helle	trübe
Jan.	—	—	—	—	—	—	—	—	—	—	—	—	—	—	—	—	—	—	—	—	—	—	—	—	—	—	—	—
Febr.	—	—	—	—	—	—	—	—	—	—	—	—	—	—	—	—	—	—	—	—	—	—	—	—	—	—	—	—
März	—	—	—	—	—	—	—	—	—	—	—	—	—	—	—	—	—	—	—	—	—	—	—	—	—	—	—	—
April	-2.6	0.6	-2.3	-1.7	-9.0	2	9.0	24	82	74	81	79	21	24	6.7	6.4	5.9	6.3	—	—	—	—	—	—	11	3	11
Mai	1.9	5.7	1.6	2.7	-5.0	14.15	19.0	25	77	76	83	79	25	24	7.2	8.0	7.7	7.6	192	29	16	15	14	11	—	—	14	1	15
Juni	6.3	8.9	6.5	7.1	0.4	4	20.0	21	79	74	84	79	29	14	6.8	7.8	7.4	7.3	225	40	8	17	16	1	—	1	20	1	16
Juli	9.3	12.8	9.1	10.1	3.0	24	19.0	31	70	65	80	72	30	19	3.8	5.5	4.1	4.5	270	96	15	9	9	—	—	—	—	11	7
Aug.	8.4	11.4	8.2	9.1	3.2	9	18.0	6	70	61	77	69	20	12	6.1	8.0	5.4	6.5	281	52	20	18	18	—	—	—	17	4	12
Sept.	7.3	10.9	7.4	8.3	0.0	19	18.0	13	67	60	77	68	21	21	5.6	5.9	4.8	5.4	159	46	23	12	11	2	—	—	14	9	11
Okt.	2.5	5.7	2.6	3.4	-5.0	23	11.6	2	55	49	62	55	16	17	4.1	4.8	2.8	3.9	92	36	22	3	3	3	—	—	5	10	5
Nov.	-1.0	1.3	-0.5	-0.2	-8.0	29	9.4	16	73	67	70	70	11	29	7.3	7.8	7.1	7.4	472	75	1	18	18	18	—	—	12	13	17
Dez.	-1.5	1.4	-1.4	-0.7	-10.0	11.28	7.8	20	52	46	56	51	2	5	3.1	5.2	4.0	4.1	233	57	9	10	10	10	—	—	7	13	6
Jahr	—	—	—	—	—	—	20.0	VI	—	—	—	—	—	—	—	—	—	—	—	—	—	—	—	—	—	—	—	—

Leukerbad

$\lambda = 7°\,37'$, $\beta = 46°\,23'$, $H_b =$ ca. 1380^m, $h_r = 1.1^m$ — Beobachter: Spitalbad: Schw. G. Gränicher

Jan.	-3.3	1.5	-2.8	-1.9	-8.8	16	5.9	6	70	57	75	67	38	10	5.4	6.3	6.1	5.9	117	33	18	8	8	8	—	—	2	5	11
Febr.	-3.6	1.4	-3.0	-2.0	-10.2	28	7.0	9	76	56	70	67	35	3	7.1	7.0	6.0	6.7	93	35	19	15	14	15	—	—	1	2	12
März	-2.7	3.6	-1.1	-0.3	-11.9	1	11.0	23	70	50	69	63	30	22	6.9	7.8	6.6	7.1	162	28	19	10	10	7	—	—	1	3	16
April	1.5	8.3	2.5	3.7	-4.8	12	14.9	24	65	43	66	58	29	24	5.3	5.5	5.7	5.5	58	25	9	7	7	4	—	—	1	6	9
Mai	6.9	12.1	7.1	8.3	2.0	5	21.9	24	66	46	65	59	31	31	6.3	7.3	6.5	6.7	35	10	26	7	7	—	—	—	—	3	10
Juni	10.6	16.2	10.6	12.0	6.0	1	24.8	15	69	47	74	64	25	15	6.1	6.2	5.2	5.8	94	19	16	11	10	—	—	4	—	4	8
Juli	12.4	19.5	13.5	14.7	8.8	25	25.0	31	73	47	67	62	36	27	3.7	4.6	3.2	3.8	36	10	11	7	7	—	—	5	—	13	4
Aug.	12.3	17.6	11.5	13.2	7.1	16	23.0	1.2	73	56	79	69	34	12	4.9	6.1	4.7	5.2	122	14	15	15	15	—	—	2	3	5	7
Sept.	9.6	16.7	10.4	11.8	2.9	20	21.5	11	82	61	80	74	40	11.22	5.3	5.0	3.6	4.6	42	?	—	8	7	—	—	—	7	9	7
Okt.	4.0	11.6	5.0	6.4	0.0	23	17.9	2	74	51	77	67	24	16	4.3	4.8	4.3	4.5	53	20	31	3	3	1	—	—	3	7	7
Nov.	1.7	6.0	2.8	3.3	-5.0	23	12.5	7	75	59	71	68	34	9	7.3	7.9	7.1	7.4	160	32	10	13	13	8	—	—	1	2	15
Dez.	-1.6	3.7	-0.9	0.1	-8.1	28	7.2	1	65	51	62	59	34	24	3.5	4.6	3.3	3.8	72	15	29	9	9	9	—	—	2	15	7
Jahr	4.0	9.9	4.6	5.8	-11.9	III	25.0	VII	72	52	71	65	24	X	5.5	6.1	5.2	5.6	1042	35	II	113	110	52	—	11	21	74	113

Grächen

$\lambda = 7°\,51'$, $\beta = 46°\,12'$, $H_b = 1629^m$, $h_r = 1.5^m$ — Beobachter: P. Heinzmann

Jan.	-4.2	-0.9	-3.8	-3.1	-9.8	16	6.4	6	—	—	—	—	—	—	5.2	4.9	4.8	5.0	46	?	—	9	9	9	—	—	—	10	9
Febr.	-5.2	-0.4	-4.3	-3.5	-10.2	27	4.8	12	—	—	—	—	—	—	6.7	5.6	6.0	6.1	58	27	11	7	6	7	—	—	—	5	8
März	-3.4	1.4	-2.6	-1.7	-12.2	1	9.6	23	—	—	—	—	—	—	5.9	5.6	6.5	6.0	37	13	27	8	8	6	—	—	—	4	8
April	0.6	5.8	2.0	2.5	-7.4	1	14.6	24	—	—	—	—	—	—	5.0	4.4	4.5	4.6	32	?	—	8	7	5	—	—	—	9	6
Mai	5.5	10.6	6.0	7.0	-0.6	1	20.6	23	—	—	—	—	—	—	6.5	6.0	5.7	6.1	57	?	—	7	5	1	1	—	—	4	9
Juni	10.2	15.4	10.2	11.4	5.6	23	23.4	14	—	—	—	—	—	—	5.2	5.1	4.9	5.1	88	35	8	10	10	—	—	3	—	7	7
Juli	12.5	18.0	13.0	14.0	5.6	16	24.2	31	—	—	—	—	—	—	3.7	3.1	3.7	3.5	44	16	15	6	5	—	—	1	—	12	2
Aug.	11.1	16.0	11.2	12.4	7.0	10	20.6	2	—	—	—	—	—	—	5.2	4.5	4.4	4.7	105	52	21	14	14	—	—	4	2	8	4
Sept.	9.2	14.8	10.1	11.1	1.8	29	19.6	12	—	—	—	—	—	—	5.1	3.8	4.6	4.5	52	30	29	8	8	—	—	—	7	7	4
Okt.	3.1	8.9	3.9	5.1	-1.4	12	15.2	3	—	—	—	—	—	—	3.5	3.0	2.8	3.1	33	20	23	4	2	3	—	—	2	14	3
Nov.	-0.6	3.8	0.2	0.9	-6.2	4.93 27.29	9.0	7	—	—	—	—	—	—	5.8	5.6	5.1	5.5	146	64	10	13	9	8	—	—	—	6	6
Dez.	-2.8	3.3	-1.6	-0.5	-9.4	28	7.2	21	—	—	—	—	—	—	2.4	2.8	3.2	2.8	20	?	—	7	4	7	—	—	3	19	1
Jahr	3.0	8.0	3.7	4.6	-12.2	III	24.2	VII	—	—	—	—	—	—	5.0	4.5	4.7	4.7	718	64	XI	101	87	46	1	8	14	105	67

Die Abendbeobachtung erfolgt um 20^{30}

Zermatt

$\lambda = 7°\,45'$, $\beta = 46°\,8'$, $H_b = 1610^m$ $h_r = 0.8^m$ — Beobachter: G. Brantschen

Jan.	-7.4	-0.7	-6.5	-5.3	-13.0	14.15	5.0	6	79	59	81	73	37	16.19	4.7	5.2	4.3	4.7	100	38	20	8	8	8	—	—	1	9	8
Febr.	-7.1	0.0	-6.1	-4.8	-16.0	28	3.8	9.12	83	58	81	74	35	17	6.3	6.2	4.9	5.8	54	25	11	14	9	14	—	—	2	6	10
März	-5.8	2.4	-3.4	-2.5	-16.0	1	10.6	23	79	50	72	67	32	11.20	6.2	5.8	5.2	5.7	45	7	19	14	8	13			1	5	8
April	-1.8	8.3	1.0	2.1	-9.0	1	14.5	22.24	81	45	75	67	28	24	4.2	3.5	4.8	4.2	39	14	29	8	6	6	—	—	2	10	5
Mai	5.1	12.5	5.8	7.3	-1.4	1	21.3	24	80	48	76	68	31	23	5.5	6.4	6.1	6.0	71	29	27	15	9	5			5	4	11
Juni	8.8	16.5	8.8	10.7	4.2	1	25.0	15	83	52	84	73	28	15	4.9	5.5	6.5	5.6	97	38	8	17	13	—	—	3	2	6	7
Juli	9.7	20.0	10.5	12.7	4.8	26	26.2	31	86	49	83	73	34	31	3.3	3.6	3.6	3.5	45	15	16	9	7	—	—	1	1	13	2
Aug.	8.3	17.3	10.1	11.4	4.0	18	23.1	2	94	56	87	79	39	2.30	4.9	5.2	5.3	5.1	118	41	21	16	12	—	—	4	2	8	7
Sept.	6.3	16.5	8.2	9.8	1.2	29	21.6	8	93	54	90	79	34	22	4.4	4.7	4.8	4.6	69	33	29	10	7	1	—	—	5	5	5
Okt.	1.1	11.2	2.4	4.3	-3.0	13.27	16.7	3	87	46	84	72	27	16	4.0	3.7	3.1	3.6	45	22	22	4	3	3	—	—	—	12	3
Nov.	-1.1	3.9	-0.3	0.6	-7.3	29	11.3	7	86	65	82	78	36	29	6.2	6.4	4.7	5.8	198	70	10	18	16	13	—	—	—	5	8
Dez.	-5.7	1.9	-3.9	-2.9	-12.4	8	6.8	1	76	55	72	68	34	1	2.0	3.9	2.2	2.7	12	4	7	7	3	7	—	—	—	18	3
Jahr	0.9	9.1	2.2	3.6	-16.0	II III	26.2	VII	84	53	81	73	27	X	4.7	5.0	4.6	4.8	893	70	XI	140	101	70	—	8	21	101	77

Saas-Fee

$\lambda = 7^\circ 56'$, $\beta = 46^\circ 7'$, $H = ca.\ 1800^m$, $h_r = 1.5^m$ — Beobachter: Familie Imseng

1951	Luft-Temperatur							Relative Feuchtigkeit						Bewölkung				Niederschlag		Zahl der Tage							
	7^{30}	13^{30}	21^{30}	Mittel	Minimum	Tag	Maximum	Tag	7^{30}	13^{30}	21^{30}	Mittel	Minim.	Tag	7^{30}	13^{30}	21^{30}	Mitt.	Summe	Maxim. Tag							
Jan.	−6.3	−1.9	−5.4	−4.8	−11.0	1	3.2	6	69	61	71	67	37	16.27	4.3	5.3	4.9	4.9	78	26	19	12	11	12	—	—	—	8	9
Febr.	−7.3	−1.6	−6.4	−5.4	−15.3	28	1.8	20	79	59	72	70	37	17	6.6	5.8	5.1	5.8	147	66	11	14	14	13	—	—	—	4	10
März	−5.4	0.5	−4.2	−3.3	−15.8	1	8.7	23	72	57	71	67	26	23	5.7	6.4	4.9	5.7	66	25	27	15	12	13	—	—	—	5	8
April	−1.3	5.2	0.2	1.1	−9.3	4	11.0	23	77	51	73	67	32	4	4.0	4.6	4.4	4.3	51	21	29	8	8	6	—	—	—	10	5
Mai	4.8	9.1	4.6	5.8	−0.3	16	18.7	25	74	54	73	67	37	24	6.0	6.2	5.6	5.9	113	49	27	9	7	1	—	—	—	4	9
Juni	9.3	13.6	8.9	10.2	4.4	25	22.4	15	75	53	76	68	31	15	5.6	5.8	6.2	5.9	118	53	8	15	13	—	—	—	—	3	11
Juli	11.1	17.1	11.8	12.9	4.8	25	23.4	31	76	50	72	66	33	22	3.4	3.5	4.4	3.8	47	18	16	7	7	—	—	—	—	13	3
Aug.	9.8	15.2	10.3	11.4	6.0	18	20.6	2	82	58	80	73	36	19	4.6	5.1	5.4	5.0	139	44	21	13	12	—	—	—	—	7	6
Sept.	7.9	14.2	8.8	9.9	1.4	29	19.3	11	83	56	79	73	32	22	4.8	4.4	4.8	4.7	62	31	29	9	9	1	—	—	2	8	6
Okt.	1.4	8.8	2.5	3.8	−3.3	26	15.2	3	78	50	75	68	23	16	4.9	4.1	3.3	4.1	73	36	23	5	5	3	—	—	2	10	3
Nov.	−1.2	2.5	−0.5	0.1	−8.7	27	9.4	7	76	64	72	71	32	28	5.7	6.2	4.5	5.5	260	97	10	15	13	9	—	—	—	4	7
Dez.	−5.0	−0.2	−4.0	−3.3	−12.0	28	3.9	1	77	56	68	64	38	24	2.6	3.3	3.2	3.0	24	9	9	7	6	7	—	—	—	14	2
Jahr	1.5	6.9	2.2	3.2	−15.8	III	23.4	VII	76	56	73	68	23	X	4.9	5.1	4.7	4.9	1178	97	XI	129	117	65	–	—	4	99	79

Graubünden

Seewis

$\lambda = 9^\circ 38'$, $\beta = 46^\circ 59'$, $H_b = 953^m$, $h_r = 1.5^m$ — Beobachter: Frau B. Janett

Jan.	−2.0	2.5	−1.0	−0.4	−6.4	31	7.4	25	82	60	84	75	30	10	5.5	5.7	5.8	5.7	257	81	20	14	11	13	—	—	3	6	12
Febr.	−1.8	3.9	−1.0	0.0	−6.4	3	10.1	11	83	54	83	73	30	17	7.0	7.1	5.8	6.6	117	30	11	18	14	18	—	—	2	2	12
März	−1.4	4.8	−0.5	0.6	−9.0	3	11.4	23	80	53	80	71	30	15.26	7.8	7.1	5.3	6.7	111	18	13	19	17	17	—	—	1	2	13
April	4.0	10.6	4.4	5.8	0.0	29	17.4	20	72	44	71	62	26	16	6.3	5.4	3.9	5.2	71	15	7	11	10	9	—	—	3	7	9
Mai	9.0	15.3	8.8	10.5	3.4	1	27.1	25	70	47	74	64	27	24.25	6.4	7.1	3.7	5.7	43	12	27	12	9	—	—	—	1	4	8
Juni	12.9	19.5	12.4	14.3	8.1	23	30.0	15	73	51	78	67	20	15	6.5	5.9	6.7	6.4	137	33	23	20	19	—	—	—	8	4	11
Juli	14.6	21.4	14.4	16.2	10.0	25	29.3	31	74	51	79	68	29	11.31	4.3	4.3	3.9	4.2	80	34	23	13	10	—	—	1	4	11	8
Aug.	14.1	20.0	14.0	15.5	9.2	31	27.2	1	77	54	82	71	32	3.30	5.3	4.7	4.7	4.9	142	43	8	15	12	—	—	1	1	8	8
Sept.	11.6	17.7	12.1	13.4	5.3	20	25.4	13	81	60	89	77	32	13	4.9	4.3	5.4	4.9	51	14	26	9	6	—	—	1	2	8	9
Okt.	4.7	11.3	5.8	6.9	0.4	11	17.1	2	83	57	86	75	30	16	4.0	4.5	4.5	4.3	22	11	31	2	2	—	—	—	6	9	3
Nov.	2.8	7.0	3.3	4.1	−4.4	29	16.0	7	86	65	84	78	35	10	7.6	7.5	5.9	7.0	138	16	14	20	19	10	—	—	4	2	12
Dez.	−1.0	3.7	0.4	0.9	−8.2	12	8.4	6.20	72	56	69	66	34	24	3.1	4.1	3.5	3.6	37	10	26	10	9	8	—	—	1	15	6
Jahr	5.6	11.5	6.1	7.3	−9.0	III	30.0	VI	78	54	80	71	20	VI	5.7	5.6	4.9	5.4	1206	81	I	163	138	75	–	3	36	78	11

Schiers

$\lambda = 9^\circ 41'$, $\beta = 46^\circ 58'$, $H_b = 670^m$, $h_r = 1.5^m$ — Beobachter: Frl. R. Baumann, Ch. Lötscher

Jan.	−2.0	0.6	−1.1	−1.0	−8.0	15	3.4	22	96	84	96	92	65	28.31	6.9	6.5	6.8	6.7	181	53	20	11	11	9	—	—	14	4	14
Febr.	−1.4	3.7	0.1	0.6	−8.4	3	10.1	11	95	71	93	86	47	17	8.1	7.5	6.6	7.4	96	27	11	13	11	12	—	—	5	2	13
März	−1.0	5.3	1.1	1.6	−9.1	3	14.0	13	92	65	89	82	40	22.26	7.7	7.4	6.3	7.1	81	17	13	18	13	14	—	—	2	2	16
April	3.9	12.5	6.4	7.3	0.0	13	20.2	25	90	49	83	74	22	16	6.1	6.2	5.8	6.0	64	15	9	10	8	3	—	—	—	5	13
Mai	7.8	16.7	10.2	11.2	1.1	1	29.1	25	92	52	87	77	20	24	6.8	8.0	5.3	6.7	27	7	27	7	6	—	—	—	—	1	11
Juni	12.1	19.8	13.8	14.9	7.7	4	28.2	17	94	58	89	80	22	15	6.2	5.8	7.3	6.4	122	28	23	19	16	–	–	1	–	2	6
Juli	13.1	22.3	15.9	16.8	9.9	2	29.9	31	95	58	88	80	30	11	4.1	4.4	4.8	4.4	69	26	23	11	11	—	—	2	—	11	8
Aug.	12.9	21.2	15.2	16.1	8.3	19	28.1	1	95	61	90	82	33	30	5.2	5.6	4.7	5.2	139	53	8	15	13	—	—	1	—	9	7
Sept.	10.6	18.6	13.3	13.9	2.1	22	26.3	13	96	65	94	85	45	13	5.6	4.9	6.0	5.5	43	12	26	7	6	–	—	–	2	7	13
Okt.	3.6	11.8	6.2	7.0	−1.1	16	18.2	2	98	68	94	87	44	12	5.7	4.7	4.9	5.1	12	7	31	2	2	—	—	—	1	8	2
Nov.	2.7	7.4	3.5	4.3	−3.8	28	16.7	10	96	79	93	89	41	10	8.1	8.3	6.9	7.8	122	20	21	20	19	5	—	—	1	2	17
Dez.	−2.9	0.3	−1.3	−1.3	−8.2	29	3.5	25	94	83	93	90	70	11.23 24.27	4.1	4.7	3.7	4.2	29	10	26	10	8	5	—	—	2	14	2
Jahr	4.9	11.7	6.9	7.6	−9.1	III	29.9	VII	94	66	91	84	20	V	6.2	6.2	5.8	6.0	985	53	VIII	143	124	48	—	4	27	67	13

Schiers: Stationsverlegung und Beobachterwechsel im Mai. Neues H_b = ca. 682 m.

Tschiertschen

$\lambda = 9^\circ 36'$, $\beta = 46^\circ 49'$, $H_b = 1351^m$, $h_r = 1.2^m$ — Beobachter: Gg. Meister

Jan.	−3.4	0.6	−2.8	−2.1	−8.2	31	8.1	6	—	—	—	—	—	—	6.2	5.9	6.8	6.3	168	52	20	12	10	12	—	—	3	5	13
Febr.	−3.6	1.5	−3.5	−2.3	−9.3	2	8.8	9	—	—	—	—	—	—	7.4	6.8	5.7	6.6	117	30	11	16	14	15	—	—	5	2	1
März	−2.1	2.7	−2.2	−0.9	−11.9	2	11.6	17	—	—	—	—	—	—	6.9	6.8	5.5	6.4	85	29	13	17	14	16	—	—	5	4	1
April	2.0	7.4	1.7	3.2	−3.9	8	14.1	19	—	—	—	—	—	—	5.2	5.3	4.9	5.1	74	23	7	9	7	8	—	—	1	9	10
Mai	6.8	12.2	6.1	7.8	1.0	15	22.3	25	—	—	—	—	—	—	6.0	7.6	4.6	6.1	56	17	27	11	6	1	—	—	5	2	1
Juni	10.5	15.4	9.2	11.1	4.6	24	24.5	15	—	—	—	—	—	—	6.1	6.3	6.8	6.4	122	29	23	19	15	—	—	—	11	3	1
Juli	12.4	17.9	11.9	13.5	6.9	25	25.3	31	—	—	—	—	—	—	4.3	4.3	5.7	4.8	74	23	23	12	10	—	—	2	6	8	1
Aug.	12.2	16.5	11.3	12.8	6.1	10	23.6	1	—	—	—	—	—	—	4.9	4.7	3.4	4.3	193	85	8	16	13	—	—	—	7	12	
Sept.	10.0	14.3	9.9	11.0	3.1	20	21.9	13	—	—	—	—	—	—	4.6	4.6	5.4	4.9	48	13	26	11	7	—	—	—	3	9	
Okt.	4.3	8.8	4.1	5.3	−0.6	10.11	15.5	1	—	—	—	—	—	—	4.3	4.6	5.0	4.6	18	9	31	4	2	3	—	—	7	5	
Nov.	2.0	5.0	1.7	2.6	−7.8	29	12.8	10	—	—	—	—	—	—	7.9	7.5	6.9	7.4	127	26	21	20	16	9	—	—	10	1	1
Dez.	−1.5	2.5	−0.8	−0.1	−9.5	12	8.5	6	—	—	—	—	—	—	3.2	3.8	4.5	3.8	32	12	26	9	7	9	—	—	3	15	
Jahr	4.1	8.7	3.9	5.2	−11.9	III	25.3	VII	—	—	—	—	—	—	5.0	5.7	5.4	5.6	1114	85	VIII	150	121	73	—	2	66	75	11

Sils-Maria

$\lambda = 9°46'$, $\beta = 46°26'$, $H_b = 1815^m$, $h_r = 1.5^m$

Beobachter: St. Hartmann

1951	Luft-Temperatur							Relative Feuchtigkeit						Bewölkung				Niederschlag			Zahl der Tage							
	7^{30}	13^{30}	21^{30}	Mittel	Minimum	Tag	Maximum	Tag	7^{30}	13^{30}	21^{30}	Mittel	Minim.	Tag	7^{30}	13^{30}	21^{30}	Mitt.	Summe	Maxim.	Tag	●	●≥1.0	≥	▲	K	≡	helle	trübe
Jan.	−7.7	−2.4	−6.8	−5.9	−14.8	17	3.8	18	83	63	82	76	28	15	6.9	6.2	6.4	6.5	182	51	12	10	10	10	—	—	—	3	11
Febr.	−7.9	−2.5	−7.4	−6.3	−17.1	28	2.4	12	88	62	81	77	33	20	7.3	5.8	6.6	6.6	181	42	11	13	13	13	—	—	—	3	13
März	−6.3	0.0	−6.3	−4.7	−18.4	5	7.0	17	73	45	74	64	17	23	7.1	6.8	5.5	6.5	50	15	30	7	7	7	—	—	—	5	13
April	−2.2	4.6	−1.6	−0.2	−10.4	9	10.4	21	67	44	77	63	15	13	4.6	5.0	5.1	4.9	65	22	7	8	8	7	—	—	—	8	8
Mai	3.8	9.6	2.7	4.7	−2.4	1	17.7	25	69	40	81	63	22	24	6.3	6.3	6.9	6.5	86	32	27	7	7	3	—	1	—	2	10
Juni	10.5	14.1	6.6	9.5	0.9	24	23.2	15	59	43	78	60	11	15	5.7	5.9	4.7	5.4	124	42	24	11	11	—	—	1	—	3	7
Juli	—	—	—	—	—	—	—	—	—	—	—	—	—	—	—	—	—	—	103	?	—	9	9	—	—	—	—	—	—
Aug.	—	—	—	—	—	—	—	—	—	—	—	—	—	—	—	—	—	—	149	?	—	11	11	—	—	—	—	—	—
Sept.	—	—	—	—	—	—	—	—	—	—	—	—	—	—	—	—	—	—	50	?	—	10	7	—	—	—	—	—	—
Okt.	—	—	—	—	—	—	—	—	—	—	—	—	—	—	—	—	—	—	50	20	22	4	4	2	—	—	—	—	—
Nov.	—	—	—	—	—	—	—	—	—	—	—	—	—	—	—	—	—	—	277	59	8	14	14	10	—	—	—	—	—
Dez.	—	—	—	—	—	—	—	—	—	—	—	—	—	—	—	—	—	—	20	?	—	6	4	6	—	—	—	—	—
Jahr	—	—	—	—	—	—	—	—	—	—	—	—	—	—	—	—	—	—	1343	59	XI	110	105	58	—	—	—	—	—

Scarl (Unterengadin)

$\lambda = 10°20'$, $\beta = 46°43'$, $H =$ ca. 1810^m, $h_r = 2.0^m$

Beobachter: Eidg. Grenzwachtposten

Jan.	—	—	—	—	—	—	—	—	—	—	—	—	—	—	—	—	—	—	—	—	—	—	—	—	—	—	—	—
Febr.	—	—	—	—	—	—	—	—	—	—	—	—	—	—	—	—	—	—	*96	20	11	*12	*12	*12	—	—	—	—	—
März	—	—	—	—	—	—	—	—	—	—	—	—	—	—	—	—	—	—	—	—	—	—	—	—	—	—	—	—	—
April	—	—	—	—	—	—	—	—	—	—	—	—	—	—	—	—	—	—	—	—	—	—	—	—	—	—	—	—	—
Mai	3.5	9.8	3.8	5.2	−0.9	9	18.0	24. 25	64	34	59	52	19	25	4.5	5.2	4.7	4.8	28	14	27	6	6	1	—	—	—	3	2
Juni	10.1	14.7	8.0	10.2	3.0	1	22.0	20	50	33	63	49	11	15	5.5	6.4	4.9	5.6	84	18	25	11	11	—	—	—	—	3	6
Juli	10.4	16.8	9.3	11.4	3.9	23	22.4	29	61	33	66	53	14	22	4.7	4.6	4.1	4.5	79	44	23	8	7	—	—	—	—	9	5
Aug.	9.0	15.8	9.1	10.8	4.4	17. 18	23.2	29	63	38	71	57	15	1	5.2	5.4	4.1	4.9	107	47	8	8	8	—	—	—	2	4	4
Sept.	7.7	13.8	7.6	9.2	−0.2	20	19.6	12	70	41	69	60	14	20	4.0	4.7	3.9	4.2	56	19	28	6	6	—	—	—	—	10	3
Okt.	1.5	7.7	1.4	3.0	−3.8	27	13.4	2	64	36	62	54	9	16	3.6	4.3	2.6	3.5	20	12	31	3	3	2	—	—	1	10	1
Nov.	—	—	—	—	—	—	—	—	—	—	—	—	—	—	—	—	—	—	—	—	—	—	—	—	—	—	—	—	—
Dez.	—	—	—	—	—	—	—	—	—	—	—	—	—	—	—	—	—	—	—	—	—	—	—	—	—	—	—	—	—
Jahr	—	—	—	—	—	—	—	—	—	—	—	—	—	—	—	—	—	—	—	—	—	—	—	—	—	—	—	—	—

Grono

$\lambda = 9°9'$, $\beta = 46°15'$, $H = 335^m$, $h_r = 1.3^m$

Beobachter: A. Parolini

Jan.	0.5	3.1	1.4	1.6	−2.5	1. 2	13.0	21	91	71	85	82	31	16	6.5	5.6	5.7	5.9	190	71	12	10	9	7	—	—	—	5	12
Febr.	1.2	4.8	2.0	2.5	−1.2	28	10.0	14	89	69	82	80	30	28	6.5	5.6	5.8	6.0	235	87	5	*15	*15	*7	—	—	3	4	11
März	2.5	7.6	3.6	4.3	−1.4	1	16.0	16	79	59	73	70	30	25	5.5	5.0	4.7	5.1	124	*50	13	9	9	2	—	—	—	7	6
April	7.1	14.0	7.6	9.1	3.6	13	22.0	22	73	53	68	65	32	6.11	4.5	4.1	4.6	4.4	191	46	28	11	11	—	—	—	—	11	7
Mai	10.5	15.7	10.3	11.7	7.0	1	24.1	23. 24	79	59	74	71	41	24	5.5	5.3	5.7	5.5	*160	?	—	*12	*12	—	—	—	—	7	9
Juni	17.4	22.4	17.7	18.8	12.2	2	27.3	15	74	55	70	66	40	11	4.5	4.6	4.5	4.5	*200	?	—	*15	*14	—	—	1	—	8	4
Juli	19.2	24.9	19.4	20.7	17.2	16	28.7	19	68	49	66	61	34	24. 26	4.0	3.0	5.0	4.0	127	30	22	10	10	—	—	1	—	9	—
Aug.	17.3	22.5	17.7	18.8	14.0	13	29.0	2	83	60	76	73	40	2	4.6	4.5	4.2	4.4	352	139	8	11	11	—	—	1	—	8	4
Sept.	15.2	21.7	17.2	17.8	11.2	20	26.2	16	89	59	80	76	42	20	3.7	3.8	4.5	4.0	146	55	26	9	8	—	—	—	—	10	5
Okt.	9.2	13.5	10.1	10.7	3.4	16	19.7	2	94	67	84	82	59	1. 2. 8 13 14	7.2	5.6	7.0	6.6	*170	?	—	11	11	—	—	—	—	—	9
Nov.	5.8	9.6	6.9	7.3	0.4	28	12.3	2	86	70	80	79	29	23. 29	6.4	6.4	5.1	6.0	543	98	8	16	15	—	—	1	1	7	13
Dez.	1.9	6.7	3.3	3.8	−1.8	15	9.4	3	77	58	71	69	35	3.4 11	2.6	2.4	1.8	2.3	23	*15	25	4	3	1	—	—	1	20	3
Jahr	9.0	13.9	9.8	10.6	−2.5	I	29.0	VIII	82	61	76	73	29	XI	5.1	4.7	4.9	4.9	2461	139	VIII	133	128	17	—	4	5	90	83

Tessin

Airolo

$\lambda = 8°36'$, $\beta = 46°31'$, $H_b =$ ca. 1170^m, $h_r = 0.8^m$

Beobachter: Familie Burkhalter

Jan.	−2.1	0.3	−2.1	−1.5	−6.2	10	4.8	21	73	72	73	73	37	17	5.6	7.1	5.3	6.0	189	44	24	14	10	14	—	—	2	4	11
Febr.	−1.8	0.8	−1.5	−1.0	−7.5	28	3.2	8	77	73	74	75	45	8.27	6.1	5.8	5.1	5.7	281	62	11	*15	*14	*15	—	—	—	8	11
März	−2.4	1.5	−1.5	−1.0	−8.7	5	5.0	16.17	69	64	67	67	41	21	5.8	5.7	4.4	5.3	122	*50	13	13	12	11	—	—	—	8	7
April	1.0	5.5	2.0	2.6	−2.3	9	10.8	25	72	63	70	68	41	1	5.5	3.9	4.2	4.5	149	57	28	12	11	6	—	—	—	10	9
Mai	5.8	11.5	6.2	7.4	1.4	18	20.2	25	62	57	60	60	34	25	6.9	5.5	5.6	6.0	175	55	27	15	12	1	—	—	—	6	12
Juni	10.4	17.0	11.1	12.4	6.6	1	24.1	15	55	49	55	53	30	15. 16	4.9	3.5	5.0	4.5	176	56	23	14	13	—	—	—	—	8	5
Juli	13.0	20.5	14.0	15.4	9.2	27	24.1	30	64	51	62	59	32	1.2.21	3.2	3.3	4.8	3.8	51	16	15	10	10	—	—	5	—	14	5
Aug.	12.8	17.4	12.9	14.0	8.6	31	23.0	3	82	71	82	78	37	14	5.6	6.5	5.3	5.8	309	102	7	17	17	—	—	3	2	4	9
Sept.	11.3	16.9	11.6	12.9	6.5	20	21.2	8	84	71	86	80	34	4	4.1	4.3	5.5	4.6	40	9	14	10	9	—	—	—	3	10	5
Okt.	4.7	8.9	5.0	5.9	−0.3	16	16.1	3	89	79	87	85	51	27	6.6	6.4	6.7	6.6	177	75	22	11	8	2	—	—	9	5	11
Nov.	1.8	4.1	2.3	2.6	−2.4	28	7.9	13	81	76	78	78	41	4	6.4	7.2	4.4	6.0	607	138	19	15	15	7	—	—	6	7	12
Dez.	−0.9	1.6	0.0	0.2	−5.0	29	6.9	17	64	65	66	65	46	31	2.4	3.1	2.5	2.7	15	11	25	4	4	4	—	—	2	19	3
Jahr	4.5	8.8	5.0	5.8	−8.7	III	24.1	VI VII	73	66	72	70	30	VI	5.3	5.2	4.9	5.1	2351	13.	XI	150	135	60	—	8	24	101	100

Comprovasco

$\lambda = 8°\,56'$, $\beta = 46°\,28'$, $H_b = 544.1^m$, $h_r = 1.0^m$ — Beobachter: Frl. P. Gianella

1951	Luft-Temperatur								Relative Feuchtigkeit						Bewölkung				Niederschlag		Zahl der Tage							
	7^{30}	13^{30}	21^{30}	Mittel	Minimum	Tag	Maximum	Tag	7^{30}	13^{30}	21^{30}	Mittel	Minim.	Tag	7^{30}	13^{30}	21^{30}	Mitt.	Summe	Maxim.								
Jan.	0.2	4.6	1.2	1.8	−3.4	27	12.8	21	—	—	—	—	—	—	5.9	6.7	6 2	6.3	158	34	12	12	9	7	—	—	—	4	1
Febr.	0.2	4.8	0.8	1.6	−3.8	28	8.6	14	—	—	—	—	—	—	7.0	6.1	6.6	6.6	294	68	11	13	13	12	—	—	—	5	1
März	1.1	7.6	2.2	3.3	−5.8	1	13.0	16	—	—	—	—	—	—	6.6	5.9	4.1	5.5	132	65	13	12	10	5	—	—	—	6	
April	6.6	13.9	7.3	8.8	2.0	4. 9	20.1	21	—	—	—	—	—	—	5.3	4.9	5.3	5.2	140	36	7	9	9	—	—	—	—	5	
Mai	11.1	17.3	10.6	12.4	5.6	5	25.4	24	—	—	—	—	—	—	7.2	7.4	5.7	6.8	129	40	26	14	12	—	—	1	—	3	1
Juni	14.6	21.7	14.2	16.2	9.6	1	28.1	17	—	—	—	—	—	—	5.1	5.5	4.7	5.1	177	45	8	15	11	—	—	6	—	4	
Juli	16.5	24.9	17.3	19.0	12.0	1	29.2	20	—	—	—	—	—	—	3.5	4.5	4.9	4.3	55	20	15	9	8	—	—	4	—	7	
Aug.	15.5	22.2	15.7	17.3	9.4	11	29.8	1	—	—	—	—	—	—	5.5	6.2	5.4	5.7	206	60	8	14	11	—	—	3	—	4	
Sept.	13.5	20.7	14.8	15.9	8.2	20	25.4	11	—	—	—	—	—	—	4.5	5.1	6.7	5.4	73	33	26	8	7	—	—	1	—	9	
Okt.	7.5	10.5	7.8	8.4	1.2	16	15.5	4	—	—	—	—	—	—	8.0	7.5	7.5	7.7	120	73	22	9	9	—	—	—	—	2	1
Nov.	4.8	9.0	5.6	6.3	−0.8	28	14.0	26	—	—	—	—	—	—	6.4	7.3	6.7	6.8	445	73	8	16	13	—	—	2	—	1	1
Dez.	0.9	5.5	2.5	2.8	−4.8	12	11.0	10	—	—	—	—	—	—	3.0	3.3	3.3	3.2	21	14	25	4	4	2	—	—	16		
Jahr	7.7	13.6	8.3	9.5	−5.8	III	29.8	VIII	—	—	—	—	—	—	5.7	5.9	5.6	5.7	1950	73	XI	131	116	26	—	17	—	66	10

Fescoggia

$\lambda = 8°\,53'$, $\beta = 46°\,02'$, $H =$ ca. 845^m, $h_r = 1.8^m$ — Beobachter: H. Suter

Jan.	0.7	4.1	1.5	2.0	−3.2	1	13.4	21	—	—	—	—	—	—	5.6	6.1	5.4	5.7	185	43	12	13	9	10	—	—	4	5	
Febr.	0.6	4.6	1.2	1.9	−2.1	27	9.1	14	—	—	—	—	—	—	6.9	6.7	5.8	6.5	366	64	10	17	17	12	—	1	7	5	1
März	2.7	7.2	2.2	3.6	−4.6	2	12.7	20	—	—	—	—	—	—	6.6	6.3	4.4	5.8	201	83	13	13	13	6	—	—	2	8	1
April	7.8	14.0	6.9	8.9	0.6	3	21.2	25	—	—	—	—	—	—	5.7	5.6	5.4	5.6	211	64	28	13	11	2	—	1	1	7	1
Mai	10.8	15.2	9.8	11.4	5.1	17	26.0	23	—	—	—	—	—	—	7.9	8.6	6.3	7.6	227	39	17	18	16	—	1	2	—	2	1
Juni	14.3	20.3	14.1	15 7	8.2	2	26.4	15	—	—	—	—	—	—	5.2	6.2	4.5	5.3	312	116	8	18	17	—	—	9	—	4	
Juli	16.1	23.4	16.8	18.3	11.4	23	27.8	21	—	—	—	—	—	—	4.8	5.0	4.3	4.7	145	65	23	12	12	—	—	5	—	8	
Aug.	16.1	21.9	16.0	17.5	10.0	10	26.8	2	—	—	—	—	—	—	6.8	6.7	4.3	5.9	474	234	8	14	14	—	1	10	—	4	
Sept.	15.4	20.4	15.1	16.5	10.0	26	25.0	8.10	—	—	—	—	—	—	5.5	5.5	4.5	5.2	227	69	25	10	9	—	—	2	1	7	
Okt.	7.4	10.8	7.5	8.3	3.4	10	19.6	2	—	—	—	—	—	—	8.3	7.9	7.3	7.8	329	165	22	15	12	—	—	—	3	2	1
Nov.	4.9	9.0	5.7	6.3	0.1	28	13.9	2	—	—	—	—	—	—	6.4	6.3	6.0	6.2	737	139	19	15	15	—	—	2	6	5	1
Dez.	2.3	7.8	3.2	4.1	−2.0	13	13.1	5	—	—	—	—	—	—	2.7	3.5	2.7	3.0	41	25	25	4	3	2	—	—	—	16	
Jahr	8.3	13.2	8.3	9.5	−4.6	III	27.8	VII	—	—	—	—	—	—	6.0	6.2	5.1	5.8	3455	234	VIII	162	148	32	2	32	24	73	1

Monte Brè

$\lambda = 8°\,59'$, $\beta = 46°\,1'$, $H = 910^m$, $h_r = 1.5^m$ — Beobachter: A. Rezzonico

Jan.	1.7	3.4	2.0	2.3	−3.8	2	11.6	21	—	—	—	—	—	—	5.9	6.2	6.4	6.2	129	25	28	11	11	8	—	—	1	3	
Febr.	1.5	3.6	2.1	2.3	−1.1	28	7.1	8	—	—	—	—	—	—	7.1	6.6	5.5	6.4	218	57	11	13	13	7	—	—	2	4	
März	1.8	5.1	3.1	3.3	−3.3	2	10.7	28	—	—	—	—	—	—	6.8	6.5	5.3	6.2	216	51	13	12	12	6	—	—	1	5	
April	6.1	10.8	8.6	8.5	1.0	3	16.1	21.22	—	—	—	—	—	—	6.2	5.8	5.5	5.8	231	53	28	12	12	2	—	—	1	3	
Mai	10.1	14.3	10.8	11.5	4.2	1	22.1	25	—	—	—	—	—	—	7.7	7.5	6.8	7.3	274	44	26	17	17	—	—	—	4	1	
Juni	14.5	18.8	16.0	16.3	8.2	25	24.7	15	—	—	—	—	—	—	5.3	5.2	5.2	5.2	266	78	24	16	16	—	—	2	—	7	
Juli	16.7	21.7	18.1	18.6	11.8	15	24.8	22	—	—	—	—	—	—	4.9	3.6	4.3	4.3	106	33	13	11	10	—	—	—	—	8	
Aug.	16.6	20.2	16.9	17.6	9.0	10	25.1	2	—	—	—	—	—	—	6.3	5.6	4.9	5.6	252	40	8	15	15	—	—	1	—	2	
Sept.	14.6	18.3	15.9	16.2	10.5	26	22.1	10	—	—	—	—	—	—	5.3	4.8	4.5	4.9	134	42	26	9	9	—	—	1	1	9	
Okt.	7.3	9.5	7.8	8.1	3.5	13	17.3	2	—	—	—	—	—	—	7.6	6.8	6.9	7.1	231	122	22	9	8	—	—	—	2	2	
Nov.	5.5	7.5	6.1	6.3	1.2	28	10.5	11	—	—	—	—	—	—	6.3	6.4	5.2	6.0	477	111	19	14	13	—	—	1	1	8	
Dez.	3.6	5.1	3.6	4.0	−1.5	12	11.2	17	—	—	—	—	—	—	2.5	3.3	2.5	2.8	20	11	6	2	2	1	—	—	—	18	
Jahr	8.3	11.5	9.3	9.6	−3.8	I	25.1	VIII	—	—	—	—	—	—	6.0	5.7	5.2	5.6	2554	122	X	141	138	24	—	5	13	70	1

Mezzana

$\lambda = 9°\,00'$, $\beta = 45°\,51'$, $H = 335^m$, $h_r = 1.0^m$ — Beobachter: Istituto Agrario Cantonal

Jan.	2.8	6.6	4.0	4.4	−1.0	1	18.0	21	86	73	84	81	27	16	6.2	6.2	5.3	5.9	185	32	3	11	11	2	—	—	3	5	
Febr.	2.7	7.3	3.8	4.4	−1.9	27	12.0	23	91	72	87	83	28	23	6.7	6.2	4.6	5.8	282	42	12	16	16	4	—			7	
März	3.7	9.7	5.1	5.9	−2.5	2	10.4	16	80	62	77	73	25	21.25/26	6.4	6.1	3.9	5.5	169	52	13	12	11	2		1	1	8	
April	8.9	16.3	10.6	11.6	4.5	3	21.5	21	88	61	85	78	35	4. 5	5.8	4.6	4.8	5.1	91	23	2	9	7	—	1	1	—	7	
Mai	12.8	18.6	13.5	14.6	9.0	1.15/16.18	27.5	23	95	72	93	87	45	5.23/25	7.0	7.1	5.9	6.7	174	32	4	16	15	—	1	1	—	3	
Juni	17.6	24.8	19.4	20.3	12.0	1. 2	30.4	15	93	62	88	81	40	6	5.3	5.0	4.0	4.8	242	66	24	14	14	—	1	7		5	
Juli	19.0	27.7	21.4	22.4	16.1	1.14/26	32.0	21	94	57	88	80	45	24.26/27.29	3.6	2.7	3.0	3.1	100	65	23	9	9	—	—	6		13	
Aug.	18.9	26.8	20.7	21.8	13.5	11	31.5	2	99	62	93	85	40	11	5.1	4.5	4.4	4.7	149	48	10	13	13	—	—	2	—	6	
Sept.	16.3	25.0	18.9	19.8	10.2	17	30.5	9	97	64	94	85	45	27	5.5	4.6	4.4	4.8	111	20	13	12	9	—	—	1	—	7	
Okt.	9.3	15.0	10.3	11.2	4.5	13	20.4	3.4	99	71	97	89	50	11-15/16	7.5	6.6	6.9	7.0	361	202	22	9	9	—	—	—	—	2	
Nov.	7.0	11.6	7.6	8.4	0.5	30	17.0	15	91	75	88	85	30	23.29	6 1	6.6	5.0	5.9	622	119	8	12	11	—	—	1	1	8	
Dez.	0.8	8.1	2,8	3.8	−2.2	12	12.5	5	99	78	95	91	31	11	3.4	3.5	2.8	3.2	45	28	25	4	3	1	—	—	3	15	
Jahr	10.0	16.5	11.5	12.4	−2.5	III	32.0	VII	93	67	89	83	25	III	5.7	5.3	4.6	5.2	2591	202	X	137	129	9	3	20	8	86	

Anhang

zum Jahrgang 1951 der Annalen der

Schweizerischen Meteorologischen Zentralanstalt

Ergänzende Beobachtungen und Abhandlungen

Nr. 1

Übersicht über den Witterungsverlauf in der Schweiz im Jahre 1951

Das Berichtsjahr setzt die 1942 beginnende ununterbrochene Reihe der warmen Jahre fort. Die Abweichungen der Temperatur vom langjährigen Mittel sind nicht ungewöhnlich groß, betragen aber immerhin im Jura, im nordöstlichen Mittelland und im Alpengebiet 0,8 bis 1°, im südwestlichen Mittelland 0,5 bis 0,8° und am Alpensüdfuß 0,5°. Warme Monate waren in der ganzen Schweiz der Januar, der Februar, der September und besonders der November, etwas zu kalt der Mai, im Osten, Süden und Westen auch der März.

Die Sonnenscheindauer beträgt im Mittelland 90 bis 93 % des langjährigen Mittels, am Genfersee und im Tessin 85 bis 90 %, also ungewöhnlich wenig. Der Betrag von 1845 Stunden in Lugano wurde daselbst seit Beginn der Messungen (1886) nur einmal unterschritten (im Jahre 1939). Helle Monate waren der April (auf der Alpennordseite) und der Dezember, der in der Nordschweiz ganz ungewöhnlich hohe Werte der Sonnenscheindauer aufweist. Anderseits waren in der ganzen Schweiz Januar, Februar und März ausgesprochen «trübe». In Graubünden sind im November, im Tessin im Mai und Oktober ungewöhnlich geringe Werte der Sonnenscheindauer gemessen worden.

Die Niederschlagsmengen betragen im waadtländischen Mittelland und Genferseegebiet, im bernischen Seeland und im Kantonsgebiet von Solothurn und Basel 110 bis 130 % des langjährigen Mittels. Strichweise, namentlich im Nordosten des Landes wurde dasselbe etwas unterschritten. Im übrigen sind im Wallis, im Jura, im Voralpengebiet und in den Niederungen der Alpennordseite meist 100 bis 110 % des Normalbetrages gemessen worden. Anderseits sind jedoch bedeutende Überschüsse auf der Alpensüdseite zu verzeichnen. Im Tessin überschreiten die Beträge fast überall 140 % des langjährigen Mittels. Die Ergebnisse der meisten Tessiner Stationen stellen die bisher höchsten Jahresergebnisse mindestens seit 1900 dar (aus früheren Jahren liegen nur von wenigen Stationen Messungen vor). Die Beträge überschreiten im Quellgebiet der Maggia vereinzelt 160 %. Im Oberwallis, im Quellgebiet des Rheins und im Oberengadin sind noch 120 bis 130, im Misox, Bergell und Puschlav 130 bis 140 % des Normalbetrages gemessen worden. Niederschlagsreiche Monate waren in der ganzen Schweiz der Januar, der Februar und der November. Im Januar sind in Graubünden, im Februar und November im Tessin ungewöhnlich große Niederschlagsmengen gefallen. Niederschlagsarm waren besonders Oktober und Dezember.

Der JANUAR war ganz ausgesprochen warm, besonders in der nördlichen Hälfte unseres Landes, wo die Temperatur den Normalwert in den Niederungen um nahezu 3 ° überschritten hat. Auch die 2.2 ° Überschuß in Lugano sind bisher nur selten übertroffen worden. Im Genferseegebiet und in den Alpentälern beträgt der Überschuß etwa 2 °, auf dem Säntis 1 °. — Die Sonnenscheindauer war gering. Im nordöstlichen Mittelland beträgt das Defizit etwa 10 %, im westlichen Mittelland sowie in Graubünden 20 bis 30 %, in Lugano 36 % des Normalwerts. Der Bewölkungsgrad zeigt im Mittelland weniger als 10, im Jura und in den Alpen meist zirka 20, am Alpensüdfuß ungefähr 60 % Überschuß. — Auch die Niederschlagsmengen waren fast überall zu groß. Die Ergebnisse erreichten im Jura und im Mittelland im allgemeinen nicht mehr als 150 % des Normalbetrages. Größer sind sie dagegen in den Alpen. In Graubünden und im Tessin überschreiten sie das Doppelte des Normalbetrages, in Davos und im Oberengadin wurde sogar das Vierfache gemessen, d. h. der bisher höchste Wert dieser Gegend seit Beginn der Messungen (1864).

Seit Ende Dezember 1950 befand sich die großräumige Störungszone wieder nördlich des 47. Breitengrades. In der Schweiz herrschte daher während der ersten Januarhälfte bei westlicher Luftbewegung wechselnd bewölktes Wetter. Namhafte Niederschläge fielen zunächst am 2. und 12. Am 15. wanderte ein Randwirbel einer über Südwestnorwegen zentrierten Depression vom Kanal aus südostwärts über die Ostalpen nach Italien. Er verursachte in der Schweiz stürmischen Westwind und leitete eine Niederschlagsperiode ein, die vom 15. bis 21. dauerte und bemerkenswert ist durch die außergewöhnlich starken Schneefälle in den Ostalpen, die am 19., 20. und 21. eine Lawinenkatastrophe ungewöhnlichen Ausmaßes zur Folge hatten. Die Wetterlage war gekennzeichnet durch eine sehr kräftige, von mehreren Störungslinien durchsetzte, relativ warme, feuchte maritime West- bis Nordwestströmung über Westeuropa, die infolge der Entwicklung eines Hochs bei Portugal, bei gleichzeitiger Vertiefung der nordeuropäischen Depression, entstanden war. Nachdem z. B. in Davos schon am 18. Januar 42 mm, am 19. 53 mm Niederschlag gefallen waren, folgten am 20. noch weitere 80 mm. Diese Verstärkung war bedingt durch einen Einbruch arktischer Kaltluft in Mitteleuropa. Diese erreichte die Schweiz zwar nicht; ihre Grenze läßt sich am 20. auf der Wetterkarte über Edinburgh-Utrecht-München verfolgen. Eine solche Situation führt aber erfahrungsgemäß zu einer verschärften Warmluftstauung an der Alpenkette. Andrerseits brachte nun dieser Kaltlufteinbruch durch den ihn begleitenden Druckanstieg auch das Ende der Störungswetterlage. Am 21. nach 7½ h fiel in Davos nur noch 14 mm Niederschlag. Während des letzten Monatsdrittels herrschte in der Schweiz ruhiges, im Mittelland bei leichter Bise nebliges, für die Höhen meist bewölktes, zeitweise sonniges Wetter.

Der FEBRUAR war in der ganzen Schweiz zu warm. Die Temperaturen übersteigen den langjährigen Mittelwert in der Nordschweiz um etwas mehr als 2 °, in der Westschweiz und im Wallis um 1 bis 1½ °, im Tessin und im Engadin um weniger als 1 °. — Der Monat war ferner ausgesprochen trübe. Die Sonnenscheindauer erreichte 65 bis 75 % des Normalbetrages. Die regionalen Unterschiede kommen im Bewölkungsgrad deutlicher zum Ausdruck. Dieser war im Wallis, im Tessin und in Graubünden um 40 bis 50 %, im übrigen Alpengebiet und in der Westschweiz um 20 bis 40 %, in der Nordschweiz um 10 bis 20 % des Normalwerts zu groß. — Die Niederschlagsmengen betragen im Südtessin und in Ostgraubünden auf einigen Stationen mehr als das Fünffache der normalen, was für dieselben das Maximum seit Beginn der Messungen bedeutet. Im Jura und im untern Wallis sind etwa 100 bis 150 %, im Mittelland und im übrigen Alpengebiet meist 150 bis 200 % des Normalbetrages gefallen.

Einigermaßen beständiges Hochdruckwetter ist während des ganzen Monats nicht vorgekommen. Die Hochdruckgebiete lagen meist über den Azoren und Rußland. Die Schweiz befand sich meist im Störungsbereich eines im Raum Großbritannien—Island zentrierten Tiefdruckgebiets. Die Niederschläge fielen in den Niederungen teils als Regen, teils als Schnee. Eine Schneedecke bestand hier an etwa vier Tagen. Die wenigen einigermaßen hellen Tage sind meist auf die Ausbildung einer zweiten Depression über dem Mittelmeer zurückzuführen. — Am 10., 11. und 12. bestand eine kräftige Föhnlage, verursacht durch Depressionen über Portugal und vor der Westküste Frankreichs. Besonders im Tessin gingen bedeutende Niederschläge nieder, in Locarno-Muralto z. B. am 11. 122 mm; am 12. weitere 56 mm. Infolge der bedeutenden Schneefälle (schon der 5. hatte beträchtliche Mengen gebracht) kam es in der Nacht vom 11. zum 12. in einigen Tessinertälern (Airolo, Frasco) zu ungewöhnlich schweren Lawinenkatastrophen. In den Föhntälern der Nordseite wehte am 11. starker Föhn und die Temperatur stieg hier lokal auf mehr als 12 Grad. Doch sind auch hier in der folgenden Nacht erhebliche Niederschläge gefallen. Der große Betrag der Niederschläge vom 11. war wesentlich bedingt durch die labile Schichtung der am Alpensüdhang aufsteigenden Warmluft, was durch das Auftreten von Gewittern bezeugt wird. Am 21. und 22. verursachte eine über der Nordsee zentrierte tiefe Depression auf der Alpennordseite starken, zeitweilig stürmischen Westwind.

Die Temperaturen des MÄRZ entsprechen auf der Alpennordseite ungefähr dem langjährigen Mittelwert. In Graubünden, im Tessin und im Wallis besteht ein Defizit von höchstens 1 °. — Die Sonnenscheindauer beträgt in der Nordschweiz und im nordöstlichen Mittelland etwa 65 %, im südwestlichen Mittelland und im Genferseegebiet 70 bis 75 %, im Wallis, Tessin und Engadin 75 bis 80 % des Normalwerts. — Die Niederschlagsmengen waren allgemein etwas zu groß. Sie betragen in der Nordschweiz und am Südostfuß des Jura 110 bis 140 %, im Jura und im übrigen Mittelland sowie im nordseitigen Voralpengebiet 140 bis 160 % des Normalwerts. Die Südwestschweiz erscheint dabei etwas bevorzugt, namentlich auch hinsichtlich der Zahl der Regentage. Im Wallis, im Tessin und im Engadin sind etwa 120 bis 140 % der Normalmengen gefallen.

Unter dem Einfluß eines Hochdruckgebiets über der Kanalgegend war das Wetter auf der Alpennordseite während der ersten fünf Tage des Monats trocken und kühl bei zeitweiliger Bise, vom 10. an dann andauernd unbeständig, bedeckt jedoch nur vom 16. bis 20. sowie am 24., 25., 27. und 28., sonst veränderlich bewölkt. Vom 10. bis 18. kamen die Störungen meist aus Südwesten. Der 13. ist bemerkenswert durch das Auftreten eines kräftigen Föhns auch im Mittelland. In Zürich wehte er von 14 bis 21 Uhr aus Süd mit einer mittleren Stärke von 7 m/sec. Während des letzten Monatsdrittels war die Großwetterlage in Europa ziemlich stark veränderlich bei vorwiegend westlicher Luftbewegung. Die Passage einer Kaltfront aus Nordwesten brachte der Nordostschweiz am 27. beträchtliche Niederschlagsmengen.

Im APRIL sind nur geringfügige Abweichungen vom langjährigen Temperaturmittel vorgekommen. Dieselben betragen meist 0 bis + ½ °, im Genferseegebiet etwas mehr als + ½ °. Für Davos ergibt sich ein leichtes Defizit. — Die Sonnenscheindauer war in Genf und Lausanne ungefähr normal, auf den übrigen Stationen meist um 15 bis 20 % des Normalwerts zu groß. Auf dem Säntis wurde ein Betrag von 161 % des Normalwerts gemessen. Das Bewölkungsdefizit beträgt überall weniger als 15 % des Mittels. — Die Niederschlagsmengen zeigen geringe Überschüsse im Tessiner Alpengebiet und in Westgraubünden sowie merkwürdigerweise ein isoliertes Maximum in Bern (154 % des Normalwerts), während im übrigen Mittelland die Beträge zwischen 65 und 85 % des Normalwerts liegen.

Während der ersten Monatshälfte war das Wetter sehr veränderlich. Die Störungslinien verschiedener Depressionen, die im Raum Großbritannien—Island erschienen, verursachten an einigen Tagen (2., 7., 9. April) mäßige Niederschläge. Die wenigen Aufhellungen (4., 12. und 13.) sind auf den jeweils folgenden Aufbau schmaler Hochdruckrücken vor den Alpen zurückzuführen. Anderseits war der Himmel nur an wenigen Tagen anhaltend bedeckt. Ein kräftiges Hoch erschien am 15. über Westeuropa. Es zog sehr rasch ostwärts ab, verursachte aber immerhin 48 Stunden hellen Wetters. Die nächste Kaltfront blieb infolge der geringen Druckgradienten über Westeuropa stehen und bildete in den nächsten Tagen hier ein stationäres Störungsgebiet. Am 21. steuerte ein über der Nordsee sich entwickelndes Hochdruckgebiet trockene Kaltluft von Zentraleuropa her westwärts. Ihre Ankunft löste am 21. abends Gewitter aus. Am Nachtag setzte dann eine allgemeine Aufheiterung ein, die sich bei leichter Bise vier Tage zu halten vermochte. Eine letzte Störungsperiode wurde durch die Entwicklung einer Tiefdruckrinne eingeleitet, die am 27. von Südfrankreich über Westdeutschland nach Skandinavien sich erstreckte und auf deren Westseite kalte Polarluft nach Süden, auf deren Ostseite warme Mittelmeerluft nach Norden verfrachtet wurde. Am 26. setzte in der Schweiz durch Aufgleiten der Südluft starke Bewölkung ein. Die

Kaltluft erreichte unser Land erst am 28. in Gestalt eines flachen Keils von Westen her. Durch die langsame, aber anhaltende Abkühlung rückte die Frostgefahr in bedrohliche Nähe. Doch befand sich die Schweiz noch im Bereich einer Störungszone, die teils mit der in der Höhe anhaltenden Südströmung zusammenfiel, anderseits durch ein Tief über der Poebene verursacht wurde. Die befürchtete Aufhellung trat erst am Abend des 30. ein, indem sich über Westdeutschland ein Hoch zu entwickeln begann und die norditalienische Depression sich ausfüllte. Es kam aber am folgenden Morgen nur in den exponierten Lagen des Wallis und des Mittellandes zu nennenswerten Nachtfrösten. Im Tessin waren hell der 1., 4. bis 6., 12. bis 15., 22. und 25. April. Die größten Niederschläge fielen hier am 28.

Der MAI war im Mittelland und in der Jurazone sowie auf der Alpensüdseite etwas zu kalt. Die Abweichungen vom Temperaturnormalwert betragen hier $^1/_2$ bis 1 °. Im Alpengebiet waren sie im allgemeinen sehr gering. Für die Hochstation Säntis ergibt sich ein Überschuß von 0,4 °. — Der Mai war ein ausgesprochen trüber Monat sowohl für die Nordseite als auch ganz besonders für die Südseite der Alpen. Die Sonnenscheindauer betrug in der Jurazone 75 bis 80, im Mittelland 80 bis 90, auf dem Säntis 133 und in Lugano 55 % des Normalbetrages. Letzteres (114 Stunden) stellt den bisherigen Rekord (Messungen seit 1921) für diese Station dar. Der Bewölkungsüberschuß beträgt im Jura 10, in den Niederungen der Alpennordseite 20, im innern Alpengebiet strichweise weniger als 5, am Alpensüdfuß 30 bis 40 % des Normalbetrages. — Die Niederschlagsmengen sind ungleichmäßig verteilt. Überschüsse ergeben sich für das Gebiet des Genfersees sowie der Tessiner, Urner und östlichen Berner Alpen, wo maximal 150 % erreicht wurden. In der Nordschweiz waren die Beträge annähernd normal. Im Mittelland betrugen sie 70 %, im östlichen Alpengebiet 40 bis 60 %, im südlichen Tessin und im Engadin etwa 90 % der Normalmengen.

Während die ersten Monatstage unter dem Einfluß eines schwachen, sich rasch wieder abbauenden Hochdruckgebietes sonnig und mäßig warm waren, blieb in der Folge das Wetter bis zum Monatsende unbeständig. Eine stabile Schönwetterlage stellte sich in unserem Lande nie ein. Wohl brachten einige rasch vorüberziehende schwache Hochdruckzellen und Föhnlagen zeitweise sonniges Wetter, sonst aber beherrschten Tiefdruckgebiete sozusagen während des ganzen Monates Zentral- und Westeuropa. In der Zeit vom 7. bis 17. lagen die Zentren der Tiefdruckgebiete über dem Mittelmeer und Osteuropa. Dadurch strömte kalte Polarluft aus dem Norden in die Schweiz, so daß recht kühles und unfreundliches Wetter vorherrschte. Nachher trat zwar eine Umgestaltung der Wetterlage ein. Das über England und dem anliegenden Ostatlantik gelegene Hoch zog sich nach Skandinavien und dem Nordmeer zurück und die Tiefdrucktätigkeit verlagerte sich wieder mehr nach Zentral- und Westeuropa. Die Schweiz erhielt deshalb Zufuhr wärmerer Luft aus dem Südwesten, so daß es endlich am 23. bis 26. zu den ersten sommerlich warmen Tagen kam. Am 26./27. brachte ein Kaltlufteinbruch aus Westen mit vorausgehender Föhnlage der Alpensüd- und Nordseite beträchtliche Niederschläge.

Das diesjährige JUNI-Mittel der Temperatur unterscheidet sich kaum vom normalen. — Die Sonnenscheindauer entspricht im Tessin und im Engadin ungefähr dem Normalbetrag. Im südwestlichen Mittelland beträgt sie 80 bis 90 %, in der Nordschweiz 75 bis 80 % der normalen. Im Mittelland wurde statt 5 nur ein heller Tag gezählt. — Die Niederschlagsmengen weisen nur geringe Abweichungen von den Normalbeträgen auf. Im Alpengebiet der Nordostschweiz und strichweise im Mittelland findet sich ein leichtes Defizit; sonst ist überall zuviel Niederschlag gefallen. Das Maximum der prozentualen Beträge (zirka 140 %) entfällt auf den Kanton Tessin.

Auf der Alpennordseite können als sonnige Tage gelten der 4., 7., 14., 15. und 21. Den ganzen Tag bedeckt waren der 8., 9., 19., 22., 23., 24. und 28. Die Wetterkarten zeigen während des ersten Monatsdrittels ein Hochdruckgebiet im Raum Island—Schottland, das zeitweise einen Ausläufer südostwärts nach dem Kontinent vorschickte. Vom 10. bis 17. lag das Hoch selbst über dem Kontinent und verursachte in der Schweiz relativ sonniges Wetter. Dann verlagerte es sich nach dem Atlantik und steuerte feuchte, maritime Luft aus Nordwesten in den Kontinent hinein. Nur vorübergehend vermochte es sich am 20. und 21. nochmals auf dem Kontinent zu halten, dann setzte sich die Monsunlage neuerdings durch. Bedeutende Niederschläge fielen am 23. und 24. Sie waren teilweise von Gewittern begleitet und hatten Überschwemmungen im Wallis und am Vierwaldstättersee zur Folge. Sie knüpfen sich an die Kaltfront eines Tiefs, das Warmluft nordwärts verfrachtend, aus Südwesten heraufgezogen war und mit einem zweiten aus Nordwesten in Verbindung trat, das ihm Kaltluft zuführte. Das Druckminimum lag am 24. über Dänemark und wanderte in der Folge nordostwärts weiter. Der Temperaturfall vom 23. zum 24. betrug in der Höhe zirka 8 Grad.

Die JULI-Temperaturen waren in der Nordschweiz und am Alpensüdfuß annähernd normal, im Mittelland um etwa $^1/_2$°, im Wallis und in Graubünden strichweise um 1° höher als der langjährige Mittelwert. — Die Sonnenscheindauer war am Alpensüdfuß normal, sonst vorwiegend um etwa 10 % zu groß. Der Bewölkungsgrad beträgt in der Westschweiz 80 %, im Alpengebiet etwa 90 %, am Alpensüdfuß etwa 110 % des Normalwerts. — Die Niederschlagsmengen betragen auf der Alpensüdseite und in Graubünden etwas mehr als die Hälfte des Normalwerts. Ein leichtes Defizit ergibt sich für Genf und die äußerste Nordostschweiz; anderseits hat jedoch Basel mehr als das Doppelte des Normalbetrages aufzuweisen. Das Mittelland hat ebenfalls geringe Überschüsse erhalten, die jedoch 50 % des Normalbetrages nicht überschreiten. Die Zahl der Regentage war überall zu klein.

Die 10 bis 14 Tage nahezu heiteren und warmen Wetters waren meist bedingt durch einen Hochdruckrücken, der sich vom Atlantikhoch über Südengland und Nordfrankreich nach Zentraleuropa erstreckte. Diese Wetterlage wurde zeitweilig unterbrochen durch mehr oder weniger tiefe, meridional gerichtete Tiefdruckrinnen, so am

9., 11., 22./23. und 31. Diese verursachten, ostwärts wandernd, in der Schweiz Gewitterstörungen mit ziemlich verbreiteten Niederschlägen. Die bedeutendsten Niederschläge sind jedoch in der Zeit vom Nachmittag des 15. bis zum Vormittag des 17. (fast anhaltend) niedergegangen. Über dem Atlantik hatte sich an den Vortagen ein kräftiges Hoch entwickelt. Dadurch wurde Nordwesteuropa mit feuchter, kühler ozeanischer Luft überschwemmt, die am Nachmittag des 15. die Alpen aus nördlicher Richtung erreichte und hier unter Mitwirkung eines über Norditalien entstandenen Tiefs aufgestaut wurde. In verschiedenen Flußgebieten der Alpennordseite kam es zu Überschwemmungen. Der 16. war im Mittelland (mit durchschnittlich 12°) der kälteste Tag des Monats. Das schöne Wetter stellte sich erst am 18. wieder ein, indem sich der Hochdruckausläufer auf der Alpennordseite verstärkte. Eine ähnliche, aber bedeutend weniger aktive Situation verursachte, anschließend an die Rinne vom 22./23., eine Reihe von trüben Tagen (23. bis 26.). Diesmal verlagerte sich der Hochdruckkern selbst nach dem Kontinent. Das Monatsende war daher wieder hell und am 31. infolge von Warmluftzufuhr aus Süden sehr warm.

Im AUGUST waren die Temperaturen auf der Alpennordseite, im Wallis und am Alpensüdfuß den langjährigen Mittelwerten ziemlich gleich; im nordöstlichen Alpengebiet überschreiten sie dieselben um höchstens 1 °. — Die Sonnenscheindauer beträgt in der Jurazone 70 bis 80 % des Normalwerts, im Mittelland 80 bis 90 %, im Alpengebiet vorwiegend 90 bis 100 %, am Alpensüdfuß 80 %. — Die Niederschlagsmengen zeigen ein leichtes Defizit in der Voralpenzone der Alpennordseite, besonders im Nordosten. Im Mittelland und in der Jurazone waren die Beträge meist um 20 bis 50 % zu groß. Größere Überschüsse haben das Wallis, Graubünden und der Alpensüdhang aufzuweisen. Im Tessin ist strichweise das Doppelte der Normalmenge gefallen.

Die europäische Druckverteilung war gekennzeichnet zunächst durch mehr oder weniger tiefe und ausgedehnte Depressionen mit Zentrum in der Gegend zwischen Island und Irland. Nur vorübergehend verlagerten sich diese ost- oder nordostwärts. Von den hellen Tagen waren nur der 15. und 18. durch ausgesprochene Hochdruckkerne über der Schweiz bedingt. Während der übrigen, nämlich am 6., 12., 19., 24., 28., 29. und 30., befand sich unser Land auf der Vorderseite der genannten Depressionen bzw. auf der Westflanke eines über dem Innern des Kontinents lagernden Hochdruckgebiets. Diese Tage waren daher infolge Föhn oder wenigstens Warmluftzufuhr aus Südwesten ausgesprochen warm. Sonst befand sich unser Land meist im Bereich des Drucksattels zwischen zwei Hochdruckgebieten über Nordeuropa einerseits, dem Atlantik (Gegend der Azoren) anderseits. Das Wetter war daher ziemlich unbeständig. Doch war das Atlantikhoch nur schwach entwickelt, d. h. es bestand keineswegs die für verregnete Sommer typische «monsunartige» Druckverteilung. Die ersten sechs Tage des Monats waren warm mit Neigung zu Lokalgewittern. Verbreitete Niederschläge, verursacht durch die Fronten der oben genannten Depressionen, fielen hauptsächlich am 4., am 7./8., am 20./21., am 25. und 31. Wegen der sattelartigen Druckverteilung und der vorherrschend südlichen Höhenströmung über dem Kontinent bewegten sich diese Störungslinien ausgesprochen langsam westostwärts über unser Land hinweg, wodurch sich die Niederschläge sehr in die Länge zogen und auch die Prognostik erheblich erschwert wurde. Am 8. kam es in Graubünden und besonders im südlichen Tessin (Malcantone) zu katastrophalen Überschwemmungen, verursacht durch ungewöhnlich intensive und ergiebige Gewitterniederschläge. Diese knüpften sich an ein Tief, das längs einer alten Luftmassengrenze von Südwesten herauf nach der Poebene gezogen kam und mit einem Kaltlufteinbruch verbunden war.

Die mittlere Monatstemperatur des SEPTEMBER weist auf der Alpennordseite die mäßigen Überschüsse von 1 bis 1½ °, auf der Südseite solche von 1½ bis 2 ° auf. — Für die Sonnenscheindauer ergibt sich in den Niederungen der Alpennordseite ein Defizit von 10 % im Wallis und in Graubünden ein Überschuß von 10 bis 20 % des Normalwerts. Die Abweichungen vom Normalwert waren somit nicht bedeutend. — Die Niederschlagsmengen sind ziemlich unregelmäßig verteilt. Abgesehen von vereinzelten Orten mit Überschüssen in der Nordostschweiz, waren die Beträge überall zu klein. Das südwestliche Mittelland und der Jura haben etwa 60 bis 80 %, das Wallis und Graubünden 30 bis 60 %, der Alpensüdfuß 70 % des Normalbetrages erhalten.

Unbeständiges Wetter herrschte vom 1. bis 3., vom 14. bis 19. und vom 23. bis 30. September. Die Bewölkung war meist veränderlich. Die nie sehr bedeutenden Niederschläge waren verursacht durch Randstörungen von Zentraldepressionen, die meist im Raum zwischen Island und Großbritannien zentriert waren. Nur vom 17. bis 19. lag die Depression über Skandinavien. Während dieser Zeit kamen die Störungen aus Nordwesten, und die Kaltluftzufuhr aus nördlichen Gebieten bewirkte ein Sinken der Temperatur. Am 20. oder 21. wurde das Minimum der Temperatur erreicht. Sonst war das Wetter unter dem Einfluß wechselnder Hochdruckgebiete vorwiegend sonnig, wobei in den Niederungen strichweise Frühnebel auftraten.

Die mittlere Monatstemperatur des OKTOBER war in den Niederungen vom Normalwert wenig verschieden. Für die Nord- und die Südschweiz ergibt sich ein leichtes Defizit, für die West- und die Ostschweiz ein Überschuß, die aber den Betrag von ½ ° nur vereinzelt überschreiten. — Die Sonnenscheindauer war in der Jurazone nahezu normal, in den Niederungen zu gering. Im nordöstlichen Mittelland erreicht das Defizit etwa den Betrag von 30 % des Normalwerts, am Alpensüdfuß denjenigen von 50 %. Mäßige Überschüsse sind im Alpengebiet zu verzeichnen. Sie sind hier nur lokal (Säntis) größer als 25 % des Normalwerts. — Die Niederschlagsmengen waren am Alpensüdfuß ungefähr normal. Auf der Alpennordseite ist wenig mehr als die Hälfte, in Graubünden und im Wallis meist 20 bis 30 % des Normalwerts gemessen worden.

Während der ersten Monatshälfte bestand in der Schweiz unter dem Einfluß eines zunächst über Skandinavien, dann vorwiegend über Osteuropa lagernden Hochdruckgebiets eine trockene, kühle Bisenlage mit heiterem Wetter in der Höhe, Hochnebel besonders am Vormittag in den Niederungen. Infolge der Entwicklung eines zweiten Hochs über dem Atlantik und starkem Druckfall im Norden entstand am 19. eine Tiefdruckrinne über Westeuropa, die sich langsam ostwärts verlagerte. Vom 16. bis 21. war das Wetter veränderlich bewölkt aber noch trocken. Am 22. geriet die Schweiz in den Bereich der kalten, nördlichen Rückseitenströmung der genannten Rinne. Die Passage der Kaltfront am 22. nachmittags brachte eine Abkühlung um 8° und beträchtliche Niederschläge. Im Nordosten schneite es zeitweilig bis auf zirka 600 m ü. Meer herunter. Ganz besonders ergiebig waren die Niederschläge im Tessin. In Locarno wurde 116 mm Regen in 24 Stunden gemessen. Die anschließende Staulage brachte den Niederungen trübes Wetter, der Nordostschweiz am 24. und 25. anhaltenden Nebelregen. Dann stellte sich die Hochnebellage wieder her. Eine zweite Tiefdruckrinne begann sich gegen Ende des Monats auf der Wetterkarte abzuzeichnen. Der Übergang zur kalten Rückseite vollzog sich jedoch erst in der Frühe des 1. November.

Im NOVEMBER sind in der Nordostschweiz ungewöhnlich hohe Temperaturen erreicht worden. Die Abweichungen von den Normalwerten betragen hier etwas über 3°, was seit Beginn der Messungen (1864) bisher nur vereinzelt vorgekommen ist. Für Jura und Westschweiz ergeben sich Überschüsse von 2 bis $2^1/_2$°, für den Alpensüdfuß solche von $1^1/_2$ bis 2°. — Infolge des fast anhaltend unbeständigen Wetters weisen die Hochalpen einen beträchtlichen Bewölkungsüberschuß auf. Die Sonnenscheindauer beträgt in Graubünden nur die Hälfte des Normalbetrages. Dies ist das absolute Minimum für den November seit Beginn der Messungen (1886). Hochnebel und Nebellagen sind anderseits so gut wie keine vorgekommen. Im Mittelland weist die Sonnenscheindauer sogar strichweise einen leichten Überschuß auf. — Die Niederschlagsmengen sind überall zu groß ausgefallen. Der Alpensüdfuß hat strichweise das Vierfache des Normalbetrages erhalten. Auf einzelnen Stationen bedeutet dies den bisher höchsten Novemberbetrag. Nordwärts nehmen die prozentualen Beträge rasch ab. Im Alpengebiet ist noch das Anderthalb- bis Zweieinhalbfache des Normalbetrages gefallen. In der Nordschweiz betragen die Überschüsse weniger als 50 %.

Die ersten drei Tage waren ziemlich kalt und unbeständig. Am 4. entwickelte sich eine Föhnlage, die die ganze folgende Woche hindurch anhielt. Die Temperatur stieg bis zum 6. in der Höhe um 14°. Das Zentrum der Föhndepression (970 mbar) befand sich am 6. nordwestlich von La Corunna. In der Nacht vom 6. zum 7. setzten im Tessin die Föhnniederschläge ein. Dieselben waren in der Folge so bedeutend, daß um den 12. der Luganer- und der Langensee über die Ufer traten und Überschwemmungen verursachten. In Locarno war innert der vorausgehenden sechs Tage 380 mm Niederschlag gefallen. Die Alpennordseite hat erst seit dem 8. zeitweilig etwas Niederschlag erhalten. Am 11. erschien ein Randtief der Föhndepression über der Poebene. Es wanderte dann nordwärts über die Alpen und führte so den Zusammenbruch der Föhnlage herbei, womit am Vormittag des 12. auch die Niederschläge im Tessin aufhörten. Der 15. und der 16. waren unter dem Einfluß eines Hochs, das sich vorübergehend hinter dem ostwärts abziehenden Tief aufgebaut hatte, fast allgemein sonnig. Dann entwickelte sich eine neue Föhnlage. Am Abend des 18. wehte der Föhn strichweise bis ins Mittelland hinunter. Am Alpensüdfuß kam es neuerdings zu bedeutenden Überschwemmungen infolge exzessiver Niederschlagsmengen am 18., 19. und 20. Auf der Alpennordseite herrschte dann bis ans Monatsende meist unbeständiges Wetter. Die Störungen wurden veranlaßt durch kräftige Depressionen, die in der Breite von Schottland ostwärts wanderten. Nur der 27. und der 28. waren unter Hochdruckeinfluß trocken und sonnig.

Die Monatsmittel der Temperatur weisen im DEZEMBER im allgemeinen mäßige Überschüsse über den betreffenden Normalwert auf. Diese betragen in den Niederungen der Alpennord- und Südseite etwa 1 °, in den Alpen meist 1,5 bis 2 °, im Osten stellenweise bis 3 °. Die Sonnenscheindauer beträgt im Mittelland und in der Nordschweiz ungefähr das Doppelte des Normalwertes. Dies bedeutet für Basel und Bern das Maximum seit Beginn der Messungen (1886). In Graubünden, am Alpensüdfuß und am Genfersee erreichen die Überschüsse noch den mäßigen Betrag von 20 bis 30 % des Normalwertes. — Die Niederschlagsmengen blieben überall hinter dem Normalbetrag zurück. Im Mittelland beträgt das Defizit allerdings nur 10 bis 15 %. Dagegen ist in Graubünden, im Tessin und im Jura meist weniger als die Hälfte, im Gebiet des Vorderrheins, der Tessiner Alpen und im Oberwallis weniger als 30 % des Normalbetrages gefallen.

Während etwa 16 Tagen, nämlich am 1. und 2. und vom 11. bis 24. war das Wetter in der Schweiz unter Hochdruckeinfluß trocken und für die Höhen mild, bei heiterem bis leicht bewölktem Himmel, wenigstens im Alpen- und Juragebiet sowie im Tessin, während im Mittelland vorwiegend Nebel herrschte. Der Kern des Hochdruckgebietes befand sich anfangs über Süddeutschland, später über Ungarn. Während der übrigen Tage war das Wetter bei westlicher Luftbewegung unbeständig. Die Störungen rühren von Depressionen her, deren Zentrum meist im Raum zwischen dem 60. bis 65. Breitengrad, vom Nordatlantik her kommend, ostwärts wanderten. Die Schweiz befand sich dabei meist im Warmluftgebiet der Randzone. Zu Ende des Monats schlugen einige Zyklonen etwas südlichere Bahnen ein. Starker Westwind herrschte vom 6. mittags bis 7. früh und ferner vom 9. früh bis in die Nacht vom 10. zum 11. In Zürich erreichte die Windstärke zeitweilig den Betrag von 19 m/sec. Zu eigentlichen Kaltlufteinbrüchen ist es nicht gekommen, zu Schneefällen in den Niederungen nur vorübergehend. Namhafte Niederschläge sind besonders am 2./3., am 7., am 9. und am 26. gefallen.

Monatswerte der wichtigsten meteorologischen Elemente 1951

	Höhe m	Januar	Febr.	März	April	Mai	Juni	Juli	Aug.	Sept.	Okt.	Nov.	Dez.	Jahr
Temperatur in ° C														
Basel	317	2.5	3.5	4.7	9.1	12.4	16.3	18.3	17.4	15.4	8.5	6.7	1.4	9.7
La Chaux-de-Fonds	990	-0.5	0.2	0.3	5.4	8.9	13.2	15.4	14.4	12.7	7.0	1.2	0.4	6.8
Zürich	569	1.3	2.0	3.4	8.1	11.9	15.3	17.9	17.0	14.7	7.5	6.2	0.3	8.8
Bern	572	0.6	1.9	3.5	8.3	11.8	15.6	18.1	16.6	14.5	8.1	5.4	0.0	8.7
Lausanne	553	1.8	2.5	4.0	9.2	12.7	16.5	19.3	17.7	15.7	9.8	6.8	2.2	9.8
Genf	405	2.7	3.6	5.5	10.0	13.2	17.3	20.0	19.2	16.4	10.5	6.9	1.3	10.5
Davos	1561	-5.1	-4.4	-3.3	1.5	6.8	10.5	13.1	12.1	10.1	4.0	1.0	-3.8	3.5
Säntis	2500	-7.7	-9.4	-8.3	-4.4	0.0	3.4	6.2	6.2	5.0	0.7	-3.9	-4.8	-1.4
Lugano	276	3.8	4.0	6.2	11.6	14.3	19.0	21.6	20.3	18.9	11.2	8.1	3.7	11.9
Abweichungen von den normalen Mitteln														
Basel	317	2.8	2.2	0.2	0.4	-0.8	-0.2	-0.1	-0.1	1.2	-0.3	2.6	1.1	0.8
La Chaux-de-Fonds	990	2.1	1.4	-0.8	0.4	-0.7	0.2	0.1	0.2	1.4	0.6	2.3	2.1	0.8
Zürich*	569	2.8	2.0	0.0	0.4	-0.2	-0.2	0.6	0.6	1.4	-0.4	3.2	1.0	0.9
Bern	572	2.2	1.7	0.1	0.3	-0.5	0.0	0.4	-0.1	0.8	0.2	2.4	0.8	0.7
Lausanne	553	1.8	1.0	-0.5	0.7	-0.2	0.2	1.0	0.2	1.2	0.6	2.2	1.2	0.7
Genf	405	2.1	1.6	0.3	0.8	-0.4	0.1	0.7	0.8	1.4	0.8	1.8	-0.2	0.8
Davos	1561	1.9	1.0	-1.0	-0.6	-0.2	0.2	1.0	0.8	1.8	0.6	2.3	1.9	0.8
Säntis	2500	1.0	-0.6	-0.4	0.4	0.4	0.6	1.2	1.4	2.2	2.0	1.1	3.1	1.0
Lugano	276	2.2	0.7	-0.7	0.5	-0.9	-0.1	0.3	-0.1	1.9	-0.3	1.8	1.1	0.5
Niederschlag in mm														
Basel	317	31	57	70	64	86	95	205	111	65	58	85	39	969
La Chaux-de-Fonds	990	134	122	150	64	121	175	140	130	91	59	209	61	1456
Zürich	569	71	91	109	76	82	149	147	130	94	48	85	63	1145
Bern	572	66	109	105	117	75	96	151	162	57	66	113	61	1178
Lausanne	553	77	100	115	68	126	147	106	111	77	55	144	53	1179
Genf	405	47	104	99	48	125	62	65	100	57	65	128	36	936
Davos	1561	237	80	80	42	37	139	115	163	50	6	111	30	1120
Säntis	2500	261	126	214	100	119	221	246	167	107	13	297	110	2011
Lugano	276	145	293	155	140	168	252	83	266	128	206	518	34	2388
Abweichungen von den normalen Summen														
Basel	317	-7	16	17	-1	5	-3	115	25	-13	-16	26	-13	151
La Chaux-de-Fonds	990	28	27	43	-62	-9	33	5	0	-26	-78	91	-69	-17
Zürich*	569	17	39	37	-16	-28	18	14	3	-10	-44	19	-9	40
Bern	572	18	58	39	41	-19	-17	39	54	-32	-22	45	-3	201
Lausanne	553	19	41	40	-8	34	48	6	1	-22	-53	59	-26	139
Genf	405	0	54	36	-21	49	-17	-13	4	-28	-34	49	-32	47
Davos	1561	178	27	26	-18	-33	32	-20	32	-42	-64	79	-36	161
Säntis	2500	31	-55	23	-151	-104	-59	-61	-121	-116	-180	117	-98	-774
Lugano	276	85	232	40	-22	-24	67	-91	79	-47	8	382	-46	663
Sonnenscheindauer in Stunden														
Basel	317	49	67	83	175	148	159	254	162	154	106	53	113	1523
La Chaux-de-Fonds	990	46	63	96	152	130	161	245	153	152	148	65	115	1526
Zürich	569	39	66	87	183	172	178	267	197	147	79	62	66	1543
Bern	572	43	72	95	171	148	197	274	191	154	106	62	95	1608
Lausanne	553	51	74	111	183	196	200	297	242	159	98	81	57	1712
Genf	405	48	70	110	190	188	239	316	227	180	102	78	61	1809
Davos	1561	70	75	94	164	119	146	221	190	176	159	48	105	1567
Säntis	2500	114	76	99	205	201	169	262	208	183	224	85	152	1978
Lugano	276	87	100	137	188	114	225	276	211	200	90	85	132	1845
Abweichungen von den normalen Summen														
Basel	317	-15	-27	-44	28	-47	-55	21	-61	-4	-3	-12	52	-160
La Chaux-de-Fonds	990	-29	-33	-26	24	-39	-25	34	-58	-2	29	-20	53	-92
Zürich*	569	-9	-22	-47	26	-30	-45	23	-33	-15	-24	9	39	-137
Bern	572	-15	-25	-37	18	-52	-26	25	-48	-18	-9	-1	52	-136
Lausanne	553	-20	-40	-41	7	-29	-51	31	-53	-29	-28	6	3	-250
Genf	405	-13	-35	-46	0	-56	-34	23	-48	-20	-24	11	14	-228
Davos	1561	-24	-34	-54	13	-53	-30	20	-13	10	25	-50	22	-108
Säntis	2500	2	-45	-39	78	49	28	101	37	30	80	-36	46	331
Lugano	276	-38	-46	-35	13	-92	-17	-4	-55	4	-56	-24	26	-324

* Zürich, neue Station Krähbühlstrasse, Normalwerte vgl. Annalen 1950, Anhang Nr. 6.

Nr. 2

Liste des chutes de grêle en Suisse pendant l'année 1951

établie à l'aide des statistiques de la Station centrale suisse de météorologie et celles de la Société suisse d'assurances contre la grêle à Zurich, par Jean Rieker.

Canton	Avril		Mai													Juin																				
	27	29	3	4	7	8	9	10	15	17	18	22	26	28	30	31	1	2	4	5	6	8	11	12	13	14	15	16	17	18	20	23	24	25	26	27	28	29	30
Argovie	.	.	.	.	.	.	.	.	.	3	.	.	.	.	.	.	.	.	2	2	2	.	.	.	1	.	.	.	.	9	.	.	.	1	1	.	.	.	.
Appenzell	.	.	.	.	1	.	.	.	.	.	.	.	.	.	.	.	.	1	3	.	.	.	.	.	.	.	.	1	2	8	.	.	.	.	.	.	.	.	.
Bâle	.	.	.	.	.	.	.	.	.	.	.	.	.	.	.	.	3	4	1	1	.	.	.	.	.	.	.	.	.	.	.	.	.	7	1	.	.	.	.
Berne	.	.	1	.	6	1	1	1	.	.	7	4	.	5	1	3	2	.	.	1	1	.	.	.	.	.	2	10	7	19	.	.	.	4	.	.	7	.	.
Fribourg	.	.	.	.	.	.	.	.	.	.	.	2	.	.	.	1	.	.	.	.	.	.	.	.	.	.	.	10	1	2	.	.	.	.	.	.	.	.	.
St-Gall	.	.	.	.	6	.	1	.	.	.	.	4	.	.	3	.	.	2	1	.	.	.	.	.	.	.	.	4	2	5	.	.	.	.	3	.	2	1	.
Genève	.	.	1	.	.	.	2	.	.	.	.	.	.	.	.	2	.	.	.	.	.	.	.	.	.	.	.	.	.	.	.	.	.	.	.	.	.	.	.
Glaris	.	.	.	.	.	.	.	.	.	.	.	.	.	.	.	.	.	.	.	.	.	.	.	.	.	.	.	3	.	.	.	.	.	.	.	.	.	.	.
Grisons	.	.	.	.	.	.	.	.	.	.	.	.	.	.	.	.	.	.	.	.	.	.	.	.	.	.	.	.	.	.	.	.	.	.	.	.	.	.	1
Lucerne	1	.	.	.	2	1	.	.	.	.	.	16	.	2	.	.	2	2	.	1	3	.	1	.	.	.	.	1	.	38	.	.	.	4	.	1	2	.	.
Neuchâtel	.	.	.	.	.	.	.	.	.	.	.	.	.	1	.	1	1	.	.	.	.	.	.	4	.	.	.	4	.	2	.	.	.	.	.	.	.	.	.
Schaffhouse	.	.	.	.	.	.	.	.	.	1	.	.	2	.	.	.	.	.	.	.	1	.	.	.	.	.	.	.	.	.	.	.	.	.	.	.	.	.	.
Schwyz	.	.	2	.	.	.	.	.	.	.	.	8	.	.	.	.	.	.	1	.	.	.	.	.	.	.	.	1	.	.	.	.	.	.	.	.	.	.	.
Soleure	.	.	1	.	.	.	.	.	.	.	.	.	.	.	.	.	.	1	.	1	.	.	.	.	.	.	.	.	.	.	.	.	.	3	.	.	.	.	.
Tessin	.	11	.	11	.	.	.	.	.	.	.	.	.	.	.	.	.	.	.	.	.	1	.	.	1	1	.	37	11	1	1	6	14	1	.	.	.	7	.
Thurgovie	.	.	.	.	6	.	.	1	.	.	.	.	.	.	.	.	.	5	4	.	1	.	.	.	.	.	.	.	3	.	.	.	.	.	3	.	2	.	.
Unterwald	.	.	.	.	.	.	.	.	.	.	.	.	1	.	.	.	.	.	.	.	.	.	.	.	.	.	.	6	2	.	.	.	.	.	.	.	.	.	.
Uri	.	.	.	.	.	.	.	.	.	.	.	.	.	.	.	.	.	.	.	.	.	.	.	.	.	.	.	.	.	.	.	.	.	.	.	.	.	.	.
Vaud	.	.	2	.	.	.	.	.	.	.	.	.	.	.	.	1	1	.	.	.	.	.	.	.	.	.	1	4	2	1	.	.	.	.	.	.	.	.	.
Valais	.	.	.	.	.	.	.	.	.	.	.	.	.	.	.	1	.	.	.	.	.	.	1	.	1	.	.	2	.	.	.	.	.	.	.	.	.	.	.
Zurich	.	.	.	.	.	4	.	.	.	1	.	2	.	.	.	.	1	2	1	1	2	.	.	.	.	.	1	1	2	2	.	.	.	.	1	.	1	.	.
Zoug	.	.	.	.	.	3	.	.	.	.	.	4	.	.	.	.	.	1	.	1	.	.	.	.	.	.	.	2	1	1	.	.	.	.	.	.	1	.	.
totaux	1	11	7	11	21	9	4	1	1	5	7	40	2	9	4	9	10	18	13	8	10	1	2	4	3	1	6	84	33	88	1	6	14	20	9	1	15	8	1
par mois	12		130													356																						

Suite de la dite statistique

Canton	Juillet																					Août																	Sept	Sommes
	1	2	5	7	8	9	11	12	13	14	15	16	19	21	22	23	25	30	31	1	2	3	4	6	7	8	10	13	15	16	20	22	27	30	31	7	
Argovie	.	.	.	.	1	.	12	.	3	.	5	.	.	.	9	10	.	.	21	.	.	13	1	.	1	.	.	.	.	.	.	.	.	.	.	.	97
Appenzell	.	.	.	.	3	.	.	.	.	.	.	.	.	.	.	.	.	.	3	.	.	.	.	.	.	.	.	2	.	.	.	.	.	.	.	.	24
Bâle	1	.	.	.	7	.	4	.	29	.	.	.	.	.	.	1	.	.	14	.	.	2	.	.	1	.	.	.	.	1	.	.	.	2	.	.	79
Berne	.	.	.	.	17	.	30	.	58	11	3	.	.	.	.	10	1	.	10	.	1	7	.	9	16	.	2	2	.	.	1	.	.	9	.	3	278
Fribourg	.	.	.	.	.	.	2	.	4	1	.	.	.	.	.	.	.	.	9	.	.	1	.	1	.	.	1	2	1	.	.	.	.	.	.	.	.	38
St-Gall	.	.	2	.	1	.	16	.	2	.	1	.	.	.	.	2	.	.	2	4	.	.	.	.	.	.	.	2	.	.	.	.	.	.	.	2	68
Genève	.	.	.	.	.	.	.	.	.	5	.	.	.	.	.	.	.	.	.	.	.	.	4	.	.	.	.	.	.	.	.	.	.	.	.	.	.	14
Glaris	.	.	.	.	.	.	.	.	.	.	1	.	.	.	4	.	.	.	.	.	.	.	.	.	.	.	.	.	.	.	.	.	.	.	.	.	.	8
Grisons	.	.	.	.	.	.	.	.	.	.	.	.	.	.	.	.	.	.	.	.	.	.	1	.	.	1	.	.	.	.	.	1	.	.	.	.	.	4
Lucerne	.	.	.	.	9	1	30	1	4	1	1	.	.	.	2	3	.	.	.	10	.	33	.	4	.	.	4	.	.	.	.	.	.	.	.	.	1	181
Neuchâtel	.	.	.	.	1	.	.	.	3	.	.	.	.	.	.	.	.	.	.	.	.	.	.	.	10	.	.	12	.	.	.	.	.	.	.	.	.	39
Schaffhouse	.	.	.	.	.	1	.	.	.	.	.	.	.	.	.	.	.	.	.	.	.	2	.	.	.	.	.	.	.	.	.	.	.	.	.	2	9
Schwyz	.	.	.	.	.	.	.	.	3	.	1	.	.	.	3	.	.	.	.	1	4	.	.	.	.	.	.	.	.	.	.	.	.	.	.	.	.	24
Soleure	.	.	.	.	1	.	1	.	13	.	4	.	.	.	.	.	.	.	8	.	.	.	.	.	20	.	.	.	.	2	.	.	.	.	.	.	.	55
Tessin	.	1	5	.	.	1	.	.	.	24	.	2	1	1	5	.	.	.	.	7	.	.	6	.	.	77	1	.	.	.	.	.	1	.	34	.	269
Thurgovie	.	.	.	.	9	.	35	.	.	.	2	.	.	.	3	13	.	.	1	1	.	11	.	.	35	.	.	.	.	.	.	.	.	.	.	29	164
Unterwald	.	.	.	.	.	.	.	.	5	.	1	.	.	.	.	.	.	1	.	1	1	.	.	.	.	.	.	.	.	.	.	.	.	.	.	.	.	18
Uri	.	.	1	.	.	.	.	1	.	.	1	.	.	.	.	.	.	.	.	.	1	.	.	.	.	.	.	.	.	.	.	.	.	.	.	.	.	4
Vaud	.	.	.	1	1	.	.	.	51	.	.	.	.	.	.	1	.	.	5	2	.	.	5	1	.	.	5	57	.	4	.	.	.	.	.	.	.	145
Valais	.	.	.	.	.	.	.	.	.	.	.	.	.	.	.	.	.	.	.	3	.	.	1	.	.	.	.	.	.	.	.	.	.	.	.	.	.	9
Zurich	.	.	.	.	3	1	12	.	2	1	.	.	.	.	.	1	.	1	5	3	.	41	.	.	.	.	.	1	.	.	.	.	.	.	.	.	8	101
Zoug	.	.	.	.	6	.	.	.	1	.	.	.	.	.	.	1	.	.	.	1	.	.	.	.	.	.	.	.	.	.	.	.	.	.	.	.	1	24
totaux	1	1	8	1	59	4	142	2	175	43	20	2	1	1	26	42	1	2	78	33	7	110	18	15	83	78	13	78	1	7	1	1	1	11	34	46	1647
par mois	612																			491																	46	

Nr. 3

Monats- und Jahressummen

der Niederschlagsmessungen sämtlicher meteorol. Stationen I.—III. Ordnung im Jahre 1951

Als Niederschlagstage werden für diese Tabelle nur die Tage mit mindestens 1.0 mm Niederschlag gezählt.
Die mit * bezeichneten Summen sind nach den Nachbarstationen interpoliert.

Stationen:	Höhe üb. Meer	Jan.	Febr.	März	April	Mai	Juni	Juli	Aug.	Sept.	Okt.	Nov.	Dez.	Jahr	Maxima		Zahl d. Tage
A. Rheingebiet																	
I. Quellgebiet bis Bodensee																	
Sedrun (Tavetsch)	ca 1401	178	239	93	99	120	140	71	168	39	66	271	15	1499	84	11. II.	128
Platta (Medels)	1378	198	285	95	143	175	145	67	209	71	92	431	15*	1926	94*	11. II.	105
Disentis	ca 1168	180	298	103	153	112	137	93	180	40	67	281	12	1656	124	11. II.	118
Vial	ca 1280	166	273	111	146	147	151	64	232	59	55	297	13	1714	91	11. II.	116
Val	1210	171	232	89	117	101	123	65	173	33	48	262	11	1435	72	11. II.	85
Surrhein	ca 892	184	245	76	108	96	86	64	161	24	46	231	8	1329	99	11. II.	90
Panix	ca 1300	198	143	100	96	88	130	95*	150*	44	40	197	24	1305	61	11. II.	134
Vrin	ca 1454	153	187	68	154	73	145	121	174	51	27	205	11	1369	51	11. II.	117
Vals	ca 1248	128	174	89	104	135	125	94	199	58	38	304	15	1463	57	27. V.	108
Ilanz	ca 704	168	159	61	72	38	109	58	135	51	25	158	10	1044	65	11. II.	107
Flims	ca 1100	212	133	104	80	61	137	91	151	87	33	182	29	1300	58	11. II.	135
Safienplatz	ca 1270	158	153	78	104	77	122	72	211	64	39	191	24	1293	69	8. VIII.	123
Bernhardin-Paß	2073	—	—	—	—	—	—	97	358	103	187	—	—	—	—	—	—
Hinterrhein	ca 1624	238	305	110*	37	203	130*	32	289	68	79	596	17	2104	–	—	—
Splügen (Dorf)	ca 1500	172	258	108	135	156	134	89	324	68	43	358	27	1872	160	8. VIII.	96
Avers am Bach	ca 1955	104	118	92	71	92	148	86	263	50	29	150	26	1229	124	8. VIII.	120
Inner-Ferrera	ca 1480	122	135	89	65	135	167	93	289	67	34	227	20	1443	124	8. VIII.	96
Andeer	ca 980	148	160	72	104	70	109	89	258	45	28	186	19	1288	92	8. VIII	96
Thusis	785	263	189	80	99	88	104	86	196	49	29	181	15	1379	79	12. I.	106
Bivio	ca 1780	185	165	104	88	135	123	91	203	51	42	283	38	1508	70	8. VIII.	122
Savognin	ca 1213	172	125	71	67	86	111	64	162	44	18	176	28	1124	65	8. VIII.	107
Weißfluhjoch	2540	260*	87	98	75	41	152	161	177	54	6	123	29	1263	80*	20. I.	138
Davos-Platz	1561	237	80	80	42	37	139	115	163	50	6	141	30	1120	80	20. I.	120
Albula (Hospiz)	ca 2315	160	99	73	75	100	122	99	166	35	22	106	19	1076	?	—	121
Filisur	ca 1040	139	102	50	58	57	102	95	165	31	18	141	21	979	65	8. VIII	101
Lenzerheide	ca 1477	115	89	44	73	66	109	95	176	47	13	126	33	980	61	8. VIII	105
Nisellas (Alvaschein)	ca 890	133	98	61	60	57	95	73	172	40	12	117	15	933	45	8. VIII.	98
Tomils	ca 823	138	131	60	60	53	108	84	172	52	16	127	17	1018	62	8. VIII	110
Arosa	1864	194	137	117	91	95	160	158	277	91	22	198	53	1593	136	8. VIII.	136
Tschiertschen	1351	168	117	85	74	56	122	74	193	48	18	127	32	1014	85	8. VIII.	121
Chur	633	137	86	55	50	44	89	60	156	39	10	98	18	842	64	8. VIII.	108
Klosters	ca 1207	263	110	113	70	59	160	130	154	73	17	177	49	1375	93	20. I.	149
St. Antönien	ca 1460	195	95	102	61	50	162	160	160	58	11	155	48	1257	53	8. VIII.	140
Schiers	670	181	96	81	64	27	122	69	139	43	12	122	29	985	53	8. VIII	124
Seewis	954	257	117	111	71	43	137	80	142	51	22	138	37	1206	81	20. I.	138
Plantahof b. Landqu.	ca 530	203	117	78	62	33	116	60	145	48	14	96	30	1002	76	20. I.	116
Vättis	956	148	121	61	47	73	141	94	133	44	16	127	30	1035	52	20. I.	124
Bad Ragaz	518	152	114	97	104	60	125	87	120	46	25	102	29	1061	44	11. II.	117
Sargans	510	184	107	120	80	46	152	81	133	69	27	125	27	1151	61	20. I.	129
Sevelen	464	117	87	85	51	64	109	83	125	92	23	78	22	936	36	11. II.	116
Vaduz (Liechtenstein)	460	115	79	78	45	64	109	92	121	84	18	70	21	896	38	20. I.	120
Haag	448	159	92	103	57	54	165	172	171	90	30	117	27	1237	51	20. I.	121
Altstätten	468	164	111	147	51	75	218	145	134	111	24	138	59	1377	56	15. VII.	133
Widnau	404	98	80	102	48	73	185	110	127	110	28	91	44	1096	34	7. IX.	136
Heiden	811	100	102	152	63	80	193	196	129	120	35	106	75	1351	60	16. VII.	151
Rorschach	455	90	90	113	61	73	178	154	137	107	38	101	72	1214	42	16. VII.	144
St. Gallen (Bruggen)	679	82	101	105	59	118	153	162	133	139	31	90	63	1236	69	7. IX.	140

Stationen:	Höhe üb. Meer	Jan.	Febr.	März	April	Mai	Juni	Juli	Aug.	Sept.	Okt.	Nov.	Dez.	Jahr	Maxima		Zahl d. Tage
II. Bodensee bis Basel (Rorschach und St. Gallen siehe vorhergehende Seite)																	
Arbon	ca 409	61	74	87	50	43	110	195	105	116	30	84	49	1004	51	7. IX.	131
Amriswil	ca 455	51	83	75	48	68	116	136	128	97	33	67	46	948	47	7. IX.	127
Altnau	ca 458	70	109	83	41	33	104	107	140	139	37	67	46	976	86	7. IX.	112
Kreuzlingen	446	68	119	86	54	45	123	98	143	95	48	82	44	1005	49	7. IX.	124
Ermatingen	408	55	108	81	56	48	111	97	167	87	50	76	51	987	41	7. IX.	120
Haidenhaus	694	51	95	65	42	60	107	117	100	72	49	69	52	879	34	16. VII.	130
Steckborn	ca 400	56	87	71	44	66	105	66	104	70	38	59	38	804	31	23. VI.	118
Eschenz	ca 417	49	96	85	45	61	104	68	112	74	35	69	42	840	26	7. VIII.	123
Thayngen	ca 455	53	80	67	39	61	102	74	124	78	42	55	42	817	34	22. X.	119
Buch (Schaffhausen)	433	45	80	77	45	60*	94	67	114	78	33	49	30	772	29	15. VII.	118
Dießenhofen	ca 410	57	84	68	43	47	109	62	125	73	37	52	33	790	30	16. VII.	121
Lohn	ca 643	57	83	71	41	78	106	69	108	67	44	63	50	837	33	22. X.	125
Merishausen	ca 535	71	102	88	47	64	114	92	141	66	40	75	58	958	37	16. VII.	130
Schaffhausen	448	73	86	85	40	59	89	70	114	71	40	55	44	826	29	15. I.	127
Neu Rheinau	392	61	74	59	49	72	120	68	125	63	39	56	34	820	24	16. VII.	121
Rheinau	358	54	67	54	46	60	113	61	122	57	39	48	25	746	28	22. X.	110
Flaach	362	74	101	71	67	104	143	80	175	85	51	62	48	1061	43	2. VIII.	121
Wil (bei Rafz)	ca 410	77	96	77	57	69	153	79	121	79	47	71	50	976	33	22. X.	130
Kaiserstuhl	ca 342	86	85	73	55	54	117	78	116	82	49	73	59	927	31	7. VIII	124
Schleitheim	477	49	77	66	37	50	102	70	137	69	43	62	56	818	32	7. VIII./22. X.	127
Hallau	450	71	85	75	32	57	89	69	118	83	47	57	55	838	37	22. X.	117
Wilchingen	ca 415	87	91	86	46	54	98	84	148	102	56	70	62	984	39	22. X.	132
Laufenburg	ca 325	103	62	135	55	78	147	131	142	72	75	182	62	1244	55	22. X.	137
Wittnau	ca 415	77	73	119	59	86	138	116	116	88	72	162	53	1159	48	22. X.	140
Frick	ca 350	104	76	126	60	87	131	126	122	85	78	157	59	1211	45	22. X.	141
Möhlin	ca 332	77	75	106	58	90	139	175	147	75	61	145	55	1203	44	11. VII.	149
Wintersingen	444	74	79	113	69	93	141	183	191	65	71	145	45	1269	59	11. VII.	147
Rheinfelden	287	67	74	102	61	74	133	183	148	81	61	150	58	1192	42	7. VIII.	148
Kilchberg	ca 582	86	95	100	58	113	137	118	137	98	76	159	52	1229	50	22. X.	155
Böckten	ca 385	79	80*	103	59	103	124	156	157	86	68	121	50	1186	56	11. VII.	139
Eptingen	ca 571	27	78	110*	59	107	137	180	146	109	78	128	48	1207	71	11. VII.	143
Bennwil	ca 526	79	91	93	62	109	152	177	145	91	76	130	53	1258	68	11. VII.	153
Waldenburg	ca 533	90	98	125	76	95	177	181	140	99	77	152	63	1373	55	22. X.	154
Lampenberg	ca 536	71	84	94	64	102	136	182	150	83	72	124	51	1223	56	11. VII.	148
Reigoldswil	ca 497	82	92	122	75	109	120	150	132	84	75	152	60	1253	42	22. X.	140
Liestal	325	61	82	124	83	79	117	135	104	62	52	102	51	1052	42	31. VII.	155
Arisdorf	ca 430	60	70	94	80	97	116	155	150	77	76	129	44	1148	44	22. X.	152
Basel-Augst	ca 275	51	63	74	64	86	111	196	140	84	54	117	49	1089	40	22. X.	138
Mervelier	ca 560	67	97	85	72	120	176	199	133	93	61	145	54	1302	57	8. VI.	149
Bellelay	ca 930	108	104	128	67	165	176	120	125	84	73	178	63	1391	44	8. VI.	157
Delémont	ca 435	58	72	78	47	119	122	123	100	67	64	115	35	1000	36	22. X.	146
Seewen	ca 551	48	64	93	76	111	131	184	156	89	69	118	58	1197	54	15. VII.	152
Grellingen	ca 328	53	64	89	89	130	120	171	145	96	71	97	47	1172	47	22. X.	146
Pfeffingen	ca 394	49	73	102	90	112	119	187	124	106	60	102	48	1172	49	20. IV.	148
Aesch	ca 315	45	60	82	82	116	112	188	128	106	66	99	50	1134	45	22. X.	140
Neue Welt	ca 267	42	59	68	68	98	99	210	109	74	55	88	41	1011	39	22. X.	136
Therwil	ca 310	31	64	81	59	110	114	235	140	81	61	93	40	1109	45	8. VII	133
Basel-Binningen	317	34	57	70	64	86	95	205	111	65	58	85	39	969	46	31. VII.	131
Basel-Bernoullianum	277	39	63	64	55	83	115	201	120	63	65	88	42	998	47	22. X.	144
III. Thur																	
Starkenbach	ca 894	258	160*	200*	115*	115	192	186	145	117	29	192	110	1819	73	18. I.	149
Ebnat	649	197	134	172	100	123	166	163	162	90	36	142	90	1575	45	20. I.	152
Ricken	ca 790	203	150	198	145	142	183	175	161	127	43	196	98	1821	63	20. I.	162
Peterzell	ca 705	146	113	156	86	135	164	180	153	116	55	118	85	1507	44	10. V.	149
Nollen	ca 740	70	93	84	56	71	164	153	155	71	43	80	63	1103	30	15. VII.	126
Degersheim	ca 814	94	113	118	85	169	194	177	177	121	41	105	68	1462	50	7. IX.	157
Herisau	ca 777	72	85	88	56	132	152	144	136	88	33	87	55	1128	35	10. V.	137
Flawil	ca 616	73	112	104	62	108	140	210	164	100	39	91	57	1260	39	15. VII.	160
Säntis	2500	261	126	214	100	119	221	246	167	107	13	297	140	2011	83	20. I.	167
Urnäsch	ca 837	179	131	179	103	139	200	268	159	117	43	148	107	1773	51	22. VII.	157
Befang b. Hundwil	870	146	120	143	75	149	188	202	151	122	45	123	88	1552	47	15. VII.	154

Stationen:		Höhe üb. Meer	Jan.	Febr.	März	April	Mai	Juni	Juli	Aug.	Sept.	Okt.	Nov.	Dez.	Jahr	Maxima		Zahl d. Tage
Appenzell	ca	781	174	117	156	83	105	194	180	152	110	27	133	91	1522	53	20. I.	155
Schwäbrig		1156	224	142	216	99	118	247	224	183	149	32	154	99	1887	78	20. I.	152
Teufen	ca	853	110	118	131	74	166	210	276	139	137	30	99	73	1563	75	22. VII.	141
Bischofszell	ca	502	69	104	101	58	96	162	178	136	113	31	87	39	1174	56	7. IX.	145
Sulgen	ca	483	61	100	83	45	52	123	149	147	81	36	77	50	1004	38	11. VII.	126
Weinfelden	ca	446	53	105	79	46	44	125	106	141	70	40	72	56	937	29	7. VIII.	117
Illhart	ca	540	42	89	76	44	46	115	101	131	64	39	78	35	860	32	7. VIII.	119
Müllheim	ca	415	54	97	77	47	56	129	113	123	67	40	89	51	943	34	7. VIII.	124
Dußnang	ca	595	118	127	139	79	105	147	157	142	76	47	153	85	1375	47	27. III.	137
Eschlikon	ca	569	86	107	100	65	101	123	133	143	77	46	102	73	1156	40	27. III.	132
Wängi	ca	475	58	93	77	54	87	119	118	125	76	39	66	58	970	30	27. III.	119
Aadorf	ca	538	77	116	104	62	94	120	125	118	80	51	92	67	1106	39	27. III.	136
Affeltrangen	ca	486	52	103	80	55	68	87	132	125	86	37	86	55	966	31	7. IX.	127
Thundorf	ca	560	59	97	84	52	57	103	113	112	71	37	74	60	919	32	27. III.	115
Frauenfeld		433	53	97	72	47	56	119	100	104	74	43	70	51	886	29	17. VI.	120
Kalchrain	ca	585	37	76	53	45	67	95	78	99	67	45	58	37	757	28	22. X.	116
Nieder-Neunforn	ca	446	41	86	57	50	77	94	57	120	78	37	51	40	788	24	7. IX.	124
Andelfingen		370	68	99	71	60	110	116	71	122	77	40	60	54	948	32	29. V.	126
IV. Töß																		
Bauma	ca	643	107	112	144	93	146	204	140	156	102	49	159	83	1495	45	27. III.	150
Sternenberg	ca	880	64	81	90	70	125	183	131	142	104	45	98	58	1191	38	2. VI.	141
Kollbrunn	ca	495	82	126	117	68	99	122	127	135	75	41	88	72	1152	40	27. III.	144
Fehraltorf	ca	536	60	102	100	57	115	184	127	137	83	36	89	64	1154	35	27. III.	134
Winterthur	ca	485	67	93	88	58	85	141	109	91	80	44	76	59	991	31	17. VI.	140
V. Glatt																		
Grüningen	ca	488	82	100	114	81	121	168	159	112	121	41	111	70	1280	43	7. IX.	149
Hinwil	ca	606	103	102	130	80	165	177	153	143	122	35	130	80	1420	38	23. VI.	150
Pfäffikon	ca	550	71	102	104	58	120	262	141	150	112	36	95	76	1327	49	2. VI.	142
Uster	ca	466	96	109	117	67	96	204	134	133	118	43	101	68	1286	44	15. VII.	137
Strickhof (Landwirtschaftl. Schule)		515	61	84	96	57	72	135	139	133	86	39	71	58	1031	32	8. VII.	133
Oerlikon	ca	450	59	92	98	54	68	115	116	135	89	36	65	53	980	33	27. III.	125
Reckenholz		443	68	92	91	57	60	120	112	129	75	41	81	52	978	30	23. VI.	132
Kloten		428	75	84	82	54	76	114	110	123	65	40	77	45	945	33	16. VII.	132
Dielsdorf		428	88	107	112	79	79	147	85	157	87	53	114	57	1165	38	23. VI.	140
Bülach	ca	430	59	79	83	60	92	126	84	124	74	44	64	43	932	29	22. X.	132
VI. Limmat																		
Weißtannen	ca	998	191	149	112	97	70	160	111	145	59	31	143	44	1312	49	11. II.	134
Wallenstadt	ca	430	162	122	112	51	77	146	98	128	63	22	118	44	1143	60	20. I.	135
Wallenstadtberg	ca	982	283	153	222	105	99	177	143	143	86	17	206	65	1699	75	20. I.	156
Obstalden	ca	690	186	152	149	82	75	167	157	164	99	32	172	68	1503	66	20. I.	141
Auen (Linthal)		815	319	186	157	133	110	163	98	187	92	45	235	64	1789	60	19. I.	162
Urnerboden	ca	1400	196	312	164	142	132	161	120	213	70	53	163	43	1769	109	11. II.	159
Braunwald ob Linthal		1190	282	187	186	107	109	191	112	197	74	38	232	58	1773	91	20. I.	151
Elm		959	231	169	143	100	116	208	90	159	65	61	199	43	1584	70	20. I.	146
Glarus		480	207	136	131	67	110	162	107	173	78	30	143	51	1395	73	20. I.	148
Klönthal	ca	838	193	159	165	105	123	245	169	250	105	44	173	74	1805	66	20. I.	163
Weesen	ca	430	230	138	187	88	79	186	169	158	120	38	204	82	1679	99	20. I.	138
Schänis (Steinerried)	ca	417	145	123	154	102	99	175	187	151	129	31	145	80	1521	50	20. I.	144
Doggen	ca	411	118	120	149	88	109	177	191	148	122	30	144	75	1471	47	11. II.	157
Oberkirch (b.Uznach)	ca	468	149	121	157	93	116	164	205	158	124	30	155	81	1553	44	11. II.	153
Vorder-Wäggithal	ca	740	182	151	177	126	149	237	219	167	113	51	185	86	1843	59	22. VII	156
Lachen	ca	409	89	112	167	95	138	149	217	137	98	41	106	87	1436	44	15. VII.	148
Wald (Sanatorium)		912	187	151	216	110	183	217	177	164	134	47	189	98	1873	57	14. XI.	159
Bachtel		1120	145	146	210*	113	197	210	167	160	139	39	137	84	1747	?	—	153
Rapperswil		410	89	100	131	105	121	154	207	118	122	33	96	66	1342	55	15. VII.	150
Männedorf	ca	415	69	88	104	86	100	159	147	107	105	38	102	66	1171	44	15. VII.	133
Wädenswil	ca	475	97	106	156	97	117	123	202	107	89	54	136	82	1366	47	27. III.	140
Horgen	ca	445	97	109	143	89	95	167	181	132	106	45	143	78	1385	46	27. III.	143
Pfannenstiel	ca	853	90	112	109	80	103	194	166	120	113	53	118	89	1347	40	24. VI.	153
Küsnacht (Zürich)	ca	412	79	94	132	70	75	146	122	130	96	42	96	56	1138	40	15. VII	138
Zollikon (Anst.f.Ep.)	ca	460	94	100	126	68	99	182	131	130	94	42	94	65	1225	50	27. III.	139
Wollishofen		463	78	115	127	80	84	174	130	144	106	42	101	59	1240	39	27. III.	147
Zürich-Physikgeb.		493	70	91	99	64	76	145	127	128	87*	45*	81*	61*	1074	34	27. III.	138

Stationen:	Höhe üb. Meer	Jan.	Febr.	März	April	Mai	Juni	Juli	Aug.	Sept.	Okt.	Nov.	Dez.	Jahr	Maxima		Zahl d. Tage
Zürich-Krähbühlstr.	569	71	91	109	76	82	149	147	130	94	48	85	63	1145	38	27. III.	139
Oberiberg	1090	187	178	207	117	155	239	188	182	91	49	192	100	1885	55	11. II.	157
Willerzell	ca 892	126	143	160	110	153	138	242	157	118	40	155	97	1639	53	11. II.	157
Einsiedeln	914	158	158	194	128	148	132	204	144	129	54	172	90	1711	49	27. III.	158
Schönenberg(Waldh.)	ca 700	116	121	188	107	207	147	208	115	113	51	175	84	1632	50	15. VII.	147
Sihlbrugg	540	72	105	131	94	129	176	225	132	137	45	127	72	1445	48	15. VII.	145
Uetliberg (Bahnhof)	815	33	55	69	57	57	150	160	151	99	48	66	45	990	50	15. VII.	132
Waldegg	ca 624	—	—	—	—	—	152	153	151	93	48	93	53	—	—	—	—
Dietikon	ca 392	90	118	122	66	54	125	105	160	80	47	105	60	1132	38	4. VIII.	145
Otelfingen	ca 447	60	90	117	70	50	159	103	149	89	44	103	51	1085	?		142
Baden	387	87	80	93	57	62	120	107	150	74	67	94	45	1036	45	22. X.	139
VII. Reuß																	
Andermatt (Dorf)	1442	224	283	119	146	147	134	83	191	46	83	336	27	1819	125	11. II.	154
Göschenen	1107	204	266	138	123	134	134	88	187	46	75	324	29	1748	118	11. II.	139
Gurtnellen	742	143	195	119	110	88	119	86	157	40	66	239	32	1394	94	11. II.	134
Altdorf	456	134	186	118	86	124	130	113	165	58	52	160	46	1372	94	11. II.	144
Isenthal	ca 778	168	161	162	89	149	180	132	174	91	58	177	65	1606	69	11. II.	143
Muotathal	ca 603	237	199	214	121	140	209	155	209	97	52	206	90	1929	83	11. II.	151
Schwyz	517	134	164	196	101	188	202	195	214	128	48	174	83	1827	64	15. VII.	152
Sattel	ca 832	112	122	180	97	161	167	179	153	131	56	219	94	1671	47	11. II.	146
Weggis	444	50	102	130	74	154	189	237	135	132	50	113	61	1427	67	15. VII.	130
Rigi-Staffel	1596	109	152	237	81	118	258	223	206	139	53	186	121	1883	60*	23. VI.	151
Küßnacht (Schwyz)	ca 440	46	89	96	76	127	156	211	119	111	49	90	63	1233	62	15. VII.	137
Engelberg	1018	163	163	168	114	172	177	154	192	108	82	184	64	1741	68	11. II.	162
Stans	ca 456	70	97	137	89	132	170	144	191	139	61	110	59	1399	50	15. VII.	145
Bürgenstock	ca 855	65	88	104	86	152	174	235	167	160	64	96	49	1440	79	15. VII.	143
Lungern	ca 745	118	118	155	86	145	156	144	177	83	70	164	71	1487	53	22. X.	147
Sarnen	479	77	102	114	74	132	168	143	162	89	60	84	45	1250	48	15. VII.	143
Pilatus-Kulm	2068	96	106	167	86	167	171	200	198	103	37	143	80	1554	53	15. VII.	172
Luzern (Wesemlin)	498	45	86	93	75	105	176	215	139	118	59	95	56	1262	60	15. VII.	149
Luzern (Reg.-Geb.)	ca 440	48	89	92	75	110	167	195	235	94	54	96	60	1215	62	15. VII.	144
Flühli	ca 893	170	107	201	116	157	208	184	172	116	65	195	84	1775	62	15. VII.	158
Entlebuch	ca 722	99	104	138	82	127	158	227	180	123	73	128	71	1510	66	15. VII.	148
Ruswil	623	57	86	—	—	100	—	202	—	—	62	95	56	—	—	—	
Werthenstein	594	93	90	97	80	131	158	228	232	106	74	91	57	1407	50	22. X.	145
Eigenthal (Buchsteg)	ca 1050	101	131	179	110	184	174	233	189	121	77	149	103	1751	58	15. VII.	159
Morgarten	ca 729	125	130	153	103	153	157	188	138	159	55	193	98	1652	46	27. III.	147
Unter-Aegeri	ca 735	96	120	107	90	207	189	261	130	145	57	199	126	1793	56	15. VII.	150
Lorzetobel	ca 550	60	110	133	90	159	169	272	148	179	50	119	73	1562	68	15. VII.	152
Walchwil	450	58	85	108	73	139	446	201	131	136	53	108	73	1311	59	15. VII.	132
Zug	ca 429	48	83	100	70	134	165	202	127	142	41	90	62	1264	53	15. VII.	140
Ebertswil (b. Hausen a. Albis)	ca 625	61	97	117	84	119	168	226	136	129	41	114	62	1354	60	15. VII.	143
Mettmenstetten	ca 483	47	78	71	60	87	162	146	118	100	35	81	53	1038	40	15. VII.	137
VIII. Aare																	
Grimsel	1962	300	434	271	215	215	209	85	214	89	103	343	95	2573	97	11. II.	190
Guttannen	ca 1055	185	230	177	122	213	180	145	222	88	95	405	78	2140	104	10. XI.	147
Gadmen	1207	168	177	133	118	180	214	160	235	126	71	246	93	1921	69	27. V.	160
Meiringen	605	140	141	155	77	141	177	123	185	89	65	177	59	1529	55	11. II.	149
Brienz	ca 575	108	99	125	86	131	179	140	165	76	64	134	61	1368	47	22. X.	146
Grindelwald	ca 1005	113	146	86	38	141	176	137	227	97	48	203	50	1462	66	21. VIII.	140
Eigergletscher	2323	189	275	232	120	166	190*	127	186	116	74	299	125	2099	57	11. II.	152
Lauterbrunnen	ca 810	141	123	116	55	96	170	133	168	73	64	136	46	1321	53	11. II.	132
Interlaken	568	136	106	114	83	114	148	174	180	82	45	178	56	1416	59	15. VII.	146
Beatenberg	1148	109	101	168	74	52	174	204	152	119	54	191	67	1465	47	15. VII.	156
Kandersteg	ca 1170	94	97	111	68	107	155	122	165	61	37	135	41	1193	41	10. XI.	146
Adelboden	ca 1345	79	96	122	68	100	127	134	168	60	42	117	51	1164	35	11. II.	146
Frutigen	ca 820	118	114	129	89	96	159	193	139	61	41	139	57	1335	56	15. VII.	148
Kienthal	ca 970	111	100	115	86	153	164	189	150	68	49	104	72	1361	47	11. VII.	151
Zweisimmen	ca 960	129	129	158	79	102	140	134	132	47	46	143	87	1326	48	15. VII.	149
Boltigen	ca 830	134	129	142	112	136	149	141	150	35	50	175	58	1411	49	20. VIII.	143
Alp Kiley	1440	150	148	191	75	143	187	169	161	77	40	151	85	1577	46	11. II.	154
Grimmialp	1214	110	122	142	69	121	139	157	138	44	46	152	56	1296	49	14. VII.	145
Wimmis	ca 640	100	141	122	91	116	128	184	147	92	57	137	60	1384	54	15. VII.	141
Heiligenschwendi	1125	45	80	123	90	154	159	179	150	95	52	124	61	1312	49	15. VII.	135

Stationen:	Höhe üb. Meer	Jan.	Febr.	März	April	Mai	Juni	Juli	Aug.	Sept.	Okt.	Nov.	Dez.	Jahr	Maxima		Zahl d. Tage
Thun	565	24	79	88	60	121	138	126	120	59	62	96	37	1010	51	15. VII.	123
Schwarzenegg	ca 910	54	81	123	65	132	184	175	134	89	45	131	49	1262	60	17. VI.	134
Großhöchstetten	ca 750	51	113	101	78	127	128	196	212	86	60	132	56	1340	71	15. VII.	135
Belp	ca 525	73	112	119	107	69	116	146	161	62	64	127	60	1216	54	15. VII.	148
Bern	572	66	109	105	117	75	96	151	162	57	66	113	61	1178	53	15. VII.	138
Lauenen	ca 1260	117	117	141	95	106	145	129	134	62	39	145	73	1303	40	14. VII.	138
Gsteig bei Saanen	ca 1180	121	138	159	94	82	158	127	165	48	39	132	76	1339	37	14. VII.	146
Saanen (Solsana)	1160	119	107	145	91	97	163	145	130	54	38	177	72	1338	47	8. VI.	144
Rougemont	1010	142	102	176	102	87	178	129	123	78	44	188	76	1425	40	8. VI.	147
Château-d'Oex	ca 1021	100	97	161	84	85	141	186	141	74	51	163	68	1351	44	14. VII.	153
Villa d'Oex	994	107	89	151	88	76	140*	181	150	69	53	165	68	1337	44	14. VII.	153
l'Etivaz	1140	116	105	176	103	124	153	170	184	84	52	189	98	1554	48	14. VII.	152
Jaun	ca 1030	143	120	182	108	132	203	171	194	69	51	233	85	1691	50	8. VI.	158
La Valsainte	ca 1032	114	107	154	121	161	215	211	181	117	51	248	92	1772	51	10. V.	160
Marsens	727	96	115	142	118	96	137	155	174	79	55	172	68	1407	49	20. VIII.	143
La Roche	ca 770	57	100	102	85	138	134	185	199	131	61	155	66	1413	57	15. VII.	148
Romont	764	62	94	114	83	104	105	113	114	66	51	111	59	1076	40	31. V.	135
Freiburg	670	48	83	102	73	61	117	123	139	71	55	108	46	1026	39	15. VII.	137
Gauglera	ca 925	58	85	103	81	93	118	168	174	107	56	111	59	1213	49	15. VII.	146
Schwarzenburg	ca 800	65	101	124	106	68	130	133	159	76	63	135	64	1224	41	22. X.	145
Wahlendorf	ca 760	96	140	120	100	87	127	124	204	97	85	148	59	1387	47	22. X.	142
Aarberg	ca 465	105	121	100	60	59	106	109	180	77	69	136	55	1177	38	20. VIII.	130
Rossenges s. Moudon	ca 700	96	134	160	136	129	106	131	129	88	80	164	73	1426	40	31. V.	136
Moudon	515	91	122	130	111	95	101	114	95	71	71	130	52	1183	30	22. X.	142
Payerne	ca 445	67	90	96	60	79	86	103	96	65	68	101	47	958	32	22. X.	133
Avenches	480	62	85	80	63	64	101	101	111	60	63	107	42	939	34	22. X.	126
Witzwil	ca 448	93	113	88	63	75	155	74	136	67	55	128	35	1082	32	20. VIII.	128
La Cure	ca 1165	120*	150*	168	90*	131	205	127	150	135	69	284	90*	1719	?	—	155
Le Sentier	ca 1024	111	148	155	79	115	153	136	121	98	57	219	78	1470	43	26. V.	156
Le Pont	1008	—	—	—	—	—	—	—	110	87	61	202	74	—	—	—	—
Vallorbe-Reposoir	930	174	174	176	105	137	155	138	103	90	70	229	103	1654	46	13. VII.	165
Vallorbe-Village	ca 790	119	149	150	90	110	126	131	111	55	69	202	74	1386	49	13. VII.	147
L'Abergement	640	110	135	180	74	89	157	140	103	65	60	194	53	1360	45	13. III.	132
Valleyres-s.-Rances	505	90	116	105	47	80	134	131	111	61	55	134	38	1102	43	13. VII.	138
Bochuz	ca 440	94	123	105	52	100	147	174	135	81	60	143	33	1247	36	22. X.	139
Echallens	ca 625	86	120	121	91	109	123	104	141	73	65	137	53	1223	46	20. VIII.	134
Corcelles	ca 560	94	124	98	60	110	129	132	143	69	54	131	34	1178	32	22. X.	134
Yverdon	440	82	103	82	41	82	137	142	124	74	50	127	32	1076	37	23. IX.	133
Baulmes	ca 634	150	167	169	78	93	160	160	123	76	65	195	73	1509	38	13. VII.	150
La Frêtaz p. Bullet	ca 1200	119	117	—	—	—	—	—	—	119	—	—	—	—	—	—	
Chasseron	1590	109	104	105	91	173	230	214	196	138	53	233	83	1729	44	23. IX.	169
L'Auberson	ca 1110	131	146	144	82	136	202	167	141	107	70	219	78	1623	37	23. IX.	170
St-Sulpice	ca 760	158	159	154	87	121	172	140	128	98	73	247	98	1635	44	18. I.	166
Couvet	ca 750	121	125	136	57	96	149	140	169	96	62	199	66	1416	41	3. VIII.	156
Champ du Moulin	620	159	162	157	73	89	138	167	123	83	72	188	81	1492	42	13. VII.	145
Grandchamp-Areuse	ca 450	107	135	122	55	80	129	103	113	65	50	136	42	1137	40	15. VII	131
Chambrelien	ca 743	113	154	163	60	71	128	137	109	73	46	163	52	1269	48	13. VII.	151
La Brévine	ca 1077	102	111	128	71	137	154	160	150	121	70	251	84	1539	51	13. VII.	149
Les Ponts	1020	144	144	169	75	105	149	137	124	97	69	202	70	1485	40	13. VII.	152
Cernier	800	127	109	129	54	81	142	99	97	73	46	166	51	1174	34*	11. XI.	144
Serrières	ca 470	74	107	73	53	72	111	114	94	61	43	116	28	946	63	13. VII	129
Neuchâtel	487	89	114	78	52	71	118	88	117	59	44	126	24	980	41	13. VII	138
Chaumont	1141	112	123	116	65	87	144	128	140	85	50	139	50	1239	36	13. VII.	155
Biel	ca 440	125	116	87	52	62	154	82	130	71	47	115	48	1089	31	20. VIII.	130
Evilard	ca 700	152	159	130	69	85	181	117	141	74	41	152	82	1383	42	20. VIII.	139
Mont-Soleil	ca 1200	158	139	166	91	125	187	114	130	97	66	222	79	1574	40	8. VI.	163
Courtelary	ca 699	139	116	117	61	92	150	131	105	74	52	163	58	1258	34	17. II.	142
Weißenstein	1285	104	137	149	112	145	230	197	201	134	51	135	51	1646	59	8. VI.	149
Solothurn	470	118	130	98	69	86	165	146	142	83	59	176	62	1334	51	15. VII.	141
Marbach	ca 875	141	113	192	127	141	221	199	184	121	66	181	87	1773	69	15. VII.	148
Escholzmatt	ca 920	131	106	131	78	142	209	187	202	105	63	148	74	1576	73	8. VI.	157
Langnau i. E.	685	75	110	111	94	112	119	141	178	98	61	135	68	1302	48	15. VII	145
Wasen i. E.	ca 755	82	113	121	90	98	122	170	180	117	70	146	61	1370	51	15. VII	145
Affoltern i. E.	795	63	97	108	76	79	118	141	160	79	77	122	58	1178	51	22. X.	145

Stationen:	Höhe üb. Meer	Jan.	Febr.	März	April	Mai	Juni	Juli	Aug.	Sept.	Okt.	Nov.	Dez.	Jahr	Maxima		Zahl d. Tage
Burgdorf	ca 535	59	105	78	80	78	83	131	160	83	68	108	51	1084	45	15. VII.	133
Gerlafingen	454	102	134	95	78	70	110	127	168	84	74	170	63	1281	44	22. X.	147
Herzogenbuchsee	ca 475	74	109	82	64	75	108	124	135	83	66	120	48	1088	49	15. VII.	134
St. Urban	ca 452	117	119	123	59	71	118	110	148	90	66	144	66	1231	42	22. X.	138
Luthern	ca 778	106	101	141	113	113	127	206	214	88	87	147	80	1523	55	22. X.	152
Wauwilermoos	ca 502	73	115*	90	94	93	105	159	170*	104	75*	140*	51	1269	?	—	—
Zofingen	ca 436	96	114	118	69	91	113	135	153	86	69	132	56	1232	47	22. X.	148
Herbetswil	ca 520	101	124	116	66	117	130	125	126	61	52	170	51	1239	40	15. VII.	131
Langenbruck	740	113	99	106	64	107	150	168	164	83	75	182	48	1359	63	11. VII.	140
Balsthal	ca 503	80*	85*	100*	57	105	139	88	118	66	56	117	40	1051	37	22. X.	140
Allerheiligen	897	89	90	125	76	117	147	181	161	87	79	157	60	1369	70	11. VII.	147
Olten	ca 400	86	88	110	69	72	116	104	129	115	68	136	49	1142	45	22. X.	134
Barmelweid	ca 770	81	69	93	65	78	138	105	132	82	64	126	45	1078	43	22. X.	141
Aarau	408	93	86	90	62	68	117	93	152	85	70	142	45	1103	46	22. X.	139
Kölliken	ca 431	106	107	105	73	70	115	95	147	106	73	156	53	1206	48	22. X.	142
Beromünster	ca 642	99	91	117	94	67	126	161	183	86	59	135	59	1277	46	22. X.	135
Unter-Kulm	ca 470	93	125	111	73	60	117	100	184	76	71	131	61	1202	48	22. X.	139
Aesch (Hitzkirch)	ca 484	83	104	99	80	46	127	153	184	77	58	110	60	1181	39	15. VII.	144
Seengen	ca 471	81	100	97	65	50	124	100	166	73	57	106	49	1068	52	4. VIII	134
Muri	483	83	96	110	75	86	115	177	183	78	74	99	53	1229	50*	22. X.	138
Bötzberg	ca 500	116	86	110	63	78	141	99	135	69	90	97	55	1139	48*	22. X.	135
Schinznach-Dorf	ca 365	116	78	106	71	76	107	91	152	67	73	111	53	1101	48	22. X.	137
Brugg	ca 350	93	83	103	67	63	146	86	142	63	71	98	50	1065	49	22. X.	137
Beznau	ca 330	102	77	97	52	63	115	109	129	64	64	99	55	1026	44	22. X.	135
Oberweningen	ca 470	70	78	79	63	59	134	89	142	107	55	88	48	1012	40	7. IX.	137
B. Rhonegebiet I. Rhone und Genfersee																	
Reckingen	1332	170*	167	95	80	132	125	43	150	54	114	252	21	1403	69	22. X.	143
Fiesch	ca 1080	147	170	56	61	112	91	54	138	36	86	237	23	1211	80	11. II	113
Binn	ca 1450	163	221	68	77	155	135	46	160	56	93	364	20	1558	102	11. II	123
Saas-Fee	ca 1800	78	147	66	51	113	118	47	139	62	73	260	24	1178	97	10. XI.	117
Zermatt	1610	100	54	45	39	71	97	45	118	69	45	198	12	893	70	10. XI.	101
Grächen	ca 1629	46	58	37	32	57	88	44	105	52	33	146	20	718	64	10. XI.	87
Visp	648	86	82	47	29	54	71	36	99	39	62	194	27	826	78	10. XI.	84
Kippel	ca 1376	146	104	125	56	49	95	50	118	39	35	179	44	1040	52	10. XI.	113
Leukerbad	ca 1380	117	93	162	58	35	94	36	122	40	53	160	72	1042	35	19. II	110
Varen bei Leuk	ca 750	65	60	58	35	33	75	41	85	25	35	83	36	631	34	11. XI.	86
Siders	573	79	74	55	33	25	60	39	100	17	32	81	34	629	26	11. XI.	84
Montana	1453	119	95	102	45	49	99	60	114	30	31	113	50	907	41	18. I.	106
Grimentz	ca 1570	98	100	54	50	51	115	42	150	73	39	90*	53	915	?	—	108
Hérémence	ca 1240	68	93	65	52	43	82	78	102	24	24	85	43	759	45*	10. XI.	68
Sion	549	73	59	61	38	28	52	53	91	17	16	78	41	607	29	10. XI.	87
Bagnes (Châble)	ca 836	94	91	83	49	31	75	75	113	20	22	98	70	821	29	10. XI.	107
St. Bernhard	2476	131	223	140	112	239	143	167	203	94	71	443	126	2092	67	26. V.	161
Bourg St-Pierre	ca 1633	76	118	89	66	60	84	91	149	24	38	100*	80*	975	?	-	110
Orsières	ca 890	89	114	70	49	37	86	56	130	20	30	85	61	827	30	18. I.	92?
Martigny-Ville	478	62	77	83	55	50	85	81	121	27	29	70	63	803	25	27. V.	108
Marécottes	1090	133	134	111	72	62	103	100	146	53	36	119	112	1181	46	18. I.	126
Gryon	ca 1130	125	100	174	101	103	167	190	176	72	47	199	110	1564	47	15. VII.	150
Les Plans	ca 1100	123	113	141	119	105	193	143	157	63	58	191	105	1511	?	—	146
Bex	430	71	69	99	70	69	113	136	148	53	34	113	72	1047	38	20. VIII.	128
Val d'Illiez	ca 890	90	109	147	102	83	99	212	189	81	43	106	84	1345	51	15. VII.	144
Diablerets-Village	1168	143	136	172	108	99	166	157	168	68	35	174	104	1530	38	15. VII.	142
Leysin	1350	144	111	155	91	85	119	179	140	93	41	196	78	1432	45	18. I.	147
Chessel	ca 380	77	87	149	85	72	101	163	173	99	48	141	87	1282	45	15. VII.	132
Rochers de Naye	1982	—	—	—	—	192	225	270	281	159	92	472	233	-	—	—	—
Montreux-Clarens	412	66	89	144	82	89	132	185	158	103	42	157	94	1341	49	14. VII.	140
Vevey	380	66	90	117	59	74	121	140	162	84	36	135	70	1154	42	20. VIII	134
Riex	445	100	125	144	106	94	174	127	135	91	49	173	78	1396	53	8. VI.	136
Tour de Gourze	925	82	96	139	80	94	180	121	140	92	57	166	73	1320	46	20. VIII.	141
Pully	461	115	129	159	100	129	196	175	150	113	83	204	68	1621	72	8. VI.	137
Lausanne	553	77	100	115	68	126	147	106	111	77	55	144	53	1179	59	31. V.	138
Cossonay	ca 575	71	125	91	73	102	106	83	106	58	60	120	37	1032	32	22. X.	131
Morges	380	100	129	121	88	101	89	100	100	76	76	136	56	1172	34	23. IX.	129
Marcelin s. Morges	ca 425	84	127	124	89	91	94	92	107	66	75	132	52	1133	33	23. IX.	130

Stationen:	Höhe üb. Meer	Jan.	Febr.	März	April	Mai	Juni	Juli	Aug.	Sept.	Okt.	Nov.	Dez.	Jahr	Maxima		Zahl d. Tage
Longirod	ca 900	85	—	—	69	91	—	—	—	99	71	190	73	—	—	—	—
Nyon	ca 405	106	130	94	64	112	85	66	87	69	53	125	37	1028	39	26. V.	132
Céligny	ca 435	110	124	113	64	121	96	70	80	69	60	136	43	1086	41	26. V.	133
Genève	405	47	104	99	48	125	62	65	100	57	65	128	36	936	40	23. IX.	115
Jussy	ca 475	48	114	99	57	140	81	73	89	60*	73	107	52	993	47	31. V.	123
Compesières	ca 476	54	109	112	54	123	61	82	102	57	69	131	43	997	36	23. IX.	123
Genève-Cointrin	423	67	109	107	44	98	70	59	92	55	61	138	39	939	35	23. IX.	127
II. Doubs																	
Les Brenets	878	153	138	174	76	130	182	167	156	157	71	231	66	1701	47	13. VII.	157
Le Locle	ca 920	129	146	184	70	138	165	169	129	112	63	228	81	1614	53	13. VII.	169
La Chaux-de-Fonds	990	134	122	150	64	121	175	140	130	91	59	209	61	1456	35	13. VII.	167
Saignelégier	ca 985	147	117	142	71	159	177	160	165	94	74	212	80	1598	39	20. VIII.	176
Porrentruy	444	87	76	120	80	114	148	156	108	57	62	163	64	1235	43	11. VII.	153
Mormont	ca 550	86	74	125	90	121	142	122	139	61	70	168	57	1255	48	3. VIII.	148
C. Pogebiet I. Tessin																	
Gotthard	2096	225	400*	184	217	294	224	98	343	65	150	508	18	2726	97	27. V.	170
Airolo	ca 1170	189	281	122	149	175	176	51	309	40	177	667	15	2351	130	19. XI.	135
Lago di Tremorgio	1851	201	370	168	232	273	200	71	320	76	150	484	19	2564	124	7. VIII	149
Olivone	ca 893	185	270	141	150	153	177	95	221	71	127	456	22	2068	?	—	110
Comprovasco	544	158	294	132	140	129	177	55	206	73	120	445	21	1950	73	8. XI.	116
Biasca	ca 300	181	350	153	176	191	169	101	436	68	176	584	16	2601	204	8. VIII	127
Mesocco (Misox)	ca 785	184	352	131	147	138	164	113	254	72	112	395	36	2098	108	8. VIII.	122
Braggio	1332	132	249	122	160	154	199	101	365	100	142	411	27	2162	181	8. VIII	117
Grono	335	190	235	124	191	160*	200*	127	352	146	170*	543	23	2461	139	8. VIII.	128
Bellinzona	237	156	286	126	172	190	211	105	400	111	179	448	30	2414	191	8. VIII	133
Vira Gamborogno	ca 210	170	435	143	188	221	242	74	290	102	231	764	23	2883	197	10. XI.	123
Fusio	ca 1285	198	318	145	215	275	185	114	282	56	185	536	11	2520	105	10. XI.	131
Cevio	ca 430	193	419	138	214	347	261	74	352	50	266	581	18	2913	133	11. II.	123
Bosco-Gurin	1486	181	450*	146	190	331	312	87	394	57	276	567	11	3002	?	—	144
Mosogno	ca 790	161	459	148	189	398	382	173	342	65	247	652	21	3237	158	11. II.	120
Camedo	ca 610	165	521	162	218	420	400*	171	483	80*	211	908	25*	3764	?	—	—
Locarno-Muralto	239	178	384	149	210	201	243	116	398	98	233	616	28	2854	236	8. VIII.	136
Locarno-Monti	379	171	342	141	202	184	232	105	383	101	230	577	24	2692	222	8. VIII.	128
Ascona	ca 203	177	372	150	212	183	250	122	413	88	240	598	22	2827	203	8. VIII.	125
Brissago	ca 257	218	424	178	225	243	263	102	416	78	292	832	26	3297	210	8. VIII.	122
Mezzana	ca 335	185	282	169	91	174	242	160	149	111	361	622	45	2591	202	22. X.	129
Monte Brè	910	129	218	216	231	274	266	106	252	134	231	477	20	2554	122	22. X.	138
Lugano	276	145	293	155	140	168	252	83	266	128	206	518	34	2388	103	22. X.	132
Piandanazzo (Val Colla)	1620	216	340*	206	206	208	261	131	358	159	202	460	49	2796	154	8. VIII.	153
Crana-Torricella	1010	193	338	211	210	225	357	119	441	188	297	677	35	3291	207	8. VIII.	134
Fescoggia	ca 845	185	366	201	211	227	312	145	474	227	329	737	41	3455	234	8. VIII	148
Ponte Tresa	ca 280	157	289	153	128	193	246	124	194	153	275	621	27	2560	145	22. X.	119
II. Adda																	
Bernina-Hospiz	ca 2309	241	329	160	104	122	136	100	240	55	55	332	39	1913	86	8. VIII	116
Cavaglia	ca 1701	172	256	176	111	93	76	75	185	62	30	390	38	1670	63	19. XI.	122
Brusio	ca 755	151	159	89	56	76	132	84	162	56	25	224	30	1244	?	—	109
Vicosoprano	1087	120	288	173	130	209	179	100	313	76	81	404	38	2129	117	8. VIII	132
Soglio	ca 1090	129	212	101	129	200	182	106	298	124	90	330	35	1936	79	9. VIII	128
D. Donaugebiet Inn																	
Sils-Maria	1814	182	181	50	65	86	124	103	149	50	50	277	26	1343	59	8. XI.	105
St. Moritz	1853	217	177	65	63	67	94	80	144	33	22	174	18	1154	47	12. I.	111
Bevers	1712	186	142	69	47	66	99	92	142	30	17	169	24	1083	40*	8. VIII.	114
Buffalora	ca 1977	185	186	76	52	57	135	119	174	56	32	194	10	1276	54	8. VIII.	130
Süs	ca 1440	164	121	39	31	33	67	58	114	47	15	132	16	837	70	20. I.	99
Scarl	ca 1810	—	96	—	—	28	84	79	107	56	20	—	—	—	—	—	—
Schuls	1253	153	103	42	43	25	61	86	93	40	14	89	22	771	64	20. I.	96
Martinsbruck	ca 1040	139	64	48	38	20	55	84	70	47	15	66	24	670	53	20. I.	98
E. Etschgebiet Rombach																	
Sta. Maria	1411	81	116	51	34	54	69	85	117	51	14	109	15	796	52	8. VIII.	92

Monats- und Jahressummen im Jahre 1951

ausgedrückt in Prozenten der Normalmengen*)

Stationen	Höhe üb. Meer	Jan.	Febr.	März	April	Mai	Juni	Juli	Aug.	Sept.	Okt.	Nov.	Dez.	Jahr
Platta (Medels)	1378	360	548	122	155	147	119	49	140	54	60	444	21	153
Bernhardin	2073	—	—	—	—	—	—	46	156	43	62	—	—	—
Splügen	ca 1500	313	496	130	123	106	92	51	186	43	25	314	38	129
Davos-Platz	1561	402	151	148	70	53	130	85	124	54	9	227	45	117
Chur	633	304	200	115	93	62	105	56	147	46	14	175	32	101
Sargans	507	242	153	145	82	41	109	48	86	57	25	160	31	89
Altstätten	468	234	171	191	51	64	137	86	85	91	24	179	71	106
St. Gallen	679	119	158	125	55	91	89	96	86	106	30	120	83	93
Kreuzlingen	446	145	283	151	73	54	115	91	139	112	65	146	76	112
Lohn (Schaffh.)	643	112	189	129	65	96	109	74	116	85	59	109	82	98
Basel-Bernoullianum	277	95	154	121	85	102	117	223	140	81	88	149	81	122
Glarus	480	252	174	154	64	96	98	55	96	61	27	164	53	98
Zürich	493	131	175	151	83	75	114	111	102	90	52	129	88	104
Einsiedeln	914	180	189	178	97	97	66	100	73	88	43	181	86	104
Altdorf	456	209	300	155	90	117	95	72	111	55	49	198	56	112
Engelberg	1018	175	190	163	92	125	103	84	108	81	65	198	63	114
Luzern-Wesemlin	498	94	179	139	84	91	120	141	98	111	67	158	97	113
Guttannen	ca 1055	165	215	136	80	149	118	87	139	65	64	346	60	129
Beatenberg	1148	124	123	154	60	39	98	116	94	100	47	208	66	99
Bern	572	138	214	159	154	80	85	135	150	64	75	166	95	121
Neuchâtel	487	146	190	113	72	87	118	93	118	69	47	158	30	100
Chaumont	1141	175	202	159	82	95	126	117	125	89	48	165	60	116
Affoltern i. E.	795	100	156	129	80	69	84	113	125	77	79	163	75	101
Langenbruck	740	145	136	126	68	96	115	129	143	81	74	230	52	114
Olten	ca 400	128	135	149	85	71	91	82	108	117	69	172	58	102
Aarau	408	155	148	130	81	72	100	79	139	92	81	200	61	108
Muri (Aargau)	483	141	166	151	86	81	88	138	151	82	83	146	71	113
Reckingen	1332	236	261	104	86	150	149	49	176	58	97	293	24	134
Sion	549	170	140	133	97	70	116	98	140	35	28	153	68	103
St. Bernhard	2476	75	143	67	52	134	88	128	147	63	33	222	59	98
Martigny	478	109	151	146	104	98	147	114	151	45	39	115	85	107
Montreux-Clarens	412	122	159	200	103	95	115	152	124	107	43	218	129	127
Lausanne	553	133	169	153	89	137	148	106	101	78	51	169	67	113
Genève	405	100	208	157	70	164	78	83	104	67	66	162	53	105
St. Gotthard	2096	144	286	93	105	141	126	52	176	31	60	244	10	117
Airolo	ca 1170	266	380	103	110	111	133	34	191	23	80	414	14	142
Braggio	1332	240	415	122	125	92	120	55	193	62	82	343	35	137
Locarno-Muralto	239	283	591	124	130	98	130	59	189	48	104	422	33	153
Lugano	276	242	480	135	86	88	136	48	142	73	104	381	43	138
Sils-Maria	1814	404	421	72	86	96	129	90	127	49	47	342	43	134
Bevers	1712	503	406	133	81	92	115	87	131	33	19	249	44	127
Schuls	1253	383	312	120	102	47	91	93	101	56	23	182	44	113

*) Normalperiode 1864—1940. Die mittleren Monats- und Jahressummen sind im Jahrgang 1941 im Anschluß an die vorstehende Tabelle veröffentlicht.

Ergebnisse

der im Alpengebiet aufgestellten Niederschlags-Totalisatoren

für das hydrologische Jahr 1950/1951

Station	m ü.M.	Langjähriges Mittel		Periode 1950/1951				
		Wert	Anzahl Jahre	Zeitdauer 1950	Zeitdauer 1951	Gemessener Wert	Red. Wert 1. 10. 50 - 30. 9. 51	In % des Mittels
		cm				cm	cm	
Suchetgebiet (Jura)								
Suchet (Chalet)	1465	169	22	23. 9. — 11. 9.		152	152	90
Diableretsgebiet								
Becca d'Audon	2870	162	28	7.10. — 12. 9.		197	202	125
Mont Blancgebiet								
Col d'Orny	3169	291	28	18. 9. — 16. 9.		302	304	104
Monte Rosagebiet								
Mondellipaß	2800	229	29	7.10. — 4.10.		312	312	136
Thäliboden	2485	149	29	7.10. — 4.10.		171	171	115
Galmen	2690	120	29	7.10. — 4.10.		144	144	120
Seewinenberg	3025	292	29	7.10. — 3.10.		—	370*	127
Ofentalpaß	2800	204	29	7.10. — 3.10.		253	253	124
Stelli-Weißtal	2620	185	29	7.10. — 3.10.		237	237	128
Schwarzenberggletscher (Fuß F'luchthorn)	2968	150	29	6.10. — 2.10.		166	166	111
Schwarzenbergkopf	2565	187	29	6.10. — 2.10.		246	246	132
Mattmarksee	2117	80	29	8.10. — 1.10.		91	91	114
Allalingletscher	3369	191	29	8. 9. — 29. 9.		219	216	113
Kessjen	2840	125	29	5.10. — 5.10.		155	155	124
Plattje	2228	149	29	5.10. — 5.10.		211	211	142
Furgghorn	3390	321	24	5. 9. — 13. 9.		397	390	121
Gornergrat	3100	122	27	3.10. — 12. 9.		171	181	148
Simplongebiet								
Magenhorn	2470	138	13	10. 9. — 7.10.		221	218	158
Jungfraugebiet								
Mönchsgrat	3810	393	30	28. 9. — 11. 9.		360	373	95
Trugberg	3530	192	25	15. 9. — 12. 9.		158	159	83
Kranzberg	3180	401	22	29. 9. — 13. 9.		406	420	105
Konkordia	2890	139	30	11. 9. — 9.10.		148	145	104
Aletschwald	2040	118	15	12. 9. — 14. 9.		158	159	135
Grimsel- und Gelmergebiet								
Kl. Siedelhorn	2430	227	32	10.10. — 17. 9.		226	233	103
Abschwung	2900	215	32	9.10. — 19. 9.		243	250	116
Pavillon Dollfus	2415	157	32	9.10. — 19. 9.		194	200	127
Oberaarjoch	3310	281	32	9.10. — 18. 9.		369	380	135
Oberaaralp	2257	140	32	9.10. — 17. 9.		163	168	120
Gelmer Bergli	2144	186	32	10.10. — 20. 9.		184	190	102
Titlisgebiet								
Trübsee-Jochpaß	1800	214	23	12. 9. — 22. 9.		247	247	115
Sustenpaß	2260	114	6	29. 9. — 24. 9.		126	129	113
Hinterfeldalp (Meiental)	1675	199	5	29. 9. —		—	—[1]	—
Dammastockgebiet								
Göscheneralp	1718	139	7	3.10. — 29. 9.		—	215*	155
Bergsee	2420	185	6	3.10. — 7.10.		229	230	124
Alb. Heimhütte SAC.	2530	187	9	25. 9. — 29. 9.		234	232	124
Oberalpstockgebiet								
Calmot (Oberalp)	2190	135	9	27. 9. — 24. 9.		191	193	143
Brunniboden (Maderanertal)	2040	192	6	4.10. — 10.10.		276	277	144
Gufernalp (Maderanertal)	1295	208	7	5.10. — 10.10.		230	231	111

Station	m ü. M.	Langjähriges Mittel		Periode 1950/1951				
		Wert	Anzahl Jahre	Zeitdauer 1950	Zeitdauer 1951	Gemessener Wert	Red. Wert 1. 10. 50 - 30. 9. 51	In % des Mittels
		cm				cm	cm	
Gotthardgebiet								
Andermatt	1440	169	8	26. 9. — 24. 9.		196	199	118
Rotondohütte SAC.	2550	187	7	29. 9. —		—	—[1]	—
Lago Ritom	1960	147	29	27.10. — 1.10.		172	173	118
Cristallinagebiet								
Lago di Naret	2313	264	5	30. 9. — 30. 9.		365	365	139
Lago Sfundau	2523	222	5	30. 9. — 30. 9.		346	346	156
Lago Bianco	2063	231	4	30. 9. —		—	—[1]	—
Oberes Maggiagebiet								
Großalp-Bosco	1900	235	4	1.10. — 30. 9.		332	332	141
Alpe Quadrella	1810	218	4	30. 9. — 1.10.		310	309	142
Campo-Maggia	1380	201	4	30. 9. — 1.10.		276	275	137
Alpe Sfille	1623	201	3	30. 9. —		—	—[1]	—
Greinagebiet								
Greinaboden (West)	2327	199	14	26. 9. — 5.10.		254	251	126
Greinaboden (Ost)	2327	127	11	27. 9. — 6.10.		154	152	120
Alp Sutglatschèr	1420	166	14	27. 9. — 6.10.		219	218	131
Medelserhütte SAC.	2480	197	14	6.10. — 9.10.		240	240	122
Alp Cugn	2154	137	14	29. 9. — 3.10.		167	166	121
Alp Nadéls	1880	119	14	28. 9. — 4.10.		154	153	129
Alp Naustgel	1945	134	14	25. 9. — 2.10.		160	158	118
Rhätisches Alpengebiet								
Gemskanzel-Rheinwaldfirn	2916	145	27	11. 9. — 16. 9.		193	186	128
Älpetlistock-Splügenpaß	2393	192	28	12. 9. — 21. 9.		248	234	122
Muotaulta-Annarosa	2800	144	28	13. 9. — 24. 9.		184	174	121
Crapet-Prassignola	2650	152	27	7. 9. — 8. 9.		184	178	117
Piz Curvèr	2810	109	28	14. 9. — 26. 9.		159	151	139
Piz Scalotta	2965	180	28	20. 9. — 9.10.		175	171	95
Julier-Hospiz	2315	109	28	19. 9. — 22. 9.		158	159	146
Albula-Hospiz	2315	90	18	30. 9. — 1.10.		108	108	120
Cluoza (Blockhaus)	1910	91	32	28. 9. — 30. 9.		82	81	89
Silvrettagebiet								
Silvrettahütte	2375	145	32	4.10. — 21. 9.		139	144	99
Eckhorn	3145	142	31	4.10. — 21. 9.		115	120	85
Taminagebiet								
Vättneralpli	1885	130	21	29. 9. — 25. 9.		144	147	113
First (Wasserböden)	2200	100	21	5.10. — 28. 9.		135△	137	137
St. Martin	1396	148	21	28. 9. — 26. 9.		153	156	105
Panäraalp	2028	157	21	28. 9. — 8.10.		197	196	125
Tödigebiet								
Claridenfirn	2710	346	32	13. 9. — 12. 9.		371	369	107
Säntisgebiet								
Säntis	2504	384	23	30. 9. — 30. 9.		406	406	106
Gebiet des Hohen Randen (Jura)								
Auf dem Hagen	915	86	24	5.10. — 26. 9.		85	86	100

* Nach Nachbarstationen interpoliert. △ August-Niederschlag interpoliert. [1] Durch Lawinen beschädigt oder zerstört.

Wie aus der vorstehenden Tabelle ersichtlich, sind alle Totalisatoren der MZA auch im Jahre 1950/51 erhalten geblieben und konnten trotz ungünstigem Wetter im September neu beschickt werden. Außer den hievon publizierten 24 Volumenergebnissen wurden uns weitere Meßresultate von 45 Totalisatoren der Untersuchungsgebiete nachgenannter 6 Institutionen zwecks Auswertung und Publikation unter bester Verdankung zur Verfügung gestellt.

Die Abteilung für Hydrologie der Versuchsanstalt für Wasserbau an der ETH gab 16 Resultate vom Mattmark- und Taminagebiet bekannt; die Rhätischen Werke für Elektrizität 13 Volumenergebnisse vom Greinagebiet und weiteren Meßstellen in Graubünden; das Studiensyndikat der Urseren Kraftwerke (durch Herrn Th. Frey, Ingenieur, Zürich) 8 Volumenwerte vom Urseren- und Gotthardgebiet; die Kraftwerke Oberhasli AG 6 Abstichwerte vom Grimsel- und Gelmergebiet; das Baudepartement des Kantons Tessin (durch Herrn Prof. Dr. F. Gygax, Bern) 3 Resultate vom Cristallina- und obern Maggiagebiet und das «Consorzio sistemazione dell'altipiano di Campo et di Cimalmotto» (durch Herrn G. Wehrli, Forstinspektor, Locarno) 2 weitere Ergebnisse vom obern Maggiatal.

Gegenüber dem Vorjahre ergeben sich folgende Änderungen im Netze:

Im nördlichen Barberinegebiet wurden leider die Beobachtungen von 8 Apparaten, die seit 1926 und 1929 vom Kraftwerk Barberine der SBB und von 1947—1950 von der Salanfe S. A., Lausanne ausgeführt wurden, eingestellt, da die Kosten für deren Neubeschickung nicht mehr übernommen werden konnten.

Ferner sind im Winter 1950/51 4 Totalisatoren (andern Institutionen gehörend) durch Lawinen beschädigt oder zerstört worden, nämlich Hinterfeldalp (Titlisgebiet), Rotondohütte (Gotthardgebiet), Lago Bianco (Cristallinagebiet) und Alpe Sfille (oberes Maggiatal). Damit reduziert sich die Zahl der publizierten Ergebnisse von 81 auf 69.

Die kleinsten Jahresmengen sammelten folgende Stationen: Val Cluoza 81 cm, Auf dem Hagen 86 cm und Mattmarksee 91 cm. Die Maxima entfallen auf die nachstehenden Apparate: Mönchsgrat 373 cm, Oberaarjoch 380 cm, Furgghorn 390 cm, Säntis 406 cm und Kranzberg sogar 420 cm.

Im Verhältnis zu den langjährigen Mittelwerten lieferte das Jungfraugebiet am wenigsten Niederschlag, nämlich etwa 104%, alle übrigen Gebiete ergaben annähernd gleiche Überschüsse, wie die folgenden Relativzahlen zeigen: Grimsel 117%, Rhätische Alpen und Tamina 120%, Greina 124% und Monte Rosa ungefähr 125%. Die niedrigsten prozentualen Werte sind zu verzeichnen vom Totalisator Trugberg 83%, Eckhorn 85%, Val Cluoza 89% und Suchet 90%, maximale Ergebnisse wiesen auf Gornergrat 148%, Göscheneralp 155%, Lago Sfundau 156% und Magenhorn 158%.

Von den berücksichtigten 69 Höhenstationen figurieren deren 8 mit unternormalen prozentischen Werten (81—100%), 7 Apparate ergaben 101—110%, von 33 Stationen resultieren Mehrbeträge zwischen 111—130%, von 15 Totalisatoren 131—150% und 3 Stationen erreichten etwa 151—158%.

Je nach Lage der Stationen beeinträchtigen manchmal Schneeverwehungen die Ergebnisse. Auch im letzten Winter wurden infolge der ungewöhnlichen Schneeverhältnisse solche Feststellungen gemacht. Zudem ist zu bemerken, daß den Mittelwerten keine homogenen Beobachtungsreihen zugrunde liegen.

R. Bohner

Die Niederschläge des Jahres 1951

Die Jahressummen der Niederschläge betragen im waadtländischen Mittelland und Genferseegebiet, im bernischen Seeland und im Kantonsgebiet von Solothurn und Basel 110 bis 130 % des langjährigen Mittels. Strichweise, namentlich im Nordosten des Landes, wurde dasselbe etwas unterschritten. Im übrigen sind im Wallis, im Jura, im Voralpengebiet und in den Niederungen der Alpennordseite meist 100 bis 110 % des Normalbetrages gemessen worden. Anderseits sind jedoch bedeutende Überschüsse auf der Alpensüdseite zu verzeichnen. Im Tessin überschreiten die Beträge fast überall 140 % des langjährigen Mittels. Die Ergebnisse der meisten Tessiner Stationen stellen die bisher höchsten Jahresergebnisse mindestens seit 1900 dar (aus früheren Jahren liegen nur von wenigen Stationen Messungen vor). Die Beträge überschreiten im Quellgebiet der Maggia vereinzelt 160 %. Im Oberwallis, im Quellgebiet des Rheins und im Oberengadin sind noch 120 bis 130, im Misox, Bergell und Puschlav 130 bis 140 % des Normalbetrages gemessen worden. Niederschlagsreiche Monate waren in der ganzen Schweiz der Januar, der Februar und der November. Im Januar sind in Graubünden, im Februar und November im Tessin ungewöhnlich große Niederschlagsmengen gefallen. Anderseits hat das Wallis im September und Oktober, das Tessin und die Jurazone im Dezember, Graubünden im Oktober und Dezember wenig Niederschlag erhalten.

Einzelne bemerkenswerte Niederschläge

Am 18. Januar sind mehr als 30 mm gefallen in den Freiburger und Waadtländer Alpen (strichweise), im Einzugsgebiet der Simme und der Kander, in einigen nördlichen Wallisertälern, im Kanton Glarus, im oberen Toggenburg, bei Davos und Klosters sowie bei Vallorbe und im Val Travers.

Am 19. war die Verteilung eine ähnliche. Mehr als 30 mm fielen diesmal im Einzugsgebiet der Lütschinen, im Haslital, im Oberwallis, im Kanton Glarus und wieder bei Davos und Klosters, außerdem in der Gegend von Frick. An beiden Tagen wurde der Betrag von 40 mm nur auf vereinzelten Stationen überschritten. Die Summe beider Tage beträgt z. B. in Jaun 61 mm, Leysin 69, Eigergletscher 81, Gadmen 55, Andermatt 83, Braunwald 90, Säntis 44, Klosters 76, Davos 95.

Am 20. tritt das Mittelland und der Jura stark zurück. Letzterer hat diesmal weniger als 10 mm aufzuweisen. Im Berner Oberland ist die Größenordnung noch dieselbe wie am 19., nämlich 15 bis 45 mm. Dagegen sind nun die Niederschläge in den nordöstlichen Alpen ganz bedeutend größer als an den Vortagen. Es fielen mehr als 50 mm im Gebiet der Kantone Uri und Glarus, im Alpsteingebiet, im Prätigau und im Unterengadin mit Maxima bei Andermatt 72, Braunwald 91, Weesen 99, Säntis 83, Klosters 93, Davos 80 mm.

Diese großen Niederschläge in kurzer Zeit bilden eine Voraussetzung für die katastrophalen Lawinenniedergänge, die am 19. und 20. im genannten Niederschlagsgebiet bedeutenden Schaden und Menschenopfer verursachten *. Am 18. befand sich die Schweiz im Randbereich einer ausgedehnten und tiefen Depression, deren Druckminimum von 967 Millibar über dem Nordmeer lag. Die Niederschläge dieses Tages und ein Teil derjenigen vom 19. sind auf einen Kaltlufteinbruch aus Westen zurückzuführen, der in Gestalt einiger undeutlicher Staffeln stattfand und in der Schweiz einen Temperaturrückgang von 6° (in der Höhe) verursachte. In der Nacht vom 19. zum 20. erfolgte dann ein Warmlufteinbruch, der von einem Temperaturanstieg von 5° begleitet war. Was nun die Niederschläge vom 20. im Alpengebiet anbetrifft, also diejenigen, die zwischen 7.30 Uhr des 20. und 7.30 Uhr des 21. niedergingen, so sind dieselben im wesentlichen auf die folgende Situation zurückzuführen: Die Wetterkarte vom 20., 7 Uhr, zeigt eine Depression von minimal 989 Millibar (reduziertem) Druck über der südlichen Ostsee, während bei La Corunna das Maximum eines Hochs von 1031 Millibar liegt. Dazwischen befindet sich ein kräftiges West- bis Nordwestwindfeld. Diese Strömung ist aber nicht einheitlich. Großbritannien und Frankreich befinden sich im Bereich des Warmsektors der genannten Depression, also in der vom Atlantik her in den Kontinent einströmenden Warmluft, während auf der unmittelbaren Rückseite des Tiefs, d. h. über Skandinavien und der Nordsee Kaltluft nach Mitteleuropa vordringt. Die Front zwischen den beiden Luftmassen verläuft um die genannte Zeit über Edinburgh, der britischen Ostküste folgend über Amsterdam nach Frankfurt, dann ostwärts umbiegend über Prag nach Danzig. Während das ungefähr parallel der Strömung verlaufende westliche Stück der Front in der Folge stationär bleibt, dringt die Kaltluft über Süddeutschland südwärts vor, ohne die Schweiz zu erreichen. Die Kaltfront berührte jedoch noch die Ostalpen am Mittag und am Morgen des 21. ist der Frontverlauf dieser: Edinburgh, Amsterdam, Straßburg, Frankfurt, München, Triest, Westküste des Balkans, Bulgarien. Die Kaltluft hat also fast den ganzen Balkan überschwemmt, ohne in die Schweiz einzudringen. Die Frontalzone ist zwar ziemlich verwaschen, doch sind die Temperaturunterschiede auf beiden Seiten sehr deutlich sichtbar, z. B. am 21. um 7 Uhr: Brüssel 7°, Bremen 1°, Straßburg 7°, Nürnberg 1°, Zürich 5°, München 0°.

In der Schweiz war, nachdem der Warmfronttemperaturanstieg am Morgen noch bis um etwa 10 Uhr gedauert hatte, überhaupt kein Temperaturfall während der ganzen Niederschlagsperiode festzustellen, weder in Zürich noch auf dem Säntis. Dagegen war die Windstärke recht erheblich. Es handelt sich also um ausgesprochene

* Vergl. die Arbeit von Dr. M. de Quervain und Dr. Th. Zingg: Die außergewöhnlichen Schneefälle vom Januar und Februar 1951 in den Schweizer Alpen und ihre Folgen. Wasser- und Energiewirtschaft Nr. 12, Dezember 1951. Zürich.

reine Stauniederschläge, wobei der Aufstau der Warmluft an den Alpen durch die beschriebene Lage der stationären Front bedeutend begünstigt, ja ermöglicht wurde. Diese Art der Entstehung großer Niederschläge in den Alpen wurde schon mehrfach beobachtet. Eine ähnliche Situation lag vor am 8. März 1932, am 3. Dezember 1936 und besonders am 28./29. Oktober 1935.

Am 10., 11. und 12. Februar sind im Tessin bedeutende Föhnregen zu verzeichnen. Am 10. ist der Betrag von 40 mm nur auf wenigen Stationen überschritten worden, nämlich in Lago Tremorgio (44 mm), Cevio (61), Mosogno (84), Locarno-Monti (44), Mezzana (42). Bedeutende Niederschläge brachte dagegen der 11. An diesem Tage liegt das Maximum über dem Centovalligebiet: Camedo 165 mm, Mosogno 158, Brissago 152, Locarno Muralto 122. Auch im Gotthardgebiet sind vereinzelt mehr als 100 mm gefallen (Andermatt 125 mm, Göschenen 118, Disentis 124, Urnerboden 109). Das Gebiet mit mehr als 60 mm umfaßt außer dem Gebiet des Kantons Tessin westlich des Tessinflusses noch das Oberwallis, das Haslital, den Kanton Uri und das Vorderrheintal oberhalb Reichenau. Der Bereich mit mehr als 30 mm reicht bis zu einer Linie: Saas-Fee, Kandersteg, Gsteig bei Saanen, Boltigen, Interlaken, Luzern, Meilen, Bischofszell, Seewis, St. Moritz. Am 12. verstärkten sich die Föhnniederschläge im Tessin abends neuerdings. Die Ergebnisse dieses Tages (bis um 7.30 Uhr des 13.) sind noch 60 bis 70 mm im Centovalligebiet, 40 mm im Osttessin, wogegen die übrige Schweiz nicht über 20 mm, die Alpennordseite teilweise keinen Niederschlag erhalten hat.

Nachdem schon vom 4. bis 7. Februar beträchtliche Schneemengen im Tessin gefallen waren, führte der Zuwachs, den die Schneedecke durch die obigen Niederschläge erfuhr u. a. in der Nacht vom 11. zum 12. in Frasco (Valle Verzasca) und in Airolo, dann am Morgen des 13. zwischen Lavorgo und Giornico zu bedeutenden Lawinenniedergängen, die beträchtlichen Schaden verursachten und zahlreiche Menschenleben forderten [1].

Die Niederschläge im Tessin sind als reiner Stauregen zu betrachten, Folge einer Föhnlage, verursacht durch eine Depression, deren Minimum vor der französischen Westküste lag. Ihre Zunahme am 11. ist nicht auf irgend einen Luftmassenwechsel im Süden, sondern nur auf die Verstärkung der Südströmung im Bereich der Alpen zurückzuführen. Unmittelbaren Anlaß dazu gab allerdings das Erscheinen einer Kaltfront über Südostfrankreich, deren Kaltluft im Laufe des 11. auf der Alpennordseite einbrach. Anderseits scheint ein Warmluftvorstoß aus Süden im Osten der Alpen zur Verstärkung des Druckgradienten in der Höhe beigetragen zu haben. Die Luftmassen kamen aus Südosten und hatten auch im Alpengebiet eine vorwiegend südöstliche Richtung. Sie waren offenbar ziemlich labil geschichtet wie das Auftreten von Gewittern am Alpensüdfuß am Abend des 11. beweist.

Auf der Alpennordseite begann der Kaltlufteinbruch in den Niederungen am Morgen des 11. Er erreichte das Säntisniveau (2500 m) am Nachmittag. Die Abkühlung betrug hier bis zum Nachtag 5°. Er verursachte die Niederschläge auf der Alpennordseite, die in Zürich ziemlich genau im Zeitpunkt des Verschwindens des Druckunterschiedes zwischen Nord- und Südseite der Alpen, nämlich um 16 Uhr einsetzen. Damit beginnt auch eine erhebliche Verstärkung des Regens im Süden der Alpen. Die Stärke des Südwindes erreichte auf dem Säntis um 10 Uhr ihren Höchstwert von 125 km/h, um gegen 17 Uhr wieder auf 20 km/h (bei gleichzeitiger Winddrehung nach Ost) zurückzugehen. Dagegen dauerte auf der Alpensüdseite der starke Südwind (nach Monte Bré) den ganzen Tag bis in die Nacht hinein fort. Die größten Niederschläge fallen auf beiden Seiten der Alpen während des Kaltlufteinbruchs bis etwa um 3 Uhr nachts, um dann auf der Nordseite ganz aufzuhören. Im Süden sind nur geringe Temperaturänderungen, nämlich eine leichte Erwärmung von 1 bis 2° vom 10. bis 12. (morgens) festzustellen. Auf dem Säntis drehte der Wind nach 4 Uhr des 12. vorübergehend nach Nordwest bis West. Doch setzte hier die Südströmung schon um 8 Uhr wieder ein und die Temperatur stieg nahezu auf den ursprünglichen Wert. Auch das Föhnknie ist um 7 Uhr des 12. auf der Wetterkarte wieder sichtbar.

Die Änderung der Druckverteilung, die ja den Kaltluftvorstoß auf der Alpennordseite erst ermöglichte, wurde hervorgerufen durch eine kleine, aber kräftige Druckwelle, deren Fallgebiet am Morgen des 10. noch über Südfrankreich, am Morgen des 11. bereits über Belgien lag. Sie veranlaßte die Bildung eines Ausläufers der Föhndepression über Nordfrankreich und Westeuropa bzw. die Verstärkung des Föhndruckunterschieds im Bereich der Alpen, bis das nachfolgende Drucksteigegebiet hinter der Kaltfront, das ebenfalls aus Süden heranzog, ihn wieder zum Verschwinden brachte.

Eine Kaltfront verursachte am Nachmittag des 27. März und in der Nacht zum 28. beträchtliche Niederschläge in der nordöstlichen Voralpenzone. Mehr als 30 mm fielen im Einzugsgebiet der Thur (südlich von Bischofszell), der Töß (südlich von Winterthur), der Sihl, der Muota, der Aa, der Suhr sowie im Napfgebiet und im Quellgebiet der Emme. Die Stationen im obern Toggenburg und im Bereich der Schwyzer Alpen haben Beträge von 40 bis 50 mm gemessen (Ebnat 43, Urnäsch 49, Aadorf 39, Bauma 45, Weesen 45, Einsiedeln 49 mm). Im westlichen Voralpengebiet sind noch 20 bis 30 mm gefallen. Der Alpensüdfuß blieb niederschlagsfrei.

Die Kaltfront verlief am Morgen des 27. ungefähr parallel zu den Isobaren vom zugehörigen über Nordholland liegenden Tief aus etwa über Frankfurt, Paris, Rennes. Die Niederschläge gingen teilweise schon während der Passage des wärmsten Teils des vorausgehenden Warmsektors nieder. Sie sind also teilweise orographisch bedingt. Die eigentliche Warmfront war schon am 26. vorbeigegangen und hatte lediglich geringe Schneefälle verursacht. Der vermutlich advektiv und durch Absinken entstandene noch wärmere Bereich unmittelbar vor der Front hatte die Schweiz schon vor dem Einsetzen der Niederschläge erreicht. (Temperaturmaximum in allen Höhen um 11.30 Uhr, Niederschlagsbeginn in Zürich um 12 Uhr, Kaltfrontpassage in Zürich um 20 Uhr.)

Am 26. Mai sind in den Flußgebieten des Ticino, der Verzasca, der Maggia und Malezza (Centovalli) mehr

als 40 mm Niederschlag gefallen. Das Maximum von etwa 90 mm entfällt auf das Centovalligebiet.

Am 27. Mai waren die Niederschläge im westlichen Tessin noch größer. Das Maximum liegt wieder im Centovalli bei Camedo (145 mm), während das nahe Brissago nur 15 mm erhalten hat. Das Gebiet mit mehr als 40 mm umfaßte an diesem Tage außer dem Centovalli und dem Einzugsgebiet der Maggia noch das Quellgebiet des Ticino oberhalb Giornico (Airolo 55 mm), des Vorderrheins oberhalb Surrhein (Platta 93 mm), den Kanton Uri (Andermatt 68 mm, Altdorf 45), Obwalden (Engelberg 47 mm), das Haslital (Guttannen 99 m) und das Oberwallis (Reckingen 67 mm, Saas-Fee 49) sowie schließlich das Bergell (Vicosoprano 73 mm).

Die Niederschläge vom 26. knüpfen sich an eine Föhnlage, die durch eine am Morgen über Ostfrankreich liegende kleine Depression hervorgerufen wurde. Diese zog bis zum 27. nordwärts nach Südengland, wo sie sich in der Folge zur Hauptdepression entwickelte. Sie bewirkte auf der Alpennordseite zunächst nur einen niedrigen Kaltlufteinbruch von Westen her, der keinen Abbruch der Föhnströmung in der Höhe zur Folge hatte. Auch die Niederschläge vom 27. sind also teilweise als Föhnregen anzusprechen. Ferner rückte ein weiteres Tief vom Golfe du Lion her kommend am 27. in die Poebene ein, wo es sich ausfüllte. Anderseits konstatiert man auf der Alpennordseite am 27. einen weiteren Kaltlufteinbruch, der nach den Frühsondierungen von Straßburg vom 27. und 28. nunmehr die Schichten oberhalb 2000 m erfaßte und in der Höhe eine Abkühlung von 8° veranlaßte. Derselbe fand am Abend des 27. statt und zwar zeigt der Säntis um etwa 20 Uhr eine ziemlich plötzliche Abkühlung von 3° und eine Winddrehung von Süd nach West. Die erwähnte Höhenkaltluft stammte ursprünglich aus einem an den Vortagen südwestlich von Irland stationierenden atlantischen Tief und war durch die oben erwähnte Depression (über Südengland) ostwärts verfrachtet worden, indem sich diese auf Kosten des alten zum Haupttief entwickelte. Diese Veränderung des Druckfeldes wurde nun zur mittelbaren Veranlassung weiterer Niederschläge im Süden, denn der erwähnte neue Vorstoß kalter Luft in der Höhe griff nun auf die Alpensüdseite über und bewirkte den Rest der Großregen vom 27. Ein direkter Nachweis ist allerdings nicht möglich, da leider Sondierungen vom Alpensüdfuß immer noch fehlen und die dortigen Stationen (auch Monte Bré) vom 27. zum 28. morgens keine nennenswerten Temperaturänderungen zeigen. Jedoch traten am 27. abends im Kerngebiet der Niederschlagsverteilung (Aufzeichnungen in Bosco) Gewitterregen mit Hagel und Gewitterstörungen auf, während im Süden (Locarno) die Niederschläge schon um 16 Uhr aufgehört hatten.

Am 15. Juli ist durch einen Kaltlufteinbruch hauptsächlich die Voralpenzone überregnet worden. Das Gebiet mit mehr als 40 mm Niederschlag umfaßt das Einzugsgebiet der Aare zwischen Bern (53 mm) und Interlaken (59 mm) (Großhöchstetten 71 mm), dann das Einzugsgebiet der beiden Emmen (Marbach 69 mm, Entlebuch 66 mm), das Vierwaldstätter- und Zugerseegebiet (Luzern 60 mm, Schwyz 64, Lorzetobel 68), das Einzugsgebiet der Sihl und die Zürichseegegend (Willerzell 48 mm, Wädenswil 46, Rapperswil 55) sowie das Quellgebiet der Ergolz (Langenbruck 47 mm). Vom übrigen Jura abgesehen, hat fast die ganze Alpennordseite mehr als 30 mm erhalten. Auf der Alpensüdseite sind am 15. und 16. nur mäßige Niederschläge gefallen.

Die Wetterkarte vom 15. um 13 Uhr zeigt einerseits ein Hochdruckgebiet auf dem Atlantik in der Breite der Bretagne (Maximum etwa 1028 Millibar) und anderseits ein flaches Tief (1015 bis 1010 Millibar über der Tschechoslowakei, Ungarn und Italien. Die Zone starker Druckgradienten verläuft etwa vom Golfe du Lion aus längs der Rhone und Saône nach Nordwestdeutschland. In ihr liegt die Kaltfront, die sich hier jedoch nicht eindeutig lokalisieren läßt. In der Schweiz vollzog sich der Kaltlufteinbruch wie gewöhnlich in zwei Staffeln. Am Nachmittag des 15. ging eine Gewitterfront von Nordwest nach Südost über die Schweiz hinweg, die eine erste Abkühlung von 3 bis 5° in allen Höhen verursachte. Um 14 Uhr ist sie ziemlich genau lokalisierbar. Sie verläuft um diese Zeit über Montreux, La Valsainte, Bern, Olten. Die Station Zürich wurde um 16 Uhr passiert, das nordöstliche Alpengebiet etwa 2 Stunden später erreicht. Die Hauptmenge der Niederschläge knüpft sich jedoch an eine zweite Staffel. Sie setzten in Zürich nach einer Unterbrechung von 6 Stunden um 2 Uhr des 16. Juli neuerdings ein. Sie fielen jedoch nicht nur während des zweiten Temperaturrückgangs (von 3°), der in Zürich etwa von 1 bis 9 Uhr des 16. dauerte, sondern auch noch nachher bis um Mitternacht und zwar besonders in der Nordschweiz, wo sich für den 16. nochmals eine Niederschlagsmenge von 20 bis 30 mm ergibt. Die Fortsetzung der Niederschläge nach 11 Uhr (des 16.) ist offenbar eine Stauwirkung der Alpen. Die Morgenwetterkarte vom 16. zeigt nämlich einen starken Druckgradienten über denselben. Der Luftdruck war seit dem 15. auf der Nordseite stark gestiegen, auf der Südseite mäßig gefallen, was zur Bildung eines Tiefs über dem Golf von Genua geführt hatte. (Dieses zog dann ostwärts ab.)

Bemerkenswert ist die verhältnismäßig geringe Niederschlagsmenge, die die Hochalpen erhalten haben. Dies ist vermutlich darauf zurückzuführen, daß die zweite Kaltluftstaffel keine große Höhe erreichte. Das «Temp» von Payerne vom 17. um 6 Uhr zeigt eine Inversion in 2200 m Höhe und darüber bereits kräftiges Absinken. Das atlantische Hoch stieß rasch gegen Frankreich vor, was in der Schweiz eine Bisenlage zur Folge hatte.

Am 8. August sind im Tessin ganz ungewöhnlich große Niederschlagsmengen gefallen. Vor 7.30 Uhr dieses Tages hat fast das ganze Kantonsgebiet mit Ausnahme des Sottoceneri mehr als 40 mm Niederschlag erhalten. Das Kerngebiet entfällt auf das Einzugsgebiet der Maggia, wo meist 100 bis 120 mm gemessen wurden (in Camedo 179). Auf der Nordseite der Alpen wurde der Betrag von 30 mm außer im Kantonsgebiet von Glarus und Uri nur noch in der Nordschweiz strichweise überschritten (Aarau 45 mm). Am 8. liegt das Gebiet mit mehr als 40 mm Niederschlag ausschließlich im Südosten einer Linie, die etwa von Camedo über Faido, Vals nach Ragaz verläuft. Von dieser scharfen Grenze aus wachsen die

Beträge gegen Südosten sehr rasch an und überschreiten 200 mm auf folgenden, das Kerngebiet (des 8.) bezeichnenden Stationen: Brissago 210 mm, Locarno-Monti 222 mm (dagegen Mosogno [Onsernone] nur 15 mm), ferner Locarno-Muralto 236 mm, Crana Torricella 207 mm, Bellinzona 191 mm und Biasca 204 mm. Im Süden hat lediglich das Gebiet südlich von Lugano weniger als 40 mm erhalten. Dagegen ist auch Graubünden mit Ausnahme des Unterengadins nun in die Zone mit mehr als 40 mm einbezogen worden. Hier haben noch erhalten: Mesocco 108 mm, Splügen-Dorf 160, Vicosoprano 117, Davos 56, Chur 64, Arosa (lokal) 136 mm. Die größten Gesamtergebnisse beider Tage erhält man für das Tessintal (Camedo 243 mm, Brissago 266, Locarno-Muralto 271, Bellinzona 241, Biasca 293).

Diese Wassermengen haben eine Hochwasserkatastrophe großen Ausmaßes zur Folge gehabt, worüber in der Tagespresse berichtet wurde [1]. Wie gewöhnlich in den Ausnahmefällen hat auch hier das Zusammentreffen mehrerer günstiger Bedingungen die katastrophalen Beträge verursacht. Leider reichen unsere Beobachtungen nicht aus, um die einzelnen Wetterphasen genauer von einander zu unterscheiden. Jedoch weist schon das Wandern des Niederschlagsgebiets darauf hin, daß die Niederschläge an eine Front geknüpft sind und zwar an einen Kaltlufteinbruch, der indessen keineswegs einfach verläuft, wie die Registrierungen von Locarno-Monti zeigen. Hier lassen sich fünf getrennte Starkregen unterscheiden, die sämtlich mit Gewitterstörungen verbunden waren. Der erste fällt während eines Temperaturfalls um 4° bei schwachem Südostwind von null bis 1.30 Uhr (30 mm). Vor dem zweiten steigt die Temperatur jedoch wieder auf den ursprünglichen Wert (22°), um dann während des zweiten Regens, der von 6.30 bis 8.30 Uhr dauert und 27 mm Niederschlag einbringt, bei starkem Westwind neuerdings um 4° zurückzufallen (Kaltfrontpassage). Der dritte Starkregen von 8.30 bis 12.30 Uhr (53 mm) begleitet einen weiteren Temperatursturz um 3 Grad, der dann ebenfalls wieder rückgängig gemacht wird. Es sieht aus, als ob die Warmluft zeitweise zurückgekehrt wäre. Erst zu Beginn des vierten Starkregens fällt die Temperatur endgültig auf das tiefste Niveau von 16° zurück, das fortan beibehalten wird. In der Höhe ist der Temperaturrückgang natürlich wesentlich gleichmäßiger. Daß ein Kaltlufteinbruch und zwar aus Süden vorliegt, geht aus dem anhaltenden Süd- bis Südwestwind bei fallender Temperatur in der Höhe hervor. In der Tat zeigt ferner die Wetterkarte vom 8. um 7 Uhr eine Kaltfront, die von einem kleinen Tief, das um diese Zeit gerade über dem Tessin liegt, ausgehend, südwärts zwischen Genua und Nizza hindurch, dann westlich von Sardinien vorbei nach Süden verläuft. Turin meldet 19°, Mailand 23°, Genua 25°. Diese Front setzt sich auf der Alpennordseite fort und zwar hat sie die Schweiz bereits von West nach Ost passiert (Zürich um 3 Uhr) und die Niederschläge der Alpennordseite (die oben erwähnt wurden) verursacht.

Wie weit die Kaltluft auf der Alpensüdseite ostwärts vorzustoßen vermochte, läßt sich nicht mehr feststellen. Vermutlich hat sie am Boden den Tessin ganz überschwemmt. Die nördlichen Winde, die hier aus dem Nordwestsektor herauswehten, sind vermutlich teilweise einem Luvwirbel zuzuschreiben. Immerhin dürfte die Kaltfront ihren Vorstoß in der Gegend des Tessinflusses stark verlangsamt haben. Es zeigt sich am Nachmittag über dem Golf von Genua ein neues Tief, das offenbar als Welle an der Kaltfront von Süden heraufgezogen war. Über Italien wehte den ganzen Tag ein ziemlich starker Süd bis Südost (in der Höhe Südwest), den am Morgen des 8. (7 Uhr) auch unsere südöstlichen Tessiner Stationen Mezzana, Lugano, Braggio aufweisen (starker Südostwind von 20 bis 23°). Der vierte der oben erwähnten Starkregen, der in Locarno von 16 bis 22.30 Uhr dauerte und dieser Station 116 mm Niederschlag einbrachte, ist offenbar der Aufgleitregen dieser Warmluft über der immer noch langsam südostwärts vorstoßenden Kaltluft. Er hat das auffallende Kerngebiet der Niederschlagsverteilung im Tessintal verursacht. Seine große Ergiebigkeit war, abgesehen von der Stauwirkung durch die Alpen, bedingt erstens dadurch, daß die Kaltfront in dieser Gegend nur noch langsam vorstieß bzw. zum Stillstand kam, was die lange Dauer der Niederschläge erklärt, zweitens durch die Verstärkung der Höhenströmung infolge einer von Westen heranrückenden neuen Störung auf der Alpennordseite und drittens durch den großen Feuchtigkeitsgehalt und die beträchtliche Labilität der warmen Südluft, schließlich durch die Wellenbildung an der Kaltfront.

Bei der soeben genannten neuen Störung handelt es sich um ein Tief, das vom 8. zum 9. ziemlich rasch von der Bretagne nach Belgien (7 Uhr), dann nach Nordwestdeutschland (13 Uhr) wanderte und dessen Kaltfront die Schweiz am Morgen des 9. passierte. Dieselbe verursachte auf der Alpennordseite nur lokale Niederschläge, in Locarno den fünften und letzten Starkregen zwischen 4.30 und 6.30 Uhr (26 mm). Eine Abkühlung war nur in der Höhe festzustellen. Die Niederungen waren am 9. teilweise wegen Einstrahlung wärmer als am 8. Dem Tief folgte ein starker Druckanstieg. Am 9. war daher der Luftdruck auf der Alpennordseite wieder erheblich höher als am Südfuß der Alpen. In der Höhe hatte die veränderte Druckverteilung eine Westdrehung des Windes zur Folge.

Eine eigenartige Verteilung zeigen die Niederschlagsergebnisse vom 22. Oktober. Das Gebiet, in welchen (am 23. um 7.30 Uhr) mehr als 40 mm Niederschlag gemessen wurde, erstreckt sich nämlich als etwa 80 km breiter Streifen von Norden nach Süden mitten durch die Schweiz, d. h. es umfaßt die nördliche Rheinzone zwischen Basel und Koblenz, das bernische Mittelland, das Gebiet der Kantone Aargau, Luzern, Uri, Unterwalden und das östliche Berner Oberland. Das Gotthardgebiet, das Tessin und das Misox haben mehr als 60 mm, die Riviera, das Einzugsgebiet der Verzasca und Maggia, das Centovalligebiet und das Sottoceneri mehr als 100, die Südspitze des Tessins (Mezzana) sogar 200 mm erhalten. Auf der Alpennordseite waren die Beträge im allgemeinen nicht größer als 50 mm. Nach Osten und

[1] u. [2] J. C. Thams, Locarno-Monti: «Die Hochwasser vom August und November 1951 am Alpensüdfuß der Schweiz», Wasser- und Energiewirtschaft Nr. 9, 1952, Zürich.

Westen von der genannten Zone aus nehmen die Beträge ab. Der Jura und das westschweizerische Mittelland haben noch 25 bis 40 mm, das Wallis und das Einzugsgebiet der Thur 10 bis 20, das nordöstliche Graubünden weniger als 10 mm erhalten. Die obige Verteilung ist reell. Nach 7.30 Uhr des 23. blieb z. B. das ganze nordöstliche Alpengebiet (Glarus, Appenzell, Nordgraubünden) nahezu niederschlagsfrei; nur in den Niederungen und im südwestlichen Alpengebiet sind noch nennenswerte Niederschläge (um 10 mm) gefallen. Das südliche Tessin allerdings hat am 23. nochmals Beträge von 50 bis etwa 100 mm (Mezzana 104 mm) aufzuweisen.

Diese Niederschläge sind auf einen Kaltlufteinbruch mit folgender Vorgeschichte zurückzuführen: Die Morgenwetterkarte vom 20. zeigt eine von Westen her gekommene ausgedehnte Depression im Norden, deren Zentrum (982 Millibar) zwischen Island und Skandinavien liegt. Eine zweite befindet sich über dem Mittelmeer, der Drucksattel zwischen beiden über Frankreich. Die Kaltfront der nördlichen Depression erstreckt sich von deren Zentrum aus südwärts bis an die schottische Nordküste, dann dem 55. Breitengrad folgend nach Westen. Diese nördliche Drepression füllte sich nun an den folgenden Tagen langsam aus und verwandelte sich in eine Tiefdruckrinne, die sich am 22. morgens von der skandinavischen Westküste über Nordsee—Westdeutschland bis ins westliche Mittelmeer erstreckte. Die Kaltfront hat um die genannte Zeit Frankreich bereits von Nordwesten her überquert. Es fällt jedoch schwer, sie eindeutig zu lokalisieren. In Zürich beginnen Druckanstieg und Temperaturfall um 10 Uhr, die Niederschläge um 11 Uhr. Nach kurzer Unterbrechung setzen alle drei zwischen 14 und 16 Uhr neuerdings ein. Da in diesem Zeitpunkt auch der Wind von West nach Nord dreht, so wird man dieses Intervall als Frontpassage anzusehen haben. Der Temperaturfall war um 8 Uhr des Nachtages (23.) ungefähr gleichzeitig mit den größten Niederschlägen zu Ende. Er betrug in Zürich total 9°, auf dem Säntis ebenfalls 9°, auf dem Jungfraujoch nur noch 3°. Bemerkenswert ist, daß die Temperatur kurze Zeit später wieder zu steigen beginnt, in Zürich von 7 Uhr an um 3°, auf dem Säntis von 6 Uhr an um 8°. Die Kaltfront war unter dem Einfluß des sich vertiefenden Mittelmeertiefs, bei gleichzeitigem Druckanstieg in der Nordseegegend rückläufig, also teilweise zur Warmfront geworden. Während des Temperaturanstiegs fiel neuerdings einiger Warmfrontregen. Sein Ergebnis sind die oben erwähnten Niederschläge vom 23. (nach 7.30 Uhr).

Konsultieren wir noch die Temperatursondierungen der Umgebung, die um 3 Uhr (in Payerne um 6 Uhr) des 22. (vor dem Kaltlufteinbruch), des 23. (3 bzw. null Stunden vor dem Temperaturminimum) und des 24. (etwa 12 Stunden nach dem Ende des Temperaturanstiegs) vorgenommen wurden, so zeigt sich, daß die Kaltluft München und Mailand nicht erreicht hat. Nach Payerne und Straßburg liegt ihre obere Grenze am 23. daselbst in 2000 bis 3000 m Höhe. Nach den «Temps» vom 24. liegt sie über Straßburg 1000 m hoch, über Payerne als Inversion zwischen 1900 und 2100 m Höhe. Die Luft darüber ist noch feucht. Werfen wir daher noch einen Blick auf die Notizen der Station Säntis (2500 m). Hier hören die Schneefälle und der Nebel am 23. um 7 Uhr endgültig auf. In der Folge taucht nun der Säntisgipfel während des Temperaturanstiegs aus dem (die Obergrenze der Kaltluft markierenden) Nebelmeer auf. Dieses sinkt langsam ab, der Himmel darüber bleibt jedoch mit Altostratus und Zirrostratus nahezu bedeckt. Der Wind (bisher Nordnordost) dreht nach Ost. Um 16 Uhr ist das Temperaturmaximum erreicht, die Nebelmeerhöhe wurde zu 2200 m Höhe, die Feuchtigkeit zu 65 % notiert. Es findet somit im Bereich über der Inversion Absinken statt. Die geringen Niederschläge nach 7.30 Uhr im Osten zeigen, daß die Front nicht weit über die Ostschweiz hinausgelangte. Obwohl sich die Troglinie weiter ostwärts bewegte, zeigen die Wetterkarten, daß das Gebiet der Niederschläge auch in der Folge kaum über die Linie Friedrichshafen—Nürnberg hinausgekommen ist. Nur im Norden konnte die Kaltluft weiter vorstoßen. Die oben beschriebene bandförmige Niederschlagsverteilung erklärt sich somit durch die Rückläufigkeit der Front, die großen Beträge waren wesentlich durch die Verlangsamung ihrer Bewegung bedingt.

Die Höhenströmung um 7 Uhr des 23. (Zeitpunkt des Temperaturminimums) zeigt auf der Bodenkarte in Westeuropa Nordwind, der an der Alpenkette nach Nordost gedreht wird, worauf der Rückzug der Kaltluft zurückzuführen ist. In 5000 m Höhe, also in der Warmluft dauert der Südwind über der Schweiz und Westdeutschland fort. Am folgenden Tag (24.) haben die Höhenwinde über Süddeutschland, der Schweiz und Ostfrankreich auch nach Ost gedreht, die Bodenwinde (vorher Nord) nach Nordost.

Im Tessin ist die Hauptmenge der Niederschläge ungefähr um die gleiche Zeit, also während der Abkühlung gefallen. Diese beträgt hier jedoch nur 5° am Boden. Die Kaltluft vermochte offenbar über die Alpen hinüberzutreten, wenn auch Mailand, wie erwähnt, nicht erreicht wurde. Im übrigen befand sich das Tessin im Kerngebiet der Mittelmeerdepression, deren Hauptminimum am 23. über dem Golf von Genua lag. Am 23. sind im südlichen Tessin noch 50 bis 100 mm Niederschlag gefallen.

Die Alpensüdseite hatte im Zeitraum vom 6. zum 21. November zum dritten Mal im Berichtsjahr Niederschläge mit katastrophalen Folgen aufzuweisen[2]. Diesmal waren zwar im Tessin infolge der geringeren Intensität der Niederschläge keine ungewöhnlichen Schäden zu verzeichnen. Dagegen haben die langdauernden Regenfälle bekanntlich in der Poebene zu einer Überschwemmungskatastrophe von größtem Ausmaß geführt. Es lassen sich drei Regenfälle von ununterbrochener Dauer unterscheiden:

Der erste begann am Morgen des 6. November und dauerte ohne Unterbrechung bis zum Morgen des 9. Die Niederschläge vom 8. (Messung um 7.30 Uhr des 9.) betragen fast im ganzen Kanton Tessin und im Misox mehr als 70 mm, im Sottoceneri mehr als 90 und an der Südspitze des Kantons, in Mezzana, 119 mm. Die Ergebnisse des Vortages sind ähnlich verteilt, am größten im Süden (Mezzana 79 mm), nach Norden abnehmend. Sie sind jedoch kleiner als die vom 8.

Diese Niederschläge wurden durch eine tiefe Föhn-

depression mit Randstörungen verursacht. Ihr Hauptminimum lag auf dem Atlantik, am 6. und 7. westlich, am 8. und 9. nördlich von La Corunna. Über Spanien ist eine Frontalzone zu unterscheiden. Die Niederschläge begannen als Föhnregen. Ihre Zunahme an den Nachtagen ist auf den Einfluß eines Randtiefs zurückzuführen, das am 8. über Genua lag und in der folgenden Nacht die Ostalpen überschritt. Auf der 7-Uhr-Wetterkarte des 9. erscheint es bereits über Dresden.

Der zweite Regenfall dauerte vom 9. November abends bis zum 12. um etwa 9 Uhr. Die Niederschlagsverteilung war eine etwas andere als im obigen Fall, indem nun das Kerngebiet an allen Tagen jeweils über dem Einzugsgebiet der Maggia und Verzasca, das Maximum über Camedo lag. Die größten Beträge fielen am 10. Das genannte Gebiet hat an diesem Tag meist 100 bis 120 mm, Camedo 183, Brissago 164 mm Niederschlag erhalten. Nach Osten und Süden nehmen die Beträge ab. An der Südspitze und im Misox sind sie kleiner als 50 mm (Mezzana 48 mm). Am 11. hat das oben genannte Kerngebiet etwa 50 mm erhalten, das scharfe Maximum bei Camedo beträgt 158 mm. Von Stationen der Umgebung seien erwähnt: Reckingen (am 10.: 60, am 11.: 22 mm), Saas-Fee (97, 51), Visp (78, 49), Grimsel (53, 37), Kippel (52, 31), Andermatt (78, 34), Gurtnellen (55, 20), Platta (67, 45 mm).

Die allgemeine Wetterlage war noch ungefähr dieselbe wie während der vorigen Periode. Das Minimum der Depression lag nun südlich von Irland, westlich von Brest. Die Frontalzone hatte sich etwas ostwärts nach dem westlichen Mittelmeer verlagert. Wiederum wanderte gegen Ende der Periode ein diesmal wesentlich ausgeprägteres Tief von Süden nach Norden über die Ostalpen hinüber. Es erschien am Abend des 11. über Korsika und am Morgen des 12. bereits über München. Es entwickelte sich zum Hauptzentrum der ganzen Depression, wodurch eine vollständige Änderung der Strömungsverhältnisse, namentlich das Verschwinden der Südströmung über den Alpen herbeigeführt wurde. Es waren im übrigen während beiden Perioden nur unbedeutende Temperaturänderungen festzustellen.

Der dritte und längste Dauerregen setzte am 18. November kurz nach Mitternacht ein und hörte erst am 21. nachmittags auf. Er hat gut 85 Stunden ohne Unterbrechung gedauert. Die Ergebnisse vom 18., 19. und 20. verteilen sich wie folgt: Die Maximalzone liegt an allen drei Tagen an der Südwestgrenze des Kantons (Camedo 59, 97, 89 mm, Brissago 42, 132, 124 mm, Locarno-Muralto 39, 89, 79 mm, Crana Torricella 99, 87, 62 mm. Ponte Tresa 52, 95, 52 mm, Lugano 43, 100, 40 mm. Mezzana 56, 108, 46 mm. Am 20. tritt also der Süden etwas zurück. Das Einzugsgebiet der Maggia, Verzasca und die Riviera haben an den drei Tagen resp. über 40. 80, 70 mm erhalten, der ganze Kanton mehr als 20, 60. 30 mm.

Während dieser letzten Periode lag das Zentrum der Hauptdepression meist nördlich von Irland, am 21. über der Nordsee. Ferner erschien von Südwesten her kommend am 20. ein weiteres Tief über dem westlichen Mittelmeer. Es füllte sich jedoch an Ort und Stelle aus. Auch diesmal befand sich der Bereich der stärksten Höhenströmung über den Alpen, wo sich eine ausgeprägte Föhnlage entwickelt hatte. Das Ende derselben wurde durch einen Kaltlufteinbruch auf der Alpennordseite am Nachmittag des 21. herbeigeführt, der durch die Verlagerung des Haupttiefs nach der Nordsee ermöglicht worden war.

M. Grütter

Nr. 4

Ergebnisse der Registrierungen der Sonnenscheinautographen im Jahre 1951

U = Stationen mit Sonnenscheinautographen «Usteri»
N = Stationen mit Sonnenscheinautographen «Negretti & Zambra» (*N* = neues Modell)
F = Stationen mit Sonnenscheinautographen «Fuess»

Monats- und Jahressummen der Sonnenscheindauer in Stunden

1951		Januar	Februar	März	April	Mai	Juni	Juli	August	September	Oktober	November	Dezember	Jahr
Zürich	N	39	60	87	183	172	178	207	197	147	79	62	80	1543
Säntis	U, *N*	114	76	93	205	251	169	262	208	183	221	85	152	1978
Hallau	U	22	50	80	181	169	161	248	185	140	128	51	51	1449
Wald	U	63	73	86	165	131	145	228	162	135	79	64	137	1468
Braunwald	F	66	63	82	159	151	148	211	170	156	115	99	138	1462
Unterägeri	U	60	80	82	160	147	158	240	185	130	92	67	125	1535
Luzern	N	38	74	88	180	154	161	249	188	138	61	55	17	1443
Jungfraujoch	N	70	68	85	154	124	161	240	195	208	147	47	139	1640
Grimmialp	N	74	60	76	147	126	136	225	152	143	135	59	92	1425
Heiligenschwendi	U	67	64	80	148	112	121	211	163	140	102	68	126	1402
Bern	N	43	72	95	171	148	197	274	181	154	136	62	95	1568
Basel	N	49	67	83	175	148	159	254	162	154	107	53	113	1523
Barmelweid	U	42	48	64	136	135	131	223	138	132	70	56	120	1297
Allerheiligen	U	47	49	70	160	123	121	215	163	142	89	61	134	1384
Mont Soleil s. St. Imier	U	45	58	92	157	140	138	225	152	146	144	57	122	1476
La Chaux-de-Fonds	U	46	63	96	152	130	161	245	153	152	148	95	115	1526
Neuchâtel	U	15	56	94	187	170	195	283	194	140	99	55	57	1545
Genève	N	48	70	110	190	188	239	316	227	180	162	78	61	1848
Lausanne	N	54	74	111	183	196	220	297	202	150	98	81	57	1712
Montreux-Clarens	U	58	78	96	164	154	160	247	178	152	92	73	63	1521
Château d'Oex	F	75	80	107	178	152	162	258	185	169	144	69	98	1977
Leysin	U	87	87	102	149	153	154	235	165	166	107	77	132	1617
Sitten	U	100	95	140	217	189	207	285	210	195	169	86	138	2031
Montana s/Sierre	U	103	77	133	204	177	193	270	215	196	180	83	150	1936
Wallenstadtberg	F	54	50	46	124	115	121	195	154	139	91	53	120	1254
Plantahof b/Landquart	U	68	72	99	172	160	193	252	192	175	135	59	95	1667
Arosa	N	83	76	112	179	146	157	229	210	197	168	55	115	1697
Weissfluhjoch	F	119	110	108	194	163	185	245	203	175	198	75	158	1933
Davos-Platz	N	70	75	94	164	119	146	221	190	170	159	48	145	1507
St. Moritz	U	67	91	115	184	141	185	234	206	183	136	81	103	1702
Schuls	N	62	76	106	196	153	188	232	229	180	154	58	97	1725
Lugano	N	87	100	137	188	114	225	276	211	206	99	85	132	1845
Monte Brè	U	100	93	139	196	134	243	284	232	199	94	91	151	1953
Locarno-Monti	N	99	109	160	203	157	255	293	227	224	85	90	158	2060

1951

Tägliche Dauer des Sonnenscheins in Stunden.

Januar

Tag	Lugano	Genève	Montana s. Sierre	Chaux-de-Fonds	Bern	Luzern	Basel	Zürich	Davos	Säntis
1	0.0	0.0	2.4	0.0	0.1	0.2	0.0	0.2	0.8	1.1
2	0.0	0.0	0.0	0.0	0.0	0.0	0.0	0.0	0.0	0.0
3	0.0	3.6	0.2	0.2	0.8	0.0	0.0	0.0	0.0	0.0
4	0.0	6.5	7.1	4.4	3.7	5.0	5.9	4.3	0.6	5.1
5	4.1	5.3	5.1	5.1	5.8	6.1	5.3	6.0	2.4	5.4
6	5.3	3.4	5.8	2.3	1.5	1.0	3.7	5.3	4.3	7.1
7	0.0	0.4	3.9	0.0	0.0	0.5	1.5	0.4	1.3	1.1
8	0.1	0.0	3.7	5.1	6.3	7.1	4.2	5.9	5.7	8.1
9	1.2	0.0	4.0	1.7	2.5	2.0	1.1	1.3	1.4	0.7
10	5.1	0.0	6.6	5.1	3.8	0.0	6.6	0.3	5.7	8.1
11	0.0	6.9	7.0	2.8	3.9	5.3	2.5	5.3	5.8	7.6
12	0.0	0.0	0.0	0.0	0.0	0.0	0.0	0.0	0.0	0.9
13	1.2	1.6	2.9	1.8	3.2	2.2	2.9	2.0	1.7	0.3
14	7.0	4.5	7.7	6.2	7.9	7.1	6.8	7.9	5.8	7.3
15	3.0	0.0	0.0	0.0	0.0	0.0	0.0	0.0	0.0	0.0
16	7.1	4.1	4.0	0.0	0.1	0.0	0.0	0.0	0.0	0.0
17	5.6	0.0	0.0	0.0	0.0	0.0	0.0	0.0	0.4	0.0
18	1.8	0.0	0.0	0.0	0.0	0.0	0.0	0.0	0.0	0.0
19	7.1	0.6	0.0	0.0	0.1	0.1	1.2	0.1	0.0	0.0
20	5.5	0.0	0.0	0.0	0.0	0.0	0.0	0.0	0.0	0.0
21	7.0	5.0	1.0	0.0	2.9	0.0	0.0	0.0	0.0	0.0
22	0.0	4.4	5.3	0.0	0.0	0.9	0.0	0.0	1.7	4.2
23	0.0	1.8	6.1	0.0	0.0	0.0	0.0	0.0	3.8	3.9
24	0.0	0.3	3.9	1.4	0.0	0.0	0.0	0.0	2.8	7.6
25	0.0	0.0	0.4	1.0	0.0	0.0	0.0	0.0	0.0	1.4
26	4.4	0.0	7.5	7.6	0.0	0.0	5.5	0.0	5.5	8.3
27	0.7	0.0	5.4	1.3	0.0	0.0	2.0	0.0	6.0	7.1
28	0.0	0.0	7.0	0.1	0.0	0.0	0.0	0.0	6.1	5.7
29	5.3	0.0	0.0	0.0	0.0	0.0	0.0	0.0	0.0	7.3
30	4.1	0.0	0.0	0.0	0.0	0.0	0.0	0.0	2.2	7.2
31	5.6	0.0	6.4	0.0	0.0	0.0	0.0	0.0	6.4	8.9
Mittel	2.8	1.6	3.3	1.5	1.4	1.2	1.6	1.3	2.3	3.7

Februar

Tag	Lugano	Genève	Montana s. Sierre	Chaux-de-Fonds	Bern	Luzern	Basel	Zürich	Davos	Säntis
1	4.0	0.0	0.0	0.0	0.0	0.0	0.0	0.0	0.0	5.0
2	6.2	0.0	7.5	0.0	0.0	1.5	0.0	0.0	6.6	9.2
3	0.0	3.9	2.1	2.6	0.8	3.6	0.1	4.1	1.9	1.9
4	0.0	4.5	0.0	*5.0	6.5	6.1	5.1	7.5	2.7	5.0
5	0.0	0.0	0.0	0.0	0.0	0.0	0.0	0.0	0.0	0.0
6	0.0	4.1	0.0	0.3	0.1	0.0	0.0	0.0	0.0	0.0
7	1.2	5.8	8.9	4.8	6.1	4.1	6.4	2.0	0.0	0.1
8	1.3	0.2	0.0	0.1	0.1	0.6	0.0	0.2	2.7	2.4
9	0.4	3.2	4.2	4.4	6.6	7.9	3.8	5.3	3.1	4.4
10	0.0	0.1	0.0	5.1	0.2	0.0	3.8	0.2	0.4	2.0
11	0.0	0.0	0.0	0.0	0.0	3.5	0.0	1.4	0.0	5.5
12	0.0	0.0	4.9	1.9	0.0	0.0	4.0	0.1	4.8	7.1
13	0.0	4.4	0.0	0.1	0.0	0.0	0.0	0.0	0.0	0.0
14	8.9	1.3	1.9	0.2	1.7	4.5	0.3	0.7	5.5	0.4
15	0.0	0.1	1.4	0.7	0.2	0.0	1.3	0.2	0.5	0.0
16	7.0	5.6	8.7	7.0	7.2	4.7	4.1	5.3	5.6	9.1
17	7.6	2.4	6.3	3.1	5.3	7.4	3.8	6.9	7.0	8.3
18	3.1	2.5	0.9	3.6	3.7	3.6	5.3	4.0	1.5	3.6
19	2.4	2.9	0.0	0.3	0.5	1.3	2.4	0.1	2.4	0.2
20	9.1	6.6	7.2	5.7	6.8	7.1	5.0	6.8	7.1	5.9
21	4.6	0.0	0.0	2.5	3.5	5.8	3.7	*4.0	2.4	2.0
22	8.1	0.2	1.8	0.8	0.7	0.6	0.6	0.8	4.2	0.0
23	9.5	3.9	0.0	2.1	5.1	3.4	2.4	3.1	3.8	0.0
24	0.0	0.0	0.0	0.0	0.0	0.0	0.0	0.0	0.2	0.1
25	6.8	0.0	8.8	1.8	0.0	3.4	1.8	5.0	0.6	1.4
26	0.2	3.7	0.1	1.9	3.1	0.6	5.4	2.2	0.8	0.1
27	9.5	5.9	7.2	7.3	8.4	2.6	6.1	2.0	6.6	0.7
28	9.8	8.3	5.4	1.6	5.2	2.2	0.9	3.8	4.5	1.7
29										
30										
31										
Mittel	3.6	2.5	2.8	2.2	2.6	2.7	2.4	2.3	2.7	2.7

März

Tag	Lugano	Genève	Montana s. Sierre	Chaux-de-Fonds	Bern	Luzern	Basel	Zürich	Davos	Säntis
1	8.7	3.9	9.4	5.9	5.8	3.2	1.9	1.8	6.2	8.4
2	9.1	0.0	2.5	0.0	0.0	0.5	0.0	3.6	5.7	7.6
3	1.4	0.0	8.9	7.3	7.2	3.6	0.0	2.2	7.6	8.1
4	8.1	6.7	10.2	8.6	6.6	5.2	3.3	3.2	8.2	10.6
5	7.0	5.4	10.1	8.4	6.6	7.7	9.5	6.9	8.2	6.7
6	0.0	9.4	7.8	5.4	5.4	4.0	5.0	3.7	0.0	2.6
7	0.0	2.8	2.3	4.1	3.9	4.2	5.5	5.6	7.2	6.7
8	0.0	4.7	4.4	0.3	0.0	0.0	0.0	0.9	4.4	6.3
9	1.4	8.0	9.7	0.0	0.0	2.3	0.0	2.7	0.0	0.5
10	9.9	8.3	8.1	5.4	7.4	4.0	4.8	6.7	3.4	5.6
11	0.0	0.0	2.9	0.0	1.1	0.8	0.0	0.1	0.2	0.1
12	1.7	9.5	7.1	7.7	7.6	6.4	9.2	5.4	1.2	3.6
13	0.0	1.7	3.5	2.6	3.3	3.9	2.0	3.2	1.9	2.4
14	7.9	2.5	2.1	2.4	2.9	7.1	3.8	5.8	3.8	1.1
15	2.0	5.1	5.2	5.4	4.7	6.7	3.0	3.9	5.7	5.6
16	5.7	1.7	0.5	1.0	2.4	3.6	0.2	1.1	0.2	0.0
17	2.0	0.0	0.0	0.1	0.1	0.4	0.6	0.9	1.0	0.0
18	0.0	1.4	1.0	1.0	0.2	0.2	1.7	0.1	0.0	0.0
19	0.4	0.3	0.0	0.0	0.4	0.5	0.2	0.7	3.4	1.0
20	10.6	1.8	0.0	0.2	0.5	0.9	1.1	0.9	0.0	0.0
21	10.9	10.0	9.3	8.1	7.8	5.7	7.1	8.3	1.8	1.2
22	1.6	0.0	0.0	0.0	0.0	0.0	0.0	0.1	1.2	0.5
23	9.4	10.8	10.8	8.9	8.5	6.3	9.3	5.9	8.9	8.0
24	1.4	1.1	0.0	0.1	0.6	0.6	0.2	0.6	0.0	0.0
25	11.0	0.0	0.0	1.1	0.3	0.3	1.7	0.3	0.0	0.0
26	11.0	5.7	5.8	0.1	3.1	3.9	1.7	3.2	6.5	4.1
27	1.9	0.0	0.0	0.0	0.0	0.0	0.0	0.0	0.0	0.0
28	1.6	2.1	2.5	2.1	0.0	0.0	2.7	0.4	1.4	0.0
29	5.3	3.3	6.9	3.7	3.7	2.1	3.5	2.9	4.2	4.8
30	0.0	0.0	1.2	5.7	3.9	4.0	2.9	5.3	1.3	3.6
31	7.3	3.9	0.6	0.3	0.9	0.4	1.6	0.8	0.2	0.0
Mittel	4.4	3.6	4.3	3.1	3.1	2.9	2.7	2.8	3.0	3.2

April

Tag	Lugano	Genève	Montana s. Sierre	Chaux-de-Fonds	Bern	Luzern	Basel	Zürich	Davos	Säntis
1	11.2	4.7	8.0	3.1	5.4	8.2	1.3	6.8	10.0	8.9
2	0.0	0.0	3.2	0.0	0.4	5.4	0.0	1.7	6.1	7.8
3	4.8	7.7	5.9	3.3	5.3	0.9	5.0	4.2	1.4	0.7
4	11.5	10.7	11.6	9.1	11.0	11.0	11.0	11.5	7.4	12.3
5	10.1	3.1	2.2	0.0	0.0	0.0	0.0	0.1	0.1	0.0
6	10.5	1.2	6.4	4.9	7.8	9.4	9.2	10.9	10.4	10.3
7	0.0	4.2	9.0	6.2	6.1	9.6	3.6	7.9	5.0	10.9
8	6.3	8.9	8.1	4.3	6.2	7.9	4.9	4.8	2.0	3.3
9	9.5	2.3	3.9	2.5	5.5	5.5	3.8	4.4	9.2	10.4
10	2.0	5.3	5.2	5.3	5.3	6.3	5.6	4.8	0.0	1.8
11	5.8	7.2	4.5	3.4	4.6	2.8	6.0	4.2	2.1	0.8
12	11.3	12.0	9.3	8.8	10.2	9.9	10.0	9.3	8.1	7.5
13	10.6	11.6	12.3	8.4	11.4	11.6	8.9	11.0	10.2	12.0
14	10.7	7.3	7.5	1.3	0.3	0.4	4.7	0.4	2.3	0.0
15	11.6	12.3	12.4	11.7	12.0	9.2	11.4	9.1	7.3	8.7
16	3.9	10.1	9.5	10.5	11.4	12.3	12.1	12.3	9.6	13.1
17	8.7	8.4	9.6	5.0	8.2	8.0	4.8	9.1	10.0	9.1
18	0.0	0.2	0.0	0.0	0.0	1.0	0.2	1.2	1.1	3.3
19	0.0	5.8	3.7	0.6	0.6	0.8	2.8	4.8	2.1	0.0
20	5.8	2.2	7.3	1.0	3.8	5.4	4.6	6.2	0.4	7.9
21	8.9	6.7	4.1	5.2	2.0	3.7	4.5	5.9	1.8	1.8
22	10.7	9.2	11.5	12.3	7.7	6.0	13.0	10.4	9.9	12.0
23	6.8	12.0	11.3	11.7	12.5	12.8	13.2	13.2	11.3	14.2
24	8.6	12.7	12.7	12.7	13.1	12.8	13.2	13.1	11.1	14.2
25	9.2	10.1	10.8	12.7	13.0	12.7	13.0	13.2	11.3	14.2
26	0.0	0.2	0.0	0.0	0.0	0.0	0.0	0.1	0.0	0.5
27	0.1	0.0	1.4	1.8	3.2	3.1	0.9	0.9	1.8	5.3
28	0.0	3.5	1.7	0.0	1.2	0.0	0.5	0.0	1.6	0.1
29	1.8	1.9	4.2	0.0	0.0	1.5	0.0	0.0	0.3	0.0
30	7.6	8.4	6.5	6.5	2.4	2.1	6.3	1.4	10.2	13.8
31										
Mittel	6.3	6.3	6.8	5.1	5.7	6.0	5.8	6.1	5.5	6.8

Tägliche Dauer des Sonnenscheins in Stunden. 1951

Mai

Tag	Lugano	Genève	Montana s. Sierre	Chaux-de-Fonds	Bern	Luzern	Basel	Zürich	Davos	Säntis
1	0.0	9.5	12.5	12.8	12.7	11.4	11.9	13.0	3.9	13.1
2	1.7	7.4	11.0	7.4	13.3	11.7	13.2	13.3	4.4	8.6
3	2.2	6.6	9.5	6.4	8.5	11.8	11.0	11.2	5.0	6.8
4	0.7	0.8	1.0	0.1	0.0	0.0	0.1	0.1	0.1	0.1
5	12.0	11.6	7.7	6.7	10.5	9.2	6.9	11.5	7.4	9.1
6	5.7	9.4	10.1	9.2	10.1	9.8	11.8	11.1	7.2	12.8
7	0.0	4.8	2.0	3.1	4.1	0.9	3.1	1.5	2.4	2.7
8	0.9	8.5	4.1	2.6	4.0	7.0	4.4	7.4	4.7	6.9
9	6.1	8.7	4.1	3.9	4.1	3.6	3.2	5.5	7.8	2.1
10	1.4	0.0	0.4	0.0	0.0	0.0	0.0	0.0	0.0	0.0
11	0.0	2.3	2.3	0.0	0.0	0.0	0.0	0.0	0.3	0.0
12	3.6	2.8	4.9	0.4	0.0	0.0	0.0	0.0	9.9	13.2
13	5.2	1.1	3.6	10.2	4.0	4.4	8.3	8.5	0.5	10.5
14	0.3	0.6	1.2	0.0	0.0	0.0	0.0	0.1	0.1	0.0
15	6.1	4.0	4.1	0.0	0.1	0.0	0.5	0.6	0.6	1.9
16	7.4	9.1	2.2	0.2	1.2	0.7	0.0	0.8	1.3	1.5
17	0.0	0.0	0.1	0.0	0.1	0.0	0.1	0.1	3.9	2.5
18	1.0	5.0	10.6	5.1	7.1	9.8	4.2	8.4	2.4	10.0
19	0.3	3.6	5.2	3.4	4.5	8.7	8.5	10.9	7.1	10.5
20	3.2	9.8	4.8	0.4	4.7	2.8	0.8	2.8	0.2	6.0
21	9.8	13.0	11.0	8.1	9.1	8.1	8.2	8.9	1.3	4.7
22	6.3	4.0	5.2	5.5	4.0	3.5	6.3	2.9	2.8	0.7
23	11.0	12.3	10.9	7.3	9.1	8.7	8.2	8.2	9.7	9.8
24	5.0	9.4	5.3	9.5	7.4	10.6	9.4	10.3	10.1	12.4
25	6.5	9.7	9.1	9.2	8.3	9.7	9.2	10.1	7.0	10.3
26	0.5	0.7	0.9	0.7	1.9	4.5	1.2	4.8	0.2	4.9
27	0.0	1.1	0.0	0.1	0.0	0.0	0.0	0.0	0.0	2.3
28	0.0	12.3	7.8	6.8	13.2	9.4	11.1	10.4	0.1	0.3
29	10.1	11.2	10.1	5.2	4.2	7.4	4.4	7.4	6.5	8.5
30	5.1	1.6	7.0	2.3	2.3	0.0	0.2	2.1	4.0	14.2
31	2.1	6.7	8.8	4.8	0.0	0.2	1.4	0.4	8.3	14.9
Mittel	3.7	6.1	5.7	4.2	4.8	5.0	4.8	5.6	3.8	6.5

Juni

Tag	Lugano	Genève	Montana s. Sierre	Chaux-de-Fonds	Bern	Luzern	Basel	Zürich	Davos	Säntis
1	9.0	6.7	4.8	2.1	4.1	3.6	0.0	0.3	3.7	0.1
2	4.7	3.6	0.5	1.2	1.8	1.5	3.0	5.3	2.3	1.7
3	9.9	13.8	6.0	4.8	9.8	0.1	7.1	6.6	2.8	0.1
4	4.1	13.3	11.4	11.6	13.0	13.2	12.9	10.7	6.4	10.6
5	10.6	9.8	5.6	8.0	6.8	3.5	6.0	2.2	0.3	0.8
6	12.9	10.7	2.8	4.7	5.3	2.9	4.8	1.7	0.2	0.3
7	12.9	11.9	12.7	12.7	13.6	10.8	7.6	12.5	8.0	11.8
8	0.0	1.9	0.0	0.0	0.4	0.8	0.2	0.7	1.9	3.7
9	12.1	0.0	0.0	0.0	0.0	0.0	0.8	0.2	0.1	0.0
10	3.3	4.6	3.4	3.6	2.4	1.7	2.1	4.5	0.8	0.1
11	11.9	13.5	11.2	9.2	11.8	10.0	11.3	10.1	6.5	8.5
12	4.3	9.5	10.5	8.1	10.7	12.3	10.1	11.7	10.4	13.7
13	13.2	14.1	12.8	12.8	12.2	9.7	11.5	11.7	5.6	3.7
14	13.0	14.4	14.0	14.5	14.6	14.4	15.1	14.0	12.1	15.8
15	12.4	12.1	12.9	8.8	12.0	12.1	9.8	10.5	12.4	13.3
16	6.3	8.9	8.4	7.0	7.0	8.1	7.0	9.3	5.3	7.2
17	6.7	7.0	7.2	1.8	4.9	7.6	1.8	10.2	8.1	9.3
18	6.5	5.9	4.8	4.1	6.8	5.7	4.9	4.8	6.3	12.0
19	0.8	2.5	1.4	0.0	0.0	0.0	0.2	0.0	2.6	2.2
20	12.7	8.4	10.9	7.8	8.1	2.0	7.5	4.2	8.4	13.2
21	11.6	11.0	12.5	11.8	12.7	10.6	13.0	12.1	11.3	15.3
22	0.1	0.8	1.7	0.5	0.3	0.5	1.1	0.6	5.0	5.2
23	0.3	0.3	1.1	0.0	0.0	0.0	0.2	0.0	2.9	0.7
24	0.1	0.8	1.3	0.5	2.2	1.1	1.1	1.1	0.9	0.0
25	8.9	7.9	4.6	4.4	6.1	2.5	4.9	4.5	1.2	1.8
26	12.9	7.1	6.2	1.9	2.9	5.8	1.1	3.7	4.6	1.1
27	11.7	8.7	8.0	4.6	4.7	4.9	3.4	6.4	5.6	0.4
28	3.1	5.5	3.0	2.0	3.6	2.0	0.2	0.3	0.9	0.2
29	8.6	11.7	8.7	5.6	10.0	6.5	4.4	8.1	3.3	2.4
30	0.6	12.6	4.3	6.7	9.2	1.2	6.1	8.9	5.8	7.6

Juli

Tag	Lugano	Genève	Montana s. Sierre	Chaux-de-Fonds	Bern	Luzern	Basel	Zürich	Davos	Säntis
1	9.8	13.2	9.9	12.7	13.3	10.9	9.6	14.0	3.3	5.6
2	10.3	13.3	12.6	13.5	13.9	13.9	14.1	14.3	11.8	13.6
3	12.7	13.6	13.7	13.6	14.0	14.1	14.2	14.2	11.9	15.5
4	12.2	13.9	13.2	13.1	13.3	13.9	13.1	13.6	10.8	10.7
5	9.0	6.5	2.0	4.6	3.6	1.1	6.6	3.1	0.6	0.1
6	8.1	13.7	12.3	12.8	13.3	10.9	12.8	10.8	9.7	12.5
7	8.6	13.9	12.2	12.3	13.7	13.0	13.9	13.9	11.2	15.4
8	9.7	9.1	5.9	4.5	7.1	5.5	4.9	6.6	9.6	11.4
9	6.3	7.2	2.7	2.8	3.4	1.3	2.5	2.1	0.2	1.0
10	12.5	14.3	13.7	12.7	13.5	10.6	13.0	13.1	12.3	14.5
11	5.2	9.5	8.7	7.2	8.1	8.0	8.6	9.0	10.6	13.0
12	4.8	11.9	9.5	1.3	3.4	1.8	3.5	1.7	3.1	7.7
13	7.7	6.7	8.0	4.3	7.9	8.0	4.8	8.4	9.0	11.7
14	5.7	8.9	5.9	3.2	6.6	8.1	3.1	7.4	9.0	11.6
15	5.7	2.3	7.4	1.3	4.8	6.1	1.9	7.3	4.9	4.4
16	0.7	0.0	0.0	0.2	0.0	0.0	0.0	0.0	0.0	0.0
17	0.0	5.6	5.6	0.2	2.0	0.1	1.6	0.2	0.0	0.0
18	12.6	13.5	6.7	12.7	13.1	10.4	11.1	12.3	5.9	10.3
19	12.4	13.6	12.5	10.6	13.0	11.7	13.1	11.8	11.7	9.1
20	12.5	13.2	11.0	12.7	11.8	8.8	12.9	11.1	9.1	6.1
21	12.5	13.5	13.5	13.1	13.8	13.9	12.1	11.7	8.0	10.0
22	9.1	8.2	10.6	10.9	11.3	12.9	11.1	13.0	11.7	13.8
23	1.3	7.8	2.6	3.1	2.9	0.7	1.3	1.9	1.1	0.0
24	8.9	3.2	2.4	0.6	0.0	0.2	0.7	0.0	0.0	0.0
25	10.5	7.5	7.9	0.0	1.8	0.5	2.5	1.3	0.0	0.6
26	11.7	10.7	7.3	4.7	5.7	5.3	4.7	4.1	1.1	0.6
27	12.5	13.3	11.7	11.3	13.0	9.0	8.6	10.6	8.5	12.3
28	12.3	13.5	13.2	13.5	13.7	13.3	12.8	13.7	11.8	13.8
29	11.3	12.8	12.4	12.1	12.2	12.7	12.1	12.8	11.9	14.2
30	9.4	12.5	11.4	10.7	11.2	11.5	11.7	11.9	11.2	10.2
31	9.8	9.3	9.3	8.9	8.9	11.0	11.1	10.9	10.8	12.2
Mittel	8.9	10.2	8.9	7.9	8.8	8.0	8.2	8.6	7.1	8.4

August

Tag	Lugano	Genève	Montana s. Sierre	Chaux-de-Fonds	Bern	Luzern	Basel	Zürich	Davos	Säntis
1	5.9	7.5	1.7	2.6	2.0	4.4	1.4	5.3	5.6	2.9
2	10.9	10.0	11.6	5.8	10.5	11.0	8.2	11.4	11.9	10.9
3	4.7	3.7	2.0	3.4	3.4	4.7	5.2	6.9	8.2	9.0
4	6.5	8.2	2.2	0.2	2.6	1.0	1.5	1.5	1.8	3.9
5	9.6	11.2	8.2	7.8	8.7	6.7	7.4	6.5	5.5	4.3
6	6.6	9.4	11.4	7.8	10.3	11.3	8.7	11.0	10.6	12.8
7	8.8	0.7	3.2	0.9	1.5	3.2	1.8	5.6	6.9	9.3
8	0.6	0.3	1.0	0.3	0.5	0.0	0.0	0.0	0.0	0.0
9	4.1	4.4	7.4	1.3	5.2	5.7	1.5	7.8	0.7	0.0
10	0.0	6.7	2.8	2.9	4.9	4.0	1.5	4.2	2.0	2.9
11	12.3	11.3	7.4	1.8	9.1	7.7	7.3	6.1	1.6	4.4
12	9.4	12.1	12.3	11.8	12.4	12.8	12.4	13.2	9.1	11.9
13	7.4	4.0	4.7	0.6	2.3	4.2	1.0	2.9	8.1	5.9
14	11.3	10.4	9.8	2.7	6.2	4.0	2.6	2.7	8.9	1.0
15	7.1	12.3	12.3	10.8	11.6	11.7	11.7	11.8	9.3	12.4
16	3.4	5.7	0.0	3.1	1.3	0.1	1.7	0.5	0.0	0.8
17	9.3	8.4	8.2	4.1	7.1	8.5	3.5	6.1	9.8	8.2
18	12.1	12.7	11.9	10.9	12.5	12.5	12.5	12.6	8.6	8.6
19	8.5	11.9	12.0	11.8	11.5	10.9	10.8	11.5	11.8	11.9
20	8.5	2.3	5.3	0.7	1.8	6.5	0.4	6.2	10.3	11.5
21	0.2	0.0	0.0	0.0	0.0	0.0	0.0	0.0	0.9	0.0
22	9.1	4.0	6.7	0.0	0.5	0.0	0.0	0.0	0.0	4.1
23	7.8	9.7	3.7	5.6	3.9	0.3	3.8	0.7	0.0	0.9
24	12.0	9.1	12.0	9.9	10.3	5.8	11.3	8.8	10.4	11.8
25	7.1	3.2	7.5	1.0	4.6	5.9	2.3	7.1	7.8	9.6
26	1.7	8.6	7.7	6.7	6.4	6.3	5.6	6.2	0.4	5.8
27	2.0	5.0	3.5	4.1	3.9	2.5	3.0	2.3	3.9	0.4
28	2.2	12.6	12.3	12.4	12.6	12.4	12.4	12.6	10.7	12.9
29	10.1	11.8	12.3	11.8	12.0	11.9	12.1	12.3	10.7	11.7
30	10.2	9.1	11.6	9.3	10.3	11.3	10.4	11.4	10.9	12.9
31	2.0	0.8	2.7	0.7	0.9	0.7	0.3	2.1	4.6	5.7
Mittel	6.8	7.3	6.9	4.9	6.2	6.1	5.2	6.4	6.1	6.7

1951 **Tägliche Dauer des Sonnenscheins in Stunden.**

September

Tag	Lugano	Genève	Montana s. Sierre	Chaux-de-Fonds	Bern	Luzern	Basel	Zürich	Davos	Säntis
1	10.3	8.9	7.6	7.5	7.8	7.0	9.0	8.3	8.0	5.9
2	9.5	2.2	2.8	0.7	4.0	4.0	2.4	4.3	6.8	3.0
3	6.3	8.2	4.5	0.1	5.8	4.9	2.3	6.2	2.9	0.2
4	11.5	11.1	9.9	11.0	11.8	8.8	10.1	11.2	10.7	12.1
5	11.5	9.9	11.9	11.6	11.5	10.3	11.7	11.8	10.6	12.2
6	8.5	11.3	8.4	10.5	10.7	11.3	10.3	10.2	8.1	11.5
7	6.7	1.8	3.1	2.0	1.3	4.6	6.6	3.1	5.0	1.5
8	11.0	7.2	10.2	10.3	7.1	5.4	3.7	4.3	8.0	7.5
9	10.7	6.5	8.3	5.6	6.3	4.3	1.5	0.4	3.3	11.3
10	11.0	6.9	11.2	6.9	5.6	8.7	9.7	7.3	8.8	8.7
11	9.5	8.3	10.4	6.0	9.3	9.6	8.3	9.0	9.4	9.6
12	9.1	5.4	8.3	7.4	8.9	9.9	5.4	9.8	10.2	9.9
13	0.2	3.3	6.0	3.2	5.6	6.0	4.4	8.7	8.0	9.9
14	0.0	0.0	0.2	0.1	0.0	0.0	0.0	0.0	0.0	0.0
15	6.9	6.7	11.1	10.5	5.2	4.1	9.4	4.7	3.2	9.8
16	10.9	10.2	6.5	1.6	8.8	6.3	3.1	7.4	8.0	6.7
17	4.9	0.0	0.0	0.0	0.0	0.0	0.0	0.0	0.2	0.0
18	7.5	7.0	5.4	8.0	3.8	0.9	6.7	4.6	2.2	4.8
19	9.8	6.6	5.1	1.7	2.0	0.0	0.9	0.4	5.4	0.0
20	10.5	10.8	9.2	9.9	10.7	9.0	10.4	8.0	9.5	8.3
21	7.7	7.8	10.7	10.1	6.6	4.3	8.6	7.2	9.5	10.2
22	2.9	8.4	10.9	9.8	7.0	7.3	10.9	6.2	9.7	10.3
23	0.0	0.0	2.6	0.1	0.3	1.0	0.7	1.8	5.0	4.7
24	0.8	5.1	0.0	5.8	1.6	0.1	5.4	1.3	4.6	5.0
25	0.9	3.8	8.0	7.0	4.4	2.6	8.9	4.8	4.5	9.4
26	0.0	4.1	0.9	2.2	1.2	0.0	2.3	0.0	0.1	0.0
27	10.4	9.6	8.0	1.1	5.0	7.1	0.6	3.7	2.7	0.3
28	7.6	4.0	4.4	0.8	1.8	0.2	1.3	2.2	8.3	3.2
29	0.0	0.0	0.0	0.0	0.0	0.0	0.0	0.0	0.0	0.0
30	3.4	4.9	10.4	0.0	0.1	0.0	0.0	0.0	1.9	6.8
31										
Mittel	6.7	6.0	6.5	5.0	5.1	4.6	5.2	4.9	5.8	6.1

Oktober

Tag	Lugano	Genève	Montana s. Sierre	Chaux-de-Fonds	Bern	Luzern	Basel	Zürich	Davos	Säntis
1	0.0	5.5	2.7	7.4	4.4	2.5	2.9	0.1	3.8	6.9
2	6.8	7.4	6.5	7.8	3.7	0.0	0.0	1.0	6.7	9.8
3	7.1	5.8	10.3	1.4	0.0	0.0	0.0	0.0	8.4	9.7
4	0.0	6.0	9.5	4.8	3.9	2.6	2.5	2.0	8.4	9.7
5	3.5	3.1	7.2	2.0	4.0	3.5	5.1	8.0	9.0	9.7
6	8.2	0.0	9.7	8.9	2.4	0.0	4.9	4.3	8.4	9.7
7	4.5	7.3	10.0	4.3	0.9	0.0	0.0	0.0	8.3	9.8
8	4.6	4.7	4.9	6.7	0.0	0.0	1.4	0.0	7.0	9.7
9	1.0	3.9	5.8	9.3	4.5	0.7	9.8	5.6	8.3	9.7
10	3.6	7.6	9.4	7.5	6.2	0.0	9.9	0.0	8.1	9.7
11	0.2	0.0	7.0	8.6	0.0	0.0	6.5	1.5	5.1	9.0
12	4.3	8.3	10.2	9.1	7.9	7.5	7.9	5.4	7.5	9.1
13	7.7	0.0	5.7	2.8	6.5	4.0	7.1	7.7	8.0	9.4
14	2.5	0.0	0.0	2.3	4.4	2.3	6.9	6.7	7.4	9.6
15	3.8	7.0	10.3	9.1	6.0	1.5	4.6	4.8	7.9	10.8
16	9.7	6.5	10.2	9.3	3.8	0.0	5.2	3.0	7.8	10.5
17	0.1	0.0	5.5	9.0	3.0	0.0	3.0	0.0	0.2	0.8
18	0.0	0.0	1.3	0.1	1.1	0.5	0.2	0.0	0.4	0.1
19	0.0	2.7	6.4	4.8	5.3	2.7	6.9	3.3	5.1	9.5
20	4.5	5.9	6.7	1.9	4.0	3.2	0.3	1.5	4.1	2.2
21	0.1	5.0	3.5	2.7	3.1	4.3	0.4	5.5	2.5	0.7
22	0.0	0.0	0.0	0.0	0.0	0.0	0.0	0.0	1.0	2.3
23	0.0	0.0	0.0	0.0	0.1	0.0	0.0	0.0	1.0	0.8
24	3.8	0.0	5.5	0.0	0.0	0.0	0.0	0.0	0.4	7.9
25	0.1	0.0	4.8	0.0	0.0	0.0	0.0	0.0	1.9	2.9
26	9.1	5.8	9.6	3.5	8.2	5.9	0.0	2.4	6.8	10.1
27	3.9	0.8	9.1	8.0	4.9	5.2	5.0	2.7	6.7	8.7
28	0.0	2.5	8.8	6.1	7.7	3.9	6.1	3.3	2.3	7.1
29	0.5	4.5	3.0	6.3	2.9	5.4	6.8	4.6	4.8	5.2
30	0.0	1.0	3.3	3.9	6.6	5.4	2.6	4.3	0.4	5.1
31	0.0	1.1	1.7	0.0	0.0	0.0	0.3	1.5	0.9	2.1
Mittel	2.9	3.3	6.1	4.8	3.4	2.0	3.4	2.6	5.1	7.2

November

Tag	Lugano	Genève	Montana s. Sierre	Chaux-de-Fonds	Bern	Luzern	Basel	Zürich	Davos	Säntis
1	1.8	0.4	0.0	0.0	0.9	1.8	0.9	0.0	0.0	0.0
2	8.7	6.4	3.0	5.0	2.7	2.4	3.6	1.8	0.0	0.7
3	0.0	1.1	0.0	1.0	1.2	0.4	0.5	0.2	2.6	0.0
4	8.6	4.8	4.3	2.3	3.7	6.9	5.2	7.9	6.8	8.4
5	0.0	0.3	0.1	1.6	1.8	4.0	2.3	4.6	2.1	5.3
6	0.0	3.1	5.2	0.1	0.8	0.4	0.0	1.4	1.4	4.4
7	0.0	2.3	7.6	5.1	6.3	6.8	3.6	6.0	3.7	7.1
8	0.0	0.0	0.0	0.1	0.0	0.0	0.0	0.0	0.0	0.0
9	0.5	0.8	4.1	3.4	3.0	5.4	4.3	3.7	3.6	5.6
10	0.0	0.0	0.4	0.7	0.1	1.1	0.1	0.1	3.2	4.3
11	0.0	1.8	1.3	1.8	2.0	2.5	3.5	1.8	1.5	2.4
12	0.8	3.4	1.8	2.3	1.4	0.0	0.4	0.1	0.0	0.0
13	1.5	1.5	0.6	0.4	0.1	0.8	0.1	0.7	0.7	0.0
14	5.6	0.0	0.0	0.0	0.0	0.0	0.0	0.0	0.3	0.0
15	7.2	4.3	7.4	5.8	6.3	6.8	5.6	4.6	0.8	3.9
16	6.5	5.6	6.1	4.5	4.6	4.9	4.9	4.8	4.3	7.1
17	0.0	0.9	0.4	0.5	0.3	0.2	1.0	1.2	0.0	0.0
18	0.0	0.9	1.3	1.3	0.6	1.7	0.9	1.9	0.2	3.5
19	0.0	4.5	1.8	4.4	1.5	0.0	1.9	0.2	0.0	2.2
20	0.0	0.0	0.4	0.0	0.1	0.0	0.0	0.0	0.4	2.7
21	0.0	1.9	0.0	0.3	2.0	2.5	0.9	1.2	0.0	1.2
22	0.0	3.8	3.5	0.7	1.3	1.8	1.5	2.7	0.0	0.0
23	7.4	3.7	5.7	2.4	3.3	4.5	2.9	4.3	4.1	5.1
24	5.4	0.0	0.8	0.0	0.0	1.1	0.1	0.0	0.0	0.0
25	1.3	0.0	2.0	0.2	0.6	2.2	0.6	2.3	0.7	2.1
26	4.1	1.3	1.6	0.6	0.0	0.0	0.5	0.0	0.0	0.0
27	6.7	5.5	8.2	6.7	6.4	1.8	0.0	4.4	5.8	8.8
28	6.9	6.3	8.1	7.9	3.3	1.8	6.1	5.0	5.8	8.1
29	6.4	6.3	2.9	3.2	3.1	1.1	1.4	0.7	0.0	0.0
30	5.3	6.6	4.2	2.3	4.3	1.7	0.0	0.6	0.0	2.1
31										
Mittel	2.8	2.6	2.8	2.2	2.1	2.2	1.8	2.1	1.6	2.8

Dezember

Tag	Lugano	Genève	Montana s. Sierre	Chaux-de-Fonds	Bern	Luzern	Basel	Zürich	Davos	Säntis
1	6.7	6.2	8.2	6.5	6.5	2.1	0.0	0.5	5.8	8.1
2	0.0	0.0	1.9	0.2	0.0	0.0	0.0	0.3	1.1	2.6
3	0.0	0.2	0.0	0.0	0.0	0.0	2.3	0.0	0.0	0.0
4	7.0	6.7	7.7	0.0	0.0	0.0	0.0	0.0	1.4	2.5
5	6.7	6.9	7.9	0.0	6.8	5.8	5.1	4.3	2.5	7.7
6	0.0	4.6	4.8	7.3	3.1	4.5	5.6	4.8	4.4	5.0
7	0.1	0.9	0.2	4.3	3.3	0.1	1.5	0.2	0.0	0.0
8	6.9	5.3	7.8	3.0	2.6	3.3	5.5	6.7	5.3	8.3
9	4.5	1.1	0.0	0.0	0.3	1.5	0.0	0.3	3.1	0.0
10	6.9	3.1	7.4	0.1	0.8	3.6	0.0	0.3	4.8	0.0
11	6.9	7.0	4.5	6.5	6.9	3.8	6.1	5.5	1.2	5.7
12	6.8	6.1	7.6	7.4	6.0	5.6	7.4	7.6	5.4	8.4
13	6.8	6.1	7.7	7.4	6.5	6.0	7.5	6.2	5.5	8.1
14	4.6	0.0	3.2	3.7	3.2	0.0	5.0	1.5	5.4	7.3
15	6.7	0.0	7.6	6.4	5.5	0.0	6.2	0.0	5.4	8.2
16	6.6	0.0	7.5	6.9	6.3	1.5	5.9	3.4	3.8	5.7
17	6.6	0.0	7.7	7.4	5.4	2.0	7.4	6.0	5.3	8.0
18	5.8	0.0	7.7	7.5	5.7	0.0	7.3	0.0	5.4	8.3
19	0.0	0.0	7.6	7.5	5.7	0.0	7.5	4.5	5.4	7.2
20	6.0	0.0	3.7	4.9	2.3	2.3	5.8	5.0	5.4	7.7
21	6.6	0.0	7.6	6.6	4.2	2.5	5.8	3.9	5.4	7.8
22	6.6	0.0	7.6	7.2	4.4	0.0	6.3	0.0	5.3	8.1
23	2.0	0.0	5.4	6.0	2.6	0.0	5.9	0.0	4.6	7.0
24	4.3	0.0	7.6	7.1	4.7	1.2	6.6	*1.0	5.4	8.1
25	0.0	0.1	0.5	0.2	0.0	0.1	0.0	0.8	0.8	2.8
26	1.1	1.4	0.0	0.0	0.1	0.0	0.1	0.0	0.0	0.0
27	1.8	0.0	0.6	0.0	0.1	0.0	0.0	0.0	0.6	0.8
28	4.1	1.3	2.3	0.0	1.1	0.0	1.7	1.2	0.0	0.0
29	2.2	0.0	4.7	0.2	0.0	0.7	1.0	2.0	5.3	8.3
30	5.6	1.3	1.0	0.0	0.2	0.0	0.0	0.0	0.0	0.0
31	2.4	2.3	2.2	0.4	1.0	0.7	0.0	0.2	1.4	0.0
Mittel	4.3	2.0	4.8	3.7	3.1	1.5	3.7	2.1	3.4	4.9

Nr. 5

Jahresbericht 1951 des Erdbebendienstes

der Schweizerischen Meteorologischen Zentralanstalt

von Dr. E. Wanner

Stationen:	**Zürich**	**Chur**	**Neuchâtel**	**Basel**	**Brig**
	Direktor: Dr. J. Lugeon	Prof. Dr. h. c. Kreis	Prof. Dr. E. Guyot	Dr. M. Bider	Prof. Dr. Werlen
	Bearbeiter: Dr. E. Wanner				

1. **Persönliches, statistische Bemerkungen und Besprechung einzelner Fälle.**
2. **Tabellarische Zusammenstellung der in der Schweiz im Jahre 1951 verspürten und auf den Erdbebenwarten registrierten Erdbeben.**

1. Persönliches, statistische Bemerkungen und Besprechung einzelner Fälle.

Die vier schweizerischen Hauptstationen waren mit Ausnahme der Station Chur dauernd im Betrieb. Wegen Umbauten am Kantonsschulgebäude mußte der Universalseismograph in Chur während etwa zwei Monaten stillgelegt werden. Im ganzen wurden 126 Nahebeben und 207 Fernbeben abgelesen und analysiert.

Auf dem Gebiet der Schweiz wurden außerdem 26 Erdbeben oder Erdstöße von der Bevölkerung verspürt. Drei Beben hatten ihren Herd im benachbarten Ausland. Die Ausstrahlungen eines Herdes in der Pochene verursachten am 15. und 16. Mai stellenweise große Panik in der Südschweiz. Etwelchen Schrecken und unangenehme Erinnerungen an den Ufereinbruch vom Jahre 1887 hat ferner das Lokalbeben vom 30. Dezember bei der Bevölkerung von Zug ausgelöst. Der Herd im Mittelwallis hat sich immer noch nicht ganz beruhigt. Mit Sicherheit sind dort 15 Beben verspürt worden; 1949 waren es 21, 1950 22 Beben.

Die verspürten Beben verteilen sich auf die verschiedenen Tagesstunden wie folgt:

0—2 h	2—4 h	4—6 h	6—8 h	8—10 h	10—12 h	12—14 h	14—16 h	16—18 h	18—20 h	20—22 h	22—24 h
3	2	1	2	3	4	2	0	1	2	2	4

auf die Monate:

Januar	Februar	März	April	Mai	Juni	Juli	August	September	Oktober	November	Dezember
4	1	4	1	2	8	2	2	0	0	1	1

Als Konstanten für die Instrumente können die folgenden Werte benützt werden:

Station 1951	Apparat	Maße in kg	Komponente	Vergrößerung für schnelle Schwingungen	Eigenperioden in Sek.	Dämpfung	Reibung in $^m/_m$	Registriergeschwindigkeit pro Minute	Mittlerer Zeitinterpolationsfehler in Sek.
Zürich Juli 2.	U-S Q.-P.	20600	N-S	1400	2.9	3.0 : 1	0.8	ca. 90 $^m/_m$	± 0.1
			E-W	1420	2.9	3.0 : 1	0.8	90 $^m/_m$	± 0.1
			V	1450	1.0	2.0 : 1	0.6	90 $^m/_m$	± 0.1
	Mainka	450	N-S	120	8.0	3.0 : 1	1.6	25 $^m/_m$	± 0.5
			E-W	120	7.0	3.0 : 1	1.6	25 $^m/_m$	± 0.5
	Kreis	1050	V	180	2.6	2.5 : 1	0.2	30 $^m/_m$	± 0.5
Chur	U-S	13000	N 28° E	1210	2.7	2.5 : 1	1.2	60 $^m/_m$	± 0.1
			E 28° S	1350	2.7	2.0 : 1	1.5	60 $^m/_m$	± 0.1
			V	2400	1.7	1.9 : 1	1.7	60 $^m/_m$	± 0.1
Neuchâtel Juli 20.	U-S	19000	N-S	1660	2.6	4.5 : 1	0.4	60 $^m/_m$	± 0.1
			E-W	1600	2.8	4.0 : 1	0.4	60 $^m/_m$	± 0.1
			V	1710	1.1	2.1 : 1	0.1	60 $^m/_m$	± 0.1
Basel	U-S	19750	N-S	2040	3.2	3.0 : 1	0.2	60 $^m/_m$	± 0.1
			E-W	2220	3.3	4.4 : 1	0.1	60 $^m/_m$	± 0.1
		19500	V	2010	3.2	5.0 : 1	0.1	60 $^m/_m$	± 0.1
Brig	Mainka	135	N-S	70	4.0	3.0 : 1	0.3	25 $^m/_m$	—
			E-W	70	4.0	3.0 : 1	0.3	25 $^m/_m$	—
	Wiechert	80	V	70	3.0	2.0 : 1	0.9	25 $^m/_m$	—

U-S Q.-P. = Universalseismograph Quervain-Picard.

2. Tabellarische Zusammenstellung der in der Schweiz verspürten und der an den Erdbebenstationen Zürich, Chur, Basel, Neuchâtel und Brig registrierten Erdbeben

Tabelle I. In der Schweiz verspürte Erdbeben 1951

Z = Zürich Ch = Chur B = Basel N = Neuchâtel Br = Brig (Vgl. auch Tafel)

Nr.	Datum	MEZ 0-24 h	Epizentralgebiet (gesperrt gedruckt) und erschütterte Gebiete	Grad Forel-Bossi	Grösste Ausdehnung	Zahl d. pos. Meldungen	Zahl d. neg. Meldungen	Registriert in	Bemerkungen über Charakter, Zahl der Stöße und Wirkungen
	1951	h m			km				
1	Jan. 5.	11.05	Mittelwallis Montana V Sitten IV, (Tab. II Nr. 1, Tafel 2)	V	10	2	—	Z	Explosionsartig, Krachen im Gebälk
2	„ 14.	13.47	Mittelwallis Montana V Evolena III (Tab. II Nr. 6, Tafel 2)	V	25	3	—	N, B, Z, Ch	Kräftige Erschütterung
3	„ 18.	8.54	SW von Ilanz Obersaxen IV Tavanasa IV (Tab. II Nr. 8, Tafel 1)	IV	10	3	—	Z, B, Ch	Deutliche Erschütterung
4	„ 29.	0.48	Chur und Umgebung Churwalden IV, Malix IV (Tab. II Nr. 9)	V	5	4	—	Ch	In Chur im Freien Lärm mit Erschütterung
5	Febr. 28.	9.12	Mittelwallis Leukerbad IV lokal (Tab. II Nr. 24, Tafel 1)	IV	—	1	—	B, Z	Dumpfer Schlag gefolgt von Vibrationen
6	März 3	10.26	Mittelwallis Montana IV—V Sitten IV (Tab. II Nr. 25, Tafel 2)	V	10	2	—	N, B, Z	Erschütterung beobachtet
7	„ 4.	6.11	Mittelwallis lokal Montana IV (Tab. II Nr. 27, Tafel 1)	IV	—	1	—	Z	Deutliche Erschütterung
8	„ 9.	22.19	Dent Blanche Evolena IV Zermatt IV (Tab. II Nr. 31, Tafel 4)	IV	30	3	—	B, Z	Erschütterung mit Lärm
9	„ 11.	8.41	Evolena lokal	III	—	1	—	—	Schwache Erschütterung
10	April 12.	18.34	Mittelwallis Montana IV Sitten III (Tab. II Nr. 37, Tafel 2)	IV	10	3	—	N, Z, B	Deutlicher Stoß
11	Mai 15.	23.54	Po-Ebene nördlich von Mailand in der Schweiz: Mendrisotto VI, übriges Tessin V, Alpen und Mittelland V—IV, Jura, Schaffhausen und Bodenseegebiet III (Tab. II Nr. 51, Tafel 5)	—	—	140	—	Ch, Z, B, N	Im Mendrisotto starke Erschütterung der Gebäude, stellenweise Panik, in der übrigen Schweiz wellenartige Bewegung
12	„ 16.	3.27	Nachstoß zu Nr. 11 Mendrisotto V, Alpen zwischen Rhein und Rhone IV—V, Engadin IV, Jura III, Schaffhausen, Bodenseegebiet III (Tab. II Nr. 52, Tafel 6)	—	—	120	—	Ch, Z, B, N	Dieses Beben wurde allgemein etwas weniger stark empfunden
13	Juni 1.	5.18	Mittelwallis Montana V Leukerbad IV, Sion IV (Tab. II Nr. 62, Tafel 2)	V	30	10	—	N, Z	Montana explosionsartig. Erwachen der Bevölkerung
14	„ 3.	19.40	Mittelwallis Montana lokal (Tab. II Nr. 64, Tafel 1)	IV	—	3	—	B, Z	Kurzer Vertikalstoß
15	„ 5.	13.41	Mittelwallis Montana lokal (Tab. II Nr. 65, Tafel 1)	IV-V	—	3	—	B, Z	Stoß, explosionsartig
	„ 19.	11.16	Felssturz auf die Straße Chur—Maladers	—	—	—	—	Ch	Lastauto und ein Haus zerstört, ein Todesopfer
16	„ 19.	20.27	Mittelwallis Montana III lokal (Tab. II Nr. 74, Tafel 1)	III	—	1	—	N, B, Z, Ch	
17	„ 19.	22.25	Schwarzwald (Deutschland) in der Schweiz: Hallau IV (Tab. II Nr. 75, Tafel 2)	—	—	1	—	Z, B	Knacken in den Wänden

Nr.	Datum	MEZ 0-24 h	Epizentralgebiet (gesperrt gedruckt) und erschütterte Gebiete	Grad Forel-Bossi	Grösste Ausdehnung	Zahl d. pos. Meldungen	Zahl d. neg. Meldungen	Registriert in	Bemerkungen über Charakter, Zahl der Stöße und Wirkungen
	1951	h m			km				
18	Juni 20.	1.24	**Mittelwallis** Montana V (Tab. II Nr. 76, Tafel 1)	V	—	2	—	N,B,Z,Ch	Explosionsartiger Vertikalstoß. Erwachen vieler Leute
19	„ 25.	22.46	**Reußtal zwischen Altdorf und Erstfeld** IV (Tab. II Nr. 79, Taf. 2)	IV	+	5	—	Z	Von vielen als Schlag von unten wahrgenommen
20	Juli 20.	16.25	**St. Gotthard** IV Airolo IV, Andermatt IV, Gurtnellen IV, Göschenen IV (Tabelle II Nr. 86, Tafel 4)	IV	15	5	—	Z, N, B	Stellenweise Knall mit Stoß. Airolo Stoß aus der Richtung La Fibbia
21	„ 24.	10.28	**Mittelwallis** Montana V—VI Sitten V, Leukerbad V, Kandersteg V, Adelboden V, Château-d'Oex IV, Val de Bagnes IV, vereinzelt in Zürich (Tab. II Nr. 89, Tafel 3)	V-VI	60	10	—	N, B, Z	Kräftige Erschütterung mit Lärm
22	Aug. 1.	10.55	**Mittelwallis** Montana V Sitten V, Val de Bagnes IV, Château-d'Oex IV, Adelboden IV (Tabelle II Nr. 92, Tafel 3)	V	60	10	—	N, B, Z	Starker Stoß
23	„ 14.	7.44	**Mittelwallis** Montana IV Sitten IV (Tab. II Nr. 100, Tafell 2)	IV	10	2	—	B, Z	Deutlicher Stoß
24	„ 20.	20.49	**Mittelwallis** Montana V Sitten V, Adelboden IV, Château-d'Oex IV (Tab. II Nr. 101, Tafel 3)	V	35	6	—	N, B, Z	Scharfer Stoß
25	Nov. 3.	3.26	**Lac de Neuchâtel** Neuchâtel IV (Tab. II Nr. 116, Taf. 4)	—	—	2	—	N, B, Z	In der Stadt Neuchâtel, besonders in obern Stockwerken, als Vibration verspürt
26	Dez. 30.	1.49	**Zug und Umgebung** V Baar III, Lorzetobel III (Tabelle II Nr. 126, Tafel 4)	V	10	27	—	Z	Besonders in der Altstadt als dumpfer Schlag von unten empfunden; viele Bewohner erwachen

Tabelle II. In der Schweiz 1951 registrierte Nahebeben

Mittlere Zeit Greenwich:

Station	Meereshöhe	Lage	Untergrund
Erdbebenwarte Zürich (Z);	604 m;	Breite: 47° 22′ 7.2″ N; Länge: 8° 34′ 49.5″ E;	Molassesandstein u. Mergel, wechsellagernd.
Erdbebenwarte Chur (Ch);	630 m;	Breite: 46° 50′ 59.5″ N; Länge: 9° 32′ 12.1″ E;	Bündnerschiefer der penninischen Decke.
Observatoire Neuchâtel (N);	487 m;	Breite: 46° 59′ 50.6″ N; Länge: 6° 57′ 26.2″ E;	Gewachsener Kalkfels.
Erdbebenwarte Basel (B);	309 m;	Breite: 47° 32′ 24″ N; Länge: 7° 34′ 58.5″ E;	Nagelfluhschichten.
Erdbebenwarte Brig (Br);	708 m;	Breite: 46° 18′ 55″ N; Länge: 7° 59′ 44″ E;	Alluvium

Nr.	Datum	Station	Epizentralentfernung nach S–P	Max. Amplitude	Ungefähre Dauer der Registr.	Phasen, Bemerkungen Wo nichts weiteres bemerkt ist, beziehen sich die Ablesungen auf die Apparate Quervain-Piccard der Stationen Zürich, Chur, Neuchâtel und Basel.
	1951		km	μ	Min.	
1	Jan. 5.	Z	142	0.6	0.5	eP̄ 10 h 05 m 16.0 s eS̄ 10 h 05 m 34.2 s Mittelwallis V (vergl. Tab. I Nr. 1, Tafel 2)
2	” 5.	Ch	255	—	2.0	eP̄ 13 h 16 m 58.8 s eS̄ 13 h 17 m 31.0 s? Min'-Lücke
		Z	310	1.0	2.0	ePn 13 h 17 m 11.8 s eP̄? 13 h 17 m 24.6 s eS̄ 13 h 17 m 57.4 s
		B	–	–	1.0	e 13 h 18 m 05.6 s eS̄ 13 h 18 m 17.0 s Vermutlich östliche Poebene; B. I. gibt 44.8° N 9° 24′ E
3	” 5	Ch	230	—	2.0	ePn 20 h 09 m 06.1 s eS̄ 20 h 09 m 37.2 s
		Z	305	0.5	2.0	ePn? 20 h 09 m 10.5 s eS̄ 20 h 09 m 55.4 s
		B		—	2.0	e 20 h 09 m 40.6 s eS̄? 20 h 10 m 15.0 s Nach Rom NE von Genua, zirka 44.8° N 9° 24′ E 0 = 20 h 08 m 22.0 s Mezzanego IV
4	” 11.	Z	240?	0.4	2.0	e 0 h 00 m 45.8 s eP̄ 0 h 00 m 48.6 s eS̄ 0 h 01 m 18.9 s Schwache Registrierung!
5	” 12.	Ch	—	—	6.0	ePn 14 h 56 m 58.4 s i 14 h 57 m 02.3 s Dilat.
		Z	520	7.0	7.0	ePn 14 h 57 m 10.4 s eP̄ 14 h 57 m 27.2 s eS̄ 14 h 58 m 30.7 s
		N	—	—	10.0	ePn 14 h 57 m 21.2 s eL 14 h 59 m 09.0 s
		B	590	—	15.0	ePn? 14 h 57 m 27.8 s eS̄ 14 h 59 m 01.0 s Rom 44.8° N 14.7° E 0 = 14 h 55 m 53.0 s, besonders auf der Insel Arbe verspürt
6	” 14.	N	82	—	1.0	iP̄ 12 h 46 m 59.1 s eS̄ 12 h 47 m 10.0 s
		B	136	—	1.0	eP̄ 12 h 47 m 05.6 s eS̄ 12 h 47 m 24.0 s
		Z	143	1.0	1.0	eP̄ 12 h 47 m 06.2 s iP̄ 12 h 47 m 07.6 s eS̄ 12 h 47 m 25.7 s
		Ch	—	—	2.0	eP̄ 12 h 47 m 12.8 s eS̄? Min'-lücke 12 h 47 m 32.5 s Mittelwallis (vergl. Tab. I Nr. 2 und Tafel 2)
7	” 16.	Ch	620	—	7.0	ePn 01 h 13 m 28.7 s i 01 h 13 m 30.2 s Compr. eSn 01 h 14 m 39.7 s
		Z	770	10.0	8.0	ePn 01 h 13 m 38.3 s Delat. eSn 01 h 15 m 05.1 s
		N	720?	—	10.0	ePn 01 h 13 m 47.4 s eSn 01 h 15 m 10.0 s
		B	750?	—	10.0	ePn 01 h 13 m 47.8 s Compr. eSn 01 h 15 m 13.0 s Rom: 42° N 15.8° E 0 = 01 h 11 m 47.0 s Verspürt im Gebiet des Monte Gargano in S. Nicandro Garganico, Peschici, M. S. Angelo, S. Giovanni Rotondo mit Intensität VII
8	” 18.	Ch	42	—	1.0	iP̄ 07 h 54 m 24.7 s iS̄ 07 h 54 m 30.1 s
		Z	78	2.6	1.0	eP̄ 07 h 54 m 30.4 s eS̄ 07 h 54 m 40.1 s
		B	135	—	1.0	eP̄ 07 h 54 m 41.1 s eS̄ 07 h 54 m 58.0 s Zirka 9° 05′ E 46° 45′ N 0 = 7 h 54 m 17.0 s (Vergl. Tab. I Nr. 3 und Tafel 1)
9	„ 28.	Ch	lokal	—	0.5	iP̄ 23 h 48 m 43.8 s Compr. iS̄ 23 h 48 m 44.8 s
		Z	—	—	—	Nur schwache Spuren; Azimut 110 —150 . P-Phase schwach (vergl. Tab. I Nr. 4)
10	.. 29.	Ch	62?	—	1.0	eP̄ 00 h 46 m 21.7 s iS̄? 00 h 46 m 29.4 s e 00 h 46 m 35.0 s i 00 h 46 m 40.1 s
		Z	160	2.0	1.0	eP̄ 00 h 46 m 29.6 s eS̄ 00 h 46 m 49.7 s
		B	235	—	1.0	eP̄ 00 h 46 m 43.6 s eS̄ 00 h 47 m 13.0 s Vermutlich Inntal im Grenzgebiet Österreich—Schweiz, keine Meldungen!
11	„ 29.	Z	115?	1.0	0.5	eP̄ 11 h 17 m 22.2 s? iS̄ 11 h 17 m 36.8 s Sehr schwache P-Phase
		B	170?	—	1.0	eP̄ 11 h 17 m 31.6 s? eS̄ 11 h 17 m 53.0 s
12	„ 30.	B	—	—	1.0	e 3 h 11 m 40.6 s e 3 h 11 m 51.0 s
		Z	105	0.2	0.5	eP̄ 3 h 11 m 52.4 s eS̄ 3 h 12 m 05.9 s Keine makroseismischen Beobachtungen!

Bemerkung: Die Buchstabengruppen B. I., bzw. J. S. A. und U. S. C. G. S. sind gebräuchliche Abkürzungen für Bureau International bzw. Jesuit Seismological Association und United States Coast and Geodetic Survey.

Tabelle II (Fortsetzung)

Nr.	Datum	Station	Epizentral-entfernung nach S-P	Max. Amplitude	Ungefähre Dauer der Registr.	Phasen, Bemerkungen
	1951		km	μ	Min.	
13	Febr. 1.	Z	600–640	1.0	3.0	ePn 06 h 09 m 11.2 s eP 06 h 09 m 33.8 s eS 06 h 10 m 45.4 s
		B	670?	—	3.0	eP? 06 h 09 m 49.7 s eS 06 h 11 m 13.0 s Grenzgebiet zwischen Niederösterreich und Slowakei. B. I. gibt 48.3 N 16.8 E 0 = 06 h 07 m 46.9 s
14	„ 5.	Z	—	0.2	3.0	e? 10 h 01 m 09.5 s e 10 h 01 m 47.8 s eS? 10 h 02 m 41.7 s Nach Prag Explosion von 35 Tonnen Sprengstoff 50° 34.6′ N 14° 01.1′ E 0 = 10 h 00 m 05.0 s Schwache Registr. gestört durch Bodenunruhe!
15	„ 5.	Z	15	0.3	0.2	eP 10 h 37 m 40.9 s eS 10 h 37 m 42.9 s Keine makroseismischen Meldungen, nach Seismogrammhabitus Effretikon
16	„ 11.	N	—	—	0.5	e 01 h 08 m 09.4 s
		Z	115?	0.2	0.5	eP? 01 h 08 m 39.3 s eS 01 h 08 m 53.7 s Schwache Registrierung, keine makroseismischen Meldungen!
17	„ 15.	Z	12	0.5	0.2	eP 12 h 44 m 01.7 s eS 12 h 44 m 03.3 s Nachstoß zu Nr. 15
18	„ 17.	Ch	—	—	5.0	ePn 20 h 37 m 33.4 s
		Z	670	4.0	4.0	ePn 20 h 37 m 44.3 s eSn 20 h 39 m 01.6 s eS 20 h 39 m 26.6 s
		B	—	—	5.0	e 20 h 38 m 44.8 s eS? 20 h 40 m 06.0 s
		N	—	—	5.0	e 20 h 39 m 12.0 s e 20 h 40 m 30.0 s Bosnien; B. I. gibt 43.9° N 16.9 ° E 0 = 20 h 35.0 m
19	„ 19.	Z	15	0.4	0.2	eP 15 h 59 m 18.4 s eS 15 h 59 m 20.6 s Nachstoß zu Nr. 15, gleicher Habitus
20	„ 20.	Ch	—	—	5.0	ePn 00 h 15 m 49.2 s Dilat. e 00 h 16 m 51.2 s
		Z	—	10.0	6.0	ePn 00 h 15 m 55.1 s e 00 h 17 m 03.7 s e 00 h 17 m 39.0 s
		B	—	—	6.0	ePn 00 h 16 m 03.5 s e 00 h 16 m 16.0 s e 00 h 16 m 42.0 s
		N	—	—	6.0	ePn 00 h 16 m 08.6 s e 00 h 18 m 50.0 s Nach B. I. 47.7° N 19.7° E 0 = 00 h 14 m 22.0 s Leichtere Schäden in Tolmacs, Bánk Nográd
21	„ 25.	Ch	112	—	1.0	eP 01 h 52 m 06.9 s iS 01 h 52 m 21.3 s
		Z	206	2.0	1.0	eP 01 h 52 m 24.0 s eS 01 h 52 m 50.1 s
		B	285	—	1.0	eP 01 h 52 m 34.1 s eS 01 h 53 m 10.0 s V. Judicaria, Trentino zirka 46.0° N 11° E
22	„ 26	Z	280	0.5	1.0	ePn? 19 h 42 m 42.4 s eP 19 h 42 m 47.8 s eS 19 h 43 m 22.4 s
		B	—	—	1.0	ePn? 19 h 42 m 49.1 s e 19 h 43 m 03.0 s e 19 h 43 m 56.0 s Vermutlich bayrische Alpen?
23	„ 27.	B	35	—	1.0	eP 23 h 30 m 45.7 s eS 23 h 30 m 50.0 s
		Z	—	—	—	Keine Registrierung!
24	„ 28.	Z	143	2.0	1.0	eP 8 h 12 m 23.2 s e 8 h 12 m 40.7 s iS 8 h 12 m 41.7 s
		B	—	—	1.0	eP? 8 h 12 m 24.0 s eS 8 h 12 m 41.0 s Mittelwallis (vergl. Tab. I Nr. 5, Tafel 1)
25	März 3.	N	83	—	1.0	iP 09 h 26 m 37.5 s i_2S 09 h 26 m 51.0 s
		Z	144	1.0	1.0	eP 09 h 26 m 45.2 s eS 09 h 27 m 03.8 s e 09 h 27 m 06.2 s
		B	?	—	1.0	eP? 09 h 26 m 45.5 s eS 09 h 27 m 05.0 s Mittelwallis (vergl. Tab. I Nr. 6, Tafel 2)
26	„ 4.	Ch	680?	—	3.0	ePn 03 h 23 m 32.0 s Dilat. eSn? 03 h 24 m 49.8 s
		Z	—	1.0	4.0	ePn 03 h 23 m 44.4 s e 03 h 25 m 13.5 s
		B	—	—	5.0	ePn 03 h 23 m 52.4 s e 03 h 24 m 34.0 s Vermutlich Nachstoß zu Nr. 18
27	„ 4	B	—	—	0.5	eP? 5 h 11 m 44.8 s iS 5 h 11 m 02.4 s
		Z	—	0.5	0.5	eP? 5 h 11 m 47.5 s eS 5 h 12 m 06.9 s Mittelwallis (vergl. Tab. I Nr. 7, Tafel 1)
28	„ 5.	Ch	lokal	—	0.3	eP 4 h 49 m 24.0 s iS 4 h 49 m 24.5 s Keine makroseismischen Meldungen!
29	„ 6.	Z	—	0.5	3.0	e 3 h 18 m 29.2 s Vorbeben zu Nr. 30
30	„ 6.	Z	—	0.5	3.0	e 5 h 17 m 32.8 s Nach Beograd in Bar gespürt, B. I. gibt 42.1° N 19.2° E 0 = 5 h 13 m 54.0 s
31	„ 9.	Z	160	0.5	0.5	eP 21 h 19 m 21.0 s eS 21 h 19 m 41.3 s
		B	175	—	—	eP 21 h 19 m 21.8 s eS 21 h 19 m 44.0 s Gebiet der Dent Blanche, Wallis (vergl. Tab. I Nr. 8, Tafel 4)

Tabelle II (Fortsetzung)

Nr.	Datum	Station	Epizentral-entfernung nach S–P	Max. Amplitude	Ungefähre Dauer der Registr.	Phasen, Bemerkungen
	1951		km	μ	Min.	
32	März 13.	Z	—	1.0	3.0	e 15 h 03 m 41.3 s
33	" 14.	B	350	—	20.0	ePn 09 h 47 m 45.3 s e 09 h 48 m 00.0 s eSn 09 h 48 m 28.0 s
		Z	380	>170	20.0	ePn 09 h 47 m 51.0 s Dilat. eSn 09 h 48 m 37.3 s eS̄ 09 h 48 m 48.2 s
		N	420	—	20.0	ePn 09 h 47 m 53.0 s e 09 h 48 m 06.0 s eS̄ 09 h 48 m 57.0 s
		Ch	420?	—	20.0	ePn 09 h 48 m 01.8 s Dilat. e 09 h 48 m 02.4 s eS̄? 09 h 49 m 05.9 s Nach der Presse Schadenbeben im Gebiet der Eifel Stuttgart gibt: 50° 35.5′ N 6° 43.2′ E 0 = 9 h 47 m 00.0 s Euskirchen VIII
34	" 22.	Z	105	0.3	1.0	eP̄ 15 h 14 m 16.2 s eS̄ 15 h 14 m 29.2 s Schwäbische Alb, Schmiechatal IV—V; Stuttgart gibt: 48° 14′ N 9° 00.5′ E 0 = 15 h 13 m 58.4 s h = 3—5 km
35	April 10.	Ch	65	—	1.0	eP̄ Min'-lücke 20 h 45 m 31.0 s eS̄ 20 h 45 m 39.4 s
		Z	156	0.6	1.0	eP̄ 20 h 45 m 47.3 s eS̄ 20 h 46 m 07.1 s
		B	250	—	1.0	eP̄? 20 h 45 m 54.3 s eS̄ 20 h 46 m 26.0 s Südlich vom Ofenberg Grenzgebiet Italien-Schweiz, keine makroseismischen Meldungen!
36	" 12.	N	17	—	1.0	iP̄ 15 h 33 m 20.0 s iS̄ 15 h 33 m 22.1 s Az. 200°
		B	92	—	1.0	eP̄ 15 h 33 m 35.5 s eS̄ 15 h 33 m 47.0 s
		Z	136?	0.5	1.0	eP̄? 15 h 33 m 42.8 s eS̄ 15 h 33 m 59.4 s Lac de Neuchâtel im Gebiet von Estavayer, keine makroseismischen Meldungen!
37	" 12.	N	80	—	0.5	eP̄ 17 h 34 m 22.5 s i 17 h 34 m 25.0 s eS̄ 17 h 34 m 32.0 s e 17 h 34 m 37.0 s
		B	130?	—	1.0	eP̄? 17 h 34 m 32.1 s eS̄ 17 h 34 m 47.0 s
		Z	140?	—	1.0	eP̄ 17 h 34 m 32.4 s i 17 h 34 m 34.0 s eS̄? 17 h 34 m 51.2 s Min'-lücke Mittelwallis (vergl. Tab. I Nr. 10, Tafel 2)
38	" 13.	N	12	—	0.5	iP̄ 08 h 27 m 11.4 s iS̄ 08 h 27 m 13.1 s
		Z	—	—	—	Nicht registriert!
39	" 16.	B	lokal	—	0.1	iP̄ 10 h 31 m 20.8 s iS̄ 20 h 31 m 21.0 s Nicht beobachtet!
40	" 16.	N	—	—	2.0	ePn? 15 h 48 m 14.7 s e 15 h 49 m 21.0 s
		Z	390?	0.5	2.0	ePn? 15 h 48 m 15.4 s eS̄ 15 h 49 m 04.7 s
		B	—	—	2.0	e 15 h 48 m 21.9 s e 15 h 49 m 02.0 s Nachstoß zu Nr. 33, schwache Registrierung!
41	" 17.	Z	40?	9.0	0.5	P̄? Min'-lücke 5 h 48 m 51.1 s iS̄ 5 h 48 m 51.1 s
		B	—	—	0.5	iS̄ 5 h 49 m 15.0 s i 5 h 49 m 15.2 s Nach Seismogrammhabitus Gebiet östlich von Winterthur, keine Meldungen!
42	" 18.	Z	100	1.0	0.5	eP̄ Compr. 16 h 51 m 04.5 s eS̄ 16 h 51 m 17.2 s
		B	—	—	0.5	eS̄ 16 h 51 m 25.0 s Nach Stuttgart Schwäbische Alb, oberes Schmiechatal
43	" 26.	N	15	—	0.5	iP̄ 16 h 12 m 07.0 s iS̄ 16 h 12 m 08.9 s
		Z	—	0.2	0.5	eS̄ 16 h 12 m 46.1 s Keine Meldungen!
44	" 26.	Z	50?	0.3	0.3	eP̄? 18 h 55 m 55.1 s eS̄ 18 h 55 m 01.3 s Keine Meldungen!
45	" 28.	Z	—	0.5	3.0	e 5 h 25 m 36.0 s Spuren von Nahebeben
46	Mai 3.	B	136	—	0.5	eP̄ 5 h 41 m 36.6 s eS̄ 5 h 41 m 54.0 s
		Z	144	0.3	0.5	eP̄ 5 h 41 m 38.2 s i 5 h 41 m 39.2 s eS̄ 5 h 41 m 57.8 s Mittelwallis, keine makroseismischen Meldungen
47	" 3.	N	lokal	—	0.1	iP̄ 23 h 43 m 25.4 s iS̄ 23 h 43 m 26.2 s Keine makroseismischen Meldungen!
48	" 5.	Z	65	0 5	0.5	eP̄ 12 h 38 m 01.4 s iS 12 h 38 m 09.6 s e 12 h 38 m 13.4 s Registriert in Stuttgart d = 110—120 km; keine makroseismischen Meldungen!
49	" 7.	Ch	30	—	0.5	eP̄? 13 h 58 m 58.2 s iS̄ 13 h 59 m 02.1 s
		Z	80	0.3	0.5	eP̄ 13 h 59 m 06.1 s e 13 h 59 m 08.4 s eS̄ 13 h 59 m 15.7 s i 13 h 59 m 20.5 s
		B	—	—	0.5	e 13 h 59 m 39.8 s Vermutl. Fürstentum Liechtenstein, keine makroseismischen Meldungen!
50	" 9.	N	lokal	—	—	iP̄ 15 h 38 m 55.0 s iS̄ 15 h 38 m 55.7 s Az. 120° Keine makroseismischen Meldungen!

Tabelle II (Fortsetzung)

Nr.	Datum	Station	Epizentral-Entfernung nach S-P	Max. Amplitude	Ungefähre Dauer der Registr.	Phasen, Bemerkungen
	1951		km	μ	Min.	
51	Mai 15.	Ch	—	—	10.0	iPn 22 h 54 m 55.9 s Compr. i 22 h 55 m 09.2 s i 22 h 55 m 15.0 s Az. 190°
		Z	—	>200	10.0	iPn 22 h 55 m 03.5 s Compr. i 22 h 55 m 12.5 s i 22 h 55 m 29.1 s Az. 168°
		N	—	—	15.0	iPn 22 h 55 m 07.9 s Compr. e 22 h 55 m 15.0 s e 22 h 55 m 25.4 s e 22 h 55 m 35.0 s
		B	—	—	15.0	iPn 22 h 55 m 09.3 s Compr. e 22 h 55 m 20.0 s e 22 h 55 m 29.0 s Az. 150° [Az. 130° Analyse unsicher! Nach Rom 45.3° N 9.5° E 0 = 22 h 54 m 36.0 s (Vergl. Tab. I Nr. 11, Tafel 5)
52	„ 16.	Ch	—	—	6.0	iPn 2 h 27 m 27.9 s Compr. i 2 h 27 m 41.1 s e 2 h 27 m 46.2 s Az. 190°
		Z	—	25.0	6.0	iPn 2 h 27 m 35.4 s Compr. i 2 h 28 m 02.7 s i 2 h 28 m 14.7 s Az. 160—170°
		N	—	—	10.0	iPn 2 h 27 m 39.9 s i 2 h 27 m 45.5 s i 2 h 27 m 58.0 s i 2 h 28 m 09.0 s Az. 130°
		B	—	—	10.0	iPn 2 h 27 m 41.1 s Compr. e 2 h 28 m 02.0 s e 2 h 28 m 09.0 s Analyse unsicher; Nachstoß zu Nr. 51 (vergl. Tab. I Nr. 12, Tafel 6)
53	„ 16.	Z	—	0.1	3.0	e_Z 3 h 11 m 15.7 s Spuren!
54	„ 16.	Z	—	0.1	2.0	e 10 h 47 m 19.4 s Explosion; nach Prag 13.5 Tonnen Sprengstoff 50° 35.7′ N 13° 51.1′ E 0 = 10 h 45 m 01.0 s
55	„ 16.	Z	—	0.5	0.5	$e\bar{P}$? 07 h 29 m 19.7 s $e\bar{S}$ 07 h 29 m 28.7 s Keine makroseismischen Meldungen!
56	„ 21.	Z	—	0.5	4.0	e_Z 3 h 45 m 14.8 s Schwach Nach B. I. 42.8° N 13.8° E 0 = 3 h 43.7 m
57	„ 24.	Z	510	1.0	3.0	ePn? 21 h 14 m 46.6 s $e\bar{S}$ 21 h 15 m 43.5 s
		B	—	—	2.0	e 21 h 16 m 01.9 s Nach B. I. 46° N 15° E 0 = 21 h 13.0 m
58	„ 25.	Ch	505	—	6.0	ePn 20 h 43 m 47.0 s Dilat. eSn 20 h 44 m 46.2 s
		Z	580	10.0	10.0	ePn 20 h 43 m 58.0 s Compr. eSn? 20 h 45 m 05.0 s
		B	560	—	10.0	ePn 20 h 44 m 04.9 s eSn 20 h 45 m 15.0 s
		N	603	—	10.0	ePn 20 h 44 m 06.1 s eSn 20 h 45 m 11.0 s Az. SE nach Rom 42.8° N 14.2° E 0 = 20 h 42 m 27.0 s In d. Marken verspürt!
59	„ 27.	Z	—	0.2	4.0	Zürich e_Z 08 h 08 m 02.1 s Spuren!
60	„ 28.	Z	380?	0.1	4.0	ePn? 3 h 01 m 28.0 s $e\bar{S}$ 3 h 02 m 25.6 s
		B	—	—	2.0	e 3 h 01 m 36.0 s $e\bar{S}$ 3 h 02 m 11.0 s Nachstoß zu Nr. 33
61	„ 31.	B	18	—	0.1	$e\bar{P}$ 12 h 54 m 11.7 s $i\bar{S}$ 12 h 54 m 14.0 s Keine makroseismischen Meldungen!
62	Juni 1.	N	86	—	1.0	$i\bar{P}$ 4 h 18 m 48.1 s $e\bar{S}$ 4 h 18 m 57.0 s i 4 h 18 m 59.9 s
		B	135	—	1.0	$e\bar{P}$ 4 h 18 m 54.7 s $e\bar{S}$ 4 h 19 m 11.0 s
		Z	—	2.0	2.0	Keine Zeitmarken! Mittelwallis (vergl. Tab. I Nr. 13, Tafel 2)
63	„ 2.	B	30	—	0.5	$e\bar{P}$ 16 h 31 m 34.3 s $e\bar{S}$ 16 h 31 m 38.0 s
		Z	—	—	—	Keine Registrierung! Keine makroseismischen Meldungen!
64	„ 3.	Z	143	0.5	0.5	$e\bar{P}$ 18 h 40 m 26.1 s $e\bar{S}$ 18 h 40 m 44.1 s Mittelwallis (vergl. Tab. I Nr. 14, Tafel 1)
65	„ 5.	Z	143	1.0	1.0	$e\bar{P}$ 12 h 41 m 04.9 s $i\bar{P}$ 12 h 41 m 06.4 s $e\bar{S}$ 12 h 41 m 24.6 s
		B	—	—	1.0	$e\bar{P}$? 12 h 41 m 07.5 s $e\bar{S}$ 12 h 41 m 22.0 s Mittelwallis (vergl. Tab. I Nr. 15, Tafel 1)
66	„ 7.	Ch	120	—	2.0	$e\bar{P}$ 4 h 06 m 48.2 s Compr. i 4 h 06 m 50.5 s Compr. $i\bar{S}$ 4 h 07 m 03.1 s
		Z	176	4.0	2.0	$e\bar{P}$ 4 h 06 m 58.3 s Compr. $i\bar{S}$ 4 h 07 m 20.5 s
		N	295?	—	2.0	ePn? 4 h 07 m 13.3 s $e\bar{S}$ 4 h 07 m 55.9 s
		B	244	—	2.0	$e\bar{P}$ 4 h 07 m 13.8 s $e\bar{S}$ 4 h 07 m 45.0 s Ostalpen, nach B. I. in Barwies VI—VII leichte Bauschäden, ferner verspürt in Obermieming, Obsteig, Silg ...
67	„ 8.	Z	100	0.5	0.5	$e\bar{P}$ 22 h 19 m 36.9 s $e\bar{S}$? Min'-lücke 22 h 19 m 49.8 s Schwäbische Alb, Stuttgart gibt: 48° 15.9′ N 9° 2.0′ E, h = 5 km 0 = 22 h 19 m 21.4 s
68	„ 10.	Z	—	0.2	1.0	e 3 h 29 m 47.5 s Min'-lücke $e\bar{S}$? 3 h 30 m 24.9 s Nach B. I. 46.4° N 12.7° E 0 = 3 h 28 m 50 s

Tabelle II (Fortsetzung)

Nr.	Datum	Station	Epizentral-Entfernung nach S-P	Max. Amplitude	Ungefähre Dauer der Registr.	Phasen, Bemerkungen
	1951		km	μ	Min.	
69	Juni 11.	Ch	220	—	2.0	eP 16 h 59 m 39.9 s eS 17 h 00 m 07.9 s
		Z	320	2.0	2.0	ePn 16 h 59 m 48.8 s eS 17 h 00 m 36.2 s
		B	360	—	2.0	eP? 17 h 00 m 07.9 s eS 17 h 00 m 53.0 s
						Rom: 44.3° N 9.9° E 0 = 16 h 58 m 51.0 s
70	„ 13.	Ch	130	—	2.0	eP 7 h 41 m 13.8 s i 7 h 41 m 17.5 s iS 7 h 41 m 29.6 s
		Z	176	6.0	2.0	eP 7 h 41 m 25.0 s eS 7 h 41 m 47.3 s
		B	220?	—	2.0	eP? 7 h 41 m 43.8 s eS 7 h 42 m 10.0 s
		N	300	—	2.0	eP 7 h 41 m 46.2 s eS 7 h 42 m 23.0 s
						Nachstoß zu Nr. 66
71	„ 13.	Ch	125	—	2.0	eP 7 h 43 m 32.9 s Dilat. e 7 h 43 m 36.0 s iS 7 h 43 m 48.5 s
		Z	176	9.0	2.0	eP Min'-lücke 7 h 43 m 41.6 s eS 7 h 44 m 06.0 s
		B	220?	—	2.0	eP? 7 h 44 m 00.3 s eS 7 h 44 m 28.0 s
		N	320?	—	2.0	eP? 7 h 44 m 01.0 s eS 7 h 44 m 41.0 s
						Nachstoß zu Nr. 66
72	„ 16.	Z	55	0.5	0.5	iP 5 h 50 m 03.1 s i 5 h 50 m 03.8 s eS 5 h 50 m 09.8 s
						Keine makroseismischen Meldungen!
73	„ 18.	Z	215	0.5	2.0	eP 20 h 45 m 14.6 s eS 20 h 45 m 41.6 s
		B	270	—	2.0	eP 20 h 45 m 26.9 s eS 20 h 46 m 01.0 s
						Vermutlich südliche Kalkalpen Trentino?
—	„ 19.	Ch	—	—	0.5	e 10 h 16 m 29.4 s e 10 h 16 m 32.5 s
						Felssturz auf die Straße Chur—Maladers; Lastautomobil zerstört, ferner ein Haus; ein Toter
74	„ 19.	N	86	—	2.0	iP 19 h 27 m 11.7 s i 19 h 27 m 14.4 s iS 19 h 27 m 22.2 s
		B	—	—	2.0	eP 19 h 27 m 22.4 s i 19 h 27 m 46.0 s
		Z	150	3.5	2.0	eP 19 h 27 m 24.2 s i 19 h 27 m 25.3 s iS 19 h 27 m 49.9 s
		Ch	170	—	2.0	eP 19 h 27 m 29.5 s eS 19 h 27 m 53.7 s
						Mittelwallis (vergl. Tab. I Nr. 16, Tafel 1)
75	„ 19.	B	—	—	1.0	eP 21 h 25 m 25.9 s
		Z	50	1.5	1.0	iP 21 h 25 m 44.3 s i 21 h 25 m 45.1 s iS 21 h 25 m 50.8 s
						Az. N 20° W (vergl. Tab. I Nr. 17, Tafel 2)
76	„ 20.	N	86	—	1.0	eP 00 h 24 m 12.5 s i 00 h 24 m 14.7 s iS 00 h 24 m 22.4 s i 00 h 24 m 27.0 s
		B	135	—	2.0	eP 00 h 24 m 20.6 s eS 00 h 24 m 38.0 s
		Z	143	4.0	2.0	eP 00 h 24 m 21.5 s i 00 h 24 m 22.8 s iS 00 h 24 m 41.0 s
		Ch	170	—	2.0	eP 00 h 24 m 25.5 s eS 00 h 24 m 47.7 s
						Mittelwallis (vergl. Tab. I Nr. 18, Tafel 1)
77	„ 22.	N	84	—	1.0	eP 14 h 38 m 29.5 s eS 14 h 38 m 39.0 s
		B	135	—	1.0	eP 14 h 38 m 34.6 s eS 14 h 38 m 52.0 s
		Z	143	0.6	1.0	eP 14 h 38 m 36.5 s i 14 h 38 m 37.3 s eS 14 h 39 m 55.0 s
						Mittelwallis, keine makroseismischen Meldungen!
78	„ 24.	Ch	220	—	1.0	eP? 20 h 41 m 28.6 s eS 20 h 41 m 56.4 s
		Z	330	0.5	2.0	eP? 20 h 41 m 40.7 s eS 20 h 42 m 24.6 s
		B	—	—	2.0	e 20 h 42 m 07.3 s e 20 h 42 m 36.0 s e 20 h 42 m 45.0 s
						Nach B. I. Poebene zirka 44.75° N 12° E 0 = 20 h 40.8 m
79	„ 25.	Z	55?	0.2	0.2	eP? 21 h 46 m 23.8 s eS 21 h 46 m 30.9 s Schwach
						Kt. Uri (vergl. Tab. I Nr. 19, Tafel 2)
80	Juli 3.	Ch	30?	—	0.5	eP 01 h 48 m 04.7 s iS 01 h 48 m 08.5 s
		Z	70?	0.5	0.5	eP 01 h 48 m 16.7 s Min'-lücke eS 01 h 48 m 29.8 s
		B	170	—	0.5	eP 01 h 48 m 26.5 s eS 01 h 48 m 48.0 s
						Vermutlich Rheintal—Liechtenstein. Keine makroseismischen Meldungen!
81	„ 14.	Z	680?	1.0	3.0	ePn? 15 h 46 m 21.0 s eP? 15 h 46 m 33.6 s eSn? 15 h 47 m 38.5 s
		B	660	—	3.0	ePn? 15 h 46 m 23.2 s e 15 h 46 m 56.0 s eS? 15 h 48 m 07.0 s
						Nach B. I. 45° N 15° E 0 = 15 h 44.9 m
82	„ 15.	Z	143	0.3	0.5	eP 10 h 05 m 38.3 s eS Min'-lücke 10 h 05 m 56.1 s
						Mittelwallis, keine makroseismischen Meldungen!
83	„ 15.	N	86	—	1.0	eP 12 h 57 m 19.0 s iS 12 h 57 m 29.0 s i 12 h 57 m 32.2 s
		B	140	—	1.0	eP 12 h 57 m 27.6 s eS 12 h 57 m 47.0 s
		Z	145	1.5	1.0	eP 12 h 57 m 27.6 s i 12 h 57 m 29.3 s eS 12 h 57 m 47.5 s
						Mittelwallis, keine makroseismischen Meldungen!

Tabelle II (Fortsetzung)

Nr.	Datum	Station	Epizentral-entfernung nach S–P	Max. Amplitude	Ungefähre Dauer der Registr.	Phasen, Bemerkungen
	1951		km	η	Min.	
84	Juli 15.	Z	—	0.5	6.0	e 18 h 40 m 39.3 s e 18 h 41 m 55.5 s
		B	—	—	4.0	e 18 h 41 m 05.1 s e 18 h 43 m Nach Beograd 43° 22′ N 19° 21′ E, in Plevlje verspürt VI
85	„ 17.	N	60	—	1.0	i$\overline{P}$ 21 h 17 m 59.6 s i$\overline{S}$ 21 h 18 m 07.3 s Az. 315°
		Z	130	1.0	2.0	e$\overline{P}$ 21 h 18 m 08.4 s i 21 h 18 m 10.1 s e$\overline{S}$ 21 h 18 m 23.6 s
		B	116	—	1.0	e$\overline{P}$ 21 h 18 m 08.6 s e$\overline{S}$ 21 h 18 m 22.0 s Gebiet von Zweisimmen, Kt. Bern; keine makroseismischen Beobachtungen!
86	„ 20.	Z	95	4.0	1.0	i$\overline{P}$ Compr. 15 h 25 m 45.0 s i$\overline{S}$ 15 h 25 m 56.9 s
		N	138	—	1.0	i$\overline{P}$ 15 h 25 m 51.6 s i$\overline{S}$ 15 h 26 m 09.0 s
		B	130	—	1.0	e$\overline{P}$ 15 h 25 m 52.3 s e$\overline{S}$ 15 h 26 m 08.0 s Südabhang des Gotthardmassivs, V. Bedretto (vergl. Tab. I Nr. 20 und Tafel 4)
87	„ 20.	Z	270?	1.0	3.0	ePn 18 h 23 m 12.1 s e$\overline{P}$? 18 h 23 m 15.6 s e$\overline{S}$? 18 h 23 m 50.8 s
		B			2.0	e 18 h 23 m 55.5 s e$\overline{S}$ 18 h 24 m 14.0 s Vermutlich Trentino?
88	„ 21.	Z	143	1.0	1.0	e$\overline{P}$ 11 h 48 m 15.5 s e 11 h 48 m 16.6 s e$\overline{S}$ 11 h 48 m 34.9 s
		B	—	—	1.0	e$\overline{P}$? 11 h 48 m 16.6 s e$\overline{S}$ 11 h 48 m 32.0 s Vermutlich Mittelwallis (nach Seismogrammhabitus), keine makroseismischen Meldungen!
89	„ 24.	N	86	—	4.0	i$\overline{P}$ 9 h 28 m 13.6 s i 9 h 28 m 16.0 s i$\overline{S}$? 9 h 28 m 27.0 s
		B	136	30.0	5.0	i$\overline{P}$ 9 h 28 m 22.7 s e$\overline{S}$ 9 h 28 m 40.0 s
		Z	143	—	5.0	i$\overline{P}$ 9 h 28 m 23.8 s Compr. i 9 h 28 m 25.4 s i$\overline{S}$ 9 h 28 m 42.4 s Min'-lücke Mittelwallis (vergl. Tab. I Nr. 21, Tafel 3)
90	„ 26.	Z	12	1.0	0.1	i$\overline{P}$ Compr. 17 h 15 m 59.6 s i$\overline{S}$ 17 h 16 m 01.4 s Nach Seismogrammhabitus Gebiet von Effretikon
91	„ 31.	Z	165	1.0	1.0	e$\overline{P}$ 8 h 31 m 25.8 s e$\overline{S}$ 8 h 31 m 46.6 s
		B	210	—	1.0	e$\overline{P}$ 8 h 31 m 40.6 s e$\overline{S}$ 8 h 32 m 07.0 s
92	Aug. 1.	N	85	—	5.0	e$\overline{P}$ 9 h 55 m 54.1 s i 9 h 55 m 56.0 s e$\overline{S}$ 9 h 56 m 07.0 s
		B	136	—	5.0	e$\overline{P}$ 9 h 56 m 02.3 s e$\overline{S}$ 9 h 56 m 20.0 s
		Z	143	21.0	5.0	e$\overline{P}$ 9 h 56 m 04.1 s e 9 h 56 m 05.5 s e$\overline{S}$ 9 h 56 m 23.8 s Mittelwallis (vergl. Tab. I Nr. 22, Tafel 3)
93	„ 2.	Z	—	0.5	4.0	ePn? 12 h 52 m 28.1 s
		B	—	0.5	4.0	e 12 h 52 m 44.9 s e 12 h 53 m 45.0 s B. I. 42.75° N 13.25° E 0 = 12 h 50 m 56.0 s Verspürt in Teramo, Ascoli und Terni
94	„ 5.	Z	38	0.2	0.2	i$\overline{P}$ 6 h 00 m 39.2 s i$\overline{S}$ 6 h 00 m 44.1 s Keine makroseismischen Meldungen!
95	„ 8.	Z	620	15.0	10.0	eP_z Dilat. 20 h 58 m 00.1 s eSn 20 h 59 m 11.4 s
		N	640	—	10.0	eP 20 h 58 m 08.1 s eSn 20 h 59 m 21.0 s
		B	—	—	10.0	eP 20 h 58 m 09.1 s e 20 h 58 m 13.0 s eSn? 20 h 59 m 14.0 s Nach Rom 42.6° N 13.5° E 0 = 20 h 56 m 28.5 s Verspürt in den Provinzen Terano, Aquila, Ascoli, Piceno, Terni und Rieti
96	„ 11.	Z	—	0.2	4.0	e 19 h 25 m 14.2 s Spuren von Nahebeben
97	„ 12.	Z	—	2.0	4.0	ePn? 20 h 52 m 33.4 s
		B	460?	—	4.0	ePn? 20 h 52 m 39.0 s eSn 20 h 53 m 34.0 s Adria, nach Rom 43° 40′ N 13° 50′ E 0 = 20 h 51 m 06.5 s In Ancona verspürt!
98	„ 12.	Z	360	10.0	5.0	ePn 21 h 20 m 34.8 s e$\overline{S}$ 21 h 21 m 28.7 s
		B	440	—	5.0	ePn 21 h 20 m 41.2 s e$\overline{S}$ 21 h 21 m 49.0 s B. I. 44.1° N 10.1° E 0 = 21 h 19 m 38.0 s In der Toscana verspürt!
99	„ 13.	Z	143	0.7	1.0	e$\overline{P}$ 17 h 25 m 01.6 s i 17 h 25 m 02.7 s e$\overline{S}$ 17 h 25 m 20.7 s Mittelwallis, keine makroseismischen Meldungen!
100	„ 14.	B	135	—	1.0	e$\overline{P}$ 6 h 44 m 00.7 s e$\overline{S}$ 6 h 44 m 19.0 s
		Z	145	1.3	1.0	e$\overline{P}$ 6 h 44 m 01.7 s i 6 h 44 m 02.9 s e$\overline{S}$ 6 h 44 m 22.4 s Mittelwallis (vergl. Tab. I Nr. 23, Tafel 2)
101	„ 20.	N	86	—	4.0	i$\overline{P}$ 19 h 48 m 48.5 s e$\overline{S}$ 19 h 48 m 59.0 s e 19 h 49 m 03.0 s
		B	135	—	5.0	e$\overline{P}$ 19 h 48 m 57.1 s e$\overline{S}$ 19 h 49 m 14.0 s
		Z	145?	9.0	5.0	e$\overline{P}$? Min'-lücke 19 h 48 m 57.4 s i$\overline{S}$ 19 h 49 m 17.8 s Mittelwallis (vergl. Tab. I Nr. 24, Tafel 3)

Tabelle II (Fortsetzung)

Nr.	Datum	Station	Epizentral-entfernung nach S-P	Max. Amplitude	Ungefähre Dauer der Registr.	Phasen, Bemerkungen
	1951		km	μ	Min.	
102	Aug. 23.	N	lokal	—	0.2	iP̄ 20 h 16 m 20.3 s iS̄ 20 h 16 m 21.1 s Keine makroseismischen Meldungen!
103	„ 24.	B	15	—	0.5	eP̄ 14 h 05 m 46.0 s eS̄ 14 h 05 m 48.0 s Keine makroseismischen Meldungen!
104	„ 27.	Z	950?	—	10.0	ePn 19 h 29 m 38.4 s eSn 19 h 31 m 25.5 s e 19 h 32 m 05.7 s
		B	—	—	4.0	e 19 h 31 m 10.9 s
105	„ 30.	B	15	—	0.1	iP̄ 01 h 21 m 58.2 s iS̄ 01 h 22 m 00.0 s
		N	66	—	0.2	eP̄ 01 h 22 m 05.0 s iS̄ 01 h 22 m 12.9 s
		Z	90	1.0	0.2	eP̄ Compr. 01 h 22 m 09.6 s eS̄ 01 h 22 m 20.5 s Gebiet westlich von Basel, keine makroseismischen Meldungen!
106	Sept. 1.	Z	540?	30.0	10.0	ePn 06 h 57 m 26.6 s Compr. eSn? 06 h 58 m 30.0 s
		B	—	—	10.0	e 06 h 57 m 53.0 s e 06 h 57 m 55.0 s Rom 43° 14.5′ N 13° 35′ E 0 = 6 h 56 m 01.7 s Leichtes Schadenbeben, verspürt in Macerata, Tolentino, Caldarola, Visso VII
107	„ 7.	B	—	—	3.0	e? 23 h 06 m 59.3 s
		N	—	—	3.0	e? 23 h 07 m 42.7 s e? 23 h 08 m 23.0 s Keine Zeitmarken!
		Z	375	3.0	3.0	ePn Compr. 23 h 07 m 44.5 s eS̄ 23 h 08 m 40.7 s Nachstoß zu Nr. 33
108	„ 24.	Z	—	0.5	10.0	e 3 h 32 m 01.7 s Spuren!
109	„ 25.	N	86	—	1.0	eP̄ 04 h 42 m 01.1 s i 04 h 42 m 08.0 s i 04 h 42 m 15.0 s
		B	136	—	1.0	eP̄ 04 h 42 m 05.1 s eS̄ 04 h 42 m 23.0 s
		Z	143	0.5	1.0	eP̄ 04 h 42 m 06.4 s e 04 h 42 m 07.9 s eS̄ 04 h 42 m 27.3 s Vermutlich Mittelwallis? Keine makroseismischen Meldungen!
110	Okt. 17.	Z	1170	1.5	6.0	eP Dilat. 10 h 12 m 19.1 s eSn 10 h 14 m 29.8 s
		B	—	—	6.0	eP 10 h 12 m 34.8 s eL 10 h 16 m 12.0 s Nach Beograd 42° 33′ N 21° 54′ E 0 = 10 h 09 m 42.0 s. Verspürt in Vranja VII
111	„ 18.	Z	105	15.0	3.0	eP 19 h 58 m 01.7 s Dilat. iP 19 h 58 m 02.6 s Dilat. iS̄ 19 h 58 m 16.3 s
		B	132	—	3.0	eP 19 h 58 m 05.1 s Compr. eP 19 h 58 m 07.0 s eS̄ 19 h 58 m 24.0 s
		Ch	160	—	3.0	eP 19 h 58 m 10.6 s Dilat. eP 19 h 58 m 11.9 s eS̄ 19 h 58 m 31.7 s
		N	200	—	3.0	eP 19 h 58 m 19.2 s eS̄ 19 h 58 m 43.0 s Schwäbische Alb, nach Stuttgart verspürt V—VI auf Hohenzollernberg
112	„ 19.	Z	—	0.3	0.5	eS̄ 06 h 53 m 20.0 s iS̄ 06 h 53 m 21.3 s Nachstoß zu Nr. 111
113	„ 27.	Ch	60?	—	1.0	eP̄ 04 h 43 m 07.5 s eS̄? 04 h 43 m 14.7
		Z	140–150	0.5	1.0	eP̄? Min'-lücke 04 h 43 m 16.2 s eS̄ 04 h 43 m 33.9 s
		B	195?	—	1.0	eP̄? 04 h 43 m 31.8 s eS̄ 04 h 43 m 56.0 s Keine makroseismischen Meldungen!
114	„ 29.	Ch	700	—	5.0	ePn 16 h 39 m 44.6 s Dilat. eSn 16 h 41 m 03.5 s
		Z	840	5.5	5.0	ePn 16 h 39 m 55.9 s e 16 h 41 m 07.0 s eSn 16 h 41 m 33.3 s
		B	820	—	5.0	ePn 16 h 40 m 05.6 s eSn 16 h 41 m 38.0 s eL 16 h 42 m 16.0 s
		N	860	—	5.0	ePn 16 h 40 m 07.2 s eSn 16 h 41 m 44.0 s Beograd 43° 20′ N 17° 28′ N Mostar VII
115	„ 29.	Ch	250	—	4.0	ePn 22 h 49 m 42.9 s Dilat. eS̄ 22 h 50 m 13.8 s
		Z	340	4.0	5.0	ePn 22 h 49 m 50.9 s Compr. eP̄? 22 h 50 m 01.7 s eSn 22 h 50 m 32.4 s
		B	410	—	5.0	ePn 22 h 49 m 54.8 s e 22 h 50 m 13.0 s eSn 22 h 50 m 43.0 s
		N	—	—	5.0	ePn 22 h 49 m 58.1 s e 22 h 50 m 39.0 s Rom: 44° 26′ N 10° 40′ E 0 = 22 h 48 m 57.5 s
116	Nov. 3.	N	11	—	1.0	eP̄ 2 h 26 m 25.7 s iS̄ 2 h 26 m 27.1 s
		B	86	—	1.0	eP̄ 2 h 26 m 41.7 s eS̄ 2 h 26 m 53.0 s
		Z	134?	0.5	1.0	eP̄ 2 h 26 m 48.2 s eS̄ 2 h 27 m 04.9 s Lac de Neuchâtel östl. von Boudry (vergl. Tab. I Nr. 25, Tafel 4)
117	„ 17.	Z	260?	1.5	2.0	ePn? 22 h 20 m 24.9 s eS̄ 22 h 21 m 00.9 s
118	„ .19	Ch	240	—	1.0	ePn 20 h 48 m 37.8 s eS̄ 20 h 49 m 10.3 s
		Z	335	0.3	2.0	ePn 20 h 48 m 47.6 s eP̄ 20 h 48 m 55.7 s eS̄ 20 h 49 m 36.5 s
		B	425	—	2.0	ePn 20 h 48 m 58.9 s eS̄ 20 h 50 m 04.0 s Karnische Alpen. Rom: 46° 27′ N 12° 54.8′ E 0 = 19 h 47 m 55.0 s In Tolmezzo verspürt V

Tabelle II (Schluß)

Nr.	Datum	Station	Epizentral-entfernung nach S–P	Max. Amplitude	Ungefähre Dauer der Registr.	Phasen, Bemerkungen
	1951		km	μ	Min.	
119	Nov. 30.	N	320	—	5.0	ePn 06 h 08 m 57.4 s eS 06 h 09 m 44.0 s
		Ch	370	—	5.0	ePn 06 h 09 m 00.3 s eSn 06 h 09 m 45.7 s
		B	420	—	6.0	ePn 06 h 09 m 00.7 s eP 06 h 09 m 09.0 s eS 06 h 10 m 05.0 s
		Z	410?	20.0	6.0	ePn? 06 h 09 m 02.3 s eP 06 h 09 m 12.2 s eS 06 h 10 m 04.3 s B. I. 43° 51′ N 6° 24′ E 0 = 06 h 07 m 55.0 s Schäden in Chasteuil VIII—IX, Talloire VII—VIII; Castellane V, Marseille und Toulon III
120	Dez. 6.	Z	70	0.2	0.4	eP 14 h 26 m 19.3 s eS 14 h 26 m 27.9 s Keine makroseismischen Meldungen!
121	„ 7.	Z	—	2.0	4.0	ePn? 22 h 01 m 39.6 s eSn? 22 h 03 m 30.8 s
		B	—	—	4.0	ePn 22 h 01 m 47.1 s e 22 h 01 m 53.0 s eSn? 22 h 03 m 45.0 s Nach B. I. 43.7° N 17.2° E 0 = 21 h 59 m 52.0 s
122	„ 10.	Z	15	0.1	0.1	eP 16 h 12 m 45.1 s eS 16 h 12 m 47.0 s Keine makroseismischen Meldungen!
123	„ 25.	Ch	25	—	0.5	eP 12 h 55 m 05.0 s eS 12 h 55 m 08.2 s
		Z	—	0.1	0.1	eS 12 h 55 m 39.3 s Keine makroseismischen Meldungen!
124	„ 26.	Z	220	0.5	0.5	eP 11 h 31 m 36.4 s Compr. eS 11 h 32 m 02.0 s
125	„ 29.	N	18	—	0.5	iP 09 h 37 m 20.3 s iS 09 h 37 m 22.5 s
		B	60	—	0.5	eP 09 h 37 m 29.0 s eS 09 h 37 m 37.0 s
		Z	115	0.5	0.5	eP 09 h 37 m 36.1 s iS 09 h 37 m 50.7 s Vermutlich Seeland westlich Aarberg, keine makroseismischen Meldungen!
126	„ 30.	Z	28	2.5	0.1	eP 00 h 49 m 38.6 s eS 00 h 49 m 42.0 s Lokalstoß in Zug und Umgebung (vergl. Tab. I Nr. 26 und Tafel 4)

Tabelle III. In der Schweiz 1951 registrierte Fernbeben

Mittlere Zeit Greenwich.

Nr.	Datum	Station	Epizentral-entfernung nach S–P	Ungefähre Dauer der Registr.	Phasen, Bemerkungen (Wo nichts weiteres bemerkt ist, beziehen sich die Ablesungen auf die Apparate Quervain-Piccard.)
	1951		km	Std.	
1	Januar 1.	Z	—	0 1	ePKP 20 h 36 m 02.7 s epPKP 20 h 36 m 23.3 s ePP 20 h 39 m 27.5 s
		Ch	—	0.1	ePKP 20 h 36 m 03.7 s Dilat. epPKP 20 h 36 m 26.0 s
		N	—	0.1	ePKP 20 h 36 m 04.1 s
		B	—	0 1	ePKP 20 h 36 m 04.5 s epPKP 20 h 36 m 40.0 s ePP 20 h 40 m 00.0 s Nur Vorläufer, U. S. C. G. S. 18° S 169° E 0 = 20 h 16 m 20.0 s h = 100 km
2	„ 5.	B		0.1	eP 01 h 05 m 03.1 s
		Z	9250	0.2	eP 01 h 05 m 06.9 s Compr. eS 01 h 15 m 25.8 s
		Ch	—	0.1	eP 01 h 05 m 11.3 s U. S. C. G. S. 7° N 81° W 0 = 00 h 52 m 40.0 s h = 100 km Im Gebiet des Panamakanals verspürt
3	„ 6.	Ch	6400	0.5	iP Compr. 05 h 25 m 22.7 s epP 05 h 26 m 12.2 s ePPP 05 h 28 m 17.1 s eS 05 h 33 m 12.0 s
		Z		0.5	eP Compr. 05 h 25 m 26.6 s epP 05 h 26 m 12.7 s e 05 h 26 m 35.2 s ePPP 05 h 28 m 18.7 s
		B	—	0.5	eP Compr. 05 h 25 m 32.2 s epP 05 h 26 m 22.0 s ePPP 05 h 28 m 27.0 s
		N	—	0.5	iP 05 h 25 m 35.9 s Nur Vorläufer registriert, U. S. C. G. S. 36.5° N 70.5° E 0 = 05 h 17 m 19.0 s h = 250 km In Kaschmir verspürt!
4	„ 6.	N	—	0.7	eP Min'-lücke 08 h 03 m 49.4 s
		B		0.7	eP 08 h 03 m 53.6 s
		Z	9350	1.0	eP 08 h 04 m 00.4 s Compr. ePP 08 h 07 m 25.2 s eS 08 h 14 m 26.6 s
		Ch	9360	1 0	eP 08 h 04 m 03.4 s Dilat. eS 08 h 14 m 30.0 s eL 08 h 38 m 20.0 s Im Gebiet des Panamakanals stark verspürt J. S. A. 7.2° N 81.0° W 0 = 7 h 51 m 34.0 s h = 65 km
5	„ 8.	B	—	0.1	eP 18 h 45 m 06.6 s
		Z	—	0.2	eP Compr. 18 h 45 m 08.1 s ePP 18 h 48 m 20.8 s Nur Vorläufer! U. S. C. G. S. 35° N 140° E 0 = 18 h 32 m 18.0 s

Tabelle III (Fortsetzung).

Nr.	Datum	Station	Epizentral-entfernung nach S–P	Ungefähre Dauer der Registr.	Phasen, Bemerkungen
	1951		km	Std.	
6	Januar 9.	Ch	1090	0.2	eP 00 h 30 m 52.6 s eS 00 h 32 m 53.0 s i 00 h 32 m 59.2 s
		Z	1150	0.2	eP 00 h 31 m 04.0 s eS 00 h 33 m 11.2 s
		N	—	0.2	eP 00 h 31 m 04.7 s
		B	1230	0.4	eP 00 h 31 m 10.6 s eS 00 h 33 m 26.0 s Nach Rom auf Ithaka und Leukas verspürt Int. IV, 38.7° N 24.0° E 0 = 00 h 27 m 58.0 s
7	„ 15.	Ch	—	0.2	ePKP? Min'-lücke 04 h 31 m 33.0 s epPKP 04 h 32 m 00.8 s ePP 04 h 34 m 58.5 s
		Z	16000	0.4	ePKP 04 h 31 m 33.1 s epPKP 04 h 31 m 58.1 s ePP 04 h 34 m 53.3 s eSKKS 04 h 41 m 28.5 s
		B	—	0.2	ePKP 04 h 31 m 35.9 s epPKP 04 h 32 m 02.0 s e 04 h 36 m 11.0 s
		N	16200	0.2	ePKP 04 h 31 m 36.2 s eSKKS 04 h 41 m 37.0 s Nur Vorläufer, U. S. C. G. S. 15° S 167° E 0 = 04 h 12 m 14.0 s h = 150 km
8	„ 16.	Z	1200	0.1	eP 12 h 39 m 13.4 s eS 12 h 41 m 25.9 s
		B	1300	0.1	eP 12 h 39 m 17.5 s eS 12 h 41 m 40.0 s Westküste von Griechenland, auf Kephalonia verspürt B. I. 38.1° N 20.2° E 0 = 12 h 36 m 05.0 s
9	„ 16.	Z	—	0.1	e 13 h 33 m 45.7 s
		B	—	0.1	e 13 h 33 m 48.5 s
10	„ 18.	B	—	0.1	eP 21 h 27 m 51.9 s
		Z	—	0.1	eP 21 h 28 m 02.3 s Compr. Nur erste Vorläufer, U. S. C. G. S. 52° N 177° W 0 = 21 h 15 m 50.0s h = 60 km
11	„ 21.	Z	—	0.1	e 18 h 56 m 17.6 s
12	„ 22.	Ch	7340	0.3	eP 12 h 27 m 17.5 s eS 12 h 36 m 10.0 s
		Z	7780	0.2	eP Dilat. 12 h 27 m 22.1 s eS 12 h 36 m 35.7 s
		B	—	0.3	eP 12 h 27 m 26.5 s e 12 h 28 m 57.0 s Indischer Ozean; U. S. C. G. S. 17.5° S 41.0° E 0 = 12 h 16 m 02.0 s
13	„ 22.	Z	—	0.1	i_z 23 h 29 m 01.6 s Compr.
		B	—	0.1	e 23 h 29 m 03.2 s
14	„ 23.	Z	—	0.1	ePKP 07 h 12 m 43.7 s
		B	—	0.1	ePKP 07 h 12 m 58.5 s Schwache Registrierung!
15	„ 30.	Ch	2700	0.3	eP 23 h 12 m 33.9 s Dilat. eS 23 h 16 m 55.0 s
		Z	2700	0.4	eP 23 h 12 m 41.1 s Dilat. eS 23 h 17 m 02.3 s
		B	–	0.4	eP 23 h 12 m 48.8 s e 23 h 17 m 45.0 s
		N	2800	0.4	eP 23 h 12 m 50.4 s e 23 h 13 m 43.0 s eS 23 h 17 m 22.0 s Azimut SE, B. I. 32.4° N 33.4° E h = 130 km 0 = 23 h 07 m 28.0 s In Israel und Ägypten, besonders in Kairo beobachtet!
16	Febr. 2.	Z	—	0.1	e 21 h 15 m 31.2 s e 21 h 15 m 44.7 s
		B	—	0.1	e 21 h 15 m 34.3 s e 21 h 15 m 47.0 s Nur schwache Vorläufer, B. I. 37.1° 141.5° E 0 = 21 h 02 m 09 s
17	„ 3.	Ch	—	0.1	eP 00 h 03 m 31.0 s Min'-lücke e 00 h 04 m 01.0 s
		Z	2000	0.2	eP 00 h 03 m 37.5 s eS 00 h 06 m 54.1 s Min'-lücke
		N	—	0.5	eP 00 h 03 m 47.1 s e 00 h 07 m 54.0 s
		B	—	0.2	eP 00 h 03 m 47.8 s Anatolien, B. I. 37.3° N 30.9° E 0 = 23 h 59 m 15.0 s
18	„ 10.	B	—	0.1	e 01 h 08 m 19.7 s
19	„ 12.	Z	6670	0.8	eP Dilat. 17 h 32 m 13.2 s iP 17 h 32 m 17.4 s e 17 h 32 m 49.4 s eS 17 h 40 m 31.2 s
		B	6000	0.8	eP 17 h 32 m 15.0 s e 17 h 33 m 09.0 s eS 17 h 39 m 54.0 s
		Ch	—	1.0	eP 17 h 32 m 15.8 s eL 17 h 53 m 30.0 s B. I. 65.6° N 137° E 0 = 17 h 22 m 01.0 s
20	„ 13.	Z	16200	0.2	ePKP 12 h 15 m 03.9 s e 12 h 15 m 07.9 s epPKP Compr. 12 h 16 m 11.1 s eSKKS 12 h 25 m 02.3 s
		B	16200	0.5	ePKP 12 h 15 m 04.4 s epPKP 12 h 16 m 13.0 s eSKKS 12 h 25 m 06.0 s
		Ch	—	0.2	ePKP Dilat. 12 h 15 m 05.2 s epPKP 12 h 16 m 13.0 s
		N	—	0.7	ePKP 12 h 15 m 05.8 s Nur Vorläufer; U. S. C. G. S. 15° S 175° W 0 = 11 h 55 m 50 s h = 250 km
21	„ 13.	B	8480	1.0	eP 22 h 24 m 45.3 s ePP 22 h 27 m 38.0 s eS 22 h 34 m 34.0 s
		Z	8500	1.5	eP Dilat. 22 h 24 m 46.6 s ePP 22 h 27 m 35.4 s eS 22 h 34 m 36.5 s
		N	8500	1.0	eP 22 h 24 m 47.9 s eS 22 h 34 m 38.0 s
		Ch	8560	1.3	eP 22 h 24 m 49.5 s ePP 22 h 27 m 40.6 s eS 22 h 34 m 42.8 s eL 22 h 51 m 16.0 s Azimut um Nord, J. S. A. gibt 56° N 155.5° W 0 = 22 h 13 m 05 s

Tabelle III (Fortsetzung)

Nr.	Datum	Station	Epizentral-entfernung nach S–P	Ungefähre Dauer der Registr.	Phasen, Bemerkungen
	1951		km	Min.	
22	Febr. 16.	Ch	—	0.1	ePKP 19 h 27 m 33.5 s
		Z	—	0.1	ePKP 19 h 27 m 33.6 s
		B	—	0.1	ePKP 19 h 27 m 35.7 s Schwache erste Vorläufer, U. S. C. G. S. 17.5° S 167.0° E 0 = 19 h 07 m 53.0 s
23	„ 17.	Z	14050	0.3	iPKP Compr. 21 h 25 m 49.6 s epPKP 21 h 26 m 35.6 s ePP 21 h 27 m 40.6 s
		Ch	—	0.5	ePKP 21 h 25 m 51.1 s
		B	14100	0.5	ePKP 21 h 25 m 51.3 s ePP 21 h 27 m 50.0 s
		N	—	0.1	ePKP 21 h 25 m 53.0 s Nach B. I. 7° S 146° E 0 = 21 h 07 m 09.0 s h = 200 km
24	März 1.	Z	—	0.1	e_z 23 h 44 m 29.6 s
25	„ 2.	Z	—	0.1	eP 01 h 38 m 29.6 s Atlantik; 53° N 35° W 0 = 01 h 32 m 39.0 s
26	„ 5.	Z	9800	1.5	eP Dilat. 20 h 24 m 13.8 s epP 20 h 25 m 06.1 s eSKS 20 h 34 m 34.0 s eS 20 h 35 m 08.4 s
		Ch	—	1.0	eP Dilat. 20 h 24 m 14.3 s eSKS? 20 h 34 m 12.6 s eL 20 h 56 m 16.0 s
		B	—	1.0	eP Dilat. 20 h 24 m 16.7 s epP 20 h 25 m 54.0 s eL 21 h 01 m 00.0 s Ryukyu, U. S. C. G. S. 29° N 128° E 0 = 20 h 11 m 45.0 s
27	„ 6.	Z	—	0.1	iP Compr. 19 h 09 m 11.9 s i 19 h 09 m 15.9 s
		B	—	0.1	eP Compr. 19 h 09 m 20.8 s Assam, Nachstoß zum Beben vom 15. Aug. 1950 B. I. 28.8° N 95.2° E 0 = 18 h 58 m 14.0 s
28	„ 9.	Z	—	0.1	ePKP 20 h 02 m 54.6 s e 20 h 03 m 26.7 s
		B	—	0.1	e? 19 h 55 m 58.7 s eL 20 h 51 m 00.0 s Schwache Registrierungen; U. S. C. G. S. 8.0° S 124.5° E 0 = 19 h 44 m 16.0 s
29	„ 10.	N	—	0.2	eP 10 h 41 m 29.7 s eL 10 h 45 m 06.0 s
		Z	1360?	0.2	eP 10 h 41 m 42.6 s eS? 10 h 44 m 08.2 s
		Ch	—	0.2	eP 10 h 41 m 45.6 s eL 10 h 46 m 11.0 s Schadenbeben in Südspanien. Cartuja gibt 0 = 10 h 38 m 36.0 s 38.3° N 4.2° W Gebiet der Verwerfung des Guadalquivir, Bailen VIII, Provinz Jaén VII, Granada V—VI
30	„ 10.	Z	16000	1.4	e 22 h 15 m 53.0 s iPKP Compr. 22 h 16 m 49.4 s ePP 22 h 19 m 58.3 s eSKKS 22 h 26 m 44.1 s
		B	16200	1.0	e 22 h 15 m 53.3 s iPKP 22 h 16 m 51.0 s ePP 22 h 20 m 09.0 s e 22 h 25 m 38.0 s
		Ch	—	1.0	e 22 h 15 m 53.5 s ePKP Compr. 22 h 16 m 50.2 s i 22 h 16 m 51.8 s eL 23 h 02 m 30 s
		N	—	1.0	ePKP 22 h 16 m 53.3 s Schwache L-Wellen, J. S. A. 15.3° S 167.2° E 0 = 21 h 57 m 39.0 s h = 200 km
31	„ 12.	Ch	7300	0.5	eP Dilat. 15 h 03 m 11.9 s eS 15 h 12 m 01.7 s
		Z	7420	0.5	eP Dilat. 15 h 03 m 14.4 s eS 15 h 12 m 11.2 s
		B	7000	0.5	eP Dilat. 15 h 03 m 18.6 s ePP 15 h 05 m 47.0 s eS? 15 h 11 m 45.0 s
		N	—	0.1	eP 15 h 03 m 22.0 s Assam, zirka 28.2° N 94.0° E 0 = 14 h 52 m 21.0 s
32	„ 16.	Ch	—	0.1	e 14 h 07 m 30.5 s e 14 h 07 m 45.7 s
		Z	—	0.1	e 14 h 07 m 47.5 s
33	„ 16.	B	—	0.1	iP 19 h 47 m 42.5 s
		Z	—	0.1	iP Compr. 19 h 47 m 43.7 s Nur erste Vorläufer registriert! U. S. C. G. S. 52.5 N 167.5 W 0 = 19 h 35 m 31.0 s
34	„ 17.	Z	7300	0.2	eP 04 h 38 m 27.7 s eS Min'-lücke 04 h 47 m 18.0 s
		B	—	0.1	eP 04 h 38 m 33.5 s Schwache Registrierungen! B. I. 32° N 96.5° E 0 = 04 h 27 m 26.0 s
35	„ 18.	Z	—	0.1	e 9 h 29 m 56.6 s
36	„ 18.	B	—	0.1	e 15 h 30 m 25.6 s
37	„ 19.	Z	—	0.1	eP Dilat. 20 h 40 m 34.3 s
		B	—	0.1	eP 20 h 40 m 35.6 s
		N	—	0.1	eP 20 h 40 m 38.2 s J. S. A. 55.7° N 160.4° E 0 = 20 h 28 m 58.0 s
38	„ 22.	Z	—	0.1	e 19 h 56 m 22.3 s

Tabelle III (Fortsetzung)

Nr.	Datum	Station	Epizentral-entfernung nach S–P	Ungefähre Dauer der Registr.	Phasen, Bemerkungen
	1951		km	Std.	
39	März 23.	Ch	—	0.1	ePKP$_1$ 21 h 58 m 21.9 s ePKP$_2$ 21 h 59 m 15.4 s
		Z	18000	0.3	ePKP$_1$ Compr. 21 h 58 m 22.7 s ePKP$_2$ 21 h 59 m 12.7 s iPP 22 h 02 m 56.7 s
		N	—	0.2	ePKP$_1$ 21 h 58 m 24.0 s ePKP$_2$ 21 h 59 m 18.0 s
		B	—	0.5	ePKP$_1$ 21 h 58 m 33.6 s ePKP$_2$ 21 h 59 m 14.0 s e 23 h 00 m 09.0 s Kermadec-Inseln, U. S. C. G. S. 31° S 180° E 0 = 21 h 38 m 54 s
40	„ 24.	Z	—	0.1	ePKP 00 h 36 m 50.1 s e 00 h 40 m 09.2 s
		B	—	0.1	ePKP 00 h 36 m 54.0 s e 00 h 40 m 22.0 s J. S. A. 10.9 S 165.9 E 0 = 00 h 17 m 42.0 s
41	April 5.	Ch	1120	0.3	eP 3 h 18 m 23.2 s eS 3 h 20 m 26.0 s
		Z	1220	0.3	eP 3 h 18 m 37.6 s eS 3 h 20 m 50.9 s
		B	1400?	0.3	eP 3 h 18 m 40.2 s eS 3 h 21 m 23.0 s eL 3 h 23 m 02.0 s
		N	—	0.4	e 3 h 18 m 56.1 s eL 3 h 23 m 51.0 s Südwestlich von Griechenland, B. I. 37.5° N 20.2° E 0 = 3 h 15 m 30.0 s h = 100 km Verspürt auf Zante
42	„ 7.	Z	—	0.1	eP 00 h 03 m 55.0 s Assam, Nachstoß vom 15. August 1950
43	„ 8.	Ch	2530	0.3	eP Dilat. 21 h 43 m 02.3 s e 21 h 44 m 52.1 s eS 21 h 47 m 08.6 s
		Z	2500	0.4	eP 21 h 43 m 07.0 s eS 21 h 47 m 16.0 s
		B	2580	0.4	eP 21 h 43 m 17.8 s eS 21 h 47 m 32.0 s
		N	2700	0.5	eP 21 h 43 m 19.0 s eS 21 h 47 m 41.0 s B. I. 36.1 N 37.5 E 0 = 21 h 38 m 00 s h = 100 km Bauschäden und Todesopfer im Gebiet von Alexandrette
44	„ 10.	Z	—	0.1	ePKP 11 h 15 m 24.5 s e 11 h 18 m 40.0 s
		N	—	0.1	ePKP 11 h 15 m 28.0 s
		B	—	0.1	ePKP 11 h 15 m 28.9 s
		Ch	—	0.1	ePKP 11 h 15 m 33.2 s Nur Vorläufer! J. S. A. 15.0° S 173.6° W 0 = 10 h 55 m 41.0 s
45	„ 14.	B	10770	0.8	eP 00 h 58 m 39.1 s epP 00 h 59 m 48.0 s eSKS 01 h 08 m 59.0 s
		Z	10800	0.5	eP Compr. 00 h 58 m 39.2 s epP 00 h 59 m 26.9 s ePP 01 h 02 m 34.9 s
		Ch	10700	0.3	eP 00 h 58 m 42.5 s eSKS 01 h 08 m 58.6 s [eSKS 01 h 09 m 00.5 s eS 01 h 09 m 50.0 s J. S. A. 23.3 S 66.8 W 0 = 00 h 45 m 28.0 s h = 250 km Nach der Presse in Atacama verspürt!
46	„ 14.	Ch	—	0.6	eP 04 h 18 m 22.2 s
		Z	5400	0.5	eP Compr. 04 h 18 m 25.9 s ePP 04 h 20 m 14.7 s eS? 04 h 25 m 31.9 s
		B	—	0.7	eP 04 h 18 m 31.3 s B. I. 39.2° N 72.0° E 0 = 04 h 10 m 04.0 s
47	„ 14.	Z	6950	1.0	eP Dilat. 13 h 43 m 33.5 s eS 13 h 52 m 08.0 s
		Ch	7000	1.0	eP? 13 h 43 m 35.4 s eS 13 h 52 m 16.0 s eL 14 h 01 m 50.0 s
		B	—	1.0	eP 13 h 43 m 38.3 s
		N	7150	1.0	eP 13 h 43 m 40.8 s eS 13 h 52 m 26.0 s B. I. 62.25 N 136.5 E 0 = 13 h 33 m 01.0 s
48	„ 14.	Z	7400	1.0	eP 23 h 51 m 43.4 s ePP 23 h 54 m 46.2 s eS 00 h 00 m 39.4 s
		B	7500	1.0	eP 23 h 51 m 45.2 s eS? 00 h 00 m 44.0 s Assam 28.5° N 94.0° E 0 = 23 h 40 m 51.0 s
49	„ 20.	Z	—	0.2	e_Z 04 h 18 m 23.9 s e 04 h 20 58.5 s e 04 h 22 m 36.1 s
50	„ 20.	Ch	—	0.1	ePKP 21 h 23 m 24.2 s e 21 h 23 m 28.5 s
		Z	—	0.1	ePKP Dilat. 21 h 23 m 26.9 s
		B	—	0.1	ePKP 21 h 23 m 27.5 s Nur erste Vorläufer! U. S. C. G. S. 17° S 177° W 0 = 21 h 03 m 50.0 s h = 100 km
51	„ 22.	Ch	—	0.1	eP 03 h 48 m 29.0 s
		Z	—	0.1	eP Compr. 03 h 48 m 34.4 s
		B	—	0.1	eP 03 h 48 m 37.5 s e 03 h 49 m 03.0 s Nur Vorläufer! Assam 29.0° N 94.3° E 0 = 03 h 37 m 39.0 s
52	„ 23.	Z	—	0.1	ePKP 07 h 10 m 15.3 s i_Z 07 h 11 m 22.6 s
		B	—	0.1	ePKP 07 h 11 m 23.6 s Schwache erste Vorläufer! B. I. 37.5° S 177.8° E 0 = 06 h 50 m 15.0 s Auf der nördlichen Insel von Neuseeland verspürt
53	„ 30.	Z	—	1.5	ePKP 15 h 47 m 06.7 s ePP 15 h 49 m 25.4 s e 15 h 50 m 46.7 s Nach B. I. 8.2° S 154.3° E 0 = 15 h 28 m 06.0 s
54	„ 30.	Z	—	0.1	e 17 h 27 m 02.9 s e 17 h 27 m 15.5 s

Tabelle III (Fortsetzung)

Nr.	Datum	Station	Epizentral-entfernung nach S–P	Ungefähre Dauer der Registr.	Phasen, Bemerkungen
	1951		km	Std.	
55	Mai 1.	Z	17220	2.0	ePKP Compr. 05 h 22 m 31.9 s ePP 05 h 26 m 27.9 s eSKKS 05 h 32 m 44.9 s
		Ch	17110	2.0	ePKP 05 h 22 m 33.0 s Min'-lücke e 05 h 22 m 41.3 s ePP 05 h 26 m 23.0 s
		N	—	1.5	ePKP 05 h 22 m 35.0 s
		B	—	1.5	ePKP 05 h 22 m 44.0 s Min'-lücke e 05 h 23 m 02.0 s ePP 05 h 26 m 40.0 s J. S. A. 50.4° S 149.2° E 0 = 05 h 02 m 43.0 s
56	„ 4.	Z	8800	0.4	eP 12 h 04 m 54.0 s epP 12 h 05 m 50.1 s epPP 12 h 08 m 45.7 s eS 12 h 14 m 39.3 s
		B	8850	0.4	eP 12 h 04 m 56.8 s eS 12 h 14 m 45.0 s Nur Vorläufer registriert, B. I. 44.8° N 142.5° E 0 = 11 h 53 m 09.0 s h = 200 km
57	„ 5.	Z	—	0.1	e_z 07 h 56 m 34.4 s
58	„ 6.	Z	—	0.2	eP 23 h 15 m 59.2 s e 23 h 20 m 26.6 s
		B	—	0.1	e 23 h 20 m 24.3 s e 23 h 30 m 42.0 s Schwache Registrierung J. S. A. 10.8° N 85.6° W 0 = 21 h 42 m 22.0 s Große Bauschäden und viele Todesopfer besonders in Jucuapa und Chinameca
59	„ 8.	Z	1140	0.1	eP 19 h 12 m 28.2 s eS? 19 h 14 m 33.8 s e 19 h 14 m 50.9 s
		B	—	0.1	eP? 19 h 12 m 35.2 s eS? 19 h 15 m 06.0 s Balkan—Griechenland?
60	„ 10.	Ch	—	0.1	eP Dilat. 09 h 29 m 46.5 s
		Z	7900	—	eP Dilat. 09 h 29 m 48.6 s ePP 09 h 32 m 07.1 s eS 09 h 39 m 04.1 s
		N	—	—	eP Min'-lücke 09 h 29 m 51.3 s
		B	8100	—	eP Dilat. 09 h 29 m 52.7 s e 09 h 30 m 20.0 s eS 09 h 39 m 22.0 s Afrika. Nach B. I. 19.7° S 34.0° E 0 = 09 h 18 m 36.0 s Nach Johannesburg 19° 52′ S 33° 48′ E 0 = 09 h 18 m 30.0 s
61	„ 12.	Ch	—	0.1	eP Dilat. 22 h 16 m 10.7 s
		B	—	0.1	eP 22 h 16 m 15.7 s
		Z	5500	0.2	eP 22 h 16 m 15.8 s eS 22 h 23 m 30.4 s B. I. 42° N 72° E 0 = 22 h 7.9 m
62	„ 13.	Z	—	0.1	e 16 h 18 m 41.5 s
63	„ 13.	Z	—	0.2	ePKP Compr. 17 h 21 m 51.0 s
		B	—	0.2	ePKP 17 h 21 m 52.7 s Nach U. S. C. G. S. 17.7° S 170° E 0 = 17 h 02 m 03.0 s
64	„ 14.	Z	—	0.1	e_z 09 h 45 m 07.6 s
65	„ 15.	B	—	0.1	eP? 05 h 32 m 30.0 s
		Z	—	0.1	e 05 h 33 m 09.0 s e 05 h 36 m 22.0 s Schwache Spuren! B. I. 21° S 69.5° W 0 = 05 h 18 m 46.0 s
66	„ 19.	N	1800?	0.5	eP? 15 h 57 m 20.3 s eS? 16 h 00 m 34.0 s e 16 h 01 m 05.0 s
		Z	1630	0.3	eP 15 h 57 m 31.7 s eS 16 h 00 m 25.5 s
		B	1600	0.5	eP 15 h 57 m 33.9 s e 15 h 59 m 00.0 s eS 16 h 00 m 24.0 s
		Ch	—	0.3	eP Dilat. 15 h 57 m 39.3 s eL 16 h 02 m 04.6 s B. I. 32.2° N 04.3° W 0 = 15 h 54 m 24.0 s Nachstoß zu Nr. 29; leichtes Schadenbeben in den Provinzen Andalusien und Granada
67	„ 21.	Ch	—	0.1	eP Compr. 05 h 12 m 08.9 s
		Z	—	0.1	eP Compr. 05 h 12 m 14.3 s
		B	—	0.1	eP Compr. 05 h 12 m 22.2 s
68	„ 21.	Ch	—	0.1	ePKP 08 h 46 m 11.1 s
		Z	14500	0.1	ePKP 08 h 46 m 14.1 s ePP 08 h 48 m 27.0 s
		B	14600	0.1	ePKP 08 h 46 m 18.9 s epPKP 08 h 47 m 22.0 s ePP 08 h 48 m 35.0 s B. I. 6° S 154.5° E 0 = 08 h 27 m 21.0 s h = 150 km
69	„ 22.	Z	—	0.1	ePKP 05 h 15 m 35.5 s
70	„ 22.	B	—	0.1	e 05 h 41 m 33.5 s e 05 h 42 m 30.0 s
		Z	—	0.1	e 05 h 42 m 18.2 s e 05 h 43 m 18.9 s Nachstoß zu Nr. 66 B. I. 0 = 05 h 35 m 05.0 s
71	„ 25.	Z	—	0.1	ePKP 22 h 06 m 18.6 s
		B	—	0.1	ePKP 22 h 06 m 19.0 s U. S. C. G. S. 17° S 179° W 0 = 21 h 47 m 31.0 s h = 600 km
72	„ 26.	Z	1350	0.2	eP 11 h 10 m 08.5 s eS 11 h 12 m 32.8 s
		B	—	0.2	e 11 h 12 m 47.2 s e 11 h 15 m 05.0 s B. I. 38.3° N 20.8° E 0 = 11 h 07 m 23.0 s h = 100 km

Tabelle III (Fortsetzung)

Nr.	Datum	Station	Epizentral-entfernung nach 8–P	Ungefähre Dauer der Registr.	Phasen, Bemerkungen
	1951		km	Std.	
73	Mai 28.	Ch	—	0.1	eP 14 h 21 m 00.2 s e 14 h 22 m 41.0 s
		Z	2120	0.1	eP Compr. 14 h 21 m 07.0 s e 14 h 21 m 15.0 s eS 14 h 24 m 41.7 s
		N	—	0.1	iP 14 h 21 m 13.2 s
					B. I. 32.5° N 27.5° E 0 = 14 h 16 m 28.0 s
74	„ 31.	Ch	10000	0.5	iP Dilat. 21 h 08 m 53.8 s ePP 21 h 12 m 39.8 s eSKS 21 h 19 m 16.0 s
		B	10000	0 5	eP 21 h 08 m 57.2 s eS 21 h 19 m 20.0 s
		Z	10100?	0.5	Keine Zeitmarken eP Compr. pP—P = 18 s, PP—P = 207s, S—P = 668 s
					B. I. 19° N 121° E 0 = 20 h 56.0 m h = 100 km
75	Juni 5.	Ch	—	0.1	eP Dilat. 03 h 41 m 07.5 s
		Z	—	0.1	eP Compr.? 03 h 41 m 12.7 s
		B	—	0.1	eP 03 h 41 m 22.5 s
					Nur erste Vorläufer schwach registriert!
					B. I. 36.5° N 48.5° W 0 = 03 h 34 m 50.0 s
76	„ 5.	Z	—	0.1	e 16 h 18 m 58.7 s e 16 h 19 m 01.4 s
77	„ 5.	Ch	9550	1.0	eP 17 h 10 m 25.0 s Min'-lücke ePP 18 h 13 m 46.4 s eS 18 h 20 m 55.0 s eL 18 h 43 m
		Z	9800	1.0	eP Dilat. 17 h 10 m 26.5 s ePP 17 h 13 m 45.0 s eS 17 h 21 m 07.2 s e 17 h 21 m 26.3 s
		B	9810	1.0	eP Compr. 17 h 10 m 30.3 s e 17 h 10 m 47.0 s eS 17 h 21 m 12.0 s
		N	9880	1.0	eP 17 h 10 m 33.0 s eS 17 h 21 m 18.0 s
					B. I. 29.5° N 131.0° E 0 = 16 h 57 m 47.0 s h — 100 km
					Verspürt im südlichen Teil von Kiuschiu
78	„ 6.	B	3100	1.0	eP Compr. 16 h 16 m 16.2 s e 16 h 17 m 09.0 s e 16 h 17 m 37.0 s eS 16 h 21 m 12.0 s
		Z	2800	0.8	eP Compr. 16 h 16 m 19.0 s ePP 16 h 17 m 26.0 s eS 16 h 20 m 50.5 s
		N	2950	1.0	eP 16 h 16 m 20.0 s eS 16 h 21 m 01.0 s
		Ch	3090	1.0	eP? Min'-lücke 16 h 16 m 24.0 s eS 16 h 21 m 18.6 s eL 16 h 28 m 03.6 s
					Gebiet von Jan Mayen; B. I. 72.5° N 8.5° W
					0 = 16 h 10 m 49.0 s h = 60 km
79	„ 9.	Ch	3580	0.3	eP Dilat. 11 h 28 m 46.0 s eS 11 h 34 m 06.7 s
		Z	3670	0.5	eP Compr.? 11 h 28 m 51.2 s eS 11 h 34 m 17.2 s
		B	3680	0.5	eP 11 h 28 m 58.2 s e 11 h 29 m 18.0 s eS 11 h 34 m 26.0 s
		N	3330	0.6	eP 11 h 29 m 01.5 s eS 11 h 34 m 04.0 s
					Azimut um Ost, Iran Nach B. I. 32° N 50° E 0 = 11 h 22 m 00 s
80	„ 12.	Z	5180	0.2	eP 22 h 48 m 46.7 s e 22 h 49 m 39.4 s
		B	5260	0.2	eP 22 h 48 m 50.8 s e 22 h 49 m 44.0 s
					Schwache Vorläufer registriert! B. I. 36.5° N 71.2° E
					0 = 22 h 40 m 36 s h = 220 km
81	„ 13.	Ch	—	0.1	e 18 h 36 m 22.0 s
82	„ 14.	B	—	0.1	e 07 h 10 m 25.2 s e 07 h 13 m 00.0 s
83	„ 17.	Z	—	0.1	eP Compr. 03 h 59 m 58.7 s
		B	—	0.1	e 04 h 00 m 23.7 s
					Schwache Registrierungen! B. I. 56.5° N 162° E 0 = 03 h 48 m 40.0 s
84	„ 19.	Ch	—	0.1	eP Dilat. 17 h 36 m 51.6 s
		Z	—	0.1	eP 17 h 37 m 07.0 s e 17 h 46 m 40.0 s
					Schwache Spuren!
85	„ 25.	B	—	0.1	eP 16 h 23 m 37.5 s
		Z	7600?	0.1	eP Dilat. 16 h 23 m 44.4 s ePP 16 h 26 m 21.5 s
					U. S. C. G. S. 61.9° N 150° W 0 = 16 h 12 m 31.0 s h = 100 km
86	Juli 1.	Z	—	0.1	ePKP Compr. 18 h 12 m 39.5 s
		B	—	0.1	ePKP 18 h 12 m 42.0 s
					U. S. C. G. S. Fiji-Inseln h = 600 km
87	„ 2.	Z	17150	0.1	ePKP 22 h 06 m 26.2 s e 22 h 06 m 47.9 s ePP 22 h 10 m 22.9 s
		B	16600	0.1	ePKP 22 h 06 m 45.6 s ePP 22 h 10 m 16.0 s
					Schwache erste Vorläufer; U. S. C. G. S. 21° S 176° W 0 = 21 h 46 m 30.0 s
88	„ 3.	Z	5280	0.2	eP 18 h 24 m 34.5 s e 18 h 26 m 25.9 s eS 18 h 31 m 33.0 s
		B	5050	0.2	eP 18 h 24 m 41.9 s eS? 18 h 31 m 30.0 s
					Golf von Aden, nach B. I. 11.5° N 45.0° E 0 = 18 h 16 m 04.0 s
89	„ 4.	Z	—	0.1	ePKP 07 h 26 m 15.3 s e 07 h 26 m 20.7 s
					Nur Spuren, U. S. C. G. S. 19° S 174.5° W 0 = 07 h 06 m 41.0 s h ≈ 150 km

Tabelle III (Fortsetzung)

Nr.	Datum	Station	Epizentral-entfernung nach S-P	Ungefähre Dauer der Registr.	Phasen, Bemerkungen
	1951		km	Std.	
90	Juli 8.	N	—	0.5	eP 5 h 57 m 54.6 s
		Z	10500–11000	0.5	eP 5 h 57 m 59.2 s ePP 6 h 01 m 58.7 s eSKS 6 h 08 m 24.1 s
					B. I. 9.9° N 122.2° E 0 = 5 h 44 m 20.0 s
91	„ 9.	Z	—	0.2	eP? 00 h 16 m 43.7 s ePP? 00 h 20 m 00.0 s
		B	—	0.2	eP? 00 h 16 m 46.8 s ePP? 00 h 20 m 17.0 s
					L. Schadenbeben in Zentralmexiko; Tacubaya 16° 08′ N 96° 48′ W
					0 = 00 h 03 m 54.0 s h = 60 km
92	„ 11.	Z	10350	1.0	eP Dilat. 18 h 34 m 13.9 s eS 18 h 44 m 32.6 s Az. N-E
		B	10300	1.0	eP 18 h 34 m 18.1 s e 18 h 34 m 21.0 s e 18 h 37 m 00.0 s eS 18 h 44 m 56.0 s
		N	—	1.0	eP 18 h 34 m 20.8 s e 18 h 48 m 02.0 s
					Tokyo 28.3° N 139.9° E 0 = 18 h 21 m 56.0 s h = 460 km
					Auf den Bonin-Inseln verspürt
					U. S. C. G. S. 28.5° N 139.5° E 0 = 18 h 22 m 00.0 s h = 550 km
93	„ 14.	Z	—	0.2	e_Z 10 h 59 m 47.8 s e 11 h 01 m 30.7 s
					Schwache Spuren!
94	„ 16.	Z	—	0.2	ePKP 10 h 58 m 57.3 s e 10 h 59 m 47.8 s e 11 h 00 m 54.3 s
					Nur Spuren, B. I. 6.0° S 146.2° E 0 = 10 h 40 m 24.0 s h = 150 km
95	„ 17.	Z	—	0.1	ePKP 15 h 07 m 58.4 s e 15 h 07 m 41.6 s e 15 h 08 m 03.6 s
		B	—	0.1	ePKP 15 h 08 m 04.1 s e 15 h 08 m 55.0 s
		N	—	0.1	ePKP 15 h 08 m 06.8 s
					Nur schwache erste Vorläufer registriert!
					U. S. C. G. S. 14° S 167° E 0 = 14 h 18 m 46.0 s h = 150 km
96	„ 18.	N	6080	1.0	iP 09 h 15 m 46.5 s eS 09 h 23 m 31.0 s
		Z	6190	1.0	eP 09 h 15 m 51.3 s Min'-lücke ePP 09 h 17 m 51.4 s eS 09 h 23 m 42.5 s
		B	6120	1.0	eP 09 h 15 m 52.1 s e 09 h 17 m 15.0 s eS 09 h 23 m 40.0 s
					Atlantischer Rücken, B. I. 0.8° N 27.0° W 0 = 09 h 06 m 17.0 s
97	„ 19.	Z	8900	0.3	eP Compr. 20 h 53 m 38.3 s eS 21 h 03 m 46.0 s
		B	—	—	eP 20 h 53 m 41.9 s e 21 h 04 m 38.0 s
					Alëuten; B. I. 52.2° N 177.4° W 0 = 20 h 41 m 27.0 s h = 60 km
98	„ 21.	Z	7780?	0.2	eP 01 h 43 m 08.6 s eS? 01 h 52 m 24.9 s
		B	8100?	0.2	eP 01 h 43 m 18.1 s eS? 01 h 52 m 48.0 s
					Nachstoß zum Weltbeben vom 15. August 1950 in Assam
99	„ 21.	Z	—	0.1	e 03 h 32 m 06.2 s
					Spuren! B. I. 14° N 55.0° E 0 = 03 h 23 m 06.0 s
100	„ 26.	Z	9200	1.5	eP Compr. 10 h 12 m 19.5 s ePP 10 h 15 m 12.2 s eS 10 h 22 m 39.3 s
		B	—	0.2	eP 10 h 12 m 24.3 s e 10 h 13 m 44.0 s
					In Japan verspürt; Tokyo gibt 40.9° N 143.1° E 0 = 10 h 00 m 00 s h = 40 km
101	„ 28.	Z	9500	1.0	eP Compr. 23 h 17 m 16.8 s i 23 h 17 m 26.7 s ePP 23 h 20 m 39.4 s eS 23 h 27 m 47.3 s
		B	—	1.0	eP 23 h 17 m 17.0 s
					Tokyo 37.5° N 143.5° E 0 = 23 h 04 m 33.0 s
102	„ 29.	Z	—	0.1	e_Z 02 h 36 m 34.0 s Spuren!
103	„ 31.	Z	—	0.2	e 13 h 45 m 53.0 s e 13 h 53 m 00.0 s
					Schwache Spuren!
104	Aug. 2.	Z	—	0.2	ePKP 03 h 58 m 40.8 s epPKP 04 h 01 m 13.4 s
		B	—	0.2	ePKP 03 h 58 m 42.9 s epPKP 04 h 01 m 17.0 s
					Nur schwache Vorläufer
					U. S. C. G. S. 4° S 154.5° E 0 = 03 h 40 m 27.0 s h = 500 km
105	„ 3.	B	—	0.1	e 00 h 36 m 24.4 s
		Z	—	0.1	e 00 h 36 m 26.4 s
					Nur schwache Vorläufer, B. I. 13.7° N 87.3° W 0 = 00 h 23 m 57.0 s h = 100 km
106	„ 8.	Z	—	0.1	e Min'-lücke 08 h 45 m 17.8 s
107	„ 13.	Z	2080	0.7	eP Dilat. 18 h 37 m 45.1 s eS 18 h 41 m 20.1 s
		B	2300	0.8	eP Dilat. 18 h 37 m 54.0 s eS 18 h 41 m 35.0 s
					Kandilli 40° 36′ N 33° 37.5′ E
					B. I. 40.9° N 32.2° E 0 = 18 h 33 m 26.0 s
					In der Epizentralregion Cankiri große Bauschäden und viele Todesopfer

Tabelle III (Fortsetzung).

Nr.	Datum	Station	Epizentral-entfernung nach S–P	Ungefähre Dauer der Registr.	Phasen, Bemerkungen
	1951		km	Std.	
108	Aug. 14.	Z	2060	0.3	eP 18 h 50 m 13.1 s eS 18 h 53 m 43.2 s
		B	2340?	0.3	eP 18 h 50 m 24.9 s eS? 18 h 54 m 12.0 s
					Nachstoß zu Nr. 107
109	„ 17.	Z	4460	0.4	eP Min'-lücke 00 h 00 m 03.5 s ePP? 00 h 01 m 43.0 s eS 00 h 06 m 18.3 s
		B	4620	0.3	eP 00 h 00 m 09.7 s eS 00 h 06 m 34.0 s
		N	4630	0.3	iP 00 h 00 m 12.8 s eS 00 h 06 m 38.0 s Az. 90°
					Nach B. I. 28° N 57.3° E 0 = 23 h 52 m 08.0 s
110	„ 17.	Z	—	0.2	e_Z 10 h 13 m 44.3 s Nur Spuren!
111	„ 20.	Z	1900	0.2	eP Compr. 22 h 55 m 45.0 s eS 22 h 59 m 01.2 s
		N	—	0.2	eP 22 h 55 m 51.2 s
		B	—	0.2	eP 22 h 55 m 54.2 s
					Östliches Mittelmeer, nach B. I. 34.6° N 26.2° E 0 = 22 h 51 m 25.0 s
112	„ 22.	Z	1140?	0.1	eP? 14 h 17 m 32.2 s eS? 14 h 19 m 37.7 s
					Schwache Registrierung, B. I. 39.7° N 20.2° E 0 = 14 h 14 m 48.0 s
113	„ 24.	B	1450	0.2	eP 10 h 30 m 53.0 s eS 10 h 33 m 28.0 s
		Z	1500?	0.2	eP Min'-lücke 10 h 30 m 53.3 s i 10 h 30 m 55.9 s eS 10 h 33 m 38.0 s
					B. I. 37° N 20.9° E h = 100 km 0 = 10 h 27 m 29.0 s
					In Griechenland, besonders in Pyla mit Int. VIII verspürt
114	„ 24.	Z	8900	0.2	eP Compr. 14 h 33 m 28.9 s epP 14 h 34 m 12.8 s ePP 14 h 36 m 39.5 s
		B	—	0.2	eP 14 h 33 m 30.1 s Az. 20° Keine L-Wellen! [eS 14 h 43 m 20.6 s
					Nach den japanischen Stationen 45.5° N 150.8° E 0 = 14 h 21 m 15.0 s
					h = 200 km
115	„ 28.	Z	—	0.2	ePKP 16 h 50 m 38.3 s e 16 h 53 m 10.6 s
		B	—	0.2	ePKP 16 h 50 m 42.1 s e 16 h 51 m 47.0 s
					Vorläufer schwach registriert; keine L-Wellen!
					U. S. C. G. S. 27° S 178° E 0 = 16 h 31 m 11.0 s h = 600 km
116	„ 31.	Z	1600	0.6	eP_2 Compr. 12 h 33 m 19.8 s eS 12 h 36 m 08.0 s
		N	—	0.7	eP 12 h 33 m 24.7 s
		B	—	0.7	eP 12 h 33 m 27.4 s eS 12 h 36 m 41.0 s
					Nach B. I. 35.7° N 22.4° E 0 = 17 h 29 m 35.0 s In Griechenland verspürt!
117	„ 31.	Z	1660	0.2	eP Dilat. 20 h 22 m 19.1 s eS 20 h 25 m 14.9 s
		B	1830?	0.2	eP 20 h 22 m 27.1 s eS? 20 h 25 m 37.0 s
					0 = 20 h 18 m 35.0 s Nachstoß zu Nr. 116
118	Sept. 9.	B	—	0.1	ePKP 05 h 03 m 08.1 s
		Z	—	0.1	ePKP 05 h 03 m 42.4 s e 05 h 03 m 47.9 s
					Nur Vorläufer registriert, U. S. C. G. S. 16° S 173° W 0 = 04 h 44 m 00.0 s
					In Apia verspürt!
119	„ 12.	Z	—	0.1	iP Compr. 15 h 22 m 39.0 s
		B	—	0.1	eP Compr. 15 h 22 m 40.7 s
					Nur erste Vorläufer schwach registriert!
					Nach den japanischen Stationen 43.8° N 151.7° E 0 = 15 h 10 m 19.0 s
					h = 150 km
120	„ 15.	Z	—	0.2	eP 22 h 55 m 52.7 s eL 23 h 00 m 29.3 s
		B	—	0.4	eP 22 h 56 m 02.3 s eL 23 h 00 m 47.0 s
					Nach Kandilli 40° 21′ N 27° 58′ E 0 = 22 h 52 m 07.0 s
121	„ 16.	Z	—	0.1	ePKP Dilat. 01 h 51 m 22.0 s epPKP 01 h 52 m 29.5 s e 02 h 04 m 24.3 s
		B	—	0.1	ePKP Dilat. 01 h 51 m 22.7 s
					Marianen, U. S. C. G. S. 15° S 167.5° E 0 = 01 h 31 m 58.0 s h = 100 km
122	„ 17.	Z	—	0.2	ePKP Compr. 12 h 17 m 32.7 s e 12 h 17 m 39.3 s
		B	—	0.2	ePKP 12 h 17 m 34.7 s
					Erste Vorläufer schwach registriert!
					U. S. C. G. S. 18° S 173° W 0 = 11 h 57 m 39.0 s
123	„ 24.	Z	—	0.5	eP Compr. 13 h 22 m 42.4 s epP? 13 h 23 m 01.2 s e 13 h 33 m 17.8 s
					Schwache Registrierung! U. S. C. G. S. gibt 49.5° N 156° E
					0 = 13 h 10 m 41.0 s h = 100 km
124	„ 28.	Z	18000	0.1	$ePKP_1$ 23 h 48 m 41.3 s $ePKP_2$ Dilat. 23 h 49 m 19.0 s ePP 23 h 53 m 02.3 s
		B	—	0.1	$ePKP_1$ 23 h 48 m 48.8 s [eSKKS 00 h 00 m 02.3 s
					Kermadec-Inseln, auf Raoul verspürt
					U. S. C. G. S. 30° S 178° W 0 = 23 h 28 m 37.0 s

Tabelle III (Fortsetzung).

Nr.	Datum	Station	Epizentral-entfernung nach P-S	Ungefähre Dauer der Registr.	Phasen, Bemerkungen
	1951		km	Std.	
125	Okt. 1.	Z	2100	0.5	eP Min'-lücke 01 h 30 m 52.7 s eS 01 h 34 m 24.5 s
		B	1950	0.5	eP 01 h 30 m 58.8 s e 01 h 31 m 20.0 s eS 01 h 34 m 20.0 s
		N	—	0.1	eP 01 h 31 m 00.1 s
					B. I. 34.6° N 26.7° E 0 = 01 h 26 m 33.0 s
126	„ 2.	Z	—	0.1	eP 00 h 10 m 54.0 s e 00 h 11 m 08.0 s
		B	—	0.1	eP 00 h 10 m 59.9 s
					Erste Vorläufer schwach registriert!
					B. I. 22.7° N 94.5° E 0 = 23 h 59 m 37.0 s
127	„ 3.	Z	—	0.1	e_Z 14 h 34 m 47.9 s e 14 h 38 m 47.9 s e 14 h 40 m 07.1 s
					Ganz schwache Registrierung!
128	„ 4.	B	—	0.1	e_Z 19 h 49 m 02.3 s e 19 h 49 m 43.0 s
		Z	—	0.1	e 19 h 49 m 29.5 s
					Nur Spuren!
129	„ 5.	Z	—	0.1	e Compr. 22 h 04 m 49.2 s e 22 h 06 m 02.4 s
		B	—	0.1	e 22 h 04 m 58.3 s
					Nur Spuren!
130	„ 9.	Z	—	0.1	iPKP Compr. 16 h 00 m 17.8 s
		Ch	—	0.1	ePKP Compr. 16 h 00 m 18.4 s
		B	—	0.1	ePKP 16 h 00 m 19.0 s
					Nur erste Vorläufer schwach registriert!
					Wellington gibt 21° S 175° E 0 = 15 h 40 m 25.0 s Vermutlich tiefer als normal!
131	„ 11.	Z	—	0.1	ePKP Min'-lücke 01 h 56 m 40.7 s
		B	14300	0.3	ePKP 01 h 56 m 41.8 s e 01 h 57 m 27.0 s e 02 h 01 m 33.0 s
					Schwache erste Vorläufer, B. I. 5° S 152° E 0 = 01 h 37 m 31.0 s
132	„ 18.	Z	9000	1.0	eP Compr. 08 h 38 m 40.4 s epP 08 h 39 m 55.6 s ePP 08 h 41 m 42.7 s [eS 08 h 48 m 51.1 s ePS 08 h 49 m 20.0 s
		B	—	0.5	eP 08 h 38 m 42.6 s epP 08 h 39 m 04.0 s e 08 h 46 m 26.0 s
		Ch	—	0.5	eP Compr. 08 h 38 m 41.5 s epP 08 h 39 m 03.9 s
		N	—	0.7	eP 08 h 38 m 45.5 s
					Nach B. I. 41.9° N 142.2° E 0 = 08 h 26 m 24.0 s h = 60 km
133	„ 19.	B	—	0.5	eP 15 h 03 m 48.5 s
		Z	—	0.5	eP Compr. 15 h 03 m 45.5 s ePS? 16 h 04 m 20.5 s
					Nachstoß zu Nr. 132
134	„ 21.	Z	9600	1.5	eP Compr. 21 h 47 m 00.3 s ePP 21 h 50 m 20.5 s eS 21 h 57 m 38.0 s
		Ch	9700	1.5	eP Compr. 21 h 47 m 00.4 s eSKS 21 h 57 m 15.6 s [ePS 21 h 57 m 58.1 s
		B	9890	1.0	eP 21 h 47 m 03.1 s e 21 h 47 m 06.0 s ePP 21 h 50 m 27.0 s eS 21 h 57 m 55.0 s
		N	9780	1.0	eP 21 h 47 m 06.7 s eS 21 h 57 m 53.0 s
					Erster Stoß einer Anzahl Schadenbeben auf Formosa
					U. S. C. G. S. 24° N 122° E 0 = 21 h 34 m 13.0 s
135	„ 22.	Z	9600	1.5	eP 03 h 42 m 11.6 s ePP 03 h 45 m 29.8 s eSKS 03 h 52 m 32.1 s eS 03 h 52 m 50.5 s
		Ch	9670	1.5	eP 03 h 42 m 14.7 s eS 03 h 52 m 55.0 s
		B	9720	1.0	eP 03 h 42 m 16.8 s ePP 03 h 45 m 48.0 s eS 03 h 52 m 59.0 s
		N	—	1.0	eP 03 h 42 m 22.6 s e 03 h 53 m 17.0 s
					Hauptstoß; an der Ostküste von Formosa große Schäden und viele Todesopfer
					U. S. C. G. S. 24° N 122° E 0 = 03 h 29 m 26.0 s
136	„ 22.	B	—	0.1	e 04 h 26 m 09.0 s Nr. 135 überlagert!
137	„ 22.	Ch	9500	1.5	eP? 05 h 55 m 48.4 s e Dilat. 05 h 55 m 54.4 s eS 06 h 06 m 21.0 s
		Z	9600	1.5	eP 05 h 55 m 48.8 s ePP 05 h 58 m 12.6 s eS 06 h 06 m 26.3 s
		B	9720	1 5	eP 05 h 55 m 57.0 s e 05 h 59 m 23.0 s eS 06 h 06 m 39.0 s
		N	—	1.0	eP 05 h 56 m 03.5 s eS? 06 h 06 m 29.0 s
					0 = 05 h 43 m 01.0 s Nachstoß zu Nr. 137
138	„ 22.	Z	—	1.0	eL 11 h 56 m 23.0 s
		N	—	1.0	eL 12 h 06 m 54.0 s
					Nachstoß zu Nr. 135 0 = 11 h 11 m 02.0 s
139	„ 22.	B	—	0.7	eP? 13 h 01 m 38.8 s e 13 h 11 m 39.0 s eL 13 h 39 m 10.0 s
		Z	—	0.7	eL 13 h 36 m 23.0 s
		N	—	0.7	e 13 h 43 m 55.0 s
					Nachstoß zu Nr. 135 0 = 12 h 48 m 38.0 s
140	„ 22.	Z	—	0.1	e 15 h 02 m 58.3 s
					Nachstoß zu Nr. 135 0 = 14 h 46 m 42.0 s

Tabelle III (Fortsetzung).

Nr.	Datum	Station	Epizentral-entfernung nach P–S	Ungefähre Dauer der Registr.	Phasen. Bemerkungen
	1951		km	Std.	
141	Okt. 22.	Z	9580	1.0	eP 15 h 42 m 34.6 s ePP 15 h 45 m 41.5 s eS 15 h 53 m 13.0 s
		B	—	1.0	eP 15 h 42 m 38.6 s e 15 h 51 m 18.0 s e 15 h 52 m 10.0 s eL 16 h 17 m
		N	—	1.0	e 15 h 58 m 55.0 s
					Nachstoß zu Nr. 135 0 = 15 h 29 m 47.0 s
142	„ 22.	Z	—	0.7	eL 19 h 32 m
		N	—	0.7	eL 19 h 39 m 04.0 s
					Nachstoß zu Nr. 135 0 = 18 h 42 m 33.0 s
143	„ 23.	Z	9500	1.0	eP 01 h 32 m 24.2 s ePP 01 h 35 m 46.2 s eS 01 h 42 m 56.9 s
		B	9600	1.0	eP 01 h 32 m 30.1 s eS 01 h 43 m 07.0 s eL 02 h 06 m 12.0 s
		N	—	1.0	e 01 h 43 m 09.0 s
					Nachstoß zu Nr. 135 0 = 01 h 19 m 35.0 s
144	„ 23.	B	9500	0.7	eP 09 h 08 m 01.8 s ePP 09 h 11 m 29.0 s eS 09 h 18 m 36.0 s eL 09 h 41 m
		Z	—	0.5	e 09 h 32 m 21.5 s
		N	—	0.5	eL 09 h 41 m 55.0 s
					Nachstoß zu Nr. 135 0 = 08 h 55 m 13.0 s
145	„ 24.	B	—	0.5	eL 04 h 32 m 00.0 s
		N	—	0.7	eL 04 h 33 m 55.0 s
		Z	—	0.7	e 04 h 49 m 55.0 s
					Nachstoß zu Nr. 135 0 = 03 h 38 m 57.0 s
146	„ 24.	Z	—	0.1	eP 19 h 35 m 36.6 s
		B	—	0.1	eP 19 h 35 m 39.8 s
					Nur schwache Vorläufer registriert!
					Nach B. I. 43.5° N 142° E 0 = 19 h 23 m 17.0 s
147	„ 25.	Z	—	0.7	e 12 h 32 m 28.9 s
		B	—	0.9	e 12 h 40 m 02.0 s eL 13 h 06 m 30.0 s
		N	—	0.7	eL 13 h 07 m 55.0 s
					Schwache Registrierung, Nachstoß zu Nr. 135 0 = 12 h 19 m 38.0 s
148	„ 31.	Z	9900	0.7	eP 07 h 09 m 21.2 s epP? 07 h 09 m 45.5 s ePP? 07 h 13 m 03.9 s eSKS 07 h 19 m 51 s
		B	9980	0.7	eP 07 h 09 m 25.8 s eS 07 h 20 m 17.0 s [eS 07 h 20 m 07.5 s
					Straße von Malakka, nach B. I. 1° N 98.3° E 0 = 06 h 56 m 24.0 s
149	„ 31.	Z	—	0.2	e 8 h 22 m 13.0 s
150	„ 31.	Z	9950	0.4	eP 10 h 35 m 16.9 s e 10 h 36 m 26.9 s eS 10 h 46 m 07.1 s
					Nachstoß zu Nr. 148 0 = 10 h 22 m 17.0 s
151	„ 31.	Z	- -	0.2	eP 19 h 23 m 12.0 s
		B	- -	0.2	eP 19 h 23 m 26.7 s
152	Nov. 1.	Z	6500?	0.5	eP Dilat? 11 h 20 m 15.9 s eS? 11 h 28 m 28.8 s
		B	—	0.5	eP Dilat. 11 h 20 m 19.8 s e 11 h 26 m 40.0 s e 11 h 27 m 23.0 s
					Afrika; nach B. I. zirka 4.0° S 35.7° E 0 = 11 h 10 m 36.0 s
153	„ 2.	Ch	—	0.4	eP 22 h 01 m 14.6 s e 22 h 01 m 22.4 s Az. 90°
		Z	2980	0.5	eP Dilat. 22 h 01 m 20.3 s i 22 h 01 m 28.1 s eS 22 h 06 m 02.0 s
		B	- -	0.7	eP 22 h 01 m 32.7 s e 22 h 03 m 23.0 s eS 22 h 06 m 11.0 s
					B. I. 41.5° N 47.0° E 0 = 21 h 55 m 31.0 s
154	„ 3.	B	—	0.1	e 17 h 27 m 04.7 s
					Nur Spuren!
155	„ 4.	Z	11000	0.3	eP Compr. 11 h 23 m 24.1 s ePP 11 h 27 m 22.0 s
		B	11400	0.2	eP 11 h 23 m 26.5 s ePP 11 h 27 m 32.0 s
					Stark gestört durch Bodenunruhe!
					Nach Manila 12.8° N 125.8° W 0 = 11 h 09 m 42.0 s Verspürt in Catbalogan VI
156	„ 6.	Z	—	0.1	iP Compr. 15 h 09 m 31.4 s
		B	—	0.1	eP Dilat. 15 h 09 m 31.3 s
					Nur erste Vorläufer registriert, Vorbeben zu Nr. 157
157	„ 6.	Z	8900	1.5	e_z? 16 h 52 m 20.6 s eP Compr. 16 h 52 m 22.6 s ePP 16 h 55 m 37.7 s [eS 17 h 02 m 30.3 s
		B	8880	1.0	eP 16 h 52 m 21.6 s e 17 h 02 m 00.0 s eS 17 h 02 m 27.0 s e 17 h 02 m 43.0 s
		Ch	9000	1.0	eP 16 h 52 m 23.0 s e Dilat. 16 h 52 m 28.2 s eS 17 h 02 m 35.7 s eL 17 h 17 m 40.0 s
		N	8950	1.0	eP 16 h 52 m 27.0 s eS 17 h 02 m 36.0 s
					Nach B. I. 47.6° N 153.6° E 0 = 16 h 40 m 07.0 s
					Hauptstoß eines Bebenschwarms!

Tabelle III (Fortsetzung)

Nr.	Datum	Station	Epizentral-entfernung nach S–P	Ungefähre Dauer der Registr.	Phasen, Bemerkungen
	1951		km	Std.	
158	Nov. 6.	Z	9000	1.0	iP Compr. 19 h 02 m 44.6 s eS 19 h 12 m 56.5 s
		B	—	1.0	eP Compr. 19 h 02 m 45.4 s L-Wellen schwach ausgebildet! Nachstoß zu Nr. 157
159	„ 6.	B	—	0.1	e 20 h 55 m 03.0 s Wahrscheinlich Nachstoß zu Nr. 157 0 = 20 h 42 m 40.0 s
160	„ 8.	Z	-	0.5	e_z 12 h 03 m 27.2 s e 12 h 19 m 18.0 s Schwache Spuren!
161	„ 8.	B	—	1.0	eP 13 h 57 m 05.6 s eL 14 h 37 m 07.0 s
		Z		1.0	eP? 13 h 57 m 09.2 s
		N		0.6	eL 14 h 30 m 54.5 s Schwache Registrierung, U. S. C. G. S 54.5° N 160° W 0 = 13 h 45 m 09.0 s
162	„ 11.	Z	8800	0.5	eP Compr.? 12 h 27 m 42.5 s eS 12 h 37 m 45.1 s Nachstoß zu Nr. 157 0 = 12 h 15 m 28.0 s
163	„ 11.	Z		0.1	e_z 19 h 51 m 08.1 s
		B		0.4	e_z 19 h 51 m 25.6 s e 20 h 01 m 48.0 s Schwache Spuren von Vorläufern eines Fernbebens!
164	„ 12.	Ch	-	1.0	eP 08 h 21 m 40.4 s e 08 h 21 m 46.2 s eL 08 h 55 m
		B	8890	1.0	eP 08 h 21 m 44.8 s eS 08 h 31 m 50.0 s
		N	-	1.0	eP 08 h 21 m 48.7 s
		Z		—	Keine Registrierung; Seismographen gestört Nachstoß zu Nr. 157 0 = 08 h 09 m 28.0 s
165	„ 12	B		0.1	e 09 h 02 m 28.4 s
166	„ 12.	Ch		0.1	e? 09 h 31 m 59.3 s i Compr. 09 h 32 m 32.0 s
		B	-	0.5	ePKP 09 h 33 m 09.6 s i Compr. 09 h 33 m 31.0 s
		Z	-	—	Keine Registrierung! U. S. C. G. S. 23.5° S 179.0° W 0 = 09 h 13 m 50.0 s h = 400 km
167	„ 15.	Z	8890	0.4	eP 08 h 37 m 44.0 s eS 08 h 47 m 53.0 s
		B	—	0.1	eP 08 h 37 m 45.6 s
		Ch		0.1	eP 08 h 37 m 47.1 s
		N		0.1	eP 08 h 37 m 49.6 s Erstes Beben eines Bebenschwarms im Gebiet von Kamtchatka U. S. C. G. S. 52.5° N 160.5° E 0 = 08 h 25 m 53.0 s h = 60 km
168	„ 15.	Z	—	0.1	e_z 08 h 51 m 05.7 s
		B	—	0.1	e_z 08 h 51 m 05.8 s
		N		0.1	e_z 08 h 51 m 10.0 s Nur Spuren; vermutlich Nachstoß zu Nr. 167
169	„ 15.	Z		0.1	e_z 09 h 38 m 30.1 s
		N		0.1	e_z 09 h 38 m 34.6 s Schwache Registrierungen, Nachstoß zu Nr. 167 0 = 09 h 26 m 38.0 s
170	„ 15.	Z	—	0.1	eP Compr. 10 h 14 m 34.4 s
		N		0.1	eP 10 h 14 m 35.2 s
		B		0.1	eP 10 h 14 m 36.9 s Schwache Registrierungen! Nachstoß zu Nr. 167 0 = 10 h 02 m 42.0 s
171	„ 15.	Z	—	0.1	e_z 10 h 33 m 18.1 s
		N		0.1	e_z 10 h 33 m 29.4 s
172	„ 15.	Z	-	0.1	eP Compr. 10 h 43 m 26.2 s
		B		0.1	eP Compr. 10 h 43 m 29.5 s
		N		0.1	eP 10 h 43 m 30.8 s Nur erste Vorläufer registriert! Nachstoß zu Nr. 167 0 = 10 h 31 m 33.0 s
173	„ 15.	N		0.1	e_z Compr. 11 h 13 m 12.6 s
		Z		0.1	e_z 11 h 13 m 17.1 s Nachstoß zu Nr. 167 0 = 11 h 01 m 22.0 s
174	„ 15.	Z		0.1	e_z 15 h 14 m 44.4 s
		B		0.1	e_z 15 h 14 m 52.8 s Nachstoß zu Nr. 167 0 = 15 h 03 m 01.0 s
175	„ 15.	Z		0.1	eP Compr. 17 h 57 m 13.0 s
		B		0.1	eP Dilat.? 17 h 57 m 13.8 s Nachstoß zu Nr. 167 0 = 17 h 45 m 23.0 s

Tabelle III (Fortsetzung)

Nr.	Datum	Station	Epizentral-entfernung nach S–P	Ungefähre Dauer der Registr.	Phasen, Bemerkungen
	1951		km	Std.	
176	Nov. 15.	Z	8780	0.3	eP Compr. 19 h 54 m 05.2 s eS 20 h 04 m 06.2 s
		B	—	0.1	eP 19 h 54 m 05.8 s
					Stärkster Nachstoß zu Nr. 167 0 = 19 h 42 m 12.0 s
177	„ 15.	B	—	0.1	e_z 22 h 11 m 12.0 s
		Z	—	—	Keine Registrierung!
					Nachstoß zu Nr. 167 0 = 21 h 59 m 18.0 s
178	„ 16.	Z	—	0.1	eP Compr. 15 h 15 m 18.1 s
		Ch	—	0.1	eP Compr. 15 h 15 m 19.8 s
					Nur Vorläufer schwach registriert! Nachstoß zu Nr. 167 0 = 15 h 03 m 26.0 s
179	„ 16.	Z	—	0.1	eP Compr. 15 h 32 m 34.8 s
					Schwache Registrierung! Nachstoß zu Nr. 167 0 = 15 h 20 m 44.0 s
180	„ 16.	Z	—	0.1	eP Compr. 15 h 40 m 57.5 s
					Schwache Registrierung; Nachstoß zu Nr. 167 0 = 15 h 29 m 05.0 s
181	„ 17.	Z	—	0.1	eP Compr.? 04 h 56 m 30.6 s e 04 h 56 m 51.3 s Registrierung gestört!
		B	—	0.1	eP 04 h 56 m 35.9 s e 04 h 57 m 14.0 s e 04 h 57 m 27.0 s
					U. S. C. G. S. östliches Tibet!
182	„ 18.	Z	—	0.1	eP Compr. 04 h 50 m 24.9 s e 04 h 50 m 38.1 s
		N		0.1	eP 04 h 50 m 29.7 s
					Nachstoß zu Nr. 167 0 = 04 h 38 m 35.0 s
183	„ 18.	Ch	—	0.2	eP Dilat. 09 h 37 m 02.5 s
		Z	6800	0.3	eP Dilat. 09 h 37 m 07.5 s ePP? 09 h 39 m 32.2 s eS 09 h 45 m 28.0 s
		B	—	0.3	eP 09 h 37 m 10.1 s e 09 h 37 m 18.0 s e 09 h 38 m 11.0 s
					Vorbeben zu Nr. 184, nach Poona 31.5° N 89.5° E 0 = 09 h 26 m 50.0 s
184	„ 18.	Ch	6800	2.0	eP Dilat. 09 h 46 m 10.1 s ePP 09 h 48 m 18.2 s eS 09 h 54 m 38.7 s eL 10 h 10 m
		Z	6820	2.5	eP Dilat. 09 h 46 m 19.0 s iP 09 h 46 m 21.2 s ePP 09 h 48 m 40.3 s
					[eS 09 h 54 m 47.7 s eSS 09 h 58 m 59.0 s Az. 70°
		B	6890	2.0	eP Dilat. 09 h 46 m 21.0 s ePP 09 h 48 m 20.0 s eS 09 h 54 m 54.0 s
		N	6880	2.0	eP 09 h 46 m 27.4 s eS 09 h 55 m 09.0 s Az. 80°
					In Zürich ist die Uhrkor. auf ± s unsicher; Weltbeben im östlichen Tibet
					Nach B. I. 30.3° N 91.7° E 0 = 09 h 35 m 44.0 s
185	„ 24.	Ch	9730	—	eP? 18 h 59 m 57.2 s ePP 19 h 03 m 09.7 s e 19 h 03 m 11.2 s eS 19 h 10 m 39.0 s
		Z	9890?	—	eP? Compr. 19 h 00 m 01.8 s eSKS? 19 h 10 m 20.2 s
		B	9730	—	eP Dilat. 19 h 00 m 05.1 s e 19 h 03 m 14.0 s eS 19 h 10 m 47.0 s
					Der Registrierung von Nr. 186 überlagert; Vorbeben!
186	„ 24.	Z	9660	1 0	eP Dilat. 19 h 03 m 09.6 s ePP 19 h 06 m 34.7 s eS 19 h 13 m 48.6 s e 19 h 19 m 31.8 s
		Ch	—	1.0	eP 19 h 03 m 09.7 s
		B	—	1.0	eP Dilat. 19 h 03 m 14.0 s
		N	9700	1.0	eP 19 h 03 m 16.2 s eS 19 h 13 m 58.0 s
					Schadenbeben auf Formosa, nach B. I. 23.5° N 121.5° E 0 = 18 h 50 m 20.0 s
187	„ 26.	Z	—	0.5	eP Compr. 06 h 51 m 18.7 s ePP 06 h 54 m 44.3 s e 07 h 01 m 43.8 s
		Ch	..	0.5	eP Compr. 06 h 51 m 18.8 s
		B	9700	0.5	eP Compr. 06 h 51 m 22.0 s eS 07 h 02 m 07.0 s
					Nachstoß zu Nr. 186 0 = 06 h 38 m 29.0 s
188	„ 28.	Z	—	0.1	e_z 00 h 25 m 33.0 s Nur Spuren!
189	Dez. 6.	B		0.1	eP 14 h 41 m 43.5 s
		Z		0.1	eP 14 h 41 m 48.8 s
					Vorläufer schwach registriert! B. I. 5.7° N 77.7° E 0 = 14 h 29 m 20.0 s
190	„ 8.	B	—	0.1	eP Dilat. 03 h 52 m 48.9 s
		Z	—	0.1	eP 03 h 52 m 48.7 s
					Nur Vorläufer registriert! U. S. C. G. S. 43.5° N 146.0° E 0 = 03 h 40 m 25.0 s
191	„ 8.	Ch	10180	2.0	eP Dilat. 04 h 27 m 17.5 s eS 04 h 38 m 19.0 s
		Z	10300	2.0	eP Dilat. 04 h 27 m 21.9 s eSKS 04 h 37 m 55.0 s eS 04 h 38 m 29.1 s
		N	10000–11000	1.5	eP 04 h 27 m 23.9 s eSKS? 04 h 38 m 02.0 s [eSS 04 h 44 m 48.1 s
		B	10380	1.5	eP Dilat. 04 h 27 m 24.2 s ePP 04 h 30 m 48.0 s e 04 h 31 m 38.0 s eS 04 h 38 m 34.0 s
					Nach B. I. 33.6° S 56.7° E 0 = 04 h 14 m 30.0 s h = 200 km
192	„ 9.	Z	—	0.1	e_z 23 h 19 m 06.9 s

Tabelle III (Schluß)

Nr.	Datum	Station	Epizentral-entfernung nach S–P	Ungefähre Dauer der Registr.	Phasen, Bemerkungen
	1951		km	Std	
193	Dez. 12.	N	9650	1.0	eP 01 h 50 m 07.0 s eS 02 h 00 m 35.0 s
		B	9670	1.0	eP 01 h 50 m 08.3 s ePP 01 h 53 m 52.0 s eS 02 h 00 m 38.0 s
		Z	9500	1.0	eP Compr. 01 h 50 m 11.5 s epP 01 h 50 m 30.7 s eS 02 h 00 m 30.7 s
		Ch	9800	1.0	eP Dilat. 01 h 50 m 16.9 s eSKS 02 h 00 m 34.0 s Schwache L-Wellen, Azimut zirka 300°. Nach den mexikanischen Stationen 16° 28′ N 96° 54′ W 0 = 01 h 37 m 52.0 s h = 100 km In ganz Süd- und Zentralmexiko verspürt, schwere Bauschäden in San Carlos Yautepec
194	„ 13.	Z	1400	0.2	eP? 20 h 49 m 24.8 s eS 20 h 51 m 55.8 s eL 20 h 52 m 55.0 s
		B	–	0.4	eL 20 h 53 m 15.0 s Nach B. I. 40.5° N 25° E 0 = 20 h 46 m 05.0 s In Kastron auf Lemnos IV
195	„ 16.	Ch	–	0.1	ePKP 19 h 33 m 25.0 s
		Z	–	0.1	ePKP Compr. 19 h 33 m 25.4 s
		B	–	0.1	ePKP 19 h 33 m 26.2 s
		N	—	0.1	ePKP 19 h 33 m 27.5 s Nur erste Vorläufer registriert! Nach U. S. C. G. S. 18° S 168.5° E 0 = 19 h 13 m 43.0 s
196	„ 18.	N	–	0.1	ePKP 14 h 28 m 48.6 s
		Ch	–	0.1	ePKP 14 h 28 m 49.5 s e Compr. 14 h 28 m 57.1 s
		B	–	0.1	ePKP 14 h 28 m 55.3 s
		Z	–	0.1	Registriert ohne Zeitmarken! B. I. 18.9° S 174.8° W 0 = 14 h 09 m 06.0 s h = 60 km
197	„ 20.	B	—	0.1	eP 19 h 14 m 56.4 s eL 19 h 19 m 52.0 s
		Z	—	0.1	eP? 19 h 15 m 13.8 s eS? 19 h 17 m 17.3 s e 19 h 18 m 01.3 s Nach B. I. 38¼° N 20¾° E 0 = 19 h 11 m 55.0 s Auf den Jonischen Inseln verspürt! Ithaka V, Kephalonia V
198	„ 21.	Z	7900	0.5	eP Dilat. 08 h 48 m 52.1 s eS 08 h 58 m 14.1 s e 08 h 58 m 41.9 s B. I. 27.0° N 99.7° E 0 = 08 h 37 m 27.0 s
199	„ 23.	Z	–	0.2	ePKP 06 h 50 m 06.1 s e 06 h 50 m 40.5 s e 06 h 51 m 36.9 s
		B	–	0.2	ePKP 06 h 50 m 08.6 s Vorläufer schwach registriert! B. I. 52.3° S 140.0° E 0 = 06 h 30 m 10.0 s
200	„ 25.	Z	–	0.1	e Compr. 16 h 10 m 35.7 s Registrierung gestört!
		B	—	0.1	e 16 h 10 m 36.1 s B. I. 49.5° N 155.0° E 0 = 15 h 58 m 28.0 s h = 60 km
201	„ 26.	Ch	–	0.5	eP 16 h 41 m 00.4 s
		Z	6800	0.4	eP Compr. 16 h 41 m 01.3 s ePP 16 h 43 m 20.6 s
		B	–	0.5	eP 16 h 41 m 06.1 s e 16 h 42 m 37.0 s Von Beben Nr. 202 überlagert! B. I. 41¼° N 95½° E 0 = 16 h 30 m 55.0 s
202	„ 26.	Z	–	0.1	eP Compr. 17 h 05 m 30.0 s e 17 h 06 m 39.5 s
		B	—	0.1	eP 17 h 05 m 30.7 s
		Ch	—	0.1	eP Compr. 17 h 05 m 31.6 s e Dilat. 17 h 05 m 32.6 s
		N	–	0.1	eP 17 h 05 m 34.5 s U. S. C. G. S. 49.5° N 156° E 0 = 16 h 53 m 23.0 s
203	„ 27.	Ch	1100	0.2	eP Compr. 16 h 29 m 23.3 s eS 16 h 31 m 25.6 s
		Z	1120?	0.2	eP? 16 h 29 m 38.5 s eS? 16 h 31 m 42.3 s
		B	–	0.2	eP? 16 h 30 m 00.8 s e 16 h 32 m 04.0 s Nachstoß zu Nr. 197; Kephalonia IV 0 = 19 h 26 m 26.0 s
204	„ 28.	Z	–	0.2	eP 09 h 33 m 15.2 s ePP 09 h 36 m 35.7 s Starke Bodenunruhe
		B	–	0.2	eP 09 h 33 m 35.6 s Nach den mexikanischen Stationen 16° 04′ N 99° 33′ W 0 = 09 h 20 m 14.0 s
205	„ 30.	Ch	—	0.1	e 17 h 53 m 29.1 s e 17 h 53 m 29.8 s
206	„ 30.	Ch	4340	0.2	eP Compr. 18 h 28 m 56.5 s eS 18 h 35 m 05.1 s
		Z	4400	0.2	eP Compr. 18 h 29 m 02.6 s eS 18 h 35 m 12.6 s
		B	—	0.2	eP 18 h 29 m 10.9 s Azimut 90°, nach B. I. 28.5° N 58.2 N 58.2° E 0 = 18 h 21 m 05.0 s
207	„ 31.	Z	–	0.1	iP Compr. 03 h 13 m 50.9 s Nur erste Vorläufer registriert! B. I. 35.3° N 25.2° E 0 = 03 h 09 m 43.0 s Auf Kreta verspürt!

In der Schweiz im Jahre 1951 verspürte Erdbeben.

M.E.Zeit.

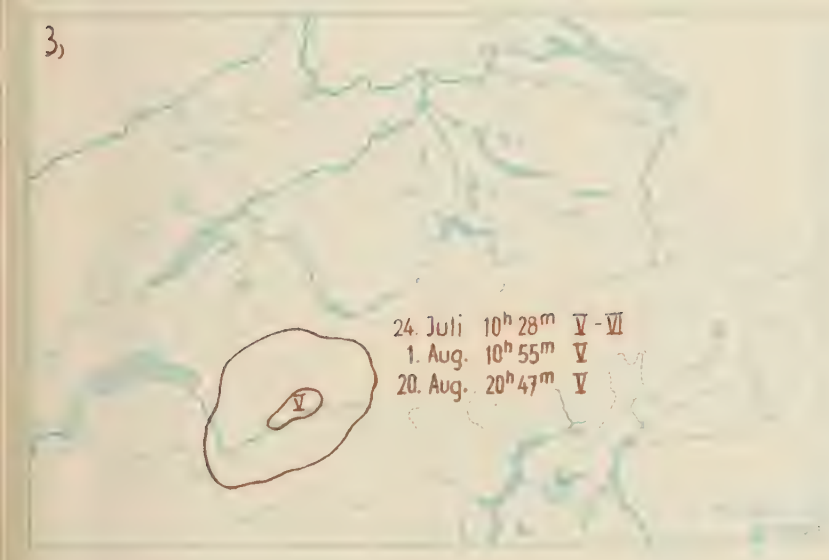

Nr. 6

Aerologische Station Payerne

Verwendete Sondenmodelle: Bei den ab dem Jahre 1942 in den Annalen der M. Z. A. publizierten Radiosondierungen wurden verschiedene Sondenmodelle verwendet. — 1942—1944 erstes Modell I; 1945—Juni 1946 verbessertes erstes Modell Ia; Juli 1946—Juni 1947 zweites Modell II; ab Juli 1947 kontaktloses Modell III.

Radiosondierungen 1951

Die Standardniveaus gemäß dem internationalen Code 1947 für 1000, 850, 700, 500, 300, 200 und 100 Millibar sind fettgedruckt. Ab 4. 10. 48 wurden die Höhen für 1000 mbar aus der Zustandskurve interpoliert.

Die Höhe ist in geopotentiellen Metern angegeben. 1 Meter geop. = 0,98 Meter dyn. (Washington: 1947, Resolutionen: 168 und 78)

Min.	PPP	TTT	UU	H m. geop.
	3. I. 1951.	**06.15 h HEC**		
	1000	—	—	**015**
0	942,0	–0,5	85	493
1	894	–3.7	88	900
	884	**–4.5**	**89**	**1000**
2	857	–6.2	90	1230
	850	**–6.5**	**94**	**1305**
3	809	–7.7	100	1680
	777	**–9.3**	**92**	**2000**
4	763	–10.2	87	2130
5	721	–12.8	53	2570
	700	**–14.0**	**33**	**2800**
6	683	–15.1	23	2970
	682	**–15.3**	**22**	**3000**
7	649	–18.1	18	3360
8	615	–21.0	18	3750
	596	**–23.3**	**21**	**4000**
9	578	–25.3	23	4210
10	543	–29.0	48	4670
	519	**–26.9**	**70**	**5000**
11	512	–26.4	75	5090
	500	**–28.2**	**80**	**5270**
12	483	–30.5	85	5500
13	452	–32.7	95	5970
	451	**–32.9**	**95**	**6000**
14	421	–37.3	95	6460
15	393	–41.6	94	6930
	390	**–42.0**	—	**7000**
16	361	–46.5	—	7450
17	340	–50.7	—	7900
	335	**–51.7**	—	**8000**
18	319	–55.1	—	8320
	300	**–58.4**	—	**8710**
19	294	–59.1	—	8830
	286	**–60.2**	—	**9000**
20	271	–62.0	—	9340
21	249	–62.0	—	9870
	244	**–62.0**	—	**10000**
22	227	–62.0	—	10430
23	209	–62.0	—	10940
	207	**–61.9**	—	**11000**
	200	**–60.7**	—	**11220**
24	193	–60.0	—	11440
25	179	–60.7	—	11910
	177	**–60.7**	—	**12000**
26	163	–60.7	—	12490
	4. I. 1951	**06.10 h HEC**		
	1000	—	—	**180**
0	960.2	–8.5	100	493
1	**900**	**–4.9**	**100**	**1000**
2	**850**	**–8.2**	**100**	**1445**
3	805	–6.9	95	1860
	791	**–7.2**	**70**	**2000**
4	753	–9.3	34	2380
5	**700**	**–11.1**	**24**	**2945**
	695	**–11.6**	**23**	**3000**
6	651	–15.0	20	3490
	609	**–16.0**	**18**	**4000**
7	607	–16.1	18	4020
8	566	–18.1	21	4550
	533	**–20.6**	**25**	**5000**
9	530	–20.8	25	5030
10	**500**	**–23.7**	**28**	**5470**
11	466	–27.6	46	5970
	464	**–27.8**	**48**	**6000**
12	436	–32.3	61	6450
13	**404**	**–36.9**	**75**	**7000**
14	371	–42.1	—	7560
	348	**–46.7**	—	**8000**
15	340	–47.8	—	8140
16	309	–53.1	—	8770
	300	**–55.3**	—	**8950**
	292	**–56.6**	—	**9000**
17	285	–58.5	—	9280
18	263	–61.5	—	9770
	254	**–62.6**	—	**10000**
19	239	–63.9	—	10360
20	219	–66.0	—	10900
	216	**–66.2**	—	**11000**
21	**200**	**–66.4**	—	**11450**
	5. I. 1951	**06.30 h HEC**		
	1000	—	—	**190**
0	962.0	–5.0	100	493
	903	**1.9**	**72**	**1000**
1	901	2.3	69	1020
	870	**4.1**	**33**	**1300**
2	855	3.5	75	1450
	850	**3.2**	**78**	**1490**
3	809	1.0	87	1890
	798	**0.4**	**90**	**2000**
4	763	–1.5	96	2350
5	727	–4.0	66	2730
	704	**–4.7**	**48**	**3000**
	700	**–4.9**	**45**	**3040**
6	686	–5.7	30	3190
7	649	–8.0	23	3620
	619	**–10.1**	**20**	**4000**
8	613	–10.7	19	4070
9	575	–13.9	21	4560
10	**541**	**–17.5**	**26**	**5000**
11	507	–20.6	41	5500
	500	**–21.3**	**43**	**5605**
12	**474**	**–23.7**	**61**	**6000**
13	444	–27.4	73	6490
14	**414**	**–31.5**	**78**	**7000**
15	386	–35.1	82	7480
16	**359**	**–39.9**	**85**	**8000**
17	335	–44.1	—	8430
18	**309**	**–49.2**	—	**9000**
	300	**–51.3**	—	**9160**
19	284	–54.7	—	9520
	263	**–58.3**	—	**10000**
20	259	–59.1	—	10120
21	235	–63.0	—	10720
	224	**–65.1**	—	**11000**
22	215	–67.0	—	11260
23	**200**	**–71.0**	—	**11670**
	6. I. 1951	**06.15 h HEC**		
	1000	—	—	**165**
0	958.9	–7.5	100	493
1	**900**	**1.1**	**81**	**1000**
2	853	6.7	26	1420
	850	**6.5**	**26**	**1460**
3	805	5.9	21	1890
	796	**5.5**	**21**	**2000**
4	765	3.7	20	2300
5	725	0.9	18	2740
	703	**–0.8**	**20**	**3000**
	700	**–1.3**	**20**	**3035**
6	685	–2.7	21	3200
7	646	–6.7	23	3660
	619	**–9.5**	**50**	**4000**
8	603	–10.7	65	4180
9	565	–14.6	90	4680
	543	**–16.9**	**95**	**5000**
10	529	–18.1	100	5180
	500	**–21.0**	**100**	**5610**
11	495	–21.4	100	5680
	474	**–24.0**	**97**	**6000**
12	464	–25.0	95	6140
13	432	–29.3	95	6650
	412	**–32.2**	**98**	**7000**
14	402	–33.5	100	7170
15	374	–37.9	98	7660
	357	**–40.1**	—	**8000**
16	342	–41.9	—	8290
17	**315**	**–47.0**	—	**8830**
	307	**–48.4**	—	**9000**
	300	**–49.8**	—	**9160**
18	289	–51.3	—	9400
19	266	–56.1	—	9930
	263	**–56.7**	—	**10000**
20	243	–61.0	—	10500
	224	**–65.4**	—	**11000**
21	221	–66.1	—	11080
22	**200**	**–70.2**	—	**11690**
	8. I. 1951	**06.05 h HEC**		
	1000	—	—	**190**
0	961.0	–3.9	100	493
1	920	1.7	90	840
	902	**0.5**	**87**	**1000**
2	881	–1.3	84	1190
	850	**–1.0**	**97**	**1480**
3	843	–4.8	100	1540
4	797	–8.6	100	1970
	796	**–8.0**	**98**	**2000**
5	760	–5.3	25	2340
6	727	–6.7	25	2700
	700	**–7.7**	**33**	**3000**
7	694	–7.9	35	3050
8	663	–8.8	80	3410
9	633	–11.4	87	3770
	615	**–13.3**	**85**	**4000**
10	603	–14.3	84	4140
11	572	–17.3	89	4540
12	541	–20.3	87	4940
	538	**–20.5**	**87**	**5000**
13	509	–23.1	85	5410
	500	**–23.9**	**85**	**5540**
14	480	–25.7	85	5830
	469	**–27.8**	**85**	**6000**
15	452	–30.6	85	6260
16	429	–33.8	78	6630
	407	**–37.4**	**61**	**7000**
17	405	–37.5	60	7030
18	379	–42.0	—	7480
19	356	–46.1	—	7910
	351	**–47.1**	—	**8000**
20	331	–50.6	—	8380
21	305	–55.0	—	8920
	301	**–55.5**	—	**9000**
	300	**–55.6**	—	**9020**
22	280	–58.1	—	9450
	257	**–59.7**	—	**10000**
23	255	–59.7	—	10040
24	237	–61.1	—	10500
25	**218**	**–64.9**	—	**11000**
26	**200**	**–61.1**	—	**11540**
	186	**–60.6**	—	**12000**
27	183	–60.5	—	12090
	9. I. 1951	**06.00 h HEC**		
	1000	—	—	**150**
0	956.9	–2.0	100	493
1	906	0.5	90	930
	899	**0.7**	**81**	**1000**
2	863	1.7	46	1320
	850	**0.6**	**48**	**1450**
3	818	–2.0	52	1750
	794	**–3.1**	**62**	**2000**
4	772	–4.1	82	2200
5	733	–7.9	92	2610
	700	**–9.7**	**92**	**2970**
	698	**–9.8**	**92**	**3000**
6	694	–9.9	92	3040
7	654	–11.6	92	3490
8	618	–14.8	94	3910
	612	**–15.6**	**95**	**4000**
9	583	–18.4	100	4360
10	548	–20.5	100	4820
	535	**–20.9**	**99**	**5000**
11	516	–21.7	98	5270
	500	**–23.6**	**97**	**5500**
12	487	–25.0	97	5690
	468	**–27.5**	**96**	**6000**
13	463	–28.2	96	6050
14	438	–31.1	94	6450
15	416	–34.2	88	6820
	405	**–35.5**	**86**	**7000**
16	394	–37.0	84	7190
17	370	–40.0	84	7620
	350	**–43.5**	—	**8000**
18	348	–43.8	—	8030
19	323	–47.7	—	8530
20	**300**	**–51.5**	—	**9000**
21	278	–54.8	—	9500
22	260	–58.0	—	9930
	258	**–58.2**	—	**10000**
23	243	–59.7	—	10350
24	225	–60.5	—	10830
	10. I. 1951	**06.05 h HEQ**		
	1000	—	—	**150**
0	958.9	–1.8	100	493

Min.	PPP	TTT	UU	H m. geop.
1	**901**	**-4.3**	**100**	**1000**
2	860	-1.6	60	1350
	850	**0.4**	**50**	**1450**
	843	1.7	42	1520
3	820	0.9	30	1730
	792	**-1.2**	**30**	**2000**
4	777	-2.5	30	2160
5	735	-5.7	30	2600
	700	**-8.9**	**30**	**3000**
6	695	-9.4	30	3040
7	657	-13.0	30	3470
8	**614**	**-16.1**	**30**	**4000**
9	578	-19.8	30	4430
10	542	-22.4	30	4910
	535	**-23.0**	**33**	**5000**
11	504	-25.9	30	5440
	500	**-26.2**	**30**	**5500**
12	472	-29.2	30	5910
	466	**-29.8**	**30**	**6000**
13	441	-32.8	30	6400
14	412	-36.7	30	6870
	405	**-37.7**	**30**	**7000**
15	384	-40.9	—	7360
16	355	-45.1	—	7880
	349	**-46.0**	—	**8000**
17	324	-49.9	—	8480
	300	**-53.4**	—	**9000**
18	293	-54.5	—	9140
19	265	-58.0	—	9770
	256	**-57.6**	—	**10000**
20	242	-57.3	—	10340

11. I. 1951 06.05 h HEC

	1000	—	—	**175**
0	959.0	-2.3	100	493
1	919	2.5	86	840
	902	**2.2**	**78**	**1000**
2	861	1.1	62	1370
	850	**0.6**	**64**	**1480**
3	819	-1.0	69	1770
	796	**-2.5**	**78**	**2000**
4	774	-4.1	87	2220
5	729	-7.5	100	2690
	700	**-9.2**	**92**	**3000**
6	693	-9.8	90	3080
7	651	-11.2	71	3560
	616	**-13.3**	**53**	**4000**
8	611	-13.7	50	4050
9	574	-16.2	38	4520
10	**538**	**-20.0**	**30**	**5000**
11	506	-23.7	30	5460
	500	**-24.3**	**29**	**5550**
12	**470**	**-27.3**	**28**	**6000**
13	438	-29.7	28	6500
14	**408**	**-33.4**	**28**	**7000**
15	379	-37.4	31	7520
16	**353**	**-40.8**	—	**8000**
17	327	-45.5	—	8520
	304	**-49.0**	—	**9000**
18	**300**	**-50.0**	—	**9100**
19	277	-54.2	—	9600
	261	**-57.4**	—	**10000**
20	252	-59.0	—	10200
21	230	-63.4	—	10770
	222	**-64.5**	—	**11000**
22	207	-66.2	—	11410
	200	**-66.4**		**11630**

12. I. 1951 06.05 h HEC

	1000	—	—	**030**
0	944.4	4.6	60	493
	928	6.8	64	640
1	894	5.8	64	950
	888	**5.5**	**63**	**1000**
	850	**3.1**	**60**	**1360**
2	845	2.6	59	1410
3	802	-0.7	71	1830
	785	**-1.7**	**77**	**2000**
4	755	-3.7	92	2300
5	716	-5.9	100	2720
	700	**-7.1**	**100**	**2900**
	691	**-7.7**	**100**	**3000**

Min.	PPP	TTT	UU	H m. geop.
6	678	-8.6	100	3140
7	643	-11.7	100	3650
8	609	-14.5	100	3960
	607	**-14.8**	**100**	**4000**
9	575	-17.6	100	4400
10	540	-20.5	100	4860
	531	**-21.3**	**100**	**5000**
11	509	-23.3	100	5310
	500	**-24.3**	**100**	**5440**
12	477	-26.6	100	5770
	463	**-28.5**	**100**	**6000**
13	450	-29.8	100	6190
14	423	-33.6	98	6640
	402	**-36.1**	**97**	**7000**
15	395	-37.0	97	7120
16	368	-37.6	95	7600
	347	**-39.6**	**93**	**8000**
17	340	-40.4	—	8140
18	318	-44.4	—	8580
	300	**-47.9**	—	**9000**
19	296	-48.6	—	9070
20	274	-54.0	—	9570
	257	**-56.9**	—	**10000**
21	253	-57.3	—	10070
22	235	-62.1	—	10530

13. I. 1951 06.05 h HEC

	1000	—	—	**035**
0	943.5	-0.3	100	493
	887	**-0.9**	**100**	**1000**
1	882	-1.0	100	1030
	850	**-2.3**	**100**	**1340**
2	833	-3.0	100	1500
3	791	-6.7	100	1930
	781	**-7.6**	**100**	**2000**
4	751	-9.9	100	2300
5	714	-13.9	100	2700
	700	**-14.4**	**100**	**2840**
	686	**-15.2**	**100**	**3000**
6	673	-15.7	100	3140
7	631	-19.2	94	3620
	600	**-21.7**	**96**	**4000**
8	594	-22.1	97	4070
9	552	-25.9	92	4600
	522	**-29.0**	**78**	**5000**
10	514	-29.7	74	5110
	500	**-31.3**	**70**	**5320**
11	479	-34.0	67	5620
	453	**-36.6**	**59**	**6000**
12	446	-37.1	57	6110
13	417	-41.9	—	6570
	391	**-46.0**	—	**7000**
14	390	-46.2	—	7020
15	364	-49.2	—	7470
16	338	-48.8	—	7960
	336	**-48.8**	—	**8000**
17	315	-48.3	—	8430
	300	**-48.6**	—	**8740**
18	290	-49.0	—	8960
	289	**-49.1**	—	**9000**
19	266	-50.9	—	9530
	248	**-50.9**	—	**10000**
20	241	-50.9	—	10170
21	219	-49.7	—	10800
	212	**-49.7**	—	**11000**
22	**200**	**-49.7**	—	**11400**
23	184	-49.7	—	11920

15. I. 1951 06.20 h HEC

	1000	—	—	**125**
0	955.0	**-0.5**	70	493
1	905	**1.4**	70	920
	897	**1.4**	**76**	**1000**
2	861	1.4	100	1300
	850	**0.9**	**100**	**1430**
3	821	-0.6	100	1690
	792	**-1.9**	**100**	**2000**
4	781	-2.3	100	2090
5	739	-3.9	100	2530
6	**700**	**-5.9**	**100**	**2970**
	697	**-6.2**	**100**	**3000**
7	664	-8.5	100	3360

Min.	PPP	TTT	UU	H m. geop.
8	629	-11.2	100	3770
	613	**-13.1**	**100**	**4000**
9	597	-14.5	100	4180
10	567	-17.0	100	4570
	537	**-19.4**	**100**	**5000**
11	532	-19.8	100	5040
12	505	-21.7	100	5430
	500	**-22.4**	**100**	**5530**
13	477	-24.2	100	5850
	469	**-25.0**	**100**	**6000**
14	450	-26.5	100	6270
15	424	-29.4	100	6700
	407	**-31.6**	**92**	**7000**
16	398	-32.8	90	7150
17	370	-37.5	90	7650
	353	**-41.0**	—	**8000**
18	347	-42.0	—	8100
19	323	-46.3	—	8570
	304	**-50.4**	—	**9000**
20	**300**	**-51.0**	—	**9080**
21	275	-55.2	—	9630
	260	**-58.3**	—	**10000**
22	253	-59.4	—	10170
23	230	-63.5	—	10750
	221	**-64.7**	—	**11000**
24	211	-65.6	—	11280
	200	**-64.2**	—	**11620**
25	193	-63.1	—	11830

16. I. 1951 06.15 h HEC

	1000	—	—	**230**
0	967.8	-1.5	85	493
1	**909**	**-2.3**	**85**	**1000**
2	**850**	**-6.3**	**85**	**1520**
3	806	-9.9	85	1935
	800	**-10.0**	**75**	**2000**
4	767	-11.2	50	2310
5	730	-12.3	31	2680
	700	**-14.0**	**37**	**3000**
6	691	-14.5	40	3110
7	650	-18.0	38	3550
	611	**-21.0**	**37**	**4000**
8	603	-22.1	36	4120
9	563	-26.7	35	4630
	533	**-29.6**	**34**	**5000**
10	526	-30.5	34	5110
	500	**-33.4**	**32**	**5450**
11	494	-34.3	32	5550
	462	**-36.4**	**32**	**6000**
12	460	-36.7	32	6070
13	424	-38.2	32	6620
	400	**-39.2**	**32**	**7000**
14	389	-39.7	32	7210
15	357	-41.6	—	7880
	345	**-42.5**	—	**8000**
16	332	-43.9	—	8270
17	306	-47.1	—	8440
	300	**-48.3**	—	**8930**
	297	**-49.0**	—	**9000**
18	292	-51.2	—	9130
19	260	-56.0	—	9880

17. I. 1951 06.10 h HEC

	1000	—	—	**275**
0	973.0	-3.5	90	493
1	920	-3.5	90	940
	913	**-3.5**	**80**	**1000**
2	875	-3.5	50	1330
	850	**-3.5**	**30**	**1560**
3	830	-3.5	22	1750
	804	**-5.0**	**22**	**2000**
4	770	-7.5	22	2330
5	752	-5.8	20	2520
6	715	-7.8	80	2900
	707	**-7.8**	**85**	**3000**
	700	**-7.8**	**90**	**3075**
7	680	-7.8	100	3300
8	644	-9.8	100	3720
	621	**-10.4**	**100**	**4000**
9	610	-10.7	100	4130
10	579	-12.8	100	4530

Min	PPP	TTT	UU	H m. geop.
11	547	**-16.4**	94	4950
	545	**-16.7**	**93**	**5000**
12	515	-19.5	90	5420
	500	**-21.2**	**84**	**5640**
13	488	-22.4	79	5810
	476	**-23.9**	**74**	**6000**
14	461	-25.6	69	6230
15	434	-29.4	67	6660
	414	**-31.0**	**67**	**7000**
16	404	-32.0	62	7160
17	376	-35.6	100	7670
	359	**-38.5**	**83**	**8000**
18	352	-39.7	80	8130
19	329	-44.2	—	8580
20	**308**	**-47.8**	—	**9000**
	300	**-49.4**	—	**9200**
21	287	-52.2	—	9470

18. I. 1951 06.15 h HEC

	1000	—	—	**160**
0	960.2	4.0	100	493
1	920	5.3	100	840
	902	**4.2**	**100**	**1000**
2	895	3.5	100	1070
3	863	1.3	100	1360
	850	**0.4**	**100**	**1480**
4	831	-0.8	100	1660
	796	**-2.5**	**100**	**2000**
5	792	-2.7	100	2050
6	755	-5.0	100	2420
7	723	-6.0	100	2770
	702	**-6.6**	**100**	**3000**
	700	**-6.5**	**100**	**3015**
8	696	-6.6	100	3080
9	667	-7.7	100	3380
10	639	-8.8	100	3720
	617	**-9.9**	**100**	**4000**
11	610	-10.1	100	4070
12	581	-11.9	100	4440
13	561	-13.1	100	4720
14	**539**	**-14.7**	**100**	**5000**
15	520	-16.4	96	5300
16	**500**	**-18.2**	**92**	**5590**
17	480	-21.1	90	5890
	473	**-21.9**	**89**	**6000**
18	457	-23.7	88	6250
19	435	-26.5	86	6620
20	414	-29.6	84	6970
	412	**-30.0**	**83**	**7000**
21	392	-32.3	80	7350
22	370	-35.8	76	7500
	367	**-37.7**	**75**	**8000**
23	347	-39.0	72	8190
24	327	-41.7	—	8580
25	**309**	**-44.5**	—	**9000**
	300	**-46.0**	—	**9180**
26	289	-47.6	—	9440
27	272	-51.1	—	9840
	265	**-52.7**	—	**10000**
28	255	-54.7	—	10240
29	237	-57.9	—	10700
	226	**-60.6**	—	**11000**
30	220	-61.9	—	11170
31	205	-66.0	—	11610
	200	**-67.1**	—	**11750**

19. I. 1951 06.10 h HEC

	1000	—	—	**140**
0	957.4	2.0	90	493
1	905	-0.3	85	940
	899	**-0.8**	**87**	**1000**
2	**850**	**-1.3**	**95**	**1450**
3	795	-8.4	97	1960
	791	**-8.7**	**98**	**2000**
4	745	-13.1	100	2460
5	**700**	**-15.8**	**100**	**2930**
	694	**-15.8**	**93**	**3000**
	687	-15.8	88	3070
6	663	-16.5	57	3330
7	623	-18.9	41	3860
	607	**-20.2**	**40**	**4000**
8	587	-21.9	39	4240

Min.	PPP	TTT	UU	H m. geop.
9	549	−25.1	37	4720
	530	**−26.4**	**37**	**5000**
10	515	−27.1	37	5190
	500	**−28.4**	**37**	**5420**
11	479	−30.2	37	5710
	461	**−32.7**	**37**	**6000**
12	448	−34.2	37	6190
13	417	−37.8	37	6680
	399	**−40.3**	—	**7000**
14	389	−41.4	—	7150
15	362	−45.0	—	7630
	343	**−47.5**	—	**8000**
16	332	−48.9	—	8200
17	305	−52.2	—	8770
	300	**−52.7**	—	**8880**
	295	**−53.1**	—	**9000**
18	281	−54.3	—	9280
19	260	−55.6	—	9790
	252	**−56.0**	—	**10000**
20	239	−56.5	—	10330
21	219	−56.5	—	10880
	215	**−56.5**	—	**11000**
22	**200**	**−56.5**	—	**11470**

20. I. 1951 06.10 h HEC

	1000	—	—	**155**
0	959.7	2.0	95	493
1	907	2.0	95	940
	901	**0.9**	**95**	**1000**
2	856	1.0	97	1410
	850	**0.8**	**98**	**1475**
3	807	0.3	100	1880
	796	**−0.2**	**100**	**2000**
4	767	−1.3	100	2290
5	733	−3.2	98	2640
	702	**−5.0**	**96**	**3000**
6	**700**	**−5.1**	**96**	**3010**
7	661	−7.9	94	3450
8	621	−11.0	94	3930
	617	**−11.5**	**94**	**4000**
9	581	−15.0	95	4450
10	544	−18.0	87	4940
	541	**−18.2**	**85**	**5000**
11	507	−21.7	73	5470
	500	**−22.7**	**73**	**5580**
12	475	−25.3	75	5940
	472	**−26.1**	**77**	**6000**
13	444	−29.3	84	6430
14	413	−33.1	82	6940
	410	**−33.8**	**82**	**7000**
15	384	−37.1	80	7440
16	**353**	**−41.7**	—	**8000**
17	331	−45.3	—	8450
18	**305**	**−50.1**	—	**9000**
	300	**−51.1**	—	**9110**
19	279	−54.5	—	9570
	261	**−57.6**	—	**10000**
20	253	−58.9	—	10190
21	233	−63.1	—	10700
	222	**−64.4**	—	**11000**
22	215	−65.0	—	11200
23	**200**	**−58.9**	—	**11650**

22. I. 1951 06.05 h HEC

	1000	—	—	**200**
0	964.7	−0.8	100	493
	941	3.0	100	690
1	927	1.9	100	800
	907	**−0.1**	**100**	**1000**
2	890	−0.6	100	1150
3	**850**	**2.9**	**80**	**1510**
4	811	1.1	51	1890
	804	**0.3**	**55**	**2000**
5	773	−2.0	67	2270
6	735	−4.2	93	2670
	706	**−4.8**	**91**	**3000**
7	**700**	**−5.2**	**90**	**3060**
8	663	−7.1	71	3480
9	628	−10.7	72	3900
	608	**−13.0**	**57**	**4000**
10	595	−13.5	45	4320
11	567	−16.3	40	4680
	545	**−18.6**	**39**	**5000**
12	535	−19.6	38	5120
13	503	−22.2	43	5580
	500	**−22.5**	**44**	**5610**
14	**477**	−26.1	54	5960
	475	**−26.4**	**56**	**6000**
15	450	−29.7	72	6390
16	421	−32.5	84	6870
	413	**−33.6**	**82**	**7000**
17	394	−36.2	77	7320
18	367	−39.5	75	7790
	347	**−40.6**	—	**8000**
19	342	−42.6	—	8290
20	317	−45.8	—	8800
	307	**−46.9**	—	**9000**
	300	**−47.8**	—	**9150**
21	289	−49.1	—	9420
22	267	−53.2	—	9930
	264	**−53.5**	—	**10000**
23	245	−56.2	—	10480
24	**225**	**−59.5**	—	**11000**
25	205	−62.3	—	11600
	200	**−62.0**	—	**11730**
	192	**−61.9**	—	**12000**
26	189	−62.0	—	12100
27	178	−62.7	—	12470
28	164	−63.1	—	12970

23. I. 1951 06.05 h HEC

	1000	—	—	**170**
0	959.8	−1.0	100	493
1	919	1.8	100	840
	901	**0.9**	**100**	**1000**
2	879	−0.4	100	1200
	850	**−0.5**	**100**	**1470**
3	829	−0.6	100	1670
	795	**−2.4**	**94**	**2000**
4	776	−3.4	90	2200
5	732	−5.8	87	2650
	700	**−7.9**	**89**	**3000**
6	690	−8.6	90	3110
7	645	−11.8	90	3630
	615	**−13.6**	**81**	**4000**
8	604	−14.1	76	4130
9	567	−16.0	62	4600
	539	**−18.9**	**47**	**5000**
10	535	−19.2	45	5050
11	**500**	**−23.7**	**34**	**5540**
12	**469**	**−27.5**	**34**	**6000**
13	437	−32.1	34	6520
	408	**−36.8**	**34**	**7000**
14	405	−37.2	34	7050
15	371	−42.2	—	7500
	352	**−44.2**	—	**8000**
16	341	−46.4	—	8210
17	311	−50.8	—	8820
	302	**−52.0**	—	**9000**
	300	**−52.3**	—	**9050**
18	282	−55.2	—	9450
	258	**−58.7**	—	**10000**
19	255	−59.2	—	10090
20	231	−61.2	—	10700

24. I. 1951 06.05 h HEC

	1000	—	—	**100**
0	951.8	1.0	100	493
1	897	−1.2	100	970
	894	**−1.1**	**99**	**1000**
2	**850**	**−0.3**	**97**	**1400**
3	807	−0.7	94	1810
	789	**−1.8**	**91**	**2000**
4	767	−3.5	87	2220
5	727	−6.1	76	2650
	700	**−8.1**	**74**	**2950**
	695	**−8.3**	**73**	**3000**
6	687	−8.8	72	3090
7	648	−11.9	72	3530
8	**611**	**−14.5**	**80**	**4000**
9	573	−16.7	60	4470
10	539	−20.2	63	4930
	534	**−20.5**	**65**	**5000**
11	505	−23.2	72	5410
	500	**−24.1**	**73**	**5480**
12	476	−27.9	77	5830
	465	**−29.6**	**78**	**6000**
13	449	−32.3	79	6250
14	416	−37.2	72	6790
	403	**−39.3**	**72**	**7000**
15	388	−41.7	—	7270
16	361	−46.0	—	7750
	348	**−47.9**	—	**8000**
17	331	−50.3	—	8320
18	307	−54.4	—	8800
	300	**−55.4**	—	**8950**
	298	**−55.7**	—	**9000**
19	277	−58.3	—	9460
	254	**−60.6**	—	**10000**
20	249	−61.3	—	10130
21	228	−61.5	—	10670
	216	**−62.0**	—	**11000**
22	210	−62.3	—	11180
	200	**−61.1**	—	**11480**
23	191	−60.0	—	11760

25. I. 1951 06.00 h HEC

	1000	—	—	**100**
0	951.7	0.1	100	493
1	901	−2.9	100	920
	892	**−2.1**	**94**	**1000**
2	856	3.9	67	1330
	850	**3.3**	**64**	**1400**
3	817	1.5	48	1710
	788	**0.0**	**52**	**2000**
4	766	−1.2	54	2240
5	724	−4.8	58	2680
	700	**−7.5**	**63**	**2940**
	694	**−7.4**	**64**	**3000**
6	692	−8.4	65	3030
7	654	−11.2	71	3460
8	618	−14.1	74	3900
	610	**−15.2**	**73**	**4000**
9	584	−17.6	70	4320
10	550	−21.4	72	4770
	533	**−23.6**	**73**	**5000**
11	515	−25.7	75	5240
	500	**−27.5**	**78**	**5460**
12	480	−29.9	82	5750
	464	**−31.9**	**82**	**6000**
13	450	−33.7	82	6210
14	421	−37.7	82	6670
	401	**−41.0**	—	**7000**
15	395	−42.0	—	7110
16	366	−46.6	—	7620
	346	**−50.0**	—	**8000**
17	335	−51.9	—	8200
18	307	−56.4	—	8760
	300	**−57.7**	—	**8900**
	295	**−58.5**	—	**9000**
19	282	−69.9	—	9290
20	257	−58.1	—	9870
	252	**−57.7**	—	**10000**
21	237	−56.5	—	10380
22	220	−54.7	—	10850
	215	**−54.7**	—	**11000**
23	204	−54.9	—	11340
	200	**−55.3**	—	**11460**
24	189	−56.4	—	11810

26. I. 1951 06.15 h HEC

	1000	—	—	**100**
0	951.4	−0.9	100	493
1	898	0.9	100	955
	893	**0.9**	**95**	**1000**
2	**850**	**−1.0**	**85**	**1400**
3	807	−2.1	71	1810
	789	**−3.5**	**70**	**2000**
4	759	−5.7	68	2300
5	708	−6.9	58	2835
	700	**−8.0**	**56**	**2930**
	694	**−8.4**	**56**	**3000**
6	677	−10.7	50	3190
	647	−11.3	50	3540
7	636	−12.7	48	3670
	609	**−15.5**	**48**	**4000**
8	598	−16.5	48	4130
9	569	−20.5	45	4500
	532	**−23.5**	**44**	**5000**
10	523	−24.1	43	5125
	500	**−27.3**	**43**	**5450**
11	492	−28.3	42	5570
	463	**−32.9**	**43**	**6000**
12	459	−33.4	43	6060
13	429	−37.7	44	6520
14	402	−41.8	45	6970
	400	**−42.0**	**45**	**7000**
15	369	−46.3	46	7580
	345	**−50.0**	—	**8000**
16	337	−51.3	—	8135
17	311	−55.9	—	8670
	300	**−56.4**	—	**8900**
	295	**−56.9**	—	**9000**
18	285	−57.1	—	9210
19	263	−58.7	—	9730
	252	**−52.9**	—	**10000**
20	240	−52.0	—	10320
21	221	−51.3	—	10850
	216	**−51.2**	—	**11000**
22	**200**	**−51.1**	—	**11500**
	185	**−50.8**	—	**12000**
23	184	−50.8	—	12050
24	170	−50.8	—	12560
	159	**−52.6**	—	**13000**
25	156	−53.0	—	13110

27. I. 1951 06.00 h HEC

	1000	—	—	**070**
0	948.8	−1.0	100	493
1	897	−3.2	100	930
	891	**−3.6**	**88**	**1000**
	888	−4.1	83	1020
2	852	−1.7	92	1345
	850	**−1.9**	**91**	**1360**
3	808	−4.3	83	1760
	785	**−5.2**	**77**	**2000**
4	764	−6.0	71	2200
5	724	−9.0	72	2625
	700	**−11.1**	**67**	**2880**
	690	**−11.8**	**66**	**3000**
6	684	−12.4	64	3060
7	642	−14.3	45	3550
	605	**−16.9**	**29**	**4000**
8	600	−17.0	27	4055
9	561	−20.4	21	4555
	529	**−24.0**	**20**	**5000**
10	525	−24.4	20	5040
11	**500**	**−29.1**	**20**	**5385**
12	461	−33.7	21	5970
	459	**−34.0**	**21**	**6000**
13	429	−38.0	23	6470
14	400	−41.9	24	6950
	397	**−42.7**	**24**	**7000**
15	373	−46.2	25	7420
16	343	−51.0	—	7970
	341	**−51.3**	—	**8000**
17	314	−55.9	—	8540
	300	**−57.9**	—	**8815**
	292	**−59.0**	—	**9000**
18	285	−59.5	—	9150
19	260	−61.1	—	9730
	240	**−59.5**	—	**10000**
20	239	−57.7	—	10245
21	221	−55.0	—	10745
	212	**−54.2**	—	**11000**
22	207	−53.7	—	11160
	200	**−53.3**	—	**11370**

29. I. 1951 06.05 h HEC

	1000	—	—	**090**
0	950.2	0.0	100	493
1	908	−2.7	100	860
	892	**−4.0**	**100**	**1000**
2	870	−5.4	100	1190
	850	**−6.7**	**100**	**1380**
3	828	−7.7	100	1570
4	**785**	**−4.5**	**96**	**2000**
5	741	−6.9	84	2450
	700	**−9.8**	**78**	**2890**

Min.	PPP	TTT	UU	H m. geop.
6	697	–10.1	77	2930
	690	**–10.5**	**77**	**3000**
7	657	–13.1	75	3380
8	623	–16.2	71	3780
	606	**–17.4**	**65**	**4000**
9	589	–19.0	57	4200
10	558	–21.8	50	4600
11	**529**	**–25.0**	**48**	**5000**
12	**500**	**–29.0**	**48**	**5400**
13	474	–32.5	48	5780
	459	**–34.6**	**50**	**6000**
14	448	–36.2	50	6170
15	420	–40.0	50	6620
16	**396**	**–43.7**	—	**7000**
17	372	–47.6	—	7430
18	352	–51.1	—	7790
	341	**–52.5**	—	**8000**
19	331	–54.2	—	8190
20	312	–57.3	—	8550
	300	**–58.2**	—	**8810**
21	296	–58.7	—	8890
	291	**–58.7**	—	**9000**
22	277	–58.7	—	9300
23	258	–57.5	—	9760
	248	**–57.2**	—	**10000**
24	241	–56.8	—	10190
25	225	–56.8	—	10620
	212	**–55.3**	—	**11000**
26	209	–55.1	—	11090
	200	**–54.4**	—	**11370**
27	193	–54.0	—	11600
	30. I. 1950 06.00 h HEC			
	1000	—	—	**130**
0	954.4	–0.2	90	493
1	898	–2.9	100	975
	896	**–3.0**	**100**	**1000**
2	**850**	**–5.5**	**100**	**1420**
3	801	–9.5	100	1880
	788	**–9.4**	**100**	**2000**
4	761	–8.5	100	2280
	732	–11.0	100	2580
5	712	–9.6	96	2800
	700	**–10.0**	**85**	**2920**
	693	**–10.1**	**78**	**3000**
6	677	–10.4	62	3180
7	642	–14.0	67	3580
	607	**–16.4**	**57**	**4000**
8	605	–16.5	56	4030
9	568	–20.3	44	4500
10	**532**	**–23.4**	**40**	**5000**
11	**500**	**–26.5**	**40**	**5440**
12	468	–31.2	50	5910
	462	**–32.1**	**51**	**6000**
13	438	–35.6	53	6370
14	405	–39.9	57	6910
	400	**–40.8**	—	**7000**
15	376	–44.9	—	7410
16	349	–50.6	—	7910
	344	**–51.8**	—	**8000**
17	326	–56.1	—	8340
18	**300**	**–60.8**	—	**8860**
	296	**–61.8**	—	**9000**
	287	–62.9	—	9140
19	278	–60.7	—	9340
20	261	–58.1	—	9740
	250	**–56.8**	—	**10000**
21	241	–56.0	—	10240
22	225	–55.3	—	10670
	214	**–55.8**	—	**11000**
23	206	–56.1	—	11240
	200	**–56.1**	—	**11430**
	31. I. 1951 05.50 h HEC			
	1000	—	—	**100**
0	951.8	–0.5	100	493
1	908	–3.0	100	880
	892	**–3.9**	**100**	**1000**
2	855	–6.1	100	1345
	850	**–6.8**	**100**	**1385**
3	805	–9.5	100	1820
	786	**–7.2**	**100**	**2000**
	779	–6.3	100	2070
	763	–6.7	96	2225
5	709	–9.5	82	2805
	700	**–10.2**	**75**	**2890**
	690	**–11.0**	**67**	**3000**
6	675	–12.1	63	3180
7	629	–14.5	40	3720
	606	**–16.5**	**35**	**4000**
8	590	–17.5	30	4200
9	557	–21.0	59	4620
	530	**–23.1**	**66**	**5000**
10	520	–24.7	70	5135
	500	**–26.7**	**65**	**5410**
11	489	–28.1	54	5580
	470	–31.7	45	5850
	461	**–33.2**	**57**	**6000**
12	456	–34.0	60	6070
13	422	–38.7	75	6600
	398	**–42.3**	**69**	**7000**
14	391	–43.1	67	7120
15	360	–48.7	61	7670
	342	**–51.9**	—	**8000**
16	330	–53.6	—	8220
17	303	–57.3	—	8780
	300	**–57.8**	—	**8840**
	288	**–58.2**	—	**9000**
18	277	–59.6	—	9350
19	**250**	**–56.7**	—	**10000**
20	233	–56.7	—	10435
21	214	–56.1	—	10980
	213	**–56.1**	—	**11000**
	200	**–56.1**	—	**11400**
22	197	–56.1	—	11510
	182	**–56.2**	—	**12000**
23	178	–56.5	—	12145
24	161	–57.7	—	12780
	1. II. 1951 06.00 h HEC			
	1000	—	—	**150**
0	958.6	0.0	80	493
	900	**–2.5**	**99**	**1000**
1	895	–2.7	100	1040
	850	**–6.1**	**100**	**1450**
2	842	–6.6	100	1510
3	**793**	**–9.5**	**100**	**2000**
	771	–11.4	100	2200
4	755	–6.6	96	2360
5	713	–8.5	64	2810
	700	**–9.5**	**70**	**2950**
	696	**–9.7**	**72**	**3000**
6	672	–11.1	83	3260
7	632	–14.1	78	3730
	610	**–16.3**	**86**	**4000**
8	595	–17.8	91	4190
9	560	–21.3	91	4640
	533	**–23.9**	**85**	**5000**
10	522	–25.0	83	5150
	500	**–26.4**	**71**	**5460**
11	484	–27.5	58	5700
	464	**–29.2**	**44**	**6000**
12	454	–30.2	39	6160
13	422	–35.0	35	6670
	402	**–37.9**	**35**	**7000**
14	395	–39.4	35	7140
15	367	–44.0	—	7620
	347	**–48.0**	—	**8000**
16	344	–48.7	—	8050
17	319	–53.6	—	8550
	300	**–56.7**	—	**8940**
	297	**–57.1**	—	**9000**
18	293	–57.9	—	9090
19	268	–61.9	—	9640
	248	**–60.0**	—	**10000**
20	245	–59.2	—	10200
21	226	–56.3	—	10710
	2. II. 1951 06.00 h HEC			
	1000	—	—	**170**
0	960.3	–0.8	88	493
1	903	–3.6	100	970
	901	**–3.8**	**100**	**1000**
2	857	–6.0	100	1390
	850	**–6.8**	**100**	**1460**
	806	–10.5	100	1870
	793	**–8.8**	**87**	**2000**
4	769	–5.5	60	2230
5	732	–7.1	30	2620
	700	**–9.2**	**26**	**2960**
	697	**–9.4**	**26**	**3000**
6	689	–9.9	25	3080
7	647	–13.5	24	3560
	612	**–16.6**	**24**	**4000**
8	607	–16.9	24	4040
9	567	–21.0	24	4560
10	**531**	**–24.7**	**24**	**5000**
11	505	–28.2	24	5400
	500	**–29.0**	**24**	**5470**
12	473	–33.2	24	5870
	461	**–34.2**	**24**	**6000**
13	439	–37.2	24	6380
14	408	–41.3	—	6880
	401	**–42.3**	—	**7000**
15	377	–45.5	—	7410
16	349	–49.7	—	7920
	345	**–50.1**	—	**8000**
17	319	–53.1	—	8500
	300	**–55.6**	—	**8900**
	296	**–56.3**	—	**9000**
18	292	–57.1	—	9080
19	272	–59.6	—	9520
	266	–60.4	—	9660
20	250	–57.9	—	10050
	252	**–58.2**	—	**10000**
21	229	–57.0	—	10600
	215	**–56.6**	—	**11000**
22	210	–56.5	—	11150
	200	**–57.3**	—	**11460**
23	191	–58.0	—	11740
	184	**–58.0**	—	**12000**
24	177	–58.0	—	12210
	3. II. 1951 06.10 h HEC			
	1000	—	—	**110**
0	951.8	–2.0	80	493
1	897	–3.6	100	950
	894	**–3.8**	**100**	**1000**
2	853	–6.7	100	1360
	850	**–6.6**	**98**	**1400**
	835	–5.8	90	1530
3	813	–6.1	70	1740
	787	**–7.9**	**80**	**2000**
4	769	–9.0	87	2180
5	720	–12.3	84	2680
	700	**–11.5**	**94**	**2900**
	691	**–15.3**	**97**	**3000**
6	683	–16.2	100	3080
7	641	–20.3	100	3550
8	**602**	**–21.6**	**100**	**4000**
9	565	–22.4	100	4480
10	533	–25.5	100	4910
	521	**–26.2**	**100**	**5000**
	500	**–28.9**	**100**	**5370**
11	496	–29.3	100	5430
12	462	–33.6	100	5940
	458	**–34.1**	**100**	**6000**
13	431	–37.5	100	6410
14	403	–40.6	—	6870
	396	**–41.5**	—	**7000**
15	373	–43.8	—	7390
16	349	–46.7	—	7840
	341	**–47.9**	—	**8000**
17	324	–50.7	—	8330
18	**300**	**–54.1**		**8830**
	292	**–55.6**	—	**9000**
19	273	–57.8	—	9430
20	251	–59.5	—	9960
	5. II. 1951 06.15 h HEC			
	1000	—	—	**620**
0	927.8	3.0	100	493
1	887	2.0	100	850
	871	**1.3**	**100**	**1000**
2	854	0.8	100	1150
	850	**0.3**	**100**	**1200**
3	821	–1.0	100	1470
	787	–3.2	100	1810
	769	**–3.4**	**100**	**2000**
5	759	–3.5	100	2160
6	735	–5.9	100	2550
7	709	–6.7	100	2680
	700	**–8.0**	**100**	**2735**
8	683	–9.5	100	2920
	676	**–10.3**	**100**	**3000**
9	658	–11.9	100	3200
10	629	–13.5	100	3540
11	599	–15.6	100	3910
	593	**–16.0**	**100**	**4000**
12	570	–17.3	100	4290
13	543	–19.7	97	4650
14	**519**	**–21.7**	**94**	**5000**
	500	**–23.9**	**91**	**5270**
15	494	–24.5	90	5350
16	471	–26.7	90	5690
	452	**–29.3**	**90**	**6000**
17	449	–29.5	90	6040
18	427	–32.5	88	6390
19	407	–35.7	80	6730
	392	**–37.9**	**77**	**7000**
20	388	–38.3	74	7060
21	368	–40.7	—	7420
22	346	–42.9	—	7840
	338	**–44.2**	—	**8000**
23	330	–45.5	—	8160
24	312	–48.1	—	8530
	300	**–49.8**	—	**8790**
25	294	–50.4	—	8920
	290	**–50.6**	—	**9000**
26	277	–52.1	—	9300
27	261	–53.4	—	9690
	249	**–53.4**	—	**10000**
28	244	–53.4	—	10130
29	227	–53.4	—	10580
	213	**–52.1**	—	**11000**
30	211	–52.1	—	11050
	200	**–52.1**		**11410**
31	195	–50.9	—	11550
	6. II. 1951 06.15 h HEC			
	1000	—	—	**515**
0	939.0	–1.5	100	493
1	897	–0.8	100	860
	882	**–2.3**	**100**	**1000**
2	857	–4.3	100	1220
	850	**–4.8**	**100**	**1280**
3	817	–6.7	100	1600
	776	**–8.5**	**91**	**2000**
4	773	–8.6	90	2020
5	731	–11.4	77	2450
	700	**–14.8**	**77**	**2785**
6	693	–15.2	77	2860
	680	**–16.5**	**75**	**3000**
7	651	–18.9	70	3320
8	617	–21.6	55	3720
	595	**–23.5**	**50**	**4000**
9	583	–24.5	48	4130
10	550	–27.7	44	4560
11	**515**	**–32.0**	**46**	**5000**
	500	**–34.0**	**48**	**5240**
12	488	–35.9	49	5410
13	458	–39.9	70	5840
	448	**–41.1**	—	**6000**
14	430	–42.9	—	6270
15	405	–46.7	—	6660
	386	**–46.8**	—	**7000**
16	373	–47.0	—	7210
17	344	–50.1	—	7740
	331	**–50.1**	—	**8000**
18	321	–51.6	—	8190
19	**300**	**–52.9**	—	**8640**
	284	**–52.9**	—	**9000**
20	277	–52.9	—	9140
21	255	–52.9	—	9670
	243	**–50.7**	—	**10000**
22	235	–49.1	—	10200
23	217	–49.1	—	10720
	209	**–50.1**	—	**11000**
24	**200**	**–50.6**	—	**11280**
25	185	–50.0	—	11770

Min.	PPP	TTT	UU	H m. geop.
	7. II. 1951 06.10 h HEC			
	1000	—		**055**
0	947.0	–1.8	100	493
1	**899**	**–1.1**	**100**	**1000**
	850	**–3.0**	**100**	**1350**
2	845	–3.3	100	1400
3	805	–7.0	96	1770
	783	**–8.7**	**98**	**2000**
4	760	–10.7	100	2220
5	721	–12.9	68	2620
	700	**–14.4**	**68**	**2850**
	687	**–15.2**	**68**	**3000**
6	682	–15.7	68	3050
7	647	–19.1	62	3430
8	603	–21.9	50	3960
	600	**–22.2**	**49**	**4000**
9	563	–25.1	46	4460
10	529	–28.7	40	4920
	523	**–29.1**	**39**	**5000**
	500	**–30.9**	**38**	**5320**
11	490	–31.7	36	5460
12	456	–35.0	33	5960
	454	**–35.3**	**32**	**6000**
13	425	–38.4	30	6450
14	395	–41.8	—	6950
	392	**–42.1**	—	**7000**
15	364	–45.0	—	7490
	338	**–47.1**	—	**8000**
16	331	–47.7	—	8140
17	306	–48.7	—	8660
	300	**–48.8**	—	**8780**
	290	**–48.9**	—	**9000**
18	281	–49.3	—	9210
19	257	–48.8	—	9790
	250	**–48.8**	—	**10000**
20	237	–48.8	—	10320
21	219	–48.8	—	10850
	214	**–48.8**	—	**11000**
22	**200**	–48.8	—	**11440**
23	184	–48.8	—	12000
	8. II. 1951 06.10 h HEC			
	1000	—	—	**105**
0	952.7	–2.3	100	493
1	905	–2.7	73	890
	894	**–2.5**	**67**	**1000**
2	857	–1.7	56	1330
	850	**–1.8**	**52**	**1400**
3	813	–2.4	36	1740
	788	**–3.7**	**34**	**2000**
4	765	–4.5	33	2210
5	726	–5.8	38	2630
	700	**–7.2**	**52**	**2930**
	694	**–7.4**	**58**	**3000**
6	689	–7.7	60	3040
7	647	–9.5	65	3520
8	**607**	**–11.9**	**57**	**4000**
9	571	–15.5	60	4480
10	538	–18.7	62	4920
	534	**–19.3**	**63**	**5000**
11	**500**	**–22.3**	**64**	**5480**
12	470	–25.0	65	5910
	465	**–25.8**	**65**	**6000**
13	438	–28.7	67	6410
14	412	–32.3	64	6860
	405	**–33.3**	**64**	**7000**
15	385	–35.7	64	7340
16	357	–39.5	64	7860
	350	**–41.0**	—	**8000**
17	331	–43.8	—	8370
	302	**–48.6**	—	**9000**
18	**300**	**–49.0**	—	**9040**
19	275	–54.6	—	9600
	258	**–58.3**	—	**10000**
20	253	–59.3	—	10120
21	231	–63.5	—	10680
	220	**–63.5**	—	**11000**
22	209	–63.5	—	11290
	200	**–63.5**	—	**11580**
	9. II. 1951 06.10 h HEC			
	1000	—	—	**080**
0	950.6	–1.2	100	493
1	904	3.9	97	880
	893	**4.1**	**94**	**1000**
2	863	5.0	85	1260
	850	**4.1**	**82**	**1395**
3	816	3.4	72	1720
	789	**0.7**	**73**	**2000**
4	771	–0.1	74	2180
5	733	–3.0	79	2580
	700	**–5.2**	**76**	**2945**
6	**695**	**–5.5**	**75**	**3000**
7	660	–7.3	56	3390
8	621	–9.3	50	3870
	612	**–10.1**	**54**	**4000**
9	587	–11.6	60	4310
10	551	–14.4	65	4790
	536	**–15.9**	**66**	**5000**
11	517	–17.3	66	5270
	500	**–19.1**	**63**	**5525**
12	485	–20.7	60	5740
	469	**–22.4**	**60**	**6000**
13	451	–24.0	60	6270
	10. II. 1951 06.10 h HEC			
	1000	—	—	**100**
0	952.9	2.5	100	493
1	909	0.3	100	860
	895	**–0.5**	**100**	**1000**
2	868	–1.5	100	1250
	850	**–2.5**	**100**	**1410**
3	827	–3.5	100	1610
4	**788**	**–6.0**	**100**	**2000**
5	747	–8.0	100	2410
6	713	–9.7	100	2770
	700	**–10.9**	**100**	**2925**
	693	**–11.3**	**100**	**3000**
7	678	–12.2	100	3150
8	643	–13.8	100	3560
9	613	–16.0	100	3920
	608	**–16.6**	**100**	**4000**
10	583	–18.5	100	4290
11	550	–21.3	100	4730
	531	**–22.9**	**100**	**5000**
12	517	–24.1	100	5190
	500	**–26.2**	**100**	**5440**
13	481	–28.9	100	5720
	462	**–31.4**	**100**	**6000**
14	449	–33.3	100	6200
15	416	–37.7	100	6730
	400	**–40.4**	—	**7000**
16	385	–42.9	—	7250
17	357	–47.2	—	7760
	345	**–49.2**	—	**8000**
18	334	–51.0	—	8200
19	311	–53.1	—	8660
	300	**–54.5**	—	**8890**
	295	**–55.0**	—	**9000**
20	289	–55.5	—	9130
21	265	–56.2	—	9680
	252	**–54.1**	—	**10000**
22	243	–52.3	—	10240
23	223	–50.8	—	10790
	216	**–51.7**	—	**11000**
24	205	–52.9	—	11330
	200	**–52.9**	—	**11500**
25	187	–52.9	—	11930
	185	**–52.9**	—	**12000**
26	170	–52.9	—	12540
	12. II. 1951 06.05 h HEC			
	1000	—	—	**115**
0	953.6	–0.3	100	493
	897	**–0.1**	**100**	**1000**
1	891	–0.1	100	1050
2	**850**	**–0.9**	**100**	**1420**
3	815	–2.0	78	1760
	791	**–3.1**	**56**	**2000**
4	778	–4.0	45	2130
5	743	–7.2	25	2500
6	711	–9.6	25	2830
	700	**–10.3**	**27**	**2950**
	696	**–10.6**	**30**	**3000**
7	674	–12.2	30	3260
8	642	–14.9	30	3610
	610	**–17.9**	**26**	**4000**
9	606	–18.2	24	4040
10	572	–20.7	24	4480
11	542	–23.7	24	4870
	532	**–24.5**	**24**	**5000**
12	509	–27.0	24	5340
	500	**–28.0**	**24**	**5450**
13	477	–31.4	24	5790
	13. II. 1951 06.00 h HEC			
	1000	—	—	**065**
0	949.4	1.8	100	493
1	904	–0.7	100	870
	890	**–1.1**	**100**	**1000**
2	855	–2.2	100	1320
	850	**–2.4**	**100**	**1370**
3	810	–4.2	100	1750
	784	**–5.6**	**100**	**2000**
4	765	–6.7	100	2200
5	726	–9.7	100	2610
	700	**–11.3**	**100**	**2890**
6	692	–11.9	100	2970
	689	**–12.1**	**100**	**3000**
7	657	–14.7	100	3360
8	622	–15.7	100	3780
	604	**–17.4**	**100**	**4000**
9	584	–19.3	100	4260
10	547	–23.2	100	4730
	527	**–25.6**	**100**	**5000**
11	517	–26.7	100	5150
	500	**–28.5**	**100**	**5390**
12	484	–30.1	100	5620
	469	**–33.1**	**100**	**6000**
13	454	–33.7	100	6070
14	425	–37.6	100	6530
	397	**–41.4**	—	**7000**
15	392	–41.9	—	7080
16	368	–45.6	—	7500
17	**342**	**–49.3**	—	**8000**
18	320	–53.5	—	8410
	300	**–55.6**	—	**8830**
19	297	–56.0	—	8900
	292	**–56.2**	—	**9000**
20	276	–57.0	—	9360
21	257	–56.8	—	9810
	250	**–56.2**	—	**10000**
22	234	–55.0	—	10400
	213	**–55.8**	—	**11000**
23	210	–56.0	—	11100
	200	**–56.0**	—	**11410**
24	198	–56.0	—	11470
	182	**–56.0**	—	**12000**
25	181	–56.0	—	12040
	14. II. 1951 06.00 h HEC			
	1000	—	—	**080**
0	950.3	2.5	78	493
1	900	1.7	93	930
	893	**1.1**	**93**	**1000**
2	853	–1.8	93	1360
	850	**–2.1**	**93**	**1390**
3	817	–3.9	89	1700
	787	**–6.6**	**94**	**2000**
4	779	–7.3	95	2080
5	738	–10.3	100	2500
6	**700**	**–13.8**	**100**	**2900**
	691	**–14.2**	**97**	**3000**
7	667	–15.6	89	3270
8	637	–17.3	72	3610
	605	**–19.6**	**59**	**4000**
9	603	–19.7	58	4020
10	570	–23.6	55	4440
11	537	–26.5	54	4860
	527	**–27.9**	**54**	**5000**
12	504	–30.7	54	5320
	500	**–31.2**	**54**	**5380**
13	472	–34.9	54	5780
	458	**–37.0**	**55**	**6000**
14	440	–39.4	56	6270
15	414	–42.7	—	6680
	395	**–45.9**	—	**7000**
16	387	–47.0	—	7120
17	357	–51.8	—	7650
	339	**–54.4**	—	**8000**
18	328	–56.1	—	8200
19	302	–54.9	—	8730
	300	**–54.4**	—	**8770**
	290	**–52.3**	—	**9000**
20	282	–50.8	—	9160
21	261	–51.5	—	9670
	248	**–52.0**	—	**10000**
22	240	–52.5	—	10210
23	220	–51.3	—	10780
	213	**–51.6**	—	**11000**
24	202	–52.2	—	11330
	200	**–52.2**	—	**11400**
25	188	–51.7	—	11800
	15. II. 1951 06.05 h HEC			
	1000	—	—	**120**
0	954.1	0.9	100	493
1	901	–0.6	100	950
	897	**–0.8**	**100**	**1000**
2	858	–2.2	100	1340
	850	**–2.7**	**100**	**1430**
3	817	–4.8	100	1730
	790	**–6.9**	**100**	**2000**
4	776	–8.0	100	2130
5	734	–10.4	99	2560
	700	**–13.2**	**99**	**2940**
6	697	–13.4	98	2960
	694	**–13.7**	**98**	**3000**
7	661	–16.9	98	3360
8	621	–19.7	98	3820
	608	**–20.4**	**97**	**4000**
9	581	–22.2	96	4320
10	544	–26.4	93	4800
	530	**–27.7**	**90**	**5000**
11	503	–30.6	83	5360
	500	**–31.0**	**82**	**5410**
12	474	–34.1	77	5780
	460	**–36.2**	**75**	**6000**
13	443	–38.6	72	6260
14	415	–43.0	—	6700
	397	**–46.0**	—	**7000**
15	389	–47.2	—	7120
16	358	–51.2	—	7670
	341	**–52.2**	—	**8000**
17	332	–52.5	—	8160
18	307	–54.0	—	8670
	300	**–54.0**	—	**8810**
	291	**–53.7**	—	**9000**
19	285	–53.5	—	9150
20	263	–53.5	—	9660
	250	**–53.0**	—	**10000**
21	244	–52.8	—	10140
22	226	–51.2	—	10640
	214	**–50.3**	—	**11000**
23	206	–49.7	—	11240
	200	**–49.8**	—	**11440**
24	190	–49.6	—	11760
	16. II. 1951 06.00 h HEC			
	1000	—	—	**140**
0	956.6	0.2	100	493
1	915	–1.5	100	860
	898	**–2.3**	**100**	**1000**
2	869	–3.9	100	1260
	850	**–4.8**	**100**	**1440**
3	824	–6.6	100	1690
	790	**–8.7**	**97**	**2000**
4	781	–9.5	95	2100
5	735	–12.1	56	2570
	700	**–14.4**	**49**	**2930**
	694	**–14.9**	**48**	**3000**
6	689	–15.3	47	3060
7	644	–17.9	42	3560
	607	**–20.1**	**40**	**4000**
8	605	–20.3	40	4030
9	569	–23.5	53	4490
10	533	–27.2	65	4940
	529	**–27.5**	**64**	**5000**
11	**500**	**–30.7**	**70**	**5410**

Min.	PPP	TTT	UU	H m. geop.
12	466	–35.4	70	5910
	460	**–36.4**	—	**6000**
13	435	–40.2	—	6380
14	403	–44.9	—	6890
	397	**–45.9**	—	**7000**
15	371	–50.0	—	7440
16	**340**	**–54.3**	—	**8000**
17	317	–57.1	—	8450
	300	**–57.1**	—	**8800**
18	**292**	**–57.1**	—	**9000**
	17. II. 1951	**06.00 h HEC**		
	1000	—	—	**160**
0	959.1	–2.4	80	493
1	919	–1.3	70	830
	900	**0.3**	**72**	**1000**
2	866	–1.4	77	1320
	850	**–2.1**	**71**	**1460**
3	815	–3.7	57	1790
	795	**–6.8**	**53**	**2000**
4	765	–6.8	48	2290
5	725	–8.2	52	2710
	700	**–10.0**	**60**	**2970**
	698	**–10.2**	**61**	**3000**
6	677	–11.8	67	3230
7	636	–15.3	70	3710
	612	**–17.6**	**69**	**4000**
8	596	–19.1	67	4200
9	558	–22.4	65	4680
	534	**–25.6**	**64**	**5000**
10	521	–2.72	63	5180
	500	**–29.5**	**61**	**5470**
11	488	–30.9	59	5630
	464	**–33.9**	**56**	**6000**
12	453	–35.1	54	6170
13	422	–39.6	54	6650
	401	**–42.4**	—	**7000**
14	389	–44.2	—	7200
15	355	–48.7	—	7820
	345	**–49.9**	—	**8000**
16	325	–52.6	—	8390
	300	**–55.5**	—	**8900**
17	297	–56.1	—	8960
	296	**–56.2**	—	**9000**
18	270	–60.1	—	9570
	252	**–62.0**	—	**10000**
19	246	–62.9	—	10140
20	226	–58.8	—	10670
	214	**–60.5**	—	**11000**
21	207	–61.4	—	11220
	200	**–59.8**	—	**11430**
22	191	–57.9	—	11720
	183	**–57.3**	—	**12000**
23	175	–56.8	—	12270
	19. II. 1951	**06.10 h HEC**		
	1000	—	—	**060**
0	947.3	–0.2	100	493
1	900	– 2.1	100	890
	889	**–2.4**	**100**	**1000**
2	861	–2.9	100	1240
	850	**–3.6**	**100**	**1360**
3	821	–4.7	100	1615
4	785	–6.5	100	1960
	783	**–6.8**	**98**	**2000**
5	752	–9.1	96	2290
6	718	–11.7	91	2660
	700	**–13.7**	**92**	**2865**
	687	**–14.6**	**92**	**3000**
7	683	–14.9	92	3030
8	645	–16.7	96	3470
9	613	–19.0	80	3840
	602	**–20.4**	**75**	**4000**
10	577	–22.8	67	4290
11	544	–26.1	59	4720
	524	**–28.5**	**55**	**5000**
12	510	–30.0	53	5200
	500	**–31.3**	**53**	**5340**
13	477	–34.0	53	5660
	455	**–36.9**	**50**	**6000**
14	449	–37.5	48	6080
15	420	–40.7	42	6530
16	**391**	**–43.4**	—	**7000**
17	363	–47.3	—	7510
18	**337**	**–50.4**	—	**8000**
19	311	–53.1	—	8530
	300	**–54.4**	—	**8770**
	289	**–55.2**	—	**9000**
20	287	–55.4	—	9030
21	265	–57.4	—	9550
	247	**–58.1**	—	**10000**
22	243	–58.1	—	10090
23	225	–57.4	—	10570
	211	**–56.0**	—	**11000**
24	206	–55.4	—	11130
	200	**–54.2**	—	**11330**
25	189	–52.3	—	11670
	180	**–52.3**	—	**12000**
26	175	–52.3	—	12170
27	159	–52.3	—	12800
	20. II. 1951	**06.20 h HEC**		
	1000	—	—	**110**
0	954.0	2.5	90	493
1	897	0.5	84	980
	896	**0.4**	**84**	**1000**
	850	**–3.4**	**87**	**1420**
2	847	–3.7	87	1445
3	805	–7.6	100	1830
	789	**–8.9**	**100**	**2000**
4	765	–10.2	100	2230
5	727	–13.1	100	2620
	700	**–15.1**	**100**	**2915**
	692	**–15.7**	**100**	**3000**
6	688	–16.0	100	3025
7	646	–19.5	100	3510
8	609	–21.6	89	3940
	605	**–21.8**	**80**	**4000**
9	572	–22.5	44	4400
10	537	–24.9	40	4860
	528	**–25.7**	**43**	**5000**
11	**500**	**–27.8**	**47**	**5390**
12	477	–30.0	47	5720
	459	**–32.8**	**52**	**6000**
13	449	–34.0	55	6150
14	421	–37.2	48	6600
	396	**–39.9**	**45**	**7000**
15	395	–40.0	45	7030
16	365	–43.8	—	7560
	342	**–46.9**	—	**8000**
17	339	–47.2	—	8060
18	314	–50.5	—	8560
	300	**–53.0**	—	**8860**
	294	**–53.8**	—	**9000**
19	289	–54.5	—	9090
20	267	–58.1	—	9580
	21. II. 1951	**06.10 h HEC**		
	1000	—	—	**505**
0	940.9	4.2	100	493
1	893	0.2	100	900
	884	**–0.5**	**100**	**1000**
	850	**–2.5**	**100**	**1310**
2	847	–2.6	100	1340
3	805	–5.7	100	1730
	778	**–7.3**	**100**	**2000**
4	765	–8.0	100	2120
5	727	–10.6	97	2520
	700	**–11.5**	**95**	**2820**
6	697	–11.6	95	2850
	684	**–12.6**	**95**	**3000**
7	665	–13.9	94	3180
8	633	–15.9	92	3560
9	607	–17.8	90	3880
	599	**–18.5**	**90**	**4000**
10	581	–19.9	89	4220
11	550	–21.8	89	4620
12	**521**	**–25.2**	**88**	**5000**
	500	**–27.8**	**87**	**5320**
13	495	–28.3	87	5380
14	471	–31.5	86	5740
	455	**–33.4**	**85**	**6000**
15	445	–34.3	84	6130
16	425	–37.5	84	6450
17	403	–40.7	84	6820
	393	**–42.9**	**82**	**7000**
18	384	–44.3	80	7150
19	365	–46.3	75	7480
20	345	–48.2	70	7850
	338	**–49.3**	—	**8000**
21	329	–50.0	—	8160
22	312	–51.8	—	8520
	300	**–53.4**	—	**8770**
23	293	–53.8	—	8920
	290	**–54.4**	—	**9000**
24	278	–55.8	—	9250
25	264	–57.7	—	9600
	22. II. 1951	**06.10 h HEC**		
	1000	—	—	**060**
0	947.8	2.0	100	493
1	894	–0.7	80	960
	890	**–1.2**	**84**	**1000**
2	855	–3.7	97	1300
	850	**–4.1**	**100**	**1365**
3	811	–6.8	100	1720
	784	**–8.6**	**100**	**2000**
4	769	–9.5	100	2150
5	729	–12.0	100	2540
	700	**–14.3**	**100**	**2870**
6	690	–15.2	100	2960
	688	**–15.2**	**100**	**3000**
7	651	–18.1	100	3390
8	615	–21.3	100	3810
	601	**–22.8**	**90**	**4000**
9	575	–25.3	84	4310
10	535	–29.9	74	4820
	523	**–31.6**	**72**	**5000**
11	507	–34.0	70	5210
	500	**–34.9**	**68**	**5320**
12	476	–37.7	64	5670
	453	**–41.0**	—	**6000**
13	443	–42.5	—	6150
14	414	–47.5	—	6600
	390	**–51.4**	—	**7000**
15	384	–52.3	—	7080
16	356	–56.0	—	7570
	333	**–56.0**	—	**8000**
17	329	–56.0	—	8070
18	**300**	**–56.0**	—	**8660**
	23. II. 1951	**06.10 h HEC**		
	1000	—	—	**140**
0	957.3	0.5	100	493
1	913	–3.1	100	870
	899	**–3.8**	**100**	**1000**
2	866	–5.5	100	1290
	850	**–6.2**	**100**	**1430**
3	815	–8.2	100	1760
	790	**–10.0**	**100**	**2000**
4	770	–11.7	100	2200
5	725	–15.3	90	2650
	700	**–17.2**	**90**	**2920**
	693	**–18.1**	**90**	**3000**
6	685	–18.6	90	3090
7	642	–21.5	88	3550
	605	**–24.1**	**100**	**4000**
8	597	–24.6	100	4090
9	552	–27.1	81	4660
	527	**–29.3**	**65**	**5000**
10	516	–30.0	60	5140
	500	**–32.3**	**57**	**5370**
11	488	–33.5	55	5530
	457	**–36.5**	**52**	**6000**
12	451	–36.9	52	6090
13	419	–38.3	48	6580
	395	**–40.5**	—	**7000**
14	**388**	**–41.0**	—	**7110**
15	355	–45.3	—	7710
	341	**–46.9**	—	**8000**
16	324	–48.5	—	8320
17	**300**	**–50.9**		**8820**
	292	**–51.3**	—	**9000**
18	274	–52.1	—	9410
19	251	–51.3	—	9970
	250	**–51.5**	—	**10000**
20	231	–52.5	—	10580
21	**214**	**–51.0**	—	**11000**
	200	**–49.9**	—	**11160**
22	195	–49.4	—	11610
	184	**–49.1**	—	**12000**
23	180	–49.4	—	12140
24	164	–49.4	—	12750
	158	**–50.4**	—	**13000**
25	141	–52.9	—	13730
	24. II. 1951	**06.05 h HEC**		
	1000	—	—	**110**
0	953.4	–2.8	100	493
1	897	–3.0	—	970
	894	**–3.1**	—	**1000**
2	**850**	**–4.5**	—	**1400**
3	810	–6.9	—	1780
	787	**–8.3**	—	**2000**
4	769	–9.4	—	2170
5	732	–11.7	—	2550
6	**700**	**–13.3**	—	**2900**
	691	**–13.7**	—	**3000**
7	656	–15.1	—	3380
8	617	–17.1	—	3840
	605	**–18.1**	—	**4000**
9	581	–19.2	—	4300
10	545	–21.5	—	4770
	529	**–22.8**	—	**5000**
11	508	–24.3	—	5280
	500	**–25.4**	—	**5405**
12	474	–28.0	—	5780
	461	**–29.9**	—	**6000**
13	441	–32.5	—	6290
14	411	–36.0	—	6790
	399	**–38.2**	—	**7000**
15	381	–41.1	—	7310
16	358	–44.7	—	7730
	344	**–47.2**	—	**8000**
17	332	–49.5	—	8230
18	305	–53.9	—	8780
	300	**–55.0**	—	**8890**
	295	**–56.0**	—	**9000**
19	281	–58.4	—	9300
20	256	–62.3	—	9880
	251	**–61.9**	—	**10000**
21	235	–60.1	—	10400
22	**214**	**–58.5**	—	**11000**
	200	**–56.7**	—	**11430**
23	193	–56.0	—	11640
	26. II. 1951	**06.05 h HEC**		
	1000	—	—	**090**
0	951.5	–1.1	100	493
1	903	–0.4	100	910
	893	**–1.2**	**100**	**1000**
2	861	–3.5	100	1285
	850	**–4.4**	**100**	**1390**
3	821	–6.6	100	1660
	786	**–7.9**	**100**	**2000**
4	777	–8.4	100	2100
5	736	–11.5	100	2500
	700	**–13.7**	**100**	**2900**
6	**691**	**–14.2**	**100**	**3000**
7	659	–16.7	100	3350
8	624	–19.7	100	3750
	604	**–21.7**	**100**	**4000**
9	592	–22.9	100	4150
10	559	–26.0	86	4570
11	**527**	**–29.8**	**60**	**5000**
	500	**–33.0**	**53**	**5360**
12	493	–33.9	51	5460
13	461	–38.2	50	5930
	456	**–38.7**	**50**	**6000**
14	432	–42.2	—	6350
15	405	–46.5	—	6800
	393	**–48.1**	—	**7000**
16	376	–50.8	—	7290
17	349	–54.5	—	7770
	337	**–54.8**	—	**8000**
18	325	–55.1	—	8230
19	**300**	**–54.9**	—	**8740**
	288	**–54.0**	—	**9000**

Min.	PPP	TTT	UU	H m. geop.
20	277	–53.2	—	9250
21	254	–52.3	—	9800
	247	**–51.2**	—	**10000**
22	234	–51.1	—	10340
23	216	–51.1	—	10870
	212	**–51.0**	—	**11000**
	200	**–51.0**	—	**11360**
24	195	–51.1	—	11540
	181	**–50.1**	—	**12000**
25	179	–50.1	—	12100
	27. II. 1951 06.00 h HEC			
	1000	—	—	**125**
0	954.1	–3.3	90	493
1	898	–3.7	90	980
	896	**–3.8**	**90**	**1000**
2	**850**	**–7.2**	**90**	**1410**
3	809	–10.9	93	1800
	788	**–12.6**	**92**	**2000**
4	767	–14.2	90	2200
5	724	–17.7	95	2640
	700	**–17.7**	**90**	**2890**
	697	–17.7	88	2920
	690	**–18.2**	**84**	**3000**
6	681	–18.6	80	3090
7	642	–21.5	54	3530
8	**601**	**–25.0**	**50**	**4000**
9	566	–28.8	52	4450
10	529	–32.3	63	4920
	524	**–32.5**	**63**	**5000**
	500	**–34.1**	**61**	**5320**
11	495	–34.7	60	5400
12	466	–38.3	53	5810
	454	**–39.7**	**53**	**6000**
13	433	–42.5	—	6320
14	404	–45.9	—	6770
	391	**–47.8**	—	**7000**
15	373	–50.6	—	7300
16	345	–54.1	—	7810
	335	**–54.8**	—	**8000**
17	315	–55.9	—	8390
	300	**–53.8**	—	**8700**
18	292	–52.4	—	8870
	286	**–52.2**	—	**9000**
19	272	–51.2	—	9330
20	251	–49.6	—	9860
	246	**–49.8**	—	**10000**
21	229	–50.4	—	10460
	211	**–50.4**	—	**11000**
22	210	–50.4	—	11030
	200	**–50.3**	—	**11340**
	28. II. 1951 06.00 h HEC			
	1000	—	—	**170**
0	959.3	–4.5	100	493
1	911	–5.4	100	900
	900	**–6.2**	**98**	**1000**
2	861	–8.7	93	1350
	850	**–9.4**	**85**	**1450**
3	813	–12.2	81	1800
	790	**–13.4**	**82**	**2000**
4	765	–15.1	83	2250
5	718	–18.7	83	2730
	700	**–19.8**	**80**	**2920**
	692	**–20.3**	**78**	**3000**
6	672	–21.6	74	3220
7	629	–25.4	84	3700
	604	**–27.9**	**86**	**4000**
8	589	–29.4	87	4180
9	551	–33.7	87	4650
	524	**–36.3**	**83**	**5000**
10	511	–37.7	81	5170
	500	**–38.0**	**80**	**5320**
11	471	–39.1	77	5720
	453	**–40.3**	—	**6000**
12	438	–41.3	—	6220
13	405	–44.7	—	6750
	390	**–46.7**	—	**7000**
14	372	–49.1	—	7310
15	341	–52.1	—	7880
	335	**–52.3**	—	**8000**
16	320	–53.4	—	8290
	300	**–53.3**	—	**8700**
17	295	–53.4	—	8820
	287	**–53.3**	—	**9000**
18	272	–53.4	—	9330
19	248	–53.4	—	9930
	1. III. 1951 06.05 h HEC			
	1000	—	—	**210**
0	963.2	–4.8	80	493
1	928	–6.4	100	780
	903	**–7.8**	**100**	**1000**
2	883	–9.0	100	1180
	850	**–11.0**	**100**	**1470**
3	836	–12.0	100	1590
	802	–13.4	96	1910
	793	**–13.1**	**91**	**2000**
4	778	–12.9	81	2150
5	746	–14.1	53	2460
6	708	–17.0	53	2850
	700	**–17.6**	**53**	**2950**
	695	**–17.9**	**53**	**3000**
7	669	–19.4	53	3280
8	629	–21.7	44	3730
	607	**–23.6**	**40**	**4000**
9	587	–25.1	38	4240
10	547	–29.2	37	4750
	529	**–31.5**	**37**	**5000**
11	512	–33.6	37	5220
	500	**–34.6**	**37**	**5390**
12	479	–37.0	37	5690
	458	**–39.6**	**37**	**6000**
13	444	–41.1	—	6210
14	412	–45.5	—	6710
	395	**–47.5**	—	**7000**
15	380	–49.3	—	7240
16	349	–51.8	—	7800
	339	**–51.1**	—	**8000**
17	321	–52.8	—	8340
	300	**–52.9**	—	**8780**
18	295	–53.0	—	8880
	290	**–53.2**	—	**9000**
19	268	–54.0	—	9500
	248	**–53.4**	—	**10000**
20	247	–53.5	—	10030
	2. III. 1951 06.05 h HEC			
	1000	—	—	**200**
0	962.1	–4.1	80	493
1	**901**	**–6.4**	**100**	**1000**
2	**850**	**–10.1**	**95**	**1470**
	822	–9.3	80	1730
3	802	–9.8	80	1920
	794	**–10.5**	**83**	**2000**
4	759	–13.0	95	2330
5	713	–15.3	100	2810
	700	**–16.0**	**100**	**2950**
	695	**–16.3**	**100**	**3000**
6	669	–18.7	100	3290
7	627	–21.1	95	3780
	609	**–22.7**	**87**	**4000**
8	592	–24.2	80	4200
9	559	–27.8	90	4610
	530	**–30.6**	**92**	**5000**
10	523	–31.3	93	5090
	500	**–33.4**	**94**	**5400**
11	490	–34.4	95	5550
12	**458**	**–37.8**	**95**	**6000**
13	427	–41.1	—	6500
14	398	–43.8	—	6970
	396	**–44.0**	—	**7000**
15	368	–47.0	—	7490
16	**341**	**–50.0**	—	**8000**
17	317	–53.7	—	8470
	300	**–54.8**	—	**8820**
18	294	–55.3	—	8950
	292	**–55.0**	—	**9000**
19	273	–52.6	—	9440
20	253	–51.4	—	9920
	250	**–51.6**	—	**10000**
21	232	–53.0	—	10480
	214	**–52.8**	—	**11000**
22	212	–52.9	—	11060
	200	**–52.8**	—	**11440**
	3. III. 1951 06.05 h HEC			
	1000	—	—	**160**
0	957.5	–6.0	100	493
	898	**–6.9**	**100**	**1000**
1	894	–7.0	100	1040
	850	**–9.0**	**100**	**1420**
2	839	–9.4	100	1530
3	795	–11.9	100	1950
	789	**–12.3**	**100**	**2000**
4	745	–15.6	100	2450
	700	**–18.7**	**100**	**2900**
5	697	–19.1	100	2950
	691	**–19.1**	**100**	**3000**
6	652	–22.1	100	3430
7	613	–25.9	100	3890
	603	**–25.9**	**100**	**4000**
	592	–25.9	88	4130
8	564	–28.3	68	4490
9	**525**	**–32.1**	**59**	**5000**
	500	**–34.7**	**52**	**5330**
10	491	–35.9	50	5460
11	**454**	**–40.1**	**50**	**6000**
	3. III. 1951 17.00 h HEC			
	1000	—	—	**170**
0	960.3	0.5	55	493
1	914	–3.5	97	890
	902	**–4.6**	**98**	**1000**
2	871	–6.9	100	1270
	850	**–9.0**	**98**	**1450**
3	829	–7.9	98	1650
	809	–5.9	82	1840
	794	**–6.7**	**67**	**2000**
4	789	–6.9	62	2040
5	748	–10.4	56	2450
6	712	–13.1	61	2830
	700	**–14.2**	**63**	**2970**
	696	**–14.5**	**65**	**3000**
7	669	–16.9	72	3290
8	633	–19.4	73	3710
	609	**–21.4**	**76**	**4000**
9	599	–22.3	82	4120
10	564	–25.6	83	4560
11	**531**	**–28.7**	**83**	**5000**
	500	**–31.4**	**81**	**5430**
12	497	–31.7	80	5470
13	468	–35.5	75	5870
	461	**–36.7**	**76**	**6000**
14	441	–39.4	77	6300
15	413	–43.5	78	6750
	398	**–45.6**	—	**7000**
16	384	–47.7	—	7240
17	355	–51.0	—	7750
	341	**–52.3**	—	**8000**
18	325	–53.9	—	8320
19	**300**	**–48.5**	—	**8850**
	293	**–48.6**	—	**9000**
20	277	–49.1	—	9360
21	257	–49.3	—	9850
	251	**–49.1**	—	**10000**
22	238	–48.9	—	10360
23	219	–49.5	—	10900
	216	**–49.4**	—	**11000**
24	**200**	**–49.1**	—	**11490**
25	**185**	**–49.3**	—	**12000**
26	169	–49.5	—	12610
	5. III. 1951 06.10 h HEC			
	1000	—	—	**160**
0	958.0	–6.3	100	493
1	908	–6.3	100	890
	898	**–5.5**	**100**	**1000**
2	865	–3.9	100	1280
	850	**–4.3**	**75**	**1430**
3	821	–4.8	49	1690
	791	**–6.2**	**46**	**2000**
4	777	–6.8	44	2120
5	737	–8.4	44	2530
6	**700**	**–10.5**	**44**	**2940**
	695	**–11.0**	**45**	**3000**
7	659	–13.2	49	3390
8	627	–16.2	55	3770
	609	**–18.2**	**60**	**4000**
9	591	–19.8	65	4200
10	560	–23.2	75	4610
	531	**–26.3**	**79**	**5000**
11	527	–26.6	80	5050
12	**500**	**–29.8**	**73**	**5435**
13	470	–33.7	70	5860
	462	**–34.6**	**70**	**6000**
14	440	–36.9	70	6320
15	413	–40.2	—	6760
	399	**–42.6**	—	**7000**
16	384	–44.9	—	7260
17	356	–49.6	—	7750
	343	**–51.2**	—	**8000**
18	330	–53.0	—	8240
19	**300**	**–57.0**	—	**8850**
	293	**–57.4**	—	**9000**
20	276	–57.8	—	9380
21	255	–56.1	—	9870
	251	**–56.1**	—	**10000**
22	237	–56.1	—	10330
23	219	–56.1	—	10840
	214	**–56.1**	—	**11000**
24	**200**	**–55.5**	—	**11430**
25	184	–54.5	—	11950
	183	**–54.8**	—	**12000**
26	168	–55.5	—	12530
	6. III. 1951 06.10 h HEC			
	1000	—	—	**120**
0	954.0	–3.5	100	493
1	901	–1.7	100	940
	895	**–1.8**	**98**	**1000**
2	857	–2.9	97	1340
	850	**–3.2**	**94**	**1405**
3	807	–4.3	86	1810
	789	**–5.1**	**76**	**2000**
4	759	–6.3	66	2390
5	715	–9.3	54	2750
	700	**–10.4**	**58**	**2925**
	693	**–10.9**	**60**	**3000**
6	674	–12.4	63	3200
7	642	–16.3	71	3570
8	**607**	**–19.2**	**79**	**4000**
9	569	–21.2	86	4430
10	535	–24.1	93	4920
	530	**–24.8**	**93**	**5000**
11	**500**	**–28.5**	**96**	**5420**
12	469	–32.5	96	5870
	461	**–33.5**	**96**	**6000**
13	439	–36.2	95	6330
14	411	–39.1	90	6780
	399	**–40.6**	—	**7000**
15	385	–42.4	—	7230
16	358	–46.7	—	7710
	343	**–48.7**	—	**8000**
17	330	–50.7	—	8260
	300	**–55.2**	—	**8870**
18	295	–55.7	—	8970
	294	**–56.0**	—	**9000**
19	269	–58.9	—	9560
	251	**–58.9**	—	**10000**
20	245	–58.9	—	10130
21	223	–58.9	—	10730
	7. III. 1951 06.15 h HEC			
	1000	—	—	**060**
0	947.0	–5.2	100	493
1	895	–2.0	100	930
	888	**–1.8**	**90**	**1000**
	850	**–0.5**	**75**	**1350**
2	844	–0.3	71	1400
3	799	–0.3	50	1830
	783	**–1.6**	**44**	**2000**
4	757	–3.3	38	2260
5	717	–6.0	33	2690
	700	**–7.6**	**31**	**2885**
	690	**–8.3**	**30**	**3000**
6	681	–9.0	30	3090
7	639	–12.6	28	3590
	605	**–15.3**	**30**	**4000**
8	598	–16.0	31	4080

Min	PPP	TTT	UU	H m. geop.
9	559	–19.3	31	4580
	529	**–22.5**	**34**	**5000**
10	525	–23.0	35	5050
	500	**–25.6**	**38**	**5410**
11	490	–26.6	40	5540
	461	**–30.5**	**36**	**6000**
12	458	–30.7	35	6030
13	429	–34.5	34	6490
	399	**–39.0**	**34**	**7000**
14	397	–39.3	34	7030
15	367	–44.1	—	7550
	344	**–48.9**	—	**8000**
16	341	–49.2	—	8050
17	312	–53.6	—	8630
	300	**–56.4**	—	**8880**
	295	**–58.0**	—	**9000**
18	289	–59.2	—	9100
19	269	–60.5	—	9560
	251	**–61.2**	—	**10000**
20	245	–61.3	—	10120
21	226	–61.0	—	10640
	214	**–60.3**	—	**11000**
22	**200**	**–59.1**	—	**11410**
	182	**–57.9**	—	**12000**
23	178	–57.7	—	12120

8. III. 1951 06.15 h HEC

	1000	—	—	**530**
0	937.2	–2.0	100	493
1	**880**	**0.2**	**100**	**1000**
	850	**1.1**	**100**	**1270**
2	837	1.3	100	1390
3	780	–1.4	67	1950
	776	**–1.4**	**69**	**2000**
4	761	–1.4	74	2150
5	715	–4.1	89	2650
	700	**–5.7**	**92**	**2815**
	684	**–7.0**	**93**	**3000**
6	679	–7.5	94	3040
7	645	–10.4	97	3440
8	607	–13.8	100	3910
	600	**–14.7**	**97**	**4000**
9	572	–17.2	92	4350
10	541	–20.7	88	4780
	525	**–22.2**	**80**	**5000**
11	509	–23.7	74	5220
	500	**–25.0**	**77**	**5355**
12	478	–27.0	83	5690
	458	**–29.4**	**90**	**6000**
13	447	–30.7	96	6210
14	417	–34.7	96	6640
	397	**–37.2**	**94**	**7000**
15	390	–38.0	94	7110
16	366	–42.3	—	7540
17	**342**	**–45.5**	—	**8000**
18	321	–49.3	—	8420
	300	**–52.6**	—	**8860**
19	297	–52.7	—	8920
	294	**–53.4**	—	**9000**
20	273	–57.1	—	9460
21	**251**	**–60.5**	—	**10000**
22	229	–62.7	—	10550
	214	**–59.6**	—	**11000**
23	207	–58.5	—	11180
24	**200**	**–58.5**	—	**11400**

9. III. 1951 06.10 h HEC

	1000	—	—	**545**
0	935.5	0.9	100	493
1	891	–1.0	100	880
	878	**–1.7**	**100**	**1000**
	850	**–2.7**	**100**	**1260**
2	843	–2.9	100	1310
3	800	–5.0	100	1730
	774	**–6.8**	**100**	**2000**
4	754	–8.2	100	2190
5	707	–12.0	100	2690
	700	**–13.2**	**100**	**2770**
	694	–13.7	100	2820
	679	**–13.7**	**80**	**3000**
6	669	–13.7	67	3110
7	634	–16.7	38	3510
8	598	–19.9	33	3940
	595	**–20.4**	**32**	**4000**
9	558	–23.5	28	4450
10	521	–26.6	27	4960
	519	**–27.1**	**28**	**5000**
	500	**–29.2**	**37**	**5260**
11	491	–30.4	42	5390
12	458	–32.9	64	5880
	451	**–33.8**	**66**	**6000**
13	429	–36.2	75	6330
14	398	–40.6	85	6850
	390	**–42.0**	**86**	**7000**
15	370	–44.6	90	7340
16	345	–48.8	—	7810
	335	**–50.4**	—	**8000**
17	320	–53.0	—	8290
	300	**–57.0**	—	**8710**
18	295	–57.8	—	8810
	287	**–57.8**	—	**9000**
19	273	–57.8	—	9300
20	254	–53.2	—	9760

10. III. 1951 06.10 h HEC

	1000	—	—	**020**
0	942.7	–2.0	100	493
	923	–0.7	100	660
1	900	–2.0	100	850
	885	**–3.0**	**100**	**1000**
2	859	–3.9	100	1220
	850	**–4.7**	**100**	**1315**
3	815	–6.4	100	1630
	779	**–8.3**	**100**	**2000**
4	769	–8.7	100	2080
	753	–10.3	100	2250
5	737	–10.3	100	2410
6	705	–13.5	100	2750
	700	**–13.7**	**92**	**2820**
	684	**–14.5**	**86**	**3000**
7	666	–15.1	79	3180
8	631	–17.5	69	3580
	598	**–20.6**	**84**	**4000**
9	595	–20.8	85	4020
10	563	–23.7	79	4430
11	534	–26.1	76	4830
	522	**–27.2**	**73**	**5000**
12	**500**	**–28.9**	**70**	**5300**
13	468	–33.3	63	5760
	453	**–35.4**	**60**	**6000**
14	438	–37.3	57	6220
15	405	–41.7	—	6750
	391	**–43.9**	—	**7000**
16	370	–46.9	—	7360
17	339	–50.9	—	7940
	336	**–51.3**	—	**8000**
18	309	–54.9	—	8530
	300	**–56.3**	—	**8730**
19	**288**	**–57.8**	—	**9000**
	285	–58.0	—	9050
20	262	–56.1	—	9580
21	**244**	**–54.0**	—	**10000**
22	226	–52.3	—	10520
23	**210**	**–52.3**	—	**11000**
	200	–52.3	—	11330
21	195	–52.3	—	11470

12. III. 1951 06.00 h HEC

	1000	—	—	**030**
0	944.3	2.5	90	493
1	893	1.8	100	940
	887	**1.4**	**100**	**1000**
2	**850**	**–1.3**	**100**	**1340**
3	810	–4.1	100	1730
	783	**–6.1**	**100**	**2000**
4	770	–7.0	100	2130
5	727	–10.0	100	2580
	700	**–11.9**	**90**	**2890**
6	**689**	**–12.7**	**87**	**3000**
7	647	–14.9	74	3460
8	**603**	**–18.1**	**63**	**4000**
9	567	–21.1	56	4450
10	532	–22.7	52	4920
	526	**–23.0**	**56**	**5000**
11	**500**	**–24.0**	**72**	**5380**
12	469	–25.6	52	5880
	458	**–27.0**	**58**	**6000**
13	441	–29.6	70	6280
14	418	–33.8	75	6660
	398	**–37.7**	**75**	**7000**
15	395	–38.2	75	7050
16	370	–42.4	—	7560
17	348	–46.5	—	7980
	343	**–47.4**	—	**8000**
18	324	–51.1	—	8380
19	**300**	**–55.4**	—	**8880**
	294	**–56.0**	—	**9000**
20	274	–58.4	—	9440
21	253	–60.1	—	9950
	251	**–60.0**	—	**10000**
22	231	–60.8	—	10510
	213	**–58.6**	—	**11000**
23	210	–58.3	—	11110
	200	**–58.0**	—	**11410**
24	191	–57.8	—	11710

13. III. 1951 06.05 h HEC

	1000	—	—	**035**
0	944.9	3.6	100	493
1	895	2.7	100	930
	889	**2.4**	**100**	**1000**
2	857	1.8	100	1290
	850	**1.3**	**100**	**1350**
3	821	0.1	100	1630
4	791	–1.0	100	1930
	784	**–1.1**	**100**	**2000**
5	764	–1.5	100	2210
6	740	–3.8	100	2460
7	718	–4.7	100	2710
	700	**–5.8**	**100**	**2900**
8	696	–6.1	100	2950
	691	**–6.2**	**100**	**3000**
9	668	–7.3	100	3260
10	642	–8.2	98	3575
11	621	–10.1	96	3840
	608	**–11.4**	**95**	**4000**
12	598	–12.5	95	4130
13	572	–14.6	95	4470
14	549	–16.7	93	4770
	532	**–18.0**	**90**	**5000**
15	523	–19.1	89	5140
	500	**–21.0**	**87**	**5470**
16	197	–21.3	87	5510
17	476	–23.5	87	5810
	465	**–24.7**	**87**	**6000**
18	454	–26.0	87	6180
19	134	–29.0	87	6490
20	415	–31.9	87	6810
	404	**–33.4**	**85**	**7000**
21	394	–34.6	82	7180
22	372	–37.3	80	7580
23	**350**	**–40.4**	—	**8000**
24	329	–43.2	—	8410
25	311	–46.7	—	8800
	302	**–48.4**	—	**9000**
	300	**–48.6**	—	**9025**
26	293	–49.9	—	9190
27	273	–53.2	—	9640
	258	**–55.9**	—	**10000**
28	255	–56.5	—	10080
29	240	–59.2	—	10450
30	226	–61.5	—	10840
	220	**–61.8**	—	**11000**
31	209	–62.5	—	11310
	200	**–62.0**	—	**11590**
32	193	–62.1	—	11880

14. III. 1951 06.00 h HEC

	1000	—	—	**050**
0	946.7	2.0	90	493
1	897	0.9	90	940
	890	**0.8**	**90**	**1000**
2	**850**	**–0.9**	**90**	**1360**
3	809	–3.8	90	1760
	784	**–5.8**	**90**	**2000**
4	768	–7.2	90	2160
5	729	–9.5	70	2580
	700	**–11.5**	**76**	**2880**
6	**691**	**–12.1**	**78**	**3000**
7	655	15.0	59	3390
8	615	–17.7	46	3850
	604	**–18.5**	**44**	**4000**
9	581	–20.9	41	4280
10	542	–24.8	47	4750
	527	**–25.5**	**53**	**5000**
11	506	–26.6	63	5290
	500	**–27.2**	**67**	**5380**
12	474	–30.3	84	5760
	458	**–32.2**	**85**	**6000**
13	444	–34.1	86	6220
14	417	–37.9	86	6760
	397	**–40.1**		**7000**
15	391	–40.9		7100
16	366	–44.1		7540
	342	**–46.9**		**8000**
17	340	–47.2		8040
18	315	–49.2		8520
	300	**–49.5**		**8860**
	294	**–49.8**		**9000**
19	288	–50.0	—	9120
20	266	–50.5	—	9640
	252	**–50.5**	—	**10000**
21	243	–50.6	—	10220
22	224	–52.5		10760
	216	**–53.3**	—	**11000**
23	207	–54.1	—	11270
	200	**–54.3**	—	**11490**
24	189	–54.6	—	11850
	185	**–54.8**	—	**12000**
25	171	–55.2	—	12490

15. III. 1951 06.05 h HEC

	1000	—	—	**120**
0	955.2	6.5	52	493
1	911	4.7	52	890
	898	**4.0**	**52**	**1000**
2	869	1.6	52	1250
	850	**0.0**	**52**	**1450**
3	829	–1.8	52	1640
	792	**–5.3**	**57**	**2000**
4	787	–5.7	58	2050
5	747	–8.6	64	2460
6	**700**	**–12.1**	**64**	**2960**
	696	**–12.1**	**62**	**3000**
7	663	–14.0	58	3380
8	625	–14.4	40	3820
	611	**–14.9**	**38**	**4000**
9	593	–16.1	35	4220
10	562	–18.9	35	4620
	534	**–20.9**	**35**	**5000**
11	531	–21.2	35	5050
12	**500**	**–23.8**	**35**	**5480**
13	473	–26.7	35	5890
	466	**–27.0**	**37**	**6000**
14	444	–28.2	40	6350
15	417	–31.7	42	6790
	405	**–33.5**	**42**	**7000**
16	392	–35.7	42	7230
17	369	–39.1	42	7640
	350	**–42.4**	—	**8000**
18	345	–43.1	—	8140
19	323	17.4		8530
	301	**–51.9**	—	**9000**
20	**300**	**–52.1**	—	**9020**
21	279	–55.9	—	9500
22	**257**	**–59.8**	—	**10000**
	245	–62.2	—	10300
23	237	–62.0	—	10510
	219	**–59.3**	—	**11000**
24	217	–59.1	—	11050
25	**200**	**–60.4**	—	**11560**
26	**186**	**–58.0**	—	**12000**
27	171	–59.4	—	12550

16. III. 1951 06.05 h HEC

	1000	—	—	**150**
0	957.6	4.6	100	493
1	916	2.8	94	860
	900	**2.2**	**96**	**1000**
2	877	1.5	98	1210
	850	**1.5**	**99**	**1470**

Min.	PPP	TTT	UU	H m. geop.
3	840	1.5	100	1560
4	804	–1.1	98	1910
	795	**–1.7**	**98**	**2000**
5	765	–4.3	98	2310
6	725	–6.1	96	2730
	700	**–7.2**	**95**	**3000**
7	689	–7.9	94	3120
8	653	–10.3	85	3540
9	618	–12.1	54	3960
	615	**–12.1**	**53**	**4000**
10	583	–14.6	47	4410
11	553	–16.7	40	4810
	539	**–17.9**	**38**	**5000**
12	527	–19.1	37	5160
	500	**–21.5**	**51**	**5560**
13	491	–22.1	56	5690
	471	**–24.5**	**66**	**6000**
14	466	–25.1	68	6070
15	437	–28.3	70	6540
16	412	–31.2	67	6960
	410	**–31.5**	**67**	**7000**
17	387	–34.7	65	7410
18	362	–38.3	68	7860
	359	**–39.5**	—	**8000**
19	338	–42.5	—	8330
20	317	–46.7	—	8760
	306	**–48.5**	—	**9000**
	300	**–49.5**	—	**9120**
21	294	–50.6	—	9250
22	272	–54.7	—	9750
	262	**–56.3**	—	**10000**
23	250	–58.5	—	10300
24	229	–59.5	—	10850
	224	**–60.4**	—	**11000**
25	210	–62.5	—	11390
	200	**–61.9**	—	**11680**
26	197	–61.9	—	11780

17. III. 1951 06.05 h HEC

	1000	—	—	**100**
0	954.4	9.5	85	493
1	919	8.3	100	790
	898	**8.1**	**100**	**1000**
2	886	8.0	100	1100
3	857	5.8	100	1380
	850	**5.6**	**100**	**1460**
4	820	3.8	100	1750
	795	**2.2**	**100**	**2000**
5	785	1.4	100	2090
6	750	–0.4	100	2470
7	714	–2.7	100	2860
	700	**–3.5**	**90**	**3000**
8	681	–4.8	77	3230
9	647	–7.9	55	3630
	617	**–9.1**	**49**	**4000**
10	614	–10.3	47	4040
11	580	–12.8	75	4470
12	552	–15.5	84	4850
	541	**–16.2**	**90**	**5000**
13	524	–17.4	100	5240
	500	**–19.9**	**100**	**5600**
14	492	–20.6	100	5710
	474	**–22.8**	**100**	**6000**
15	462	–24.3	100	6170
16	435	–27.4	81	6620
	412	**–30.5**	**78**	**7000**
17	408	–31.1	77	7070
18	385	–33.9	77	7480
19	359	–37.5	77	7970
	357	**–37.6**	**77**	**8000**
20	336	–41.2	—	8420
21	313	–45.8	—	8900
	309	**–46.8**	—	**9000**
	300	**–49.0**	—	**9180**
22	296	–50.1	—	9270
23	275	–54.9	—	9740
	264	**–56.1**	—	**10000**
24	252	–57.9	—	10300
25	233	–60.8	—	10780
	225	**–61.9**	—	**11000**
26	216	–63.3	—	11260
27	**200**	**–64.4**	—	**11730**
	191	**–62.4**	—	**12000**
28	187	–61.5	—	12140

19. III. 1951 06.10 h HEC

	1000	—	—	**080**
0	950.7	7.0	100	493
1	906	5.6	83	890
	894	**5.0**	**75**	**1000**
2	866	4.4	65	1250
	850	**3.1**	**70**	**1415**
3	823	1.3	79	1660
	789	**–2.4**	**99**	**2000**
4	787	–2.5	100	2020
5	753	–5.6	100	2360
6	720	–8.5	100	2710
	700	**–8.7**	**100**	**2950**
	695	**–8.9**	**100**	**3000**
7	689	–9.0	100	3060
8	655	–11.1	100	3450
9	621	–11.1	92	3860
	610	**–12.3**	**92**	**4000**
10	587	–14.0	92	4280
11	555	–16.1	86	4700
	534	**–18.3**	**86**	**5000**
12	520	–19.3	85	5190
	500	**–21.7**	**84**	**5495**
13	487	–22.7	83	5670
	466	**–25.2**	**81**	**6000**
14	460	–25.7	80	6100
15	434	–29.4	80	6510
16	413	–32.9	75	6860
	405	**–34.3**	**73**	**7000**
17	391	–37.0	72	7250
18	369	–41.4	—	7640
	350	**–44.8**	—	**8000**
19	346	–45.4	—	8070
20	324	–49.3	—	8500
	301	**–52.0**	—	**9000**
21	**300**	**–52.9**	—	**9010**
22	276	–56.7	—	9540
	257	**–60.1**	—	**10000**
23	254	–60.4	—	10060
24	224	–65.8	—	10830
	218	**–59.5**	—	**11000**
25	217	–58.3	—	11030
	200	**–56.4**	—	**11550**
26	197	–56.1	—	11640
	186	**–56.1**	—	**12000**
27	179	–56.1	—	12240
28	165	–56.1	—	12750

20. III. 1951 06.10 h HEC

	1000	—	—	**115**
0	954.4	3.5	87	493
1	923	0.9	87	760
	896	**–0.7**	**90**	**1000**
2	889	–1.4	92	1060
	850	**–3.7**	**96**	**1420**
3	845	–3.9	97	1450
4	801	–7.0	100	1880
	789	**–7.9**	**100**	**2000**
5	759	–9.8	100	2290
6	719	–13.3	100	2710
	700	**–14.5**	**98**	**2920**
	693	**–15.2**	**97**	**3000**
7	680	–16.3	96	3130
8	650	–18.9	94	3470
9	623	–21.1	91	3770
	605	**–22.2**	**87**	**4000**
10	599	–22.5	85	4070
11	572	–24.9	81	4410
12	547	–27.3	75	4730
13	521	–29.4	71	5080
	510	**–29.1**	**69**	**5000**
	500	**–30.7**	**68**	**5380**
14	496	–31.0	67	5430
15	471	–30.1	64	5800
	458	**–30.7**	**63**	**6000**
16	451	–31.2	62	6110
17	431	–33.3	60	6420
18	410	–35.7	59	6780
	397	**–37.6**	**58**	**7000**
19	388	–38.5	57	7150
20	366	–41.5	55	7550
21	348	–44.1	—	7900
	343	**–45.1**	—	**8000**
22	331	–47.2	—	8230
23	317	–49.9	—	8510
24	**300**	**–52.5**	—	**8880**
	294	**–53.0**	—	**9000**
25	281	–54.2	—	9300
26	261	–56.2	—	9770
	252	**–56.9**	—	**10000**
27	250	–57.0	—	10040
28	239	–57.3	—	10320
29	225	–55.9	—	10700
30	**214**	**–55.9**	—	**11000**
31	**200**	**–55.0**	—	**11460**
32	193	–51.0	—	11680

21. III. 1951 06.10 h HEC

	1000	—	—	**185**
0	962.5	1.0	80	493
1	925	–2.5	85	810
	903	**–3.6**	**89**	**1000**
2	885	–5.0	93	1170
	850	**–7.3**	**96**	**1475**
3	847	–7.6	97	1500
4	**795**	**–9.9**	**100**	**2000**
5	750	–12.7	100	2430
6	713	–15.1	55	2830
	700	**–15.9**	**40**	**2960**
	696	**–16.1**	**37**	**3000**
	691	–16.3	34	3060
7	673	–15.2	31	3260
8	641	–18.0	29	3620
9	**608**	**–21.0**	**28**	**4000**
10	573	–23.2	31	4440
11	541	–25.7	53	4870
	531	**–26.3**	**55**	**5000**
12	513	–27.5	60	5250
	500	**–29.0**	**55**	**5440**
13	481	–30.3	52	5710
	462	**–32.6**	**50**	**6000**
14	451	–33.7	47	6160
15	421	–37.5	52	6640
	400	**–40.2**	—	**7000**
16	392	–41.2	—	7130
17	365	–44.7	—	7610
	345	**–47.2**	—	**8000**
18	341	–47.7	—	8060
19	320	–51.0	—	8480
20	**300**	**–54.7**	—	**8900**
	295	**–55.1**		**9000**
21	273	–57.1	—	9490
	252	**–60.0**	—	**10000**
22	250	–60.2	—	10050
23	229	–58.5	—	10600
	215	**–56.6**	—	**11000**
24	210	–55.9	—	11140
	200	**–54.4**	—	**11450**
25	192	–53.0	—	11720
	184	**–52.6**	—	**12000**
26	177	–52.0	—	12250
27	162	–54.0	—	12810
	157	**–54.5**		**13000**
28	147	–55.4	—	13420

22. III. 1951 06.10 h HEC

	1000	—	—	**230**
0	967.5	–2.0	100	493
1	913	–5.0	97	950
	908	**–4.5**	**80**	**1000**
2	860	–0.1	34	1430
	850	**–0.4**	**30**	**1520**
3	815	–1.5	24	1840
	800	**–2.1**	**23**	**2000**
4	768	–3.6	21	2320
5	729	–7.6	21	2730
	704	**–10.0**	**21**	**3000**
	700	**–10.5**	**21**	**3045**
6	683	–11.8	21	3230
7	645	–15.6	28	3670
	617	**–15.6**	**85**	**4000**
8	605	–15.6	98	4140
9	569	–17.8	100	4600
	540	**–19.1**	**100**	**5000**
10	535	–19.2	100	5060
11	**500**	**–21.6**	**100**	**5570**
	471	**–24.6**	**100**	**6000**
12	469	–25.0	100	6040
13	439	–28.7	100	6510
14	411	–33.0	100	6970
	410	**–33.3**	**100**	**7000**
15	384	–36.8	100	7450
16	360	–41.5	—	7890
	354	**–42.5**	—	**8000**
17	334	–45.6	—	8390
18	310	–49.9	—	8880
	305	**–51.0**	—	**9000**
	300	**–52.0**	—	**9100**
19	286	–54.4	—	9400
20	264	–59.0	—	9910
	261	**–59.7**	—	**10000**
21	244	–62.8	—	10400
22	224	–67.2	—	10920
	221	**–66.9**	—	**11000**
23	**200**	**–63.7**	—	**11620**
	188	**–63.0**	—	**12000**
24	181	–62.3	—	12230

27. III. 1951 06.00 h HEC

	1000	—	—	**100**
0	952.7	2.0	70	493
1	911	1.4	93	840
	895	**1.0**	**92**	**1000**
2	875	0.4	90	1180
	858	–1.1	90	1340
	850	**–0.9**	**88**	**1410**
3	839	–0.7	83	1510
	824	–0.2	73	1650
4	804	–1.4	83	1850
	789	**–1.9**	**90**	**2000**
5	763	–3.1	96	2280
6	730	–3.6	96	2630
7	**700**	**–6.0**	**100**	**2950**
	696	**–6.3**	**100**	**3000**
8	661	–8.0	100	3400
9	633	–10.0	100	3740
	611	**–11.6**	**100**	**4000**
10	602	–12.5	100	4120
11	570	–15.2	100	4530
12	540	–17.8	100	4940
	536	**–17.9**	**100**	**5000**
13	511	–19.5	100	5350
	500	–20.1	99	5520
14	488	–21.9	97	5700
	468	**–24.6**	**93**	**6000**
15	462	–25.5	92	6120
16	438	–28.9	87	6480
17	415	–32.9	84	6860
	406	**–34.5**	**84**	**7000**
18	390	–37.4	84	7300
19	367	–42.2	—	7710
	351	**–45.3**	—	**8000**
20	343	–46.9	—	8160
21	319	–51.7	—	8630
	301	**–55.2**		**9000**
	300	**–55.4**	—	**9030**
22	297	–56.0	—	9090
23	277	–59.4	—	9530
24	**257**	**–62.8**	—	**10000**

28. III. 1951 06.00 h HEC

	1000	—	—	**100**
0	950.9	2.1	100	493
	894	**0.1**	**94**	**1000**
1	890	–0.1	93	1030
	850	**–2.9**	**92**	**1410**
2	845	–3.2	91	1440
3	802	–5.5	91	1850
	788	**–6.5**	**95**	**2000**
4	765	–8.4	97	2220
	743	–9.8	100	2450

Min.	PPP	TTT	UU	H m. geop.
5	726	–8.7	98	2630
	700	**–11.2**	**97**	**2920**
6	**692**	**–12.0**	**96**	**3000**
7	658	–15.4	100	3380
8	623	–18.7	52	3800
	606	**–19.3**	**41**	**4000**
9	588	–20.3	30	4230
10	555	–22.2	22	4650
	538	–23.5	20	4870
	530	**–23.2**	**20**	**5000**
11	525	–23.0	20	5060
12	**500**	**–25.9**	**22**	**5420**
13	471	–28.8	24	5860
	461	**–29.5**	**28**	**6000**
14	444	–31.1	38	6270
15	411	–34.2	70	6810
	400	**–35.5**	**74**	**7000**
16	381	–37.7	81	7340
17	357	–42.2	—	7820
	346	**–43.6**	—	**8000**
18	332	–46.0	—	8270
19	306	–49.6	—	8820
	300	**–50.5**	—	**8940**
	297	**–51.0**	—	**9000**
20	283	–53.3	—	9320
21	259	–57.5	—	9890
	254	**–58.3**	—	**10000**
22	238	–61.8	—	10420
23	219	–63.9	—	10930
	216	**–63.8**	—	**11000**
24	203	–62.7	—	11390
	200	**–61.8**	—	**11490**
25	185	–57.1	—	11970

29. III. 1951 06.00 h HEC

	1000	—	—	**090**
0	949.9	–1.5	90	493
1	903	–2.8	61	900
	892	**–3.6**	**61**	**1000**
2	855	–5.8	60	1330
	850	**–6.3**	**59**	**1390**
3	808	–9.6	57	1780
	784	**–11.8**	**60**	**2000**
4	762	–13.9	63	2220
5	722	–16.6	90	2630
	700	**–18.6**	**96**	**2870**
6	**686**	**–20.0**	**100**	**3000**
	666	–18.7	70	3230
7	645	–19.2	40	3470
8	609	–22.4	38	3900
	601	**–23.1**	**38**	**4000**
9	574	–25.5	38	4330
10	545	–28.4	36	4710
	523	**–29.7**	**36**	**5000**
11	510	–30.7	36	5180
	500	**–31.6**	**36**	**5320**
12	478	–33.9	36	5640
	454	**–35.7**	**36**	**6000**
13	444	–36.5	36	6150
14	413	–40.3	—	6650
	392	**–43.3**	—	**7000**
15	385	–44.3	—	7130
16	358	–48.0	—	7610
	338	**–51.4**	—	**8000**
17	333	–52.2	—	8090
18	309	–56.6	—	8550
	300	**–56.7**	—	**8740**
	289	**–56.7**	—	**9000**
19	285	–57.0	—	9070
20	262	–57.0	—	9610
	247	**–56.0**	—	**10000**
21	238	–55.4	—	10220
22	217	–54.2	—	10810
	211	**–53.7**	—	**11000**
	200	**–53.1**	—	**11320**
23	196	–53.1	—	11640
	180	**–54.0**	—	**12000**
24	176	–54.4	—	12150

30. III. 1951 06.00 h HEC

	1000	—	—	**025**
0	942.2	–3.8	100	493
1	896	–2.1	85	890
	884	**–2.4**	**84**	**1000**
	850	**–3.6**	**82**	**1320**
2	843	–3.9	81	1380
3	805	–5.7	66	1740
	779	**–7.3**	**71**	**2000**
4	769	–7.9	74	2100
5	731	–10.1	77	2500
	700	**–12.5**	**78**	**2820**
6	696	–12.9	78	2870
	684	**–13.8**	**82**	**3000**
7	657	–16.1	90	3310
8	617	–19.1	97	3780
	599	**–20.4**	**98**	**4000**
9	579	–21.7	100	4250
10	542	–24.1	100	4730
	522	**–26.4**	**100**	**5000**
11	509	–28.0	100	5190
	500	**–29.0**	**100**	**5320**
12	472	–33.0	100	5730
	454	**–35.4**	**98**	**6000**
13	443	–37.1	96	6170
14	414	–41.2	—	6640
	392	**–45.2**	—	**7000**
15	388	–46.1	—	7070
16	362	–49.9	—	7530
17	**338**	**–54.4**	—	**8000**
18	313	–56.7	—	8470
	300	**–55.0**	—	**8770**
19	292	–54.2	—	8900
	288	**–54.2**	—	**9000**
20	269	–54.9	—	9430
21	248	–54.0	—	9950
	246	**–53.7**	—	**10000**
22	227	–52.6	—	10520
	211	**–52.1**	—	**11000**
23	207	–52.1	—	11120
	200	**–52.1**	—	**11340**
24	190	–52.1	—	11670
	181	**–52.1**	—	**12000**
25	174	–52.1	—	12250

31. III. 1951 06.00 h HEC

	1000	—	—	**070**
0	948.9	0.5	100	493
1	898	–0.3	100	940
	891	**–0.7**	**100**	**1000**
2	**850**	**–2.9**	**100**	**1370**
3	808	–6.1	100	1780
	784	**–8.4**	**100**	**2000**
4	768	–10.0	100	2170
5	728	–12.5	100	2580
	700	**–14.3**	**100**	**2880**
	689	**–15.2**	**100**	**3000**
6	687	–15.5	100	3030
7	651	–18.2	100	3430
8	611	–21.4	85	3900
	602	**–22.2**	**84**	**4000**
9	576	–24.9	81	4330
10	541	–28.6	81	4790
	525	**–31.0**	**82**	**5000**
11	511	–33.2	82	5190
	500	**–34.4**	**81**	**5340**
12	481	–36.7	79	5610
	455	**–40.1**	—	**6000**
13	446	–41.1	—	6140
14	411	–45.5	—	6680
	392	**–47.7**	—	**7000**
15	380	–49.1	—	7200
16	351	–50.4	—	7720
	336	**–50.3**	—	**8000**
17	327	–50.1	—	8180
18	**300**	**–50.7**	—	**8750**
	288	**–51.4**	—	**9000**
19	278	–52.1	—	9240
20	255	–53.7	—	9800
	247	**–53.8**	—	**10000**
21	233	–54.1	—	10380
22	215	–52.1	—	10890
	212	**–52.3**	—	**11000**
	200	**–52.9**	—	**11360**
23	196	–53.0	—	11500
	181	**–53.3**	—	**12000**
24	180	–53.5	—	12040
25	164	–54.8	—	12650

2. IV. 1951 06.10 h HEC

	1000	—	—	**120**
0	955.8	7.5	55	493
1	909	2.8	60	920
	899	**2.0**	**62**	**1000**
2	866	0.0	65	1300
	850	**–1.5**	**70**	**1450**
3	825	–3.0	75	1690
	793	**–4.2**	**78**	**2000**
4	786	–4.5	80	2070
5	751	–7.6	95	2430
6	719	–10.4	95	2770
	700	**–11.5**	**100**	**2970**
	697	**–11.7**	**100**	**3000**
7	685	–12.6	100	3140
8	650	–14.9	97	3540
9	616	–18.1	100	3950
	611	**–18.4**	**100**	**4000**
10	582	–20.2	85	4370
11	552	–21.6	85	4760
	534	**–22.7**	**81**	**5000**
12	523	–23.5	78	5160
	500	**–25.6**	**70**	**5480**
13	495	–26.2	68	5560
14	467	–29.4	63	5970
	465	**–29.7**	**62**	**6000**
15	439	–33.2	60	6410
16	413	–37.1	65	6830
	403	**–38.5**	**70**	**7000**
17	390	–40.6	—	7230
18	363	–44.0	—	7720
	348	**–46.1**	—	**8000**
19	**340**	**–47.5**	—	8150
20	317	–50.6	—	8620
	300	**–53.3**	—	**8970**
	299	**–53.5**	—	**9000**
21	296	–54.2	—	9060
22	274	–58.0	—	9550
	255	**–60.7**	—	**10000**
23	253	–61.0	—	10050
24	233	–63.0	—	10560
25	220	–63.0	—	10920

3. IV. 1951 06.10 h HEC

	1000	—	—	**180**
0	961.4	2.4	100	493
1	921	0.9	100	840
	902	**–0.5**	**100**	**1000**
2	884	–2.0	100	1170
	850	**–4.2**	**100**	**1480**
3	844	–4.7	100	1540
4	800	–7.2	100	1960
	795	**–7.6**	**100**	**2000**
5	760	–10.1	100	2350
6	721	–13.0	100	2760
	700	**–15.0**	**100**	**3000**
7	690	–16.3	100	3100
8	660	–16.3	70	3430
9	629	–18.7	50	3790
	611	**–20.0**	**40**	**4000**
10	600	–21.2	35	4150
11	569	–24.8	28	4540
12	**535**	**–27.0**	**30**	**5000**
13	506	–29.7	55	5380
	500	**–30.3**	**58**	**5460**
14	476	–32.1	69	5810
	463	**–33.7**	**71**	**6000**
15	452	–35.0	74	6180
16	429	–39.3	69	6530
17	404	–43.2	—	6950
	400	**–43.8**	—	**7000**
18	379	–47.0	—	7380
19	352	–48.8	—	7860
	344	**–49.7**	—	**8000**
20	324	–52.1	—	8400
21	**300**	**–54.0**	—	**8890**
	295	**–54.2**	—	**9000**
22	283	–54.6	—	9280
23	266	–55.8	—	9670
	252	**–56.2**	—	**10000**
24	251	–56.2	—	10030
25	233	–57.0	—	10560
	215	**–55.2**	—	**11000**
26	210	–54.8	—	11160

4. IV. 1951 06.10 h HEC

	1000	—	—	**220**
0	965.7	–2.2	100	493
1	929	1.5	95	800
	906	**–0.1**	**92**	**1000**
2	891	–1.4	91	1140
	850	**–3.9**	**87**	**1520**
3	848	–4.1	87	1540
4	805	–6.5	74	1940
	798	**–6.8**	**70**	**2000**
5	766	–8.7	60	2320
6	732	–8.7	40	2680
	703	**–9.6**	**40**	**3000**
7	**700**	**–9.9**	**40**	**3040**
8	669	–11.0	35	3370
9	628	–13.9	38	3860
	616	**–14.7**	**39**	**4000**
10	594	–16.4	40	4280
11	566	–19.1	40	4650
	539	**–21.3**	**40**	**5000**
12	533	–21.9	40	5090
13	**500**	**–24.0**	**40**	**5570**
14	**471**	**–27.1**	**40**	**6000**
15	449	–30.0	40	6340
16	425	–34.0	40	6720
	408	**–36.6**	**40**	**7000**
17	400	–38.0	40	7140
18	379	–41.1	—	7510
19	355	–44.6	—	7960
	353	**–44.8**	—	**8000**
20	328	–48.5	—	8480
21	306	–52.3	—	8940
	303	**–52.6**	—	**9000**
	300	**–52.9**	—	**9060**
22	271	–57.0	—	9720

5. IV. 1951 06.10 h HEC

	1000	—	—	**190**
0	962.4	5.0	70	493
1	919	5.2	48	870
	906	**4.5**	**49**	**1000**
2	877	2.4	50	1260
	850	**0.6**	**54**	**1510**
3	840	0.0	56	1600
4	**801**	**–1.7**	**40**	**2000**
5	767	–3.2	90	2330
6	731	–4.7	100	2710
	704	**–6.4**	**100**	**3000**
7	**700**	**–6.7**	**99**	**3040**
8	665	–9.5	95	3450
9	629	–10.9	82	3870
	619	**–11.7**	**90**	**4000**
10	596	–13.4	100	4300
11	564	–15.4	89	4710
	543	**–17.6**	**84**	**5000**
12	534	–18.6	82	5130
13	505	–20.9	90	5550
	500	**–21.6**	**86**	**5610**
14	477	–24.5	78	5960
	474	**–24.9**	**79**	**6000**
15	450	–27.4	84	6380
16	428	–31.0	76	6740
	412	**–33.3**	**76**	**7000**
17	403	–34.7	76	7160
18	380	–38.1	76	7580
19	**357**	**–41.7**	—	**8000**
20	335	–44.6	—	8430
21	314	–47.7	—	8860
	307	**–48.8**	—	**9000**
	300	**–49.9**	—	**9150**
22	293	–50.7	—	9310
23	274	–53.4	—	9760
	258	**–54.6**	—	**10000**
24	255	–56.0	—	10220
25	241	–59.2	—	10570

Min.	PPP	TTT	UU	H m. geop.
	6. IV. 1951 06.10 h HEC			
	1000	—	—	**170**
0	961.1	3.7	100	493
1	923	3.7	100	820
	903	**3.3**	**100**	**1000**
2	885	2.7	100	1160
3	**850**	**0.3**	**100**	**1490**
4	811	−3.0	100	1850
	797	**−3.9**	**100**	**2000**
	787	−4.5	100	2110
5	**773**	−3.0	**34**	2230
6	738	−4.4	20	2600
7	706	−7.0	20	2930
	702	**−7.2**	**20**	**3000**
	700	**−7.6**	**20**	**3025**
8	670	−9.7	20	3360
9	**639**	**−11.5**	20	3720
	617	**−13.7**	**20**	**4000**
10	608	−14.3	20	4100
11	577	−16.9	25	4470
12	549	−19.7	30	4850
	540	**−20.4**	**27**	**5000**
13	517	−22.0	20	5300
	500	**−23.6**	**21**	**5560**
14	486	−25.0	22	5750
	471	**−27.3**	**23**	**6000**
15	457	−29.3	24	6200
16	431	−33.6	25	6620
	408	**−37.3**	**25**	**7000**
17	405	−37.9	25	7060
18	375	−41.7	—	7580
	352	**−45.0**	—	**8000**
19	348	−45.9	—	8100
20	321	−49.3	—	8610
	303	**−53.0**	—	**9000**
21	**300**	**−53.5**	—	**9050**
22	274	−57.2	—	9650
	259	**−60.3**	—	**10000**
23	248	−62.2	—	10260
	7. IV. 1951 06.10 h HEC			
	1000	—	—	**100**
0	953.6	6.0	100	493
1	904	7.0	94	930
	897	**6.8**	**94**	**1000**
2	867	6.1	94	1275
	850	**4.9**	**97**	**1435**
3	830	3.3	100	1620
4	**791**	**0.9**	**95**	**2000**
5	755	−2.0	98	2380
6	719	−5.3	100	2770
	700	**−7.1**	**100**	**2990**
	699	**−7.2**	**100**	**3000**
7	659	−10.4	100	3460
8	**639**	**−10.0**	94	3690
9	617	−11.4	73	3960
	614	**−11.5**	**70**	**4000**
10	583	−14.0	59	4390
11	551	−17.4	44	4820
	538	**−18.8**	**42**	**5000**
12	522	−20.0	41	5230
	500	**−22.6**	**44**	**5540**
13	494	−23.1	45	5630
	470	**−26.0**	**57**	**6000**
14	466	−26.4	60	6060
15	439	−29.5	60	6490
16	415	−32.7	60	6880
	408	**−31.9**	**60**	**7000**
17	390	−36.5	60	7330
18	**361**	**−40.5**	—	**7850**
	353	**−41.8**	—	**8000**
19	335	−44.7	—	8350
20	309	−48.3	—	8900
	304	**−49.1**	—	**9000**
	300	**−49.8**	—	**9080**
21	283	−52.2	—	9470
22	**261**	**−55.7**	—	**10000**
23	240	−59.5	—	10500
24	223	−61.9	—	10970
	222	**−61.9**	—	**11000**
25	207	−60.7	—	11430
	200	**−60.3**	—	**11640**

Min.	PPP	TTT	UU	H m. geop.
	9. IV. 1951 06.10 h HEC			
	1000	—	—	**085**
0	952.0	3.3	100	493
1	911	1.7	100	840
	894	**0.6**	**96**	**1000**
2	869	−0.7	92	1230
	850	**−2.1**	**96**	**1405**
3	829	−3.7	100	1590
	807	−3.7	95	1810
4	789	−4.9	100	1980
	788	**−5.3**	**100**	**2000**
5	748	−8.8	100	2400
6	707	−11.3	100	2840
	700	**−11.8**	**100**	**2915**
	693	**−12.3**	**100**	**3000**
7	675	−13.7	100	3180
8	639	−17.4	100	3610
9	609	−20.0	100	3970
	606	**−19.9**	**85**	**4000**
	595	−19.2	74	4140
10	579	−20.0	58	4350
11	549	−21.7	74	4730
	530	**−24.0**	**71**	**5000**
12	517	−25.2	67	5190
	500	**−27.3**	**67**	**5415**
13	486	−29.0	67	5620
	461	**−32.3**	**67**	**6000**
14	454	−33.1	67	6100
15	428	−36.7	71	6510
16	400	−39.5	65	6970
	399	**−39.6**	—	**7000**
17	373	−41.5	—	7450
18	347	−44.3	—	7950
	344	**−44.9**	—	**8000**
19	321	−47.7	—	8470
20	**300**	**−51.1**	—	**8910**
	10. IV. 1951 06.05 h HEC			
	1000	—	—	**070**
0	950.9	2.2	100	493
1	908	2.5	100	870
	893	**1.3**	**100**	**1000**
2	868	−0.7	100	1230
	850	**−2.0**	**97**	**1400**
3	821	−4.5	95	1680
	787	**−7.5**	**84**	**2000**
4	775	−8.5	81	2130
5	731	−12.3	94	2580
	700	**−14.8**	**76**	**2900**
6	**692**	**−15.2**	**72**	**3000**
7	646	−17.9	83	3520
8	**607**	**−21.2**	**92**	**4000**
9	567	−23.7	55	4480
10	532	−27.2	100	4940
	527	**−27.7**	**98**	**5000**
	500	**−31.0**	**88**	**5380**
11	493	−31.9	85	5480
	458	**−33.2**	**59**	**6000**
12	456	−33.2	56	6030
13	423	−35.0	41	6550
	397	**−39.4**	**42**	**7000**
14	391	−40.4	43	7100
	11. IV. 1951 06.00 h HEC			
	1000	—	—	**150**
0	956.6	−1.5	100	493
	923	1.8	90	780
1	908	1.2	86	920
	899	**0.5**	**85**	**1000**
2	867	−2.2	83	1285
	850	**−3.5**	**84**	**1450**
3	829	−5.3	85	1640
	793	**−8.8**	**88**	**2000**
4	790	−9.1	89	2020
5	753	−12.2	95	2380
6	713	−14.4	80	2800
	700	**−15.4**	**79**	**2950**
	695	**−15.9**	**79**	**3000**
7	679	−17.4	78	3180
8	648	−19.7	70	3530
9	611	−21.3	54	3950
	608	**−21.6**	**53**	**4000**

Min.	PPP	TTT	UU	H m. geop.
10	578	−24.2	45	4370
11	543	−27.6	35	4820
	530	**−28.0**	**33**	**5000**
12	511	−28.7	30	5250
	500	**−29.1**	**29**	**5410**
13	481	−30.1	27	5690
	460	**−31.6**	**39**	**6000**
14	450	−32.6	44	6160
15	420	−36.7	54	6640
	399	**−39.6**	**54**	**7000**
16	391	−40.8	—	7130
17	363	−44.2	—	7640
	344	**−45.8**	—	**8000**
18	337	−46.4	—	8130
19	311	−50.7	—	8670
	300	**−51.7**	—	**8900**
	296	−52.2	—	9000
20	287	−53.3	—	9180
21	265	−53.5	—	9700
	253	**−52.7**	—	**10000**
22	244	−52.0	—	10230
	12. IV 1951 06.00 h HEC			
	1000	—	—	**190**
0	961.4	−2.0	100	493
	932	0.6	97	750
1	913	−0.3	95	910
	904	**−0.6**	**96**	**1000**
2	865	−3.7	98	1350
	850	**−4.4**	**99**	**1480**
3	824	−6.3	100	1730
	796	**−8.3**	**99**	**2000**
4	781	−9.5	98	2150
5	745	−11.0	82	2500
6	707	−12.2	28	2910
	700	**−12.3**	**25**	**3000**
7	674	−13.5	15	3280
8	635	−16.9	17	3730
	612	**−17.5**	**17**	**4000**
9	598	−18.0	17	4170
10	566	−20.6	17	4580
	535	**−23.1**	**17**	**5000**
11	533	−23.2	17	5030
12	**500**	**−27.6**	**17**	**5490**
13	**466**	**−30.2**	**17**	**6000**
14	437	−34.0	19	6460
15	408	−38.3	23	6930
	404	**−38.7**	**23**	**7000**
16	379	−42.2	—	7430
17	350	−46.3	—	7960
	348	**−46.5**	—	**8000**
18	325	−49.2	—	8470
19	**300**	**−52.2**	—	**9000**
20	276	−54.0	—	9510
	256	**−56.8**	—	**10000**
21	253	−57.2	—	10070
22	234	−55.0	—	10570
	219	**−53.0**	—	**11000**
23	217	−52.7	—	11040
	13. IV. 1951 06.00 h HEC			
	1000	—	—	**150**
0	959.9	−1.8	90	493
1	909	1.9	77	925
	899	**1.6**	**76**	**1000**
2	869	0.3	73	1290
	850	**−1.0**	**77**	**1460**
3	829	−2.6	82	1670
4	**797**	−5.1	64	1970
	793	**−4.9**	**61**	**2000**
	777	−3.2	45	2180
5	753	−3.2	54	2410
6	720	−4.6	47	2790
	700	**−5.7**	**41**	**3000**
7	688	−6.6	37	3130
8	649	−9.1	37	3580
9	**615**	**−11.3**	**31**	**4000**
10	582	−14.1	49	4420
11	550	−16.7	60	4850
	538	**−17.8**	**53**	**5000**
12	518	−19.7	46	5290
	500	**−21.1**	**43**	**5550**

Min.	PPP	TTT	UU	H m. geop.
13	489	−22.0	40	5720
	470	**−21.8**	**11**	**6000**
14	460	−26.4	42	6170
15	432	−29.7	50	6610
	409	**−33.1**	**51**	**7000**
16	403	−34.3	52	7100
17	376	−36.8	47	7590
	354	**−40.6**	—	**8000**
18	350	−41.2	—	8080
19	326	−44.7	—	8550
	305	**−47.6**	—	**9000**
20	303	−47.8	—	9040
	300	**−48.3**	—	**9100**
	294	−49.5	—	9240
21	284	−47.7	—	9470
	14. IV. 1951 06.00 h HEC			
	1000	—	—	**130**
0	957.8	6.4	78	493
1	923	3.9	84	790
	899	**2.3**	**89**	**1000**
2	878	0.5	94	1200
	850	**−1.4**	**98**	**1450**
3	834	−2.8	100	1610
	793	**−5.0**	**100**	**2000**
4	784	−5.7	100	2100
5	729	−8.9	100	2660
	700	**−11.0**	**99**	**2970**
	697	**−11.4**	**97**	**3000**
6	690	−12.0	98	3090
7	650	−15.6	93	3540
8	**611**	**−16.9**	**40**	**4000**
9	577	−19.2	22	4430
10	545	−21.1	15	4850
	534	**−22.1**	**16**	**5000**
11	514	−24.1	18	5290
	500	**−25.6**	**18**	**5480**
12	486	−27.2	18	5690
	465	**−29.7**	**18**	**6000**
13	458	−30.7	18	6110
14	431	−33.8	15	6510
	404	**−37.3**	**15**	**7000**
15	401	−37.8	15	7040
16	375	−41.1		7500
17	352	−45.1	—	7930
	348	**−45.7**	—	**8000**
18	328	−48.7	—	8400
19	304	−52.1	—	8900
	300	**−52.7**	—	**9000**
20	281	−54.9	—	9410
21	259	−56.9	—	9920
	256	**−57.1**	—	**10000**
22	237	−58.3		10480
	218	**−58.1**		**11000**
23	216	−58.3	—	11070
	16. IV. 1951 06.10 h HEC			
	1000	—	—	**210**
0	966.0	0.0	100	493
1	920	4.5	75	880
	907	**4.5**	**65**	**1000**
2	877	1.5	59	1270
	850	**1.0**	**67**	**1530**
3	835	3.6	72	1670
	802	**2.1**	**30**	**2000**
4	795	2.0	26	2065
5	756	−0.4	23	2470
6	719	−3.8	23	2870
	710	**−4.1**	**21**	**3000**
	700	**−5.6**	**26**	**3080**
7	688	−6.8	30	3210
8	656	−9.1	50	3590
9	**620**	**−11.9**	**23**	**4000**
10	586	−15.5	23	4440
11	556	−19.2	23	4840
	544	**−20.2**	**23**	**5000**
12	522	−22.1	24	5300
	500	**−24.3**	**40**	**5625**
13	491	−25.0	45	5770
	475	**−26.3**	**60**	**6000**
14	458	−27.8	80	6260
15	431	−30.9	90	6680
	413	**−33.4**	**90**	**7000**

Min.	PPP	TTT	UU	H m. geop.
16	405	–34.5	90	7120
17	377	–38.5	90	7620
	357	**–41.6**	**88**	**8000**
18	350	–42.7	88	8130
19	326	–46.7	84	8610
	308	**–19.2**	—	**9000**
20	**300**	**–19.9**	—	**9150**
21	283	–52.8	—	9540
	263	**–56.2**	—	**10000**
22	259	–56.8	—	10110
23	244	–60.2	—	10480

17. IV. 1951 06.00 h HEC

	1000	—	—	**180**
0	962.6	8.2	60	493
1	918	9.0	57	890
	906	**8.9**	**55**	**1000**
2	874	7.9	51	1300
	850	**6.3**	**51**	**1520**
3	835	5.0	51	1670
	802	**3.0**	**52**	**2000**
4	799	2.7	53	2030
5	768	–1.0	60	2340
6	731	–4.1	72	2740
	707	**–6.5**	**78**	**3000**
	700	**–7.2**	**89**	**3080**
7	697	–7.7	91	3110
	685	–9.1	90	3250
8	668	–8.6	79	3430
9	629	–11.1	62	3910
	621	**–11.5**	**60**	**4000**
10	595	–13.7	52	4330
11	566	–16.8	45	4710
	544	**–18.2**	**42**	**5000**
12	531	–19.3	41	5190
13	**500**	**–21.6**	**38**	**5630**
	475	**–24.0**	**38**	**6000**
14	468	–24.9	38	6120
15	435	–29.1	40	6650
	413	**–32.2**	**41**	**7000**
16	405	–33.6	42	7150
17	377	–37.1	44	7660
	358	**–39.7**	**44**	**8000**
18	348	–41.3	—	8200
19	325	–46.0	—	8670
	308	**–48.2**	—	**9000**
20	302	–49.4	—	9150
	300	**–49.7**	—	**9180**
21	278	–53.9	—	9700
	264	**–55.9**	—	**10000**
22	256	–57.3	—	10220
23	233	–60.4	—	10800
	226	**–61.5**	—	**11000**
24	212	–64.1	—	11390

18. IV. 1951 06.00 h HEC

	1000	—	—	**165**
0	959.8	8.7	90	493
	947	10.0	87	615
1	933	9.4	85	740
	904	**8.0**	**85**	**1000**
2	895	7.5	85	1080
3	858	5.4	75	1425
	850	**4.9**	**81**	**1510**
4	824	2.7	100	1760
	800	**1.2**	**99**	**2000**
5	785	0.0	98	2140
6	749	–2.7	98	2525
7	716	–5.2	100	2870
	705	**–6.1**	**100**	**3000**
	700	**–6.5**	**100**	**3060**
8	688	–7.4	100	3200
9	652	–10.4	100	3610
10	622	–13.2	100	3970
	619	**–14.2**	**100**	**4000**
11	589	–15.0	100	4400
12	558	–15.0	100	4800
	543	**–16.2**	**100**	**5000**
13	527	–17.4	100	5230
	500	**–20.0**	**100**	**5620**
14	495	–20.5	100	5700
	475	**–23.0**	**100**	**6000**
15	468	–24.0	100	6110
16	438	–27.1	100	6600
	413	**–30.6**	**100**	**7000**
17	411	–31.1	100	7050
18	383	–35.0	100	7550
	358	**–38.8**	**98**	**8000**
19	352	–39.8	97	8130
20	324	–43.8		8710
	309	**–46.6**	—	**9000**
21	**300**	**–48.6**	—	**9200**
22	279	–53.4	—	9680
	265	**–55.7**	—	**10000**
23	258	–57.2	—	10180
24	241	–61.3	—	10610
	226	**–62.9**	—	**11000**
25	222	–63.6	—	11100
26	208	–64.6	—	11510
	200	**–64.6**	—	**11740**
27	195	–64.9	—	11910

19. IV. 1951 06.00 h HEC

	1000	—	—	**140**
0	957.4	7.8	100	493
1	911	5.8	87	900
	901	**5.7**	**87**	**1000**
2	864	5.0	87	1340
	850	**4.5**	**88**	**1580**
3	818	3.3	90	1780
	797	**2.2**	**91**	**2000**
4	781	1.2	92	2160
5	740	–1.8	92	2600
	703	**–3.6**	**95**	**3000**
6	**700**	**–1.0**	**96**	**3030**
7	660	–6.2	96	3500
8	623	–8.2	88	3940
	619	**–8.6**	**87**	**4000**
9	587	–11.4	85	4400
10	553	–15.9	89	4860
	543	**–16.2**	**88**	**5000**
11	519	–16.7	85	5340
	500	**–18.3**	**83**	**5620**
12	485	–19.7	82	5850
	475	**–20.9**	**81**	**6000**
13	454	–23.3	80	6340
14	423	–27.2	78	6850
	414	**–28.2**	**78**	**7000**
15	392	–30.7	78	7380
16	361	–34.3	75	7970
	360	**–34.6**	**75**	**8000**
17	332	–38.5	73	8550
	311	**–41.8**	—	**9000**
18	302	–43.1	—	9200
	300	**–43.7**	—	**9240**
19	273	–47.2	—	9880
	268	**–48.2**	—	**10000**
20	250	–51.9	—	10450
	230	**–54.6**	—	**11000**
21	227	–55.0	—	11070
22	206	–58.1	—	11690
	200	**–58.8**	—	**11870**
	196	**–56.2**	—	**12000**
23	188	–60.2	—	12260

19. IV. 1951 14.20 h HEC

	1000	—	—	**115**
0	956.5	14.7	65	493
1	923	12.0	88	790
	901	**11.4**	**81**	**1000**
2	885	10.9	73	1145
3	**850**	**8.8**	**75**	**1480**
4	817	6.4	80	1810
	798	**4.6**	**87**	**2000**
5	786	3.2	92	2120
6	755	1.1	100	2450
7	723	–0.7	100	2800
	705	**–1.9**	**100**	**3000**
	700	**–2.1**	**100**	**3050**
8	689	–3.1	100	3180
9	658	–5.8	100	3550
10	629	–7.5	100	3900
	621	**–8.1**	**95**	**4000**
11	600	–9.9	78	4270
12	574	–13.0	78	4620
13	547	–15.5	83	4970
	545	**–15.8**	**81**	**5000**
	526	–17.4	70	5270
14	513	–17.4	57	5460
	500	**–18.6**	**54**	**5650**
15	494	–19.6	52	5740
	477	**–21.7**	**51**	**6000**
16	469	–22.5	50	6120
17	445	–26.0	46	6510
18	417	–29.8	44	6970
	415	**–30.0**	**44**	**7000**
19	390	–34.0	42	7450
20	362	–37.6	42	7970
	360	**–37.7**	**42**	**8000**
21	338	–40.1	—	8440
22	313	–42.5	—	8960
	311	**–44.8**		**9000**
	300	**–46.3**	—	**9240**
23	289	–45.8	—	9500
24	**267**	**–48.2**	—	**10000**
25	247	–52.2	—	10530
	229	**–55.9**	—	**11000**
26	227	–56.5	—	11070
27	207	–60.0	—	11640
	200	**–60.2**	—	**11860**
	191	**–60.1**	—	**12000**
28	190	–60.5	—	12190
29	179	–60.5	—	12560

20. IV. 1951 06.10 h HEC

	1000	—	—	**125**
0	956.6	6.4	100	493
1	916	8.0	100	860
	900	**7.8**	**100**	**1000**
2	878	7.3	100	1200
	850	**6.4**	**97**	**1470**
3	839	5.8	95	1580
	797	**3.4**	**91**	**2000**
4	795	3.2	90	2020
5	760	0.8	100	2380
6	731	–1.0	100	2690
	704	**–3.4**	**94**	**3000**
7	**700**	**–3.7**	**93**	**3035**
8	664	–6.5	77	3460
9	628	–9.8	93	3890
	619	**–10.4**	**89**	**4000**
10	598	–11.9	71	4260
11	569	–13.7	57	4650
	543	**–16.3**	**59**	**5000**
12	537	–17.1	60	5090
13	507	–20.0	47	5510
	500	**–20.7**	**47**	**5610**
14	477	–23.2	48	5960
	474	**–23.4**	**48**	**6000**
15	446	–26.2	48	6460
16	418	–29.5	48	6920
	413	**–30.1**	**47**	**7000**
17	393	–33.0	44	7360
18	370	–37.2	41	7770
	358	**–39.1**	**41**	**8000**
19	344	–41.3		8270
20	321	–44.7	—	8750
	309	**–46.0**	—	**9000**
	300	**–47.0**	—	**9180**
21	297	–47.3	—	9270
22	274	–51.0	—	9790
	265	**–52.6**	—	**10000**
23	253	–54.1	—	10310
24	236	–57.6	—	10750
	227	**–59.2**	—	**11000**
25	220	–60.7	—	11190
26	202	–59.7	—	11720
	200	**–59.1**	—	**11780**
	193	**–57.9**	—	**12000**
27	187	–57.1	—	12220

21. IV. 1951 06.00 h HEC

	1000	—	—	**115**
0	955.0	9.7	100	493
1	915	8.9	100	850
	899	**8.3**	**100**	**1000**
2	883	7.9	100	1140
3	**850**	**5.9**	**100**	**1460**
4	817	3.3	100	1790
	796	**1.8**	**100**	**2000**
5	781	0.8	100	2150
6	746	–1.6	100	2500
7	714	–3.6	100	2860
	702	**–4.2**	**100**	**3000**
	700	**–4.3**	**100**	**3025**
8	679	–5.5	100	3260
9	647	–8.4	100	3640
	617	**–10.0**	**100**	**4000**
10	610	–10.4	100	4100
11	577	–13.0	98	4520
12	546	–15.6	64	4940
	542	**–15.9**	**66**	**5000**
13	511	–19.0	78	5440
	500	**–20.2**	**68**	**5600**
14	482	–22.0	50	5870
	474	**–23.3**	**56**	**6000**
15	454	–26.5	68	6310
16	426	–30.3	64	6760
	412	**–32.5**	**62**	**7000**
17	401	–34.3	61	7180
18	370	–38.6	58	7750
	357	**–40.7**	—	**8000**
19	346	–42.5	—	8200
20	321	–46.6	—	8710
	307	**–49.5**	—	**9000**
21	**300**	**–51.1**	—	**9160**
22	278	–54.8	—	9650
	258	**–57.5**	—	**10000**
23	257	–58.6	—	10140
24	237	–61.1	—	10650
	224	**–62.5**	—	**11000**
25	221	–62.8	—	11070

23. IV. 1951 06.10 h HEC

	1000	—	—	**190**
0	962.7	1.0	100	493
1	915	2.3	80	890
	904	**3.0**	**90**	**1000**
2	875	4.7	100	1260
	850	**5.5**	**92**	**1505**
3	833	5.7	88	1670
	800	**4.3**	**68**	**2000**
4	790	3.9	48	2090
5	749	0.5	36	2530
	729	–1.2	39	2740
6	711	–1.4	31	2940
	706	**–2.0**	**31**	**3000**
	700	**–2.4**	**31**	**3070**
7	679	–4.4	31	3300
8	641	–7.6	31	3750
	621	**–9.3**	**31**	**4000**
9	606	–10.7	31	4200
10	573	13.6	31	4610
	545	**–15.4**	**31**	**5000**
11	539	–15.7	31	5090
12	**500**	**–18.9**	**31**	**5650**
	477	**–21.6**	**31**	**6000**
13	472	–22.2	31	6080
14	443	–26.2	31	6580
15	**413**	**–30.8**	**31**	**7000**
16	387	–35.0	31	7500
17	361	–39.4	31	7980
	360	**–39.7**	—	**8000**
18	334	–44.1	—	8500
19	311	–48.3	—	8970
	310	**–48.5**	—	**9000**
	300	**–50.2**	—	**9215**
20	287	–52.5	—	9500
21	268	–57.5	—	9930
	265	**–57.8**	—	**10000**
22	240	–62.2	—	10620

24. IV. 1951 06.10 h HEC

	1000	—	—	**180**
0	962.4	2.0	90	493
	943	1.3	78	660
1	918	1.0	72	870
	904	**5.0**	**80**	**1000**
2	879	7.3	91	1230
	850	**6.8**	**65**	**1510**

Min.	PPP	TTT	UU	H m. geop.
3	840	6.4	44	1600
4	801	5.3	20	1980
	800	**5.2**	**20**	**2000**
5	769	3.0	20	2320
6	738	0.0	20	2640
	707	**-2.7**	**20**	**3000**
7	**700**	**-3.3**	**20**	**3075**
8	663	-5.5	20	3500
9	625	-8.1	20	3950
	622	**-8.4**	**20**	**4000**
10	589	-11.0	20	4420
11	552	-13.4	20	4910
	546	**-14.1**	**20**	**5000**
12	523	-16.9	20	5320
	500	**-19.1**	**20**	**5660**
13	490	-20.3	20	5860
	477	**-21.4**	**20**	**6000**
14	458	-23.0	20	6310
15	430	-26.2	20	6760
	416	**-28.2**	**20**	**7000**
16	406	-29.7	20	7170
17	381	-33.5	20	7630
	361	**-36.0**	**20**	**8000**
18	356	-36.7	20	8100
19	330	-40.0	—	8630
	309	**-43.4**	—	**9000**
20	305	-44.6	—	9150
	300	**-45.8**	—	**9270**
21	282	-49.6	—	9670
	268	**-51.7**	—	**10000**
22	261	-52.8	—	10180
23	243	-57.9	—	10630
	229	**-60.9**	—	**11000**
24	221	-62.4	—	11220
	207	-64.5	—	11610
25	**200**	**-63.7**	—	**11840**

25. IV. 1951 06.10 h HEC

	1000	—	—	**180**
0	961.2	3.5	100	493
1	925	10.5	60	820
	905	**9.5**	**50**	**1000**
2	891	9.0	40	1120
3	**850**	**7.2**	**25**	**1520**
4	813	4.3	23	1880
	801	**3.6**	**22**	**2000**
5	775	1.8	21	2270
6	742	0.0	20	2610
7	710	-1.9	19	2970
	707	**-2.1**	**19**	**3000**
	700	**-2.7**	**19**	**3080**
8	679	-4.0	18	3320
9	650	-7.0	18	3660
10	**623**	**-10.2**	**18**	**4000**
11	594	-13.1	18	4360
12	564	-16.5	18	4750
	546	**-18.0**	**18**	**5000**
13	530	-19.5	18	5210
14	**500**	**-22.8**	**18**	**5650**
	476	**-26.3**	**18**	**6000**
15	474	-26.8	18	6040
16	447	-31.0	18	6460
17	421	-34.6	18	6880
	413	**-35.5**	**18**	**7000**
18	394	-37.2	18	7340
19	369	-38.7	18	7780
	358	**-40.2**	—	**8000**
20	344	-42.3	—	8270
21	317	-45.5	—	8810
	308	**-47.0**	—	**9000**
	300	**-48.1**	—	**9180**
22	290	-49.7	—	9400
23	267	-53.6	—	9920
	264	**-54.1**	—	**10000**
24	244	-56.6	—	10500
	226	**-57.9**	—	**11000**
25	217	-58.5	—	11250

26. IV. 1951 06.10 h HEC

	1000	—	—	**130**
0	957.0	10.5	85	493
1	916	10.0	81	860
	901	**9.2**	**82**	**1000**
2	881	8.4	84	1180
	850	6.6	84	1480
3	841	6.1	84	1560
4	807	4.0	85	1880
	797	**3.0**	**82**	**2000**
5	769	1.3	77	2280
6	731	-1.4	77	2700
	704	**-4.0**	**79**	**3000**
7	**700**	**-4.5**	**80**	**3040**
8	664	-7.5	87	3460
9	634	-9.9	89	3810
	619	**-10.7**	**90**	**4000**
10	605	-11.3	91	4170
11	577	-12.4	91	4530
12	**543**	**-15.2**	**93**	**5000**
13	511	-18.5	100	5450
	500	**-19.6**	**100**	**5620**
14	484	-21.0	96	5860
	475	**-22.0**	**96**	**6000**
15	456	-23.7	96	6310
16	430	-26.9	83	6730
	413	**-29.0**	**80**	**7000**
17	401	-30.5	77	7220
18	370	-35.3	73	7790
	359	**-37.0**	**70**	**8000**
19	342	-39.9	68	8340
20	313	-45.0	—	8930
	309	**-45.7**	—	**9000**
	300	**-47.3**	—	**9210**
21	285	-50.0	—	9550
	266	**-52.4**	—	**10000**
22	261	-53.0	—	10120
23	240	-57.0	—	10650
	227	**-58.4**	—	**11000**
24	223	-58.5	—	11130
	200	**-53.9**	—	**11810**
25	195	-53.0	—	11970

27. IV. 1951 06.10 h HEC

	1000	—	—	**100**
0	953.8	8.0	100	493
1	909	5.9	100	880
	897	**5.0**	**100**	**1000**
2	870	3.9	100	1230
	850	**2.6**	**100**	**1440**
3	836	1.5	100	1570
4	801	-0.5	100	1900
	792	**-1.1**	**100**	**2000**
5	769	-2.2	100	2230
6	738	-4.3	98	2550
7	705	-6.5	97	2920
	700	**-7.0**	**97**	**2975**
	698	**-7.2**	**97**	**3000**
8	675	-9.0	96	3260
9	645	-11.3	95	3610
10	616	-13.6	94	3950
	613	**-13.8**	**93**	**4000**
11	588	-16.3	92	4320
12	557	-19.3	89	4720
	536	**-21.0**	**88**	**5000**
13	526	-21.8	87	5140
14	**500**	**-25.1**	**86**	**5515**
15	470	-28.2	84	5950
	467	**-28.6**	**84**	**6000**
16	440	-31.8	82	6420
17	414	-34.7	81	6850
	406	**-35.6**	**81**	**7000**
18	385	-37.8	80	7350
19	360	-41.7	—	7800
	351	**-43.3**	—	**8000**
20	337	-45.7	—	8250
21	319	-49.7	—	8610
	301	**-53.2**	—	**9000**
22	**300**	**-53.5**	—	**9020**
23	279	-56.4	—	9480
24	259	-54.4	—	9950
	258	**-54.4**	—	**10000**
25	241	-53.5	—	10410
26	229	-52.9	—	10740
	220	**-52.4**	—	**11000**
27	210	-51.7	—	11310

28. IV. 1951 06.10 h HEC

	1000	—	—	**100**
0	953.6	6.3	90	493
1	903	2.7	88	950
	896	**2.1**	**90**	**1000**
2	859	-0.3	100	1330
	850	**-1.0**	**100**	**1425**
3	817	-2.6	100	1730
	795	-3.7	100	1950
	791	**-3.7**	**100**	**2000**
4	776	-3.7	100	2140
5	737	-4.3	100	2540
6	**700**	**-7.6**	**100**	**2955**
	696	**-7.8**	**100**	**3000**
7	669	-9.8	100	3290
8	635	-12.1	100	3690
	611	**-14.0**	**98**	**4000**
9	600	-14.7	97	4140
10	567	-17.0	67	4560
11	539	-18.9	25	4930
	535	**-19.3**	**27**	**5000**
12	509	-20.7	31	5360
	500	**-21.8**	**31**	**5505**
13	480	-24.1	31	5790
	467	**-25.4**	**31**	**6000**
14	454	-26.8	31	6200
15	426	-30.7	31	6650
	406	**-33.0**	**29**	**7000**
16	397	-34.0	29	7150
17	370	-38.2	28	7640
	351	**-40.9**	—	**8000**
18	345	-41.7	—	8120
19	321	-45.7	—	8610
	303	**-48.6**	—	**9000**
20	**300**	**-48.9**	—	**9055**
21	277	-53.6	—	9570
	259	**-56.8**	—	**10000**
22	254	-57.7	—	10130
23	233	-59.2	—	10660
	221	**-59.2**	—	**11000**
24	219	-59.2	—	11050
25	**200**	**-55.6**	—	**11630**
	189	**-53.1**	—	**12000**
26	184	-52.2	—	12160

30. IV. 1951 06.00 h HEC

	1000	—	—	**160**
0	959.0	1.5	100	493
1	916	-0.7	100	860
	901	**-1.7**	**100**	**1000**
2	877	-3.3	100	1210
	850	**-5.2**	**100**	**1460**
3	840	-5.9	100	1550
4	807	-7.7	100	1860
	793	**-8.3**	**100**	**2000**
5	764	-9.6	100	2290
6	729	-12.5	100	2650
	700	**-14.8**	**100**	**2960**
	697	**-15.0**	**100**	**3000**
7	693	-15.2	100	3030
8	657	-17.9	91	3440
9	620	-20.3	51	3860
	609	**-21.1**	**49**	**4000**
10	581	-23.1	43	4340
11	549	-24.6	39	4760
	532	**-26.7**	**39**	**5000**
12	518	-28.3	38	5180
	500	**-30.6**	**38**	**5440**
13	490	-31.9	38	5580
14	465	-35.5	38	5950
	461	**-35.9**	**38**	**6000**
15	434	-39.9	38	6420
16	405	-43.8	—	6890
	399	**-44.3**	—	**7000**
17	376	-46.3	—	7390
18	349	-48.1	—	7890
	343	**-48.3**	—	**8000**
19	322	-49.1	—	8410
	300	**-48.2**	—	**8870**
20	296	-48.6	—	8960
	294	**-48.1**	—	**9000**
21	279	-47.6	—	9360
22	257	-46.6	—	9910
	253	**-46.5**	—	**10000**
23	238	-46.9	—	10410
24	**217**	**-46.9**	—	**11000**
	200	**-47.5**	—	**11560**
25	197	-47.7	—	11660

1. V. 1951 06.00 h HEC

	1000	—	—	**190**
0	961.1	-0.6	100	493
1	911	3.1	100	940
	904	**3.1**	**93**	**1000**
2	868	2.9	60	1330
	850	**2.1**	**57**	**1550**
3	825	0.8	54	1740
	799	**-1.1**	**58**	**2000**
4	788	-2.1	60	2100
5	749	-6.2	85	2500
6	712	-9.5	100	2900
	702	**-9.9**	**82**	**3000**
	700	**-10.1**	**82**	**3030**
7	677	-11.4	45	3290
	652	-10.8	36	3580
8	645	-11.2	36	3660
	617	**-12.7**	**36**	**4000**
9	611	-13.1	36	4070
10	577	-16.5	36	4500
11	**542**	**-19.8**	**36**	**5000**
12	511	-22.8	36	5410
	500	**-24.1**	**36**	**5570**
13	481	-26.3	36	5850
	471	**-27.4**	**36**	**6000**
14	451	-29.6	36	6320
15	420	-33.8	36	6820
	409	**-34.9**	—	**7000**
16	391	-36.7	45	7310
17	364	-40.0	—	7810

2. V. 1951 06.00 h HEC

	1000	—	—	**150**
0	958.1	3.2	100	493
1	913	7.0	100	885
	901	**6.8**	**100**	**1000**
2	873	5.9	100	1250
	850	**4.7**	**99**	**1480**
3	839	4.0	98	1570
4	802	1.2	84	1940
	797	**0.9**	**85**	**2000**
5	768	-1.3	87	2300
6	728	-4.3	90	2720
	702	**-7.5**	**97**	**3000**
	700	**-7.8**	**98**	**3030**
7	696	-8.4	100	3075
8	664	-9.6	100	3440
9	632	-12.0	100	3820
	617	**-12.8**	**100**	**4000**
10	597	-14.1	100	4250
11	560	-15.9	90	4730
	541	**-17.6**	**86**	**5000**
12	524	-19.4	83	5240
	500	**-22.2**	**77**	**5590**
13	490	-23.5	75	5740
	472	**-25.4**	**74**	**6000**
14	458	-27.1	73	6220
15	425	-30.7	64	6760
	411	**-32.4**	**61**	**7000**
16	398	-34.0	58	7220
17	371	-38.4	53	7710
	356	**-41.0**	—	**8000**
18	345	-42.9	—	8200
19	319	-47.2	—	8720
	306	**-49.5**	—	**9000**
	300	**-50.5**	—	**9130**
20	296	-51.4	—	9230
21	277	-55.0	—	9650
	262	**-56.8**	—	**10000**
22	255	-57.9	—	10180
23	236	-60.5	—	10660

5. V. 1951 06.00 h HEC

	1000	—	—	**180**
0	957.1	4.5	100	493
1	917	4.1	100	840
	899	**3.2**	**100**	**1000**

Min.	PPP	TTT	UU	H m. geop.
2	871	1.6	100	1260
	850	**0.6**	**100**	**1450**
3	830	–0.3	100	1650
	794	**–2.2**	**100**	**2000**
4	781	–2.9	100	2130
5	735	–6.4	98	2620
6	**700**	**–9.3**	**91**	**3000**
7	666	–11.1	75	3380
8	633	–13.5	68	3760
	613	**–15.2**	**68**	**4000**
9	599	–16.7	68	4190
10	567	–19.1	63	4600
	536	**–21.8**	**48**	**5000**
11	531	–22.4	45	5080
12	**500**	**–25.9**	**25**	**5520**
13	**467**	**–28.9**	**20**	**6000**
14	437	–32.7	24	6490
15	408	–36.6	28	6960
	405	**–36.9**	**28**	**7000**
16	378	–41.1	—	7480
17	352	–46.0	—	7970
	350	**–46.3**	—	**8000**
18	324	–51.0	—	8510
	300	**–54.2**	—	**9000**
19	298	–54.7	—	9060

4. V. 1951 06.05 h HEC

	1000	—	—	**090**
0	951.4	9.8	100	493
1	909	8.6	100	880
	896	**7.9**	**100**	**1000**
2	865	6.5	100	1285
	850	**4.9**	**100**	**1430**
3	829	2.9	100	1630
4	**793**	**1.0**	**100**	**2000**
5	755	–0.9	100	2380
6	721	–3.5	100	2740
	700	**–4.8**	**100**	**3000**
7	691	–5.5	100	3090
8	659	–7.2	100	3460
9	630	–9.0	100	3810
	614	**–10.8**	**100**	**4000**
10	599	–12.5	100	4200
11	568	–14.9	100	4590
	539	**–17.7**	**100**	**5000**
12	535	–18.1	100	5050
13	503	–19.5	100	5510
	500	**–19.5**	**100**	**5560**
14	473	–21.7	100	5750
	471	**–21.9**	**100**	**6000**
15	445	–25.9	100	6420
16	412	–32.3	98	6970
	410	**–32.4**	**97**	**7000**
17	387	–35.7	90	7400
18	361	–39.6	71	7890
	355	**–40.6**	—	**8000**
19	338	–43.3	—	8340
20	312	–47.7	—	8870
	306	**–49.0**	—	**9000**
	300	**–50.0**	—	**9120**
21	288	–52.4	—	9400
22	266	–56.4	—	9900
	262	**–57.0**	—	**10000**
23	245	–6.00	—	10420
24	227	–61.6	—	10890
	223	**–60.7**	—	**11000**
25	209	–57.4	—	11420
	200	**–56.9**	—	**11650**
26	191	–56.3	—	11980

7. V. 1951 06.00 h HEC

	1000	—	—	**070**
0	948.9	9.3	80	493
1	909	6.1	90	860
	894	**5.3**	**92**	**1000**
2	872	4.3	95	1190
	850	**3.2**	**98**	**1420**
3	837	2.5	100	1530
4	797	0.3	100	1930
	790	**–0.1**	**100**	**2000**
5	760	–1.7	100	2300
6	723	–3.6	100	2700
	700	**–5.4**	**100**	**2960**
	696	**–5.6**	**100**	**3000**
7	688	–6.3	100	3090
8	654	–8.4	95	3490
9	626	–10.7	92	3820
	613	**–11.9**	**91**	**4000**
10	595	–13.0	90	4220
11	565	–15.1	87	4610
12	**535**	**–18.3**	**87**	**5000**
13	505	–21.3	87	5450
	500	**–21.9**	**86**	**5530**
14	478	–24.6	85	5850
	469	**–25.7**	**84**	**6000**
15	452	–27.8	82	6260
16	424	–31.3	80	6720
	407	**–34.0**	**78**	**7000**
17	400	–35.1	77	7130
18	374	–38.8	77	7590
	352	**–42.5**	—	**8000**
19	350	–43.0	—	8050
20	325	–47.7	—	8540
21	305	–51.3	—	8950
	303	**–51.6**	—	**9000**
	300	**–52.0**	—	**9060**
22	283	–54.2	—	9440
23	263	–55.2	—	9920

8. V. 1951 06.05 h HEC

	1000	—	—	**055**
0	947.9	7.0	100	493
1	893	5.5	92	980
	891	**5.3**	**92**	**1000**
	850	**2.4**	**90**	**1390**
2	841	1.9	90	1470
3	795	–0.7	93	1920
	788	**–1.4**	**93**	**2000**
4	748	–3.8	95	2400
5	**700**	**–7.7**	**96**	**2930**
	693	**–8.4**	**96**	**3000**
6	657	–11.3	96	3420
7	619	–13.9	94	3860
	608	**–14.3**	**88**	**4000**
8	580	–15.7	80	4350
9	545	–19.6	77	4830
	523	**–21.0**	**74**	**5000**
10	**500**	**–24.8**	**70**	**5470**
11	476	–28.0	64	5820
	464	**–29.6**	**68**	**6000**
12	448	–32.0	74	6250
13	420	–35.7	80	6700
	402	**–38.4**	**75**	**7000**
14	391	–39.9	72	7200
15	364	–43.9	58	7680
	347	**–47.0**	—	**8000**
16	338	–48.3	—	8170
17	314	–52.0	—	8650
	300	**–53.6**	—	**8950**
	298	**–54.0**	—	**9000**
18	270	–57.0	—	9630

9. V. 1951 06.10 h HEC

	1000	—	—	**075**
0	951.0	6.5	100	493
1	915	6.0	92	820
	894	**4.8**	**93**	**1000**
2	875	3.5	94	1170
	850	**1.8**	**97**	**1410**
3	836	1.0	100	1540
4	803	–1.9	97	1850
	789	**–2.8**	**99**	**2000**
5	764	–4.3	99	2250
6	725	–6.5	90	2650
	700	**–8.6**	**94**	**2945**
	695	**–8.9**	**96**	**3000**
7	687	–9.5	97	3090
8	649	–12.3	89	3510
	633	–12.3	71	3700
9	616	–14.0	74	3910
	610	**–14.7**	**77**	**4000**
10	581	–18.1	80	4360
11	551	–21.0	90	4750
	533	**–22.5**	**95**	**5000**
12	520	–23.5	83	5180
	500	**–25.9**	**86**	**5470**
13	489	–27.3	72	5620
	464	**–32.5**	**72**	**6000**
14	459	–31.0	72	6080
15	431	–34.8	72	6530
16	406	–38.4	72	6930
	402	**–38.9**	—	**7000**
17	376	–42.5	—	7460
18	349	–46.7	—	7950
	337	**–47.2**	—	**8000**
19	321	–50.9	—	8510
20	**300**	**–54.7**	—	**8940**
	298	**–54.7**	—	**9000**
21	277	–54.7	—	9450
22	**253**	**–53.3**	—	**10000**
23	237	–53.3	—	10440
24	220	–52.2	—	10930
	218	**–52.1**	—	**11000**
25	**200**	**–51.3**	—	**11550**
	187	**–50.6**	—	**12000**
26	185	–50.5	—	12060

10. V. 1951 06.15 h HEC

	1000	—	—	**035**
0	946.4	9.3	85	493
1	905	6.4	87	850
	890	**5.2**	**91**	**1000**
2	865	3.4	94	1220
	850	**2.5**	**99**	**1370**
3	822	0.8	100	1630
	787	**–1.3**	**100**	**2000**
4	783	–1.5	100	2020
5	745	–3.6	100	2410
6	714	–6.1	100	2750
	700	**–7.3**	**100**	**2915**
	693	**–7.8**	**100**	**3000**
7	680	–9.1	100	3120
8	645	–11.7	100	3530
9	614	–14.6	97	3910
	608	**–15.0**	**88**	**4000**
10	587	–17.2	76	4250
11	560	–19.5	40	4610
	532	**–19.5**	**27**	**5000**
12	529	–19.5	25	5040
13	**500**	**–23.2**	**31**	**5450**
14	471	–26.2	56	5870
	464	**–26.9**	**60**	**6000**
15	441	–29.5	67	6350
16	411	–33.6	73	6850
	403	**–34.7**	**73**	**7000**
17	384	–37.6	73	7350
18	358	–41.1	—	7810
	349	**–43.0**	—	**8000**
19	335	–45.3	—	8270
20	314	–49.0	—	8690
	300	**–50.4**	—	**8990**
	299	**–50.5**	—	**9000**
21	288	–51.4	—	9250
22	266	–55.2	—	9760
	256	**–57.1**	—	**10000**
23	245	–59.2	—	10290
24	229	–57.6	—	10710
	219	**–55.8**	—	**11000**
25	209	–53.6	—	11300
	200	**–53.2**	—	**11570**

15. V. 1951 06.15 h HEC

	1000	—	—	**140**
0	958.4	5.7	100	493
1	909	3.5	100	930
	901	**3.0**	**100**	**1000**
2	869	0.7	100	1285
	850	**–0.7**	**100**	**1465**
3	831	–2.3	100	1650
	795	**–4.5**	**100**	**2000**
4	791	–4.7	100	2040
5	753	–7.1	100	2420
6	715	–9.7	100	2830
	700	**–11.2**	**100**	**2985**
	699	**–11.3**	**100**	**3000**
7	683	–12.9	100	3180
8	651	–12.4	75	3540
9	623	–13.7	26	3870
	613	**–14.4**	**27**	**4000**
10	590	–15.7	30	4290
11	554	–19.4	34	4760
	536	**–21.2**	**34**	**5000**
12	523	–22.3	34	5190
	500	**–24.3**	**50**	**5510**
13	487	–25.3	70	5700
	467	**–27.4**	**76**	**6000**
14	457	–28.4	79	6170
15	430	–31.6	80	6590
	406	**–34.4**	**74**	**7000**
16	403	–34.7	72	7060
17	381	–37.2	60	7440
18	354	–42.3	—	7930
	351	**–42.9**	—	**8000**
19	329	–46.9	—	8440
	302	**–50.9**	—	**9000**
20	**300**	**–51.1**	—	**9040**
21	283	–54.1	—	9120
22	267	–55.7	—	9780

11. V. 1951 06.05 h HEC

	1000	—	—	**070**
0	950.0	7.0	85	493
1	900	4.1	98	940
	893	**3.5**	**98**	**1000**
2	857	1.0	99	1330
	850	**0.7**	**99**	**1400**
3	819	–1.3	100	1680
	788	**–3.1**	**100**	**2000**
4	779	–3.7	100	2090
5	739	–5.9	99	2500
6	709	–8.0	88	2880
	700	**–7.6**	**75**	**2930**
	699	**–7.7**	**73**	**3000**
7	668	–6.7	38	3280
8	636	–9.1	29	3670
	610	**–11.7**	**25**	**4000**
9	604	–12.3	23	4070
10	567	–15.5	35	4550
11	537	–18.6	80	4950
	534	**–18.8**	**82**	**5000**
	500	**–21.4**	**90**	**5490**
12	493	–22.0	93	5590
13	**466**	**–25.3**	**96**	**6000**
14	435	–28.4	86	6500
15	408	–32.3	70	6950
	406	**–32.8**	**71**	**7000**
16	381	–36.5	75	7440
17	354	–40.7	—	7940
	351	**–41.3**	—	**8000**
18	321	–46.7	—	8610
	300	**–50.5**	—	**9040**

15. V. 1951 10.50 h HEC

	1000	—	—	**160**
0	959.6	7.0	75	493
1	**904**	**3.1**	**80**	**1000**
2	860	–0.5	87	1390
	850	**–1.3**	**89**	**1490**
3	819	–3.3	97	1780
	797	**–4.5**	**97**	**2000**
4	779	–5.6	98	2170
5	737	–8.9	100	2610
6	705	–11.8	100	2950
	700	**–11.7**	**100**	**3000**
	676	–13.8	97	3270
7	667	–13.2	85	3380
	651	–12.3	63	3550
8	631	–14.6	47	3790
	615	**–15.2**	**45**	**4000**
9	593	–16.1	42	4260
10	560	–19.6	48	4690
	537	**–21.9**	**59**	**5000**

Min.	PPP	TTT	UU	H m. geop.
11	526	–23.0	65	5160
	500	**–25.2**	**71**	**5530**
12	490	–26.0	75	5680
	468	**–27.5**	**69**	**6000**
13	460	–28.1	67	6130
14	434	–30.7	67	6540
	407	**–33.8**	**71**	**7000**
15	403	–34.1	72	7070
16	375	–37.7	72	7570
	352	**–41.5**	—	**8000**
17	350	–41.9	—	8050
18	323	–47.3	—	8580
	303	**–50.0**	—	**9000**
	300	**–50.0**	—	**9060**
19	298	–50.7	—	9110
20	276	–55.9	—	9610
	259	**–58.6**	—	**10000**
21	252	–59.8	—	10180
22	231	–57.3	—	10730

16. V. 1951 06.05 h HEC

	1000	—	—	**145**
0	956.9	2.5	100	493
	933	4.0	84	700
1	915	2.4	84	860
	900	**1.4**	**87**	**1000**
2	869	–0.6	92	1280
	850	**–2.1**	**95**	**1460**
3	831	–4.0	98	1620
4	**793**	**–5.4**	**89**	**2000**
5	747	–8.5	80	2460
6	709	–11.3	91	2870
	700	**–11.6**	**92**	**2970**
	697	**–11.8**	**93**	**3000**
7	674	–12.9	95	3260
8	638	–14.5	95	3680
	612	**–15.9**	**94**	**4000**
9	604	–16.2	93	4090
10	570	–18.5	92	4520
11	**536**	**–21.3**	**92**	**5000**
12	506	–25.0	91	5410
	500	**–25.7**	**91**	**5500**
13	477	–28.3	90	5830
	466	**–29.2**	**90**	**6000**
14	447	–30.8	90	6300
15	417	–34.1	90	6790
	405	**–35.5**	**90**	**7000**
16	391	–37.3	90	7240
17	365	–41.2	—	7710
	350	**–44.3**	—	**8000**
18	341	–45.1	—	8060
19	316	–49.4	—	8670
	300	**–51.5**	—	**9000**
20	288	–53.0	—	9280

17. V. 1951 06.05 h HEC

	1000	—	—	**080**
0	950.7	6.5	100	493
1	904	3.3	100	910
	894	**2.4**	**100**	**1000**
2	867	0.0	100	1240
	850	**–0.5**	**100**	**1410**
3	836	–0.9	100	1540
4	805	–2.3	100	1840
	789	**–3.2**	**100**	**2000**
5	776	–4.0	100	2130
6	744	–5.9	100	2470
7	716	–7.7	100	2770
	700	**–8.8**	**100**	**2940**
	694	**–9.2**	**100**	**3000**
8	689	–9.7	100	3060
9	661	–12.1	100	3380
10	634	–14.3	100	3700
11	**610**	**–16.3**	**100**	**4000**
12	584	–18.2	100	4320
13	561	–20.2	100	4620
14	539	–22.0	100	4910
	532	**–22.8**	**100**	**5000**
15	516	–24.7	100	5240
	500	**–26.5**	**100**	**5460**
16	495	–27.2	100	5540
17	473	–30.9	97	5860
	463	**–32.1**	**93**	**6000**
18	453	–33.4	92	6160
19	432	–36.1	90	6500
20	412	–38.9	87	6820
	401	**–40.7**	—	**7000**
21	394	–42.0	—	7130
22	371	–45.2	—	7530
23	352	–48.5	—	7890
	346	**–49.5**	—	**8000**
24	333	–51.6	—	8250
25	315	–54.8	—	8610
26	**300**	**–57.6**	—	**8920**
	296	**–58.2**	—	**9000**
27	286	–59.5	—	9210

18. V. 1951 06.00 h HEC

	1000	—	—	**100**
0	953.8	6.0	100	493
1	911	4.3	100	870
	897	**3.2**	**100**	**1000**
2	875	1.7	100	1200
	850	**0.2**	**100**	**1430**
3	838	–0.6	100	1540
4	800	–2.3	100	1910
	790	**–2.6**	**98**	**2000**
5	766	–3.7	94	2260
6	730	–6.4	98	2630
	700	**–8.9**	**99**	**2960**
7	**694**	**–9.4**	**100**	**3000**
8	660	–11.9	100	3420
9	621	–15.5	100	3880
	611	**–16.5**	**100**	**4000**
10	585	–18.9	100	4330
11	549	–21.7	100	4790
	534	**–23.2**	**93**	**5000**
12	524	–24.2	89	5140
	500	**–27.0**	**71**	**5480**
13	493	–28.0	65	5590
	465	**–31.4**	**51**	**6000**
14	460	–32.3	49	6080
15	431	–36.0	51	6530
16	404	–40.9	—	6970
	403	**–41.1**	—	**7000**
17	375	–44.7	—	7480
18	350	–47.8	—	7940
	347	**–48.3**	—	**8000**
19	326	–51.4	—	8410
20	**300**	**–51.4**	—	**8950**
	297	**–51.4**	—	**9000**
21	282	–51.4	—	9350
22	262	–51.4	—	9830
	255	**–51.4**	—	**10000**
23	240	–51.4	—	10390

19. V. 1951 06.00 h HEC

	1000	—	—	110
0	952.3	6.0	100	493
1	920	7.1	90	790
	897	**6.7**	**84**	**1000**
2	884	6.4	82	1110
	850	**4.2**	**68**	**1450**
3	845	3.8	66	1480
4	800	2.1	48	1920
	794	**1.6**	**49**	**2000**
5	759	–0.7	50	2350
6	723	–4.1	60	2740
	700	**–6.2**	**65**	**3000**
7	686	–7.6	67	3150
8	647	–10.4	70	3610
	615	**–13.4**	**83**	**4000**
9	612	–13.7	85	4030
10	579	–16.7	94	4450
11	553	–19.1	94	4800
	538	**–20.1**	**92**	**5000**
12	519	–21.6	90	5270
	500	**–23.5**	**89**	**5550**
13	487	–25.0	88	5740
	470	**–26.8**	**87**	**6000**
14	456	–28.4	86	6210
15	427	–31.7	86	6680
	408	**–34.0**	**86**	**7000**
16	399	–35.1	86	7150
17	371	–39.0	86	7660
	353	**–42.0**	—	**8000**
18	348	–42.9	—	8100
19	325	–46.9	—	8560
	304	**–51.1**	—	**9000**
20	302	–51.1	—	9040
	300	**–51.8**	—	**9080**
21	278	–53.8	—	9580

21. V. 1951 06.10 h HEC

	1000	—	—	**120**
0	957.1	10.3	95	493
1	915	9.2	94	870
	900	**8.3**	**90**	**1000**
2	877	6.8	85	1220
	850	**4.9**	**91**	**1475**
3	835	3.9	98	1620
	797	**0.1**	**100**	**2000**
4	794	0.0	100	2020
5	755	–2.0	100	2420
6	720	–4.2	72	2800
	702	**–5.0**	**63**	**3000**
	700	**–5.2**	**62**	**3025**
7	679	–6.2	52	3260
8	643	–8.0	58	3680
	618	**–9.4**	**40**	**4000**
9	607	–9.6	31	4120
10	573	–12.2	28	4570
11	543	–15.0	28	4970
	512	**–15.3**	**28**	**5000**
12	518	–18.8	28	5530
	500	**–20.4**	**28**	**5605**
13	489	–21.5	28	5760
	474	**–22.8**	**28**	**6000**
14	436	–23.8	28	6270
15	426	–27.8	28	6760
	412	**–30.4**	**28**	**7000**
16	399	–32.4	28	7230
17	375	–37.2	28	7660
	357	**–40.0**	—	**8000**
18	350	–41.0	—	8140
19	324	–44.8	—	8650
	308	**–46.8**	—	**9000**
20	**300**	**–47.6**	—	**9180**
21	280	–49.8	—	9620
	264	**–53.0**	—	**10000**
22	258	–54.0	—	10140
23	227	–59.2	—	10950

22. V. 1951 06.15 h HEC

	1000	—	—	**120**
0	956.0	8.3	100	493
1	907	11.3	68	935
	900	**11.0**	**65**	**1000**
2	875	10.3	56	1230
	850	**9.4**	**56**	**1470**
3	839	8.9	56	1570
4	803	6.5	63	1930
	797	**6.0**	**61**	**2000**
5	770	3.6	70	2280
6	739	0.8	85	2610
7	705	–1.3	85	2980
	704	**–1.6**	**85**	**3000**
	700	**–1.9**	**84**	**3045**
8	676	–4.0	82	3310
9	645	–6.5	88	3690
	620	**–8.0**	**90**	**4000**
10	616	–8.1	90	4040
11	587	–10.3	90	4420
12	563	–12.7	82	4730
	541	**–14.3**	**85**	**5000**
13	535	–15.1	84	5130
14	509	–18.3	84	5540
	500	**–19.0**	**84**	**5635**
15	480	–20.9	84	5960
	476	**–21.3**	**84**	**6000**
16	459	–23.5	83	6260
17	433	–26.9	82	6690
	415	**–29.2**	**81**	**7000**
18	407	–30.1	81	7130
19	381	–33.9	78	7600
	360	**–37.1**	**75**	**8000**
20	356	–37.5	75	8080
21	330	–41.7	—	8580
	311	**–45.4**	—	**9000**
22	308	–45.8	—	9060
	300	**–47.5**	—	**9220**
23	285	–50.3	—	9560
	267	**–54.4**	—	**10000**
24	263	–55.1	—	10090
25	243	–59.6	—	10590
	227	**–62.7**	—	**11000**
26	224	–63.3	—	11100
	213	–65.3	—	11400
27	206	–60.3	—	11600
	200	**–58.1**	—	**11780**
	193	**–55.7**	—	**12000**
28	190	–54.7	—	12110

23. V. 1951 06.10 h HEC

	1000	—	—	**165**
0	961.5	9.0	100	493
1	920	11.3	94	860
	905	**10.5**	**87**	**1000**
2	881	9.6	83	1210
	850	**8.8**	**83**	**1520**
3	845	8.6	83	1560
4	806	6.3	88	1940
	802	**6.0**	**85**	**2000**
5	763	3.0	74	2400
6	728	0.3	23	2770
	708	**–1.0**	**20**	**3000**
	700	**–1.5**	**19**	**3095**
7	697	–1.7	18	3130
8	663	–4.3	20	3520
9	627	–7.0	25	3950
	624	**–7.5**	**28**	**4000**
10	594	–10.6	47	4370
11	561	–13.6	92	4800
	548	**–14.4**	**90**	**5000**
12	527	–15.7	89	5280
	500	**–17.7**	**81**	**5680**
13	494	–18.2	80	5770
	479	**–19.2**	**75**	**6000**
14	460	–20.7	63	6290
15	433	–24.5	57	6740
	418	**–26.5**	**56**	**7000**
16	405	–28.5	55	7230
17	375	–32.9	58	7780
	363	**–34.7**	**58**	**8000**
18	348	–37.3	58	8300
19	321	–41.3	—	8850
	314	**–42.4**	—	**9000**
	300	**–44.7**	—	**9310**
20	295	–45.5	—	9420
21	273	–50.9	—	9930
	270	**–51.4**	—	**10000**
22	252	–54.8	—	10430
23	**231**	**–58.3**	—	**11000**
24	215	–61.5	—	11440
25	206	–63.8	—	11700
	200	**–65.2**	—	**11890**

24. V. 1951 06.10 h HEC

	1000	—	—	**160**
0	961.6	12.6	100	493
1	926	15.0	94	820
	906	**15.0**	**80**	**1000**
2	892	15.0	70	1130
3	857	14.3	44	1416
	850	**13.9**	**43**	**1540**
4	827	12.6	38	1760
	805	**11.8**	**36**	**2000**
5	793	10.5	35	2110
	771	8.7	45	2340
6	753	9.1	30	2540
7	731	6.9	27	2780
	713	**5.1**	**25**	**3000**
8	**700**	**4.2**	**23**	**3140**
9	673	1.1	22	3450
10	647	–1.4	21	3770
	629	**–3.6**	**22**	**4000**
11	625	–4.0	22	4050
12	600	–6.5	35	4370

Min.	PPP	TTT	UU	H m. geop.
13	576	-9.0	45	4860
	554	**-11.3**	**53**	**5000**
14	550	-11.7	55	5050
15	525	-14.3	55	5400
16	**500**	**-17.1**	**61**	**5770**
	485	**-18.3**	**61**	**6000**
17	467	-20.0	61	6270
18	440	-22.1	72	6710
	423	**-24.4**	**74**	**7000**
19	416	-25.5	75	7120
20	394	-28.1	63	7510
21	372	-31.0	70	7920
	368	**-31.7**	**73**	**8000**
22	350	-34.7	80	8350
23	330	-37.7	70	8760
	319	**-39.5**	**60**	**9000**
24	309	-41.2	—	9210
	300	**-42.5**	—	**9410**
25	287	-44.2	—	9740
	275	**-46.1**	—	**10000**
26	269	-47.1	—	10150
27	249	-50.0	—	10650
	236	**-52.3**	—	**11000**
28	231	-53.1	—	11140
29	216	-58.1	—	11570
	202	**-61.2**	—	**12000**
30	**200**	**-61.4**	—	**12050**
31	187	-65.6	—	12460
32	172	-69.1	—	12960
	171	**-69.0**	—	**13000**
33	163	-67.3	—	13280

25. V. 1951 06.10 h HEC

	1000	—	—	**135**
0	959.0	13.0	100	493
1	919	17.9	51	850
	904	**17.3**	**51**	**1000**
2	883	16.3	51	1190
	850	**14.2**	**51**	**1520**
3	847	14.1	51	1550
4	811	10.9	51	1900
	803	**11.4**	**50**	**2000**
	796	11.9	49	2060
5	777	9.0	48	2260
6	744	6.5	53	2620
7	**711**	**3.6**	**65**	**3000**
	700	**2.6**	**70**	**3120**
8	681	0.8	75	3230
9	646	-2.1	80	3750
	627	**-4.2**	**87**	**4000**
10	613	-5.6	94	4180
11	584	-8.6	100	4550
12	554	-10.4	51	4970
	552	**-10.6**	**53**	**5000**
13	520	-13.0	65	5450
	500	**-15.3**	**78**	**5750**
14	493	-16.4	85	5850
	484	**-17.5**	**92**	**6000**
15	470	-19.4	100	6220
16	449	-22.1	56	6550
17	425	-24.4	49	6940
	422	**-24.8**	**49**	**7000**
18	400	-27.6	49	7390
19	376	-31.5	64	7820
	367	**-32.8**	**70**	**8000**
20	351	-35.1	77	8310
21	324	-39.4	80	8860
	318	**-40.1**	**75**	**9000**
22	**300**	**-42.0**	**64**	**9390**
23	280	-46.1	—	9850
	273	**-47.2**	—	**10000**
24	259	-50.1	—	10370
25	236	-53.3	—	10970
	235	**-53.7**	—	**11000**
26	219	-56.5	—	11450
27	**200**	**-60.1**	—	**12000**
28	174	-63.8	—	12870
	171	**-63.2**	—	**13000**
29	163	-61.2	—	13292
30	152	58.6	—	13720
31	147	-61.0	—	13900

Min.	PPP	TTT	UU	H m. geop.

26. V. 1951 06.10 h HEC

	1000	—	—	**080**
0	952.6	13.0	100	493
1	910	13.0	97	880
	897	**14.0**	**87**	**1000**
2	877	15.0	60	1180
	850	**13.9**	**47**	**1460**
3	845	13.8	45	1510
4	809	11.5	46	1860
	797	**10.1**	**49**	**2000**
5	773	8.3	54	2240
6	735	4.2	65	2650
7	**706**	**0.6**	**72**	**3000**
	700	**0.1**	**75**	**3055**
8	671	-2.0	82	3380
9	637	-5.5	92	3800
	621	**-6.6**	**96**	**4000**
10	605	-8.7	100	4300
11	575	-10.8	90	4600
	546	**-12.7**	**90**	**5000**
12	543	-13.2	90	5030
13	514	-15.8	95	5450
	500	**-17.9**	**98**	**5660**
14	486	-18.7	100	5870
	478	**-20.5**	**95**	**6000**
15	460	-21.8	92	6280
16	433	-24.5	85	6720
	417	**-26.4**	**84**	**7000**
17	405	-27.8	83	7200
18	379	-31.0	79	7670
	362	**-33.5**	**77**	**8000**
19	355	-34.9	76	8130
20	330	-38.5	70	8640
	313	**-42.2**	—	**9000**
21	309	-43.0	—	9080
	300	**-44.8**	—	**9290**
22	283	-47.8	—	9680
	269	**-50.7**	—	**10000**
23	261	-52.3	—	10210
24	239	-56.9	—	10760
	230	**-59.1**	—	**11000**
25	220	-61.5	—	11280
26	**200**	**-65.0**	—	**11870**
	196	**-66.0**	—	**12000**
27	187	-67.7	—	12280
28	169	-65.8	—	12900

28. V. 1951 06.00 h HEC

	1000	—	—	**100**
0	953.1	6.1	100	493
1	917	5.9	88	810
	897	**4.6**	**85**	**1000**
2	878	3.4	82	1160
	850	**2.9**	**75**	**1440**
3	838	2.7	70	1550
4	798	-0.1	76	1940
	792	**-0.5**	**79**	**2000**
5	761	-3.1	90	2320
6	726	-5.7	90	2690
	700	**-8.1**	**87**	**3000**
7	695	-8.7	86	3040
8	663	-11.2	76	3400
9	630	-13.7	57	3780
	613	**-15.1**	**44**	**4000**
10	599	-16.7	34	4170
11	567	-19.1	27	4580
12	539	-21.7	26	4950
	536	**-22.1**	**27**	**5000**
13	508	-25.1	31	5390
	500	**-25.6**	**29**	**5510**
14	479	-27.1	23	5820
	467	**-28.3**	**28**	**6000**
15	451	-30.2	34	6260
16	424	-30.9	48	6690
	406	**-32.5**	**64**	**7000**
17	398	-33.3	72	7130
18	372	-35.3	50	7600
	351	**-37.6**	**48**	**8000**
19	348	-38.1	47	8070
20	325	-40.7	—	8540
	303	**-44.2**	—	**9000**
21	**300**	**-45.1**	—	**9080**

Min.	PPP	TTT	UU	H m. geop.
22	278	-49.3	—	9590
	261	**-51.9**	—	**10000**
23	258	-52.7	—	10080
24	238	-55.1	—	10590
	223	**-55.8**	—	**11000**
25	217	-56.1	—	11180
	200	**-54.6**	—	**11700**
26	198	-54.5	—	11760
	191	**-53.2**	—	**12000**
27	181	-51.8	—	12340

29. V. 1951 06.00 h HEC

	1000	—	—	**120**
0	956.0	9.8	100	493
1	910	10.7	85	900
	900	**10.1**	**84**	**1000**
2	874	8.7	82	1240
	850	**6.9**	**89**	**1480**
3	839	5.8	92	1580
4	805	2.5	94	1920
	797	**1.8**	**94**	**2000**
5	771	-0.1	95	2270
6	737	-2.3	96	2620
7	705	-4.5	96	2950
	703	**-4.7**	**96**	**3000**
	700	**-5.0**	**96**	**3030**
8	673	-6.9	96	3340
9	637	-9.5	91	3770
	618	**-11.3**	**95**	**4000**
10	606	-12.4	97	4150
11	576	-14.9	100	4540
	561	-14.4	64	4740
12	544	-14.8	40	4970
	542	**-15.0**	**43**	**5000**
13	515	-17.0	64	5390
	500	**-18.6**	**58**	**5610**
14	486	-20.4	52	5820
	474	**-21.8**	**54**	**6000**
15	459	-24.0	56	6240
16	432	-26.3	71	6680
	413	**-28.6**	**78**	**7000**
17	407	-29.5	80	7110
18	386	-33.3	81	7490
19	**359**	**-37.6**	**81**	**8000**
20	336	-40.1	—	8440
21	312	-43.5	—	8950
	309	**-43.7**	—	**9000**
	300	**-44.7**	—	**9210**
22	288	-46.0	—	9480
23	**267**	**-49.5**	—	**10000**
24	246	-53.0	—	10520
25	**228**	**-55.6**	—	**11000**
26	214	-56.8	—	11410
	200	**-54.9**	—	**11840**
27	197	-54.5	—	11940
	195	**-54.2**	—	**12000**
28	183	-53.1	—	12410

30. V. 1951 06.00 h HEC

	1000	—	—	**120**
0	955.4	9.7	100	493
1	911	7.3	100	880
	900	**7.4**	**99**	**1000**
2	869	7.3	98	1285
	850	**6.8**	**92**	**1470**
3	835	6.4	88	1600
4	799	4.1	82	1960
	797	**4.0**	**83**	**2000**
5	761	1.7	86	2370
6	729	0.1	84	2710
	704	**-1.8**	**87**	**3000**
	700	**-2.1**	**87**	**3040**
7	692	-2.7	88	3120
8	658	-5.9	80	3520
9	627	-8.6	73	3900
	620	**-9.1**	**71**	**4000**
10	595	-10.9	67	4300
11	562	-14.4	65	4750
	544	**-15.6**	**51**	**5000**
12	532	-16.6	43	5160
13	**500**	**-18.9**	**40**	**5620**
14	**476**	**-21.2**	**43**	**6000**

Min.	PPP	TTT	UU	H m. geop.
15	446	-24.4	57	6470
16	419	-28.2	53	6920
	415	**-28.8**	**52**	**7000**
17	392	-32.3	51	7400
18	365	-36.8	57	7900
	360	**-37.7**	**57**	**8000**
19	340	-41.3	—	8380
20	319	-43.4	—	8820
	310	**-44.7**	—	**9000**
	300	**-46.5**	—	**9270**
21	293	-47.7	—	9380
22	273	-51.5	—	9850
	266	**-52.2**	—	**10000**
23	249	-55.9	—	10430

31. V. 1951 06.00 h HEC

	1000	—	—	**125**
0	956.0	11.0	100	493
1	908	9.2	100	900
	900	**9.0**	**100**	**1000**
2	868	7.5	100	1310
	850	**8.5**	**93**	**1480**
	844	8.7	91	1540
3	823	8.3	67	1750
	798	**7.0**	**77**	**2000**
4	778	4.9	91	2210
5	743	1.7	82	2580
6	708	-0.9	78	2970
	705	**-1.2**	**79**	**3000**
	700	**-1.8**	**80**	**3060**
7	670	-4.7	85	3400
8	636	-7.7	95	3810
	621	**-9.0**	**94**	**4000**
9	601	-10.6	93	4250
10	566	-13.4	72	4710
	545	**-14.3**	**45**	**5000**
11	531	-15.1	25	5190
	500	**-17.4**	**23**	**5650**
12	497	-17.8	22	5700
	477	**-19.8**	**21**	**6000**
13	468	-21.0	20	6150
14	438	-24.3	18	6630
	416	**-27.0**	**18**	**7000**
15	408	-28.2	18	7140
16	380	-32.7	18	7650
	361	**-36.2**	**18**	**8000**
17	353	-37.8	18	8160
18	326	-41.6	—	8710
	312	**-43.4**	—	**9000**
19	**300**	**-45.1**		**9270**

1. VI. 1951 06.05 h HEC

	1000	—	—	**150**
0	958.2	9.9	100	493
1	913	8.4	91	900
	903	**8.5**	**90**	**1000**
2	871	5.5	89	1285
	850	**4.0**	**93**	**1500**
3	830	2.3	97	1680
	798	**-0.3**	**97**	**2000**
4	789	-1.1	97	2100
5	749	-3.9	97	2500
6	711	-6.2	100	2920
	703	**-6.5**	**96**	**3000**
	700	**-6.6**	**94**	**3040**
7	675	-7.9	81	3320
8	637	-10.9	77	3780
	618	**-12.3**	**74**	**4000**
9	602	-13.7	71	4200
10	570	-16.5	75	4610
	541	**-19.0**	**79**	**5000**
11	539	-19.4	80	5040
12	508	-22.7	87	5550
	500	**-23.1**	**88**	**5590**
13	**473**	**-26.9**	**92**	**6000**
14	443	-30.1	92	6470
15	414	-34.1	90	6950
	410	**-34.4**	**89**	**7000**
16	385	-37.7	87	7440
17	358	-42.6		7950
	355	**-43.1**	—	**8000**

Min.	PPP	TTT	UU	H m. geop.
18	332	–46.8	—	8460
	306	**–50.0**	—	**9000**
19	**300**	**–50.3**	—	**9110**
	289	–51.2	—	9360
20	282	–50.5	—	9520
21	**262**	**–49.2**	—	**10000**
22	243	–48.6	—	10500
23	**225**	**–49.3**	—	**11000**
24	206	–51.0	—	11580
	200	**–51.4**	—	**11770**
	2. VI. 1951	**06.05 h HEC**		
	1000	—	—	**115**
0	955.9	9.8	100	493
1	915	8.4	100	850
	899	**7.4**	**94**	**1000**
2	882	6.5	88	1150
3	**850**	**3.8**	**96**	**1460**
4	813	1.3	100	1820
	795	**0.0**	**100**	**2000**
5	778	–1.2	100	2170
6	740	–3.5	100	2570
7	**702**	**–5.4**	**98**	**3000**
	700	**–5.7**	**99**	**3020**
8	670	–8.9	100	3350
9	637	–9.9	64	3740
	616	**–11.5**	**64**	**4000**
10	604	–12.5	64	4150
11	570	–15.7	85	4490
	540	**–18.3**	**49**	**5000**
12	536	–18.5	44	5050
13	507	–21.9	40	5470
	500	**–22.6**	**39**	**5570**
14	479	–24.7	38	5890
	471	**–25.9**	**40**	**6000**
15	452	–28.7	47	6300
16	425	–32.9	57	6740
	410	**–35.3**	**55**	**7000**
17	399	–37.0	54	7180
18	370	–41.6	—	7700
	354	**–44.9**	—	**8000**
19	347	–46.2	—	8130
20	323	–49.7	—	8600
	304	**–52.9**	—	**9000**
21	**300**	**–53.6**	—	**9090**
22	277	–52.9	—	9600
	260	**–49.4**	—	**10000**
23	256	–48.7	—	10100
24	237	–48.5	—	10610
	223	**–47.4**	—	**11000**
25	218	–48.4	—	11150
	200	**–48.6**	—	**11720**
26	198	–48.7	—	11800
	192	**–49.0**	—	**12000**
27	181	–49.7	—	12380
	4. VI. 1951	**06.15 h HEC**		
	1000	—	—	**115**
0	955.4	9.2	100	493
1	904	12.2	83	960
	899	**12.0**	**81**	**1000**
2	869	11.2	77	1280
	850	**10.7**	**81**	**1470**
3	834	8.4	85	1630
4	800	7.2	76	1970
	797	**6.9**	**75**	**2000**
5	763	4.0	70	2360
6	720	1.5	52	2820
	705	**0.7**	**49**	**3000**
	700	**0.6**	**47**	**3055**
7	692	–0.4	45	3140
8	659	–2.5	38	3530
9	629	–4.8	32	3900
	621	**–5.5**	**32**	**4000**
10	600	–7.4	32	4270
11	569	–10.3	32	4680
	546	**–11.8**	**31**	**5000**
12	537	–12.1	31	5120
13	507	–15.2	30	5550
	500	**–15.7**	**30**	**5670**
14	481	–17.0	29	5945
	478	**–17.1**	**29**	**6000**
15	456	–21.1	28	6350
16	431	–24.6	28	6760
	418	**–26.2**	**28**	**7000**
17	406	–27.6	28	7200
18	379	–31.6	28	7700
	363	**–32.8**	**28**	**8000**
19	351	–35.6	28	8230
20	326	–39.7	28	8940
	314	**–41.5**	—	**9000**
21	**300**	**–43.7**	—	**9310**
22	281	–46.8	—	9740
	270	**–48.3**	—	**10000**
23	255	–50.8	—	10380
24	237	–54.2	—	10850
	232	**–54.9**	—	**11000**
25	219	–56.6	—	11360
26	**200**	**–58.2**	—	**11930**
	198	**–57.5**	—	**12000**
27	183	–54.0	—	12500
	169	**–53.4**	—	**13000**
28	168	–53.2	—	13040
29	155	–51.2	—	13580
	5. VI. 1951	**06.15 h HEC**		
	1000	—	—	**105**
0	955.1	9.6	100	493
1	919	10.6	93	820
	899	**10.6**	**90**	**1000**
2	885	10.6	88	1130
	850	**8.5**	**88**	**1465**
3	847	8.2	88	1490
4	809	6.6	81	1870
	796	**5.8**	**81**	**2000**
5	774	4.2	81	2230
6	745	1.4	71	2540
7	719	–1.2	75	2830
	704	**–2.2**	**77**	**3000**
	700	**–2.6**	**78**	**3040**
8	690	–3.1	80	3150
9	660	–5.3	80	3500
10	629	–7.8	76	3870
	619	**–8.7**	**77**	**4000**
11	597	–10.8	78	4280
12	567	–11.9	74	4670
	544	**–13.6**	**70**	**5000**
13	536	–14.4	64	5100
14	**500**	**–17.0**	**59**	**5630**
15	478	–18.9	59	5760
	476	**–19.3**	**60**	**6000**
16	453	–21.8	62	6370
17	427	–25.3	61	6690
	415	**–27.1**	**60**	**7000**
18	403	–29.2	58	7220
19	379	–33.0	56	7650
	361	**–36.1**	**54**	**8000**
20	355	–37.0	52	8120
21	331	–41.4	—	8580
	311	**–44.4**	—	**9000**
22	307	–45.0	—	9100
	300	**–46.1**	—	**9240**
23	283	–48.4	—	9640
	268	**–50.9**	—	**10000**
24	262	–51.8	—	10140
25	243	–55.0	—	10620
	229	**–56.0**	—	**11000**
26	227	–56.0	—	11050
27	206	–54.3	—	11670
	200	**–53.5**	—	**11870**
	196	**–52.8**	—	**12000**
28	191	–51.8	—	12150
29	179	–51.8	—	12580
	168	**–51.8**	—	**13000**
30	160	–51.8	—	13310
	6. VI. 1951	**06.10 h HEC**		
	1000	—	—	**095**
0	954.0	9.9	100	493
1	908	11.1	79	900
	898	**10.2**	**79**	**1000**
2	876	8.7	80	1200
	850	**6.7**	**87**	**1450**
3	840	5.9	90	1540
4	800	2.7	96	1940
	795	**2.3**	**97**	**2000**
5	764	–0.1	98	2310
6	721	–2.1	99	2770
	701	**–3.8**	**100**	**3000**
	700	**–3.9**	**99**	**3010**
7	681	–5.4	100	3230
8	641	–8.0	100	3690
	617	**–9.6**	**93**	**4000**
9	610	–10.3	90	4080
10	576	–11.7	58	4520
	542	**–14.7**	**58**	**5000**
11	539	–15.1	58	5050
12	507	–18.1	63	5490
	500	**–18.8**	**61**	**5595**
13	478	–21.0	56	5920
	474	**–21.6**	**55**	**6000**
14	448	–24.5	55	6400
15	420	–28.4	54	6860
	412	**–29.4**	**54**	**7000**
16	395	–31.5	54	7300
17	366	–36.6	54	7830
	358	**–37.8**	—	**8000**
18	339	–40.3	—	8370
19	316	–44.1	—	8840
	309	**–45.4**	—	**9000**
	300	**–47.0**	—	**9190**
20	293	–48.1	—	9340
21	274	–51.9	—	9780
	265	**–53.7**	—	**10000**
22	258	–55.1	—	10160
23	236	–57.9	—	10730
	226	**–56.7**	—	**11000**
24	218	–55.7	—	11230
25	**200**	**–55.7**	—	**11790**
	7. VI. 1951	**06.10 h HEC**		
	1000	—	—	**100**
0	953.7	9.5	100	493
1	906	9.5	100	920
	898	**9.2**	**94**	**1000**
2	865	8.1	89	1310
	850	**7.3**	**85**	**1450**
3	825	6.1	75	1690
	795	**4.5**	**70**	**2000**
4	781	3.9	64	2130
5	739	1.7	70	2580
	702	**0.2**	**58**	**3000**
6	**700**	**0.0**	**56**	**3025**
7	657	–1.7	38	3530
8	623	–4.4	38	3950
	619	**–4.7**	**36**	**4000**
9	589	–7.3	31	4380
10	555	–10.2	25	4850
	544	**–11.2**	**23**	**5000**
11	524	–12.9	20	5280
	500	**–15.5**	**20**	**5650**
12	490	–16.9	20	5790
	474	**–18.4**	**22**	**6000**
13	461	–20.1	24	6230
14	432	–23.7	24	6720
	416	**–25.8**	**21**	**7000**
15	403	–27.9	18	7230
16	373	–32.5	18	7780
	362	**–34.2**	**18**	**8000**
17	339	–37.8	18	8450
18	**313**	**–42.4**	—	**9000**
	300	**–44.5**	—	**9280**
19	286	–47.0	—	9600
	269	**–49.8**	—	**10000**
20	261	–51.0	—	10210
21	236	–54.5	—	10840
	230	**–54.5**	—	**11000**
22	215	–54.5	—	11410
23	**200**	**–54.5**	—	**11900**
	8. VI. 1951	**06.10 h HEC**		
	1000	—	—	**055**
0	949.6	13.5	100	493
1	905	12.8	100	900
	894	**11.8**	**100**	**1000**
2	873	10.4	100	1190
	850	**9.5**	**100**	**1425**
3	839	9.0	100	1530
4	803	7.8	84	1890
	793	**7.0**	**86**	**2000**
5	769	5.5	89	2250
6	735	3.2	95	2610
7	706	1.5	100	2950
	701	**1.0**	**100**	**3000**
	700	**0.8**	**100**	**3010**
8	677	–1.2	100	3280
9	647	–3.7	100	3610
10	**616**	**–6.6**	**100**	**4000**
11	590	–9.0	100	4360
12	560	–11.2	100	4760
	543	**–12.4**	**100**	**5000**
13	532	–13.6	100	5160
14	**500**	**–15.6**	**100**	**5630**
15	478	–18.3	100	5960
	476	**–18.6**	**100**	**6000**
16	451	–21.2	100	6400
17	427	–24.0	100	6800
	415	**–26.0**	**100**	**7000**
18	403	–27.2	100	7220
19	379	–30.8	100	7670
	361	**–34.1**	**100**	**8000**
20	359	–34.5	100	8040
21	335	–37.6	95	8510
22	316	–40.6	90	8920
	312	**–41.3**	**87**	**9000**
23	**300**	**–43.3**	**80**	**9270**
24	284	–46.1	75	9710
	269	**–48.1**	—	**10000**
25	263	–49.0	—	10140
26	247	–52.0	—	10550
27	**231**	**–55.2**	—	**11000**
28	219	–57.8	—	11310
29	206	–61.0	—	11700
	200	**–58.7**	—	**11890**
30	196	–57.5	—	12060
31	185	–53.4	—	12380
32	176	–53.4	—	12700
	9. VI. 1951	**06.15 h HEC**		
	1000	—	—	**055**
0	951.0	11.0	100	493
1	903	8.9	100	920
	895	**8.4**	**100**	**1000**
2	873	7.3	100	1190
	850	**5.7**	**100**	**1425**
3	817	5.3	100	1450
4	813	3.7	100	1780
	793	**2.3**	**100**	**2000**
5	788	2.0	100	2100
6	755	0.3	100	2390
7	723	1.1	100	2750
8	**700**	**–2.3**	**100**	**3000**
9	677	–3.9	100	3260
10	654	–5.7	100	3510
11	633	–6.8	100	3750
	617	**–8.5**	**100**	**4000**
12	606	–8.2	100	4110
13	581	–10.1	100	4450
14	557	–12.0	100	4770
	541	**–13.6**	**100**	**5000**
15	533	–14.0	100	5100
16	509	–16.3	100	5440
	500	**–17.5**	**100**	**5580**
17	490	–18.5	100	5720
	473	**–20.7**	**100**	**6000**
18	471	–20.9	100	6050
19	456	–23.5	98	6320
20	434	–25.5	96	6620
21	414	–28.4	91	6950
	412	**–28.5**	**91**	**7000**
22	395	–30.9	91	7300
23	374	–33.8	91	7680
	358	**–36.7**	**91**	**8000**
24	356	–37.1	91	8050
25	337	–40.2	—	8410
26	318	–44.0	—	8780
	309	**–45.8**	—	**9000**

Min.	PPP	TTT	UU	H m. geop.
27	**300**	**–47.6**	—	**9180**
28	281	–50.3	—	9620
29	266	–52.2	—	9980
	265	**–52.4**	—	**10000**
30	247	–54.9	—	10440
31	230	–54.1	—	10900
	227	**–53.2**	—	**11000**
32	224	–52.5	—	11080

11. VI. 1951 06.10 h HEC

	1000	—	—	**200**
0	963.5	11.0	100	493
	909	**11.0**	**87**	**1000**
1	905	11.0	84	1030
2	871	8.8	87	1350
	850	**6.5**	**93**	**1560**
3	837	5.0	97	1670
	805	**1.5**	**99**	**2000**
4	802	1.4	100	2030
5	762	–1.8	100	2430
6	723	–3.0	53	2850
	710	**–3.8**	**50**	**3000**
	700	**–4.3**	**49**	**3110**
7	685	–5.2	44	3280
8	647	–7.3	42	3720
	624	**–7.7**	**39**	**4000**
9	605	–8.2	36	4250
10	569	–9.5	36	4720
	549	**–11.3**	**36**	**5000**
11	534	–12.6	36	5210
12	508	–15.2	36	5590
	500	**–15.9**	**36**	**5720**
13	**481**	**–18.0**	**36**	**6000**
14	456	–20.6	39	6400
15	431	–24.1	41	6820
	420	**–25.1**	**40**	**7000**
16	406	–26.9	38	7250
17	374	–31.1	39	7840
	366	**–32.3**	**39**	**8000**
18	350	–35.0	40	8300
19	326	–39.6	40	8800
	316	**–41.0**	—	**9000**
20	**300**	**–43.9**	—	**9370**
21	277	–47.1	—	9900
	272	**–47.7**	—	**10000**
22	255	–50.5	—	10430
	234	**–52.4**	—	**11000**
23	231	–52.7	—	11080
24	212	–55.6	—	11630
	200	**–55.6**	—	**12000**
25	190	–55.6	—	12330

12. VI. 1951 06.10 h HEC

	1000	—	—	**200**
0	965.2	11.0	100	493
1	925	12.1	84	850
	910	**11.9**	**75**	**1000**
2	890	11.4	65	1170
3	857	9.8	68	1490
	850	**9.4**	**69**	**1560**
4	821	7.2	72	1850
	807	**6.2**	**74**	**2000**
5	783	4.4	78	2240
6	741	2.7	48	2680
	714	**2.1**	**36**	**3000**
7	709	2.0	34	3040
	700	**1.8**	**30**	**3140**
8	675	1.0	23	3440
9	643	–0.5	23	3820
	629	**–1.7**	**23**	**4000**
10	610	–3.3	23	4250
11	581	–5.6	23	4620
	555	**–7.6**	**23**	**5000**
12	548	–7.9	23	5080
13	517	–10.1	23	5540
	500	**–12.2**	**29**	**5790**
14	489	–13.4	35	5960
	487	**–13.8**	**37**	**6000**
15	463	–17.5	45	6380
16	440	–20.5	30	6760
	426	**–22.2**	**28**	**7000**
17	416	–23.5	27	7170
18	391	–26.9	27	7630
	371	**–30.0**	**27**	**8000**
19	365	–31.0	27	8120
20	338	–34.8	27	8660
	322	**–37.7**	**27**	**9000**
21	313	–39.6	27	9180
	300	**–42.1**	—	**9470**
22	289	–44.2	—	9730
	278	**–46.3**	—	**10000**
23	270	–48.2	—	10190
24	250	–52.5	—	10690
	238	**–54.5**	—	**11000**
25	229	–56.1	—	11250
26	211	–59.5	—	11770
	203	**–60.7**	—	**12000**
	200	**–61.2**	—	**12080**
27	195	–62.0	—	12260

13. VI. 1951 06.10 h HEC

	1000	—	—	**210**
0	967.0	16.5	96	493
1	930	14.0	86	820
	911	**12.5**	**87**	**1000**
2	895	11.5	88	1140
3	861	8.2	93	1460
	850	**7.3**	**93**	**1590**
4	829	6.1	93	1780
	808	**4.5**	**95**	**2000**
5	799	3.8	97	2080
6	766	2.5	83	2430
7	733	2.0	49	2790
	714	**1.2**	**27**	**3000**
8	**700**	**0.5**	**23**	**3150**
9	669	–1.0	23	3510
10	638	–3.1	24	3890
	630	**–3.5**	**24**	**4000**
11	612	–4.8	24	4220
12	582	–6.2	55	4620
13	**555**	**–8.1**	**80**	**5000**
14	525	–10.6	80	5420
	500	**–12.6**	**80**	**5800**
15	491	–13.2	80	5880
	487	**–13.8**	**82**	**6000**
16	469	–15.6	90	6270
17	446	–17.7	80	6650
	426	**–19.5**	**75**	**7000**
18	422	–20.0	74	7070
19	399	–21.8	66	7490
20	376	–24.9	56	7930
	372	**–25.5**	**56**	**8000**
21	354	–28.8	55	8360
22	331	–33.0	54	8840
	323	**–34.3**	**54**	**9000**
23	309	–36.9	53	9320
	300	**–38.7**	**53**	**9510**
24	289	–41.1	—	9780
	279	**–43.4**	—	**10000**
25	269	–46.3	—	10270
26	251	–51.6	—	10710
	240	**–54.3**	—	**11000**
27	234	–56.0	—	11170
28	215	–59.2	—	11700
	204	**–61.4**	—	**12000**
29	**200**	**–62.5**	—	**12140**
30	182	–65.5	—	12730
	174	**–63.1**	—	**13000**
31	168	–61.5	—	13220

14. VI. 1951 06.15 h HEC

	1000	—	—	**220**
0	967.1	12.0	100	493
1	927	14.4	100	860
	913	**14.4**	**80**	**1000**
2	888	14.4	66	1220
3	**850**	**16.3**	**39**	**1590**
4	826	14.8	41	1840
	811	**13.0**	**42**	**2000**
5	798	11.5	44	2130
6	765	10.9	43	2470
7	733	8.5	43	2840
	719	**7.4**	**40**	**3000**
8	709	6.8	37	3120
	700	**6.5**	**37**	**3220**
9	680	5.1	37	3450
10	645	2.5	39	3890
	636	**1.9**	**39**	**4000**
11	617	0.4	39	4240
12	585	–2.7	39	4670
13	**560**	**–6.0**	**39**	**5000**
14	533	–8.4	39	5400
15	507	–11.1	39	5790
	500	**–12.0**	**39**	**5900**
	493	**–12.8**	**39**	**6000**
16	482	–14.4	39	6170
17	459	–18.1	45	6540
18	433	–18.9	37	6970
	432	**–19.1**	**37**	**7000**
19	409	–21.7	37	7390
20	385	–25.4	37	7840
	377	**–26.5**	**37**	**8000**
21	360	–29.2	37	8330
22	339	–32.6	37	8750
	327	**–34.9**	**37**	**9000**
23	319	–36.6	32	9180
24	**300**	**–40.9**	—	**9600**
	283	**–44.0**	—	**10000**
25	277	–45.1	—	10140
26	258	–49.0	—	10620
	243	**–51.9**	—	**11000**
27	240	–52.6	—	11090
28	219	–56.3	—	11670
	208	**–58.4**	—	**12000**
29	**200**	**–60.0**	—	**12250**
30	188	–62.5	—	12630

15. VI. 1951 06.10 h HEC

	1000	—	—	**210**
0	964.5	14.0	100	493
1	931	17.5	70	800
	911	**17.5**	**68**	**1000**
2	895	17.4	65	1140
3	857	16.0	63	1510
	850	**15.7**	**60**	**1590**
4	824	14.2	56	1850
	810	**13.5**	**56**	**2000**
5	789	12.3	55	2220
6	751	10.0	55	2640
7	721	7.6	55	2970
	719	**7.5**	**55**	**3000**
	700	**5.7**	**55**	**3210**
8	692	4.9	55	3290
9	660	2.1	55	3680
	636	**–0.7**	**55**	**4000**
10	631	–1.3	55	4040
11	600	–4.2	55	4450
12	570	–7.1	55	4850
	560	**–8.0**	**55**	**5000**
13	540	–10.0	55	5270
14	510	–12.3	55	5710
	500	**–13.5**	**55**	**5870**
	491	**–14.6**	**55**	**6000**
15	485	–15.4	55	6100
16	461	–17.7	55	6480
17	438	–20.5	55	6860
	430	**–21.6**	**55**	**7000**
18	411	–23.9	55	7330
19	388	–27.5	55	7750
	374	**–29.5**	**55**	**8000**
20	365	–30.7	55	8180
21	344	–35.1	55	8600
	325	**–37.9**	**55**	**9000**
22	321	–38.4	55	9080
23	**300**	**–41.9**	—	**9530**
	280	**–45.6**	—	**10000**
24	279	–46.0	—	10040
25	258	–50.0	—	10550
26	**240**	**–53.7**	—	**11000**
27	221	–57.1	—	11550
	205	**–59.1**	—	**12000**
28	**200**	**–60.0**	—	**12170**
29	189	–60.0	—	12530
30	177	–60.0	—	12940

16. VI. 1951 06.05 h HEC

	1000	—	—	**200**
0	963.7	16.0	100	493
1	921	17.3	92	880
	911	**17.0**	**92**	**1000**
2	887	16.1	92	1290
3	855	15.0	92	1580
	850	**14.4**	**75**	**1590**
4	819	13.3	63	1880
	810	**12.5**	**67**	**2000**
5	783	10.5	84	2260
6	750	7.3	44	2630
7	**715**	**5.3**	**40**	**3000**
	700	**3.9**	**70**	**3200**
8	686	2.7	100	3350
9	658	–0.4	100	3680
	634	**–2.7**	**55**	**4000**
10	627	–3.1	46	4070
11	596	–6.0	68	4470
12	570	–8.7	73	4820
	558	**–9.4**	**60**	**5000**
13	541	–11.3	48	5230
14	513	–14.0	55	5630
	500	**–15.2**	**70**	**5810**
	489	**–16.2**	**65**	**6000**
15	484	–16.6	95	6060
16	460	–18.8	72	6450
17	436	–21.0	56	6850
	428	**–21.9**	**56**	**7000**
18	411	–24.1	56	7290
19	386	–27.4	36	7740
	368	**–29.7**	**32**	**8000**
20	364	–31.3	31	8170
21	341	–35.5	55	8630
	323	**–38.6**	**68**	**9000**
22	321	–39.0	70	9040
23	**300**	**–43.3**	—	**9500**
24	**278**	**–47.1**	—	**10000**
25	257	–50.6	—	10540
26	**239**	**–53.0**	—	**11000**
27	223	–55.1	—	11450
28	208	–57.8	—	11890
	204	**–58.4**	—	**12000**
	200	**–58.9**	—	**12130**
29	191	–60.1	—	12420
30	177	–61.0	—	12900
	174	**–60.0**	—	**13000**
31	165	–56.6	—	13350
32	155	–57.5	—	13740

18. VI. 1951 06.05 h HEC

	1000	—	—	**170**
0	962.0	14.5	100	493
1	921	14.1	100	860
	907	**13.9**	**96**	**1000**
2	886	13.3	93	1200
3	**850**	**11.2**	**95**	**1540**
4	822	9.8	92	1820
	805	**8.7**	**93**	**2000**
5	792	7.9	94	2130
6	760	5.9	100	2470
7	732	3.5	100	2780
	712	**2.6**	**100**	**3000**
8	705	2.3	100	3090
	700	**1.9**	**100**	**3150**
9	680	1.0	100	3380
10	653	–0.8	100	3700
11	**628**	**–3.2**	**100**	**4000**
12	603	–6.0	98	4340
13	578	–8.4	100	4670
14	**552**	**–10.0**	**100**	**5000**
15	530	–11.9	100	5340
16	505	–13.7	100	5700
	500	**–14.2**	**100**	**5780**
	486	**–15.6**	**100**	**6000**
17	482	–16.0	100	6050
18	460	–18.3	98	6410
19	438	–20.6	96	6770
	425	**–22.0**	**94**	**7000**
20	416	–22.8	93	7150
21	394	–25.5	92	7550

Min.	PPP	TTT	UU	H m. geop.
22	**369**	**–29.3**	**92**	**8000**
23	344	–33.1	92	8520
24	**322**	**–36.9**	**90**	**9000**
25	**300**	**–40.9**	—	**9470**
26	281	–44.7	—	9910
	19. VI. 1951 06.00 h HEC			
	1000	—	—	**170**
0	960.8	13.5	90	493
1	920	10.5	100	860
	905	**9.8**	**100**	**1000**
2	885	8.6	100	1150
	850	**7.0**	**100**	**1520**
3	847	6.7	100	1560
4	811	5.4	100	1900
	802	**5.2**	**100**	**2000**
5	776	4.2	100	2260
6	745	2.8	100	2600
7	720	0.9	100	2870
	709	**–1.0**	**100**	**3000**
	700	**–1.6**	**100**	**3100**
8	695	–1.2	100	3150
	20. VI. 1951 06.00 h HEC			
	1000	—	—	**190**
0	963.8	10.8	100	493
1	920	9.8	100	880
	907	**9.0**	**100**	**1000**
2	882	7.6	100	1230
	850	**6.7**	**100**	**1550**
3	845	6.5	100	1590
4	808	4.3	95	1940
	804	**4.0**	**96**	**2000**
5	772	1.5	100	2320
	757	0.8	80	2480
6	737	1.4	50	2700
	719	1.6	43	2900
	710	**1.0**	**44**	**3000**
7	704	0.5	43	3060
	700	**0.3**	**44**	**3110**
8	668	–1.3	44	3480
9	637	–3.7	44	3860
	626	**–4.3**	**44**	**4000**
10	603	–5.5	44	4290
11	574	–7.6	44	4680
	551	**–10.1**	**44**	**5000**
12	546	–11.1	44	5060
13	517	–13.5	44	5580
	500	**–15.5**	**44**	**5740**
14	487	–16.9	44	5940
	483	**–17.5**	**49**	**6000**
15	457	–20.9	44	6410
16	431	–24.2	44	6840
	422	**–25.5**	**44**	**7000**
17	405	–28.0	44	7290
18	375	–33.1	44	7840
	366	**–34.2**	**44**	**8000**
19	347	–36.8	44	8370
20	320	–40.8	—	8940
	317	**–41.3**	—	**9000**
	300	**–44.1**	—	**9370**
21	296	–45.0	—	9470
22	275	–47.6	—	9960
	268	**–48.0**	—	**10000**
23	253	–52.2	—	10500
	234	**–55.7**	—	**11000**
24	231	–56.4	—	11100
25	214	–59.2	—	11570
	200	**–58.8**	—	**12000**
26	197	–58.7	—	12090
27	182	–57.6	—	12590
	21. VI. 1951 06.00 h HEC			
	1000	—	—	**190**
0	962.3	10.0	100	493
1	912	11.4	100	905
	908	**11.4**	**100**	**1000**
2	877	11.0	100	1280
	850	**11.0**	**97**	**1550**
3	843	11.0	95	1610
4	812	10.4	57	1920
	806	**10.1**	**54**	**2000**
5	779	8.3	45	2270
6	750	6.0	15	2580
7	719	4.1	15	2930
	713	**3.7**	**15**	**3000**
	700	**2.7**	**15**	**3150**
8	686	1.7	15	3310
9	653	–1.0	15	3710
	630	**–2.4**	**15**	**4000**
10	620	–3.2	15	4110
11	591	–6.2	15	4490
12	560	–7.9	15	4890
	554	**–8.8**	**15**	**5000**
13	532	–12.0	15	5300
14	**500**	**–14.5**	**15**	**5780**
	486	**–15.9**	**15**	**6000**
15	474	–17.2	15	6190
16	451	–19.4	15	6560
17	**426**	**–21.3**	**15**	**7000**
18	402	–24.6	15	7410
19	379	–27.3	15	7840
	371	**–28.5**	**15**	**8000**
20	356	–30.6	15	8280
21	334	–35.7	15	8730
	321	**–37.6**	**15**	**9000**
22	313	–38.7	15	9180
	300	**–40.9**	—	**9470**
23	290	–42.8	—	9710
	277	**–44.9**	—	**10000**
24	270	–46.2	—	10190
25	249	–50.4	—	10720
	238	**–52.2**	—	**11000**
26	228	–54.6	—	11300
27	209	–58.9	—	11840
	204	**–59.1**	—	**12000**
	200	**–59.2**	—	**12110**
28	188	–59.8	—	12500
	22. VI. 1951 06.05 h HEC			
	1000	—	—	**150**
0	958.9	15.2	90	493
1	927	16.2	93	790
	905	**15.1**	**92**	**1000**
2	890	14.1	91	1140
3	853	12.1	100	1490
	850	**11.8**	**99**	**1530**
4	820	10.3	96	1830
	803	**9.8**	**96**	**2000**
5	783	9.0	95	2210
6	750	6.7	100	2570
7	722	4.8	100	2890
	712	**4.1**	**100**	**3000**
	700	**3.5**	**100**	**3140**
8	691	2.8	100	3240
9	662	0.5	100	3580
10	632	–2.0	100	3950
	629	**–2.1**	**100**	**4000**
11	604	–3.5	100	4320
12	576	–5.9	100	4690
	564	**–7.5**	**100**	**5000**
13	550	–7.7	100	5050
14	523	–10.2	100	5440
	500	**–12.3**	**100**	**5790**
15	495	–13.0	100	5870
	486	**–13.6**	**100**	**6000**
16	473	–15.3	100	6220
17	450	–16.8	97	6590
18	428	–19.2	82	6960
	426	**–19.3**	**81**	**7000**
19	404	–22.2	75	7390
20	380	–26.1	70	7840
	372	**–27.3**	**71**	**8000**
21	355	–29.7	73	8320
22	330	–33.6	73	8850
	323	**–34.9**	**73**	**9000**
23	307	–38.6	73	9360
	300	**–40.0**	**73**	**9500**
24	288	–42.9	—	9800
	279	**–44.5**	—	**10000**
25	269	–46.5	—	10240
26	255	–50.1	—	10590
27	**240**	**–52.6**	—	**11000**
28	226	–54.6	—	11380
29	211	–55.8	—	11820
	205	**–57.0**	—	**12000**
	200	**–57.9**	—	**12140**
30	198	–58.4	—	12220
	23. VI. 1951 06.00 h HEC			
	1000	—	—	**110**
0	954.2	15.1	95	493
1	921	12.7	90	800
	900	**11.6**	**90**	**1000**
2	881	10.3	90	1170
	850	**8.7**	**92**	**1480**
3	844	8.3	93	1530
4	814	7.3	95	1820
	797	**6.5**	**98**	**2000**
5	783	5.9	100	2140
6	751	4.7	100	2490
7	721	2.1	97	2810
	706	**1.0**	**97**	**3000**
	700	**0.7**	**97**	**3060**
8	690	**0.0**	97	3170
9	655	–3.0	95	3580
10	625	–6.9	95	3960
	622	**–7.2**	**95**	**4000**
	608	–8.1	95	4170
11	593	–7.3	79	4360
12	563	–9.0	38	4770
	547	**–10.4**	**33**	**5000**
13	536	–11.6	30	5160
14	509	–14.6	28	5550
	500	**–15.6**	**27**	**5680**
	479	**–17.9**	**26**	**6000**
15	477	–18.0	25	6040
16	449	–20.8	25	6490
17	420	–23.6	25	6970
	419	**–23.7**	**25**	**7000**
18	394	–26.7	25	7440
19	367	–30.1	25	7950
	365	**–36.4**	**25**	**8000**
20	340	–33.3	25	8490
21	321	–37.1	25	8900
	316	**–38.0**	—	**9000**
22	302	–40.7	—	9320
	300	**–40.9**	—	**9360**
23	282	–44.4	—	9780
	273	**–46.4**	—	**10000**
24	262	–48.6	—	10270
25	242	–51.1	—	10790
	234	**–52.6**	—	**11000**
26	226	–54.5	—	11240
27	209	–56.5	—	11730
	200	**–55.7**	—	**12000**
28	194	–55.1	—	12200
29	181	–54.2	—	12650
	171	**–53.3**	—	**13000**
30	166	–53.1	—	13210
	25. VI. 1951 06.10 h HEC			
	1000	—	—	**120**
0	956.4	10.2	100	493
1	907	7.3	100	930
	900	**6.7**	**100**	**1000**
2	869	4.6	100	1280
	850	**3.3**	**100**	**1465**
3	830	2.0	100	1650
4	**795**	**–0.7**	**100**	**2000**
5	762	–2.9	100	2330
6	723	–4.9	100	2750
	701	**–6.7**	**100**	**3000**
	700	**–6.9**	**100**	**3010**
7	693	–7.5	100	3080
8	661	–10.1	100	3640
9	625	–12.9	100	3870
	615	**–13.5**	**100**	**4000**
10	593	–15.4	100	4280
11	559	–17.9	100	4720
	539	**–20.3**	**98**	**5000**
12	529	–21.0	97	5130
13	**500**	**–24.0**	**90**	**5550**
14	474	–27.3	88	5930
	470	**–27.9**	**86**	**6000**
15	444	–30.6	80	6400
16	411	–33.9	79	6940
	408	**–34.6**	**79**	**7000**
17	386	–37.9	79	7380
18	359	–42.1	—	7870
	353	**–43.2**	—	**8000**
19	336	–45.9	—	8320
20	313	–50.1	—	8780
	303	**–49.5**	—	**9000**
	300	**–49.2**	—	**9065**
21	287	–48.3	—	9360
22	267	–45.0	—	9820
	250	**–45.4**	—	**10000**
23	247	–46.1	—	10350
24	231	–45.1	—	10790
	224	**–45.5**	—	**11000**
25	213	–46.0	—	11330
	200	**–46.0**	—	**11760**
26	197	–46.0	—	11850
	26. VI. 1951 06.10 h HEC			
	1000	—	—	**155**
0	961.2	10.8	100	493
1	925	9.6	83	810
	904	**8.1**	**85**	**1000**
2	883	6.7	87	1200
	850	**5.1**	**90**	**1510**
3	839	4.8	94	1610
	800	**2.0**	**98**	**2000**
4	797	1.8	100	2020
5	761	–2.1	100	2400
6	733	–2.5	93	2690
	706	**–4.5**	**100**	**3000**
7	**700**	**–4.7**	**100**	**3060**
8	665	–7.6	85	3460
9	629	–9.6	84	3900
	621	**–9.9**	**84**	**4000**
10	597	–10.5	83	4290
11	562	–12.5	69	4760
	545	**–14.2**	**65**	**5000**
12	536	–15.1	63	5120
13	**500**	**–17.9**	**60**	**5640**
	477	**–20.2**	**57**	**6000**
14	474	–20.5	57	6040
15	447	–23.6	54	6470
16	419	–26.6	50	6940
	416	**–27.3**	—	**7000**
17	394	–29.8	—	7380
18	370	–32.8	—	7830
	361	**–34.2**	—	**8000**
19	344	–37.1	—	8340
20	321	–41.1	—	8810
	312	**–42.8**	—	**9000**
21	**300**	**–45.3**	—	**9260**
22	279	–49.5	—	9740
	268	**–51.0**	—	**10000**
23	260	–52.3	—	10220
	27. VI. 1951 06.10 h HEC			
	1000	—	—	**190**
0	964.7	10.3	100	493
1	920	8.3	94	885
	907	**7.8**	**90**	**1000**
2	887	6.6	85	1190
3	857	3.9	91	1470
	850	**3.3**	**91**	**1535**
4	831	1.9	91	1710
5	805	–0.3	100	1950
	802	**–0.6**	**100**	**2000**
6	780	–1.9	100	2210
7	753	–3.5	100	2500
8	727	–5.0	100	2770
	707	**–6.6**	**100**	**3000**
9	**700**	**–7.1**	**100**	**3075**
10	681	–7.1	100	3290
11	658	–7.9	95	3560
12	634	–9.1	55	3840
	622	**–9.5**	**45**	**4000**
13	610	–9.9	36	4140
14	586	–11.8	44	4460
15	563	–12.7	38	4750
	545	**–13.1**	**36**	**5000**
16	538	–13.5	35	5100

Min.	PPP	TTT	UU	H m. geop.
17	516	–15.4	34	5420
	500	**–16.7**	**34**	**5655**
18	491	–17.4	34	5780
	478	**–18.5**	**35**	**6000**
19	471	–19.3	35	6100
20	451	–21.5	35	6420
21	433	–24.1	35	6710
22	**415**	**–27.0**	**35**	**7000**
23	396	–29.4	35	7350
24	376	–33.0	36	7730
	362	**–34.9**	**36**	**8000**
25	357	–35.4	36	8090
26	340	–38.9	36	8440
27	319	–42.1	—	8870
	313	**–43.0**	—	**9000**
28	**300**	**–44.7**	—	**9280**

28. VI. 1951 06.10 h HEC

	1000	—	—	**175**
0	963.3	13.9	86	493
1	917	12.3	80	900
	907	**11.6**	**82**	**1000**
2	875	9.7	83	1290
	850	**7.8**	**92**	**1540**
3	840	7.1	96	1630
4	**803**	**4.7**	**100**	**2000**
5	770	3.9	97	2310
6	735	0.0	93	2720
	710	**–1.2**	**88**	**3000**
7	**700**	**–1.8**	**85**	**3110**
8	671	–4.7	90	3440
9	637	–7.1	80	3850
	625	**–7.7**	**70**	**4000**
10	601	–8.9	60	4310
11	563	–11.0	80	4800
	549	**–12.3**	**77**	**5000**
12	531	–13.7	74	5250
13	**500**	**–14.9**	**66**	**5710**
	482	**–17.8**	**70**	**6000**
14	472	–19.1	74	6140
15	444	–22.4	74	6590
	420	**–25.4**	**71**	**7000**
16	418	–25.7	70	7030
17	391	–28.3	70	7510
18	**366**	**–33.5**	**70**	**8000**
19	340	–38.1	67	8500
20	317	–42.0	67	8970
	316	**–42.3**	—	**9000**
	300	**–45.1**	—	**9350**
21	295	–45.9	—	9460
22	274	–49.7	—	9940
	272	**–50.2**	—	**10000**
23	249	–54.5	—	10570
	233	**–57.5**	—	**11000**
24	229	–58.2	—	11090
25	210	–61.7	—	11630
	200	**–57.0**	—	**11940**
	198	–56.4	—	12000
26	195	–54.9	—	12100
27	182	–52.7	—	12550

29. VI. 1951 06.10 h HEC

	1000	—	—	**180**
0	963.7	11.0	100	493
1	929	10.7	88	790
	907	**9.7**	**86**	**1000**
2	889	8.8	84	1160
	850	**6.0**	**80**	**1540**
3	847	5.6	79	1560
4	**803**	**2.5**	**80**	**2000**
5	764	–0.5	80	2390
6	720	–3.3	83	2870
	708	**–4.2**	**78**	**3000**
	700	**–4.7**	**75**	**3090**
7	683	–6.1	64	3280
8	646	–7.2	50	3710
	623	**–7.2**	**46**	**4000**
9	613	–7.2	43	4120
10	580	–10.2	42	4550
11	550	–13.0	40	4960
	547	**–13.3**	**40**	**5000**
12	513	–16.0	39	5490
	500	**–16.6**	**41**	**5685**
13	482	–18.0	42	5950
	479	**–18.3**	**43**	**6000**
14	454	–21.3	44	6390
15	425	–25.6	44	6880
	418	**–26.6**	**44**	**7000**
16	400	–29.2	44	7310
17	373	–33.7	44	7800
	363	**–35.9**	**44**	**8000**
18	347	–38.6	44	8330
19	321	–43.2	—	8850
	314	**–44.4**	—	**9000**
	300	**–46.1**	—	**9300**
20	294	–46.8	—	9430
21	275	–50.2	—	9870
	270	**–51.2**	—	**10000**
22	251	–54.2	—	10470
	231	–56.3	—	11000
23	228	–56.4	—	11080

30. VI. 1951 06.05 h HEC

	1000	—	—	**190**
0	963.1	10.0	100	493
1	911	10.0	100	960
	909	**10.0**	**90**	**1000**
2	871	10.0	83	1340
	850	**8.4**	**70**	**1560**
3	837	7.2	63	1670
4	**803**	**4.1**	**74**	**2000**
5	770	1.5	90	2350
6	736	–0.9	65	2720
	711	**–2.7**	**72**	**3000**
7	708	–3.0	74	3030
	700	**–3.0**	**62**	**3120**
8	679	–3.5	39	3350
9	649	–5.2	30	3720
	626	**–6.7**	**27**	**4000**
10	616	–7.5	25	4120
11	584	–10.1	20	4530
12	**550**	**–12.8**	**20**	**5000**
13	523	–15.3	25	5380
	500	**–17.0**	**29**	**5720**
14	494	–17.6	30	5810
	482	**–18.7**	**32**	**6000**
15	465	–20.8	34	6260
16	436	–23.7	39	6740
	420	**–26.4**	**40**	**7000**
17	414	–27.5	41	7110
18	389	–32.1	45	7550
19	366	–35.7	55	7970
	365	**–35.8**	**56**	**8000**
20	341	–39.0	65	8470
21	318	–42.9	—	8950
	315	**–43.3**	—	**9000**
	300	**–45.8**	—	**9340**
22	296	–46.5	—	9430
23	274	–49.5	—	9940
	271	**–49.8**	—	**10000**
24	254	–52.5	—	10430
25	237	–52.5	—	10880
	233	**–52.5**	—	**11000**
26	221	–52.5	—	11330
27	**200**	**–52.0**	—	**11970**

2. VII. 1951 06.05 h HEC

	1000	—	—	**200**
0	964.9	10.4	100	493
1	918	12.6	87	910
	909	**12.5**	**84**	**1000**
2	873	11.8	76	1330
	850	**10.7**	**73**	**1570**
3	832	9.8	70	1740
	806	**8.7**	**65**	**2000**
4	791	8.1	62	2150
5	753	6.4	42	2560
6	725	4.9	23	2880
	714	**4.2**	**22**	**3000**
	700	**3.0**	**21**	**3160**
7	690	2.0	20	3270
8	655	**–0.1**	23	3700
	630	**–2.5**	**23**	**4000**
9	621	–3.6	23	4110
10	588	–6.1	23	4550
11	**555**	**–9.8**	**23**	**5000**
12	523	–11.9	23	5450
	500	**–13.6**	**23**	**5800**
13	494	–14.1	23	5880
	487	**–15.1**	**23**	**6000**
14	466	–17.7	23	6330
15	440	–20.5	28	6750
	425	**–22.7**	**28**	**7000**
16	416	–24.3	28	7160
17	391	–28.1	28	7620
	370	**–30.3**	**28**	**8000**
18	361	–31.5	28	8180
19	333	–36.4	28	8750
	321	**–38.3**	—	**9000**
20	305	–40.8	—	9350
	300	**–41.7**	—	**9460**
21	283	–45.1	—	9860
	277	**–46.0**	—	**10000**
22	261	–48.7	—	10390
	238	**–52.5**	—	**11000**
23	237	–52.6	—	11030
24	219	–56.1	—	11530

2. VII. 1951 16.50 h HEC

	1000	—	—	**180**
0	963.7	24.8	20	493
1	930	18.7	20	810
	910	**16.7**	**20**	**1000**
2	893	14.8	20	1150
3	857	11.3	20	1500
	850	**10.9**	**20**	**1570**
4	817	8.7	20	1890
	807	**7.1**	**20**	**2000**
5	777	6.1	20	2310
6	731	2.6	18	2800
	713	**1.7**	**18**	**3000**
7	**700**	**0.7**	**18**	**3140**
8	660	–1.5	18	3620
9	**629**	**–3.7**	**18**	**4000**
10	597	–5.9	18	4420
11	561	–7.4	18	4900
	554	**–7.9**	**18**	**5000**
12	527	–9.9	18	5380
	500	**–12.5**	**18**	**5790**
13	496	–13.0	18	5850
	486	**–14.0**	**18**	**6000**
14	468	–16.4	18	6280
15	441	–19.2	18	6740
	425	**–20.9**	**18**	**7000**
16	413	–22.3	18	7220
17	389	–25.3	18	7650
	370	**–27.7**	**18**	**8000**
18	363	–28.9	18	8150
19	339	–32.2	20	8640
	322	**–35.6**	**21**	**9000**
20	351	–37.0	22	9150
	300	**–40.2**	—	**9480**
21	291	–42.3	—	9700
	278	**–44.3**	—	**10000**
22	273	–44.9	—	10130
23	251	–49.0	—	10680
	239	**–51.0**	—	**11000**
24	231	–52.6	—	11220
25	211	–56.4	—	11800
	204	**–58.2**	—	**12000**
	200	**–59.3**	—	**12120**
26	199	–59.9	—	12170
27	181	–59.9	—	12750
	174	**–58.3**	—	**13000**
28	167	–57.2	—	13260

3. VII. 1951 06.05 h HEC

	1000	—	—	**200**
0	964.6	10.6	95	493
1	913	13.7	84	950
	909	**13.7**	**84**	**1000**
2	867	12.9	84	1390
	850	**11.5**	**76**	**1570**
3	829	10.4	67	1770
	807	**8.9**	**60**	**2000**
4	794	8.4	55	2120
5	756	6.8	25	2540
6	719	5.7	25	2940
	714	**5.3**	**25**	**3000**
	700	**4.4**	**25**	**3170**
7	684	3.0	25	3340
8	652	0.8	25	3730
	631	**–0.4**	**25**	**4000**
9	619	–1.2	25	4150
10	587	–3.3	20	4580
	556	**–5.4**	**20**	**5000**
11	554	–5.6	20	5030
12	525	–7.7	20	5450
	500	**–9.5**	**20**	**5830**
	497	–9.8	20	5870
	489	**–10.6**	**20**	**6000**
13	469	–13.5	20	6370
14	442	16.8	20	6770
15	**419**	**–17.2**	**25**	**7000**
16	417	–18.5	26	7200
17	390	21.5	32	7700
	375	**–23.2**	**36**	**8000**
18	363	–24.9	40	8220
19	339	–27.6	40	8730
	326	**–29.5**	**38**	**9000**
20	317	30.7	37	9210
	300	**–34.2**	**35**	**9600**
21	294	–35.6	34	9740
	283	**–37.4**	**34**	**10000**
22	274	–39.0	34	10220
23	256	–43.2	—	10690
	241	**–46.0**	—	**11000**
	237	47.8	—	11200
25	220	–52.2	—	11700
	209	**–54.9**	—	**12000**
26	204	–56.2	—	12180
	200	**–57.0**	—	**12290**
27	188	–59.3	—	12690

4. VII. 1951 06.00 h HEC

	1000	—	—	**170**
0	960.7	12.1	100	493
1	923	15.6	82	830
	906	**15.0**	**80**	**1000**
2	884	14.0	76	1200
	850	**12.1**	**92**	**1540**
3	843	11.5	95	1590
	805	**8.9**	**68**	**2000**
4	799	8.7	63	2040
5	764	7.8	20	2410
6	732	4.6	25	2770
	712	**3.7**	**20**	**3000**
7	**700**	**3.0**	**17**	**3130**
8	669	1.1	16	3500
9	636	**–0.2**	16	3900
	629	**–0.5**	**16**	**4000**
10	607	–1.9	16	4270
11	578	–4.0	16	4660
	555	**–6.8**	**16**	**5000**
12	546	–7.8	16	5110
13	516	–10.8	16	5540
	500	**–12.8**	**16**	**5800**
14	491	–14.0	16	5920
	487	**–14.3**	**16**	**6000**
15	464	–17.4	16	6350
16	436	–21.0	16	6820
	426	**–22.0**	**16**	**7000**
17	410	–23.7	16	7280
18	382	–29.1	16	7780
	371	**–30.5**	**16**	**8000**
19	354	–32.7	16	8320
20	329	–36.3	16	8840
	321	**–37.4**	**16**	**9000**
21	306	–40.3	—	9350
	300	**–41.4**	—	**9480**
22	283	–45.3	—	9870
	277	**–46.3**	—	**10000**
23	261	–50.3	—	10410

5. VII. 1951 06.10 h HEC

	1000	—	—	**130**
0	957.3	15.8	90	493

Min.	PPP	TTT	UU	H m. geop.
1	922	14.9	83	810
	904	**14.2**	**78**	**1000**
2	887	13.3	71	1140
3	**850**	**11.1**	**90**	**1500**
4	820	8.6	90	1800
	802	**7.3**	**84**	**2000**
5	789	6.3	78	2120
6	761	4.7	50	2420
7	727	2.8	39	2780
	709	**1.6**	**35**	**3000**
8	**700**	**0.8**	**33**	**3080**
9	674	-1.3	39	3390
10	648	-3.7	48	3700
	625	**-6.0**	**55**	**4000**
11	623	6.3	57	4020
12	594	-8.4	57	4390
13	563	10.5	90	4800
	550	**-11.3**	**86**	**5000**
14	532	12.6	80	5240
15	**500**	**-14.3**	**35**	**5700**
	482	**-15.2**	**25**	**6000**
16	473	16.0	20	6130
17	449	18.0	35	6520
18	**421**	**-20.7**	**50**	**7000**
19	397	22.6	38	7440
20	373	26.0	31	7890
	368	**-26.8**	**31**	**8000**
21	349	30.0	31	8380
22	328	-33.7	36	8810
	319	**-35.2**	**37**	**9000**
23	308	37.5	38	9250
	300	**-39.1**		**9430**
24	287	-42.7		9740
	276	**-45.1**		**10000**
25	267	47.0		10230
26	249	-50.5	—	10680
	237	**-52.3**		**11000**
27	229	53.7	—	11230
28	213	-56.1		11690
	203	**-56.1**	—	**12000**
29	**200**	**-56.5**	—	**12090**
30	195	-56.5	—	12580

6. VII. 1951 06.05 h HEC

	1000	—	—	**180**
0	961.6	10.0	95	493
1	921	9.8	86	850
	908	**9.6**	**88**	**1000**
2	878	8.5	90	1250
	850	**7.5**	**88**	**1540**
3	837	6.9	86	1650
	804	**4.9**	**86**	**2000**
4	800	4.6	86	2020
5	763	2.4	80	2410
	753	**1.3**	**73**	**2520**
6	727	2.2	59	2800
	714	**2.7**	**54**	**2940**
	710	**2.6**	**53**	**3000**
	700	**1.8**	**51**	**3120**
7	689	-0.9	49	3230
8	653	-1.1	40	3660
	627	**-2.8**	**38**	**4000**
9	617	-3.5	36	4120
10	589	-4.9	34	4480
11	558	-7.6	35	4890
	552	**-8.1**	**35**	**5000**
12	530	-10.7	35	5300
13	**500**	**-13.9**	**35**	**5640**
	484	**-14.9**	**36**	**6000**
14	473	-15.6	36	6170
15	448	-17.5	38	6580
	424	**-20.5**	**38**	**7000**
16	422	-20.8	38	7025
17	397	-24.2	38	7480
18	374	-28.5	38	7910
	370	**-29.2**	**38**	**8000**
19	349	-32.6	38	8410
20	326	-36.1	38	8880
	320	**-36.8**	**38**	**9000**
21	302	-39.9	38	9410
	300	**-40.0**		**9460**
22	281	-42.9	—	9900
	277	**-43.6**	—	**10000**
23	260	-47.5	—	10420
24	239	-49.6	—	10970
	238	**-49.8**	—	**11000**
25	221	-53.1	—	11490
	204	**-56.4**	—	**12000**
26	203	-56.6	—	12030
	200	**-57.3**	—	**12120**

7. VII. 1951 06.00 h HEC

	1000	—	—	**195**
0	962.6	10.9	100	493
1	922	13.1	75	860
	909	**13.1**	**77**	**1000**
2	884	12.6	83	1210
	850	**11.1**	**80**	**1560**
3	843	10.9	79	1600
4	807	9.7	59	1970
	806	**9.7**	**58**	**2000**
5	766	8.1	25	2400
6	736	6.3	20	2730
	714	**5.1**	**19**	**3000**
7	705	4.2	18	3080
	700	**3.8**	**18**	**3160**
8	671	1.1	18	3480
9	636	-1.4	27	3910
	630	**-1.7**	**29**	**4000**
10	603	-3.7	34	4330
11	569	-6.0	44	4790
	555	**-7.8**	**42**	**5000**
12	534	-9.3	38	5280
13	504	-12.5	33	5730
	500	**-13.0**	**33**	**5800**
	487	**-14.2**	**33**	**6000**
14	468	-15.9	33	6290
15	437	-19.0	28	6800
	426	**-20.0**	**28**	**7000**
16	408	-21.9	28	7310
17	383	-25.3	32	7770
	372	**-27.0**	**35**	**8000**
18	357	-29.1	40	8280
19	331	-33.8	47	8830
	323	**-35.5**	**48**	**9000**
20	309	-38.6	49	9300
	300	**-40.0**	**49**	**9500**
21	289	-42.3	—	9750
	279	**-43.8**	—	**10000**
22	267	-46.0	—	10290
23	246	-50.3	—	10840
	240	**-51.2**	—	**11000**
24	228	-53.6	—	11380
25	212	-56.2	—	11790

9. VII. 1951 06.05 h HEC

	1000	—	—	**115**
0	956.8	15.9	100	493
1	919	13.6	100	820
	901	**12.5**	**100**	**1000**
2	882	11.6	100	1170
3	**850**	**9.0**	**100**	**1490**
4	813	6.9	100	1840
	799	**5.8**	**100**	**2000**
5	773	4.4	100	2260
6	734	1.6	100	2690
	706	**-0.1**	**100**	**3000**
7	**700**	**-0.3**	**100**	**3065**
8	668	-2.4	100	3420
9	635	-4.7	100	3840
	622	**-5.0**	**100**	**4000**
10	601	-6.9	100	4260
11	567	-9.3	100	4710
	547	**-11.0**	**100**	**5000**
12	536	-11.7	100	5140
13	510	-14.3	100	5510
	500	**-15.7**	**100**	**5685**
14	488	-17.1	100	5850
	479	**-18.3**	**100**	**6000**
15	461	-20.4	100	6280
16	436	-23.0	100	6690
	418	-25.2	80	7000
17	408	-26.2	76	7160
18	381	-29.8	64	7660
	364	**-33.0**	**61**	**8000**
19	356	-34.6	60	8150
20	330	-38.9	60	8660
	315	**-41.6**	—	**9000**
21	308	-42.7	—	9140
	300	**-43.7**	—	**9320**
22	285	-46.0	—	9650
	271	**-48.4**	—	**10000**
23	265	-49.3	—	10140
24	244	-52.5	—	10620
	232	**-53.0**	—	**11000**
25	227	-53.3	—	11130
26	211	-53.3	—	11620

10. VII. 1951 06.10 h HEC

	1000	—	—	**150**
0	960.4	12.5	100	493
1	915	14.3	100	900
	904	**14.0**	**80**	**1000**
2	884	13.0	68	1180
3	**850**	**11.7**	**59**	**1520**
4	820	9.7	55	1810
	803	**9.2**	**55**	**2000**
5	780	8.7	55	2220
6	747	6.8	75	2580
7	713	5.5	60	2960
	711	**5.3**	**60**	**3000**
	700	**5.0**	**60**	**3120**
8	680	4.0	60	3340
9	646	1.7	73	3760
	628	**0.4**	**65**	**4000**
10	610	-0.4	57	4230
11	577	-2.4	57	4660
	554	**-4.4**	**57**	**5000**
12	550	-4.7	57	5050
13	520	-6.7	70	5490
	500	**-8.6**	**70**	**5790**

11. VII. 1951 06.10 h HEC

	1000	—	—	**130**
0	958.3	16.0	95	493
1	919	18.6	85	860
	903	**19.1**	**82**	**1000**
2	891	17.7	78	1110
3	861	16.5	75	1400
	850	**16.0**	**72**	**1520**
4	835	15.6	70	1660
5	805	14.0	73	1970
	803	**13.6**	**74**	**2000**
6	769	11.3	77	2360
7	741	8.3	87	2670
8	**711**	**6.0**	**95**	**3000**
	700	**4.9**	**91**	**3140**
9	687	3.6	87	3290
10	660	1.2	84	3620
11	633	0.0	70	3940
	629	**-0.5**	**70**	**4000**
12	605	-2.5	70	4310
13	574	-4.7	70	4720
	555	**-6.3**	**70**	**5000**
14	547	-7.0	70	5110
15	518	-9.1	63	5520
	500	**-10.5**	**61**	**5800**
16	493	-10.7	60	5910
	487	**-11.6**	**58**	**6000**
17	469	-12.8	55	6280
18	445	-16.1	55	6680
	421	**-18.2**	**64**	**7000**
19	420	-19.1	65	7120
20	396	-22.0	55	7540
21	**373**	**-25.6**	**50**	**8000**
22	347	-29.8	50	8500
23	325	-34.2	52	8960
	324	**-34.5**	**52**	**9000**
24	**300**	**-37.4**	**52**	**9520**
	280	**-40.6**	—	**10000**
25	274	-41.2	—	10150
26	251	-45.7	—	10740
	241	-48.3	—	11000
27	232	-50.3	—	11250
28	212	-53.7	—	11830
	207	**-54.8**	—	**12000**
	200	**-56.0**	—	**12200**
29	197	-56.5	—	12300
30	183	-59.0	—	12760
	176	**-58.8**	—	**13000**
31	169	-58.4	—	13260

12. VII. 1951 06.15 h HEC

	1000	—	—	**165**
0	962.4	16.0	100	493
	907	**12.5**	**75**	**1000**
1	900	12.1	68	1060
2	862	9.3	68	1410
	850	**8.6**	**68**	**1535**
3	825	7.3	68	1770
	803	**6.6**	**85**	**2000**
4	787	5.9	100	2160
5	751	2.9	100	2550
6	711	1.4	92	2970
	710	**1.3**	**91**	**3000**
	700	**-0.2**	**88**	**3120**
7	678	-2.5	85	3360
8	645	-2.5	66	3760
	626	**-3.3**	**53**	**4000**
9	611	-3.9	40	4180
10	578	-6.9	39	4630
	551	**-9.7**	**39**	**5000**
11	547	-10.2	39	5050
12	514	-13.3	38	5530
	500	**-14.5**	**38**	**5740**
13	**481**	**-15.7**	**37**	**6000**
14	454	-19.3	36	6450
15	427	-23.1	35	6900
	422	**-24.2**	**35**	**7000**
16	401	27.1	34	7370
17	371	-31.6	33	7910
	367	**-32.6**	**33**	**8000**
18	346	-36.0	33	8420
19	322	-41.0	—	8910
	318	**-42.6**	—	**9000**
20	**300**	**-45.0**	—	**9380**
21	278	-49.7	—	9880
	273	**-50.8**	—	**10000**
22	255	-54.1	—	10440
	234	**-57.2**	—	**11000**
23	232	-57.5	—	11050
24	212	-57.5	—	11660
	200	**-55.4**	—	**11980**
	199	**-55.7**	—	**12000**
25	193	-54.9	—	12200

13. VII. 1951 06.15 h HEC

	1000	—	—	**170**
0	962.8	16.1	100	493
1	921	16.1	86	860
	907	**15.7**	**84**	**1000**
2	886	15.3	82	1190
3	**850**	**13.0**	**78**	**1550**
4	811	10.6	74	1930
	806	**9.0**	**80**	**2000**
5	770	7.2	100	2360
6	730	3.6	100	2800
	713	**1.7**	**85**	**3000**
7	**700**	**0.5**	**76**	**3150**
8	665	-2.5	100	3550
9	635	-4.8	91	3920
	629	**-5.3**	**70**	**4000**
10	605	-7.0	39	4290
11	575	-8.7	32	4670
	553	**-11.1**	**29**	**5000**
12	541	-12.1	28	5160
13	509	-14.3	26	5620
	500	**-15.0**	**28**	**5760**
	480	**-16.8**	**33**	**6000**
14	475	-18.0	35	6150
15	449	-22.0	38	6560
16	**421**	**-25.9**	**35**	**7000**
17	393	-28.0	35	7530
18	**366**	**-32.6**	**39**	**8000**
19	341	-37.3	39	8520

Min.	PPP	TTT	UU	H m. geop.
20	**317**	**–12.0**	—	**9000**
	300	**–45.5**	—	**9400**
21	296	–46.6	—	9480
22	**273**	**–50.9**	—	**10000**
23	251	–55.6	—	10550
	234	**–59.2**	—	**11000**
24	231	–59.5	—	11080
25	213	–56.8	—	11580
26	**200**	**–55.8**	—	**11990**
	14. VII. 1951 06.10 h HEC			
	1000	—	—	**165**
0	961.9	14.8	100	493
1	923	12.9	100	830
	906	**11.2**	**100**	**1000**
2	899	10.9	100	1060
3	877	9.5	100	1270
4	855	8.5	100	1480
	850	**8.5**	**100**	**1530**
5	833	8.5	100	1690
6	805	7.2	100	1970
	802	**6.9**	**100**	**2000**
7	773	5.3	100	2300
8	745	3.5	100	2600
9	718	1.3	100	2900
	710	**0.4**	**100**	**3000**
	700	**–0.2**	**100**	**3115**
10	694	–0.7	100	3180
11	673	–2.7	100	3480
12	646	–4.9	100	3750
	625	**–6.1**	**100**	**4000**
13	621	–6.3	100	4050
14	596	–7.9	100	4360
15	571	–9.9	100	4690
	550	**–11.7**	**97**	**5000**
16	546	–12.1	96	5040
17	525	–14.1	100	5340
18	**500**	**–15.7**	**93**	**5720**
19	483	–17.7	81	5970
	482	**–18.1**	**80**	**6000**
20	463	–19.9	68	6280
21	444	–22.0	66	6600
22	425	–24.4	59	6920
	420	**–25.0**	**57**	**7000**
23	404	–26.7	53	7280
24	384	–29.3	60	7650
	365	**–32.0**	**52**	**8000**
25	362	–32.4	50	8050
26	344	–35.1	44	8420
27	328	–37.6	41	8750
	316	**–40.0**	**39**	**9000**
28	308	–41.0	37	9190
	300	**–42.6**	—	**9370**
29	290	–44.3	—	9590
	273	**–46.9**	—	**10000**
30	271	–47.0	—	10030
31	252	49.8	—	10500
	234	**–52.0**	—	**11000**
32	231	–52.3	—	11080
33	220	–55.1	—	11380
34	209	–57.1	—	11720
35	**200**	**–57.1**	—	**12000**
36	184	–55.4	—	12520
	171	**–51.6**	—	**13000**
37	170	–51.1	—	13030
	16. VII. 1951 06.15 h HEC			
	1000	—	—	**160**
0	961	12.8	100	493
1	926	9.7	100	800
	905	**8.2**	**100**	**1000**
2	891	7.5	100	1130
3	**850**	**5.5**	**100**	**1510**
4	812	3.7	100	1880
	801	**3.1**	**100**	**2000**
5	779	1.9	100	2230
6	749	–0.3	100	2530
7	721	–2.1	100	2830
	706	**–2.9**	**100**	**3000**
	700	**–3.1**	**100**	**3070**
8	694	–3.5	100	3150
9	664	–4.9	100	3480
10	637	–6.1	100	3810
	622	**–7.6**	**100**	**4000**
11	611	–8.5	100	4140
12	589	–9.8	100	4400
13	562	–11.3	95	4770
	546	**–12.3**	**94**	**5000**
14	537	–12.7	93	5140
15	513	–14.9	90	5470
	500	**–15.9**	**90**	**5670**
16	490	–16.8	90	5800
	478	**–17.9**	**90**	**6000**
17	464	–19.0	90	6230
18	442	–21.7	89	6590
19	419	–25.2	88	6960
	418	**–25.7**	**88**	**7000**
20	395	–28.3	88	7390
21	376	–31.8	81	7740
	363	**–33.5**	**78**	**8000**
22	357	–34.1	77	8110
23	338	–36.5	75	8500
24	315	–39.1	74	8980
	314	**–39.3**	**74**	**9000**
	300	**–41.0**	**71**	**9310**
25	291	–41.9	70	9510
	17. VII. 1951 06.05 h HEC			
	1000	—	—	**185**
0	964.3	11.6	95	493
1	929	9.3	100	800
	908	**8.1**	**100**	**1000**
2	889	7.3	100	1160
3	**850**	**5.3**	**100**	**1535**
4	817	3.3	100	1850
	800	**2.3**	**100**	**2000**
5	783	3.0	96	2190
6	745	2.1	91	2600
7	716	1.3	85	2910
	709	**0.8**	**84**	**3000**
	700	**0.4**	**83**	**3105**
8	681	–0.7	81	3320
9	651	–2.9	88	3670
	625	**–4.6**	**85**	**4000**
10	621	–5.0	84	4050
11	587	–6.8	69	4480
12	554	–9.5	78	4940
	550	**–10.0**	**78**	**5000**
13	526	–12.1	82	5330
	500	**–14.5**	**90**	**5730**
14	491	–15.6	92	5860
	483	**–16.2**	**83**	**6000**
15	460	–18.5	70	6350
16	434	–20.7	82	6790
	423	**–22.4**	**84**	**7000**
17	408	–23.8	86	7230
18	383	–27.4	82	7680
	367	**–29.5**	**84**	**8000**
19	360	–30.5	86	8150
20	334	–34.3	83	8670
	318	**–38.4**	**76**	**9000**
21	315	–39.1	74	9070
	300	**–42.2**	—	**9400**
22	293	–43.9	—	9560
	274	**–48.1**	—	**10000**
23	268	–49.5	—	10150
24	246	–54.7	—	10710
	235	**–57.7**	—	**11000**
25	225	–60.5	—	11260
26	**200**	**–62.5**	—	**12000**
27	186	–60.4	—	12450
28	171	–56.1	—	12960
	170	**–56.2**	—	**13000**
29	157	–57.5	—	13500
	18. VII. 1951 06.15 h HEC			
	1000	—	—	**190**
0	964.6	9.3	100	493
1	924	11.5	96	850
	908	**10.8**	**92**	**1000**
2	886	9.8	89	1210
	850	**8.5**	**97**	**1545**
3	846	8.4	99	1570
4	811	7.3	85	1920
	805	**7.5**	**70**	**2000**
5	775	8.3	56	2310
6	743	**7.0**	50	2650
	713	**5.5**	**46**	**3000**
7	710	5.3	45	3030
	700	**4.6**	**43**	**3140**
8	675	3.1	40	3480
9	643	0.5	40	3830
	629	**–0.4**	**40**	**4000**
10	611	–2.0	40	4240
11	584	–4.1	40	4590
12	**553**	**–6.9**	**40**	**5000**
13	523	–10.0	29	5450
14	**500**	**–12.5**	**29**	**5790**
	487	**–13.5**	**29**	**6000**
15	470	–14.8	29	6270
16	449	–17.1	29	6660
	426	**–19.2**	**31**	**7000**
17	423	–19.5	32	7050
18	396	–22.8	66	7580
	372	**–26.5**	**72**	**8000**
19	368	–27.2	75	8070
20	344	–32.0	76	8550
21	**323**	**–35.7**	**78**	**9000**
22	303	–39.6	80	9440
	300	**–40.3**	—	**9500**
23	283	–44.3	—	9900
	279	**–45.1**	—	**10000**
24	261	–48.7	—	10420
25	243	–52.6	—	10900
	239	**–53.5**	—	**11000**
26	227	–56.1	—	11330
27	208	–58.5	—	11890
	204	**–59.2**	—	**12000**
	200	**–59.6**	—	**12130**
	19. VII. 1951 06.15 h HEC			
	1000	—	—	**195**
0	964.9	11.0	100	493
1	919	15.0	92	910
	909	**14.4**	**87**	**1000**
2	881	13.2	81	1260
	850	**11.7**	**60**	**1565**
3	846	11.5	57	1590
4	809	10.3	47	1960
	806	**10.1**	**47**	**2000**
5	771	8.5	45	2370
6	733	6.1	45	2770
	714	**4.6**	**45**	**3000**
7	**700**	**3.5**	**45**	**3165**
8	661	1.5	45	3610
	631	**–0.1**	**45**	**4000**
9	625	–0.4	45	4050
10	587	–2.4	38	4560
11	**533**	**–5.1**	**36**	**5000**
12	525	–7.1	34	5430
	500	**–8.8**	**34**	**5830**
13	492	–9.5	34	5930
	489	**–9.9**	**34**	**6000**
14	466	–12.3	34	6350
15	441	–16.3	34	6770
	429	**–18.0**	**34**	**7000**
16	416	–19.4	34	7200
17	390	–23.1	34	7680
	374	**–26.1**	**34**	**8000**
18	364	28.0	34	8180
19	339	–32.1	34	8680
	325	**–35.0**	**34**	**9000**
20	314	–36.8	34	9220
	300	**–40.6**	—	**9550**
21	293	–42.5	—	9700
	281	**–45.2**	—	**10000**
22	270	–47.1	—	10250
23	249	–51.8	—	10780
	241	**–53.8**	—	**11000**
24	231	–55.8	—	11250
25	213	–59.2	—	11770
	206	**–60.2**	—	**12000**
	200	**–60.7**	—	**12170**
26	195	–61.0	—	12330
	20. VII. 1951 06.10 h HEC			
	1000	—	—	**175**
0	963.1	14.6	100	493
1	921	15.5	98	870
	907	**14.5**	**93**	**1000**
2	887	13.3	90	1180
3	**850**	**11.5**	**100**	**1550**
4	812	8.7	90	1920
	805	**8.7**	**60**	**2000**
5	777	8.7	42	2290
6	744	7.4	34	2660
7	**711**	**5.5**	**40**	**3000**
	700	**4.3**	**42**	**3155**
8	681	2.3	46	3370
9	645	–0.5	60	3810
	630	**–1.9**	**65**	**4000**
10	612	–3.5	70	4210
11	577	–6.1	80	4680
	555	**–6.7**	**58**	**5000**
12	543	–7.0	36	5150
13	518	–8.4	50	5510
	500	**–9.8**	**39**	**5805**
14	491	–10.5	32	5940
	487	**–10.6**	**32**	**6000**
15	461	–13.0	32	6410
16	434	–15.9	46	6870
	427	**–16.7**	**48**	**7000**
17	408	–18.7	52	7300
18	381	–22.6	65	7840
	373	**–24.0**	**68**	**8000**
19	357	–26.3	72	8310
20	331	–29.5	71	8850
	325	**–30.8**	**70**	**9000**
21	309	–33.8	—	9340
	300	**–35.0**	—	**9560**
22	285	–37.7	—	9900
	281	**–38.6**	—	**10000**
23	264	–41.7	—	10430
24	**242**	**–46.5**	—	**11000**
25	221	–51.5	—	11600
	208	**–53.4**	—	**12000**
26	**200**	**–54.5**	—	**12250**
	21. VII. 1951 06.10 h HEC			
	1000	—	—	**190**
0	964.3	11.4	100	493
1	930	14.9	61	790
	908	**13.9**	**70**	**1000**
2	892	13.3	82	1140
3	857	10.7	68	1480
	850	**10.3**	**64**	**1560**
4	819	9.0	52	1860
	806	**8.3**	**47**	**2000**
5	775	7.0	42	2310
6	739	5.1	40	2700
	713	**3.8**	**60**	**3000**
7	704	3.5	67	3090
	700	**3.0**	**65**	**3150**
8	671	1.0	58	3470
9	636	–0.8	58	3900
	629	**–1.2**	**56**	**4000**
10	603	–3.0	50	4330
11	573	–4.5	46	4730
	555	**–5.3**	**45**	**5000**
12	541	–5.8	45	5200
13	513	–8.8	45	5600
	500	**–10.1**	**45**	**5800**
14	**486**	**–11.8**	**45**	**6000**
15	460	–15.2	45	6420
16	433	–18.2	45	6880
	427	**–18.8**	**45**	**7000**
17	408	–21.0	45	7320
18	380	–24.3	45	7850
	372	**–25.2**	**45**	**8000**
	23. VII. 1951 06.05 h HEC			
	1000	—	—	**135**
0	957.4	16.7	70	493
1	921	15.9	75	830
	903	**14.3**	**78**	**1000**
2	882	12.7	82	1190
	850	**10.0**	**89**	**1510**

Min.	PPP	TTT	UU	H m. geop.
3	845	9.7	90	1550
4	808	7.8	97	1920
	801	**7.5**	**98**	**2000**
5	777	6.1	100	2250
6	743	3.2	100	2600
7	**709**	**0.7**	**100**	**3000**
	700	**0.0**	**100**	**3100**
8	678	-1.7	100	3350
9	645	-3.7	61	3750
	625	**-5.2**	**48**	**4000**
10	613	-6.2	32	4140
11	580	-8.3	23	4570
12	**549**	**-9.9**	**18**	**5000**
13	521	-12.3	30	5400
	500	**-14.6**	**45**	**5720**
14	493	-15.5	50	5820
	482	**-16.7**	**61**	**6000**
15	468	-18.2	73	6210
16	441	-20.0	79	6660
	421	**-22.2**	**80**	**7000**
17	413	-23.2	83	7130
18	386	-27.0	87	7630
	366	**-29.7**	**86**	**8000**
19	359	-30.7	85	8150
20	334	-36.1	79	8650
	317	**-38.2**	**80**	**9000**
21	314	-38.7	80	9090
	300	**-41.6**	—	**9390**
22	291	-43.5	—	9600
	274	**-46.4**	—	**10000**
23	269	-47.4	—	10130
24	246	-51.1	—	10710
	235	**-52.4**	—	**11000**
25	227	-53.5	—	11220
26	209	-51.7	—	11760
	201	**-50.0**	—	**12000**
	200	**-50.3**	—	**12050**
27	192	-49.7	—	12300
28	177	-48.7	—	12850
	173	**-48.7**	—	**13000**
29	165	-48.7	—	13300
30	153	-48.7	—	13800

24. VII. 1951 06.10 h HEC

	1000	—	—	**150**
0	958.9	11.9	100	493
1	912	9.5	100	910
	904	**9.0**	**100**	**1000**
2	873	7.0	100	1270
	850	**5.7**	**100**	**1510**
3	833	4.8	100	1660
	800	**3.0**	**100**	**2000**
4	795	2.6	100	2040
5	759	0.4	100	2420
6	718	-3.0	100	2860
	706	**-3.8**	**100**	**3000**
	700	**-4.2**	**100**	**3070**
7	685	-5.1	100	3230
8	649	-6.9	94	3650
	621	**-8.2**	**69**	**4000**
9	615	-8.5	64	4080
10	580	-10.1	54	4520
	546	**-11.6**	**45**	**5000**
11	544	-11.9	43	5020
12	512	-14.5	34	5480
	500	**-15.7**	**34**	**5670**
13	**479**	**-18.1**	**34**	**6000**
14	449	-20.7	34	6470
15	421	-24.4	34	6920
	418	**-24.7**	**34**	**7000**
16	393	-28.4	35	7430
17	365	-32.5	38	7960
	363	**-32.7**	**38**	**8000**
18	341	-36.5	40	8430
19	318	-40.7	—	8920
	314	**-41.3**	—	**9000**
	300	**-43.8**	—	**9310**
20	293	-45.0	—	9470
21	**270**	**-49.9**	—	**10000**

25. VII. 1951 06.05 h HEC

	1000	—	—	**200**
0	964.2	10.0	100	493
1	930	9.0	100	800
	908	**7.7**	**100**	**1000**
2	884	6.1	100	1220
	850	**3.9**	**100**	**1550**
3	841	3.3	100	1620
4	**801**	**1.0**	**100**	**2000**
5	759	-1.2	100	2450
6	726	-3.5	100	2800
	709	**-4.3**	**100**	**3000**
	700	**-5.1**	**100**	**3100**
7	689	-6.1	100	3220
8	657	-9.2	100	3580
9	**622**	**-13.0**	**100**	**4000**
10	590	-12.3	48	4410
11	554	-14.0	46	4890
	546	**-14.8**	**45**	**5000**
12	516	-17.3	43	5430
	500	**-18.9**	**40**	**5670**
13	484	-20.2	37	5900
	478	**-20.9**	**39**	**6000**
14	454	-23.8	42	6370
15	425	-27.6	38	6860
	416	**-28.7**	**38**	**7000**
16	398	-31.0	38	7320
17	371	-35.1	38	7810
	361	**-37.1**	**38**	**8000**
18	347	-40.0	38	8280
19	321	-43.0	—	8800
	312	**-43.7**	—	**9000**
	300	**-44.7**	—	**9250**
20	295	-45.1	—	9370
21	272	-44.2	—	9920
	267	**-44.2**	—	**10000**
22	254	-44.5	—	10380
23	232	-44.5	—	10970
	231	**-44.5**	—	**11000**
24	214	-44.5	—	11520
	200	**-45.1**	—	**11970**
	199	**-45.2**	—	**12000**
25	197	-45.3	—	12070

26. VII. 1951 06.00 h HEC

	1000	—	—	**210**
0	965.8	9.8	100	493
1	929	10.1	98	810
	909	**8.8**	**99**	**1000**
2	892	7.4	100	1150
3	853	5.9	97	1510
	850	**5.8**	**98**	**1560**
4	813	3.7	100	1910
	805	**3.5**	**98**	**2000**
5	768	1.5	93	2370
6	728	0.2	80	2800
	711	**-0.8**	**80**	**3000**
	700	**-1.4**	**80**	**3120**
7	693	-1.8	80	3190
8	659	-4.3	84	3590
9	628	-6.1	54	3970
	626	**-6.2**	**52**	**4000**
10	592	-8.5	39	4430
11	559	-9.9	35	4880
	550	**-10.8**	**34**	**5000**
12	529	-12.9	32	5300
13	**500**	**-15.5**	**28**	**5720**
	482	**-17.1**	**26**	**6000**
14	475	-17.9	25	6110
15	450	-21.0	25	6510
16	423	-25.1	25	6970
	421	**-25.4**	**26**	**7000**
17	393	-29.4	28	7500
18	**367**	**-30.2**	**38**	**8000**
19	341	-34.6	32	8500
20	**317**	**-37.2**	**32**	**9000**
	300	**-40.3**	—	**9390**
21	294	-41.5	—	9520
	274	**-43.6**	—	**10000**
22	271	-44.1	—	10070
23	252	-46.6	—	10550
	236	**-48.6**	—	**11000**
24	232	-49.0	—	11100
25	215	-49.8	—	11600
	202	**-48.0**	—	**12000**
	200	**-47.6**	—	**12070**
26	197	-47.5	—	12160
27	180	-47.9	—	12770

27. VII. 1951 06.05 h HEC

	1000	—	—	**220**
0	966.0	9.0	100	493
1	932	11.3	100	800
	910	**10.9**	**97**	**1000**
2	899	10.5	95	1090
3	863	9.2	73	1420
	850	**8.6**	**69**	**1570**
4	829	7.6	60	1770
	805	**5.9**	**58**	**2000**
5	791	5.7	57	2150
6	758	3.5	50	2500
7	728	3.3	24	2820
	714	**2.9**	**21**	**3000**
	700	**2.3**	**18**	**3150**
8	694	2.0	17	3210
9	663	-1.1	20	3560
10	**628**	**-3.3**	**36**	**4000**
11	597	-5.0	44	4400
12	568	-6.4	32	4800
	554	**-6.1**	**22**	**5000**
13	540	-6.1	15	5190
14	514	-7.1	15	5570
	500	**-8.4**	**22**	**5800**
15	488	-10.0	28	5980
	487	**-10.0**	**29**	**6000**
16	464	-12.5	31	6370
17	440	-15.5	34	6770
	427	**-17.1**	**36**	**7000**
18	413	-19.0	38	7240
19	389	-23.2	51	7680
	368	**-25.8**	**50**	**8060**
20	366	-27.0	59	8130
21	341	-31.2	40	8640
	324	**-33.1**	**48**	**9000**
22	318	-33.9	50	9150
	300	**-36.5**	**47**	**9540**
23	295	-37.3	46	9650
	281	**-40.0**	**46**	**10000**
24	275	-41.1	—	10140
25	257	-45.1	—	10600
	242	**-47.7**	—	**11000**
26	238	-48.3	—	11100
27	218	-52.1	—	11670
	207	**-55.0**	—	**12000**
28	**200**	**-57.0**	—	**12220**
29	184	-57.7	—	12750
	177	**-59.1**	—	**13000**
30	171	-60.3	—	13200

28. VII. 1951 06.05 h HEC

	1000	—	—	**190**
0	965.6	10.6	100	493
1	921	13.7	100	860
	908	**13.5**	**93**	**1000**
2	883	12.6	85	1220
	850	**11.3**	**75**	**1550**
3	842	10.8	73	1620
4	**803**	**9.7**	**53**	**2000**
5	767	8.3	46	2390
6	733	6.8	47	2770
	713	**5.5**	**52**	**3000**
7	**700**	**4.9**	**54**	**3130**
8	670	2.9	56	3500
9	639	0.0	65	3880
	630	**-0.7**	**67**	**4000**
10	605	-2.5	70	4320
11	573	-4.8	65	4750
	556	**-6.3**	**56**	**5000**
12	544	-7.5	50	5150
13	514	-10.3	47	5590
	500	**-12.0**	**46**	**5810**
14	**487**	**-13.6**	**45**	**6000**
15	458	-17.0	44	6480
16	430	-18.3	44	6940
	427	**-18.6**	**44**	**7000**
17	404	-21.5	44	**7400**
18	381	-25.5	44	7830
	373	**-26.8**	**44**	**8000**
19	356	-29.7	44	8330
20	329	-33.7	44	8810
	324	**-34.8**	**44**	**9000**
21	307	-38.3	44	9360
	300	**-39.4**	**44**	**9530**
22	285	-41.7	—	9870
	280	**-42.4**	—	**10000**
23	262	-45.3	—	10440
	241	**-47.8**	—	**11000**
24	239	-48.1	—	11040
25	219	-50.5	—	11610
	206	**-52.8**	—	**12000**
26	**200**	**-53.9**	—	**12200**
27	189	-57.9	—	12560

30. VII. 1951 06.15 h HEC

	1000	—	—	**155**
0	961.1	14.7	100	493
1	919	18.1	100	880
	906	**17.8**	**100**	**1000**
2	881	17.4	100	1230
	850	**15.9**	**85**	**1555**
3	843	15.7	74	1620
4	**807**	**13.9**	**60**	**2000**
5	771	12.6	44	2370
6	739	10.3	50	2720
	714	**7.7**	**57**	**3000**
7	710	7.3	58	3050
	700	**6.0**	**63**	**3170**
8	677	4.0	68	3440
9	644	0.7	74	3840
	632	**-0.3**	**76**	**4000**
10	614	-1.7	82	4210
11	580	-4.4	88	4660
	556	**-7.2**	**90**	**5000**
12	550	-7.7	90	5090
13	518	-10.8	100	5560
	500	**-12.6**	**97**	**5825**
	489	**-13.9**	**94**	**6000**
14	486	-14.2	93	6040
15	461	-17.0	62	6430
16	441	-19.5	72	6760
	428	**-20.4**	**62**	**7000**
17	415	-21.0	52	7210
18	392	-23.7	55	7630
	373	**-27.2**	**60**	**8000**
19	367	-28.0	61	8110
20	341	-31.9	49	8620
	324	**-35.1**	**48**	**9000**
21	319	-35.9	47	9090
	300	**-38.8**	**47**	**9520**
22	296	-39.1	47	9610
	280	**-41.9**	—	**10000**
23	273	-42.9	—	10160
24	253	-46.7	—	10670
	241	**-48.9**	—	**11000**
25	231	-50.3	—	11260
26	214	-53.7	—	11760
	206	**-54.3**	—	**12000**
	200	**-54.7**	—	**12190**
27	196	-54.9	—	12320
28	183	-55.9	—	12750
	176	**-56.4**	—	**13000**
29	170	-56.8	—	13230

31. VII. 1951 06.10 h HEC

	1000	—	—	**145**
0	960.1	16.0	100	493
1	925	20.0	94	810
	905	**19.4**	**90**	**1000**
2	890	18.9	85	1130
3	853	17.2	81	1510
	850	**17.0**	**80**	**1540**
4	823	15.7	77	1800
	805	**14.4**	**73**	**2000**
5	795	13.7	70	2100
6	761	12.1	62	2470

Min.	PPP	TTT	UU	H m. geop.
7	727	10.1	58	2840
	714	**8.6**	**57**	**3000**
	700	**7.2**	**56**	**3140**
8	697	6.9	55	3150
9	669	3.5	62	3530
10	641	0.5	66	3880
	632	**–0.9**	**68**	**4000**
11	614	–3.1	70	4220
12	585	–6.9	74	4590
	556	**–9.6**	**80**	**5000**
13	553	–9.9	85	5030
14	525	–12.9	76	5430
	500	**–15.3**	**75**	**5810**
15	495	–15.8	74	5870
	487	**–16.3**	**80**	**6000**
16	468	–18.0	86	6300
17	441	–20.2	82	6750
	126	**–22.0**	**78**	**7000**
18	411	–23.3	74	7250
19	385	–26.2	72	7740
	371	**–27.7**	**71**	**8000**
20	360	–29.1	70	8200
21	338	–32.1	67	8660
	322	**–35.2**	**68**	**9000**
22	317	–36.2	69	9110
	300	**–39.4**	**71**	**9490**
23	297	–39.8	72	9560
24	**279**	**–43.7**	—	**10000**
25	260	–48.1	—	10450
26	242	–52.3	—	10920
	239	**–51.9**	—	**11000**
27	223	–56.1	—	11440
28	209	–58.5	—	11850
	204	**–58.1**	—	**12000**
	200	**–57.7**	—	**12130**
29	194	–56.9	—	12310

1. VIII. 1951 06.10 h HEC

	1000	—	—	**145**
0	960.3	16.4	100	493
1	915	17.8	74	900
	905	**17.7**	**72**	**1000**
2	873	17.2	63	1290
	850	**16.3**	**57**	**1540**
3	838	15.7	51	1650
4	**802**	**13.5**	**65**	**2000**
5	765	10.2	69	2410
6	733	7.5	75	2770
	713	**5.2**	**80**	**3000**
7	703	4.8	85	3110
	700	**4.4**	**87**	**3150**
8	669	1.6	95	3500
9	637	–1.5	76	3900
	630	**–2.5**	**70**	**4000**
10	601	5.1	53	4370
11	565	–8.2	47	4850
	555	**–9.3**	**54**	**5000**
12	534	–10.8	65	5280
13	501	–12.9	85	5710
	500	**–13.4**	**83**	**5790**
	487	**–14.8**	**75**	**6000**
14	473	16.0	70	6200
15	445	–19.4	63	6660
	425	**–21.8**	**58**	**7000**
16	415	22.9	54	7180
17	390	–25.4	54	7860
	371	**–28.4**	**54**	**8000**
18	361	–29.4	54	8170
19	340	33.0	49	8600
	322	**–36.8**	**49**	**9000**
20	318	–37.5	49	9070
	300	**–40.5**	—	**9480**
21	296	–41.2	—	9560
	278	**–44.3**	—	**10000**
22	279	44.7	—	10070
23	253	–49.6	—	10610
	238	**–52.8**	—	**11000**
24	235	53.6	—	11090
25	223	55.2	—	11420

Min.	PPP	TTT	UU	H m. geop.
	2. VIII. 1951 06.10 h HEC			
	1000	—	—	**155**
0	961.0	14.9	100	493
1	924	17.0	100	830
	905	**16.4**	**75**	**1000**
2	891	16.1	68	1130
3	854	14.5	49	1490
	850	**14.2**	**53**	**1540**
4	817	11.9	60	1870
	804	**10.4**	**70**	**2000**
5	781	8.3	89	2240
6	735	4.9	100	2730
	712	**2.8**	**100**	**3000**
7	**700**	**2.0**	**100**	**3140**
8	657	–0.6	100	3650
	628	**–3.6**	**100**	**4000**
9	621	–4.2	100	4090
10	590	–6.0	85	4490
11	559	–6.0	40	4910
	553	**–6.8**	**40**	**5000**
12	525	–10.3	40	5400
	500	**–12.9**	**40**	**5780**
13	494	–13.6	40	5860
	486	**–14.5**	**40**	**6000**
14	464	–17.1	40	6340
15	435	–20.2	40	6810
	425	**–22.0**	**41**	**7000**
16	406	–24.5	43	7330
17	379	–27.5	44	7810
	370	**–29.0**	**44**	**8000**
18	356	–30.5	45	8360
19	333	–34.0	40	8730
	321	**–36.1**	**40**	**9000**
20	308	–37.6	40	9270
	300	**–38.6**	**40**	**9470**
21	284	–40.9	—	9830
	277	**–42.5**	—	**10000**
22	265	–44.6	—	10300
23	244	–49.0	—	10840
	238	**–50.1**	—	**11000**
24	223	–52.3	—	11430
25	207	–54.4	—	11900
	204	**–54.2**	—	**12000**
	200	**–53.9**	—	**12140**
26	186	–52.6	—	12590

3. VIII. 1951 06.10 h HEC

	1000	—	—	**165**
0	962.0	15.0	100	493
1	919	15.4	96	880
	907	**15.2**	**91**	**1000**
2	877	14.9	88	1270
	850	**14.2**	**80**	**1545**
3	839	13.7	75	1650
	805	**12.1**	**66**	**2000**
4	800	11.7	64	2060
5	764	8.7	74	2430
6	734	5.6	81	2770
	713	**4.4**	**83**	**3000**
7	**700**	**3.7**	**86**	**3150**
8	664	–0.7	79	3570
9	631	–3.4	76	3970
	630	**–3.6**	**77**	**4000**
10	602	–6.4	81	4390
11	574	–8.1	88	4720
	554	**–9.9**	**86**	**5000**
12	549	–10.4	85	5060
13	519	–13.1	89	5490
	500	**–14.7**	**92**	**5780**
14	491	–15.3	95	5910
	486	**–15.8**	**85**	**6000**
15	467	–17.1	74	6290
16	442	–18.8	56	6700
	425	**–21.0**	**52**	**7000**
17	416	–22.0	50	7150
18	389	–27.3	50	7630
	370	**–29.7**	**50**	**8000**
19	362	–31.7	50	8140
20	334	–35.8	46	8690
	321	**–38.0**	**44**	**9000**
21	309	–39.5	43	9240
	300	**–41.3**	—	**9450**

Min.	PPP	TTT	UU	H m. geop.
22	287	–44.0	—	9760
	277	**–46.0**	—	**10000**
23	261	–48.9	—	10380
24	239	–54.3	—	10940
	237	**–54.8**	—	**11000**
25	211	–60.0	—	11720
26	**202**	**–61.5**	—	**12000**
	200	**–62.1**	—	**12070**

4. VIII. 1951 06.05 h HEC

	1000	—	—	**150**
0	959.6	16.0	100	493
1	924	14.5	100	810
	905	**13.4**	**100**	**1000**
2	889	12.4	100	1140
3	**850**	**10.2**	**100**	**1520**
4	815	8.2	100	1870
	802	**7.5**	**100**	**2000**
5	781	6.2	100	2210
6	744	4.3	100	2620
7	716	2.2	100	2920
	709	**1.7**	**100**	**3000**
	700	**0.9**	**100**	**3110**
8	686	–0.4	100	3280
9	659	–2.3	100	3590
10	629	4.5	100	3960
	626	**–4.6**	**100**	**4000**
11	599	–6.2	100	4340
12	571	–8.2	98	4720
	550	**–10.3**	**92**	**5000**
13	543	–10.9	90	5110
14	516	–13.2	68	5490
	500	**–13.9**	**59**	**5740**
15	488	–14.6	56	5920
	483	**–15.1**	**54**	**6000**
16	466	–17.1	50	6270
17	442	–19.0	50	6660
	422	**–20.3**	**43**	**7000**
18	416	–20.8	41	7110
	389	–24.1	37	7600
20	**367**	**–27.1**	**32**	**8000**
21	345	–30.6	30	8470
22	325	–34.4	30	8890
	320	**–35.0**	**31**	**9000**
23	306	–37.7	35	9310
	300	**–38.4**	**35**	**9440**
24	290	–40.2	—	9680
25	279	–43.3	—	9930

6. VIII. 1951 06.00 h HEC

	1000	—	—	**130**
0	956.5	10.9	100	493
1	919	13.8	92	830
	901	**13.8**	**87**	**1000**
2	882	13.2	83	1180
	850	**11.3**	**83**	**1500**
3	840	10.5	83	1590
4	802	9.7	64	1975
	800	**9.6**	**62**	**2000**
5	763	6.9	43	2390
6	726	5.0	28	2790
	708	**3.5**	**38**	**3000**
	700	**2.8**	**46**	**3090**
7	687	1.7	54	3240
8	653	–0.5	54	3650
	611	–1.4	40	3790
	625	**–0.3**	**25**	**4000**
9	621	0.6	20	4050
10	588	–2.8	24	4480
11	557	–6.4	24	4940
	550	**–6.9**	**24**	**5000**
12	526	–8.5	24	5350
	500	**–11.5**	**24**	**5750**
13	495	–12.1	24	5820
	483	**–13.1**	**23**	**6000**
14	465	–14.9	20	6290
15	437	–17.7	18	6760
	423	**–19.4**	**17**	**7000**
16	409	–21.1	16	7250
17	380	–26.5	16	7790
	369	**–28.1**	**16**	**8000**

Min.	PPP	TTT	UU	H m. geop.
18	353	–30.7	16	8320
19	329	–34.6	22	8840
	320	**–36.4**	**22**	**9000**
20	303	–40.4	—	9370
	300	**–40.9**	—	**9440**

7. VIII. 1951 06.05 h HEC

	1000	—	—	**120**
0	955.8	17.3	100	493
1	915	16.1	100	870
	902	**15.2**	**100**	**1000**
2	877	13.7	100	1230
	850	**11.9**	**100**	**1500**
3	841	10.9	100	1580
4	806	8.4	100	1930
	800	**8.1**	**100**	**2000**
5	769	5.6	100	2320
6	733	3.9	100	2700
	708	**2.0**	**100**	**3000**
	700	**1.3**	**100**	**3100**
7	696	0.9	100	3140
8	660	–1.7	100	3560
9	629	–4.7	100	3930
	625	**–4.9**	**100**	**4000**
10	592	–7.2	100	4410
11	558	–9.6	100	4870
	549	**–10.3**	**100**	**5000**
12	526	–11.7	100	5340
	500	**–13.5**	**100**	**5520**
13	497	–13.7	100	5760
	481	**–15.4**	**100**	**6000**
14	470	–16.9	100	6180
15	442	–19.4	95	6650
	421	**–21.3**	**68**	**7000**
16	417	–23.1	62	7070
17	391	–26.4	62	7540
	367	**–29.5**	**64**	**8000**
18	365	–29.6	64	8030
19	339	–33.3	55	8560
	318	**–37.0**	**53**	**9000**
20	315	–37.5	53	9060
	300	**–40.2**	—	**9400**
21	290	–42.1	—	9630
	274	**–45.7**	—	**10000**
22	269	–46.8	—	10130
23	245	–51.4	—	10750
	236	**–53.7**	—	**11000**
24	225	–56.6	—	11300
25	203	–60.7	—	11950
	201	**–60.8**	—	**12000**
26	**200**	**–60.8**	—	**12030**

8. VIII. 1951 06.05 h HEC

	1000	—	—	**070**
0	950.4	15.0	100	493
1	904	13.0	100	920
	897	**12.8**	**100**	**1000**
2	870	11.3	100	1230
	850	**9.5**	**100**	**1450**
3	837	8.5	100	1560
4	805	6.7	100	1896
	795	**6.4**	**98**	**2000**
5	771	5.7	93	2240
6	735	2.9	90	2670
	703	**0.3**	**90**	**3000**
7	**700**	**0.1**	**90**	**3030**
8	666	–2.6	96	3420
9	639	–3.8	96	3750
	620	**–4.8**	**99**	**4000**
10	611	–5.4	100	4100
11	582	–7.9	100	4480
12	553	–10.5	100	4880
	545	**–11.1**	**100**	**5000**
13	526	–12.7	100	5270
	500	**–15.0**	**100**	**5690**
14	497	–15.4	100	5740
	478	**–17.0**	**100**	**6000**
15	467	–18.4	100	6170
16	439	–21.0	100	6620
	417	**–23.3**	**99**	**7000**
17	411	–23.9	98	7110
18	387	–26.9	84	7550

Min.	PPP	TTT	UU	H m. geop.
19	**364**	**-30.3**	**78**	**8000**
20	339	-33.5	77	8500
21	**315**	**-37.2**	**77**	**9000**
	300	**-39.8**	**77**	**9330**
22	292	-41.4	—	9520
	272	**-45.6**	—	**10000**
23	267	-46.7	—	10110
24	243	-50.2	—	10750
	234	**-52.1**	—	**11000**
25	222	-54.7	—	11320
26	203	-55.8	—	11900
	200	**-54.9**	—	**12000**
27	188	-51.7	—	12380
28	174	-50.3	—	12890

9. VIII. 1951 06.05 h HEC

0	948.0	14.5	65	493
1	908	12.1	84	860
	893	**11.1**	**81**	**1000**
2	873	9.7	77	1180
	850	**8.6**	**73**	**1410**
3	830	7.3	70	1600
4	**790**	**5.3**	**73**	**2000**
5	749	2.2	73	2440
6	706	-2.2	87	2920
	700	**-2.7**	**87**	**3000**
7	671	-5.1	87	3320
8	633	-9.0	97	3770
	615	**-10.6**	**89**	**4000**
9	602	-12.0	81	4160
10	568	-14.7	47	4600
	548	**-16.9**	**42**	**5000**
11	533	-17.3	38	5080
12	505	-18.6	38	5480
	500	**-19.2**	**37**	**5560**
13	474	-22.1	35	5950
	471	**-22.4**	**35**	**6000**
14	446	-25.1	35	6390
15	419	-29.1	35	6850
	410	**-30.2**	**35**	**7000**
16	393	-32.5	35	7300
17	364	-36.5	35	7830
	356	**-37.7**	**35**	**8000**
18	336	-40.7	—	8390
19	314	-42.3	—	8840
	307	**-42.0**	—	**9000**
	300	**-41.7**	—	**9150**
20	291	-41.5	—	9360
21	270	-44.2	—	9870
	264	**-44.5**	—	**10000**
22	248	-45.3	—	10430
23	230	-47.1	—	10930
	227	**-47.6**	—	**11000**
24	213	-48.4	—	11430
25	**200**	**-48.4**	—	**11850**
	195	**-48.6**	—	**12000**
26	187	-49.1	—	12280

10. VIII. 1951 06.05 h HEC

	1000	—	—	**140**
0	957.1	8.9	100	493
1	920	11.3	84	820
	901	**9.9**	**87**	**1000**
2	877	8.0	90	1220
	850	**6.4**	**90**	**1480**
3	834	5.4	90	1640
	798	**3.3**	**92**	**2000**
4	791	2.6	93	2070
5	749	-0.7	93	2500
6	707	-3.5	91	2960
	704	**-3.6**	**91**	**3000**
	700	**-3.8**	**91**	**3050**
7	669	-5.1	91	3400
8	635	-6.9	67	3800
	620	**-7.9**	**71**	**4000**
9	603	-9.1	75	4210
10	571	-11.5	58	4620
	544	**-14.2**	**65**	**5000**
11	539	-14.7	67	5070
12	513	-17.6	67	5440
	500	**-18.9**	**67**	**5630**
13	486	-20.4	67	5850
	476	**-21.2**	**62**	**6000**
14	459	-22.8	53	6270
15	435	-25.5	53	6660
	415	**-27.7**	**44**	**7000**
16	405	-28.9	40	7170
17	376	-32.7	37	7700
	360	**-35.1**	**37**	**8000**
18	354	-36.3	37	8130
19	331	-40.0	37	8590
	311	**-42.8**	**37**	**9000**
20	309	-43.3	37	9050
	300	**-44.0**	—	**9420**
21	286	-45.5	—	9560
	268	**-46.7**	—	**10000**
22	262	-47.0	—	10140
23	239	-47.7	—	10750
	230	**-46.9**	—	**11000**
24	219	-45.8	—	11330
25	**200**	**-45.8**	—	**11930**

11. VIII. 1951 06.05 h HEC

	1000	—	—	**170**
0	960.9	12.5	90	493
1	920	11.2	83	860
	906	**10.3**	**85**	**1000**
2	884	8.3	87	1190
	850	**5.3**	**89**	**1530**
3	847	5.1	90	1550
4	805	2.8	90	1960
	802	**2.5**	**91**	**2000**
5	765	-0.5	93	2370
6	729	-3.2	93	2760
	707	**-4.8**	**93**	**3000**
	700	**-5.4**	**93**	**3080**
7	694	-6.0	93	3140
	677	-7.6	93	3330
8	662	-7.5	83	3560
	647	-7.2	66	3800
9	628	-7.5	45	3910
	622	**-7.9**	**43**	**4000**
10	598	-9.3	35	4300
11	569	-12.3	35	4680
	546	**-14.3**	**37**	**5000**
12	537	-15.0	38	5120
13	509	-17.4	32	5520
	500	**-17.8**	**32**	**5670**
	478	**-19.6**	**32**	**6000**
14	475	-19.8	32	6040
15	444	-22.6	32	6540
	417	**-26.0**	**32**	**7000**
16	415	-26.3	32	7030
17	383	-29.5	33	7600
	363	**-32.6**	**34**	**8000**
18	356	-33.6	35	8120
19	331	-38.0	38	8630
	314	**-40.8**	—	**9000**
20	307	-42.1	—	9140
	300	**-43.8**	—	**9300**
21	286	-46.9	—	9620
	270	**-50.1**	—	**10000**
22	265	-51.1	—	10120
23	246	-55.1	—	10590
	231	**-58.4**	—	**11000**
21	227	-59.3	—	11100

13. VIII. 1951 06.10 h HEC

	1000	—	—	**140**
0	957.9	15.0	90	493
1	927	14.4	100	770
	904	**13.0**	**100**	**1000**
2	887	11.9	100	1150
3	**850**	**9.1**	**100**	**1510**
4	814	6.1	100	1860
	801	**5.3**	**100**	**2000**
5	774	3.8	100	2270
6	739	1.0	98	2650
7	710	-1.3	98	2970
	708	**-1.6**	**95**	**3000**
	700	**-2.1**	**76**	**3090**
8	684	-3.5	65	3260
9	649	-5.0	51	3680
	623	**-6.6**	**44**	**4000**
10	613	-7.3	41	4120
11	578	-9.6	39	4580
12	549	-10.9	31	4970
	518	**-10.9**	**30**	**5000**
13	522	-11.9	28	5360
	500	**-13.7**	**27**	**5700**
14	491	-14.5	27	5830
	480	**-15.6**	**27**	**6000**
15	461	-17.9	26	6300
16	434	-20.7	27	6750
	420	**-22.3**	**30**	**7000**
17	408	-24.1	32	7210
18	382	-27.9	41	7670
	366	**-30.4**	**43**	**8000**
19	359	-31.6	44	8120
20	338	-35.0	44	8550
	317	**-38.6**	**44**	**9000**
21	315	-38.9	44	9040
	300	**-41.5**	—	**9360**
22	293	-42.8	—	9530
23	**273**	**-47.4**	—	**10000**
24	250	-51.3	—	10580
	231	**-53.8**	—	**11000**
25	231	-54.0	—	11080
26	211	-54.6	—	11570
27	**200**	**-52.7**	—	**12000**
28	187	-52.4	—	12440

14. VIII. 1951 06.05 h HEC

	1000	—	—	**170**
0	960.7	12.5	92	493
1	**905**	**11.0**	**70**	**1000**
2	869	9.9	70	1330
	850	**7.6**	**75**	**1530**
3	834	5.8	79	1670
4	**802**	**3.2**	**83**	**2000**
5	766	1.4	81	2360
6	729	-1.7	84	2760
	708	**-3.2**	**82**	**3000**
	700	**-3.8**	**81**	**3090**
7	692	-4.3	80	3170
8	653	-4.0	41	3620
	624	**-5.2**	**39**	**4000**
9	619	-5.4	37	4050
10	585	-7.2	36	4500
11	552	-9.3	35	4910
	548	**-9.6**	**34**	**5000**
12	522	-12.5	33	5330
	500	**-15.8**	**32**	**5710**
13	489	-16.4	32	5870
	481	**-18.6**	**32**	**6000**
14	460	-21.3	31	6320
15	434	-25.0	31	6710
	420	**-27.3**	**31**	**7000**
16	406	-29.2	31	7220
17	375	-33.5	31	7790
	364	**-35.1**	**31**	**8000**
18	349	-37.5	31	8300
19	325	-42.0	—	8780
	315	**-43.7**	—	**9000**
20	**300**	**-46.5**	—	**9320**
21	278	-52.1	—	9820
	270	**-53.2**	—	**10000**
22	255	-55.5	—	10380
23	235	-58.7	—	10890
	231	**-53.1**	—	**11000**
21	219	-52.2	—	11340
25	**200**	**-52.1**	—	**11930**

15. VIII. 1951 06.10 h HEC

	1000	—	—	**180**
0	961.0	9.8	100	493
1	914	10.3	98	920
	907	**9.9**	**96**	**1000**
2	875	8.0	93	1280
	850	**7.1**	**98**	**1530**
3	834	6.4	100	1680
	814	4.8	100	1870
	803	**5.3**	**85**	**2000**
4	797	5.4	70	2040
	773	6.4	36	2300
5	761	4.8	40	2420
6	727	3.2	32	2780
	710	**2.1**	**32**	**3000**
	700	**1.5**	**32**	**3110**
7	693	0.8	32	3180
8	659	-1.8	37	3580
9	**625**	**-3.2**	**32**	**4000**
10	596	-5.6	31	4370
11	562	-8.4	31	4840
	551	**-9.2**	**31**	**5000**
12	534	-10.5	31	5230
13	504	-13.5	31	5680
	500	**-14.0**	**31**	**5740**
	483	**-16.1**	**31**	**6000**
11	480	-16.6	31	6040
15	453	-20.1	31	6480
16	431	-23.6	34	6850
	422	**-25.2**	**35**	**7000**
17	407	-28.0	38	7260
18	380	-32.0	40	7750
	367	**-32.7**	**46**	**8000**
19	355	-33.6	51	8220
20	328	-37.4	51	8780
	318	**-39.1**	**51**	**9000**
21	304	-41.6	—	9300
	300	**-42.2**	—	**9390**
22	278	-46.6	—	9900
	274	**-47.2**	—	**10000**
23	254	-50.8	—	10500
	235	**-53.7**	—	**11000**
24	233	-54.0	—	11050
	221	-56.3	—	11390
25	214	-55.4	—	11600
	200	**-53.2**	—	**12000**
26	194	-52.4	—	12220
27	180	-53.0	—	12700

16. VIII. 1951 05.45 h HEC

	1000	—	—	**130**
0	959.3	14.4	90	493
1	908	12.0	100	950
	902	**12.0**	**95**	**1000**
2	869	12.0	68	1320
	850	**10.7**	**69**	**1500**
3	834	9.5	70	1670
	800	**6.9**	**71**	**2000**
4	795	6.5	72	2050
5	763	3.6	93	2400
6	727	0.2	100	2790
	707	**-1.0**	**100**	**3000**
	700	**-1.4**	**100**	**3090**
7	692	-1.9	100	3180
8	660	-3.9	100	3560
9	630	-5.7	100	3920
	623	**-6.2**	**100**	**4000**
10	601	-7.9	100	4280
11	569	-10.1	98	4720
	547	**-11.7**	**82**	**5000**
12	535	-12.6	75	5190
13	**500**	**-15.7**	**71**	**5700**
	480	**-18.5**	**77**	**6000**
14	473	-19.6	79	6120
15	443	-22.0	75	6600
	419	**-24.5**	**73**	**7000**
16	418	-24.7	73	7020
17	393	-28.1	72	7460
18	367	-30.9	83	7950
	364	**-31.4**	**82**	**8000**
19	340	-34.6	78	8500
20	**315**	**-39.3**	**78**	**9000**
	300	**-42.5**	—	**9340**
21	292	-44.3	—	9530
	272	**-48.0**	—	**10000**
22	269	-48.6	—	10070
23	245	-53.6	—	10680
	233	**-54.9**	—	**11000**
21	225	-56.0	—	11220

17. VIII. 1951 06.05 h HEC

	1000	—	—	**190**
0	963.1	11.4	100	493
1	919	9.2	100	880
	907	**8.9**	**100**	**1000**

Min.	PPP	TTT	UU	H m. geop.
2	882	8.4	98	1220
	850	**6.4**	**97**	**1540**
3	845	6.0	96	1580
4	808	3.3	100	1940
	803	**3.0**	**98**	**2000**
5	765	0.9	84	2380
6	733	0.4	35	2730
	709	**0.2**	**30**	**3000**
7	**700**	**0.1**	**28**	**3090**
8	664	−0.9	27	3510
9	633	−3.0	27	3890
	626	**−3.4**	**27**	**4000**
10	602	−4.9	27	4290
11	574	−6.1	29	4680
	550	**−8.4**	**43**	**5000**
12	543	−9.1	47	5090
13	518	−12.2	49	5450
	500	**−14.4**	**49**	**5730**
14	488	−16.1	49	5910
	483	**−16.4**	**46**	**6000**
15	459	−18.0	34	6360
16	433	−20.5	34	6800
	422	**−22.2**	**39**	**7000**
17	405	−24.7	47	7300
18	378	−28.5	72	7800
	368	**−30.8**	**76**	**8000**
19	351	−32.1	83	8320
20	327	−36.2	84	8810
	319	**−37.5**	**85**	**9000**
21	303	−40.1	—	9330
	300	**−40.7**	—	**9410**
22	280	−44.1	—	9870
	275	**−44.8**	—	**10000**
23	257	−48.1	—	10440
	236	**−52.2**	—	**11000**
24	235	−52.3	—	11030
25	217	−56.1	—	11540
	202	**−58.1**	—	**12000**
	200	**−58.4**	—	**12050**
26	198	−58.7	—	12120
27	183	−56.7	—	12600
	172	**−55.0**		**13000**
28	168	−54.5	—	13150

18. VIII. 1951 06.05 h HEC

	1000	—	—	**200**
0	964.0	9.2	100	493
1	923	12.8	91	850
	909	**12.0**	**89**	**1000**
2	885	10.4	85	1210
	850	**7.9**	**79**	**1560**
3	847	7.7	77	1580
4	813	5.0	78	1910
	806	**4.8**	**74**	**2000**
5	775	3.8	60	2300
6	741	1.6	75	2680
	712	**−0.7**	**81**	**3000**
7	709	1.1	83	3020
	700	**−0.7**	**66**	**3130**
	692	−0.7	50	3210
8	677	1.5	32	3380
9	642	2.7	18	3810
	628	**−3.5**	**18**	**4000**
10	609	4.4	18	4220
11	578	7.0	20	4630
	552	**−9.5**	**25**	**5000**
12	547	10.1	26	5070
13	518	12.8	30	5480
	500	**−14.7**	**31**	**5760**
14	483	−16.2	32	6000
15	455	19.3	35	6460
16	428	21.7	32	6920
	423	**−22.5**	**31**	**7000**
17	402	25.6	30	7370
18	379	29.9	30	7480
	369	**−31.7**	**30**	**8000**
19	351	34.6	30	8350
20	326	38.1	30	8850
	319	**−39.1**	**30**	**9000**
21	303	42.1	—	9350
	300	**−42.3**	—	**9420**

Min.	PPP	TTT	UU	H m. geop.
22	282	−45.8	—	9830
	275	**−47.1**	—	**10000**
23	256	−50.5	—	10480
24	236	−54.0	—	10730
25	**215**	**−57.1**	—	**11000**
	209	−58.1	—	11470
	201	**−57.6**	—	**12000**
26	**200**	**−57.6**	—	**12060**
27	183	−54.0	—	12620
	172	**−53.4**	—	**13000**
28	169	−53.5	—	13120

20. VIII. 1951 06.05 h HEC

	1000	—	—	**120**
0	956.6	13.7	90	193
1	917	16.3	77	850
	902	**15.8**	**78**	**1000**
2	879	14.7	80	1200
	850	**12.5**	**84**	**1500**
3	843	12.0	85	1560
4	805	10.2	81	1940
	800	**10.0**	**80**	**2000**
5	764	8.4	79	2370
6	729	6.1	84	2760
	709	**4.5**	**91**	**3000**
	700	**3.7**	**93**	**3100**
7	696	3.3	95	3140
8	661	0.4	100	3550
9	627	−1.3	100	3970
	626	**−1.4**	**100**	**4000**
10	588	1.2	100	4490
	573	3.6	92	4690
11	566	4.1	81	4790
	552	**−5.5**	**77**	**5000**
12	537	−6.8	73	5200
13	507	9.6	73	5650
	500	**−10.1**	**71**	**5760**
	485	**−11.7**	**66**	**6000**
14	478	12.4	64	6100
15	450	−14.7	49	6560
	425	**−17.0**	**41**	**7000**
16	422	17.3	43	7050
17	398	20.5	35	7480
	371	**−24.2**	**34**	**8000**
18	369	24.5	34	8040
19	341	28.1	24	8610
	323	**−31.0**	**23**	**9000**
20	317	−32.1	22	9130
	300	**−35.6**	**25**	**9510**
21	293	−37.1	27	9580
	289	**−40.2**	—	**10000**
22	270	−42.2		10230
23	249	45.5	—	10780
	241	**−27.2**		**11000**
24	229	−50.1	—	11330

21. VIII. 1951 06.15 h HEC

	1000	—		**190**
0	963.2	13.2	100	493
1	925	11.4	100	840
	908	**10.2**	**100**	**1000**
2	890	8.8	100	1160
3	**853**	**6.1**	**100**	**1500**
	850	**6.0**	**100**	**1550**
4	817	4.7	100	1860
	804	**4.1**	**100**	**2000**
5	773	2.5	100	2310
6	738	0.3	100	2680
	710	**−0.7**	**100**	**3000**
7	**700**	**−1.0**	**100**	**3120**
8	667	2.4	100	3490
9	635	4.7	100	3880
	626	**−5.1**	**100**	**4000**
10	604	6.3	100	4280
11	575	8.4	95	4670
	551	**−10.4**	**86**	**5000**
12	548	10.6	85	5030
13	519	13.2	100	5450
	500	**−14.2**	**99**	**5740**
14	491	14.7	98	5870
	483	**−15.6**	**97**	**6000**
15	465	−17.1	96	6280

Min.	PPP	TTT	UU	H m. geop.
16	438	20.3	91	6750
	422	**−22.4**	**90**	**7000**
17	414	−23.3	90	7140
18	390	27.0	90	7580
19	**367**	**−30.7**	**90**	**8000**
20	339	35.1	87	8570
	319	**−38.8**	**87**	**9000**
21	315	−39.6	87	9070
	300	**−41.9**		**9410**
22	291	43.3		9610
	271	**−46.0**	—	**10000**
23	271	46.7	—	10090
24	249	49.7	—	10650
	236	**−52.6**	—	**11000**
25	229	54.0	—	11200
	221	55.9	—	11420
26	213	−54.9	—	11650
	202	**−54.4**		**12000**
	200	**−54.3**	—	**12050**
27	197	54.2	—	12150

22. VIII. 1951 06.00 h HEC

	1000	—		**210**
0	964.7	12.8	100	493
1	916	9.0	100	930
	910	**8.7**	**100**	**1000**
2	873	7.0	100	1330
	850	**6.3**	**100**	**1560**
3	837	5.9	100	1670
	805	**4.3**	**100**	**2000**
4	801	4.1	100	2040
5	763	2.7	100	2430
6	725	1.1	100	2840
	718	1.1	100	2920
	711	**−1.5**	**100**	**3000**
	700	**−1.0**	**100**	**3130**
7	697	−0.9	100	3160
8	661	3.2	96	3570
9	**625**	**−5.2**	**48**	**4000**
10	591	6.5	31	4460
11	561	8.5	37	4860
	552	**−9.5**	**37**	**5000**
12	530	−11.6	37	5300
13	**500**	**−13.5**	**30**	**5740**
	483	**−14.8**	**30**	**6000**
14	471	15.7	30	6180
15	441	19.3	30	6690
	423	**−21.1**	**30**	**7000**
16	411	−22.5	30	7210
17	387	−26.8	30	7640
	369	**−29.7**	**30**	**8000**
18	363	−30.7	30	8100
19	338	−34.9	30	8610
	319	**−38.1**	**30**	**9000**
20	313	39.6	30	9140
	300	**−41.2**		**9400**
21	287	43.1		9730
	276	**−44.5**	—	**10000**
22	264	46.0	—	10280
23	241	49.3	—	10890
	237	**−49.6**	—	**11000**
24	220	−51.6	—	11480
25	**203**	**−53.4**	—	**12000**
	200	**−53.3**	—	**12100**
26	186	−53.5	—	12560

23. VIII. 1951 06.05 h HEC

	1000	—	—	**180**
0	962.4	11.1	100	493
	937	12.5	100	720
1	913	11.6	100	940
	907	**11.3**	**100**	**1000**
2	869	9.3	100	1350
	850	**8.0**	**100**	**1550**
3	829	6.7	100	1740
	804	**5.1**	**100**	**2000**
4	793	4.6	100	2100
5	752	2.8	96	2540
6	713	0.3	100	2960
	711	**0.2**	**97**	**3000**
	700	**−0.5**	**85**	**3120**
7	680	1.3	65	3340

Min.	PPP	TTT	UU	H m. geop.
8	643	3.5	65	3780
	627	**−4.3**	**55**	**4000**
9	606	5.1	38	4250
10	568	8.7	50	4760
	551	**−10.0**	**55**	**5000**
11	531	−12.1	60	5280
12	**500**	**−15.4**	**93**	**5730**
	483	**−17.0**	**96**	**6000**
13	473	−17.9	98	6150
14	445	−20.8	91	6600
	422	**−24.8**	**98**	**7000**
15	417	−25.5	100	7080
16	393	−27.6	53	7510
17	369	−31.6	31	7960
	367	**−31.9**	**31**	**8000**
18	341	−35.8	31	8520
19	**318**	**−40.2**	—	**9000**
	300	**−43.6**	—	**9390**
20	294	−44.8	—	9520
	274	**−49.5**	—	**10000**
21	273	−49.8	—	10020
22	253	−53.3	—	10510
23	**234**	**−54.1**	—	**11000**

24. VIII. 1951 06.25 h HEC

	1000	—	—	**170**
0	961.1	10.1	100	493
1	927	10.9	100	800
	906	**10.5**	**100**	**1000**
2	889	10.3	100	1150
3	855	9.9	90	1470
	850	**9.6**	**89**	**1530**
4	817	7.5	83	1850
	802	**6.5**	**81**	**2000**
5	782	4.9	78	2210
	770	3.3	78	2340
6	749	3.8	46	2560
	738	4.3	37	2680
7	717	3.8	30	2920
	710	**3.7**	**29**	**3000**
	700	**2.8**	**28**	**3120**
8	684	1.0	26	3290
9	654	−2.0	24	3650
10	**625**	**−4.2**	**22**	**4000**
11	596	−7.0	22	4370
12	565	−9.6	20	4800
	551	**−11.0**	**20**	**5000**
13	536	−12.1	20	5200
14	509	−14.2	18	5590
	500	**−15.1**	**19**	**5740**
	483	**−16.7**	**20**	**6000**
15	477	−17.2	20	6080
16	453	−19.7	22	6470
17	**422**	**−22.2**	**22**	**7000**
18	397	−26.2	22	7450
19	371	−29.8	22	7930
	367	**−30.4**	**22**	**8000**
20	345	−34.0	22	8430
21	321	−38.2	22	8940
	318	**−38.6**	—	**9000**
	300	**−42.0**	—	**9400**
22	298	−42.6	—	9450
23	277	−46.2	—	9930
	274	**−46.2**	—	**10000**
24	258	−49.9	—	10400
25	237	−52.8	—	10960
	235	**−53.0**	—	**11000**
26	221	−54.4	—	11410
27	205	−55.7	—	11880
	201	**−56.4**	—	**12000**
	200	**−56.2**	—	**12040**
28	191	−57.5	—	12340
29	179	−56.8	—	12740

25. VIII. 1951 06.00 h HEC

	1000	—	—	**130**
0	957.6	10.9	100	493
	936	14.7	100	690
1	919	14.3	97	880
	902	**13.6**	**98**	**1000**
2	885	12.6	100	1160
	850	**11.0**	**78**	**1500**

Min.	PPP	TTT	UU	H m. geop.
3	846	10.4	76	1540
4	806	7.8	90	1950
	800	**7.5**	**92**	**2000**
5	777	5.7	98	2240
6	741	4.9	67	2640
	708	**3.7**	**40**	**3000**
7	705	3.5	37	3030
	700	**3.3**	**36**	**3090**
8	673	1.6	34	3400
9	641	-0.6	34	3800
	625	**-1.8**	**34**	**4000**
10	609	-3.1	34	4210
11	579	-5.2	34	4610
12	553	-7.5	40	4870
	550	**-7.8**	**46**	**5000**
13	527	-10.5	91	5320
14	**500**	**-13.8**	**84**	**5730**
	483	**-14.9**	**77**	**6000**
15	473	-15.7	68	6150
16	444	-18.7	93	6630
	422	**-20.7**	**97**	**7000**
17	417	-21.4	98	7090
18	393	-23.4	54	7500
	368	**-26.7**	**49**	**8000**
19	366	-27.1	48	8040
20	341	-32.1	50	8550
	320	**-36.6**	**54**	**9000**
21	316	-37.5	55	9080
	300	**-39.3**	—	**9440**
22	291	-40.5	—	9650
	276	**-42.7**	—	**10000**
23	269	-43.8	—	10180
24	247	-47.7	—	10740
	237	**-49.4**	—	**11000**
25	221	-51.9	—	11390
26	206	-53.9	—	11920
	204	**-56.1**	—	**12000**
	200	**-54.5**	—	**12110**
	197	-54.8	—	12200
27	189	-53.9	—	12470
	174	**-52.5**	—	**13000**
28	173	-52.4	—	13040

27. VIII. 1951 06.10 h HEC

	1000	—	—	**105**
0	955.0	13.0	100	493
1	907	12.1	86	920
	899	**11.3**	**89**	**1000**
2	869	9.4	96	1280
	850	**8.5**	**90**	**1470**
3	830	7.6	85	1660
	797	**4.9**	**90**	**2000**
4	791	4.4	92	2040
5	754	2.1	98	2440
6	719	0.1	91	2820
	704	**-0.7**	**92**	**3000**
	700	**-0.9**	**93**	**3040**
7	685	-1.8	95	3210
8	651	-4.0	95	3620
9	**621**	**-6.3**	**98**	**4000**
10	591	-9.0	100	4360
11	561	-11.4	100	4770
	545	**-13.3**	**100**	**5000**
12	531	-14.4	100	5190
13	**500**	**-17.0**	**100**	**5640**
	477	**-18.5**	**96**	**6000**
14	473	-18.9	94	6050
15	446	-21.0	80	6480
16	418	-23.3	83	6960
	416	**-23.6**	**85**	**7000**
17	390	-27.7	90	7470
18	**362**	**-32.2**	**90**	**8000**
19	336	-36.5	85	8510
	313	**-41.2**	**83**	**9000**
20	311	-41.4	83	9050
	300	**-41.0**	—	**9290**
21	288	-46.5	—	9560
	270	**-50.4**	—	**10000**
22	265	-51.5	—	10110
23	240	-55.1	—	10740
	231	**-55.1**	—	**11000**
24	218	-55.1	—	11350
	200	**-55.1**	—	**11910**
	197	**-55.1**	—	**12000**
25	195	-55.1	—	12060

28. VIII. 1951 06.10 h HEC

	1000	—	—	**150**
0	959.4	10.7	100	493
1	917	13.1	96	860
	903	**13.1**	**89**	**1000**
2	881	13.1	83	1200
3	**850**	**11.3**	**76**	**1510**
4	816	9.1	52	1840
	801	**8.5**	**60**	**2000**
5	786	8.1	68	2150
6	752	6.5	95	2500
7	719	4.8	85	2870
	709	**4.1**	**86**	**3000**
	700	**3.3**	**87**	**3110**
8	686	2.4	88	3270
9	654	0.1	92	3640
10	**626**	**-3.0**	**87**	**4000**
11	593	-4.4	83	4410
12	559	-6.7	71	4880
	552	**-7.2**	**72**	**5000**
13	526	-9.4	74	5350
	500	**-11.1**	**69**	**5755**
14	493	-11.5	67	5860
	484	**-12.3**	**64**	**6000**
15	463	-15.0	60	6330
16	438	-18.1	72	6740
	424	**-19.6**	**65**	**7000**
17	414	-20.6	58	7170
18	383	-23.3	45	7730
	370	**-25.0**	**39**	**8000**
19	358	-26.7	33	8230
20	334	-30.3	31	8730
	322	**-32.8**	**31**	**9000**
21	310	-35.1	31	9250
	300	**-36.9**	**31**	**9480**
22	287	-39.4	31	9790
	278	**-41.2**	—	**10000**
23	259	-44.2	—	10480
	240	**-47.8**	—	**11000**
24	233	-49.0	—	11190
25	213	-53.5	—	11750
	205	**-55.8**	—	**12000**
	200	**-57.2**	—	**12160**
26	196	-58.0	—	12290
27	176	-60.6	—	12950
	175	**-60.5**	—	**13000**
28	160	-58.7	—	13560

29. VIII. 1951 06.15 h HEC

	1000	—	—	**145**
0	959.6	11.5	100	493
1	923	16.0	80	820
	904	**15.5**	**78**	**1000**
2	889	15.2	77	1130
3	857	15.2	47	1430
	850	**14.8**	**46**	**1520**
4	824	13.5	45	1780
	803	**12.2**	**48**	**2000**
5	791	11.5	50	2120
6	758	8.5	57	2470
7	726	5.8	63	2830
	711	**3.9**	**68**	**3000**
8	**700**	**2.5**	**73**	**3130**
9	663	-0.5	90	3560
10	631	-2.3	40	3950
	628	**-2.7**	**44**	**4000**
11	603	-4.1	53	4310
12	575	-5.2	43	4680
	554	**-6.5**	**35**	**5000**
13	550	-6.7	33	5040
14	526	-8.8	33	5380
15	**500**	**-11.4**	**33**	**5775**
	485	**-13.9**	**33**	**6000**
16	478	-15.0	33	6100
17	452	-18.0	33	6520
18	**425**	**-21.3**	**36**	**7000**
19	401	-25.7	40	7400
20	377	-30.0	40	7850
	369	**-31.5**	**40**	**8000**
21	358	-33.7	45	8220
22	332	-37.2	37	8740
	320	**-39.4**	—	**9000**
23	314	-40.5	—	9120
	300	**-42.5**	—	**9440**
24	295	-43.3	—	9550
25	277	-45.7	—	9960
	276	**-46.0**	—	**10000**
26	257	-47.7	—	10470
27	**236**	**-50.3**	—	**11000**
28	218	-53.4	—	11530
	203	**-56.1**	—	**12000**
29	**200**	**-56.6**	—	**12090**
30	186	-57.7	—	12540
31	**173**	**-58.9**	—	**13000**

30. VIII. 1951 06.10 h HEC

	1000	—	—	**120**
0	956.6	12.0	100	493
1	923	17.0	100	800
	901	**17.0**	**75**	**1000**
2	887	17.0	57	1130
3	855	17.0	40	1440
	850	**16.7**	**39**	**1500**
4	813	14.9	36	1870
	801	**13.6**	**37**	**2000**
5	778	11.4	38	2230
6	741	7.2	47	2640
	710	**4.0**	**60**	**3000**
7	705	3.6	65	3040
	700	**3.2**	**57**	**3110**
8	673	1.0	42	3420
9	640	-1.8	41	3810
	626	**-2.8**	**40**	**4000**
10	608	-4.1	38	4230
11	575	-4.1	32	4660
	552	**-5.6**	**30**	**5000**
12	546	-5.8	28	5070
13	517	-9.0	32	5490
	500	**-10.3**	**33**	**5765**
14	487	-11.8	34	5950
	485	**-12.2**	**34**	**6000**
15	461	-15.7	34	6360
16	436	-19.8	40	6780
	424	**-21.1**	**43**	**7000**
17	411	-22.5	45	7220

31. VIII. 1951 06.15 h HEC

	1000	—	—	**160**
0	955.2	15.5	100	493
1	913	13.2	93	860
	900	**12.4**	**80**	**1000**
2	874	11.4	66	1220
	850	**9.6**	**85**	**1475**
3	840	8.9	94	1550
	823	7.9	100	1720
4	805	6.5	100	1910
	797	**6.5**	**100**	**2000**
	789	6.5	100	2070
5	769	6.5	94	2280
6	727	4.3	76	2740
	707	**2.2**	**76**	**3000**
	700	**1.8**	**76**	**3065**
7	691	1.1	76	3150
8	657	-2.4	85	3560
9	626	-4.7	63	3940
	622	**-5.1**	**55**	**4000**
10	594	-7.0	39	4350
11	566	-8.1	63	4710
	547	**-9.4**	**69**	**5000**
12	531	-10.4	74	5220
13	**500**	**-14.0**	**82**	**5690**
	480	**-16.5**	**90**	**6000**
14	470	-17.6	94	6140
15	439	-20.3	100	6650
	420	**-22.1**	**100**	**7000**
16	408	-23.0	100	7190
17	384	-26.3	84	7620
	366	**-29.2**	**78**	**8000**
18	356	-30.5	75	8170
19	332	-34.1	74	8660
	317	**-37.1**	**70**	**9000**
20	308	-38.9	66	9190
	300	**-40.0**	—	**9380**
21	284	-42.1	—	9740
	274	**-44.2**	—	**10000**
22	263	-45.8	—	10250
23	243	-49.7	—	10780
	235	**-51.8**	—	**11000**
24	225	-54.1	—	11270
25	205	-58.5	—	11870
	201	**-59.3**	—	**12000**
	200	**-59.5**	—	**12030**
	196	**-60.0**	—	**12140**
26	185	-57.1	—	12510

1. IX. 1951 06.10 h HEC

	1000	—	—	**170**
0	961.7	9.7	100	493
1	929	10.1	85	790
	905	**8.8**	**86**	**1000**
2	890	7.9	88	1120
3	**850**	**4.9**	**98**	**1515**
4	809	2.3	91	1900
	801	**1.6**	**80**	**2000**
5	770	0.0	61	2290
6	731	-1.8	64	2710
	706	**-3.8**	**50**	**3000**
7	**700**	**-4.3**	**46**	**3070**
8	665	-6.1	40	3460
9	633	-7.3	40	3850
	622	**-8.0**	**50**	**4000**
10	600	-9.1	67	4250
11	569	-11.5	35	4660
12	**543**	**-11.5**	**32**	**5000**
13	513	-13.8	30	5450
	500	**-15.0**	**30**	**5660**
14	487	-16.3	30	5840
	478	**-17.3**	**31**	**6000**
15	460	-19.1	32	6270
16	437	-23.1	33	6650
	417	**-25.8**	**34**	**7000**
17	410	-26.7	34	7110
18	385	-30.1	35	7560
	363	**-32.8**	**34**	**8000**
19	359	-33.2	34	8060
20	338	-35.3	33	8480
	314	**-38.9**	**33**	**9000**
21	307	-40.0	—	9150
	300	**-41.8**	—	**9310**
22	289	-44.5	—	9550
	271	**-48.0**	—	**10000**
23	267	-48.5	—	10080
24	247	-51.9	—	10590
	232	**-51.9**	—	**11000**
25	230	-51.9	—	11060

3. IX. 1951 06.10 h HEC

	1000	—	—	**100**
0	954.9	16.0	85	493
1	911	15.6	97	890
	900	**15.0**	**98**	**1000**
2	878	14.1	100	1200
	850	**11.2**	**97**	**1490**
3	847	11.0	96	1500
4	811	8.5	100	1870
	798	**7.4**	**100**	**2000**
5	773	5.4	100	2260
6	741	2.5	100	2610
7	710	0.0	100	2950
	707	**-0.3**	**100**	**3000**
	700	**-0.6**	**100**	**3070**
8	680	-1.9	100	3290
9	645	-3.1	100	3710
	623	**-5.2**	—	**4000**
10	606	-6.5	87	4209
11	569	-9.9	92	4690
	547	**-12.1**	**85**	**5000**
12	537	-12.9	81	5140

Min.	PPP	TTT	UU	H m. geop.
13	511	–16.0	61	5510
	500	**–16.9**	**55**	**5680**
14	484	–18.3	48	5920
	479	**–18.7**	**48**	**6000**
15	457	–21.3	48	6350
16	434	–23.9	48	6720
	418	**–26.7**	**50**	**7000**
17	411	–27.9	51	7120
18	384	–31.4	54	7600
	363	**–34.2**	**53**	**8000**
19	358	–35.0	53	8100
20	332	–38.1	50	8620
	314	**–40.4**	—	**9000**
21	311	–41.0	—	9070
	300	**–42.1**	—	**9310**
22	285	–44.1	—	9660
	271	**–45.5**	—	**10000**
23	261	–46.7	—	10240
24	240	–46.2	—	10800
	233	**–46.3**	—	**11000**
25	219	–46.6	—	11400
26	**200**	**–48.1**	—	**12000**
27	186	–48.8	—	12480

4. IX. 1951 06.05 h HEC

	1000	—	—	**230**
0	967.2	7.2	100	493
1	919	8.8	100	910
	911	**8.7**	**97**	**1000**
2	881	8.1	87	1260
	850	**6.0**	**77**	**1580**
3	848	5.7	75	1590
	826	4.9	51	1790
4	809	6.9	37	1960
	807	**7.0**	**35**	**2000**
5	767	6.0	20	2400
6	732	4.2	17	2780
	714	**3.5**	**21**	**3000**
7	**700**	**2.5**	**24**	**3140**
8	665	1.0	30	3560
9	634	–0.5	47	3940
	631	**–0.9**	**49**	**4000**
10	601	–3.6	68	4370
11	567	–5.4	78	4820
	555	**–6.4**	**76**	**5000**
12	537	–8.2	74	5250
13	507	–10.0	73	5650
	500	**–10.4**	**71**	**5820**
	488	**–11.3**	**67**	**6000**
14	479	–11.9	65	6130
15	453	–13.2	57	6560
16	430	–14.7	51	6960
	428	**–15.8**	**50**	**7000**
17	406	–18.5	49	7390
18	383	–22.7	47	7820
	374	**–23.8**	**46**	**8000**
19	356	–26.5	45	8350
20	331	–31.5	45	8870
	325	**–32.3**	**46**	**9000**
21	308	–35.6	47	9380
	300	**–36.9**	—	**9570**
22	284	–40.2	—	9940
	282	**–40.4**	—	**10000**
23	264	–44.4	—	10430
24	**243**	**–48.6**	—	**11000**
25	223	–53.4	—	11540
	208	**–57.0**	—	**12000**
26	207	–57.3	—	12030
	200	**–58.4**	—	**12240**
27	196	–59.1	—	12370

5. IX. 1951 06.05 h HEC

	1000	—	—	**200**
0	965.2	7.5	100	493
1	923	9.1	100	860
	908	**9.5**	**100**	**1000**
2	886	10.5	95	1190
3	854	11.5	44	1510
	850	**12.1**	**42**	**1560**
	835	13.0	37	1690
4	822	12.4	40	1820
	805	**12.4**	**39**	**2000**
5	786	12.4	37	2220
6	750	11.6	34	2590
7	720	9.7	34	2930
	715	**9.1**	**35**	**3000**
	700	**8.0**	**37**	**3170**
8	690	7.0	38	3280
9	661	4.9	41	3630
	632	**2.7**	**41**	**4000**
10	629	2.4	41	4030
11	600	0.4	56	4420
12	571	–1.5	68	4810
	558	**–2.4**	**70**	**5000**
13	546	–3.6	71	5160
14	524	–5.7	69	5500
15	**500**	**–7.6**	**60**	**5860**
	491	**–8.9**	**55**	**6000**
16	483	–10.0	51	6120
17	466	–12.8	49	6400
18	444	–15.0	42	6770
	431	**–16.6**	**41**	**7000**
19	420	–18.0	40	7180
20	394	–20.9	38	7660
	376	**–23.3**	**38**	**8000**
21	368	–24.3	37	8150
22	345	–28.6	38	8620
	327	**–31.7**	**39**	**9000**
23	320	–32.9	40	9160
	300	**–36.1**	**41**	**9610**
24	295	–37.0	41	9730
	278	**–39.4**	—	**10000**
25	274	–41.1	—	10240
26	254	–45.7	—	10740
	244	**–48.2**	—	**11000**
27	238	–50.0	—	11170
28	220	–54.0	—	11680
	209	**–56.0**	—	**12000**
29	203	–57.0	—	12200
	200	**–58.0**	—	**12290**
30	189	–61.4	—	12640
	178	**–63.3**	—	**13000**
31	177	–63.5	—	13040
32	168	–65.3	—	13360

6. IX. 1951 06.05 h HEC

	1000	—	—	**180**
0	962.9	10.0	100	493
1	929	14.1	100	810
	907	**13.0**	**96**	**1000**
2	892	12.1	94	1130
3	855	14.0	48	1490
	850	**13.3**	**50**	**1540**
4	815	11.3	55	1880
	805	**10.4**	**50**	**2000**
5	777	8.8	46	2280
6	750	6.7	68	2580
7	716	4.0	44	2960
	712	**3.6**	**44**	**3000**
	700	**3.0**	**44**	**3140**
8	683	2.1	44	3340
9	648	–0.1	46	3770
	629	**–1.2**	**48**	**4000**
10	619	–1.5	49	4130
11	591	–3.1	44	4490
12	563	–5.5	30	4880
	554	**–6.3**	**40**	**5000**
13	537	–7.7	60	5250
14	510	–10.5	50	5640
	500	**–11.3**	**48**	**5800**
	487	**–12.3**	**45**	**6000**
15	482	–12.6	44	6070
16	458	–15.1	37	6460
17	433	–18.0	34	6890
	426	**–19.3**	**34**	**7000**
18	411	–21.8	34	7260
19	387	–25.7	32	7700
	372	**–28.3**	**32**	**8000**
20	362	–29.7	32	8180
21	340	–34.0	32	8620
	322	**–37.2**	**32**	**9000**
22	318	–38.1	32	9090
	300	**–41.4**	—	**9490**
23	295	–42.5	—	9600
	278	**–46.5**	—	**10000**
24	273	–47.0	—	10120
25	251	–50.5	—	10670
	239	**–52.3**	—	**11000**
26	227	–54.0	—	11310
27	206	–57.6	—	11950
	204	**–57.8**	—	**12000**
	200	**–58.3**	—	**12130**
28	184	–60.4	—	12640
29	176	–61.6	—	12910
	174	**–61.8**	—	**13000**
30	171	–62.1	—	13090

7. IX. 1951 06.05 h HEC

	1000	—	—	**170**
0	962.1	15.1	100	493
1	925	16.9	83	830
	906	**16.4**	**83**	**1000**
2	886	15.6	83	1200
3	854	14.1	71	1500
	850	**13.7**	**71**	**1560**
4	821	11.4	72	1840
	804	**10.4**	**65**	**2000**
5	785	9.3	57	2200
6	753	6.2	61	2550
7	717	3.1	93	2950
	712	**2.8**	**93**	**3000**
	700	**2.0**	**94**	**3160**
8	684	0.9	95	3330
9	651	–2.3	98	3730
	628	**–3.7**	**97**	**4000**
10	617	–4.3	96	4150
11	590	–6.6	92	4500
12	559	–9.2	89	4930
	553	**–9.5**	**88**	**5000**
13	531	–11.2	86	5310
14	503	–13.7	84	5730
	500	**–14.0**	**84**	**5790**
	485	**–15.4**	**84**	**6000**
15	475	–16.4	84	6160
16	445	–19.1	—	6650
	424	**–21.0**	—	**7000**
17	416	–21.6	—	7150
18	392	–25.0	—	7580
	370	**–28.3**	—	**8000**
19	367	–28.7	—	8060
20	341	–32.3	—	8580
	321	**–35.7**	—	**9000**
21	319	–36.0	—	9040
	300	**–39.5**	—	**9480**
22	298	–39.8	—	9520
	277	**–45.3**	—	**10000**
23	276	–44.5	—	10030
24	256	–49.4	—	10520
25	**237**	**–53.3**	—	**11000**

8. IX. 1951 06.00 h HEC

	1000	—	—	**160**
0	959.3	14.2	100	493
1	909	13.1	100	940
	905	**13.0**	**96**	**1000**
2	875	12.9	87	1260
	850	**12.7**	**70**	**1530**
3	839	12.6	62	1620
4	805	10.8	62	1970
	803	**10.7**	**63**	**2000**
5	770	8.0	68	2330
6	734	5.8	85	2730
	712	**3.8**	**92**	**3000**
7	703	3.5	95	3080
	700	**3.1**	**96**	**3130**
8	673	6.8	97	3440
9	643	–2.1	100	3800
	628	**–3.1**	**96**	**4000**
10	611	–4.3	91	4200
11	582	–6.3	80	4590
12	**552**	**–8.3**	**50**	**5000**
13	523	–10.5	50	5420
	500	**–12.3**	**50**	**5720**
14	496	–12.6	50	5830
	485	**–13.5**	**48**	**6000**
15	465	–15.2	44	6290
16	441	–17.7	38	6720
	425	**–19.4**	**37**	**7000**
17	419	–20.2	37	7090
18	395	–23.5	34	7530
19	**370**	**–27.3**	**30**	**8000**
20	347	–31.3	28	8460
21	**322**	**–35.6**	**28**	**9000**
	300	**–39.5**	**31**	**9420**
22	298	–39.8	32	9530
	278	**–44.3**	—	**10000**
23	276	–44.8	—	10040
24	256	–48.3	—	10540
	239	**–51.7**	—	**11000**
25	237	–52.0	—	11040

10. IX. 1951 06.10 h HEC

	1000	—	—	**110**
0	957.9	15.1	100	493
1	915	14.7	100	880
	902	**14.7**	**100**	**1000**
2	877	14.7	100	1240
	850	**14.1**	**85**	**1520**
3	844	13.8	78	1560
4	809	11.9	71	1920
	802	**11.7**	**69**	**2000**
5	774	10.2	65	2280
6	741	7.5	64	2650
7	**711**	**4.6**	**62**	**3000**
	700	**3.6**	**70**	**3130**
8	679	1.9	95	3360
9	645	–1.0	100	3780
	627	**–2.1**	**100**	**4000**
10	614	–3.1	100	4170
11	583	–5.7	80	4570
12	**553**	**–7.8**	**70**	**5000**
13	522	–10.0	61	5440
	500	**–12.2**	**50**	**5770**
14	490	–13.3	46	5920
	485	**–13.6**	**47**	**6000**
15	465	–15.9	52	6310
16	440	–18.8	52	6730
	424	**–20.2**	**46**	**7000**
17	414	–21.3	44	7180
18	385	–24.7	44	7710
	370	**–26.6**	**44**	**8000**
19	359	–28.1	44	8210
20	334	–31.8	44	8730
	321	**–33.7**	**44**	**9000**
21	309	–35.5	44	9270
	300	**–37.1**	**44**	**9480**
22	283	–39.8	44	9880
	278	**–40.6**	—	**10000**
23	259	–44.1	—	10480
24	241	–47.9	—	10950
	239	**–48.4**	—	**11000**
25	223	–52.2	—	11450

11. IX. 1951 06.00 h HEC

	1000	—	—	**180**
0	962.1	13.5	100	493
1	922	16.8	98	860
	908	**16.4**	**99**	**1000**
2	891	15.9	100	1150
3	859	14.5	87	1460
	850	**14.1**	**83**	**1570**
4	825	12.9	66	1800
	806	**11.4**	**64**	**2000**
5	793	10.5	63	2130
6	761	8.5	88	2470
7	730	6.5	88	2810
	714	**5.4**	**78**	**3000**
8	**700**	**4.1**	**68**	**3160**
9	670	2.0	75	3520
10	644	–2.0	100	3840
	631	**–2.2**	**95**	**4000**
11	614	–2.7	84	4210
12	584	–4.0	50	4620
13	560	–5.2	46	4940
	556	**–5.4**	**50**	**5000**
14	530	–6.7	62	5380

Min.	PPP	TTT	UU	H m. geop.
15	**500**	**−8.8**	**54**	**5830**
	489	**−9.7**	**51**	**6000**
16	480	10.5	49	6140
17	457	12.6	49	6520
18	434	16.3	46	6920
	428	**−17.2**	**46**	**7000**
19	411	20.0	45	7320
20	389	23.0	40	7720
	374	**−24.6**	**38**	**8000**
21	364	25.8	37	8200
22	337	29.9	37	8760
	326	**−31.9**	**37**	**9000**
23	316	33.8	37	9210
	300	**−35.8**	**37**	**9580**
24	295	36.7	37	9690
	282	**−39.0**	**37**	**10000**
25	276	40.5	—	10150
26	255	44.3	—	10680
	243	**−46.5**	—	**11000**
27	236	47.8	—	11200
28	216	51.9	—	11770
	208	**−53.7**	—	**12000**
29	**200**	**−55.8**		**12270**

12. IX. 1951 06.10 h HEC

	1000	—	—	**170**
0	962.4	14.1	100	493
1	929	17.1	93	790
	907	**16.4**	**88**	**1000**
2	891	16.1	85	1140
3	857	14.7	79	1480
	850	**13.6**	**74**	**1560**
4	825	13.0	62	1790
	806	**11.3**	**73**	**2000**
5	795	10.0	77	2100
6	763	7.3	80	2450
7	731	4.6	90	2800
	714	**3.6**	**86**	**3000**
8	**700**	**1.9**	**82**	**3150**
9	669	0.5	74	3520
10	638	1.5	19	3890
	630	**−2.1**	**40**	**4000**
11	611	−3.7	26	4240
12	583	−6.0	45	4610
13	557	−8.5	54	4960
	555	**−8.7**	**52**	**5000**
14	531	−11.3	42	5330
15	507	−14.0	42	5680
	500	**−14.9**	**41**	**5800**
	486	**−16.4**	**40**	**6000**
16	484	−16.7	38	6040
17	459	−18.8	75	6430
18	435	−21.0	90	6830
	425	**−22.0**	**86**	**7000**
19	410	−23.5	80	7260
20	387	−26.5	72	7680
	371	**−28.7**	**71**	**8000**
21	363	−29.7	70	8140
22	341	−33.5	66	8580
23	**321**	**−36.8**	**56**	**9000**
24	**300**	**−40.7**	—	**9470**
25	281	−44.3	—	9910
	277	**−44.8**	—	**10000**
26	261	−48.1	—	10410
27	243	−52.6	—	10870
	238	**−53.5**	—	**11000**
28	227	−56.1	—	11310
	203	**−60.2**	—	**12000**
29	209	−59.6	—	11830
	200	**−60.8**	—	**12100**
30	191	−62.0	—	12380
31	175	−61.1	—	12930

13. IX. 1951 06.10 h HEC

	1000	—	—	**160**
0	959.0	13.7	100	493
1	921	17.0	100	840
	906	**17.0**	**100**	**1000**
2	891	17.0	91	1130
3	861	16.3	70	1420
	850	**16.0**	**66**	**1540**
4	831	15.1	60	1720
	805	**13.7**	**61**	**2000**
5	799	13.4	62	2050
6	772	10.9	90	2330
7	744	8.5	72	2650
8	**713**	**6.1**	**90**	**3000**
	700	**5.3**	**90**	**3160**
9	684	3.9	90	3340
10	653	1.0	78	3720
	631	**−0.9**	**95**	**4000**
11	627	−1.1	100	4040
12	595	−3.0	100	4460
13	568	−5.3	100	4820
	556	**−6.3**	**100**	**5000**
14	541	−7.6	100	5210
15	516	−10.9	100	5590
	500	**−11.7**	**100**	**5820**
16	494	−12.3	100	5910
	488	**−12.6**	**96**	**6000**
17	471	−14.2	88	6270
18	448	−17.1	97	6640
	428	**−19.5**	**97**	**7000**
19	421	−20.5	97	7110
20	398	−23.5	100	7530
21	376	−25.3	93	7940
	373	**−25.6**	**85**	**8000**
22	354	−28.2	47	8370
23	332	−32.0	40	8820
	324	**−33.3**	**39**	**9000**
24	310	−36.2	38	9310
	300	**−38.3**	**37**	**9540**
25	291	−40.4	—	9740
	280	**−42.7**	—	**10000**
26	271	−44.7	—	10230
27	251	−48.4	—	10730
	241	**−50.2**	—	**11000**
28	231	−52.3	—	11280
29	212	−56.3	—	11840
	206	**−57.5**	—	**12000**
	200	**−59.0**	—	**12190**
30	194	60.6	—	12390
31	179	−63.8	—	12890
	176	**−64.4**	—	**13000**
32	163	−66.6	—	13460
33	**149**	**−66.6**	—	**14000**

14. IX. 1951 06.15 h HEC

	1000	—	—	**120**
0	957.0	17.0	100	493
1	916	15.0	96	870
	903	**14.1**	**97**	**1000**
2	882	12.6	97	1190
3	**850**	**9.9**	**98**	**1500**
4	821	8.0	100	1800
	801	**7.7**	**100**	**2000**
5	791	6.6	100	2100
6	755	4.9	100	2470
7	722	3.3	100	2840
	709	**2.2**	**100**	**3000**
	700	**1.8**	**100**	**3100**
8	695	1.3	100	3150
9	666	−1.4	100	3490
10	638	−3.4	99	3840
	625	**−4.2**	**99**	**4000**
11	607	−4.5	99	4230
12	577	−7.0	95	4630
13	**550**	**−8.5**	**97**	**5000**
14	525	−10.3	99	5350
15	**500**	**−12.0**	**100**	**5730**

15. IX. 1951 06.05 h HEC

	1000	—	—	**190**
0	963.0	10.4	100	493
1	918	9.4	100	890
	908	**9.1**	**97**	**1000**
2	875	8.1	95	1290
	850	**9.3**	**93**	**1540**
3	837	9.8	92	1660
4	**805**	**11.6**	**75**	**2000**
5	777	9.5	65	2280
6	749	6.7	71	2590
7	715	3.1	75	2960
	712	**3.0**	**70**	**3000**
	700	**2.8**	**65**	**3150**
8	682	2.2	56	3340
9	650	2.0	20	3740
	629	**0.0**	**20**	**4000**
10	619	−0.7	20	4120
11	584	−3.4	20	4600
12	**553**	**−5.7**	**20**	**5000**
13	524	−8.0	20	5440
	500	**−10.0**	**20**	**5800**
14	493	−10.6	20	5910
	487	**−11.1**	**20**	**6000**
15	467	−13.5	20	6330
16	441	−17.0	25	6750
	427	**−18.8**	**25**	**7000**
17	416	−20.0	25	7190
18	391	−23.4	25	7650
	373	**−25.9**	**25**	**8000**
19	368	−26.5	25	8080
20	345	−29.9	25	8550
21	**323**	**−33.0**	**25**	**9000**
22	**300**	**−36.0**	**25**	**9520**
	280	**−39.2**	**25**	**10000**
23	277	−39.7	25	10080
24	256	−43.5	—	10610
	242	**−46.1**	—	**11000**
25	235	−46.9	—	11180
26	221	−50.1	—	11580

17. IX. 1951 06.05 h HEC

	1000	—	—	**180**
0	963.4	13.8	100	493
1	919	13.0	90	870
	907	**12.2**	**94**	**1000**
2	885	10.8	100	1200
3	**850**	**8.0**	**98**	**1545**
4	817	5.1	100	1850
	804	**4.4**	**100**	**2000**
5	781	3.2	100	2190
6	751	2.4	75	2550
7	720	2.1	51	2880
	711	**1.5**	**47**	**3000**
	700	**1.1**	**40**	**3120**
8	691	0.5	30	3210
9	660	−1.1	92	3570
10	629	−3.9	100	3960
	626	**−4.1**	**100**	**4000**
11	597	−5.1	100	4370
12	570	−8.3	100	4730
	551	**−10.1**	**100**	**5000**
13	541	−11.1	100	5130
14	513	−13.7	67	5540
	500	**−14.3**	**80**	**5750**
15	**483**	**−15.1**	**100**	**6000**
16	461	−16.5	100	6350
17	438	−19.0	86	6720
	427	**−20.9**	**77**	**7000**
18	412	−22.0	70	7180
19	391	−25.6	77	7570
20	369	−28.8	74	7970
	368	**−29.0**	**77**	**8000**
21	346	−32.5	95	8440
22	323	−35.6	90	8920
	320	**−36.2**	**85**	**9000**
23	**300**	**−38.8**	**76**	**9440**
24	281	−42.7	75	9860
	276	**−44.2**	—	**10000**
25	265	−47.4	—	10260
26	246	−51.1	—	10750
	237	**−52.6**	—	**11000**
27	227	−54.1	—	11270
28	211	−58.2	—	11730
	202	**−59.9**	—	**12000**
	200	−60.6	—	12080
29	197	−61.1	—	12170
30	183	−59.2	—	12620

18. IX. 1951 06.05 h HEC

	1000	—	—	**180**
0	962.2	10.8	90	493
1	915	8.8	96	910
	906	**8.1**	**97**	**1000**
2	875	5.7	100	1270
	853	5.9	100	1480
	850	**5.8**	**100**	**1520**
3	837	5.1	100	1640
4	**802**	**2.3**	**100**	**2000**
5	760	−0.1	100	2430
6	720	−2.4	94	2860
	707	**−1.4**	**72**	**3000**
	700	**−0.8**	**60**	**3090**
7	687	0.0	38	3220
8	652	−1.9	38	3650
	624	**−4.1**	**38**	**4000**
9	619	−4.5	38	4060
10	586	−7.7	38	4480
11	552	−9.8	38	4940
	549	**−10.3**	**38**	**5000**
12	525	−13.2	38	5320
	500	**−15.7**	**38**	**5700**
13	497	−16.0	38	5750
	480	**−17.2**	**38**	**6000**
14	467	−18.4	38	6210
15	438	−21.0	38	6680
	420	**−22.9**	**38**	**7000**
16	409	−24.0	38	7190
17	383	−27.4	38	7660
	365	**−30.0**	**38**	**8000**
18	356	−31.4	38	8180
19	332	−35.1	38	8780
	317	**−37.3**	**38**	**9000**
20	307	−38.9	38	9220
	300	**−39.9**	**38**	**9380**
21	284	−41.6	—	9750
	274	**−43.1**	—	**10000**
22	262	−44.7	—	10290
23	240	−47.3	—	10870
	235	**−47.8**	—	**11000**
24	218	−49.4	—	11510

19. IX. 1951 06.05 h HEC

	1000	—	—	**185**
0	963.1	9.3	100	493
1	920	8.3	74	870
	906	**7.1**	**78**	**1000**
2	883	5.9	83	1210
3	**850**	**2.5**	**100**	**1525**
4	811	0.2	100	1900
	801	**0.6**	**96**	**2000**
5	774	2.5	87	2260
6	737	0.7	80	2660
7	**707**	**−0.7**	**36**	**3000**
	700	**−0.7**	**35**	**3080**
8	676	−0.7	31	3360
9	647	−1.3	31	3700
	623	**−3.5**	**31**	**4000**
10	617	−4.2	31	4070
11	584	−7.0	41	4500
12	555	−9.9	33	4900
	548	**−10.4**	**33**	**5000**
13	524	−12.0	32	5350
	500	**−13.9**	**32**	**5705**
14	497	−14.1	32	5750
	481	**−15.7**	**32**	**6000**
15	470	−16.9	32	6160
16	445	−21.0	33	6570
	420	**−24.8**	**39**	**7000**
17	417	−25.1	40	7050
18	392	−29.1	60	7500
19	368	−32.3	60	7930
	365	**−33.0**	**60**	**8000**
20	344	−35.8	60	8410
21	321	−39.7	60	8880
	316	**−40.8**	—	**9000**
22	**300**	**−43.3**	—	**9350**
23	277	−46.4	—	9870
	272	**−47.5**	—	**10000**
24	257	−50.1	—	10370
	233	**−55.0**	—	**11000**
25	227	−56.5	—	11170

20. IX. 1951 06.05 h HEC

	1000	—	—	**220**
0	966.0	2.3	100	493

Min.	PPP	TTT	UU	H m. geop.
	927	9.0	100	830
1	919	8.3	92	900
	910	**7.7**	**86**	**1000**
2	879	6.0	79	1270
	850	**4.8**	**66**	**1560**
3	838	3.9	58	1660
4	**802**	**1.3**	**68**	**2000**
	792	0.5	53	2110
5	779	4.3	41	2250
6	736	2.4	35	2710
	711	**1.0**	**35**	**3000**
7	**700**	**0.1**	**35**	**3110**
8	668	–1.4	38	3490
9	631	–3.7	40	3930
	627	**–4.0**	**40**	**4000**
10	595	–6.5	40	4390
11	562	–9.6	40	4840
	551	**–10.5**	**40**	**5000**
12	530	–12.7	40	5290
13	**500**	**–16.9**	**61**	**5740**
	483	**–18.6**	**67**	**6000**
14	470	–20.1	72	6200
15	443	–22.9	75	6630
	421	**–25.2**	**71**	**7000**
16	414	–26.0	70	7130
17	389	–29.3	70	7580
	367	**–31.9**	**70**	**8000**
18	359	–33.0	70	8150
19	334	–36.8	68	8650
	317	**–39.6**	**70**	**9000**
20	310	–41.0	71	9150
	300	**–42.1**	—	**9380**
21	284	–44.2	—	9750
	274	**–45.5**	—	**10000**
22	262	–47.6	—	10290
23	240	–51.0	—	10870
	235	**–51.8**	—	**11000**
24	220	–54.4	—	11420
	21. IX. 1951 06.15 h HEC			
	1000	—	—	**210**
0	965.4	2.5	100	493
1	911	4.5	100	960
	907	**4.5**	**100**	**1000**
2	876	4.5	100	1280
3	**850**	**4.5**	**100**	**1530**
4	810	7.6	31	1930
	805	**7.1**	**31**	**2000**
5	780	5.3	31	2230
6	749	4.4	31	2550
7	**711**	**2.7**	**33**	**3000**
	700	**1.9**	**34**	**3110**
8	680	0.0	37	3330
9	650	–3.2	36	3690
	626	**–5.6**	**34**	**4000**
10	620	–6.2	34	4060
11	590	–8.8	46	4450
12	565	–10.9	80	4780
	550	**–12.1**	**74**	**5000**
13	539	–12.8	68	5140
14	511	–15.9	53	5540
	500	**–17.5**	**56**	**5720**
15	482	–19.7	66	5970
	481	**–19.8**	**68**	**6000**
16	454	–22.0	90	6410
17	426	–25.6	70	6890
	420	**–26.3**	**66**	**7000**
18	398	–29.3	58	7380
19	373	–32.9	44	7830
	365	**–34.0**	**43**	**8000**
20	347	–36.0	42	8340
21	320	–39.5	41	8900
	316	**–40.2**	—	**9000**
	300	**–42.0**	—	**9340**
22	296	–42.6	—	9430
23	274	–46.2	—	9940
	272	**–46.8**	—	**10000**
24	254	–50.4	—	10450
25	234	–54.6	—	10970
	233	**–55.0**	—	**11000**
26	217	–57.5	—	11450
27	**200**	**–59.5**	—	**11960**

Min.	PPP	TTT	UU	H m. geop.
	22. IX. 1951 06.05 h HEC			
	1000	—	—	**220**
0	964.2	3.5	100	493
1	916	7.8	100	920
	909	**8.2**	**100**	**1000**
2	879	9.1	100	1260
	860	10.3	96	1440
	850	**10.1**	**85**	**1560**
3	836	9.8	70	1680
	806	**8.7**	**29**	**2000**
4	796	8.1	15	2080
5	764	6.7	15	2420
6	733	3.4	15	2760
	713	**1.9**	**18**	**3000**
7	**700**	**0.9**	**20**	**3130**
8	661	–1.6	30	3580
9	**628**	**–3.4**	**23**	**4000**
10	595	–5.3	15	4420
11	564	–8.1	15	4840
	553	**–8.6**	**17**	**5000**
12	532	–9.9	22	5300
13	**500**	**–13.6**	**28**	**5770**
	485	**–16.0**	**33**	**6000**
14	471	–18.4	38	6220
15	445	–21.9	43	6630
	424	**–23.9**	**35**	**7000**
16	417	–24.4	33	7100
17	394	–26.6	28	7520
18	**368**	**–29.8**	**26**	**8000**
19	343	–32.9	26	8510
	320	**–36.6**	**26**	**9000**
20	317	–37.2	26	9070
	300	**–39.3**	**26**	**9440**
21	293	–40.2	—	9610
	276	**–43.0**	—	**10000**
22	273	–43.7	—	10080
23	250	–47.8	—	10670
	238	**–50.2**	—	**11000**
24	231	–51.5	—	11180
25	209	–55.4	—	11830
	204	**–56.4**	—	**12000**
	200	**–57.2**	—	**12110**
26	192	–58.8	—	12360
	24. IX. 1951 06.20 h HEC			
	1000	—	—	**155**
0	960.4	11.0	100	493
1	919	9.2	86	850
	903	**8.1**	**88**	**1000**
2	880	6.8	90	1220
	850	**5.1**	**93**	**1505**
3	840	4.5	94	1590
4	**801**	**3.4**	**100**	**2000**
5	767	3.4	67	2320
6	728	1.3	58	2750
	706	**0.4**	**64**	**3000**
	700	**0.1**	**68**	**3070**
7	694	–0.4	71	3130
8	658	–1.6	94	3550
9	625	–3.0	100	3960
	623	**–3.3**	**100**	**4000**
10	592	–5.7	100	4390
11	561	–9.0	95	4810
	548	**–10.2**	**90**	**5000**
12	527	–12.0	84	5300
13	**500**	**–14.5**	**68**	**5700**
	481	**–16.3**	**40**	**6000**
14	472	–17.1	30	6130
15	444	–20.3	24	6580
16	**418**	**–22.2**	**23**	**7000**
17	392	–25.4	22	7500
18	369	–28.8	20	7930
	366	**–29.4**	**22**	**8000**
19	344	–32.4	24	8430
20	320	–36.3	33	8940
	317	**–36.9**	**35**	**9000**
	300	**–40.5**	—	**9380**
21	295	–41.5	—	9480
	274	**–45.7**	—	**10000**
22	270	–46.2	—	10090
23	247	–51.3	—	10670
	235	**–53.6**	—	**11000**

Min.	PPP	TTT	UU	H m. geop.
24	225	–55.3	—	11270
25	207	–58.3	—	11800
	25. IX. 1951 06.05 h HEC			
	1000	—	—	**160**
0	959.3	8.6	100	493
1	915	8.3	100	890
	903	**8.3**	**100**	**1000**
2	874	8.1	100	1260
	850	**8.1**	**84**	**1500**
3	837	8.1	74	1620
4	**799**	**6.1**	**76**	**2000**
5	761	3.8	80	2400
6	724	1.3	64	2810
	713	0.4	54	2930
	707	**0.5**	**49**	**3000**
	700	**0.0**	**42**	**3080**
7	696	0.5	38	3120
8	659	–1.7	35	3560
9	630	–4.5	33	3910
	623	**–4.9**	**33**	**4000**
10	595	–6.5	32	4370
11	561	–9.2	26	4820
	548	**–9.5**	**24**	**5000**
12	529	–11.9	20	5280
	500	**–14.9**	**20**	**5700**
13	495	–15.5	20	5780
	480	**–17.0**	**20**	**6000**
14	462	–18.9	20	6290
15	434	–22.0	20	6750
	420	**–24.2**	**20**	**7000**
16	406	–26.2	20	7240
17	379	–30.9	20	7740
	365	**–32.7**	**20**	**8000**
18	351	–34.6	20	8270
19	326	–38.7	20	8780
	316	**–40.4**	**20**	**9000**
20	**300**	**–43.2**	**20**	**9350**
21	278	–47.4	—	9850
	272	**–48.1**	—	**10000**
22	257	–50.2	—	10370
23	236	–53.5	—	10920
	233	**–54.0**	—	**11000**
24	216	–57.6	—	11500
	26. IX. 1951 06.10 h HEC			
	1000	—	—	**105**
0	955.1	12.5	100	493
1	920	11.8	75	800
	889	**11.0**	**75**	**1000**
2	885	10.3	75	1120
3	**850**	**8.4**	**76**	**1470**
4	815	5.7	80	1800
	796	**4.0**	**85**	**2000**
5	780	2.9	90	2160
6	744	1.3	96	2550
7	710	–0.5	100	2920
	703	**–1.0**	**100**	**3000**
	700	**–1.3**	**100**	**3040**
8	673	–3.1	100	3340
9	639	–5.7	100	3750
	620	**–8.5**	**97**	**4000**
10	609	–9.7	74	4490
11	580	–11.9	74	4490
12	549	–13.5	66	4920
	544	**–14.0**	**70**	**5000**
13	517	–16.4	86	5370
	500	**–18.1**	**89**	**5630**
14	490	–18.7	90	5760
	476	**–20.3**	**92**	**6000**
15	464	–21.3	93	6170
16	440	–23.2	78	6560
17	418	–26.4	72	6930
	415	**–27.0**	**71**	**7000**
18	396	–29.0	70	7320
19	376	–32.1	72	7700
	360	**–34.8**	**72**	**8000**
20	358	–35.0	72	8030
21	340	–37.9	72	8380
22	321	–40.6	—	8780
	311	**–42.6**	—	**9000**

Min.	PPP	TTT	UU	H m. geop.
23	305	–43.5	—	9140
	300	**–44.6**	—	**9250**
24	287	–46.5	—	9540
25	272	–49.7	—	9890
	268	**–50.3**	—	**10000**
26	255	–52.1	—	10320
27	239	–54.3	—	10740
	27. IX. 1951 06.10 h HEC			
	1000	—	—	**170**
0	960.6	9.7	100	493
1	921	9.6	100	840
	906	**8.9**	**100**	**1000**
2	880	7.6	100	1210
	850	**5.5**	**100**	**1520**
3	845	5.3	100	1550
4	813	2.8	100	1870
	802	**2.0**	**100**	**2000**
5	781	0.4	100	2200
6	751	–1.3	100	2500
7	722	–3.2	100	2820
	707	**–4.2**	**100**	**3000**
	700	**–4.9**	**100**	**3080**
8	694	–5.4	100	3140
9	675	–6.1	62	3550
10	637	–5.2	30	3800
	622	**–5.5**	**30**	**4000**
11	605	–6.4	30	4210
12	576	–8.1	30	4590
13	**547**	**–10.1**	**22**	**5000**
14	519	–12.9	22	5400
	500	**–14.4**	**22**	**5690**
15	488	–15.5	22	5860
	480	**–16.2**	**22**	**6000**
16	462	–18.1	20	6270
17	438	–20.5	24	6670
	419	**–22.8**	**30**	**7000**
18	414	–23.5	32	7090
19	392	–26.6	36	7480
20	368	–30.3	40	7930
	365	**–30.7**	**40**	**8000**
21	346	–33.7	41	8370
22	326	–37.5	44	8780
	316	**–39.0**	—	**9000**
23	304	–40.7	—	9270
	300	**–41.4**	—	**9360**
24	284	–44.5	—	9720
	273	**–46.3**	—	**10000**
25	261	–48.2	—	10290
26	240	–50.9	—	10830
	234	**–51.6**	—	**11000**
27	220	–53.1	—	11400
28	**200**	**–54.9**	—	**12000**
	28. IX. 1951 06.10 h HEC			
	1000	—	—	**130**
0	957.2	8.0	100	493
1	910	8.4	100	910
	900	**8.0**	**98**	**1000**
2	867	6.3	95	1310
	850	**5.6**	**91**	**1475**
3	829	4.8	87	1670
	797	**2.4**	**95**	**2000**
4	790	2.0	100	2060
5	751	0.5	81	2470
6	711	0.8	33	2910
	703	**0.2**	**33**	**3000**
	700	**–0.1**	**33**	**3035**
7	675	–1.8	33	3330
8	641	–3.7	33	3730
	620	**–5.4**	**45**	**4000**
9	613	–5.7	50	4090
10	582	–8.5	69	4480
11	**543**	**–11.8**	**90**	**5000**
12	514	–15.2	100	5430
	500	**–16.6**	**100**	**5650**
13	485	–18.4	100	5860
	477	**–20.0**	**100**	**6000**
14	459	–22.8	100	6280
15	432	–26.5	70	6710
	416	**–28.8**	**50**	**7000**
16	405	–29.3	41	7170

Min.	PPP	TTT	UU	H m. geop.
17	377	–33.4	53	7680
	361	**–35.6**	**56**	**8000**
18	351	–37.0	59	8180
19	325	–40.9	—	8690
	311	**–43.3**	—	**9000**
20	**300**	**–45.2**	—	**9260**
21	278	–50.0	—	9750
	268	**–51.9**	—	**10000**
22	255	–54.7	—	10300
	229	**–58.9**	—	**11000**
23	227	–59.0	—	11050

29. IX. 1951 06.10 h HEC

	1000	—	—	**170**
0	960.3	9.5	100	493
1	916	7.6	100	890
	905	**7.0**	**100**	**1000**
2	882	5.7	100	1200
3	**850**	**3.3**	**100**	**1500**
4	824	1.3	100	1750
5	**799**	**–0.3**	**100**	**2000**
6	773	–1.4	100	2270
7	750	–2.6	100	2500
8	720	–4.6	100	2820
	705	**–6.1**	**100**	**3000**
	700	**–5.9**	**100**	**3060**
9	695	–6.1	100	3100
10	669	–7.3	100	3400
11	644	–8.1	100	3700
12	**620**	**–9.8**	**100**	**4000**
13	600	–12.1	100	4240
14	580	–14.1	100	4510
15	559	–16.2	100	4780
	544	**–17.3**	**100**	**5000**
16	538	–17.8	100	5070
17	515	–20.1	100	5410
	500	**–20.9**	**100**	**5630**
18	490	–21.8	100	5760
	475	**–23.6**	**100**	**6000**
19	471	–24.1	100	6060
20	450	–27.2	100	6390
21	428	–30.4	96	6750
	413	**–32.4**	**94**	**7000**
22	409	–33.0	94	7070
23	389	–33.9	94	7420
24	373	–35.9	94	7720
	358	**–38.6**	**94**	**8000**
25	355	–39.2	94	8050
26	334	–41.1	—	8470
27	315	–43.6	—	8860
	309	**–44.4**	—	**9000**
	300	**–45.6**	—	**9200**
28	296	–46.1	—	9280
29	281	–48.9	—	9630
30	**265**	**–50.1**	—	**10000**
31	249	–49.4	—	10420
32	235	–48.3	—	10790
	228	**–48.4**	—	**11000**
33	222	–48.5	—	11170

1. X. 1951 06.10 h HEC

	1000	—	—	**105**
0	954.7	9.0	100	493
1	919	8.5	100	800
	898	**8.1**	**100**	**1000**
2	877	7.5	100	1180
	850	**9.5**	**70**	**1455**
3	830	10.5	55	1650
4	**796**	**8.1**	**58**	**2000**
5	759	4.7	65	2370
6	721	2.3	66	2800
	704	**0.9**	**66**	**3000**
	700	**0.4**	**66**	**3040**
7	688	–0.4	66	3180
8	655	–3.3	70	3570
9	621	–6.1	85	3970
	620	**–6.2**	**84**	**4000**
10	591	–8.5	77	4360
11	555	–11.1	86	4860
	545	**–11.6**	**88**	**5000**
12	524	–12.5	92	5290
	500	**–14.5**	**72**	**5650**

Min.	PPP	TTT	UU	H m. geop.
13	487	–15.5	62	5850
	478	**–16.6**	**57**	**6000**
14	465	–18.6	53	6200
15	440	–21.0	48	6600
	417	**–24.9**	**46**	**7000**
16	414	–25.5	46	7050
17	390	–29.0	46	7470
18	366	–33.2	46	7920
	363	**–34.0**	**46**	**8000**
19	341	–37.7	46	8420
20	316	–41.3	—	8950
	314	**–42.0**	—	**9000**
	300	**–44.3**	—	**9290**
21	293	–45.7	—	9450
22	272	–49.5	—	9930
	270	**–50.0**	—	**10000**
23	251	–53.3	—	10450
24	234	–56.4	—	10900

2. X. 1951 06.05 h HEC

	1000	—	—	**140**
0	958.1	11.5	95	493
1	912	10.0	100	900
	902	**9.8**	**98**	**1000**
	870	8.9	93	1300
	850	**9.5**	**75**	**1500**
3	825	10.1	59	1740
	800	**8.9**	**59**	**2000**
4	783	7.9	59	2170
5	745	5.2	66	2580
6	713	2.3	70	2940
	708	**1.9**	**72**	**3000**
	700	**1.4**	**74**	**3090**
7	673	–0.4	78	3400
8	636	–4.1	82	3840
	624	**–5.3**	**82**	**4000**
9	600	–7.8	82	4300
10	566	–11.5	100	4760
	549	**–11.7**	**84**	**5000**
11	534	–12.1	68	5200
12	503	–14.9	60	5650
	500	**–15.1**	**59**	**5700**
	481	**–16.9**	**56**	**6000**
13	472	–17.9	54	6100
14	444	–21.6	53	6580
	420	**–24.9**	**51**	**7000**
15	414	–25.4	50	7100
16	389	–29.5	50	7540
	365	**–33.0**	**50**	**8000**
17	361	–33.5	50	8070
18	338	–37.4	50	8520
	316	**–41.3**	—	**9000**
19	314	–41.6	—	9040
	300	**–44.2**	—	**9340**
20	290	–46.3	—	9560
	272	**–48.9**	—	**10000**
21	264	–50.1	—	10190
22	244	–53.3	—	10700

3. X. 1951 06.10 h HEC

	1000	—	—	**175**
0	963.0	12.0	100	493
1	931	10.0	100	770
	906	**8.7**	**100**	**1000**
2	892	8.2	100	1130
3	856	6.5	100	1460
	850	**6.9**	**90**	**1530**
4	821	8.3	68	1800
	803	**6.8**	**55**	**2000**
5	787	5.6	42	2150
6	750	3.0	32	2550
7	718	1.1	25	2890
	710	**0.5**	**24**	**3000**
	700	**–0.2**	**22**	**3105**
8	686	–1.0	20	3260
9	657	–2.7	20	3610
10	626	–4.3	20	3980
	625	**–4.4**	**20**	**4000**
11	594	–7.2	20	4400
12	564	–9.4	20	4800
	550	**–10.4**	**20**	**5000**

Min.	PPP	TTT	UU	H m. geop.
13	535	–11.5	20	5210
14	**500**	**–14.5**	**20**	**5720**
	482	**–16.5**	**20**	**6000**
15	471	–17.2	20	6160
16	448	–19.8	20	6540
17	**420**	**–22.3**	**20**	**7000**
18	396	–26.7	20	7440
19	371	–30.8	20	7920
	367	**–31.7**	**20**	**8000**
20	349	–35.2	20	8330
21	329	–39.1	—	8730
	317	**–41.1**	—	**9000**
22	305	–43.1	—	9270
	300	**–43.9**	—	**9370**
23	285	–46.6	—	9710
	273	**–48.9**	—	**10000**
24	263	–50.9	—	10240
25	243	–54.9	—	10750

4. X. 1951 06.05 h HEC

	1000	—	—	**180**
0	962.7	10.0	90	493
1	920	10.6	96	870
	906	**9.9**	**98**	**1000**
2	877	8.2	100	1260
	850	**6.6**	**100**	**1540**
3	845	6.1	100	1580
	824	7.9	72	1780
4	**803**	**7.6**	**59**	**2000**
	794	7.1	54	2090
5	756	4.2	62	2490
6	713	1.0	70	2960
	711	**1.0**	**69**	**3000**
	700	**0.2**	**61**	**3120**
7	674	–2.3	50	3420
8	637	–5.5	35	3860
	625	**–6.4**	**32**	**4000**
9	602	–8.4	25	4290
10	570	–10.7	25	4720
	550	**–12.7**	—	**5000**
11	540	–13.7	—	5130
12	509	–16.3	—	5580
	500	**–17.1**	—	**5710**
13	**482**	**–19.9**	—	**6000**
	479	–19.0	—	6030
14	450	–23.1	—	6500
15	423	–27.1	—	6950
	420	**–27.7**	—	**7000**
16	396	–31.1	—	7410
17	367	–34.4	—	7940
	365	**–35.0**	—	**8000**
18	340	–38.2	—	8470
	315	**–41.9**	—	**9000**
19	314	–42.0	—	9020
	300	**–44.0**	—	**9330**
20	291	–45.6	—	9540
	271	**–48.6**	—	**10000**
21	268	–49.1	—	10080
22	246	–53.1	—	10660

5. X. 1951 06.15 h HEC

	1000	—	—	**140**
0	957.8	9.0	100	493
1	905	9.0	97	960
	901	**8.7**	**99**	**1000**
2	860	5.9	100	1380
	850	**5.4**	**100**	**1480**
3	820	3.4	100	1760
	804	2.1	100	1930
	797	**2.7**	**95**	**2000**
4	781	4.9	90	2150
5	739	1.5	56	2600
	704	**–1.7**	**36**	**3000**
6	**700**	**–1.9**	**33**	**3050**
7	665	–4.9	26	3450
8	626	–6.8	22	3920
	620	**–7.0**	**22**	**4000**
9	591	–8.4	20	4360
10	559	–11.0	18	4790
	544	**–12.4**	**18**	**5000**
11	528	–13.8	18	5220

Min.	PPP	TTT	UU	H m. geop.
12	**500**	**–16.4**	**18**	**5650**
	477	**–18.6**	**18**	**6000**
13	462	–20.0	18	6230
14	435	–22.7	18	6660
	416	–25.5	18	7000
15	403	–26.9	18	7220
16	376	–31.1	18	7730
	362	**–33.6**	**18**	**8000**
17	349	–35.3	18	8240
18	323	–39.3	18	8780
	313	**–40.8**	—	**9000**
19	**300**	**–42.7**	—	**9290**
20	273	–46.4	—	9910
	269	**–47.2**	—	**10000**
21	253	–50.3	—	10400
	231	**–54.0**	—	**11000**
22	229	–54.3	—	11060
23	211	–57.9	—	11570
	200	**–58.8**	—	**11910**
	197	**–59.1**	—	**12000**
24	194	–59.2	—	12090

6. X. 1951 06.05 h HEC

	1000	—	—	**160**
0	959.2	7.0	90	493
1	921	5.7	100	830
	903	**5.7**	**100**	**1000**
2	884	5.5	100	1170
	850	**4.5**	**97**	**1500**
3	845	4.3	96	1530
4	**798**	**4.3**	**62**	**2000**
5	752	3.2	32	2480
6	713	0.9	28	2910
	706	**0.6**	**28**	**3000**
	700	**0.0**	**27**	**3070**
7	673	–1.9	26	3370
8	637	–5.2	26	3810
	622	**–6.5**	**26**	**4000**
9	603	–8.4	26	4240
10	570	–12.2	26	4670
	546	**–14.8**	**26**	**5000**
11	537	–15.8	26	5120
12	508	–19.2	26	5540
	500	**–20.0**	**26**	**5660**
13	480	–22.1	26	5950
	478	**–22.5**	**26**	**6000**
14	450	–26.1	26	6420
15	422	–30.4	26	6890
	415	**–30.9**	**26**	**7000**
16	390	–33.5	26	7440
17	363	–37.0	26	7940
	360	**–37.4**	**26**	**8000**
18	336	–41.5	—	8470
19	312	–45.7	—	8970
	311	**–45.9**	—	**9000**
	300	**–47.5**	—	**9240**
20	288	–49.5	—	9500
21	**267**	**–53.1**	—	**10000**
22	250	–55.1	—	10420

9. X. 1951 06.05 h HEC

	1000	—	—	**200**
0	963.9	3.5	90	493
1	925	1.9	100	830
	906	**1.8**	**100**	**1000**
2	881	1.7	100	1200
3	**850**	**0.2**	**100**	**1510**
4	809	2.9	31	1910
	800	**2.7**	**32**	**2000**
5	764	1.2	34	2370
6	732	–0.2	34	2710
	706	**–1.4**	**37**	**3000**
	700	**–1.7**	**38**	**3070**
7	697	–1.8	38	3100
8	667	–3.7	48	3450
9	635	–6.0	45	3830
	622	**–6.4**	**44**	**4000**
10	601	–7.2	41	4270
11	566	–11.1	51	4730
	546	**–13.0**	**43**	**5000**
12	534	–14.1	40	5160

Min.	PPP	TTT	UU	H m. geop.
13	508	−17.1	43	5550
	500	**−18.0**	**46**	**5670**
14	482	−19.8	51	5940
	478	**−20.2**	**52**	**6000**
15	**459**	**−21.9**	**55**	**6300**
16	434	−25.6	45	6710
	417	**−27.9**	**40**	**7000**
17	411	−28.5	38	7100
18	386	−32.6	36	7540
	362	**−36.8**	**36**	**8000**
19	359	−37.1	36	8050
20	332	−42.1	—	8590
	312	**−46.0**	—	**9000**
21	309	−46.7	—	9070
	300	**−48.3**	—	**9250**
22	286	−51.6	—	9580

10. X. 1951 06.10 h HEC

	1000	—	—	**200**
0	963.9	1.0	100	493
1	916	4.2	100	910
	905	**3.6**	**100**	**1000**
2	875	2.5	100	1270
	850	**1.9**	**100**	**1510**
3	833	1.6	100	1670
	800	**0.8**	**90**	**2000**
4	794	0.5	87	2040
5	759	−1.5	87	2410
6	721	−3.2	46	2820
	705	**−3.5**	**41**	**3000**
	700	**−3.7**	**39**	**3060**
7	684	−4.0	35	3230
8	651	−6.2	35	3620
9	**620**	**−8.1**	**35**	**4000**
10	591	−11.3	35	4370
11	551	−14.6	35	4900
	544	**−15.5**	**36**	**5000**
12	517	−18.0	38	5380
	500	**−20.2**	**38**	**5640**
13	487	−21.5	38	5820
	476	**−23.3**	**39**	**6000**
14	457	−25.5	40	6290
15	430	−29.5	60	6730
	414	**−31.6**	**52**	**7000**
16	401	−32.9	44	7210
17	373	−36.5	44	7720
	358	**−38.5**	**44**	**8000**
18	347	−39.7	44	8220
19	322	−43.5	44	8720
	309	**−45.8**	**44**	**9000**
	300	**−47.3**	**44**	**9200**
20	297	−47.6	44	9260
21	**265**	**−53.8**	**44**	**10000**

11. 10. 1951 06.05 h HEC

	1000	—	—	**160**
0	960.2	3.0	95	493
1	915	0.2	100	890
	902	**−0.4**	**100**	**1000**
	889	−0.9	100	1110
3	**850**	**1.4**	**100**	**1470**
	796	**−0.7**	**32**	**2000**
4	792	−1.1	28	2040
5	750	−2.7	48	2470
6	709	−5.6	30	2910
	700	**−6.4**	**32**	**3000**
7	672	−8.8	36	3330
8	641	−11.0	30	3690
	615	**−12.4**	**23**	**4000**
9	607	−12.2	20	4110
10	576	−15.0	16	4500
11	542	−17.6	16	4970
	539	**−17.9**	**17**	**5000**
12	508	−22.0	20	5440
	500	**−23.4**	**20**	**5550**
13	480	−26.6	20	5840

12. X. 1951 06.15 h HEC

	1000	—	—	**155**
0	959.2	1.1	100	493
1	906	0.6	97	950
	901	**0.6**	**90**	**1000**
2	860	0.6	75	1360
	850	**0.5**	**70**	**1465**
3	811	−0.1	32	1840
	795	**−1.3**	**32**	**2000**
4	768	−3.5	32	2270
5	729	−5.9	38	2620
	700	**−8.0**	**33**	**2995**
	699	**−8.1**	**33**	**3000**
6	693	−8.4	31	3070
7	656	−11.3	24	3490
8	616	−14.8	29	3970
	614	**−15.2**	**30**	**4000**
9	579	−18.5	32	4430
10	543	−21.2	40	4900
	537	**−21.7**	**35**	**5000**
11	505	−24.1	26	5440
	500	**−24.5**	**25**	**5520**
12	471	−26.3	23	5890
	468	**−27.4**	**23**	**6000**
13	444	−31.2	23	6360
14	416	−36.6	25	6820
	406	**−38.3**	**25**	**7000**
15	390	−40.5	25	7260
16	361	−42.8	—	7730
	350	**−44.1**	—	**8000**
17	335	−45.2	—	8280
18	310	−47.6	—	8800
	301	**−48.0**	—	**9000**
	300	**−48.1**	—	**9020**
19	271	−49.0	—	9610

13. X. 1951 06.05 h HEC

	1000	—	—	**190**
0	962.2	1.0	100	493
1	916	4.2	85	900
	905	**4.5**	**69**	**1000**
2	872	5.0	38	1290
	850	**5.0**	**36**	**1510**
3	832	5.0	34	1680
	800	**3.4**	**44**	**2000**
4	788	2.6	61	2110
5	753	0.2	100	2480
6	721	−2.6	94	2830
	706	**−3.5**	**80**	**3000**
	700	**−3.8**	**71**	**3060**
7	689	−4.4	60	3180
8	656	−6.1	24	3570
9	624	−7.6	22	3960
	621	**−7.7**	**22**	**4000**
10	597	−9.1	20	4300
11	567	−12.1	22	4690
	545	**−13.9**	**30**	**5000**
12	535	−14.7	34	5140
13	505	−16.6	56	5580
	500	**−16.9**	**57**	**5650**
14	**478**	**−18.9**	**60**	**6000**
15	451	−21.5	63	6420
16	425	−23.6	68	6850
	416	**−24.5**	**69**	**7000**
17	399	−26.5	70	7310
18	374	−30.7	75	7770
	362	**−32.4**	**76**	**8000**
19	348	−34.4	77	8270

16. X. 1951 06.05 h HEC

	1000	—	—	**210**
0	965.2	−0.8	100	493
1	918	3.8	100	900
	907	**3.7**	**100**	**1000**
2	879	3.6	100	1250
	850	**4.6**	**57**	**1530**
3	843	4.9	46	1590
4	**803**	**5.9**	**23**	**2000**
5	763	3.3	20	2410
6	729	0.8	20	2770
	708	**−0.6**	**20**	**3000**
	700	**−1.1**	**20**	**3090**
7	695	−1.3	20	3150
8	660	−3.6	20	3560
9	628	−6.3	20	3950
	624	**−6.5**	**20**	**4000**
10	593	−9.1	20	4400
11	560	−13.1	20	4880
	547	**−14.3**	**20**	**5000**
12	531	−16.5	20	5240
13	**500**	**−20.0**	**20**	**5690**
	478	**−22.7**	**20**	**6000**
14	471	−23.6	20	6120
15	442	−26.6	20	6580
	417	**−30.4**	**20**	**7000**
16	413	−31.0	20	7070
17	386	−34.4	20	7540
	361	**−37.6**	**20**	**8000**
18	358	−38.0	20	8060
19	333	−41.4	—	8560
20	**311**	**−45.1**	—	**9060**
	300	**−46.8**	—	**9250**
21	288	−49.1	—	9530
	268	**−52.6**	—	**10000**
22	264	−53.4		10090

17. X. 1951 06.10 h HEC

	1000	—	—	**210**
0	965.8	2.5	100	493
1	920	3.7	100	890
	908	**5.7**	**91**	**1000**
	893	7.8	80	1130
2	875	6.9	60	1290
	850	**7.5**	**30**	**1530**
3	830	7.1	20	1730
	803	**5.1**	**17**	**2000**
4	793	4.5	16	2100
5	754	2.4	16	2500
6	716	0.3	16	2920
	710	**0.0**	**16**	**3000**
	700	**−0.7**	**16**	**3110**
7	678	−2.1	16	3350
8	640	−5.1	16	3800
	625	**−6.4**	**16**	**4000**
9	610	−8.0	16	4190
10	576	−10.1	16	4630
	549	**−12.3**	**17**	**5000**
11	539	−13.2	18	5140
12	506	−16.1	26	5610
	500	**−16.7**	**26**	**5710**
	481	**−18.4**	**26**	**6000**
13	474	−19.1	26	6100
14	445	−21.8	26	6570
	420	**−24.8**	**32**	**7000**
15	418	−25.1	34	7030
16	391	−28.9	26	7500
	365	**−32.7**	**26**	**8000**
17	360	−33.4	26	8090
18	335	−37.4	26	8590
	316	**−40.6**	—	**9000**
19	307	−42.0	—	9190
	300	**−43.3**	—	**9350**
20	284	−46.4	—	9720
	272	**−48.3**	—	**10000**
21	262	−50.1	—	10240
22	240	−52.6	—	10810

18. X. 1951 06.05 h HEC

	1000	—		**175**
0	961.7	5.5	100	493
1	923	3.0	100	840
	904	2.4	90	1000
2	881	1.7	78	1200
	863	4.2	63	1370
	850	**4.0**	**57**	**1500**
3	846	3.9	54	1530
4	809	2.1	61	1890
	799	**1.4**	**67**	**2000**
5	771	−0.6	85	2280
6	737	−2.9	95	2640
7	707	−4.8	100	2970
	704	**−5.1**	**100**	**3000**
	700	**−5.4**	**100**	**3050**
8	668	−7.8	100	3410
9	638	−10.2	100	3770
	619	**−11.6**	**100**	**4000**
10	606	−12.5	100	4150
11	577	−14.4	100	4530
12	545	−16.8	100	4960
	542	**−17.1**	**100**	**5000**
13	516	−19.2	100	5370
	500	**−21.0**	**100**	**5610**
14	483	−23.0	100	5850
	474	**−24.2**	**100**	**6310**
16	426	−30.5	100	6770
	412	**−32.3**	**100**	**7000**
17	395	−34.1	100	7300
18	370	−37.3	98	7740
	357	**−39.1**	**96**	**8000**
19	347	−40.2	94	8180
20	324	−44.5	—	8650
	307	**−48.0**	—	**9000**
21	303	−49.0	—	9090
	300	**−49.5**	—	**9160**
22	283	−52.7	—	9540
23	**263**	**−56.2**	—	**10000**
24	244	−58.3	—	10480

19. X. 1951 06.10 h HEC

	1000	—	—	**110**
0	954.1	6.7	100	493
1	906	5.3	100	930
	897	**5.4**	**96**	**1000**
2	869	5.6	82	1260
	850	**7.8**	**70**	**1440**
3	840	8.4	64	1540
4	800	5.7	62	1940
	794	**5.3**	**64**	**2000**
5	770	3.0	70	2250
6	741	0.4	92	2560
7	711	−1.3	100	2890
	700	**−2.0**	**100**	**3000**
8	674	−3.9	100	3310
9	645	−5.7	100	3650
	618	**−8.7**	**100**	**4000**
10	614	−9.3	100	4050
11	583	−10.8	100	4440
12	553	−14.2	96	4850
	542	**−15.3**	**97**	**5000**
13	525	−17.1	100	5240
	500	**−19.2**	**100**	**5600**
14	496	−19.7	100	5670
	474	**−21.2**	**100**	**6000**
15	469	21.7	100	6080
16	444	−25.2	89	6480
17	417	−27.5	65	6930
	413	**−28.0**	**64**	**7000**
18	391	−30.9	58	7380
19	367	−34.8	58	7840
	358	**−36.1**	**57**	**8000**
20	345	−38.5	54	8270
21	321	−43.0	—	8760
	309	**−45.1**		**9000**
22	**300**	**−47.1**		**9200**
23	277	−50.7	—	9730
	265	**−52.5**	—	**10000**
24	256	−54.0	—	10240
25	237	−57.7	—	10730

20. X. 1951 06.10 h HEC

	1000	—		**130**
0	956.8	8.0	100	493
1	915	8.5	100	850
	901	**8.5**	**94**	**1000**
2	876	8.5	86	1220
	850	**7.2**	**95**	**1470**
3	836	6.3	100	1600
4	800	3.4	100	1970
	797	**3.3**	**100**	**2000**
5	764	1.3	100	2340
6	732	−0.9	100	2690
	704	**−2.9**	**100**	**3000**
	700	**−3.1**	**100**	**3040**
7	697	−3.4	100	3080
8	660	−6.1	83	3500

Min.	PPP	TTT	UU	H m. geop.
9	627	−9.1	80	3900
	619	**−9.6**	**80**	**4000**
10	596	−11.6	80	4300
11	563	−13.7	75	4740
	543	**−14.9**	**67**	**5000**
12	533	−15.4	64	5140
13	**500**	**−17.3**	**58**	**5620**
	475	**−20.0**	**63**	**6000**
14	471	−20.8	64	6070
15	445	−24.0	64	6490
17	416	−28.4	—	6970
	414	**−28.5**	—	**7000**
17	389	−32.6	—	7450
18	361	−37.2	—	7970
	359	**−37.4**	—	**8000**
19	336	−41.3	—	8450
20	314	−44.8	—	8970
	310	**−45.1**	—	**9000**
	300	**−46.5**	—	**9210**

22. X. 1951 06.35 h HEC

	1000	—	—	**100**
0	954.5	9.1	100	493
1	925	6.7	100	740
	897	**4.8**	**100**	**1000**
2	890	4.4	100	1060
3	854	2.8	100	1390
	850	**2.4**	**100**	**1440**
4	819	1.3	100	1730
	793	**−0.3**	**100**	**2000**
5	787	−0.6	100	2050
6	759	−1.3	100	2340
7	731	−2.2	100	2630
8	707	−3.1	100	2900
	700	**−4.1**	**100**	**2990**
	699	**−4.2**	**100**	**3000**
9	682	−5.6	100	3180
10	657	−7.6	100	3480
11	631	−9.4	100	3750
	614	**−11.0**	**100**	**4000**
12	608	−11.3	100	4070
13	586	−13.1	100	4350
14	561	−15.1	100	4640
15	**539**	**−16.9**	**100**	**5000**
16	517	−19.0	92	5300
	500	**−20.3**	**90**	**5550**
17	495	−20.9	89	5620
18	473	−22.6	88	5950
	470	**−23.0**	**88**	**6000**
19	453	−25.3	87	6270
20	432	−28.0	85	6610
21	416	−30.6	83	6870
	409	**−31.8**	**82**	**7000**
22	394	−33.8	80	7270
23	374	−36.7	77	7620
24	356	−39.4	70	7960
	354	**−39.8**	**69**	**8000**
25	336	−42.6	66	8360
26	324	−46.1	—	8660
	305	**−49.0**	—	**9000**
27	**300**	**−49.9**	—	**9110**
28	285	−52.7	—	9430
29	269	−55.1	—	9800
	261	**−56.1**	—	**10000**
30	251	−56.5	—	10250
31	235	−59.5	—	10660

23. X. 1951 06.10 h HEC

	1000	—	—	**140**
0	957.4	2.0	100	493
1	914	−0.4	100	870
	899	**−1.2**	**100**	**1000**
2	879	−1.9	100	1180
	850	**−3.2**	**100**	**1445**
3	843	−3.4	100	1500
4	807	−4.7	100	1840
	792	**−5.3**	**100**	**2000**
5	769	−5.7	100	2210
6	741	−7.5	100	2510
7	710	−8.1	98	2840
	700	**−8.6**	**97**	**2960**
	696	**−8.9**	**96**	**3000**

Min.	PPP	TTT	UU	H m. geop.
8	681	−9.3	96	3170
9	649	−9.3	94	3530
10	621	−10.7	94	3880
	612	**−11.5**	**94**	**4000**
11	595	−12.9	95	4200
12	564	−15.9	94	4610
13	**536**	**−17.9**	**68**	**5000**
14	509	−19.7	84	5370
	500	**−20.4**	**86**	**5520**
15	481	−22.1	90	5780
	468	**−24.3**	**75**	**6000**
16	456	−25.8	67	6180
17	435	−28.9	74	6520
18	414	−32.0	80	6860
	407	**−33.4**	**80**	**7000**
19	392	−35.5	80	7260
20	370	−38.8	80	7650
	352	**−41.6**	—	**8000**
21	346	−42.5	—	8110
22	322	−46.6	—	8580
	303	**−50.0**	—	**9000**
23	**300**	**−50.4**	—	**9060**
24	280	−54.0	—	9500
25	260	−56.7	—	9960
	259	**−57.1**	—	**10000**
26	229	−62.6	—	10760

24. X. 1951 06.10 h HEC

	1000	—	—	**150**
0	957.8	2.8	100	493
1	907	−1.2	100	940
	900	**−1.4**	**100**	**1000**
2	859	−3.2	100	1370
	850	**−3.6**	**100**	**1460**
3	811	−5.7	100	1820
	793	**−3.0**	**94**	**2000**
4	770	0.0	86	2230
5	736	−0.9	70	2600
6	703	−3.5	74	2950
	700	**−3.9**	**74**	**3000**
7	678	−6.7	75	3290
8	633	−9.1	78	3780
	615	**−11.1**	**80**	**4000**
9	601	−12.5	82	4170
10	570	−15.5	80	4570
	539	**−18.0**	**83**	**5000**
11	537	−18.3	83	5030
12	**500**	**−21.5**	**85**	**5550**
	470	**−24.7**	**86**	**6000**
13	469	−24.9	87	6020
14	438	−28.6	85	6510
15	412	−32.7	79	6950
	409	**−33.0**	**79**	**7000**
16	381	−37.1	77	7500
17	**354**	**−41.5**	—	**8000**
18	328	−46.1	—	8500
19	**304**	**−50.6**	—	**9000**
	300	**−51.2**	—	**9090**
20	281	−54.7	—	9520
	260	**−57.1**	—	**10000**
21	257	−57.6	—	10100

26. X. 1951 06.10 h HEC

	1000	—	—	**140**
0	957.1	2.9	100	493
1	914	4.3	100	870
	900	**3.8**	**100**	**1000**
2	875	2.7	100	1230
	850	**1.9**	**100**	**1460**
3	835	1.2	100	1590
	795	**−0.1**	**96**	**2000**
4	791	−0.5	95	2040
5	754	−1.3	70	2530
6	717	−3.1	63	2820
	700	**−4.0**	**63**	**3000**
7	682	−5.2	64	3210
8	648	−7.8	68	3620
9	**615**	**−10.3**	**71**	**4000**
10	585	−12.6	75	4400
11	557	−15.2	75	4770
	541	**−16.6**	**63**	**5000**

Min.	PPP	TTT	UU	H m. geop.
12	527	−17.7	56	5180
	500	**−20.5**	**54**	**5580**
13	492	−21.4	53	5690
	472	**−23.4**	**52**	**6000**
14	462	−24.5	51	6160
15	432	−28.0	50	6640
	411	**−31.1**	**50**	**7000**
16	404	−32.2	50	7120
17	378	−36.1	50	7590
	356	**−40.0**	**50**	**8000**
18	351	−40.9	—	8100
19	327	−44.6	—	8560
20	**306**	**−48.8**	—	**9000**
	300	**−49.7**	—	**9140**
21	282	−52.2	—	9540
	263	**−55.5**	—	**10000**
22	259	−56.0	—	10090
23	237	−59.1	—	10650

27. X. 1951 06.05 h HEC

	1000	—	—	**130**
0	956.9	5.9	90	493
1	903	3.7	100	960
	900	**3.6**	**100**	**1000**
2	867	2.1	100	1290
	850	**2.2**	**92**	**1460**
3	832	2.4	84	1630
4	**796**	**2.2**	**45**	**2000**
5	761	−0.3	37	2340
6	727	−1.8	35	2710
	700	**−4.0**	**35**	**3000**
7	695	−4.6	35	3070
8	663	−6.1	33	3440
9	632	−7.1	32	3810
	616	**−7.9**	**32**	**4000**
10	601	−9.1	32	4200
11	573	−12.0	32	4570
12	543	−15.6	32	4970
	541	**−15.8**	**32**	**5000**
13	511	−19.1	32	5430
	500	**−20.1**	**32**	**5590**
14	480	−22.0	32	5890
	473	**−22.9**	**32**	**6000**
15	453	−25.7	32	6310
16	442	−30.0	32	6820
	412	**−31.7**	**33**	**7000**
17	393	−34.5	34	7320
18	372	−38.5	36	7700
	356	**−40.8**	—	**8000**
19	345	−42.6	—	8220
20	319	−47.1	—	8730
	306	**−49.3**	—	**9000**
	300	**−50.5**	—	**9140**

29. X. 1951 06.10 h HEC

	1000	—	—	**200**
0	963.7	7.0	100	493
1	925	5.8	100	840
	907	**5.7**	**91**	**1000**
2	890	5.4	83	1150
3	857	3.6	88	1460
	850	**3.1**	**90**	**1540**
4	821	1.1	100	1800
	802	**0.0**	**100**	**2000**
5	784	−1.3	100	2180
6	750	−3.3	100	2530
7	718	−5.6	100	2880
	706	**−6.4**	**100**	**3000**
	700	**−6.8**	**100**	**3070**
8	689	−7.6	100	3190
9	658	−9.7	100	3550
10	628	−11.7	100	3910
	620	**−12.1**	**98**	**4000**
11	601	−13.0	93	4250
12	574	−15.9	67	4590
13	549	−17.7	38	4920
	541	**−18.2**	**43**	**5000**
14	522	−22.2	71	5620
	500	**−22.2**	**71**	**5620**
15	492	−22.9	74	5740
	475	**−24.4**	**77**	**6000**
16	469	−25.0	78	6090

Min.	PPP	TTT	UU	H m. geop.
17	445	−27.7	80	6460
18	425	−30.3	80	6800
	413	**−32.2**	**75**	**7000**
19	406	−33.1	73	7110
20	381	−36.9	68	7560
21	363	−39.0	68	7890
	358	**−39.9**	**68**	**8000**
22	344	−41.6	—	8260
23	328	−44.9	—	8580
24	310	−48.2	—	8950
	308	**−48.7**	—	**9000**
	300	**−50.0**	—	**9160**
25	294	−51.0	—	9290
26	278	−54.1	—	9660
	258	**−55.9**	—	**10000**
27	259	−56.4	—	10110
28	243	−57.5	—	10510
29	226	−58.1	—	10970
	225	**−58.1**	—	**11000**
30	213	−59.1	—	11330
31	**200**	**−60.8**	—	**11730**

30. X. 1951 06.10 h HEC

	1000	—	—	**200**
0	963.3	4.0	100	493
1	922	7.8	100	860
	907	**7.3**	**97**	**1000**
2	885	6.2	94	1190
	850	**5.4**	**64**	**1530**
3	847	5.2	62	1560
4	812	3.1	58	1890
	802	**2.6**	**63**	**2000**
5	774	0.3	70	2280
6	743	−2.7	84	2600
7	710	−4.7	88	2970
	707	**−4.8**	**87**	**3000**
	700	**−5.1**	**86**	**3080**
8	676	−7.3	84	3550
9	643	−9.3	70	3750
	622	**−10.3**	**47**	**4000**
10	610	−11.1	36	4150
11	582	−13.0	48	4500
12	552	−15.5	74	4910
	545	**−16.1**	**80**	**5000**
13	524	−18.6	98	5300
	500	**−21.5**	**100**	**5650**
14	495	−22.1	100	5720
	476	**−25.1**	**97**	**6000**
15	469	−26.2	95	6110
16	443	−29.2	87	6520
17	416	−32.7	85	6970
	414	**−32.9**	**85**	**7000**
18	393	−36.1	85	7370
19	369	−39.3	87	7800
	358	**−41.0**	**87**	**8000**
20	344	−43.3	87	8270
21	320	−47.6	—	8770
	308	**−49.5**	—	**9000**
	300	**−51.1**	—	**9180**
22	297	−51.7	—	9240
23	274	−55.8	—	9760
	264	**−57.7**	—	**10000**
24	253	−60.0	—	10260
25	230	−64.5	—	10850
	224	**−65.5**	—	**11000**
26	210	−68.2	—	11400
	200	**−67.6**	—	**11700**
27	193	−67.5	—	11910

31. X. 1951 06.05 h HEC

	1000	—	—	**150**
0	958.8	6.5	100	493
1	912	6.7	100	900
	902	**6.6**	**95**	**1000**
2	873	5.9	86	1260
	850	**5.3**	**80**	**1490**
3	836	3.8	78	1610
4	800	0.1	100	1970
	797	**0.0**	**100**	**2000**
5	761	−2.0	100	2370
6	726	−3.3	96	2740
	703	**−4.8**	**97**	**3000**
	700	**−5.5**	**98**	**3030**

Min.	PPP	TTT	UU	H m. geop.
7	689	–6.7	100	3150
8	651	–10.0	100	3590
9	**617**	**–12.7**	**100**	**4000**
10	583	–14.6	85	4440
11	553	–16.5	66	4830
	541	**–17.7**	**61**	**5000**
12	524	–19.5	55	5230
	500	**–22.4**	**64**	**5590**
13	495	–23.1	66	5650
	472	**–26.3**	**78**	**6000**
14	470	–26.4	81	6030
15	444	–30.0	88	6440
16	418	–34.1	88	6870
	410	**–35.2**	**87**	**7000**
17	392	–37.7	85	7310
18	366	–42.0	—	7780
	354	**–44.2**	—	**8000**
19	342	–46.5	—	8240
20	317	–51.1	—	8730
	304	**–53.1**	—	**9000**
	300	**–53.8**	—	**9090**
21	293	–55.1	—	9210
22	272	–58.5	—	9710
	260	**–60.5**	—	**10000**
23	251	–62.1	—	10220
24	230	–62.7	—	10750
	221	**–62.5**	—	**11000**
25	210	–62.6	—	11310
	200	**–62.1**	—	**11610**
26	194	–62.1	—	11800

1. XI. 1951 06.05 h HEC

	1000	—	—	**120**
0	955.6	3.0	90	493
1	904	0.7	97	940
	897	**0.4**	**95**	**1000**
2	862	–1.1	86	1320
	850	**–2.0**	**88**	**1430**
3	822	–4.4	94	1690
	791	**–6.5**	**95**	**2000**
4	775	–7.5	96	2160
5	733	–11.0	100	2590
	700	**–13.9**	**100**	**2940**
6	**695**	**–14.4**	**100**	**3000**
7	658	–17.1	100	3400
8	622	–19.6	100	3830
	607	**–21.1**	**100**	**4000**
9	588	–22.8	100	4240
10	555	–26.0	98	4660
	529	**–28.5**	**96**	**5000**
11	523	–29.2	95	5090
	500	**–31.5**	**90**	**5410**
12	493	–32.3	88	5500
13	464	–36.1	88	5920
	459	**–36.7**	**86**	**6000**
14	435	–39.1	81	6370
15	408	–39.6	61	6800
	397	**–39.7**	**54**	**7000**
16	382	–39.9	44	7260
17	358	–40.4	—	7700
	343	**–41.2**	—	**8000**
18	336	–41.6	—	8130
19	316	–42.6	—	8540
	300	**–43.7**	—	**8890**
	295	**–44.0**	—	**9000**
20	293	–44.2	—	9060
21	270	–45.2	—	9600
	254	**–45.4**	—	**10000**
22	250	–45.7	—	10120
23	231	–47.1	—	10640
	218	**–48.5**	—	**11000**
24	212	–49.3	—	11200
	200	**–50.2**	—	**11580**
25	197	–50.7	—	11680
	187	**–52.7**	—	**12000**
26	181	–54.1	—	12220
27	165	–54.1	—	12820

2. XI. 1951 06.05 h HEC

	1000	—	—	**150**
0	959.1	4.7	90	493
1	911	0.3	92	910
	901	**–0.7**	**94**	**1000**
2	873	–2.7	98	1240
	850	**–4.4**	**99**	**1460**
3	837	–5.5	100	1580
4	796	–7.5	100	1970
	794	**–7.6**	**100**	**2000**
5	761	–9.7	96	2310
6	726	–12.7	96	2680
	700	**–14.1**	**95**	**2960**
	696	**–14.3**	**95**	**3000**
7	692	–14.8	94	3040
8	656	–18.4	92	3440
	640	–20.4	92	3620
9	622	–19.0	77	3840
	609	**–19.7**	**60**	**4000**
10	598	–20.5	43	4130
11	566	–23.8	38	4530
12	533	–27.5	33	4970
	531	**–27.6**	**33**	**5000**
13	**500**	**–31.6**	**31**	**5430**
14	470	–33.9	26	5860
	461	**–34.1**	**25**	**6000**
15	444	–34.7	23	6250
16	417	–36.6	23	6690
	399	**–38.3**	**23**	**7000**
17	394	–38.9	23	7090
18	372	–41.7	—	7490
19	348	–45.4	—	7930
	344	**–45.9**	—	**8000**
20	325	–49.3	—	8380
21	**300**	**–53.2**	—	**8900**
	295	**–53.7**	—	**9000**
22	276	–57.0	—	9430
23	254	–58.8	—	9960
	252	**–58.9**	—	**10000**
24	230	–61.2	—	10570
	215	**–62.6**	—	**11000**
25	209	–63.2	—	11460

3. XI. 1951 06.10 HEC

	1000	—	—	**090**
0	951.7	4.9	100	493
1	905	3.7	100	910
	895	**3.2**	**100**	**1000**
2	867	1.4	100	1250
	850	**0.4**	**100**	**1420**
3	828	–1.0	100	1620
4	**791**	**–2.4**	**100**	**2000**
5	760	–3.9	100	2300
6	727	–4.9	100	2650
	700	**–5.7**	**100**	**2950**
	695	**–5.9**	**100**	**3000**
7	693	–7.0	100	3030
8	658	–9.7	100	3430
9	619	–12.3	100	3900
	611	**–12.7**	**100**	**4000**
10	588	–14.9	100	4290
11	558	–18.1	70	4690
	535	**–19.6**	**40**	**5000**
12	529	–20.0	32	5070
13	503	–21.5	24	5450
	500	**–21.8**	**24**	**5500**
14	478	–24.2	24	5820
	467	**–25.2**	**28**	**6000**
15	453	–27.4	34	6210
16	430	–30.4	35	6580
17	**406**	**–33.5**	**33**	**7000**
18	385	–36.7	37	7360
19	363	–39.9	44	7770
	351	**–41.7**	—	**8000**
20	340	–43.2	—	8210
21	317	–47.4	—	8670
	302	**–49.5**	—	**9000**
	300	**–49.8**	—	**9040**
22	295	–50.4	—	9140
23	273	–52.9	—	9650
	258	**–54.5**	—	**10000**
24	251	–55.4	—	10190
25	231	–56.9	—	10720
	221	**–57.3**	—	**11000**
26	213	–57.6	—	11220
	200	**–57.6**	—	**11610**
27	197	–57.6	—	11700

5. 11. 1951 06.10 h HEC

	1000	—	—	**090**
0	950.5	1.0	100	493
1	901	3.5	91	920
	893	**3.9**	**75**	**1000**
2	860	5.5	47	1290
	850	**5.5**	**40**	**1400**
3	826	5.5	23	1630
4	791	3.3	30	1980
	789	**3.1**	**32**	**2000**
5	760	1.1	40	2300
6	725	–1.5	48	2680
	700	**–3.4**	**55**	**2960**
7	**696**	**–3.7**	**61**	**3000**
8	664	–5.7	61	3360
9	634	–8.6	89	3720
	612	**–10.5**	**95**	**4000**
10	603	–10.9	100	4120
11	576	–12.1	100	4460
12	549	–12.9	100	4820
	537	**–13.5**	**85**	**5000**
13	517	–14.8	70	5280
	500	**–16.8**	**45**	**5540**
14	490	–17.9	47	5680
	470	**–20.2**	**52**	**6000**
15	462	–21.1	54	6120
16	438	–24.9	63	6520
17	413	–27.4	47	6930
	410	**–28.0**	**45**	**7000**
18	390	–31.0	33	7350
19	365	–34.6	26	7810
	355	**–36.3**	**26**	**8000**
20	344	–38.4	26	8230
21	317	–42.1	—	8780
	307	**–44.4**	—	**9000**
22	**300**	**–45.7**	—	**9150**
23	277	–50.2	—	9670
	263	**–52.6**	—	**10000**
24	254	–54.5	—	10230
25	234	–60.4	—	10760
	225	**–62.5**	—	**11000**
26	216	–64.3	—	11240
27	**200**	**–68.1**	—	**11700**

6. XI. 1951 06.15 h HEC

	1000	—	—	**090**
0	951.3	1.0	100	493
1	907	8.5	75	870
	894	**9.5**	**60**	**1000**
2	865	12.0	32	1280
	850	**13.4**	**23**	**1420**
3	821	11.7	20	1720
	793	**9.2**	**20**	**2000**
4	781	8.1	20	2130
5	743	4.6	20	2520
	701	**1.3**	**20**	**3000**
6	**700**	**1.1**	**20**	**3010**
7	662	0.4	21	3450
8	626	–3.0	27	3890
	618	**–3.7**	**31**	**4000**
9	586	–7.1	38	4420
10	556	–10.1	52	4820
	544	**–11.2**	**56**	**5000**
11	527	–12.3	64	5220
	500	**–14.3**	**70**	**5630**
12	495	–14.9	73	5710
	476	**–17.2**	**60**	**6000**
13	467	–18.3	56	6150
14	440	–21.2	71	6580
	416	**–24.2**	**83**	**7000**
15	412	–24.7	86	7060
16	385	–27.9	82	7560
17	**362**	**–31.3**	**77**	**8000**
18	333	–35.5	72	8570
	313	**–39.0**	**68**	**9000**
19	310	–39.4	67	9070
	300	**–41.6**	—	**9300**
20	284	–44.5	—	9660

7. XI. 1951 06.10 h HEC

	1000	—	—	**060**
0	949.0	7.0	100	493
	893	**7.9**	**100**	**1000**
1	880	7.8	100	1110
	850	**6.8**	**70**	**1400**
2	845	6.1	60	1440
3	803	4.1	69	1850
	790	**2.6**	**80**	**2000**
4	769	0.2	98	2300
5	738	–2.4	100	2630
6	**700**	**–5.6**	**100**	**2960**
	696	**–6.0**	**100**	**3000**
7	665	–7.1	100	3350
8	634	–9.4	100	3710
	612	**–10.8**	**100**	**4000**
9	599	–11.7	100	4160
10	566	–13.7	98	4580
	537	**–15.9**	**84**	**5000**
11	533	–16.1	78	5050
12	505	–19.2	44	5440
	500	**–20.1**	**43**	**5530**
13	480	–22.6	40	5810
	469	**–24.3**	**40**	**6000**
14	453	–26.6	40	6240
15	427	–30.2	45	6660
	408	**–32.9**	**75**	**7000**
16	402	–33.6	85	7080
17	376	–36.8	74	7550
18	**352**	**–40.5**	**64**	**8000**
19	329	–44.2	—	8450
20	307	–47.9	—	8910
	304	**–48.6**	—	**9000**
	300	**–49.4**	—	**9080**
21	284	–51.8	—	9420
22	261	–53.6	—	9970
	260	**–54.0**	—	**10000**
23	240	–56.1	—	10500
	222	**–58.0**	—	**11000**
24	216	–58.4	—	11170
25	**200**	**–59.6**	—	**11660**
	189	**–60.8**	—	**12000**
26	183	–61.2	—	12210
27	166	–61.2		12800

8. XI. 1951 06.10 h HEC

	1000		—	**535**
0	938.2	5.2	100	493
1	892	8.9	100	920
	882	9.4	70	1000
2	855	10.5	47	1260
	850	**10.4**	**47**	**1310**
3	813	9.7	47	1660
	782	**6.3**	**47**	**2000**
4	774	5.7	47	2070
5	738	2.9	55	2470
6	**700**	**0.1**	**85**	**2890**
	691	**–1.1**	**90**	**3000**
7	667	–3.6	100	3280
8	626	–7.0	100	3760
	608	**–8.1**	**100**	**4000**
9	590	9.3	100	4220
10	558	–12.3	100	4650
	534	**–14.7**	**100**	**5000**
11	528	15.1	100	5080
	500	**–18.3**	**100**	**5490**
12	493	–19.0	100	5590
	467	**–21.3**	**100**	**6000**
13	461	–21.7	100	6090
14	431	–24.7	100	6570
	107	**–28.9**	**100**	**7000**
15	402	–29.6	100	7070
16	373	–34.9	100	7610
	352	**–38.1**	**100**	**8000**
17	348	–38.7	100	8090
18	321	–43.4	—	8630
	304	**–46.5**	—	**9000**
	300	**–47.3**	—	**9090**
19	295	–47.9	—	9190
20	271	–52.1	—	9750
	261	**–54.0**	—	**10000**

Min.	PPP	TTT	UU	H m. geop.
21	250	−56.0	—	10260
22	225	−59.5	—	10910
	222	**−60.4**	—	**11000**
23	210	−62.4	—	11350
	200	**−63.7**	—	**11660**
24	195	−63.9	—	11800
	189	**−63.3**	—	**12000**
25	179	−61.9	—	12330
	161	**−60.2**	—	**13000**
26	158	−60.1	—	13100

9. XI. 1951 06.10 h HEC

	1000	—	—	**090**
0	940.0	5.0	100	493
1	892	6.0	100	910
	884	**5.6**	**100**	**1000**
2	856	4.4	100	1250
	850	**4.0**	**100**	**1320**
3	820	2.4	100	1590
4	785	0.6	90	1950
	781	**0.5**	**82**	**2000**
5	752	0.3	47	2290
6	719	−1.9	41	2650
	700	**−3.1**	**42**	**2875**
	689	**−3.5**	**43**	**3000**
7	683	−3.8	43	3060
8	649	−6.5	48	3460
9	617	−9.2	50	3850
	606	**−10.2**	**50**	**4000**
10	587	−11.6	49	4240
11	564	−14.4	45	4530
12	534	−17.2	41	4950
	531	**−17.7**	**41**	**5000**
13	508	−20.0	41	5330
	500	**−20.9**	**42**	**5445**
14	483	−22.4	46	5700
	463	**−24.2**	**46**	**6000**
15	459	−24.5	45	6070
16	431	−27.4	43	6520
17	407	−31.5	41	6930
	403	**−32.2**	**41**	**7000**
18	383	−35.9	41	7360
19	357	−39.6	41	7830
	349	**−41.0**	—	**8000**
20	331	−43.3	—	8340
21	306	−47.6	—	8870
	300	**−49.0**	—	**9000**
22	286	−51.9	—	9310
23	260	−54.0	—	9920
	257	**−53.8**	—	**10000**
24	238	−51.9	—	10490
25	226	−50.9	—	10820
	220	**−51.6**	—	**11000**
26	213	−51.8	—	11120
27	**200**	**−53.5**	—	**11620**
	189	**−54.0**	—	**12000**
28	183	−54.2	—	12180
29	168	−56.2	—	12720
	161	**−57.6**	—	**13000**
30	157	−58.3	—	13160
31	141	−58.9	—	13850

10. XI. 1951 06.15 h HEC

	1000	—		**020**
0	943.9	5.0	100	493
1	902	8.0	100	850
	887	**7.9**	**95**	**1000**
2	864	7.5	87	1210
	850	**6.9**	**82**	**1350**
3	826	5.8	72	1580
4	790	1.9	54	1940
	785	**1.5**	**54**	**2000**
5	750	2.1	54	2370
6	712	1.0	58	2790
	700	**−0.3**	**60**	**2930**
	693	**−1.0**	**62**	**3000**
7	674	−3.2	65	3230
8	637	−7.1	71	3670
	610	**−9.5**	**70**	**4000**
9	604	−10.0	70	4080
10	572	−12.9	70	4500
11	544	−16.0	76	4880
	535	**−16.7**	**78**	**5000**
12	516	−19.0	82	5270
	500	**−20.0**	**82**	**5510**
13	488	−20.7	82	5690
	468	**−23.0**	**82**	**6000**
14	457	−24.3	82	6170
15	430	−27.5	82	6610
16	**406**	**−30.7**	**80**	**7000**
17	380	−34.8	80	7490
18	354	−39.0	77	7970
	352	**−39.1**	**77**	**8000**
19	329	−42.9		8470
20	306	−47.0		8950
	304	**−47.3**		**9000**
	300	−48.0		9080
21	284	−51.2		9440
22	261	−55.7		9910
	260	**−56.4**		**10000**
23	240	−60.4		10510
24	**222**	**−60.5**		**11000**
25	205	−59.2		11500
	200	−57.9		11650
	189	**−55.2**		**12000**
26	187	−54.9		12090
27	172	−57.0		12600

12. XI. 1951 06.10 h HEC

	1000	—	—	**545**
0	936.6	6.2	100	493
1	898	4.3	100	840
	880	**3.0**	**100**	**1000**
2	864	2.0	100	1150
	850	**1.0**	**100**	**1280**
3	835	0.0	100	1420
4	804	0.9	100	1720
	777	**−1.5**	**100**	**2000**
5	774	1.6	100	2030
6	743	−2.5	100	2350
7	720	−4.0	100	2600
	700	**−5.0**	**100**	**2825**
8	691	−5.1	100	2880
	684	**−6.1**	**100**	**3000**
9	675	−6.4	100	3100
10	652	−7.9	100	3370
11	626	−9.1	100	3690
12	606	10.1	100	3940
	602	**−11.1**	**100**	**4000**
13	584	12.2	100	4220
14	563	13.2	100	4490
15	541	13.9	95	4790
	528	**−15.2**	**92**	**5000**
16	521	15.7	90	5090
17	**500**	**−17.4**	**87**	**5100**
18	476	19.2	81	5750
	461	**−20.3**	**79**	**6003**
19	458	−20.6	79	6050
20	437	−23.2	77	6390
21	417	−25.6	76	6720
	402	**−27.8**	**75**	**7000**
22	399	−28.2	75	7040
23	383	−31.2	73	7300
24	365	−34.5	70	7670
25	**349**	**−37.8**	**68**	**8000**
26	332	−41.0		8330
27	317	−44.5		8640
28	**300**	**−47.6**		**9000**
29	285	−50.0		9310
30	272	−52.3		9640
31	**257**	**−55.6**		**10000**
32	241	−58.5		10410
	238	−59.7		10620
33	221	−59.0		10950
	219	**−58.7**		**11000**
34	207	−56.8		11370
	200	**−56.4**		**11590**
35	197	−56.2		11690

13. XI. 1951 06.05 h HEC

	1000			**020**
0	944.0	6.6	80	493
1	899	4.7	100	890
	887	**4.0**	**100**	**1000**
2	859	2.5	100	1260
	850	**2.2**	**100**	**1350**
3	827	0.9	100	1560
4	793	0.8	100	1910
	784	**−1.3**	**100**	**2000**
5	761	−2.9	100	2230
6	736	−4.3	100	2500
7	710	−6.4	100	2780
	700	**−7.0**	**100**	**2890**
	690	**−7.9**	**100**	**3000**
8	687	−8.1	100	3030
9	663	−10.0	100	3310
10	638	11.9	100	3600
11	614	−14.3	100	3900
	606	**−14.5**	**99**	**4000**
12	586	−16.0	97	4250
13	561	−18.0	95	4580
14	538	−20.0	92	4890
	530	**−20.6**	**91**	**5000**
15	518	−22.1	88	5170
	500	**−23.7**	**85**	**5430**
16	493	−24.4	84	5530
17	470	−27.3	84	5870
	462	**−28.4**	**82**	**6000**
18	451	−30.0	80	6170
19	430	−33.0	76	6500
20	409	−35.7	75	6870
	401	**−36.8**	**75**	**7000**
21	386	−38.9	74	7250
22	366	−42.0		7620
23	**346**	**−44.6**	—	**8000**
24	330	−46.3	—	8310
25	314	−48.2	—	8630
	300	**−49.1**	—	**8940**
	297	**−49.2**	—	**9000**
26	295	−49.4	—	9060
27	276	−50.4		9490
28	258	−50.9		9930
	255	**−51.0**	—	**10000**
29	242	−51.9	—	10350
30	225	−51.3	—	10810
	218	**−51.0**	—	**11000**
31	210	−50.7	—	11260
	200	**−50.4**		**11570**
32	196	−50.4		11700
	187	**−50.3**		**12000**
33	181	−50.1	—	12220

14. XI. 1951 06.10 h HEC

	1000	—		**075**
0	950.3	5.1	100	193
1	905	2.4	100	880
	893	**1.5**	**100**	**1000**
2	864	0.5	100	1260
	850	**−1.7**	**100**	**1390**
3	829	3.0	100	1590
4	794	5.1	100	1930
	787	**−5.6**	**100**	**2000**
5	758	−7.1	100	2280
6	717	9.6	100	2720
	700	**−11.3**	**100**	**2910**
	691	**−11.8**	**100**	**3000**
7	681	−12.6	100	3120
8	639	16.0	100	3600
	606	**−18.1**	**100**	**4000**
9	597	−18.8	100	4100
10	561	21.4	100	4570
11	**527**	**−24.0**	**100**	**5000**
12	**500**	**−27.2**	**100**	**5405**
13	479	31.2	100	5840
	460	**−32.5**	**100**	**6000**
14	441	35.0	100	6290
15	415	38.2	94	6710
	398	**−41.0**	**85**	**7000**
16	386	42.8	80	7200
17	360	45.8	72	7670
	343	**−47.7**	**74**	**8000**
18	335	−48.6	75	8150
	319	−50.8	83	8460
19	307	−49.9	75	8720
	300	**−51.2**	**73**	**8860**
	294	**−52.1**	**71**	**9000**
20	288	−52.9	70	9130
21	264	−56.0	68	9690
	251	**−55.4**	**66**	**10000**
22	246	−55.0	65	10130
23	230	−55.0	62	10560
24	**214**	**−52.0**	**60**	**11000**
25	**200**	**−52.0**	**55**	**11460**

15. XI. 1951 06.10 h HEC

	1000		—	**175**
0	960.8	2.5	100	493
1	912	2.3	96	910
	903	**1.9**	**96**	**1000**
2	865	0.1	96	1340
	850	**−0.9**	**93**	**1490**
3	824	−2.9	87	1720
	796	**−5.4**	**85**	**2000**
4	788	−6.3	84	2070
5	752	−8.0	78	2440
6	713	−8.7	56	2860
	700	**−9.0**	**53**	**3000**
7	682	−9.4	49	3190
8	647	−11.8	40	3600
9	**615**	**−13.9**	**31**	**4000**
10	579	−15.4	36	4450
11	545	−17.2	42	4890
	538	**−17.7**	**43**	**5000**
12	513	−19.2	44	5340
	500	**−20.4**	**43**	**5550**
13	486	−21.5	42	5740
	470	**−23.1**	**42**	**6000**
14	459	−24.0	42	6170
15	430	−27.8	38	6640
	409	**−29.1**	**33**	**7000**
16	407	−29.2	32	7040
17	384	−32.3	30	7440
18	360	−35.4	30	7900
	355	**−36.1**	**30**	**8000**
19	337	−38.3	30	8360
20	315	−39.8	30	8820
	307	**−40.6**		**9000**
	300	**−41.3**		**9160**
21	293	−42.3		9320
22	272	−46.7		9800
	264	**−48.3**		**10000**
23	252	−51.0		10310
24	231	−54.4		10880
	226	**−55.3**		**11000**
25	213	−57.9		11400
	200	**−58.7**		**11780**
26	196	−59.1		11910
	193	**−59.3**		**12000**
27	181	−61.5		12420
28	166	−65.6		12930

16. XI. 1951 06.10 h HEC

	1000			**185**
0	962.3	1.0	100	193
1	914	2.9	100	920
	904	**3.4**	**85**	**1000**
2	872	4.0	65	1280
3	**850**	**7.7**	**39**	**1505**
4	**797**	**4.7**	**55**	**2000**
5	749	2.1	45	2500
6	710	1.0	35	2940
	706	**−1.5**	**40**	**3000**
	700	**−2.1**	**43**	**3075**
7	673	1.0	58	3360
8	639	7.3	67	3770
	621	**−9.1**	**70**	**4000**
9	**606**	**−10.5**	**75**	**4190**
10	572	14.0	70	4630
	545	**−15.3**	**63**	**5000**
11	536	−16.0	60	5120
12	508	−18.9	58	5510
	500	**−19.8**	**57**	**5650**
13	**477**	**−21.9**	**54**	**6000**
14	449	−25.5	48	6420

Min.	PPP	TTT	UU	H m. geop.
15	423	–26.4	45	6860
	415	**–27.5**	**45**	**7000**
16	396	–29.7	47	7330
17	369	–33.7	47	7830
	361	**–35.2**	**47**	**8000**
18	343	–37.4	47	8340
19	319	–41.1	—	8840
	312	**–42.4**	—	**9000**
	300	**–44.5**	—	**9260**
20	296	–45.3	—	9350
21	273	–49.0	—	9880
	268	**–50.0**	—	**10000**
22	249	–53.1	—	10470
23	**229**	**–57.2**	—	**11000**
24	210	–60.3	—	11540
	200	**–61.8**	—	**11860**
	195	**–62.4**	—	**12000**
25	192	–62.8	—	12090
26	177	–63.6	—	12600

17. XI. 1951 06.05 h HEC

	1000	—	—	**140**
0	956.0	–0.6	100	493
1	920	3.2	100	810
	898	**4.1**	**78**	**1000**
2	884	4.3	63	1140
3	**850**	**3.7**	**30**	**1450**
4	813	3.7	22	1810
	794	**2.9**	**22**	**2000**
5	774	2.0	22	2210
6	738	–0.7	30	2600
7	705	–2.6	26	2950
	700	**–3.0**	**28**	**3000**
8	668	–4.9	37	3380
9	636	–7.4	70	3760
	616	**–8.9**	**72**	**4000**
10	604	–10.0	74	4160
11	575	–12.2	46	4530
12	548	–14.9	20	4890
	541	**–15.7**	**22**	**5000**
13	519	–17.7	25	5300
	500	**–19.5**	**40**	**5590**
14	490	–20.4	52	5730
	472	**–22.4**	**72**	**6000**
15	462	–23.5	82	6170
16	437	–26.3	90	6570
17	414	–30.2	93	6960
	412	**–30.4**	**93**	**7000**
18	389	–34.0	95	7400
19	365	–38.4	100	7840
	356	**–39.7**	**100**	**8000**
20	342	–42.1	—	8280
21	317	–46.2	—	8780
	307	**–48.0**	—	**9000**
	300	**–49.1**	—	**9150**
22	297	–49.5	—	9220
23	272	–54.1	—	9780
	263	**–55.9**	—	**10000**
24	251	–58.2	—	10290
25	230	–61.8	—	10840
	224	**–62.6**	—	**11000**
26	212	–64.8	—	11340
	200	**–63.9**	—	**11690**
27	194	–63.6	—	11880

19. XI. 1951 06.10 h HEC

	1000	—	—	**000**
0	941.5	5.1	100	493
1	896	3.8	100	900
	885	**3.3**	**100**	**1000**
2	**850**	**2.0**	**100**	**1325**
3	807	–0.5	100	1740
	781	**–1.5**	**100**	**2000**
4	768	–1.9	100	2130
5	739	–3.5	100	2440
6	710	–4.6	100	2760
	700	**–5.2**	**100**	**2865**
	688	**–5.6**	**100**	**3000**
7	680	–5.9	100	3090
8	650	–7.6	100	3450
9	620	–10.0	100	3810
	605	**–11.1**	**100**	**4000**
10	**592**	**–12.0**	**100**	**4160**
11	562	–14.6	100	4550
12	536	–16.5	100	4910
	530	**–16.8**	**99**	**5000**
13	510	–18.2	98	5290
	500	**–19.2**	**96**	**5435**
14	487	–20.0	95	5630
15	**463**	**–23.0**	**91**	**6000**
16	438	–26.0	85	6400
17	417	–28.2	80	6760
	403	**–30.2**	**78**	**7000**
18	393	–31.6	77	7180
19	373	–34.8	77	7550
20	354	–38.2	75	7900
	349	**–39.3**	**73**	**8000**
21	337	–42.2	—	8240
22	317	–46.0	—	8660
	301	**–49.4**	—	**9000**
23	**300**	**–49.6**	—	**9020**
24	283	–53.0	—	9410
25	264	–56.4	—	9840
	257	**–57.3**	—	**10000**
26	244	–59.0	—	10340
27	226	–61.2	—	10800
	219	**–59.9**	—	**11000**
28	210	–58.0	—	11260
	200	**–56.6**	—	**11580**
29	195	–56.0	—	11730
	187	**–56.9**	—	**12000**
30	179	–57.8	—	12280
31	164	–58.6	—	12810
	160	**–59.1**	—	**13000**
22	147	–59.8	—	13500

20. XI. 1951 06.05 h HEC

	1000	—	—	**060**
0	948.2	3.8	100	493
1	896	3.3	100	950
	891	**3.2**	**99**	**1000**
2	859	1.6	96	1290
	850	**0.9**	**97**	**1390**
3	825	–0.9	100	1620
4	**785**	**–2.4**	**100**	**2000**
5	749	–1.1	100	2380
6	709	–2.7	97	2830
	700	**–3.2**	**98**	**2930**
	693	**–3.6**	**98**	**3000**
7	677	–4.7	99	3190
8	646	–7.1	100	3550
9	614	–8.4	100	3950
	611	**–8.5**	**100**	**4000**
10	585	–10.1	100	4320
11	554	–12.2	100	4740
	536	**–13.7**	**100**	**5000**
12	524	–14.7	100	5160
13	**500**	**–17.3**	**100**	**5520**
14	470	–20.0	99	5970
	469	**–21.1**	**99**	**6000**
15	444	–22.6	98	6400
16	419	–26.3	96	6820
	409	**–27.8**	**95**	**7000**
17	392	–30.0	94	7290
18	367	–34.3	93	7770
	355	**–36.2**	**91**	**8000**
19	341	–38.3	90	8270
20	319	–42.4	—	8730
	306	**–44.6**	—	**9000**
	300	**–45.5**	—	**9130**
21	295	–46.4	—	9260
22	273	–51.1	—	9760
	263	**–53.0**	—	**10000**
23	253	–55.2	—	10250
24	232	–59.4	—	10790
	225	**–60.7**	—	**11000**
25	212	–63.0	—	11360
	200	**–61.6**	—	**11710**
26	198	–61.5	—	11780
	191	**–60.1**	—	**12000**
27	182	–58.5	—	12300

21. XI. 1951 06.35 h HEC

	1000	—	—	**040**
0	946.5	7.1	100	493
1	897	5.5	100	920
	890	**6.0**	**96**	**1000**
2	861	7.1	90	1260
	850	**6.3**	**80**	**1375**
3	827	5.1	69	1590
4	788	3.0	64	1980
	787	**2.9**	**65**	**2000**
5	751	0.0	74	2370
6	713	–3.2	90	2780
	700	**–4.3**	**93**	**2935**
	694	**–4.5**	**95**	**3000**
7	665	–6.2	100	3330
8	623	–10.8	100	3840
	610	**–10.5**	**75**	**4000**
9	592	–10.3	37	4220
10	563	–12.3	53	4600
	535	**–17.0**	**74**	**5000**
11	533	–17.3	75	5030
12	507	–19.1	100	5400
	500	**–19.5**	**80**	**5510**
13	478	–20.5	51	5840
	468	**–22.0**	**43**	**6000**
14	451	–23.9	33	6270
15	426	–26.4	29	6680
	407	**–29.2**	**29**	**7000**
16	400	–30.1	29	7130
17	371	–33.6	29	7650
	353	**–36.6**	**29**	**8000**
18	341	–37.9	29	8240
19	317	–42.1	—	8730
	305	**–43.8**	—	**9000**
	300	**–44.5**	—	**9110**
20	294	–45.3	—	9240
21	269	–48.8	—	9820
	262	**–49.7**	—	**10000**
22	250	–50.9	—	10300
23	229	–53.3	—	10870
	225	**–53.8**	—	**11000**
24	211	–55.5	—	11400
	200	**–57.0**	—	**11740**
25	**191**	**–57.9**	—	**12000**
26	173	–60.9	—	12630
	164	**–59.7**	—	**13000**
27	153	–58.5	—	13400

22. XI. 1951 06.05 h HEC

	1000	—	—	**070**
0	949.1	3.8	90	493
1	919	1.4	94	750
	892	**–0.3**	**93**	**1000**
2	882	–0.9	90	1090
	850	**–2.9**	**96**	**1380**
3	844	–3.4	98	1440
4	805	–5.7	100	1810
	785	**–6.8**	**100**	**2000**
5	764	–8.2	100	2220
6	725	–11.2	100	2620
	700	**–12.8**	**100**	**2890**
7	**688**	**–13.7**	**100**	**3000**
8	653	–16.2	98	3410
9	621	–18.7	84	3790
	604	**–20.1**	**79**	**4000**
10	592	–21.2	75	4150
11	563	–23.7	67	4510
12	536	–26.5	67	4870
	527	**–27.8**	**67**	**5000**
13	511	–29.8	67	5210
	500	**–31.1**	**66**	**5370**
14	480	–33.5	63	5660
	457	**–36.6**	**63**	**6000**
15	451	–37.5	63	6090
16	425	–41.0	—	6490
17	400	–44.2	—	6900
	394	**–44.3**	—	**7000**
18	377	–44.9	—	7300
19	354	–46.7	—	7720
	339	**–48.3**	—	**8000**
20	329	–49.6	—	8200
21	306	–50.7	—	8470
	300	**–50.3**	—	**8800**
	291	**–49.6**	—	**9000**
22	287	–49.5	—	9080
23	269	–49.5	—	9490

23. XI. 1951 06.10 h HEC

	1000	—		**100**
0	952.1	–0.5	100	193
1	905	0.5	88	890
	894	**–0.6**	**96**	**1000**
2	871	–3.1	100	1290
	850	**–4.2**	**94**	**1400**
3	834	–5.1	91	1530
4	795	–5.6	69	1910
	787	**–6.3**	**68**	**2000**
5	759	–9.0	64	2280
6	719	–9.6	59	2690
	700	**–10.1**	**50**	**2910**
	691	**–10.3**	**47**	**3000**
7	683	–10.5	44	3080
8	646	–10.5	39	3540
9	613	–12.3	39	3940
	607	**–12.6**	**39**	**4000**
10	580	–14.1	39	4330
11	548	–16.3	39	4750
	532	**–17.4**	**39**	**5000**
12	514	–18.4	39	5250
	500	**–20.0**	**39**	**5455**
13	479	–22.5	40	5760
	464	**–25.1**	**42**	**6000**
14	450	–27.3	44	6220
15	423	–31.3	60	6670
	403	**–34.6**	**64**	**7000**
16	399	–35.1	65	7070
17	379	–38.7	70	7420
18	350	–41.6	80	7960
	348	**–41.7**	**77**	**8000**
19	325	–42.0	53	8400
20	**300**	**–43.3**	**44**	**9080**
21	278	–45.6	—	9560
	258	**–48.5**	—	**10000**
22	254	–49.0	—	10120
23	231	–50.6	—	10730
	222	**–51.0**	—	**11000**
24	211	–51.4	—	11220
	200	**–53.1**	—	**11670**
25	191	–54.0	—	11950
	190	**–54.2**	—	**12000**
26	171	–56.5	—	12660
	162	**–58.3**	—	**13000**
27	157	–59.1		13200

24. XI. 1951 06.10 h HEC

	1000	—	—	**110**
0	954.8	6.0	90	193
1	919	7.0	84	810
	898	**6.1**	**91**	**1000**
2	877	5.1	89	1190
	850	**3.6**	**90**	**1440**
3	837	2.8	91	1570
4	**795**	**1.1**	**93**	**2000**
5	755	–1.5	100	2490
6	719	–2.7	100	2790
	700	**–3.3**	**100**	**3000**
7	678	–4.3	100	3260
8	644	–6.6	100	3660
	616	**–8.5**	**99**	**4000**
9	609	–9.0	98	4080
10	576	–11.4	94	4580
11	543	–14.1	92	4970
	540	**–14.2**	**92**	**5000**
12	515	–16.2	90	5320
	500	**–17.3**	**90**	**5580**
13	491	–18.1	90	5750
	473	**–19.7**	**88**	**6000**
14	462	–20.9	88	6180
15	436	–24.4	86	6660
	412	**–26.8**	**84**	**7000**
16	409	–27.3	84	7060
17	383	–30.3	82	7580

Min.	PPP	TTT	UU	H m. geop.
18	**358**	**–34.9**	**81**	**8000**
19	333	–38.1	81	8510
20	**309**	**–42.0**	**80**	**9000**
	300	**–43.4**	**—**	**9200**
21	287	–46.1	—	9500
22	267	–49.5	—	9980
	266	**–49.6**	**—**	**10000**
23	245	–53.3	—	10530
	228	**–56.3**	**—**	**11000**
24	225	–56.9	—	11090
25	208	–60.8	—	11580
	200	**–62.1**	**—**	**11810**
	194	**–63.2**	**—**	**12000**
26	192	–63.7	—	12060
27	177	–65.1	—	12570
	165	**–64.5**	**—**	**13000**
28	**159**	**–64.1**	**—**	**13220**
	26. XI. 1951 06.10 h HEC			
	1000	—	—	**180**
0	962.6	7.0	90	493
1	916	5.0	89	890
	905	**4.2**	**91**	**1000**
2	870	1.7	94	1320
	850	**0.2**	**100**	**1510**
3	831	–1.0	100	1670
	799	**–2.6**	**97**	**2000**
4	795	–2.9	96	2030
5	755	–5.1	49	2440
6	710	–8.2	37	2920
	703	**–8.8**	**48**	**3000**
	700	**–9.1**	**50**	**3030**
7	671	–11.9	71	3350
8	638	–15.2	78	3730
	616	**–17.9**	**80**	**4000**
9	609	–18.7	80	4080
10	580	–21.2	85	4440
11	551	–21.2	96	4830
	538	**–21.3**	**98**	**5000**
12	521	–21.5	100	5230
	500	**–23.1**	**100**	**5540**
13	490	–23.8	100	5680
	469	**–26.4**	**100**	**6000**
14	459	–27.8	100	6160
15	431	–31.6	100	6610
	407	**–34.9**	**100**	**7000**
16	401	–35.9	100	7110
17	377	–35.9	92	7530
18	356	–38.1	88	7930
	353	**–38.8**	**87**	**8000**
19	335	–42.1	85	8350
20	315	–45.5	84	8760
	304	**–47.5**	**—**	**9000**
	300	**–49.2**	**—**	**9080**
21	294	–49.1	—	9210
22	271	–52.5	—	9740
	260	**–53.6**	**—**	**10000**
23	250	–54.5	—	10260
24	231	–55.8	—	10760
	223	**–56.5**	**—**	**11000**
25	211	–57.4	—	11330
	200	**–57.4**	**—**	**11680**
26	194	–57.4	—	11860
	190	**–57.4**	**—**	**12000**
27	180	–57.4	—	12330
	27. XI. 1951 06.05 h HEC			
	1000	—	—	**300**
0	975.9	–2.5	100	493
1	930	–0.5	100	880
	916	**–1.0**	**98**	**1000**
2	886	–2.2	95	1260
	850	**–1.5**	**51**	**1600**
3	846	–1.4	46	1630
	808	**–3.2**	**26**	**2000**
4	803	–3.3	23	2040
5	766	–3.4	20	2420
6	726	–5.7	20	2840
	711	**–6.5**	**20**	**3000**
	700	**–7.1**	**20**	**3120**
7	684	–8.2	20	3300
8	650	–9.7	20	3700
	625	**–11.8**	**28**	**4000**
9	616	–12.7	30	4110
10	583	–15.4	31	4520
11	552	–18.3	38	4930
	547	**–18.6**	**33**	**5000**
12	522	–21.0	40	5350
	500	**–23.4**	**40**	**5660**
13	490	–24.5	40	5810
	477	**–25.7**	**41**	**6000**
14	460	–27.6	42	6260
15	435	–31.3	44	6660
	415	**–33.9**	**44**	**7000**
16	408	–34.8	44	7100
17	381	–38.9	40	7590
	359	**–40.6**	**—**	**8000**
18	354	–41.1	—	8090
19	327	–45.2	—	8630
	309	**–48.3**	**—**	**9000**
20	303	–49.5	—	9130
	300	**–50.0**	**—**	**9190**
21	280	–54.4	—	9640
	265	**–56.6**	**—**	**10000**
22	256	–57.8	—	10200
23	232	–60.7	—	10830
	226	**–62.2**	**—**	**11000**
	221	–63.3	—	11120
24	214	–62.5	—	11320
	200	**–62.5**	**—**	**11740**
25	198	–62.5	—	11800
	192	**–62.5**	**—**	**12000**
26	182	–62.7	—	12320
	28. XI. 1951 06.10 h HEC			
	1000	—	—	**290**
0	974.6	–1.5	100	493
1	928	–0.3	100	885
	915	**1.0**	**100**	**1000**
	897	2.5	98	1150
2	889	3.8	57	1220
3	**850**	**3.3**	**29**	**1593**
4	811	1.5	29	1960
	808	**1.3**	**35**	**2000**
5	777	–0.3	65	2320
6	741	–1.5	51	2690
	713	**–3.5**	**46**	**3000**
7	**700**	**–4.3**	**44**	**3132**
8	665	–7.1	58	3540
9	631	–9.6	53	3910
	627	**–10.0**	**50**	**4000**
10	596	–12.5	45	4370
11	561	–15.5	48	4830
	550	**–17.0**	**43**	**5000**
12	530	–18.5	35	5250
13	**500**	**–21.7**	**29**	**5700**
	480	**–24.8**	**27**	**6000**
14	477	–25.2	27	6040
15	452	–28.0	27	6420
16	426	–31.8	27	6850
	417	**–33.2**	**27**	**7000**
17	400	–35.7	27	7290
18	374	–39.5	27	7730
	361	**–41.7**	**—**	**8000**
19	349	–43.2	—	8220
20	326	–46.9	—	8670
	310	**–49.5**	**—**	**9000**
21	306	–50.3	—	9080
	300	**–51.7**	**—**	**9220**
22	283	–54.5	—	9590
	266	**–58.0**	**—**	**10000**
23	261	–59.1	—	10110
24	241	–63.4	—	10610
	226	**–66.4**	**—**	**11000**
25	221	–67.5	—	11120
26	206	–69.6	—	11550
	200	**–70.1**	**—**	**11720**
	191	**–70.4**	**—**	**12000**
27	187	–70.6	—	12120
28	171	–70.3	—	12660
	161	**–69.7**	**—**	**13000**
29	158	–69.5	—	13120
30	148	–68.7	—	13510
31	137	–68.7	—	13950
	29. XI. 1951 06.05 h HEC			
	1000	—	—	**240**
0	969.2	2.2	65	493
1	928	–1.0	84	840
	910	**–2.6**	**90**	**1000**
2	877	–5.0	96	1200
	850	**–6.7**	**98**	**1535**
3	821	–8.0	100	1810
	800	**–9.3**	**98**	**2000**
4	780	–10.7	96	2200
5	737	–12.9	34	2630
	702	–15.2	41	3000
6	**700**	**–15.5**	**41**	**3023**
7	662	–19.3	51	3440
8	623	–21.8	39	3880
	613	**–21.9**	**36**	**4000**
9	580	–22.8	30	4420
	570	–24.0	28	4550
10	546	–23.4	27	4850
	535	**–24.5**	**26**	**5000**
11	515	–26.7	24	5280
	500	**–27.7**	**24**	**5490**
12	485	–28.9	24	5720
	466	**–30.3**	**24**	**6000**
13	457	–31.0	24	6140
14	431	–32.9	24	6540
	404	**–36.2**	**24**	**7000**
15	402	–36.4	24	7020
16	376	–40.4	—	7490
17	351	–43.6	—	7950
	349	**–44.0**	**—**	**8000**
18	328	–47.4	—	8400
19	**300**	**–51.0**	**—**	**9000**
20	278	–54.9	—	9470
	30. XI. 1951 06.10 h HEC			
	1000	—	—	**280**
0	973.5	1.5	82	493
1	926	0.3	75	890
	914	**–0.1**	**85**	**1000**
2	882	–1.1	100	1270
	850	**–2.7**	**100**	**1580**
3	844	–3.0	100	1630
	806	**–5.2**	**100**	**2000**
4	802	–5.5	100	2040
5	760	–7.5	100	2450
6	720	–5.0	100	2880
	709	**–4.7**	**70**	**3000**
	700	**–4.5**	**60**	**3102**
7	686	–4.2	39	3260
8	653	–5.7	25	3640
	624	**–7.9**	**29**	**4000**
9	621	–8.3	30	4040
10	587	–11.2	76	4470
11	556	–13.5	89	4880
	548	**–14.1**	**91**	**5000**
12	525	–16.0	96	5310
	500	**–18.2**	**65**	**5680**
13	491	–19.0	54	5810
	478	**–20.2**	**70**	**6000**
14	463	–21.8	80	6250
15	435	–25.2	45	6700
	418	**–27.0**	**48**	**7000**
16	407	–28.0	50	7180
17	383	–31.3	44	7620
	363	**–34.7**	**41**	**8000**
18	359	–35.3	40	8070
19	335	–39.1	38	8530
	314	**–43.3**	**—**	**9000**
20	312	–43.5	—	9030
	300	**–45.6**	**—**	**9290**
21	288	–47.5	—	9560
	269	**–50.8**	**—**	**10000**
22	262	–51.8	—	10180
23	240	–56.0	—	10740
	230	**–58.0**	**—**	**11000**
24	216	–60.6	—	11400
25	**200**	**–64.5**	**—**	**11880**
	196	**–65.4**	**—**	**12000**
26	176	–69.6	—	12650
	166	**–70.0**	**—**	**13000**
27	157	–70.2	—	13320
	1. XII. 1951 06.05 h HEC			
	1000	—	—	**230**
0	967.8	–1.9	100	493
1	916	–0.5	93	910
	908	**0.9**	**87**	**1000**
2	869	5.6	55	1340
	850	**7.5**	**34**	**1541**
3	832	6.8	29	1690
	804	**4.9**	**25**	**2000**
4	797	4.4	24	2050
5	759	2.7	24	2440
6	722	–0.2	26	2850
	710	**–1.4**	**26**	**3000**
	700	–1.9	26	3110
7	685	–3.2	26	3270
8	648	–5.2	24	3710
	625	**–7.8**	**25**	**4000**
9	615	–8.9	26	4110
10	583	–11.2	23	4530
11	552	–14.2	24	4940
	549	**–14.8**	**26**	**5000**
12	522	–18.6	30	5360
	500	**–19.8**	**30**	**5700**
13	488	–20.7	30	5860
	480	**–21.8**	**34**	**6000**
14	460	–24.5	47	6300
15	431	–28.8	55	6770
	418	**–30.9**	**56**	**7000**
16	405	–33.0	58	7220
17	379	–37.2	58	7680
	362	**–38.6**	**47**	**8000**
18	350	–39.7	38	8230
19	325	–43.1	30	8720
	312	**–42.5**	**29**	**9000**
20	**300**	**–46.2**	**28**	**9270**
21	278	–50.2	—	9760
	268	**–51.7**	**—**	**10000**
22	256	–53.9	—	10300
23	236	–58.1	—	10810
	229	**–59.5**	**—**	**11000**
24	216	–62.3	—	11370
	200	**–65.9**	**—**	**11840**
25	197	–66.8	—	11920
	195	**–67.0**	**—**	**12000**
26	179	–69.7	—	12500
	165	**–71.1**	**—**	**13000**
27	161	–71.6	—	13140
28	146	–72.5	—	13500
	139	**–72.7**	**—**	**14000**
29	133	–73.3	—	14250
30	121	–71.0	—	14860
	3. XII. 1951 06.10 h HEC			
	1000	—	—	**160**
0	959.9	0.3	100	493
1	924	–2.1	100	790
	901	**–3.0**	**100**	**1000**
2	890	–3.5	100	1080
3	859	–5.5	100	1370
	850	**–5.8**	**100**	**1455**
4	830	–6.6	100	1620
5	803	–8.4	100	1900
	793	**–9.0**	**100**	**2000**
6	771	–10.5	100	2210
7	741	–11.1	100	2510
8	713	–13.0	100	2800
	700	**–14.1**	**97**	**2950**
	695	**–14.4**	**96**	**3000**
9	685	–14.9	95	3110
10	658	–17.5	95	3410
11	629	–18.8	95	3740
	608	**–20.1**	**92**	**4000**
12	602	–20.4	92	4060
13	578	–22.5	88	4370
14	553	–24.5	84	4680
	530	**–26.1**	**81**	**5000**
15	528	–26.3	81	5050

Min.	PPP	TTT	UU	H m. geop.
16	503	–29.0	80	5360
	500	**–29.8**	**80**	**5420**
17	480	–32.0	77	5700
18	**460**	**–34.9**	**76**	**6000**
19	439	–37.7	74	6320
20	418	–40.1	72	6660
	398	**–42.7**	—	**7000**
21	391	–43.1	—	7060
22	371	–45.7	—	7400
23	354	–48.9	—	7760
	342	**–50.6**	—	**8000**
24	335	–51.5	—	8120
25	316	–54.4	—	8510
26	**300**	**–55.2**	—	**8840**
	293	**–55.8**	—	**9000**
27	281	–56.3	—	9250
28	262	–56.3	—	9690
	250	**–56.3**	—	**10000**
29	243	–56.3	—	10180
30	228	–55.7	—	10580
	214	**–55.7**	—	**11000**
31	210	–55.7	—	11100
	200	**–55.7**	—	**11410**

4. XII. 1951 06.05 h HEC

1000			—	**250**
0	969.2	–4.1	100	493
1	920	–1.9	100	910
	909	**–2.4**	**99**	**1000**
2	879	–4.4	97	1270
	850	**–4.8**	**67**	**1532**
3	838	–5.0	55	1640
	801	**–4.8**	**42**	**2000**
4	798	–4.9	40	2030
5	759	–7.2	37	2420
6	724	–10.2	34	2780
	704	**–11.7**	**37**	**3000**
	700	**–12.0**	**38**	**3037**
7	687	–12.8	40	3180
8	649	–11.6	54	3620
	617	**–11.5**	**70**	**4000**
9	613	–11.6	74	4050
10	576	–14.1	97	4530
11	547	–15.4	100	4910
	541	**–15.7**	**88**	**5000**
12	516	–17.2	85	5450
	500	**–18.7**	**82**	**5590**
13	483	–20.5	78	5840
	473	**–21.6**	**76**	**6000**
14	454	–23.8	71	6300
15	426	–27.4	65	6760
	412	**–29.9**	**62**	**7000**
16	401	–31.9	60	7190
17	372	–35.9	57	7720
	357	**–38.3**	**57**	**8000**
18	346	–40.1	57	8210
19	320	–44.1	—	8740
	307	**–46.6**	—	**9000**
	300	**–48.0**	—	**9170**
20	**294**	**–49.4**	—	**9300**
21	275	–52.6	—	9740
	264	**–54.5**	—	**10000**
22	253	–56.4	—	10270
23	234	–59.6	—	10760
	225	**–60.8**	—	**11000**
24	215	–62.3	—	11290
	200	**–61.5**	—	**11730**
25	198	–64.8	—	11790
	191	**–65.2**	—	**12000**
26	183	–66.0	—	12270
27	166	–62.3	—	12850

5. XII. 1951 06.20 h HEC

1000				**260**
0	971.8	–1.0	100	493
	912	**–1.2**	**100**	**1000**
1	871	–1.3	100	1370
	850	**1.4**	**85**	**1557**
2	845	2.1	77	1610
3	806	5.1	46	1980
	804	**4.8**	**43**	**2000**
4	770	2.9	29	2350
5	736	1.1	29	2710
	710	**–1.2**	**29**	**3000**
6	**700**	**–1.8**	**29**	**3114**
7	665	–3.5	29	3510
8	632	–4.5	31	3920
	625	**–5.1**	**36**	**4000**
9	600	–7.2	50	4330
10	571	–10.5	75	4700
	550	**–12.7**	**83**	**5000**
11	539	–13.9	92	5150
12	510	–16.4	100	5560
	500	**–17.2**	**100**	**5715**
13	484	–18.7	90	5950
	481	**–19.0**	**95**	**6000**
14	455	–21.2	100	6410
15	429	–21.4	87	6840
	420	**–25.8**	**83**	**7000**
16	402	–28.0	75	7310
17	377	–31.5	67	7765
	365	**–33.8**	**65**	**8000**
18	352	–36.1	64	8250
19	326	–39.1	57	8770
	316	**–41.1**	—	**9000**
20	**300**	**–44.3**	—	**9340**
21	280	–47.7	—	9800
	271	**–49.5**	—	**10000**
22	257	–52.3	—	10350
23	237	–56.6	—	10900
	232	**–57.4**	—	**11000**
24	213	–60.4	—	11550
	200	**–63.6**	—	**11930**
	198	**–64.0**	—	**12000**
25	196	–64.5	—	12060
26	178	–67.9	—	12630
	168	**–69.5**	—	**13000**
27	161	–70.5	—	13230
28	146	–70.5	—	13810
	142	**–69.8**	—	**14000**
29	134	–68.5	—	14320

6. XII. 1951 06.05 h HEC

1000				**190**
0	962.1	–3.4	100	493
1	917	3.9	84	870
	904	**5.1**	**76**	**1000**
2	878	7.3	60	1230
	850	**6.4**	**54**	**1501**
3	840	6.2	52	1590
4	803	4.2	52	1960
	799	**4.1**	**53**	**2000**
5	766	1.6	55	2340
6	735	–1.0	60	2670
	705	**–2.6**	**62**	**3000**
7	**700**	**–3.0**	**62**	**3069**
8	667	–5.1	54	3440
9	636	7.2	58	3840
	621	**–8.4**	**58**	**4000**
10	607	–9.4	58	4180
11	580	–12.4	58	4530
12	550	–14.0	57	4930
	545	**–14.3**	**57**	**5000**
13	515	–17.2	57	5430
	500	**–18.5**	**57**	**5660**
14	486	–20.0	57	5860
	476	**–20.9**	**57**	**6000**
15	458	–23.0	58	6290
16	431	–26.3	60	6720
	415	**–28.3**	**60**	**7000**
17	408	–29.3	60	7130
18	384	–32.2	60	7550
	360	**–35.2**	**60**	**8000**
19	359	–35.3	60	8030
20	337	–38.6	60	8470
21	313	–43.5	—	8970
	311	**–43.8**		**9000**
	300	**–45.8**	—	**9240**
22	289	–47.9	—	9500
23	269	–51.2	—	9960
	268	**–51.4**	—	**10000**
24	249	–55.0	—	10460
25	230	–57.5	—	10970
	229	**–57.7**	—	**11000**
26	211	–61.8	—	11510
	200	**–63.5**	—	**11830**
27	**194**	**–64.7**	—	**12000**
28	176	–66.5	—	12600
	165	**–65.6**	—	**13000**
29	161	–65.6	—	13140

7. XII. 1951 06.10 h HEC

1000			—	**110**
0	954.3	5.4	100	493
1	900	2.5	100	970
	897	**2.4**	**100**	**1000**
2	860	0.5	100	1320
	850	**–0.8**	**100**	**1430**
3	819	–2.0	100	1720
	791	**–3.8**	**100**	**2000**
4	780	–4.5	100	2100
5	737	–6.9	100	2550
6	**700**	**–9.0**	**100**	**2954**
	696	**–9.4**	**100**	**3000**
7	656	–12.1	100	3440
8	618	–15.0	100	3900
	610	**–15.7**	**100**	**4000**
9	581	–18.0	100	4360
10	549	–21.7	100	4780
	533	**–23.8**	**99**	**5000**
11	516	–25.7	98	5230
	500	**–27.9**	**97**	**5465**
12	487	–29.0	96	5640
	464	**–31.8**	**94**	**6000**
13	461	–32.3	93	6050
14	434	–35.5	90	6460
15	404	–39.2	82	6950
	401	**–39.8**	**80**	**7000**
16	379	–43.3	76	7380
17	352	–46.4	69	7880
	346	**–47.4**	—	**8000**
18	326	–49.8	—	8370
19	**300**	**–53.1**	—	**8925**
	297	**–53.9**	—	**9000**
20	278	–56.3	—	9410
21	258	–59.5	—	9880
	253	**–59.2**	—	**10000**
22	239	–58.1	—	10360
23	221	–56.5	—	10840
	216	**–56.7**	—	**11000**
24	206	–56.7	—	11300
	200	**–57.2**	—	**11490**
25	191	–58.0	—	11760
	184	**–58.0**	—	**12000**
26	176	–58.0	—	12280
27	161	–58.5	—	12830

8. XII. 1951 06.10 h HEC

1000			—	**200**
0	964.0	–2.9	100	493
1	906	–1.5	95	980
	905	**–1.5**	**96**	**1000**
2	862	–4.2	98	1370
	850	**–4.1**	**86**	**1494**
3	819	–4.0	50	1770
	797	**–4.4**	**35**	**2000**
4	777	–4.7	20	2180
5	740	–5.7	20	2570
6	704	–7.4	19	2960
	701	**–7.3**	**19**	**3000**
	700	**–7.3**	**19**	**3015**
7	668	–8.5	18	3360
8	629	–11.2	18	3830
	616	**–12.3**	**18**	**4000**
9	593	–14.5	20	4280
10	560	–16.3	20	4720
	540	**–18.2**	**20**	**5000**
11	527	–19.6	20	5170
	500	**–21.5**	**28**	**5570**
12	494	–22.0	30	5640
	471	**–24.0**	**30**	**6000**
13	467	–24.4	30	6050
14	436	–28.7	23	6560
	410	**–32.3**	**23**	**7000**
15	407	–32.6	23	7050
16	381	–37.1	27	7510
	355	**–40.9**	—	**8000**
17	353	–41.1	—	8040
18	326	–45.3	—	8560
	305	**–48.0**	—	**9000**
19	**300**	**–48.8**	—	**9110**
20	278	–51.1	—	9610
	262	**–53.0**	—	**10000**
21	257	–53.8	—	10120
22	233	–56.7	—	10750
	224	**–57.0**	—	**11000**
23	212	–58.1	—	11350
	200	**–57.6**	—	**11700**
24	193	–57.2	—	11920
	191	**–57.0**	—	**12000**
25	174	–57.1	—	12580

10. XII. 1951 06.10 h HEC

1000			—	**140**
0	957.5	4.3	70	493
1	904	2.0	63	945
	900	**1.7**	**65**	**1000**
2	861	–1.5	76	1335
	850	**–2.6**	**80**	**1450**
3	816	–5.6	95	1765
	793	**–7.6**	**98**	**2000**
4	773	–9.1	100	2180
5	730	–12.0	100	2630
	700	**–11.9**	**50**	**2954**
	696	**–11.9**	**40**	**3000**
6	691	–12.0	36	3040
7	654	–10.9	30	3470
8	616	–13.4	28	3920
	610	**–14.1**	**28**	**4000**
9	585	–17.0	28	4310
10	555	–19.7	31	4700
	534	**–22.2**	**33**	**5000**
11	521	–23.7	34	5170
	500	**–26.1**	**38**	**5475**
12	488	–27.6	41	5640
	465	**–30.7**	**46**	**6000**
13	450	–32.4	51	6210
14	421	–34.8	64	6690
	403	**–36.6**	**50**	**7000**
15	394	–37.2	46	7140
16	369	–40.2	—	7600
	348	**–43.4**	—	**8000**
17	344	–43.9	—	8070
18	321	–48.1	—	8520
19	**300**	**–52.2**	—	**8970**
	299	**–52.4**	—	**9000**
20	277	–55.9	—	9480
	255	**–58.5**	—	**10000**
21	253	–58.7	—	10050
22	231	–61.7	—	10620
	217	**–61.8**	—	**11000**
23	211	–62.1	—	11180
	200	**–61.4**	—	**11510**
24	193	–61.0	—	11720
	185	**–60.7**	—	**12000**
25	179	–60.4	—	12210
26	168	–57.0	—	12610
	158	**–56.9**	—	**13000**
27	156	–57.6	—	13060
28	143	–54.7	—	13610
	135	**–55.8**	—	**14000**
29	132	–56.0	—	14100

10. XII. 1951 16.25 h HEC

1000			—	**170**
0	961.1	5.2	50	493
1	931	1.5	67	760
	903	**0.0**	**75**	**1000**
2	877	–1.8	81	1230
	850	**–4.2**	**92**	**1480**
3	830	–6.0	100	1660
	795	**–8.4**	**100**	**2000**
4	784	–9.2	100	2110
5	734	–12.4	100	2610
	700	**–15.8**	**100**	**2970**
	698	**–15.9**	**100**	**3000**

Min.	PPP	TTT	UU	H m. geop.
6	691	−16.5	100	3070
7	662	−14.1	72	3400
8	629	−14.1	43	3770
	611	**−15.0**	**41**	**4000**
9	600	−15.9	40	4130
10	567	−18.1	40	4550

11. XII. 1951 06.10 h HEC

	1000	—	—	**210**
0	965.5	0.0	70	493
1	923	−1.5	83	850
	906	**−2.7**	**85**	**1000**
2	873	−5.4	88	1285
3	824	−8.6	92	1740
	797	**−9.7**	**97**	**2000**
4	782	−10.5	100	2140
5	755	−11.7	100	2310
6	713	−10.9	26	2850
	700	**−9.9**	**23**	**3000**
	687	**−9.4**	**20**	**3130**
7	676	−9.8	18	3270
8	642	−12.3	18	3650
	614	**−13.5**	**18**	**4000**
9	608	−13.9	18	4070
10	573	−17.4	18	4520
11	541	−19.5	18	4930
	537	**−20.0**	**19**	**5000**
12	511	−23.1	22	5370
	500	**−23.9**	**24**	**5530**
13	482	−25.5	26	5780
	468	**−26.9**	**25**	**6000**
14	454	−28.5	25	6220
15	426	−30.9	25	6670
	407	**−33.8**	**23**	**7000**
16	400	−34.8	22	7120
17	373	−38.1	22	7600
18	**351**	**−42.4**	—	**8000**
19	324	−46.2	—	8550
	303	**−47.9**	—	**9000**
	300	**−48.1**	—	**9060**
20	297	−48.5	—	9130
21	275	−52.8	—	9680
	259	**−55.6**	—	**10000**
22	252	−57.0	—	10180
23	231	−61.7	—	10730
	221	**−63.2**	—	**11000**
24	210	−65.2	—	11320
	200	**−64.3**	—	**11610**
25	191	−63.4	—	11900
	188	**−63.0**	—	**12000**
26	173	−60.8	—	12500

12. XII. 1951 06.10 h HEC

	1000	—	—	**270**
0	972.1	−5.9	100	493
1	921	−5.4	100	915
	911	**−5.3**	**85**	**1000**
2	883	−4.8	51	1240
	850	**−1.3**	**35**	**1548**
3	844	−0.9	28	1595
4	805	0.0	20	1970
	803	**−0.4**	**20**	**2000**
5	767	−1.6	15	2360
6	731	−3.3	15	2730
	707	**−6.6**	**15**	**3000**
7	**700**	**−7.4**	**15**	**3085**
8	669	−7.5	15	3430
9	638	−11.5	15	3800
	622	**−13.2**	**15**	**4000**
10	606	−14.6	15	4190
11	575	−17.1	20	4570
12	546	−19.0	25	4960
	544	**−19.2**	**25**	**5000**
13	516	−21.1	25	5380
	500	**−23.0**	**27**	**5620**
14	483	−24.9	30	5860
	475	**−26.4**	**30**	**6000**
15	455	−29.0	30	6300
16	425	−33.3	30	6770
	412	**−35.8**	**30**	**7000**
17	400	−37.7	30	7200
18	374	−42.5	—	7660
	356	**−45.1**	—	**8000**
19	350	−45.9	—	8100
20	327	−49.1	—	8550
21	**306**	**−53.4**	—	**9000**
	300	**−54.4**	—	**9110**
22	281	−56.7	—	9530
23	**261**	**−60.1**	—	**10000**
24	245	−63.5	—	10380
25	**221**	**−66.4**	—	**11000**
26	203	−68.0	—	11500
	200	**−68.1**	—	**11610**
27	**187**	**−67.9**	—	**12000**
28	172	−67.0	—	12490
	159	**−64.0**	—	**13000**
29	157	−63.5	—	13050
30	147	−61.5	—	13460
31	137	−62.5	—	13910

13. XII. 1951 06.10 h HEC

	1000	—	—	**265**
0	971.5	−5.5	100	493
1	917	−0.9	91	950
	911	**−0.9**	**85**	**1000**
2	880	0.0	60	1260
	850	**2.7**	**36**	**1555**
3	840	4.0	28	1650
	804	**3.0**	**24**	**2000**
4	797	2.9	23	2070
5	756	0.4	20	2500
6	717	−2.2	20	2920
	710	**−2.6**	**22**	**3000**
	700	**−3.2**	**21**	**3110**
7	676	−4.7	20	3390
8	640	−7.6	18	3810
	624	**−8.7**	**18**	**4000**
9	606	−10.0	18	4240
10	571	−12.8	20	4690
	548	**−16.0**	**23**	**5000**
11	538	−17.4	24	5140
12	506	−20.8	26	5590
	479	**−23.9**	**25**	**6000**
13	472	−24.8	24	6100
14	442	−28.2	20	6580
	416	**−31.3**	**20**	**7000**
15	415	−31.5	20	7030
16	388	−36.0	20	7500
17	364	−40.4	—	7940
	360	**−41.0**	—	**8000**
18	338	−45.0	—	8440
19	316	−49.1	—	8870
	310	**−50.0**	—	**9000**
	300	**−51.5**	—	**9200**
20	292	−52.8	—	9390
21	269	−56.5	—	9910
	265	**−57.0**	—	**10000**
22	246	−60.3	—	10470
	226	**−63.3**	—	**11000**
23	225	−63.5	—	11030
24	207	−63.9	—	11540
	200	**−63.3**	—	**11740**
	192	**−62.8**	—	**12000**
25	189	−62.7	—	12090

14. XII. 1951 06.10 h HEC

	1000	—	—	**250**
0	969.4	−5.1	100	493
1	930	−1.9	100	820
	909	**0.7**	**70**	**1000**
2	887	3.4	63	1215
3	**850**	**4.7**	**35**	**1542**
4	807	4.0	20	1960
	804	**3.9**	**19**	**2000**
5	773	1.5	15	2310
6	737	−0.7	15	2670
7	**707**	**−3.0**	**15**	**3000**
	700	**−3.6**	**15**	**3102**
8	676	−5.3	15	3360
9	647	−8.1	15	3700
	624	**−10.7**	**15**	**4000**
10	616	−11.5	15	4080
11	589	−14.7	15	4430
12	562	−17.8	15	4770
	546	**−20.0**	**15**	**5000**
13	535	−21.3	15	5135
14	507	−24.0	15	5540
	500	**−24.9**	**15**	**5650**
15	480	−27.1	15	5925
	476	**−27.7**	**15**	**6000**
16	452	−29.9	15	6360
17	425	−33.5	15	6800
	413	**−35.3**	**15**	**7000**
18	400	−37.4	15	7225
19	375	−40.5	—	7660
	357	**−42.9**	—	**8000**
20	349	−43.8	—	8160
21	325	−47.7	—	8615
	307	**−50.5**	—	**9000**
22	**300**	**−51.4**	—	**9150**
23	278	−56.5	—	9630
	263	**−59.5**	—	**10000**
24	256	−60.7	—	10150
25	236	−64.2	—	10660
	223	**−65.6**	—	**11000**
26	213	−66.3	—	11270
27	**200**	**−66.8**	—	**11660**
	189	**−66.3**	—	**12000**
28	183	−65.5	—	12200
29	169	−64.5	—	12680
	160	**−63.9**	—	**13000**
30	158	−63.5	—	13090

15. XII. 1951 06.10 h HEC

	1000	—	—	**250**
0	969.4	−4.9	100	493
1	915	−1.0	100	950
	910	**−0.4**	**97**	**1000**
2	873	1.3	78	1320
	850	**2.3**	**50**	**1544**
3	835	2.9	32	1670
	803	**1.7**	**23**	**2000**
4	795	1.2	20	2060
5	758	−2.1	47	2450
6	722	−4.8	51	2830
	708	**−5.7**	**53**	**3000**
	700	**−6.3**	**54**	**3091**
7	688	−7.4	55	3210
8	652	−9.9	49	3620
	622	**−12.2**	**46**	**4000**
9	616	−12.7	45	4070
10	587	−15.8	45	4440
11	557	−18.7	60	4820
	545	**−20.1**	**62**	**5000**
12	526	−22.2	65	5250
	500	**−23.8**	**55**	**5630**
13	495	−24.1	53	5690
	475	**−27.1**	**52**	**6000**
14	464	−29.0	51	6160
15	435	−30.6	41	6630
	413	**−32.6**	**35**	**7000**
16	408	−33.1	33	7070
17	383	−35.7	31	7510
18	**358**	**−39.7**	**30**	**8000**
19	333	−44.0	—	8480
20	311	−47.4	—	8920
	308	**−47.7**	—	**9000**
	300	**−48.4**	—	**9160**
21	285	−50.3	—	9500
	264	**−53.5**	—	**10000**
22	260	−54.2	—	10100
23	239	−57.3	—	10640
	225	**−58.5**	—	**11000**
24	218	−59.2	—	11200
25	**200**	**−58.9**	—	**11750**
	192	**−59.9**	—	**12000**
26	180	−61.6	—	12400
27	167	−59.6	—	12870

17. XII. 1951 06.10 h HEC

	1000	—	—	**225**
0	966.4	−5.0	100	493
1	915	3.9	87	920
	907	**4.2**	**75**	**1000**
2	873	5.5	53	1315
	850	**6.0**	**60**	**1530**
3	836	6.3	64	1665
	802	**4.8**	**64**	**2000**
4	793	4.4	64	2100
5	753	1.9	61	2500
6	720	0.1	56	2870
	709	**−0.5**	**55**	**3000**
	700	**−1.0**	**54**	**3103**
7	687	−1.6	53	3250
8	656	−3.5	53	3610
9	626	−6.1	47	3970
	625	**−6.3**	**46**	**4000**
10	596	−9.1	35	4350
11	558	−11.7	32	4855
	549	**−12.6**	**31**	**5000**
12	528	−14.9	30	5280
	500	**−17.8**	**28**	**5700**
13	496	−18.1	28	5770
	480	**−20.2**	**27**	**6000**
14	468	−21.7	26	6180
15	443	−25.2	24	6585
16	**419**	**−29.1**	**26**	**7000**
17	393	−32.8	48	7440
18	366	−37.6	30	7920
	363	**−38.2**	**30**	**8000**
19	339	−41.2	—	8470
20	**313**	**−45.2**	—	**9000**
	300	**−47.3**	—	**9280**
21	291	−48.8	—	9480
22	271	−52.1	—	9950
	269	**−52.5**	—	**10000**
23	251	−55.1	—	10440
24	234	−58.3	—	10880
	230	**−59.0**	—	**11000**
25	216	−60.9	—	11370
26	**200**	**−63.6**	—	**11850**
	195	**−64.2**	—	**12000**
27	180	−65.4	—	12490
	166	**−66.5**	—	**13000**
28	162	−66.6	—	13140

18. XII. 1951 06.10 h HEC

	1000	—	—	**240**
0	968.4	−3.8	100	493
1	922	4.4	75	880
	909	**5.7**	**63**	**1000**
2	884	7.7	38	1230
	850	**6.7**	**28**	**1555**
3	847	6.6	27	1580
4	807	3.1	50	1970
	805	**3.0**	**47**	**2000**
5	767	1.7	27	2370
6	727	1.7	20	2800
	711	**0.5**	**20**	**3000**
	700	**−0.3**	**20**	**3120**
7	694	−0.9	20	3170
8	658	−4.2	20	3590
9	629	−7.9	20	3910
	626	**−8.1**	**20**	**4000**
10	598	−10.2	20	4310
11	568	−13.7	20	4730
	549	**−15.3**	**20**	**5000**
12	535	−16.5	20	5180
13	**500**	**−20.5**	**20**	**5690**
	480	**−21.7**	**20**	**6000**
14	467	−22.7	20	6190
15	439	−26.5	20	6640
	419	**−29.4**	**20**	**7000**
16	412	−30.5	20	7100
17	387	−34.1	20	7540
	363	**−37.9**	**20**	**8000**
18	361	−38.2	20	8030
19	337	−42.0	—	8500
20	**313**	**−45.8**	—	**9000**
	300	**−48.2**	—	**9280**
21	291	−50.1	—	9480
22	**269**	**−54.0**	—	**10000**

19. XII. 1951 06.10 h HEC

	1000	—	—	**270**
0	971.9	−5.0	100	493

Min.	PPP	TTT	UU	H m. geop.
	939	–2.5	100	760
1	923	2.9	28	890
	912	**4.2**	**24**	**1000**
2	886	7.3	19	1240
	850	**4.7**	**21**	**1576**
3	847	4.3	22	1590
4	**805**	**1.9**	**24**	**2000**
5	765	–0.5	24	2410
6	723	–3.1	24	2860
	711	**–3.8**	**22**	**3000**
	700	**–4.3**	**20**	**3125**
7	691	–4.9	19	3210
8	656	–5.4	19	3620
	626	**–7.7**	**21**	**4000**
9	621	–8.1	22	4040
10	589	–11.5	24	4540
11	555	–15.1	24	4900
	549	**–15.9**	**23**	**5000**
12	522	–18.7	18	5370
	500	**–20.5**	**18**	**5700**
13	489	–21.4	18	5850
	480	**–22.8**	**18**	**6000**
14	460	–25.1	18	6300
15	432	–29.1	20	6740
	418	**–30.9**	**21**	**7000**
16	401	–32.5	22	7230
17	377	–37.6	23	7700
	362	**–40.0**	—	**8000**
18	351	–41.7	—	8190
19	322	–45.7	—	8770
	312	**–47.1**	—	**9000**
20	**300**	**–48.4**	—	**9250**
21	279	–53.1	—	9720
	267	**–55.3**	—	**10000**
22	257	–56.9	—	10240
23	239	–61.5	—	10700
	228	**–63.7**	—	**11000**
24	218	–65.5	—	11260
25	**200**	**–66.5**	—	**11780**
	193	**–66.2**	—	**12000**
26	184	–65.6	—	12280
27	166	–63.0	—	12910
	164	**–62.7**	—	**13000**
28	150	–61.7	—	13550
29	**139**	**–61.7**	—	**14000**

20. XII. 1951 06.05 h HEC

	1000	—	—	**235**
0	967.3	–6.0	100	493
1	918	4.3	68	910
	909	**5.5**	**60**	**1000**
2	864	10.4	22	1390
	850	**9.7**	**21**	**1549**
3	832	8.7	20	1710
	805	**7.0**	**22**	**2000**
4	791	6.3	22	2130
5	756	3.3	25	2500
6	721	0.5	30	2880
	711	**–0.5**	**33**	**3000**
	700	**–1.6**	**36**	**3123**
7	688	–2.9	43	3250
8	653	–5.2	34	3670
	626	**–7.6**	**23**	**4000**
9	618	–8.4	20	4090
10	584	–11.4	22	4530
11	554	–13.9	22	4940
	550	**–14.2**	**22**	**5000**
12	524	–16.1	22	5350
	500	**–18.6**	**22**	**5710**
13	493	–19.4	22	5810
	481	**–20.6**	**22**	**6000**
14	465	–22.5	21	6240
15	349	–26.1	20	6660
	419	**–29.5**	**20**	**7000**
16	116	–30.0	20	7050
17	391	–32.9	20	7480
18	365	–37.4	20	7970
19	341	–41.3	—	8430
	363	**–37.7**	**20**	**8000**
20	319	–45.1	—	8870
	313	**–46.1**	—	**9000**
21	**300**	**–49.1**	—	**9280**
22	278	–53.5	—	9780
	269	**–55.0**	—	**10000**
23	255	–57.6	—	10340
24	233	–60.7	—	10800
	229	**–61.0**	—	**11000**
25	213	–62.4	—	11450
	200	**–62.8**	—	**11840**
26	196	–63.2	—	11960
	195	**–63.1**	—	**12000**
27	180	–63.2	—	12490
28	167	–61.9	—	12950

21. XII. 1951 06.15 h HEC

	1000	—	—	**280**
0	973.6	–4.5	100	493
	937	4.2	100	800
	914	**6.1**	**87**	**1000**
1	904	7.6	81	1090
2	870	3.9	71	1390
	850	**1.3**	**67**	**1592**
3	833	4.5	64	1750
	808	**3.8**	**61**	**2000**
4	793	3.3	60	2150
5	750	1.0	55	2600
	714	**–1.9**	**63**	**3000**
6	711	–2.2	65	3030
	700	**–3.2**	**68**	**3150**
7	681	–5.2	73	3370
8	646	–7.9	81	3770
	628	**–9.7**	**83**	**4000**
9	614	–10.9	85	4160
10	582	–13.7	93	4580
	551	**–16.0**	**85**	**5000**
11	541	–16.5	81	5120
12	515	–19.7	80	5490
	500	**–21.5**	**77**	**5720**
13	486	–22.9	75	5910
	481	**–23.8**	**75**	**6000**
14	459	–26.1	74	6330
15	431	–29.6	71	6790
	418	**–31.6**	**70**	**7000**
16	402	–33.8	69	7280
17	376	–38.5	67	7750
	362	**–41.2**	—	**8000**
18	354	–42.7	—	8150

22. XII. 1951 06.10 h HEC

	1000	—	—	**290**
0	974.1	–2.8	100	493
	915	**2.6**	**90**	**1000**
1	901	3.4	87	1110
2	858	1.8	72	1510
	850	**1.6**	**69**	**1594**
3	815	1.4	57	1910
	808	**1.6**	**53**	**2000**
4	777	2.9	36	2300
5	738	1.8	33	2700
	713	**–1.1**	**36**	**3000**
6	704	–2.1	37	3100
	700	**–2.3**	**35**	**3153**
7	669	–6.0	24	3490
8	632	–9.3	20	3940
	628	**–9.5**	**19**	**4000**
9	597	–12.2	16	4380
10	562	–16.0	16	4840
	551	**–17.0**	**16**	**5000**
11	520	–19.6	15	5270
12	**500**	**–22.9**	**15**	**5700**
	481	**–24.6**	**15**	**6000**
13	467	–25.9	15	6200
14	436	–29.9	15	6760
	418	**–31.2**	**15**	**7000**
15	406	–32.2	15	7210
16	380	–36.2	15	7680
	362	**–38.9**	**15**	**8000**
17	356	–39.9	15	8120
18	331	–44.0	—	8690
	312	**–47.4**	—	**9000**
19	306	–48.6	—	9130
	300	**–49.8**	—	**9260**
20	284	–53.0	—	9610
	267	**–56.5**	—	**10000**
21	261	–57.4	—	10090
22	243	–61.4	—	10600
	228	**–65.0**	—	**11000**
23	224	–66.1	—	11100
24	204	–67.1	—	11660
	200	**–66.6**	—	**11780**
	193	**–66.0**	—	**12000**
25	185	–65.2	—	12260

24. XII. 1951 06.10 h HEC

	1000	—	—	**185**
0	961.8	–2.0	100	493
	903	**3.8**	**76**	**1000**
1	897	4.4	73	1060
2	855	4.4	50	1440
	850	**4.2**	**49**	**1492**
3	811	2.9	43	1860
	798	**2.4**	**41**	**2000**
4	774	1.4	38	2230
5	737	–1.0	31	2620
	701	**–3.9**	**34**	**3000**
6	**700**	**–4.2**	**39**	**3045**
7	667	–7.0	36	3410
8	636	–10.2	39	3770
	619	**–12.1**	**39**	**4000**
9	602	–13.7	39	4200
10	567	–16.2	42	4640
	542	**–18.2**	**43**	**5000**
11	531	–18.7	43	5120
12	**500**	**–21.6**	**43**	**5600**
	473	**–23.9**	**43**	**6000**
13	469	–24.3	43	6080
14	440	–27.6	43	6510
15	416	–30.9	43	6930
	412	**–31.5**	**43**	**7000**
16	391	–34.2	43	7380
17	364	–37.5	43	7850
	357	**–38.4**	—	**8000**
18	336	–41.0	—	8420
19	311	–45.0	—	8900
	308	**–45.5**	—	**9000**
	300	**–46.7**	—	**9160**
20	284	–48.8	—	9520
	264	**–51.8**	—	**10000**
21	256	–53.1	—	10210
22	233	–57.3	—	10800
	226	**–59.3**	—	**11000**
23	211	–62.2	—	11340
	200	**–62.2**	—	**11750**
24	**192**	**–62.2**	—	**12000**
25	172	–60.8	—	12680
	164	**–58.5**	—	**13000**
26	160	–57.7	—	13130
27	146	–57.7	—	13710

27. XII. 1951 06.10 h HEC

	1000	—	—	**130**
0	955.8	1.5	100	193
1	906	–1.8	100	920
	897	**–2.2**	**99**	**1000**
2	859	–4.0	98	1340
	850	**–4.2**	**91**	**1423**
3	821	–5.1	71	1700
	790	**–5.8**	**44**	**2000**
4	779	–6.0	34	2100
5	731	–8.7	28	2570
	700	**–9.5**	**27**	**2935**
	694	**–9.7**	**26**	**3000**
6	692	–9.8	26	3030
	676	–8.5	25	3210
7	657	–9.5	23	3420
8	620	–9.5	22	3870
	609	**–10.8**	**22**	**4000**
9	586	–13.1	22	4300
10	547	–16.3	24	4820
	534	**–17.2**	**24**	**5000**
11	515	–18.7	24	5270
	500	**–20.1**	**26**	**5490**
12	484	–22.2	30	5730
	466	**–23.6**	**33**	**6000**
13	453	–24.8	35	6210
14	420	–28.7	44	6750
	406	**–30.5**	**49**	**7000**
15	392	–32.6	54	7250
16	364	–36.7	62	7770
	352	**–38.6**	**65**	**8000**
17	340	–40.7	67	8250
18	314	–45.0	72	8770
	302	**–46.8**	—	**9000**
	300	**–47.3**	—	**9070**
19	288	–49.4	—	9340
20	266	–53.0	—	9850
	260	**–54.1**	—	**10000**
21	244	–56.8	—	10460
22	**221**	**–58.1**	—	**11000**
23	202	–58.1	—	11590
	200	**–58.3**	—	**11650**
	189	**–59.9**	—	**12000**
24	184	–60.5	—	12170
25	167	–60.7	—	12770

28. XII. 1951 06.10 h HEC

	1000	—	—	**069**
0	948.2	2.4	100	493
1	898	0.0	100	935
	890	**–0.4**	**97**	**1000**
2	860	–2.2	90	1275
	850	**–3.1**	**93**	**1366**
3	821	–5.2	98	1620
4	787	–8.1	98	1970
	784	**–8.7**	**98**	**2000**
5	749	–11.1	100	2350
6	712	–14.3	100	2780
	700	**–15.4**	**100**	**2863**
	688	**–16.5**	**100**	**3000**
7	676	–17.5	100	3130
8	640	–18.9	61	3530
9	**601**	**–22.1**	**76**	**4000**
10	566	–26.0	93	4450
11	534	–30.3	98	4840
	523	**–31.5**	**99**	**5000**
12	**500**	**–33.9**	**100**	**5315**
13	468	–37.6	98	5750
	453	**–39.5**	**96**	**6000**
14	440	–40.9	94	6190
15	412	–45.0	92	6640
	390	**–48.0**	**91**	**7000**
16	384	–49.0	90	7100
17	358	–51.0	88	7570
	335	**–53.8**	—	**8000**
18	333	–54.1	—	8040
19	309	–55.6	—	8510
	300	**–55.2**	—	**8690**
20	287	–55.0	—	8950
	286	**–54.8**	—	**9000**
21	268	–52.2	—	9400
22	249	–50.6	—	9880
	245	**–50.7**	—	**10000**
23	226	–51.0	—	10510
	210	**–52.3**	—	**11080**
	200	**–52.5**	—	**11305**
25	190	–52.5	—	11630
	180	**–52.5**	—	**12000**
26	171	–52.5	—	12310
27	157	–49.6	—	12870

29. XII. 1951 06.05 h HEC

	1000	—	—	**005**
0	940.5	–2.4	85	493
1	895	2.4	80	900
	882	**–3.1**	**81**	**1000**
2	853	–5.5	82	1270
	850	**–5.6**	**83**	**1292**
3	813	–6.5	89	1640
4	**776**	**–7.1**	**89**	**2000**
5	739	–8.5	92	2380
6	**700**	**–10.2**	**95**	**2802**
	682	**–11.3**	**96**	**3000**
7	668	–12.2	97	3160

Min.	PPP	TTT	UU	H m. geop.
8	633	–14.2	98	3575
9	603	–16.4	100	3950
	598	**–16.8**	**100**	**4000**
10	573	–19.7	100	4320
11	541	–21.6	97	4740
	522	**–23.8**	**96**	**5000**
12	513	–25.0	95	5130
	500	**–26.5**	**95**	**5310**
13	485	–28.3	95	5530
	454	**–31.7**	**94**	**6000**
14	450	–32.0	94	6060
15	419	–35.4	93	6560
	393	**–38.9**	**93**	**7000**
16	391	–39.2	93	7040
17	366	–42.9	—	7490
18	**340**	**–46.8**	—	**8000**
19	314	–51.2	—	8510
	300	**–53.8**	—	**8790**

Min.	PPP	TTT	UU	H m. geop.
20	**290**	**–55.8**	—	**9000**
21	272	–57.0	—	9420
	248	**–48.7**	—	**10000**
22	245	–47.5	—	10090
23	224	–46.8	—	10670
	214	**–48.2**	—	**11000**
24	208	–49.0	—	11170
	200	**–48.4**	—	**11420**
25	191	–47.6	—	11730

31. XII. 1951 06.10 h HEC

	1000	—	—	**190**
0	963.4	2.5	95	493
1	916	1.1	100	900
	905	**1.0**	**100**	**1000**
2	**875**	**0.9**	**100**	**1285**
	850	**0.7**	**100**	**1501**
3	838	0.5	100	1620

Min.	PPP	TTT	UU	H m. geop.
4	**799**	**–2.0**	**100**	**2000**
5	764	–4.0	100	2360
6	727	–5.0	100	2750
	703	**–5.8**	**93**	**3000**
	700	**–6.0**	**92**	**3035**
7	694	–6.4	90	3100
8	661	–7.8	30	3490
9	634	–9.3	27	3810
	618	**–10.2**	**27**	**4000**
10	605	–11.1	27	4170
11	574	–14.7	30	4570
12	545	–18.1	85	4950
	542	**–18.4**	**87**	**5000**
13	518	–20.9	100	5340
	500	**–23.1**	**98**	**5590**
14	486	–25.0	96	5800
	472	**–26.9**	**98**	**6000**
15	460	–28.8	100	6190

Min.	PPP	TTT	UU	H m. geop.
16	432	–29.3	82	6640
	410	**–32.4**	**61**	**7000**
17	407	–33.1	58	7060
18	381	–36.7	53	7520
19	**356**	**–40.8**	—	**8000**
20	333	–44.6	—	8440
21	309	–48.5	—	8940
	305	**–49.0**	—	**9000**
	300	**–50.0**	—	**9120**
22	287	–52.7	—	9410
23	264	–56.5	—	9950
	262	**–56.9**	—	**10000**
24	243	–60.7	—	10470
25	224	–63.7	—	10960
	223	**–63.0**	—	**11000**
26	208	–57.9	—	11420
	200	**–56.1**	—	**11670**
27	194	–55.1	—	11870

Pilot

HH = Höhe in Hektometern; dd = Windrichtung in 36iger Skala; ff = Windgeschwindigkeit in Knoten.

HH	dd	ff
9. I. 51		**15.00 h**
05	00	00
10	26	04
20	00	00
30	34	10
40	12	15
50	27	20
55	25	28
12. I. 51		**15.00 h**
05	00	00
10	23	22
15	22	24
20	22	28
30	23	25
40	25	19
9. II. 51		**15.00 h**
05	00	00
10	17	06
15	23	15
20	21	09
30	18	17
40	21	38
50	20	40
20. II. 51		**15.00 h**
05	21	20
10	22	14
15	22	30
20	22	39
23. II. 51		**15.00 h**
05	21	21
10	22	14
15	25	15
20	27	23
30	30	25
33	30	32
5. III. 51		**15.00 h**
05	00	00
10	06	04
15	06	05
20	00	00
30	28	03
40	33	02
50	27	02
55	27	02
6. III. 51		**15.00 h**
05	01	05
10	06	05
15	09	13
20	11	04

HH	dd	ff
30	30	03
40	30	13
50	25	22
60	25	25
70	23	42
12. III. 51		**15.00 h**
05	21	11
10	22	12
20	22	22
30	24	17
40	23	20
50	25	22
60	29	29
65	31	30
3. IV. 51		**15.10 h**
05	32	08
08	27	03
15	27	03
20	31	05
30	34	05
40	31	08
4. IV. 51		**15.00 h**
05	00	00
20	00	00
30	28	03
35	32	03
40	32	05
50	33	10
60	33	10
75	33	20
90	32	22
95	32	15
5. IV. 51		**15.30 h**
05	00	00
10	20	03
15	26	02
20	30	03
6. IV. 51		**06.10 h**
05	00	00
15	00	00
20	25	07
30	30	10
40	30	10
45	30	13
55	31	17
66	31	17
6. IV. 51		**15.00 h**
05	24	12
10	25	18

HH	dd	ff
15	21	15
20	23	10
25	27	13
7. IV. 51		**06.10 h**
05	00	00
10	23	20
15	23	22
20	22	34
9. IV. 51		**06.10 h**
05	26	05
10	23	20
15	23	30
20	23	30
24	23	28
9. IV. 51		**15.00 h**
05	22	40
10	22	35
15	22	29
20	23	38
10. IV. 51		**06.05 h**
05	24	05
10	23	25
15	24	35
20	24	30
30	25	40
40	25	50
45	24	70
50	24	55
11. IV. 51		**06.00 h**
05	00	00
10	00	00
15	25	12
30	25	12
40	25	17
50	25	28
60	24	75
75	23	65
85	23	82
95	23	80
100	23	80
12. IV. 51		**06.00 h**
05	00	00
10	06	10
15	05	10
20	04	10
25	02	12
30	36	18
40	36	20

HH	dd	ff
50	36	20
55	01	25
65	03	45
75	03	57
80	03	65
90	02	40
100	02	35
105	01	35
12. IV. 51		**15.00 h**
05	36	05
10	02	07
15	04	05
20	05	03
30	03	08
13. IV. 51		**15.00 h**
05	21	17
10	22	10
15	24	12
20	24	10
30	25	18
40	28	22
50	28	27
55	28	25
16. IV. 51		**06.10 h**
05	00	00
15	22	26
30	25	12
40	27	20
50	27	25
55	28	30
70	27	28
80	27	44
90	26	37
100	26	38
16. IV. 51		**15.00 h**
05	28	18
10	22	19
20	23	18
30	26	18
40	28	18
50	29	21
70	31	22
80	31	21
90	33	25
17. IV. 51		**06.00 h**
05	00	00
10	22	23
15	23	16
20	27	10
25	28	10

HH	dd	ff
35	28	15
40	28	29
50	29	27
60	29	35
70	30	40
80	30	44
90	31	54
100	31	65
110	30	95
17. IV. 51		**15.00 h**
05	19	05
10	23	02
15	23	04
20	23	04
30	24	13
40	26	19
55	27	17
18. IV. 51		**06.00 h**
05	00	00
10	23	10
15	23	06
19. IV. 51		**06.00 h**
05	00	00
10	22	10
15	23	15
20	24	22
25	25	25
30	26	12
23. IV. 51		**15.00 h**
05	05	09
10	00	00
40	36	04
60	31	13
70	33	09
80	31	15
90	32	17
24. IV. 51		**06.10 h**
05	00	00
15	08	12
30	08	17
40	09	18
50	08	15
55	06	25
70	05	25
80	05	35
90	05	50
95	06	50
110	05	45

HH	dd	ff
25. IV. 51		**06.10 h**
05	00	00
15	00	00
30	08	15
40	10	15
50	10	20
60	10	24
70	10	22
80	09	45
90	09	40
105	09	30
26. IV. 51		**06.10 h**
05	20	08
10	24	15
15	26	15
20	21	10
25	16	10
35	15	10
45	16	08
55	16	10
30. IV. 51		**15.00 h**
05	33	05
10	00	00
20	21	09
30	21	23
40	22	30
50	23	35
1. V. 51		**06.00 h**
05	00	00
10	06	07
15	17	07
20	18	05
25	20	12
30	20	22
40	22	25
50	23	28
70	23	50
2. V. 51		**06.00 h**
05	00	00
10	04	05
20	02	10
25	01	08
30	02	05
40	02	17
50	02	20
60	02	20
70	01	22
80	01	22
90	02	24

HH	dd	ff
4. V. 51		**06.05 h**
05	21	05
10	24	10
15	24	08
7. V. 51		**15.00 h**
05	22	18
10	22	11
15	23	15
20	23	17
30	22	16
35	23	21
8. V. 51		**06.05 h**
05	00	00
20	23	12
30	21	14
40	21	15
55	20	13
60	19	10
70	20	10
80	20	14
95	20	17
9. V. 51		**06.10 h**
05	00	00
15	00	00
20	22	10
30	20	15
40	18	10
50	14	08
55	17	08
65	16	13
75	17	10
85	17	13
95	19	15
105	19	25
120	21	22
9. V. 51		**15.00 h**
05	03	18
10	03	18
15	04	10
20	06	09
30	06	08
16. V. 51		**06.05 h**
05	21	07
10	30	07
20	33	05
30	34	10
40	35	20
50	35	20
60	34	18
65	34	18
18. V. 51		**06.00 h**
05	00	00
10	00	00
15	23	05
20	20	10
25	19	10
40	16	15
19. V. 51		**06.00 h**
05	00	00
10	08	05
15	11	10
20	15	10
30	18	10
40	18	17
50	18	25
21. V. 51		**06.10 h**
05	00	00
10	23	12
15	23	20
22	23	30
21. V. 51		**15.00 h**
05	28	12
10	22	05
15	22	08
20	20	08
30	23	10

HH	dd	ff
22. V. 51		**06.15 h**
05	00	00
15	23	15
20	23	30
30	23	22
37	22	35
23. V. 51		**06.10 h**
05	00	00
10	00	00
15	23	22
20	25	28
30	26	22
40	26	35
50	27	33
55	27	40
70	28	45
80	28	50
90	28	55
00	29	55
14	29	45
24. V. 51		**06.15 h**
05	00	00
10	00	00
15	22	20
20	21	28
30	26	20
35	26	23
40	28	30
50	28	38
24. V. 51		**15.30 h**
05	20	12
10	23	10
15	24	15
20	24	18
30	24	12
40	24	18
50	26	18
60	26	20
70	25	12
80	27	05
25. V. 51		**06.10 h**
05	00	00
15	00	00
20	22	20
40	22	28
50	23	30
55	24	35
60	25	25
70	25	28
80	25	25
95	25	33
105	25	27
115	25	28
125	24	40
130	26	45
25. V. 51		**15.00 h**
05	24	05
10	24	03
20	23	06
30	20	11
40	23	28
50	23	26
60	27	17
70	25	24
26. V. 51		**06.10 h**
05	00	00
15	20	08
20	21	20
30	22	30
38	23	28
28. V. 51		**06.10 h**
05	00	00
20	21	25
30	22	20
40	23	30

HH	dd	ff
50	23	40
60	23	60
70	22	90
80	72	06
90	72	32
100	72	32
115	22	88
29. V. 51		**06.00 h**
05	00	00
15	00	00
20	22	05
25	19	05
30	20	10
40	21	10
29. V. 51		**15.00 h**
05	20	16
10	22	09
20	23	15
30	22	19
40	22	18
50	25	19
60	23	22
1. VI. 51		**06.05 h**
05	00	00
10	23	12
15	23	15
20	23	40
30	24	10
35	16	20
40	16	20
4. VI. 51		**06.15 h**
05	00	00
15	00	00
30	00	00
40	30	07
50	30	14
55	30	20
60	30	25
75	30	30
85	29	39
90	29	35
105	29	45
115	27	35
130	27	30
4. VI. 51		**15.00 h**
05	00	00
10	00	00
15	31	03
20	30	03
30	28	05
40	28	09
50	30	06
60	34	18
5. VI. 51		**06.15 h**
05	00	00
10	00	00
15	01	04
20	35	05
30	35	06
35	35	07
45	36	15
55	35	15
60	34	17
70	34	20
80	34	25
90	33	25
100	33	30
110	32	30
120	32	25
5. VI. 51		**15.00 h**
05	03	09
10	03	13
15	01	11
20	02	12
30	03	09

HH	dd	ff
40	34	03
50	35	10
60	36	16
65	36	12
6. VI. 51		**06.10 h**
05	00	00
15	00	00
20	02	10
30	36	15
7. VI. 51		**15.00 h**
05	04	18
10	04	12
15	07	09
20	00	00
30	19	04
40	22	02
50	24	01
60	28	02
70	28	09
80	30	28
90	31	18
115	31	31
8. VI. 51		**06.10 h**
05	00	00
10	00	00
15	27	04
25	15	10
33	14	20
12. VI. 51		**14.50 h**
05	18	12
10	22	45
15	23	20
20	24	15
30	25	20
40	26	20
50	27	20
60	27	27
70	27	27
13. VI. 51		**06.10 h**
05	17	05
10	26	10
15	27	20
25	25	17
30	26	25
35	28	28
45	28	30
13. VI. 51		**15.10 h**
05	32	07
10	26	10
15	22	08
20	20	12
25	25	10
30	28	12
35	32	17
40	34	25
50	32	25
60	32	25
70	31	25
80	31	27
90	31	27
95	31	30
14. VI. 51		**06.15 h**
05	00	00
15	24	05
27	27	05
30	30	08
35	31	20
45	32	27
50	32	27
60	31	30
70	31	35
80	29	40
90	29	33
100	29	30
110	27	35
120	26	35

HH	dd	ff
14. VI. 51		**15.00 h**
05	00	00
15	00	00
20	29	05
30	27	05
40	30	15
50	30	22
60	31	12
70	30	15
80	30	20
90	29	33
95	29	28
15. VI. 51		**15.10 h**
05	36	12
10	36	05
15	33	03
20	00	00
30	21	20
40	22	25
50	24	28
60	25	28
70	26	22
80	25	25
90	25	18
15. VI. 51		**06.10 h**
05	00	00
10	24	05
15	24	05
25	26	05
30	25	10
35	24	15
45	25	25
55	25	18
60	25	18
70	26	18
80	27	33
90	27	33
100	27	30
110	28	25
120	28	27
129	29	20
16. VI. 51		**06.05 h**
05	00	00
15	23	03
25	23	15
30	23	20
40	23	18
45	24	20
50	23	15
60	24	27
70	24	35
80	24	35
90	25	30
100	25	44
110	24	55
120	22	45
129	21	35
18. VI. 51		**15.00 h**
05	24	18
10	24	06
20	22	28
30	21	26
20. VI. 51		**15.00 h**
05	02	13
10	04	09
15	08	05
17	08	03
21. VI. 51		**06.00 h**
05	00	00
10	00	00
15	21	03
25	22	15
30	24	10
35	26	08
45	27	10
55	27	15
70	29	18

HH	dd	ff
80	29	25
90	29	20
100	29	35
110	29	45
120	29	45
125	29	45
21. VI. 51		**15.00 h**
05	00	00
10	00	00
15	23	05
20	23	08
30	21	16
40	24	16
50	25	14
60	27	18
22. VI. 51		**06.05 h**
05	00	00
10	23	08
15	22	20
20	21	25
25	22	45
29	23	35
23. VI. 51		**06.00 h**
05	00	00
10	24	08
15	23	10
18	23	25
25. VI. 51		**06.10 h**
05	20	07
10	24	16
15	25	12
20	26	15
26. VI. 51		**06.10 h**
05	20	03
10	24	15
25	26	25
30	26	20
40	27	15
50	28	15
29. VI. 51		**06.10 h**
05	00	00
15	00	00
25	28	06
30	28	12
40	30	20
55	31	17
60	32	20
70	31	22
80	30	25
90	30	30
00	29	30
30. VI. 51		**06.05 h**
05	00	00
10	06	15
15	06	12
20	12	12
30	22	05
40	08	03
50	09	05
60	09	10
70	07	15
80	07	10
90	07	18
100	07	25
110	07	22
2. VII. 51		**06.05 h**
05	00	00
10	07	07
15	08	07
20	07	07
25	05	03
30	03	08
40	04	10
50	04	20
60	05	28

HH	dd	ff
70	04	32
80	04	35
90	05	55
00	06	55
10	06	25
15	06	25

3. VII. 51 06.05 h

05	00	00
20	00	00
25	30	03
35	32	05
40	33	10
50	32	10
60	31	15
70	36	10
80	36	15
90	36	23
100	01	22
110	01	22
120	36	17

3. VII. 51 15.00 h

05	00	00
10	00	00
20	00	00
30	22	05
40	29	04
50	31	08
60	32	10
70	31	11
80	29	09
90	27	08
120	27	11

4. VII. 51 06.00 h

05	00	00
10	00	00
15	23	05
25	24	10
30	26	08
40	28	10
50	28	10
65	28	20
70	28	24
80	28	25
90	29	16
99	29	16

4. VII. 51 14.30 h

05	22	09
10	23	03
15	23	03
20	25	09
30	26	14
40	26	13
50	26	16
60	27	23
70	27	23
80	25	26
90	23	19
115	27	28

5. VII. 51 06.10 h

05	00	00
10	30	05
15	28	12
25	27	18
30	27	18
35	28	18
40	29	22
50	29	25
60	29	30
70	29	35

6. VII. 51 06.05 h

05	00	00
10	05	07
15	03	03
20	00	00
25	22	10
30	31	08
35	32	08
40	35	08
50	35	15
60	36	25
70	35	23
80	35	25
90	36	33
100	36	38
110	36	38
120	36	58

6. VII. 51 15.00 h

05	35	02
10	36	03
15	36	02
17	23	13

7. VII. 51 06.00 h

05	00	00
20	00	00
25	23	05
30	23	07
40	28	07
55	32	07
65	03	08
70	34	08
80	34	12
90	33	15
100	33	20
110	32	14
115	32	14

10. VII. 51 15.00 h

05	00	00
10	17	08
15	22	13
20	23	13
30	23	13
40	23	15
50	24	13
60	23	18
65	23	18

11. VII. 51 06.10 h

05	00	00
15	21	12
20	19	18
30	21	17
40	22	22
50	20	27
55	20	36
65	21	30
70	21	30
80	19	20
90	19	40
100	19	50
110	19	55
125	18	60

18. VII. 51 15.00 h

05	04	09
10	04	09
15	01	10
20	05	09
30	01	11
33	02	15

18. VII. 51 06.15 h

05	00	00
10	06	15
15	06	25
20	05	12
30	05	17
40	05	17
55	05	17
70	04	22
80	33	17
90	34	15
100	02	20
112	02	20

19. VII. 51 06.15 h

05	00	00
10	00	00
15	05	10
25	01	10
30	35	10
40	34	12
55	34	02
70	33	10
80	35	15
90	35	10
100	35	10
120	36	20

19. VII. 51 15.00 h

05	36	05
10	02	04
15	35	07

20. VII. 51 06.10 h

05	00	00
15	00	00
20	00	00
30	32	12
40	33	10
50	33	20
55	33	23
65	32	25
70	31	27
85	31	38
95	31	35
105	31	35
120	31	33

22. VII. 51 06.05 h

05	00	00
10	00	00
15	24	08
20	23	10

20. VII. 51 15.00 h

05	03	05
10	02	02
15	35	03
20	34	03
30	33	04
40	31	08
50	33	11
60	34	15
70	33	22

21. VII. 51 06.10 h

05	00	00
10	00	00
15	23	15
20	00	00
30	35	10
40	35	13
50	35	12
55	34	20
65	33	15
75	32	15

26. VII. 51 15.00 h

05	03	13
10	03	11
15	03	11
17	03	09

23. VII. 51 15.00 h

05	26	24
10	27	09
15	23	07
20	23	11
25	22	13

27. VII. 51 06.05 h

05	00	00
10	05	10
15	05	15
20	05	08
25	03	08
30	02	06
40	36	15
50	35	35
60	34	50
70	34	38
80	34	50
90	35	60
100	35	70
110	35	82
120	35	70
130	35	90

2. VIII. 51 15.00 h

05	33	05
10	35	05
15	01	02
20	05	05
25	00	00
30	00	00
35	18	08

28. VII. 51 06.05 h

05	00	00
10	07	05
15	07	06
20	03	05
25	36	02
30	35	18
40	34	25
45	33	22
55	33	25
65	33	30
70	32	28
80	32	33
90	31	35
100	31	35
110	31	35
120	31	65

30. VII. 51 06.13 h

05	00	00
15	00	00
25	00	00
30	30	08
40	30	13
50	28	15
60	28	20
65	28	25

31. VII. 51 06.10 h

05	00	00
10	00	00
15	00	00
30	22	15
35	23	12
40	24	23
50	25	17

3. VIII. 51 06.10 h

05	00	00
20	00	00
31	21	15
40	21	17
50	21	17

1. VIII. 51 06.10 h

05	00	00
10	06	03
15	11	05
25	11	07
30	19	10
40	19	17
50	19	25
60	19	35
70	19	28
80	19	30
90	18	30
100	17	45
110	16	45

2. VIII. 51 06.10 h

05	00	00
20	00	00
30	00	00
40	20	06
50	22	20
60	22	25
70	23	30
80	23	40
90	23	38
100	24	30
110	21	50

6. VIII. 51 06.00 h

05	00	00
10	00	00
15	13	05
20	21	10
25	24	20
30	22	25
40	22	28
50	20	15
60	23	38
70	23	28
80	23	28
85	23	30

6. VIII. 51 15.00 h

05	00	00
10	00	00
20	22	19
30	22	33
40	22	32

9. VIII. 51 06.05 h

05	23	22
10	23	18
15	23	27
20	23	30
25	22	18
30	22	40

8. VIII. 51 15.00 h

05	00	00
10	00	00
15	16	04
20	22	22
30	22	31
40	23	39
50	24	40
60	24	39
70	23	43

10. VIII. 51 06.05 h

05	00	00
10	00	00
15	26	06
20	25	08
35	22	06
40	22	12
50	23	18
60	23	24
70	20	22
75	22	30
85	22	45
95	22	67
105	22	95
110	22	95

11. VIII. 51 06.05 h

05	19	05
10	25	12
15	25	08
20	25	10
25	25	10

13. VIII. 51 06.10 h

05	00	00
10	24	10
15	23	30
20	23	28
25	24	28
35	25	33
45	25	55
50	25	55

13. VIII. 51 15.00 h

05	21	13
10	24	18
15	23	30
20	24	30
25	25	38

14. VIII. 51 06.05 h

05	00	00
10	00	00
15	24	05
20	24	05
25	24	08
28	21	10

14. VIII. 51 15.00 h

05	00	00
15	00	00
20	23	04
30	23	09
40	25	21
50	26	18
60	26	20

15. VIII. 51 06.10 h

05	00	00
10	06	08
15	19	05
25	25	15
35	26	18
50	27	23
65	27	40
75	27	45
85	27	70
95	28	80

16. VIII. 51 05.45 h

05	00	00
10	22	10
20	23	15
25	25	15
30	27	12

17. VIII. 51 15.00 h

05	24	05
10	00	00
20	33	04
25	32	07

18. VIII. 51 06.05 h

05	00	00
10	08	03
15	06	05
25	02	03
30	32	05
40	32	20
50	31	23
60	30	35
70	30	30
80	30	50
90	30	38
100	31	30
110	30	60
120	30	60

20. VIII. 51 06.05 h

05	00	00
10	26	05
15	24	15
20	21	25
25	21	33
30	21	15

25. VIII. 51 06.00 h

05	00	00
10	00	00
15	07	05
20	24	12
25	24	12
30	22	12
40	22	15
50	23	25
60	24	28
65	24	24

HH	dd	ff
27. VIII. 51		**15.00 h**
05	21	24
10	23	18
15	23	15
20	24	30
30	23	31
32	22	38
28. VIII. 51		**06.10 h**
05	00	00
10	23	10
15	23	25
20	23	20
30	25	25
40	25	25
45	25	40
55	25	40
65	26	35
75	26	35
85	26	35
95	26	30
110	26	45
120	26	55
130	26	65
28. VIII. 51		**15.00 h**
05	00	00
10	20	08
20	23	37
30	22	36
40	21	34
45	21	31
29. VIII. 51		**06.00 h**
05	00	00
15	22	15
20	22	30
30	23	28
40	22	30
55	22	25
70	22	30
80	22	30
95	22	28
105	23	45
110	22	55
125	22	20
29. VIII. 51		**15.00 h**
05	21	05
10	24	09
20	25	12
30	22	11
40	22	18
50	22	14
30. VIII. 51		**06.00 h**
05	00	00
15	19	03
20	21	20
30	22	30
40	22	35
55	21	40
30. VIII. 51		**15.00 h**
05	21	05
10	22	10
20	20	11
30	18	17
40	21	32
1. IX. 51		**06.00 h**
05	00	00
15	25	12
20	24	17
30	26	25
40	27	25
55	27	38
65	27	50
75	27	58
90	28	90
105	28	85
4. IX. 51		**06.05 h**
05	00	00
10	06	06
15	08	05
20	05	05
25	02	08
30	36	20
35	36	20
40	36	25
50	36	46
4. IX. 51		**15.00 h**
05	05	05
10	03	04
20	04	10
30	06	13
40	02	18
50	02	22
60	02	27
70	01	27
5. IX. 51		**06.05 h**
05	00	00
10	08	03
15	07	08
20	07	12
30	07	18
40	06	18
50	06	20
60	06	15
70	04	22
80	04	20
90	05	30
100	05	25
110	04	45
120	04	38
130	03	12
10. IX. 51		**15.10 h**
05	00	00
20	00	00
30	00	00
35	18	10
40	18	15
50	18	12
60	22	05
70	22	05
11. IX. 51		**06.00 h**
05	00	00
20	00	00
25	04	05
30	20	05
35	21	05
50	21	05
60	24	05
70	29	08
80	30	15
90	28	18
100	28	27
110	28	33
115	28	33
11. IX. 51		**15.00 h**
05	00	00
20	00	00
30	22	05
40	19	10
50	23	10
60	27	08
70	27	15
80	28	15
12. IX. 51		**06.10 h**
05	00	00
10	00	00
15	21	05
25	21	05
35	21	10
50	21	12
60	22	18
70	24	10
80	25	20
90	26	18
100	27	33
110	27	38
120	26	33
12. IX. 51		**15.00 h**
05	00	00
10	21	05
15	23	10
20	22	23
30	23	22
40	24	25
50	26	28
60	27	22
70	26	25
75	26	22
13. IX. 51		**15.10 h**
05	00	00
15	00	00
20	15	05
30	17	15
35	18	15
40	20	20
50	21	35
60	20	30
70	19	32
25	20	30
15. IX. 51		**06.05 h**
05	00	00
10	14	05
15	17	08
20	27	08
40	26	05
50	19	05
60	06	05
65	35	08
75	33	15
90	30	12
100	26	10
110	21	10
18. IX. 51		**15.00 h**
05	04	05
10	00	00
20	00	00
30	00	00
40	30	13
50	35	18
60	33	28
19. IX. 51		**15.00 h**
05	00	00
10	00	00
20	00	00
30	30	09
40	32	28
50	32	39
20. IX. 51		**06.05 h**
05	00	00
10	06	10
15	03	10
20	01	10
25	35	10
30	34	17
40	33	30
50	32	38
60	32	40
75	32	38
85	32	70
95	32	77
105	33	94
115	33	94
20. IX. 51		**15.00 h**
05	04	08
10	06	07
20	35	09
30	35	14
40	01	18
21. IX. 51		**06.15 h**
05	00	00
15	00	00
20	31	05
30	30	12
40	31	15
45	31	17
55	32	25
60	31	30
70	30	35
80	32	45
27. IX. 51		**15.00 h**
05	00	00
10	00	00
15	26	03
20	25	09
30	24	11
28. IX. 51		**07.00 h**
05	00	00
15	00	00
25	24	20
35	25	20
45	22	12
28. IX. 51		**15.00 h**
05	03	02
10	03	02
15	03	08
20	08	03
30	12	02
2. X. 51		**15.00 h**
05	00	00
10	00	00
20	00	00
35	00	00
40	08	05
50	08	08
13. X. 51		**15.00 h**
05	00	00
10	04	07
15	04	12
20	06	12
30	05	20
40	07	13
16. XI. 51		**14.45 h**
05	00	00
10	00	00
20	22	23
30	23	23
45	24	29
23. XI. 51		**15.00 h**
05	00	00
10	20	02
20	24	09
30	31	19
40	34	27

Radiosondierungen in Gruyère (Kt. Freiburg) und Lutry bei Lausanne

von P. Ackermann, Payerne

Zusammenfassung

Am 27. Februar 1952 wurde gleichzeitig mit der regulären Nachmittagssondierung von Payerne eine Sonde gleichen Modells in Gruyère und am 28. Februar eine solche am Genfersee, in Lutry bei Lausanne, gestartet.

Der Vergleich der beiden Doppelsondierungen ergibt wertvolle Hinweise über die Bodenluftschichten im Mittelland, in einem Alpental und an einem See. Die in höheren Schichten gefundenen Meßdifferenzen können zwanglos durch die allgemeine meteorologische Lage und einen Reliefeffekt der Alpen erklärt werden. Immerhin liegen diese Unterschiede schon so nahe der Meßgenauigkeit der Sonden, daß erst Serienversuche eine sichere Abklärung bringen werden.

Résumé

Des sondages simultanés on été effectués avec les mêmes types de radiosonde à Gruyère et Payerne le 27 février 1952 et à Lutry près Lausanne et Payerne le 28 février 1952.

La comparaison de ces deux groupes de sondage donne des renseignements intéressants sur la couche d'air au sol sur le plateau, dans une vallée des Alpes et au bord d'un lac. Les différences de mesures obtenues dans les couches supérieures peuvent être attribuées sans autre à la situation générale météorologique et à l'effet orographique des Alpes.

Cependant, ces différences sont déjà si près de la tolérance des sondes, que seuls des essais en série apporteront une explication sûre.

1. Sondierung von Gruyère am 27. Februar 1952

a) Situation: Die Schweiz lag im Bereich eines Hochdruckgebietes mit Zentrum über England. Vormittags, bei der Fahrt von Payerne nach der verschneiten Gegend von Gruyère, herrschte dichter Nebel, der sich gegen Mittag auflöste. Gruyère liegt am Eingang zu einem Alpentale in 28 km Entfernung südlich von Payerne. Es ist von Bergen umgeben mit Höhen von 1000—2000 Meter ü. M. Der Startort befand sich auf 810 m ü. M. Der Start der Sonden um 14.50 Uhr MEZ vollzog sich sowohl in Gruyère wie in Payerne bei wolkenlosem Himmel.

b) Resultat: Fig. 1 zeigt die Zustandskurve T=f(lnP) der Sondierung von Payerne. Die Bodenkaltluftschicht erstreckt sich bis auf 870 mbar (1340 m ü. M.) und ist durch eine Inversion von 870—821 mbar (1340—1800 m ü. M.) abgegrenzt. Die entsprechende Inversion in Gruyère liegt zwischen 890 und 850 mbar (1130—1500 m ü. M.).

Fig. 2 stellt die Temperaturdifferenzen zwischen den beiden Sondierungen in Funktion des Druckes dar. Es geht daraus hervor, daß die Bodenluftschicht von Gruyère bis 2° C tiefere Temperaturen aufweist. Weiter zeigt die Sondierung von Gruyère bis auf etwa 6700 m ü. M.

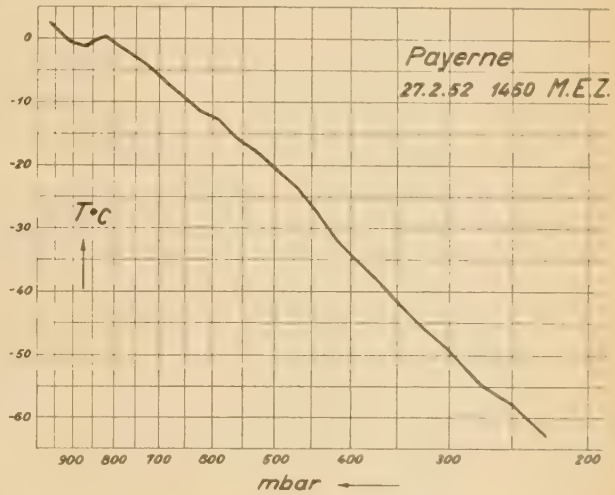

Fig. 1

kältere, darüber wärmere Temperaturen als Payerne an. Diese Tatsache bleibt auch bestehen, wenn man die Meßgenauigkeit des verwendeten Sondenmodells berücksichtigt.

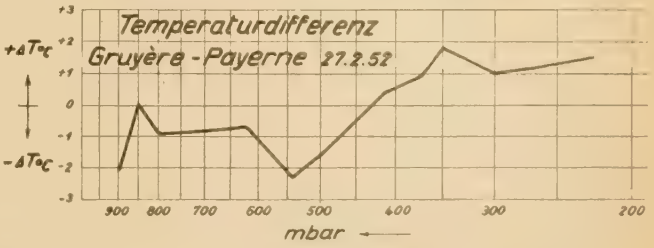

Fig. 2

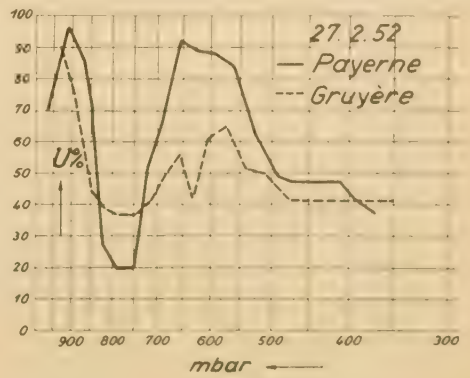

Fig. 3

Fig. 3 betrifft die Feuchtigkeit in Funktion des Drukkes. Der allgemeine Verlauf der beiden Kurven stimmt miteinander überein. Es ist zu bedenken, daß die Genauigkeit der Feuchtigkeitsmessung für mittlere und kleine Feuchtigkeiten nur 10% beträgt. Immerhin scheint die Luft in größeren Höhen über Gruyère etwas trockener zu sein.

c) Diskussion: Beim Vergleich der beiden Sondierungen ist zu beachten, daß die Radiosonden keinen senkrechten Schnitt durch die Atmosphäre ergeben, sondern daß sie durch die Winde fortgetragen werden. Der in Payerne gestartete Apparat kam aus Evian am Genfersee zurück. Die Sonde von Gruyère wurde noch nicht aufgefunden; man kann aber annehmen, daß sie ungefähr im oberen Dransetal in Savoyen niedergegangen ist. Sie überquerte also auf ihrem Wege die Alpen mit Gipfeln von 1500 bis 2500 Meter Höhe. Die Sonde von Payerne hingegen blieb im Mittelland, sie folgte dem Broyetal und überquerte den Genfersee. Der Gang der gegenläufigen Temperaturdifferenz kann so eventuell durch einen Reliefeffekt erklärt werden. Folgende Gründe sprechen für diese Annahme: Die Bodenwetterkarte zeigt einen Druckgradienten von Norden nach Süden, der über den Alpen etwa 3 mbar/100 km beträgt, d. h. der horizontale Druckunterschied zwischen Payerne und Gruyère liegt in der Größenordnung eines Millibars. Die aus den beiden Sondierungen berechneten Höhen für das Druckniveau 850 mbar betragen 1510 Meter für Payerne und 1500 Meter für Gruyère, also in Übereinstimmung mit der Bodenkarte.

Die Höhenwetterkarten der US-Zone, des englischen und schweizerischen Wetterdienstes für die Niveaus 700, 500 und 300 mbar weisen ebenfalls einen Nord—Süd-Druckgradienten auf. Nehmen wir nun an, daß die Zustandskurven $T=f(\ln P)$ unserer beiden Sondierungen ab dem Niveau 850 mbar identisch seien, so bleiben die aus den Sondierungen ermittelten Höhendifferenzen ab diesem Niveau für jedes Druckniveau konstant, nämlich 10 Meter. Das hätte aber zur Folge, daß der horizontale Druckgradient mit der Höhe abnähme, da ja einem Millibar Druckdifferenz bei 850 mbar 11 Meter, bei 300 mbar hingegen 23 Meter Höhendifferenz enstpricht. Um der meteorologischen Situation zu genügen, dürfen also die Zustandskurven der beiden Sondierungen nicht identisch sein, und zwar muß die Luft über Payerne auch über dem Niveau 850 mbar etwas wärmer sein als diejenige über Gruyère, was die Messung eben richtig wiedergibt.

Nach dem Kreuzungspunkt der Zustandskurven auf etwa 6700 Meter Höhe muß durch analoge Überlegungen der Druckgradient abnehmen und in noch größeren Höhen das Vorzeichen ändern. Auch dieser Punkt wird durch die Höhenwetterkarte des deutschen Wetterdienstes für das Niveau 96 Millibar bestätigt. Während die Isohypsen für die unteren Niveaus über den Alpen eine Ausbuchtung bilden und von Nordosten nach Südwesten laufen, liegen diejenigen von 96 mbar etwa in Richtung Nordwest-Südost.

Die zwischen den beiden Sondierungen aufgefundenen Differenzen stimmen also sowohl in der Richtung wie in der Größenordnung mit der allgemeinen Wetterlage überein. Da diese Unterschiede aber an der Grenze der Sondenmeßgenauigkeit liegen, können nur Serienversuche eine sichere Abklärung bringen.

2. Sondierung von Lutry am 28. Februar 1952

a) Situation: Die allgemeine Situation hat sich gegenüber dem Vortage nur wenig geändert. Die Fahrt von Payerne nach Lutry, einem Nachbarort von Lausanne, wurde am frühen Vormittage bei dichtem Nebel angetreten. Aber schon in der Gegend des Jorat, der Anhöhe vor Lausanne, trafen wir auf Sonnenschein. In den Weinbergen um den Startort (400 m ü. M.) blühten schon die ersten Blumen und die Sondierung wurde bei wolkenlosem Himmel vorgenommen.

b) Resultat: Fig. 4 zeigt die Zustandskurve $T=f(\ln P)$ der Sondierung von Payerne. Die Bodenkaltluftschicht reicht bis 877 mbar (1280 m ü. M.) und ist durch eine

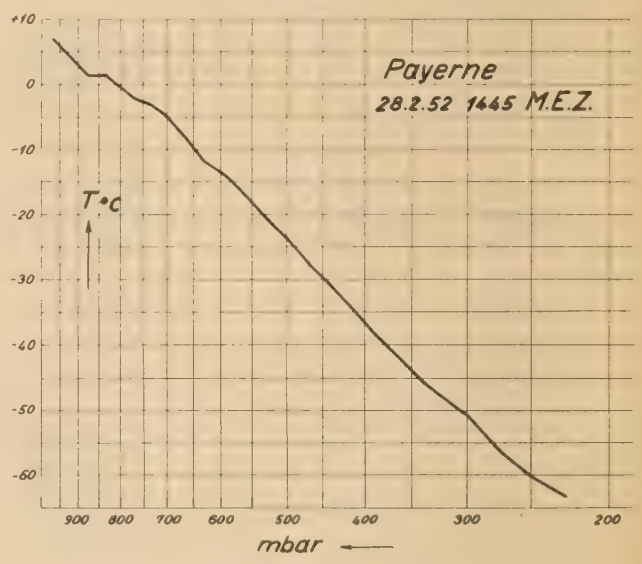

Fig. 4

Isothermie von 872 bis 837 mbar (1280—1660 m ü. M.) abgegrenzt. Die entsprechende Inversion von Lutry liegt zwischen 883 und 850 mbar (1210—1530 m ü. M.).

Fig. 5 stellt die Temperaturdifferenzen zwischen den Sondierungen von Lutry und Payerne dar. Die Temperaturen von Lutry sind bis auf 630 mbar (3900 m ü. M.)

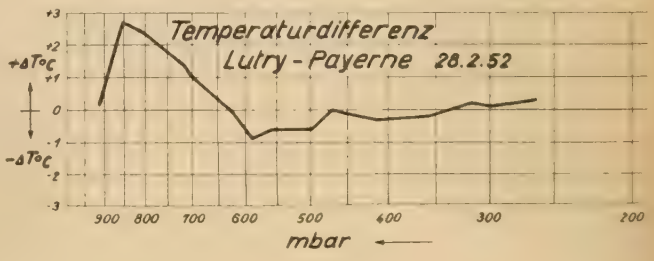

Fig. 5

wesentlich wärmer, anschließend bis auf 470 mbar (6070 m ü. M.) etwas kälter. Ab 470 mbar sind die beiden Zustandskurven praktisch vollständig identisch. Die Feuch-

tigkeitskurven sind in Fig. 6 enthalten. Die Feuchtigkeitsabnahme ab 900 mbar ist rascher für Lutry als für Payerne. Der Grund ist wohl in dem oben erwähnten Tem-

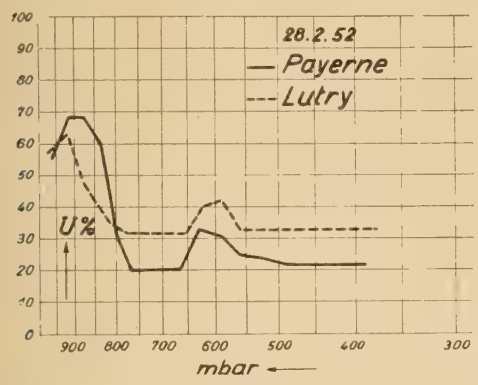

Fig. 6

peraturunterschied zu suchen. Sonst sind die beiden Kurven identisch, falls man wieder die Meßgenauigkeit in Betracht zieht.

c) Diskussion: Von den beiden gestarteten Apparaten wurde wieder nur einer, derjenige von Lutry, in Bonneville (Savoyen) aufgefunden. Vom anderen darf man annehmen, daß er in den Bergen südlich von St. Gingolph am Genfersee niedergegangen ist. Beide Radiosonden haben deshalb während des Aufstieges, d. h. während der Messung, höchstens Voralpen überquert.

Beim Druckniveau 850 mbar ergeben beide Sondierungen gleiche Höhen, was mit der entsprechenden Wetterkarte übereinstimmt. Bei 500 mbar zeigt die Sondierung von Lutry eine um 10 Meter größere Höhe an. Die englische sowie die schweizerische Höhenkarte, die für dieses Druckniveau ein Hochdruckgebiet westlich von Frankreich—Spanien aufweisen, bestätigen also diesen Gradienten. Die englische Karte für 300 mbar ist durch die gleiche Tendenz charakterisiert, nur daß der westöstliche Druckgradient offensichtlich kleiner ist. Die in Payerne gemessenen Höhenwinde bestätigen ebenfalls die Drehung der Isobarenrichtung mit der Höhe. Bis auf 2000 m ü. M. wurden Winde aus Richtung 60—50° festgestellt, Winde also, die ungefähr in der Richtung Payerne—Lutry wehten. Ab 2 km Höhe drehte der Wind rasch auf 20°, um in größeren Höhen aus Richtung 10° zu blasen.

Nr. 7

Verdunstung in Millimeter Wasserhöhe

Zürich

(Wildsche Waage in offener Hütte)

1951	Januar	Februar	März	April	Mai	Juni	Juli	August	September	Oktober	November	Dezember
1	1.0	0.7	0.6	3.4	2.5	0.9	3.6	2.7	2.0	1,0	0.5	0.2
2	0.2	0.5	0.7	1.4	3.2	1.9	3.9	3.4	2.2	1.1	0.3	0.0
3	0.2	1.0	0.6	0.8	3.0	1.7	4.8	2.2	1.8	0.7	0.3	0.0
4	0.4	1.5	0.4	2.2	0.6	2.8	5.6	1.6	2.2	0.6	1.5	0.8
5	0.3	0.2	0.7	1.4	2.7	0.9	2.7	2.2	1.6	1.3	1.2	0.5
6	1.0	0.3	0.8	3.0	3.6	1.0	3.5	3.4	2.5	0.8	1.6	1.2
7	1.4	0.6	1.0	2.8	1.1	3.0	4.0	2,0	1.4	0.4	1.7	0.3
8	0.7	1.2	0.6	2.5	2.2	1.2	2.6	0.5	1.1	0.6	0.7	0.6
9	0.2	0.9	0.9	3.0	1.6	1.1	1.5	4.0	0.7	1.0	1.0	1.1
10	0.1	0.6	1.1	2.0	0.5	2.3	3.8	1.9	1.5	0.2	1.1	1.0
11	1.0	0.8	1.0	1.4	0.9	3.4	2.6	2.4	1.9	0.2	0.5	1.1
12	0.1	0.2	2.6	2.0	0.6	4.9	1.8	3.5	2.3	0.7	0.5	0.8
13	0.9	1.0	3.5	3.2	2.7	3.4	2.7	1.4	2.9	1.1	1.2	0.3
14	1.1	1.0	2.0	2.2	0.5	4.8	2.8	2.0	0.3	0.8	0.5	0.0
15	0.8	0.4	3.1	2.1	0 4	4.1	1.7	2.8	1.1	0.5	0.6	0.0
16	0.7	0.5	1.4	3 5	1.0	2.5	0.2	0.4	2.1	0.2	0.8	0.0
17	0.6	1.5	1.5	4 4	1.1	2.8	0.8	2.0	0.4	0.2	1.1	0.2
18	0.5	0.3	1.8	1.6	1.6	2.1	2 5	2.9	1.5	0.2	1.8	0.0
19	0.4	0.5	2.2	1.9	4.5	0.5	3.3	3.4	1.2	0.3	0.2	0.2
20	0.4	1.0	0.6	1.4	1.7	1.7	4.0	2.1	1.7	0.8	0.2	0.2
21	0.4	1.0	1.4	2.8	3.0	3.4	3.5	0.3	1.3	1.0	0.9	0.1
22	0.2	0.9	1.6	3.7	0.6	1.7	4.0	0.5	0.8	0.2	0.5	0.0
23	0.5	0.6	3.8	3.8	2.7	1.0	1.6	1.1	0.9	0.2	0.8	0.0
24	0.6	0.4	0.8	4.6	5.2	1.4	1.4	2.0	0.8	0.1	0.2	0.0
25	0.4	0.7	0.5	6.4	4.2	1.9	1.0	1.8	0.6	0.1	0.2	0.2
26	0.0	0.8	1.2	2.4	3.0	2.9	1.4	1.8	0.2	0.5	0.4	0.2
27	0.3	0.9	0.8	0.9	1.0	3.7	2.6	1.2	0.9	0.2	0.5	0.4
28	0.7	0.4	0.1	0.5	2.0	1.0	3.7	2 8	0.8	0.2	0.5	0.5
29	0.3		1.1	0.2	2.4	2.3	4.3	2.8	0.2	0.8	0.5	0.1
30	0.4		1.2	0.9	1.0	2.5	3.8	3.3	0.4	0.9	0.5	0.2
31	0.6		1.1		1.2		3.9	1.1		1.0		0.6
Summe	16.4	20.4	40.7	72.4	62.3	68.8	89.6	65.5	39.3	17.9	22.3	10.8

Jahressumme: 526.4

Château d'Oex

1	1.6	1.0	0.8	2.0	3.4	1.9	3.7	1.4	2.0	0.8	0.1	0.7
2	0.4	0.7	0.7	1.7	3.6	1.6	4.0	3.3	1.8	1.2	0.4	0.2
3	0.2	0.8	0.8	1.9	2.6	2.8	4.5	1.5	1.3	0.9	0.3	0.2
4	0.3	1.4	0.8	2.5	0.7	4.3	6.7	1.6	1.7	0.9	0.3	0.3
5	0.9	0.5	1.3	1.8	3.4	1.7	2.3	2.1	1.8	1.1	0.7	0.6
6	0.9	0.4	1.3	2.6	4.1	1.2	3.7	2.5	2.5	0.6	2.8	0.4
7	0.2	0.9	1.3	2.0	2.9	3.6	3.9	2.3	0.7	1.2	1.6	0.6
8	0.8	0.1	0.7	1.4	1.1	2.1	3.6	1.6	1.5	1.0	0.8	0.4
9	0.6	0.8	1.0	1.5	1.9	0 5	1.9	0.8	1.0	0.8	0.8	0.4
10	1.5	0.5	1.7	1.3	1.5	2.7	4.3	0.9	1.9	1.4	1.6	1.1
11	1.3	0.7	1.8	1.5	1.2	4.1	2.9	2.1	2.0	0.6	0.5	1.6
12	0.3	0.3	2.5	2.0	1.4	4.5	2.7	5.2	2.2	1.3	0.2	0.5
13	0.6	0.5	1.4	3.0	1.3	3.9	2.4	2.6	2.0	1.2	0.3	0.9
14	0.4	1.0	2.4	1.5	0.3	5.7	2.1	2.5	0.3	0.5	0.0	1.0
15	0.8	0.5	2.0	2.7	0.8	5.3	1.7	3.2	1.8	1.2	0.8	1.0
16	0.2	0.9	1.3	4.0	1.2	4.0	0.2	0.4	1.9	0.8	0.5	0.9
17	0.0	1.4	0.2	4.0	0.5	2.7	2.3	0.3	0.5	1.1	0.6	0.9
18	0.4	0.7	0.3	0.9	2.5	1.4	2.6	2.7	1.2	0.4	2.4	1.5
19	0.5	0.8	0.8	2.2	6.5	0.8	3.6	3.7	1.3	1.0	0.3	1.5
20	0.0	1.4	1.0	3.0	2.9	2.5	3.6	1.4	1.4	0.9	0.1	1.1
21	0.2	1.0	2.3	1.8	4.4	3.8	3.6	0.2	1.2	1.2	0.0	1.0
22	0.3	0.0	0.7	2.2	1.9	1.3	4.4	0.4	1.5	0.1	0.3	0.9
23	0.3	1.1	2.2	3.2	5.1	0.6	1.6	1.5	0.8	0.0	0.3	1.1
24	0.4	0.0	0.2	3.8	5.1	1.3	0.9	2.0	0.5	0.6	0.0	1.1
25	0.8	0.8	0.4	5.4	5.4	1.7	1.0	1.6	1.0	0.9	1.3	0.6
26	0.9	0.3	0.7	1.5	3.1	1.3	2.5	3.0	0.4	1.0	0.8	0.5
27	0.4	0.7	0.0	2.1	0.4	2.9	2.9	0.9	1.1	1.2	0.7	0.3
28	0.4	1.0	0.8	1.4	2.3	2.5	3.0	2.4	0.8	1.5	1.4	0.3
29	0.7		1.5	0.5	2.6	2.9	3.7	2 9	0.2	0.9	1.0	0.1
30	0.3		0.7	2.1	2.1	1.4	4.2	3.0	1.3	0.9	0.9	0.1
31	0.9		0.9		2.6		3.3	0.7		0.5		0.0
Summe	17.5	20.2	34.5	67.5	78.8	77.0	93.8	60.7	39.6	27.7	21.8	21.8

Jahressumme: 560.9

Klima der freien Atmosphäre

Bearbeitung der Radiosondierungen der aerologischen Station Payerne 1948—1951

von P. Ackermann

Einleitung: Die aerologische Station der MZA führte in den Jahren 1948—1951 regelmäßig Sondierungen um 0600 MEZ durch. Die Bearbeitung dieser Messungen ist nachstehend in Form von Tabellen und Kurven zusammengefaßt. Bei der Beurteilung der hier vorliegenden Resultate sind folgende Punkte zu beachten:

1. Gemäß den alljährlich in den Annalen der MZA publizierten Übersichten über den Witterungsverlauf geht hervor, daß die Jahre 1948—1951 gegenüber den langjährigen Mittelwerten ungewöhnlich warm waren.

2. Die Durchführung der Sondierungen um 0600 MEZ hat zur Folge, daß bei den Messungen viele Bodeninversionen erfaßt wurden. Diese Inversionen beeinflussen deshalb in starkem Maße die berechneten Mittelwerte in den untersten Schichten der Atmosphäre.

3. Da im Jahre 1948 relativ wenig Aufstiege Höhen über 10 km erreichten, und auch in den folgenden Jahren die Zahl dieser Sondierungen immer etwas kleiner als für niedrigere Höhen ist, sind den Werten über dieser Höhe weniger Gewicht beizulegen.

4. Sämtliche bearbeiteten Sondierungen wurden mit dem gleichen Sondenmodell durchgeführt, der Radiosonde, die anläßlich der internationalen Versuche in Payerne 1950 mit ausländischen Modellen verglichen wurde.

Beschreibung der Tabellen. Die Tabellen 1948/1 und 1948/2 geben die Monats- und Jahresmittelwerte von Druck und Temperatur in Funktion der Höhe. Die Tabellen 1948/3—6 zeigen die Monats- und Jahresmittel, sowie die Extremwerte von Temperatur und Höhe für die Standarddruckniveaus 850, 700, 500 und 300 mbar. Die weiteren Jahre sind vollständig analog bearbeitet.

Die prozentuale Wahrscheinlichkeit des Auftretens der relativen Feuchtigkeitsintervalle in den einzelnen Jahren und für die Gesamtperiode 1948—1951 ist in Tabelle 8 für die drei Druckniveaus 850, 700 und 500 mbar dargestellt.

Die Tabelle 9 stellt die mittlere Atmosphäre, Druck und Temperatur in Funktion der Höhe, für die Gesamtperiode 1948—1951, sowie Mittel- und Extremwerte von Höhe und Temperatur der zugeordneten Standarddruckniveaus dar.

Beschreibung der Figuren. Sämtliche Figuren geben die graphische Darstellung der Monatsmittelwerte genommen über die Gesamtperiode 1948—1951 von Druck P_m, Temperatur T_m und Höhe H_m für die Standardniveaus. Gleichzeitig sind darin die Kurven der während der vier Jahre gefundenen Extremwerte eingezeichnet.

Tabelle 1948/1

Mittlere Temperatur C°

Monat	0.493	1	2	3	4	5	6	7	8	9	10	11	12	13 km
1	2.0	0.8	—4.3	— 9.2	—15.5	—21.1	—27.9	—34.1	—40.7	—45.6	—49.9			
2	—1.1	—2.4	—7.2	—11.2	—16.7	—22.5	—28.9	—34.9	—41.6	—46.2	—50.5			
3	3.7	4.5	0.9	— 3.6	—10.1	—16.8	—24.2	—31.1	—37.0	—41.9	—46.2			
4	6.1	4.4	—0.7	— 6.7	—12.2	—18.3	—25.0	—31.6	—38.3	—44.0	—48.3			
5	11.3	8.7	4.0	— 1.2	— 7.3	—13.7	—20.5	—27.7	—34.9	—42.1	—46.4			
6	13.3	10.3	3.8	— 2.0	— 8.0	—13.1	—19.2	—25.4	—32.0	—37.6	—40.8			
7	13.7	10.5	5.1	— 0.4	— 5.5	—11.0	—16.7	—22.9	—29.7	—36.7	—42.2	—47.3		
8	14.4	12.4	7.2	1.1	— 3.9	— 9.5	—15.1	—21.4	—28.0	—34.9	—41.7	—45.8	—49.9	—51.5
9	10.7	9.8	6.3	2.2	— 3.0	— 8.5	—14.8	—20.8	—27.4	—34.6	—41.8	—48.1	—53.9	—57.8
10	5.9	6.5	3.7	— 1.4	— 6.7	—12.5	—18.8	—25.8	—32.0	—39.0	—45.8	—50.5	—55.4	—58.0
11	2.4	4.4	3.9	— 2.6	— 8.2	—14.4	—20.9	—27.5	—34.7	—41.5	—47.9	—53.3		
12	—0.8	0.8	—1.2	— 6.8	—12.5	—18.9	—25.4	—31.5	—37.8	—45.3	—50.9	—54.4		
1—12	6.8	5.9	1.8	— 3.4	— 9.1	—15.0	—21.4	—27.8	—34.5	—40.7	—46.0			

Tabelle 1948/2

Mittlerer Druck mb

Monat	0.493	1	2	3	4	5	6	7	8	9	10	11	12	13 km
1	950	891	785	690	605	528	460	399	345	298	255			
2	962	902	794	697	608	534	464	403	345	295	252			
3	970	912	806	710	624	547	478	416	362	314	273			
4	956	989	793	695	613	537	469	408	353	305	264			
5	956	899	796	702	618	542	475	413	359	309	268			
6	959	903	797	705	620	544	476	415	361	312	273			
7	960	903	800	706	622	546	479	418	364	316	273			
8	959	902	800	707	623	549	481	420	366	318	275	237	204	176
9	962	905	801	708	625	549	482	422	367	319	276	238	204	174
10	961	903	799	706	621	546	478	416	362	314	271	233	200	
11	967	908	803	708	623	548	479	417	362	313	270	232		
12	965	906	800	704	618	542	473	411	357	307	265	224		
1—12	960	902	797	703	618	542	474	413	358	310	268			

Tabelle 1948/3

850 mb

Monat	$\overline{T}$ C°	Tmin C°	Tmax C°	$\overline{H}$ Meter	Hmin Meter	Hmax Meter
1	0.9	— 7.3	5.6	1375	1250	1560
2	4.7	—15.3	6.3	1472	1335	1585
3	3.3	3.5	8.1	1573	1510	1650
4	1.8	4.4	7.7	1444	1320	1580
5	6.4	0.8	11.2	1465	1410	1525
6	7.3	0.3	15.4	1498	1420	1560
7	8.0	0.8	15.7	1503	1435	1560
8	10.0	3.5	14.7	1508	1420	1570
9	8.3	0.8	14.8	1570	1400	1590
10	5.7	2.0	12.1	1501	1385	1640
11	5.2	0.0	11.3	1543	1410	1620
12	0.5	9.1	10.6	1517	1335	1590
1—12	4.2	15.3	15.7	1197	1250	1650

Tabelle 1948/4

700 mb

Monat	$\overline{T}$ C°	Tmin C°	Tmax C°	$\overline{H}$ Meter	Hmin Meter	Hmax Meter
1	— 8.5	—17.3	5.0	2889	2740	3150
2	—11.0	—24.5	—3.7	2972	2780	3125
3	— 4.2	— 8.2	—0.5	3115	3030	3200
4	— 6.8	—13.4	—1.6	2979	2870	3130
5	— 1.4	— 4.2	3.3	3028	2960	3100
6	— 2.3	— 8.9	6.0	3058	2950	3175
7	— 0.8	— 8.5	4.7	3071	3000	3170
8	0.6	— 6.5	6.7	3085	2980	3180
9	1.6	— 3.4	7.8	3093	2965	3190
10	— 1.6	— 9.5	4.6	3063	2910	3220
11	— 3.2	—11.2	1.9	3096	2945	3200
12	— 7.1	—15.4	1.4	3049	2850	3160
1—12	— 3.7	—24.5	7.8	3041	2740	3220

Tabelle 1948/5

500 mb

Monat	T C°	Tmin C°	Tmax C°	$\overline{H}$ Meter	Hmin Meter	Hmax Meter
1	23.6	—35.0	—15.2	5403	5160	5780
2	25.9	—40.7	—19.7	5475	5140	5700
3	21.6	—27.0	—16.1	5674	5580	5815
4	22.1	—30.0	—14.5	5525	5360	5680
5	17.5	—22.5	—12.5	5616	5520	5715
6	16.8	—26.8	—10.2	5645	5480	5800
7	14.8	—22.9	— 6.9	5679	5530	5830
8	13.5	—20.7	— 7.9	5708	5500	5860
9	12.8	—17.8	— 6.5	5728	5590	5875
10	16.8	—24.2	—11.3	5661	5470	5840
11	18.8	—25.0	—11.8	5681	5470	5860
12	22.8	—30.2	—17.6	5605	5360	5770
1—12	18.9	—40.7	— 6.5	5616	5140	5875

Tabelle 1948/6

300 mb

Monat	$\overline{T}$ C°	Tmin C°	Tmax C°	$\overline{H}$ Meter	Hmin Meter	Hmax Meter
1	—47.2	—57.8	—39.1	8948	8540	9440
2	—45.8	—48.4	—39.3	8905	8600	9140
3	—44.1	—45.3	—42.5	9310	9190	9450
4	—45.2	—51.0	—37.4	9093	8870	9310
5	—44.5	—52.2	—39.5	9221	9070	9370
6	—39.4	—51.5	—32.2	9285	9030	9530
7	—39.2	—47.8	—33.0	9350	9080	9560
8	—37.9	—48.7	—27.1	9404	9150	9615
9	—37.6	—47.8	—31.7	9441	9250	9580
10	—41.3	—51.0	—33.8	9300	9050	9550
11	—43.5	—49.9	—39.4	9290	9100	9550
12	—46.5	—55.4	—37.7	9169	8920	9400
1—12	—42.6	—57.8	—27.1	9226	8540	9615

Tabelle 1949/1

Mittlere Temperatur C°

Monat	0.493	1	2	3	4	5	6	7	8	9	10	11	12	13 km
1	— 2.6	— 0.7	—2.8	— 7.8	—12.6	—18.6	—24.6	—31.1	—38.2	—45.2	—51.8	—55.1	—55.4	
2	— 3.2	— 0.8	—2.5	— 7.6	—13.2	—19.6	—26.0	—32.9	—40.6	—47.9	—54.0	—57.6	—61.3	
3	— 1.5	— 1.3	—5.9	—11.2	—17.0	—22.6	—28.9	—36.2	—43.5	—50.5	—55.1	—56.5	—54.4	
4	5.9	6.6	1.4	— 5.0	—11.0	—16.3	—22.4	—28.7	—35.8	—42.7	—49.0	—52.9	—53.8	—53.7
5	8.3	5.7	0.4	— 5.3	—10.7	—16.9	—23.7	—31.0	—39.0	—46.0	—51.5	—54.2	—52.8	
6	11.3	10.7	5.7	0.2	— 5.2	—11.2	—17.1	—23.8	—31.0	—38.2	—44.9	—50.3	—53.0	—50.7
7	12.8	14.7	8.5	2.9	— 2.2	— 7.9	—14.1	—20.6	—27.0	—34.0	—40.9	—46.9	—49.9	—51.2
8	13.0	13.4	7.9	2.4	— 2.9	— 8.2	—14.2	—20.5	—26.9	—33.7	—40.7	—47.1	—51.7	—53.6
9	13.3	13.7	9.0	— 2.4	— 3.9	—10.0	—15.9	—22.7	—29.9	—36.9	—44.2	—50.7	—55.2	—55.1
10	8.1	8.7	4.0	— 1.2	— 6.3	—12.2	—18.6	—25.3	—32.3	—39.2	—46.0	—52.6	—57.2	—59.3
11	1.9	0.4	—3.8	— 8.8	—14.6	—20.0	—26.7	—33.8	—40.7	—46.7	—50.0	—51.7	—51.5	
12	1.6	1.0	—1.6	— 6.4	—12.3	—18.2	—25.4	—32.4	—38.3	—44.1	—49.4	—52.6	—51.9	
1—12	5.7	6.0	1.7	— 3.8	— 9.3	—15.1	—21.5	—28.2	—35.3	—42.1	—48.1	—52.4	—54.0	

Tabelle 1949/2

Mittlerer Druck mb

Monat	0.493	1	2	3	4	5	6	7	8	9	10	11	12	13 km
1	968	908	801	705	620	543	474	413	358	310	267	230	199	
2	971	910	804	708	622	545	475	413	358	308	265	227	196	
3	960	901	794	698	612	535	466	405	350	301	258	222	189	
4	961	901	799	705	619	543	475	414	359	310	267	229	196	166
5	956	899	795	700	615	539	471	410	355	306	263	226	192	
6	960	904	801	708	624	548	481	420	365	317	273	235	201	172
7	962	906	804	711	628	553	485	425	370	322	278	240	206	177
8	963	907	804	711	627	552	484	424	370	321	278	238	205	176
9	962	906	804	711	627	552	485	423	369	320	276	238	203	174
10	963	905	801	708	624	548	480	418	362	315	271	233	199	170
11	954	896	789	695	610	533	465	404	349	301	259	222	190	163
12	959	901	794	700	614	538	470	408	354	305	262	225	192	
1—12	962	904	799	705	620	544	476	415	360	311	268	230	197	

Tabelle 1949/3

850 mb

Monat	$\overline{T}$ C°	Tmin C°	Tmax C°	$\overline{H}$ Meter	Hmin Meter	Hmax Meter
1	-0.9	—10.1	7.4	1530	1380	1650
2	—1.2	—13.8	6.4	1560	1475	1620
3	—3.3	—16.6	4.9	1470	1370	1530
4	4.4	— 5.8	11.4	1500	1380	1585
5	3.2	— 3.7	9.8	1460	1380	1500
6	8.3	1.9	13.1	1515	1450	1560
7	11.7	6.7	20.0	1540	1485	1575
8	10.9	2.0	18.1	1540	1450	1570
9	11.8	5.0	18.0	1540	1460	1600
10	6.6	— 4.4	11.8	1520	1460	1600
11	—1.5	— 6.7	4.4	1420	1230	1520
12	0.2	— 7.8	4.2	1460	1330	1550
1—12	4.2	—16.6	20.0	1505	1230	1650

Tabelle 1949/4

700 mb

Monat	$\overline{T}$ C°	Tmin C°	Tmax C°	$\overline{H}$ Meter	Hmin Meter	Hmax Meter
1	- 8.1	20.4	1.1	3060	2890	3215
2	- 8.2	18.8	1.5	3085	2980	3160
3	11.1	-24.5	5.4	2980	2850	3070
4	- 5.3	18.1	1.6	3050	2920	3165
5	5.4	12.8	1.3	3000	2920	3065
6	0.3	6.6	5.5	3085	3000	3150
7	2.2	4.8	10.7	3130	3080	3165
8	1.7	- 7.2	6.0	3125	3000	3175
9	1.5	3.1	7.8	3125	3030	3170
10	1.7	9.8	3.8	3085	3030	3170
11	- - 8.6	14.9	3.7	2940	2750	3045
12	6.7	19.2	0.3	2995	2810	3090
1—12	1.2	24.5	10.7	3055	2750	3215

Tabelle 1949/5

500 mb

Monat	$\overline{T}$ C°	Tmin C°	Tmax C°	$\overline{H}$ Meter	Hmin Meter	Hmax Meter
1	21.9	—30.0	—15.9	5615	5380	5800
2	-23.7	—31.5	—19.1	5630	5435	5760
3	-25.6	—41.0	—18.3	5500	5280	5620
4	19.9	—33.6	—14.2	5620	5400	5780
5	20.4	—28.4	—14.0	5565	5440	5670
6	15.2	—21.4	— 9.0	5700	5550	5800
7	12.6	—17.7	— 7.6	5770	5710	5860
8	12.6	—19.3	— 7.9	5760	5630	5850
9	14.3	—18.1	— 8.4	5755	5680	5890
10	16.5	—21.9	—10.7	5685	5590	5800
11	-23.3	—27.6	—17.6	5470	5260	5600
12	21.8	—32.2	—16.9	5535	5230	5660
1—12	19.0	—41.0	— 7.6	5635	5230	5890

Tabelle 1949/6

300 mb

Monat	$\overline{T}$ C°	Tmin C°	Tmax C°	$\overline{H}$ Meter	Hmin Meter	Hmax Meter
1	47.0	—54.9	—41.3	9195	8840	9420
2	49.3	—55.9	—44.2	9175	8920	9380
3	50.8	—59.8	—46.5	9025	8670	9220
4	44.5	—48.6	—39.1	9225	8830	9420
5	46.6	—53.5	—39.2	9140	8900	9310
6	40.7	—44.7	—38.3	9370	9190	9530
7	37.3	—40.8	—30.7	9480	9350	9630
8	37.0	—42.7	—33.6	9470	9310	9600
9	40.0	—43.8	—35.0	9440	9300	9640
10	41.5	—44.5	—36.1	9330	9190	9520
11	47.0	—55.0	—40.9	9020	8790	9210
12	45.0	—52.2	—40.8	9120	8720	9270
1—12	43.9	—59.8	—30.7	9250	8720	9640

Tabelle 1950/1

Mittlere Temperatur C°

Monat	0.493	1	2	3	4	5	6	7	8	9	10	11	12	13 km
1	—1.6	—1.7	—3.5	— 9.1	—15.6	—21.6	—28.4	—35.5	—41.7	—47.2	—51.9	—55.9	—58.5	
2	0.7	0.8	—2.9	— 8.7	—14.7	—21.2	—27.2	—33.9	—40.9	—47.4	—53.3	—56.4	—54.2	
3	0.9	1.9	—1.1	— 6.4	—12.5	—19.2	—26.1	—33.2	—40.2	—46.8	—53.2	—55.7	—55.9	
4	2.8	2.1	—4.5	—10.4	—16.0	—22.0	—28.5	—34.8	—40.9	—46.5	—48.8	—47.5	—45.3	
5	7.5	8.1	4.1	— 2.9	— 9.4	—16.2	—21.9	—28.8	—35.9	—42.8	—48.5	—53.8	—54.3	
6	13.4	13.9	8.6	1.3	— 4.5	—10.3	—17.0	—24.1	—31.6	—39.3	—47.1	—54.2	—56.0	
7	15.4	15.6	9.6	3.9	— 2.2	— 7.7	—13.7	—20.0	—27.2	—34.9	—42.4	—48.6	—51.5	
8	13.5	13.7	8.0	1.3	— 4.1	— 9.9	—16.0	—22.7	—30.3	—37.9	—45.2	—51.6	—55.2	58.6
9	10.9	10.5	5.1	— 0.6	— 5.9	—11.4	—17.4	—24.1	—31.0	—38.6	—45.4	—51.6	—55.6	—57.5
10	5.8	6.2	3.3	— 1.4	— 7.0	—13.3	—20.0	—27.1	—34.0	—39.3	—48.5	—54.5	—58.7	—59.3
11	3.4	2.2	—2.1	— 7.8	—13.1	—19.0	—25.8	—33.3	—40.5	—47.1	—52.3	—55.6	—56.8	58.1
12	—2.4	—4.9	—7.7	—12.9	—19.7	—26.2	—33.7	—41.4	—48.1	—53.2	—55.6	—56.1	—56.7	
1—12	5.8	5.7	1.4	— 4.4	—10.4	—16.5	—22.9	—29.9	—36.8	—43.4	—49.3	—53.4	—54.8	

Tabelle 1950/2

Mittlerer Druck mb

Monat	0.493	1	2	3	4	5	6	7	8	9	10	11	12	13 km
1	961	902	795	699	613	536	467	405	350	301	259	222	192	
2	958	900	794	698	613	536	467	405	351	302	259	221	187	
3	962	903	797	702	617	540	471	409	354	305	261	224	192	
4	951	895	789	693	608	531	462	402	347	299	257	220	189	
5	957	902	798	705	621	545	477	416	361	311	268	230	195	
6	961	906	804	711	627	552	484	422	367	318	274	235	202	
7	960	905	803	711	628	553	485	425	370	322	278	239	205	
8	958	904	802	709	626	550	482	422	367	318	274	235	198	174
9	959	903	800	707	622	547	480	419	364	316	273	234	202	173
10	962	905	801	707	623	548	478	417	362	313	270	231	197	167
11	955	898	792	698	613	536	468	407	352	303	260	223	190	163
12	950	892	785	689	603	526	457	395	341	292	250	213	183	
1—12	958	901	796	702	618	541	473	412	357	308	265	225	194	

Tabelle 1949/7

200 mb

Monat	T C°	Tmin C°	Tmax C°	$\overline{H}$ Meter	Hmin Meter	Hmax Meter
1	—55.5	—57.0	—52.9	11880	11530	12000
2	—59.9	—69.2	—47.7	11800	11560	12000
3	—56.6	—64.5	—47.4	11640	11480	11790
4	—54.7	—62.6	—46.1	11850	11520	12070
5	—52.9	—61.8	—46.1	11780	11625	11950
6	—53.3	—61.2	—42.3	12030	11860	12220
7	—50.1	—55.9	—41.8	12180	12050	12370
8	—52.3	—57.7	—47.2	12160	12000	12320
9	—55.0	—59.9	—45.3	12110	11960	12360
10	—57.0	—62.7	—50.5	11970	11820	12200
11	—52.5	—62.7	—46.4	11670	11400	11890
12	—54.5	—67.0	—40.4	11750	11470	11910
1—12	—54.5	—69.2	—40.4	11900	11400	12370

Tabelle 1950/3

850 mb

Monat	T C°	Tmin C°	Tmax C°	$\overline{H}$ Meter	Hmin Meter	Hmax Meter
1	—1.9	—12.1	7.2	1470	1400	1595
2	0.0	—10.3	8.9	1460	1340	1625
3	0.9	—10.6	8.3	1490	1380	1590
4	—0.7	— 6.8	7.2	1411	1290	1530
5	8.7	1.0	21.1	1491	1420	1580
6	11.5	5.4	19.6	1539	1470	1590
7	12.4	6.7	20.4	1536	1510	1590
8	11.2	4.2	18.8	1516	1440	1570
9	7.8	0.0	13.9	1502	1435	1570
10	5.1	— 6.8	12.9	1518	1385	1610
11	0.7	— 4.5	9.2	1442	1345	1570
12	—5.7	—11.0	—0.4	1381	1310	1490
1—12	4.1	—12.1	21.1	1479	1290	1625

Tabelle 1950/4

700 mb

Monat	$\overline{T}$ C°	Tmin C°	Tmax C°	$\overline{H}$ Meter	Hmin Meter	Hmax Meter
1	— 8.9	—15.2	—1.1	2993	2900	3150
2	8.8	—20.3	0.6	2984	2830	3200
3	6.5	—13.0	0.3	3024	2880	3180
4	9.9	—16.5	—3.5	2928	2790	3085
5	— 2.2	— 8.2	5.0	3063	2975	3150
6	0.9	— 4.4	8.9	3130	3060	3210
7	2.9	— 4.1	7.2	3134	3090	3200
8	0.7	— 6.7	5.3	3105	3000	3200
9	— 1.1	— 9.9	6.4	3076	3000	3160
10	— 2.2	—16.6	5.4	3081	2900	3170
11	— 7.8	—14.2	—0.6	2977	2870	3130
12	—12.2	—19.1	—1.7	2885	2830	3050
1—12	— 4.5	—20.3	8.9	3031	2790	3210

Tabelle 1950/5

500 mb

Monat	$\overline{T}$ C°	Tmin C°	Tmax C°	$\overline{H}$ Meter	Hmin Meter	Hmax Meter
1	—24.9	—32.2	—18.9	5510	5360	5720
2	—24.4	—36.9	—18.4	5506	5280	5790
3	—23.2	—31.2	—18.9	5574	5360	5770
4	—25.1	—33.8	—20.4	5447	5260	5665
5	—18.6	—23.9	—14.0	5655	5535	5780
6	—15.3	—17.5	—10.3	5751	5650	5880
7	—12.4	—16.8	— 8.2	5779	5680	5870
8	—14.5	—20.4	—10.4	5732	5570	5860
9	—15.4	—22.9	— 8.1	5691	5540	5830
10	—18.1	—29.7	—13.0	5676	5370	5810
11	—22.4	—30.9	—14.1	5508	5375	5720
12	—28.8	—38.1	—17.9	5368	5240	5630
1—12	—20.2	—38.1	— 8.1	5599	5240	5880

Tabelle 1950/6

300 mb

Monat	$\overline{T}$ C°	Tmin C°	Tmax C°	$\overline{H}$ Meter	Hmin Meter	Hmax Meter
1	—47.9	—51.0	—40.0	9027	8800	9300
2	—48.1	—53.1	—43.3	9043	8750	9380
3	—47.9	—53.8	—42.4	9110	8800	9370
4	—46.6	—52.3	—41.4	8984	8750	9220
5	—45.8	—50.4	—41.1	9257	9110	9430
6	—42.6	—50.3	—38.1	9406	9300	9600
7	—38.7	—45.9	—32.5	9487	9380	9590
8	—40.9	—45.8	—37.0	9403	9155	9570
9	—41.4	—52.8	—33.6	9353	9100	9560
10	—43.8	—52.9	—39.8	9293	8800	9490
11	—47.9	—54.5	—41.7	9073	8800	9390
12	—52.5	—58.7	—40.2	8827	8620	9220
1—12	—45.3	—58.7	—32.5	9188	8620	9600

Tabelle 1950/7

200 mb

Monat	$\overline{T}$ C°	Tmin C°	Tmax C°	$\overline{H}$ Meter	Hmin Meter	Hmax Meter
1	—57.6	—67.4	—50.6	11649	11420	11920
2	—55.3	—65.3	—45.3	11563	11390	11850
3	—55.6	—63.9	—46.8	11721	11580	11960
4	—46.4	—61.0	—36.8	11644	11480	11850
5	—56.7	—63.6	—48.4	11860	11700	12040
6	—56.5	—61.8	—44.2	12035	11910	12250
7	—52.0	—58.0	—45.3	12175	12000	12330
8	—55.0	—64.3	—44.6	12057	11830	12230
9	—56.3	—65.6	—43.4	12033	11830	12270
10	—58.6	—66.6	—48.8	11899	11450	12150
11	—57.2	—65.2	—48.7	11678	11400	12000
12	—56.5	—66.7	—49.4	11412	11250	11790
1—12	—55.3	—67.4	—36.8	11815	11250	12330

Tabelle 1951/1

Mittlere Temperatur C°

Monat	0.493	1	2	3	4	5	6	7	8	9	10	11	12	13 km
1	1.1	0.7	—3.8	— 9.0	—15.1	—21.6	—29.3	—37.4	—45.3	—52.9	—57.3	—59.6	—58.0	
2	0.2	1.4	—7.3	—13.2	—19.5	—26.5	—34.3	—42.8	—49.8	—53.8	—54.9	—53.8	—53.7	
3	0.2	1.1	—5.9	—12.2	—18.1	—24.6	—31.5	—39.2	—47.0	—53.2	—56.7	—57.3	—55.6	
4	1.5	4.1	—1.8	— 7.9	—14.0	—20.1	—26.9	—35.0	—42.2	—49.2	—54.7	—57.3	—56.8	
5	7.7	7.4	1.0	— 5.4	—11.6	—17.9	—25.0	—32.4	—40.6	—47.8	—52.2	—56.6	—57.2	
6	11.8	11.0	5.2	— 0.5	— 6.2	—11.9	—18.3	—25.6	—33.6	—41.6	—48.1	—53.2	—57.1	—56.3
7	12.7	12.8	7.6	2.7	— 3.3	— 8.7	—14.8	—21.6	—28.9	—37.0	—44.7	—51.1	—54.9	—55.1
8	12.8	12.6	7.0	1.0	— 4.7	— 9.8	—16.0	—22.7	—30.2	—38.2	—46.1	—52.4	—55.8	—53.3
9	10.6	10.8	6.7	1.1	— 3.7	— 9.3	—15.6	—22.6	—29.9	—37.6	—45.2	—51.3	—56.1	
10	5.4	4.7	2.5	— 2.9	— 8.9	—15.2	—21.8	—29.7	—37.7	—46.1	—53.3	—60.0		
11	3.3	3.2	—1.1	— 6.4	—12.4	—18.3	—25.0	—32.2	—39.7	—46.7	—53.1	—57.5	—59.1	—62.3
12	2.2	0.8	—0.7	— 5.9	—11.4	—18.4	—25.6	—33.2	—41.3	—48.6	—54.5	—59.7	—63.2	—64.3
1—12	5.4	5.3	0.7	— 4.8	—10.7	—16.8	—23.6	—31.7	—38.8	—46.0	—51.7	—55.8	—57.0	—58.2

Tabelle 1951/2

Mittlerer Druck mb

Monat	0.493	1	2	3	4	5	6	7	8	9	10	11	12	13 km
1	956	898	791	696	610	534	465	404	348	298	255	217	184	
2	951	894	786	691	604	527	458	395	340	291	249	213	182	
3	952	894	787	692	606	529	460	399	344	295	253	215	184	
4	958	901	795	701	615	538	469	407	353	304	260	223	192	
5	954	898	794	700	615	539	471	409	354	305	263	227	194	
6	960	904	801	708	623	548	480	419	364	315	270	233	200	171
7	962	906	803	711	627	552	484	423	368	320	276	238	203	173
8	958	903	801	708	624	550	481	421	366	317	274	234	201	173
9	961	905	802	710	626	550	482	422	367	318	274	236	204	
10	960	902	798	704	619	543	474	414	359	309	265			
11	953	896	791	697	612	536	468	407	352	303	259	222	190	162
12	964	905	798	703	618	542	472	410	355	305	262	223	190	163
1—12	957	900	795	701	616	540	472	411	355	306	263	225	193	168

Tabelle 1951/3

850 mb

Monat	$\overline{T}$ C°	Tmin C°	Tmax C°	$\overline{H}$ Meter	Hmin Meter	Hmax Meter
1	1.1	— 8.2	6.5	1437	1340	1560
2	— 3.6	— 9.4	4.1	1391	1200	1460
3	—2.8	—11.0	5.6	1400	1260	1520
4	1.5	— 5.2	8.8	1476	1400	1580
5	4.7	— 2.1	14.2	1457	1370	1550
6	8.3	3.3	16.3	1517	1425	1590
7	10.2	3.9	17.0	1540	1490	1570
8	10.0	5.3	16.7	1512	1410	1560
9	8.9	2.5	16.0	1528	1470	1528
10	4.0	— 3.6	9.5	1490	1440	1540
11	1.9	— 6.7	13.4	1427	1280	1580
12	1.0	— 6.8	9.7	1505	1292	1594
1—12	3.5	—11.0	17.0	1473	1200	1590

Tabelle 1951/4

700 mb

Monat	$\overline{T}$ C°	Tmin B°	Tmax C°	$\overline{H}$ Meter	Hmin Meter	Hmax Meter
1	— 8.8	—15.8	—1.3	2959	2800	3075
2	—12.6	—19.8	—5.2	2899	2735	3000
3	—12.1	—18.7	—3.5	2914	2770	3045
4	— 8.0	—15.4	—2.1	3009	2900	3080
5	— 5.5	—11.6	4.2	3008	2915	3140
6	— 0.9	— 7.1	6.5	3092	3000	3220
7	1.9	— 5.1	7.2	3127	3065	3170
8	0.5	— 5.4	4.4	3097	3000	3150
9	0.9	— 5.0	8.0	3109	3035	3170
10	— 3.2	— 8.6	1.4	3045	2960	3120
11	— 6.2	—14.1	1.1	2965	2825	3132
12	— 6.2	—15.4	—0.3	3043	2802	3153
1—12	— 5.0	—19.8	8.0	3022	2735	3220

Tabelle 1951/5

500 mb

Monat	$\overline{T}$ C°	Tmin C°	Tmax C°	$\overline{H}$ Meter	Hmin Meter	Hmax Meter
1	—25.2	—33.4	—18.2	5487	5270	5590
2	—29.3	—38.0	—19.1	5384	5270	5525
3	—27.3	—34.7	—20.4	5416	5260	5600
4	—23.6	—31.0	—18.3	5546	5360	5650
5	—21.8	—27.0	—15.3	5568	5450	5770
6	—16.2	—24.0	—12.0	5702	5550	5900
7	—13.0	—18.9	— 8.4	5759	5640	5830
8	—14.2	—19.2	—10.1	5715	5520	5790
9	—13.9	—20.9	— 7.6	5738	5630	5860
10	—19.2	—24.5	—14.5	5625	5520	5720
11	—21.5	—31.6	—14.3	5517	5370	5700
12	—22.9	—33.9	—17.2	5592	5310	5720
1—12	—20.6	—38.0	— 7.6	5587	5260	5900

Tabelle 1951/6

300 mb

Monat	$\overline{T}$ C°	Tmin C°	Tmax C°	$\overline{H}$ Meter	Hmin Meter	Hmax Meter
1	—52.7	—60.8	—46.0	8979	8710	9200
2	—53.7	—57.7	—48.8	8810	8640	9040
3	—53.1	—57.0	—48.5	8898	8730	9180
4	—50.0	—54.0	—43.7	9082	8870	9240
5	—49.1	—57.6	—42.0	9123	8920	9410
6	—44.4	—53.6	—38.7	9336	9065	9600
7	—40.5	—45.5	—34.2	9446	9250	9600
8	—41.2	—46.5	—35.6	9394	9150	9510
9	—40.4	—45.6	—35.8	9415	9200	9610
10	—47.7	—53.8	—42.7	9203	9020	9370
11	—47.4	—53.2	—41.3	9074	8800	9300
12	—49.7	—53.8	—44.3	9118	8690	9340
1—12	—47.5	—60.8	—34.2	9156	8640	9610

Tabelle 1951/7

200 mb

Monat	$\overline{T}$ C°	Tmin C°	Tmax C°	$\overline{H}$ Meter	Hmin Meter	Hmax Meter
1	—60.0	—71.0	—49.7	11517	11220	11750
2	—53.6	—63.5	—48.8	11408	11280	11580
3	—56.7	—64.4	—49.5	11477	11320	11730
4	—57.4	—64.6	—47.5	11736	11560	11870
5	—58.0	—65.2	—51.3	11790	11550	12056
6	—56.2	—62.5	—46.0	11978	11720	12250
7	—55.5	—62.5	—45.1	12113	11970	12290
8	—55.0	—62.1	—45.8	12029	11850	12160
9	—57.3	—60.8	—48.1	12124	11960	12290
10	—62.3	—67.6	—58.8	11737	11610	11910
11	—59.0	—70.1	—50.2	11680	11460	11880
12	—61.2	—68.1	—52.5	11675	11410	11930
1—12	—57.6	—71.0	—45.1	11772	11220	12290

Tabelle 8

Prozentuale Wahrscheinlichkeit der rel. Feuchtigkeit %

850 mb

	100	95—99	90—94	80—89	70—79	50—69	30—49	0—30%
1948	10	16	16	25	14	11	7	1
1949	20	11	7	17	18	20	6	1
1950	24	11	10	16	11	18	8	2
1951	29	13	12	14	10	13	7	2
1948—51	21	13	11	18	13	15	7	2

700 mb

1948	17	10	8	10	13	18	15	8
1949	20	7	6	10	6	17	21	13
1950	23	10	4	4	9	20	15	14
1951	25	8	9	8	8	14	16	12
1948—51	21	9	7	8	9	17	17	12

500 mb

1948	4	5	5	10	12	22	27	15
1949	7	3	6	4	8	17	35	20
1950	7	5	6	10	7	16	26	23
1951	11	3	5	12	8	16	25	20
1948—51	7	4	5	9	9	18	28	20

Tabelle 9

Mittlere Atmosphäre Payerne 1948—1951

06.00 M. E. Z.

H km ü. M.	P mb	T C°
0.493	959	5.9
1	902	5.7
2	797	1.4
3	703	— 4.1
4	618	— 9.9
5	542	—15.9
6	474	—22.4
7	413	—29.4
8	358	—36.4
9	309	—43.1
10	266	—48.8
11	227	—53.9
12	194	—55.3

P mb	H Meter	Hmax Meter	Hmin Meter	T C°	Tmax C°	Tmin C°
850	1489	1650	1200	4.0	21.1	16.6
700	3037	3220	2735	— 4.3	10.7	—24.5
500	5609	5900	5140	—19.7	— 6.5	41.0
300	9205	9640	8540	—44.8	—27.1	60.8
200	11800	12370	11220	—55.8	—36.8	71.0

Tabelle 10

Monatsmittel der Jahre 1948—1951

Temperatur C°

Monat	0.493	1	2	3	4	5	6	7	8	9	10	11	12 km
1	— 0.8	— 0.6	— 3.6	— 8.7	—14.7	—20.7	—27.6	—34.5	—41.5	—47.7	—52.7	—56.1	—56.6
2	— 0.9	— 0.9	— 5.0	—10.2	—16.0	—22.5	—29.1	—36.1	—43.2	—48.8	—53.2	—55.9	—56.4
3	0.8	1.0	— 3.0	— 8.4	—14.4	—20.8	—27.7	—34.9	—41.9	—48.1	—52.8	—54.5	—54.0
4	4.8	4.3	— 1.4	— 7.5	—13.3	—19.2	—25.7	—32.5	—39.3	—45.6	—50.2	—51.3	—50.3
5	8.7	7.5	2.4	— 3.7	— 9.8	—16.2	—22.8	—30.0	—37.6	—44.7	—49.7	—54.1	—54.2
6	12.5	11.5	5.8	— 0.3	— 6.0	—11.6	—17.9	—24.7	—32.0	—39.2	—45.2	—51.2	—54.0
7	13.7	13.4	7.7	2.3	— 3.3	— 8.8	—14.8	—21.3	—28.2	—35.6	—42.5	—48.5	—53.8
8	12.5	12.4	7.3	1.7	— 3.7	— 9.1	—15.3	—21.7	—28.7	—36.1	—43.4	—49.8	—54.2
9	11.4	11.2	6.8	1.3	— 4.1	— 9.8	—15.9	—22.5	—29.5	—36.9	—44.1	—50.4	—55.2
10	6.3	6.5	3.4	— 1.7	— 7.2	—13.3	—19.8	—27.0	—34.0	—40.9	—48.4	—54.4	—58.6
11	2.7	2.6	— 0.8	— 6.4	—12.1	—17.9	—24.6	—31.7	—38.9	—45.5	—50.8	—54.5	—55.1
12	— 1.0	— 0.6	— 2.8	— 8.0	—14.0	—20.4	—27.5	—34.6	—41.4	—47.8	—52.6	—55.7	—56.7

Druck mb

Monat	0.493	1	2	3	4	5	6	7	8	9	10	11	12 km
1	959	900	793	698	612	535	467	405	350	302	259	222	191
2	961	902	795	699	612	536	466	404	349	299	256	219	187
3	961	903	796	700	614	538	469	407	352	304	261	224	192
4	957	899	794	698	614	538	469	408	353	305	262	225	193
5	956	899	796	702	617	541	473	412	357	308	265	228	194
6	960	904	801	708	624	548	480	419	364	315	272	235	201
7	961	905	802	710	626	551	483	423	368	320	276	238	204
8	960	904	802	709	625	550	482	422	367	319	275	236	202
9	961	905	802	709	625	550	482	422	367	318	275	236	203
10	961	904	800	706	622	546	478	416	361	313	269	230	198
11	957	900	794	700	615	538	470	409	354	305	262	225	192
12	959	901	794	699	613	537	468	406	352	302	260	221	190

850 mb—Niveau

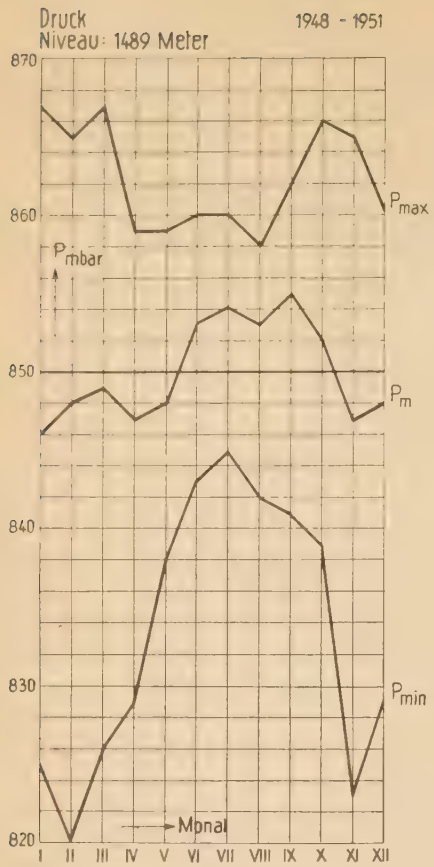

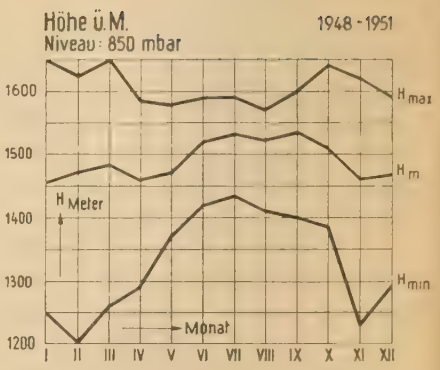

700 mb—Niveau

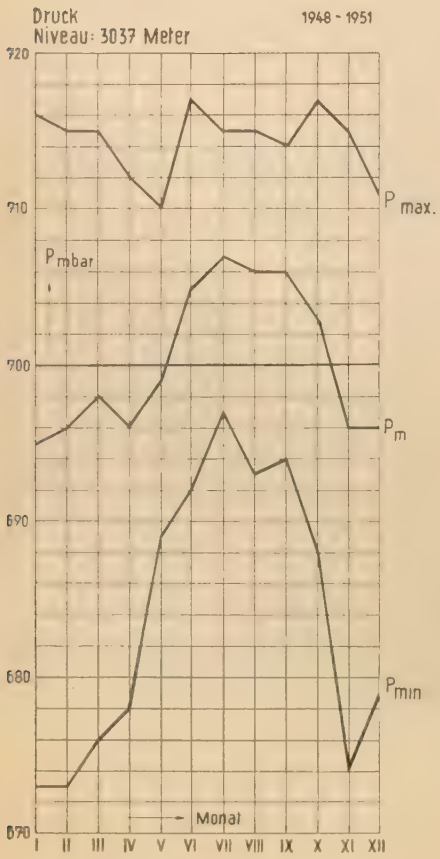

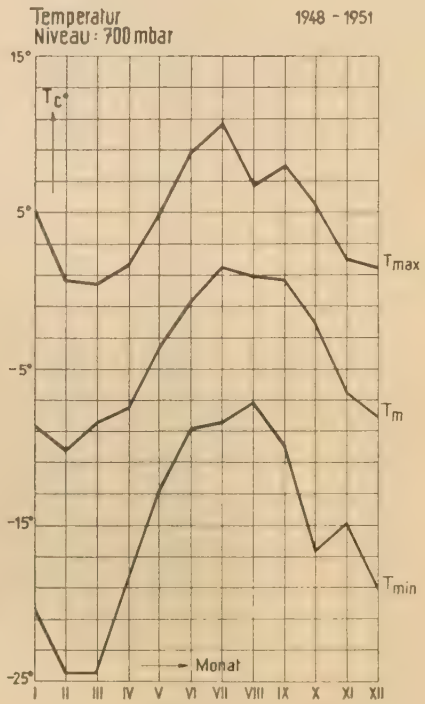

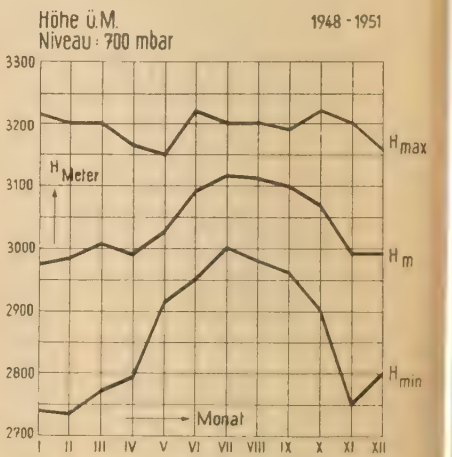

500 mb—Niveau

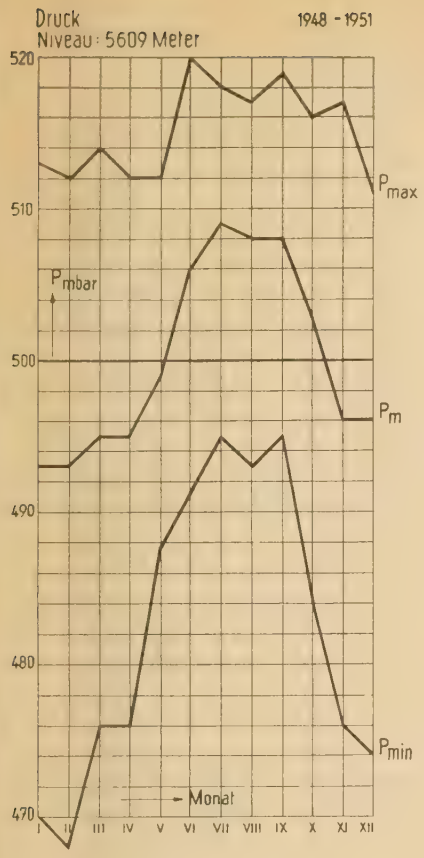

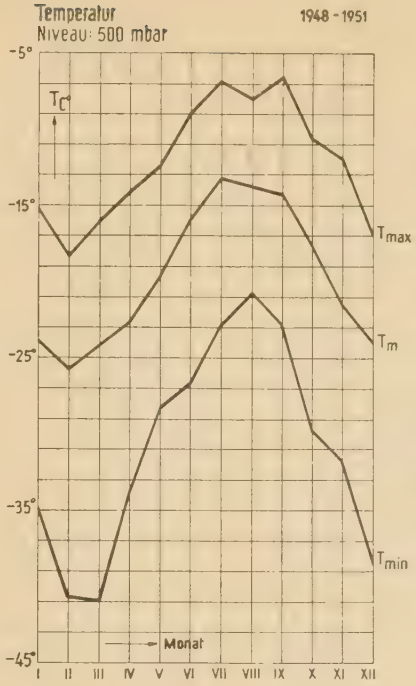

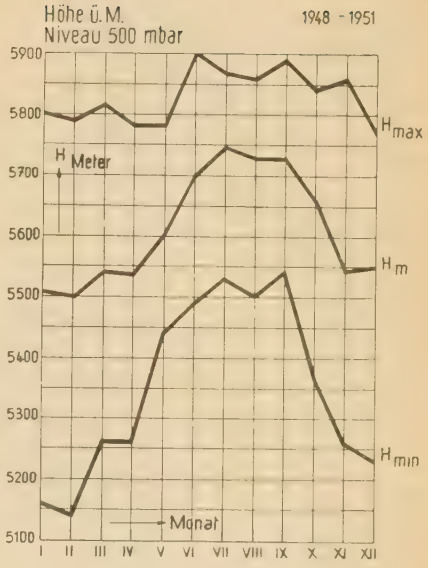

300 mb—Niveau

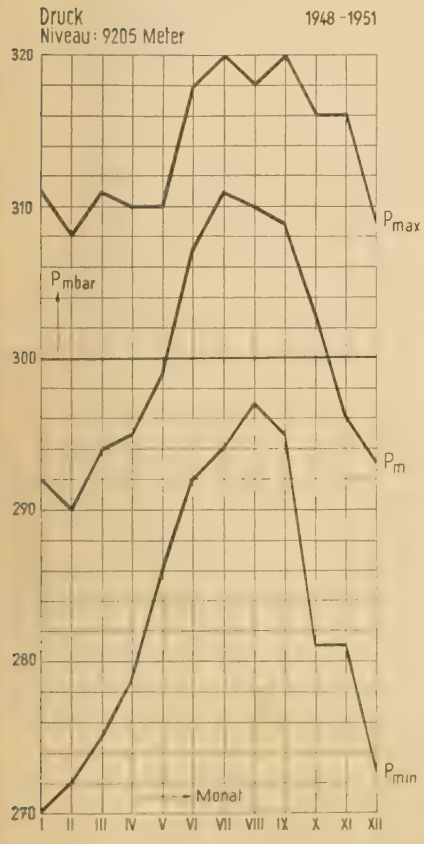

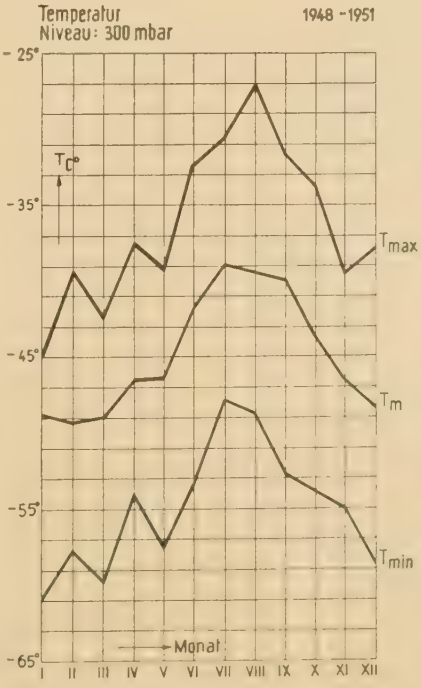

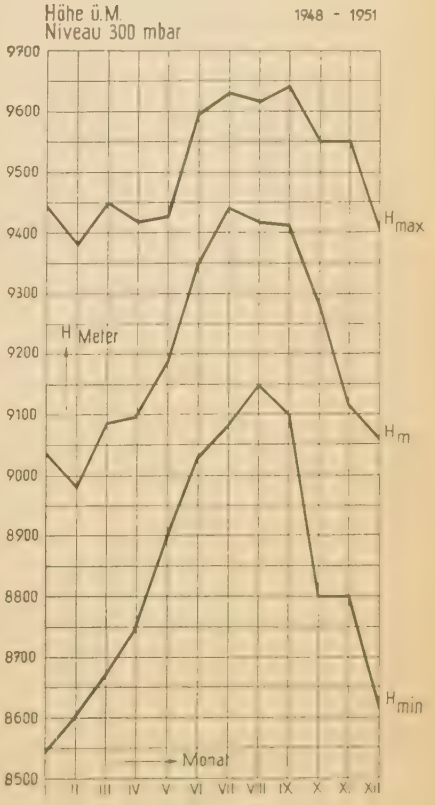

200 mb—Niveau

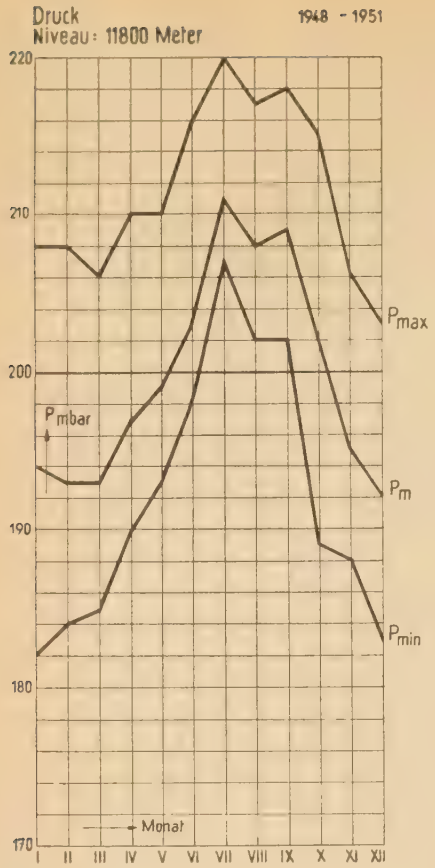

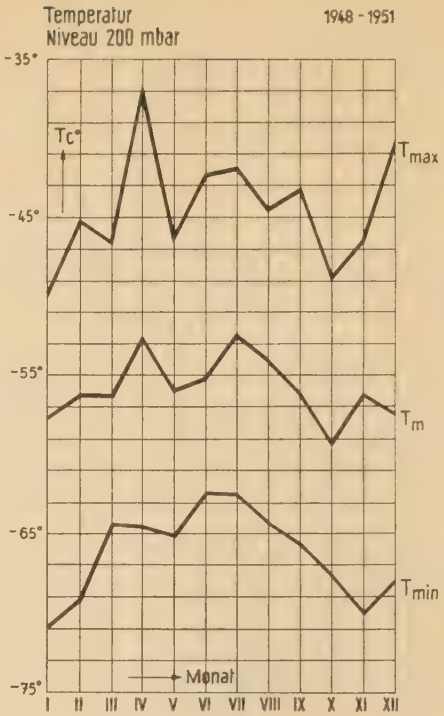

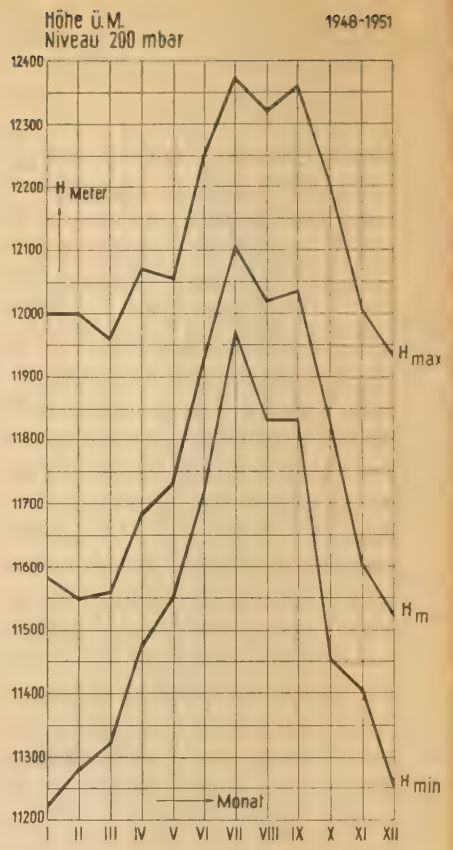

Bestimmung der möglichen Sonnenscheindauer mit dem Wild-Theodoliten T12

von M. Schüepp

Während in den Klimaregionen des Mittelmeerraumes vor allem die Niederschlagsmenge und -häufigkeit für das Gedeihen der Vegetation entscheidend ist, spielt in Mitteleuropa vielfach auch die Sonnenscheindauer eine wesentliche Rolle in der Entwicklung der Pflanzenwelt. Die großen Unterschiede, welche besonders in Gebirgsgegenden bei diesem Wetterelement auftreten, lassen eine genaue Vermessung der möglichen Sonnenscheindauer an sehr vielen Punkten wünschbar erscheinen, wie sie z. B. im Tessin auf der Magadinoebene in der kürzlich erschienenen instruktiven Arbeit von J. C. Thams und E. Zenone[1] durchgeführt wurde. Dort wurde die mögliche Sonnenscheindauer durch Tagbogenmessungen mit Hilfe eines Ballontheodoliten bestimmt. Ein von Herrn Dr. Wierzejewski entworfenes Zusatzgerät, ein drehbar auf das gegen den Himmelspol gerichtete Objektiv aufgesetzter Spiegel, erlaubt bei jener Konstruktion die rasche Bestimmung von Sonnenauf- und Untergangszeit für die verschiedenen Deklinationen δ der Sonne im Laufe der Jahreszeiten.

Nachfolgend soll eine weitere Art der Tagbogenmessung beschrieben werden, welche durch die Konstruktion des kleinen Wild-Theodoliten T12 ermöglicht wurde. Dieses Instrument ist besonders klein und leicht gebaut (Gewicht inkl. Stativ 2,9 kg). Es kann für kleinere Vermessungsaufgaben, wie z. B. für die Kontrolle der Gletscherstände gut verwendet werden. Im Gegensatz zu den meisten Theodoliten hat das Modell T12 eine feste, beim normalen Gebrauch vertikale Fernrohrachse. Ein drehbares, in dieser Achse liegendes Prisma bewirkt eine Umlenkung des einfallenden Lichtstrahles von der Horizontalen in die Vertikale, wobei Zielrichtungen bis zu 36° aufwärts und abwärts möglich sind. Die Ablesung der Azimute erfolgt in einem Skalenmikroskop neben dem Fernrohr, diejenige des Höhenwinkels auf einer Kreisscheibe unterhalb des Okulars je auf 1′ genau. Wenn der Theodolit zu Tagbogenmessungen verwendet werden soll, wird die Fernrohrachse in Richtung der Erdachse gestellt, d. h. um einen Winkel von $(90°-\varphi)$ (φ = geogr. Breite) gegen Norden geneigt. Um diese parallaktische Aufstellung zu erreichen, werden zwei einfache Zusatzgeräte verwendet: ein Dreifuß und ein Kippaufsatz (siehe Fig. 1). Der Dreifuß dient dazu, ein horizontales Auflager zu schaffen. Der Oberteil des Kippaufsatzes, auf welchem der Theodolit befestigt wird, kann um eine horizontale Achse gedreht werden. Die Neigung $(90°-\varphi)$ wird an einer seitlich angebrachten Kreisteilung abgelesen. Eine Klemmschraube gestattet die Fixierung des gewünschten Kippwinkels.

[1] *J. C. Thams und E. Zenone*, Über Sonnenscheindauer und Globalstrahlung auf der Magadinoebene unter besonderer Berücksichtigung des Tabakanbaues. Landwirtschaftliches Jahrbuch der Schweiz 1952 (66. Jahrgang). Neue Folge: 1. Jahrgang.

Nachfolgend soll eine kurze Übersicht über den Verlauf einer Tagbogenmessung gegeben werden.

Vorbereitungen zur Aufstellung des Theodoliten:

a) Der Dreifuß wird auf das Stativ geschraubt und mit Hilfe der eingebauten Dosenlibelle horizontiert.

Fig. 1 Wild-Theodolit T 12 mit Zubehör für die Tagbogenmessung

1 Theodolit. Einblick in das Okular von links oben. Rechts befindet sich das im Bild dunkel erscheinende Fernrohrfenster, hinter welchem ein drehbar angeordnetes Prisma die Umlenkung des von rechts kommenden Zielstrahles in die Richtung der Fernrohrachse bewirkt.

2 Kippaufsatz. Der U-förmige Unterteil des Kippaufsatzes, welcher auf eine runde Platte aufgeschraubt ist, kann auf dem Dreifuß 3 gedreht werden. Der obere Teil kann durch Lösen der im Schlitz laufenden Klemmschraube um eine horizontale Achse gekippt werden. Er trägt in der Mitte eine im Bild nur zum kleinsten Teil sichtbare runde Platte, auf welche der Theodolit aufgeschraubt ist.

3 Dreifuß. Eine Klemmschraube (rechts im Bild) gestattet das Drehen des Kippaufsatzes mitsamt dem Theodoliten.

4 Stativ.

b) Die Fußschrauben des Theodoliten werden bis zum Anschlag herabgeschraubt. Dann wird das Instrument auf der Platte des Kippaufsatzes befestigt (Klemmschraube lösen, Anschrauben in geneigter Stellung).

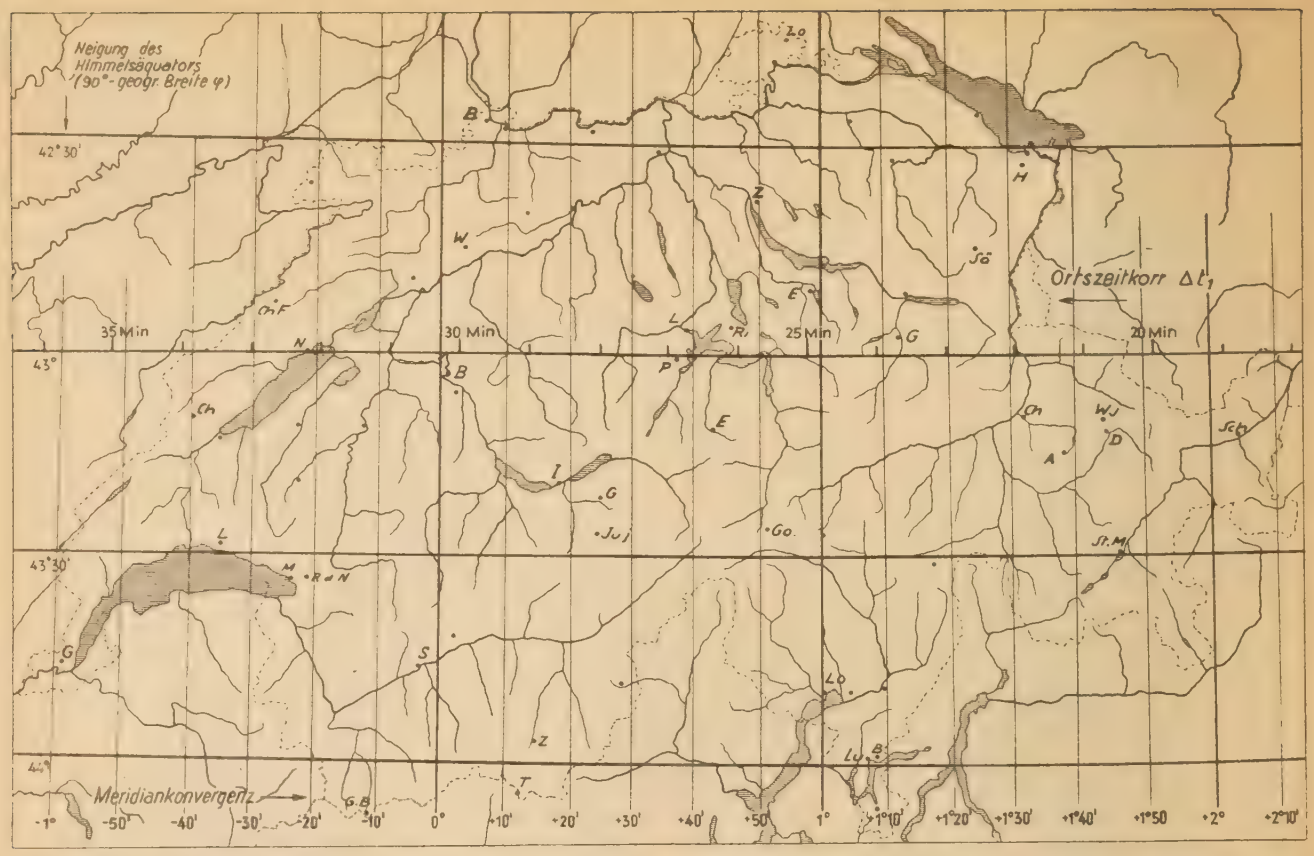

Fig. 2 Neigung des Himmelsäquators ($90 - \varphi$). Ortszeitkorrektur $\triangle t_1$ (Zeitdifferenz zwischen mitteleuropäischer und mittlerer Ortszeit) und Meridiankonvergenz M (Korrektur der Kartennordrichtung auf die geographische Nordrichtung) für das Gebiet der Schweiz

Der Theodolit wird vor der endgültigen Befestigung solange gedreht, bis die auf der Fußplatte eingeritzte Strichmarke mit derjenigen des Kippaufsatzes übereinstimmt (richtige Orientierung des Horizontalkreises).

c) Der Kippaufsatz mit dem Theodoliten wird auf die horizontale runde Platte des Dreifußes gestellt und dort festgeklemmt.

Die Grundaufgabe besteht nun darin, die Theodolitachse in die Richtung der Erdachse zu stellen. Dies kann auf zwei verschiedene Arten geschehen:

1. astronomisch mit Hilfe der Sonne,
2. geographisch mit Hilfe der Landkarte.

Die astronomische Orientierung hat den Vorteil größerer Präzision, setzt jedoch Sonnenschein und die Kenntnis der genauen Zeit voraus, während für die geographische Methode vor allem eine genaue Standortbestimmung notwendig ist. Die beiden Methoden sollen nachfolgend kurz besprochen werden:

1. Astronomische Orientierung

a) Aus der Landkarte entnehmen wir die geographische Länge λ (östlich von Greenwich) und die geographische Breite φ des Standortes. Wir kippen die Fernrohrachse um den Winkel $(90° - \varphi)$. (Fig. 2.)

b) Aus den astronomischen Jahrbüchern bzw. Tab. 1 wird für den betreffenden Tag die Deklination δ der Sonne entnommen und dieser Wert am Höhenkreis des Theodoliten eingestellt.

c) Für die voraussichtliche Zeit der Messung berechnen wir die zugehörige wahre Ortszeit t_λ:

t_λ = MEZ $- \triangle t_1 - \triangle t_2$

MEZ = Mitteleuropäische Zeit (= mittlere Ortszeit des 15. östlichen Längengrades).

$\triangle t_1$ = (MEZ) — (mittlere Ortszeit: $t_{m\lambda}$) = $(15° - \lambda°) \cdot 4$ Min. (Fig. 2).

$\triangle t_2$ = Zeitgleichung = $t_{m\lambda} - t_\lambda$ (Tab. 2).

d) Bei der parallaktischen Aufstellung durchläuft die Sonne in jeder Stunde einen Winkel von 15°, wir erhalten daher den Stundenwinkel τ der Sonne aus $\tau = t_\lambda$ (Std.) $\cdot$ 15.
Dieser Winkel τ wird für eine gewählte Zeit MEZ am Horizontalkreis des Theodoliten eingestellt.

e) Der Dreifuß wird nochmals genau horizontiert und das dunkle Sonnenfilter auf das Okular aufgesetzt.

f) Zur gewählten Zeit wird die Dreifußklemme gelöst und der Kippaufsatz samt Theodolit solange gedreht, bis die Sonnenscheibe im Vertikalfaden des Fadenkreuzes liegt. Der Horizontalfaden soll dann ebenfalls durch die Sonnenmitte verlaufen. Kleine Abweichungen von dieser Lage werden durch leichtes Verändern der Neigung des Theodoliten beseitigt (Neueinstellung von $90° - \varphi$). Große Abweichungen von mehr als einem halben Sonnendurchmesser deuten auf fehlerhafte Einstellung oder Berechnung eines der Elemente $(90° - \varphi)$, δ, τ hin.

Tab. 1

Deklination der Sonne

Tag	Jan.	Febr.	März	April	Mai	Juni	Juli	Aug.	Sept.	Okt.	Nov.	Dez.
1.	—23° 02′	—17° 11′	—7° 42′	4 26′	14° 59′	22 01′	23° 08′	18° 06′	8° 24′	—3° 04′	—14° 20′	—21° 46′
2.	—22° 57′	—16° 54′	—7° 19′	4° 49′	15° 17′	22 09′	23° 04′	17 51′	8 02′	—3° 28′	—14° 40′	—21° 55′
3.	—22° 51′	—16° 36′	—6° 56′	5 12′	15 35′	22 17′	23° 00′	17° 36′	7 40′	—3° 51′	—14° 59′	—22° 04′
4.	—22° 45′	—16° 19′	—6° 33′	5 35′	15° 53′	22 24′	22° 55′	17° 20′	7 18′	—4° 14′	—15° 17′	—22° 12′
5.	—22° 39′	—16° 01′	—6° 10′	5 58′	16° 10′	22° 31′	22° 49′	17° 04′	6 56′	—4° 37′	—15° 36′	—22° 20′
6.	—22° 32′	—15° 42′	—5° 47′	6 21′	16° 27′	22° 38′	22° 44′	16° 48′	6 34′	—5° 00′	—15° 54′	—22° 28′
7.	—22° 25′	—15° 24′	—5° 23′	6° 43′	16° 44′	22° 44′	22° 38′	16° 31′	6 11′	—5° 23′	—16° 12′	—22° 35′
8.	—22° 17′	—15° 05′	—5° 00′	7 06′	17 01′	22 49′	22° 31′	16° 14′	5° 49′	—5° 46′	—16° 30′	—22° 42′
9.	—22° 09′	—14° 46′	—4° 37′	7 28′	17 17′	22 55′	22° 24′	15° 57′	5° 26′	—6° 09′	—16° 47′	—22° 48′
10.	—22° 00′	—14° 27′	—4° 13′	7 50′	17° 33′	23 00′	22° 17′	15° 40′	5° 03′	—6° 32′	—17° 04′	—22° 54′
11.	—21° 51′	—14° 07′	—3° 50′	8 13′	17° 48′	23 04′	22° 09′	15° 22′	4° 41′	—6° 55′	—17° 21′	—22° 59′
12.	—21° 42′	—13° 47′	—3° 26′	8 35′	18° 04′	23° 08′	22° 01′	15° 04′	4° 18′	—7° 17′	—17° 37′	—23° 04′
13.	—21° 32′	—13° 27′	—3° 02′	8 56′	18° 19′	23 12′	21 53′	14° 46′	3 55′	—7° 40′	—17° 54′	—23° 08′
14.	—21° 21′	—13° 07′	—2° 39′	9 18′	18° 34′	23 15′	21° 44′	14° 28′	3 32′	—8° 02′	—18° 09′	—23° 12′
15.	—21° 11′	—12° 46′	—2° 15′	9 40′	18° 48′	23 18′	21° 35′	14° 09′	3 09′	—8° 25′	—18° 25′	—23° 16′
16.	—21° 00′	—12° 26′	—1° 51′	10° 01′	19° 02′	23 21′	21° 25′	13° 50′	2 46′	—8° 47′	—18° 40′	—23° 19′
17.	—20° 48′	—12° 05′	1 28′	10 22′	19° 16′	23 23′	21° 16′	13° 31′	2 22′	—9° 09′	—18° 55′	—23° 21′
18.	—20° 36′	—11° 44′	—1° 04′	10° 44′	19° 29′	23 24′	21° 05′	13° 21′	1 59′	—9° 31′	—19° 10′	—23° 23′
19.	—20° 24′	—11° 23′	—0° 40′	11° 04′	19° 42′	23 26′	20 55′	12° 53′	1 36′	9 53′	—19° 24′	—23° 25′
20.	—20° 11′	—11 01′	—0° 16′	11° 25′	19° 55′	23 26′	20° 44′	12° 33′	1 13′	—10° 14′	—19° 38′	—23° 26′
21.	—19° 58′	—10° 40′	0° 07′	11° 46′	20° 08′	23 27′	20 32′	12° 13′	0 49′	—10° 36′	—19° 51′	—23° 27′
22.	—19° 45′	10 18′	0° 31′	12° 06′	20° 20′	23 27′	20° 21′	11° 53′	0 26′	—10° 57′	—20° 05′	—23° 27′
23.	—19° 31′	9 56′	0° 55′	12° 26′	20° 32′	23 26′	20 09′	11° 33′	0 03′	11 18′	—20° 17′	—23° 27′
24.	—19° 17′	—9° 34′	1° 18′	12° 46′	20° 43′	23 26′	19 56′	11 13′	- 0° 21′	—11° 39′	—20° 30′	—23° 26′
25.	—19° 02′	—9° 12′	1° 42′	13° 06′	20° 54′	23° 24′	19 44′	10° 52′	0 44′	—12° 00′	—20° 42′	—23° 25′
26.	—18° 47′	—8° 49′	2° 06′	13° 25′	21° 05′	23° 23′	19° 31′	10° 31′	1° 07′	- 12 21′	—20° 54′	—23° 23′
27.	—18° 32′	—8° 27′	2° 29′	13° 45′	21 15′	23 21′	19 17′	10° 11′	-1 31′	—12° 41′	—21° 05′	—23° 21′
28.	—18 16′	—8° 04′	2° 53′	14° 04′	21° 25′	23° 18′	19 04′	9° 50′	—1 54′	—13° 01′	—21° 16′	—23° 18′
29.	—18° 00′	—7° 53′	3° 16′	14° 22′	21° 35′	23° 15′	18° 50′	9° 28′	2 18′	—13° 22′	—21° 26′	—23° 15′
30.	—17° 44′		3° 39′	14° 41′	21° 44′	23° 12′	18° 36′	9 07′	2 41′	- 13 41′	—21° 36′	—23° 12′
31.	—17 28′		4 03′		21° 53′		18 21′	8° 45′		—14° 01′		—23° 08′

Diese Deklinationswerte gelten für 13 h mitteleuropäische Zeit des betreffenden Tages 2 Jahre nach einem Schaltjahr (Jahrgänge 1950, 1954, 1958, 1962 usw.).

Korrekturen für die übrigen Jahre:

Schaltjahre (1952, 1956, 1960 usw.): Januar 2′ bis —8′, Februar —10′ (bis 28. Februar), März +12′, April +11′, Mai +7′, Juni ∼0′, Juli —6′, August —10′, September bis Oktober —12′, November —7′, Dezember ∼0′.

1 Jahr nach dem Schaltjahr (1953, 1957, 1961 usw.):
Winter- und Sommermonate geringe Korrekturen (unter 5′)
Frühling +5′, Herbst —5′.

1 Jahr vor dem Schaltjahr (1951, 1955, 1959 usw.):
Winter- und Sommermonate geringe Korrekturen (unter 5′)
Frühling —5′, Herbst +5′.

2. *Geographische Orientierung*

a) Bestimmung des Karten-Azimutes von ein bis zwei vom Standort aus gut erkennbaren Punkten.

b) Bei Verwendung der schweizerischen Karten ist das ermittelte Azimut infolge der Meridiankonvergenz um einen kleinen Betrag zu korrigieren:
Korrektur des Kartenazimutes α_K auf geographisches Azimut α_g.
$\alpha_g = \alpha_K + M$.
M = Meridiankonvergenz (Fig. 2).

c) Genaues Horizontieren des Dreifußes. Kippaufsatz horizontal stellen $(90° - \varphi) = 0$.

d) Am Horizontalkreis α_g einstellen, Dreifußklemme lösen, Zielpunkt anvisieren und Kippaufsatz am Dreifuß wieder festklemmen.

e) Kippen der Fernrohrachse um den Winkel $(90° - \varphi)$.

Nach der astronomischen oder geographischen Orientierung ist der Theodolit meßbereit. Die Messungen des Tagbogens erfolgen im allgemeinen vorteilhaft in Intervallen von 1° im Bereich der Sonnendeklination δ zwischen +20° und —20°. In den extremen Lagen zwischen 20° und 20° 27′ bzw. —20° und —23° 27′, in welchen die Sonne im Sommer und Winter längere Zeit verweilt, ist eine Messung von $^1/_2$° zu $^1/_2$° am Platze, ferner sind für einzelne markante Punkte eventuell zusätzliche Messungen notwendig, besonders wenn Bereiche mit mehrfachen Auf- und Untergängen infolge von Hindernissen auftreten. Zum Schluß werden die Messungen in ein Diagramm eingetragen, wie es in den vorliegenden Annalen im Jahrgang 1950 (Anhang No. 6) über die mögliche Sonnenscheindauer an der neuen meteorologischen Zentralanstalt in Zürich veröffentlicht worden ist. Die so erhaltenen theoretischen Sonnenauf- und Untergänge für die Sonnenmitte und ohne Berücksichtigung der Refraktion dienen als Grundlage für die Berechnung der möglichen Sonnenscheindauer.

Nach den neuen Beschlüssen der «International Sub-

Zeitgleichung Δt_2

Tab. 2 in Minuten

Tag	Jan.	Febr.	März	April	Mai	Juni	Juli	Aug.	Sept.	Okt.	Nov.	Dez.
1.	3.5	13.6	12.5	4.0	—2.9	—2.4	3.6	6.2	0.1	—10.2	—16.4	—11.1
2.	4.0	13.8	12.3	3.7	—3.0	—2.2	3.8	6.2	—0.2	—10.5	—16.4	—10.7
3.	4.4	13.9	12.1	3.5	—3.1	—2.1	4.0	6.1	—0.5	—10.8	—16.4	—10.3
4.	4.9	14.0	11.9	3.2	—3.2	—1.9	4.2	6.0	—0.9	—11.1	—16.4	—9.9
5.	5.3	14.1	11.7	2.9	—3.3	—1.7	4.3	5.9	—1.2	—11.4	—16.4	—9.6
6.	5.8	14.2	11.5	2.6	—3.4	—1.5	4.5	5.8	—1.5	—11.7	—16.3	—9.1
7.	6.2	14.2	11.2	2.3	—3.5	—1.4	4.7	5.7	—1.9	—12.0	—16.3	—8.7
8.	6.6	14.3	11.0	2.0	—3.6	—1.2	4.9	5.6	—2.2	—12.3	—16.2	—8.2
9.	7.0	14.3	10.7	1.7	—3.6	—1.0	5.0	5.5	—2.5	—12.6	—16.2	—7.8
10.	7.5	14.3	10.5	1.4	—3.7	—0.8	5.2	5.3	—2.9	—12.9	—16.1	—7.3
11.	7.8	14.3	10.2	1.2	—3.7	—0.6	5.3	5.2	—3.2	—13.1	—16.0	—6.9
12.	8.3	14.3	10.0	0.9	—3.7	—0.4	5.4	5.0	—3.6	—13.4	—15.9	—6.4
13.	8.7	14.3	9.7	0.6	—3.7	—0.2	5.5	4.9	—4.0	—13.6	—15.7	—5.9
14.	9.0	14.3	9.4	0.4	—3.8	0.0	5.7	4.7	—4.3	—13.8	—15.6	—5.5
15.	9.4	14.3	9.1	0.2	—3.8	0.2	5.8	4.5	—4.6	—14.1	—15.4	—5.0
16.	9.7	14.2	8.8	—0.1	—3.7	0.4	5.9	4.3	—5.0	—14.3	—15.2	—4.5
17.	10.1	14.1	8.5	—0.3	—3.7	0.7	6.0	4.1	—5.4	—14.5	—15.1	—4.0
18.	10.4	14.1	8.3	—0.5	—3.7	0.9	6.1	3.9	—5.7	—14.7	—14.9	—3.5
19.	10.7	14.0	8.0	—0.8	—3.6	1.1	6.2	3.7	—6.0	—14.9	—14.6	—3.1
20.	11.0	13.9	7.7	—1.0	—3.6	1.3	6.2	3.4	—6.4	—15.1	—14.4	—2.6
21.	11.3	13.8	7.4	—1.2	—3.5	1.5	6.3	3.2	—6.8	—15.3	—14.1	—2.1
22.	11.6	13.7	7.1	—1.4	—3.5	1.8	6.3	2.9	—7.1	—15.4	—13.9	—1.6
23.	11.9	13.5	6.8	—1.6	—3.4	2.0	6.4	2.7	—7.5	—15.6	—13.7	—1.1
24.	12.1	13.4	6.5	—1.8	—3.3	2.2	6.4	2.4	—7.8	—15.7	—13.4	—0.6
25.	12.3	13.2	6.2	—2.0	—3.2	2.4	6.4	2.2	—8.2	—15.8	—13.1	—0.1
26.	12.6	13.1	5.9	—2.2	—3.1	2.6	6.4	1.9	—8.5	—15.9	—12.8	0.4
27.	12.8	12.9	5.6	—2.3	—3.0	2.8	6.4	1.6	—8.9	—16.0	—12.5	0.9
28.	13.0	12.7	5.3	—2.5	—2.9	3.0	6.4	1.3	—9.2	—16.1	—12.1	1.4
29.	13.2	12.6	5.0	—2.6	—2.8	3.2	6.4	1.0	—9.5	—16.2	—11.8	1.9
30.	13.3		4.6	—2.8	—2.7	3.4	6.3	0.7	—9.9	—16.3	—11.4	2.4
31.	13.5		4.3		—2.5		6.3	0.4		—16.3		2.9

Die Tabellenwerte gelten für 13 h MEZ. Sie sind den «American Ephemeris 1950» entnommen. Die Abweichungen in anderen Jahren sind geringfügig, im allgemeinen nur ∓0,1 Min, maximal —0,2 bis —0,3 Min zu Beginn des Januars eines Schaltjahres.

commission on Actinometry» in Uccle im August 1951 soll zwar nicht die Tagbogenmessung als Grundlage der möglichen Sonnenscheindauer verwendet werden, sondern diese soll aus der Zeitdauer zwischen Sonnenaufgang und Sonnenuntergang bestimmt werden, welche der Autograph an klaren Tagen registriert. Dadurch werden die Apparatefehler (ungenügende Registrierung der horizontalen Sonnenstände, ungenaue Stundeneinteilung der Registrierstreifen usw.) bei der Berechnung der relativen Sonnenscheindauer weitgehend ausgeschaltet. Da jedoch nicht an allen Tagen des Jahres Registrierungen maximaler Dauer vorhanden sein werden und ferner vielfach Messungen an Standorten ohne Sonnenscheinautograph durchgeführt werden müssen, bildet die Tagbogenmessung ein wertvolles Hilfsmittel zur Bestimmung der möglichen Sonnenscheindauer.

Un nouveau réducteur barométrique

par

Bernard Primault, Zurich

Introduction

Durant les mois que j'ai passé comme prévisionniste à l'aéroport de Genève-Cointrin ainsi que lors de mes visites à l'étranger tant à Londres-Northolt qu'à Barcelone-Muntadas, j'ai été frappé de la méthode compliquée utilisée pour faire les lectures et réductions barométriques. M'étant renseigné auprès de collègues ayant visité d'autres aéroports étrangers, il s'en suit que la méthode appliquée en Suisse est la même partout. Elle consiste en une lecture du baromètre à mercure, la soustraction d'une correction thermique tirée d'une table pour obtenir le QFE et ensuite de la recherche dans une nouvelle table de la valeur correspondante du QNH. Comme une lecture doit être effectuée toutes les demi-heures et, lors de brusques variations de la pression, avant l'arrivée et le départ de chaque avion, il en résulte journellement un grand nombre d'opérations (de 60 à 70 en moyenne). On a constaté d'autre part sur bien des places d'aviation des erreurs de lecture, de correction ou de transmission qui auraient pu avoir des conséquences graves. Ces erreurs sont imputables soit à une certaine lassitude due à la monotonie des opérations soit à la tension nerveuse des employés qui ont, par mauvais temps, à effectuer un grand nombre de lectures très rapprochées les unes des autres et dont ils connaissent l'importance.

Afin de diminuer à chaque lecture le nombre d'opérations, et partant les sources d'erreurs, je me suis appliqué à trouver un appareil qui effectue mécaniquement le plus grand nombre possible de ces opérations.

Conditions à réaliser

Cet apareil doit être de construction robuste et précise vu son emploi fréquent et les petits écarts qu'il est appelé à mesurer ($^1/_{10}$ de mb. assuré). Pour en diminuer l'usure le nombre des pièces mobiles doit être réduit au minimum. Les échelles doivent être établies de telle façon qu'elles permettent une lecture facile et univoque. La manipulation doit en être simple pour qu'il puisse être aisément desservi même en temps de presse ou de grande tension nerveuse.

Comme première simplification, et qui est généralement adoptée déjà, on se servira d'un baromètre compensé c'est-à-dire dont le rapport des surfaces de la cuvette et de la colonne est connu et où l'on a tenu compte de ce rapport dans la graduation.

L'instrument le plus simple et le plus facilement réalisable serait l'abaque. Mais pour être lisible ses dimensions devraient être telles qu'un emploi pratique en devient illusoire, aussi nous sommes-nous résolu à rechercher la solution du problème dans un appareil mécanique.

Le QFE

Le QFE est la pression qu'indiquerait un baromètre dont la cuvette serait située au niveau de la piste et dont le mercure serait maintenu à une température constante de 0° C. Sa valeur diffère de celle que nous lisons au baromètre du poste d'une grandeur constante due à l'écart d'altitude entre la piste et l'instrument car il est rare que le baromètre soit exactement au niveau de la piste, et d'une autre grandeur variable et proportionnelle à la température du mercure.

La première de ces valeurs est déterminée une fois pour toutes pour chaque emplacement de l'instrument.

La seconde est donc à déterminer chaque fois. Pour ce faire on peut dire qu'elle est proportionnelle à la hauteur lue de la colonne de mercure et à sa température ou en d'autres termes à la valeur réduite et à la température du mercure. Pour simplifier la démonstration nous retiendrons à la seconde proposition.

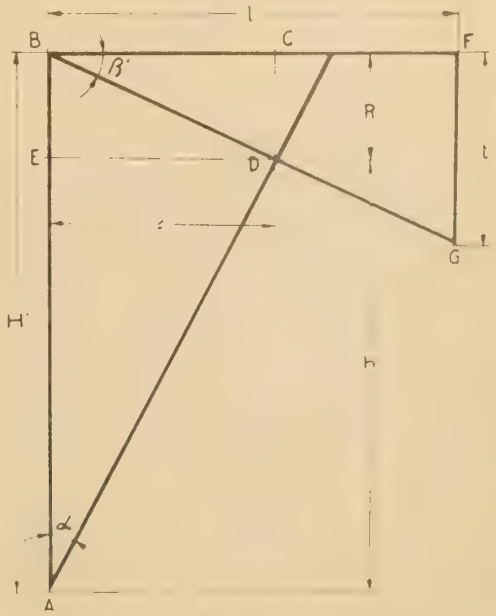

Fig. 1

Nous voyons que la valeur à soustraire de la lecture est variable, pour une même température, et directement proportionnelle à la hauteur de la colonne. Pour pouvoir la mesurer géométriquement (Fig. 1) il suffit qu'elle soit égale au petit côté R' d'un triangle rectangle dont l'hypoténuse BD croît avec la colonne et dont l'angle opposé β' est fonction de la température. Ces conditions sont remplies si l'hypoténuse de notre triangle est le troisième

côté d'un nouveau triangle formé par la colonne de mercure et la projection de la valeur réduite sur une droite formant un angle α avec la colonne.

Une valeur déterminée de QFE est indépendante de la température du mercure. Par conséquent e, qui est la distance du point d'intersection de l'hypoténuse et de l'oblique à la colonne, est constant soit:

$$e = h \operatorname{tg} \alpha \qquad (1)^*$$

Si notre colonne de mercure présente une température de 0° la correction est nulle et par conséquent la lecture H est égale à h et l'angle β est égal à 0.

Si par contre le mercure a une température $t' > 0$ la lecture H est plus grande que le QFE h d'une valeur R′ proportionnelle à la température t′, à la pression h et au coéfficient de dilatation du mercure m soit:

$$R' = h\, m\, t'$$

ou plus généralement

$$R = h\, m\, t \qquad (2)$$

Nous tirons alors de la fig. 1

$$\overline{AE} = h$$
$$\overline{BE} = \overline{CD} = R'$$
$$\overline{BC} = \overline{ED} = e$$
$$\overline{BF} = l$$
$$\overline{FG} = t'$$
$$\sphericalangle EAD = \alpha$$
$$\sphericalangle CBD = \sphericalangle FBG = \beta'$$

Nous obtenons alors

$$e = R' \operatorname{ctg} \beta'$$
$$\text{et } \operatorname{ctg} \beta' = \frac{l}{t'}$$

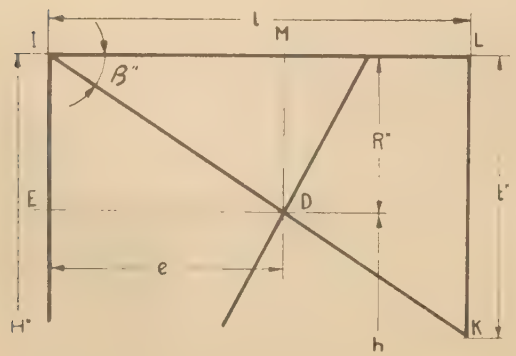

Fig. 2 $t'' > t' > 0$

Si le mercure a une température $t'' > t' > 0$ nous aurons (Fig. 2):

$$\overline{EA} = h$$
$$\overline{EI} = \overline{DM} = R''$$
$$\overline{ED} = \overline{IM} = e$$
$$\overline{IL} = l$$
$$\overline{LK} = t''$$
$$MID = \sphericalangle LIK = \beta''$$

Nous obtenons alors

$$e = R'' \operatorname{ctg} \beta''$$
$$\text{et } \operatorname{ctg} \beta'' = \frac{l}{t''}$$

* Pour les définitions voir appendice.

Si le mercure a une température t''' plus petite que 0 nous avons (Fig. 3):

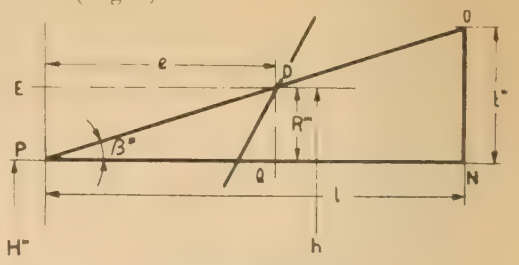

Fig. 3 $t''' < 0$

$$\overline{EP} = \overline{DQ} = R'''$$
$$\overline{ED} = \overline{PQ} = e$$
$$\overline{PN} = l$$
$$\overline{NO} = t$$
$$\sphericalangle DPQ = \sphericalangle OPN = \beta'''$$
d'où $e = R''' \operatorname{ctg} \beta'''$
et $\operatorname{ctg} \beta''' = \dfrac{l}{t'''}$

D'autre part les triangles suivants sont semblables:

IMD et LIK d'où $\dfrac{l}{e} = \dfrac{t''}{R''}$

CBD et FBG d'où $\dfrac{l}{e} = \dfrac{t'}{R'}$

DPQ et OPN d'où $\dfrac{l}{e} = \dfrac{t'''}{R'''}$

d'où je tire $\dfrac{l}{e} = \dfrac{t'}{R'} = \dfrac{t''}{R''} = \dfrac{t'''}{R'''}$

et de façon toute générale

$$\frac{t}{R} = \frac{l}{e} \qquad (3)$$

l étant une constante de l'appareil et e proportionnel à la pression h (indépendamment de la température) nous obtenons que la réduction R est directement proportionnelle à l'échelle t.

Nous en déduisons que pour chaque température nous avons un angle β déterminé:

$$R = e \operatorname{tg} \beta \qquad (4)$$

$$\text{et } \operatorname{tg} \beta = \frac{t}{l} \qquad (5)$$

$$\text{d'où } R = \frac{e\, t}{l} \qquad (6)$$

Je tire e de (1) et R de (2) et obtiens:

$$h\, m\, t = \frac{h \operatorname{tg} \alpha\, t}{l}$$

$$\text{d'où } \operatorname{tg} \alpha = m\, l \qquad (7)$$

Nous voyons donc que l'angle α entre la colonne et l'oblique sur laquelle est projetée l'échelle des QFE ne dépend que de m qui est une constante physique et de l choisi arbitrairement et invariable pour un même appareil. Ce dernier donnera donc une réduction exacte quelles que soient les valeurs de h et de t.*

* Lors du calcul de α et β il est nécessaire de tenir compte du coefficient de dilatation linéaire de l'échelle et de réduire d'autant la valeur de m. Pour du laiton par exemple nous aurons dans les formules 2 et 7

$$m = 0{,}0001818 - 0{,}000019 = 0{,}0001628$$

Nous avons tenu compte de cette réduction dans la graduation de l'échelle des températures du mercure et dans le calcul de α.

Le QNH

Comme le QNH, ou pression sur laquelle il faut régler l'altimètre pour qu'il indique à l'atterrissage l'altitude de la piste, est fonction du QFE on aura, pour un point donné et pour chaque valeur de QFE, une et une seule valeur de QNH. Nous pouvons ainsi faire figurer ces différentes valeurs sur deux échelles parallèles et lues toutes deux au même niveau.

Le QFF

Comme chaque place d'aviation est, en général, également un poste d'observations météorologiques synoptiques appelé à donner toutes les trois heures la pression réduite au niveau de la mer ou QFF, il était avantageux de faire entrer également cette réduction dans l'appareil. Plusieurs méthodes sont utilisées à l'heure actuelle pour cette réduction mais toutes se basent sur la température moyenne de la colonne d'air supposée se trouver au-dessous de la station.

Nous considérons de façon tout à fait générale une colonne d'air de hauteur a dont la pression au bas est p_0 et la différence de pression entre le haut et le bas est $\triangle$. La température au haut de la dite colonne est T_1 et croît de $\gamma°$ par 100 m pour être de T_0 au bas.

$$T_1 = T_0 - \gamma a$$
$$dT = -\gamma\, da$$

D'après la loi des gaz nous avons

$$\int_0^{p_1} \frac{dp}{p} = +\frac{g}{\gamma\epsilon}\int_0^{T_1}\frac{dT}{T} \qquad (9)$$

$$\text{ou} \quad \ln\frac{p}{p_0} = \frac{g}{\gamma\epsilon}\ln\frac{T_1}{T_0}$$

$$p_0 = p\left(\frac{T_0}{T_1}\right)^{\mu} \qquad (10)$$

$$\text{où} \quad \mu = \frac{g}{\gamma\epsilon}$$

$$\triangle = p_0 - p = p\left[\left(\frac{T_0}{T_1}\right)^{\mu} - 1\right] \qquad (11)$$

$$T_0 = T_1 + \gamma a$$

$$\left(\frac{T_0}{T_1}\right)^{\mu} - 1 = \left(1 + \frac{\gamma a}{T_1}\right)^{\mu} - 1 = 1 + \mu\frac{\gamma a}{T_1} + \frac{\mu}{2}\left(\mu - 1\right)\frac{\gamma^2 a^2}{T_1^2} + \cdots - 1$$

Nous pouvons négliger dans la série tous les termes supérieurs au second ordre et nous obtenons alors:

$$\left(\frac{T_0}{T_1}\right)^{\mu} - 1 = \mu\frac{\gamma a}{T_1}\left[1 + \frac{1}{2}\left(\mu - 1\right)\frac{\gamma a}{T_1}\right] \qquad (12)$$

En opérant alors la substitution

$$\triangle = p\,\frac{g\,a}{\epsilon T_1}\left[1 + \frac{1}{2}\left(\frac{g}{\gamma\epsilon} - 1\right)\frac{\gamma a}{T_1}\right] \qquad (13)$$

Comme $\triangle$ est proportionnel à p le même principe de réduction géométrique peut être appliqué ici que pour le QFE. Seulement la fonction de la température étant inverse l'échelle le sera également. D'autre part la fonction en T_1 n'étant pas linéaire, l'échelle des températures ne pourra pas l'être et l'angle β (cf. Fig. 1) devra être calculé pour chaque température. Enfin la fonction en p étant proportionnelle à l'altitude du lieu et à g (qui dépend de la latitude, de l'altitude et d'autres facteurs encore), l'angle α sera à déterminer dans chaque cas.

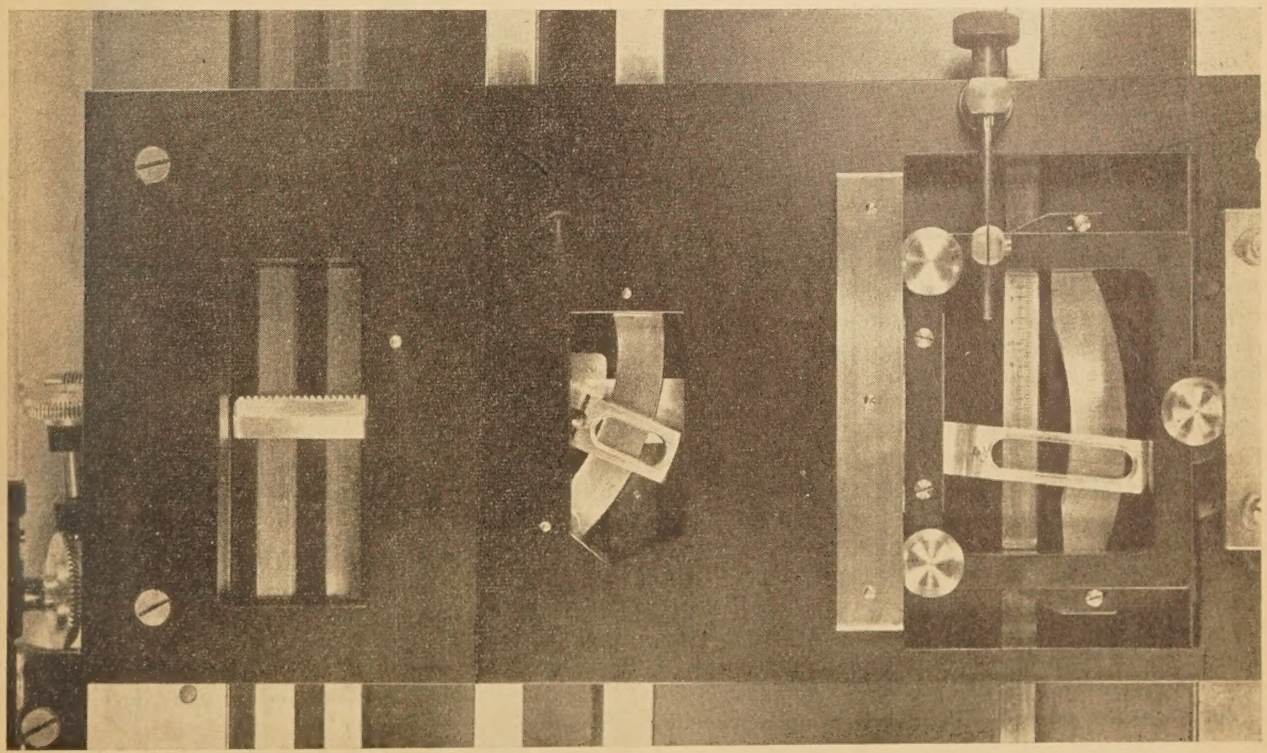

Fig. 4 Détail des échelles de réduction

Vu le développement qui précède, nous voyons que pour le QFF il est impossible de fabriquer un appareil qui s'adapte instantanément à n'importe quel point du globe. Toutefois les modifications nécessaires sont minimes, aussi une construction en série peut-elle être envisagée pour un grand nombre de pièces.

Détails de construction

Afin de supprimer le passage du baromètre à l'appareil c'est à dire la lecture du baromètre et l'introduction de cette valeur dans l'instrument chargé de calculer la réduction, nous avons cherché à n'avoir, pour les lectures, que des échelles droites à graduation linéaires. Ayant obtenu ce premier résultat nous pouvions songer à accoupler les deux instruments pour en faire un tout. En effet le mouvement du curseur du baromètre est transmis au réducteur par un système d'engrenages.

Pour faciliter le travail et pour que l'employé chargé des lectures puisse opérer sans changer de place nous avons fixé les échelles sur une plaque mobile qui se met automatiquement à la hauteur de l'œil. Les lectures se font à la partie inférieure d'un curseur taillé en biseau et, pour éviter des erreurs dues à des lectures faites au mauvais endroit on a découpé la partie supérieure du curseur en dents de scie.

Le QNH étant, pour un lieu donné, fonction du QFE, les deux échelles sont disposées côte à côte et lues au moyen du même curseur.

La détermination du QFF dépendant du QFE, et pour éviter une mise au point ultérieure, nous avons fait en sorte que l'échelle des températures de l'air, dont dépend cette réduction, soit solidaire du curseur de lecture des QFE et QNH. C'est lors de l'introduction de la température du mercure dans l'instrument que la mise en place de ces deux pièces se fait.

L'échelle de lecture des QFF est décalée par rapport à celle des QFE d'une valeur fixe correspondant à la température moyenne du lieu, cela par raison d'économie de place.

Il résulte de la démonstration que les températures à considérer pour la réduction sont des températures absolues. Pour éviter un calcul, et partant une cause d'erreur, nous avons gradué l'échelle en degrés centigrades correspondants et tenu compte dans les calculs de la différence existant entre la température au sommet de la colonne d'air et sa température moyenne. Il suffit donc d'introduire les températures lues au thermomètre de la station.

Pour tenir compte de l'angle α (voir Fig. 1) nous avons placé un petit guide sur un rail faisant le dit angle avec l'échelle des QFE. Ce guide coulisse à la fois sur le rail, le curseur des températures du mercure et le curseur de lecture assurant ainsi la relation voulue.

Enfin et pour assurer la précision nécessaire nous avons commandé tous les déplacements linéaires par vis sans fin et les différentes transmissions par roues dentées. Ainsi au cas où l'une des pièces viendrait à avoir trop de jeu par suite d'usure elle sera facilement remplacée.

Pour permettre une adaption exacte des échelles elles sont toutes montées sur coulisses. Par conséquent si le baromètre devait être déplacé de quelques mètres en hauteur il suffirait de les replacer dans leur nouvelle position par le moyen de vis placées au verso de la plaque.

Manipulation

La manipulation de l'instrument est des plus simple et s'opère par trois molettes.

La première déplace à la fois le curseur du baromètre et la plaque portant les échelles. Ces deux déplacements sont proportionnels et régis par une démultiplication à rapport connu.

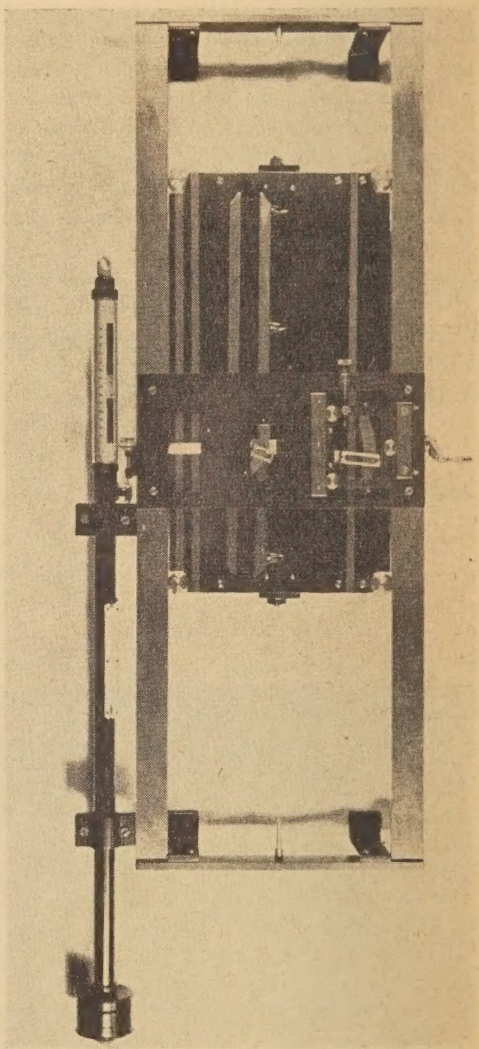

Fig. 5 Vue d'ensemble de l'appareil

La seconde molette déplace le curseur des températures du mercure par l'intermédiaire du guide dont nous avons parlé plus haut et d'un bec du cadre portant l'échelle des températures de l'air. Ce bec sert en même temps de curseur pour les lectures des QFE et QNH.

La troisième molette enfin déplace un curseur rectiligne le long de l'échelle des températures de l'air et permet, au moyen d'un repère la lecture directe des QFF.

Une observation complète s'opère donc de la manière suivante:

1. On amène au moyen de la première molette le curseur du baromètre au sommet du ménisque du mercure.

2. On place ensuite le curseur des températures du mercure à la hauteur voulue par la seconde molette. On peut alors lire directement les valeurs des QFE et QNH.

3. La troisième molette enfin met au point la température de l'air selon les méthodes en usage actuellement et permet la lecture directe du QFF.

Conclusion

Nous voyons que l'utilisation du présent instrument ne demande pas de connaissances spéciales. La suppression du vernier en rend l'usage encore plus facile. Enfin la formule ayant servi de base au calcul des échelles pour le QFF permet d'utiliser indifféremment toutes les méthodes en usage. On peut en effet introduire la température moyenne de l'heure telle que nous la donne la table climatologique ou se servir de la température virtuelle du moment ou enfin se baser sur une moyenne quelconque afin de mieux rendre l'état de l'atmosphère.

Mais l'avantage principal est la suppression d'un certain nombre d'opérations et partant de sources d'erreurs.

Méthode actuelle	Avec l'instrument
Mise au point du baromètre	Mise au point du baromètre
Lecture	Lecture du thermomètre
Transcription	Mise en place du correcteur
Lecture du thermomètre	*Lecture du QFE*
Recherche de la correction dans la table	
Transcription de la correction	
Soustraction	
Lecture du QFE	
Recherche dans la table	*Lecture du QNH*
Lecture du QNH	
Recherche dans la table	Lecture de T_1
Lecture de la correction	Mise en place de T_1
Transcription de la correction	*Lecture du QFF*
Addition	
Lecture du QFF	

Nombre d'opérations

	QFE	QNH	QFF	Observation complète
Actuellement	8	10	13	15
Avec l'appareil	4	5	7	8

*

Je ne terminerai pas ce mémoire sans exprimer ma reconnaissance à Monsieur J. Lugeon, Directeur de la S. C. S. M., pour l'appui financier qu'il m'a apporté dans la réalisation de cet appareil. Je remercie également mes collègues Kuhn et Letestu pour leur aide et leurs conseils dans l'élaboration de la partie mathématique.

Appendice

Signification des symboles

a	Altitude du lieu.
e	Eloignement entre la colonne de mercure et le point de lecture.
g	Accélération de la pesanteur (pour 46° N et 200 m altitude moyenne g = 9,806).
h	Hauteur de la colonne de mercure à 0° C.
H	Hauteur de la colonne de mercure à la température t.
l	Distance entre la colonne et l'échelle des températures du mercure.
m	Coefficient de dilatation du mercure (m = 0,0001818 par ° C).
p	Pression réduite à 0° C (QFE).
p_0	Pression au niveau de la mer (QFF).
R	Réduction barométrique.
R′ R″	Réductions correspondantes aux températures t′ t″ etc.
t	Température du mercure en ° C.
t′ t″	Diverses températures considérées.
T	Température moyenne de la colonne d'air en ° abs.
T_0	Température au niveau de la mer en ° abs.
T_1	Température à la station en ° abs.
α	Angle entre la colonne barométrique et la ligne de lecture.
β	Angle de température.
ε	Constante des gaz (= 286,9).
$\triangle$	Différence entre la pression réduite et la pression au niveau de la mer.
λ	Latitude du lieu (pour Genève 46° 14′ N).
γ	Gradient de température (0,5° par 100 m).

Bibliographie

Schüepp Max Neue Luftdruckreduktionstabelle für das schweizerische Beobachtungsnetz (Dez. 1944 [non publié]).

Kaufmaun Paul Eine Weiterentwicklung des Rechengerätes zur Druck-Reduktion.
Annalen der Schweizerischen meteorologischen Zentralanstalt 1948.